



This is a digital copy of a book that was preserved for generations on library shelves before it was carefully scanned by Google as part of a project to make the world's books discoverable online.

It has survived long enough for the copyright to expire and the book to enter the public domain. A public domain book is one that was never subject to copyright or whose legal copyright term has expired. Whether a book is in the public domain may vary country to country. Public domain books are our gateways to the past, representing a wealth of history, culture and knowledge that's often difficult to discover.

Marks, notations and other marginalia present in the original volume will appear in this file - a reminder of this book's long journey from the publisher to a library and finally to you.

Usage guidelines

Google is proud to partner with libraries to digitize public domain materials and make them widely accessible. Public domain books belong to the public and we are merely their custodians. Nevertheless, this work is expensive, so in order to keep providing this resource, we have taken steps to prevent abuse by commercial parties, including placing technical restrictions on automated querying.

We also ask that you:

- + *Make non-commercial use of the files* We designed Google Book Search for use by individuals, and we request that you use these files for personal, non-commercial purposes.
- + *Refrain from automated querying* Do not send automated queries of any sort to Google's system: If you are conducting research on machine translation, optical character recognition or other areas where access to a large amount of text is helpful, please contact us. We encourage the use of public domain materials for these purposes and may be able to help.
- + *Maintain attribution* The Google "watermark" you see on each file is essential for informing people about this project and helping them find additional materials through Google Book Search. Please do not remove it.
- + *Keep it legal* Whatever your use, remember that you are responsible for ensuring that what you are doing is legal. Do not assume that just because we believe a book is in the public domain for users in the United States, that the work is also in the public domain for users in other countries. Whether a book is still in copyright varies from country to country, and we can't offer guidance on whether any specific use of any specific book is allowed. Please do not assume that a book's appearance in Google Book Search means it can be used in any manner anywhere in the world. Copyright infringement liability can be quite severe.

About Google Book Search

Google's mission is to organize the world's information and to make it universally accessible and useful. Google Book Search helps readers discover the world's books while helping authors and publishers reach new audiences. You can search through the full text of this book on the web at <http://books.google.com/>



Über dieses Buch

Dies ist ein digitales Exemplar eines Buches, das seit Generationen in den Regalen der Bibliotheken aufbewahrt wurde, bevor es von Google im Rahmen eines Projekts, mit dem die Bücher dieser Welt online verfügbar gemacht werden sollen, sorgfältig gescannt wurde.

Das Buch hat das Urheberrecht überdauert und kann nun öffentlich zugänglich gemacht werden. Ein öffentlich zugängliches Buch ist ein Buch, das niemals Urheberrechten unterlag oder bei dem die Schutzfrist des Urheberrechts abgelaufen ist. Ob ein Buch öffentlich zugänglich ist, kann von Land zu Land unterschiedlich sein. Öffentlich zugängliche Bücher sind unser Tor zur Vergangenheit und stellen ein geschichtliches, kulturelles und wissenschaftliches Vermögen dar, das häufig nur schwierig zu entdecken ist.

Gebrauchsspuren, Anmerkungen und andere Randbemerkungen, die im Originalband enthalten sind, finden sich auch in dieser Datei – eine Erinnerung an die lange Reise, die das Buch vom Verleger zu einer Bibliothek und weiter zu Ihnen hinter sich gebracht hat.

Nutzungsrichtlinien

Google ist stolz, mit Bibliotheken in partnerschaftlicher Zusammenarbeit öffentlich zugängliches Material zu digitalisieren und einer breiten Masse zugänglich zu machen. Öffentlich zugängliche Bücher gehören der Öffentlichkeit, und wir sind nur ihre Hüter. Nichtsdestotrotz ist diese Arbeit kostspielig. Um diese Ressource weiterhin zur Verfügung stellen zu können, haben wir Schritte unternommen, um den Missbrauch durch kommerzielle Parteien zu verhindern. Dazu gehören technische Einschränkungen für automatisierte Abfragen.

Wir bitten Sie um Einhaltung folgender Richtlinien:

- + *Nutzung der Dateien zu nichtkommerziellen Zwecken* Wir haben Google Buchsuche für Endanwender konzipiert und möchten, dass Sie diese Dateien nur für persönliche, nichtkommerzielle Zwecke verwenden.
- + *Keine automatisierten Abfragen* Senden Sie keine automatisierten Abfragen irgendwelcher Art an das Google-System. Wenn Sie Recherchen über maschinelle Übersetzung, optische Zeichenerkennung oder andere Bereiche durchführen, in denen der Zugang zu Text in großen Mengen nützlich ist, wenden Sie sich bitte an uns. Wir fördern die Nutzung des öffentlich zugänglichen Materials für diese Zwecke und können Ihnen unter Umständen helfen.
- + *Beibehaltung von Google-Markenelementen* Das "Wasserzeichen" von Google, das Sie in jeder Datei finden, ist wichtig zur Information über dieses Projekt und hilft den Anwendern weiteres Material über Google Buchsuche zu finden. Bitte entfernen Sie das Wasserzeichen nicht.
- + *Bewegen Sie sich innerhalb der Legalität* Unabhängig von Ihrem Verwendungszweck müssen Sie sich Ihrer Verantwortung bewusst sein, sicherzustellen, dass Ihre Nutzung legal ist. Gehen Sie nicht davon aus, dass ein Buch, das nach unserem Dafürhalten für Nutzer in den USA öffentlich zugänglich ist, auch für Nutzer in anderen Ländern öffentlich zugänglich ist. Ob ein Buch noch dem Urheberrecht unterliegt, ist von Land zu Land verschieden. Wir können keine Beratung leisten, ob eine bestimmte Nutzung eines bestimmten Buches gesetzlich zulässig ist. Gehen Sie nicht davon aus, dass das Erscheinen eines Buchs in Google Buchsuche bedeutet, dass es in jeder Form und überall auf der Welt verwendet werden kann. Eine Urheberrechtsverletzung kann schwerwiegende Folgen haben.

Über Google Buchsuche

Das Ziel von Google besteht darin, die weltweiten Informationen zu organisieren und allgemein nutzbar und zugänglich zu machen. Google Buchsuche hilft Lesern dabei, die Bücher dieser Welt zu entdecken, und unterstützt Autoren und Verleger dabei, neue Zielgruppen zu erreichen. Den gesamten Buchtext können Sie im Internet unter <http://books.google.com> durchsuchen.

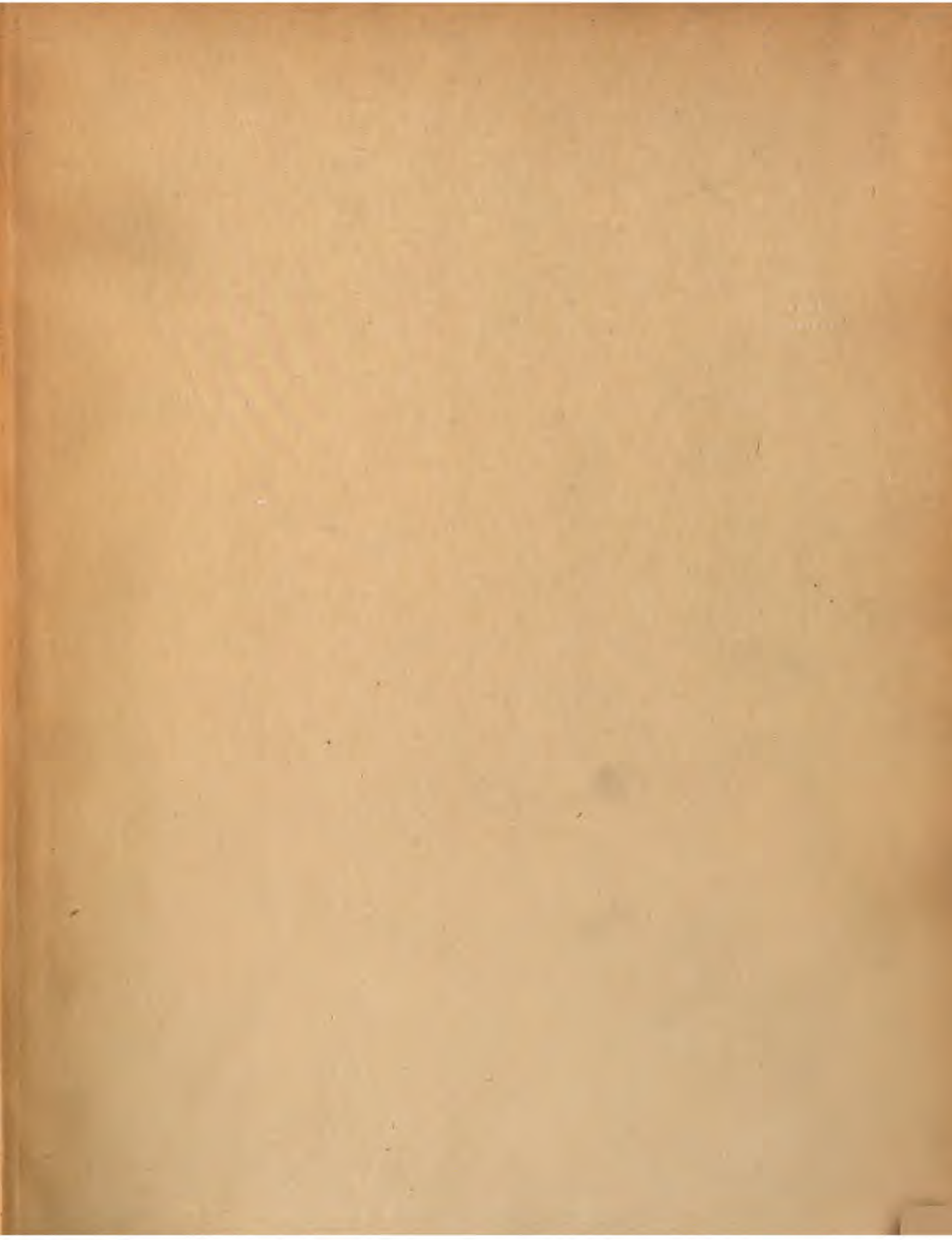
JOURNAL
THIS SERIES HAS BEEN MICROFILMED
FOR PRESERVATION
viewing no. W-22

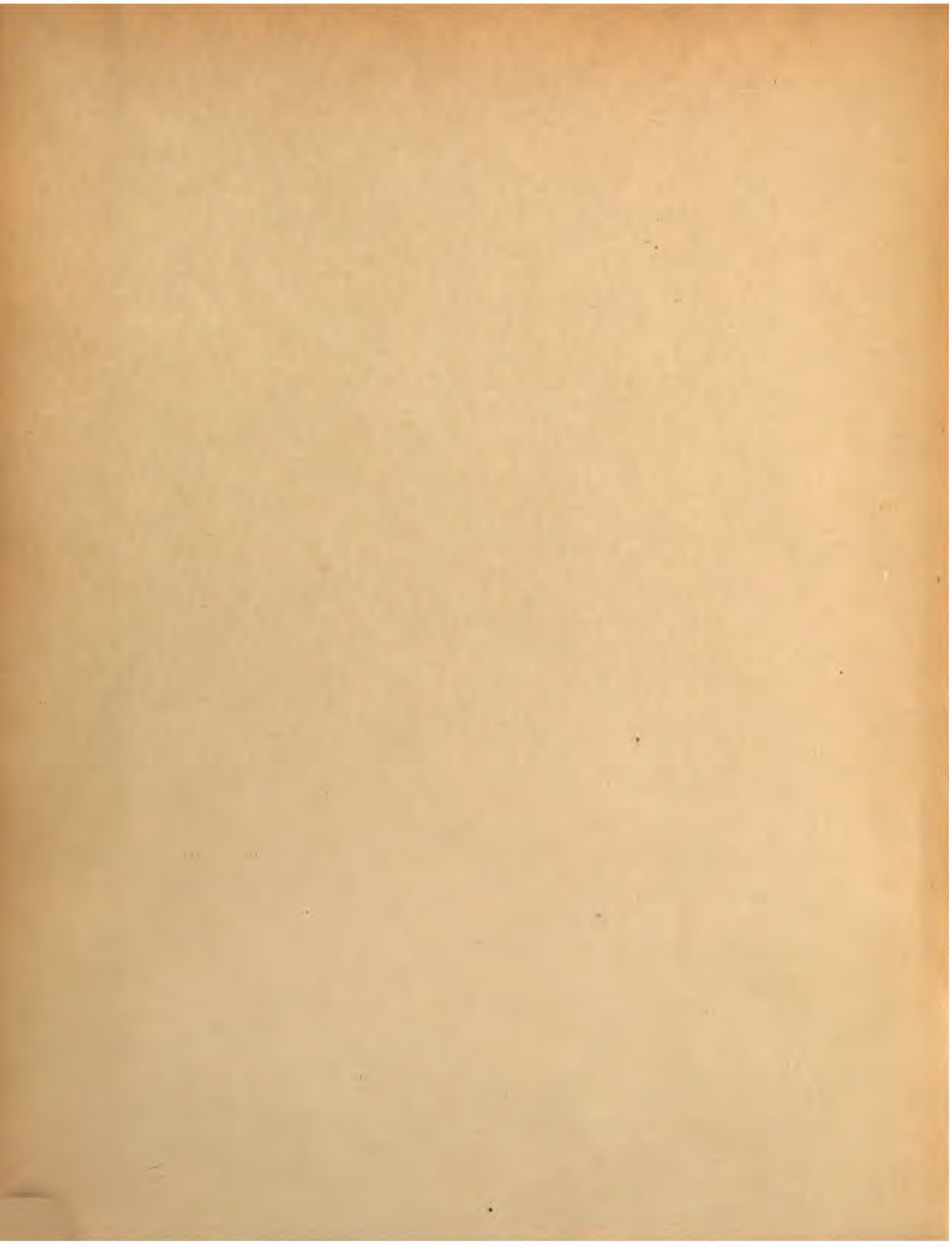
AI 970

AI 970

PHILLIPS LIBRARY
OF
HARVARD COLLEGE OBSERVATORY

Ad
&
91





ack

Astronomische Beobachtungen
auf der
Königlichen Sternwarte zu Königsberg.

Herausgegeben vom Direktor H. Battermann.

Abteilung 43, I.

Die Polhöhe von Königsberg.

Resultate der von H. Struve und F. Rahnenführer in den
Jahren 1899/1900 und 1905/1907 nach der Horrebowmethode
angestellten Beobachtungen

bearbeitet von

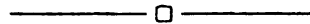
Dr. Friedrich Rahnenführer,

Assistent an der Sternwarte.



Inhalt.

	Seite
1. Einleitung	1
2. Das Instrument und seine Aufstellung	2
3. Teilwert des Horrebow-niveaus	3
4. Untersuchung der Schraubenfehler	4
5. Bestimmung des Schraubenwertes	7
6. Deklinationen der benutzten Sterne	9
7. Die Beobachtungen und ihre erste Reduktion	12
8. Differenz der Kreislagen	16
9. Reduktion auf Gruppenmittel	17
10. Gruppenmittel	19
11. Reduktion der Gruppen aufeinander	23
12. Tagesmittel, Monatsmittel, mittlere Polhöhe	25



27-42
24

Einleitung.

Die Polhöhe von Königsberg war von Bessel zu wiederholten Malen bestimmt worden, zuerst durch die Beobachtungen am Caryschen Kreise, an welche sich die grundlegenden, in den ersten Bänden der „Königsberger Astronomischen Beobachtungen“ niedergelegten Untersuchungen Bessels über Teilfehler u. a. anschließen. Diese Beobachtungen haben kürzlich von H. Struve eine neue Bearbeitung erfahren (*Kgb. Beob. Abt. 40*). Noch genauere Bestimmungen der Polhöhe erlangte Bessel durch die Beobachtungen am Reichenbachschen Kreise (*Kgb. Beob. Abt. 7*). Endlich war die Aufstellung des Repsoldschen Kreises im Jahre 1841 für ihn die Veranlassung, auch an diesem Instrumente die Polhöhe zu bestimmen, wobei er sich der in A.N. 481 beschriebenen Methode, der Verbindung direkter und reflektierter Beobachtungen des Polarsterns in beiden Kulminationen, bediente (*Kgb. Beob. Abt. 27 I*). Den letzteren Weg zur Bestimmung der Polhöhe benutzten auch Busch 1847 (*A. N. 677*) und Rahts 1886/87 an demselben Instrument (*Kgb. Beob. Abt. 38*).

Durch die fortlaufenden und nach verschiedenen Methoden angestellten Beobachtungen war die Polhöhe von Königsberg mit einer für die betreffende Zeit außerordentlich großen Genauigkeit bekannt geworden. Indessen konnten die zuerst Ende der achtziger Jahre mit Sicherheit erkannten Polhöhwenschwankungen Einfluß auf die Resultate der Bestimmungen gehabt haben. Andererseits ließ eine neuere größere Beobachtungsreihe nach einem Zeitraum von 60 Jahren einen Beitrag zur Beantwortung der wiederholt aufgeworfenen Frage einer säkularen Änderung der Polhöhe erwarten. Als daher Ende 1897 die Königsberger Sternwarte in den Besitz eines Bambergischen Passageninstruments mit Horreboweinrichtung gelangte, entschloß sich der damalige Direktor der Sternwarte, Herr Professor H. Struve, mit diesem Instrument eine neue Beobachtungsreihe nach der Horrebowmethode zur Vergleichung mit den früheren Bestimmungen der Polhöhe auszuführen. Wegen beträchtlicher Fehler, die sich bei der ersten sorgfältigen Prüfung des Instruments sowohl am Querniveau, wie auch an der Mikrometerschraube herausgestellt hatten, wurde das Instrument jedoch im Sommer 1898 an die Firma C. Bamberg zur Revision gesandt, welche dasselbe erst im Frühjahr 1899 zurücklieferte.

Nach einigen vorbereitenden Untersuchungen konnte die eigentliche Reihe am 26. Juni 1899 beginnen. Sie erstreckte sich bis zum 7. Juli 1900. Es wurden an 125 Abenden 973 Einzelpolhöhen erhalten. Mit der Reduktion wurde sofort begonnen, doch konnte dieselbe nicht zu Ende geführt werden, da die genauen Deklinationen der benutzten Sterne noch fehlten.

Da Struve infolge seiner Berufung an die Berliner Sternwarte die definitive Bearbeitung seiner Reihe nicht selbst ausführen konnte, übertrug mir Herr Prof. Battermann die Fortführung der Reduktion und eine etwaige Ergänzung der Beobachtungen; Herr Geheimrat Struve stellte mir gütigst seine bisherigen Reduktionen zur Verfügung.

Ich hatte zunächst nur eine Ergänzung der Gruppenanschlüsse II—III und V—VI beabsichtigt, für welche im Frühjahr 1900 wegen ungünstiger Witterung nur eine ungenügende Zahl von Beobachtungsabenden hatte erlangt werden können. Um jedoch die Unveränderlichkeit dieser Anschlüsse zu prüfen, wurde es nötig, auch die übrigen Gruppen noch einmal zu beobachten. So wurde

deun das ganze Programm in der Zeit vom 10. Dezember 1905 bis 6. März 1907 nochmals beobachtet. Der Gruppenanschluß V—VI konnte allerdings wegen der Ungunst der Witterung wiederum nur sehr mangelhaft erhalten werden, dagegen ist der Anschluß II—III mit genügender Schärfe ermittelt. Im übrigen beschränkte ich mich auf die Erlangung einer genügenden Zahl von Anschlüssen, ohne die vollständige Ausnutzung der klaren Abende zu beabsichtigen. Es besteht daher diese Ergänzungsreihe nur aus 51 Abenden mit 518 Einzelbestimmungen. Gleichzeitig mußte eine neue Untersuchung der Instrumentalkonstanten vorgenommen werden, da das Instrument inzwischen als Übungsinstrument zu Zeitbestimmungen benutzt und die Mikrometerschraube dabei vielleicht nicht immer mit der nötigen Sorgfalt behandelt worden war.

Das Instrument und seine Aufstellung.

Das von Bamberg gelieferte Instrument war ein gebrochenes Passageninstrument mit 76 mm Objektivöffnung und 0.91 m Brennweite. Die Beleuchtung geschah durch ein elektrisches Glühlämpchen an dem dem Okular gegenüberliegenden Ende der Achse. Nur bei Störungen dieser Beleuchtung hat Struve ausnahmsweise eine Öllampe benutzt. Das angewandte Okular vergrößerte 120 mal. Diese Vergrößerung war für mein Auge zu stark, da mir der Mikrometerfaden nicht in seiner ganzen Länge scharf erschien; doch wollte ich die Vergrößerung nicht ändern, da Struve immer mit demselben Okular beobachtet hatte. Ich stellte deshalb das Okular so ein, daß etwa die Stellen in $\pm 15^\circ$ Äquatordistanz vom Mittelfaden am schärfsten erschienen, wobei ich an den programmmäßigen Stellen ± 6.6 und $\pm 20^\circ$ noch scharf pointieren konnte. Die mehr als 30° vom Mittelfaden entfernten Einstellungen, welche mitunter bei Versäumnis des Sterndurchgangs noch gemacht wurden, mußte ich allerdings ausschließen, da in dieser Entfernung der Mikrometerfaden stets doppelt erschien. Das feste Fadennetz bestand aus einem Faden in der Bewegungsrichtung der Sterne und 17 Fäden senkrecht dazu, welche in fünf Gruppen derart angeordnet waren, daß die Mittelgruppe aus fünf, die Seitengruppen aus je drei Fäden bestanden. Bei der angewandten Vergrößerung waren jedoch immer nur die drei mittelsten Gruppen im Gesichtsfeld. Das bewegliche Fadennetz bestand aus fünf Fäden, im folgenden a_1, a_2, a_3, b, c genannt. Der Mittelfaden b wurde zu den Einstellungen benutzt, die andern Fäden dienten zur Ermittlung der Schraubenfehler. Außerdem dienten die Fäden a_2 und c , deren Abstände von $b \pm 5^R$ betrugen, zur Schätzung der ganzen Revolutionen, da eine Trommel zur Ablesung der ganzen Umdrehungen fehlte, und da bei der angewandten Vergrößerung auch der Rechen nicht zu sehen war. Das Okular war mit dem Mikrometerschlitten in fester Verbindung, so daß die beweglichen Fäden im Gesichtsfelde fest erschienen. Eine Fokalskala sowie eine Feinverstellung für den Fokus waren nicht vorhanden, so daß bei einer Änderung desselben die zugehörige Änderung des Schraubenwerts nicht direkt berechnet werden konnte, sondern dieser vollständig neu bestimmt werden mußte.

Aufstellung fand das Instrument in dem Gange, welcher den Meridiansaal mit dem Refraktorturm verbindet. Dieser Gang verläuft von Osten nach Westen, hat einen rechteckigen Querschnitt und ist 9.20 m lang, 2.55 m breit und 3.50 m hoch. Die Wände sind massiv, das Dach besteht aus Holz mit einer Verkleidung aus Dachpappe. Der 1.10 m breite Spalt ist durch Blechklappen verschlossen, die nach außen zu öffnen sind. Zum Schutz gegen hereinschlagende Windstöße wurden während der Beobachtung seitliche Holzklappen bis zur Höhe des Objektivs vor den Spalt gezogen. Infolge der massiven Konstruktion des Beobachtungsraumes war es trotz des breiten, tief herabgehenden Spaltes nicht immer möglich, den Temperatenausgleich in der gewünschten Weise herbeizuführen, besonders da bei dem hier sehr unbeständigen Wetter die Klappen häufig erst kurz vor der Beobachtung geöffnet werden konnten. Die Temperaturdifferenz zwischen Beobachtungsraum und Außenluft beträgt daher bisweilen über 3° , häufig über 2° . Es lag daher der Verdacht nahe,

daß diese Temperaturdifferenzen und die dadurch bedingten Refraktionsanomalieen die Quelle systematischer Fehler werden könnten. Als Struve solche bei der vorläufigen Reduktion der Messungen der drei ersten Monate tatsächlich fand, brachte er zur näheren Untersuchung dieses Einflusses anfangs November 1899 oben im Spalt zwei Thermometer an, welche fortan regelmäßig abgelesen wurden.

Der Beobachtungspfeiler war 0.85 m hoch, aus Backsteinen aufgeführt und vom Fußboden isoliert, jedoch nicht verkleidet. Wegen der geringen Höhe — bei Zenitstellung befand sich das Objektiv in einer Höhe von 1.75 m — geschah die Beobachtung im Sitzen, was für die Ruhe beim Beobachten förderlich erschien. Da aber hierbei die Beine des Beobachters stets den unverhüllten Pfeiler berührten, wäre es vielleicht möglich, daß die Körperwärme einen nachteiligen Einfluß auf die Konstanz der Aufstellung und dadurch auf die Güte der Beobachtung gehabt hätte. Vielleicht sind abweichende Angaben der Niveaus vor und nach der Beobachtung mit auf diese Ursache zurückzuführen. Die Fundierung des Instrumentes war gut, da von dem in der Nähe gelegenen Dampfhammer der Uniongießerei eine Einwirkung auf die Beobachtungen nicht mit Sicherheit konstatiert werden konnte. Struve hat bei den Beobachtungen häufig die Tätigkeit des Dampfhammers verzeichnet, jedoch nur in wenigen Fällen ein leises Zittern des Sterns wahrzunehmen geglaubt. Ich habe bei meinen Beobachtungen ein solches nicht feststellen können.

Da die Aufstellungsfehler des Instrumentes nur mit verschwindendem Betrage in die Beobachtungen eingehen, wurden Aufstellungsbestimmungen nur gelegentlich gemacht. Kollimationsfehler und Neigung blieben stets unter $15''$, das Azimut stieg nur bis auf $30''$, so daß der Einfluß dieser Fehler auf die Polhöhe zu vernachlässigen ist.

Erinnern möchte ich bei dieser Gelegenheit jedoch allgemein an einen indirekten Einfluß, den eine Neigung der Achsenlager unter Umständen haben kann. Ist nämlich das Horreowniveau nicht genau senkrecht zur Achse befestigt, sondern bildet die nach Norden gerichtete Mittellinie der Libelle den Winkel $90^\circ + A$ im Sinne der Zählung der Azimute mit der nach Westen gerichteten Seite der Achse, so hat eine Erhebung des Westendes der Achse um den Winkel i den Einfluß, daß die Polhöhe um $-i \cdot \sin A$ falsch erhalten wird; A ist dann bei richtiger Aufstellung des Instrumentes das Azimut der Mittellinie der Libelle. Dieser Fehler hat in beiden Lagen des Instrumentes gleichen Einfluß. Da es gewöhnlich an einer Kontrolle für A fehlt, wäre es leicht möglich, daß dieser Winkel den Betrag von 1° erreichen könnte; beträgt dann die Neigung $10''$, so wird die Polhöhe um 0.17 falsch erhalten.

Um näherungsweise den Betrag von A an diesem Instrument feststellen zu können, habe ich nach Schluß der ganzen Reihe bei festgeklemmtem Horreowniveau und festgestelltem Fernrohr die Neigung der Horizontalachse geändert, einen Einfluß auf die Niveaustellung aber nicht bemerken können. Dieser Bestimmung steht allerdings die Trägheit der Blase hindernd im Wege; es ist auch wenig wahrscheinlich, daß A immer unverändert geblieben sein sollte, vor allem, da der Parallelismus der Libellen in vertikaler Richtung häufig korrigiert werden mußte.

Teilwert des Horreowniveaus.

Die Teilwertbestimmungen wurden nur am Instrument selbst gemacht, um Spannungsänderungen zu vermeiden. Struve benutzte als feste Marke das Fadenkreuz eines als Kollimator aufgestellten Theodolithen, indem er bei festgeklemmtem Niveau die Differenz der Mikrometerablesungen bei veränderten Zenitdistanzen des Fernrohrs mit den gleichzeitigen Änderungen der Niveaus verglich. Da mir das Bild des Fadenkreuzes zu wenig scharf erschien, benutzte ich bei der erneuten Untersuchung zunächst Polsterne und dann ein als Hilfskollimator aufgestelltes Fernrohr, bei welchem das Fadenkreuz durch eine durchlöchernte Stanniolplatte ersetzt wurde, deren Löcher wie Sternbildchen

erschienen und eine sehr scharfe Pointierung ermöglichten. Die Mikrometerablesungen wurden stets wegen periodischer Fehler korrigiert. Es wurden auf diese Weise die folgenden Teilwertbestimmungen erhalten:

		Therm.	Niv. I Gew.	Niv. II Gew.			Therm.	Niv. I Gew.	Niv. II Gew.
		⁰	^R	^R			⁰	^R	^R
1899	Mai 23	+ 11.5	0.0184 2	0.0194 2	1899	Juni 29	+ 19.9	0.0169 1	0.0180 1
	30	+ 11.5	0.0178 2	0.0193 2		Juli 1	+ 23.0	0.0170 1	0.0174 1
	Juni 3	+ 15.9	0.0183 2	0.0193 2		11	+ 23.5	0.0190 1	0.0205 1
	5	+ 15.1	[0.0172] 0	[0.0158] 0		12	+ 24.5	0.0184 1	0.0195 1
	5	+ 14.7	0.0174 2	0.0187 2		12	+ 24.5	0.0173 1	0.0185 1
	8	+ 11.5	0.0176 1	0.0187 1		13	+ 23.0	0.0182 1	0.0196 1
	20	+ 14.5	0.0167 1	0.0187 1		Aug. 1	+ 19.8	0.0179 1	0.0190 1
	Sept. 21	+ 12.0	0.0168 2	0.0185 2					
	Mittel	+ 13.1	0.01765 12	0.01898 12		Mittel	+ 22.8	0.01781 7	0.01893 7
		⁰	^R	^R			⁰	^R	^R
1900	Jan. 14	- 10.3	0.0170 1.5	0.0177 1.5	1906	Nov. 15	+ 0.2	0.0173 1	0.0191 1
	Feb. 8	- 5.4	0.0174 1.5	0.0184 1.5		Dez. 8	- 2.1	0.0172 1	0.0192 1
	16	- 9.4	0.0190 1.5	0.0197 1.5	1907	Juni 9	+ 16.6	0.0169 4	0.0180 4
	Mittel	- 8.4	0.01780 4.5	0.01860 4.5		Mittel	+ 10.8	0.0170 6	0.0184 6

Die eingeklammerte Beobachtung 1899 Juni 5 wurde ausgeschlossen, da bei dieser die seitlichen Korrektionsschrauben von Niv. II absichtlich sehr fest angezogen waren, was augenscheinlich eine starke Veränderung des Teilwertes zur Folge hatte. Bei den übrigen Bestimmungen wie bei den Polhöhenbeobachtungen wurden diese Schrauben stets locker gehalten.

Ein Temperaturfaktor ist bei Niv. I nicht ersichtlich, bei Niv. II könnte er den Betrag von $+0.00001$ erreichen; da jedoch während der Beobachtungen darauf gesehen wurde, die Neigungsdifferenzen selbst und auch die algebraische Summe ihrer Beträge im Laufe einer Gruppe möglichst klein zu halten, ist auf die Temperatur nicht weiter Rücksicht genommen, indem der Einfluß einer fehlerhaften Teilwertbestimmung immer nur den Charakter eines zufälligen Fehlers hätte. Zur Reduktion verwandt sind die Werte:

	1899/1900	1905/07
Niv. I	$\overset{P}{1} = \overset{R}{0.01773}$	$\overset{P}{1} = \overset{R}{0.01700}$
Niv. II	$\overset{P}{1} = \overset{R}{0.01877}$	$\overset{P}{1} = \overset{R}{0.01843}$

Untersuchung der Schraubenfehler.

Eine Untersuchung der Mikrometerschraube wurde dreimal ausgeführt, die ersten beiden Male 1897 und 1899 von Herrn Prof. F. Cohn mit Hilfe der Teilmaschine des physikalischen Instituts, zu welchem Zweck das Mikrometer abgenommen und auf der Teilmaschine befestigt wurde. Die dritte Untersuchung wurde von mir am Instrumente selbst ausgeführt. Die Prüfung der Schraubenfehler geschah in der bekannten Weise, daß ein festes Intervall von verschiedenen Stellungen der Schraube aus gemessen wurde. Zur Bestimmung der periodischen Fehler wurden die oben erwähnten Fäden a_1, a_2, a_3 benutzt, deren Entfernungen $a_1 a_3 = 1.24$, $a_2 a_3 = 0.53$, von jedem Zehntel der Schraubenumdrehung ausgehend, mit der Mikrometerschraube gemessen wurden. Auf jeden Faden fanden vier Einstellungen statt, und das Endresultat beruhte auf der Durchmessung von sechs Revolutionen. Nur bei drei Revolutionen ist die volle Umdrehung angegeben, daher geht nicht mit Sicherheit hervor, welche Stellen der Schraube untersucht sind. Indessen schien aus dem Material kein zu verbürgender Unterschied zwischen den einzelnen Schraubengängen hervorzugehen, denn die

Koeffizienten wurden von Cohn schließlich für alle Revolutionen gemittelt und demgemäß als Korrektur einer Schraubenablesung wegen periodischer Fehler der Ausdruck:

$$f(u) = +0.00232 \cos u - 0.00031 \sin u + 0.00074 \cos 2u + 0.00011 \sin 2u$$

angegeben.

Zur Bestimmung der fortschreitenden Fehler diente das nahe fünf Revolutionen betragende Intervall bc , das, von jeder vollen Revolution angefangen, sechsmal durch den ganzen bei den Beobachtungen benutzten Teil der Schraube gemessen wurde, wobei jede Zahl wieder auf dem Mittel von vier Einstellungen beruht. Die Einstellungen wurden wegen periodischer Fehler korrigiert. Aus den Resultaten wurde für die Korrektur wegen fortschreitender Fehler folgender Ausdruck abgeleitet, in dem R die Ablesung bezeichnet:

$$F(R) = +0.00742 \left(\frac{R-10}{10}\right)^2 + 0.00034 \left(\frac{R-10}{10}\right)^3 + 0.00120 \left(\frac{R-10}{10}\right)^4.$$

Nach dieser ersten Bestimmung der Schraubenfehler wurde das Mikrometer behufs Beseitigung derselben an die Firma C. Bamberg zurückgeschickt. Nach seiner Rückkehr wurde es von Prof. F. Cohn wieder in derselben Weise untersucht. Es ergab sich jetzt für die Korrektur wegen periodischer Fehler:

$$f(u) = +0.00218 \cos u - 0.00039 \sin u + 0.00041 \cos 2u + 0.00019 \sin 2u$$

und für die Korrektur wegen fortschreitender Fehler:

$$F(R) = +0.0018 \left(\frac{R-10}{10}\right)^2 + 0.0037 \left(\frac{R-10}{10}\right)^4.$$

Die fortschreitenden Fehler sind demnach in der Mitte — Ablesung 10.0 — vielleicht etwas kleiner geworden, die periodischen Fehler zeigen jedoch gar keine Änderung, so daß zu vermuten ist, daß der Verfertiger bezüglich der periodischen Fehler nichts, vielleicht sogar überhaupt nichts an der Schraube geändert hat.

Deshalb hatte Struve bei der ersten Reduktion der Beobachtungen die alten Korrektortabellen für Schraubenfehler beibehalten; doch um dem Einwand vorzubeugen, es könne wohl die Schraube geändert und die periodischen Fehler nur infolge der fehlerhaften Lagerung der Schraube dieselben geblieben sein, habe ich die erste Rechnung nur als Kontrolle benutzt und bei der zweiten Rechnung die neuen Korrekturen angenommen. Diese wurden den folgenden Gebrauchstabellen entnommen:

Korrektur für periodische Fehler (in 0.0001).

Ables.	Korr.	Ables.	Korr.	Ables.	Korr.	Ables.	Korr.	Ables.	Korr.
R		R		R		R		R	
.00	+ 26	.20	+ 1	.40	- 20	.60	- 12	.80	+ 6
.04	+ 25	.24	- 6	.44	- 20	.64	- 10	.84	+ 12
.08	+ 21	.28	- 12	.48	- 19	.68	- 7	.88	+ 17
.12	+ 16	.32	- 16	.52	- 17	.72	- 3	.92	+ 21
.16	+ 9	.36	- 19	.56	- 15	.76	+ 1	.96	+ 25
.20	+ 1	.40	- 20	.60	- 12	.80	+ 6	.00	+ 26

Korrektur für fortschreitende Fehler.

Ables.	Korr.	Ables.	Korr.	Ables.	Korr.	Ables.	Korr.	Ables.	Korr.
R	R	R	R	R	R	R	R	R	R
98.0	+ .0104	3.0	+ .0018	8.0	+ .0001	13.0	+ .0002	18.0	+ .0027
99.0	+ .0077	4.0	+ .0011	9.0	.0000	14.0	+ .0004	19.0	+ .0040
0.0	+ .0056	5.0	+ .0006	10.0	.0000	15.0	+ .0006	20.0	+ .0056
1.0	+ .0040	6.0	+ .0004	11.0	.0000	16.0	+ .0011	21.0	+ .0077
2.0	+ .0027	7.0	+ .0002	12.0	+ .0001	17.0	+ .0018	22.0	+ .0104

Für meine Beobachtungsreihe bestimmte ich die Schraubenfehler am Instrument selbst, indem ich als feste Marke den vorher erwähnten Hilfskollimator anwandte. Für die periodischen Fehler wurden wieder die drei beweglichen Fäden a_1, a_2, a_3 benutzt, mit denen auf ein Löchlein des Kollimators pointiert wurde. Da immer in der Reihenfolge $a_1, a_2, a_3; a_3, a_2, a_1$, jeder Faden je zweimal, pointiert wurde und ein Unterschied zwischen der ersten und zweiten Hälfte sich nicht zeigte, dürfte der Kollimator als Marke fest genug aufgestellt gewesen sein. In dieser Weise wurden die Revolutionen 99.0 bis 1.0, 4.0 bis 7.0, 9.0 bis 12.0, 14.0 bis 16.0, 19.0 bis 20.0, jede Revolution einmal vorwärts und rückwärts, durchmessen. Jede zur Berechnung verwandte Zahl ist also das Mittel aus acht Einstellungen. Für die Berechnung wurden sämtliche Intervalle, $a_1 a_2, a_1 a_3, a_2 a_3$, verwandt, weil dadurch jede Einstellung gleichmäßig behandelt wird. Die Koeffizienten für ein und dieselbe Schraubenrevolution wurden nach der Methode der kleinsten Quadrate ausgeglichen; sie ergaben sich folgendermaßen:

R	$f(u) =$	R	$\cos u$	R	$\sin u$	R	$\cos 2u$	R	$\sin 2u$
99		-0.00025		+0.00008		-0.00039		+0.00026	
0	+	.00003	+	.00069	-	.00007	+	.00032	
4	-	.00005	+	.00057	+	.00009	+	.00011	
5	+	.00075	+	.00089	-	.00017	-	.00017	
6	+	.00095	+	.00130	-	.00008	-	.00035	
9	+	.00118	+	.00085	+	.00018	+	.00054	
10	+	.00146	+	.00118	+	.00003	+	.00001	
11	+	.00161	+	.00178	-	.00028	-	.00000	
14	+	.00168	+	.00139	+	.00026	-	.00047	
15	+	.00176	+	.00160	+	.00014	-	.00008	
19	+	.00134	+	.00208	+	.00038	-	.00025	

Die Koeffizienten für die verschiedenen Revolutionen wurden graphisch ausgeglichen; mit den ausgeglichenen Werten ist die folgende Tabelle gerechnet:

Korrektion für periodische Fehler (in 0.0001).

Abl.	R .00	R .05	R .10	R .15	R .20	R .25	R .30	R .35	R .40	R .45	R .50	R .55	R .60	R .65	R .70	R .75	R .80	R .85	R .90	R .95	R .00
R																					
98	-5	-1	+2	+4	+6	+6	+5	+3	+1	0	0	+1	+1	+1	0	-2	-4	-6	-7	-6	-4
0	-2	+2	+5	+7	+8	+7	+5	+3	+1	0	-1	-1	-1	-1	-2	-4	-5	-6	-7	-4	-1
2	0	+3	+6	+8	+9	+8	+6	+4	+1	-1	-3	-3	-4	-4	-5	-6	-6	-6	-5	-2	+2
4	+3	+6	+8	+9	+9	+8	+7	+5	+2	-1	-5	-7	-8	-9	-9	-8	-6	-4	-2	+1	+5
6	+7	+9	+10	+10	+10	+9	+8	+5	+1	-4	-8	-11	-14	-13	-12	-9	-5	-2	+2	+5	+9
8	+11	+13	+15	+14	+13	+10	+7	+3	-1	-6	-10	-13	-16	-15	-14	-11	-7	-2	+3	+8	+13
10	+15	+18	+20	+18	+16	+11	+6	+1	-5	-9	-13	-15	-17	-17	-16	-13	-9	-3	+3	+10	+16
12	+17	+20	+22	+20	+17	+12	+7	+1	-5	-10	-15	-18	-20	-20	-19	-15	-10	-3	+5	+12	+18
14	+19	+21	+22	+20	+17	+13	+9	+3	-3	-9	-15	-20	-24	-23	-22	-16	-10	-2	+7	+13	+20
16	+20	+21	+22	+20	+17	+14	+10	+5	-1	-8	-15	-21	-26	-26	-25	-18	-10	-1	+8	+13	+19
18	+19	+21	+22	+20	+18	+15	+12	+7	+2	-6	-13	-20	-26	-26	-26	-20	-13	-4	+6	+12	+18
20	+18	+20	+22	+21	+19	+16	+12	+8	+3	-4	-11	-18	-24	-26	-27	-22	-16	-7	+3	+10	+17
22	+16	+20	+23	+22	+20	+17	+13	+9	+4	-2	-9	-16	-22	-25	-27	-23	-19	-10	-1	+7	+16

Die fortschreitenden Fehler bestimmte ich in einer von der früheren etwas abweichenden Weise. Weil nämlich in die Beobachtungen die fortschreitenden Fehler vermischt mit der Bildverzeichnung des Objektivs eingehen, suchte ich eine Methode, die beides zusammen liefert. Das Gewünschte erhielt ich dadurch, daß ich die etwa 10^R betragende Entfernung zweier künstlicher Sterne, welche der Hilfskollimator bot, mit ein und demselben Mikrometerfaden maß, also ein Verfahren anwandte, das der Horrebowbeobachtung ganz analog ist. Eine Distorsion des Okulars kommt dabei nicht in Betracht, weil dieses fest zur beweglichen Fadenplatte ist. Auf die beschriebene Weise durchmaß ich die ganze Schraube von 2 zu 2 Revolutionen je einmal vorwärts und rückwärts, wobei ich jedoch, um die Hauptglieder der periodischen Fehler zu vermeiden, jedesmal von zwei um 0.5^R entfernten Stellen ausging. Daß sich während der Beobachtung die Entfernung der beiden

künstlichen Sterne nicht änderte, wurde dadurch kontrolliert, daß ich nach Durchmessung der Schraube wieder auf den Ausgangspunkt zurückging und an dieser Stelle nochmals die Entfernung der beiden Sterne maß. Es ergab sich keine Verschiedenheit von dem Ausgangswerte. Pointiert wurde immer in der Weise: *1, *2, *2, *1 je zweimal; es beruht also jede zur Berechnung verwandte Zahl auf dem Mittel aus 16 Einstellungen. Die Beobachtungen ließen sich durch folgenden Ausdruck darstellen, in welchem R die Mitte des Intervalls bezeichnet:

$$*2 - *1 = 10.0204 - 0.03147 \frac{R-10}{10} + 0.01663 \left(\frac{R-10}{10}\right)^2 + 0.00086 \left(\frac{R-10}{10}\right)^3 - 0.01054 \left(\frac{R-10}{10}\right)^4;$$

demselben entspricht folgende Korrektonsformel:

$$F(R) = +0.01584 \left(\frac{R-10}{10}\right)^2 - 0.00730 \left(\frac{R-10}{10}\right)^3 - 0.00021 \left(\frac{R-10}{10}\right)^4 + 0.00211 \left(\frac{R-10}{10}\right)^5.$$

Der ganzen Herleitung gemäß ist dieser Ausdruck mit dem von Cohn erhaltenen nicht direkt zu vergleichen; doch macht es die geringe Übereinstimmung zwischen Cohn und mir bei den periodischen Fehlern wahrscheinlich, daß die Schraube in der Zwischenzeit tatsächlich Änderungen unterworfen gewesen ist, vielleicht eine Verbiegung der Schraubenachse erlitten hat, wofür ich oben schon einen Grund in der unzarten Behandlung bei den Übungen angeführt habe. Ich habe daher meinen Polhöhenbestimmungen auch nur die von mir erhaltenen Korrekturen zu Grunde gelegt. Für die Korrektur wegen fortschreitender Fehler wurde aus dem obigen Ausdruck die folgende Tabelle gerechnet, welche, ebenso wie die für die periodischen Fehler oben gegebene, beim Gebrauch noch enger interpoliert wurde:

Korrektion für fortschreitende Fehler.

Ables.	Korr.	Ables.	Korr.	Ables.	Korr.	Ables.	Korr.	Ables.	Korr.
R	R	R	R	R	R	R	R	R	R
98.0	+0.0297	3.0	+0.0099	8.0	+0.0007	13.0	+0.0012	18.0	+0.0070
99.0	+0.0252	4.0	+0.0071	9.0	+0.0002	14.0	+0.0021	19.0	+0.0086
0.0	+0.0208	5.0	+0.0048	10.0	.0000	15.0	+0.0031	20.0	+0.0104
1.0	+0.0168	6.0	+0.0030	11.0	+0.0002	16.0	+0.0043	21.0	+0.0126
2.0	+0.0131	7.0	+0.0016	12.0	+0.0006	17.0	+0.0056	22.0	+0.0150

Erwähnt werden mag noch, daß bei den Polhöhenbestimmungen die Glieder mit den geraden Potenzen von $R-10$ wie zufällige Fehler eingehen, daß dagegen die Glieder mit den ungeraden Potenzen im wesentlichen konstante Fehler ergeben.

Bei den Bestimmungen der fortschreitenden Fehler von Cohn und mir ist also der Schraubenwert streng definiert als der Winkelwert einer vollständigen Umdrehung in der unmittelbaren Umgebung der Stelle $10^R 0$.

Bestimmung des Schraubenwertes.

Den Schraubenwert hatte Struve aus Durchgängen von Polsternen durchs feste und bewegliche Fadennetz bestimmt. Diese Bestimmungen habe ich jedoch bei der Reduktion nicht angewandt, weil kurz vor der eigentlichen Beobachtungsreihe durch einen Stoß gegen das Okular der Fokus verstellt wurde und wieder neu eingestellt werden mußte. Da, wie oben erwähnt, Fokalskala und Feinverstellung für den Fokus fehlt, mußte die Einstellung aus freier Hand erfolgen, wobei der frühere Stand nicht genau verbürgt werden kann. Nun entspricht aber bei der Brennweite 0.91 m des Fernrohrs einer Änderung des Fokus um 0.1 mm eine Änderung des Schraubenwertes von 0.007. Ich habe daher zur Berechnung des Schraubenwertes nur die während der Horrebrowsebeobachtungen erfolgten Ausmessungen von drei Battermannschen Skalenpaaren sowie einige Bestimmungen verwandt, die sich mir zufällig darbieten. Es wurde nämlich in Gruppe VII bis IX bisweilen ein

Südstern mit zwei Nordsternen verbunden. In diesem Falle wurde von mir immer nur der bezüglich seiner Zenitdistanz günstigste Stern zur Bestimmung der Polhöhe benutzt und aus der Differenz der beiden Nordsterne der Schraubenwert hergeleitet. Auf diese Weise kamen noch vier Paare hinzu, so daß der zur Reduktion angewandte Wert auf sieben Deklinationsdifferenzen beruht, die 6- bis 23 mal, während der Ergänzungsreihe 7- bis 14 mal gemessen wurden. Die Deklinationen wurden von Herrn Prof. Battermann in Berlin und Herrn Prof. Mönnichmeyer in Bonn am Meridiankreis bestimmt; ihre scheinbaren Differenzen für die mittleren Beobachtungsepochen nebst den zugehörigen Schraubendifferenzen sind im folgenden zusammengestellt:

Paar	Reihe I (Struve).					Reihe II (Rahmenführer).			
	$\Delta\delta_B$	$\Delta\delta_M$	ΔR	Gew.		$\Delta\delta_B$	$\Delta\delta_M$	ΔR	Gew.
VII 5	152.07	151.78	2.5871	1.34		149.67	149.38	2.5367	0.70
VIII 3	936.43	936.54	15.9374	1.34		934.11	934.22	15.8968	0.94
IX 3	218.70	218.61	3.7216	1.34		219.20	219.11	3.7323	0.92
IX 6	999.08	999.40	17.0009	1.33		999.05	999.37	16.9865	0.86
Bm ₁ 1626, 1628	685.16	685.25	11.6594	1.19		685.43	685.52	11.6565	0.89
„ 1630, 1633	1156.26	1156.62	19.6845	1.19		1156.39	1156.74	19.6716	0.92
„ 1636, 1639	986.87	987.19	16.8056	1.12		986.88	987.20	16.7927	0.79

Eine Ausgleichung ergibt für Struve:

$$\begin{aligned}\Delta\delta \text{ nach Batt.:} & \quad 1 \text{ Rev.} = 58.7628 \pm 0.0067 \text{ m. F.} \\ \Delta\delta \text{ „ Mönn.:} & \quad 1 \text{ Rev.} = 58.7488 \pm 0.0067 \text{ m. F.}\end{aligned}$$

und für Rahmenführer:

$$\begin{aligned}\Delta\delta \text{ nach Batt.:} & \quad 1 \text{ Rev.} = 58.7850 \pm 0.0098 \text{ m. F.} \\ \Delta\delta \text{ „ Mönn.:} & \quad 1 \text{ Rev.} = 58.7992 \pm 0.0100 \text{ m. F.}\end{aligned}$$

Da die mittleren Fehler bei Annahme der Deklinationen nach Battermann und Mönnichmeyer vollständig gleich sind, wurden die Deklinationsbestimmungen als gleichwertig angesehen und für die Reduktion der Polhöhen die folgenden Werte angewandt:

$$\begin{aligned}\text{Reihe I } 1899/1900 & \quad \frac{1}{2} \text{ Rev.} = 29.378 \\ \text{Reihe II } 1905/1907 & \quad \frac{1}{2} \text{ Rev.} = 29.395.\end{aligned}$$

Die Verschiedenheit der beiden Werte erklärt sich daraus, daß der Okularteil zwischen den beiden Reihen abgenommen worden war und eine neue Fokussierung erfolgen mußte, sowie durch die Verschiedenheit der Annahme über fortschreitende Fehler. Ein diesen entsprechendes, $(R-10)^2$ oder $(R-10)^3$ proportionales Glied in die Ausgleichungen einzuführen, war wegen der geringen Zahl der Sternpaare nicht angebracht.

Die Beobachtungen fielen in die Zeit von Juni bis Dezember, hätten also vielleicht einen Temperaturkoeffizienten ergeben können, doch wäre dessen Sicherheit wieder dadurch beeinträchtigt worden, daß die ersten Sternpaare gerade in der warmen, die letzten in der kalten Jahreszeit beobachtet wurden; ein Fehler der Deklinationen wäre also bei der geringen Zahl der Paare von dem Temperaturkoeffizienten schwer zu trennen gewesen. Eine etwaige Abhängigkeit von der Temperatur beabsichtigte ich während der Ergänzungsreihe aus Polsterndurchgängen durchs feste Fadennetz zu ermitteln. Die Ausdehnung des festen Fadennetzes schien jedoch nicht gleichförmig zu sein, da der Temperaturkoeffizient sich auf der einen Seite vom Mittelfaden positiv, auf der andern negativ ergab. Da nun das Fadennetz nicht jedesmal ausgemessen wurde, mußte von einer solchen Bestimmung Abstand genommen werden; es wurden daher die Polhöhen mit konstantem Revolutionswert reduziert. Bei der Unsicherheit jedoch, mit der dieser auf nur sieben Sternpaaren beruhende Wert behaftet ist, wird man von einer Korrektur des Schraubenwertes aus den Reduktionen auf Gruppenmittel nach scharfer Bestimmung der Deklinationen nicht absehen können.

Deklinationen der benutzten Sterne.

Die Deklinationen für die Polhöhenbestimmungen beruhen ausschließlich auf den Meridianbeobachtungen in Berlin von Prof. Battermann und in Bonn von Prof. Mönnichmeyer; für letztere vgl. Mönnichmeyers Veröffentlichung (*Astr. Nachr.* 4111). Die Beobachtungen in Berlin sind noch nicht veröffentlicht, doch hat Herr Prof. Battermann dieselben samt den von ihm abgeleiteten Eigenbewegungen mir zum Zweck dieser Arbeit mitgeteilt. Beide Beobachter haben möglichst Anschluß an Auwers' neuen Fundamentalkatalog gesucht, doch wurde in Berlin, der Mitteilung Battermanns zufolge, der Anschluß in weiteren Grenzen gehalten, indem die Anhaltsterne nicht nur über die Deklinationen der Anschlußsterne, sondern auch weiterhin verteilt waren. In Berlin wurden die Sterne mindestens zweimal, in Bonn vier- bis fünfmal beobachtet. Aus der inneren Übereinstimmung ergab sich der mittlere Fehler einer Beobachtung in Berlin zu ± 0.25 und in Bonn zu ± 0.43 . Doch zeigen sich zwischen den beiden Reihen systematische Unterschiede, welche sowohl von der Rektaszension als auch von der Deklination abhängen. Es läßt sich jedoch von vornherein nicht sagen, welche der beiden Reihen besonders von Fehlern beeinflusst ist. Ich habe also zunächst die Resultate der Berliner und Bonner Beobachtungen unter Annahme gleicher Gewichte zum Mittel vereinigt.

Im folgenden habe ich die genäherten Rektaszensionen und die Battermannschen Deklinationen für Epoche und Äquinoktium 1905.0 nebst den von Battermann beobachteten Größen¹⁾, den Präzessionen nach Newcomb und den jährlichen Eigenbewegungen nach Battermann zusammengestellt. Die Variatio saecularis enthält das von der E.B. abhängige Glied. Zum Vergleich stehen daneben unter M—B die Abweichungen der Mönnichmeyerschen Deklinationen für Epoche 1905.0. Die Sterne mit eingeklammerten Namen sind nur zur Herleitung des Schraubenwertes benutzt worden.

Deklinationen der Polhöhensterne für Epoche und Äquinoktium 1905.0.

Paar	Stern	Größe	AR. 1905	Decl. 1905.0		Pracc. 1905	Var. saec.	E. B.
				Batt.	M—B			
I	1 ζ Cassiopejae	3.8	0 ^h 31 ^m 40 ^s	53° 22' 26.61"	+ 0.12"	+ 19.885	— 0.075	— 0.007
	" "	1.6	35 7	56 0 59.11	0.00	19.812	— 0.084	— 0.029
	2 Hels 697	6.4	45 35	61 17 18.18	— 0.07	19.651	— 0.111	0.000
	Bo 735	6.8	49 41	48 9 49.29	— 0.27	19.577	— 0.115	— 0.008
	3 Hels 874	5.6	57 46	60 33 52.28	— 0.50	19.413	— 0.141	+ 0.014
	Bo 911	7.1	1 1 40	49 2 51.36	— 0.24	19.325	— 0.143	+ 0.001
	4 ξ Andromedae	5.0	16 44	45 1 52.06	— 0.05	18.933	— 0.176	+ 0.004
	Hels 1249	6.8	23 15	64 40 46.24	— 0.47	18.738	— 0.219	+ 0.051
	5 Cbr M. 707	6.4	29 26	52 51 32.59	+ 0.22	18.540	— 0.215	— 0.005
	Hels 1531	6.2	38 31	56 36 40.84	— 0.11	18.223	— 0.246	— 0.008
	6 ω Cassiopejae	5.0	48 36	68 13 8.40	— 0.38	17.837	— 0.313	— 0.001
	Bo 1662	7.0	52 10	41 13 51.74	— 0.28	17.693	— 0.256	— 0.013
II	1 α Persei	5.6	3 49 32	50 25 14.08	— 0.05	+ 10.805	— 0.551	— 0.128
	Hels 3339	5.0	56 32	58 53 31.01	+ 0.18	10.285	— 0.626	+ 0.005
	2 Hels 3389	6.0	4 1 25	59 39 16.49	+ 0.10	9.917	— 0.645	— 0.003
	Bo 3528	5.6	12 5	49 49 3.43	— 0.26	9.094	— 0.588	— 0.052
	3 Bo 3580	6.2	16 59	42 12 21.27	— 0.36	8.710	— 0.551	— 0.031
	Chri 737	7.0	23 32	67 25 33.58	+ 0.10	8.190	— 0.804	— 0.007
	4 3 Camelop.	5.0	32 25	52 53 26.64	— 0.16	7.475	— 0.640	— 0.013
	4 "	5.5	40 5	56 35 20.18	— 0.20	6.849	— 0.687	— 0.146
	5 Bo 3880	6.0	44 1	48 31 38.30	— 0.56	6.526	— 0.623	— 0.042
	Hels 3831	6.5	53 3	60 56 23.65	— 0.22	5.773	— 0.753	— 0.175
	6 Bo 4097	6.6	58 24	46 47 1.98	+ 0.09	5.323	— 0.627	+ 0.004
	14 Camelop.	6.8	5 4 41	62 34 28.76	— 0.21	4.792	— 0.790	+ 0.009

¹⁾ Obwohl Battermann seine Größenschätzungen nicht für zuverlässig hält, habe ich sie hier angegeben, weil ich sie im folgenden zur Berechnung der Helligkeitsgleichung verwandt habe.

Paar	Stern	Größe	AR. 1905	Decl. 1905.0		Praec.	Var. saec.	E. B.	
				Batt.	M—B				
1905									
III	1	ψ^8 Aurigae	6.6	6 ^h 46 ^m 43 ^s	38° 33' 25.25"	+ 0.24	— 4.058	— 0.587	— 0.182
		Grb 1245	6.5	55 7	70 52 12.26	+ 0.02	4.775	— 0.965	— 0.007
	2	18 Lyncis	5.6	7 7 38	59 48 26.27	— 0.24	5.829	— 0.730	— 0.258
		Bo 5869	4.9	11 19	49 38 4.40	+ 0.06	6.138	— 0.631	0.000
	3	Chri 1191	7.2	22 5	66 19 49.28	+ 0.03	7.027	— 0.806	— 0.019
		Bo 6076	7.0	29 15	43 14 25.22	— 0.06	7.611	— 0.568	— 0.050
	4	Hels 5177	6.5	34 12	54 59 6.39	+ 0.04	8.009	— 0.641	— 0.004
		Cbr M. 2962	5.8	43 37	54 21 59.58	+ 0.22	8.757	— 0.618	+ 0.049
	5	Hels 5343	6.3	54 52	57 32 13.77	— 0.35	9.632	— 0.623	— 0.059
		27 Lyncis	4.4	8 1 19	51 46 51.36	— 0.19	10.123	— 0.565	— 0.005
	6	Hels 5472	6.5	11 8	54 51 27.98	— 0.61	10.854	— 0.568	— 0.022
		Cbr M. 3158	6.5	23 21	54 26 9.05	— 0.30	11.737	— 0.536	+ 0.006
IV	1	Hels 5913	5.8	9 14 45	57 6 6.97	+ 0.49	— 15.057	— 0.421	— 0.016
		26 Urs. maj.	5.0	28 19	52 28 27.25	— 0.27	15.814	— 0.363	— 0.038
	2	Hels 6053	6.9	36 33	54 47 51.34	+ 0.11	16.246	— 0.349	— 0.034
		φ Urs. maj.	5.5	45 39	54 30 30.41	+ 0.10	16.699	— 0.324	+ 0.019
	3	19 Leon. min.	5.0	51 52	41 30 29.65	— 0.30	16.994	— 0.277	— 0.027
		Chri 1564	6.8	57 49	67 44 23.50	+ 0.50	17.265	— 0.343	— 0.018
	4	Hels 6264	6.0	10 8 35	60 27 23.17	+ 0.34	17.724	— 0.277	+ 0.003
		Bo 7558	6.2	13 33	48 52 31.71	+ 0.38	17.923	— 0.236	— 0.130
	5	Chri 1628	6.9	24 33	66 47 52.30	+ 0.26	18.333	— 0.248	+ 0.014
		Bo 7676	6.6	29 33	42 24 0.23	— 0.26	18.506	— 0.191	— 0.011
	6	Chri 1672	6.5	42 30	65 38 0.97	— 0.07	18.911	— 0.188	+ 0.006
		ω Urs. maj.	4.8	48 31	43 41 45.12	+ 0.15	19.079	— 0.147	— 0.033
V	1	Chri 1836	6.2	11 51 37	65 46 19.49	+ 0.03	— 20.033	— 0.008	— 0.008
		67 Urs. maj.	5.2	57 18	43 34 21.65	— 0.05	20.045	+ 0.003	+ 0.064
	2	Chri 1856	6.5	12 1 15	69 13 41.87	— 0.02	20.046	+ 0.011	— 0.049
		Bo 8422	6.9	11 57	40 7 12.70	+ 0.46	20.019	+ 0.031	— 0.001
	3	Bo 8489	6.8	19 57	41 51 32.86	+ 0.10	19.970	+ 0.046	— 0.015
		Chri 1895	6.7	25 6	67 25 8.46	+ 0.16	19.926	+ 0.052	— 0.001
	4	76 Urs. maj.	6.0	37 25	63 14 4.35	— 0.06	19.780	+ 0.071	— 0.017
		Grb 1922	5.0	40 40	45 57 34.41	— 0.27	19.732	+ 0.081	+ 0.008
	5	8 Draconis	5.1	51 41	65 57 13.45	— 0.13	19.539	+ 0.087	— 0.033
		Bo 8784	6.5	59 33	43 31 3.47	— 0.35	19.373	+ 0.111	— 0.008
	6	Bo 8863	5.4	13 9 25	40 39 20.76	+ 0.01	19.134	+ 0.127	+ 0.002
		Chri 1993	6.2	13 21	68 54 30.55	+ 0.01	19.028	+ 0.099	+ 0.009
VI	1	Chri 2284	6.2	15 14 9	69 17 42.84	+ 0.08	— 13.273	+ 0.053	+ 0.015
		Bo 9929	5.3	19 7	39 55 13.11	— 0.39	12.945	+ 0.252	— 0.019
	2	Hels 8388	5.9	27 40	62 25 28.28	— 0.47	12.365	+ 0.125	— 0.005
		Bo 10076	5.6	35 13	47 6 38.25	— 0.65	11.838	+ 0.232	— 0.130
	3	Hels 8543	5.6	50 4	56 6 25.29	+ 0.32	10.766	+ 0.176	+ 0.051
		Cbr M. 4899	5.9	59 40	53 10 46.01	— 0.18	10.048	+ 0.197	— 0.041
	4	Bo 10466	5.4	16 16 40	39 56 8.55	— 0.31	8.735	+ 0.272	— 0.007
		Chri 2459	5.5	22 2	69 19 45.11	— 0.15	8.311	— 0.017	— 0.007
	5	Hels 8915	6.0	35 58	63 15 49.51	— 0.17	7.187	+ 0.084	— 0.090
		52 Herculis	5.5	46 27	46 8 55.21	— 0.63	6.323	+ 0.246	— 0.061
	6	Hels 9036	6.6	52 44	60 30 51.37	— 0.40	5.799	+ 0.116	— 0.015
		Bo 10937	6.2	17 2 18	48 56 5.16	— 0.13	4.993	+ 0.227	— 0.078

Paar	Stern	Größe	AR. 1905	Decl. 1905.0		Praec.	Var. sacc.	E. B.
				Batt.	M—B			
1905								
VII	1	Hels 9605	6.2	18 ^h 1 ^m 7 ^s	58 ⁰ 37' 20.60"	+ 0.14	+ 0.098	+ 0.128
		Cbr M. 5465	6.3	4 37	50 48 25.52	— 0.14	0.404	+ 0.099
	2	Hels 9687	6.2	18 9 58	60 23 6.29	+ 0.09	0.872	+ 0.105
		Grb 2555	5.2	19 7	49 4 23.92	+ 0.33	1.670	+ 0.221
	3	Grb 2580	7.0	26 12	43 52 17.57	+ 0.09	2.288	+ 0.261
		Grb 2640	5.9	35 55	65 24 13.08	— 0.32	3.129	+ 0.026
	4	Grb 2699	5.8	49 27	52 51 7.79	+ 0.58	4.292	+ 0.189
		Hels 10086	6.8	55 10	56 37 12.10	+ 0.10	4.779	+ 0.155
	5	Cbr M. 5830	6.5	59 53	52 7 21.59	+ 0.32	5.179	+ 0.197
		Hels 10281	6.6	19 10 26	57 29 57.23	+ 0.23	6.066	+ 0.153
		[54 Draconis]	5.0	12 14	57 32 27.62	— 0.06	6.213	+ 0.146
	6	Hels 10399	6.4	18 31	57 27 54.92	+ 0.08	6.735	+ 0.149
	7 Cygni	6.1	25 6	52 7 35.72	+ 0.11	7.274	+ 0.196	
VIII	1	Bo 13603	6.4	19 54 45	42 0 13.85	— 0.73	+ 9.622	+ 0.254
		q Draconis	4.5	20 2 23	67 36 9.53	— 0.22	10.204	+ 0.032
	2	33 Cygni	4.5	11 12	56 16 36.45	+ 0.47	10.859	+ 0.168
		Cbr M. 6508	5.8	17 59	53 17 36.93	+ 0.01	11.353	+ 0.187
	3	43 Cygni	6.0	24 8	49 4 4.63	0.00	11.792	+ 0.212
		[Hels 11532]	7.2	35 51	60 25 16.59	+ 0.15	12.605	+ 0.136
		Grb 3263	6.0	38 17	60 9 41.85	+ 0.04	12.770	+ 0.138
	4	Cbr M. 6762	6.4	43 36	52 38 57.30	— 0.20	13.125	+ 0.185
		Hels 11730	6.8	51 30	56 48 49.96	+ 0.16	13.639	+ 0.162
	5	63 Cygni	4.9	21 3 20	47 15 59.39	— 0.59	14.379	+ 0.204
		α Cephei	2.4	16 19	62 10 58.76	— 0.42	15.147	+ 0.132
	6	Cbr M. 7102	6.0	27 11	52 32 22.36	0.00	15.752	+ 0.173
	13 H. Cephei	6.0	36 1	57 3 33.18	— 0.14	16.219	+ 0.153	
IX	1	Cbr M. 7470	6.1	22 3 55	52 50 34.72	— 0.09	+ 17.529	+ 0.149
		ε Cephei	4.6	11 30	56 34 10.50	+ 0.02	17.843	+ 0.142
	2	3 Lacertae	4.6	19 49	51 45 10.27	+ 0.14	18.162	+ 0.137
		δ Cephei	4.1	25 38	57 55 43.01	+ 0.57	18.371	+ 0.122
	3	Hels 13257	5.8	29 59	56 7 59.76	+ 0.41	18.520	+ 0.122
		[Cbr M. 7849]	5.9	36 26	53 21 1.95	+ 0.25	18.729	+ 0.118
		Cbr M. 7866	6.1	38 28	53 24 41.22	+ 0.16	18.791	+ 0.116
	4	15 Lacertae	4.8	47 45	42 48 26.99	— 0.96	19.058	+ 0.115
		Chri 3717	5.6	59 55	66 41 49.12	+ 0.11	19.362	+ 0.077
	5	Br 3077	5.9	23 8 42	56 38 37.45	+ 0.14	19.546	+ 0.090
		Br 3084	5.8	12 22	52 42 3.97	+ 0.13	19.615	+ 0.074
	6	Hels 14018	6.8	19 44	64 49 20.34	— 0.21	19.738	+ 0.057
		Hels 14071	6.8	23 7	65 5 59.90	+ 0.11	19.787	+ 0.053
		[Bo 17914]	6.1	29 7	44 31 58.79	— 0.61	19.865	+ 0.048
		[Bm ₁ 1626]	5.8	23 37 20	56 43 59.74	— 0.12	+ 19.948	+ 0.033
		[„ 1628]	5.5	42 23	56 55 25.60	— 0.03	19.987	+ 0.024
		[Bm ₁ 1630]	6.5	48 22	60 10 34.09	— 0.18	20.021	+ 0.013
		[„ 1633]	6.5	52 33	60 29 51.02	+ 0.17	20.036	+ 0.006
	[Bm ₁ 1636]	6.9	57 7	65 54 33.07	— 0.35	20.045	— 0.003	
	[„ 1639]	6.2	58 58	66 11 0.38	— 0.03	20.046	— 0.006	

Die Beobachtungen und ihre erste Reduktion.

Die Beobachtungen geschahen in der gewöhnlichen Weise mit Durchschrauben des Mikrometerfadens. Die Sterne wurden von beiden Seiten abwechselnd eingestellt, von Struve in der Regel viermal, den Äquatorial-Abständen vom Mittelfaden $\mp 10''$ und $\mp 20''$ entsprechend, Nordsterne auch sechsmal in den Abständen $\mp 4''$, $\mp 14''$, $\mp 20''$ oder achtmal in den Abständen $\mp 4''$, $\mp 8''$, $\mp 16''$, $\mp 20''$; ich habe mich bei meinen Beobachtungen stets auf viermalige Pointierung in den durch das feste Fadennetz gut definierten Abständen $\mp 6.6''$ und $\mp 20''$ beschränkt. In beiden Reihen fielen jedoch häufig Einstellungen aus. Die Korrektion für Fadenschiefe, welche immer klein war, wurde angebracht, wenn die Einstellungen nicht symmetrisch zum Mittelfaden erfolgten. Die Niveaus wurden am selben Abend immer in demselben Sinne eingestellt. Sie wurden in der Regel vor und nach der Pointierung abgelesen, doch mußte häufig wegen zu schneller Aufeinanderfolge der Sterne die erste Ablesung unterbleiben. Vor und nach jeder Gruppe, mitunter auch zwischenein, wurden die Thermometer abgelesen und zwar je eins an der Nord- und Süd wand in Höhe des Objektivs, welche die „Temperatur am Objektiv“ lieferten, dann vom 2. November 1899 ab noch je eins im Norden und Süden des Spaltes oben im Dach, schließlich noch eins außerhalb des Gebäudes im Norden zur Bestimmung der äußern Temperatur.

Die Berechnung geschah in der gewöhnlichen Weise, indem an die Differenz der Mikrometerablesungen die Differenzen der Schraubenfehler und Niveauangaben, sowie der Einfluß der Krümmung, Fadenneigung und Refraktion angebracht wurden. Bei Berechnung der Refraktion wurde der Barometerstand am Beobachtungsabend, welcher dem meteorologischen Journal entnommen wurde, und bei jeder Gruppe die mittlere Temperatur am Objektiv in Betracht gezogen, für die Struvesche Reihe außerdem die Änderung der meteorologischen Elemente zwischen den beiden Sternen jedes Paares, also die Gesamtrefraktion nach der Formel:

$$\text{Refraktion in Revolutionen} = (z_1 - z_2) \frac{R}{\cos^2 z} + \left(1 - \frac{\beta_2 \gamma_2}{\beta_1 \gamma_1}\right) \frac{x}{\sin 1''} \text{ tg } z$$

Das zweite Glied hat aber immer nur verschwindenden Einfluß; denn eine Änderung von 1° C. und 1 mm Barometerstand bewirkt bei 16° Zenitdistanz höchstens eine Verfälschung der Polhöhe um $0.047''$. Das sind aber bei der Struveschen Reihe die Höchstwerte der Änderung pro Stunde, von denen in die einzelnen Polhöhen im ungünstigsten Falle nur der vierte Teil eingeht. Der tatsächliche Einfluß bleibt jedoch bedeutend kleiner. Bei der Berechnung der Ergänzungsreihe habe ich daher das zweite Glied fortgelassen.

Die scheinbaren Örter wurden mit den Besselschen Konstanten gerechnet, die der Kontrolle wegen einmal für jeden Stern besonders, dann in der von Kimura vorgeschlagenen Weise (*A. N. 3541*) für jedes Paar berechnet wurden. Die *A*, *B*, *C*, *D* sind der täglichen Ephemeride des Berliner Jahrbuchs entnommen, enthalten also auch die kleinen Mondglieder. Die scheinbaren Örter wurden für die Epochen des Jahrbuchs gerechnet und für die Beobachtungszeit interpoliert. Da aber die Jahrbücher für 1899—1900 und für 1905—1907 mit verschiedenen Konstanten gerechnet sind, wurde an sämtliche scheinbaren Örter noch die Reduktion auf die Nutationskonstante der Pariser Konferenz und die Aberrationskonstante $20.50''$ angebracht. Dagegen habe ich die Verschiedenheit der Präzessionskonstante wegen ihrer Kleinheit nicht berücksichtigt.

Ich hatte zunächst die Polhöhen für die beiden Niveaus getrennt berechnet. Die Differenz der Niveauangaben zeigt an den einzelnen Tagen systematische Unterschiede, welche zwischen $+ 0.12''$ und $- 0.14''$ variieren, jedoch kein bestimmtes Gesetz befolgen. Im Mittel heben sie sich heraus, so daß man die systematischen Unterschiede vernachlässigen kann. Berechnet man für jedes Niveau getrennt die Reduktion auf Gruppenmittel, so ergibt sich der mittlere Fehler einer Polhöhe

IX						
1899	1	2	3	4	5	6
Okt. 9	0.39*	0.44	-0.30*	—	—	—
15	0.10	0.25*	0.54	0.59*	0.57	0.53*
16	—	0.73	—	—	—	—
21	0.12*	0.56	0.20*	0.68	0.21*	0.39
22	0.19	0.24*	0.01	-0.04*	0.55	0.30*
26	0.31	0.57*	—	—	—	—
31	0.03*	—	—	—	—	—
Nov. 2	0.50	0.58*	0.51	0.86*	0.35	0.67*
3	0.38*	0.56	0.09*	0.64	0.41*	0.43
5	—	0.55*	0.44	0.62*	0.50	0.48*
6	0.30*	0.56	0.42*	0.44	0.50*	0.44
16	0.51*	0.46	0.42*	0.72	0.72*	0.76
18	0.32	0.84*	0.53	0.57*	0.56	0.54*
29	0.27*	0.73	0.15*	0.18	—	—

I						
1899/1900						
Okt. 15	0.28	0.79*	0.84	0.68*	0.50	0.58*
20	—	—	—	0.68	0.56*	0.64
21	0.40*	0.98	0.96*	0.62	0.51*	0.81
22	-0.02	0.74*	—	—	—	—
26	0.19	0.76*	0.82	0.85*	0.42	0.46*
31	—	0.39	0.96*	0.72	—	—
Nov. 1	0.37*	0.80	—	0.81	0.41*	0.82
2	0.30	0.35*	0.95	0.74*	0.48	0.69*
3	0.27*	—	—	—	—	—
5	0.47	0.65*	0.76	0.92*	0.59	0.87*
6	0.44*	0.77	0.70*	0.63	0.51*	1.15
16	0.50*	1.18	1.18*	—	—	—
18	0.60	0.78*	0.62	1.00*	0.45	0.74*
Dez. 11	0.38*	1.12	1.11*	1.16	0.69*	1.00
12	0.33	0.71*	1.34	0.86*	0.92	1.27*
13	0.57*	—	—	—	—	—
18	0.15*	0.51	0.50*	0.67	0.15*	0.61
19	0.32	0.48*	0.79	0.46*	0.44	—
20	0.54*	0.75	1.21*	0.72	0.55*	1.14
21	0.44	0.80*	0.98	1.03*	0.81	0.87*
22	0.38*	0.64	0.79*	0.62	0.48*	1.01
Jan. 7	0.32	0.76*	0.90	0.88*	—	—
8	0.35	0.82*	1.08	—	—	—
12	0.71*	0.93	0.75*	1.09	0.62*	1.17

II						
1899/1900						
Dez. 11	0.46*	0.73	1.04*	0.40	0.59*	0.76
12	0.64	0.34*	0.56	0.56*	0.76	0.60*
18	0.32*	0.72	0.86*	0.24	0.54*	0.22
19	—	—	—	0.65*	0.67	0.72*
20	0.33*	0.73	1.08*	0.13	0.54*	0.86
21	0.46	0.54*	0.88	0.63*	0.75	0.35*
22	0.35*	0.70	1.24*	0.52	0.90*	0.81
Jan. 12	0.48*	0.67	0.80*	0.37	0.52*	0.84
13	0.05*	0.40	0.74*	0.48	0.28*	0.92
Febr. 7	0.65*	1.15	1.28*	0.70	1.30*	1.20
9	—	—	0.50	0.50*	0.44	0.32*
13	—	—	0.77	0.42*	—	—
21	0.43*	—	—	0.52	—	—
26	—	—	—	0.56*	0.76	0.78*

III						
1900						
Jan. 13	0.95*	0.50	0.95*	0.46	0.88*	0.18
Febr. 7	1.03*	0.73	1.14*	0.98	0.77*	0.57
9	0.75	0.88*	—	—	0.32	—
22	—	0.76*	—	—	—	—
23	—	0.53	0.63*	0.59	0.65*	0.22
27	0.60	0.88*	1.08	0.54*	0.51	—

III						
1900	1	2	3	4	5	6
März 3	0.83	1.13*	1.50	0.77*	0.84	—
7	1.21*	1.47	1.34*	0.50	0.76*	0.23
11	0.96	0.79*	0.80	0.42*	0.40	0.21*
13	0.77*	0.95	0.86*	0.63	0.55*	0.14
22	0.83*	1.16	0.76*	0.56	0.48*	0.28
23	0.81	1.04*	—	—	0.65	0.24*

IV						
1900						
Febr. 23	0.54*	0.46	0.30*	0.78	0.14*	0.72
März 7	1.05*	0.76	0.64*	0.79	0.17*	0.85
11	0.58	0.60*	0.50	0.90*	0.76	0.61*
22	0.64*	0.55	0.48*	0.84	0.56*	0.75
23	0.86	—	—	—	—	—
26	—	0.74	0.28*	0.68	0.83*	1.09
April 1	0.84*	0.74	—	0.61	0.42*	0.69
2	0.58	0.42*	0.44	0.56*	0.38	0.36*
3	1.00*	0.87	0.67*	0.74	0.70*	—
11	0.63	—	—	—	—	—
16	0.61*	0.92	—	—	—	—
18	0.40	0.63*	—	0.74*	0.60	0.61*
20	—	0.59	0.30*	0.69	0.48*	0.72
22	—	0.80*	0.43	0.90*	0.54	0.59*
23	—	0.71	1.00*	0.90	1.15*	1.11

V						
1900						
März 26	0.36*	—	—	—	—	—
27	0.49*	0.47	0.47*	0.67	—	0.92
April 2	0.54	0.48*	0.20	0.62*	0.92	0.92*
7	0.70*	—	—	—	—	—
18	0.70	0.52*	0.80	0.86*	0.79	0.84*
20	0.34*	0.37	0.53*	0.70	0.28*	1.02
21	0.66	0.35*	0.42	0.43*	0.60	0.98*
22	0.92	0.52*	0.89	0.16*	1.00	1.32*
23	0.71*	0.65	0.84*	0.58	0.92*	1.24
26	0.76	0.16*	0.22	0.39*	0.87	—
27	0.46*	0.48	0.51*	0.72	0.90*	0.94
28	0.64	-0.22*	0.29	0.59*	0.44	0.62*
30	0.64*	0.43	0.50*	1.00	0.94*	1.15
Mai 3	0.52*	0.68	0.42*	0.81	—	0.95
4	0.86	-0.03*	—	—	—	—
5	0.66	0.16*	0.54	0.61*	1.06	1.22*
7	0.47*	0.34	0.36*	0.60	0.71*	0.80
11	1.12	—	—	—	—	—
12	0.92	0.70*	0.90	0.71*	0.48	0.96*

VI						
1900						
Mai 5	0.70	0.89*	0.82	0.78*	1.01	0.46*
7	0.53*	0.58	0.26*	0.69	0.65*	0.59
22	0.72	0.57*	0.38	0.56*	1.00	0.62*
25	0.32*	0.81	-0.08*	0.86	0.73*	0.74
30	0.68	1.02*	0.24	0.94*	0.92	0.93*
Juni 10	0.70*	0.89	—	—	—	—
11	0.65*	0.66	0.02*	1.09	0.78*	1.14
12	0.70	1.03*	0.76	0.64*	1.16	0.78*
13	0.77*	0.36	0.20*	1.11	0.98*	0.80
14	1.13	1.01*	0.61	0.21*	0.74	1.12*
18	1.20	1.01*	—	—	—	—
Juli 5	—	—	—	0.63*	1.02	0.24*
6	—	—	—	1.06	0.54*	—
7	—	—	0.80	1.26*	1.18	1.12*

VII						
1900						
Juni 13	1.15	0.50*	1.08	0.52*	0.62	0.88*
Juli 5	-0.20*	0.28	0.38*	0.03	0.12*	-0.04

		11					
1905/06		1	2	3	4	5	6
Dec.	10	—	—	—	1.00	—	1.46*
	13	—	—	1.44*	1.10	0.82*	0.76
Jan.	1	0.86*	1.36	—	0.81	—	1.12*
	2	—0.12	0.78*	0.64	0.41*	0.60	1.56*
	3	—0.61*	0.70	1.30*	1.12	0.78*	—
	22	—	—	—	—	0.94	0.82*
Febr.	24	—	0.54	1.38*	0.51	—	0.53*
	5	0.75*	0.32	1.02*	0.85	0.80*	0.94
	8	0.46*	—	1.02	0.56*	0.80	0.54*
	12	0.82	0.52*	0.17	0.03*	—	0.44
	17	0.58	0.62*	[—0.07]	0.44*	0.82	0.94*
	20	0.43*	0.74	0.67*	0.78	0.72*	0.52

		VIII					
1906		1	2	3	4	5	6
Juli	10	0.50*	-0.14	0.78*	1.10	1.00*	0.53
	11	0.06	0.51*	0.58	-0.44*	-0.08	-0.22*
	12	0.66*	0.47	1.03*	0.24	—	—
	24	0.24	0.04*	0.78	0.48*	0.55	0.32*
Aug.	15	0.00	0.00*	0.40	0.26*	0.60	0.24*
	20	0.20*	0.44	0.45*	1.14	—	—
Sept.	10	0.76*	1.44	0.31*	—	—	0.60*
	11	-0.20	-0.02*	1.02	-0.98*	1.03	1.58*
	12	0.12*	0.46	0.73*	0.80	1.18*	0.56
	17	0.58	0.19*	0.60	0.34*	0.73	0.70*
Okt.	9	0.20*	-0.02	1.02*	0.82	1.62*	0.36
	11	0.21	-0.05*	0.84	0.22*	0.51	0.36*

1905/06		III					
Dec.	10	—	1.34	0.80*	0.86	0.54*	0.22
	13	0.96	0.72*	1.44	0.55*	0.58	0.30*
Jan.	2	1.24	0.70*	—	0.70	0.42*	0.42
	3	—	—	0.82	—	0.48*	0.18
	24	0.60	0.94*	0.53	0.78*	0.62	0.28*
Febr.	5	0.30*	1.01	0.96*	0.94	0.38*	0.42
	8	0.46	0.78*	1.16	0.24*	0.47	—0.16*
	17	—	0.87	0.58*	0.46	0.76*	0.59
	20	0.79*	0.75	0.88*	0.60	0.56*	0.37

1906		IX					
Aug.	15	0.02	0.42*	0.68	—	—	—
Sept.	10	0.44	0.67*	—0.47	0.60*	—	—
	11	0.57	0.71*	0.50	0.90*	0.91	0.56*
	12	0.61*	0.76	0.40*	0.70	0.48*	—0.16
	17	0.07	0.34*	0.44	0.64*	0.57	0.76*
Okt.	9	0.52*	0.55	0.17*	0.12	0.42*	0.38
	11	0.52	0.48*	0.36	0.38*	0.32	0.53*
Nov.	9	0.27	0.54*	0.36	0.57*	—	—
	14	0.65	0.84*	0.38	1.04*	1.02	[1.38*]
	15	0.24*	0.60	0.36*	0.50	0.54*	1.52
	22	0.29	0.66*	0.26	0.21*	0.68	—
	26	0.35	0.38*	0.20	0.64*	0.65	1.10*
Dez.	8	0.84*	0.46	0.54*	0.53	0.68*	0.26
	20	0.84	0.62*	0.96	0.40*	0.66	—

1906			IV				
April	4	0.91*	0.34	0.46*	0.40	0.78*	0.66
	5	0.46	1.11*	0.62	0.44*	0.16	0.53*
	6	0.58*	0.58	1.23*	0.50	0.03*	0.88
	7	—	1.06*	0.68	0.48*	0.58	0.82*
	8	0.68*	0.71	0.28*	0.42	0.92*	0.68
	9	0.18	0.87*	1.00	1.26*	0.17	1.10*

1906/07		I					
Okt.	9	0.18*	0.81	0.90*	1.31	0.42*	1.15
	11	0.48	—	—	—	—	—
Nov.	15	0.68*	0.48	0.80*	1.10	0.76*	1.33
	26	0.44	0.72*	0.94	1.08*	—	—
Dez.	8	0.80*	0.67	0.75*	1.14	0.42*	1.40
Jan.	15	0.30	0.72*	0.40	0.86*	0.52	0.70*

1906		V					
April	4	0.33*	0.35	0.52*	-0.14	0.82*	—
	5	0.37	0.30*	0.71	0.81*	1.26	1.10*
	7	0.54	0.26*	0.76	0.55*	0.64	0.53*
	8	—	—	-0.04*	—	—	—
Mai	9	0.29	[-1.45*]	1.20	0.36*	0.70	1.05*
	6	0.40*	0.59	0.12*	0.41	—	1.34
	10	0.50	0.31*	0.06	0.96*	0.30	0.20*
	12	0.56*	0.69	0.47*	1.31	0.84*	0.83

1906/07		II				
Nov. 15	0.49*	0.53	0.97*	—	0.52	0.80*
Dez. 8	0.79*	0.68	0.28*	0.52	0.52*	0.98
Jan. 15	0.64	1.04*	1.14	0.73*	0.66	1.01*
Febr. 12	0.57*	0.81	1.10*	0.56	0.91*	0.60
13	0.56	0.70*	0.43	0.80*	0.56	0.54*

1906		VI					
Mai	6	1.16*	0.64	—	1.04*	0.82	0.26*
	10	0.68	—	—	—	—	—
	12	0.56*	0.88	0.71*	1.10	0.94*	0.43
Juni	6	0.31	0.53*	0.57	0.68*	0.86	0.40*
	13	0.16*	0.68	0.81*	0.60	1.19*	0.14
	18	0.47	0.68*	0.56	0.84*	1.30	0.54*
	19	0.60*	0.74	0.69*	0.76	0.81*	—0.34
	21	0.56*	0.24	0.25*	0.38	0.35*	0.34

1906/07			III			
Dez. 8	0.76*	0.94	-0.10*	0.78	0.64*	-0.12
Jan. 15	1.02	0.31*	1.41	0.89*	0.79	0.55*
Febr. 12	0.67*	0.76	0.65*	0.81	—	—
13	—	0.70*	0.69	0.56*	0.76	0.50*
März 3	1.22*	1.03	0.02*	0.68	0.90*	0.05
4	0.89	0.77*	-0.29	0.60*	0.39	-0.18*
6	0.93*	0.82	0.86*	0.12	0.82*	0.36

1906		VII					
Juni	13	0.84	0.57*	0.07	−0.32*	0.07	0.34*
	18	0.66*	0.54	0.79*	0.88	0.68*	0.62
	19	0.43	—	—	—	—	—
	21	−0.32	0.88*	0.54	0.68*	−0.08	0.06*
Juli	10	0.63*	0.58	1.82*	0.87	0.46*	0.50
	11	−0.10	0.54*	−0.06	0.18*	0.52	0.72*
	12	1.18*	0.46	1.00*	0.88	0.26*	0.94
	24	0.42	1.20*	1.10	0.55*	0.35	0.20*

1907			IV				
März	3	0.15*	0.74	1.12*	0.57	1.06*	0.23
	4	0.62	0.80*	0.72	0.63*	0.50	0.80*
	6	0.60*	0.44	0.54*	0.46	0.57*	0.67

Differenz der Kreislagen.

Die Beobachtungen habe ich zunächst nach der Anfangskreislage geordnet. Die Differenzen $W/O - O/W$ samt dem Größenunterschiede $\Delta m = m_2 - m_1$ sind im folgenden, für beide Beobachter getrennt, aufgeführt. Außerdem sind hier noch die mittlere Zenitdistanz ζ und die Zenitdistanzdifferenz in Revolutionen im Sinne „südliche minus nördliche Zenitdistanz“, die bei der Reduktion auf Gruppenmittel gebraucht werden, zusammengestellt.

Paar	Δm	$W-O$		ζ	$\Delta \zeta$		Paar	Δm	$W-O$		ζ	$\Delta \zeta$	
		Str.	Rfr.		Str.	Rfr.			Str.	Rfr.		Str.	Rfr.
I 1	$\overset{m}{-2.2}$	$\overset{0}{-0.10}$	$\overset{R}{-0.14}$	1.3	$\overset{+}{+5.1}$	$\overset{+}{+0.9}$	VI 1	$\overset{m}{-0.9}$	$\overset{+}{+0.26}$	$\overset{0}{-0.12}$	14.7	$\overset{+}{+11.0}$	$\overset{+}{+13.2}$
2	$\overset{+}{+0.4}$	$\overset{+}{+0.11}$	$\overset{-}{-0.07}$	6.6	$\overset{+}{+1.3}$	$\overset{-}{-2.8}$	2	$\overset{-}{-0.3}$	$\overset{-}{-0.26}$	$\overset{+}{+0.03}$	7.6	$\overset{-}{-8.5}$	$\overset{-}{-6.4}$
3	$\overset{+}{+1.5}$	$\overset{0}{0.00}$	$\overset{-}{-0.15}$	5.8	$\overset{-}{-8.5}$	$\overset{-}{-12.1}$	3	$\overset{+}{+0.3}$	$\overset{+}{+0.41}$	$\overset{-}{-0.06}$	1.5	$\overset{+}{+7.1}$	$\overset{+}{+8.8}$
4	$\overset{+}{+1.8}$	$\overset{-}{-0.05}$	$\overset{+}{+0.22}$	9.8	$\overset{-}{-14.6}$	$\overset{-}{-18.6}$	4	$\overset{+}{+0.1}$	$\overset{+}{+0.39}$	$\overset{-}{-0.15}$	14.7	$\overset{+}{+8.7}$	$\overset{+}{+10.1}$
5	$\overset{-}{-0.2}$	$\overset{+}{+0.08}$	$\overset{-}{-0.01}$	1.9	$\overset{+}{+0.1}$	$\overset{-}{-3.8}$	5	$\overset{-}{-0.5}$	$\overset{+}{+0.21}$	$\overset{+}{+0.17}$	8.6	$\overset{0}{0.0}$	$\overset{+}{+1.1}$
6	$\overset{+}{+2.0}$	$\overset{+}{+0.15}$	$\overset{+}{+0.60}$	13.5	$\overset{+}{+1.3}$	$\overset{-}{-2.5}$	6	$\overset{-}{-0.4}$	$\overset{-}{-0.09}$	$\overset{-}{-0.26}$	6.0	$\overset{-}{-2.0}$	$\overset{-}{-1.2}$
II 1	$\overset{-}{-0.6}$	$\overset{+}{+0.12}$	$\overset{+}{+0.01}$	4.2	$\overset{+}{+8.5}$	$\overset{+}{+6.4}$	VII 1	$\overset{+}{+0.1}$	$\overset{+}{+0.34}$	$\overset{-}{-0.57}$	3.9	$\overset{-}{-0.3}$	$\overset{-}{-0.4}$
2	$\overset{-}{-0.4}$	$\overset{+}{+0.39}$	$\overset{-}{-0.02}$	4.9	$\overset{-}{-1.4}$	$\overset{-}{-3.3}$	2	$\overset{-}{-1.0}$	$\overset{+}{+0.08}$	$\overset{-}{-0.27}$	5.6	$\overset{-}{-1.9}$	$\overset{-}{-2.2}$
3	$\overset{+}{+0.8}$	$\overset{-}{-0.32}$	$\overset{-}{-0.34}$	12.6	$\overset{-}{-11.4}$	$\overset{-}{-13.0}$	3	$\overset{-}{-1.1}$	$\overset{+}{+0.19}$	$\overset{-}{-0.79}$	10.8	$\overset{+}{+9.6}$	$\overset{+}{+9.0}$
4	$\overset{+}{+0.5}$	$\overset{-}{-0.13}$	$\overset{+}{+0.32}$	1.8	$\overset{-}{-2.2}$	$\overset{-}{-3.6}$	4	$\overset{+}{+1.0}$	$\overset{-}{-0.06}$	$\overset{+}{+0.61}$	1.9	$\overset{-}{-2.1}$	$\overset{-}{-3.2}$
5	$\overset{+}{+0.5}$	$\overset{+}{+0.01}$	$\overset{-}{-0.06}$	6.2	$\overset{-}{-4.7}$	$\overset{-}{-5.8}$	5	$\overset{+}{+0.1}$	$\overset{-}{-0.07}$	$\overset{-}{-0.25}$	2.7	$\overset{-}{-11.1}$	$\overset{-}{-12.3}$
6	$\overset{+}{+0.2}$	$\overset{+}{+0.25}$	$\overset{-}{-0.22}$	7.9	$\overset{+}{+4.9}$	$\overset{+}{+4.0}$	6	$\overset{-}{-0.3}$	$\overset{-}{-0.12}$	$\overset{+}{+0.36}$	2.7	$\overset{-}{-9.0}$	$\overset{-}{-10.5}$
III 1	$\overset{-}{-0.1}$	$\overset{-}{-0.17}$	$\overset{+}{+0.08}$	16.2	$\overset{-}{-0.7}$	$\overset{+}{+0.4}$	VIII 1	$\overset{-}{-1.9}$	$\overset{+}{+0.27}$	$\overset{-}{-0.27}$	12.8	$\overset{-}{-9.5}$	$\overset{-}{-11.9}$
2	$\overset{-}{-0.7}$	$\overset{-}{-0.02}$	$\overset{+}{+0.09}$	5.1	$\overset{-}{-1.9}$	$\overset{+}{+0.4}$	2	$\overset{+}{+1.3}$	$\overset{-}{-0.40}$	$\overset{+}{+0.33}$	1.5	$\overset{-}{-7.1}$	$\overset{-}{-9.7}$
3	$\overset{-}{-0.2}$	$\overset{+}{+0.18}$	$\overset{+}{+0.28}$	11.6	$\overset{-}{-9.9}$	$\overset{-}{-8.2}$	3	$\overset{0}{0.0}$	$\overset{+}{+0.20}$	$\overset{-}{-0.02}$	5.6	$\overset{+}{+14.0}$	$\overset{+}{+11.2}$
4	$\overset{-}{-0.7}$	$\overset{+}{+0.04}$	$\overset{+}{+0.06}$	0.3	$\overset{+}{+3.3}$	$\overset{+}{+5.3}$	4	$\overset{+}{+0.4}$	$\overset{-}{-0.14}$	$\overset{+}{+0.84}$	2.1	$\overset{-}{-0.1}$	$\overset{-}{-3.2}$
5	$\overset{-}{-1.9}$	$\overset{-}{-0.14}$	$\overset{-}{-0.01}$	2.9	$\overset{+}{+5.2}$	$\overset{+}{+7.5}$	5	$\overset{-}{-2.5}$	$\overset{-}{-0.06}$	$\overset{-}{-0.71}$	7.4	$\overset{+}{+1.0}$	$\overset{-}{-2.3}$
6	$\overset{0}{0.0}$	$\overset{+}{+0.04}$	$\overset{+}{+0.07}$	0.2	$\overset{+}{+6.5}$	$\overset{+}{+9.0}$	6	$\overset{0}{0.0}$	$\overset{+}{+0.15}$	$\overset{-}{-0.02}$	2.3	$\overset{-}{-7.9}$	$\overset{-}{-11.5}$
IV 1	$\overset{-}{-0.8}$	$\overset{-}{-0.17}$	$\overset{-}{-0.17}$	2.3	$\overset{-}{-11.5}$	$\overset{-}{-8.4}$	IX 1	$\overset{-}{-1.5}$	$\overset{+}{+0.04}$	$\overset{-}{-0.14}$	1.9	$\overset{+}{+3.5}$	$\overset{-}{-0.5}$
2	$\overset{-}{-1.4}$	$\overset{+}{+0.09}$	$\overset{-}{-0.40}$	0.2	$\overset{+}{+4.8}$	$\overset{+}{+8.3}$	2	$\overset{-}{-0.5}$	$\overset{+}{+0.03}$	$\overset{+}{+0.03}$	3.1	$\overset{-}{-12.9}$	$\overset{-}{-17.0}$
3	$\overset{+}{+1.8}$	$\overset{-}{-0.07}$	$\overset{+}{+0.02}$	13.1	$\overset{+}{+8.4}$	$\overset{+}{+11.9}$	3	$\overset{+}{+0.3}$	$\overset{+}{+0.25}$	$\overset{-}{-0.05}$	1.4	$\overset{-}{-4.4}$	$\overset{-}{-8.6}$
4	$\overset{+}{+0.2}$	$\overset{-}{-0.02}$	$\overset{-}{-0.23}$	5.8	$\overset{+}{+3.2}$	$\overset{+}{+6.8}$	4	$\overset{+}{+0.8}$	$\overset{-}{-0.01}$	$\overset{-}{-0.14}$	12.0	$\overset{-}{-1.8}$	$\overset{-}{-6.1}$
5	$\overset{-}{-0.3}$	$\overset{-}{-0.01}$	$\overset{-}{-0.32}$	12.2	$\overset{+}{+11.3}$	$\overset{+}{+15.0}$	5	$\overset{-}{-0.1}$	$\overset{+}{+0.12}$	$\overset{+}{+0.16}$	2.0	$\overset{+}{+8.0}$	$\overset{+}{+3.7}$
6	$\overset{-}{-1.7}$	$\overset{+}{+0.30}$	$\overset{-}{-0.19}$	11.0	$\overset{+}{+3.2}$	$\overset{+}{+7.0}$	6	$\overset{-}{-0.7}$	$\overset{-}{-0.10}$	$\overset{-}{-0.37}$	10.2	$\overset{+}{+7.4}$	$\overset{+}{+3.0}$
V 1	$\overset{-}{-1.0}$	$\overset{+}{+0.26}$	$\overset{-}{-0.01}$	11.1	$\overset{+}{+2.0}$	$\overset{+}{+5.6}$							
2	$\overset{+}{+0.4}$	$\overset{+}{+0.20}$	$\overset{+}{+0.25}$	14.6	$\overset{+}{+1.7}$	$\overset{+}{+5.4}$							
3	$\overset{-}{-0.1}$	$\overset{+}{+0.01}$	$\overset{+}{+0.42}$	12.8	$\overset{+}{+6.1}$	$\overset{+}{+9.8}$							
4	$\overset{-}{-1.0}$	$\overset{+}{+0.18}$	$\overset{-}{-0.14}$	8.6	$\overset{+}{+11.3}$	$\overset{+}{+14.9}$							
5	$\overset{+}{+1.4}$	$\overset{+}{+0.14}$	$\overset{-}{-0.11}$	11.2	$\overset{-}{-5.6}$	$\overset{-}{-2.0}$							
6	$\overset{+}{+0.8}$	$\overset{+}{+0.02}$	$\overset{+}{+0.37}$	14.1	$\overset{-}{-11.2}$	$\overset{-}{-7.7}$							

Eine Ausgleichung ergibt:

$$\text{für Struve: } W/O - O/W = +0.056 - (0.028 \pm 0.025) \Delta m$$

$$\text{für Rahmenführer: } W/O - O/W = -0.015 + (0.142 \pm 0.038) \Delta m.$$

Bei Struve zeigt sich also kein zu verbürgender Gang, hingegen zeigt sich bei meinen Beobachtungen ein deutlicher Einfluß der Größendifferenz. Derselbe ließe sich zunächst durch einen physiologischen Bisektionsfehler erklären, welcher bei den größeren hellen Sternbildchen anders wirkt als bei den kleineren der schwachen Sterne. Dann könnte aber auch noch eine andere Ursache in Frage kommen. Der Mikrometerfaden steht etwas rechts von der Mitte des Gesichtsfeldes, infolgedessen könnte eine Fadenparallaxe, also eine ungenaue Fokussierung, einen Einstellungsfehler bewirken, wenn die Absehslinie von der Mitte des Okulars auf den Mikrometerfaden gerichtet ist. Der Einstellungsfehler würde natürlich nur dann einen Einfluß haben, wenn der Fokus für helle und schwache Sterne verschieden wäre. Das Vorzeichen der Helligkeitsgleichung bei $W/O - O/W$ würde dann auf eine Vergrößerung

der Brennweite bei schwachen Objekten hindeuten. Fokusverschiedenheiten für helle und schwache Objekte sind übrigens bei Heliometerbeobachtungen schon mehrfach beobachtet worden, vgl. z. B. den Jahresbericht der v. Kuffnerschen Sternwarte (*V. J. S. 1902, S. 169 f.*).

Daß sich bei Struve dieser Gang nicht findet, kann dadurch verursacht sein, daß dieser als geübter Beobachter das Auge immer auf den Mikrometerfaden akkommodierte, während ich das Hauptaugenmerk auf das Sternbildchen richtete.

Aus dem Endresultat fallen die Differenzen vollständig heraus, dagegen gehen sie wegen mangelhaften Wechsels der Kreislagen teilweise in die Reduktion auf Gruppenmittel ein. Ich habe daher zunächst alle Beobachtungen auf $\frac{1}{2} (W+O)$ reduziert.

Reduktion auf Gruppenmittel.

Für diejenigen Abende, an denen eine Gruppe vollständig beobachtet war, wurden die Abweichungen der einzelnen Paare vom Gruppenmittel dieses Tages gebildet. Der Mittelwert der Abweichung mit entgegengesetztem Zeichen ergibt dann die „unmittelbare Reduktion eines Sternpaares auf Gruppenmittel“. Mit Rücksicht auf die Zwischenzeit zwischen den beiden Beobachtungsreihen und die mögliche Auffassungsverschiedenheit der Beobachter wurden diese Reduktionen für jede Reihe einzeln gebildet. Sie sind im folgenden in Einheiten von 0.01 zusammengestellt:

Gruppe	Struve:						Rahnenführer:					
	Paar 1	2	3	4	5	6	1	2	3	4	5	6
I	+32	-4	-17	-11	+17	-17	+28	+10	+7	-32	+24	-37
II	+22	0	-31	+22	-6	-7	+18	-2	-5	+4	+3	-18
III	-25	-19	-27	+16	+7	+48	-18	-19	-7	0	+1	+43
IV	-9	+3	+12	-18	+19	-7	+10	-7	-12	+4	+11	-6
V	+3	+27	+10	+3	-9	-34	+9	+22	+11	-26	-9	-7
VI	+2	-6	+35	-5	-17	-9	+17	-4	-2	-14	-30	+33
VII	-7	-25	-6	+22	+7	+9	-2	-6	-21	+8	+19	+2
VIII	+12	+9	-14	-2	-18	+13	+22	+33	-29	+16	-39	-3
IX	+13	-5	+5	-4	-2	-7	+7	-1	+19	-5	-6	-14

In der Mehrzahl der Fälle stimmen die Vorzeichen der Reduktion auf Gruppenmittel mit der Deklinationsdifferenz $M-B$ überein. Addiert bzw. subtrahiert man die halbe Deklinationsdifferenz nach Abzug des entsprechenden Mittels für die Gruppe, so erhält man die Reduktionen auf Gruppenmittel, wenn die Deklinationen einmal nach Mönnichmeyer, das andere Mal nach Battermann allein angenommen werden. In beiden Fällen ergibt sich eine Abhängigkeit von der Zenitdistanz, jedoch im System B bedeutend stärker als im System M. Durch Zusammenfassung erhält man:

Reduktion auf Gruppenmittel.

ζ	Paare	System M		System B		System Bred.	
		Str.	Rfr.	Str.	Rfr.	Str.	Rfr.
$0-0$	12	+0.12	+0.06	+0.25	+0.19	+0.13	+0.07
$2-5$	10	+0.01	+0.03	+0.06	+0.09	-0.01	+0.02
$5-10$	14	-0.08	-0.07	-0.16	-0.14	-0.10	-0.08
$10-12$	7	+0.01	+0.02	-0.17	-0.17	-0.06	-0.05
über 12	11	-0.03	-0.01	-0.02	0.00	+0.04	+0.05

Es läßt sich daher vermuten, daß die Berliner Reihe durch systematische Fehler entsteht war, vielleicht Refraktions- oder Teilungsfehler, die bei dem in weiten Grenzen gehaltenen Anschluß an den N. F. K. immerhin möglich wären. Prof. Battermann erhielt übrigens schon bei der Vergleichung seiner Deklinationen mit denen von Mönnichmeyer die folgenden systematischen Differenzen $M-B$, deren Mittel hier nach der Königsberger Zenitdistanz geordnet sind.

ζ	M-B	ζ	M-B	ζ	M-B
0°	+0.10	6°	-0.08	12°	-0.17
1	+0.09	7	-0.12	13	-0.15
2	+0.08	8	-0.16	14	-0.14
3	+0.06	9	-0.19	15	-0.13
4	+0.01	10	-0.18	16	-0.13
5	-0.03	11	-0.18	17	-0.12

Reduziert man mit diesen die Deklinationen B auf das System M, so ergeben sich die oben unter System B_{red.} angegebenen Werte. Ein Gang mit der Zenitdistanz ist auch hier noch angedeutet, er hat ungefähr denselben Betrag wie bei System M. Ich habe deshalb die beiden Systeme zusammengezogen und erhalte die folgenden Reduktionen auf Gruppenmittel, wenn δ nach $\frac{1}{2}(B_{\text{red.}} + M)$ angenommen wird.

	Struve:						Rahnenführer:					
	1	2	3	4	5	6	1	2	3	4	5	6
I	+24	-1	-16	-5	+10	-12	+20	+13	+8	-26	+17	-32
II	+18	-1	-26	+15	-4	-2	+14	-3	0	-3	+5	-13
III	-19	-17	-19	+10	+3	+42	-12	-17	0	-5	-3	+37
IV	-16	-5	+16	-17	+23	-1	+3	-15	-7	+4	+15	0
V	+4	+26	+9	+4	-8	-35	+10	+21	+10	-25	-8	-8
VI	+3	-3	+25	-3	-13	-9	+18	-1	-11	-12	-26	+32
VII	-7	-21	+2	+17	+4	+5	-2	-2	-12	+3	+15	-2
VIII	+18	+4	-11	-7	-12	+8	+28	+27	-26	+11	-33	-7
IX	+8	-8	+1	+3	-6	+2	+3	-4	+14	+2	-10	-5

Der noch verbleibende Gang mit der Zenitdistanz wird als zufälliger Fehler betrachtet werden müssen; jedenfalls bleibt es ungewiß, ob er dem Deklinationssystem oder Refraktionseigentümlichkeiten zuzuschreiben ist, wie sie bei dem massiven Bau des Beobachtungsraumes und der Länge des Lichtstrahls zwischen Objektiv und Spalt wohl vorgekommen sein können. Im letztern Falle würden sie darauf hindeuten, daß die Grenze zwischen Innen- und Außentemperatur im Norden steiler abfällt als im Süden, was durch die Beobachtungen der Thermometer im Spalt wahrscheinlich wird.

Veranlaßt durch vorstehende Resultate, hat Prof. Battermann nachträglich den Anschluß seiner Deklinationen an den N. F. K. noch genauer untersucht und dabei einen ähnlichen Gang gefunden wie bei der Vergleichung mit Mönichmeyer, jedoch mit geringerer Amplitude. Er ist jedoch, hauptsächlich auf Grund der ähnlichen Resultate Küstners am Bonner Meridiankreise (*Bonner Veröffentl. Nr. 10, S. 35f.*), der Ansicht, daß jedenfalls nur ein Teil des Ganges durch Teilfehler des Berliner Kreises verursacht sein könne, der Rest dem N. F. K. zuzuschreiben sei. Wäre das der Fall, d. h. wären die Berliner Deklinationen annähernd richtig, so würde der Gang mit der Zenitdistanz in den hiesigen Polhöhenwerten noch verstärkt werden. Umgekehrt würde dann daraus folgen, daß die dem N. F. K. zu Grunde liegenden Deklinationen durch ähnliche Refraktionsschichtungen beeinflusst seien, wie die hiesigen Polhöhenbeobachtungen.

Die zuletzt erhaltenen Reduktionen auf Gruppenmittel zeigen eine deutliche Abhängigkeit von der Zenitdistanzdifferenz $\Delta\zeta$, deuten also auf eine Korrektur des angenommenen Schraubenwertes hin. Um diese streng abzuleiten, habe ich bei Annahme von $\delta = \frac{1}{2}(B_{\text{red.}} + M)$ für jede Gruppe eine Ausgleichung vorgenommen in der Form:

$$\text{Red. a. Gr.-Mittel} = x + \Delta\zeta \cdot y,$$

und erhalte die folgenden Werte für y , das ist für die Korrektur des halben Schraubenwertes:

			Struve:					
Gruppe	y	δ	Gruppe	y	δ	Gruppe	y	δ
I	+0.0115	-1.3	IV	+0.0162	-2.2	VII	-0.0022	+17.3
II	+0.0174	-9.5	V	+0.0183	+5.3	VIII	-0.0114	+15.4
III	+0.0312	-4.3	VI	+0.0087	+12.9	IX	+0.0027	+9.9

Rahmenführer:								
Gruppe	y	ϑ	Gruppe	y	ϑ	Gruppe	y	ϑ
I	+ 0.0143	+ 1.5	IV	+ 0.0006	+ 4.7	VII	- 0.0099	+ 16.9
II	+ 0.0014	- 4.3	V	- 0.0007	+ 11.8	VIII	- 0.0202	+ 13.9
III	+ 0.0141	- 0.9	VI	- 0.0013	+ 14.5	IX	- 0.0040	+ 6.4

In beiden Reihen zeigt sich eine starke Abhängigkeit der Größe y von der mittleren Temperatur ϑ bei der zugehörigen Gruppe. Nach Elimination der x habe ich daher in sämtliche Gleichungen noch den Temperaturkoeffizienten der halben Schraubenrevolution = z eingeführt. Es ergibt sich:

$$\begin{aligned} \text{Struve:} \quad \frac{1}{2} dR &= + 0.0144 - 0.001005 \vartheta & R_0 &= 58.7848 \\ &\pm 0.0031 \quad \pm 0.000286 \\ \text{Rahmenführer:} &+ 0.0064 - 0.00105 \vartheta & R_0 &= 58.8028. \\ &\pm 0.0051 \quad \pm 0.00048 \end{aligned}$$

Die konstanten Teile der Korrektur sind für beide Reihen natürlich verschieden, der Temperaturfaktor ergibt sich fast völlig gleich; mit Rücksicht hierauf und auf ihre mittleren Fehler kann man die Werte wohl als reell ansehen. R_0 bezeichnet den entsprechenden für 0° geltenden Schraubenwert selbst.

Der mittlere übrigbleibende Betrag einer Reduktion auf Gruppenmittel ergibt sich zu ± 0.133 für Struve, ± 0.169 für Rahmenführer.

Gruppenmittel.

Die Seite 13—15 mitgeteilten Polhöhenwerte sind auf das System $\frac{1}{2}(B + M)$ bezogen. Durch Anbringung der „unmittelbar für jeden Beobachter getrennt erhaltenen Reduktionen auf Gruppenmittel“ wurden die einzelnen Paare auf das Deklinationssystem der betreffenden Gruppe reduziert, außerdem wurde dann die für das Mittel der Gruppe gültige systematische Reduktion $\frac{1}{2}(M - B)$ an jedes Gruppenmittel angebracht. Die Gruppenmittel sind dadurch bezogen auf das System Mönnichmeyer, das wegen des engen Anschlusses an den N. F. K. als identisch mit diesem angesehen werden kann. Die so erhaltenen Gruppenmittel samt der Anzahl der in jeder Gruppe beobachteten Paare sind im folgenden zusammengestellt:

Gruppenmittel und Tagesmittel.

54° 42' 50" +							
1899	VI	VII	VIII	Tages- Mittel	Gew.	$\varphi_0 - \varphi$	φ_0
Juni 25	0.51 2			50.42	2	+ 0.14	50.56
28	0.50 5	0.48 5		50.43	4	+ 0.14	50.57
29	0.57 5	0.52 5		50.48	4	+ 0.14	50.62
30	0.42 5	0.29 5		50.29	4	+ 0.14	50.43
Juli 7	0.25 3	0.44 5		50.32	4	+ 0.14	50.46
8	0.70 4	0.68 5		50.63	4	+ 0.14	50.77
9	0.77 4	0.72 6		50.68	4	+ 0.14	50.82
10	0.70 4	0.67 6		50.62	4	+ 0.14	50.76
11		0.55 5	0.82 6	50.72	4	+ 0.14	50.86
12		0.68 6	0.63 5	50.66	4	+ 0.14	50.80
13		0.51 6	0.42 6	50.48	5	+ 0.14	50.62
17		0.70 6	0.42 6	50.58	5	+ 0.15	50.73
19		0.36 6	0.43 6	50.41	5	+ 0.15	50.56
20		0.26 6	0.00 4	50.16	4	+ 0.15	50.31
25		0.30 5	0.04 6	50.18	4	+ 0.15	50.33
27		0.47 6		50.43	3	+ 0.15	50.58

1899/1900	VII	VIII	IX	I	II	III	IV	Tages- Mittel	Gew.	$q_0 - \varphi$	q_0	$\frac{1}{8-N}$	korr. q_0
Aug. 1		0.05 1						50.12	1	+ 0.14	50.26		
2	0.49 6	0.31 6						50.42	5	+ 0.14	50.56		
3	0.82 6	0.49 6						50.67	5	+ 0.14	50.81		
4	0.62 5	0.38 6						50.51	4	+ 0.14	50.65		
5	0.21 6							50.17	3	+ 0.14	50.31		
6	0.84 6	0.54 6						50.71	5	+ 0.14	50.85		
7	0.48 6	0.71 1						50.49	3	+ 0.14	50.63		
8	0.78 6	0.97 5						50.88	4	+ 0.14	51.02		
9	0.57 6	0.64 6						50.62	5	+ 0.13	50.75		
10		0.29 4						50.36	2	+ 0.13	50.49		
12	0.58 5	0.48 6						50.55	4	+ 0.13	50.68		
13	0.21 5	0.37 5						50.31	4	+ 0.13	50.44		
14	0.78 6	0.64 6						50.73	5	+ 0.13	50.86		
15	0.50 5							50.46	3	+ 0.13	50.59		
22		0.62 2						50.69	2	+ 0.12	50.81		
24	0.90 4							50.86	2	+ 0.12	50.98		
28	0.64 4	0.52 6						50.60	4	+ 0.11	50.71		
30		0.55 6	0.16 6					50.45	5	+ 0.11	50.56		
Sept. 4		0.27 6	0.21 6					50.34	5	+ 0.10	50.44		
5		0.41 2	0.12 6					50.30	4	+ 0.10	50.40		
6		0.54 2	0.33 6					50.49	4	+ 0.09	50.58		
7		0.40 6	0.44 6					50.51	5	+ 0.08	50.59		
8			0.35 5					50.47	3	+ 0.08	50.55		
13		0.42 6	0.44 6					50.53	5	+ 0.07	50.60		
17		0.50 2	0.70 2					50.69	2	+ 0.06	50.75		
23		0.58 5	0.56 5					50.67	4	+ 0.04	50.71		
25		0.58 1	0.44 3					50.58	2	+ 0.04	50.62		
27		0.48 6	0.37 6					50.52	5	+ 0.03	50.55		
28		0.44 6	0.70 6					50.66	5	+ 0.03	50.69		
Okt. 1		0.56 6	0.39 6					50.57	5	+ 0.01	50.58		
2			0.45 5					50.57	3	+ 0.01	50.58		
6			0.36 3					50.48	2	0.00	50.48		
9			0.23 3					50.35	2	0.00	50.35		
15			0.43 6	0.58 6				50.50	5	- 0.02	50.48		
16			0.65 1					50.77	1	- 0.02	50.75		
20				0.55 3				50.42	2	- 0.02	50.40		
21			0.36 6	0.68 6				50.52	5	- 0.02	50.50		
22			0.20 6	0.48 2				50.34	4	- 0.02	50.32		
26			0.48 2	0.55 6				50.47	4	- 0.03	50.44		
31			0.19 1	0.53 3				50.30	2	- 0.03	50.36		
Nov. 1				0.64 5				50.51	3	- 0.03	50.48		
2			0.58 6	0.56 6				50.56	5	- 0.03	50.53	- 0.1	50.56
3			0.42 6	0.59 1				50.53	3	- 0.03	50.50	+ 0.4	50.38
5			0.49 5	0.68 6				50.58	4	- 0.03	50.55	+ 0.2	50.49
6			0.44 6	0.67 6				50.55	5	- 0.03	50.52	+ 0.1	50.49
16			0.60 6	0.97 3				50.76	4	- 0.04	50.72	+ 0.8	50.48
18			0.55 6	0.67 6				50.61	5	- 0.04	50.57	- 0.2	50.63
29			0.36 4					50.48	2	- 0.04	50.44	- 0.1	50.47
Dez. 11				0.88 6	0.64 6			50.68	5	- 0.05	50.63	+ 0.2	50.57
12				0.88 6	0.55 6			50.63	5	- 0.05	50.58	- 0.2	50.64
13				0.89 1				50.76	1	- 0.05	50.71	0.0	50.71
18				0.40 6	0.46 6			50.35	5	- 0.05	50.30	- 0.2	50.36
19				0.50 5	0.69 3			50.47	4	- 0.05	50.42	- 0.1	50.45
20				0.79 6	0.58 6			50.60	5	- 0.05	50.55	+ 0.1	50.52
21				0.80 6	0.58 6			50.60	5	- 0.05	50.55	+ 0.1	50.52
22				0.62 6	0.72 6			50.59	5	- 0.05	50.54	0.0	50.54
Jan. 7				0.68 4				50.56	2	- 0.06	50.50	0.0	50.50
8				0.75 3				50.62	2	- 0.06	50.56	- 0.2	50.62
12				0.85 6	0.58 6			50.63	5	- 0.07	50.56	+ 0.9	50.29
13					0.45 6	0.64 6		50.54	5	- 0.07	50.47	+ 0.4	50.35
Febr. 7					1.02 6	0.86 6		50.93	5	- 0.07	50.86	+ 1.0	50.56
9					0.36 4	0.51 3		50.41	3	- 0.07	50.34	- 0.2	50.40
13					0.52 2			50.59	2	- 0.07	50.52	0.0	50.52
21					0.67 2			50.73	2	- 0.07	50.66	+ 0.3	50.57
22						0.59 1		50.60	1	- 0.07	50.53	+ 0.2	50.47
23						0.56 5	0.46 6	50.54	5	- 0.07	50.47	+ 0.1	50.44

1900	II	III	IV	V	VI	VII	Tages- Mittel	Gew.	$\varphi_0 - \varphi$	φ_0	$\frac{\Delta \varphi}{s-N}$	korr. φ_0
Febr. 26	0.71 3						50.68	2	-0.07	50.61	+0.2	50.56
27		0.61 5					50.62	3	-0.07	50.55	0.0	50.55
März 3		0.90 5					50.92	3	-0.06	50.86	+0.8	50.62
7		0.91 6	0.68 6				50.83	5	-0.06	50.77	+1.0	50.47
11		0.59 6	0.63 6				50.64	5	-0.06	50.58	0.0	50.58
13		0.64 6					50.65	3	-0.06	50.59	+0.2	50.53
22		0.67 6	0.60 6				50.67	5	-0.06	50.61	+0.1	50.58
23		0.70 4	0.71 1				50.72	3	-0.06	50.66	+0.1	50.63
26			0.70 5	0.32 1			50.70	3	-0.06	50.64	+0.3	50.55
27				0.56 5			50.60	3	-0.06	50.54	-0.2	50.60
April 1			0.60 5				50.66	3	-0.04	50.62	+0.3	50.53
2			0.42 6	0.53 6			50.53	5	-0.04	50.49	+0.1	50.46
3			0.78 5				50.84	3	-0.04	50.80	+0.6	50.62
7				0.67 1			50.71	1	-0.04	50.67	0.0	50.67
11			0.48 1				50.54	1	-0.03	50.51	+0.1	50.48
16			0.70 2				50.76	2	-0.02	50.74	0.0	50.74
18			0.55 5	0.67 6			50.66	4	-0.02	50.64	+0.7	50.43
20			0.54 5	0.46 6			50.54	4	-0.02	50.52	+0.1	50.49
21				0.49 6			50.53	3	-0.02	50.51	+0.1	50.48
22			0.65 5	0.72 6			50.74	4	-0.02	50.72	+0.6	50.56
23			0.95 5	0.74 6			50.89	4	-0.02	50.87	+1.2	50.51
26				0.46 5			50.50	3	-0.01	50.49	+0.1	50.46
27				0.59 6			50.63	3	-0.01	50.62	+0.6	50.44
28				0.31 6			50.35	3	-0.01	50.34	-0.1	50.37
30				0.69 6			50.73	3	-0.01	50.72	+0.7	50.51
Mai 3				0.63 5			50.68	3	-0.01	50.67	+0.1	50.64
4				0.54 2			50.58	2	0.00	50.58	-0.3	50.67
5				0.62 6	0.73 6		50.65	5	0.00	50.65	+0.8	50.41
7				0.46 6	0.50 6		50.46	5	+0.01	50.47	+0.1	50.44
11				1.04 1			51.08	1	+0.01	51.09	+1.1	50.76
12				0.70 6			50.74	3	+0.01	50.75	+0.6	50.57
22					0.59 6		50.51	3	+0.02	50.53	+0.2	50.47
25					0.51 6		50.43	3	+0.02	50.45	-0.1	50.48
30					0.74 6		50.66	3	+0.02	50.68	+0.4	50.56
Juni 10				0.72 2			50.64	2	+0.03	50.67	+0.9	50.40
11				0.67 6			50.58	3	+0.03	50.61	+0.4	50.49
12				0.80 6			50.71	3	+0.03	50.74	+0.8	50.50
13				0.66 6	0.79 6		50.66	5	+0.03	50.69	+0.9	50.42
14				0.75 6			50.67	3	+0.03	50.70	0.0	50.70
18				1.04 2			50.95	2	+0.03	50.98	+0.9	50.71
Juli 5				0.48 3	0.09 6		50.17	4	+0.04	50.21	-0.3	50.30
6				0.64 2			50.56	2	+0.04	50.60	0.0	50.60
7				1.05 4			50.96	2	+0.04	51.00	+1.7	50.49
<hr/>												
1905—06	II	III	IV	V								
Dez. 10	1.12 2	0.77 5					50.88	3	-0.14	50.74	+0.1	
13	0.98 4	0.76 6					50.84	4	-0.14	50.70	-0.1	
Jan. 1	1.02 4						50.98	2	-0.13	50.85	-0.6	
2	0.61 6	0.68 5					50.63	4	-0.12	50.51	-0.6	
3	0.67 5	0.58 3					50.62	4	-0.12	50.50	-0.1	
22	0.76 2						50.73	2	-0.08	50.65	+0.4	
24	0.68 4	0.63 6					50.65	4	-0.08	50.57	-0.6	
Febr. 5	0.76 6	0.66 6					50.75	5	-0.04	50.71	+0.1	
8	0.63 5	0.49 6					50.55	4	-0.04	50.51	-0.1	
12	0.36 5						50.32	3	-0.03	50.29	-0.2	
17	0.67 5	0.67 5					50.66	4	-0.01	50.65	-0.1	
20	0.62 6	0.64 6					50.63	5	-0.01	50.62	0.0	
April 4			0.61 6	0.32 5			50.49	4	+0.11	50.60	0.0	
5			0.48 6	0.68 6			50.59	5	+0.11	50.70	+0.2	
6			0.64 6				50.66	3	+0.11	50.77	+0.4	
7			0.62 5	0.46 6			50.55	4	+0.11	50.66	+0.1	
8			0.63 6	-0.02 1			50.55	3	+0.12	50.67	+0.5	
9			0.69 6	0.59 5			50.66	4	+0.12	50.78	-0.4	

1906	V	VI	VII	VIII	IX	I	Tages- Mittel	Gew.	$\varphi_0 - \varphi$	φ_0	$\Delta \varphi$ s-N
Mai 6	0.49 5	0.73 5					50.56	4	+ 0.16	50.72	+ 0.6
10	0.30 6	0.87 1					50.37	3	+ 0.17	50.54	- 0.2
12	0.71 6	0.72 6					50.66	5	+ 0.17	50.83	+ 0.7
Juni 6		0.51 6					50.39	3	+ 0.18	50.57	+ 0.8
13		0.54 6	0.26 6				50.34	5	+ 0.18	50.52	+ 0.3
18		0.69 6	0.68 6				50.62	5	+ 0.18	50.80	+ 0.6
19		0.49 6	0.41 1				50.37	3	+ 0.19	50.56	+ 1.0
21		0.30 6	0.29 6				50.23	5	+ 0.19	50.42	+ 0.1
Juli 10			0.80 6	0.54 6			50.72	5	+ 0.17	50.89	+ 1.0
11			0.30 6	0.13 6			50.26	5	+ 0.17	50.43	+ 0.4
12			0.77 6	0.63 4			50.75	4	+ 0.17	50.92	+ 0.4
24			0.64 6	0.46 6			50.60	5	+ 0.15	50.75	+ 0.4
Aug. 15				0.31 6	0.47 3		50.47	4	+ 0.13	50.60	0.0
20				0.59 4			50.69	2	+ 0.13	50.82	- 0.3
Sept. 10				0.76 4	0.39 4		50.69	4	+ 0.09	50.78	+ 0.3
11				0.47 6	0.70 6		50.69	5	+ 0.09	50.78	+ 1.5
12				0.56 6	0.46 6		50.62	5	+ 0.09	50.71	+ 0.7
17				0.59 6	0.48 6		50.64	5	+ 0.09	50.73	+ 0.1
Okt. 9				0.58 6	0.35 6	0.70 6	50.58	6	+ 0.04	50.62	+ 0.8
11				0.41 6	0.44 6	0.90 1	50.56	5	+ 0.04	50.60	- 0.4

1906—07	IX	I	II	III	IV					
Nov. 9	0.51 4					50.63	2	0.00	50.63	0.0
14	0.89 6					51.01	3	0.00	51.01	0.0
15	0.61 6	0.77 6	0.63 5			50.66	5	0.00	50.66	- 0.3
22	0.47 5					50.59	3	- 0.01	50.58	- 0.2
26	0.56 6	0.85 4				50.70	4	- 0.01	50.69	+ 0.1
Dez. 8	0.54 6	0.78 6	0.61 6	0.47 6		50.59	6	- 0.02	50.57	0.0
20	0.74 5					50.86	3	- 0.03	50.83	- 0.4
Jan. 15		0.62 6	0.84 6	0.82 6		50.71	6	- 0.04	50.67	- 0.2
Febr. 12			0.74 6	0.62 4		50.68	4	+ 0.04	50.72	- 0.1
13			0.56 6	0.68 5		50.60	4	+ 0.01	50.64	- 0.3
März 3				0.63 6	0.66 6	50.66	5	+ 0.06	50.72	+ 0.1
4				0.36 6	0.60 6	50.50	5	+ 0.06	50.56	0.0
6				0.64 6	0.56 6	50.62	5	+ 0.06	50.68	+ 0.1

Aus den Abweichungen der Einzelpolhöhen vom Gruppenmittel desselben Tages ergibt sich als zufälliger mittlerer Fehler einer Polhöhe ± 0.224 für Struve und ± 0.323 für Rahnenführer. Um zu sehen, von welchen Faktoren diese Werte am meisten beeinflusst werden, habe ich die durchschnittlichen Fehler nach der Zeitdifferenz, der Zenitdistanzdifferenz, der mittleren Zenitdistanz, der Größendifferenz und der Größe des schwächern Sterns geordnet. Von diesen Faktoren hat nur die Größe des schwächern Sterns einen Einfluß auf die Genauigkeit gehabt. Bei Struve, der an die Beobachtung schwacher Objekte durch seine langjährige Tätigkeit gewöhnt war, erhöhte sich die Genauigkeit mit abnehmender Helligkeit, bei meinen Beobachtungen hingegen zeigte sich eine starke Abnahme der Genauigkeit bei den schwächsten Sternen. Zu erklären ist dies dadurch, daß mir diese Sterne überhaupt zu schwach waren; so habe ich im Beobachtungsjournal mehrfach notiert, daß ich den Stern kaum sehen konnte; mitunter mußte ich sogar bei abwechselnd hellem und dunklem Felde beobachten, weil ich selbst bei der schwächsten Beleuchtung Stern und Faden nicht gleichzeitig sehen konnte. Der Grund dafür liegt vielleicht, wie ich nach Abschluß der Reihe mehrfach konstatieren konnte, an einer im Lauf der Zeit eingetretenen Trübung des Prismas, welches, durch das Objektiv betrachtet, stets wie beschlagen erschien.

Reduktion der Gruppen aufeinander.

Aus den an demselben Tage beobachteten Gruppen sind die Gruppendifferenzen abgeleitet; dieselben sind frei von dem jedesmaligen konstanten Tagesfehler, werden aber die anomale Veränderung der Refraktion in der Zwischenzeit enthalten. Die Gruppendifferenzen sind im folgenden, für beide Beobachtungsreihen getrennt, samt den zugehörigen Koeffizienten einer Aberrationsverbesserung zusammengestellt. Die Gewichte sind gemäß der Zahl der in jeder Gruppe beobachteten Paare angesetzt. Ist an einem Abend von einer Gruppe nur ein Paar beobachtet, so wurde dieses weggelassen. An den Tagen, an denen mehr als zwei Gruppen beobachtet wurden, habe ich der Mittelgruppe für jeden der beiderseitigen Anschlüsse nur halbes Gewicht gegeben; es ist das zwar nicht streng richtig, indem die unmittelbaren Anschlüsse der äußern Gruppen aneinander vernachlässigt werden, doch habe ich darauf keine Rücksicht genommen.

VI—VII				IX—I				II—III			
			Gew.				Gew.				Gew.
99 Juni 28	+ 0.02	+ 0.60 dC	2.5	99 Nov. 6	— 0.24	+ 0.33 dC	3.0	07 Febr. 12	+ 0.11	+ 0.34 dC	2.4
29	+ 0.05	+ 0.60 "	2.5	16	— 0.38	+ 0.20 "	2.0	13	— 0.12	+ 0.40 "	2.7
30	+ 0.13	+ 0.60 "	2.5	18	— 0.12	+ 0.25 "	3.0				
Juli 7	— 0.15	+ 0.35 "	1.9					III—IV			
8	+ 0.03	+ 0.47 "	2.2					07 März 3	— 0.02	+ 0.41 dC	3.0
9	+ 0.06	+ 0.42 "	2.4	99 Dez. 11	+ 0.24	+ 0.52 dC	3.0	4	— 0.24	+ 0.40 "	3.0
10	+ 0.03	+ 0.41 "	2.4	12	+ 0.32	+ 0.52 "	3.0	6	+ 0.08	+ 0.40 "	3.0
00 Juni 13	— 0.13	+ 0.53 "	3.0	18	— 0.06	+ 0.47 "	3.0				
Juli 5	+ 0.39	+ 0.16 "	2.0	19	— 0.19	+ 0.55 "	1.9	IV—V			
				20	+ 0.21	+ 0.46 "	3.0	06 April 4	+ 0.29	+ 0.39 dC	2.7
VII—VIII				21	+ 0.22	+ 0.45 "	3.0	5	— 0.20	+ 0.42 "	3.0
99 Juli 11	— 0.27	+ 0.38 dC	2.7	22	— 0.10	+ 0.44 "	3.0	7	+ 0.17	+ 0.37 "	2.7
12	+ 0.05	+ 0.43 "	2.7	00 Jan. 12	+ 0.26	+ 0.24 "	3.0	9	+ 0.10	+ 0.42 "	2.7
13	+ 0.09	+ 0.42 "	3.0								
17	+ 0.28	+ 0.41 "	3.0	II—III				V—VI			
19	— 0.08	+ 0.42 "	3.0	00 Jan. 13	— 0.19	+ 0.58 dC	3.0	06 Mai 6	— 0.24	+ 0.69 dC	2.5
20	+ 0.26	+ 0.47 "	2.4	Febr. 7	+ 0.16	+ 0.42 "	3.0	12	0.00	+ 0.66 "	3.0
25	+ 0.27	+ 0.40 "	2.7	9	— 0.15	+ 0.35 "	1.7				
Aug. 2	+ 0.18	+ 0.40 "	3.0					VI—VII			
3	+ 0.33	+ 0.40 "	3.0	III—IV				06 Juni 13	+ 0.28	+ 0.53 dC	3.0
4	+ 0.24	+ 0.39 "	2.7	00 Febr. 23	+ 0.10	+ 0.43 dC	2.7	18	0.00	+ 0.52 "	3.0
6	+ 0.30	+ 0.38 "	3.0	März 7	+ 0.23	+ 0.40 "	3.0	21	0.00	+ 0.52 "	3.0
8	— 0.18	+ 0.35 "	2.7	11	— 0.04	+ 0.38 "	3.0				
9	— 0.07	+ 0.38 "	3.0	22	+ 0.06	+ 0.31 "	3.0	VII—VIII			
12	+ 0.09	+ 0.36 "	2.7					06 Juli 10	+ 0.26	+ 0.42 dC	3.0
13	— 0.16	+ 0.40 "	2.5	IV—V				11	+ 0.16	+ 0.41 "	3.0
14	+ 0.14	+ 0.37 "	3.0	00 April 2	— 0.11	+ 0.42 dC	3.0	12	+ 0.14	+ 0.40 "	2.4
28	+ 0.11	+ 0.34 "	2.4	18	— 0.12	+ 0.36 "	2.7	24	+ 0.18	+ 0.41 "	3.0
				20	+ 0.08	+ 0.33 "	2.7				
VIII—IX				22	— 0.07	+ 0.33 "	2.7	VIII—IX			
99 Aug. 30	+ 0.38	+ 0.39 dC	3.0	23	+ 0.21	+ 0.32 "	2.7	06 Aug. 15	— 0.16	+ 0.34 dC	2.0
Sept. 4	+ 0.06	+ 0.38 "	3.0					Sept. 10	+ 0.37	+ 0.34 "	2.0
5	+ 0.29	+ 0.27 "	1.5	V—VI				11	— 0.23	+ 0.38 "	3.0
6	+ 0.21	+ 0.27 "	1.5	00 Mai 5	— 0.10	+ 0.67 dC	3.0	12	+ 0.10	+ 0.37 "	3.0
7	— 0.03	+ 0.38 "	3.0	7	— 0.04	+ 0.67 "	3.0	17	+ 0.11	+ 0.35 "	3.0
13	— 0.02	+ 0.36 "	3.0					Okt. 9	+ 0.24	+ 0.25 "	2.0
17	— 0.20	+ 0.16 "	1.0	II—III				11	— 0.03	+ 0.23 "	3.0
23	+ 0.01	+ 0.29 "	2.5	05 Dez. 10	+ 0.35	+ 0.58 dC	1.4				
27	+ 0.10	+ 0.30 "	3.0	13	+ 0.22	+ 0.58 "	2.4	IX—I			
28	— 0.27	+ 0.30 "	3.0	06 Jan. 2	— 0.06	+ 0.63 "	2.7	06 Okt. 9	— 0.36	+ 0.44 dC	2.0
Okt. 1	+ 0.16	+ 0.28 "	3.0	3	+ 0.10	+ 0.71 "	1.9	Nov. 15	— 0.16	+ 0.28 "	2.0
				24	+ 0.04	+ 0.52 "	2.4	26	— 0.29	+ 0.17 "	2.4
IX—I				Febr. 5	+ 0.10	+ 0.44 "	3.0	Dez. 8	— 0.24	+ 0.12 "	2.0
99 Okt. 5	— 0.16	+ 0.42 dC	3.0	8	+ 0.14	+ 0.41 "	2.7				
21	— 0.33	+ 0.40 "	3.0	17	+ 0.00	+ 0.35 "	2.5	I—II			
22	— 0.27	+ 0.30 "	1.5	20	— 0.02	+ 0.30 "	3.0	06 Nov. 15	+ 0.14	+ 0.62 dC	1.9
26	— 0.07	+ 0.45 "	1.5	06 Dez. 8	+ 0.14	+ 0.62 "	2.0	Dez. 8	+ 0.17	+ 0.54 "	1.5
99 Nov. 2	+ 0.02	+ 0.35 "	3.0	07 Jan. 15	+ 0.01	+ 0.58 "	2.0	07 Jan. 15	— 0.22	+ 0.22 "	2.0
5	— 0.19	+ 0.32 "	2.7								

In Hypothese I sind weiterhin die unmittelbar erhaltenen Mittel, für beide Reihen getrennt, zusammengestellt. Geringe Abweichungen dieser Mittel beruhen auf Abrundung der obigen Tageswerte. In Hypothese II habe ich sodann die Gruppendifferenzen wegen der Seite 19 abgeleiteten Korrektur des halben Schraubenwerts in der Form:

$$\text{Struve: } \frac{1}{2} dR = +0.0144 - 0.00100 \text{ } \mathfrak{S}; \quad \text{Rfr.: } \frac{1}{2} dR = +0.0064 - 0.00100 \text{ } \mathfrak{S}$$

verbessert, wobei die mittlere für den Gruppenanschluß gültige Temperatur berücksichtigt wurde.

Gruppendiff.	Struve:				Rahnenführer:			
	Hypothese I		Gew.	Hyp. II	Hypothese I		Gew.	Hyp. II
I— II	+ 0.129	+ 0.45 dC	22.9	+ 0.108	+ 0.014	+ 0.45 dC	5.4	+ 0.028
II— III	— 0.048	+ 0.47 „	7.7	— 0.066	+ 0.064	+ 0.48 „	31.1	+ 0.038
III— IV	+ 0.088	+ 0.38 „	11.7	+ 0.063	— 0.061	+ 0.40 „	9.0	— 0.055
IV— V	— 0.004	+ 0.35 „	13.8	+ 0.008	+ 0.081	+ 0.40 „	11.1	+ 0.081
V— VI	— 0.068	+ 0.67 „	6.0	— 0.072	— 0.111	+ 0.67 „	5.5	— 0.140
VI— VII	+ 0.040	+ 0.47 „	21.4	+ 0.036	+ 0.095	+ 0.52 „	9.0	+ 0.091
VII— VIII	+ 0.096	+ 0.39 „	47.5	+ 0.097	+ 0.188	+ 0.41 „	11.4	+ 0.192
VIII— IX	+ 0.065	+ 0.32 „	27.5	+ 0.064	+ 0.053	+ 0.32 „	18.0	+ 0.048
IX— I	— 0.186	+ 0.34 „	22.7	— 0.177	— 0.261	+ 0.25 „	8.4	— 0.270
Summe:	+ 0.112	+ 3.84 dC		+ 0.061	+ 0.062	+ 3.90 dC		+ 0.013

Der mittlere Fehler der Gewichtseinheit, also einer Einzelpolhöhe, ergibt sich aus den Abweichungen der einzelnen Gruppendifferenzen von ihren Mittelwerten zu ± 0.275 für Struve und ± 0.244 für Rahnenführer, also stark verschieden von dem aus der Abweichung der Einzelpolhöhen vom Gruppenmittel erhaltenen mittleren Fehler. Die Vergrößerung bei Struve kann nicht auffallen, da hierin anomale Veränderungen der Refraktion in der Zwischenzeit eingehen; dagegen muß die Verkleinerung des mittleren Fehlers bei meinen Beobachtungen Befremden erregen. Woran diese liegt, vermag ich nicht zu sagen; es ist möglich, daß sie rein zufälliger Natur ist.

Die Differenzen für Struve und Rahnenführer weichen nicht mehr voneinander ab, als ihren mittleren Fehlern entsprechen würde; ich habe sie daher in Hypothese II als der wahrscheinlicheren nach Maßgabe ihrer Gewichte zum Mittel vereinigt und erhalte:

I— II	+ 0.087	+ 0.45 dC	$\frac{1}{p}$ 0.0353	definitiv: + 0.079
II— III	+ 0.017	+ 0.48 „	0.0258	+ 0.012
III— IV	+ 0.012	+ 0.39 „	0.0483	+ 0.001
IV— V	+ 0.040	+ 0.37 „	0.0402	+ 0.032
V— VI	— 0.104	+ 0.67 „	0.0870	— 0.124
VI— VII	+ 0.052	+ 0.49 „	0.0329	+ 0.045
VII— VIII	+ 0.115	+ 0.40 „	0.0170	+ 0.111
VIII— IX	+ 0.058	+ 0.32 „	0.0220	+ 0.053
IX— I	— 0.202	+ 0.32 „	0.0322	— 0.209
Summe:	0 =	+ 0.075 + 3.89 dC	0.3407	0.000

Der Schlußfehler entspräche einer Korrektur der angewandten Aberrationskonstante von -0.019 , also der Aberrationskonstante 20.481 . Doch ist der Schlußfehler weit kleiner als sein mittlerer Fehler; denn nimmt man nach vorstehendem den mittleren Fehler der Gewichtseinheit zu ± 0.26 an, so würde daraus die mittlere Unsicherheit des Schlußfehlers ± 0.152 folgen. Ich habe daher angenommen, daß der Schlußfehler hauptsächlich durch zufällige Beobachtungsfehler entstanden sei, und ihn deshalb nach den reziproken Gewichten auf die einzelnen Anschlüsse verteilt. Damit erhalte ich die vorher als „definitiv“ angegebenen Gruppendifferenzen. Diese werden übrigens wenig geändert, wenn ich den Schlußfehler durch falsche Annahme der Aberrationskonstante entstanden annehme, also ihn nach Maßgabe der Koeffizienten für deren Verbesserung verteile, oder

wenn ich annehme, daß gleichmäßige Refraktionsschwankungen zwischen den beiden Gruppen des Abends ihn verursacht hätten, also den Schlußfehler zu gleichen Teilen verteile. Die größte Abweichung von den obigen „definitiven“ Gruppendifferenzen betrüge 0.013. Ich habe daher diese Werte endgültig angenommen; damit ergeben sich die folgenden Reduktionen der einzelnen Gruppen auf das Gesamtmittel der neun Gruppen:

I — 0.089	IV + 0.004	VII — 0.044
II — 0.009	V + 0.035	VIII + 0.068
III + 0.003	VI — 0.089	IX + 0.121.

Die Deklinationen waren mit einer Korrektur, die von der Deklination abhing, auf das System Mönnichmeyer reduziert worden. Die Vergleichen Battermanns hatten aber noch eine von der Rektaszension abhängende Differenz ergeben.

Diese betrug für Gruppe:	I bis III — 0.08	VI — 0.15
	IV „ V + 0.15	VII bis IX 0.00.

Der halbe Betrag gäbe wieder die Reduktion auf das System Mönnichmeyer. Durch Vergleichung mit den Reduktionen auf das mittlere Deklinationssystem der neun Gruppen sieht man, daß die Vorzeichen im wesentlichen übereinstimmen, der systematische Fehler also möglicherweise an den Berliner Deklinationen liegt, was aber bei der Seite 18 erwähnten nachträglichen Vergleichung mit dem N.F.K. nicht wahrscheinlich erschien. Bei der hier gebrauchten Reduktion kommt es allerdings auf das zu Grunde gelegte System gar nicht an; die Horrebowbeobachtungen liefern eben selbst die Reduktion auf ein von der Rektaszension unabhängiges System, allerdings unter der Voraussetzung, daß die Refraktionsänderungen zwischen den beiden Gruppen eines Abends in den verschiedenen Jahreszeiten gleichartig verlaufen, und daß die Gruppenanschlüsse genügend sicher ermittelt sind. Letzteres ist aber für die Anschlüsse der Gruppen IV und V an die einschließenden nicht der Fall; sichere Folgerungen über systematische, von der Rektaszension abhängige Fehler der Deklinationen lassen sich daher aus den hiesigen Polhöhenbestimmungen nicht ziehen.

Daß die Refraktionsänderungen zwischen den einzelnen Gruppen wenigstens angenähert konstant gewesen sind, zeigt der Umstand, daß die allerdings geringe Änderung der Differenz „südliches minus nördliches Thermometer im Spalt“ zwischen den beiden Gruppen desselben Abends keinen nachweisbaren Einfluß auf den Gruppenanschluß hatte.

Die Gruppenreduktionen geben das Mittel, sämtliche Gruppenmittel der Polhöhe auf ein einheitliches Deklinationssystem zu beziehen. Damit kann man zugleich die Reduktion auf den korrigierten Schraubenwert vereinigen, indem man dessen Einfluß auf das Gruppenmittel zur Gruppenreduktion addiert. Als Temperatur habe ich dabei die mittlere Temperatur bei der Beobachtung der Gruppe genommen, weil die Änderung des Schraubenwertes mit der Temperatur hierdurch ihrem Hauptbetrage nach berücksichtigt ist; außer diesem würde sie nur nach Verhältnis der Änderung der Reduktion auf den scheinbaren Ort Einfluß auf die mittlere Polhöhe haben. Aber selbst bei Gruppe I, die bei einer Temperaturschwankung von 20° beobachtet ist, beträgt der dadurch entstehende Fehler des Mittels noch nicht 0.003, so daß die Temperaturschwankung für die Gruppe zu vernachlässigen ist.

Tagesmittel, Monatsmittel, mittlere Polhöhe.

Aus den so reduzierten Gruppenmitteln erhalte ich unter Berücksichtigung der Zahl der Paare die auf Seite 19—22 angegebenen Tagesmittel. Diesen habe ich mit Rücksicht auf konstante Tagesfehler reduzierte Gewichte gegeben, derart daß

die Gewichte	1,	2,	3,	4,	5,	6
einer Anzahl von Paaren	1,	2—4,	5—7,	8—11,	12—17,	über 17

entsprechen. Weiter folgt unter $\varphi_0 - \varphi$ die Reduktion auf mittlere Polhöhe; diese habe ich nach Albrecht (*Resultate des internationalen Breitendienstes I*) für die Zeit von 1899.9 bis 1900.5 entnommen, für die übrigen Zeiten den Veröffentlichungen desselben (A. N. 3633, 4121, 4187) unter Ergänzung der z -Werte für 1899; für den Anfang 1907 ist der Gang der Polhöhe ungefähr nach den Resultaten für Carloforte genommen, welche ich einer brieflichen Mitteilung von Herrn Prof. Wanaach verdanke. Für 1899.8 und 1899.9, also für die Zeit des Übergangs vom kooperativen zum internationalen Polhöhendienst, habe ich die Werte etwas abgeändert, um die Kurvenzweige ineinander überzuführen. Unter φ_0 folgt dann der entsprechende unmittelbar erhaltene Tageswert der mittleren Polhöhe. Die folgende Kolumne $\Delta\vartheta$ gibt die Temperaturdifferenz im Spalt.

In den Tagesmitteln zeigt sich sofort eine Abhängigkeit von der Temperaturdifferenz im Spalt = Süd minus Nord. Daher habe ich abschnittsweise eine Ausgleichung der Tageswerte φ_0 der mittleren Polhöhe vorgenommen in der Form:

$$\varphi_0 - \Phi = \Delta\Phi + \Delta\vartheta \cdot y;$$

Φ bezeichnet Mittelwerte, die ungefähr mit den Monatsmitteln zusammenfallen. Nach Elimination der $\Delta\Phi$ habe ich die verbleibenden Normalgleichungen zur Bestimmung von y addiert. Es ergibt sich für die Struvesche Reihe $y = +0.29 \pm 0.03$. Für meine Reihe erhielt ich $y = +0.09 \pm 0.06$; doch ist dieser Wert ganz zweifelhaft. Als ich nämlich längere Zeit nach Abschluß der ganzen Arbeit zur Revision die Thermometer nochmals vergleichen wollte, stellte sich heraus, daß das nördliche Thermometer in der Zwischenzeit zersprungen war. Da es oben an der Decke eingespannt war, konnte dies bisher nicht bemerkt werden. Die Skala des Thermometers war nicht am Rohr, sondern an dem abgesprungenen obern Ende der äußern Hülle befestigt, so daß die Konstanz des Nullpunktes nicht gesichert war, auch Erschütterungen, z. B. durch den Wind, geringen Einfluß auf die Angaben des Thermometers haben konnten. Wann der Fehler eingetreten ist, läßt sich nicht ermitteln; daß er sich während der Struveschen Reihe eingestellt haben könne, ist ausgeschlossen, da die Klemmschraube, welche das Thermometer hielt, mit einer Lederfütterung versehen war, die erst im Lauf der Zeit hart werden konnte. Nimmt man dagegen an, daß die Beschädigung zwischen den beiden Beobachtungsreihen vorgekommen ist, so ließe sich dadurch vielleicht die Verschiedenheit der Koeffizienten y erklären. Bei meiner Beobachtungsreihe habe ich daher die zweifelhafte Temperaturdifferenz nicht berücksichtigt.

Der große Einfluß der Luftschichtung von 0.29 pro Grad Temperaturdifferenz muß Verwunderung erregen, da der Beobachtungsraum nach Norden und Süden vollkommen gleichartig gebaut ist. Die Sonnenstrahlung auf der Südseite verursacht jedoch einen merklichen Temperaturunterschied im Süden und Norden. Ist dieser hier auch zum größten Teil der massiven Bauart zuzuschreiben, so ist es doch möglich, daß er bei andern Polhöhenreihen, wenn auch vielleicht in geringerem Grade, ebenfalls vorhanden ist. Es dürfte sich daher empfehlen, nach Struves Vorgang die Temperaturen im Süden und Norden des Spalts mit peinlichster Sorgfalt zu kontrollieren.

Die wegen der Temperaturdifferenz im Spalt korrigierten Tageswerte der mittleren Polhöhe sind Seite 20—21 in der letzten Kolumne „korr. φ_0 “ angegeben.

Zu bedauern ist es, daß die Hälfte der ersten Reihe vor Anbringung der beiden Thermometer im Spalt liegt; doch konnte auch für diese der Einfluß der Temperaturdifferenz summarisch berücksichtigt werden. Diese Differenz zeigt nämlich einen regelmäßigen Gang mit der Jahreszeit, der zwar bei Struve etwas weniger stark ausgeprägt ist, aber doch im selben Sinne verläuft. Es ist nämlich die mittlere Temperaturdifferenz für

	Nov.	Dez.	Jan.	Febr.	März	April	Mai	Juni	Juli
Struve:	+0.14	−0.01	+0.44	+0.27	+0.30	+0.39	+0.31	+0.65	+0.22
Rahnenführer:	−0.10	−0.07	−0.17	−0.12	+0.07	+0.11	+0.44	+0.50	+0.56.

Ich habe daher für Juni bis Oktober 1899 die Werte extrapoliert und für das Monatsmittel angenommen:

1899	Juni	Juli	Aug.	Sept.	Okt.
Korrektion	— 0.18	— 0.15	— 0.13	— 0.10	— 0.07.

Damit erhalte ich die folgenden reduzierten Monatsmittel:

Monat	Jahr	φ	Gew.	Tage	Paare	$\varphi_0 - \varphi$	φ_0	$-y \Delta \vartheta$	korr. φ_0
1899 Juni—Juli	1899.53	50.47	64	16	154	+ 0.14	50.61	— 0.16	50.45
August	.61	50.55	67	18	155	+ 0.13	50.68	— 0.13	50.55
September	.71	50.50	44	11	99	+ 0.07	50.57	— 0.10	50.47
Oktob.	.79	50.48	35	11	71	— 0.01	50.47	— 0.07	50.40
November	.86	50.58	31	8	72	— 0.03	50.55	— 0.04	50.51
Dezember	.96	50.57	35	8	81	— 0.05	50.52	0.00	50.52
1900 Januar	1900.03	50.59	14	4	31	— 0.07	50.52	— 0.13	50.39
Februar	.14	50.65	23	8	43	— 0.07	50.58	— 0.08	50.50
März	.21	50.72	30	8	63	— 0.06	50.66	— 0.09	50.57
April	.29	50.61	46	15	99	— 0.02	50.62	— 0.12	50.50
Mai	.37	50.60	28	9	56	+ 0.01	50.61	— 0.09	50.52
Juni—Juli	.47	50.62	26	9	49	+ 0.03	50.65	— 0.16	50.49
						Mittel	50.59		50.49
1905—06 Dez.—Jan.	1906.00	50.74	23	7	52	— 0.12	50.62		
Februar	.12	50.60	21	5	50	— 0.03	50.57		
April	.27	50.58	23	6	58	+ 0.11	50.69		
Mai	.36	50.55	12	3	29	+ 0.17	50.72		
Juni	.46	50.39	21	5	49	+ 0.18	50.57		
Juli	.54	50.57	19	4	46	+ 0.17	50.74		
Aug.—Okt.	.70	50.61	36	8	88	+ 0.09	50.70		
November	.88	50.72	17	5	42	0.00	50.72		
1906—07 Dez.—Jan.	.98	50.69	15	3	47	— 0.03	50.66		
Febr.—März	1907.16	50.61	23	5	57	+ 0.06	50.67		
						Mittel	50.67		

Der Mittelwert ist ohne Berücksichtigung der Gewichte gebildet. Sieht man die Abweichungen der Monatsmittel als rein zufällige an, so würde folgen:

m. F. eines Monatsmittels:	Struve:	± 0.055	Rahnenführer:	± 0.062
„ „ des Mittelwertes:		± 0.016		± 0.020 .

Die gefundenen Mittelwerte sind:

Struve:	$\varphi_0 = 54^\circ 42' 50.59$	korrigiert:	50.49
Rahnenführer:			50.67;

doch erfordert der letzte Wert wegen der Temperaturdifferenz wahrscheinlich noch eine negative Korrektion.

Die angewandte Art der Bestimmung der mittleren Polhöhe gibt die Reduktion auf das Mittel der Deklinationen unter der Voraussetzung, daß die Anschlüsse der einzelnen Sternpaare aneinander mit genügender Schärfe erfolgt sind. Das ist jedoch wenigstens für den Anschluß V—VI nicht der Fall gewesen; ich habe daher nach dem Vorgange Battermanns (*Resultate der Polhöhenbest. in Berlin S. 41*) zur Kontrolle des erhaltenen Wertes die mittlere Polhöhe noch auf direktem Wege hergeleitet, da durch die genauen Deklinationsbestimmungen am Berliner und Bonner Kreise die Einheitlichkeit des Systems genügend gesichert scheint. Es wurden an die einzelnen auf Seite 13—15 mitgeteilten momentanen Polhöhen die Reduktionen auf mittlere Polhöhe nach Seite 19—22 angebracht und die so gebildeten mittleren Polhöhen ein und desselben Paares gemittelt. So erhalte ich 54 Mittelwerte φ'_0 , aus denen das Generalmittel φ_0 der Polhöhe gebildet wird durch eine Ausgleichung in der Form:

$$\varphi_0 = \varphi'_0 + 0.1 \Delta \zeta \cdot y + 0.01 \Delta \zeta \cdot \vartheta \cdot z.$$

y ist darin die Verbesserung des 5-fachen Schraubenwerts und z der 50-fache Temperaturkoeffizient einer Revolution. Setze ich noch $54^{\circ} 42' 50''.60 - \varphi_0 = x$, so erhalte ich die folgenden Gleichungen samt den übrigbleibenden Resten B.—R., welche letztere im Sinne: beobachtetes minus berechnetes φ_0 angesetzt sind:

		Struve:			B.—R.	Rahmenführer:				B.—R.
Gruppe I	1	+ 0.26 = x	+ 0.51 y	— 0.07 z	— 0.20	+ 0.12 = x	+ 0.09 y	+ 0.01 z	— 0.20	
	2	— 0.10 = x	+ 0.13 y	— 0.02 z	+ 0.10	— 0.07 = x	— 0.28 y	— 0.04 z	— 0.04	
	3	— 0.26 = x	— 0.85 y	+ 0.11 z	+ 0.12	— 0.15 = x	— 1.21 y	— 0.18 z	— 0.03	
	4	— 0.16 = x	— 1.46 y	+ 0.19 z	— 0.07	— 0.49 = x	— 1.86 y	— 0.28 z	+ 0.25	
	5	+ 0.10 = x	+ 0.01 y	0.00 z	— 0.12	+ 0.08 = x	— 0.38 y	— 0.06 z	— 0.20	
	6	— 0.22 = x	+ 0.13 y	— 0.02 z	+ 0.22	— 0.54 = x	— 0.25 y	— 0.04 z	+ 0.44	
II	1	+ 0.24 = x	+ 0.85 y	— 0.81 z	— 0.06	+ 0.16 = x	+ 0.64 y	— 0.28 z	— 0.15	
	2	— 0.01 = x	— 0.14 y	+ 0.13 z	— 0.05	— 0.08 = x	— 0.33 y	+ 0.14 z	— 0.06	
	3	— 0.23 = x	— 1.14 y	+ 1.08 z	— 0.06	— 0.25 = x	— 1.30 y	+ 0.56 z	— 0.05	
	4	+ 0.17 = x	— 0.22 y	+ 0.21 z	— 0.24	— 0.03 = x	— 0.36 y	+ 0.16 z	— 0.12	
	5	— 0.01 = x	— 0.47 y	+ 0.45 z	— 0.12	— 0.09 = x	— 0.58 y	+ 0.25 z	— 0.10	
	6	— 0.04 = x	+ 0.49 y	— 0.47 z	+ 0.13	— 0.20 = x	+ 0.40 y	— 0.17 z	+ 0.17	
III	1	— 0.21 = x	— 0.07 y	+ 0.03 z	+ 0.18	— 0.20 = x	+ 0.04 y	0.00 z	+ 0.11	
	2	— 0.24 = x	— 0.19 y	+ 0.08 z	+ 0.18	— 0.20 = x	— 0.04 y	0.00 z	+ 0.11	
	3	— 0.30 = x	— 0.99 y	+ 0.43 z	+ 0.10	— 0.07 = x	— 0.82 y	+ 0.07 z	— 0.11	
	4	+ 0.06 = x	+ 0.33 y	— 0.14 z	— 0.02	— 0.01 = x	+ 0.53 y	— 0.05 z	— 0.02	
	5	+ 0.04 = x	+ 0.52 y	— 0.22 z	+ 0.04	+ 0.03 = x	+ 0.75 y	— 0.07 z	— 0.04	
	6	+ 0.40 = x	+ 0.65 y	— 0.28 z	— 0.30	+ 0.38 = x	+ 0.90 y	— 0.08 z	— 0.37	
IV	1	— 0.06 = x	— 1.15 y	+ 0.25 z	— 0.14	— 0.02 = x	— 0.84 y	— 0.40 z	— 0.09	
	2	— 0.04 = x	+ 0.48 y	— 0.11 z	+ 0.09	— 0.24 = x	+ 0.83 y	+ 0.39 z	+ 0.17	
	3	+ 0.14 = x	+ 0.84 y	— 0.18 z	— 0.03	— 0.23 = x	+ 1.19 y	+ 0.56 z	+ 0.18	
	4	— 0.12 = x	+ 0.32 y	— 0.07 z	+ 0.15	— 0.07 = x	+ 0.68 y	+ 0.32 z	0.00	
	5	+ 0.08 = x	+ 1.13 y	— 0.25 z	+ 0.08	— 0.03 = x	+ 1.50 y	+ 0.70 z	— 0.01	
	6	— 0.09 = x	+ 0.32 y	— 0.07 z	+ 0.12	— 0.20 = x	+ 0.70 y	+ 0.33 z	+ 0.13	
V	1	— 0.04 = x	+ 0.20 y	+ 0.11 z	+ 0.04	+ 0.04 = x	+ 0.56 y	+ 0.66 z	— 0.17	
	2	+ 0.24 = x	+ 0.17 y	+ 0.09 z	— 0.25	+ 0.04 = x	+ 0.54 y	+ 0.64 z	— 0.17	
	3	+ 0.09 = x	+ 0.61 y	+ 0.32 z	— 0.07	— 0.01 = x	+ 0.98 y	+ 1.16 z	— 0.15	
	4	— 0.02 = x	+ 1.13 y	+ 0.60 z	+ 0.08	— 0.15 = x	+ 1.49 y	+ 1.76 z	— 0.04	
	5	— 0.15 = x	— 0.56 y	— 0.30 z	+ 0.09	— 0.29 = x	— 0.20 y	— 0.24 z	+ 0.21	
	6	— 0.38 = x	— 1.12 y	— 0.59 z	+ 0.28	— 0.38 = x	— 0.77 y	— 0.91 z	+ 0.34	
VI	1	— 0.16 = x	+ 1.10 y	+ 1.42 z	+ 0.13	— 0.14 = x	+ 1.32 y	+ 1.91 z	— 0.10	
	2	— 0.20 = x	— 0.85 y	— 1.10 z	+ 0.19	— 0.21 = x	— 0.64 y	— 0.93 z	+ 0.19	
	3	+ 0.18 = x	+ 0.71 y	+ 0.92 z	— 0.21	— 0.18 = x	+ 0.88 y	+ 1.28 z	0.00	
	4	— 0.24 = x	+ 0.87 y	+ 1.12 z	+ 0.20	— 0.34 = x	+ 1.01 y	+ 1.46 z	+ 0.14	
	5	— 0.34 = x	0.00 y	0.00 z	+ 0.32	— 0.47 = x	+ 0.11 y	+ 0.16 z	+ 0.37	
	6	— 0.19 = x	— 0.20 y	— 0.26 z	+ 0.17	+ 0.17 = x	— 0.12 y	— 0.17 z	— 0.24	
VII	1	— 0.13 = x	— 0.03 y	— 0.05 z	+ 0.12	— 0.04 = x	— 0.04 y	— 0.07 z	— 0.04	
	2	— 0.32 = x	— 0.19 y	— 0.33 z	+ 0.31	— 0.25 = x	— 0.22 y	— 0.37 z	+ 0.19	
	3	— 0.19 = x	+ 0.96 y	+ 1.66 z	+ 0.11	— 0.32 = x	+ 0.90 y	+ 1.52 z	+ 0.10	
	4	+ 0.14 = x	— 0.21 y	— 0.36 z	— 0.15	— 0.10 = x	— 0.32 y	— 0.54 z	+ 0.06	
	5	+ 0.03 = x	— 1.11 y	— 1.92 z	+ 0.02	+ 0.11 = x	— 1.23 y	— 2.08 z	— 0.02	
	6	— 0.01 = x	— 0.90 y	— 1.56 z	+ 0.05	— 0.06 = x	— 1.05 y	— 1.77 z	+ 0.12	
VIII	1	+ 0.08 = x	— 0.95 y	— 1.46 z	— 0.07	+ 0.21 = x	— 1.19 y	— 1.65 z	— 0.18	
	2	+ 0.09 = x	— 0.71 y	— 1.09 z	— 0.08	+ 0.21 = x	— 0.97 y	— 1.35 z	— 0.21	
	3	— 0.04 = x	+ 1.40 y	+ 2.16 z	— 0.04	— 0.22 = x	+ 1.12 y	+ 1.56 z	+ 0.02	
	4	— 0.05 = x	— 0.01 y	— 0.02 z	+ 0.03	+ 0.12 = x	— 0.32 y	— 0.44 z	— 0.18	
	5	— 0.21 = x	+ 0.10 y	+ 0.15 z	+ 0.18	— 0.30 = x	— 0.23 y	— 0.32 z	+ 0.24	
	6	+ 0.17 = x	— 0.79 y	— 1.22 z	— 0.15	— 0.01 = x	— 1.15 y	— 1.60 z	+ 0.04	
IX	1	+ 0.30 = x	+ 0.35 y	+ 0.35 z	— 0.31	+ 0.12 = x	— 0.05 y	— 0.03 z	— 0.21	
	2	+ 0.08 = x	— 1.29 y	— 1.28 z	— 0.13	— 0.01 = x	— 1.70 y	— 1.09 z	— 0.09	
	3	+ 0.23 = x	— 0.44 y	— 0.44 z	— 0.26	+ 0.20 = x	— 0.86 y	— 0.55 z	— 0.30	
	4	+ 0.15 = x	— 0.18 y	— 0.18 z	— 0.17	+ 0.02 = x	— 0.61 y	— 0.39 z	— 0.11	
	5	+ 0.15 = x	+ 0.80 y	+ 0.79 z	— 0.15	— 0.06 = x	+ 0.37 y	+ 0.24 z	— 0.02	
	6	+ 0.11 = x	+ 0.74 y	+ 0.73 z	— 0.11	— 0.14 = x	+ 0.30 y	+ 0.19 z	+ 0.05	

Die Gewichte sämtlicher Gleichungen sind als gleich angenommen, die Unsicherheit der Deklinationen ist also als die Hauptfehlerquelle betrachtet. Als mittlere Temperatur habe ich für jede Gruppe die für die vollständigen Abende dieser Gruppe gültige Mitteltemperatur nach Seite 18—19 angesetzt. Damit ergeben sich die folgenden Werte der Unbekannten samt ihren mittleren Fehlern:

Struve:	Rahnenführer:
$x = -0.025 \pm 0.022$	$x = -0.086 \pm 0.024$
$y = +0.132 \pm 0.037$	$y = +0.100 \pm 0.045$
$z = -0.113 \pm 0.035$	$z = -0.144 \pm 0.044$

Die Korrektur und der Temperaturfaktor des halben Schraubenwerts stimmt mit den Seite 19 erhaltenen Werten innerhalb der wahrscheinlichen Fehler überein; aus den Werten x würde folgen:

Struve:	$\varphi_0 = 54^\circ 42' 50.625$
Rahnenführer:	50.686.

Diese Werte sind aber noch bezogen auf das Deklinationssystem $\frac{1}{2}(M+B)$; um sie auf das vorher angewandte System M zu reduzieren, muß man noch den Betrag $\frac{1}{2}(M-B) = -0.027$ anbringen. Damit werden die obigen Werte:

Struve:	$\varphi_0 = 54^\circ 42' 50.60$
Rahnenführer:	50.66.

Diese Werte stimmen mit den Seite 27 erhaltenen Mittelwerten der φ_0 , welche ebenso wie die jetzt erhaltenen ohne Berücksichtigung der Temperaturdifferenz im Spalt gebildet sind, fast völlig überein. Man sieht also, daß durch die mangelhaften Gruppenanschlüsse der Mittelwert der Polhöhe nicht merklich beeinflusst wird.

Die übrigenbleibenden Fehler zeigen wieder einen Gang mit der Zenitdistanz, und zwar ergibt sich:

ζ	B.—R.	
	Str.:	Rfr.:
0—2°	—0.16	—0.12
2—5	—0.03	—0.05
5—10	+0.12	+0.08
10—12	+0.03	+0.01
über 12	+0.06	+0.05

Durch Umkehr des Zeichens ergibt sich die Reduktion der Einzelpolhöhen auf das Deklinationssystem. Vergleicht man diese Reduktionen mit dem Mittel der Reduktionen auf Gruppenmittel für die Systeme M und B (Seite 17), so ergibt sich fast völlige Uebereinstimmung.

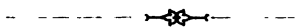
Die auf gleiche Weise erhaltenen Mittelwerte der Polhöhe für Struve und Rahnenführer weichen 0.08 bzw. 0.06 voneinander ab. Dieser Unterschied könnte verursacht sein durch eine fehlerhafte Annahme des Schraubenwertes, durch einen Fehler der Eigenbewegungen, durch eine reelle Veränderung der mittleren Polhöhe oder durch Auffassungsverschiedenheiten. Der erstgenannte Grund dürfte wegfallen, da bei gleichmäßiger Verteilung der Beobachtungen auf alle Gruppen, die ja durch gleichmäßige Berücksichtigung der Monatsmittel erreicht ist, der halbe Schraubenwert bei Struve nur mit dem Faktor —0.6, bei mir mit dem Faktor +2.8 in das Endresultat eingeht und doch auf 0.005 sicher sein sollte. Noch unwahrscheinlicher ist es, daß die von Battermann unter Berücksichtigung aller wichtigeren Kataloge abgeleiteten Eigenbewegungen einen systematischen Fehler von durchschnittlich +0.012 aufweisen sollten, welcher dann dem System des N. F. K. zugeschrieben werden müßte. Eher noch wäre an eine reelle Veränderung der mittleren Polhöhe zu denken. Am einfachsten wäre der Unterschied wohl durch fehlerhafte Bisektion der Sterne in der einen Kreislage zu erklären. Da wenigstens bei der Ergänzungsreihe die Beleuchtung in beiden Lagen nicht gleich war, so kann ein derartiger Fehler vielleicht entstanden sein. Fraglich ist auch,

ob die Temperaturdifferenz im Spalt bei beiden Reihen durchschnittlich dieselbe gewesen ist, eine Frage, die sich mit Rücksicht auf den Defekt am Nordthermometer nicht beantworten läßt. Man könnte allenfalls noch an den Seite 3 erwähnten Einfluß der Schiefstellung der Niveaus denken, doch bleibt auch diese Erklärung zweifelhaft.

Da Meridiankreis und Refraktor genau in der Ost-Westrichtung vom Bambergischen Passageninstrument liegen, liefert die Reihe gleichzeitig die Polhöhe für alle drei Instrumente oder richtiger die dem Zenit im Vergleich zu den Deklinationen $+38^{\circ}$ bis $+72^{\circ}$ entsprechende mittlere Deklination im System von Auwers' Neuem Fundamentalkatalog.

Die bisher für die Polhöhe der Königsberger Sternwarte erhaltenen Werte sind:

1813/14	$+54^{\circ} 42' 50.35''$	Polaris in beiden Kulminationen	} Caryscher Kreis.
1813/14	50.67	andere Sterne in beiden Kulminationen	
1816/17	50.55	Polaris in 36° Zenitdistanz	
1820/21	50.52	{ Zirkumpolarsterne in beiden Kulminationen am Reichenbachschen Kreise.	
1842/44	50.56	{ Polaris in beiden Kulminationen, direkt und reflektiert, am Repsoldschen Kreise.	
1847	50.49		
1886/87	50.43		
1899/1900	50.49	{ Horrebow-Talcott-Methode	
1905/07	50.67(?)	{ am Bambergischen Passageninstrument.	



Astronomische Beobachtungen
auf der
Königlichen Sternwarte zu Königsberg.

Herausgegeben vom Direktor H. Battermann.

Abteilung 43, II.

Mikrometermessungen von Doppelsternen
am 32.5 cm-Refraktor,

ausgeführt in den Jahren 1898—1909 von H. Struve,
Fritz Cohn, A. Postelmann und W. Hassenstein,

zusammengestellt und diskutiert von

Dr. Walter Hassenstein,
vormals Assistent an der Königsberger Sternwarte.



Inhalt.

	Seite
Das Programm	33
Das Instrument und die Meßmethode	34
Die Anwendung des Prismas bei den Doppelsternmessungen	35
Die Resultate	36
Erläuterungen zum Katalog der Messungen	41
Verzeichnis der Doppelsterne	42
Katalog der Messungen	45

Das Programm.

Der Arbeitskatalog für die Königsberger Doppelsternmessungen ist von H. Struve aufgestellt und bildet im wesentlichen eine Ergänzung seiner im XII. Bande der „Publications de Poulkovo“ enthaltenen zehnjährigen Beobachtungsreihe von Doppelsternen. Der Pulkowaer Arbeitskatalog enthielt „alle Σ - und $O\Sigma$ -Sterne mit nördlicher Deklination, welche nach den Messungen von W. Struve, O. Struve und Dembowski Bewegung besitzen oder vermuten lassen“, sowie eine Anzahl bemerkenswerter von Burnham, Alvan Clark, Alvan George Clark, Dawes und Dembowski entdeckter Doppelsterne. Infolge der vielfältigen Aufgaben, denen der 30-zöllige Pulkowaer Refraktor neben den Doppelsternmessungen dienen mußte, hatte H. Struve das in Aussicht genommene Arbeitsprogramm bis zu seiner Übersiedelung nach Königsberg im Jahre 1895 nicht vollständig durchzuführen vermocht, „insbesondere mußte die Beobachtung der dem Pol nahen Sterne, welche mit Rücksicht auf die Bestimmung der systematischen Beobachtungsfehler getrennt vorgenommen werden sollte, unterbleiben“. Die letzte Gruppe von Sternen bildet einen Hauptbestandteil des Königsberger Programms. Neu hinzugekommen ist eine kleine Anzahl von Σ - und $O\Sigma$ -Sternen mit südlicher Deklination, während die engsten Paare, als für den Königsberger Refraktor ungeeignet, fortgelassen sind. Bei meinen Messungen bevorzugte ich solche Paare, die entweder erhebliche Bewegung zeigen oder für die aus sonstigen Gründen eine Neubestimmung erwünscht schien.

Die vorliegende Arbeit faßt drei durch beträchtliche Zeitintervalle geschiedene Einzelreihen zusammen, von denen die von H. Struve unter Assistenz von A. Postelmann ausgeführte die bedeutendste ist. Die erste Reihe wurde von F. Cohn im Sommer 1898, einige Monate nach Aufstellung des Refraktors, in Angriff genommen und erstreckt sich über den Zeitraum von August 1898 bis Juni 1900. Aus dieser Periode liegen außerdem noch vereinzelter Messungen von H. Struve vor. Die Doppelsternmessungen der zweiten Periode gehören dem Zeitraum von April 1901 bis April 1904 an und sind von H. Struve in Gemeinschaft mit Postelmann ausgeführt. Nach vierjähriger Unterbrechung dieser Beobachtungen entschloß ich mich im Frühjahr 1908 auf Anregung des Herrn Geh.-Rat Struve zu einer Fortsetzung der Messungen. Meine Reihe begann im Mai des Jahres, erfuhr jedoch bereits im November, als erst eine verhältnismäßig geringe Zahl von Messungen erlangt war, eine längere Unterbrechung. Zu dieser Zeit wurden nämlich die Okulare der Firma Reinfelder und Hertel zur Anfertigung eines Reversionsprismas eingesandt, dessen Lieferung sich infolge Erkrankung des Herrn Karl Reinfelder wider Erwarten bis Ende Februar verzögerte. Im März 1909 wurden die Messungen, nunmehr unter Benutzung des Prismas, wieder aufgenommen und bis Ende des Jahres fortgeführt.

Das Instrument und die Meßmethode.

Eine kurze Beschreibung des Königsberger Refraktors ist von H. Struve in seiner Abhandlung: „Mikrometermessungen von Eros während der Opposition 1900/01“¹⁾ gegeben. Ergänzend ist zu bemerken, daß die Okularverschiebung seit 1907 mittels einer von Repsold getroffenen Einrichtung in zwei zueinander senkrechten Richtungen möglich ist.

Die Aufstellung des Instruments verlangt wegen ihres Einflusses auf die Richtung der täglichen Bewegung am Positionskreise ständige Kontrolle. Vom 14. März 1898 liegt eine Aufstellungsbestimmung von F. Cohn vor, aus der sich schließen läßt, daß damals das Instrument nahe berichtigt war. Eine nachträgliche Berichtigung der Lage der Stundenachse nahm H. Struve am 9. September 1900 vor. Er findet aus mehrfachen Bestimmungen im Winter 1900/01 folgende Werte der Instrumentalkonstanten:

$$\begin{aligned} \xi &= -0.71 & \eta &= \begin{array}{l} -2.78 \text{ vor der Berichtigung} \\ +0.37 \text{ nach der Berichtigung} \end{array} & b &= +0.13 \\ c &= +0.02 & i' &= +0.65 & a \cos \varphi &= +0.60. \end{aligned}$$

Weitere Bestimmungen sind von E. Przybyllok an 3 Tagen im Sommer 1906 ausgeführt und geben die Werte:

$$\xi = -1.0 \quad \eta = +0.2 \quad b = +0.1.$$

Schließlich habe ich an 4 Tagen im Herbst 1909 ausführliche Aufstellungsbestimmungen vorgenommen, die zu den Resultaten führen:

$$\xi = -1.04 \quad \eta = +1.16 \quad b = +0.06 \quad c = +0.04 \quad i' = +0.62 \quad a \cos \varphi = +0.67.$$

Die gute Übereinstimmung dieser Werte mit den Struve'schen gestattet einen Schluß auf die bemerkenswerte Konstanz der Aufstellung des Instruments. Nur die Stundenachse scheint sich im Laufe der Zeit ein wenig verschoben zu haben, wie die Vergleichung der für η gefundenen Werte lehrt. Jedenfalls ist es für die Reduktion der Positionswinkel von Doppelsternen völlig genügend, die Nullpunktskorrektur des Positionskreises unabhängig von der Lage des Instruments anzunehmen.

Bei der Reduktion der Distanzmessungen hat der Schraubenwert $1^R = 20''.078$ Verwendung gefunden. Näheres über seine Bestimmung findet sich in den „Erosmessungen“. Von späteren Bestimmungen des Schraubenwertes liegen solche von Przybyllok und von mir vor. Przybyllok findet aus 8 Messungen des Bogens AZ im Perseus:

$$1^R = 20''.0755 \pm 0''.0040 \text{ m. F.}$$

und aus den Deklinationsdifferenzen von 4 Plejadenpaaren:

$$1^R = 20''.0752 \pm 0''.0033 \text{ m. F.,}$$

im Mittel:

$$1^R = 20''.075.$$

Ich erhalte aus 9 Messungen des Perseusbogens während der Jahre 1908 und 1909 den Wert:

$$1^R = 20''.083 \pm 0''.003 \text{ m. F.}$$

H. Struve hat bei wiederholten Untersuchungen der Mikrometerschraube keine merklichen Schraubenfehler nachweisen können. Dagegen findet Przybyllok im Mai 1907, kurz nachdem eine infolge eines unglücklichen Zufalls eingetretene Verbiegung der Schraube von Repsold beseitigt war, merkliche periodische Fehler, die die gemessene Doppeldistanz bis zum Maximalbetrage von $0''.13$ beeinflussen. Eine Berücksichtigung der Schraubenfehler ist nicht notwendig, da die Beobachter fast ausnahmslos nach jeder Messung der doppelten Distanz die Koinzidenz der Fäden geändert haben.

Die Einstellungen sind im allgemeinen mit dunklen Fäden im hellen Felde gemacht. Nur bei sehr schwachen Objekten sind öfter helle Fäden bei der Beobachtung benutzt. Zur Beleuchtung des Feldes ist bei den Messungen von H. Struve und Postelmann fast stets, bei F. Cohn's und meinen Messungen nur gelegentlich rotes Licht in Anwendung gekommen. Für den Refraktor sind 6 Okulare

¹⁾ Astron. Beob. auf der Königl. Univ.-Sternwarte zu Königsberg. 41. Abteilung.

vorhanden, deren Vergrößerungszahlen sind: I 120, II 180, III 260, IV 360, V ca. 500, VI ca. 800. Am häufigsten sind bei den Messungen die Okulare IV und V benutzt. Ich habe mich in den letzten Monaten fast ausschließlich auf den Gebrauch von Okular IV beschränkt.

Die Messungen der Positionswinkel und Distanzen beruhen in der Mehrzahl der Fälle auf je 4 Einstellungen. Nach Vorgang von H. Struve maßen sämtliche Beobachter sowohl Positionswinkel als auch Distanz entweder in scheinbar vertikaler (:) oder in scheinbar horizontaler (..) Lage der Sterne und Fäden. Dabei läßt sich der Übelstand nicht vermeiden, daß während der Messung der Kopf mehr oder weniger geneigt gehalten werden muß. Zur Messung des Winkels wurden die engeren Paare gewöhnlich zwischen zwei Fäden gestellt, während die weiteren Paare mit Hilfe eines Einzelfadens biseziert wurden. Dagegen stellte Cohn im ersten Jahre seiner Messungsreihe die Sterne durchweg auf den Querfaden ein. Auch ich bevorzugte anfangs die Einstellung auf den Faden, weil ich so von systematischen Einstellungsfehlern einigermaßen frei zu sein hoffte¹⁾. Gewöhnlich benutzte ich bei der Messung den beweglichen Faden, den ich über den Stern hin- und herbewegte, um so die Richtung des Paares nicht nur in seiner Stellung auf dem Faden, sondern auch neben dem Faden beurteilen zu können. Doch erfordert diese Methode der Einstellung zu viel Zeit, so daß ich, als ich mit Prisma zu beobachten begann, gern zu der gewöhnlichen Methode der Einstellung zwischen zwei Fäden überging.

Die Anwendung des Prismas bei den Doppelsternmessungen.

Seit den dreißiger Jahren des vorigen Jahrhunderts sind von einzelnen Doppelsternbeobachtern Reversionsprismen in Anwendung genommen. Der dabei befolgte Zweck war, die Verbindungslinie des zu messenden Paares in bequemen Richtungen (vertikal oder horizontal) erscheinen zu lassen. Dawes²⁾ ist wohl der erste, der bei Doppelsternmessungen den ausgiebigsten Gebrauch von Prismen macht; er beobachtet bald bei horizontaler, bald bei vertikaler Stellung der Komponenten. Kaiser³⁾ in Leiden verwendet bei seinen Messungen ein Prisma, dessen Leistungen er einer kritischen Betrachtung unterwirft. Er bringt die Verbindungslinie der Komponenten in horizontale Richtung. Ferner erwähnt Engelmann⁴⁾ einige Versuchsreihen mit Prisma an Castor und γ Leonis, die ihm keine Abhängigkeit der Messung von der Richtung des Paares zu zeigen schienen. Schließlich ist zu erwähnen, daß v. Seeliger⁵⁾ bei seinen Bestimmungen des Uranusdurchmessers ein Prisma verwendet. Er hebt ausdrücklich hervor, daß das Prisma so gut war, daß „gar kein Unterschied zwischen den direkt gesehenen und den reflektierten Bildern zu bemerken war“. Allerdings betont er andererseits die Notwendigkeit, das Prisma vor der Benutzung auf seine Vollkommenheit zu untersuchen. Er tritt sehr warm für die Verwendung des Prismas auch bei Doppelsternmessungen ein.

Das Königsberger Prisma scheint hinsichtlich seiner optischen Eigenschaften dem von Seeliger beschriebenen Prisma nicht nachzustehen. Niemals wurde auch nur die geringste Beeinträchtigung des reflektierten Bildes bemerkt. Das Prisma ist nach den Angaben des Herrn Prof. Battermann konstruiert und läßt neben einer beliebigen Drehung eine zweite hiervon unabhängige um genau 90° zu. Das gewöhnlich bei der Messung eines Doppelsterns eingeschlagene Verfahren war das folgende: Das Bild der Sterne und Fäden wurde durch Drehung des Prismas nach Möglichkeit in die vertikale Stellung gebracht. Dann erfolgten zwei Einstellungen des Positionswinkels und nach Drehung des Prismas um 90° (also des Bildes um 180°) zwei weitere Einstellungen. Die Distanz wurde bei waagrechter Stellung der Sterne, mithin senkrechter Stellung der Fäden gemessen.

¹⁾ cf. Publ. de Poulkovo XII pag. 4.

²⁾ Memoirs of the R. Society Vol. VIII, XIX, XXXV.

³⁾ Leid. Annalen Bd. III.

⁴⁾ Astron. Nachr. Nr. 2742.

⁵⁾ Sitzungsberichte d. mathem.-physik. Klasse d. k. b. Akademie der Wissenschaften zu München Bd. XIV pag. 267.

Außer diesen Messungen mit Prisma, die den Hauptbestandteil meiner Reihe bilden, habe ich noch einige Messungen kombinierter Art ausgeführt und im folgenden mitgeteilt. Es sind dies gleichzeitige Messungen mit und ohne Anwendung des Prismas; sie beziehen sich nur auf die Positionswinkel. Die Methode, nach der diese Messungen ausgeführt sind, findet sich in der 1908 im XXV. Bande des Bulletin Astronomique erschienenen Arbeit: „P. Salet et J. Bosler, Recherches sur les erreurs dues à l'équation personnelle et mesures micrométriques d'étoiles doubles“ ausführlich beschrieben. Die Methode verdient insofern besondere Beachtung, als sie theoretisch die Möglichkeit gewährt, den systematischen Fehler der Einstellung der Positionswinkel überall da zu eliminieren, wo er in einer fälschlichen Beurteilung der Parallelstellung von Sternen und Fäden seinen Ursprung hat. Hierunter fallen insbesondere die Fehler, die als Funktion der Stellung des Paares zur Vertikalen aufzutreten pflegen. Nach der praktischen Seite hin bedarf die Methode noch eingehender Prüfung.

Die Resultate.

Ein Verzeichnis der beobachteten 285 Objekte ist S. 42—3 gegeben. Die Zahl der Messungen beträgt beiläufig 1600; davon entfallen auf Cohn 320, Struve 310, Postelmann 520, Hassenstein 450, worunter 100 ohne Prisma. Über den mittleren Fehler einer vollständigen, auf je 4 Einstellungen in Positionswinkel und Distanz beruhenden Messung gibt die folgende Tabelle Aufschluß:

Mittl. Dist.	C		S		P		H	
	$s \Delta p$	Δs	$s \Delta p$	Δs	$s \Delta p$	Δs	$s \Delta p$	Δs
0.9	(0.025)	—	0.025	0.079	0.021	—	(0.016)	—
1.5	0.040	(0.068)	0.025	0.079	0.027	0.102	0.020	0.084
2.5	0.037	0.111	(0.039)	(0.089)	0.038	0.129	0.040	0.104
4.0	0.054	0.087	(0.043)	(0.082)	0.068	0.119	0.052	0.113
6.3	0.060	0.073	(0.080)	(0.115)	0.055	0.104	0.081	0.089

Die in Klammern gesetzten Werte konnten wegen Mangels an Material nicht sicher bestimmt werden. Die Tabelle zeigt, abgesehen von dem relativ etwas größeren Fehler der Postelmann'schen Distanzmessungen, keine wesentlichen Unterschiede der Beobachtungsgenauigkeit für die einzelnen Beobachter. Freilich ist zu beachten, daß Struve vorzugsweise die schwierigeren Objekte gemessen hat.

Zum Nachweis systematischer Fehler sind einige Versuche gemacht. H. Struve hat in seiner Pulkowaer Arbeit die Abhängigkeit seiner Positionswinkelmessungen von der scheinbaren Stellung des Paares gegen die Vertikale hervorgehoben. Das Gesetz, daß die scheinbar vertikal (:) gemessenen Winkel kleiner ausfallen als die scheinbar horizontal (..) gemessenen, findet sich bei den wenigen Sternen, die zum Vergleich herangezogen werden konnten, auch hier bestätigt. F. Cohn hat mehrfach unmittelbar nacheinander Messungen desselben Paares in scheinbar horizontaler und scheinbar vertikaler Stellung ausgeführt. Von 30 solchen Messungen geben 20 bei vertikaler Stellung größere Werte des Positionswinkels als bei horizontaler. Will man diese Unterschiede als systematisch ansehen, so zeigen sie bei Cohn offenbar ein entgegengesetztes Verhalten als bei Struve.

Ich habe ferner, ohne darin Vollständigkeit zu erstreben, die Messungen der einzelnen Beobachter untereinander verglichen. Die Herstellung einer sicheren Beziehung zwischen H. Struve's und Postelmann's Messungen wird durch die nahe Übereinstimmung der Beobachtungsepochen erleichtert. Unter Benutzung von 44 Sternen, die mir 61 Vergleichspunkte in p und 41 in s liefern, leite ich für die Reduktion der Postelmann'schen Messung auf die Struve'sche die durchschnittlichen Werte ab:

$$\Delta p (S - P) = -0.9 \quad \Delta s (S - P) = -0.17,$$

gültig für Doppelsterne bis zu 6'' Distanz. Nimmt man entsprechend einem Ergebnis der Pulkowaer Doppelsternmessungen¹⁾ an, daß H. Struve's Positionswinkel im Durchschnitt eine kleine positive systematische Korrektur verlangen, so kann, wie der Wert von Δp zeigt, der systematische Fehler der Postelmann'schen Positionswinkel nicht bedeutend sein. Dagegen ist bei Postelmann die ausgesprochene Neigung vorhanden, die Distanzen besonders der engen Paare zu groß zu messen, was durch obigen Wert von Δs bestätigt wird.

Um nun auch einen Anhalt für die Vergleichung zwischen sämtlichen Beobachtern zu gewinnen, vergleiche ich die Messungen von 12 Sternen mit den Ephemeriden, die Lohse im 20. Bande der Potsdamer Publikationen gegeben hat. In der folgenden Tabelle sind für jeden Stern die Korrekturen der Ephemeride zusammengestellt, wie sie sich aus den Messungen ergeben.

Stern	Epoche	C — L		S — L		P — L		H — L	
		Δp	Δs	Δp	Δs	Δp	Δs	Δp	Δs
$\Sigma 60$ η Cassiop. 4.0 .. 7.6 0 214.3 5.25 239.5 6.16	98.62	— 2.1 (2)	— 0.01 (2)						
	99.62	— 0.8 (2)	+ 0.05 (2)						
	00.21	— 0.6 (2)	— 0.13 (2)						
	01.75			— 1.9 (2)	— 0.21 (2)				
	02.07					— 0.9 (2)	+ 0.10 (2)		
	02.15			— 1.7 (1)	— 0.23 (1)				
	03.56					— 0.9 (1)	— 0.32 (1)		
	09.20							— 0.5 (6)	+ 0.06 (5)
$\Sigma 1110$ α Gemin. ²⁾ 2.7 .. 3.7 0 225.0 5.67 221.2 5.49	00.24	+ 0.9 (5)	+ 0.02 (5)						
	01.34			+ 0.3 (2)	— 0.12 (2)	+ 1.1 (2)	+ 0.19 (2)		
	02.22					+ 0.6 (2)	— 0.07 (2)		
	02.27			+ 0.8 (5)	+ 0.05 (5)				
	03.80					+ 0.5 (5)	+ 0.02 (5)		
	08.66							+ 0.8 (8)	+ 0.03 (8)
$\Sigma 8121$ 7.5 .. 7.8 0 17.4 0.75 26.7 0.69	00.14	+ 2.7 (1)							
	02.28			— 1.6 (3)	0.00 (3)				
	02.93					+ 0.6 (4)			
	04.21					+ 0.4 (3)			
$\Sigma 1888$ ξ Bootis 4.7 .. 6.6 0 208.1 2.71 151.6 2.33	99.42			+ 0.4 (1)	+ 0.45 (1)				
	99.46	— 0.3 (4)	+ 0.12 (4)						
	00.37	— 1.7 (3)	+ 0.13 (3)						
	01.34					— 0.2 (5)	+ 0.35 (5)		
	01.36			— 1.7 (3)	— 0.03 (3)				
	02.32					— 0.8 (5)	+ 0.20 (5)		
	02.41			— 2.7 (2)	— 0.01 (2)				
	03.35					— 1.0 (2)	+ 0.03 (2)		
	03.50			— 1.6 (3)	+ 0.01 (3)				
	04.28					— 2.6 (1)	+ 0.05 (1)		
	09.36							— 3.2 (8)	+ 0.09 (8)
$\Sigma 1937$ η Coronae 5.2 .. 5.7 0 345.0 0.56 35.7 1.07	98.50			— 1.8 (2)					
	98.67	+ 0.6 (1)							
	99.61	— 0.2 (1)							
	01.35			+ 0.2 (2)	+ 0.18 (1)				
	01.86					+ 1.7 (4)	+ 0.11 (1)		
	02.31					— 2.0 (4)	+ 0.22 (2)		
	02.38			— 4.1 (3)	— 0.03 (3)				
	03.49			— 3.6 (4)	+ 0.04 (3)	— 0.7 (3)	+ 0.12 (1)		
	09.50							— 1.6 (2)	+ 0.18 (2)

¹⁾ Publications de Poulkovo XII pag. 9.

²⁾ Elemente I.

Stern	Epoche	C — L		S — L		P — L		H — L	
		Δp	Δs	Δp	Δs	Δp	Δs	Δp	Δs
$\Sigma 1996$ ϵ Scorpii 4.9 .. 5.2 47.7 0.73	99.55	$+0.2^{(1)}$							
$\Sigma 2055$ λ Ophiuchi 4.0 .. 6.1 57.5 1.24 57.6 1.24	02.24 02.37			$-2.1^{(9)}$ $+0.22^{(7)}$		$0.0^{(1)}$ $+0.26^{(1)}$			
$\Sigma 2064$ ζ Herculis ¹⁾ 3.0 .. 6.5 229.6 (0.9) 205.9 (1.1)	01.73 02.46 02.53 03.53			$-3.4^{(1)}$ $-5.2^{(4)}$ $-4.9^{(2)}$		$-1.0^{(1)}$			
$\Sigma 2178$ Ophiuchi 221 5.8 .. 6.1 333.1 1.19 328.2 0.94	99.50 01.73 02.52 03.57	$+0.8^{(3)}$ $+0.11^{(2)}$		$-3.2^{(3)}$ $+0.04^{(3)}$ $-2.2^{(1)}$		$-1.7^{(2)}$ $+0.30^{(1)}$			
$\Sigma 2272$ 70 Ophiuchi ²⁾ 4.1 .. 6.1 258.1 1.69 156.4 3.20	99.63 00.44 01.70 02.52 02.58 03.52 08.66 09.45	$-0.9^{(9)}$ $+0.25^{(8)}$ $-0.9^{(1)}$ $+0.09^{(1)}$		$+0.5^{(6)}$ $+0.26^{(6)}$ $-1.3^{(4)}$ $+0.07^{(3)}$		$-0.3^{(3)}$ $+0.25^{(1)}$ $-0.3^{(2)}$ $+0.45^{(1)}$		$+2.3^{(3)}$ $+0.21^{(3)}$ $-1.6^{(4)}$ $0.00^{(4)}$	
$\beta 151$ β Delphini 4.1 .. 5.4 4.9 0.69 18.0 0.52	99.72 01.71 02.60	$-3.5^{(3)}$		$-0.8^{(5)}$ $-0.09^{(5)}$ $-0.6^{(1)}$ $-0.12^{(1)}$					
$\Sigma 3062$ 6.9 .. 8.0 341.4 1.56 0.3 1.59	99.56 01.72 02.49 09.78	$-2.9^{(5)}$ $+0.06^{(3)}$		$-1.0^{(1)}$ $+0.14^{(1)}$		$-3.2^{(1)}$		$-2.3^{(4)}$ $-0.04^{(4)}$	

Für jeden Stern sind in der ersten Spalte Positionswinkel und Distanz für die jeweilig voneinander entfernten Epochen der Vergleichung gegeben. Den Werten Δp und Δs der Tabelle ist die zugehörige Zahl von Einzelmessungen in Klammern beigegefügt. Die Unterschiede zwischen Messung und Rechnung erreichen nirgends besonders große Beträge. Für einige Sterne läßt es der Parallelismus in den Abweichungen der Beobachter von Lohse wahrscheinlich erscheinen, daß die Abweichungen zum Teil an den Bahnen von Lohse liegen. Als Resultat der Vergleichung ergibt sich, daß, etwa abgesehen von den oben erwähnten Differenzen Struve—Postelmann, beträchtliche systematische Unterschiede zwischen den Messungen der einzelnen Beobachter nicht vorhanden sind.

¹⁾ Mittel der Elemente I und II. Lohse gibt nur Positionswinkel.

²⁾ Elemente III.

Einen Beitrag zur Kenntnis des systematischen Fehlers meiner mit Prisma gemessenen Positionswinkel liefern die S. 36 erwähnten und im folgenden mitgeteilten Versuchsreihen an $\Sigma 2130$ und $\Sigma 2804$. Aus ihnen ergeben sich als absolute Korrekturen der Positionswinkel in guter Übereinstimmung die Werte:

$$\Delta p = +0.62 \quad \Delta p = +0.87 \quad \Delta p = +0.61,$$

gültig für eine Distanz von 2—3". Hieraus wäre hinsichtlich meiner Messungen mit Prisma der Schluß zu ziehen, daß ich die Positionswinkel in vertikaler Stellung der Komponenten zu klein messe.

Die Versuchsreihen bestehen in Messungen von Positionswinkeln nach der Methode von Salet und Bosler. Jede Positionswinkelmessung beruht auf 4—8 Einstellungen mit dem Doppelfaden. Der in Spalte 3 gegebene Winkel bezieht sich auf die Messung ohne Prisma; in Spalte 4 ist das Resultat der Messung mit Prisma bei genau entsprechender Stellung der Sterne und Fäden gegen die Vertikale gegeben. Die Messungen von μ Draconis sind durchschnittlich bei einer Neigung von 10° des Paares gegen die Horizontale ausgeführt, entsprechend dem mittleren Stundenwinkel $5^h.4$. Von den beiden Messungssätzen des Doppelsterns $\Sigma 2804$ erfolgte der erste bei einer durchschnittlichen Neigung von 17° gegen die Vertikale, der zweite bei einer Neigung von 33° gegen die Horizontale. Die Messungen sind durchweg bei scheinbar horizontaler bzw. vertikaler Stellung der Sterne und Fäden, also bei geneigter Kopfhaltung ausgeführt. Der in Spalte 5 angeführte Winkel ist der nach der Theorie vom systematischen Fehler freie Mittelwert und ist als eigentliches Resultat der Messung zu betrachten. Die Übereinstimmung der Endwerte aus den beiden Sätzen von $\Sigma 2804$ steht mit der Theorie im Einklang und liefert einen Beitrag zu ihrer Bestätigung. — Der in Spalte 6 stehende Winkel ist nach dem gewöhnlichen Verfahren, nämlich durch Messung mit Prisma in vertikaler Stellung der Sterne, erhalten und zum Vergleich danebengestellt.

$\Sigma 2130$ μ Draconis $17^h 2^m 51^s + 54^\circ 38'$ $5.0 \dots 5.1$ $s = 2.4$

Epoche	t	IV :	IVP :	p (Mittel)	IVP :	Bild
09.728	^h 4.0	319.0	315.4	317.2	316.4	3—4
.734	6.2	318.8	314.2	316.5	316.9	3
.753	5.8	317.9	314.8	316.4	316.1	3—4
.755	7.0	318.6	315.0	316.8	316.0	3—4
.777	4.3	318.7	313.1	315.9	316.0	3—4
.821	4.5	319.6	314.8	317.2	315.1	3—4
.887	5.8	316.8	315.8	316.3	315.4	3
09.78	^h 5.4	318.49	314.73	316.61	315.99	(7)

$\Sigma 2804$ Pegasi 29 $21^h 27^m 26^s + 20^\circ 11'$ $7.3 \dots 8.0$ $s = 3.0$

Epoche	t	IV :	IVP :	p (Mittel)	IVP :	Bild
09.684	^h —2.0	336.3	334.6	335.4	—	4—3
.687	—1.2	336.0	335.0	335.5	—	3
.690	—1.5	336.2	335.3	335.8	— ₀	3—4
.723	0.5	336.1	334.0	335.0	334.3	3
.731	—1.5	336.5	333.7	335.1	334.7	3
.734	—0.3	335.8	335.3	335.6	334.4	2—3
.736	1.2	336.0	333.2	334.6	334.0	4—3
.750	—0.5	335.4	334.3	334.8	334.1	4
.753	0.3	335.6	334.9	335.2	335.1	3—4
.821	—1.6	336.0	334.3	335.2	334.0	3
.827	—0.5	335.9	335.1	335.5	334.8	3—4
.846	—1.5	335.4	335.1	335.2	334.2	3—4
.931	1.0	336.4	334.8	335.6	—	4—3
09.76	^h —0.6	335.97	334.58	335.27	334.40	(13)

Epoche	t	IV ..	IVP ..	p (Mittel)	IVP :	Bild
09.747	^h 2.2	⁰ 335.7	⁰ 335.2	⁰ 335.4	⁰ 334.6	3—4
.777	2.2	336.6	334.8	335.7	335.6	3—4
.788	3.8	336.7	334.8	335.8	—	3—4
.827	2.3	336.1	335.3	335.7	335.1	4
.829	3.0	334.7	334.7	334.7	—	3—4
.832	2.7	335.5	335.3	335.4	334.6	4
.854	3.7	335.9	334.8	335.4	334.1	3
.870	1.9	335.3	334.6	335.0	334.6	4
.958	2.5	335.9	334.6	335.2	334.8	2—3
.961	1.8	335.4	334.4	334.9	334.3	3—4
09.84	^h 2.6	⁰ 335.78	⁰ 334.85	⁰ 335.32	⁰ 334.71	(10)

Gesamtmittel: Epoche 09.80 $p = 335.30$ (23).

Es bleibt schließlich die wertvolle Struve-Postellmann'sche Reihe an 61 Cygni¹⁾ näher zu besprechen. Die Messungen des Doppelsterns, die H. Struve im Anschluß an eine noch nicht veröffentlichte Bestimmung der Parallaxe von 61 Cygni unternahm, sind durchweg mit besonderer Sorgfalt und bei verschiedenen Stundenwinkeln ausgeführt, um den Einfluß etwaiger systematischer Stundenwinkelfehler auf p und s zu untersuchen. Ich vergleiche die Messungen zunächst mit den Bahnformeln, die Ö. Bergstrand in seinen „Untersuchungen über das Doppelsternsystem 61 Cygni“ auf S. 106 gegeben hat. Das Resultat der Vergleichung, die auch auf Cohn's und meine Messungen ausgedehnt wurde, ist in der folgenden Tabelle enthalten:

Beob.	Epoche	mittl. Stw.	p (Beob.)	p (Rechn.)	B.—R.	s (Beob.)	s (Rechn.)	B.—R.
C	99.54	—	⁰ 125.34 (7)	⁰ 125.24	+ 0.10	21.97 (7)	21.95	+ 0.02
S	00.74	^h — 0.9	125.72 (1)	125.68	[+ 0.04]	21.89 (1)	22.07	[— 0.18]
	01.73	+ 0.9	125.94 (5)	126.04	— 0.10	22.19 (5)	22.17	+ 0.02
	02.92	+ 3.6	126.17 (8)	126.47	— 0.30	22.30 (7)	22.29	+ 0.01
	03.52	— 3.6	126.55 (9)	126.69	— 0.14	22.35 (9)	22.35	0.00
	04.17	+ 7.6	126.56 (4)	126.92	— 0.36	22.42 (4)	22.42	0.00
	04.67	— 1.8	127.20 (8)	127.10	+ 0.10	22.51 (8)	22.47	+ 0.04
P	02.55	—	125.50 (2)	126.34	[— 0.84]	22.32 (2)	22.25	[+ 0.07]
	03.50	— 3.0	126.37 (4)	126.68	— 0.31	22.38 (4)	22.35	+ 0.03
	03.83	+ 3.5	126.44 (3)	126.80	— 0.36	22.43 (3)	22.38	+ 0.05
	04.19	— 3.8	126.64 (2)	126.93	— 0.29	22.59 (2)	22.42	+ 0.17
H	09.72	—	128.58 (4)	128.87	— 0.29	22.85 (4)	22.98	— 0.13

Was zunächst die Struve'schen Messungen betrifft, so weisen die Distanzen gute Übereinstimmung mit den Bergstrand'schen Werten auf, dagegen zeigen die Differenzen B.—R. bezüglich der Positionswinkel merkliche Unterschiede, in denen eine Abhängigkeit vom Stundenwinkel deutlich erkennbar ist. Und zwar hat Struve die Positionswinkel bei positiven Stundenwinkeln durchschnittlich um 0^o.2 bis 0^o.3 kleiner gemessen als bei negativen Stundenwinkeln. Will man diese Unterschiede als objektiv vorhanden ansehen, so käme als Erklärung wohl nur die atmosphärische Dispersion ernstlich in Frage. Doch zeigt eine kleine Überlegung, daß mit dieser Annahme eine wesentliche Verbesserung der Darstellung nicht zu erzielen ist. Bei weitem wahrscheinlicher ist, daß die Abweichungen subjektiver Natur sind und sich durch das Auftreten eines systematischen Einstellungsfehlers erklären, der sich mit der Stellung des Paares zur Vertikalen, d. h. mit dem Stundenwinkel

¹⁾ Vgl. S. 73.

ändert. Tatsächlich ist bei 61 Cygni die Verbindungslinie der Komponenten in positiven Stundenwinkeln fast horizontal, in negativen nahe vertikal gerichtet. Daß das S. 36 erwähnte, für Messungen zwischen den Fäden gültige Gesetz hier nicht bestätigt wird, ist nicht weiter auffällig, da die Messungen von 61 Cygni durchweg nach der Bisektionsmethode ausgeführt sind.

Die Messungen Postelmann's zeigen keine Abhängigkeit vom Stundenwinkel. Eine zu verbürgende systematische Abweichung gegen Struve's Messungen weisen nur die Distanzen auf, die Postelmann im Durchschnitt um 0".07 größer mißt. Ein Blick auf das Gesamtmaterial der Positionswinkelmessungen macht es übrigens wahrscheinlich, daß die Bergstrand'schen Winkel einer kleinen Korrektur in negativem Sinne bedürfen.

Für den mittleren Fehler einer Messung von 61 Cygni, bestehend aus 4—8 Einstellungen in jeder Koordinate, leite ich die folgenden Werte ab:

	Δp	$s \Delta p$	Δs
C	± 0.50	± 0.191	± 0.116
S	± 0.19	± 0.073	± 0.064
P	± 0.22	± 0.084	± 0.080
H	± 0.21	± 0.084	± 0.122

In dieser Tabelle fällt die überlegene Genauigkeit der Struve'schen Messungen sogleich ins Auge. Die Fehler sind aus den einzelnen Gruppen von Messungen abgeleitet. Würde man den mittleren Fehler der Struve'schen Messungen aus dem Gesamtmaterial berechnen, so käme er für den Positionswinkel etwas vergrößert heraus, und die schon jetzt größere Genauigkeit der Distanzmessung gegenüber der Winkelmessung würde noch deutlicher hervortreten.

Erläuterungen zum Katalog der Messungen.

Die Doppelsterne sind nach ihren Rektaszensionen geordnet. Bezeichnung, Ort für Äquinoktium 1880.0 und Größen der Sterne sind die des Burnham'schen „General Catalogue of Double Stars within 121° of the North Pole“. Die Messungen sind für jeden Stern in Gruppen geteilt, die die Buchstabenbezeichnungen C, S, P, H tragen, entsprechend den Beobachtern Cohn, Struve, Postelmann, Hassenstein. Zur Erklärung der einzelnen Kolumnen ist zu bemerken:

Die erste Kolumne gibt neben der Bezeichnung des Beobachters die Epoche der Beobachtung in Bruchteilen des annus fictus. Die Angabe bezieht sich der Einfachheit halber überall auf die mittlere Mitternacht des Beobachtungstages.

Die zweite Kolumne enthält den Stundenwinkel t , in dem der Stern sich zur Zeit der Messung befand. Diese Angabe ist bei meinen Messungen mit Prisma als unwesentlich fortgeblieben.

Die dritte Kolumne enthält den beobachteten Positionswinkel p . Er ist auf den mittleren Äquator der Beobachtungsepoche zu beziehen.

Die vierte Kolumne gibt Aufschluß darüber, ob die Sterne bei Messung des Winkels zwischen die Fäden gestellt oder ob sie mit einem Einzelfaden biseziert (bs) sind. Ferner, ob bei scheinbar vertikaler (:) oder bei scheinbar horizontaler (..) Lage des Paares beobachtet ist. Wo diese Angabe vom Beobachter unterlassen ist, wird sie in den meisten Fällen entsprechend der jeweiligen Stellung des Paares gegen die Vertikale ergänzt werden können.

Die fünfte Kolumne enthält die gemessene Distanz s . Falls die Distanz auf Schätzung beruht, findet sich in den Bemerkungen die Angabe „ s tax.“ (taxiert). Unsichere Werte sind in Klammern gegeben und bei der Mittelbildung nicht berücksichtigt. Dies gilt insbesondere für die von Cohn und Postelmann stets nur beiläufig geschätzten Distanzen.

Die sechste Kolumne gibt das angewandte Okular an, mit dem Zusatz P, wenn mit Prisma gemessen ist.

Die siebente Kolumne gibt den Luftzustand bezw. die Güte des Bildes an. Dabei ist die Skala verwandt: 1 vorzüglich, 2 gut, 3 mittelmäßig, 4 schlecht, 5 unbrauchbar.

Die achte Kolumne enthält Angaben über die Zahl der Einstellungen, falls nicht der reguläre Satz von 4 Einstellungen gemacht ist, sowie sonstige Bemerkungen. Störungen durch den Dampfhammer der in der Nähe der Sternwarte gelegenen Eisengießerei, die häufig genug vorkamen, sind nur gelegentlich erwähnt.

Unter den Einzelmessungen sind, für jeden Beobachter getrennt, die Mittel angeführt. Die Anzahl der Messungen, auf denen jedes Mittel beruht, ist in Klammern beigefügt. Die Messungen, die F. Cohn unmittelbar nacheinander an demselben Paar in verschiedener Kopfhaltung ausgeführt hat¹⁾, gelten bei der Mittelbildung nur als eine einzige Messung.

Es folgt zunächst das Verzeichnis der beobachteten Doppelsterne, geordnet nach den Nummern der Entdeckungskataloge.

Verzeichnis der Doppelsterne.

Wilhelm Struve.

Σ	Burnh. G. C.	S.	Σ	Burnh. G. C.	S.	Σ	Burnh. G. C.	S.	Σ	Burnh. G. C.	S.
2	21	46	749	2845	50	1472	5557	58	1985	7433	65
13	92	46	881	3277	50	1476	5572	58	1998	7487	65
44	340	46	918	3423	51	1500	5633	58	2032	7563	66
59	422	46	936	3484	51	1504	5659	58	2055	7649	66
60	426	46	943	3495	51	1516	5706	58	2084	7717	66
63	444	46	948	3559	51	1523	5734	58	2107	7783	66
73	482	46	978	3685	51	1534	5757	59	2114	7837	66
113	707	47	982	3692	51	1536	5765	59	2120	7858	66
118	759	47	1009	3793	51	1606	6053	59	2130	7878	67
148	903	47	1025	3858	51	1619	6090	59			39
185	1027	47	1037	3876	52	1621	6097	60	2153	7965	67
186	1015	47	1066	3970	52	1643	6174	60	2156	7991	67
202	1061	47	1093	4065	52	1647	6187	60	2161	8003	67
208	1074	47	1110	4122	52	1670	6243	60	2169	8032	67
227	1137	47	1126	4193	52	1687	6296	60	2173	8038	67
262	1262	47	1142	4264	52	1703	6333	61	2192	8107	67
272	1295	48	1175	4402	52	1716	6373	61	2199	8118	67
296	1393	48	1187	4452	53	1728	6406	61	2205	8153	67
305	1427	48	1196	4477	53	1757	6530	61	2215	8163	68
312	1457	48	1223	4601	54	1758	6527	61	2218	8145	67
314	1459	48	1234	4645	54	1763	6558	61	2220	8162	68
320	1493	48	1273	4771	54	1768	6566	61	2262	8303	68
325	1487	48	1279	4789	54	1781	6619	62	2272	8340	68
333	1512	48	1280	4815	54	1785	6641	62	2276	8348	68
343	1595	49	1306	4923	55	1788	6668	62	2280	8377	68
367	1623	49	1313	4944	55	1805	6737	62	2289	8398	69
371	1641	49	1327	4987	55	1819	6780	62	2315	8548	69
400	1747	49	1338	5030	55	1820	6776	62	2323	8574	69
401	1733	49	1356	5103	55	1830	6801	62	2345	8660	69
422	1787	49	1358	5111	56	1831	6804	62	2382	8783	69
460	1952	49	1362	5136	56	1846	6880	63	2383	8785	69
535	2161	49	1365	5127	56	1863	6948	63	2384	8759	69
566	2279	49	1374	5171	56	1865	6955	63	2400	8830	69
567	2272	49	1389	5233	56	1879	6999	63	2417	8914	69
577	2307	49	1394	5254	56	1883	7013	63	2424	8940	70
619	2446	50	1398	5268	56	1888	7034	63	2437	8988	70
629	2558	50	1410	5398	57	1909	7120	64	2450	9011	70
634	2548	50	1423	5385	57	1932	7214	64	2455	9043	70
676	2652	50	1424	5388	57	1937	7251	64	2461	9053	70
677	2657	50	1426	5397	57	1938	7259	64	2509	9235	70
704	2738	50	1450	5484	57	1954	7318	65	2514	9251	70
738	2821	50	1457	5508	58	1967	7368	65	2525	9319	70

¹⁾ Vgl. S. 36.

Σ	Burnh. G. C.	S.	Σ	Burnh. G. C.	S.	Σ	Burnh. G. C.	S.	Σ	Burnh. G. C.	S.
2536	9381	70	2725	10504	72	2822	11214	74	2990	12228	76
2553	9456	70	2727	10509	72	2824	11222	74	3001	12304	76
2556	9500	70	2737	10643	72	2837	11267	74	3007	12332	76
2576	9602	70	2742	10676	72	2843	11334	75	3008	12340	76
2579	9605	71	2744	10685	72	2860	11471	75	3050	12675	76
2585	9643	71	2745	10698	73	2877	11592	75	3057	12735	76
2596	9712	71	2746	10690	73	2895	11657	75	3062	12755	76
2603	9713	71	2749	10709	73	2900	11690	75	3114	2041	49
2607	9782	71	2751	10713	73	2909	11743	75	3115	2926	50
2640	9935	71	2758	10732	73	2915	11789	75	3121	5005	55
2642	9944	71	2783	10854	74	2934	11908	75	App. I 1	415	46
2658	10044	71	2799	11001	74	2944	11968	75	App. II 11	10932	74
2672	10147	72	2804	11051	74	2950	12021	75			
2717	10426	72			39	2976	12172	76			

Otto Struve.

$O\Sigma$	Burnh. G. C.	S.	$O\Sigma$	Burnh. G. C.	S.	$O\Sigma$	Burnh. G. C.	S.	$O\Sigma$	Burnh. G. C.	S.
2	70	46	156	3601	51	237	5859	59	358	8663	69
12	260	46	159	3678	51	249	6155	60	380	9531	70
18	374	46	165	3844	51	266	6494	61	387	9650	71
20	479	46	170	3949	52	285	7001	63	395	9833	71
33	826	47	177	4191	52	287	7044	64	406	10141	72
35	884	47	187	4406	53	288	7049	64	411	10473	72
38	1070	47	196	4866	55	296	7276	65	413	10533	72
43	1365	48	208	5223	56	298	7332	65	422	10617	72
50	1568	49	210	5281	56	303	7477	65	437	10922	74
53	1639	49	215	5365	56	311	7636	66	442	11084	74
82	2154	49	216	5409	57	312	7634	66	483	12094	75
92	2445	50	224	5515	58	323	7873	66	515	600	47
98	2535	50	229	5560	58	338	8210	68	522	5227	56
149	3474	51	234	5805	59	357	8659	69	545	3074	50

Burnham.

β	Burnh. G. C.	S.
151	10363	72
648	8933	69
720	12432	76
800	6442	61
1101	732	47

Alvan Clark.

A. C.	Burnh. G. C.	S.
17	10025	71
19	10863	74

Alvan George Clark.

A. G. C.	Burnh. G. C.	S.
13	10846	74

G. W. Hough.

Ho.	Burnh. G. C.	S.
543	6882	63

Katalog der Messungen.

Epoche	t	p	s	Ok.	Bild	Bemerkungen
--------	---	---	---	-----	------	-------------

$\Sigma 2$ Cephei 816 $0^h 2^m 28^s + 79^\circ 3' 6.3 \dots 6.6$

S 01.723	h -0.9	0 150.2	..	(0.4)	IV	3-4 oblong.
.777	-3.0	159.0	..	(0.35)	V	3 s tax.
02.150	5.1	151.1	..	(0.35)	V	3 in Kontakt
S 01.88		0 153.4	(3)	—	—	

$O\Sigma 2$ $0^h 7^m 11^s + 26^\circ 19' 6.9 \dots 8.8$

C 99.664	h -2.1	0 30.0	..	(0.7)	V	2-3 6 p; s tax.
S 02.084	3.3	31.9	:	0.5	V	3 s tax.
P 02.823	2.1	31.2	:	(0.7)	VI	2-3 s tax.

$\Sigma 18$ Cephei 818 $0^h 9^m 25^s + 76^\circ 17' 6.6 \dots 7.1$

S 01.723	h -1.2	0 85.9	..	(0.6)	IV	3-4 s tax.
.777	-3.3	80.8	:	0.70	V	2
02.150	4.7	81.9	:	0.55	V	2 s tax.
P .057	6.3	82.7	:	0.80	V	gut getrennt
S 01.88		0 82.9	(3)	0.62	(2)	
P 02.06		82.7	(1)	0.80	(1)	

$O\Sigma 12$ γ Cassiopejæ $0^h 25^m 9^s + 58^\circ 52' 5.6 \dots 5.9$

S 01.723	h -1.7	0 151.6	:	0.65	IV	3-4 s tax.
.777	-3.6	151.1	:	0.53	V	2 s = 0.6 tax.
02.057	5.9	154.5	..	0.77	V	3-2
P .057	5.8	151.4	..	(0.5)	V	s tax.
S 01.85		0 152.4	(3)	0.65	(3)	
P 02.06		151.4	(1)	—	—	

$\Sigma 44$ $0^h 31^m 56^s + 40^\circ 20' 8.8 \dots 9.0$

C 98.623	h -2.7	0 267.0	bs	9.76	III	3 8 s
----------	-------------	--------------	----	------	-----	-------

$O\Sigma 18$ $0^h 36^m 12^s + 3^\circ 31' 7.4 \dots 9.5$

P 02.823	h -0.3	0 135.0	..	1.45	V	3-2 Nebel
----------	-------------	--------------	----	------	---	-----------

$\Sigma 1$, App. I $0^h 39^m 58^s + 30^\circ 17' 6.7 \dots 6.7$

C 99.677	h -3.7	0 51.5	bs	46.60	I	2 p
----------	-------------	-------------	----	-------	---	-----

$\Sigma 59$ $0^h 41^m 11^s + 50^\circ 47' 7.2 \dots 8.1$

C 98.626	h -4.4	0 147.1	bs	1.98	III	3 8 s
99.620	-5.7	144.7	:	2.23	III	3-4
C 99.12		0 145.9	(2)	2.10	(2)	

Epoche	t	p	s	Ok.	Bild	Bemerkungen
--------	---	---	---	-----	------	-------------

$\Sigma 60$ η Cassiopejæ $0^h 41^m 48^s + 57^\circ 11' 4.0 \dots 7.6$

C 98.623	h -3.4	0 212.8	bs	5.24	III	8 s
.626	-5.2	211.6	bs	5.23	III	3 8 s
C 99.614	-3.7	215.9	..	5.38	III	3 8 s
.620	-6.0	216.3	..	5.34	III	3 8 s
C 00.192	5.5	218.0	:	5.16	III	3 8 s
.222	5.9	217.8	:	5.30	III	2-3 8 s; Tageslicht
S 01.723	-1.9	219.3	:	5.20	IV	3
.777	-4.1	221.9	bs..	5.34	V	2 recht gut
P 02.057	5.1	222.6	..	5.72	IV	4 schwierig
.084	3.3	222.4	:	5.49	V	3-4
S .150	4.1	221.9	:	5.28	V	2 8 p, davon 4 bs
P 03.557	-4.8	226.1	..	5.31	V	3 Com. orange
H 09.150	5.0	239.4	bs	6.14	IV	4 8 s
.172	6.0	239.5	bs	(6.10)	IV	4-5 s sehr unsicher
.181	5.5	239.9	bs:	6.34	IV	1-2
.213		237.7	:	6.11	IVP	2
.216		238.7	..	6.20	IVP	3-4
.244		238.8	:	6.36	IVP	3-4 nur 2 s, s $1\frac{1}{2}$ Gew.

C 98.62	0 212.2	(2)	5.24	(2)	
C 99.62	216.1	(2)	5.36	(2)	
C 00.21	217.9	(2)	5.23	(2)	
S 01.75	220.6	(2)	5.27	(2)	
P 02.07	222.5	(2)	5.60	(2)	
S 02.15	221.9	(1)	5.28	(1)	
P 03.56	226.1	(1)	5.31	(1)	
H 09.20	239.0	(6)	6.22	(5)	

$\Sigma 68$ $0^h 48^m 56^s + 11^\circ 11' 8.2 \dots 11.2$

P 02.837	h -2.3	0 229.6	..	18.12	V	4-5 Mess. unsicher
----------	-------------	--------------	----	-------	---	--------------------

$O\Sigma 20$ 66 Piscium $0^h 48^m 14^s + 18^\circ 32' 5.9 \dots 7.0$

P 02.823	h 1.3	0 322.5	:	(0.5)	VI	2-3 zieml. gut
.861	0.5	322.2	:	(0.5)	V	sehr unruhig
P 03.792	1.6	315.6	..	(0.3)	VI	2
04.047	2.6	313.8	..	(0.6)	V	2-3

P 02.84	0 322.4	(2)	—	—	
P 03.92	314.7	(2)	—	—	

$\Sigma 78$ 86 Andromedæ $0^h 48^m 32^s + 22^\circ 59' 6.2 \dots 6.8$

C 99.664	h -2.6	0 16.9	:	1.40	V	3
.664	-2.6	17.2	..	1.20	V	3
.680	-3.0	17.4	:	(1.15)	V	3-4 s tax.
S 02.057	1.8	19.5	:	1.00	V	3-2
P .057	2.4	21.7	:	1.14	V	3 s unsicher
.725	-2.4	21.5	:	1.18	V	4-3
.818	0.7	20.8	:	(1.81)	V	4 s beiläufig
.851	0.6	21.6	:	(1.83)	V	3

Epoche	t	p	s	Ok.	Bild	Bemerkungen
P 03.792	^h 1.1	⁰ 23.3	:	1.29	V	2
04.047	2.8	24.2	:	1.25	V	3-2
C 99.67		⁰ 17.2	(2)	1.30	(1)	
S 02.08		19.5	(1)	1.00	(1)	
P 02.61		21.4	(4)	1.16	(2)	
P 03.92		23.8	(2)	1.27	(2)	
OΣ 515 φ Andromedae 1^h 2^m 32^s + 46° 36' 4.9..6.5						
S 02.150	^h 3.6	⁰ 220.7	:	(0.35)	V	3 oblong.
Σ 118 42 Ceti 1^h 13^m 41^s - 1° 8' 6.2..7.2						
P 02.848		⁰ 356.0	:	—	V	4
H 09.767		355.7	:	1.50	IVP	2-3 8 s
.854		355.4	:	1.68	IVP	3-4 8 s
P 02.85		⁰ 356.0	(1)	—	—	
H 09.81		355.6	(2)	1.59	(2)	
β 1101 ψ Cassiopejæ 1^h 17^m 27^s + 67° 30' A und D 4.5..9.5						
H 09.961		⁰ 114.4	bs: 24.10	IVP	3	schwierig
C und D 8.9..9.5						
H 09.961		⁰ 253.4	:	2.93	IVP	3 Sterneäuß. schwach
Σ 118 1^h 20^m 33^s + 82° 44' 8.5..9.4						
C 00.359		⁰ 76.9		12.21	I	4 8 s
P 02.120	^h 3.8	77.2	:	12.39	IV	4
OΣ 33 1^h 29^m 31^s + 53° 1' 7.2..8.3						
C 00.359	^h 12.5	⁰ 75.3	bs.. 25.24	I	4	8 s
OΣ 35 1^h 36^m 0^s + 55° 16' 6.8..10.0						
P 02.084	^h 2.5	⁰ 104.7	:	11.35	V	3
Σ 148 1^h 37^m 36^s + 63° 13' 8.4..9.0						
H 09.854		⁰ 139.4	:	1.16	IVP	3 8 s; schwierig
.981		140.3	:	(1.2)	IVP	3 s tax.
H 09.91		⁰ 139.8	(2)	1.16	(1)	

Epoche	t	p	s	Ok.	Bild	Bemerkungen
Σ 186 1^h 49^m 41^s + 1° 15' 7.2..7.2						
P 02.848		⁰ 31.0	:	(1.25)	V	3-4 s tax.
Σ 185 1^h 51^m 1^s + 74° 55' 7.0..8.5						
P 02.120	^h 2.8	⁰ 22.9	..	1.4	V	4 unsicher
Σ 202 α Piscium 1^h 55^m 50^s + 2° 11' 2.8..3.9						
C 99.847	^h 0.8	⁰ 317.8	..	2.88	V	3 8 s
00.192	3.6	316.9	..	2.54	V	3 8 s; schwierig
P 02.057	1.8	317.2	..	3.19	IV	3
.098	1.2	319.2	:	2.99	IV	3-4
H 09.961		313.7	:	2.79	IVP	3-4
C 00.02		⁰ 317.4	(2)	2.71	(2)	
P 02.08		318.2	(2)	3.09	(2)	
H 09.96		313.7	(1)	2.79	(1)	
OΣ 38 γ Andromedæ 1^h 56^m 32^s + 41° 45' 5.0..6.2						
S 02.150	^h 2.5	⁰ 111.9	..	0.45	V	2-3 s tax.
.851	-0.1	115.4	..	0.5	V	3 s tax.
P .851	0.1	117.4	..	(0.4)	V	3 s tax.
S 02.50		⁰ 113.6	(2)	0.48	(2)	
P 02.85		117.4	(1)	—	—	
Σ 208 10 Arietis 1^h 56^m 50^s + 25° 21' 6.2..8.4						
S 02.851	^h 0.2	⁰ 71.2	:	0.8	V	3 s tax.
P 02.851	0.6	72.6	..	—	V	3-4
P 03.792	0.2	81.3	..	(0.3)	V	2 s tax.
Σ 227 δ Trianguli 2^h 5^m 25^s + 29° 45' 5.0..6.4						
C 99.680	^h — 3.9	⁰ 75.9	..	3.70	V	4 8 s; s sehrschwierig
.740	— 1.8	74.8	..	3.65	V	3 8 s
C 99.71		⁰ 75.4	(2)	3.68	(2)	
Σ 262 ε Cassiopejæ 2^h 19^m 10^s + 66° 52' A und B 4.2..7.1						
C 00.222	^h 8.4	⁰ 251.2	:	—	III	3-4
P 01.632	— 4.2	252.5	..	(2.47)	IV	4 nur 2 s
S .723	— 3.1	247.3	:	2.66	IV	3-2 gut

Epoche	t	p	s	Ok.	Bild	Bemerkungen
H 09.257	⁰ 249.7	:	1.93	VP	2-3	
.260	⁰ 250.4	:	2.34	VP	3	
.265	⁰ 252.7	:	2.27	VP	3-4	
C 00.22	⁰ 251.2	(1)	—	—		
P 01.63	⁰ 252.5	(1)	—	—		
S 01.72	⁰ 247.3	(1)	2.66	(1)		
H 09.26	⁰ 250.9	(3)	2.18	(3)		
A und C 4.2..8.1						
C 00.222	^h 8.4 ⁰ 111.3	..	7.32	III	3-4	6 s
P 01.632	— 4.2 ⁰ 110.8	:	7.42	IV	4	
H 09.257	⁰ 111.0	:	7.42	VP	3	
.260	⁰ 110.6	bs:	7.52	VP	3	
.265	⁰ 110.8	:	7.44	VP	3-4	
C 00.22	⁰ 111.3	(1)	7.32	(1)		
P 01.63	⁰ 110.8	(1)	7.42	(1)		
H 09.26	⁰ 110.8	(3)	7.46	(3)		
Σ 272 2^h 24^m 23^s + 57° 56' 8.2..8.2						
H 09.257	⁰ 37.8	:	1.93	VP	2-3	
.260	⁰ 38.4	:	2.10	VP	3-4	
.301	⁰ 38.3	:	1.93	VP	2-3	helle Dämm.
H 09.27	⁰ 38.2	(3)	1.99	(3)		
OΣ 43 2^h 33^m 42^s + 26° 6' 7.2..8.8						
C 99.847	— 0.2 ^h 45.1	:	(0.85)	V	3	s tax.
P 02.815	— 1.9 ^h 44.3	:	1.21	V	3-2	
Σ 296 Θ Persei 2^h 35^m 59^s + 48° 48' 4.2..10.0						
C 98.626	— 5.5 ^h 300.6	bs	17.28	III	3	8 s
00.192	^h 4.3 ⁰ 299.3	bs..	—	III	2-3	
.192	^h 4.3 ⁰ 298.7	..	17.22	III	2-3	8 s
C 99.67	⁰ 299.53	(3)	17.25	(2)		
Σ 305 Arietis 114 2^h 40^m 41^s + 16° 52' 7.3..8.2						
C 99.970	^h 1.2 ⁰ 316.5	..	3.05	III	3	8 s
00.154	^h 2.5 ⁰ 316.5	..	3.03	IV	3	in Wolken
P 02.057	^h 1.4 ⁰ 316.0	bs..	3.16	V		
.851	^h 0.2 ⁰ 317.4	:	3.14	V	3	
H 09.961	⁰ 313.9	:	3.25	IVP	3	
.972	⁰ 315.5	:	2.96	IVP	3-4	8 s
C 00.06	⁰ 316.5	(2)	3.04	(2)		
P 02.45	⁰ 316.7	(2)	3.15	(2)		
H 09.97	⁰ 314.7	(2)	3.10	(2)		

Epoche	t	p	s	Ok.	Bild	Bemerkungen
Σ 312 2^h 44^m 11^s + 72° 24' 7.1..8.0						
C 00.222	^h 8.6 ⁰ 22.9	:	—	III	3-4	
.411	^h 13.1 ⁰ 21.8	:	3.33	II	4	8 s
P 02.120	^h 2.7 ⁰ 21.0	..	3.19	IV	3-4	
H 09.216	⁰ 22.2	:	3.12	VP	4-5	
.244	⁰ 21.7	:	3.21	IVP	4	
.260	⁰ 20.6	:	3.03	VP	3	
C 00.32	⁰ 22.4	(2)	3.33	(1)		
P 02.12	⁰ 21.0	(1)	3.19	(1)		
H 09.24	⁰ 21.5	(3)	3.12	(3)		
Σ 314 Persei 85 2^h 44^m 21^s + 52° 30' 6.9..7.1						
C 00.192	^h 4.5 ⁰ 299.9	..	1.67	III	2-3	8 s
H 09.213	⁰ 303.2	:	1.85	VP	2-3	
.244	⁰ 303.6	:	—	IVP	4	
.257	⁰ 303.7	:	1.78	VP	2-3	
.293	—	:	1.87	VP	3-4	
C 00.19	⁰ 299.9	(1)	1.67	(1)		
H 09.24	⁰ 303.5	(3)	1.83	(3)		
Σ 325 2^h 48^m 23^s + 34° 0' 8.2..9.7						
P 02.133	^h 2.4 ⁰ 192.8	:	9.48	IV	4	
Σ 320 Cephei 47 2^h 50^m 7^s + 78° 57' 6.3..9.5						
C 00.411	^h 12.7 ⁰ 226.4	..	4.38	II	3-4	8 s
Σ 333 ε Arietis 2^h 52^m 21^s + 20° 52' 5.7..6.0						
C 99.847	— 0.6 ^h 200.8	:	1.47	V	2-3	
.970	^h 1.2 ⁰ 205.3	:	(1.5)	III	4	s tax.
00.154	^h 2.5 ⁰ 200.6	:	1.61	IV	3	s schwierig
P 02.057	^h 1.4 ⁰ 202.7	:	1.77	V	3-4	
.851	— 0.1 ⁰ 201.4	:	2.08	V	3	
03.853	— 0.4 ⁰ 203.0	:	—	V	3	
04.121	^h 1.0 ⁰ 200.6	:	(1.7)	V	3-4	s beiläufig
H 09.731	⁰ 201.7	:	1.53	IVP	2-3	8 s
.961	⁰ 201.4	:	—	IVP	3-4	s zu schwierig
C 99.99	⁰ 202.2	(3)	1.54	(2)		
P 03.22	⁰ 201.9	(4)	1.92	(2)		
H 09.85	⁰ 201.6	(2)	1.53	(1)		

Epoche	t	p	s	Ok.	Bild	Bemerkungen
$\Sigma 50$ $8^h 0^m 45^s + 71^\circ 6'$ 7.5 .. 7.5						
P 02.057	^h 4.1	⁰ 200.7	.. 1.61	V		
	.084	4.7	202.2	.. (2.0)	V	3—4 unsicher
H 09.257		198.6	: 1.67	VP	2—3	
	.290	197.8	: —	VP	4—5	
	.309	197.9	: 1.67	VP	3	
	.734	197.7	: 1.45	IVP	3	8 s
P 02.07		⁰ 201.4	(2) 1.61	(1)		
H 09.40		198.0	(4) 1.60	(3)		
$\Sigma 248$ $8^h 4^m 38^s + 83^\circ 37'$ 8.0 .. 8.8						
C 00.411	^h 12.0	⁰ 325.2	: 27.03	I	3—4	8 s
P 02.120	5.3	325.0	bs.. 27.55	IV	3—4	
$\Sigma 367$ $8^h 7^m 52^s + 0^\circ 18'$ 8.0 .. 8.0						
P 02.851	— ^h 0.1	⁰ 211.4	(0.7)	V	3—4	s tax.
	.872	0.5	211.0	: (0.9)	V	3 s tax.
P 02.86		⁰ 211.2	(2) — —			
$\Sigma 53$ $8^h 9^m 59^s + 83^\circ 12'$ 7.2 .. 8.0						
P 02.150	^h 2.9	⁰ 233.4	: (0.9)	V	3	s tax.
$\Sigma 871$ $8^h 10^m 23^s + 46^\circ 35'$ 8.8 .. 10.8						
P 02.120	^h 2.4	⁰ 83.5	.. 3.33	IV	3—4	
H 09.777		82.0	: 3.32	IVP	3—4	
$\Sigma 401$ $8^h 24^m 5^s + 27^\circ 10'$ 6.5 .. 7.0						
C 01.241	^h 4.3	⁰ 269.5	: 11.18			
	.243	269.7	: —			3 p
	.243	270.6	.. 11.28			3 p
C 01.24		⁰ 269.82	(2) 11.23	(2)		
$\Sigma 400$ $8^h 25^m 12^s + 59^\circ 38'$ 7.0 .. 8.0						
P 02.150	^h 2.5	⁰ 324.6	.. (0.7)	V	3—4	beiläufig
$\Sigma 422$ $8^h 30^m 38^s + 0^\circ 12'$ 6.0 .. 8.2						
H 09.961		⁰ 250.8	bs: 6.39	IVP	3	Hauptst. einfach

Epoche	t	p	s	Ok.	Bild	Bemerkungen
$\Sigma 460$ H. Cephei 49 $8^h 49^m 57^s + 80^\circ 22'$ 5.2 .. 6.1						
S 01.723	— ^h 4.3	⁰ 39.0	.. 1.17	IV	3—4	¹⁾
P 02.057	3.5	48.0	.. (0.75)	V	3	s tax.
¹⁾ p Mittel aus den 4 Einstellungen: 35.5, 40.5, 39.6, 40.2.						
$\Sigma 8114$ $4^h 1^m 8^s + 89^\circ 51'$ 8.0 .. 10.5						
P 02.084	^h 3.1	⁰ 172.8	: 2.44	V	3—4	
$\Sigma 82$ $4^h 15^m 56^s + 14^\circ 46'$ 7.0 .. 9.0						
P 02.801	— ^h 2.3	⁰ 112	.. —	V	3	nur 2 p
03.803	— 2.8	108.0	: (0.6)	V	3	8 p; unsicher
04.011	2.2	102.8	: (0.65)	V	3	unsicher
P 03.54		⁰ 107.6	(3) — —			
$\Sigma 585$ Tauri 230 $4^h 16^m 39^s + 11^\circ 6'$ 6.7 .. 8.2						
C 99.070	^h 0.1	⁰ 330.5	: (1.2)	III	3—4	6 p, s tax.
P 02.084	0.4	329.6	: 1.76	V	3—4	
H 09.961		324.9	: 1.73	IVP	2—3	
$\Sigma 567$ $4^h 29^m 40^s + 19^\circ 15'$ 8.5 .. 9.0						
P 02.057	^h 3.5	⁰ 322.0	.. 2.17	V	3—4	
	.084	0.5	324.7	: 2.03	V	4 ^{1/2} Gew.
H 09.961		322.6	: 2.08	IVP	2—3	
P 02.07		⁰ 322.9	(2) 2.12	(1)		
H 09.96		322.6	(1) 2.08	(1)		
$\Sigma 566$ 2 Camelopardalis $4^h 30^m 27^s + 53^\circ 14'$ 5.1 .. 7.4						
H 09.257		⁰ 285.3	: 1.76	VP	2—3	s gut
	.260	285.2	: 1.80	VP	3	
	.348	284.3	: 1.77	IVP	3—4	
H 09.29		⁰ 284.9	(3) 1.78	(3)		
$\Sigma 577$ $4^h 34^m 9^s + 87^\circ 17'$ 7.7 .. 7.7						
P 02.057	^h 3.5	⁰ 67.3	1.98	V	3—4	sehr unsicher
H 09.961		63.5	: 1.44	IVP	2—3	s etw. unsicher

Epoche	t	p	s	Ok.	Bild	Bemerkungen
$\Sigma 92$ 5 Aurigae $4^h 52^m 3^s + 89^\circ 18'$ 6.0..9.7						
P 02.084	^h 1.9	⁰ 253.3	:	3.25	V	3-4 unsicher
$\Sigma 619$ $4^h 52^m 5^s + 50^\circ 5'$ 8.7..8.7						
P 02.120	^h 3.8	⁰ 123.0	..	4.63	IV	3
H 09.786		126.4	:	4.46	II P	4 8 s
.824		125.0	:	4.79	II P	4 8 s
.871		125.8	:	4.86	II	4 s $\frac{1}{2}$ Gew.
P 02.12		⁰ 123.0	(1)	4.63	(1)	
H 09.83		125.7	(3)	4.67	(3)	
$\Sigma 98$ 14 Orionis $5^h 1^m 21^s + 8^\circ 20'$ 6.0..6.8						
P 04.014	^h 0.9	⁰ 168.3	:	(1.15)	V	2-3 s tax.
.225	3.1	168.2	:	(1.0)	V	3 s tax.
P 04.12		⁰ 168.2	(2)	—	—	
$\Sigma 624$ Camelop. 19 $5^h 2^m 47^s + 79^\circ 5'$ 4.5..7.9						
C 00.411	^h 9.5	⁰ 18.0	:	13.75	I	3-4 8 s
P 01.698	— 5.1	17.1	bs ..	13.51	III	3-4
02.100	3.7	19.6	..	13.46	II	4-5 $\frac{1}{2}$ Gew.
C 00.41		⁰ 18.0	(1)	13.75	(1)	
P 01.90		17.9	(2)	13.49	(2)	
A und C						
C 00.411	^h 9.7	⁰ 149.81	..	192.60	I	3-4 8 s
$\Sigma 629$ $5^h 4^m 4^s + 88^\circ 18'$ 8.2..11.2						
P 02.120	^h 4.5	⁰ 5.5	..	15.70	IV	3-4 helle Fäd.
$\Sigma 676$ $5^h 18^m 4^s + 64^\circ 37'$ 7.5..8.5						
P 04.241	^h 3.4	⁰ 271.8	:	(1.3)	V	3-4 unsicher
H 09.307		276.3	:	—	V P	2-3 zieml. eng
$\Sigma 677$ $5^h 18^m 24^s + 63^\circ 16'$ 7.7..8.0						
P 02.273	^h 4.3	⁰ 246.9	:	1.79	V	3
04.241	3.0	244.7	:	1.56	V	3 Com. 1 ^m schwächer

Epoche	t	p	s	Ok.	Bild	Bemerkungen
H 09.211		⁰ 239.9	:	1.86	V P	2-3
.257		241.7	:	1.60	V P	2
.265		241.4	:	—	V P	4-5
.293		—	:	1.52	V P	2-3
P 03.26		⁰ 245.8	(2)	1.68	(2)	
H 09.25		241.0	(3)	1.66	(3)	
$\Sigma 704$ $5^h 20^m 48^s + 69^\circ 24'$ 7.2..9.5						
P 02.120	^h 3.9	⁰ 13.9	..	21.02	IV	3-4
$\Sigma 788$ 1 Orionis $5^h 28^m 32^s + 9^\circ 51'$ 4.0..6.0						
C 00.154	^h 0.9	⁰ 43.0	..	4.34	IV	3-4 8 s
.154	0.9	44.8	:	4.44	IV	3-4 8 s
P 02.084	1.1	42.5	:	4.66	V	4
C 00.15		⁰ 43.9	(1)	4.39	(1)	
P 02.08		42.5	(1)	4.66	(1)	
$\Sigma 749$ $5^h 29^m 39^s + 26^\circ 51'$ 7.1..7.2						
P 02.221	^h 1.9	⁰ 351.8	:	1.20	V	2-3
P 04.241	2.4	348.9	:	(1.05)	V	2-3 s tax.
$\Sigma 8115$ $5^h 36^m 57^s + 62^\circ 46'$ 6.7..7.8						
P 04.241	^h 2.8	⁰ 20.9	:	1.51	V	3-4 nicht ganz sicher
H 09.257		18.8	:	1.57	V P	2-3
.293		17.6	:	1.51	V P	3
.309		18.2	:	—	V P	4
P 04.24		⁰ 20.9	(1)	1.51	(1)	
H 09.29		18.2	(3)	1.54	(2)	
$\Sigma 545$ $5^h 51^m 32^s + 37^\circ 12'$ 8.0..7.5						
H 09.238		⁰ 338.9	:	2.76	IV P	2-3
.257		339.7	:	2.70	V P	3
.301		338.6	:	2.74	V P	2 durch Wolken
H 09.27		⁰ 339.1	(3)	2.73	(3)	
$\Sigma 881$ 4 Lynceis $6^h 11^m 24^s + 59^\circ 25'$ 6.4..7.9						
P 02.273	^h 3.1	⁰ 104.0	:	(0.95)	V	2-3 s tax.
H 09.307		110.1	:	—	V P	1-2 sehr eng

Epoche	t	p	s	Ok.	Bild	Bemerkungen
Σ 918 Aurigae 229 $6^h 24^m 21^s + 52^{\circ} 33'$ 6.7..7.7						
P 02.087	^h -2.6	⁰ 327.9	:	4.88	IV 3	nur 2 s; s 1/2 Gew.
H 09.150	3.0	328.1	..	4.91	IV 3-4	
.175	4.5	328.7	..	4.49	IV 3	nur 2 s; s 1/2 Gew.
.211		325.8	:	4.74	VP 3	
.213		328.6	..	4.64	IV P 2	
.216		327.8	:	4.63	IV P 2-1	s sehr gut
P 02.09		⁰ 327.9	(1)	4.88	(1)	
H 09.19		327.8	(5)	4.70	(5)	

OΣ 149 $6^h 28^m 55^s + 27^{\circ} 23'$ 6.5..9.0						
S 02.300	^h 3.0	⁰ 274.5	..	0.6	V 3-2	s tax.
P .221	0.4	275.5	..	0.75	V 3-2	
03.037	1.4	276.7	..	—	V 3-2	
04.011	1.0	269.8	..	0.65	V 3	unsicher
S 02.30		⁰ 274.5	(1)	0.60	(1)	
P 03.09		274.0	(3)	0.70	(2)	

Σ 936 $6^h 29^m 20^s + 58^{\circ} 12'$ 7.0..8.7						
H 09.293		⁰ 266.9	:	1.77	VP 2-3	schwier. Objekt
.307		269.6	:	1.52	VP 2-3	
H 09.30		⁰ 268.2	(2)	1.64	(2)	

Σ 943 $6^h 30^m 33^s + 23^{\circ} 17'$ 8.5..9.0						
C 00.329	^h 5.2	⁰ 143.2		21.09	III 2-3	8 s
P 02.122	2.1	143.3	bs..	21.12	IV 3-4	

Σ 948 12 Lyncis $6^h 35^m 38^s + 59^{\circ} 34'$ A und B 5.2..6.1						
P 02.273	^h 2.4	⁰ 118.2	:	1.85	V 2	
H 09.238		114.5	:	1.97	IV P 2	
.260		114.1	:	1.81	VP 2-3	
.271		114.6	:	1.78	VP 3	
P 02.27		⁰ 118.2	(1)	1.85	(1)	
H 09.26		114.4	(3)	1.85	(3)	

A und C 5.2..7.4						
H 09.260		⁰ 306.8	:	8.68	VP 2-3	
.265		305.6	bs:	8.58	IV P 4	
.271		305.9	:	8.60	IV P 3	
H 09.27		⁰ 306.1	(3)	8.62	(3)	

Epoche	t	p	s	Ok.	Bild	Bemerkungen
OΣ 156 $6^h 40^m 23^s + 18^{\circ} 19'$ 6.5..7.0						
P 02.221	^h 0.5	⁰ 298.9	..	(0.65)	V 3-2	s tax.
OΣ 159 15 Lyncis $6^h 48^m 54^s + 58^{\circ} 35'$ 5.1..6.2						
S 02.300	^h 2.8	⁰ 7.5	..	0.6	V 3	s tax.
P .270	3.9	14.4	..	(0.75)	V 2-3	s tax.
04.302	3.1	13.6	..	(0.5)	V 3	Com. nur vermutet
H 09.307		21.4	:	—	VP 2	sehr eng
S 02.30		⁰ 7.5	(1)	0.60	(1)	
P 03.29		14.0	(2)	—	—	
H 09.31		21.4	(1)	—	—	

Σ 978 Telescopii 80 $6^h 47^m 22^s + 38^{\circ} 8'$ 7.0..9.8						
C 00.291	^h 2.0	⁰ 91.9	bs:	16.55	III 3	Wolken
.310	3.5	92.5	bs:	16.50	I 4	8 p, 6 s
C 00.30		⁰ 92.20	(2)	16.52	(2)	

Σ 982 38 Geminorum $6^h 47^m 52^s + 18^{\circ} 20'$ 5.4..7.7						
H 09.148	^h 2.0	⁰ 156.7	bs..	6.40	IV 3	
.150	0.0	159.4	bs	6.39	IV 3	
.181	— 1.0	159.4	bs:	6.44	IV 1-2	
.216		156.7	..	6.71	IV P 3-4	
.260		157.9	:	6.61	VP 4	
H 09.19		⁰ 158.0	(5)	6.51	(5)	

Σ 1009 $6^h 56^m 7^s + 52^{\circ} 56'$ 6.7..6.8						
P 02.087	^h -2.9	⁰ 154.6	..	3.57	IV 3	
H 09.150	2.5	152.1	bs	3.79	IV 3	
.175	3.5	153.2	bs..	3.74	IV 2-3	
.216		152.5	:	3.74	IV P 2	
P 02.09		⁰ 154.6	(1)	3.57	(1)	
H 09.18		152.6	(3)	3.76	(3)	

OΣ 165 45 Geminorum $7^h 1^m 29^s + 16^{\circ} 7'$ 5.0..10.7						
P 02.125	^h 2.5	⁰ 39.4	:	4.38	IV 3	schwierig

Σ 1025 $7^h 2^m 56^s + 56^{\circ} 0'$ 7.5..7.8						
C 00.397	^h 6.5	⁰ 135.8	bs..	23.67	I 3-4	10 s
P 02.139	3.0	135.1		24.28	IV 4	

Epoche	t	p	s	Ok.	Bild	Bemerkungen
--------	---	---	---	-----	------	-------------

$\Sigma 1067$ $7^h 5^m 21^s + 27^0 26'$ 7.1..7.1

P 02.202	^h 0.2	⁰ 299.0	.. (0.8)	V	3	s tax.
.221	0.9	301.1	.. (1.0)	V	3	s tax.
03.108	1.2	304.5	.. (0.9)	V	2-3	s tax.

P 02.51	⁰ 301.5	(3)	—	—		
---------	--------------------	-----	---	---	--	--

$O\Sigma 170$ $7^h 11^m 5^s + 9^0 31'$ 7.5..7.5

P 02.098	^h 0.1	⁰ 106.0	.. (2.0)	IV	3-4	Mess. unsicher
03.108	1.3	110.1	.. 1.78	V	3	s unsicher
H 09.257		106.4	: 1.92	VP	2-3	
.260		106.4	: —	VP	4	
.293		106.0	: 1.82	IVP	3-4	helle Dämmerung
.293		—	: 1.93	VP	3-4	helle Dämmerung
.301		106.2	: 1.80	VP	2-3	helle Dämmerung

P 02.60	⁰ 106.0	(2)	1.78	(1)		
H 09.28	106.2	(4)	1.87	(3)		

$\Sigma 1066$ δ Geminorum $7^h 12^m 57^s + 22^0 12'$ 8.2..8.2

P 02.199	^h 0.0	⁰ 207.3	: —	IV		Wolken
.202	0.0	206.2	: 7.13	IV	3-4	
.224	1.2	207.8	: 7.15	IV	4	1/2 Gew.
H 09.148	1.5	209.5	bs: 7.00	IV	3	
.150	— 1.0	209.7	bs..: 6.87	IV	4	6 p
.172	— 1.0	209.7	bs..: 6.90	IV	3-4	
.216		207.6	.. 6.81	IVP	3-4	

P 02.21	⁰ 207.0	(3)	7.14	(2)		
H 09.17	209.1	(4)	6.90	(4)		

$\Sigma 1096$ $7^h 21^m 10^s + 50^0 14'$ 8.2..8.2

P 02.273	^h 5.8	⁰ 140.6	.. 0.76	V	2-3	s beiläufig
----------	------------------	--------------------	---------	---	-----	-------------

$\Sigma 1110$ α Geminorum $7^h 26^m 57^s + 32^0 9'$ 2.7..3.7

C 00.145	^h 1.4	⁰ 226.0	: 5.74	IV	2	8 s
.219	3.2	226.0	: 5.71	III	2-3	8 s
.225	2.3	225.1	: 5.63	III	3	
.266	2.9	225.9	: 5.75	III	3	
.329	4.1	226.4	: 5.63	III	2-3	
S 01.323	5.2	224.2	: 5.73	IV	3-4	
.364	3.5	225.3	: 5.33	IV	4-3	
P .323	5.4	225.5	: 5.82	IV		
.364	3.7	225.7	: 5.86	IV	4-3	

Epoche	t	p	s	Ok.	Bild	Bemerkungen
--------	---	---	---	-----	------	-------------

S 02.147	^h — 1.57	⁰ 224.8	bs.. 5.77	V	3	
.289	1.1	225.6	bs: 5.67	V	2	gut; Dämmerung
.297	1.6	224.6	bs: 5.72	V	2	recht gut
.303	1.5	223.5	: 5.74	V	4	
.317	2.7	225.9	bs: 5.57	V	4	
P .128	— 2.3	224.5	.. 5.46	IV	4	sehr unruhig
.306	1.7	224.9	: 5.78	IV	4	s 1/2 Gew.

P 03.108	0.6	223.3	: 5.57	V	3	
.179	2.5	224.5	: 5.78	V	3	gut
04.214	0.5	224.4	..: 5.40	V	3-2	
.219	0.0	223.8	.. 5.54	V	3-2	
.299	2.0	223.5	: 5.84	V	3-2	unruhig; s schwie

H 08.335	3.5	221.2	bs 5.26	III	3-4	in Wolken
.346	3.5	221.5	bs 5.86	III	4-5	helle Dämmerung
.351	3.5	221.5	bs 5.37	III	4	helle Dämmerung
.370	4.0	220.8	bs 5.50	III	3	helle Dämmerung
.381	4.5	223.0	bs 5.44	III	4	
09.148	1.5	223.2	bs 5.49	IV	3-4	8 s
.150	1.5	222.2	bs: 5.72	IV	4-5	
.175	2.5	222.4	bs: 5.51	IV	2-3	s gut; in Wolken

C 00.24		⁰ 225.9	(5) 5.69	(5)		
S 01.34		224.8	(2) 5.53	(2)		
P 01.34		225.6	(2) 5.84	(2)		
P 02.22		224.7	(2) 5.57	(2)		
S 02.27		224.9	(5) 5.69	(5)		
P 03.80		223.9	(5) 5.63	(5)		
H 08.66		222.0	(8) 5.52	(8)		

$O\Sigma 177$ $7^h 33^m 41^s + 37^0 42'$ 7.5..8.5

P 02.270	^h 2.8	⁰ 121.3	.. —	V	3	deutlich getrennt
----------	------------------	--------------------	------	---	---	-------------------

$\Sigma 1126$ $7^h 33^m 44^s + 5^0 30'$ 7.2..7.5

P 02.210	^h — 1.1	⁰ 146.1	: 1.43	IV	3-4	
.221	— 0.9	144.6	: (1.55)	V	3	s sehr unsicher
03.108	1.2	145.2	.. (1.5)	V	3-4	s ganz beiläufig

P 02.51	⁰ 145.3	(3)	1.43	(1)		
---------	--------------------	-----	------	-----	--	--

$\Sigma 1142$ $7^h 41^m 40^s + 18^0 48'$ 8.0..10.4

P 02.122	^h 1.2	⁰ 245.2	bs.. 23.86	IV	3-4	
----------	------------------	--------------------	------------	----	-----	--

$\Sigma 1175$ $7^h 56^m 6^s + 14^0 29'$ 7.8..9.7

P 02.092	^h — 1.2	⁰ 223.8	.. 1.83	IV	4	1/2 Gew.
.147	— 1.3	226.4	.. 2.08	V	3-4	
.210	— 0.8	227.3	.. 1.92	V	3-4	helle Fäden
H 09.213		228.2	bs 2.02	VP	4	

P 02.16	⁰ 226.2	(3)	1.97	(3)		
H 09.21	228.2	(1)	2.02	(1)		

Epoche	t	p	s	Ok.	Bild	Bemerkungen
OZ 187 7h 56m 29s + 83° 22' 6.9 .. 7.5						
S 02.300	^h 1.9	⁰ 262.9	.. (0.3)	V	3-4	sehr unsicher
.314	2.2	265.0	:(0.4)	V	3-4	ganz unsicher
S 02.31	⁰ 264.0	(2)	—	—		
Σ 1187 Lyncis 85 8h 1m 54s + 82° 34' 7.1 .. 8.0						
C 00.208	^h 3.6	⁰ 45.5	: 2.35	III	3	8 s
.219	3.0	45.0	: 2.38	III	2-3	8 s
.266	2.5	45.4	: —	III	3	
.291	0.5	45.3	: 2.35	III	2-3	leichte Wolken
P 02.150	— 1.4	42.8	.. 2.29	V	3-4	
.224	— 0.2	41.4	.. 2.05	IV	4-3	
S .300	1.9	42.0	: 2.11	V	3-4	
.308	2.1	41.2	: 2.11	V	3-4	
P 03.267	3.7	44.6	: 2.39	V	3	
04.296	3.1	43.1	: 2.21	V	3	
H 09.238		41.8	: 2.47	IVP	2	
.260		40.9	: 2.46	VP	2-3	
.265		42.2	: 2.50	IVP	4-5	s 1/2 Gew.
.290		40.5	: 2.21	IVP	2-3	
C 00.25	⁰ 45.3	(4)	2.36	(3)		
P 02.19	42.1	(2)	2.17	(2)		
S 02.30	41.6	(2)	2.11	(2)		
P 03.78	43.8	(2)	2.30	(2)		
H 09.26	41.4	(4)	2.40	(4)		

Σ 1196 ζ Cancri A und B 8h 5m 20s + 18° 1' 5.0 .. 5.7

S 98.196	^h 2.9	⁰ 9.9	: —	V	3	
99.108	— 0.2	5.1	: 1.35	IV	3	
C 00.145	1.1	4.9	: 1.27	IV	2	8 s
.148	1.0	6.1	: —	IV	2-3	
.198	0.8	4.7	: —	III	2-3	6 p
.208	3.2	5.0	: —	III	3	
.219	2.0	2.3	: —	III	3	6 p
.249	0.1	4.7	: 1.16	V	3	6 p, 8 s
.266	0.9	2.2	: —	III	2-3	
.291	1.0	4.3	: —	III	2-3	
.301	1.7	2.9	: —	III	3	
.312	1.7	7.1	: —	III	2-3	Tageslicht
S 01.336	2.6	358.7	: —	IV	4	
.358	2.5	361.3	: 0.98	IV	2	
P .330	3.2	362.5	: (0.8)	IV	4	s tax.
.361	4.1	361.7	: (1.64)	IV	3-4	s äuß. unsicher
.369	3.5	361.6	: (1.6)	IV	3-4	s tax.
.375	4.3	361.4	: —	IV	3-4	
S 02.098	— 0.3	356.9	: 1.10	V	3	
.245	2.4	356.7	: 1.08	V	2-3	
.276	0.9	357.5	: 1.18	V	2	recht gut
.286	1.4	357.3	: 1.06	VI	2-3	gut
.308	1.7	357.3	: —	V	3-4	

Epoche	t	p	s	Ok.	Bild	Bemerkungen
P 02.098	^h 0.1	⁰ 357.6	: —	V	3-4	
.147	0.8	358.0	: (1.73)	V	3-4	s unsicher
.262	0.3	359.9	: —	V	2-3	
.267	1.9	358.5	: (1.46)	V	3	s unsicher
.273	0.3	358.9	bs: (1.55)	V	2	p gut; s excl
.286	0.9	360.3	: (1.43)	VI	2-3	s excl.
S 03.280	1.6	353.7	: 1.06	V	3	
.291	2.0	352.1	: 0.98	V	2-3	
.363	3.8	352.4	: 1.12	V	2-3	
P .179	1.2	356.6	: (1.46)	V	3	s unsicher
.193	1.6	356.2	: —	V	3-4	1/2 Gew.
.196	1.8	356.6	: —	V	3	
.234	0.1	358.1	: —	V	4	
P 04.085	— 1.0	350.0	: (1.43)	V	3	s unsicher
.140	0.4	352.4	: (1.35)	V	3-4	s tax.
.211	— 0.6	350.0	: (1.3)	V	3	8 p, s beiläufig
H 09.296		332.0	: —	VP	3	
.301		—	1.30	VP	2	
.309		333.2	: —	VP	2-3	
S 98.65	⁰ 7.5	(2)	1.35	(1)		
C 00.23	4.4	(10)	1.22	(2)		
S 01.35	0.0	(2)	0.98	(1)		
P 01.36	1.8	(4)	—	—		
P 02.22	358.9	(6)	—	—		
S 02.24	357.1	(5)	1.10	(4)		
P 03.20	357.0	(4)	—	—		
S 03.31	352.7	(3)	1.05	(3)		
P 04.15	350.8	(3)	—	—		
H 09.30	332.6	(2)	1.30	(1)		

A und C 5.0 .. 5.5

S 98.196	^h 3	⁰ 116.5	bs .. —	V	3	
99.108	0	116.7	bs .. 5.54	IV	3	
C 00.197	0.8	116.2	.. 5.28	III	2-3	
.208	3.1	117.1	.. —	III	3	
.219	1.9	116.4	.. 5.22	III	3	
.249	0.2	115.7	.. 5.35	V	3	6 p
.266	0.9	116.9	.. 5.39	III	2-3	
.291	1.0	116.5	.. 5.50	III	2-3	
.301	1.7	117.4	.. —	III	3	
.312	1.7	117.4	.. 5.29	III	2-3	Tageslicht
S 01.358	2.7	114.7	bs .. 5.25	IV		
.358	2.9	116.1	.. —	IV		
P .361	4.3	114.1	.. —	IV	3-4	schon zu tief
.369	3.7	115.3	.. 5.12	IV	3	
.375	4.4	115.3	.. 5.16	IV	3-4	
S 02.098	— 0.2	114.7	bs .. 5.38	V	3	
.245	2.6	113.3	bs .. 5.60	V	3	
.276	1.0	112.4	bs .. 5.50	V	2	recht gut
.286	1.5	113.9	bs .. 5.53	VI	3-2	gut
.308	1.8	113.5	bs .. —	V	3-4	
P .098	0.2	113.8	.. (5.44)	V	4	s ganz unsicher
.147	0.9	113.8	.. 5.53	V	3-4	
.262	0.1	113.4	.. 5.69	V	2-3	
.267	2.0	113.0	.. 5.56	V	3	
.273	0.4	113.2	.. 5.54	V	2-3	
.284	0.9	113.3	.. —	VI	2	
.286	0.8	113.6	.. 5.49	VI	2	Dämmerung

Epoche	t	p	s	Ok.	Bild	Bemerkungen
P 03.037	^h 0.0	⁰ 113.1	—	V	3—2	
.179	1.1	112.7	..	5.39 V	3	
.193	1.4	113.0	(5.82)	V	3—4	s ganz unsicher
.196	1.8	112.5	—	V	3—4	Gewölk
.234	—0.1	113.3	5.47	V	3—4	
S .280	1.8	112.3	bs	5.50 V	3—4	
.291	2.1	112.9	bs..	5.46 V	3—2	
.363	3.9	112.8	bs..	5.56 V	3—2	
P 04.085	—0.8	111.2	..	5.38 V	3	
.140	0.5	111.7	(5.40)	V	3—4	s recht unsicher
.211	—0.5	112.6	bs..	5.57 V	3—2	8p
H 09.309		112.6	:	5.28 VP	2—3	
.331		112.1	:	5.31 IVP	3—4	
.337		111.1	:	5.47 IVP	3—4	
.339		111.4	:	5.38 IVP	3—4	
S 98.65	⁰ 116.6	(2)	5.54	(1)		
C 00.26	116.7	(8)	5.34	(6)		
P 01.97	113.9	(10)	5.44	(7)		
S 01.99	114.1	(7)	5.45	(5)		
S 03.31	112.7	(3)	5.51	(3)		
P 03.53	112.5	(8)	5.45	(4)		
H 09.33	111.8	(4)	5.36	(4)		

B und C 5.7...5.5

S 99.108	^h 0	⁰ 126.6	..	—	IV	3	
C 00.197	0.8	124.3	..	5.82	III	2—3	
.208	3.1	124.1	..	—	III	3	
.219	1.9	125.0	..	5.82	III	3	
.249	0.2	126.4	..	5.89	V	3	6p
.266	0.9	125.4	..	5.90	III	2—3	
.291	1.0	125.7	..	5.99	III	2—3	
.301	1.7	124.4	..	—	III	3	
.312	1.7	125.9	..	5.85	III	2—3	Tageslicht
S 01.358	2.8	125.9	bs..	5.78	IV		gut
.358	3.0	123.6	..	—	IV		
P .361	4.3	124.2	..	—	IV	3—4	schon zu tief
.369	3.7	124.1	..	6.34	IV	3	
.375	4.5	124.8	..	6.24	IV	3—4	
S 02.098	—0.1	123.6	bs..	5.87	V	3	
.245	2.7	124.0	bs..	5.94	V	3	
.286	1.6	123.5	bs..	6.00	VI	3—2	gut
P .098	0.3	125.1	..	6.04	V	3	
.147	1.0	124.5	..	6.26	V	3—4	
.262	0.2	124.4	..	6.17	V	2—3	
.267	2.1	125.3	..	6.25	V	3	
.273	0.7	124.0	..	6.14	V	2—3	
.276	1.1	124.2	bs..	6.01	V	2	
.286	0.8	124.5	..	6.15	VI	2—3	Dämmerung
P 03.179	1.1	124.0	..	(6.15)	V	3	s ganz unsicher
.193	1.5	123.5	..	—	V	3—4	Gewölk
.196	1.9	123.3	..	6.13	V	3—4	Gewölk
.234	0.0	123.1	..	6.17	V	3—4	
S .280	1.8	123.0	bs	5.97	V	3—4	
.291	2.2	123.4	bs..	5.92	V	3—2	
.363	4.0	121.3	bs..	6.00	V	3—2	
P 04.085	—0.6	122.2	..	6.03	V	3	
.140	0.7	122.3	..	(6.23)	V	3—4	s recht unsicher
.211	—0.2	122.1	bs..	6.21	V	3—2	

Epoche	t	p	s	Ok.	Bild	Bemerkungen
S 99.11	⁰ 126.6	(1)	—	—		
C 00.26	125.2	(8)	5.88	(6)		
S 01.87	124.1	(5)	5.90	(4)		
P 01.97	124.5	(10)	6.18	(9)		
S 03.31	122.6	(3)	5.96	(3)		
P 03.61	122.9	(7)	6.14	(4)		

Σ 1223 φ³ Cancri 8^h 19^m 32^s + 27° 20' 6.0...6.5

C 00.266	^h 2.5	⁰ 216.3	:	4.99	III	3	
----------	------------------	--------------------	---	------	-----	---	--

Σ 1234 8^h 23^m 51^s + 55° 46' 7.0...8.8

C 00.397	^h 6.9	⁰ 68.4	bs:	22.45	I	3—4	6p, 8s
P 02.128	—2.6	68.0	:	22.39	IV	3—4	

Σ 1278 ε Hydrae A und B 8^h 40^m 25^s + 6° 52' 4.0...5.5

S 98.199	—0.7	⁰ 230	:	(0.3)	VI	2	oblong.
S 02.289	0.2	323	:	—	V, VI	1—2	oblong.
.297	0.6	331	:	—			
S 98.20		⁰ 230.0	(1)	—	—		
S 02.29		327.0	(2)	—	—		

AB und C 8.8...7.8

C 00.266	^h 0.7	⁰ 232.9	:	3.37	III	2—3	
.266	0.7	230.5	..	3.42	III	2—3	
.312	1.5	233.7	:	3.16	III	2—3	6s
P 02.098	—1.0	235.4	..	3.26	V	3—4	
04.214	—1.1	234.7	..	3.06	V	3	8p
.219	—0.9	235.2	..	3.13	V	3—2	
C 00.29		⁰ 232.7	(2)	3.28	(2)		
P 03.51		235.1	(3)	3.15	(3)		

Σ 1279 8^h 42^m 10^s + 40° 2' 8.8...8.8

P 03.267	^h 3.1	⁰ 89.9	:	1.69	V	3—4	
04.296	2.7	89.2	..	1.5	V	3—4	
P 03.78		⁰ 89.6	(2)	1.60	(2)		

Σ 1280 8^h 44^m 22^s + 71° 16' 7.5...7.6

C 00.411	^h 7.7	⁰ 45.3	:	—	II	4	6p; s nicht lohn.
P 02.133	—2.6	45.2	:	5.34	IV	4	

Epoche	t	p	s	Ok.	Bild	Bemerkungen
H 08.389	^h 5.0	⁰ 46.6	bs 5.20	III	3	
.409	5.5	46.3	bs 4.92	III	3	
.466	7.5	45.3	bs 4.90	IV	4	s etw. unsicher
09.246		45.5	: 4.90	IVP	3	
.348		44.9	: 4.54	IVP	2-3	
.350		44.9	: 4.76	IVP	3	
C 00.41		⁰ 45.3	(1) —	—	—	
P 02.13		45.2	(1) 5.34	(1)		
H 08.87		45.6	(6) 4.87	(6)		

02 196 Ursae majoris 8h 50m 59s + 48° 31' 3.1 .. 10.3

C 00.397	^h 6.2	⁰ 360.9	: —	I	3-4	Comes auß. schwach
.397	6.2	357.2	.. (8.52)	I	3-4	8 s; s ganz unsicher
P 02.128	- 3.2	360.1	.. 8.51	IV	3-4	schwier., unsicher
H 09.339		359.2	: 8.03	IVP	2-3	1)
.350		361.1	: 8.03	IVP	3	auß. schwierig
.378		360.6	bs: 7.96	IVP	3	8 s; ziendl. gut

C 00.40		⁰ 359.0	(1) —	—		
P 02.13		360.1	(1) 8.51	(1)		
H 09.36		360.3	(3) 8.01	(3)		

1) Wegen Schwäche des Begleiters sehr schwierig.

Σ 1806 σ² Ursae majoris 8h 59m 50s + 67° 37' 5.0 .. 8.2

P 02.273	^h 4.0	⁰ 192.6	.. 1.63	V	3-2	
----------	------------------	--------------------	---------	---	-----	--

Σ 1818 9h 2m 34s + 70° 28' 8.5 .. 8.7

P 02.308	^h 3.6	⁰ 257.8	: (1.4)	V	3-4	s beiläufig
----------	------------------	--------------------	---------	---	-----	-------------

Σ 1827 9h 8m 26s + 28° 25' A und B 8.0 .. 9.2

P 02.270	^h 1.1	⁰ 73.6	bs.. 11.66	V	3	
.314	3.4	74.8	: 11.45	IV	3-4	
P 02.29		⁰ 74.2	(2) 11.56	(2)		

A und C 8.0 .. 9.0

P 02.314	^h 3.5	⁰ 23.6	: —	IV	3-4	
----------	------------------	-------------------	-----	----	-----	--

C und B 9.0 .. 9.2

P 02.314	^h 3.6	⁰ 178.2	: —	IV	3-4	
----------	------------------	--------------------	-----	----	-----	--

Epoche	t	p	s	Ok.	Bild	Bemerkungen
Σ 3121 9h 10m 46s + 29° 5' 7.5 .. 7.8						
C 00.145		⁰ 20.1	: (0.7)	IV	2	s tax.
S 02.245	^h 1.1	21.0	: 0.90	V	2-3	gut
.289	0.1	20.8	: 0.72	VI	3-2	
.308	1.1	19.8	: 0.6	V	3	s tax.
P .128	0.2	23.4	: (0.7)	V	3-4	s tax.
03.108	- 0.3	22.4	: (0.8)	V	3	s tax.
.179	0.5	25.5	: —	V	3	
.291	2.8	25.9	: —	V	3	
P 04.140	0.8	27.1	: (1.0)	V	3	s tax.
.211	2.5	27.0	: (1.1)	V	2-3	gut
.285	0.7	27.1	: (0.7)	V	3-2	s tax.

C 00.14		⁰ 20.1	(1) —	—		
S 02.28		20.5	(3) 0.74	(3)		
P 02.93		24.3	(4) —	—		
P 04.21		27.1	(3) —	—		

Σ 1838 Lynceis 157 9h 18m 29s + 38° 42' 7.0 .. 7.2

P 02.210	- 1.8	⁰ 166.8	: 1.86	V	2-3	gut
.215	1.2	169.2	: —	V	3-4	Gewölk
03.267	2.9	170.2	: 1.80	V	3	
04.233	1.6	168.2	: 1.8	V	3-4	s beiläufig
H 09.238		174.0	: 1.70	IVP	1	
.260		172.4	: 1.80	VP	2-3	
.271		173.5	: 1.70	VP	2-3	

P 02.98		⁰ 168.6	(4) 1.82	(3)		
H 09.26		173.3	(3) 1.73	(3)		

Σ 1856 ω Leonis 9h 22m 2s + 9° 35' 6.2 .. 7.0

C 98.196	- 1.2	⁰ 110.2	—	V		
S .196	1.1	110.2	—	V	2-3	
C 00.148	0.2	113.7	.. (0.8)	IV	2-3	s tax.
.233	2.4	109.1	.. (0.7)	V	2-3	6 p, s tax.; Wolken
.312	2.8	109.3	.. —	V	2-3	
S .312	2.8	114.2	.. —	V	2-3	
P 02.128	- 0.6	113.1	.. (0.85)	V	3-4	s tax.
.210	- 1.7	114.1	: (0.90)	V	2-3	s ganz unsicher
S .245	1.7	113.9	.. (1.0)	V	3	Wolken
.286	0.6	114.3	.. 1.08	VI, V	3-2	0m.5 minor
.289	- 0.3	117.0	.. 1.00	VI	2-3	
.314	0.5	117.3	.. 0.90	V	3-4	s = 0.8 tax.
P 03.179	0.8	114.5	.. (1.0)	V	3	s tax.
04.140	0.4	114.4	.. (1.3)	V	3-4	s tax.
.296	1.5	115.4	.. (1.0)	V	2-3	s tax.
H 09.301		120.9	: 1.22	VP	2	

C 98.20		⁰ 110.2	(1) —	—		
S 98.20		110.2	(1) —	—		
C 00.23		110.7	(3) —	—		
S 00.31		114.2	(1) —	—		
P 02.17		113.6	(2) —	—		
S 02.28		115.6	(4) 0.99	(3)		
P 03.87		114.8	(3) —	—		
H 09.30		120.9	(1) 1.22	(1)		

Epoche	t	p	s	Ok.	Bild	Bemerkungen
Σ 1858 9h 28m 9s + 45° 12' 7.8..8.8						
C 00.397	^h 6.4	⁰ 161.3	bs.. 23.53	I	3-4	8 s
.397	6.4	161.1	bs: —	I	3-4	
H 09.348		162.0	bs: 23.31	IV P	3-4	
.350		162.1	bs: 23.71	IV P	3	s gut
.364		162.4	bs: 23.49	IV P	3-4	
C 00.40		⁰ 161.20	(1) 23.53	(1)		
H 09.35		162.17	(3) 23.50	(3)		
Σ 1865 Hydrae 184 9h 25m 20s + 2° 0' 7.0..8.0						
C 00.312	^h 2.2	⁰ 158.8	.. 3.40	III	2-3	6 s
.323	0.9	157.3	.. 3.35	III	2-3	
.323	0.9	158.5	: 3.46	III	2-3	
P 02.122	0.1	159.4	: 3.43	IV	4	
.128	-0.8	160.0	: 3.65	V	4	
H 09.150	-0.5	160.6	bs: 3.46	IV	4-5	
.244		158.4	: 3.60	IV P	4	s 1/3 (iew.
.304		158.0	: —	IV P	3	in Wolken
.309		158.4	: 3.33	V P	3	
C 00.32		⁰ 158.4	(2) 3.40	(2)		
P 02.12		159.7	(2) 3.54	(2)		
H 09.25		158.8	(4) 3.44	(3)		
Σ 1862 9h 26m 29s + 78° 37' 7.0..7.0						
P 02.308	^h 3.4	⁰ 132.7	: 5.12	V	2	gut
04.241	1.9	131.9	: 5.16	V	3-4	1/2 Gew.
H 08.381	3.0	130.0	bs 5.00	III	3-4	
.387	5.5	131.4	bs 5.10	III	4-5	
.389	6.0	131.5	bs 5.15	III	2-3	Dunstschleier
09.364		130.2	: 4.90	IV P	3-4	
.372		131.2	: 4.94	IV P	3-4	8 s
.378		131.1	: 4.87	IV P	3	s gut
P 03.27		⁰ 132.4	(2) 5.13	(2)		
H 08.88		130.9	(6) 4.99	(6)		
Σ 1874 Leonis minoris 30 9h 33m 56s + 39° 30' 7.0..8.8						
C 00.323	^h 3.1	⁰ 283.7	.. —	III	4	5 p; s nicht meßbar
P 04.233	1.6	287.2	.. 3.33	V	3-4	
H 08.389	5.0	289.6	bs 3.35	IV	4-5	s etw. unsicher
09.238		287.5	: 3.36	IV P	2-3	
.290		288.0	: 3.22	IV P	3-4	
.293		286.9	: 3.31	V P	3-4	
C 00.32		⁰ 283.7	(1) —	(1)		
P 04.23		287.2	(1) 3.33	(1)		
H 09.05		288.0	(4) 3.31	(4)		

Epoche	t	p	s	Ok.	Bild	Bemerkungen
OJ 206 η Ursae majoris 9h 48m 56s + 54° 35' 5.0..5.8						
P 02.273	^h 2.9	⁰ 288.6	.. —	V	3-2	elliptisch
.360	4.8	287.8	: (0.4)	VI	3	s tax.
S .399	4.2	285.8	.. 0.4	V	3	schwier.; s tax.
P 03.363	4.2	288.7	.. —	V	3	stark oblong.
S .409	4.8	283.4	.. (0.3)	V	3-4	zweifelhaft
P 04.211	2.5	296.1	.. —	V	2-3	deutl. getrennt
S 02.90		⁰ 284.6	(2) 0.4	(1)		
P 03.05		290.3	(4) —	—		
OJ 522 9h 44m 39s + 65° 21' 7.8..11.0						
P 02.308	^h 3.6	⁰ 125.2	.. 15.01	V		s recht schwierig
Σ 1860 9h 45m 32s + 27° 33' 8.0..9.0						
P 02.128	^h -0.7	⁰ 311.3	: —	V	4	
03.108	-0.8	310.4	: 2.55	V	3	
04.233	0.5	308.9	.. 2.31	V	3	
P 03.16		⁰ 310.2	(3) 2.43	(2)		
Σ 1894 9h 49m 39s + 46° 29' 8.8..9.8						
P 02.128	^h -2.1	⁰ 241.9	.. 4.24	IV	3-4	
H 08.411	5.0	242.3	bs 4.18	III	3-2	
09.290		243.9	: 4.07	IV P	3	
.350		243.0	: 4.38	IV P	3	
.364		243.9	: 4.18	IV P	3-4	
P 02.13		⁰ 241.9	(1) 4.24	(1)		
H 09.10		243.3	(4) 4.20	(4)		
Σ 1898 9h 51m 52s + 69° 18' 7.5..10.7						
P 02.308	^h 3.1	⁰ 187.0	.. 2.04	V	3	schwier.; helle Fäd. [s unsicher]
OJ 210 9h 55m 2s + 46° 56' 7.5..8.8						
P 02.308	^h 2.4	⁰ 265.0	: 1.36	V	3	Dampf. sehr stkr.
H 09.271		266.2	: —	V P	2	s zu schwierig
OJ 215 10h 9m 44s + 18° 20' 7.0..7.2						
C 00.148	^h -0.4	⁰ 207.9	: (0.7)	IV	2-3	s tax.
.233	1.0	209.1	: 0.85	V	2-3	6 s; s schwierig
.236	2.0	208.2	: (0.75)	V	2-3	3 p, s tax.; Wolken
.250	1.3	209.7	: (0.8)	V	3	3 p, s tax.; Wolken
.313	2.4	210.5	.. —	V	2-3	
S .313	2.4	206.0	.. —	V	2-3	

Epoche	t	p	s	Ok.	Bild	Bemerkungen
P 02.229	^h 0.0	⁰ 207.1	:	1.1	V	2
.262	0.8	207.8	~:	1.27	V	2-1
.284	-0.7	210.1	:	1.22	V	3
S .297	-0.6	206.3	:	0.77	VI	2 $\frac{1}{2}$ Gew.; Dampf.
						Begl. 0 ^m .1 minor
P 03.291	2.5	203.7	:	—	V	3 Rauch störend
04.230	1.6	206.1	:	(1.29)	V	3 s nur beiläufig
H 09.296		203.1	:	—	VP	2-3 s zu schwierig
.307		204.5	:	1.10	VP	2
C 00.24		⁰ 209.1	(5)	0.85	(1)	
S 00.31		206.0	(1)	—	—	
P 02.25		208.0	(3)	1.19	(3)	
S 02.30		206.3	(1)	0.77	(1)	
P 03.76		205.9	(2)	—	—	
H 09.30		203.8	(2)	1.10	(1)	

Σ 1423 $10^h 12^m 37^s + 21^0 10'$ 8.6..9.3

C 00.282	^h 2.8	⁰ 58.5	:	(1.5)	III	3 6 p, s tax.; schwer.
.348	2.3	57.9	:	(1.2)	III	2-3 6 p, s tax.; helle Fäd.
P 02.229	-0.3	57.3	..	1.69	IV	3
.262	0.5	58.0	..	1.49	V	1-2
.267	0.7	57.0	..	1.49	V	3
S .289	-0.4	60.5	..	—	V	4-3 schwierig
H 09.307		54.4	:	1.48	VP	2-3
C 00.32		⁰ 58.2	(2)	—	—	
P 02.25		57.4	(3)	1.56	(3)	
S 02.29		60.5	(1)	—	—	
H 09.31		54.4	(1)	1.48	(1)	

Σ 1424 γ Leonis $10^h 18^m 20^s + 20^0 27'$ 2.0..3.5

C 99.491	^h 3.8	⁰ 116.2	..	3.67	IV	3 8 s; bei Tage
00.148	-1.0	114.1	..	3.78	IV	2-3 8 s
.233	0.6	113.5	..	3.71	V	3
.255	0.3	114.8	..	3.82	III	2-3
.301	-0.2	115.1	..	3.83	III	3 8 s
S 01.323	2.9	114.5	..	3.84	IV	3-4
.336	0.8	115.2	..	3.54	IV	4-5 $\frac{1}{2}$ Gew.
P .323	3.1	115.8	..	3.81	IV	durch Wolken; gut
.328	4.4	119.8	..	4.20	IV	
.336	1.1	115.9	..	(4.64)	IV	4 hastig
02.199	0.4	113.5	..	(4.19)	IV	4 s ganz unsicher
.207	-2.5	114.4	..	3.84	V	3-4 Gewölk
.262	0.3	114.5	..	3.84	V	2-1 vorzüglich
S .289	-0.8	116.8	..	3.74	VI, V	3-2
.297	-0.3	115.0	bs..	3.69	VI	2-3
.369	3.6	115.7	..	3.78	VI	2 d. Dunst 4 ^m geschwächt
P 03.179	-0.3	113.5	..	3.82	V	3
.231	1.7	114.9	..	3.99	V	4
.245	1.4	115.0	..	3.80	V	3-2 zieml. gut
04.140	-0.1	116.1	bs:	3.83	V	3-2 zieml. gut
.209	2.6	115.3	..	3.92	V	2-3
.211	-0.2	115.5	..	3.67	V	3-2
.307	0.4	115.3	..	3.80	V	2-3 zieml. gut

Epoche	t	p	s	Ok.	Bild	Bemerkungen
H 08.335	^h 0.0	⁰ 115.7	bs	3.91	III	4 6 s
.343	1.0	115.4	bs	3.78	IV	4 Wolkenschleier
.367	4.0	113.8	bs	3.91	III	4 leichte Wolken
.370	1.5	115.9	bs	3.95	III	4-3
09.181	-1.5	114.6	bs..	4.07	IV	3 durch Nebel
.213		115.0	:	3.98	IVP	2-3
.244		115.4	:	3.80	IVP	4
C 00.09		⁰ 114.7	(5)	3.76	(5)	
P 01.78		115.6	(6)	3.92	(4)	
S 01.99		115.5	(5)	3.74	(5)	
P 03.79		115.1	(7)	3.83	(7)	
H 08.72		115.1	(7)	3.91	(7)	

Σ 1426 Leonis 145 $10^h 14^m 15^s + 7^0 2'$
A und B 7.8..8.3

C 00.233	^h 1.3	⁰ 279.8	..	(0.65)	V	2-3 s tax.
.236	1.4	279.9	..	(0.6)	V	2 s tax.
.329	2.8	279.1	..	(0.8)	IV	3 6 p, s tax.
P 02.229	-0.1	280.5	..	(1.0)	V	2-3 s tax.
.262	0.4	281.8	..	(0.8)	V	1-2 vorzüglich
.286	1.3	281.5	..	(0.9)	V	3 s beiläufig
S .289	-0.5	286.0	..	0.7	V	3 s tax.
.314	0.3	285.0	..	0.65	V	3-4 s tax.
P 03.291	2.1	280.6	..	(1.2)	V	3 $\frac{1}{2}$ Gew.
04.228	2.3	277.0	..	(1.0)	V	3 $\frac{1}{2}$ Gew.
C 00.27		⁰ 279.6	(3)	—	—	
S 02.30		285.5	(2)	0.68	(2)	
P 02.63		280.6	(5)	—	—	

AB und C 8..9.3

C 00.329	^h 2.8	⁰ 10.7	:	7.35	IV	3
----------	------------------	-------------------	---	------	----	---

Σ 1410 $10^h 14^m 22^s + 86^0 40'$ 8.0..9.8

P 02.308	^h 3.5	⁰ 339.6		14.24	V	2-3
----------	------------------	--------------------	--	-------	---	-----

$O\Sigma$ 216 Leonis 150 $10^h 16^m 20^s + 15^0 58'$ 7.0..10.5

P 02.273	^h 0.7	⁰ 111.2	..	1.60	V	2-3 p zieml. gut
S 02.297	-0.5	116.7	..	—	VI	2-3 s nicht meßbar
P 04.230	1.3	93.6	..	(0.75)	V	3 Beob.schwier.u.un- [sicher; p um 180° [korr.; s tax.

Σ 1450 δ Leonis $10^h 28^m 45^s + 9^0 16'$ 6.0..8.7

C 00.312	^h 2.5	⁰ 157.0	..	2.63	III	2-3
.312	2.5	157.3	:	2.61	III	2-3
.323	0.1	156.8	:	2.48	III	3
.348	2.3	158.4	:	2.24	III	2-3 6 p, 6 s

Epoche	t	p	s	Ok.	Bild	Bemerkungen
P 03.291	^h 1.9	⁰ 158.2	:	2.36	V	3
04.228	2.3	158.5	:	2.50	V	3
H 09.331		157.4	:	2.53	IVP	3
.345		155.1	:	2.47	VP	3-4
.350		155.3	:	2.64	IVP	3
C 00.33		⁰ 157.5	(3)	2.45	(3)	
P 03.76		158.4	(2)	2.43	(2)	
H 09.34		155.9	(3)	2.55	(3)	
Σ 1457 $10^h 32^m 28^s + 6^o 21' 7.4 \dots 8.4$						
C 00.329	^h 2.2	⁰ 319.0	..	1.31	IV	2-3 6p, 6s; s=1.05 tax.
$O\Sigma$ 224 $10^h 33^m 25^s + 9^o 28' 7.2 \dots 9.2$						
C 00.233	^h 1.0	⁰ 298.9	..	(0.35)	V	2 nicht sicher getrennt
P 02.229	-0.2	305.9	..	(0.45)	V	2 scharf getrennt
.262	0.3	301.2	..	(0.45)	V	1 s tax.
S .297	-0.5	299.6	..	0.5	VI	3-2 s tax.
P 04.230	0.3	296.5	..	(0.6)	V	3-2 s tax.
C 00.23		⁰ 298.9	(1)	—	—	
S 02.30		299.6	(1)	0.50	(1)	
P 02.91		301.2	(3)	—	—	
Σ 1472 $10^h 40^m 39^s + 18^o 40' 7.8 \dots 8.5$						
C 00.323	^h 1.7	⁰ 38.6	bs:	37.30	III	3-4 8s
P 04.230	0.6	38.1	bs:	37.70	V	3
$O\Sigma$ 229 $10^h 41^m 8^s + 41^o 46' 6.7 \dots 7.1$						
C 99.491	^h 5.3	⁰ 320.3	—	—	IV	3 s < 1" tax.
Σ 1476 $10^h 48^m 12^s - 8^o 28' 7.2 \dots 8.0$						
C 00.329	^h 1.2	⁰ 3.8		2.24	III	2-3 6s
Σ 1500 $10^h 58^m 55^s - 2^o 50' 7.6 \dots 8.2$						
C 00.329	^h 1.3	⁰ 311.2	..	—	III	2
.329	1.3	312.7	..	1.78	IV	2
.329	1.3	313.7	:	—	IV	2
H 09.293		311.2	:	—	VP	3-4
.307		309.7	:	1.68	VP	3
C 00.33		⁰ 312.5	(1)	1.78	(1)	
H 09.30		310.4	(2)	1.68	(1)	

Epoche	t	p	s	Ok.	Bild	Bemerkungen
Σ 1504 $10^h 57^m 48^s + 4^o 17' 7.5 \dots 7.6$						
C 00.329	^h 1.5	⁰ 289.3	..	1.26	IV	2 6s
P 04.228	1.2	287.0	..	(1.45)	V	3 s unsicher
H 09.301		288.4	:	1.51	VP	2
.307		288.7	:	1.40	VP	2-3
C 00.33		⁰ 289.3	(1)	1.26	(1)	
P 04.23		287.0	(1)	—	—	
H 09.30		288.6	(2)	1.46	(2)	
Σ 1516 $11^h 7^m 16^s + 74^o 7' 7.0 \dots 7.5$ A und B						
P 01.386	^h 5.7	⁰ 98.5	bs..	19.94	IV	
H 09.504		99.1	bs:	22.93	IVP	4 8s
.594		98.9	bs:	22.75	IVP	4
.599		99.2	bs:	23.00	IVP	3-4
.613		99.0	bs:	23.13	IVP	3-4
P 01.39		⁰ 98.50	(1)	19.94	(1)	
H 09.58		99.05	(4)	22.95	(4)	
A und C $7.0 \dots 10.2$						
P 01.386	^h 5.4	⁰ 300.5	..	7.50	IV	helle Fäden
H 09.504		301.1	:	7.48	IVP	4 8s; Com. auß. schw.
.594		302.4	:	6.72	IVP	4 Mess. unsicher
.599		303.0	:	7.11	IVP	3-4 Mess. zieml. gut
.613		301.4	:	7.25	IVP	3-4
P 01.39		⁰ 300.5	(1)	7.50	(1)	
H 09.58		302.0	(4)	7.14	(4)	
B und C $7.5 \dots 10.2$						
P 01.386		⁰ 286.0	..	—	IV	gut
Σ 1523 ξ Ursae majoris $11^h 11^m 48^s + 82^o 18' 4.0 \dots 4.9$						
C 99.483	^h 4.6	⁰ 154.5		2.29	IV	2-3 8s; Tageslicht; gut
.491	4.5	155.1		2.51	IV	3-4 8s
00.348	2.7	153.3	..	2.28	III	3
S 01.320	2.4	148.6	..	2.34	IV	3-2 zieml. gut
P .320	2.5	147.4		2.40	IV	
.323	2.6	148.0	..	2.74	IV	p gut
.339	3.0	147.5	..	3.01	IV	3-4
.350	3.2	147.5	..	(3.31)	IV	2 Gewölk; helle Fäd
.361	3.7	148.5	..	2.66	IV	3-4
S 02.297	-1.0	144.9	:	2.29	VI	2-3
.341	-0.5	143.7	:	2.40	V	3-4
.350	0.0	143.4	:	2.32	V	3-4
.369	2.8	145.1	..	2.39	VI	2
.399	2.4	146.1	..	2.41	V	3-2

Epoche	t	p	s	Ok.	Bild	Bemerkungen
P 02.262	0.0	145.7	: 2.55	V	1-2	
.366	1.7	144.4	.. 2.52	V	3-4	
.399	2.2	143.7	.. 2.54	V	3-2	
.410	3.6	144.6	.. 2.60	V	3-4	
S 03.363	1.9	142.6	.. 2.52	V	2-3	
.387	2.3	141.9	.. 2.59	V	3-4	
.395	2.7	141.4	.. 2.47	V	3-2	
P 03.363	2.3	141.6	.. 2.44	V	2-3	zieml. gut
.409	2.5	141.6	.. 2.45	V	2-3	
P 04.209	2.1	138.1	.. 2.59	V	2	recht gut
.214	-0.9	138.3	.. 2.61	V	2-3	
.230	1.4	140.0	: 2.67	V	3	Bild wechselnd
H 08.335	0.5	126.9	bs 2.91	III	3-4	durch Wolken
.370	1.5	128.5	bs 3.00	IV	3-4	
.400	3.5	130.4	bs 3.14	IV	3-4	
.461	3.5	128.9	bs 3.09	IV	3-4	
H 09.238		126.4	: 3.24	IV P	3-4	
.244		126.2	: 3.03	IV P	3-4	
.296		126.0	: 2.89	VP	2	Messung gut
.334		125.8	: 2.87	IV P	2-3	
.348		124.6	: 2.98	IV P	3	
.372		125.5	: 2.89	IV P	3-4	8 s
C 99.77		154.3	(3) 2.36	(3)		
S 01.32		148.6	(1) 2.34	(1)		
P 01.34		147.8	(5) 2.70	(4)		
S 02.35		144.6	(5) 2.36	(5)		
P 02.36		144.6	(4) 2.55	(4)		
S 03.38		142.0	(3) 2.53	(3)		
P 03.39		141.6	(2) 2.44	(2)		
P 04.22		138.8	(3) 2.62	(3)		
H 08.39		128.7	(4) 3.04	(4)		
H 09.31		125.8	(6) 2.98	(6)		
Σ 1534 11h 15m 33s + 18° 51' 8.0 .. 11.2						
C 00.348	1.0	329.2	: 5.00	III	2-3	6 s; helle Fäden
Σ 1586 Leonis 11h 17m 39s + 11° 12' 8.9 .. 7.1						
C 00.208	0.7	55.8	: 2.72	III	3	
.208	0.7	51.1	.. —	III	3	
.236	0.5	55.6	: 2.67	V	2-3	
.236	0.5	53.5	.. 2.54	V	2-3	
.252	0.0	55.2	: 2.66	V	3	
.252	0.0	52.5	.. 2.41	V	3	6 s
.282	1.5	54.7	: 2.71	III	3	8 s
.304	0.7	57.5	: 2.61	III	3-4	8 s
.304	0.9	52.6	.. 2.59	III	3-4	8 s
.348	0.7	55.6	: 2.63	III	2-3	
.348	0.7	53.4	.. 2.62	III	2-3	
P 01.323	2.3	56.4	: 2.69	IV	3-4	durch Wolken
.328	4.0	56.6	: (3.08)	IV	3-4	s unsicher
02.229	-0.7	52.9	.. 2.32	V	2	
S .341	-0.4	55.1	.. 2.37	V	3-2	gut
.407	1.4	53.1	.. 2.44	V	3-4	
P 03.291	0.4	52.8	: 2.52	V	2-3	gut
04.209	2.1	52.9	: 2.50	V	2-3	

Epoche	t	p	s	Ok.	Bild	Bemerkungen
H 09.238		48.0	: 2.68	IV P	3	Nebel
.260		48.4	: 2.32	VP	3-4	
.271		48.9	: 2.24	VP	3	
C 00.27		54.3	(6) 2.63	(6)		
S 02.37		54.1	(2) 2.40	(2)		
P 02.48		54.3	(5) 2.51	(4)		
H 09.26		48.4	(3) 2.41	(3)		
OS 234 11h 24m 20s + 41° 57' 7.0 .. 7.4						
S 01.378	2.4	139.7	.. 0.3	V	3-2	wohl sicher erkannt
02.341	-0.3	141.5	: 0.35	V	3-2	in Kontakt
.369	2.1	143.7	.. 0.4	VI	2	eben getrennt
.399	2.4	144.5	.. 0.4	V	3-2	
P .262	0.0	143.8	—	V	1	eben getrennt
.369	2.0	143.1	.. (0.45)	VI	2	
S 03.395	2.7	143.8	.. 0.35	V	3-2	zieml. gut
.409	3.3	142.8	.. 0.35	V	3	
P .363	2.3	138.2	.. (0.3)	V	2-3	eben getrennt
04.209	2.6	140.7	—	V	3-2	getrennt?
S 02.12		142.4	(4) 0.36	(4)		
P 02.32		143.4	(2) —	—		
S 03.40		143.3	(2) 0.35	(2)		
P 03.79		139.4	(2) —	—		
OS 237 11h 32m 34s + 41° 49' 7.4 .. 9.0						
S 01.378	2.2	264.5	: 1.20	V	3-2	s schwierig
P 01.386	3.5	265.8	(1.41)	IV	2-3	s zu groß gemessen?
Σ 1606 12h 4m 44s + 40° 34' 6.8 .. 7.0						
P 02.448	3.4	333.0	.. 1.17	V	3	s beiläufig
H 09.342		328.7	: (0.9)	VP	3	p schwierig; s tax.
.359		327.5	: —	VP	2-3	d. Wolken gestört
P 02.45		333.0	(1) 1.17	(1)		
H 09.35		328.1	(2) —	—		
Σ 1619 12h 8m 59s - 6° 35' 7.5 .. 7.8						
C 00.282	1.6	279.7	.. 7.33	III	3	8 s
.304	0.3	280.6	.. 7.30	III	4	
.321	1.1	280.3	.. 7.25	III	3	
.334	0.3	281.5	.. 7.63	II	3	6 s
C 00.31		280.5	(4) 7.38	(4)		

Epoche	t	p	s	Ok.	Bild	Bemerkungen
--------	---	---	---	-----	------	-------------

$\Sigma 1621$ $12^h 9^m 54^s + 6^h 19' 8.8 \dots 10.8$

C 00.348	^h 0.8	⁰ 138.3	..	2.60	III	2-3	helle Fäden
.348	0.8	—	..	2.56	III	2-3	helles Feld
.348	0.8	139.3	:	—	III	2-3	helle Fäden
P 04.236	0.4	138.9	:	2.59	V	3-4	etw. unsicher
C 00.35		⁰ 138.8	(1)	2.58	(1)		
P 04.24		138.9	(1)	2.59	(1)		

$\Sigma 249$ $12^h 18^m 2^s + 54^h 49' 7.2 \dots 8.0$

P 02.448	^h 3.6	⁰ 302.5	(0.8)	V	3	s tax.
----------	------------------	--------------------	-------	---	---	--------

$\Sigma 1648$ $12^h 21^m 18^s + 27^h 42' 8.4 \dots 8.7$

P 01.328	^h 3.2	⁰ 40.4	:	(2.58)	IV		bei s Bild getrübt
02.224	— 2.4	37.4	..	—	IV	4	
.262	— 0.6	38.9	..	2.05	V	1-2	
.276	— 1.0	38.9	:	(2.21)	V	3	s sehr unsicher
.286	— 0.4	39.1	:	1.94	V	3	
.300	— 0.2	39.2	..	2.25	V		gut
03.267	0.4	39.6	..	2.25	V	2-3	Gewölk
04.219	— 1.3	38.0	..	(2.32)	V	3	s wertlos
H 09.293		36.3	:	2.12	VP	3	
.342		35.0	:	2.19	IVP	2	
.345		34.0	:	2.15	VP	3	
P 02.52		⁰ 38.9	(8)	2.12	(4)		
H 09.33		35.1	(3)	2.15	(3)		

$\Sigma 1647$ Virginis 191 $12^h 24^m 28^s + 10^h 28' 7.5 \dots 7.8$

C 00.348	^h 1.4	⁰ 222.1	:	(1.2)	III	3	
P 02.262	— 0.4	225.1	:	1.54	V	1-2	
.286	— 0.6	224.1	:	1.75	V	3	
.297	0.6	224.0	:	1.85	V	3	
.399	1.7	221.4	:	1.22	V	3-4	
P 03.239	0.5	223.7	:	(1.54)	V	3-4	s schlecht
04.236	0.6	223.4	:	1.61	V	3	
H 09.301		224.8	:	—	VP	4	
.307		225.7	:	1.57	VP	2	
.312		223.6	:	1.56	VP	3	
.345		224.2	:	—	VP	3-4	
.359		224.4	:	1.50	IVP	3	s mit VP
C 00.35		⁰ 222.1	(1)	—	—		
S 02.40		221.4	(1)	1.22	(1)		
P 02.86		224.1	(5)	1.69	(4)		
H 09.32		224.5	(5)	1.54	(3)		

Epoche	t	p	s	Ok.	Bild	Bemerkungen
--------	---	---	---	-----	------	-------------

$\Sigma 1670$ γ Virginis $12^h 25^m 27^s - 0^h 47' 2.0 \dots 2.0$

C 99.417	^h 0.0	⁰ 330.0	:	—	I	4	$p^{1/2}$ Gew.; Tageslicht
.417	0.0	328.5	be:	—	I	4	$p^{1/2}$ Gew.; Tageslicht
.417	0.0	329.2	..	—	I	4	$p^{1/2}$ Gew.; Tageslicht
.417	0.0	327.6	be:	5.78	I	4	$p^{1/2}$ Gew.; 8 s; Tageslicht
.494		330.7	:	5.72	I?	3	
.494		329.0	..	5.64	I?	3	
00.282	0.9	329.7	:	5.90	III	3	
.282	0.9	328.8	..	5.85	III	3	
.301	— 0.8	329.5	:	5.68	III	3-4	8 s
.334	— 0.2	329.3	:	6.00	II	3-4	6 s
.334	— 0.2	328.0	..	5.79	II	3-4	
.348	1.6	329.4	:	6.07	III	3	
.348	1.6	328.1	..	5.91	III	3	
S .334	— 2.2	329.6	be	5.87	IV	3-4	6 s
P 01.323	1.5	328.6	..	6.04	IV		
.326	0.8	328.0	..	(5.77)	III	4	s sehr unsicher
02.210	0.4	328.8	:	6.02	IV	2-3	
.336	— 0.2	330.5	:	(5.72)	V	4	s wertlos
.341	0.2	329.9	:	5.85	V	3	Gewölk
.360	0.0	330.2	:	5.67	V	3-2	
S .333	— 0.3	330.2	be:	5.90	V	3	
.341	— 1.3	329.1	be:	5.93	V	3-2	Gewölk
.415	0.7	328.8	be:	5.96	V	3-2	p gut
P 03.231	— 0.4	328.6	:	(6.3)	V	4-5	ganz zerfließen
.245	— 0.9	328.7	:	5.96	V	3	
.291	0.2	328.7	:	6.11	V	3	gut
S .363	0.7	328.2	:	6.20	V	3	
.895	— 0.2	328.4	be:	5.84	V	3-4	
P 04.209	0.4	327.7	:	6.09	V	3	s schwierig
.228	— 0.8	328.6	:	5.98	V	3-2	
.236	— 0.5	327.0	:	6.03	V	2-3	
H 09.290		326.5	:	6.01	IVP	3-4	
.307		325.7	:	6.09	VP	3	
.331		325.3	:	6.04	IVP	3-4	
.334		325.4	:	5.98	IVP	3-4	
.337		325.4	:	6.01	IVP	3-4	8 s
.339		324.0	:	5.94	IVP	3-4	8 s

C 00.03		⁰ 329.1	(6)	5.82	(6)	
S 00.33		329.6	(1)	5.87	(1)	
S 02.77		328.9	(5)	5.98	(5)	
P 02.86		328.8	(12)	5.97	(9)	
H 09.32		325.4	(3)	6.01	(6)	

$\Sigma 1687$ δ Comae $12^h 47^m 23^s + 21^h 54' 5.0 \dots 7.8$

P 02.262	^h — 1.1	⁰ 78.1	:	1.21	V	1-2	
.399	1.5	76.6	..	1.47	V	3	s schwierig
P 03.291	0.3	78.9	..	(1.36)	V	3	s beiläufig
04.214	— 1.6	80.0	..	1.25	V	2-3	
H 09.342		86.8	:	1.40	VP	2	sehr schw. Obj.
.359		85.6	:	1.30	VP	2	
S 02.40		⁰ 76.6	(1)	1.47	(1)		
P 03.26		79.0	(3)	1.23	(2)		
H 09.35		86.2	(2)	1.35	(2)		

Epoche	t	p	s	Ok.	Bild	Bemerkungen
A und C 5.0..9.0						
I 09.364	125.4 ⁰	:	28.76	IVP	3-4	
.383	125.5	bs:	28.66	IVP	4	
.396	126.0	bs:	28.41	IVP	4	8 s
I 09.38	125.63	(3)	28.61	(3)		
Σ 1708 12^h 58^m 7^s + 8° 38' 8.0..11.0						
C 00.343	-0.5	278.5	bs.. 16.83	II	3-4	8 p, 8 s
Σ 1716 Virginis 427 12^h 58^m 28^s + 9° 18' 8.1..10.9						
C 00.348	0.6	148.5	.. 2.94	III	3	
.348	0.6	144.5	:	III	3	
.444	3.2	149.1	.. 2.92	III	3	8 p, 6 s; helle Fäden
P 04.280	-0.5	146.8	.. 2.49	V	3	
H 09.290	147.9	:	2.62	IVP	3	Begl. auß. schwach
.331	145.9	:	2.59	IVP	3	schwierig
.342	146.9	:	2.67	IVP	3	
C 00.40	147.8	(2)	2.93	(2)		
P 04.28	146.8	(1)	2.49	(1)		
H 09.32	146.9	(3)	2.63	(3)		
Σ 1728 42 Comae 12^h 4^m 10^s + 18° 10' 6.0..6.0						
S 01.378	0.1	(16.2)	:	(0.5)	IV	3-4 eben getrennt
P 02.297	0.5	10.5	:	(0.65)	V	2-3 s tax.
.341	0.3	9.2	:	(0.5)	V	3 s tax.
.350	0.0	12.0	:	(0.65)	V	3 s tax.
S .297	0.7	9.3	:	—	V	
.333	1.1	8.2	:	0.6	V	3-2 s tax.
.399	1.5	10.8	:	0.55	V	3-4 s tax.
P 03.363	1.1	9.6	:	(0.55)	V	3 s tax.
S .387	0.7	6.9	:	0.6	V	3-4 s tax.
.395	1.1	9.2	:	0.5	V	3-2 s tax.
.409	1.7	5.1	:	0.5	V	3 s tax.
P 04.209	1.4	9.6	:	(0.65)	V	3-2 s tax.
.285	0.1	11.7	:	(0.5)	V	2-3 s tax.
H 09.301	7.3	:	(0.5)	VI	1-2	8 p, s tax.; in Wolken
S 02.87	8.2	(6)	0.55	(5)		
P 03.14	10.4	(6)	—	—		
H 09.30	7.3	(1)	—	—		
β 800 Comae 201 12^h 10^m 52^s + 17° 40' 7.1..10.2						
P 04.280	-0.2	113.3	.. 3.24	V	3	s schwierig
H 09.359	109.1	:	3.34	VP	2-3	Hell.: 7..9.5
.364	111.0	:	3.31	IVP	3-4	Hell.: 7..9
.370	110.2	:	3.26	IVP	3-4	
.378	110.7	:	3.33	IVP	3-4	8 s
P 04.28	113.3	(1)	3.24	(1)		
H 09.37	110.2	(4)	3.31	(4)		

Epoche	t	p	s	Ok.	Bild	Bemerkungen
OΣ 206 12^h 22^m 35^s + 16° 20' 7.8..7.8						
S 01.378	-0.3	340.2 ⁰	:	1.87	IV	3
P .369	0.2	343.9	:	(2.49)	IV	4 s mehr tax.
.386	1.3	341.9	:	2.07	IV	3-2
.438	1.3	341.8	:	2.19	IV	3-4 s unsicher
S 01.38	340.2	(1)	1.67	(1)		
P 01.40	342.5	(3)	2.13	(2)		
Σ 1758 12^h 27^m 56^s + 49° 45' 8.0..8.2						
H 08.387	2.5	304.3 ⁰	bs	3.98	III	4-5
.409	1.5	305.4	bs	4.10	III	2-3
.461	4.0	305.5	bs	4.12	IV	3
.597	5.5	304.0	bs	3.83	IV	2 6 s
09.386		304.1	:	3.65	IVP	3-4
.452		303.0	:	3.89	IVP	3-4
H 08.78	304.4	(6)	3.93	(6)		
Σ 1757 12^h 28^m 9^s + 0° 18' 7.8..8.9						
C 00.296	-0.1	76.5 ⁰	.. 2.73	III	3	8 s
.337	0.3	77.3	.. 2.87	III	3-4	
P 03.338	0.0	79.9	.. 2.53	V	3-4	
04.214	-2.0	78.7	.. 2.50	V	2-3	
H 09.331	81.9	:	2.72	IVP	3-4	
.339	82.2	:	2.78	IVP	3-4	
.342	81.2	:	2.69	IVP	2-3	
.378	81.2	:	2.68	IVP	3-4	
C 00.32	76.9	(2)	2.80	(2)		
P 03.78	79.3	(2)	2.52	(2)		
H 09.35	81.6	(4)	2.72	(4)		
Σ 1763 81 Virginis 12^h 31^m 18^s - 7° 16' 7.5..7.5						
C 00.321	0.1	41.3 ⁰	:	2.97	III	3
.321	0.1	40.4	.. —	—	III	3
.343	-0.6	39.1	:	(3.03)	II	3-4 s mit II ganz unsich.
.343	-0.6	39.3	.. (2.67)	II	3-4	s mit II ganz unsich.
C 00.33	40.0	(2)	2.97	(1)		
Σ 1768 25 Canum ven. 12^h 32^m 7^s + 36° 54' 5.7..7.6						
P 01.386	2.6	131.9 ⁰	.. —	—	V	3-4 schwierig
02.273	-2.0	129.2	:	1.50	V	2-3
.360	1.7	127.9	.. 1.48	V	3	
S .399	1.4	131.4	.. 1.31	V	3-2	
03.409	1.5	135.7	.. 1.40	V	3	
.543	4.4	131.5	.. 1.52	V	3-2	
P 02.01	129.7	(3)	1.49	(2)		
S 03.12	132.9	(3)	1.41	(3)		

Epoche	t	p	s	Ok.	Bild	Bemerkungen
$\Sigma 1781$ $18^h 40^m 6^s + 50^{\circ} 45'$ 7.8..8.2						
P 02.286	^h -0.6	⁰ 274.6	.. (1.4)	V		s beiläufig
.297	-0.4	276.5	.. 1.09	V	3	
.300	-0.4	271.6	.. (1.35)	V	3-4	s sehr unsicher
.319	0.3	274.9	.. (1.17)	V	3-4	s ganz unsicher
04.280	-0.9	274.9	.. (1.1)	V	3	s tax.
P 02.70		⁰ 274.5	(5) 1.09	(1)		

$\Sigma 1785$ $18^h 43^m 39^s + 27^{\circ} 35'$ 7.2..7.5						
C 00.343	^h -1.6	⁰ 278.9	.. (1.5)	III	3-4	6 p, s tax.
.444	2.9	276.6	.. (1.3)	III	3	s tax.
.444	2.9	276.7	: —	III	3	
P 01.369	0.5	284.6	.. (1.7)	IV	4	s tax.
.386	-0.4	283.4	: (1.5)	IV	4	s tax.
.386	2.1	284.5	.. 1.52	V	3	
S .386	-0.3	285.3	.. 1.63	IV	4	
P 02.273	-1.9	286.7	.. 1.53	V	2-3	Gewölke
.341	0.0	289.8	: 1.65	V	3	
.350	-1 ?	286.0	.. 1.64	V	3-4	
S .399	1.0	286.3	.. 1.44	V	3	
P 03.338	0.1	292.2	: (1.48)	V	3	s ganz unsicher
.409	0.4	292.0	.. 1.27	V	3	
S .546	3.9	291.5	.. 1.61	V	2-3	
P 04.219	-2.2	296.7	: (1.7)	V	3	s beiläufig
.280	-2.0	295.2	: (1.63)	V	3	s zweifelhaft
H 09.342		315.6	: 1.53	VP	2-3	s nicht meßbar
.391		317.1	: —	IVP	4	
.605		318.3	: 1.58	IVP	3	
.624		317.8	: 1.58	IVP	2-3	
C 00.39		⁰ 277.8	(2) —	—		
P 01.38		284.2	(3) 1.52	(1)		
S 01.39		285.3	(1) 1.63	(1)		
P 02.32		287.5	(3) 1.61	(3)		
S 02.40		286.3	(1) 1.44	(1)		
P 03.37		292.1	(2) 1.27	(1)		
S 03.55		291.5	(1) 1.61	(1)		
P 04.25		296.0	(2) —	—		
H 09.49		317.2	(4) 1.56	(3)		

$\Sigma 1788$ $18^h 43^m 41^s - 7^{\circ} 28'$ 6.7..7.9						
C 00.321	^h 0.6	⁰ 74.6	.. 2.94	III	3-4	6 s

$\Sigma 1805$ $14^h 3^m 55^s + 4^{\circ} 35'$ 8.4..8.5						
C 99.313	^h -1.9	⁰ 30.7	4.71	II ?		8 s

$\Sigma 1820$ $14^h 9^m 5^s + 55^{\circ} 53'$ 8.2..8.5						
P 01.588	^h 5.2	⁰ 76.8	: 2.69	IV	3-4	
02.522	5.0	77.0	: 2.50	IV	3	

Epoche	t	p	s	Ok.	Bild	Bemerkungen
H 08.597	^h 5.5	⁰ 77.9	bs 2.48	IV	3	
.600	5.5	77.9	bs 2.33	V	3	
.638	5.5	79.6	bs: (2.52)	V	3-4	s unbranchbar
09.599		79.9	2.28	IVP	3-4	Sterne schwach
.608		79.1	—	IVP	4	s nicht lohnend
.662		78.6	2.33	IVP	3-4	
P 02.06		⁰ 76.9	(2) 2.60	(2)		
H 09.12		78.8	(6) 2.36	(4)		

$\Sigma 1819$ $14^h 9^m 18^s + 8^{\circ} 41'$ 7.9..8.0						
C 00.444	^h 1.6	⁰ 361.2	: (1.35)	III	3	s sehr unsicher
.447	1.7	357.5	: —	III	3-4	6 p
P 02.273	-0.3	358.5	: 1.69	V	2	
.286	-0.9	358.3	: (1.88)	V	3-4	s ganz unsicher
.350	0 ?	358.8	: (1.64)	V	3-4	s sehr unsicher
03.363	0.1	356.8	: 1.75	V	3	
.409	0.3	357.1	: 1.59	V	3	
04.285	-0.8	356.4	: (1.45)	V	3	s ganz beiläufig
H 09.345		348.9	: —	VP	3	
.359		348.9	: 1.43	VP	3	
C 00.45		⁰ 359.4	(2) —	—		
P 02.99		357.6	(6) 1.68	(3)		
H 09.35		348.9	(2) 1.43	(1)		

$\Sigma 1830$ $14^h 11^m 53^s + 57^{\circ} 18'$ 8.5..9.8						
C 98.642	^h 6.7	⁰ —	.. 6.51	III	3-4	6 s; rotes Feld
.642	6.7	290.1	bs.. 6.53	III	3-4	6 s; helle Fäden
S 01.591	4.7	289.7	: 6.49	IV	3-2	
P 02.522	5.1	291.7	.. 6.65	IV	3	
H 08.600	5.0	294.3	bs 6.70	IV	2	
.603	5.0	294.6	bs 6.68	IV	2-3	
.630	6.5	293.9	bs 6.73	IV	3	
.636	5.0	293.0	bs.. 6.61	IV	3-4	
C 98.64		⁰ 290.1	(1) 6.52	(1)		
S 01.59		289.7	(1) 6.49	(1)		
P 02.52		291.7	(1) 6.65	(1)		
H 08.62		294.0	(4) 6.68	(4)		

A und (6^m)

C 98.642	^h 7.2	⁰ 61.53	bs 142.35	III	3-4	3 p, 8 s; rotes Feld
----------	------------------	--------------------	-----------	-----	-----	----------------------

 $\Sigma 1831$ $14^h 12^m 17^s + 57^{\circ} 16'$ 6.8..9.0

C 98.642	^h 7.7	⁰ 139.7	bs 5.91	III	3-4	6 s; rotes Feld
P 01.591	5 ?	139.5	bs.. 6.12	IV	3-4	
H 08.597	6.0	139.8	bs 6.01	IV	3	

A und (6^m)

C 98.642	^h 7.3	⁰ 225.86	bs 105.83	III	3-4	3 p, 8 s; rotes Feld
----------	------------------	---------------------	-----------	-----	-----	----------------------

Epoche	t	p	s	Ok.	Bild	Bemerkungen
--------	---	---	---	-----	------	-------------

Σ 1846 φ Virginis $14^h 22^m 2^s - 1^0 41' 5.2 \dots 9.7$

00.334	^h -2.4	⁰ 110.2	..	4.76	II	3-4 5 p, 6 s
.334	-2.4	110.9	:	—	II	3-4
.444	1.1	109.7	..	4.66	III	3 6 p, 6 s

00.39	⁰ 110.1	(2)	4.71	(2)		
-------	--------------------	-----	------	-----	--	--

Ho 548 $14^h 22^m 21^s + 21^0 56' 8.5 \dots 8.5$

C 99.494	^h 5.1	⁰ 236.4		4.56	II?	
----------	------------------	--------------------	--	------	-----	--

Σ 1868 $14^h 24^m 1^s + 52^0 6' 7.1 \dots 7.4$

P 02.286	^h -2.0	⁰ 88.2	..	(0.7)	V	3 s tax.
.289	-3?	88.1	:	(0.9)	V	3 s tax.

P 02.29	⁰ 88.2	(2)	—	—		
---------	-------------------	-----	---	---	--	--

Σ 1865 ζ Bootis $14^h 25^m 25^s + 14^0 15' 8.5 \dots 8.9$

S 01.378	^h 0.2	⁰ 160.6	:	(0.3)	V	3-2 wohl sich. oblong.
02.333	-0.3	141.5	..	0.4	V	3-2 eben zu trennen
.399	0.4	141.2	..	0.45	V	3-4 schwierig
.415	-0.7	143.7	:	0.4	V	3-2 in Kontakt
P .360	-1.1	142.4	:	—	VI	2-3 schwierig
S 03.390	-0.5	145.5	:	0.45	V	3-4 sehr unsicher
.395	-0.1	135.3	..	0.4	V	3
P .363	-0.1	146.7	:	(0.3)	V	2-3 nicht ganz sicher
.390	-0.5	150.9	:	—	V	3-4
04.219	-2.8	148.0	:	—	V	3-4 ganz beiläufig
.285	-0.8	146.0	—	—	V	3 unsicher

S 02.55	⁰ 144.6	(6)	0.42	(5)		
P 03.52	146.8	(5)	—	—		

Σ 1879 $14^h 40^m 23^s + 10^0 10' 7.8 \dots 8.8$

P 02.273	^h -0.6	⁰ 133.3	:	(0.6)	V	2 s tax.
.341	-0.6	132.6	:	(0.6)	V	3 Gewölk
S 03.395	-0.3	118.9	..	0.55	V	3-4 s tax.

P 02.31	⁰ 133.0	(2)	—	—		
S 03.40	118.9	(1)	0.55	(1)		

OJ 285 $14^h 40^m 53^s + 42^0 58' 7.1 \dots 7.6$

S 03.546	^h 3.1	⁰ 296.3	..	0.35	V	2-3 s tax.; getrennt
----------	------------------	--------------------	----	------	---	----------------------

Epoche	t	p	s	Ok.	Bild	Bemerkungen
--------	---	---	---	-----	------	-------------

Σ 1888 $14^h 42^m 56^s + 6^0 27' 7.0 \dots 7.0$

P 02.273	^h -0.4	⁰ 244.9	:	(0.6)	V	2 s tax.
.297	-0.7	246.5	..	(0.55)	V	2-3 s tax.
.306	-0.3	242.9	..	(0.55)	VI	2-3 s tax.
04.285	-1.1	236.4	..	—	V	3 deutl. getrennt

P 02.79	⁰ 242.7	(4)	—	—		
---------	--------------------	-----	---	---	--	--

Σ 1888 ξ Bootis $14^h 45^m 51^s + 19^0 36' 4.7 \dots 6.6$

S 99.417	^h 1.2	⁰ 208.5	:	3.19	IV	4-3
C .420	0.2	208.1	:	2.90	IV	3-4
.423	-0.7	207.3	:	2.81	IV	3 10 s
.428	-0.8	206.9	:	2.81	IV	2-3 8 s
.565	2.6	207.9	:	2.90	V	3-4
C 00.337	-1.4	203.0	:	2.71	III	3-4 6 p, 6 s
.389	-1.5	200.9	:	2.90	II	3-4
.389	-1.5	200.3	..	2.80	II	3-4
.392	-1.5	201.3	:	2.96	III	
P 01.323	-0.3	199.2	:	2.99	IV	
.326	-1.6	198.8	:	3.10	III	3-4
.328	-1.3	198.0	:	2.88	IV	
.361	0.7	197.8	:	3.06	IV	3-4 hastig
.372	-1.7	197.4	:	3.08	IV	3-4
S .328	-1.5	196.2	:	2.67	IV	3-2
.372	-1.8	195.6	:	2.69	IV	4-3
.378	0.5	198.1	:	2.56	V	2
P 02.273	-1.4	193.2	:	2.59	V	2
.306	-0.6	192.8	:	2.99	V	2-3
.314	-1.5	192.1	:	3.10	IV	3-4
.350	-2?	192.4	:	2.66	V	3-4
.366	-1.9	192.6	:	2.88	V	3-4
S .399	0.4	190.7	:	2.75	V	2-3 gut
.415	-1.9	189.8	:	2.51	V	2-3 p gut
P 03.338	-0.2	187.1	:	2.67	V	3-2
.363	-0.1	186.7	:	2.59	V	3
S .409	0.4	185.3	:	2.37	V	3-4
.543	3.3	185.6	:	2.82	V	3
.546	2.7	185.5	:	2.63	V	2-3
P 04.280	-2.6	180.2	:	2.62	V	4-3
H 09.339		149.6	:	2.63	IVP	3
.345		145.7	:	2.23	VP	2-3
.348		148.0	:	2.49	IVP	2-3
.350		148.0	:	2.43	IVP	3 p gut
.359		147.9	:	2.30	IVP	3
.364		149.8	:	2.44	IVP	3-4 8 s
.370		148.9	:	2.41	IVP	3 s sehr gut; Wolken
.372		149.0	:	2.45	IVP	3

S 99.42	⁰ 208.5	(1)	3.19	(1)		
C 99.46	207.6	(4)	2.86	(4)		
C 00.37	201.6	(3)	2.84	(3)		
P 01.34	198.2	(5)	3.02	(5)		
S 01.36	196.6	(3)	2.64	(3)		
P 02.32	192.6	(5)	2.84	(5)		
S 02.41	190.2	(2)	2.63	(2)		
P 03.35	186.9	(2)	2.63	(2)		
S 03.50	185.5	(3)	2.61	(3)		
P 04.28	180.2	(1)	2.62	(1)		
H 09.36	148.4	(8)	2.42	(8)		

Epoche	t	p	s	Ok.	Bild	Bemerkungen
OZ 287 $14^h 47^m 8^s + 45^o 25' 7.5 \dots 7.6$						
P 02.286	^h -1.9	⁰ 141.9	: (0.95)	V	3	s tax.
.297	-2.7	142.3	: 1.00	VI	2-3	
.300	-2.1	140.3	: (1.2)	V	3	s beiläufig
S 03.546	3.2	145.5	.. 0.85	V	2-3	
P 02.29		⁰ 141.5	(3) 1.00	(1)		
S 03.55		145.5	(1) 0.85	(1)		

OZ 288 $14^h 47^m 46^s + 16^o 12' 6.4 \dots 7.1$						
S 01.378	^h 0.2	⁰ 188.3	: 1.59	V	2	gut
P .378	0.3	189.7	: 1.87	V		p gut, s unsicher
S 02.399	0.0	188.7	: 1.58	V	3-2	
P .273	-1.1	191.2	: 1.76	V	2	
.297	-2.1	190.0	: (2.17)	V	3	s ganz unsicher
.445	0.2	189.7	: 2.07	V	3-4	
.448	0.4	190.7	: 2.00	V	3	Dunst, Gewölk
H 09.348		187.0	: 1.89	IVP	3	
.359		187.1	: 1.88	VP	2-3	
.378		188.0	: 1.79	IVP	3-4	8 s
S 01.89		⁰ 188.5	(2) 1.58	(2)		
P 02.17		190.3	(5) 1.92	(4)		
H 09.36		187.4	(3) 1.79	(3)		

Z 1909 44 Bootis $14^h 59^m 51^s + 48^o 7' 5.2 \dots 6.1$						
C 98.642	^h 5.4	⁰ 241.1	bs: 4.83	III	3-4	12 s
P 02.522	4.4	242.6	: 4.80	IV	3-4	
H 08.597	5.5	242.0	bs 4.35	IV	3-4	
.600	3.0	242.6	bs 4.25	IV	2-3	
.603	4.5	242.4	bs 4.30	IV	3	
.606	5.0	241.8	bs 4.27	IV	4-3	
.636	4.5	242.3	bs: 4.27	IV	3	
.751	4.5	241.8	bs: 4.41	IV	4	8 s
C 98.64		⁰ 241.1	(1) 4.83	(1)		
P 02.52		242.6	(1) 4.80	(1)		
H 08.63		242.2	(6) 4.31	(6)		

Z 1962 Coronae 1 $15^h 18^m 12^s + 27^o 16' 5.6 \dots 6.1$						
P 02.286	^h -1.4	⁰ 331.7	: (1.0)	V	3-4	s beiläufig
.341	-0.9	335.0	: 1.04	V	2-3	1)
.360	-0.4	334.6	: 1.11	VI	1-2	
.429	-0.1	333.3	: (1.0)	V	3-4	dichter Dunst
S .369	-0.7	329.6	: 0.69	VI	2-3	
.371	-0.7	331.5	: 0.6	V	3	s tax.
.423	0.0	332.5	: 0.65	V	3	s tax.

Epoche	t	p	s	Ok.	Bild	Bemerkungen
P 03.409	^h -0.4	⁰ 336.4	: (0.95)	V	3	s tax.
.497	2.0	336.2	: —	V	3-4	
.543	4.0	337.5	: (0.9)	V	3-4	s tax.
S .409	0.4	331.4	: 0.6	V	3-2	s tax.
.543	3.0	336.4	.. 0.92	V	3-4	
P 02.35		⁰ 333.6	(4) 1.08	(4)		
S 02.39		331.2	(3) 0.65	(3)		
P 03.48		336.7	(3) —	—		
S 03.48		333.9	(2) 0.76	(2)		

1) Zugehörigkeit der Messung nicht ganz gesichert.

Z 1937 η Coronae $15^h 18^m 15^s + 30^o 48' 5.2 \dots 5.7$						
S 98.494	^h 0.9	⁰ 344.1	: —	V	3	gut getrennt
.514	1.1	342.3	.. —	V	3	gut
C .672	5.0	347.7	.. —	IV	2-3	7 p
C 99.609	4.5	353.9	.. (0.6)	V	2	s tax.
.609	4.5	356.9	: —	V	2	
S 01.328	-1.6	8.4	.. 0.98	IV	3-2	scharf getrennt
.375	0.3	6.1	: (0.8)	IV	3	s tax.
P .328	-1.4	8.9	.. 0.91	IV	3-2	
.372	-0.1	10.3	: (1.0)	IV	3-4	s tax.
.375	0.4	7.4	: —	IV	3	
.383	1.2	8.2	: (1.0)	IV	3-4	Gewölk
P 02.286	-1.8	10.7	: (1.0)	V	3-4	s ganz beiläufig
.300	-2.3	9.0	: (0.9)	V	3-4	s tax.
.306	-1.7	9.2	: 1.01	V	2-3	
.341	-0.6	9.2	: 1.17	V	3	
S .369	-0.9	7.0	: 0.77	VI	2-3	s = 0.8 tax.
.371	-1.1	7.3	: 0.93	V	3-4	
.415	0.0	9.1	: 0.86	V	2	
P 03.409	-0.1	14.3	: 1.07	V	3-4	s unsicher
.543	4.4	17.2	: —	V	3-4	1/2 Gew.
.546	3.9	16.5	: —	V	3-4	Dunst
S .409	0.1	12.0	: 0.89	V	3-2	
.497	2.4	13.5	: —	V		
.508	2.8	13.4	: 0.96	IV	3-2	
.543	3.2	12.8	: 1.12	V	3-4	p gut
H 09.359		33.2	: 1.23	VP	2	
.646		35.0	: 1.27	IVP	2-3	8 s
S 98.50		⁰ 343.2	(2) —	—		
C 98.67		347.7	(1) —	—		
C 99.61		355.4	(1) —	—		
S 01.35		7.2	(2) 0.98	(1)		
P 01.36		8.7	(4) 0.91	(1)		
P 02.31		9.5	(4) 1.09	(2)		
S 02.38		7.8	(3) 0.85	(3)		
P 03.49		15.8	(3) 1.07	(1)		
S 03.49		12.9	(4) 0.99	(3)		
H 09.50		34.1	(2) 1.25	(2)		

Z 1968 μ³ Bootis $15^h 20^m 0^s + 27^o 46' 6.7 \dots 7.3$						
C 98.672	^h 5.3	⁰ 74.0	bs: 0.85	IV	2-3	8 p
99.609	3.7	73.4	: 1.12	V	2	6 s

Epoche	t	p	s	Ok.	Bild	Bemerkungen
P 02.404	-1.1	67.5	..	—	V	3-4 1/3 Gew.
S .415	0.4	69.6	..	1.00	V	2 gut
S .533	2.0	67.3	:	0.93	V	3-2
P 03.499	2.7	69.8	:	(1.37)	V	3 s unsicher
S .546	4.2	71.6	:	(1.1)	V	3-4 Gewölke
S .543	3.3	65.0	:	0.96	V	3 gut
S .546	2.8	64.5	:	0.96	V	2-3 s unsicher
H 09.646		59.1	:	1.31	IVP	2-3 8 s
C 99.14		73.7	(2)	0.98	(2)	
S 03.01		66.6	(4)	0.96	(4)	
P 03.30		70.1	(3)	—	—	
H 09.65		59.1	(1)	1.31	(1)	

0Σ 296 15h 22m 19s + 44° 26' 7.0...8.6

P 01.588	3.7	308.1	..	(2.1)	IV	4 s völl. unsicher
02.306	-2.1	305.5	:	2.01	V	2-3
S 03.546	3.1	303.5	..	1.64	V	3
H 09.605		302.5	:	1.86	IVP	3
.624		301.4	:	1.80	IVP	2-3 8 s
.646		303.2	:	1.75	IVP	2 s gut
P 01.95		306.8	(2)	2.01	(1)	
S 03.55		303.5	(1)	1.64	(1)	
H 09.62		302.4	(3)	1.80	(3)	

Σ 1954 δ Serpentis 15h 29m 5s + 10° 56' 3.0...4.0

C 00.427	0.7	185.9	:	3.92	II	3 6 s
.444	1.5	186.7	:	3.80	III	3 6 s
C 00.44		186.3	(2)	3.86	(2)	

0Σ 298 15h 31m 46s + 40° 12' 7.0...7.8

C 99.609	3.7	179.5	..	1.14	V	2
P 02.300	-2.1	184.0	:	—	V	4-3
.366	-1.7	183.7	:	1.51	V	3-4
S .369	-0.8	180.9	:	1.11	VI	3 Dunst
.371	-1.5	183.7	..	1.23	V	3-4
.415	0.4	181.6	:	1.19	V	3
03.546	2.9	184.7	:	1.35	V	3-4
H 09.471		189.2	:	1.36	VP	3
.506		190.8	:	1.37	IVP	3 12 s, s mit VP
.605		191.5	:	1.36	IVP	3 8 s
C 99.61		179.5	(1)	1.14	(1)	
P 02.33		183.8	(2)	1.51	(1)	
S 02.68		182.7	(4)	1.22	(4)	
H 09.53		190.5	(3)	1.36	(3)	

Epoche	t	p	s	Ok.	Bild	Bemerkungen
Σ 1967 γ Coronae 15h 37m 42s + 26° 41' 4.0...7.0						
S 98.494	0.7	120.3	..	—	V	3 leicht; s wie γ Coronae
.514	1.0	127.1	..	—	V	3-4
99.417	0.3	122.5	..	0.65	IV	3-4 s tax.
C .609	3.9	123.2	..	(0.6)	V	2-3 schwierig
S 01.375	-0.8	123.3	:	0.65	IV	3-2 s tax.; helle Fäd.
02.369	-1.3	109.9	..	0.6	VI	3-2 Kopfhalt. schwier.
.371	-1.3	114.4	..	0.8	V	3-4 s tax.
.415	-0.4	117.2	..	0.6	V	2 s tax.; gut
P .308	-1.9	116.4	:	(0.85)	V	2-3 s tax.
.341	-1.1	115.9	:	(0.7)	V	2-3 s tax.
.360	-0.7	114.7	:	0.96	VI	2-3
P 03.409	-0.6	117.9	:	(0.5)	V	3 s tax.
.546	3.4	116.5	..	(0.45)	V	3 s tax.; p 1/3 Gew.
S .409	-0.2	119.2	..	0.6	V	3-2 s tax.
.497	1.9	122.2	..	—	V	
.508	2.6	121.6	..	—	IV	3-2 Gewölke
.543	2.8	117.9	..	0.55	V	3-4

S 98.81		123.3	(3)	0.65	(1)	
C 99.61		123.2	(1)	—	—	
S 02.13		116.2	(4)	0.66	(4)	
P 02.34		115.7	(3)	0.96	(1)	
P 03.46		117.4	(2)	—	—	
S 03.49		120.2	(4)	0.58	(2)	

Σ 1965 15h 49m 42s - 1° 49' 7.0...8.1

C 00.343	-1.7	336.5	:	5.75	II	3 6 s
.427	0.2	337.6	:	5.71	II	3
C 00.38		337.0	(2)	5.73	(2)	

0Σ 306 15h 55m 18s + 18° 37' 7.4...7.9

P 02.306	-1.4	144.1	:	(1.1)	VI	2-3 s tax.
.314	-2.3	143.2	:	(1.0)	V	3 s tax.
.341	-0.8	144.7	:	(1.11)	V	3-4 s sehr unsicher
S .371	-1.3	140.7	:	0.85	V	3-4 s beiläufig
P 02.32		144.0	(3)	—	—	
S 02.37		140.7	(1)	0.85	(1)	

Σ 1998 ζ Scorpii 15h 57m 46s - 11° 8' 4.9...5.2

C 99.549	0.5	51.6	..	—	V	2-3 Tageslicht
.549	0.5	44.2	:	(0.6)	V	2-3 s tax.; Tageslicht
C 99.55		47.9	(1)	—	—	

Epoche	t	p	s	Ok.	Bild	Bemerkungen
Σ 2082 σ Coronae $16^h 10^m 11^s + 84^{\circ} 10'$ 5.0...6.1						
C 98.640	^h 3.9	⁰ 211.7	bs	4.41	III	3-4 8 s
.670	4.1	212.6	bs:	4.51	IV	2-3 8 s
99.428	-1.6	212.9		4.51	IV	2-3
.609	3.5	211.9	:	4.43	V	2-3
.622	3.3	211.5	:	4.55	III	3-4 8 s
00.337	-3.5	212.9	..	4.50	III	3-4
.389	-2.3	211.8	..	4.55	II	2-3
S 02.369	-0.9	211.9	:	4.35	VI	3-2
.443	0.9	212.5	:	4.44	V	3
P .314	-2.7	214.6	..	4.79	IV	2-3
.404	-1.4	212.4	:	4.62	IV	4 $\frac{1}{2}$ Gew.
.445	-1.1	213.5	..	4.64	V	3
03.551	2.9	214.3	:	4.78	V	3-4
H 08.411	-0.5	216.1	bs	4.84	III	2-3
.466	-0.5	216.2	bs	4.79	IV	3-4
.600	2.5	216.1	bs	4.77	IV	2
.622	3.0	215.9	bs	4.86	IV	3
.636	4.0	216.5	bs:	4.86	IV	4
.638	3.5	216.3	bs:	4.72	V	3-4
C 99.53		⁰ 212.2	(7)	4.49	(7)	
S 02.41		212.2	(2)	4.40	(2)	
P 02.72		213.9	(4)	4.72	(4)	
H 08.56		216.2	(6)	4.77	(6)	

$O\Sigma$ 812 η Draconis $16^h 22^m 22^s + 61^{\circ} 47'$ 2.1...8.1						
P 01.624	^h 4.4	⁰ 143.5	..	5.93	II	4 Mess. nicht befried.
H 08.622	3.5	139.1	bs	5.35	IV	3 Wolken
.630	4.5	138.1	bs	5.25	IV	3 8 s
.638	4.0	140.0	bs	5.28	IV	3
09.728		140.7	:	5.20	IV P	3-4
P 01.62		⁰ 143.5	(1)	5.93	(1)	
H 08.90		139.5	(4)	5.27	(4)	

$O\Sigma$ 811 $16^h 22^m 84^s + 21^{\circ} 10'$ 7.5...10.8						
H 08.622	^h 2.5	⁰ 208.9	bs	(6.11)	IV	4 nur 2 s ¹⁾
¹⁾ Begl. äuß. schwach; der von H. Struve entdeckte Begleiter ist nicht sichtbar.						

Σ 2055 λ Ophiuchi $16^h 24^m 52^s + 2^{\circ} 15'$ 4.0...6.1						
S 01.698	^h 1.2	⁰ 55.1	..:	1.53	V	3-4
.725	3.3	54.6	:	1.58	IV	4-3
.728	2.0	53.0	:	1.29	V	3-2
.731	2.3	54.5	:	1.41	V	4-3 s $\frac{1}{2}$ Gew.
02.369	-1.0	54.5	..	1.47	VI	3
.484	-0.4	58.3	..	—	V	4-5 $\frac{1}{2}$ Gew.
.486	-0.3	54.5	..	1.50	V	4
.495	-0.7	56.2	..	1.42	V	3-2
P .371	-0.9	57.6	..	1.5	V	3-4
S 03.557	0.2	59.5	..	—	IV	4-5
S 02.24		⁰ 55.4	(9)	1.46	(7)	
P 02.37		57.6	(1)	1.50	(1)	

Epoche	t	p	s	Ok.	Bild	Bemerkungen
Σ 2064 ζ Herculis $16^h 36^m 47^s + 81^{\circ} 49'$ 8.0...6.5						
S 01.728	^h 2.1	⁰ 223.5	:	1.2	V, VI	3-2 s tax.
S 02.369	-1.7	211.9	..	1.13	VI	3-2 s schwierig
.371	-1.8	206.1	:	—	V	3-4 recht schwierig
.522	0.7	214.1	:	1.45	V	3-2 s beiläufig
.607	1.2	215.8	:	—	V	3 Gewölke
P .527	2.4	215.4	:	1.48	V	3-2
S 03.508	1.2	202.5	:	1.23	IV	3-2 p gut
.543	2.2	199.6	:	1.59	V	3-4
S 01.73		⁰ 223.5	(1)	1.20	(1)	
S 02.46		212.0	(4)	1.29	(2)	
P 02.53		215.4	(1)	1.48	(1)	
S 03.53		201.0	(2)	1.41	(2)	

Σ 2107 Herculis 167 $16^h 47^m 5^s + 28^{\circ} 52'$ 6.5...8.0						
S 98.514	^h 0.3	⁰ 304.0	..	—	V	3 zweifelhaft
P 02.527	1.8	337.7	..	(0.6)	V	3-2 schwierig

Σ 2114 $16^h 56^m 18^s + 8^{\circ} 37'$ 6.2...7.4						
P 02.443	^h -0.4	⁰ 160.0	:	(1.75)	V	3-4 s ganz beiläufig
S .486	-0.6	157.3	:	1.24	V	4 s schlecht
.607	0.6	157.6	:	1.22	V	2 gut
P 02.44		⁰ 160.0	(1)	—	—	
S 02.55		157.4	(2)	1.23	(2)	

Σ 2120 Herculis 210 $17^h 0^m 0^s + 28^{\circ} 15'$ 6.4...9.3						
C 98.656	^h 2.9	⁰ 243.3	bs:	7.50	III	5 p, 8 s
99.570	1.7	243.9	:	7.62	I	3-4
.614	2.7	244.0	:	7.57	III	3
00.343	-4.0	243.7	..	7.61	II	3
.392	-3.4	242.9	..	7.54	III	8 s
S 01.720	4.2	242.7	bs:	7.90	V	2 Dunst
P .378	-1.3	243.4	bs	8.05	V	s mit hell. Fäd.
02.319	-2.6	242.4	..	8.03	V	3
.371	-1.6	243.4	..	8.15	V	3-4
.404	-1.9	241.8	bs..	7.98	IV	3
.551	2.8	241.5	:	8.12	V	4 s $\frac{1}{2}$ Gew.
C 99.72		⁰ 243.6	(5)	7.57	(5)	
S 01.72		242.7	(1)	7.90	(1)	
P 02.20		242.5	(5)	8.06	(5)	

$O\Sigma$ 823 $17^h 1^m 44^s + 47^{\circ} 8'$ 7.4...10.5						
P 01.818	^h 4.4	⁰ 97.2	bs:	8.49	IV	3-4 helle Fäd.; schwier.

Epoche	t	p	s	Ok.	Bild	Bemerkungen
Σ 2180 μ Draconis $17^h 2^m 51^s + 54^\circ 38'$ 5.0...5.1						
C 98.656	^h 3.8	⁰ 149.1	bs.. 2.51	III		8 s
P 01.818	4.0	145.2	.. 2.78	IV		
02.366	-2.9	145.4	: 2.37	V	3	Gewölk; hastig
03.551	3.1	144.9	.. 2.27	V	3-4	
H 08.600	3.0	140.3	bs 2.49	V	3-4	
.630	4.5	137.2	bs 2.32	V	3	
.638	3.5	139.0	bs 2.40	V	4	
.737	5.5	138.5	bs.. (2.36)	V	4-5	s ganz unsicher
.753	3.0	139.3	bs.. (2.65)	IV	4	s ganz unsicher
.770	6.0	137.0	bs.. 2.31	V	4	8 s
.773	3.0	138.7	bs.. 2.33	V	3	
.825	3.5	138.9	bs.. 2.50	V	8-4	p sehr gut
09.599		136.2	: 2.31	IVP	3-4	
.728		136.4	: 2.44	IVP	3-4	

C 98.66		⁰ 149.1	(1) 2.51	(1)		
P 02.58		145.2	(3) 2.47	(3)		
H 08.91		138.2	(10) 2.39	(8)		

Σ 2153 $17^h 14^m 50^s + 49^\circ 26'$ 8.6...9.1

P 01.818	^h 3.7	⁰ 269.0	: 2.35	IV	3	
----------	------------------	--------------------	--------	----	---	--

Σ 2156 $17^h 17^m 47^s - 0^\circ 48'$ 8.3...9.0

C 00.427	^h -0.3	⁰ 35.1	: (3.65)	II	3	6 s; s unsicher
.449	-1.5	34.8	: —	III	3-4	Distanzmessung
.449	-1.5	35.7	.. —	III	3-4	nicht lohnend
H 09.408		35.7	: 3.41	IVP	3-4	
.441		34.9	: 3.46	IVP	3-4	Dunst; Sterne schwach
.471		36.7	: 3.28	IVP	3	

C 00.44		⁰ 35.2	(2) —	—		
H 09.44		35.8	(8) 3.38	(3)		

Σ 2161 ρ Herculis $17^h 19^m 32^s + 37^\circ 15'$ 4.0...5.1

C 98.656	^h 4.2	⁰ 312.2	bs.. 4.15	III	3-4	8 s; Distanz schwierig
99.614	2.1	313.7	.. 4.10	III		

C 99.14		⁰ 313.0	(2) 4.12	(2)		
---------	--	--------------------	----------	-----	--	--

Σ 2169 $17^h 23^m 28^s - 8^\circ 19'$ 8.0...10.0

C 00.427	^h -0.8	⁰ 96.5	.. 14.84	II	3	6 s
----------	-------------------	-------------------	----------	----	---	-----

Σ 2178 Ophiuchi 221 $17^h 24^m 14^s - 0^\circ 58'$ 5.8...6.1

C 99.428	^h -2.4	⁰ 336.4	(1'') 1.35	IV	3	
.527	1.1	331.5	: 1.26	V	3	
.549	-0.4	333.7	: 1.26	V	3	

Epoche	t	p	s	Ok.	Bild	Bemerkungen
S 01.728	^h 2.3	⁰ 327.2	.. 1.10	V	8	
.731	1.4	327.4	.. 1.16	V	3-4	
.733	1.5	327.6	.. 1.14	V	3	
P 02.508	0.4	327.9	: 1.33	V		Bild unruhig ¹⁾
.527	1.1	327.9	: (1.1)	V	3	s tax.
S 03.571	1.0	326.0	: —	IV	4-3	
C 99.50		⁰ 333.9	(3) 1.30	(2)		
S 01.73		327.4	(3) 1.13	(3)		
P 02.52		327.9	(2) 1.33	(1)		
S 03.57		326.0	(1) —	—		

¹⁾ Zugehörigkeit der Messung etwas zweifelhaft.

Σ 2192 Herculis 315 $17^h 35^m 24^s + 29^\circ 18'$ 7.5...9.9

C 99.850	^h 5.7	⁰ 63.1	: 11.24	I	3-4	8 s; Mess. $\frac{1}{2}$ Gew.
00.343	-3.9	63.9	.. 10.54	II	3	6 s

C 00.18		⁰ 63.6	(2) 10.77	(2)		
---------	--	-------------------	-----------	-----	--	--

Σ 2199 $17^h 36^m 24^s + 55^\circ 49'$ 7.2...7.8

P 01.818	^h 2.8	⁰ 87.7	: 1.71	IV		s unsicher
02.366	-3.3	88.1	: (2.01)	V	3-4	s sehr unsicher
H 09.731		83.9	: 1.73	IVP	3	
.767		83.5	: 1.73	IVP	2-3	
.821		83.3	: 1.85	IVP	3-4	8 s

P 02.09		⁰ 87.9	(2) 1.71	(1)		
H 09.77		83.6	(3) 1.77	(3)		

Σ 2218 $17^h 39^m 32^s + 63^\circ 44'$ 6.5...7.7

H 08.630	^h 4.5	⁰ 342.4	bs.. 2.14	V	4	
.825	3.5	342.6	bs.. 2.18	V	4	
09.731		341.4	: 2.06	IVP	3	
.767		343.1	: 2.00	IVP	2-3	

H 09.24		⁰ 342.4	(4) 2.10	(4)		
---------	--	--------------------	----------	-----	--	--

Σ 2205 $17^h 40^m 24^s + 17^\circ 46'$ 8.3...8.7

C 98.670	^h 3.3	⁰ 307.8	bs.. 2.43	IV	2-3	8 s; Sterne schwach
99.614	1.3	309.1	.. 2.14	III	3	
.685	3.2	306.5	.. 2.24	IV	3	

P 02.522	-0.6	310.4	: 2.43	V	3-4	s unsicher
----------	------	-------	--------	---	-----	------------

H 09.424		309.2	: 2.27	IVP	3-4	
.471		308.3	: 2.06	IVP	2-3	Sterne schwach in Dunst
.474		309.9	: 2.10	IVP	3	Sterne sehr schwach

C 99.32		⁰ 307.8	(3) 2.27	(3)		
P 02.52		310.4	(1) 2.43	(1)		
H 09.46		309.1	(3) 2.14	(3)		

Epoche	t	p	s	Ok.	Bild	Bemerkungen
Σ 2220 μ Herculis						
A und BC 17^h 41^m 47^s + 27° 48' 3.8...9.5						
S 01.720	3.7	244.4 ⁰	bs: 32.18	V	2	gut
P 02.522	1.1	245.1	bs.. 32.51	IV	3	s unsicher
B und C 10¹/₂...11						
C 98.672	3.3	54.9 ⁰	bs: —	IV	3	5 p; helle Fäden
99.428	-2.7	57.2	(1.3)	IV	3-4	s tax.
S 01.720	3.7	55.6	: 1.77	V	2	s nur genähert
02.522	0.4	65.9	.. 2.11	V, IV		s sehr unsicher
.547	0.3	65.3	.. 1.87	IV	3	s schwierig
P 02.522	1.0	65.4	.. 1.86	IV	3	s beiläufig
03.557	1.9	60.9	: —	V	3	helle Fäden; unsicher
C 99.05		56.0 ⁰	(2)	—		
S 02.26		62.3	(3)	1.92	(3)	
P 03.04		63.2	(2)	1.86	(1)	

Σ 2215 17^h 41^m 50^s + 17° 44' 5.9...7.9						
C 99.685	2.8	290.1 ⁰	—	IV	3	schwierig

OΣ 228 17^h 46^m 24^s + 15° 21' 6.6...6.9						
C 98.670	3.5	12.9 ⁰	bs: —	IV	3	
99.685	3.2	16.0	: (0.7)	IV	3	s tax.
S 01.720	3.2	11.8	: 0.79	V	2	
.728	2.2	13.6	: 0.74	V	3	
.733	1.2	11.4	: 0.90	V	3-2	s = 0.95 tax.
P 02.371	-2.2	11.9	: (0.9)	V	3-4	s tax.
C 99.18		14.4 ⁰	(2)	—		
S 01.73		12.3	(3)	0.81	(3)	
P 02.37		11.9	(1)	—		

Σ 2202 τ Ophiuchi 17^h 56^m 33^s - 8° 11' 5.0...5.7						
C 99.527	0.9	257.6 ⁰	2.01		3	s gut
.565	1.1	257.2	.. —	V	3-4	
.565	1.1	254.4	: —	V	3-4	
.622	1.3	257.9	.. 2.09	III	3-4	
00.427	-1.2	253.4	.. —	II	3	6 p
H 09.471		258.5	: 1.96	IVP	2-3	
.479		258.0	: 1.95	IVP	3	
.506		257.4	: 2.08	IVP	3	
.605		259.9	: 2.05	IVP	3	s ziemlich gut
C 99.80		256.2 ⁰	(4)	2.05	(2)	
H 09.52		258.4	(4)	2.01	(4)	

Epoche	t	p	s	Ok.	Bild	Bemerkungen
Σ 2272 70 Ophiuchi 17^h 59^m 23^s + 2° 23' 4.1...6.1						
C 99.420	-1.4	261.2 ⁰	2.17	IV	3-4	6 s
.527	0.9	260.3	2.08		3	s gut
.609	2.0	258.3	.. 1.66	V	3	
.609	2.0	257.0	: —	V	3	
.622	0.9	258.6	.. 1.95	III	3-4	s schwierig
.658	1.7	257.3	.. —	III	3	
.668	1.7	255.8	: 2.02	III	3	8 s
.664	-0.3	256.1	.. —	III	3-4	5 p
.685	2.0	256.7	.. 1.77	V	4	
.685	2.0	254.9	: —	V	4	
.743	0.7	255.4	.. 1.99	V	3-4	8 s
.751	1.2	254.2	.. 1.87	V	2-3	
.751	1.2	252.3	: 1.87	V	2-3	
C 00.438	-1.5	245.6	.. 1.70	III	3-4	6 p; s schwierig
S 01.624	2.0	228.9	1.70	IV	3-4	
.698	-0.2	226.9	.. 1.92	V, IV	4	sehr mäßig
.720	2.9	225.6	: 1.63	V	2-3	gut
.725	1.8	226.5	: 1.97	IV	3-2	
.728	1.9	223.5	: 1.97	V	3-4	
.731	0.9	227.0	: 1.66	V	3-4	
S 02.495	-1.9	212.8	.. 1.76	V	3-2	gut
.547	-0.5	210.2	: 1.69	V	3	
.607	-0.6	212.6	: 1.60	V	2-3	p gut
.669	-0.1	211.8	—	V	4-3	
P 508	-0.3	214.7	: —	V		s nicht zu messen
.519	0.0	212.5	: —	V	4-3	s nicht zu messen
.527	0.4	214.1	: 1.86	V	3-2	
P 03.499	-0.3	199.0	: 2.17	V	3	sehr wechselnd
.551	1.3	200.1	: (2.15)	V	3-4	s ganz unsicher
H 08.622	0.5	162.8	bs: 3.16	IV	4	
.638	1.0	162.0	bs: 3.13	IV	3	p gut
.734	1.0	160.9	bs: 3.30	IV	3	
H 09.441		154.7	: 3.23	IVP	3-4	
.449		154.5	: 3.21	IVP	3-4	
.452		153.9	: 3.26	IVP	3-4	
.474		156.1	: 3.12	IVP	3	
C 99.63		257.2 ⁰	(9)	1.94	(8)	
C 00.44		245.6	(1)	1.70	(1)	
S 01.70		227.2	(6)	1.81	(6)	
P 02.52		213.8	(3)	1.86	(1)	
S 02.58		211.8	(4)	1.68	(3)	
P 03.52		199.6	(2)	2.17	(1)	
H 08.66		161.9	(3)	3.20	(3)	
H 09.45		154.8	(4)	3.20	(4)	

Σ 2276 18^h 0^m 8^s + 12° 0' 6.0...7.0						
C 00.329	-3.8	258.8 ⁰	.. 6.55	I	3	6 p

Σ 2280 100 Herculis 18^h 2^m 59^s + 26° 5' 5.9...5.9						
C 99.685	3.6	183.1 ⁰	: 14.06	IV	3	5 p
.685	3.6	183.0	.. 13.99	IV	3	
C 99.68		183.05 ⁰	(1)	14.02	(1)	

Epoche	t	p	s	Ok.	Bild	Bemerkungen
Σ 2289 Hercules 417 $18^h 4^m 47^s + 16^\circ 27'$ 6.0..7.1						
C 99.609	^h 2.2	⁰ 230.3	(1.25)	V	2-3	3p, s tax.; Bewölkung
.685	3.2	229.1	(1.2)	IV	3	s tax.
C 99.65		⁰ 229.7	(2)	—	—	
Σ 2315 Hercules 452 $18^h 20^m 12^s + 27^\circ 20'$ 7.0..8.0						
S 01.720	^h 3.8	⁰ 201.0	(0.35)	V	3-2	wohl sicher erkannt
.813	3.6	196.7	—	V	3	oblong. vermutet
02.533	— 0.3	185.3	(0.5)	V	3-2	zweifelhaft
S 02.02		⁰ 194.3	(3)	—	—	
Σ 2323 89 Draconis $18^h 22^m 10^s + 58^\circ 44'$ 4.7..7.7						
H 08.825	^h 3.5	⁰ 357.7	bs 3.62	V	3-4	8 s
09.383		356.0	: 3.50	IVP	3-4	8 s
.400		356.9	: 3.56	IVP	4	8 s
.405		357.2	: 3.47	IVP	4	8 s
H 09.25		⁰ 357.0	(4)	3.54	(4)	
OΣ 357 $18^h 30^m 21^s + 11^\circ 38'$ 7.5..7.6						
S 01.720	^h 3.2	⁰ 245.9	(0.3)	V	2	oblong. vermutet
.736	1.0	239.9	... 0.35	V	3-2	s tax.
S 01.73		⁰ 242.9	(2)	0.35	(1)	
Σ 2345 $18^h 30^m 28^s + 20^\circ 59'$ 8.4..10.1						
P 02.533		⁰ 204.8	: 8.64	V	3	
OΣ 358 $18^h 30^m 32^s + 16^\circ 58'$ 6.8..7.2						
S 01.720	^h 3.3	⁰ 192.1	: 1.81	V	2-3	gut
.736	1.1	191.7	: 1.87	V	2	
P 02.533		192.9	2.13	V	3-2	Gewölk
H 09.452		190.1	: 2.18	IVP	3-4	8 s
.471		189.2	: 1.85	IVP	2-3	s gut
.474		190.0	: 2.04	IVP	3	
.479		189.5	: 1.86	IVP	3	
S 01.73		⁰ 191.9	(2)	1.84	(2)	
P 02.53		192.9	(1)	2.13	(1)	
H 09.47		189.7	(4)	1.98	(4)	
Σ 2384 $18^h 38^m 33^s + 67^\circ 0'$ 8.0..8.5						
H 09.854		⁰ 306.4	: (0.6)	IVP	2-3	p gut; s tax.

Epoche	t	p	s	Ok.	Bild	Bemerkungen
Σ 2382 ε Lyrae $18^h 40^m 22^s + 39^\circ 33'$ 4.6..6.8						
C 98.645	^h 3.1	⁰ 15.5	bs: 3.23	III	4	8 p, 8 s
.653	2.5	14.2	bs: 3.14	III		10 s
99.743	4.6	12.7	: 3.24	V	2-3	8 s
00.438	— 2.7	12.7	.. 3.44	III	3-4	6 s
P 01.386	— 4.3	13.7	3.27	IV	2-3	
.698	3.8	13.5	bs: 3.35	V	3-4	Gewölk
02.673	4.6	13.1	: 3.56	IV	4	
H 08.606	1.5	12.2	bs 3.30	IV	3-4	
09.400		11.5	: 2.95	IVP	3-4	8 s
.405		12.2	: 2.96	IVP	3-4	
.408		11.2	: 3.07	IVP	3	s zieml. gut
C 99.37		⁰ 13.8	(4)	3.26	(4)	
P 01.92		13.4	(3)	3.39	(3)	
H 09.20		11.8	(4)	3.07	(4)	
Σ 2383 5 Lyrae $18^h 40^m 24^s + 39^\circ 29'$ 4.9..5.2						
C 98.653	^h 2.0	⁰ 128.5	bs.. 2.40	III		8 s
99.743	4.3	127.3	.. 2.45	V	2-3	8 s
00.438	— 2.9	128.9	: 2.62	III	3-4	
P 01.386	— 4.5	127.1	: 2.84	IV	3-4	
.698	4.0	128.1	bs.. 2.50	V	3-4	sehr wechselnd
02.673	4.7	128.1	.. 2.55	IV	4	1/2 Gew.
H 08.606	2.0	123.9	bs 2.30	V	4	
09.405		124.3	: 2.33	IVP	3-4	
.408		124.9	: 2.43	IVP	3-4	
C 99.61		⁰ 128.2	(3)	2.49	(3)	
P 01.77		127.7	(3)	2.65	(3)	
H 09.14		124.4	(3)	2.35	(3)	
Σ 2400 $18^h 43^m 32^s + 16^\circ 7'$ A und B 8.2..11.1						
C 99.614	^h 1.3	⁰ 179.9	: (2.96)	III	3	schwierig; s = 2.5 tax. ¹⁾
¹⁾ Zweifelhaft, ob vielleicht A und C? Nur ein Begleiter sichtbar.						
A und C 8.1..10.6						
H 09.624		⁰ 176.4	: 3.43	IVP	3-4	¹⁾
.649		177.0	: 3.58	IVP	3	s unsicher ¹⁾
.767		178.4	: 3.28	IVP	3	s schwierig ¹⁾
H 09.68		⁰ 177.3	(3)	3.43	(3)	
¹⁾ B nicht sichtbar.						
Σ 2417 3 Serpentis $18^h 50^m 15^s + 4^\circ 8'$ 4.0..4.2						
C 99.658	^h 1.2	⁰ 103.76	.. 22.06	III	3	
β 648 $18^h 52^m 30^s + 32^\circ 45'$ 6.0..9.5						
P 02.527	^h 0.6	⁰ 214.9	: 1.31	V	3	s unsicher

Epoche	t	p	s	Ok.	Bild	Bemerkungen
--------	---	---	---	-----	------	-------------

Σ 2424 11 Aquilae $18^h 52^m 24^s + 18^\circ 28'$ 5.7..9.2

C 99.557 — 0.1 $\overset{h}{265.3}$ $\overset{0}{16.75}$ I Wolken

Σ 2437 $18^h 56^m 29^s + 19^\circ 0'$ 7.8..8.0

S 01.720 $\overset{h}{3.0}$ $\overset{0}{56.7}$: $\overset{0}{0.82}$ V 2
 .736 $\overset{h}{0.9}$ $\overset{0}{56.9}$: $\overset{0}{0.83}$ V 2
 P 02.533 $\overset{h}{57.8}$.. (1.0) V 3 s tax.; Gewölk
 S 01.73 $\overset{0}{56.8}$ (2) $\overset{0}{0.82}$ (2)
 P 02.53 $\overset{0}{57.8}$ (1) — —

Σ 2450 Draconis 228 $18^h 59^m 18^s + 52^\circ 5'$ 6.9..9.6

P 02.673 $\overset{h}{4.6}$ $\overset{0}{301.2}$.. $\overset{0}{5.28}$ IV 4-5 sehr unsicher
 H 08.622 $\overset{h}{1.5}$ $\overset{0}{302.7}$ bs $\overset{0}{5.25}$ IV 3-4 Wolken
 .638 $\overset{h}{2.5}$ $\overset{0}{301.1}$ bs $\overset{0}{5.26}$ IV 4-5
 09.405 $\overset{0}{301.4}$: $\overset{0}{4.90}$ IVP 3-4
 .408 $\overset{0}{301.4}$: $\overset{0}{4.94}$ IVP 3
 P 02.67 $\overset{0}{801.2}$ (1) $\overset{0}{5.28}$ (1)
 H 09.02 $\overset{0}{301.6}$ (4) $\overset{0}{5.09}$ (4)

Σ 2455 $19^h 1^m 47^s + 21^\circ 59'$ 7.2..8.8

C 98.653 $\overset{h}{2.7}$ $\overset{0}{81.1}$ bs.. $\overset{0}{3.50}$ III 8 s
 .653 $\overset{h}{3.1}$ $\overset{0}{80.7}$ bs: $\overset{0}{3.43}$ III 8 s
 .670 $\overset{h}{2.9}$ $\overset{0}{81.2}$ bs.. $\overset{0}{3.71}$ IV 3 8 s
 99.614 $\overset{h}{1.4}$ $\overset{0}{80.8}$.. $\overset{0}{3.66}$ III 3-4
 .658 $\overset{h}{1.2}$ $\overset{0}{79.9}$.. $\overset{0}{3.53}$ III 3
 .685 $\overset{h}{1.4}$ $\overset{0}{79.8}$.. $\overset{0}{3.56}$ V 3-4
 .743 $\overset{h}{1.7}$ $\overset{0}{80.5}$.. $\overset{0}{3.49}$ V 3 8 s
 00.438 — 2.8 $\overset{0}{80.9}$.. $\overset{0}{3.67}$ III 6 p
 S 01.813 $\overset{h}{3.0}$ $\overset{0}{77.4}$... $\overset{0}{3.53}$ V 3 starker Nebel
 P .821 $\overset{h}{2.8}$ $\overset{0}{78.6}$: $\overset{0}{3.89}$ IV 3-4
 02.519 $\overset{h}{0.1}$ $\overset{0}{76.8}$.. $\overset{0}{3.80}$ V 4-3 s sehr unsicher
 .533 $\overset{h}{0.7}$ $\overset{0}{75.2}$.. $\overset{0}{3.62}$ V 3
 03.675 $\overset{h}{0.3}$ $\overset{0}{74.8}$.. $\overset{0}{3.40}$ V 3
 H 09.493 $\overset{h}{69.8}$: $\overset{0}{3.65}$ IVP 4
 .504 $\overset{h}{69.2}$: $\overset{0}{3.68}$ IVP 3-4
 .506 $\overset{h}{69.9}$: $\overset{0}{3.64}$ IVP 3-4 s zieml. gut
 C 99.39 $\overset{0}{80.6}$ (8) $\overset{0}{3.57}$ (8)
 S 01.81 $\overset{0}{77.4}$ (1) $\overset{0}{3.53}$ (1)
 P 02.64 $\overset{0}{76.4}$ (4) $\overset{0}{3.63}$ (4)
 H 09.50 $\overset{0}{69.6}$ (3) $\overset{0}{3.66}$ (3)

Σ 2461 17 Lyrae $19^h 2^m 58^s + 22^\circ 19'$ 5.7..9.8

H 08.636 $\overset{h}{2.0}$ $\overset{0}{314.2}$ bs $\overset{0}{3.81}$ IV 3
 09.405 $\overset{0}{314.4}$: $\overset{0}{3.64}$ IVP 3-4 8 s
 .408 $\overset{0}{313.4}$: $\overset{0}{3.52}$ IVP 3-4
 H 09.15 $\overset{0}{314.0}$ (3) $\overset{0}{3.66}$ (3)

Epoche	t	p	s	Ok.	Bild	Bemerkungen
--------	---	---	---	-----	------	-------------

Σ 2509 $19^h 15^m 42^s + 62^\circ 59'$ 7.0..8.1

P 01.476 — 2.1 $\overset{h}{334.1}$.. (1.0) IV 3-4 s tax.
 02.818 $\overset{h}{5.3}$ $\overset{0}{337.0}$.. (1.49) V 4 s sehr unsicher
 P 02.15 $\overset{0}{335.6}$ (2) — —

Σ 2514 $19^h 16^m 49^s + 67^\circ 28'$ 9.0..11.8

P 01.476 — 1.9 $\overset{h}{328.0}$.. $\overset{0}{10.64}$ IV ohne Feldbeleucht.

Σ 2525 Cygni 22 $19^h 21^m 40^s + 27^\circ 5'$ 7.4..7.6

P 02.533 — 0.4 $\overset{h}{320.1}$.. (0.5) V 3 gut getrennt
 .615 $\overset{h}{1.3}$ $\overset{0}{318.0}$: (0.55) VI 3-2 s tax.
 P 03.557 — 0.3 $\overset{h}{315.9}$: (0.65) V 3 Com. 0^m.7 minor
 .675 — 0.2 $\overset{h}{311.9}$: (0.55) V 3 s tax.
 P 02.57 $\overset{0}{319.0}$ (2) — —
 P 03.62 $\overset{0}{313.9}$ (2) — —

Σ 2536 $19^h 26^m 16^s + 17^\circ 23'$ 8.0..11.0

C 98.670 $\overset{h}{2.9}$ $\overset{0}{68.3}$ bs.. — IV 3 } helle Fäden; p unsicher,
 .670 $\overset{h}{2.9}$ $\overset{0}{68.4}$ bs: — IV 3 } weil Begl. nur geahnt
 C 98.67 $\overset{0}{68.4}$ (1) — —

Σ 2553 $19^h 31^m 49^s + 61^\circ 47'$ 8.4..9.2

P 01.476 — 2.5 $\overset{h}{101.5}$: — IV 3-4 h. Fäd.; sehr unsich.
 02.818 $\overset{h}{4.8}$ $\overset{0}{101.8}$: (1.3) V 3-4 helle Fäden
 P 02.15 $\overset{0}{101.6}$ (2) — —

Σ 2556 $19^h 34^m 17^s + 21^\circ 59'$ 7.8..7.8

C 99.743 $\overset{h}{1.4}$ $\overset{0}{150.7}$: (0.45) V 3 s tax.

$O\Sigma$ 890 χ Aquilae $19^h 36^m 55^s + 11^\circ 23'$ 6.0..7.2

C 99.549 $\overset{h}{0.2}$ $\overset{0}{74.4}$.. — V 3 s < 0.5 tax.

Σ 2576 $19^h 41^m 0^s + 23^\circ 20'$ 7.8..7.8

C 98.670 $\overset{h}{3.1}$ $\overset{0}{293.6}$ bs.. $\overset{0}{2.79}$ IV 3 8 s
 99.743 $\overset{h}{2.7}$ $\overset{0}{293.6}$.. $\overset{0}{2.60}$ V 2-3 8 s
 P 01.821 $\overset{h}{2.7}$ $\overset{0}{291.9}$ bs.. $\overset{0}{2.69}$ IV 2-3 p gut

Epoche	t	p	s	Ok.	Bild	Bemerkungen
--------	---	---	---	-----	------	-------------

H 09.405	0	287.0	:	2.40	IVP	3
.408	0	286.9	:	2.34	IVP	3-4
.419	0	287.2	:	—	IVP	4
.424	0	286.4	:	2.43	IVP	3

Wolkenschleier
s gut

C 99.21	0	293.6	(2)	2.74	(2)	
P 01.82	0	291.9	(1)	2.69	(1)	
H 09.41	0	286.9	(4)	2.39	(3)	

Σ 2579 δ Cygni $19^h 41^m 18^s + 44^\circ 50'$ 8.0..7.9

S 01.813	h	290.1	...	1.89	V	3
H 09.767	0	291.7	:	1.88	IVP	2-3
.854	0	288.9	:	1.77	IVP	2-3

schwierig
8 s

S 01.81	0	290.1	(1)	1.89	(1)	
H 09.81	0	290.3	(2)	1.82	(2)	

Σ 2685 ζ Sagittae $19^h 48^m 30^s + 18^\circ 51'$
A und B 5.5..6.5

S 01.698	h	163.6	:	—	V	3
.720	h	165.5	:	(0.4)	V	3-2
.736	h	168.7	:	—	V	2-3
02.601	h	148	:	—	V	3

oblong. vermutet
oblong. vermutet
oblong. vermutet
oblong. vermutet

S 01.94	0	161.4	(4)	—	—	
---------	---	-------	-----	---	---	--

AB und C 5.7..8.7

C 00.449	h	312.2	:	8.80	I	3-4
.452	h	312.2	:	8.72	I	3-4
S 01.698	h	311.1	bs..	8.47	V	3
.720	h	311.0	:	8.48	V	3-2
.736	h	311.8	bs	8.28	V	2-3

s gut

C 00.45	0	312.2	(2)	8.76	(2)	
S 01.71	0	311.3	(3)	8.41	(3)	

$O\Sigma$ 337 $19^h 44^m 15^s + 35^\circ 0'$ 7.2..8.2

C 99.743	h	336.6	..	(0.45)	V	2-3
P 02.615	h	332.8	:	(0.8)	VI	2-3
03.683	h	330.1	..	(0.6)	V	3-2

s tax.
p nicht sicher

C 99.74	0	336.6	(1)	—	—	
P 03.15	0	331.4	(2)	—	—	

Σ 2696 Aquilae 192 $19^h 48^m 32^s + 14^\circ 59'$ 7.2..8.6

H 08.600	h	329.9	bs	2.09	V	4
09.474	h	327.2	:	1.91	IVP	3
.506	h	325.9	:	1.92	IVP	2-3
.597	h	327.0	:	2.11	IVP	3-4

8 p

H 09.29	0	327.5	(4)	2.01	(4)	
---------	---	-------	-----	------	-----	--

Epoche	t	p	s	Ok.	Bild	Bemerkungen
--------	---	---	---	-----	------	-------------

Σ 2606 ϵ Draconis $19^h 48^m 24^s + 69^\circ 58'$ 4.0..7.6

P 01.476	h	289.9	..	3.09	IV	leidlich
02.818	h	287.3	..	3.03	V	3-4
H 09.408	h	289.9	:	3.15	IVP	3
.419	h	287.3	:	3.25	IVP	3-4
.422	h	289.1	:	3.19	IVP	3

Mess. ziemi. gut
8 s; Mess. ziemi. gut

P 02.15	0	4.6	(2)	3.06	(2)	
H 09.42	0	6.0	(3)	3.05	(3)	

Σ 2607 Cygni 116 $19^h 53^m 54^s + 41^\circ 56'$ 7..9.0

H 09.408	0	289.9	:	3.15	IVP	3
.419	0	287.3	:	3.25	IVP	3-4
.424	0	289.1	:	3.19	IVP	3

Mess. ziemi. gut

H 09.42	0	288.8	(3)	3.20	(3)	
---------	---	-------	-----	------	-----	--

$O\Sigma$ 335 16 Vulpeculae $19^h 56^m 56^s + 24^\circ 36'$ 5.8..6.2

C 99.740	0	100.8	..	(0.6)	V	2-3
----------	---	-------	----	-------	---	-----

6 p, s tax.

Σ 2640 $20^h 3^m 14^s + 63^\circ 33'$ 6.0..9.9

H 09.424	0	20.5	:	5.22	IVP	3-4
.432	0	19.4	:	5.20	IVP	3-4
.441	0	20.2	:	5.24	IVP	3-4

s ziemi. gut

H 09.43	0	20.0	(3)	5.22	(3)	
---------	---	------	-----	------	-----	--

Σ 2642 $20^h 3^m 57^s + 63^\circ 21'$ 8.7..8.7

H 09.961	0	174.0	:	1.98	IVP	3-4
----------	---	-------	---	------	-----	-----

Sterne schwach

A. C. 17 Cygni 153 $20^h 9^m 11^s + 51^\circ 6'$ 6..11 $\frac{1}{2}$

H 09.424	0	79.1	:	4.02	IVP	3
.441	0	78.7	:	4.09	IVP	3-4
.449	0	79.1	:	4.25	IVP	3-4

Begl. sehr schwach
Begl. sehr schwach

H 09.44	0	79.0	(3)	4.12	(3)	
---------	---	------	-----	------	-----	--

Σ 2658 $20^h 10^m 29^s + 52^\circ 45'$
A und B 7.0..9.1

C 00.452	h	118.5	:	5.36	I	3-4
H 09.441	h	116.1	:	5.29	IVP	3
.449	h	116.4	:	5.21	IVP	3-4
.452	h	115.9	:	5.28	IVP	4

8 s
s ziemlich gut
8 s
8 s; durch Wolken

C 00.45	0	118.5	(1)	5.36	(1)	
H 09.45	0	116.1	(3)	5.26	(3)	

A und C 7.0..10.2

C 00.452	h	210.4	bs..	44.24	I	3-4
----------	---	-------	------	-------	---	-----

8 s

Epoche	t	p	s	Ok.	Bild	Bemerkungen
OΣ 406 20^h 15^m 54^s + 44° 59' 7.1..8.0						
P 02.823	^h 5.4	⁰ 90.9	—	VI	2—3	oblong.; etw. zwb.
Σ 2672 20^h 16^m 25^s + 23° 28' 8.7..8.8						
H 09.854	⁰ 296.1	:	(0.7)	IVP	2—3	s tax.; schwierig
β 151 (Σ 2704) β Delphini 20^h 31^m 55^s + 14° 11' 4.1..5.4						
C 99.683	^h 2.0	⁰ 365.6	:	(0.55)	V	2—3 s tax.
.740	— 0.5	362.1	:	(0.5)	V	2—3 6 p, s tax.
.743	1.5	356.5	:	(0.55)	V	2—3 7 p, s tax.
S 01.695	1.0	13.3	:	0.4	V	3—2 s tax.
.698	0.8	13.5	:	0.45	V	3—2 s tax.
.709	1.3	12.1	:	0.5	V	3 s tax.
.720	2.0	11.2	:	0.5	V	2—3 s tax.; gut
.736	— 0.2	11.4	:	0.6	V	3—2 s tax.
S 02.601	0.0	17.4	:	0.4	V	3 s tax.
C 99.72		⁰ 1.4	(3)	—	—	
S 01.71		12.3	(5)	0.49	(5)	
S 02.60		17.4	(1)	0.40	(1)	
Σ 2717 20^h 35^m 19^s + 60° 20' 7.2..9.7						
H 09.854	⁰ 260.2	:	2.27	IVP	3—4	8 s
.961	260.0	:	2.08	IVP	3—4	
H 09.91	⁰ 260.1	(2)	2.18	(2)		
OΣ 411 20^h 38^m 17^s + 45° 24' 7.4..10.2						
C 99.850	^h 4.4	⁰ 312.0	..	16.09	I	3 8 s
00.452	— 5.2	312.2	:	16.15	I	3—4 6 s
.463	— 4.6	313.1	:	15.92	I	4 s 1/2 Gew.
C 00.26		⁰ 312.4	(3)	16.08	(3)	
Σ 2725 20^h 40^m 37^s + 15° 28' 7.3..8.0						
C 98.618	^h — 1.2	⁰ 2.4	bs	5.08	III	3 p
Σ 2727 γ Delphini 20^h 41^m 6^s + 15° 42' 4.0..5.0						
C 98.618	^h — 1.7	⁰ 271.0	bs	11.08	III	
OΣ 418 λ Cygni 20^h 42^m 44^s + 36° 8' 5.0..6.3						
C 99.743	^h 2.8	⁰ 53.9	:	—	V	2—3 s < 0.7 tax.
P 02.823	4.7	57.5	:	—	VI	2—3 s < 1" tax.

Epoche	t	p	s	Ok.	Bild	Bemerkungen
OΣ 422 20^h 50^m 33^s + 44° 41' 7.4..9.1						
P 02.818	^h 3.2	⁰ 332.8	..	(2.77)	V	4 helle Fäd.; s unsich.
H 08.770	3.0	333.0	bs ..	—	V	4
09.441		333.0	:	2.84	IVP	3—4
.471		333.4	:	2.61	IVP	3 s zieml. gut
.506		333.0	:	2.70	IVP	3
P 02.82		⁰ 332.8	(1)	—	—	
H 09.30		333.1	(4)	2.72	(3)	
Σ 2737 ε Equulei 20^h 58^m 5^s + 3° 50' 5.7..6.2						
C 99.664	^h — 2.9	⁰ 288.5	..	—	III	3 s < 1" tax.
.664	— 2.9	291.5	:	—	III	3
.683	1.3	285.3	..	0.82	V	2
.883	0.7	287.4	..	(0.8)	V	3 6 p, s tax.
S 01.709	1.0	283.8	..	0.89	V	2—3
.720	1.8	279.8	..	0.79	V	2
C 99.74		⁰ 287.6	(3)	0.82	(1)	
S 01.71		281.8	(2)	0.84	(2)	
AB und C 5..7.1						
C 99.664	^h — 2.9	⁰ 74.3	..	10.59	III	3
S 01.709	1.2	73.7	bs	10.97	V	3
.720	1.9	74.2	bs ..	10.78	V	2—3
C 99.66		⁰ 74.30	(1)	10.59	(1)	
S 01.71		73.95	(2)	10.89	(2)	
Σ 2742 2 (λ) Equulei 20^h 56^m 17^s + 6° 48' 7.1..7.1						
C 99.622	^h — 0.9	⁰ 222.2	..	2.39	III	3—4
.622	— 0.9	221.6	:	2.65	III	3—4
.883	0.4	222.4	..	—	V	3
.883	0.4	222.0	:	2.71	V	3 8 s; schwierig
C 99.75		⁰ 222.0	(2)	2.62	(2)	
Σ 2744 20^h 56^m 58^s + 1° 4' 6.3..7.0						
C 99.664	^h — 2.5	⁰ 162.2	:	(1.5)	III	3
.685	1.2	162.1	:	1.92	IV	3—4 6 s; s schwierig
S 01.709	1.4	159.2	:	1.67	V	3
.720	1.7	161.1	:	1.45	V	2
.736	— 0.7	161.0	:	1.45	V	3—2
H 09.649		158.9	:	1.70	IVP	3 8 s
.734		156.8	:	1.51	IVP	2—3
.767		157.6	:	1.50	IVP	2—3
C 99.67		⁰ 162.2	(2)	1.92	(1)	
S 01.72		160.4	(3)	1.52	(3)	
H 09.72		157.8	(3)	1.57	(3)	

Epoche	t	p	s	Ok.	Bild	Bemerkungen
Σ 2746 20^h 57^m 18^s + 88° 47' 8.0 .. 8.6						
P 02.686	^h 3.2	⁰ 297.4	.. 1.15	V	3	s beiläufig
.823	4.5	295.6	.. 1.21	VI	3-2	
H 08.803	3.0	299.9	be.. —	V	2-3	s < 1" tax.
P 02.75		⁰ 296.5	(2) 1.18	(2)		
H 08.80		299.9	(1) —	—		
Σ 2745 12 Aquarii 20^h 57^m 44^s - 6° 18' 5.6 .. 7.7						
C 99.664	^h -2.3	⁰ 189.6	: 3.01	III	3-4	6 s
Σ 2749 20^h 58^m 49^s + 8° 8' A und BC 7.7 .. 8.9						
C 99.683	^h 1.0	⁰ 157.2	.. 3.35	V	2-3	s schwierig
.883	1.0	155.9	.. 3.79	II	3-4	
.883	1.0	156.9	: 3.94	II	3-4	
C 99.78		⁰ 156.8	(2) 3.61	(2)		
B und C 9.5 .. 9.5						
C 99.683	^h 1.0	⁰ 154.8	.. (0.8)	V	2-3	s tax.
Σ 2751 Cephei 88 20^h 58^m 50^s + 56° 12' 6.0 .. 7.0						
P 01.493	^h -3.8	⁰ 349.5	.. 1.75	IV	3	s ohne Beleucht.
H 08.786	3.0	350.9	be.. —	V	4-5	
.803	2.5	349.9	be.. 1.83	V	3	6 p
.814	3.0	348.7	be.. 1.84	V	4	6 p, 8 s
.825	4.5	350.4	be.. 1.95	V	4	8 s
09.961		349.1	: 1.97	IVP	3-4	
P 01.49		⁰ 349.5	(1) 1.75	(1)		
H 09.04		349.8	(5) 1.90	(4)		
Σ 2758 61 Cygni 21^h 1^m 15^s + 88° 8' 5.8 .. 5.9						
C 98.621	^h -0.2	⁰ 124.2	be 21.69	III	2 p	
.637	-2.4	124.7	be: 21.86	III	4	12 s
99.395	-5.5	125.4	be 22.01	IV	3-4	8 s
.850	3.7	126.2	.. 22.04	I	3	5 p, 8 s
.883	3.9	125.8	.. 22.00	II	3	8 s
.965	3.7	125.3	: 22.20	I	3-4	6 p, 8 s
00.425	-4.1	125.8	.. 22.00	II	3	8 s
S 00.745	-0.9	125.72	I: 21.89	II	3-2	4 p, 4 s; gut
S 01.709	1.1	125.80	I.. 22.19	V	3	4 p, 4 s; sehr gut
.720	-2.0	126.20	II: 22.26	V	2-3	4 p, 2 s; gut, durch Gewölk
.722	0.7	125.87	I.. 22.14	V	4-8	4 p, 4 s
.739	2.3	125.92	I.. 22.12	V	2	4 p, 4 s; Dampf. stört
.744	2.6	125.90	I.. 22.22	V	2	4 p, 4 s; gut

Epoche	t	p	s	Ok.	Bild	Bemerkungen
P 02.486	^h -3.4	⁰ 125.53	be: 22.39	IV	4	4 p, 4 s; ganz unsich.
.615	0.4	125.48	be.. 22.26	V	3	4 p, 2 s; sehr unruhig
S 02.842	3.8	126.00	I.. 22.19	IV	3	6 p, 6 s; gut
.853	0.6	126.37	I.. —	V	2-3	4 p; durch Gewölk
.883	4.7	126.08	I.. 22.34	V	3-2	8 p, 6 s
.889	5.8	126.00	I.. 22.36	V	4-3	6 p, 6 s
.894	1.3	126.00	I.. 22.34	V	3-2	8 p, 6 s; gut
.952	3.0	126.37	I.. 22.25	IV	3-2	8 p, 6 s
03.039	4.7	126.38	I.. 22.34	IV	3-4	8 p, 6 s
.048	5.3	126.18	II.. 22.31	V	2-3	8 p, 6 s
S 03.415	-4.9	126.83	II: 22.30	V	2	8 p, 6 s; gut
.486	-4.0	126.42	II: 22.45	V	3	8 p, 8 s
.491	-3.6	126.18	II: 22.28	V	3-2	8 p, 8 s
.508	-3.4	126.38	II: 22.33	IV	2	8 p, 8 s; gut
.527	-2.9	126.40	II: 22.39	V	8	8 p, 8 s; pgut, Dunst
.551	-4.4	126.68	II: 22.34	IV	4-3	8 p, 8 s; bei Tageslicht
.557	-4.7	126.72	II: 22.43	IV	4-3	8 p, 8 s; Tageslicht
.568	-2.3	126.67	II: 22.32	IV	2-3	8 p, 8 s; sicher, Dunst
.590	-2.2	126.67	II: 22.35	IV	3-2	8 p, 8 s; s gut, mit Gitter
P 03.439	-3.7	126.35	be: 22.51	IV	3-4	8 p, 4 s; Dampf. stört
.486	-3.5	126.47	be: 22.17	V	4-3	6 p, 4 s; Dampf. stört
.499	-2.6	126.27	be: 22.36	V	3-4	8 p, 4 s; s unsicher
.568	-2.0	126.40	be: 22.50	IV	3	8 p, 4 s; Dunst, Gewölk
P 03.680	1.6	126.93	be.. 22.37	V	3	8 p, 4 s; mit Gitter
.792	4.0	126.40	be.. 22.47	IV	2-3	8 p, 4 s; äuß. unruhig
04.011	4.8	126.00	be.. 22.44	IV	3	8 p, 6 s; unsicher
P 04.178	-3.8	126.60	be: 22.62	IV	3	8 p, 4 s
.206	-3.7	126.68	be: 22.56	V	2-3	8 p, 4 s; Dampf. stört
S 04.129	6.2	126.48	I.. 22.43	IV	2-3	8 p, 8 s; aufhell. Himmel
.176	7.9	126.43	I.. 22.44	II	4	8 p, 8 s
.184	8.2	126.80	I.. 22.36	IV	4-5	8 p, 8 s; heller Himmel
.187	8.2	126.55	I.. 22.47	IV	4	8 p, 8 s; heller Himmel
S 04.663	-2.6	127.23	II: 22.57	IV	5-2	8 p, 8 s; sehr wechselnd
.663	1.2	127.12	I.. 22.48	IV	3-2	4 p, 4 s; d. Wolk. unter-
.666	-1.8	127.38	II: 22.49	IV	2-3	8 p, 8 s; gut [broch.
.668	-2.7	127.52	II: 22.62	IV	3	8 p, 8 s
.677	-1.8	127.27	II: 22.35	IV	3-2	8 p, 8 s
.679	-2.2	126.85	II: 22.52	IV	3-4	8 p, 8 s
.682	-2.6	126.95	II: 22.50	IV	3-4	8 p, 8 s
.688	-2.0	127.32	II: 22.57	IV	2	8 p, 8 s; recht gut
H 09.630		128.4	: 22.94	IIP	4	
.638		128.4	: 22.93	IIP	4	
.786		128.7	: 22.84	IIP	4	8 s; s gut
.813		128.8	: 22.70	IIP	4	
C 99.54		⁰ 125.34	(7) 21.97	(7)		
S 00.74		125.72	(1) 21.89	(1)		
S 01.73		125.94	(5) 22.19	(5)		
P 02.55		125.50	(2) 22.32	(2)		
S 02.92		126.17	(8) 22.30	(7)		
P 03.50		126.37	(4) 22.38	(4)		
S 03.52		126.55	(9) 22.35	(9)		
P 03.83		126.44	(3) 22.43	(3)		
S 04.17		126.56	(4) 22.42	(4)		
P 04.19		126.64	(2) 22.59	(2)		
S 04.67		127.20	(8) 22.51	(8)		
H 09.72		128.58	(4) 22.85	(4)		

Die römischen Zahlen in Kolumne 4 beziehen sich auf die Lage des Instruments: I = A. v., II = A. f. H. Struve's Messungen sind wie diejenigen Postelmann's sämtlich durch Bisektion (be) erhalten. Eine nähere Diskussion der Messungen s. Seite 40 der Einleitung.

Epoche	t	p	s	Ok.	Bild	Bemerkungen
--------	---	---	---	-----	------	-------------

A. G. C. 18 r Cygni $21^h 10^m 0^s + 37^{\circ} 32' 4.9 \dots 7.4$

S 01.744	^h 2.2	—	—	V	2	nicht erkannt!
P 03.814	3.2	287.6 ⁰	.. (0.9)	V	2—3	schr. unsich. u. schwierig

Σ 2788 $21^h 10^m 48^s + 57^{\circ} 48' 8.0 \dots 8.0$

P 01.493	^h — 3.7	28.4 ⁰	.. (1.1)	IV	3	s tax.
02.818	4.0	31.3	:	V	3—4	s nicht meßbar
P 02.16		29.8 ⁰	(2)	—	—	

A. C. 19 $21^h 11^m 15^s + 63^{\circ} 55' 7 \dots 7$

P 01.493	^h — 2.6	261.3 ⁰	:	—	VI	2 s < 0.4 tax.
----------	--------------------	--------------------	---	---	----	----------------

OΣ 437 $21^h 15^m 46^s + 31^{\circ} 57' 6.5 \dots 7.2$

C 99.395	^h — 5.3	43.3 ⁰	bs: 1.82	IV	3—4	8 s
.883	4.2	41.8	:	II	3	
P 01.821	1.4	43.5	:	2.00	IV	Mess. 1/2 Gew.
02.818	2.0	42.5	:	1.84	V	3
H 09.474		39.8	:	1.82	IVP	3
.479		38.2	:	1.87	IVP	3—4 8 s
.506		38.8	:	1.68	IVP	3
C 99.64		42.6 ⁰	(2)	1.82	(1)	
P 02.49		42.8	(2)	1.89	(2)	
H 09.49		38.9	(3)	1.79	(3)	

Σ 11, App. II 1 Pegasi $21^h 16^m 32^s + 19^{\circ} 18' 4.5 \dots 8.6$

C 99.664		311.2 ⁰	bs: 36.35	III	3	2 p, 8 s
— 677		311.3	bs 36.27	I		
C 99.67		311.2 ⁰	(2)	36.31	(2)	

Σ 2799 Pegasi 20 $21^h 23^m 2^s + 10^{\circ} 34' 6.6 \dots 6.6$

C 99.683	^h 0.1	300.1 ⁰	.. 1.46	V	2—3	
.883	0.7	297.9	.. —	II	3—4	
S 01.695	0.3	299.6	.. 1.43	V	3—2	
.709	1.1	298.3	.. 1.31	V	3—2	
.736	1.4	296.5	.. 1.46	V	3—2	
P 02.818	2.2	297.7	.. (1.64)	V	4	s ganz beiläufig
H 09.597		294.5	:	1.62	IVP	3
.646		294.7	:	1.73	IVP	2—3
.649		293.6	:	1.68	IVP	3 8 s

Epoche	t	p	s	Ok.	Bild	Bemerkungen
--------	---	---	---	-----	------	-------------

C 99.78		299.0 ⁰	(2)	1.46	(1)	
S 01.71		298.1	(3)	1.40	(3)	
P 02.82		297.7	(1)	—	—	
H 09.63		294.3	(3)	1.68	(3)	

Σ 2804 Pegasi 29 $21^h 27^m 26^s + 20^{\circ} 11' 7.8 \dots 8.0$

C 98.618	^h — 0.2	333.2 ⁰	3.01	III		8 p
P 02.673	1.1	335.4	:	3.27	IV	3—4
H 08.822	— 1.0	336.1	bs: 3.12	V	3—4	8 s
09.493		334.7	:	2.89	IVP	4
.597		334.5	:	2.97	IVP	3—4
.599		336.0	:	2.94	IVP	3 s gut
C 98.62		333.2 ⁰	(1)	3.01	(1)	
P 02.67		335.4	(1)	3.27	(1)	
H 09.38		335.3	(4)	2.98	(4)	

OΣ 442 $21^h 30^m 45^s + 61^{\circ} 16' 8.0 \dots 8.2$

P 01.493	^h — 3.3	357.9 ⁰	.. (0.4)	VI	2	s tax.
----------	--------------------	--------------------	----------	----	---	--------

Σ 2822 μ Cygni $21^h 38^m 46^s + 28^{\circ} 12' 4.0 \dots 5.0$

C 98.637	^h — 2.5	123.7 ⁰	bs: 2.99	III	4	8 s
99.664	— 2 ?	124.9	:	2.78	III	3
.883	0.9	121.7	.. 2.69	II	3	
P 02.673	1.3	124.3	.. 2.80	IV	3—4	Gewölke
H 08.822	— 1.0	130.2	bs: —	V	4	
09.506		127.4	:	1.89	IVP	3—4
.599		127.9	:	2.05	IVP	3
.624		127.2	:	2.24	IVP	3
.646		127.1	:	2.16	IVP	2—3 s gut
C 99.39		123.4 ⁰	(3)	2.82	(3)	
P 02.67		124.3	(1)	2.80	(1)	
H 09.44		128.0	(5)	2.08	(4)	

Σ 2824 x Pegasi $21^h 39^m 18^s + 25^{\circ} 6' 3.9 \dots 10.8$

P 02.615	^h — 0.6	300.1 ⁰	:	12.56	V	3—2
----------	--------------------	--------------------	---	-------	---	-----

Σ 2837 $21^h 42^m 49^s + 32^{\circ} 28' 8.5 \dots 9.0$

S 01.476	^h — 3.6	292.9 ⁰	:	2.39	IV	
P .476	— 5.1	295.6	bs: —	—	IV	ohne Beleucht.
.490	— 2.6	294.8	.. —	—	IV	3—4 helle Fäden
.493		294.4	bs 2.53	IV	3—2	Gewölke
H 09.961		291.7	:	2.64	IVP	3
S 01.48		292.9 ⁰	(1)	2.39	(1)	
P 01.49		294.9	(3)	2.53	(1)	
H 09.96		291.7	(1)	2.64	(1)	

Epoche	t	p	s	Ok.	Bild	Bemerkungen
$\Sigma 2848 \quad 21^h 48^m 37^s + 65^\circ 11' \quad 7.0 \dots 7.2$						
C 00.222	^h 10.2	⁰ 138.5	..	—	III	3—4
P 01.493	— 3.0	140.1	..	2.17	IV	2—3 gut
H 08.825	4.0	139.8	bs..	2.00	V	3—4
09.961		138.9	:	2.09	IVP	2—3
C 00.22		⁰ 138.5	(1)	—	—	
P 01.49		140.1	(1)	2.17	(1)	
H 09.39		139.4	(2)	2.04	(2)	

$\Sigma 2860 \quad 21^h 59^m 26^s + 60^\circ 16' \quad 7.7 \dots 9.8$						
C 00.222	^h 9.8	⁰ 255.0	..	7.02	III	3
.222	9.8	255.1	:	7.20	III	3
.452	— 5.7	255.2	..	7.23	I	3—4 6 s
.452	— 5.7	256.0	:	7.13	I	3—4 6 s
P 01.493	— 4.1	257.0	bs:	7.39	IV	2 recht gut
C 00.34		⁰ 255.3	(2)	7.14	(2)	
P 01.49		257.0	(1)	7.39	(1)	

$\Sigma 2877 \quad 22^h 8^m 33^s + 16^\circ 36' \quad 6.4 \dots 9.6$						
C 99.965	^h 2.3	⁰ 2.1	:	11.64	III	3 8 s; Wolken Schleier
P 02.673	0.0	1.8	:	12.37	IV	3—4

$\Sigma 2895 \quad 22^h 15^m 8^s + 24^\circ 21' \quad 8.5 \dots 10.0$						
C 99.883	^h 4	⁰ 35.0	:	7.66	II	3
P 02.673	0.1	34.9	:	8.02	IV	3—4

$\Sigma 2900 \quad 33 \text{ Pegasi} \quad 22^h 17^m 52^s + 20^\circ 15' \quad 6.0 \dots 9.2$						
C 99.664	^h — 1.6	⁰ 177.9	:	1.72	III	2—3 8 s

$\Sigma 2909 \quad \zeta \text{ Aquarii} \quad 22^h 22^m 39^s - 0^\circ 38' \quad 4.0 \dots 4.1$						
C 99.883	^h 0.5	⁰ 319.0	:	3.65	II	3
.883	0.5	320.4	..	3.70	II	3
.913	— 0.5	321.3	:	3.71	II	3
.913	— 0.5	318.5	..	3.56	II	3 6 p
S 01.695	— 0.2	319.7	:	3.18	V	3—2
.736	0.5	320.0	..	3.12	V	4—3
.739	0.6	319.6	bs..	3.05	V	2—3
.744	0.7	320.5	bs..	3.01	V	2—1
P 02.673	— 0.5	321.6	:	3.85	IV	4

Epoche	t	p	s	Ok.	Bild	Bemerkungen
H 09.731		⁰ 310.9	:	2.99	IVP	3—4
.734		311.7	:	2.83	IVP	3
.736		310.6	:	3.04	IVP	3—4
.753		311.6	:	3.06	IVP	3—4
.767		311.0	:	2.97	IVP	3
.777		310.5	:	2.92	IVP	3—4
C 99.90		⁰ 319.8	(2)	3.66	(2)	
S 01.73		320.0	(4)	3.09	(4)	
P 02.67		321.6	(1)	3.85	(1)	
H 09.75		311.0	(6)	2.97	(6)	

$\Sigma 2915 \quad 22^h 26^m 23^s + 6^\circ 48' \quad 8.5 \dots 8.7$						
C 99.850	^h 3.1	⁰ 149.5	..	12.30	I	3
.850	3.1	150.7	:	12.62	I	3 Messung unbequem
P 01.818	— 0.2	150.1	bs:	(12.45)	IV	4 s recht unsicher
C 99.85		⁰ 150.1	(1)	12.46	(1)	
P 01.82		150.1	(1)	—	—	

$\Sigma 2964 \quad 22^h 36^m 8^s + 20^\circ 48' \quad 8.2 \dots 9.2$						
C 99.664	^h — 1.6	⁰ 145.6	:	1.03	V	2—3
P 02.670	1.6	142.9	:	1.02	V	3

$\Sigma 2944 \quad 22^h 41^m 40^s - 4^\circ 51' \quad 7.0 \dots 7.5$						
C 98.618	^h — 0.9	⁰ 256.7	bs	3.90	III	3 p

$\Sigma 2950 \quad \text{Cephei 241} \quad 22^h 46^m 40^s + 61^\circ 8' \quad 5.7 \dots 7.0$						
C 00.222	^h 8.8	⁰ 307.1	..	2.15	III	3 6 s
H 09.961		304.2	:	2.15	IVP	3 s ziemlich gut

$O\Sigma 483 \quad 52 \text{ Pegasi} \quad 22^h 52^m 12^s + 11^\circ 5' \quad 6.2 \dots 7.7$						
C 99.664	^h — 1.4	⁰ 222.5	..	(1.4)	V	3—4 s tax.
.664	— 1.4	219.2	:	—	V	3—4
.683	0.1	222.7	:	1.02	V	2—3
S 01.695	— 0.5	221.6	:	1.11	V	3—2
.736	0.2	225.4	:	1.14	V	3—4
.739	0.2	224.9	:	1.00	V	3—2
P 02.670	1.2	226.2	:	1.10	V	2—3 zieml. gut
C 99.67		⁰ 221.8	(2)	1.02	(1)	
S 01.72		224.0	(3)	1.08	(3)	
P 02.67		226.2	(1)	1.10	(1)	

Epoche	t	p	s	Ok.	Bild	Bemerkungen
Σ 2976 23^h 1^m 28^s + 5° 57'						
A und B 8.8...10.2						
C 98.618	— 0.8	262.7 ⁰	bs 7.73	III		3 p, 6 s; helle Fäden
A und C 8.8...8.8						
C 98.618	— 0.5	191.6 ⁰	bs 17.18	III		2 p
Σ 2990 23^h 7^m 28^s + 21° 26' 8.5...8.5						
C 98.621	— 1.8	61.7 ⁰	bs 2.21	III		8 s; helle Fäden
Σ 3001 o Cephei 23^h 13^m 41^s + 67° 27' 5.2...7.8						
C 98.623	— 3.7	196.3 ⁰	bs 2.80	III	3	6 p, 8 s
00.222	7.8	196.7	: 2.85	III	3	
S 01.723	— 0.8	198.0	: 2.96	IV	3—4	
H 09.181	7.5	202.2	bs: 2.89	IV	2	
.599		200.0	: 2.85	IVP	3—4	
.682		199.6	: 2.86	IVP	3—4	
.769		199.8	: 2.74	IVP	3—4	
C 99.42		196.5 ⁰	(2) 2.82	(2)		
S 01.72		198.0	(1) 2.96	(1)		
H 09.56		200.4	(4) 2.84	(4)		
Σ 3007 23^h 16^m 46^s + 19° 54' 6.5...9.5						
C 98.620	— 1.6	82.7 ⁰	bs 6.25	III		helle Fäden
Σ 3008 23^h 17^m 32^s — 9° 7' 7.0...8.0						
C 99.664	— 1.7	241.4 ⁰	.. 4.00	V	3—4	
.680	— 0.8	240.6	.. 4.02	V	3—4	nur 2 s; 1/2 Gew.
.680	— 0.8	240.3	: —	V	3—4	
C 99.67		240.9 ⁰	(2) 4.01	(2)		

Epoche	t	p	s	Ok.	Bild	Bemerkungen
β 720 72 Pegasi 23^h 28^m 0^s + 30° 40' 6.0...6.0						
P 02.823	1.4	346.5 ⁰	: —	VI	2—3	eben getrennt
Σ 3050 Andromedae 37 23^h 58^m 23^s + 33° 4' 6.0...6.0						
P 02.818	— 0.9	215.2 ⁰	.. 2.34	V	3—4	
H 08.775	0.0	217.2	bs: —	V	4	p leidlich
.778	0.0	216.3	bs: 2.46	V	3—4	
09.652		218.6	: 2.46	IV P	3	s zieml. gut
.734		218.6	: 2.30	IV P	3	
P 02.82		215.2 ⁰	(1) 2.34	(1)		
H 09.23		217.7	(4) 2.41	(3)		
Σ 3057 23^h 59^m 49^s + 57° 52' 7.2...9.8						
C 98.623	— 4.0	301.6 ⁰	bs 4.03	III	3—4	8 s; helle Fäden
99.614	— 3.5	300.2	: 4.16	III	3—4	
C 99.12		300.9 ⁰	(2) 4.10	(2)		
Σ 3062 23^h 59^m 57^s + 57° 46' 6.9...8.0						
C 98.623	— 3.3	339.7 ⁰	bs.. 1.59	III	3	8 s
.626	— 4.0	337.2	bs: 1.61	III	3	8 s
00.154	6.0	336.8	.. (1.4)	IV	3—4	7 p, s tax.
.192	6.5	339.4	.. (1.5)	III	3	s tax.
.222	7.2	339.4	.. 1.65	III	3	8 s
S 01.723	— 1.8	344.5	.. 1.71	IV	4—3	
P 02.489	— 5.9	343.7	—		4	s nicht meßbar
H 09.682		358.6	: 1.62	IV P	3	
.777		359.1	: 1.43	IV P	3	
.821		357.6	: 1.61	IV P	3	
.846	— 3.0	356.9	: 1.53	IV P	3—4	8 s
C 99.56		338.5 ⁰	(5) 1.62	(3)		
S 01.72		344.5	(1) 1.71	(1)		
P 02.49		343.7	(1) —	—		
H 09.78		358.0	(4) 1.55	(4)		

Astronomische Beobachtungen
auf der
Königlichen Sternwarte zu Königsberg.

Herausgegeben vom Direktor H. Battermann.

Abteilung 43, III.

1. Bestimmung der Parallaxe von 61 Cygni

aus Deklinationsdifferenzen gegen sieben benachbarte Sterne

von

H. Struve.

2. Messungsreihe der Nova Persei

von H. Struve in den Jahren 1901—1904

von

Isenstein.

Berichtigung.

Seite 100 Zeile 8 von unten: statt 98 lies 99.

□ **=====**

Astronomische Beobachtungen
auf der
Königlichen Sternwarte zu Königsberg.

Herausgegeben vom Direktor H. Battermann.

Abteilung 43, III.

1. Bestimmung der Parallaxe von 61 Cygni

aus Deklinationsdifferenzen gegen sieben benachbarte Sterne

von

H. Struve.

2. Messungsreihe der Nova Persei

von H. Struve in den Jahren 1901—1904

diskutiert von

Dr. W. Hassenstein.



Bestimmung der Parallaxe von 61 Cygni

aus Deklinationsdifferenzen gegen sieben benachbarte Sterne

von

H. Struve.

Die nachfolgende Beobachtungsreihe von 61 Cygni ist in den Jahren 1902—1904 am 13-zölligen Refraktor der Königsberger Sternwarte ausgeführt worden, in der Absicht, die damals noch bestehenden Zweifel in betreff der Größe der Parallaxe von 61 Cygni zu beseitigen. Dem Bessel'schen Werte $\pi = 0''.35$ standen mehrere andere von O. Struve, Auwers u. a. nach verschiedenen Methoden erhaltene gleichwertige Bestimmungen gegenüber, die einen erheblich größeren Wert von π , um $0''.5$, wahrscheinlich machten, während photographische Messungsreihen aus den 90er Jahren von Kapteyn, Wilsing u. a. sowie eine Beobachtungsreihe von A. Hall am großen Washingtoner Refraktor eher für eine Verkleinerung des Bessel'schen Resultats sprachen. Inzwischen sind im Laufe des letzten Jahrzehnts verschiedene Beobachtungsreihen an Astrographen und Heliometern (Ö. Bergstrand, Peter, Chase-Elkin) bekannt geworden, welche die Frage bereits zu Gunsten der kleineren Parallaxe entschieden haben. Gleichwohl dürfte auch die Veröffentlichung der am Königsberger Refraktor vor zehn Jahren erlangten zweijährigen Beobachtungsreihe, deren Bearbeitung sich durch meinen Fortgang aus Königsberg und verschiedene andere Umstände verzögert hat, noch Wert haben, besonders in Hinblick auf das hier angewandte Verfahren, welches bei Beachtung einiger Vorsichtsmaßregeln, auf die im folgenden hingewiesen werden soll, einer bedeutenden Genauigkeit fähig ist und zur Kontrolle anderweitiger Bestimmungen auch in Zukunft Verwendung finden könnte.

Die Beobachtungen bestanden in Messungen der Deklinationsdifferenzen von 61 Cygni gegen sieben benachbarte Sterne (9. bis $10\frac{1}{2}$. Größe), welche bei festgeklemmtem Fernrohr das Gesichtsfeld passierten und der Reihe nach mit dem der Richtung der täglichen Bewegung parallel gestellten Mikrometerfaden — ohne Anwendung eines festen Fadens — pointiert wurden. Die Trommel des Mikrometers war zu dem Zweck mit einer kleinen Kurbel versehen, welche den Faden in kürzester Zeit ohne Erschütterungen über eine größere Strecke bewegen ließ. Es konnten damit noch Sterne, die $20''$ aufeinander folgten, bei δ -Differenzen von $1'$ bis $2'$ sicher eingestellt werden. Die Vergleichsterne waren möglichst symmetrisch zu 61 Cygni ausgewählt, um Fehler der Nachwirkung nach erfolgter Klemmung des Fernrohrs sowie den Einfluß der Temperatur auf die Schraube möglichst unschädlich zu machen. Vier Sterne gingen 61 Cygni voraus, drei folgten; die mittlere Deklinationsdifferenz gegen 61 Cygni betrug eine halbe Bogenminute. Der Durchgang sämtlicher acht Sterne durch das Gesichtsfeld dauerte etwa drei Minuten. Von den beiden Komponenten von 61 Cygni ist hier nur der vorausgehende etwas hellere Stern berücksichtigt worden, und zwar sind häufig zwei Einstellungen auf diesen Stern während eines Durchgangs gemacht, um das Gewicht der Einstellungen auf 61 Cygni zu erhöhen. Die beiden Komponenten von 61 Cygni wurden außerdem häufig durch Positionswinkel und Distanz untereinander verbunden. Die betreffenden Messungen sind jedoch hier nicht mit aufgeführt, da sie bereits früher in den Königsberger Beobachtungen veröffentlicht worden sind.

Der Vorteil der hier angewandten Beobachtungsmethode liegt vornehmlich darin, daß durch die Mitnahme einer größeren Zahl von Vergleichsternen individuelle Verschiedenheiten der letzteren in

Farbe, Parallaxe u. a. ausgeglichen werden und auch ein Schluß auf die relativen Parallaxen der Vergleichsterne ermöglicht wird; das Gewicht in der Ableitung der Parallaxe des Hauptsternes kann aber dadurch nur unbedeutend vergrößert werden, wenn die Einstellungen auf den helleren Hauptstern, wie es in der Regel der Fall sein wird, eine geringere Genauigkeit besitzen. Bei Beobachtungen in verschiedenen Stundenwinkeln oder bei verschiedener Luftbeschaffenheit kann außerdem ein großer Helligkeitsunterschied zwischen Hauptstern und Vergleichsternen, der im vorliegenden Falle im Mittel etwa vier Größenklassen betrug, zu ansehnlichen systematischen Fehlern in den Einstellungen Anlaß geben. Um diese Fehlerquelle zu beseitigen und die Einstellungen auf Hauptstern und Vergleichsterne möglichst gleichwertig zu machen, wurde im Spalt der Beobachtungskuppel ein in Höhe verschiebbarer und zugleich drehbarer Rahmen angebracht, in welchen Gitter aus Gazestoff eingespannt werden konnten. Durch ein passendes Gitter ließ sich die Helligkeit des Parallaxensterns, ohne sein Aussehen zu stören, auf die mittlere Helligkeit der Vergleichsterne bringen. Die Beobachtungen wurden damit in der Weise gemacht, daß nur im Moment des Durchgangs des Parallaxensterns die Gitterblende für einen Augenblick eingeschaltet, beim Durchgang der Vergleichsterne aber wieder ausgeschaltet wurde. Die Genauigkeit der Einstellungen auf 61 Cygni, welche in der ersten Hälfte der Beobachtungen ohne Gitter gemacht werden mußten, wurde dadurch sehr wesentlich erhöht.

Die Beobachtungen sind in der ersten Zeit ausschließlich von mir, späterhin teils von mir, teils von dem damaligen Assistenten der Sternwarte Herrn Postelmann gemacht. Sie gruppieren sich um fünf Epochen um die Zeiten der Maxima und Minima der Parallaxe in δ . Die Größen und genäherten Örter der Vergleichsterne in bezug auf 61₁ Cygni (für 1902) waren:

61₁ Cygni — Vergleichstern

		Größe	$\Delta \alpha$	$\Delta \delta$
Vergleichstern 1		9.7	+93.4	-0.51
" 2	10.0		+68.0	+1.61
" 3	10.5		+48.1	-1.09
" 4	9.8		+19.5	-1.97
" 5	9.5		-42.5	+0.16
" 6	9.2		-62.4	-1.47
" 7	10.0		-95.0	-0.36
Mittel der Vergleichsterne			+ 4.2	-0.52

Im folgenden sind zunächst die unmittelbaren Resultate der Messungen $\Delta \delta$ für jeden einzelnen Vergleichstern (61₁ Cygni — Vergleichstern) aufgeführt. Die Deklinationsdifferenzen sind in Teilen der Mikrometerschraube angegeben. 1 Rev. der Schraube entspricht 20".078; ein merklicher Temperaturkoeffizient war nicht vorhanden.¹⁾ Jedes Resultat beruht in der Regel auf sechs, später auf acht Einzelmessungen. Die Zahl der Einzelmessungen ist in Klammern beigegefügt. Sämtliche Beobachtungen sind mit 180facher Vergrößerung bei schwacher Feldbeleuchtung, welche die schwächeren Sterne noch gut ertrugen, angestellt. Die Güte der Bilder ist nach der Skala 1 „schlecht“, 5 „sehr gut“ notiert. Häufige Störungen in den Messungen wurden verursacht durch den Dampfhämmer der benachbarten Uniongießerei. Dieselben traten so häufig auf, daß sie in den angefügten Bemerkungen nicht weiter verzeichnet sind. Es unterliegt aber keinem Zweifel, daß viele der größeren Abweichungen nur auf diese Störungen zurückzuführen sind. Die beiden Beobachter sind durch S und P unterschieden, die Beobachtungen mit Gitter mit einem * versehen. Ferner ist die Sternzeit für das Mittel der Beobachtungen angegeben und die Lage des Instruments, welche in der Folge absichtlich oft gewechselt wurde, mit v (Achse voran) und f (Achse folgt) unterschieden.

¹⁾ Astronomische Beob. Königsberg. 41. Abt. pag. 10.

δ 61, Cygni — Vergleichstern.

Vergleichstern	1	2	3	4	5	6	7	Lage	Zahl d. Einst.	Bild	Sternzeit	Beob.	Bemerkungen
	^R	^R	^R	^R	^R	^R	^R				^h		
1902 Juni 2	-1.4552	+4.9126	-3.1875	-5.8336	+0.5662	-4.3390	-1.0088	<i>f</i>	(5)	2	16.2	S	Mittelmäßig
3	.4444	.9216	.1837	.8200	.5690	.3305	0.9998	<i>f</i>	(8)	2	15.8	"	
4	.4492	.9115	.1877	.8262	.5655	.3377	1.0185	<i>f</i>	(6)	2	15.5	"	
5	.4452	.9240	.1713	.8113	.5607	.3368	0.9960	<i>f</i>	(6)	2-3	16.5	"	Etwas dunstig
5	.4448	.9237	.1917	.8217	.5653	.3300	0.9957	<i>f</i>	(6)	2-3	17.3	"	
11	.4612	.9030	.1895	.8290	.5613	.3487	1.0043	<i>v</i>	(6)	4-3	16.8	"	Dunst
17	.4383	.9370	.1822	.8097	.5732	.3195	0.9977	<i>v</i>	(6)	3	17.3	"	
25	.4492	.9174	.1885	.8234	.5635	.3337	1.0140	<i>v</i>	(8)	2-3	16.3	"	
29	.4382	.9232	.1843	.8215	.5582	.3340	1.0037	<i>f</i>	(6)	2-3	17.9	"	
30	.4405	.9202	.1763	.8195	.5610	.3288	1.0013	<i>f</i>	(6)	3-2	17.5	"	
Juli 3	.4387	.9148	.1832	.8167	.5685	.3333	1.0058	<i>v</i>	(6)	2	18.0	"	
18	.4218	.9420	.1627	.7933	.5927	.3168	0.9880	<i>f</i>	(6)	2	18.3	"	Starke Refraktions- schwankungen
Aug. 6	.4200	.9448	.1513	.7850	.6045	.3058	.9808	<i>f</i>	(6)	2	19.8	"	Dunst
8	.4092	.9550	.1577	.7895	.5963	.2988	.9775	<i>f</i>	(6)	4-3	18.5	"	
10	.4040	.9658	.1393	.7823	.6112	.3027	.9627	<i>f</i>	(6)	3-2	20.1	"	
13	.4203	.9491	.1615	.7985	.6052	.2957	.9773	<i>f</i>	(6)	3	18.8	"	
Nov. 18	.3636	5.0024	.1134	.7476	.6399	.2599	.9404	<i>v</i>	(7)	2	23.8	"	Schlechte Bilder
19	.3750	4.9886	.1245	.7568	.6269	.2686	.9459	<i>v</i>	(8)	3-4	1.2	"	
21	.3835	.9806	.1311	.7643	.6248	.2805	.9528	<i>v</i>	(8)	4-3	2.4	"	Recht gut
23	.3906	.9732	.1315	.7720	.6172	.2749	.9581	<i>v</i>	(8)	4-3	21.8	"	
23	.3740	.9998	.1235	.7619	.6316	.2642	.9488	<i>v</i>	(8)	4-3	1.7	"	
Dez. 6	.3636	.9989	.1049	.7398	.6366	.2641	.9376	<i>v</i>	(8)	3-4	0.2	"	
14	.3654	.9994	.1079	.7442	.6390	.2630	.9382	<i>v</i>	(8)	4-3	23.4	"	
15	.3635	5.0000	.0992	.7478	.6468	.2671	.9404	<i>v</i>	(8)	3-2	23.4	"	
23	.3630	.0009	.1131	.7438	.6434	.2584	.9404	<i>v</i>	(8)	3-2	23.9	"	
1913 Jan. 13	.3481	.0050	.1041	.7409	.6381	.2578	.9475	<i>v</i>	(8)	4-3	1.2	"	
15	.3478	.0131	.1034	.7371	.6432	.2568	.9341	<i>v</i>	(8)	3-4	1.2	"	
18	.3514	.0077	.1049	.7327	.6393	.2539	.9372	<i>f</i>	(9)	3-4	1.7	"	
23	.3769	4.9793	.1359	.7640	.6161	.2602	.9629	<i>f</i>	(8)	2-3	2.4	"	Starker Dunst
Mai 31	.2820	5.0823	.0332	.6628	.7258	.1901	.8560	<i>f</i>	(8)	2-3	15.4	"	
Juni 1	.2919	.0750	.0279	.6738	.7189	.1813	.8598	<i>f</i>	(8)	4	15.6	"	
11	.2891	.0813	.0288	.6530	.7091	.1849	.8599	<i>f</i>	(8)	3	16.2	"	Dunst
19	.2831	.0860	.0094	.6521	.7340	.1651	.8404	<i>f</i>	(8)	3	16.0	"	Dunst
27	.2668	.0885	.0052	.6429	.7345	.1541	.8344	<i>f</i>	(8)	3	16.5	"	
28	.2660	.0894	.0160	.6532	.7329	.1648	.8451	<i>f</i>	(10)	2	17.9	"	
29	.2691	.0969	.0033	.6311	.7389	.1630	.8379	<i>f</i>	(8)	3-4	16.7	"	
Juli 2	.2633	.1022	.0158	.6560	.7358	.1627	.8398	<i>f</i>	(6)	2-3	17.2	"	
5	.2676	.0915	.0065	.6465	.7389	.1491	.8301	<i>f</i>	(8)	4	17.0	"	
12	.2668	.0940	.0150	.6490	.7270	.1578	.8335	<i>f</i>	(4)	3	17.6	"	Dunst
26	.2689	.0998	.0074	.6429	.7509	.1474	.8274	<i>v</i>	(8)	2	17.8	"	
26*	.2524	.1004	2.9948	.6416	.7436	.1644	.8349	<i>f</i>	(8)	3	19.3	"	Erste Beob. mit Gitter
28*	.2665	.0964	3.0020	.6447	.7506	.1544	.8290	<i>v</i>	(8)	3	17.8	"	
Aug. 4*	.2591	.1040	3.0002	.6429	.7361	.1617	.8363	<i>f</i>	(8)	3-4	18.4	"	
7*	.2411	.1129	2.9905	.6285	.7531	.1413	.8174	<i>v</i>	(8)	3-4	18.1	"	
8*	.2433	.1205	.9825	.6186	.7608	.1374	.8199	<i>v</i>	(8)	2-3	19.3	P	
8*	.2513	.1146	.9960	.6314	.7471	.1523	.8201	<i>f</i>	(8)	3	20.3	"	
9*	.2485	.1128	.9956	.6367	.7516	.1457	.8181	<i>v</i>	(8)	3-2	19.0	S	Trübungen
9*	.2491	.1210	.9817	.6367	.7569	.1450	.8219	<i>f</i>	(7)	2-3	19.8	"	zuletzt Gewölk
11*	.2533	.1021	.9984	.6323	.7485	.1541	.8240	<i>v</i>	(8)	3-4	18.1	"	
18*	.2553	.1063	.9961	.6371	.7531	.1409	.8245	<i>v</i>	(8)	3	18.7	P	Trübungen
13*	.2551	.1150	.9990	.6295	.7442	.1498	.8339	<i>f</i>	(8)	3	19.7	"	schwach und diffus
13*	.2503	.1099	.9951	.6360	.7550	.1419	.8287	<i>v</i>	(10)	3	21.6	S	Mäßig
14*	.2588	.1094	.9975	.6308	.7445	.1411	.8428	<i>v</i>	(8)	3-4	18.6	P	
14*	.2478	.1176	.9930	.6401	.7436	.1441	.8268	<i>f</i>	(8)	3-4	19.4	"	

Vergleichstern	1	2	3	4	5	6	7	Lage	Zahl d. Einst.	Bild	Sternzeit	Beob.	Bemerkungen
	R	R	R	R	R	R	R				h		
1903 Aug. 14*	-1.2499	+5.1034	-3.0045	-5.6256	+0.7579	-4.1371	-0.8149	v	(8)	3-4	21.4	S	
20*	.2531	.1174	2.9946	.6246	.7603	.1565	.8155	v	(8)	2-3	19.0	P	Dunst
20*	.2463	.1168	.9987	.6210	.7649	.1279	.8156	f	(8)	3	20.0	"	
Sept. 6*	.2490	.1176	.9954	.6249	.7653	.1324	.8118	v	(8)	3	23.6	"	Dunst, schwierig
7*	.2508	.1188	.9899	.6316	.7650	.1330	.8071	v	(8)	2-3	0.2	"	Nicht befriedigend
16*	.2310	.1310	.9708	.6055	.7715	.1227	.8032	f	(6)	3	19.0	S	
16*	.2370	.1300	.9720	.6220	.7810	.1177	.7963	v	(3) G. ^{1/2}	2-3	23.9	"	Nur drei Messungen durch Gewölk
17*	.2339	.1349	.9843	.6118	.7750	.1199	.8075	v	(8)	2-4	23.8	"	
20*	.2388	.1275	.9827	.6163	.7727	.1260	.8080	f	(6)	4	18.9	"	
20*	.2370	.1310	.9844	.6173	.7714	.1226	.8049	v	(8)	3	0.3	P	
21*	.2306	.1325	.9771	.6152	.7660	.1276	.8071	f	(8)	3-4	19.0	"	
21*	.2345	.1386	.9804	.6001	.7753	.1191	.7976	v	(8)	3	23.8	"	Trübungen
Okt. 17*	.2248	.1358	.9781	.6114	.7685	.1306	.8074	f	(8)	3-4	20.1	"	
17*	.2220	.1388	.9727	.6031	.7835	.1190	.8041	v	(8)	3	0.1	"	Starker Dunst, Sterne schwach
28*	.2201	.1401	.9714	.6044	.7780	.1210	.7986	f	(8)	2-4	20.5	"	
28*	.2242	.1371	.9750	.6061	.7845	.1252	.8016	v	(8)	2	0.5	"	
Nov. 7*	.2108	.1506	.9660	.5981	.7832	.1156	.8045	f	(8)	3-4	20.1	"	
Dez. 3	.2132	.1396	.9824	.5981	.7631	.1132	.7855	v	(8)	3-4	3.9	"	
13*	.1943	.1463	.9600	.5967	.7903	.1077	.7967	v	(3) G. ^{1/2}	4-3	0.0	"	Durch Gewölk
13	.2032	.1757	.9679	.5795	.7713	.0874	.7939	v	(8)	2	4.2	"	
1904 Jan. 4*	.1819	.1646	.9390	.5871	.7909	.1039	.7921	v	(8)	3	2.4	"	
5*	.1974	.1500	.9541	.5830	.7964	.0984	.7891	v	(7)	3	0.2	S	
5*	.2004	.1668	.9500	.5785	.7960	.0959	.7785	v	(8)	3	1.0	P	
14*	.2041	.1557	.9422	.5937	.7840	.1120	.7962	v	(7)	2	0.9	S	Dunst
18*	.2044	.1564	.9606	.5908	.7906	.1020	.7899	v	(8)	3	1.5	"	
18*	.2007	.1609	.9513	.5942	.7959	.1042	.7936	v	(9)	3-4	2.5	P	
Febr. 1*	.1856	.1711	.9435	.5697	.7901	.0976	.7772	v	(8)	1-3	3.4	"	
17	.1788	.1565	.9863	.5786	.8071	.0750	.7769	v	(8)	2-3	3.9	S	Dunst, Beobachtung mittelmäßig
22	.1778	.1605	.9300	.5641	.7888	.0855	.7889	v	(8)	2-3	5.6	"	Sehr tief, Dunst, Sterne schwach
März 3	.1736	.1868	.9169	.5565	.8194	.0751	.7590	f	(8)	3-2	15.8	P	
3*	.1696	.1969	.9342	.5581	.8255	.0760	.7520	v	(8)	3-2	16.6	"	
5	.1671	.1993	.9132	.5556	.8040	.1011	.7718	v	(8)	2-3	16.1	"	Trübungen, Sterne schwach
5*	.1880	.1868	.9276	.5699	.8161	.0740	.7615	f	(7,6)	2	16.8	"	
6	.1699	.1886	.9158	.5628	.8295	.0851	.7724	v	(8)	2-3	16.0	"	
6*	.1804	.1761	.9240	.5679	.8176	.0880	.7576	f	(8)	3	16.7	"	
16*	.1646	.1992	.9079	.5492	.8340	.0733	.7536	v	(8)	4	16.1	"	
16*	.1690	.1912	.9175	.5581	.8306	.0725	.7520	f	(8)	4	16.8	"	
Juli 9*	.0845	.2689	.8346	.4741	.9099	3.9921	.6655	f	(8)	3	18.8	"	Trübungen u. Gewölk
11*	.0838	.2721	.8413	.4805	.9049	.9769	.6651	v	(8)	2-1	18.1	"	Wenig befriedigend
11*	.0954	.2561	.8488	.4721	.9173	.9940	.6718	f	(8)	2	18.9	"	
12*	.0961	.2544	.8404	.4842	.9140	.9929	.6824	v	(8)	3	18.1	"	Trübungen, sehr mittelmäßig
14*	.0981	.2579	.8450	.4732	.9112	.9908	.6635	v	(8)	3-4	17.5	"	Dunst
14*	.1054	.2564	.8481	.4855	.8959	.9948	.6809	f	(8)	3-4	18.3	"	
16*	.1032	.2646	.8536	.4796	.9064	4.0021	.6789	v	(8)	3	18.1	"	Dunst
16*	.0875	.2775	.8469	.4671	.9160	3.9862	.6674	f	(8)	3-2	19.0	"	
21*	.0981	.2687	.8466	.4751	.9156	.9983	.6719	v	(7)	2-1	18.9	"	Sehr mittelmäßig
26*	.0880	.2680	.8413	.4780	.9051	.9828	.6700	v	(8)	3	18.5	"	
28*	.0856	.2791	.8220	.4719	.9190	.9896	.6565	v	(8)	3-2	18.0	"	Trübungen
28*	.0853	.2744	.8263	.4684	.9035	.9910	.6643	f	(7)	3	18.7	"	
30*	.0724	.2853	.8188	.4654	.9250	.9711	.6414	v	(8,7)	3	18.2	"	
30*	.0811	.2805	.8366	.4659	.9211	.9938	.6661	f	(8)	3	18.9	"	
Aug. 3*	.1072	.2650	.8528	.4768	.9017	.9947	.6612	v	(6)	8	18.4	"	Sehr dunstig, mittelm.

Die Messungen wurden in bekannter Weise von der differentiellen Refraktion befreit und auf die gemeinsame Epoche 1902.0 bezogen. Die jährliche E. B. von 61 Cygni in δ wurde hierbei zu $+3''.245$ angenommen, die Eigenbewegungen der Vergleichsterne, welche aus dem vorliegenden Material nicht mit Sicherheit geschlossen werden konnten, vernachlässigt. Auf die Ableitung der Parallaxen haben dieselben in diesem Falle keinen erheblichen Einfluß. Ein vorläufiger Überschlag ließ ferner erkennen, daß die Parallaxe von 61 Cygni nicht weit ab vom Werte $\pi = 0''.30 = 0.0150$ liegen könne, welcher daher der weiteren Rechnung zu Grunde gelegt worden ist. Die mit diesem Werte reduzierten und auf 1902.0 bezogenen Deklinationsdifferenzen $\Delta\delta$ wurden sodann mit den genäherten Ausgangswerten

Vergleichstern	$\Delta\delta_0$
1	-1.5236
2	$+4.8423$
3	-3.2691
4	-5.9043
5	$+0.4850$
6	-4.4147
7	-1.0903
Mittel M	-1.5535

verglichen, woraus sich die folgenden Abweichungen der Beobachtungen $\Delta\delta - \Delta\delta_0$ ergaben. In den Kolonnen 1 bis 7 sind dieselben für die einzelnen Vergleichsterne, in der Kolonne M für das Mittel der Vergleichsterne M gebildet. Mit a ist der parallaktische Koeffizient in δ , mit t der Stundenwinkel der Beobachtung bezeichnet. Da die Messungen mit Gitter, wie man aus dieser Zusammenstellung sofort ersieht, eine erheblich größere Genauigkeit besitzen, so sind die beiden Reihen I ohne Gitter und II mit Gitter getrennt behandelt.

I. Messungen ohne Gitter

$$\Delta\delta - \Delta\delta_0$$

reduziert auf 1902.0 $\pi = 0.0150$

Vergleichstern	1	2	3	4	5	6	7	M	a	t
	$\overset{R}{-0.0068}$	$\overset{R}{-0.0018}$	$\overset{R}{+0.0050}$	$\overset{R}{-0.0077}$	$\overset{R}{+0.0054}$	$\overset{R}{-0.0028}$	$\overset{R}{+0.0042}$	$\overset{R}{-0.0007}$	$+0.539$	$\overset{h}{-4.8}$
1902 Juni 2	$+35$	$+70$	$+81$	$+51$	$+77$	$+50$	$+127$	$+70$	560	-5.2
3	-19	-34	$+33$	-21	$+37$	-32	-67	-15	561	-5.5
4	$+16$	$+77$	$+195$	$+130$	-19	-24	$+151$	$+75$	572	-4.5
5	$+21$	$+70$	-7	$+30$	$+26$	$+47$	$+155$	$+49$	572	-3.7
11	-175	-167	-20	-79	-50	-180	$+31$	-92	632	-4.2
17	$+18$	$+137$	$+19$	$+80$	$+32$	$+76$	$+58$	$+60$	686	-3.7
25	-131	-95	-87	-106	-108	-114	-151	-113	746	-4.7
29	-41	-67	-65	-102	-185	-134	-70	-95	772	-3.1
30	-68	-100	$+10$	-87	-163	-89	-51	-79	778	-3.5
Juli 3	-65	-171	-74	-74	-104	-149	-113	-107	794	-3.0
18	$+30$	$+28$	$+57$	$+88$	$+63$	-60	-11	$+28$	844	-2.7
Aug. 6	-34	-30	$+93$	$+92$	$+98$	-29	-21	$+24$	831	-1.2
8	$+66$	$+67$	$+21$	$+39$	$+9$	$+34$	$+5$	$+34$	825	-2.5
10	$+111$	$+164$	$+192$	$+103$	$+150$	-12	$+147$	$+122$	818	-0.9
13	-64	-14	-38	-71	$+78$	$+46$	-11	-11	805	-2.2
Nov. 18	$+189$	$+218$	$+159$	$+171$	$+194$	$+188$	$+160$	$+182$	-0.330	+2.8
19	$+71$	$+79$	$+43$	$+72$	$+61$	$+95$	$+102$	$+74$	344	+4.2
21	-22	$+2$	-32	-17	$+39$	-33	$+29$	-5	371	+5.4

Vergleichstern	1	2	3	4	5	6	7	M	a	t
	R	R	R	R	R	R	R	R		h
1902 Nov. 23	-0.0097	-0.0092	-0.0035	-0.0085	-0.0044	+0.0029	-0.0026	-0.0050	-0.394	+0.8
23	+ 66	+ 182	+ 40	+ 8	+ 101	+ 129	+ 65	+ 84	396	+4.7
Dez. 6	+ 127	+ 124	+ 187	+ 200	+ 120	+ 108	+ 155	+ 146	549	+3.2
14	+ 82	+ 101	+ 132	+ 132	+ 123	+ 100	+ 131	+ 114	629	+2.4
15	+ 97	+ 110	+ 216	+ 92	+ 199	+ 57	+ 107	+ 125	638	+2.4
23	+ 71	+ 85	+ 48	+ 106	+ 142	+ 121	+ 87	+ 94	705	+2.9
1903 Jan. 13	+ 131	+ 45	+ 53	+ 51	+ 18	+ 55	- 48	+ 49	811	+4.2
15	+ 124	+ 117	+ 51	+ 80	+ 60	+ 56	+ 77	+ 80	816	+4.2
18	+ 74	+ 53	+ 22	+ 108	+ 11	+ 72	+ 34	+ 53	820	+4.7
23	- 207	- 250	- 314	- 235	- 242	- 17	- 245	- 216	823	+5.4
Mai 31	+ 19	+ 55	- 34	+ 11	+ 69	- 121	+ 9	+ 1	+0.514	-5.6
Juni 1	- 84	- 26	+ 14	- 102	- 6	- 38	- 34	- 40	525	-5.4
11	- 111	- 24	- 50	+ 54	- 168	- 132	- 102	- 76	630	-4.8
19	- 95	- 22	+ 98	+ 16	+ 33	+ 16	+ 44	+ 13	700	-5.0
27	+ 28	- 51	+ 99	+ 68	- 7	+ 83	+ 49	+ 38	758	-4.5
28	+ 31	- 43	- 12	- 35	- 30	- 25	- 53	- 24	765	-3.1
29	- 6	+ 30	+ 107	+ 175	+ 24	- 17	+ 12	+ 46	771	-4.3
Juli 2	+ 40	+ 68	- 30	- 84	- 22	- 27	- 21	- 11	788	-3.8
5	- 17	- 54	+ 48	- 5	- 6	+ 93	+ 60	+ 17	808	-4.0
12	- 45	- 66	- 71	- 64	- 161	- 28	- 9	- 64	830	-3.4
26	- 130	- 72	- 57	- 65	+ 14	+ 12	- 14	- 45	850	-3.2
Dez. 3	- 24	- 62	- 239	- 46	00	- 2	+ 98	- 40	-0.515	+6.9
13	+ 37	+ 278	- 133	+ 96	- 141	+ 223	- 8	+ 50	619	+7.2
1904 Febr. 17	- 16	- 217	- 97	- 159	- 46	+ 101	- 82	- 73	745	+6.9
22	- 72	- 50	- 156	- 218	- 236	- 161	- 258	- 167	711	+8.6
März 3	- 39	- 28	+ 80	+ 6	- 15	+ 37	+ 12	00	624	-5.2
5	+ 15	+ 83	+ 56	+ 6	- 181	- 233	- 129	- 55	605	-4.9
6	- 20	- 30	+ 23	- 73	+ 67	- 81	- 142	- 37	595	-5.0

II. Messungen mit Gitter

$$\Delta\delta - \Delta\delta_0$$

reduziert auf 1902.0 $\pi = 0.0150$

Vergleichstern	1	2	3	4	5	6	7	M	a	t
	R	R	R	R	R	R	R	R		h
1903 Juli 26	+0.0036	-0.0068	+0.0070	-0.0050	-0.0059	-0.0156	-0.0089	-0.0045	+0.850	-1.7
28	- 114	- 114	- 11	- 91	+ 3	- 66	- 38	- 62	849	-3.2
Aug. 4	- 72	- 72	- 26	- 105	- 175	- 169	- 142	- 109	838	-2.6
7	+ 97	+ 6	+ 60	+ 28	- 16	+ 24	+ 36	+ 33	829	-2.9
8	+ 71	+ 76	+ 136	+ 123	+ 56	+ 59	+ 6	+ 75	826	-1.7
8	- 9	+ 16	+ 2	- 5	- 81	- 90	+ 4	- 24	826	-0.7
9	+ 17	- 3	+ 3	- 60	- 38	- 26	+ 23	- 15	822	-2.0
9	+ 11	+ 78	+ 143	- 60	+ 15	- 19	- 15	+ 22	822	-1.2
11	- 42	- 119	- 85	- 26	- 77	- 119	- 45	- 66	815	-2.9
13	- 67	- 84	- 17	- 79	- 37	+ 8	- 55	- 48	806	-2.3
13	- 65	+ 2	- 45	- 3	- 126	- 81	- 149	- 67	806	-1.3
13	- 17	- 49	- 6	- 68	- 18	- 2	- 97	- 37	806	+0.6
14	- 107	- 58	- 37	- 20	- 128	+ 1	+ 57	- 42	802	-2.4
14	+ 3	+ 24	+ 8	- 113	- 137	- 29	- 83	- 47	802	-1.6
14	- 18	- 99	- 106	+ 33	+ 6	+ 41	+ 36	- 16	801	+0.4
20	- 72	00	- 29	+ 21	+ 10	- 173	+ 11	- 33	760	-2.0

Vergleichstern	1	2	3	4	5	6	7	<i>M</i>	<i>a</i>	<i>t</i>							
	^R	^R	^R	^R	^R	^R	^R	^R		^h							
1903 Aug. 20	−0.0004	−0.0007	−0.0069	+0.0057	+0.0056	+0.0113	+0.0010	+0.0022	+0.759	−1.0							
Sept. 6	− 96	− 60	− 97	− 40	+	7	+	16	− 39	634 +2.6							
7	− 119	− 52	− 46	− 111	00	+	6	+	40	625 +3.2							
16	+	52	+	41	+	120	+	43	+	62	533 −2.0						
16	− 9	+	32	+	107	− 40	+	138	+	139	+	131	+	71	590 +2.9 Gew. 1/2		
17	+	19	+	77	− 20	+	59	+	76	+	115	+	17	+	49	519 +2.8	
20	− 39	− 7	− 11	+	6	+	45	+	48	+	5	+	6	+	6	486 −2.1	
20	− 22	+	30	− 29	− 6	+	32	+	80	+	36	+	17	+	17	484 +3.3	
21	+	40	+	40	+	41	+	14	− 24	+	30	+	12	+	22	474 −2.0	
21	+	2	+	103	+	7	+	163	+	69	+	113	+	107	+	80	472 +2.8
Okt. 17	+	19	− 3	− 37	− 11	− 55	− 50	− 37	− 25	128	− 0.9						
17	+	46	+	30	+	15	+	70	+	95	+	64	− 4	+	45	125 +3.1	
28	+	34	+	9	00	+	33	+	15	+	26	+	25	+	20	−0.033 −0.5	
28	− 8	− 23	− 38	+	14	+	83	− 18	+	5	+	3	036 +3.5				
Nov. 7	+	98	+	86	+	29	+	73	+	53	+	64	− 38	+	52	174 −0.9	
Dez. 13	+	140	− 69	− 22	− 14	+	42	+	66	− 26	+	16	617 +3.0 Gew. 1/2				
1904 Jan. 4	+	173	+	42	+	102	− 9	− 16	+	30	− 41	+	41	778 +5.4			
5	+	16	− 119	− 47	+	41	+	33	+	90	− 13	00	782 +3.2				
5	− 15	+	51	− 7	+	84	+	29	+	113	+	93	+	49	782 +4.0		
14	− 90	− 99	+	33	− 104	− 124	− 80	− 115	− 83	813 +3.9							
18	− 112	− 106	− 169	− 95	− 73	+	9	− 66	− 89	822 +4.5							
18	− 77	− 54	− 81	− 138	− 18	− 25	− 104	− 71	820 +5.5								
Febr. 1	+	3	− 3	− 78	+	26	− 195	− 33	− 4	− 32	813 +6.4						
März 3	+	2	+	67	− 140	− 3	+	45	+	38	+	83	+	12	624 −4.4		
5	− 192	− 47	− 86	− 132	− 61	+	41	− 25	− 72	605 −4.2							
6	− 124	− 159	− 57	− 120	− 53	− 107	+	7	− 88	595 −4.3							
16	− 26	+	16	+	42	+	2	+	48	− 27	− 19	+	5	476 −4.9			
16	− 68	− 69	− 52	− 82	+	13	− 16	− 11	− 41	476 −4.2							
Juli 9	+	133	+	45	+	107	+	72	+	80	+	53	+	105	+	85	+0.822 −2.2
11	+	131	+	70	+	31	− 1	+	22	+	196	+	101	+	78	829 −2.9	
11	+	16	− 91	− 43	+	84	+	146	+	26	+	34	+	24	829 −2.1		
12	+	2	− 114	+	33	− 44	+	114	+	29	− 79	− 10	832 −2.9				
14	− 28	− 87	− 23	+	55	+	69	+	39	+	100	+	18	837 −3.5			
14	− 101	− 103	− 53	− 66	− 84	+	1	− 73	− 69	838 −2.7							
16	− 87	− 29	− 117	− 16	+	12	− 82	− 61	− 55	842 −2.9							
16	+	71	+	99	− 49	+	110	+	108	+	78	+	54	+	67	842 −2.0	
21	− 58	− 12	− 69	+	8	+	81	− 66	− 14	− 19	849 −2.1						
26	+	20	− 41	− 39	− 44	− 46	+	66	− 17	− 15	849 −2.5						
28	+	33	+	60	+	144	+	7	+	83	− 11	+	108	+	60	848 −3.0	
28	+	37	+	12	+	102	+	43	− 72	− 24	+	30	+	18	848 −2.3		
30	+	157	+	113	+	168	+	64	+	135	+	166	+	251	+	150	846 −2.8
30	+	71	+	65	− 9	+	60	+	96	− 60	+	4	+	32	846 −2.1		
Aug. 3	− 207	− 106	− 188	− 66	− 114	− 86	+	37	− 105	838 −2.6							

Bezeichnet man mit x die Korrektur des angenommenen Ausgangswertes $\Delta\delta_0$, mit y die Korrektur der vorausgesetzten Parallaxe von 61 Cygni, so haben die Bedingungsgleichungen die Form:

$$\Delta\delta - \Delta\delta_0 = x + a \cdot y$$

Allen Messungen wurde gleiches Gewicht beigelegt, mit Ausnahme zweier, die nur auf drei Einstellungen beruhen. Die Auflösung nach der Methode der kleinsten Quadrate ergibt alsdann folgende Werte der Unbekannten (in Teilen der Mikrometerschraube):

I. Messungen ohne Gitter

Vergleichstern	x	w. F.	y	w. F.
	^R	^R	^R	^R
1	+0.0003	±0.0009	-0.0039	±0.0012
2	+0.0014	±0.0011	-0.0031	±0.0016
3	+0.0011	±0.0011	+0.0015	±0.0015
4	+0.0006	±0.0010	-0.0005	±0.0015
5	+0.0001	±0.0011	-0.0010	±0.0016
6	+0.0009	±0.0009	-0.0048	±0.0014
7	+0.0005	±0.0010	-0.0005	±0.0015
M	+0.00070	±0.00080	-0.00175	±0.00120

Zahl der Messungen 47; w. F. einer Messung M ^R ±0.0055

II. Messungen mit Gitter

Vergleichstern	x	w. F.	y	w. F.
	^R	^R	^R	^R
1	-0.0014	±0.0008	+0.0011	±0.0010
2	-0.0019	±0.0007	+0.0012	±0.0010
3	-0.0020	±0.0008	+0.0027	±0.0010
4	-0.0013	±0.0007	+0.0019	±0.0010
5	-0.0009	±0.0008	+0.0019	±0.0011
6	+0.0010	±0.0008	-0.0009	±0.0011
7	-0.0004	±0.0007	+0.0016	±0.0010
M	-0.00098	±0.00057	+0.00136	±0.00077

Zahl der Messungen 59; w. F. einer Messung M ^R ±0.0036

In den Werten für x zeigen die beiden Reihen kleine, anscheinend systematische Unterschiede, welche einesteils in geringen Eigenbewegungen der Vergleichsterne, anderenteils in einer verschiedenen Auffassung des Zentrums von 61 Cygni bei den Einstellungen mit und ohne Gitter ihren Grund haben können. Die Werte von y führen zu folgenden Bestimmungen der Parallaxe:

I. Messungen ohne Gitter

Vergleichstern	π	w. F.
1	0.222	±0.024
2	0.238	32
3	0.330	30
4	0.290	30
5	0.280	32
6	0.204	28
7	0.290	30
M	0.265	±0.024

w. F. einer Messung M ±0.109

II. Messungen mit Gitter

Vergleichstern	π	w. F.
1	0.322	±0.020
2	0.324	20
3	0.354	20
4	0.338	20
5	0.338	21
6	0.282	22
7	0.332	20
M	0.327	±0.015

w. F. einer Messung M ±0.073

Die bedeutende Überlegenheit der mit Gitter ausgeführten Messungen geht aus diesen Zahlen deutlich hervor. Das Gewicht einer vollständigen Messung von $\angle \delta$ wird dadurch ungefähr verdoppelt. Bezüglich der Einzelwerte von π in jeder Reihe ist natürlich zu beachten, daß sie nicht unabhängig von einander sind, sondern auf den nämlichen Einstellungen von 61 Cygni beruhen.

Bildet man die Differenzen $\pi_1 = M - 1$, $\pi_2 = M - 2$ u. s. f., so stellen dieselben die relativen Parallaxen der Vergleichsterne, bezogen auf das Mittel der Vergleichsterne, dar, und zwar erhält man aus beiden Reihen:

Vergleichstern	Größe		aus I	aus II	im Mittel
1	9.7	π_1	+ 0.043	+ 0.005	+ 0.024
2	10.0	π_2	+ 0.027	+ 0.003	+ 0.015
3	10.5	π_3	- 0.064	- 0.027	- 0.046
4	9.8	π_4	- 0.025	- 0.011	- 0.018
5	9.5	π_5	- 0.015	- 0.011	- 0.013
6	9.2	π_6	+ 0.061	+ 0.045	+ 0.053
7	10.0	π_7	- 0.025	- 0.005	- 0.015

Zur Kontrolle lassen sich diese Größen auch direkt aus den Deklinationsunterschieden der Vergleichsterne herleiten, wobei die Einstellungen auf 61 Cygni herausfallen und die beiden Reihen I und II als gleichwertig zusammengezogen werden können. Bis auf wenige Einheiten der letzten Stelle erhält man alsdann für π_1 , π_2 u. s. f. dieselben Zahlen wie oben, ferner für den w. F. einer relativen Parallaxe im Mittel den Wert $\pm 0''.012$. Bemerkenswert ist, daß diese Zahlen eine Abhängigkeit von der Größenklasse anzeigen, die besonders auffällig bei dem hellsten und bei dem schwächsten Stern zu Tage tritt.

Unter den Fehlerursachen, welche auf die Bestimmung der Parallaxe Einfluß haben können, kommt neben der Helligkeitsdifferenz in erster Linie der Farbenunterschied der Sterne in Betracht. Nennt man $d\mu$ den dadurch bedingten Unterschied der Refraktionskonstanten zweier Sterne, in demselben Sinne wie $\Delta\delta$ genommen, so hat man für diesen Teil der Refraktion:

$$d(\Delta\delta) = -\operatorname{ctg}(N + \delta) \cdot d\mu$$

wo $\operatorname{tg} N = \operatorname{ctg} \varphi \cos t$ ist. Für 61 Cygni und die Polhöhe von Königsberg findet man insbesondere folgende Koeffizienten für verschiedenen Stundenwinkel (Ost oder West):

$\pm t$	$\operatorname{ctg}(N + \delta)$	$\pm t$	$\operatorname{ctg}(N + \delta)$
0 ^h	0.30	5 ^h	0.88
1	0.31	6	1.27
2	0.37	7	1.89
3	0.47	8	2.94
4	0.63		

Die Bedingungsgleichungen zur Bestimmung der Parallaxe erhalten alsdann die Form:

$$\Delta\delta - \Delta\delta_0 = x + a \cdot y + \operatorname{ctg}(N + \delta) \cdot d\mu$$

Wie man hieraus ersieht, kann der Einfluß verschiedener Brechbarkeit auf die Deklinationsdifferenzen sich nur in größeren Stundenwinkeln bemerkbar machen. Ferner ist klar, daß die Ableitung der Parallaxe durch das Zusatzglied in $d\mu$ nur wenig geändert wird, falls die Messungen in den größten Phasen der Parallaxe, bei positivem und negativem a , unter nahezu gleichen östlichen oder westlichen Stundenwinkeln angestellt werden.

Indem bei den Messungen von 61 Cygni die letztere Bedingung näherungsweise erfüllt ist, so habe ich es nicht für nötig gehalten, die Bedingungsgleichungen unter Berücksichtigung der Unbekannten $d\mu$ nochmals aufzulösen. Eine beiläufige Vorstellung über die Größe und das Vorzeichen von $d\mu$ gewinnt man andererseits dadurch, daß man aus den obigen Abweichungen $\Delta\delta - \Delta\delta_0$ für 61 Cygni — M die Mittelwerte für $\pm t < 4^h$ und $\pm t > 4^h$ bildet.

Es ergibt sich alsdann:

für die Messungen ohne Gitter:

$\pm t < 4^h$	21 Mess.	im Mittel $\pm t = 2.5^h$	$\Delta \delta - \Delta \delta_0 = +0.052 = 0.40 d\mu + x$
$\pm t > 4^h$	26 „	„ „ $\pm t = 5.23^h$	$\Delta \delta - \Delta \delta_0 = -0.015 = 0.95 d\mu + x$

und daraus $d\mu = -0.12$;

für die Messungen mit Gitter:

$\pm t < 4^h$	49 Mess.	im Mittel $\pm t = 2.5^h$	$\Delta \delta - \Delta \delta_0 = +0.003 = 0.40 d\mu + x$
$\pm t > 4^h$	10 „	„ „ $\pm t = 4.78^h$	$\Delta \delta - \Delta \delta_0 = -0.042 = 0.83 d\mu + x$

und daraus $d\mu = -0.10$

Die Annahme einer um $0''.1$ kleineren Refraktionskonstante von 61 Cygni (gegen das Mittel der Vergleichsterne) würde demnach die Messungen in großen und kleinen Stundenwinkeln in noch bessere Übereinstimmung bringen. Übrigens sind die mittleren Abweichungen nicht viel größer, als man nach den w. F. erwarten darf.

Ordnet man die Abweichungen für 61 Cygni — M nach den beiden Lagen des Instruments, so ergibt sich für die Messungen mit Gitter im Mittel:

Lage v (Achse voran)	$\Delta \delta - \Delta \delta_0 = +0.001$	37 Messungen
Lage f (Achse folgt)	$\Delta \delta - \Delta \delta_0 = -0.009$	22 „

also kein merklicher Unterschied.

Ebensowenig lassen die Beobachtungen mit Gitter eine Abhängigkeit von der Güte der Bilder oder von der Durchsichtigkeit der Luft erkennen. An 18 Tagen, an welchen Dunst, zum Teil recht starker Dunst notiert ist, sind die Abweichungen nicht größer als an den anderen Tagen, und im Mittel erhält man:

$$\Delta \delta - \Delta \delta_0 = -0.018$$

Dahingegen zeigen die Messungen ohne Gitter eine sehr auffallende Abhängigkeit von der letzteren Ursache, derart, daß 61 Cygni bezüglich der anderen Sterne bei verschleierter Luft oder Dunst nach Süden rückt. Aus 9 Messungen an Tagen, wo Dunst notiert ist, findet man den Betrag dieser Verrückung:

	$\Delta \delta - \Delta \delta_0$
Vergleichstern 1	-0.148
„ 2	-0.150
„ 3	-0.060
„ 4	-0.104
„ 5	-0.208
„ 6	-0.164
„ 7	-0.166
M	-0.147

Beachtet man, daß 61 Cygni (Spektrum K_s) aller Wahrscheinlichkeit nach einem vorgeschritteneren Spektraltypus angehört als die Vergleichsterne im Durchschnitt, so sieht man, daß diese Verrückung gerade entgegengesetzt ist derjenigen, welche man in diesem Falle infolge der Absorption in der Dunstatmosphäre erwarten sollte. Da außerdem die Messungen mit Gitter eine solche Abhängigkeit nicht nachweisen lassen, so bleibt wohl nur die Erklärung übrig, daß hier ebenfalls eine subjektive Helligkeitsgleichung vorliegt, lediglich bedingt durch eine verschiedene Auffassung des Zentrums des helleren Sterns. Jedenfalls erscheint auch aus diesem Grunde die Zurückführung der Sterne auf gleiche Helligkeit geboten.

Vereinigt man die beiden Messungsreihen I und II entsprechend ihren Gewichten zu Mittelwerten, so erhält man als Endergebnis der ganzen Reihe:

$$\pi = 0.309 \quad \text{w. F. } \pm 0.013$$

Es war ursprünglich von mir in Aussicht genommen, dieselbe Beobachtungsweise auf eine größere Zahl von weiten Doppelsternen mit starker Eigenbewegung, von ähnlichem Typus wie 61 Cygni, auszudehnen. Unter den ausgewählten Sternen befanden sich insbesondere die Paare 16 Cygni, Σ 2398, Σ 2486, $\nu_1 \nu_2$ Draconis u. a., von denen in den Jahren 1902—04 auch eine Reihe von Messungen erlangt wurde. Die weitere Ausführung dieses Planes unterblieb jedoch wegen meiner Übersiedelung nach Berlin, und es hat keinen Zweck, das vorhandene unvollständige Material — aus welchem nur allenfalls die Parallaxe von 16 Cygni aus 23 größtenteils einseitigen Messungen abzuleiten wäre — zu veröffentlichen. Zur Kontrolle anderweitiger Bestimmungen kann diese Methode, wie bereits bemerkt, sehr gute Dienste leisten, wenn dazu ein starkes und fest aufgestelltes Instrument zu Gebote steht.

Messungsreihe der Nova Persei

von H. Struve in den Jahren 1901—1904,

diskutiert von

Dr. W. Hassenstein.

Wenige Tage nach Entdeckung der hellen Nova im Perseus im Februar 1901 begann H. Struve am 32.5 cm-Refraktor der Königsberger Sternwarte eine Reihe von mikrometrischen Anschlüssen der Nova an einen benachbarten Stern 9. Größe, den Stern 43° 739 der Bonner Durchmusterung. Die Messungen bezweckten neben der scharfen Festlegung des Orts hauptsächlich die Untersuchung der Eigenbewegung und Parallaxe der Nova. Obgleich diese Untersuchung insofern nichts Neues bringt, als schon aus früheren Bestimmungen einwandfreie Werte für Parallaxe und Eigenbewegung der Nova vorliegen, so besitzen die Messungen doch in Anbetracht der erreichten Genauigkeit sowie hinsichtlich des Studiums der systematischen Fehlerquellen bleibenden Wert und dürften gerade in einem Augenblick, wo auf den einschlägigen Gebieten der Astrometrie die visuellen Methoden neben den photographischen mehr in den Hintergrund zu treten scheinen, erhöhtem Interesse begegnen.

An 49 Beobachtungsabenden der Jahre 1901—1904 sind 55 Messungen des Positionswinkels und 19 Messungen der Distanz von Nova und Nachbarstern erlangt. Außer dieser Hauptreihe liegen noch 2 Hilfsreihen vor, nämlich Messungen des Positionswinkels an den Bogen *AZ* und *DO* im Sternhaufen *h* Persei¹⁾. Die erste dieser Hilfsreihen wurde zur Kontrolle der Bestimmungen des Nullpunkts am Positionskreise vorgenommen, die zweite sollte zur Aufdeckung gewisser systematischer Fehlerquellen führen, deren Einfluß sich bei den Messungen der Nova bemerkbar gemacht hatte. Sämtliche Messungen sind bei 180facher Vergrößerung ausgeführt. Fast ausnahmslos wurde im hellen Feld gemessen, zu dessen Beleuchtung gewöhnlich rotes Licht in Anwendung kam.

Die Konstante der täglichen Bewegung ist während der Messungen nach der von H. Struve schon früher²⁾ beschriebenen Methode fortlaufend bestimmt. Diese Bestimmungen sind zum Teil von Postelmann gemacht. Sie sind teils bei der Nova teils im Sternhaufen *h* Persei gesondert für beide Lagen des Instruments ausgeführt. Die Beobachtung gibt zunächst den scheinbaren Parallel, von dem man mit Hilfe der Tabelle auf pag. 7 der „Erosmessungen“ auf den wahren übergeht. Die Ablesungen des wahren Parallels, die sich so ergeben haben und der Reduktion der Messungen zugrunde liegen, sind in folgender Tabelle zusammengestellt:

Epoche	Nova Persei		<i>h</i> Persei	
	Lage I ³⁾	Lage II	Lage I	Lage II
	89°	89°	89°	89°
1901 Februar—März	16.5	—	—	—
August	16.5	—	—	—
1902 Januar—Februar 20 ⁴⁾	16.5	16.5	—	—
Februar 23—April	15.4	15.8	—	—
August—September	15.7	15.7	15.4	15.4
1903 März—April	14.9	—	15.4	—
September	—	15.5	—	15.5
1904 März	15.8	17.2	15.8	17.2
August	—	—	14.4	15.5

¹⁾ Vgl. z. B. Observations de Poulkova Vol. IX pag. 22.

²⁾ H. Struve, Mikrometermessungen von Eros während der Opposition 1900/01. Königsb. Astron. Beob. Abt. 41 pag. 4.

³⁾ Lage I = Achse voran, Lage II = Achse folgend.

⁴⁾ Febr. 21 wurde der Mikrometerfaden erneuert.

Hat man dieser Tafel den wahren Parallel entnommen und will auf den scheinbaren übergehen, so dient hierzu wiederum die Tabelle in den Erosmessungen.

Zur Kontrolle der Nullpunktbestimmungen am Positionskreise hat H. Struve in den Jahren 1902—1904 vier Messungsreihen von Positionswinkeln des Bogens AZ im Sternhaufen λ Persei ausgeführt. Wie die Zusammenstellung zeigt, lassen sich die Positionswinkel auch bei so großen Distanzen, wie die des Bogens AZ ist ($s = 1343''$), recht sicher erhalten. Die Messungen wurden mit Hilfe der Okularschiebung¹⁾ durch Bisektion der Sterne mit dem einfachen Mikrometerfaden erlangt.

Positionswinkel des Bogens AZ im Sternhaufen λ Persei.

Datum	Ep.	St.-W.	Lage	Kreis-Abl.	Zahl d. Einst.	p_0 1891.0
		^h ^m				
1902 Aug. 23	02.642	—4 48	II	33° 2.5	4	33° 41.7
24	.645	—5 15	II	3.2	2	42.4
26	.651	—5 22	II	2.5	4	41.6
27	.653	—8 8	I	1.4	4	42.0
27	.653	—7 13	II	2.8	4	41.6
27	.653	—6 32	I	0.5	4	41.7
29	.659	—5 22	II	3.2	4	42.3
Sept. 2	.670	—6 27	I	0.0	4	41.2
1903 März 26	03.231	+5 19	I	32 58.9	4	33 41.4
28	.237	+5 22	„	58.9	4	41.4
31	.245	+6 0	„	59.6	4	42.0
April 8	.267	+6 12	„	59.7	4	42.0
10	.272	+6 21	„	33 0.0	4	42.3
13	.280	+6 26	„	0.1	4	42.3
17	.291	+6 58	„	0.2	4	42.2
1903 Sept. 12	03.697	—8 31	II	33 2.8	4	33 41.5
16	.707	—6 4	„	2.6	4	41.0
17	.710	—5 55	„	2.8	4	41.2
18	.713	—5 29	„	4.0	4	42.5
21	.721	—5 40	„	2.5	4	40.8
24	.729	—5 57	„	3.2	4	41.5
1904 März 4	04.173	+3 8	I	32 59.5	4	38 41.4
5	.176	+4 33	„	33 0.4	4	42.2
16	.206	+4 45	„	0.8	4	42.6
Mittelwerte:	1902.65	—6 8			(8)	33° 41.81 m. F. ± 0.14
	1903.26	+6 5			(7)	41.94 „ ± 0.15
	1903.71	—5 26			(6)	41.42 „ ± 0.25
	1904.18	+4 9			(3)	42.07 „ ± 0.35

In der letzten Spalte ist der auf das mittlere Äquinoktium 1891.0 reduzierte Positionswinkel gegeben. Man erhält ihn aus der Ablesung des Positionskreises, indem man zunächst auf den scheinbaren Parallel reduziert und dann Refraktion, sowie Präzession, Nutation und Aberration anbringt. Die Mittelwerte der Herbst- und Frühlingsmessungen zeigen geringe Unterschiede in dem Sinne, daß den negativen Stundenwinkeln etwas kleinere Werte entsprechen als den positiven. Dagegen ist eine Abhängigkeit von der Lage des Instruments nicht zu erkennen. Sieht man die kleinen Unterschiede als zufällig an und nimmt dementsprechend das Mittel aus allen 24 Einzelmessungen, so erhält man:

$$\text{Ep. 03.29} \quad p_0 = 33^\circ 41.78 \quad \text{m. F. } \pm 0.10 \quad (24).$$

¹⁾ Damals nur in einer Richtung möglich.

Für den mittleren Fehler der Einzelmessung ergibt sich der Wert:

$$\Delta p: \pm 0.50$$

oder auf den Bogen größten Kreises reduziert:

$$s\Delta p: \pm 0.20.$$

Nach Heliometerbestimmungen zu Göttingen, Leipzig und Newhaven ¹⁾ ist

$$p_0 = 33^\circ 41.82 \text{ (Äquin. 1891.0).}$$

Die gute Übereinstimmung dieses Werts mit dem aus den Messungen abgeleiteten gestattet den Schluß, daß in den betrachteten Epochen die Bestimmung der täglichen Bewegung eine völlig befriedigende Sicherheit besitzt.

Die Anschlüsse der Nova Persei sind fast ausschließlich in den günstigen Frühjahrs- und Herbstmonaten erlangt. Da die Extremwerte des Positionswinkels bei Annahme einer Parallaxe der Nova in diese Jahreszeiten fallen, so hat H. Struve auf die Messung der Positionswinkel das Hauptgewicht gelegt und die Distanzen nur in den beiden ersten Jahren mehr oder weniger regelmäßig mitgenommen. Bezüglich der Methode, die bei den Messungen des Positionswinkels befolgt wurde, ist folgendes zu sagen. Bis 1903 September 25 sind die Messungen in der gewöhnlichen Art erhalten, nämlich durch Bisektion beider Sterne mit dem Einzelfaden und Ablesung des Positionskreises. Es wurden dabei in der Regel 2 Gruppen von Einstellungen gemacht, zwischen denen der Positionskreis um 180° gedreht wurde. Seit 1903 September 26 kam bei der Bestimmung des Positionswinkels eine abgeänderte Methode in Anwendung, die der bei der Bestimmung der täglichen Bewegung angewandten analog ist. Die Messung vollzieht sich nach dieser Methode so: Der Positionskreis wird möglichst genähert eingestellt, sodann erfolgen 2 Einstellungen auf die Nova mit dem beweglichen Mikrometerfaden verbunden mit Ablesung der Schraubentrommel, ferner in gleicher Art 4 Einstellungen auf den Stern, schließlich 2 auf die Nova. Von solchen „Sätzen“ wurden jedesmal 4 gemacht. Die skizzierte Methode hat den Vorteil, die einzelnen Bestimmungen von p gänzlich unabhängig von einander zu machen, sie setzt aber einen guten Gang des Uhrwerks voraus. Für die Sicherheit der Einstellungen war der Umstand von Nutzen, daß sich die Sterne bei den Frühjahrmessungen in nahe horizontaler, bei den Herbstmessungen in nahe vertikaler Stellung befanden.

Wir geben jetzt die Zusammenstellung der Messungen:

Messungen der Nova Persei.

Datum	St.-W.	Lage	Kreis-Abl.	Zahl d. Einst.	$2s$	Zahl d. Einst.	Bild ²⁾	Bemerkungen
	^h ^m				^R			
1901 Febr. 26	+1 25	I	140° 55.1	8	36.521	8	3—2	Nova gelblich
27	+2 17	„	140 57.9	8	36.524	8	3	Dunst
März 12	+4 36	„	140 57.0	4	36.500	7	3	Gewölk und Nebel
26	+4 2	„	140 59.2	8	36.509	8	3—2	gut; Nova dunkelgelb
28	+4 7	„	140 57.4	8	36.523	8	2	gut
Aug. 13	—6 4	II	141 4.7	8	36.4845	8	3	
15	—5 52	„	141 4.3	8	36.4845	8	3	
18	—5 15	„	141 4.2	8	36.4865	8	3	
25	—5 30	„	141 4.9	8	36.500	8	4—3	Messung schwierig

¹⁾ Vgl. Publications de Poulkova Vol. XI pag. 9.

²⁾ Nach der Skala: 2 gut, 3 mittelmäßig, 4 schlecht.

Datum	St.-W.	Lage	Kreis-Abl.	Zahl d. Einst.	2s R	Zahl d. Einst.	Bild	Bemerkungen
1902 Jan. 21	-1 24 ^m	II	141° 4.4	8	36.528	8	3-2	gut
Febr. 1	-0 43	„	141 4.9	8	36.520	10	4-3	sehr unbequeme Kopfhaltung
13	+4 17	I	140 58.9	8	36.520	8	3	starker Dunst
20	+2 45	„	140 58.2	12	—	—	3	
23	+2 20	„	140 57.6	8	36.5235	8	3-2	gut
Apr. 6	+5 37	„	140 58.9	8	36.518	8	3-2	
8	+5 40	„	140 58.9	8	36.5155	8	3	Nova etwas heller als der Vergleichstern
9	+5 34	II	141 1.2	8	—	—	3-4	
9	+5 51	I	141 0.7	8	—	—	3-4	
9	+6 6	II	141 1.4	8	—	—	3-4	
11	+6 29	I	140 57.2	8	—	—	3	{ Nova und Vergleichstern nahe gleich hell, letzterer ist etwas sicherer einzustellen
11	+6 46	II	141 0.2	8	—	—	3-4	
Aug. 23	-5 29	„	141 4.4	8	—	—	4-3	{ Nova fast 1 ^m schwächer und weniger scharf als der Vergleichstern
23	-5 14	I	141 1.9	8	—	—	4 3	
29	-5 19	II	141 3.6	8	36.4865	8	4-3	
Sept. 2	-4 58	„	141 3.3	8	36.502	8	3	Nova 0 ^m .5 schwächer
2	-4 20	I	141 0.4	6	—	—	3-4	
8	-4 36	II	141 4.6	8	36.4915	8	3	
8	-3 58	I	141 1.5	6	—	—	3	
26	-5 14	II	141 4.4	8	—	—	4	Nova schwach und undeutlich
29	-3 51	„	141 3.5	4	36.5105	8	4	Gewölk; Nova schwach
1903 März 26	+4 35	I	140 59.7	8	—	—	3-4	Nova (10 ^m .3) im roten Feld gut sichtbar
28	+4 40	„	140 58.0	8	—	—	3	
31	+5 18	„	140 58.0	8	—	—	3-4	Nova schwach
Apr. 1	+6 27	„	141 0.3	8	—	—	3-2	gut; etwas Dunst
8	+5 40	„	140 57.9	8	—	—	3-4	Nova schwach (10 ^m .87)
10	+5 41	„	140 59.2	4	—	—	3-2	durch Nebel unterbrochen
13	+6 6	„	140 58.6	8	—	—	8	gut
17	+6 17	„	140 58.7	8	—	—	2-3	
Sept. 12	-4 27	II	141 3.9	8	—	—	4-3	mit hellen Fäden
17	-6 50	„	141 6.1	8	—	—	3-2	mit hellen Fäden
18	-5 32	„	141 7.0	8	—	—	3-2	Nova (10 ^m .6) gut einzustellen
21	-5 52	„	141 6.8	8	—	—	3-4	Messung schwierig
25	-4 41	„	141 6.6	8	—	—	4-3	Messung schwierig
26	-5 26	„	141 3.7	4 Sätze	—	—	2-3	dunstig; Nova schwach
28	-5 24	„	141 5.3	„	—	—	3	Dunst; Messung sehr schwierig
1904 März 5	+3 41	I	141 0.6	„	—	—	4-3	Nova ca. 10 ^m .8
16	+4 42	„	141 1.5	„	—	—	3	Nova (10 ^m .5) leidlich zu sehen
17	+3 55	„	141 1.7	„	—	—	3-2	Nova etwas schwächer
18	+3 35	„	141 0.8	„	—	—	2	Nova (10 ^m .8) ziemlich hell im roten Feld
19	+3 35	„	141 2.4	„	—	—	2	gut
21	+3 45	„	141 2.2	„	—	—	3-2	
23	+4 18	II	141 5.6	„	—	—	3-2	gut
24	+4 24	„	141 5.5	„	—	—	3-2	
25	+4 8	„	141 6.5	„	—	—	3-2	gut
26	+4 34	„	141 3.6	„	—	—	3-4	Nova sehr schwach

Aus diesen Messungen wurden Positionswinkel und Distanz der Nova inbezug auf den Vergleichstern für das mittlere Äquinoktium 1901.0 abgeleitet. Bezüglich der Reduktion der Positionswinkel gilt das auf Seite 94 Gesagte. Die Distanzen sind mit dem Schraubenwert¹⁾

$$1^R = 20.078$$

¹⁾ Vgl. „Erosmessungen“, pag. 10.

reduziert. Etwa vorhandene geringe periodische Schraubenfehler sind nicht von Einfluß, da nach jedem Einstellungssatz die Koinzidenz der Fäden um beiläufig eine halbe Revolution geändert ist. Die Distanzen bedürfen dann noch der Reduktion wegen Refraktion und jährlicher Aberration. Die Resultate der Rechnung sind im folgenden übersichtlich zusammengestellt:

Messungen des Positionswinkels.

Epoche	St.-W.	p 1901.0	Lage	Epoche	St.-W.	p 1901.0	Lage
01.156	+1.4 ^h	141° 40.0	I	01.616	-6.1 ^h	141° 46.6	II
.158	+2.3	42.7	"	.621	-5.9	46.2	"
.194	+4.6	41.7	"	.629	-5.2	46.0	"
.232	+4.0	44.1	"	.649	-5.5	46.7	"
.238	+4.1	42.3	"				
02.119	+4.8	141 43.2	I	02.056	-1.4	141 46.6	II
.139	+2.8	42.5	"	.067	-0.7	47.2	"
.147	+2.3	43.2	"	02.642	-5.5	141 46.7	II
.262	+5.6	44.3	"	.642	-5.2	46.0	I
.267	+5.7	44.3	"	.659	-5.3	45.8	II
.270	+5.6	44.3	II	.670	-5.0	45.5	II
.270	+5.8	46.1	I	.670	-4.3	44.5	I
.270	+6.1	44.6	II	.686	-4.6	46.8	II
.276	+6.5	42.6	I	.686	-4.0	45.6	I
.276	+6.8	43.5	II	.735	-5.2	46.5	II
				.744	-3.8	45.8	II
03.231	+4.6	141 45.4	I				
.237	+4.7	41.7	"	03.697	-4.4	141 46.1	II
.245	+5.8	43.6	"	.710	-6.8	48.5	"
.247	+6.4	45.9	"	.713	-5.5	49.1	"
.267	+5.7	43.5	"	.721	-5.9	48.9	"
.272	+5.7	44.8	"	.732	-4.7	48.7	"
.280	+6.1	44.2	"	.735	-5.4	45.8	"
.291	+6.3	44.3	"	.740	-5.4	47.4	"
04.176	+3.7	141 45.1	I				
.206	+4.7	45.9	"				
.208	+3.9	46.2	"				
.211	+3.6	45.3	"				
.214	+3.6	46.9	"				
.219	+3.8	46.8	"				
.225	+4.3	46.9	II				
.228	+4.4	46.7	"				
.230	+4.1	47.8	"				
.233	+4.6	44.8	"				
01.20	+3.3 ^h	141° 42.2	m. F. ± 0.7 (5)	01.63	-5.7 ^h	141° 46.4	m. F. ± 0.2 (4)
02.23	+5.2	43.9	" ± 0.3 (10)	02.07	-1.0	46.9	" ± 0.3 (2)
03.26	+5.6	44.2	" ± 0.5 (8)	02.68	-4.8	45.9	" ± 0.2 (9)
04.22	+4.1	46.2	" ± 0.3 (10)	03.72	-5.5	47.8	" ± 0.5 (7)

Messungen der Distanz.

Epoche	St.-W.	s 1901.0	Lage	Epoche	St.-W.	s 1901.0	Lage
01.156	^h +1.4	366.70	I	01.616	^h -6.1	366.62	II
.158	+2.3	366.74	„	.621	-5.9	366.60	„
.194	+4.6	366.49	„	.629	-5.2	366.56	„
.232	+4.0	366.58	„	.649	-5.5	366.72	„
.238	+4.1	366.72	„	02.056	-1.4	366.78	II
02.119	+4.3	366.70	I	.087	-0.7	366.70	„
.147	+2.3	366.72	„	02.659	-5.3	366.58	II
.262	+5.6	366.68	„	.670	-5.0	366.70	„
.267	+5.7	366.66	„	.686	-4.6	366.56	„
				.744	-3.8	366.72	„
01.20	^h +3.3	366.65	m. F. ± 0.05 (5)	01.63	^h -5.7	366.62	m. F. ± 0.04 (4)
02.20	+4.5	366.69	„ ± 0.02 (4)	02.07	-1.0	366.74	„ ± 0.04 (2)
				02.69	-4.7	366.64	„ ± 0.04 (4)

Zur leichteren Übersicht sind links die in westlichen, rechts die in östlichen Stundenwinkeln erhaltenen Messungen angeordnet. Unter dem Strich sind für die einzelnen Gruppen von Messungen die Mittelwerte nebst ihren mittleren Fehlern angegeben. Während die Mittelwerte der Distanzen genügende Übereinstimmung aufweisen, bemerken wir bei den Positionswinkeln deutliche Spuren systematischer Unterschiede. Die Mittelwerte der Positionswinkel zeigen nämlich neben einem geringen Gang mit der Zeit bemerkenswerte vom Stundenwinkel abhängige Unterschiede, die in dem Sinne verlaufen, daß den positiven Stundenwinkeln kleinere Werte entsprechen als den negativen Stundenwinkeln. Eine Abhängigkeit von der Lage des Instruments scheint dagegen nicht vorhanden zu sein.

Man erkennt sofort, daß die Unterschiede in p zwischen den Frühjahrs- und Herbstbeobachtungen, wenn sie reell wären, sich nur durch die Annahme einer recht bedeutenden Parallaxe des Vergleichsterns erklären lassen würden, während eine merkliche Parallaxe der Nova gerade umgekehrt den Positionswinkel im Frühling zu einem Maximum, im Herbst zu einem Minimum machen würde. Die Annahme einer Parallaxe für den Vergleichstern ist aber sehr unwahrscheinlich, weil der Stern lichtschwach ist und auch nach den Positionen in Bessel's Zonen (Nr. 531) und AG Bonn (Nr. 2948) keine Eigenbewegung erkennen läßt.

Ebensowenig können die Unterschiede der Positionswinkelmessungen dem Einfluß der atmosphärischen Dispersion zugeschrieben werden¹⁾. Fassen wir die Mittelwerte der Positionswinkel in geeigneter Weise zusammen, wobei wir die Werte der Epochen 01.20 und 02.07 — den ersten wegen der extremen Helligkeit der Nova²⁾, den zweiten wegen des abweichenden Stundenwinkels — ausschließen, so erhalten wir:

$$p = 141^{\circ} 44'.8 \quad (28) \quad \text{entsprechend dem mittleren Stundenwinkel} + 5^{\text{h}}.0 \text{ (Frühling)}$$

$$p = 141^{\circ} 46'.7 \quad (20) \quad \text{„ „ „ „} - 5^{\text{h}}.3 \text{ (Herbst);}$$

die Koeffizienten der in Bogensekunden ausgedrückten Parallaxe der Nova sind:

$$+ 7.7 \text{ (Frühling),} \quad - 8.8 \text{ (Herbst).}$$

¹⁾ Vgl. hierzu die Abhandlung: H. Seeliger, Über den Einfluß der Dispersion der Luft auf die Bestimmung kleiner Fixsternparallaxen. Astron. Nachr. Nr. 3795.

²⁾ Die Größen der Nova sind: 1901 Februar: 1—2, März: 3—4, August: 6, 1902 Frühjahr: 9.

Die Differenz dieser beiden Werte des Positionswinkels:

$$\Delta p = +1'.9 \quad \text{m. F. } \pm 0'.30^1)$$

ließe sich zum Verschwinden bringen, wenn man einen Unterschied der Refraktionskonstanten der beiden Sterne im Betrage von $+0''.15$ im Sinne Nova — Vergleichstern in die Rechnung einführen wollte. Dem widersprechen aber die Messungen der Distanzen, deren entsprechende Korrekturen

$$\begin{array}{rcl} 0''.00 & \text{für den Stundenwinkel } +4^h \\ +0''.16 & \text{„ „ „} & -5^h \end{array}$$

eine erhebliche Verschlechterung der Darstellung herbeiführen würden. Übrigens läßt sich der obige Unterschied der Refraktionskonstanten auch nicht durch die verschiedene Färbung der Sterne erklären. Denn abgesehen davon, daß der Beobachter von einem Farbenunterschied der Sterne nichts bemerkt hat, ist es nach den Untersuchungen von Chase²⁾ nahezu ausgeschlossen, daß so beträchtliche Unterschiede der Refraktionswirkung, wie sie dem obigen Wert entsprechen würden, überhaupt auftreten können. Wir kommen so zu dem Schluß, daß die atmosphärische Dispersion zu den Abweichungen der Positionswinkelmessungen kaum wesentlich beigetragen haben wird.

Zu einer einwandfreien Erklärung der vom Stundenwinkel abhängigen Unterschiede gelangt man erst durch Vergleichung der Messungen der Nova mit den Ergebnissen der schon erwähnten Hilfsreihe an dem Sternpaar *DO* im Haufen *h* Persei. Die Messungen an dem Paar *DO* waren eigens zu dem Zweck angestellt, das Auftreten der systematischen Einstellungsfehler zu studieren und daraus einen Rückschluß auf die Messungen der Nova zu ziehen. Das Paar *DO* war daher, was Positionswinkel, Distanz und Sterngrößen anbelangt, möglichst entsprechend den bei der Nova vorliegenden Verhältnissen ausgewählt. Auch die Methode der Messungen entsprach genau der bei den Messungen der Nova angewandten. Insbesondere sind die Messungen im Frühling bei nahe horizontaler, im Herbst bei nahe vertikaler Stellung der Sterne ausgeführt. Die Größen der Sterne sind $8^m.1$ (*D*) und $9^m.5$ (*O*), ihre Distanz beträgt $324''$. Die Messungen sind in folgender Tabelle übersichtlich zusammengestellt:

Messungen des Paares *DO* im Sternhaufen *h* Persei.

Datum	Epoche	St.-W.	Lage	Kreis-Abl.	Zahl d. Einst.	<i>p</i> 1903.0
		^h ^m		°		
1903 März 26	03.231	+5 5	I	138° 31.3	6	139° 17.4
28	.237	+5 13	„	30.3	6	16.3
31	.245	+5 53	„	33.1	6	18.9
April 8	.267	+6 32	„	31.4	6	17.2
10	.272	+6 40	„	33.0	6	18.8
13	.280	+6 48	„	31.3	6	17.1
17	.291	+7 15	„	32.0	6	17.8
Sept. 12	03.697	—3 56	II	138 40.5	6	139 22.9
16	.707	—6 41	„	40.9	8	23.3
17	.710	—6 16	„	39.2	8	21.5
18	.713	—5 51	„	39.0	8	21.3
21	.721	—6 3	„	36.9	8	19.1
24	.729	—6 25	„	39.2	8	21.4
26	.735	—5 28	„	37.2	4 Sätze	19.4
27	.738	—6 16	„	37.8	„	20.0
28	.740	—6 6	„	37.2	„	19.3

¹⁾ Der Ableitung dieses Fehlers liegen die auf Seite 97 unter dem Strich angeführten mittleren Fehler zugrunde. Es ist also die Änderung des Positionswinkels mit der Zeit als systematisch angenommen.

²⁾ Transactions of the Astronomical Observatory of Yale University Vol. II pag. 184 ff. Die Differenzen der Refraktionskonstanten, die Chase aus Heliometermessungen der Distanzen von roten und weißen Sternen ableitet, bleiben für sämtliche 6 Sterne unterhalb $0''.05$.

Datum	Epoche	St.-W.	Lage	Kreis-Abl.	Zahl d. Einst.	p 1903.0
1904 März 4	04.173	+3 ^h 15 ^m	I	138° 28.5	6	139° 14.2
5	.176	+4 17	"	30.0	6	15.5
16	.206	+4 34	"	32.3	4 Sätze	17.8
17	.208	+4 33	"	32.1	"	17.6
18	.211	+4 30	"	35.5	"	21.1
19	.214	+4 29	"	33.4	"	19.0
21	.219	+4 43	"	34.7	"	20.1
23	.225	+5 0	II	35.7	"	17.4
24	.228	+5 7	"	37.8	"	19.4
25	.230	+5 5	"	35.1	"	16.7
26	.233	+5 33	"	35.0	"	16.5
Aug. 21	04.638	-6 24	II	138 37.7	4 Sätze	139 19.8
21	.638	-5 55	I	33.5	"	19.0
26	.652	-6 1	I	36.9	"	22.4
26	.652	-5 32	II	37.7	"	19.8
28	.658	-6 4	I	32.9	"	18.3
28	.658	-5 37	II	37.3	"	19.3
Mittelwerte:	1903.26	+6 ^h 12 ^m			(7)	139° 17.6 m. F. ± 0.3
	1903.72	-5 54			(9)	20.9 " ± 0.5
	1904.21	+4 39			(11)	17.8 " ± 0.6
	1904.65	-5 56			(6)	19.8 " ± 0.6

Zwischen den Mittelwerten der Frühlings- und Herbstmessungen zeigen sich systematische Unterschiede, die den bei den Messungen der Nova gefundenen völlig analog sind. Unter der plausiblen Annahme, daß die relative Parallaxe der Sterne *D* und *O* verschwindend klein ist, sind diese Unterschiede nur durch systematische Einstellungsfehler zu erklären, die durch die verschiedene Stellung des Paares zur Vertikalen hervorgerufen sind¹⁾. Im Durchschnitt der beiden Beobachtungsjahre ergibt sich für die Reduktion der Messung bei horizontaler Stellung auf die Messung bei vertikaler Stellung der Betrag:

$$\Delta p = +2.65 \quad \text{m. F.} \pm 0.53 \quad \text{gültig für die Distanz } s = 324''.$$

Die entsprechende, auf die Messungen der Nova anzuwendende Reduktion ist im umgekehrten Verhältnis der Distanzen abzuändern: für die Distanz $s = 367''$ gilt der Wert:

$$\Delta p = +2.30 \quad \text{m. F.} \pm 0.46.$$

Korrigiert man den auf Seite 98 ermittelten Unterschied in den Positionswinkelmessungen der Nova um diesen Betrag, so ergibt sich für die verbesserte Differenz Herbst minus Frühling:

$$\Delta p = -0.4 \quad \text{m. F.} \pm 0.55$$

und damit schließlich für die relative Parallaxe der Nova das Resultat:

$$\pi = +0.02 \quad \text{m. F.} \pm 0.03.$$

Auf einen sehr kleinen Wert der Parallaxe deuten auch die Resultate der Distanzmessungen hin.

Ein Schluß auf die Eigenbewegung der Nova ist wegen des kurzen Zeitraums der Messungen nicht mit Sicherheit zu ziehen. Ein Anwachsen der Positionswinkel im Lauf der Messungen ist zwar

¹⁾ Es sei hier erwähnt, daß ich bei der Reduktion der Messungen H. Struve's von 61 Cygni auf ganz ähnliche systematische Unterschiede gestoßen bin, deren Analogie sich bis auf das Vorzeichen erstreckt. Auch die Einstellungen des Doppelsterns 61 Cygni sind durch Bisektion der Sterne erhalten (cf. pag. 40 dieses Bandes).

angedeutet. Doch läßt es sich nicht entscheiden, ob hierin nicht vielleicht eher eine Helligkeitsgleichung der Messungen zu erblicken ist, deren Auftreten bei der schnell abnehmenden Helligkeit¹⁾ der Nova durchaus diskutabel ist. Die Messungen des Positionswinkels ließen sich durch Annahme einer Eigenbewegung der Nova im beiläufigen Betrage von jährlich $0''.10$, lotrecht zur Verbindungslinie mit dem Vergleichstern, in Einklang bringen.

Zum Vergleich mit den hier gewonnenen Resultaten kommt von früheren Bestimmungen in erster Linie die Parallaxenuntersuchung von Östen Bergstrand²⁾ in Betracht. Aus photographischen Messungen leitet er für die Parallaxe der Nova den Wert ab:

$$\pi = +0.03 \quad \text{m. F. } \pm 0.015.$$

Inbezug auf die Eigenbewegung zieht er aus seinen Messungen den Schluß, „daß die Nova keine erhebliche Eigenbewegung haben kann.“ Das letzte Resultat wird unter anderem durch Messungen von Barnard³⁾ bestätigt. Derselbe hat am 40-Zöller des Yerkes Observatory in den Jahren 1901/2 sowie 1906/7 die Nova an mehrere Sterne der 12. bis 14. Größe mikrometrisch angeschlossen und findet aus dem Vergleich der Messungen keine Spur einer Eigenbewegung der Nova.

Als Endresultat bezüglich des Anschlusses der Nova an den Stern BD 43°739 wollen wir das Mittel aus sämtlichen Messungen annehmen. Wir erhalten so die Koordinaten, bezogen auf das mittlere Äquinoktium 1901.0:

$$\begin{aligned} p &= 141^\circ 45'.3 \quad [\text{m. F. } \pm 0'.26] \quad (55) \quad \text{Epoche 1902.86} \\ s &= 366''.66 \quad \text{m. F. } \pm 0''.018 \quad (19) \quad \text{Epoche 1901.90.} \end{aligned}$$

Der mittlere Fehler des Positionswinkels ist in Klammern gesetzt, da er unter der nicht zutreffenden Voraussetzung abgeleitet ist, daß die Abweichungen der Messungen rein zufälliger Natur sind. Ein Bild der Genauigkeit der einzelnen Messung gibt folgende Zusammenstellung des „mittleren Fehlers einer Messung“:

$$\begin{aligned} \Delta p_1 &\pm 0'.96^4) & s \Delta p_1 &\pm 0''.102^4) \\ \Delta p_2 &\pm 1'.93 & s \Delta p_2 &\pm 0''.205 \\ & & \Delta s &\pm 0''.078. \end{aligned}$$

Hier ist Δp_1 als Durchschnitt der Fehler abgeleitet, die sich für die einzelnen Gruppen von Messungen ergeben haben, Δp_1 ist also der rein zufällige Fehler der Positionswinkelmessung. Die Fehler Δp_2 und Δs sind dagegen aus dem Gesamtmaterial berechnet. Man erkennt die überlegene Genauigkeit der Distanzmessung. Der Fehler Δp_2 gibt ein Maß der Sicherheit der einzelnen Messung bei Einwirkung sowohl der zufälligen als auch der systematischen Fehlerquellen. Auffallend ist die Tatsache, daß die systematischen Fehler auch bei Bisektionen so merkliche Beträge erreichen können. Diese Fehler würden sich nach neueren Erfahrungen durch Benutzung eines Reversionsprismas wahrscheinlich herabdrücken lassen. Ob freilich damit ein entscheidender Vorteil für die Aufdeckung so kleiner Verschiebungen wie der parallaktischen gewonnen wäre, muß dahingestellt bleiben, denn die Anwendung des Prismas schließt das Auftreten geringer, aber schwer kontrollierbarer systematischer Fehler, z. B. solcher, die in Unvollkommenheiten des optischen Systems begründet sind, keineswegs aus.

Ich erwähne zum Schluß, daß die nicht unbeträchtlichen Rechnungen, auf denen die Resultate dieser Arbeit beruhen, schon zum größeren Teil von Herrn Geh. Rat H. Struve ausgeführt waren und von mir nur revidiert sind, und daß er mir bei der definitiven Festlegung der Resultate mit seinem erfahrenen Rat zur Seite stand.

¹⁾ Vgl. Anm. ²⁾ auf Seite 98.

²⁾ Östen Bergstrand, Bestimmung der jährlichen Parallaxe der Nova Persei. Arkiv för Matematik, Astronomi och Fysik Band I pag. 355.

³⁾ Astron. Nachr. Nr. 4220.

⁴⁾ Der entsprechende Fehler bei den Messungen des Paares DO erreicht den merklich größeren Betrag $\Delta p_1 \pm 1'.5$, $s \Delta p_1 \pm 0''.14$.

57653
Ack.

Astronomische Beobachtungen
auf der
Universitäts-Sternwarte zu Königsberg.

Herausgegeben vom Direktor H. Battermann.

Abteilung 43, IV.

Sternparallaxen
aus Beobachtungen am Repsoldschen Meridiankreis.

Von E. Jost.



Inhalts-Übersicht.

	Seite
Einleitung	1
I. Ausführung der Beobachtungen	2
§ 1 Sternprogramm	2
§ 2 Das Instrument	4
§ 3 Das Beobachtungsverfahren	6
§ 4 Die Beobachtungsverhältnisse	9
II. Reduktion der Beobachtungen	13
§ 1 Die Instrumentalfehler	13
§ 2 Der Uhrgang	15
§ 3 Die Eigenbewegungen	16
III. Ausgleichung der Rektascensionsdifferenzen	30
IV. Die Resultate	90
§ 1 Die mittleren Fehler	90
§ 2 Das Zeitglied	93
§ 3 Die Parallaxen	96

Einleitung.

Als mir im ersten Anfang des Jahres 1910 von Herrn Professor Battermann der Repsold'sche Meridiankreis von vier Zoll Öffnung übergeben wurde, bestand die Absicht, das Instrument, welches in neuerer Zeit fast ausschließlich der Rektascensionsbestimmung gewidmet war, auch für Deklinationsbeobachtungen wieder dienstbar zu machen. Für diesen Zweck mußten die Kreismikroskope zum Teil erneuert resp. verbessert, sowie andere Teile geändert werden. Die Versendung des Instruments sollte im Monat April 1910 stattfinden. Die ausgezeichneten Erfolge, welche mit dem selbstregistrierenden Mikrometer in Verbindung mit einem Uhrwerk von F. Cohn erzielt waren, veranlaßten mich, die bis zur Abmontierung verbleibenden Monate nach einigen einleitenden Versuchen für den Beginn einer Reihe von Parallaxenbestimmungen, welche im folgenden vorliegen, auszunützen. Aus den erwähnten Umständen folgt die Begrenzung der Arbeit auf die gewählten Rektascensionsstunden, zum Teil auch die Wahl der Sterne.

Veranschlagt war, in vier bis fünf Perioden des maximalen Parallaxenfaktors etwa 50 Beobachtungen jedes Sterns zu gewinnen, es stellte sich jedoch heraus, daß bei Beschränkung auf die Zeit der größten Faktoren acht Perioden nötig waren, um diese Beobachtungszahl für alle Sterne zu erreichen. Hat diese unbeabsichtigte zeitliche Ausdehnung der Arbeit störend auf andere gleichzeitig laufende Beobachtungsreihen des Meridiankreises eingewirkt, so bedeutet sie andererseits für die vorliegenden Parallaxenbestimmungen einen nicht unerheblichen Gewinn, indem eine weit bessere Darstellung der Unbekannten mit linearem Faktor ermöglicht wurde.

Die Gesamtzahl der Beobachtungstage beträgt 165 mit 4283 Einzelbeobachtungen, welche sich wie folgt auf die verschiedenen Jahre und Beobachtungsperioden verteilen:

Abend:				Morgen:			
1910	14 Tage	370	Beobachtungen	10 Tage	271	Beobachtungen	
1911	33 „	850	„	20 „	607	„	
1912	21 „	439	„	13 „	374	„	
1913	26 „	658	„	25 „	714	„	
<hr/>				<hr/>			
94 Tage mit 2317 Beobachtungen.				68 Tage mit 1966 Beobachtungen.			

Die Verhältniszahl der Morgen- zu den Abendbeobachtungen: „0.84“ kann angesichts der an sich ungünstigeren Herbstmonate (September—November), in welche die Morgenbeobachtungen fielen, als normal angesehen werden; sie wäre eine bessere, wenn nicht durch das verspätete Eintreffen des Instruments im Herbst 1910 die Morgenbeobachtungen dieses Jahres größtenteils verloren gegangen wären, während der Herbst 1912 meteorologisch tatsächlich besonders ungünstig war. Ich habe den parallaktischen Faktor, welcher für die Rektascensionsstunden 4^h—7^h an sich schon günstig ist, nach Möglichkeit auszunützen gesucht, also mit den Beobachtungen begonnen, sobald wenigstens zwei Gruppen in die Nacht getreten waren. Es erklärt sich hieraus die geringe Anzahl der im Durchschnitt auf einen Abend resp. Morgen entfallenden beobachteten Objekte.

Die Ablesungen der Streifen sind zum größeren Teile von mir, zum anderen von Herrn Dr. E. E. Kühne besorgt worden. Zu Dank verpflichtet bin ich Herrn Dr. Kühne ebenfalls für weitere Mithilfe, welche in der Hauptsache in der zweiten Rechnung der Reduktionen auf den mittleren Ort, sowie der Ausgleichung der Eigenbewegungen bestand. Die Beobachtungen, wie alle übrigen Reduktionen, welche teilweise in doppelter Rechnung ausgeführt wurden, fielen mir zu.

I. Ausführung der Beobachtungen.

§ 1. Sternprogramm.

Das in der folgenden Tabelle I mitgeteilte Beobachtungsprogramm enthält neben den 18 auf ihre Parallaxe zu untersuchenden Sternen mit ihren Vergleichsobjekten noch einige Pol- und Südsterne des N. F. C., welche regelmäßig mitbeobachtet wurden. Maßgebend für die Auswahl der Hauptsterne war in erster Linie die Größe ihrer Eigenbewegung, alsdann habe ich auch Sterne des N. F. C. bevorzugt, um weitere Unterlagen für die Bestimmung der Instrumentalkonstanten und des Uhganges zu gewinnen. Um die Gruppenzugehörigkeit kenntlich zu machen, sind einige Sterne, die dem Vergleich mit mehreren Hauptsternen dienen, doppelt angeführt.

Eine erstklassige Uhr stand nicht zur Verfügung, so war es wegen der Unsicherheit des Uhganges geboten, die einzelnen Gruppen nach Möglichkeit symmetrisch zu gestalten, alsdann auch nur über kurze Zeiten auszudehnen. In der Anzahl der Vergleichsterne habe ich mich daher im Allgemeinen auf zwei beschränkt, aber wenn es die Zeit bis zur nächsten Gruppe erlaubte und passende Objekte vorhanden waren, diese Anzahl bis auf höchstens vier erhöht; in einem Fall mußte ich mich mit einem einzigen Vergleichstern begnügen, während die Durchschnittsanzahl 2.5 beträgt.

Mit dem Fernrohr lassen sich zwar noch Sterne bis 9.0 bei klarem Wetter gut beobachten, ich habe nach früheren Erfahrungen jedoch vorgezogen, bei der Wahl der Vergleichsterne nicht wesentlich unter die achte Größe hinunter zu gehen, um dem Ausfall solcher Sterne bei weniger guten Sichtverhältnissen und in der Dämmerung vorzubeugen. Das bedingte freilich, die Vergleichsterne in einem weiteren Umkreis zu suchen, indessen übertrifft der Deklinationsunterschied gegen den Hauptstern einer Gruppe selten 2° und übersteigt in Rektascension nur in einem Fall 10 m, während im Mittel einer Gruppe diese Zahlen auf resp. $1^\circ.2$ und 3 m fallen.

Die angegebenen Helligkeiten sind, so weit möglich, der P. D. entnommen, für nicht darin enthaltene Sterne sind diese Größen aus Schätzungen an mehreren Abenden gewonnen, welche mit dem Wert Potsdam—Königsberg = -0.07 auf die P. D. bezogen wurden. Zur Ausgleichung der Helligkeitsunterschiede zwischen Haupt- und Vergleichsternen kamen zwei Gitterblenden (I und II) gleicher Ausführung, welche einzeln oder zusammen (III) vor das Objektiv geklappt werden können, in Anwendung. Schätzungen an Sternen der P. D. ergaben die folgenden Abblendungswerte:

	Δ Mg	m. F.	Anzahl
	M_g	M_g	
I	1.99	± 0.02	57
II	1.98	± 0.02	59
III	4.42	± 0.03	53

welche mit den resp. Beträgen 2.0, 2.0 und 4.4 bei der Berechnung der Helligkeitsunterschiede in Kolumne 8 der Tabelle I berücksichtigt worden sind. Mit Hilfe dieser Gitter ist es gelungen, die Helligkeitsunterschiede in den meisten Fällen auf geringfügige Größen zu reduzieren, im Falle von α Aurigae war das allerdings nicht möglich; hier bleibt ein Unterschied von 2.5 Größenklassen gegen das Mittel der Vergleichsterne übrig. Untersuchungen über Helligkeitsgleichung sind angestellt, sie lassen nicht auf das Vorhandensein einer solchen in nennenswerter Größe schließen; im übrigen sind diese Beobachtungen nicht zahlreich genug, um aus ihnen eine eventuelle, aber sehr unwahrscheinliche Änderung der Helligkeitsgleichung abzuleiten. Versuche mit Lamellen oder Diaphragmen vor

Tabelle 1.

Lfd. Nr.	Bezeichnung	Gr.	Bl.	AR 1910	Dekl. 1910	E. B. l. gr. Kr.	Δ Gr.	$\Delta \alpha$	$\Delta \delta$
	ϵ Persei		I	^h 3 ^m 51 ^s 48	+ 39° 45.0				
	ζ Persei		I	4 2 7	+ 47 28.4				
	Gr. 750		I	7 59	+ 85 19.1				
1	+ 46.882	7.7		19 19	+ 46 51.1				
2	+ 46.884	6.9		20 50	+ 46 39.4	0.34	— 0.8	— 90°	+ 6.7
3	+ 46.889	7.8		23 23	+ 46 14.4				
4	+ 41.920	7.3		31 49	+ 41 56.2				
5	Gr. 864	7.4		35 14	+ 41 57.2	0.68	— 0.1	+ 28	— 8.4
6	+ 42.1033	7.7		37 43	+ 42 15.0				
7	+ 56.969	8.0		38 23	+ 57 1.7				
8	4 Camelopard.	5.5	I	40 30	+ 56 35.9	0.15	— 0.5	— 21	— 6.1
9	+ 56.976	8.0		43 19	+ 56 22.4				
10	+ 65.439	7.0		48 45	+ 65 8.1				
11	+ 66.870	6.4		53 43	+ 66 41.9	0.36	— 0.5	+ 71	— 17.5
12	+ 68.361	6.9		56 28	+ 68 50.8				
13	+ 44.1091	7.7		5 0 5	+ 44 36.6				
14	+ 46.970	5.9	I	4 1	+ 46 51.1	0.16	+ 0.1	— 4	+ 44.9
15	+ 46.972	8.1		5 1	+ 46 49.8				
16	+ 46.979	7.7		7 7	+ 46 52.1				
15	+ 46.972	8.1		5 1	+ 46 49.8				
16	+ 46.979	7.7		7 7	+ 46 52.1				
17	α Aurigae	0.4	III	10 2	+ 45 54.4	0.44	— 2.5	+ 89	— 6.2
18	+ 44.1170	6.5		13 30	+ 44 19.9				
19	+ 60.884	7.1		21 47	+ 60 11.7				
20	18 Camelopard.	6.6		24 51	+ 57 9.5	0.24	+ 0.2	— 38	— 7.4
21	+ 54.914	5.7		29 12	+ 54 22.2				
21	+ 54.914	5.7		29 12	+ 54 22.2				
22	Gr. 990	8.0		31 11	+ 51 23.3	0.58	+ 1.1	— 234	— 25.6
24	+ 52.989	7.3		36 11	+ 52 26.6				
25	+ 48.1303	7.8		39 53	+ 48 38.0				
21	+ 54.914	5.7		29 12	+ 54 22.2				
23	Pl. 5 ^h 146	6.4		34 2	+ 53 26.7	0.54	— 0.1	+ 81	+ 2.3
24	+ 52.989	7.3		36 11	+ 52 26.6				
26	+ 54.959	7.9		48 59	+ 54 15.5				
27	δ Aurigae	8.8	III	52 7	+ 54 16.7	0.15	+ 0.3	+ 188	+ 1.3
28	+ 42.1463	8.0		54 11	+ 42 44.3				
29	88 Aurigae	6.2	I	56 48	+ 42 54.9	0.18	+ 0.6	— 59	+ 12.5
30	89 Aurigae	6.2	I	58 35	+ 42 59.3	0.16	+ 0.6	+ 48	+ 17.0
31	+ 42.1486	7.2		6 1 23	+ 42 40.6				
	δ Urs min UC.		I	1 18	+ 86 36.8				
32	+ 46.1119	7.7		8 16	+ 46 25.3				
33	43 Aurigae	6.6		11 34	+ 46 23.8	0.14	— 1.0	— 6	+ 4.0
34	+ 46.1135	7.6		15 44	+ 46 14.2				
35	+ 58.922	7.5		17 47	+ 58 28.6				
36	+ 58.925	8.2		18 46	+ 58 28.1				
37	6 Lynceis	6.0	I	22 58	+ 58 18.8	0.34	+ 0.1	+ 38	— 13.4
38	+ 58.936	8.0		25 0	+ 58 48.7				
39	+ 58.941	7.9		27 48	+ 58 3.4				
38	+ 58.936	8.0		25 0	+ 58 48.7				
39	+ 58.941	7.9		27 48	+ 58 3.4				
40	8 Lynceis	6.2	I	29 28	+ 61 38.7	0.34	+ 0.3	— 30	+ 72.7
41	+ 64.600	7.8		34 5	+ 64 10.8				
42	+ 39.1713	7.4		36 22	+ 38 58.9				
43	+ 40.1696	6.9		37 59	+ 40 42.9	0.17	— 0.5	— 53	— 0.4
44	+ 42.1600	6.9		39 47	+ 42 21.6				
45	+ 40.1717	7.8		42 25	+ 40 49.6				
42	+ 39.1713	7.4		36 22	+ 38 58.9				
46	+ 38.1617	7.9		43 55	+ 38 55.8				
47	60 Aurigae	6.6		47 3	+ 38 38.1	0.18	— 0.9	+ 94	+ 2.3
48	+ 38.1641	6.9		49 24	+ 38 1.8				
49	+ 38.1654	7.9		52 15	+ 38 6.5				
	51 H Cephei	5.2	I	58 39	+ 87 11.5				
	63 Aurigae	5.0	I	7 5 28	+ 39 28.1				
50	+ 55.1185	8.0		12 32	+ 55 5.2				
51	19 Lynceis pr.	6.2	I	15 32	+ 55 27.1	0.03	+ 0.2	— 9	+ 3.7
52	+ 55.1100	8.0		18 50	+ 55 41.2				

dem Objektiv, die unter Umständen eine schärfere Erfassung des Beugungsbildes zulassen — u. a. von Großmann vorgeschlagen — sind von mir gelegentlich früher angestellt; ich bin jedoch von ihrer Verwendung wieder abgekommen wegen der außerordentlichen Veränderungen, welche die so erzeugten Bilder bei bestimmten Witterungsverhältnissen erleiden. Hier, wo wegen der Nähe der See von vorneherein mit einem häufigeren Auftreten plötzlicher Witterungsänderungen zu rechnen war, konnte ich mir keinen Vorteil von ihrer Anwendung versprechen.

Unter den Sternen des Programms finden sich neun visuelle Doppelsterne, es sind die folgenden:

4 = Σ 565	31 = $O\Sigma$ 130	48 = Σ 978
6 = Σ 582	36 = S 514	50 = Σ 1050
16 = $O\Sigma$ 101	43 = $O\Sigma$ 154	51 = 19 Lyncis;

von ihnen zeigen nur 43 und 48 eine relative Bewegung, welche sich aber mit der E. B. der helleren Komponenten dieser Paare deckt, so daß man die Duplizität in diesen beiden Fällen als lediglich optisch ansprechen kann. Die Begleiter sind mit Ausnahme der Sterne 50 und 51 zu schwach, um in dem benutzten Fernrohr sichtbar zu sein.

Sämtliche Beobachtungen wurden bei Klemmlage Ost ausgeführt und zwar stets bei ungeklemmtem Fernrohr. Die Fußlage sollte im allgemeinen der südlichen oder nördlichen Zenitdistanz der Sterne entsprechen, innerhalb einer Gruppe ist jedoch nicht gewechselt worden; in einem Fall (Stern 7) erwies sich die Zwischenzeit als zu kurz, so daß es nicht geraten schien, noch Zeit mit dem Umlegen des Stuhles zu verlieren. Für die Beobachtung bei „Füße Nord“ verblieben hiernach nur die Sterne 10—12 und 35—41.

§ 2. Das Instrument.

Eine Beschreibung des Repsold'schen Meridiankreises von vier Zoll Öffnung findet sich in Abteilung 27 der Königsberger Beobachtungen, Änderungen an dem seit 1841 aufgestellten Instrument sind in den Abteilungen 41 und 42 mitgeteilt; näheres über das Uhrwerk am Mikrometer enthält endlich Nr. 3719 der A. N.

Wie eingangs erwähnt, sind weitere durchgreifende Änderungen und Verbesserungen im Laufe des Sommers 1910 vorgenommen worden, welche, als hauptsächlich der Deklinationsbestimmung dienend, für die vorliegende Arbeit meist erst in zweiter Linie von Bedeutung sind, es kann daher an dieser Stelle auf den Jahresbericht der Sternwarte im 46. Jahrgang der V. J. S. verwiesen werden. Das Instrument wurde anfangs Oktober 1910 wieder aufmontiert, die Beobachtungen begannen am 8. Oktober, während die Holzverschalung der Pfeiler und ihre treppenförmigen Umbauten erst im Laufe des November fertiggestellt wurden. Diese letzteren Arbeiten fielen also in die Beobachtungsperiode hinein; es hat jedoch eine Behinderung durch sie nicht stattgefunden.

Neben der vollständigen Revision des Mikrometers und Überholung der Schraube sind Änderungen an diesen Teilen nicht vorgenommen, auch das Uhrwerk ist ohne wesentliche Änderungen geblieben. Erwähnenswert wäre nur, daß an der Aufzugsvorrichtung der Feder statt der vorhandenen Flügelschraube 1911 eine Kurbel angebracht wurde, so zwar, daß neben dem Aufziehen durch diese Kurbel der frühere Modus mittelst der Flügelschrauben erhalten blieb. Das Aufziehen mittelst der Kurbel geht bedeutend schneller vor sich und bewährt sich vor allen Dingen dann, wenn während des Durchganges eines Sterns ein Nachlassen des Uhrwerks bemerkt wird. Eine etwa zu befürchtende Beeinflussung der Kollimation durch den Kurbelantrieb hat sich niemals gezeigt, so daß dieser in der Folge einzig angewandt wurde.

Kleinere Störungen im Uhrwerk, welche Reparaturen nötig machten, sind leider öfters vorgekommen, u. a. Springen der Aufzugsfeder, sowie Versagen des Regulators im Kegel. Nachdem die Darmsaiten der Aufzugsvorrichtung mehrmals kurz nach einander gerissen waren, habe ich statt

ihrer geflochtene Bronzeschnüre eingeführt, welche sich bis jetzt gut bewährt haben. Das übliche Rauhmachen des Kegels hat jährlich einmal, in der Regel im April, stattgefunden. Im allgemeinen läßt sich noch sagen, daß sich das Uhrwerk in einem gewissen Zustand leichter Abnutzung befindet, dem durch Reparaturen nicht mehr durchgreifend abzuhelpen ist. Es betrifft das gewisse Schlotterungen des Kegels sowie des auf diesem schleifenden Rades, welche bewirken, daß letzteres zeitweilig nicht ganz senkrecht zum Kegelmantel steht und Neigung zeigt, bei Drehung des Kegels auf diesem Spiralen zu beschreiben, was eine nicht ganz gleichmäßige Weiterführung des Fadens zur Folge hat.

Die Unterlagen für die Bestimmung des Schraubenwertes sind aus den Beobachtungen für die vorliegende Arbeit selbst gewonnen und zwar haben im allgemeinen die Fundamentalsterne dazu gedient. Die Kenntnis des Schraubenwertes ist nur für die Fälle erforderlich, wo nicht symmetrisch zur Mitte liegende Kontakte beobachtet worden sind; abgesehen von einem Stern, welcher fast durchweg nach der Mitte beobachtet wurde, ist das etwa nur in 5 % der Beobachtungen der Fall, spielt also selbst bei einem unsicheren oder variablen Schraubenwert wenig Rolle. Im folgenden sind die Mittel der Schraubenwerte für die einzelnen Beobachtungsperioden zusammen mit den genäherten Werten der Saaltemperaturen gegeben:

1910 März	1 Rev. = 5.6328^s	121 Sterne	+ 3.7^0
Oktober—November	5.6321	47	+ 5.2
1911 Januar—März	5.6321	121	— 1.3
September—November	5.6302	110	+ 6.2
1912 Januar—März	5.6310	80	— 0.2
September—November	5.6312	80	+ 4.3
1913 Januar—März	5.6325	101	— 1.3
September—November	5.6312	101	+ 5.9

Im Mittel findet sich nach Ausschluß des ersten Wertes, der zeitlich vor die Nachprüfung der Schraube fällt,

$$1 \text{ Rev.} = 5.6314^s$$

in guter Übereinstimmung mit früheren Bestimmungen (siehe Abt. 42 der Kbg. Beob. pag. 14), welche resp. 5.6313^s und 5.6311^s ergaben. Bildet man nun die Unterschiede „Frühjahr minus Herbst“, welche hier wegen der verschiedenen Vorzeichen der parallaktischen Faktoren zu diesen Zeiten interessieren, so findet sich

Frühjahr—Herbst	Temperatur-Differenz
1910 + 0.0007^s	— 1.5^0
1911 + 0.0019	— 7.5
1912 — 0.0002	— 4.5
1913 + 0.0013	— 7.2
Mittel + 0.0009	— 5.2

oder wieder mit Ausschluß des ersten Wertes

$$+ 0.0010^s \quad - 6.4^0$$

Das würde auf einen bedeutenden Temperaturkoeffizienten schließen lassen; zieht man zu seiner sicheren Bestimmung noch Sommerbeobachtungen der Jahre 1911 und 1913 heran, so lassen sich wieder mit Ausschluß der Frühjahrsbeobachtungen 1910 die nachstehenden nach der Temperatur geordneten Gruppen bilden

Temperatur	Schraubenwert	Sterne
— 1.0^0	5.6319^s	302
+ 5.5	5.6310	338
+ 15.3	5.6316	278

deren Ausgleichung zu dem Wert

$$1 \text{ Rev.} = 5.63158 - 0.000012 t$$

führt, während das Verhältnis der Ausdehnung von Stahl gegen Messing -0.00005 verlangen würde. Von der Verwendung dieses Temperaturkoeffizienten ist abgesehen worden, zumal die Darstellung eine wenig befriedigende ist. Bemerkenswert scheint mir der Umstand, daß auch bei früheren Bestimmungen (l. c. pag. 14) der kleinste Schraubenwert sich aus den Beobachtungen bei mittleren Temperaturen ergibt; auch jene Beobachtungen führen nicht zu einem nennenswerten Temperaturkoeffizienten.

Die periodischen Fehler der Schraube kommen hier nicht in Frage, da stets auch bei Polsternen nur ganze Revolutionen beobachtet worden sind; ebenso ist es mit den Kontaktstellen, welche jedenfalls in gewissen Grenzen variabel mit dem Momentanzustande der einzelnen Kontakte sind, der durch Staub, Verbrennung und Abnutzung verändert sein kann. Die Kontakte bedurften des öfteren der Reinigung, um tadellos zu funktionieren, die Kontaktstellen wurden regelmäßig gelegentlich der Kollimationsbestimmungen durch Abhören der Anschläge eines Chronographen oder Relais und gleichzeitigem Ablesen der Schraube bestimmt.

Die fortschreitenden Fehler der Schraube erwiesen sich für die verwandten Revolutionen als unbedeutend.

§ 3. Das Beobachtungsverfahren.

Bei der Beobachtung habe ich mich im allgemeinen auf Mitführung des Fadens während der sechs inneren Schraubenumdrehungen beschränkt; es wurden zunächst zwei Revolutionen beobachtet, dann während der nächsten innersten der Nachführung weniger Beachtung geschenkt, eventuell noch Korrekturen an der Stellung des Triebrades auf dem Kegel gemacht, sonst das Auge zeitweilig vom Okular entfernt, endlich wurde wieder während zwei Revolutionen beobachtet. Abgelesen sind in der Regel, wenn man die Revolutionen nach ihrer zeitlichen Folge mit 1—6 bezeichnet, die symmetrischen 2 und 5; wenn diese im Journal als mißlungen bezeichnet sind, eventuell 1 und 6. Gelingt eine befriedigende Einstellung des Triebwerks nicht vor der Mitte, oder war die Beobachtung der ersten Revolution sonst gehindert, so blieben die Revolutionen 5 und 6, deren Kontakte alsdann auf die Mittelstellung reduziert werden mußten, während symmetrische Beobachtungen lediglich zu mitteln waren. Nur bei einem Stern (6) wurden wegen der kurzen Zwischenzeit bis zum nächsten zeitweilig die innersten Revolutionen ausschließlich beobachtet.

Die Mikrometertrommel hat 10 äquidistante Kontakte, deren einer durch zwei Hilfskontakte die Nullpunkte der Revolutionen kenntlich macht. Es sind stets sämtliche 10 Kontakte abgelesen worden, ihre zeitliche Entfernung beträgt für die hier beobachteten Sterne im Mittel 0.9, in den Extremen resp. 0.7 und 1.6. Für die rascher bewegten Sterne wäre es günstiger gewesen, unter Ausdehnung der Beobachtungszeit nur vielleicht jeden zweiten Kontakt zu berücksichtigen; ein hin und wieder auftretender Gang in den auf die Mitte reduzierten Kontakten läßt darauf schließen, daß die Einzelkontakte nicht immer als unabhängig von einander angesehen werden können. Das Auftreten solchen Ganges wird bei größeren Deklinationen seltener. In vielen Fällen konnte durch Ablesen von 40 Kontakten der Übelstand behoben werden.

Für die Pointierung stand neben dem einfachen Faden auch ein Doppelfaden zur Verfügung; ich habe durchweg den ersteren vorgezogen und kann die Benutzung eines Doppelfadens nur dann für zweckmäßig halten, wenn die Helligkeit der zu beobachtenden Sterne sich der Grenze der Sichtbarkeit für das benützte Fernrohr nähert, wo also namentlich bei Anwendung eines Uhrwerks die Gefahr besteht, daß der Stern hinter dem Faden zeitweilig nicht mehr sichtbar ist oder der Moment seines

gänzlichen Verschwindens zweifelhaft bleibt. Der Eindruck einer mehr oder weniger vollkommenen Bisektion durch den Einzelfaden ist ein momentaner während das Abschätzen des Sternbildes von zwei Fäden, welche hier beispielsweise eine Distanz von ca. 10'' haben, ein stetes Hin- und Hergehen der Blickrichtung nötig macht.

Es wurde stets mit der gleichen Vergrößerung, ungefähr 200-fach, beobachtet, also auch an solchen Tagen, wo man wegen starker Luftunruhe eine schwächere Vergrößerung an sich für zweckmäßiger halten konnte. Leitend war mir hierbei die Auffassung, daß durch Änderung der Vergrößerung der Eindruck, den das ganze Feld, hauptsächlich aber der Faden mit dem Stern auf den Beobachter macht, ein derartig anderer wird, daß systematische Änderungen der Auffassung im Sinne einer Helligkeitsgleichung zu befürchten sind.

Für die Einstellung auf eine bestimmte Deklination befindet sich am Uhrwerk eine mit Teilung versehene Skala, nach welcher an Hand einer berechneten Tabelle das Triebrad auf die für die gewünschte Geschwindigkeit erforderliche Höhe des Kegels eingestellt werden kann. Die Mitführung des Rades auf dem Kegel ist keine vollkommene, an abgeschliffenen Stellen wird das Rad nicht in gleicher Weise mitgenommen, auch ist der Druck mit dem das Rad auf dem Kegel liegt und das Trägheitsmoment des zu bewegendenden Schlittens und Räderwerks verschieden mit der Temperatur und mit der Zeit durch Verschmutzung; so ist die erwähnte Tabelle nur in gewissen Grenzen richtig, und eine Korrektion mit der Feinbewegung am Uhrwerk fast stets noch nötig. Man kann hier neben einer Abendkonstante, welche von der Temperatur und dem allgemeinen Zustand des Mikrometers und Uhrwerks in bezug auf Staub, Verharzung des Öles etc. abhängig ist, periodische, fortschreitende und zufällige Störungen der Mitführung unterscheiden, von denen die letzteren in der Wirkung am lästigsten sind. Die periodischen Fehler der Schlittenbewegung sind im allgemeinen geringfügig, sie sind, soweit sie von den Kontakten abhängen, von den Fehlern der Kontaktbreiten nicht zu trennen; fortschreitende Fehler werden auftreten, wenn die Triebkraft des Uhrwerks einer stetigen Änderung unterliegt, wie das der Fall ist bei voll aufgezoogenem Werk wegen der nicht ganz erfüllten Bedingung der gleichförmigen Abwicklung der Schnur von den engeren Windungen des Schneckenrades, wie ebenfalls kurz vor der gänzlichen Entspannung der Feder. Solange dagegen die Schnur von den mittleren Windungen der Schnecke abläuft, sind fortschreitende Fehler der Mitführung praktisch nicht vorhanden. Die zufälligen Fehler haben im Wesentlichen ihren Ursprung in örtlichen Hemmungen, wie sie einerseits durch kleine Ungenauigkeiten des Gesamtapparates, ferner auch durch die niemals ganz zu vermeidende Verschmutzung entstehen können; sie treten bei tiefen Temperaturen meist sehr gesteigert auf. Die zufälligen Fehler pflegen auch nicht konstant während eines längeren Beobachtungsabends zu bleiben. Man findet bei mehrfachem Registrieren der Kontakte einer bestimmten Skaleneinstellung zu verschiedenen Zeiten, wenn man sich jeder Nachhilfe mittelst der Hand enthält (ich möchte das mit Leerlaufen des Uhrwerks bezeichnen), daß Ungleichmäßigkeiten in der Länge durchaus nicht stets bei den gleichen Revolutionen stattfinden, sodaß anzunehmen ist, daß Staub und Schmutzpartikelchen durch die Bewegung verlagert werden und ihre hemmende Wirkung nicht immer an der gleichen Stelle ausüben. Das Zusammentreffen der genannten Umstände bewirkt, wenn auf eine mittlere Geschwindigkeit eingestellt ist, daß die korrigierende Hand, — es steht nur eine Handhabe zur Verfügung — bald im Sinne einer Beschleunigung der Mitführung, bald bremsend, einzugreifen hat.

Durch Leerlaufen des Uhrwerks bei verschiedener Geschwindigkeit läßt sich zeigen, daß die Unsicherheiten in der Länge der einzelnen Revolutionen nicht proportional der Sekante der Deklination eines fiktiven Sterns wachsen, sondern etwas stärker. Für die Mitführung des Fadens würde das bedeuten, daß bei langsamer bewegten Sternen mehr Eingriffe erforderlich sind als bei schneller bewegten. Einem Vorseilen des Fadens ist mit einem mehr oder weniger mäßigen Druck der Fingerspitzen auf die elfenbeinerne Führungsscheibe entgegen zu wirken; um eine beschleunigte Bewegung zu erzielen, ist Nachhilfe an der Schraube im geforderten Sinne nötig. Diese letztere

Bewegung ist, weil nur mit einer Hand ausführbar, notwendigerweise arrhythmisch, und man sollte annehmen, wenn zwischen beiden Arten der Korrektur zu wählen ist, daß die Mäßigung einer zu schnellen Bewegung der Schraube gleichmäßiger auszuführen sei. In der Tat überzeugt man sich bald, daß dem nicht so ist, daß vielmehr, wie auch Cohn l. c. pag. 8 bemerkt, bei möglichster Annäherung an die wirkliche Geschwindigkeit ein geringfügiges Zurückbleiben des Fadens die günstigere Art des Beobachtens bietet.

Von welcher Bedeutung eine ausschließliche Entscheidung für die eine oder andere Art der Mitführung des Fadens ist, möchte ich an speziell für diesen Zweck angestellten Beobachtungen zeigen. Es fiel mir gelegentlich der Reduktion symmetrischer Kontakte auf die Mitte auf, daß bei stärkeren Änderungen der Einstellung des Uhrwerks während der nicht abzulesenden innersten Revolutionen die Kontakte vor und nach der Mitte stets ein Abweichen im selben Sinne verrieten. Ich habe nun an einigen Abenden Beobachtungen angestellt in der Weise, daß ich beim Durchgang der Sterne zunächst mit einer der Deklination nur annähernd entsprechenden Einstellung des Uhrwerks beobachtete, alsdann willkürlich eine Änderung dieser Einstellung vornahm, mit welcher wieder einige Revolutionen beobachtet wurden, um dann am Schluß die Änderung der Skalenstellung abzulesen. Mit dem Sinne der Änderung wurde gewechselt, so daß die eine oder andere Art der Mitführung auf beide Beobachtungshälften gleichmäßig entfällt. Rechnet man dann, um ein Maß für die Änderung der Geschwindigkeit zu haben, die Differenzen der Skaleneinstellungen an Hand der Deklinationen der beobachteten Sterne in Sekantendifferenzen um und ordnet nach ihnen die Werte aus den Beobachtungen für „Uhrwerk zu schnell minus Uhrwerk zu langsam“, $(U_s - U_l)$, so findet man

Lage	$\Delta sec.$		
	0.01 — 0.04	0.04 — 0.08	> 0.08
Kl. West	— 0.007 15	— 0.017 20	— 0.022 11
Kl. Ost	— 0.011 12	— 0.040 9	— 0.052 9

alsdann zusammenfassend:

$\Delta sec.$	Anzahl	$U_s - U_l$	m. F.
0.031	27	— 0.009	± 0.003
0.061	29	— 0.025	± 0.005
0.109	20	— 0.036	± 0.005

Es ergibt sich ein ausgeprägter Gang in dem Sinne, daß die Führung ihre Aufgabe bei beiden Verfahren nicht vollkommen erreicht hat; es ist also beim Voreilen des Uhrwerks nicht ganz gelungen, durch Bremsen den Faden auf dem Stern zu halten, ebensowenig wie andererseits bei zu langsam gehenden Uhrwerk das Nachrücken mit der Hand ganz geglückt ist. Man sieht, daß auch die Methode der Mitführung durch ein Triebwerk durchaus nicht frei von systematischen Beeinflussungen ist, daß auch bei ihr sich Erscheinungen persönlicher Natur zeigen, die man in diesem Falle analog mit „Führungsgleichung“ bezeichnen könnte. Daß diese Führungsgleichung für beide Klemmlagen das gleiche Vorzeichen hat, läßt annehmen, daß aus dem Vorhandensein von nur einer Handhabe zur Korrektur der Mitführung die Erscheinung nicht allein zu erklären ist, indessen möchte ich ihm aber doch das durchgehende Überwiegen der Werte bei Klemme Ost gegenüber Kl. W. zuschreiben. Es wird dem Gegenstande noch an anderer Stelle Beachtung geschenkt werden.

Bei den vorliegenden Parallaxenbeobachtungen habe ich, wenn die Zeit es zuließ, die Einstellung des Triebrades am Uhrwerk nach der empirischen Tabelle vor der Beobachtung jeder Gruppe, welche einen Deklinationsunterschied bedeutete, vorgenommen, alsdann eventuell mit der Feineinstellung versucht, der Sternengeschwindigkeit unter geringer Zurückhaltung möglichst nahe zu kommen, ohne daß dies Ziel namentlich für die erste Zeit immer erreicht wäre. Prinzipiell sind Korrekturen an der Feineinstellung während der eigentlichen Beobachtungsrevolutionen, also 1—2 und 5—6, möglichst

unterlassen; sie pflegen stets einen Gang in den reduzierten Werten zur Folge zu haben. Größere Schwankungen in der Geschwindigkeit der Bewegung des Fadens und ebenfalls größere Abweichungen von der angestrebten Bewegung, wie etwa 0.05 in der Sekante, erzeugen beim Beobachter das Gefühl der Unsicherheit, in der Tat wird dann nicht allein der Vorteil, den das Uhrwerk durch die Arbeitsersparnis bieten soll aufgehoben, die Sperrung durch das Räderwerk des Antriebs wird direkt als Hemmung bei der Erreichung gleichförmiger Mitführung empfunden.

Äußere Störungen, welche geeignet sind, die Aufmerksamkeit des Beobachters abzulenken, pflegen sich meist nicht so sehr durch mangelhafte Übereinstimmung der Kontakte zu verraten, als vielmehr durch allgemeine systematische Abweichung; wie denn überhaupt die Übereinstimmung der Kontakte unter sich bei dem Mikrometer mit Uhrwerk kein Maß bietet für die Beurteilung der Genauigkeit der Beobachtung, indem durch sie eventuell nur ausgedrückt ist, daß das Uhrwerk mehr oder weniger sich selbst überlassen blieb. Ähnlich wirken andere Beeinträchtigungen, wie Unbequemlichkeit der Lage und vor allen Dingen Hast aus irgend welchen Behinderungsgründen, die auf jeden Fall möglichst vermieden werden sollten. Gerade hier täuscht auch oft der momentane Eindruck der von der Güte der Beobachtung gewonnen ist, so daß z. B. eine Beobachtung mit der Bemerkung „eilig aber gut“ eventuell vollkommen aus der Reihe fällt. Zu schnelle Aufeinanderfolge der Sterne hinterläßt ebenso wie häufiger Wechsel in den Deklinationen ein Gefühl der Unsicherheit, welches sich in der Regel später in den Fehlerverhältnissen widerspiegelt.

Schließlich sei noch bemerkt, daß ich während des Durchganges einer Gruppe nach Möglichkeit jede Änderung an der ganzen instrumentellen Anlage vermieden habe. Für das Aufziehen des Uhrwerks und des Chronographen ließen die Pausen zwischen den Gruppen hinreichend Zeit, aber auch Änderungen der Feldbeleuchtung, der Stellung des Beobachtungsstuhles, irgendwelche andere Eingriffe in den Chronographen, welcher namentlich bei tiefen Temperaturen dauernde, ganz dem Beobachter zufallende Überwachung verlangte, wurden während des Vorüberganges einer Gruppe ebenso gänzlich vermieden, wie sonstige ablenkende Nebenbeschäftigungen, außer, wenn die Zeitspanne zwischen den Sternen es erlaubte, gelegentlichen Notizen über schon gemachte Beobachtungen. Aber nicht nur in instrumenteller Hinsicht gilt es die innere Geschlossenheit einer Gruppe zu sichern, es handelt sich auch darum, ein gewisses seelisches Gleichgewicht, welches jede Voreingenommenheit vermeidet, zu erhalten. Diese Wahrung des seelischen Gleichgewichts, die Erhaltung einer inneren Ruhe, ja Gleichgültigkeit bei der Handhabung des Instruments, scheint mir für Parallaxenbestimmungen von besonderer Wichtigkeit, in ihrer Außerachtlassung und in der Folge also beispielsweise in einer eventuellen besonderen Konzentration des Beobachters bei dem Durchgang des einen oder anderen Sterns, welcher vielleicht durch seine Helligkeit, Eigenbewegung oder zu erwartende größere Parallaxen besonderes Interesse in Anspruch nimmt, hat man m. E. die Ursache mancher verfehlten Bestimmung zu suchen.

§ 4. Die Beobachtungsverhältnisse.

Den Gesamteindruck von der Sicherheit der Mitführung des Fadens habe ich für jeden Beobachtungstag durch eine Ziffer zwischen 1 und 5 zu charakterisieren gesucht, welche also eine Art reziproken Gewichts darstellt. Bestimmend für die Wahl der Ziffern war neben den durch die meteorologischen Faktoren bedingte Ruhe, Schärfe und Helligkeit der Bilder auch die Disposition des Beobachters. Für die tatsächliche Bewertung eines Abends sind indessen diese Ziffern nicht allein maßgebend, Störungen im Uhrwerk, wie Ausfälle und Unvollständigkeiten der Kontakte etc. finden ihren Ausdruck ebensowenig darin, wie alles was den Chronographen und die Ablesung der Streifen angeht.

Man findet in den Kolumnen 6—9 der folgenden Tabelle II nacheinander die Anzahl der Beobachtungen eines Tages, die genäherte Saaltemperatur, die Ziffern zur Charakterisierung des Gesamteindrucks nach obiger Erörterung, endlich noch spezielle, den ganzen Tag oder einen Teil der

Tabelle II.

Datum	i	k	$\frac{du}{dt}$	Uhr	Anzahl	Temperatur	Gesamteindruck	Bemerkungen
1910								
März	3	-0.752	-0.650	+0.068	a	44	+2 ⁰	3-4
	7	-0.662	-0.670	+0.048	a	48	+2	3
	8	-0.759	-0.749	+0.045	a	45	+2	3
	10	-0.048	-0.878	+0.045	b	40	+5	3-4
	11	-0.057	-0.898	+0.065	a	42	+7	4
	12	-0.025	-0.978	+0.062	$\frac{a+b}{2}$	17	+7	2.5
	15	+0.076	-0.951	+0.055	$\frac{a+b}{2}$	8	+6	5
	20	+0.065	-1.005	+0.034	b	28	+3	3
	23	+0.032	-1.006	+0.037	b	20	+2	2.5
	24	+0.047	-1.020	+0.038	b	16	+3	3
	25	-0.026	-1.054	+0.038	b	11	+3	3
	26	+0.077	-1.020	+0.038	b	7	+3	3.5
	27	+0.067	-1.018	+0.040	b	6	+1	2.5
Okt.	8	+0.326	-0.905	+0.074	b	12	+9	3.5
	12	+0.467	[-0.906]	+0.067		16	+10	4
	16	+0.440	-0.907	+0.076		47	+6	3.5-4
	17	+0.468	-0.986	+0.067		47	+7	2.5
	28	+0.386	-0.895	+0.085		53	0	3
	30	+0.325	[-0.850]	+0.097		6	+3	3.5
	31	+0.345	-0.800	+0.079		13	+2	4
Nov.	2	+0.296	-0.813	+0.078		28	+4	3
	8	+0.008	-0.981	+0.092		32	+4	3.5
	17	+0.251	-0.583	+0.096		17	0	3
1911								
Jan.	1	+0.382	+0.046	-0.064		8	-2	2
	6	+0.195	-0.068	-0.040		14	+2	3
	18	+0.175	+0.100	-0.044		19	+3	3
	20	+0.215	+0.060	-0.017		18	+2	3-4
	24	+0.297	+0.200	-0.030		20	-1	4
	26	+0.258	+0.165	-0.044		14	+1	3.5-4
	27	+0.305	+0.970	-0.042		25	-1	3
	30	+0.350	+0.303	-0.032		27	-9	4.5
Febr.	1	+0.230	+0.267	+0.067		35	-1	3
	3	+0.317	+0.250	-0.012		12	-6	4-5
	5	+0.223	[+0.300]	+0.013		9	-5	5
	6	+0.403	+0.436	+0.020		9	-11	4
	8	+0.278	+0.125	+0.023		46	-6	3.5-4
	13	+0.313	+0.358	+0.016		53	-11	2.5-
	14	+0.308	+0.252	+0.018		43	-11	4-5
	16	+0.228	-0.036	+0.024		21	0	3.5
	21	+0.197	+0.208	+0.025		12	-1	2.5
	24	+0.277	+0.460	+0.029		23	+4	3
	26	+0.385	+0.521	+0.018		47	0	2
	27	+0.360	+0.407	+0.022		21	0	3
	28	+0.287	+0.320	+0.032		58	+1	2.5
März	6	+0.242	+0.265	+0.032		26	0	2.5
	7	+0.211	+0.250	+0.030		45	0	2.5
	8	+0.239	+0.292	+0.030		38	+1	3.5
	9	+0.200	+0.233	+0.036		40	+1	3
	11	+0.165	+0.265	+0.025		43	+2	3.5
	12	+0.165	[+0.300]	+0.024		6	+1	4-
	13	+0.168	+0.320	+0.022		34	+4	2-3
	18	+0.144	+0.276	+0.018		28	-2	3.5-4
	19	+0.193	+0.290	+0.010		26	-3	4-4.5
	21	+0.163	+0.250	+0.035		17	0	4-4.5
	27	+0.033	+0.301	+0.032		8	+5	3
	28	+0.023	+0.237	+0.013		5	+5	3-3.5
Sept.	21	+0.024	-0.302	-0.001		26	+10	2
	22	+0.014	-0.484	+0.003		26	+11	2

Datum	i	k	$\frac{du}{dt}$	Uhr	Anzahl	Temperatur	Gesamteindruck	Bemerkungen
1911								
Sept. 23	+0.014	-0.456	-0.003		27	+12 ⁰	1.5	
24	+0.004	-0.490	+0.003		27	+12	2.5	
26	-0.025	-0.400	+0.018	$\frac{b+c}{2}$	9	+12	4-5	Unruhig und verwaschen. Gewicht $\frac{1}{2}$.
27	-0.003	-0.355	+0.010	$\frac{b}{2}$	4	+12	4	Durch dichte Wolken. Gewicht $\frac{1}{2}$.
Okt. 3	+0.065	-0.297	-0.015		42	+4	3-4	Oft durch Wolken.
4	+0.042	-0.313	-0.003		19	+4	4	Meist durch Wolken
5	+0.040	-0.286	0.000		39	+4	3.5	Mäßig ruhig.
6	+0.026	-0.320	+0.016		35	+4	4-4.5	Sehr unruhig u. verwaschen, von St. 26 ab ist das Uhrwerk gestört.
11	-0.059	-0.501	+0.015		52	+9.	1-2	Gut.
15	-0.020	-0.211	+0.008		15	0	4.5	Ruhig, aber fast alles durch Wolken.
17	-0.018	-0.345	-0.001		57	+2	3.5	Oft unruhig und verwaschen.
18	-0.036	-0.282	0.000		57	+2	3	Ungleichmäßig, oft plötzlich unruhig.
19	-0.037	-0.256	-0.002		56	+3	3	Oft zweifelhaft.
26	-0.207	-0.287	+0.002		37	+4	2	
Nov. 7	-0.088	-0.430	-0.004		14	+5	3	
8	-0.040	-0.409	-0.019		31	+2	3	
17	-0.232	-0.352	+0.020	$\frac{b+c}{2}$	20	+8	4	Meist durch Wolken, oft schwach.
25	-0.170	-0.316	0.001		14	0	4	Oft durch Wolken gestört.
1912								
Jan. 27	+0.092	+0.193	+0.018		21	-16	3.5-4	Verwachsen und unruhig, Uhrwerk geht mäßig.
28	+0.153	-0.175	0.000		9	-12	3-4	Nicht sehr sicher.
30	-0.040	-0.225	+0.012		21	-7	3	Verwachsen, sonst nicht schlecht.
Febr. 5	+0.010	-0.047	+0.008		28	-12	2.5	
6	0.000	-0.205	+0.020		27	-10	3	
9	-0.198	-0.224	+0.006		26	+1.	3	
10	-0.171	-0.200	+0.015		33	+1.	3.5	Abgebrochen wegen Bewölkung.
13	-0.025	+0.320	+0.013		27	-8	4	Chronograph versagt öfter, ab St. 26 Gewicht $\frac{1}{2}$.
21	-0.193	+0.424	+0.011		11	-6	4	Abgebrochen wegen Bewölkung, meist schwach.
29	-0.351	+0.343	+0.012		17	+1	3	Anfangs nicht klar.
März 3	-0.430	+0.512	+0.024		52	+7	3-4	Teilweise durch Wolken, oft schwach.
5	-0.125	+0.479	-0.007	$\frac{b+c}{2}$	6	+5	3	Kurze Aufklärung.
6	-0.157	+0.500	-0.010		5	+5	3	Kurze Aufklärung.
7	-0.146	+0.551	+0.017		28	+7	4	Mehrfach durch Wolken gestört, Chronograph funktioniert schlecht.
8	-0.118	+0.502	+0.007		38	+3	2	Einmal durch Wolken unterbrochen, sonst gut.
10	-0.074	+0.412	-0.001		40	+4	2	
20	-0.130	+0.270	0.000		20	+8	3	
22	-0.112	[+0.280]	0.000		5	+8	3	Abgebrochen wegen Wolken.
24	-0.105	+0.299	+0.008		14	+5	2	
28	-0.018	+0.225	-0.032		6	+5	2.5	
29	+0.030	+0.204	-0.033		5	+4	2.5	
Sept. 11	+0.057	-0.410	+0.034		9	+8	3.5	Nebelig.
12	+0.083	-0.296	+0.023		10	+9	2	Klar.
13	+0.072	-0.366	+0.017		10	+11.	3.5	Unruhig, nicht klar.
17	+0.143	-0.350	+0.008		10	+10	3.5	Kurze Aufklärung, verwaschen und unruhig.
20	+0.187	-0.385	+0.037		21	+6	3.5	Sehr klar, oft plötzlich unruhig, anfangs geht das Uhrwerk mäßig.
30	+0.045	-0.255	+0.033	$\frac{a+b}{2}$	42	+4	2.5	
Okt. 3	+0.007	0.000	+0.044	$\frac{a+b}{2}$	33	+1	3	Meist gut, am Schluß scheint es, Uhrwerk stockt einige Male, St. 13-18 ausschließen.
5	-0.020	-0.316	+0.045	$\frac{a+b}{2}$	52	+4	3	Anfangs durch Wolken gestört, am Schluß versagt das Uhrwerk.
6	-0.053	-0.205	+0.035	$\frac{a+b}{2}$	54	+2	2	
16	-0.142	[-0.200]	+0.093	$\frac{a+b}{2}$	11	+3	4	Einige Sterne durch Wolken.
22	-0.277	-0.245	+0.018	$\frac{a+b}{2}$	56	+8	3	
25	-0.179	-0.030	+0.030	$\frac{a+b}{2}$	40	-3	2	Kontakte bei rascher bewegten Sternen mangelhaft.
27	-0.142	-0.102	+0.025	$\frac{a+b}{2}$	26	-8	3.5-4	Verwachsen, Wolken stören oft.

Datum	i	k	$\frac{dw}{dt}$	Uhr	Anzahl	Temperatur	Gesamteindruck	Bemerkungen
1913								
Jan. 16	+0.032	+0.282	+0.022		6	— 8 ⁰	3.5	
28	—0.097	+0.852	—0.021		24	— 9	4—5	Verwaschen und unruhig.
29	—0.006	+0.294	—0.017		16	— 16	4.5	Sehr verwaschen und unruhig, am Schluß versagen bei — 17° Temperatur (Chronograph und Uhrwerk, ausgeschlossen).
30	+0.021	+0.197	—0.023		20	— 12	8	Ableseung der Streifen ganz unsicher, alles mit Gewicht $\frac{1}{2}$ von St. 15 ab ausgeschlossen.
Febr. 3	—0.272	+0.178	—0.010	b	6	— 1	1	Durch Wolken.
9	—0.387	+0.677	—0.026		18	+ 2	1	Meist durch Wolken gestört, am Schluß bedeckt.
10	—0.358	+0.624	—0.004		35	+ 2	2.5	
11	—0.355	+0.584	—0.005		14	+ 2	2.5—3	Gute Bilder, aber immer von Wolken bedroht.
12	—0.331	+0.502	—0.014		34	— 1	2.5	
14	—0.241	+0.431	—0.004		29	— 3	2.5	Abgebrochen wegen Wolken.
18	—0.220	+0.475	—0.009		56	— 5	3	
19	—0.175	+0.451	+0.011		7	— 3	3	Kurze Aufklärung.
21	—0.260	+0.486	—0.007		31	— 3	3	Mehrfach durch Wolken unterbrochen.
22	—0.251	+0.449	—0.001		49	— 2	3	Durch Wolken unterbrochen.
24	—0.316	+0.847	—0.014		19	+ 2	3.5—4	Stürmischer Wind erschüttert das Fernrohr, abgebr. weg. Bewölk.
25	—0.317	+0.402	+0.002		57	+ 1	3	Einige Male durch Wolken gestört.
26	—0.321	+0.328	+0.005		56	+ 2	3.5	Mäßig.
28	—0.217	+0.404	—0.003		32	— 2	3.5—4	Unsicher, Wolken stören, abgebrochen.
März 2	—0.168	+0.400	—0.008	b	11	— 6	3.5—4	Alles unsicher, verwaschen und unruhig.
5	—0.347	+0.331	+0.028		30	+ 4	3.5	Stürmischer Wind, Bilder unscharf und verwaschen.
6	—0.340	+0.417	+0.024		29	+ 5	3	Wolken stören öfters, abgebrochen.
7	—0.365	+0.401	—0.013		27	+ 4	3	Am Schluß stören Wolken, abgebrochen.
8	—0.255	+0.477	—0.011	b	5	+ 2	2	
9	—0.266	+0.396	+0.005		15	+ 2	3	Gegen Schluß Wolken, abgebrochen.
10	—0.198	+0.319	+0.002		9	+ 2	3.5	Bilder schlecht, stürmischer Wind.
15	—0.292	+0.322	—0.031		23	+ 4	3.5	Stürmischer Wind.
Sept. 13	+0.084	—0.310	—0.042	b	10	+ 12	3	
14	+0.086	—0.347	—0.044		16	+ 12	2.5	
15	+0.044	—0.432	—0.036		10	+ 12	3	Ruhige Bilder, aber mehr oder weniger durch Wolken.
16	+0.026	—0.481	—0.056		16	+ 12	4—3	
25	+0.038	—0.447	—0.062		29	+ 4	3.5	Nicht sehr ruhig.
26	+0.025	—0.435	—0.045		30	+ 5	4	Bilder sehr unruhig, auch unsicher durch ständ. Flackern d. Lampe.
27	+0.028	—0.582	—0.044		30	+ 5	3	
28	+0.009	—0.327	—0.040		35	+ 5	2	
29	—0.001	—0.412	—0.039		37	+ 7	1.5—2	
Okt. 1	0.000	—0.350	—0.046		17	+ 5	3.5	Alles nicht sehr sicher.
2	—0.001	—0.272	—0.048		45	+ 5	3	Anfangs unruhig, später besser.
6	+0.107	—0.075	—0.053		49	+ 1	2.5—4	Ruhig, von St. 25 an ist das Objektiv innen beschlagen und die Bilder sind verwaschen und oft schwach, von da ab Gewicht $\frac{1}{2}$, einige Gruppen mit anormaler Abweichung ausgeschlossen.
10	—0.002	—0.080	—0.039		20	+ 3	4—5	Alles recht unsicher, bis St. 15 Gewicht $\frac{1}{2}$, alles andere ausgeschl.
11	+0.010	—0.117	—0.030		50	+ 2	4—3	Anfangs und bis St. 25 Bilder verwaschen und oft durch Wolken gestört, später besser und klar.
13	+0.038	—0.050	—0.020		35	— 1	3.5	Meist verwaschen und unruhig.
15	+0.054	—0.197	—0.028		37	+ 4	3	
16	+0.043	—0.093	—0.027		20	+ 4	2	
20	—0.068	—0.044	—0.037		43	+ 5	1.5	
21	—0.050	+0.044	—0.048		36	+ 6	3	Stark verwaschen.
22	—0.070	—0.086	—0.046		37	+ 6	3.5—3	Beobachtungen zweifelhaft, unaufmerksam, später wohl besser.
27	—0.107	—0.047	—0.032		25	+ 6	2.5	Ruhige Bilder, stark neblig.
30	—0.205	+0.016	—0.037		31	+ 8	2.5	
Nov. 2	—0.193	+0.106	—0.038		14	+ 7	4	Oft durch Wolken gestört.
3	—0.175	+0.051	—0.032		25	+ 7	2	
5	—0.109	+0.080	—0.042		17	+ 4	3	Oft durch Wolken gestört.

Beobachtungen betreffende Bemerkungen meteorologischer oder instrumenteller Natur, vor allem auch solche über Gewichtsverminderung oder gänzlichen Ausschluß. Bemerkungen, welche sich lediglich auf einzelne Sterne beziehen, sind bei der Mitteilung der Beobachtung abgedruckt.

Es sei hier der häufigen Störungen durch die Witterungsverhältnisse gedacht, wie sie in der Kolumne „Bemerkungen“ der Tabelle II zum Ausdruck kommen; es bedeuten die bestehenden kli-

matischen Verhältnisse eine Kalamität, welcher eigentlich nur durch Verzicht aus dem Wege zu gehen ist. Gerade Parallaxenbestimmungen trifft der Übelstand besonders, weil sich die maximalen Koeffizienten der jährlichen Parallaxe für den einzelnen Stern auf kurze Zeit, innerhalb welcher er im Meridian erreichbar ist, zusammendrängen und hier eben die Beobachtung notwendigerweise in einem bestimmten Moment erfolgen muß. Es liegt in dieser Zwangslage, welche ein Wiederholen oder Verschieben der Beobachtung am selben Tage ausschließt, ein Mangel der Methode, welcher allerdings in günstigeren Klimaten weniger fühlbar ist und bei Anwendung eines Registriermikrometers nur unwesentlich durch den Umstand gemildert wird, daß man in der Regel mehr Kontakte zu beobachten pflegt, als beabsichtigt ist zur Bearbeitung heranzuziehen, womit sich unter Umständen die Möglichkeit des Ersatzes ausgeschlossener Revolutionen bietet. Ohne Zweifel würde ich bei Beobachtungen für einen andern Zweck, beispielsweise für einen Sternkatalog an manchen der hier verwendeten Tage überhaupt die Beobachtung nicht aufgenommen haben, ihre Fortführung bei steten Unterbrechungen und mehrfachem Schließen und Wiederöffnen der Dachklappen nur in Fällen, wo es galt, Lücken auszufüllen.

II. Reduktion der Beobachtungen.

§ 1. Die Instrumentalfehler.

Die Kenntnis genauerer Werte der Instrumentalkonstanten ist nur von einigem Interesse für die Einzelparallaxen mit größeren Deklinationsunterschieden zwischen Haupt- und Vergleichstern, während die Einwirkung auf die Gruppenmittel meist verschwindend wird und nur in einem Fall (8 Lyncis) 0.05 im Faktor für das variabelste Element erreicht.

Die Kollimation wurde durch mehrfaches Umlegen des Instruments auf die Mire etwa alle Monat einmal bestimmt und zwar nach Möglichkeit an kühlen und bedeckten Tagen, welche einige Gewähr für ruhiges Verhalten der Mire boten. Mit der Kollimationsfehlerbestimmung wurde in der Regel die Messung der Kontaktbreiten verbunden. Diese letzteren erwiesen sich nur anfangs in geringem Maße variabel, später blieben sie bei öfterer Reinigung der Trommel sehr konstant, so daß für die Jahre 1911—1913 mit einem Mittelwert gerechnet werden konnte. Im folgenden sind die angenommenen Kollimationswerte für die einzelnen Beobachtungsperioden als Mittel aus je 3—4 Bestimmungen zusammengestellt, der m. F. der Einzelbestimmung stellt sich etwa auf ± 0.005 ; unter c ist hier der Ausdruck: Kollimation + tägliche Aberration + Kontaktbreite zu verstehen, gültig für Klemme Ost und O.C.

Beobachtungs-Periode	c	Anzahl
I 1910 März	— 0.276	3
II September—November . .	— 0.248	3
III 1911 Januar—März	— 0.248	3
IV September—November . .	— 0.119	4
V 1912 Januar—März	— 0.115	4
VI September—November . .	— 0.099	3
VII 1913 Januar—März	— 0.099	4
VIII September—November . .	— 0.099	4

Wie schon früher hat sich die Kollimation als recht konstant erwiesen; die eine größere Änderung ist auf den Umstand zurückzuführen, daß sich gelegentlich einer Reparatur an den Gitterblenden die Objektivfassung löste. Der erforderliche Eingriff fand im Juli 1911 statt; eine Nachwirkung auf die im September begonnenen Beobachtungen ist also nicht zu befürchten.

Weit weniger befriedigend haben sich die Neigung (i) und das Azimut (k) des Instruments gehalten; die Mittelwerte dieser Größen für jeden Beobachtungstag finden sich in Tabelle II.

Die Neigung wurde in der Regel mittelst des Niveaus unter doppelter Umlegung vor und nach der Beobachtungsreihe bestimmt; nur bei kürzeren Reihen mußte eine Nivellierung genügen, während wenn, wenigstens annähernd, das ganze Sternprogramm beobachtet werden konnte, noch eine dritte Nivellierung in einer Beobachtungspause ($5^h 40^m$) hinzukam. Die Azimutwerte beruhen, je nachdem die ganze Reihe oder nur Teile davon beobachtet wurden, auf Beobachtungen der im Sternprogramm mit angeführten Polsterne Gr. 750 O. C., δ urs min. U. C. und 51 H. Cephei O. C., oder einzelner von ihnen in Verbindung mit Fundamentalsternen des Programms. Eingeklammerte Werte des Azimuts in der Tabelle II bedeuten, dass k entweder aus benachbarten Werten interpoliert oder durch Ausgleichung der Zeitsterne gewonnen wurde.

Was die Tageswerte von i und k betrifft, so ist es immer gelungen, mit einem für den Abend konstanten Mittelwerte des Azimuts zu einer befriedigenden Darstellung der Zeitsterne zu kommen, während für die Neigung an einigen Tagen die nachstehenden stündlichen Änderungen in Rechnung gezogen wurden; auf die Berücksichtigung geringerer Schwankungen der Neigung ist verzichtet worden.

1910	März	8	+	0.030 ($t-6.3$)
	"	11	+	0.015 ($t-6.4$)
	"	20	+	0.014 ($t-6.9$)
	"	23	+	0.040 ($t-7.0$)
1911	Februar	1	+	0.028 ($t-4.2$)
1912	März	3	+	0.032 ($t-5.8$)
1913	Februar	10	+	0.018 ($t-4.8$)
	"	12	+	0.032 ($t-6.7$)
	"	18	+	0.015 ($t-5.6$)
	"	21	+	0.010 ($t-5.7$)
	"	26	+	0.012 ($t-5.7$)

Für größere Sprünge in den Werten der Aufstellungsfehler sind in einigen Fällen direkte Gründe vorhanden; 1910 Mai 10 wurde die Neigung korrigiert, im selben Jahre sind Nov. 8 und Nov. 17 die Pfeiler, erst provisorisch, dann definitiv mit Holz bekleidet worden. Die Gesamtheit der bedeutenderen Schwankungen in den Azimutwerten finden mit nur einer Ausnahme ihre Erklärung in den Temperaturänderungen, resp. in dem Verhältnis der Temperaturlage, die vor dem Beobachtungstage zu der, welche an demselben geherrscht hat. Während stärkeres Fallen der Temperatur während der Beobachtungen ohne merkbaren Einfluß blieb, hatte eine niedrigere Temperaturlage stets ein positiveres Azimut zur Folge. Die oben erwähnte Ausnahme betrifft 1913 Febr. 9, wo der Sprung im Azimut jedenfalls nicht allein durch Temperaturänderungen erklärt werden kann. Am Tage vorher wurde das Instrument gründlich gereinigt und mehrfach umgelegt. Bei der Neigung läßt sich ein ähnlicher Zusammenhang mit der Gesamtwetterlage nicht nachweisen, hingegen spricht der Umstand, daß die oben angeführten stündlichen Abendänderungen stets das gleiche Vorzeichen tragen und andererseits die Einführung eines zeitlichen Gliedes der Neigung nur in den Wintermonaten nötig war, wo in den Abendstunden die Temperatur relativ größeres Gefälle hatte, für eine direkte Einwirkung der Saaltemperatur. In den Herbstmonaten, wo die Beobachtungen vor Sonnenaufgang stattfanden, also zu den Zeiten der Temperaturminima und damit auch zu den Zeiten geringster Temperaturänderung, hielt sich die Neigung bemerkenswert konstant.

Während also bei i die Momentantemperatur und ihre Änderung in der Hauptsache von Einfluß auf den Wert der Neigung ist, erscheint k im wesentlichen abhängig von der Nachwirkung der gesamten Temperaturlage, die sich erst langsamer den Pfeilern mitteilt.

§ 2. Der Uhgang.

Als Arbeitsuhr diente in der Regel die im Refraktorturm untergebrachte Uhr Tiede 375, nur in einem Falle (1913 Januar 16) trat die im Meridiansaal aufgestellte, mit Quecksilberkontakt versehene Uhr Tiede 50 an ihre Stelle. Die Arbeitsuhr wurde während der Beobachtungszeiten mehrfach mit der Hauptuhr der Sternwarte Riefler 49 automatisch verglichen. Abgesehen von einigen Tagen, an welchen die automatischen Vergleichen wegen Störungen ausfielen oder die Beobachtungszeit zu kurz war um Gewinn aus mehrfacher Vergleichung zu ziehen, mußte in zwei längeren Perioden 1910 März 10 — 27 und 1912 September 30 — Oktober 27 auf die Mitbeobachtung der Hauptuhr verzichtet werden. In ersterem Falle war die Übertragung der Signale, sowie der Gang der Hauptuhr selbst mangelhaft, im anderen Falle wurde die Uhr durch bauliche Veränderungen im Gang gestört und mußte abgenommen werden.

Neben den Fundamentalsternen, deren Parallaxen hier bestimmt werden sollen, wurde noch eine Anzahl im Beobachtungsprogramm angeführter anderer ständig mitbeobachtet. Es ist dann versucht worden, die ganzen über den Zeitraum von zirka $3\frac{1}{2}$ Stunden verstreuten Zeitsterne mit den früher genannten Polsternen in ein System zu bringen, um eine tunlichste Gleichmäßigkeit der Zeitführung zu gewährleisten. Dies war vor allem erforderlich für die Parallaxengruppen, welche annähernd in die Mitte der ganzen Reihe fallen. Für diese Gruppen kommen wegen des Tages- resp. Nachanbruchs in den Herbstmonaten hauptsächlich die Zeitsterne mit kleineren Rektascensionen, in den Frühjahrsmonaten dagegen die mit größeren Rektascensionen für die Berechnung des Uhranges in Betracht; so daß Fehler in den Örtern dieser Sterne innerhalb des Systems eventuell durch fehlerhaften Uhgang zu einer Parallaxenwirkung bei den einzelnen Paaren führen können, während ebenso wie die Instrumentalkonstanten der Uhgang für die ganzen Gruppen keine wesentliche Rolle spielt. Diese Ausgleichung der Zeitsterne ergab nur für c Persei eine nicht unbedeutende Korrektur des Jahrbuchortes, welche für die einzelnen Jahre die nachstehenden Beträge erreichten:

1911	— 0.053	± 0.003	22 Abende
1912	— 0.056	± 0.004	17 „
1913	— 0.060	± 0.004	20 „

Angewandt wurden provisorische Werte, welche sich nur um wenige Tausendstel von obigen Zahlen entfernen. Die für die andern Sterne abgeleiteten Korrekturen sind unbedeutend.

Die Stände und täglichen Gänge der Haupt- und der Arbeitsuhr wurden aus dem gesamten Beobachtungsmaterial abgeleitet, die Abendgänge dagegen nur aus dem genannten System von Zeitsternen. Es wurde alsdann gebildet:

1. Der stündliche Abendgang von Tiede 375 = a
2. $\frac{1}{24}$ des täglichen Ganges von Tiede 375 = b
3. Der stündliche Abendgang von Tiede 375
aus Vergleichen mit Riefler = c
4. Der stündliche Abendgang von Riefler . . = d
5. $\frac{1}{24}$ des täglichen Ganges von Riefler . . . = e

Die Gänge a und d sind durch Ausgleichung der Zeitsterne gewonnen worden; die automatischen Vergleichen von Tiede mit Riefler, aus denen die Gänge c auf Grund der Gänge e der Hauptuhr abgeleitet sind, fanden in zirka halbstündigen Intervallen statt. Die Gänge b erwiesen sich im

Ganzen als wenig befriedigend für die Darstellung der Zeitsterne, sie sind nur in solchen Fällen benutzt worden, wo die Signale der Hauptuhr fehlen und gleichzeitig eine Ausgleichung der Zeitsterne zur Gewinnung der Gänge a wegen der Kürze der Beobachtungsreihe oder Mangel an solchen Sternen keine Aussicht auf Erfolg versprach. In einigen andern Fällen sind, wenn sie hinreichend verbürgt erschienen, die Gänge a angewandt oder a und b , zu einem Mittelwert vereinigt, herangezogen worden. In allen übrigen Fällen habe ich den Gängen c , also den aus den automatischen Vergleichen der Arbeitsuhr mit der Hauptuhr hervorgegangenen Abendgängen den Vorzug gegeben. Bedingung für die Verwendbarkeit der Gänge c ist, daß sich die Werte „ $d-e$ “ der Null nähern, was in hinreichendem Maße der Fall war. Von Interesse ist noch die Vergleichung von c und a ; wenn sich dabei bedeutende Unterschiede gezeigt hätten, so wäre durch die Benutzung der Gänge c den Beobachtungen unter Umständen Gewalt angetan worden. Die Zusammenfassung der Werte „ $c-a$ “ für die einzelnen Perioden zeigt folgendes Bild:

	Frühjahr		Herbst	
	$c-a$	Anzahl	$c-a$	Anzahl
1910	- 0.0082	4	- 0.0082	6
1911	- 0.0052	25	- 0.0040	15
1912	- 0.0077	15	- 0.0040	2
1913	- 0.0066	17	- 0.0066	15
Mittel	- 0.0064	61	- 0.0057	38

Die Werte, welche aus durchschnittlichen Zeitintervallen von zirka 2 Stunden hervorgegangen, sind nicht ganz gering und von großer Gleichmäßigkeit; von besonderer Wichtigkeit ist, daß der Unterschied „Frühjahr minus Herbst“ praktisch Null wird, so daß eine Beeinflussung der relativen Parallaxen unwahrscheinlich ist. Naheliegend wäre zur Erklärung auf eine Tagesperiode im Gange von Riefler zu schließen, wenn dem durch die oben genannte Beziehung $d=e$ nicht widersprochen würde. Andererseits ist die Übereinstimmung der Einzelwerte obiger Aufstellung, deren m. F. meist größer als die absoluten Beträge sind, unter sich eine zu gute, als daß man den Mittelwert lediglich als Zufallsprodukt ansprechen könnte; eine Erklärung für die Erscheinung des Unterschiedes der beiden Gänge ist mir nicht geglückt; man geht aber vielleicht nicht fehl, sie in den instrumentellen Teilen zu suchen, welche die automatischen Vergleichen bewirken. Im Ganzen dürfte das vorliegende Material schon wegen der Beschränkung auf bestimmte Tages- und Jahreszeiten zur Untersuchung derartiger Erscheinungen nicht geeignet sein, es muß hier genügen festzustellen, daß eine Beeinflussung der Parallaxen durch sie nicht zu befürchten ist.

Die angewandten Uhrgänge findet man in Tabelle II, eine weitere Kolumne enthält dort die Bezeichnung des Ganges nach obiger Erörterung in allen den Fällen, in welchen nicht der Gang c benutzt worden ist.

§ 3. Die Eigenbewegungen.

Die Eigenbewegungen der beobachteten Sterne sind, soweit nicht schon brauchbare Werte vorlagen, in beiden Koordinaten neu bestimmt worden. Erscheint die Kenntnis der E. B. in Rektascension direkt erforderlich, um etwaige andere mit der Zeit fortschreitende Beeinflussungen der Beobachtungen aufzudecken, so ist auch eine genäherte Kenntnis der E. B. in Deklination von Wert, weil sich aus der Gesamteigenbewegung Schlüsse auf die Größen der Einzelparallaxen ziehen lassen. Ausgeschlossen von der Neubestimmung sind danach neben den Fundamentalsternen, für welche die E. B. dem B. J. für 1910 entnommen sind, noch weitere fünf, deren E. B. auf den nachstehend genannten Autoritäten beruhen.

Nr.	Bezeichnung bzw. Autor	Epoche	E. B.
8	4 Camelopardalis	1910	+ 0.0061
11	Küstner 55 ¹⁾	1890	+ 0.0112
17	α Aurigae	1910	+ 0.0085
20	Bm ₁ 302 ²⁾	1895	+ 0.0145
27	δ Aurigae	1910	+ 0.0100
33	Bm ₁ 363	1895	— 0.0004
37	Bm ₃ 166 ³⁾	1905	— 0.0020
40	8 Lyncis	1910	— 0.0283
47	Bm ₃ 176	1905	+ 0.0036
51	19 Lyncis	1910	— 0.0001

Für die übrigen 42 Sterne wurden Positionen aus allen zur Verfügung stehenden Katalogen aufgesucht und mit der Newcombschen Präcession unter Berücksichtigung der von der E. B. abhängigen Teile der Variatio saecularis, soweit erstere genähert bekannt waren, auf 1900 gebracht. Die Örter wurden in Fällen angebrachter E. B. auf ihre Epochen zurückgerechnet und mit Hilfe der Tafeln in Ergänzungs-Heft VII der A. N. auf das System des N. F. K. reduziert. Ohne hier der Raumersparnis wegen auf Einzelheiten einzugehen, sei nur allgemein bemerkt, daß bei der Reduktion der Katalog-örter alle Spezialkorrekturen berücksichtigt wurden; einige ältere Positionen sind wie üblich neu aus den Zonen gerechnet, genauere Epochen eventuell aus anderen Quellen entlehnt und überhaupt alle Hinweise und Sonderkorrekturen aus andern Untersuchungen über E. B. benutzt. Für die wenigen Fälle, wo die Reduktion auf den N. F. K. fehlt oder zweifelhaft wird, lohnte sich hier eine besondere Untersuchung nicht.

Dank einer liebenswürdigerweise gestatteten Einsicht in den Zettelkatalog der Geschichte des Fixsternhimmels konnte ich mich überzeugen, daß das von mir gesammelte Material von einigen kleineren Katalogen abgesehen, lückenlos ist. Auf diese wenigen Örter konnte um so eher verzichtet werden, als z. T. ihre Epochen und auch die Bewertungen nicht sicher bekannt und zudem nur solche Sterne betroffen sind, für die aus anderen Katalogen reiches Material vorhanden war. Im Übrigen reichte dieses Material nicht immer zur Ableitung eines sicheren Wertes der E. B. aus, trotzdem es sich hier nur um Sterne bis zu Größe 8.2 handelt.

Als neueste Örter kommen noch Königsberger Beobachtungen hinzu, und zwar habe ich, da nach dem früher über die Beobachtungsverhältnisse Gesagten nicht jeder Abend für Ortsbestimmungen geeignet schien, für die Gewinnung der Rektascensionen fünf günstige Abende aus den Parallaxenbeobachtungen des Jahres 1913 gewählt; die Deklinationen wurden in der Zeit minimaler Parallaxenfaktoren des Winters 1911/12 je 2—7mal beobachtet. Der Kreis ist in beiden Lagen stets an je acht Strichen abgelesen worden, die Lagenkorrektur erwies sich als unbedeutend, Teilfehler konnten nicht berücksichtigt werden. Die vorhandene Teilfehlertabelle trägt nicht zur Verbesserung der Darstellung bei.

Die Ausgleichungen der reduzierten Örter erfolgten nach den Auwers'schen Gewichtstabellen; für die Königsberger Beobachtungen ergaben sich unter Berücksichtigung der m. F. einer Ortsbestimmung, nämlich

$$\text{in Rektascension } \pm 0.0142 \text{ sec } \delta$$

$$\text{in Deklination } \pm 0.365$$

die relativen Gewichte 7.2 bzw. 1.2. Ich bin jedoch bei der Bewertung weit unter diesen Verhältniszahlen geblieben, um nicht den Königsberger Beobachtungen ein allzugroßes Übergewicht zu geben.

¹⁾ Veröffentlichungen der Kgl. Sternwarte zu Bonn, Nr. 2.

²⁾ Beobachtungsergebnisse der Kgl. Sternwarte zu Berlin, Heft Nr. 8.

³⁾ Beobachtungsergebnisse der Kgl. Sternwarte zu Berlin, Heft Nr. 12.

Es ist nach Multiplikation sämtlicher Gewichte mit 10 das Mittel aus 4—5 meiner Rektascensionsbestimmungen mit 64 bewertet worden, ähnlich sind in Deklination die Gewichte für 5—7 Beobachtungen mit 25, bei weniger Beobachtungen entsprechend geringer angesetzt. In einem Falle der mangelhaften Übereinstimmung der Lagenmittel (Stern 25) wurde das Gewicht noch besonders vermindert.

An die durch Ausgleichung erhaltenen E. B. ist schließlich noch nach Auwers A. N. Nr. 4200 die Korrektur $+\frac{1}{114}$ Korr. Br. angebracht, während die auf die Epoche 1900.0 gebrachten Örter in den letzten Kolumnen der folgenden Tabelle mit den unkorrigierten Werten gerechnet worden sind. Zur Ableitung wahrscheinlichster Positionen wäre füglich noch an den für die Mittelepoche T erhaltenen Ort die Korrektur $+\frac{T-1867}{114}$ Korr. Br. anzubringen.

Unter den hier vermutlich erstmalig berechneten Eigenbewegungen befindet sich eine ziemlich große, welche allerdings noch unsicher bestimmt ist, deren Reellität aber durch die später folgenden Ausgleichungen der Rektascensionsdifferenzen bestätigt wird; es handelt sich um Stern 24 mit einer E. B. von $+0.0252$. Sonst fanden sich noch für vier Sterne (28, 35, 41, 42) die E. B. in Deklination etwas über 0.1 groß.

Tabelle III.

Nr. 1. BD + 46° 882

Nr.	Katalog	Aequ.	Epoche	Beob.	Korr.	α 1900.0	Gew.	Epoche	Beob.	Korr.	δ 1900.0	Gew.	Epoche	1900
1	AZ 4785	1842	1842.0	1	$+0.02$	$4^{\text{h}} 18^{\text{m}} 35.76^{\text{s}}$	1	1842.0	1	$+0.2$	$+46^{\circ} 49' 43.3''$	0.5	35.66	41.4
2	RC 1216	45	51.7	3	-0.01	65	4	52.0	4	-0.4	42.1	3	57	40.5
3	Bo 3601	75	75.3	3	-0.08	60	4	75.3	3	$+0.3$	41.7	3	56	40.9
4	Kam ₂ 1323	80	84.0	2	0	56	2	84.0	2	0	42.3	2	53	41.8
5	Pu ₂₅ 1105	85	83.1	2	$+0.03$	56	7	83.1	2	$+0.1$	42.1	7	53	41.5
6	Königsberg 1	1912	1913.74	5	0	538	64	1912.0	5	0	40.65	25	560	41.05

$$\mu_{\alpha} - 0.0028 \pm 0.0006$$

$$\mu_{\delta} - 0.081 \pm 0.011$$

Nr. 2. BD + 46° 884

Nr.	Katalog	Aequ.	Epoche	Beob.	Korr.	α 1900.0	Gew.	Epoche	Beob.	Korr.	δ 1900.0	Gew.	Epoche	1900
1	HC 8248	1800	1798.1	1	$+0.24$	$4^{\text{h}} 20^{\text{m}} 6.17^{\text{s}}$	0.2	1798.1	1	-0.1	$+46^{\circ} 38' 36.4''$	0.2	6.96	2.6
2	AZ 4806	42	1842.1	2	$+0.02$.53	1	1842.1	2	$+0.2$	23.4	0.7	98	4.2
3	RC 1225	45	51.3	3	-0.01	.55	3	52.5	5	-0.4	19.4	4	93	3.6
4	Arm ₂ 545	75	69.45	5	$+0.08$.67	5	67.88	6	$+0.2$	13.7	6	91	3.0
5	Par ₂ 5108	75	81.0	1	$+0.03$.75	2	81.0	1	-0.2	10.1	2	90	3.8
6	Bo 3618	75	81.5	4	-0.07	.67	5	81.5	4	$+0.3$	10.2	4	81	4.1
7	Kam ₂ 1332	82	82.7	2	$+0.03$.93	2	82.7	2	$+0.1$	9.3	2	7.06	3.6
8	Pu ₂₅ 1114	85	87.2	1	$+0.03$.76	4	87.2	1	$+0.1$	8.4	4	6.86	4.2
9	Ci ₁ 487	90	90.5	4	0	.82	5	90.5	4	-0.2	6.3	4	89	3.2
10	Mü ₂₀ 312	1900	87.2	10	0	.86	50	97.2	10	0	5.6	23	96	4.7
11	Königsberg 2	12	1913.74	5	0	7.038	64	1912.0	4	0	0.12	20	931	4.10

$$\mu_{\alpha} + 0.0067 \pm 0.0005$$

$$\mu_{\delta} - 0.380 \pm 0.016$$

Nr. 3. BD + 46° 889

Nr.	Katalog	Aequ.	Epoche	Beob.	Korr.	α 1900.0	Gew.	Epoche	Beob.	Korr.	δ 1900.0	Gew.	Epoche	1900
1	AZ 4851	1842	1842.0	1	$+0.02$	$4^{\text{h}} 22^{\text{m}} 39.97^{\text{s}}$	1	1842.0	1	$+0.2$	$+46^{\circ} 13' 4.4''$	0.5	39.99	3.5
2	Bo VI 889	55	65.5	2	$+0.01$	97	3	65.5	2	-0.3	4.9	3	98	4.4
3	Bo 3643	75	80.4	3	-0.08	91	4	80.4	3	$+0.3$	4.4	3	92	4.1
4	Königsberg 3	1912	1913.74	5	0	962	64	1912.0	5	0	3.97	25	96	4.15

$$\mu_{\alpha} - 0.0006 \pm 0.0004$$

$$\mu_{\delta} - 0.018 \pm 0.002$$

Nr. 4. BD + 41°920

Nr.	Katalog	Aequ.	Epoche	Beob.	Korr.	α 1900.0	Gew.	Epoche	Beob.	Korr.	δ 1900.0	Gew.	Epoche	1900
1	HC 8630	1800	1791.7	1	+0.21	^h 31 ^m 6.83	0.2	1791.7	1	-0.3	+41° 54' 62.4"	0.2	7.17	55.9
2	Gr 851	10	1812.0	5	-0.09	6.60	3	1812.0	5	+0.3	63.4	3	04	58.1
3	Rob 982	40						51.2	5	-0.5	59.3	3		56.4
4	RC 1274	45	48.0	3	-0.02	7.00	3	48.1	5	-0.5	61.6	4	26	58.5
5	Par ₂ 5278	60	68.0	1	+0.02	6.91	1	68.0	1	+0.2	60.4	1	07	58.5
6	Qu 1764	65	71.7	3	+0.02	7.06	7	69.2	4	+0.1	61.2	8	20	59.4
7	Bo 3740	75	75.0	2	-0.07	7.07	3	75.0	2	+0.3	61.4	2	19	59.9
8	Rbg 1042	75	78.4	4	-0.02	7.15	26	78.4	4	+0.2	59.0	14	26	57.7
9	Par ₂ 5278	75	79.0	1	+0.02	7.11	2	79.0	1	-0.2	59.4	2	22	58.1
10	II 10 y 1420	90	93.1	8	+0.04	7.21	17	93.1	3	0	59.5	9	24	59.1
11	Bo ₀₀ 1987	1900	99.0	2	0	7.17	24	99.0	2	0	58.1	17	18	58.0
12	Königsberg 4	12	1913.74	4	0	7.258	64	1912.0	6	0	57.46	25	189	58.18

$$\mu_{\alpha} + 0.0026 \pm 0.0007$$

$$\mu_{\delta} - 0.048 \pm 0.004$$

Nr. 5. BD + 41°931

Nr.	Katalog	Aequ.	Epoche	Beob.	Korr.	α 1900.0	Gew.	Epoche	Beob.	Korr.	δ 1900.0	Gew.	Epoche	1900
1	HC 8735	1800	1791.7	1	+0.21	^h 34 ^m 25.99	0.2	1791.7	1	-0.3	+41° 56' 54.7"	0.2	31.27	8.7
2	Gr 864	10	1812.0	5	-0.09	26.99	3	1812.0	5	+0.3	44.5	3	28	7.1
3	BZ 676,7	25	32.1	2	0	27.73	0.5	32.1	2	+2.3	36.4	0.5	04	7.5
4	RC 1287	45	48.0	3	-0.02	28.87	3	45.7	3	-0.5	29.5	2	41	6.4
5	Pu 0 M 417	55	61.8	1	0	29.58	2	61.8	1	+0.3	22.0	2	44	5.8
6	Bo VI 931	55	62.6	4	+0.01	29.68	5	62.6	4	-0.3	22.0	5	51	6.1
7	Par ₂ 5332	60	68.0	1	+0.03	29.88	1	68.0	1	+0.2	18.8	1	44	5.2
8	Ya 2028	60	72.8	4	+0.01	30.14	7	72.8	2	0	18.2	2	47	6.6
9	Q 1793	65	73.3	4	+0.02	30.05	9	69.0	4	+0.1	18.5	8	35	5.3
10	Par ₂ 5332	75	72.8	4	+0.02	30.07	8	72.8	4	-0.2	17.5	6	40	5.9
11	Rbg 1058	75	75.6	4	-0.02	30.13	20	75.6	4	+0.2	16.0	14	32	5.6
12	Bo 3772	75	81.7	6	-0.08	30.43	7	81.7	6	+0.3	13.7	6	32	5.9
13	Wa ₂ 958	75	86.0	4	-0.03	30.72	11	86.0	5	+0.1	12.9	6	40	6.9
14	Pu ₈₈ 1168	85	87.0	2	+0.02	30.67	7	87.0	2	+0.2	12.6	7	30	7.1
15	Ci 504	90	90.3	3	0	30.88	4	90.3	3	0	9.9	4	35	5.8
16	Du VII 172	90	88.6	3	0	30.80	5	88.6	3	0	13.0	3	36	8.2
17	II 10 y 1439	90	93.6	5	+0.04	31.07	26	93.6	5	0	8.8	12	38	6.1
18	Bo ₀₀ 2017	1900	99.0	2	0	31.27	24	99.0	2	0	6.5	17	32	6.1
19	Du VIII 177	00	97.1	4	0	31.23	12	97.1	4	0	7.5	6	37	6.3
20	Königsberg 5	12	1913.74	5	0	32.039	64	1912.0	4	0	1.06	20	369	6.16

$$\mu_{\alpha} + 0.0474 \pm 0.0006$$

$$\mu_{\delta} - 0.415 \pm 0.006$$

Nr. 6. BD + 42°1033

Nr.	Katalog	Aequ.	Epoche	Beob.	Korr.	α 1900.0	Gew.	Epoche	Beob.	Korr.	δ 1900.0	Gew.	Epoche	1900
1	HC 8806	1800	1791.7	1	+0.21	^h 37 ^m 1.46	0.2	1791.7	1	-0.3	+42° 13' 48.5"	0.2	1.46	46.7
2	BZ 730	25	1832.1	1	0	0.96	0.3	1832.1	1	+2.2	46.5	0.3	0.96	45.3
3	Str PM 464	30	35.1	2	0	1.14	3	35.1	2	-0.2	47.9	3	1.14	46.8
4	RC 1298	45	49.5	4	-0.02	1.26	5	48.3	4	-0.5	48.4	3	1.26	47.5
5	Bo 3794	75	71.1	2	-0.08	1.26	3	71.1	2	+0.3	46.5	2	1.26	46.0
6	Arm ₂ 579	75	72.2	5	+0.09	1.15	5	72.2	5	+0.1	47.2	5	1.15	46.7
7	Par ₂ 5375	75	81.0	3	+0.02	1.35	6	81.0	4	-0.2	47.5	6	1.35	47.2
8	Königsberg 6	1912	1913.74	5	0	1.238	64	1912.0	5	0	46.61	25	1.238	46.81

$$\mu_{\alpha} - 0.0014 \pm 0.0005$$

$$\mu_{\delta} - 0.007 \pm 0.002$$

Nr. 7. BD + 56° 969

Nr.	Katalog	Aequ.	Epoche	Beob.	Korr.	α 1900.0	Gew.	Epoche	Beob.	Korr.	δ 1900.0	Gew.	Epoche	1900
1	HC 8787	1790	1790.8	1	+0.34	^h 4 ^m 37 ^s 33.56	0.2	1790.8	1	+0.1	+56° 0' 37.7	0.2	94.26	32.6
2	AZ 5083	1842	1842.1	1	+0.02	18	1	1842.1	1	+0.2	27.9	0.5	33.55	25.2
3	Hels 3724	75	70.1	2	-0.07	31	4	70.1	2	0	32.6	3	50	31.2
4	Par ₂ 5377	75	82.0	1	+0.04	25	2	82.0	1	-0.1	29.3	2	37	28.5
5	Königsberg 7	1912	1913.74	5	0	609	64	1912.0	5	0	28.84	25	521	29.40

$$\mu_{\alpha} + 0.0058 \pm 0.0017$$

$$\mu_{\delta} - 0.049 \pm 0.024$$

Nr. 9. BD 56° 976

1	Gr 879	1810	1813.1	3	-0.05	^h 4 ^m 42 ^s 29.24	2	1813.1	3	0	+56° 21' 20.0	2	29.30	17.4
2	AZ 5174	42	42.1	1	+0.02	41	1	42.1	1	+0.2	22.8	0.3	45	21.1
3	Par ₁ 5475	45	41.1	1	+0.05	28.91	0						28.95	
4	RC 1314	45	45.2	4	0	29.31	6	47.7	6	+0.2	20.5	4	29.35	18.9
5	Hels 3767	75	70.6	2	-0.06	26	4	70.6	2	0	20.1	3	28	19.2
6	II 10 y 1474	90	94.4	7	+0.04	38	34	94.5	7	-0.1	19.0	14	88	18.8
7	Königsberg 9	1912	1913.74	4	0	364	64	1912.0	6	0	18.20	25	354	18.56

$$\mu_{\alpha} + 0.0001 \pm 0.0004$$

$$\mu_{\delta} - 0.081 \pm 0.007$$

Die Position von Par₁ 5475 ist wegen starker Abweichung ausgeschlossen.

Nr. 10. BD + 65° 439

1	HC 9033	1790	1790.9	1	+0.37	^h 4 ^m 47 ^s 47.55	0.2	1790.9	1	+0.3	+65° 7' 7.3	0.2	47.73	59.0
2	AZ 5250	1842	1842.1	1	+0.02	05	1	1842.1	1	+0.3	9.6	0.3	15	5.2
3	Arm ₂ 602	75						60.07	2	-0.3	6.5	3		3.5
4	Chri 795	75	72.7	3	0	26	11	72.7	3	-0.1	5.1	1	31	3.0
5	Hels 3799	75	81.7	6	-0.06	23	8	81.7	6	0	5.8	6	26	4.4
6	II 9 y 8588	1900	1901.4	5	0	29	26	1901.1	5	0	4.8	12	29	4.9
7	Königsberg 10	12	13.74	5	0	307	64	12.0	5	0	2.89	25	284	3.80

$$\mu_{\alpha} + 0.0011 \pm 0.0002$$

$$\mu_{\delta} - 0.079 \pm 0.018$$

Nr. 12. BD + 68° 361

1	HC 9241	1790	1790.9	1	+0.37	^h 4 ^m 55 ^s 24.49	0.2	1790.9	1	+0.3	+68° 49' 56.0	0.2	24.49	51.6
2	Gr 904	1810	1813.1	3	-0.01	46	2	1813.1	3	0	51.8	2	46	48.3
3	RC 1365	45	47.5	2	-0.02	17	5	46.6	4	+0.6	51.7	8	17	49.6
4	Chri 817	75	77.3	4	0	03	13	77.3	4	-0.1	52.4	2	03	51.5
5	II 10 y 1532	90	94.99	5	+0.03	13	26	94.84	5	-0.1	50.7	12	13	50.5
6	II 9 y 6376	1900	1898.9	5	0	09	25	1900.1	7	0	50.6	14	09	50.6
7	Königsberg 12	12	1913.74	5	0	163	64	12.0	4	0	48.80	20	163	49.28

$$\mu_{\alpha} - 0.0004 \pm 0.0021$$

$$\mu - 0.048 \pm 0.021$$

Nr. 13. BD + 44°1091

Nr.	Katalog	Aequ.	Epoche	Beob.	Korr.	α 1900.0	Gew.	Epoche	Beob.	Korr.	δ 1900.0	Gew.	Epoche	1900
1	HC 9483	1800	1795.1	1	+0.23	^s 59 ^m 21.15	0.2	1795.1	1	-0.2	+ 44° 35' 52.6"	0.2	20.99	47.3
2	Ya 2203	80	1858.0	3	0	66	6	1875.1	2	+0.1	44.2	2	21.60	42.9
3	WPal 567	75	47.1	2	+0.02	49	1	47.1	2	+0.2	44.4	1	41	41.7
4	Par ₃ 5837	75	71.5	2	+0.02	57	4	71.5	2	-0.1	43.8	3	58	42.3
5	Bo 4118	75	79.1	2	-0.07	60	3	79.1	2	+0.3	43.0	2	57	41.9
6	Königsberg 13	1912	1913.74	5	0	521	64	1912.0	4	0	41.87	20	542	42.48

$$\mu_{\alpha} - 0.0028 \pm 0.0010$$

$$\mu_{\delta} - 0.045 \pm 0.002$$

Nr. 14. BD + 46°970

1	HC 9607	1800	1792.1	1	+0.25	^s 5 ^m 15.64	0.2	1792.1	1	-0.1	+ 46° 50' 35.5"	0.2	16.23	18.2
2	Pi IV 294	00	1803:	16	+0.25	49	1	1803:	14	-0.1	34.8	1	02	19.3
3	Gr 932	10	12.5	7	-0.08	52	4	12.5	7	0	32.8	3	00	18.8
4	Tay D 1816	85	34.9	6	+0.02	71	3	34.3	4	+0.5	27.7	1	07	17.2
5	Ed 699	40	43.0	3	-0.05	76	1	43.0	3	0	28.9	1	07	19.8
6	Rob 1114	40	42.1	5	+0.02	74	3	42.1	5	-0.5	28.2	3	06	18.9
7	AZ 5561.2	42	42.1	2	+0.02	76	1.5	42.1	2	+0.3	27.6	0.7	08	18.3
8	Par ₁ 5920	45						41.0	1	+0.2	26.4	1		17.0
9	RC 1412	45	49.2	9	-0.02	68	9	47.1	4	-0.4	25.8	3	15.96	17.3
10	Pu OM 460	55	44.9	1	0	64	2	44.9	1	+0.1	26.7	2	94	17.9
11	Ya 2224	60	65.0	2	-0.01	89	4	54.2	2	+0.1	25.4	2	16.08	18.1
12	Par ₃ 5920	60	67.1	2	+0.02	56	2	67.1	2	+0.2	24.3	3	15.74	19.0
13	Qu 1980	65	64.1	2	0	81	5	71.0	2	+0.1	24.3	5	16.01	19.7
14	Wa ₃ 1054	75	67.8	3	-0.04	93	8	67.8	3	+0.2	22.7	4	11	17.5
15	Par ₃ 5920	75	69.1	2	+0.02	83	4	69.1	2	-0.1	22.0	3	00	17.1
16	Bo 4168	75	75.1	2	-0.06	88	3	75.1	2	+0.4	22.4	2	02	18.4
17	Re I 322	75						76.0	20	+0.2	23.0	10		19.2
18	10 y 838	80	86.0	2	+0.03	99	10	86.0	3	+0.2	20.5	7	07	18.3
19	Pu ₃₃ 1255	85	87.1	2	+0.03	95	7	87.1	2	+0.1	21.3	7	02	19.2
20	LG 544	90	88.0	6	-0.02	16.08	9						15	
21	Ci ₁ 556	90	90.1	3	0	03	4	90.1	3	-0.1	19.8	4	08	18.2
22	II 10 y 1572	90	94.2	4	+0.05	15.94	22	94.2	4	0	20.0	11	15.97	19.1
23	Mü ₀₀ 358	1900	97.5	14	0	16.04	65	97.4	16	-0.4	19.3	28	16.05	18.9
24	Pu ₀₀ 239	00	99.0					99.0	12	0	19.1	30		18.9
25	Ci ₃ 947	00	1901.3	4	0	16.06	6	1901.3	3	0	18.2	4	05	18.4
26	Königsberg 14	12	13.74	5	0	16.085	64	12.0	4	0	15.96	20	009	17.88

$$\mu_{\alpha} + 0.0042 \pm 0.0005$$

$$\mu_{\delta} + 0.156 \pm 0.007$$

Nr. 15. BD + 46°972

1	HC 9637	1800	1792.1	1	+0.25	^s 5 ^m 16.25	0.2	1792.1	1	-0.1	+ 46° 48' 58.4"	0.2	16.18	57.2
2	Pi IV 301	00	1803:	4	+0.25	04	0.4	1803:	5	-0.1	60.8	0.7	15.98	59.7
3	Gr 934	10	12.7	3	-0.08	15.64	2	12.7	3	0	60.3	2	59	59.3
4	Tay D 1831	35	36.3	3	+0.02	16.16	2	36.5	4	+0.5	60.7	1	16.12	60.0
5	AZ 5573.4	42	42.1	2	+0.02	15.95	1.5	42.1	2	+0.3	61.3	0.7	15.92	0.7
6	BC 1414	45	47.1	4	-0.02	85	5	44.7	3	-0.4	61.5	2	82	0.9
7	Qu 1989	65	70.7	3	0	80	7	71.0	2	+0.1	62.1	5	78	1.8
8	Bo 4185	75	75.1	2	-0.08	83	3	75.1	2	+0.3	61.7	2	82	1.4
9	Par ₃ 5946	75	81.0	2	+0.02	79	4	81.0	3	-0.1	61.6	4	78	1.4
10	10 y 844	80	83.5	1	+0.01	80	5						79	
11	II 10 y 1577	90	92.5	4	+0.05	79	22	92.5	4	0	61.1	11	79	1.0
12	Ci ₃ 951	1900	1900.1	3	0	91	6	1900.1	3	0	60.9	4	91	0.9
13	Königsberg 15	12	13.74	5	0	813	64	12.0	5	0	60.22	25	821	0.35

$$\mu_{\alpha} - 0.0018 \pm 0.0008$$

$$\mu_{\delta} - 0.008 \pm 0.012$$

Nr. 16. BD + 46° 979

Nr	Katalog	Aequ.	Epoche	Beob.	Korr.	α 1900.0	Gew.	Epoche	Beob.	Korr.	δ 1900.0	Gew.	Epoche	1900
1	HC 9717	1800	1792.1	1	+0.25	5 6 22.79	0.2	1792.1	1	-0.1	+ 46° 51' 25.0	0.2	22.58	23.4
2	Gr 939	10	1813.0	4	-0.08	64	2	1813.0	4	0	21.6	2	47	23.3
3	AZ 5605,7	42	42.1	2	+0.02	83	1.5	42.1	2	+0.3	20.6	0.7	72	19.7
4	RC 1423	45	48.3	4	-0.02	83	5	45.1	3	-0.4	23.1	2	73	22.3
5	Qu 2000	65	66.1	3	0	73	7	71.0	2	+0.1	23.9	5	67	23.5
6	Rbg 1168	75	75.1	4	-0.02	79	18	75.1	4	+0.1	23.1	14	74	22.7
7	Bo 4232	75	80.4	3	-0.08	72	4	80.4	3	+0.3	22.8	3	68	22.5
8	Par ₂ 5993	75	81.1	2	+0.02	72	4	81.1	2	-0.1	21.8	3	68	21.5
9	II 10 y 1584	90	91.3	4	+0.05	68	22	91.8	4	0	23.1	11	66	23.0
10	Königsberg 16	1912	1913.74	5	0	654	64	1912.0	4	0	22.46	20	680	22.64

$$\mu_{\alpha} - 0.0081 \pm 0.0009$$

$$\mu_{\delta} - 0.012 \pm 0.007$$

Nr. 18. BD + 44° 1170

Nr	Katalog	Aequ.	Epoche	Beob.	Korr.	α 1900.0	Gew.	Epoche	Beob.	Korr.	δ 1900.0	Gew.	Epoche	1900
1	HC 9851	1800	1795.1	1	+0.23	5 12 46.70	0.2	1795.1	1	-0.2	+ 44° 19' 20.3	0.2	46.64	17.0
2	Gr 955	10	1812.1	5	-0.09	57	3	1812.1	5	+0.1	14.9	3	52	12.2
3	RC 1447	45	47.1	3	-0.02	65	4	47.1	4	-0.5	15.9	3	62	14.3
4	Par ₂ 6078	60	67.1	1	+0.02	47	1	67.1	1	+0.2	13.0	2	45	12.0
5	Par ₂ 6078	75	82.0	1	+0.02	73	2	82.0	1	-0.1	15.1	2	72	14.5
6	Bo 4342	75	75.1	2	-0.07	59	3	75.1	2	+0.3	14.0	2	58	13.2
7	II 10 y 1618	90	91.6	4	+0.05	67	22	91.1	3	0	14.0	9	66	13.7
8	Königsberg 18	1912	1913.74	5	0	583	64	1912.0	4	0	12.65	20	591	13.02

$$\mu_{\alpha} - 0.0020 \pm 0.0010$$

$$\mu_{\delta} - 0.026 \pm 0.010$$

Nr. 19. BD + 60° 884

Nr	Katalog	Aequ.	Epoche	Beob.	Korr.	α 1900.0	Gew.	Epoche	Beob.	Korr.	δ 1900.0	Gew.	Epoche	1900
1	HC 10067	1790	1791.0	1	+0.37	5 20 53.27	0.2	1791.0	1	+0.2	+ 60° 11' 7.4	0.2	53.46	3.7
2	RC 1465	1845	1849.4	3	-0.02	08	6	1848.6	4	+0.3	6.9	3	17	5.2
3	Hels 4045	75	75.2	2	-0.05	52.97	4	75.2	2	0	7.8	3	01	7.0
4	Königsberg 19	1912	1913.74	5	0	58.162	64	1912.0	5	0	5.20	25	139	5.61

$$\mu_{\alpha} + 0.0011 \pm 0.0012$$

$$\mu_{\delta} - 0.085 \pm 0.015$$

Nr. 21. BD + 54° 914

Nr	Katalog	Aequ.	Epoche	Beob.	Korr.	α 1900.0	Gew.	Epoche	Beob.	Korr.	δ 1900.0	Gew.	Epoche	1900
1	Fed 766	1790	1790.1	1	+0.13	5 28 22.07	0	1790.1	1	-0.4	+ 54° 21' 40.9	0.2	21.88	39.9
2	Pi V 117	1800	1803:	4	+0.32	23.15	0.4	1803:	6	+0.1	44.7	0.8	22.99	43.8
3	Gr 984	10	12.1	6	-0.07	22.45	3	12.1	6	0	43.9	3	30	43.1
4	Tay D 2011	35	38.6	7	+0.07	98	4	38.5	8	+0.5	44.5	2	88	43.9
5	Rob 1215	40	46.5	5	+0.01	94	3	53.0	5	-0.2	43.7	3	85	43.3
6	AZ 5973	42	42.9	1	+0.02	64	1	42.9	1	+0.3	41.6	0.5	54	41.1
7	RC 1503	45	43.8	3	-0.02	78	5	45.6	4	+0.1	43.8	3	68	43.1
8	Pu OM 500	55	44.9	1	-0.00	86	2	44.9	1	0	44.0	2	77	43.5
9	Cbr M 2286	75	75.6	6	-0.02	74	8	75.6	6	-0.1	44.6	5	70	44.4
10	Wa ₂ 1133	75	90.0	4	-0.05	73	11	90.0	4	+0.1	44.1	5	71	44.0
11	10 y 922	80	85.6	4	+0.02	75	18	85.6	4	+0.8	43.9	9	73	43.8
12	Pu ₈₅ 1336	85	87.2	2	+0.03	74	7	87.2	2	0	47.2	7	72	47.1
13	II 10 y 1697	90	94.8	6	+0.05	71	30	95.1	6	-0.1	43.6	13	70	43.6
14	Mu _{on} 388	1900	97.5	16	+0.01	69	70	97.5	16	0	44.4	28	69	44.4
15	Ci ₂ 1037	00	1900.1	3	0	75	6	1900.1	3	0	44.0	4	75	44.0
16	Königsberg 21	12	13.74	5	0	660	64	12.0	4	0	42.77	20	683	42.88

$$\mu_{\alpha} - 0.0024 \pm 0.0018$$

$$\mu_{\delta} - 0.008 \pm 0.017$$

Die Rektascension von Fedorenko ist wegen grober Abweichung ausgeschlossen.

Nr. 22. BD + 51°1094

Nr.	Katalog	Aequ.	Ep. che	Beob.	Korr.	α 1900.0	Gew.	Epoche	Beob.	Korr.	δ 1900.0	Gew.	Epoche	1900
1	Fed 771	1790	1790.1	1	+0.11	$5^h 30^m 30.56^s$	0.2	1790.1	1	-0.5	$+ 51^0 22' 41.7''$	0.2	23.90	51.5
2	Gr 990	1810	1811.1	4	-0.08	29.13	2	1811.1	4	0	40.0	2	74	47.9
3	AZ 6006,7	42	42.5	2	+0.02	27.79	1.5	42.5	2	+0.3	42.9	0.7	24.31	48.0
4	RC 1513	45	44.7	3	-0.02	27.29	4	46.8	4	-0.1	45.0	3	23.94	49.7
5	PuOM 504	55	62.9	1	0	26.11	2	62.9	1	+0.1	46.6	2	89	49.9
6	Bo VI 1094	55	62.6	5	+0.01	26.23	6	62.6	5	-0.1	46.9	6	96	50.2
7	Ya 2369	60	71.1	2	-0.04	25.67	4	73.4	3	+0.1	45.9	3	92	48.3
8	Qu 2170	65	71.0	3	-0.02	25.71	7	70.1	1	+0.2	47.7	3	95	50.4
9	WPal 626	75	58.5	1	+0.00	27.20	0.5	58.5	1	+0.1	41.6	1	24.69	45.3
10	Chr M 2241	75	72.1	2	-0.09	25.66	6	72.1	2	0	47.1	2	23.97	49.6
11	Rbg 1268	75	78.4	4	-0.01	25.36	19	78.4	4	0	47.0	14	24.05	48.9
12	10 y 932	80	86.5	2	+0.01	24.92	10	86.5	2	+0.9	49.7	5	10	50.9
13	Wa ₂ 1142	75	86.7	5	-0.05	24.89	14	86.7	5	+0.1	48.0	6	08	49.2
14	Pu _{ss} 1342	85	87.2	2	+0.03	24.79	7	87.2	2	+0.1	49.1	7	01	50.2
15	Du VII 185	90	86.0	1	0	24.70	3	86.0	1	0	47.5	2	23.85	48.7
16	Ci ₁ 590	90	90.6	4	+0.02	24.55	5	90.6	4	-0.2	49.8	4	98	50.6
17	II 10 y 1709	90	96.1	4	+0.05	24.28	22	96.2	4	-0.1	50.0	11	24.04	50.3
18	Du VIII 204	1900	97.2	3	0	24.12	10	97.2	3	0	49.9	5	23.95	50.1
19	Mü ₀₀ 390	00	97.6	12	+0.01	24.10	60	97.6	12	0	50.1	26	95	50.3
20	Königsberg 22	1912	1913.74	5	0	23.147	64	1912.0	4	0	49.49	20	980	48.42

$$\mu_{\alpha} - 0.0015 \pm 0.0011$$

$$\mu_{\delta} + 0.0089 \pm 0.018$$

Nr. 23. BD + 53°984

1	Fed 775	1790	1790.1	1	+0.11	$5^h 33^m 13.52^s$	0.2	1790.1	1	-0.4	$+ 53^0 27' 27.0''$	0.2	13.47	28.1
2	Pi V 146	1800	1803.3	3	+0.31	79	0.3	1803.3	4	+0.1	16.0	0.6	74	24.2
3	Gr 995	10	11.1	6	-0.07	39	4	11.1	6	0	12.4	3	35	24.7
4	Tay D 2053	35	36.5	4	+0.07	74	2	36.5	4	+0.5	26 59.0	1	71	25.0
5	Rü Nachtr.	36	40:	1	+0.03	41	0.5	40:	1	-0.9	57.3	0.5	38	25.1
6	Cp. 40 576	40	40.0	2	0	57	3						54	—
7	Rob 1251	40	53.1	2	+0.02	57	1	50.5	5	-0.2	50.7	3	55	24.2
8	AZ 6054	42	42.9	1	+0.02	52	1	42.9	1	+0.3	55.6	0.5	49	25.0
9	RC 1524	45	46.9	4	-0.02	61	6	44.8	4	0	54.2	3	58	24.6
10	Rü ₂ 2658	50	43:	1	+0.12	60	0.5	43:	1	-0.9	57.3	0.4	57	26.7
11	Pu OM 516	55	44.9	1	0	29	2	44.9	1	0	53.8	2	26	24.3
12	Bo VI 934	55	65.2	3	+0.02	47	4	65.2	3	0	42.3	4	45	23.6
13	Ya 2394	60	60.1	2	-0.05	36	4	54.1	3	+0.1	49.4	3	31	24.8
14	N 7 y 727	64	65.2	2	-0.01	50	6	65.2	3	-0.1	43.7	6	48	25.0
15	Qu 2202	65	67.4	3	-0.04	50	7	70.3	4	+0.3	42.3	6	48	26.4
16	9 y 532	72	68.2	1	+0.03	50	6	68.2	1	-0.5	42.7	2	48	25.7
17	Cbr M 2262	75	74.1	2	-0.03	43	6	74.1	2	-0.1	40.9	2	42	27.0
18	Rbg 1285	75	75.2	2	-0.01	55	10	75.2	2	0	39.4	8	54	26.1
19	Re I 346	75						76.5	20	0	37.9	10	—	25.3
20	Wa ₂ 1160	75	86.2	5	-0.04	61	14	86.2	5	+0.2	32.1	6	60	24.7
21	10 y 950	80	85.1	5	+0.02	47	22	85.4	5	+0.7	33.9	11	46	26.1
22	Pu _{ss} 1354	85	87.2	2	+0.03	47	7	87.2	2	0	33.1	7	46	26.2
23	LG 604	90	88.0	6	0	58	9						57	—
24	Ci ₁ 594	90	90.6	4	+0.03	54	5	90.6	4	-0.2	31.4	4	54	26.4
25	Du VIII 206	1900	97.2	2	0	37	7	97.2	2	0	26.1	4	37	24.6
26	Mü ₀₀ 392	00	97.3	16	+0.01	48	70	97.3	16	-0.4	27.1	28	48	25.7
27	Ci ₂ 1053	00	1901.4	3	0	56	6	1901.4	3	0	24.8	4	56	25.6
28	Königsberg 23	1912	1913.74	5	0	473	64	1912.0	4	0	18.03	20	480	24.46

$$\mu_{\alpha} - 0.0018 \pm 0.0005$$

$$\mu_{\delta} - 0.586 \pm 0.009$$

Nr. 24. BD + 52.989

1	AZ 6096	1842	1842.9	1	+0.02	$5^h 35^m 21.81^s$	1	1842.9	1	+0.3	$+ 52^0 25' 7.9''$	0	23.29	
2	Cbr M 2274	75	73.1	4	-0.06	22.97	7	73.1	4	0	26 17.3		.67	
3	Königsberg 24	1912	1913.74	5	0	23.947	64	1912.0	4	0	16.26		.590	

$$\mu_{\alpha} + 0.0252 \pm 0.0080$$

$$\mu_{\delta} - 0.027 \pm$$

1. AZ 6096 ist nach Erg. Heft 16 korrigiert, stimmt damit aber in δ immer noch nicht.

Nr. 25. BD + 48°1903

Nr.	Katalog	Aequ.	Epoche	Beob.	Korr.	α 1900.0	Gew.	Epoche	Beob.	Korr.	δ 1900.0	Gew.	Epoche	1900
1	HC 10771	1790	1790.9	1	+0.26	5 ^h 59 ^m 7.31	0.2	1790.9	1	-0.1	+48° 37' 41.4"	0.2	7.41	37.9
2	AZ 6170	1842	1842.0	1	+0.02	6.46	1	1842.0	1	+0.3	41.2	0.5	6.51	39.3
3	Bo VI 1303	55	64.2	2	+0.01	7.23	3	64.2	2	-0.2	41.6	3	7.26	40.5
4	Bo 4708	75	86.1	4	-0.07	7.11	5	86.1	4	+0.8	42.7	4	12	42.3
5	Wz 114	1900			0			97.1	2	0	42.2	10		42.1
6	Königsberg 25	12	1913.74	5	0	7.123	64	1912.0	3	0	40.42	10	111	40.80

$$\mu_{\alpha} - 0.0002 \pm 0.0008$$

$$\mu_{\delta} - 0.081 \pm 0.021$$

Nr. 26. BD + 54°959

1	Chr M 2345	1875	1877.1	2	-0.09	5 ^h 48 ^m 9.84		1877.1	2	+0.1	+54° 15' 9.4"			
2	Königsberg 26	1912	1913.76	5	0	9.856		1912.0	5	0	12.43			

$$\mu_{\alpha} - 0.005 \pm$$

$$\mu_{\delta} + 0.08 \pm$$

Nr. 28. BD + 42°1463

1	BZ 1642	1825	1832.1	1	+0.02	5 ^h 53 ^m 28.12	0.3	1832.1	1	+1.3	+42° 44' 23.2"	0.3	28.11	15.7
2	Bo 4906	75	77.6	2	-0.08	05	3	77.6	2	+0.8	16.1	2	05	13.6
3	Königsberg 28	1912	1913.81	5	0	059	64	1912.1	4	0	12 67	20	060	14.01

$$\mu_{\alpha} - 0.0016 \pm 0.0005$$

$$\mu_{\delta} - 0.100 \pm 0.014$$

Nr. 29. 38 Aurigae

1	Br 868	1755	1754.7	4	-0.16	5 ^h 56 ^m 3.77	2	1754.1	2	+0.8	+42° 55' 16.7"	2	5 27	54.2
2	DAg 968	1800	1785.2	1	+0.03	4.13	0.2	85.2	1		10.0	0.2	31	52.3
3	HC 11339	00	96.1	1	+0.22	53	0.2	96.1	1	-0.2	3.8	0.2	60	47.8
4	Pi V 293	00	1803.3	18	+0.22	59	1	1803.3	16	-0.2	7.9	2	59	53.0
5	Gr 1067	10	09.1	7	-0.12	43	4	09.1	7	+0.3	6.5	3	37	52.5
6	Be C 256	15	14.2	2	-0.10	53	1	14.2	1	-0.1	9.3	0.2	46	56.1
7	KZA 908	25	31.1	1	+0.02	5.06	0.2	31.1	1	-0.1	10.6	0.2	77	60.0
8	CAB 141	30	28.8	12	+0.01	4.63	23	28.8	12	+0.4	3.2	13	36	52.2
9	Tay D 2242	35	34.2	6	+0.01	68	3	34.3	4	+0.6	4.3	1	36	54.2
10	Rob 1853	40	40.7	7	+0.03	86	4	39.7	5	-0.4	1.2	3	47	51.9
11	Par, 7100	45	52.9	1	0	5.03	2						52	
12	RC 1615	45	49.0	8	-0.04	4.93	9	45.4	3	-0.6	1.2	2	46	52.8
13	Pu M 959	55	55.1	5	0	96	9	55.8	6	+0.2	54 59.5	11	42	52.7
14	Br ₈₅ 189	55						55.2	1		58.7	2		51.8
15	RC ₂ 663	60	55.5	7	0	96	7	57.4	6	-0.5	58.8	3	42	52.2
16	N 7 y 775	64	67.4	3	-0.01	5.03	9	67.4	3	0	58.1	6	37	53.1
17	Qu 2420	65	63.8	3	0	04	7	61.7	3	+0.1	57.9	6	41	52.0
18	Gl 1486	70	75.3	3	-0.01	28	2	78.5	5	-0.3	55.1	3	53	51.8
19	9 y 575	72	68.2	8	+0.02	09	13	68.2	3	-0.4	57.4	6	42	52.5
20	W ₂ 1251	75	67.4	3	-0.03	09	8	67.4	3	+0.2	57.8	4	43	52.8
21	Arm, 739	75	69.1	1	-0.04	4.88	2						20	
22	Bo 4942	75	72.1	2	-0.07	5.14	3	72.1	2	+0.3	56.9	2	43	52.7
23	Re I 375	75						76.6	16	+0.3	56.6	8		53.0
24	Rbg 1384	75	79.2	4	-0.02	5 27	18	79.2	4	+0.1	56.0	14	48	52.8
25	Par, 7100	75	81.0	2	+0.02	08	4	81.0	2	0	55.5	3	28	52.6
26	Pu ₈₅ 1435	85	86.9	4	+0.03	21	12	86.9	4	+0.2	55.5	13	34	53.5
27	LG 657	90	87.2	6	0	45	9						58	
28	Du VII 193	90	90.0	4	0	22	6	90.0	4	0	53.9	5	32	52.4
29	Ci 619	90	90.6	3	0	22	4	90.6	4	0	54.3	4	32	52.9
30	Tu BL 62	97						97.0	4		53.2	24		52.7
31	Du VIII 216	1900	97.2	4	0	34	12	97.2	4	0	52.9	6	37	52.5
32	Pu ₉₀ 277	00			0			98.1	13	0	53.3	31		53.0
33	Bo ₉₀ 2626	00	99.1	3	0	36	34	99.1	3	0	52.7	23	37	52.6
34	Ci ₂ 1138	00	1901.8	3	0	47	6	1901.8	3	0	52.4	4	45	52.7
35	Königsberg 29	1912	1913.81	5	0	553	64	1912.0	3	0	50.49	16	411	52.34

$$\mu_{\alpha} + 0.0089 \pm 0.0008$$

$$\mu_{\delta} - 0.145 \pm 0.008$$

Nr. 30. 39 Aurigae

Nr.	Katalog	Aequ.	Epoche	Beob.	Korr.	α 1900.0	Gew.	Epoche	Beob.	Korr.	δ 1900.0	Gew.	Epoche	1900
1	Br 873	1755	1754.7	3	-0.16	^h 5 ^m 52.21	2	1754.1	2	+0.8	+ 42° 59' 45.0	2	51.70	21.9.
2	DAg 970	1800	85.2	1	+0.03	40	0.2	85.2	1		38.6	0.2	52.00	21.5
3	HC 11406	00	96.1	1	+0.22	44	0.2	96.1	1	-0.2	36.5	0.2	08	20.1
4	Pi V 298	00	1800.0	17	+0.22	53	1	1800.0	11	-0.2	36.2	1	18	20.4
5	Gr 1071	10	09.1	5	-0.12	09	3	09.1	5	+0.3	34.9	3	51.77	20.5
6	KZA 914	25	31.1	1	+0.02	06	0.2	31.1	1	+1.2	31.8	0.3	82	20.9
7	BZ 1788	25	32.1	1	+0.02	09	0.3	32.1	1	+1.2	31.3	0.3	85	20.6
8	Tay D 2250	35	34.6	2	+0.01	17	1	34.3	4	+0.6	28.7	1	94	18.3
9	Ba 1674	36	36:	1	+0.03	18	0.5	36:	1	-0.3	30.5	0.4	96	20.3
10	Ed 863	40	43.0	3	-0.05	18	3			+0.1			98	
11	Rob 1358	40	39.8	6	+0.03	11	4	40.7	5	-0.4	30.1	3	90	20.7
12	RC 1621	45	44.7	5	-0.03	14	6	44.5	4	-0.6	29.0	3	95	20.2
13	Par, 7148	45	51.1	1	0	18	2	49.1	2	+0.3	28.6	2	52.01	20.6
14	Pu M 963	55	56.9	4	0	12	7	56.9	4	+0.2	27.7	8	51.97	20.9
15	Bo VI 1477	55	60.2	1	+0.01	27	2	60.2	1	-0.2	25.8	2	52.13	19.5
16	N 7 y 777	64	67.4	3	-0.02	03	9	67.4	3	0	25.5	6	51.92	20.3
17	Qu 2493	65	71.4	4	0	51.98	9	62.6	2	+0.1	26.1	5	88	20.2
18	9 y 576	72	68.1	1	+0.02	52.04	6	68.1	1	-0.4	26.2	2	93	21.2
19	Bo 4968	75	72.5	3	-0.07	00	4	72.5	3	+0.3	24.3	3	90	20.0
20	Par, 7148	75	74.6	4	+0.02	02	8	74.4	3	0	25.7	4	93	21.7
21	Re I 377	75						76.6	17	+0.3	25.2	8		21.5
22	10 y 1023	80	81.1	4	+0.02	02	18	81.1	4	+0.1	24.1	9	95	21.1
23	Pu, 1440	85	87.1	1	+0.03	00	3	87.1	1	+0.2	23.4	4	95	21.4
24	LG 661	90	87.5	7	0	06	10						52.02	
25	Cl, 622	90	90.7	3	0	51.95	4	90.7	3	0	23.0	4	51.92	21.5
26	Bo, 2642	1900	99.1	3	0	87	34	99.1	3	0	21.0	23	87	20.9
27	Cl, 1147	00	1901.1	3	0	94	6	1901.1	3	0	21.0	4	94	21.2
28	Pu, N 1178	00						02.2	1	0	20.0	9		20.3
29	Königsberg 30	12	13.81	5	0	866	64	12.0	5	0	18.67	25	914	20.57

$$\mu_{\alpha} - 0.0049 \pm 0.0004$$

$$\mu_{\delta} - 0.148 \pm 0.004$$

Nr. 31. BD + 42°1486

1	HC 11493	1800	1795.1	1	+0.22	^h 6 ^m 40.21	0.2	1795.1	1	-0.2	+ 42° 40' 33.9	0.2	40.15	31.3
2	BZ 1889	25	1832.1	1	+0.02	30	0.3	1832.1	1	+1.2	35.1	0.3	26	33.4
3	RC 1630	45	51.4	3	-0.04	14	4	51.6	4	-0.6	35.3	3	11	34.1
4	Pu OM 548	55	62.2	1	0	21	2	62.2	1	+0.2	33.5	2	19	32.6
5	Qu 2458	65	68.7	2	0	19	5	67.6	2	+0.1	33.9	5	17	33.1
6	Arm, 748	75	69.4	3	+0.05	01	4	69.6	5	-0.1	33.9	5	39.99	33.1
7	Bo 5005	75	72.2	2	-0.07	15	3	72.2	2	+0.3	34.8	2	40.13	34.1
8	Rbg 1394	75	75.4	4	-0.02	15	17	75.4	4	+0.1	34.1	14	14	33.5
9	Par, 7220	75	81.1	1	+0.02	30	2	81.1	1	0	33.4	2	29	32.9
10	Königsberg 31	1912	1913.81	5	0	122	64	1912.1	7	0	33.03	25	130	33.33

$$\mu_{\alpha} - 0.0019 \pm 0.0004$$

$$\mu_{\delta} - 0.016 \pm 0.002$$

Nr. 32. BD + 46°1119

1	HC 11743	1800	1792.1	1	+0.24	^h 6 ^m 31.28	0.2	1792.1	1	-0.2	+ 46° 25' 21.1	0.2	31.20	18.2
2	Pi VI 1	00	1808:	2	+0.24	64	0.2	1808:	4	-0.1	23.0	0.6	57	20.4
3	Tay D 2342	35	36.7	3	+0.08	45	2	36.5	4	+0.5	24.4	1	41	22.7
4	AZ 6631	42	43.1	1	+0.02	29	1	43.1	1	+0.3	23.9	0.5	25	22.4
5	RC 1675	45	52.2	2	-0.03	11	3	51.6	4	-0.5	24.6	3	08	23.3
6	Qu 2525	65	75.6	2	-0.01	14	5						12	
7	Bo 5099	75	83.1	4	-0.08	12	5	83.1	4	+0.3	23.4	8	11	22.9
8	Cl, 1176	1900	1901.6	2	0	03	5	01.6	2	0	23.3	2	03	23.3
9	Königsberg 82	12	13.81	5	0	161	64	1912.0	5	0	21.89	25	171	22.21

$$\mu_{\alpha} - 0.0019 \pm 0.0018$$

$$\mu_{\delta} - 0.023 \pm 0.014$$

Nr. 34. BD + 46°1135

Nr.	Katalog	Aequ.	Epoche	Beob.	Korr.	α 1900.0	Gew.	Epoche	Beob.	Korr.	δ 1900.0	Gew.	Epoche	1900
1	HC 12015	1790	1791.2	1	+0.24	6 ^h 14 ^m 59.58	0.2	1791.2	1	-0.2	+46° 14' 22.3	0.2	59.47	21.3
2	AZ 6765	1842	1843.1	1	+0.02	24	1	1843.1	1	+0.3	21.3	0.5	18	20.8
3	RC 1710	45	48.6	2	-0.04	21	3	47.1	3	-0.5	23.9	2	16	23.4
4	Bo 5187	75	76.0	2	-0.07	58.97	3	76.0	2	+0.3	24.2	2	58.95	24.0
5	Königsberg 34	1912	1913.81	5	0	59.111	64	1912.1	4	0	22.94	20	59.125	23.05

$$\mu_{\alpha} - 0.0022 \pm 0.0016$$

$$\mu_{\delta} - 0.005 \pm 0.020$$

Nr. 35. BD + 58°922

1	Fed 891—3	1790	1790.2	3	+0.11	6 ^h 16 ^m 53.95	0.2	1790.2	3	-0.3	+58° 28' 57.8	0.4	53.96	45.3
2	Pi VI 55	1800	1803:	8	+0.35	54.55	0.8	1803:	4	+0.2	56.9	0.6	54.56	46.3
3	Gr 1143	10	13.2	5	-0.08	04	3	13.2	5	+0.1	55.4	3	05	45.9
4	Tay D 2416	85	34.5	8	+0.10	53.61	2	34.1	3	+0.6	54.2	0.9	53.62	47.0
5	Rob 1431	40	46.5	3	0	54.00	2	45.2	3	0	53.2	2	54.01	47.2
6	AZ 6781	42	42.0	1	+0.02	53.86	1	42.0	1	+0.3	52.9	0.5	53.87	46.6
7	RC 1713	45	46.2	5	-0.03	54.21	8	45.6	4	+0.2	51.8	3	54.22	45.9
8	Bo VI 922	55	61.9	6	+0.02	19	7	61.9	6	+0.3	50.9	7	19	46.7
9	Qu 2594	65	66.2	1	-0.06	19	8	71.1	3	+0.5	50.1	6	19	46.9
10	Hels 4483	75	72.2	2	-0.04	08	4	72.2	2	0	48.7	2	08	45.7
11	10 y 1080	80	80.6	2	+0.04	21	10	80.6	2	+0.2	48.8	5	21	46.7
12	LG ₂ 444	1900						98.1	8	0	46.4	11		46.2
13	Ci ₂ 1213	00	1901.0	2	0	12	5	1901.0	2	0	47.3	3	12	47.4
14	Königsberg 35	12	13.81	5	0	122	64	12.1	3	0	44.81	20	121	46.13

$$\mu_{\alpha} - 0.0007 \pm 0.0007$$

$$\mu_{\delta} - 0.109 \pm 0.004$$

Nr. 36. BD + 58°925

1	Pi VI 61	1800	1803:	3	+0.35	6 ^h 17 ^m 53.19	0.8	1803:	3	+0.2	+58° 28' 24.6	0.4	52.95	21.6
2	Gr 1145	10	10.2	2	-0.09	01	2	10.2	2	+0.1	25.9	1	79	23.1
3	Tay D 2429	35	36.6	3	+0.10	37	2	36.1	2	+0.6	23.1	0.7	53.21	21.1
4	Rob 1435	40	46.2	2	0	52.76	1						52.63	
5	RC 1719	45	47.7	5	-0.03	53.06	8	45.2	4	+0.2	23.8	3	93	22.1
6	AZ 6799	42	42.0	1	+0.02	52.95	1	42.0	1	+0.3	22.1	0.5	81	20.3
7	Qu 2600	65	66.2	1	-0.06	95	3	71.1	2	+0.5	23.5	5	87	22.6
8	Hels 4495	75	75.8	3	-0.07	96	5	75.8	3	0	22.4	3	90	21.6
9	Wa ₂ 1819	75	86.1	4	-0.04	99	11	86.1	4	+0.1	22.9	5	96	22.5
10	10 y 1085	80	83.2	5	+0.04	88	22	83.2	5	+0.2	23.1	11	84	22.6
11	Ci ₂ 1216	1900	1901.7	3	0	93	6	1901.7	3	0	21.6	4	93	21.7
12	Königsberg 36	12	13.81	5	0	867	64	12.1	3	0	21.72	16	902	22.10

$$\mu_{\alpha} - 0.0032 \pm 0.0006$$

$$\mu_{\delta} - 0.061 \pm 0.004$$

Nr. 38. BD + 58°936

1	Fed 922	1790	1790.2	1	+0.11	6 ^h 24 ^m 7.71	0.2	1790.2	1	-0.3	+58° 48' 54.5	0.2	7.08	54.8
2	AZ 6925	1842	1842.0	1	+0.02	8.12	1	1842.0	1	+0.3	49	0.9	76	1.1
3	Hels 4555	75	73.6	2	-0.06	7.62	4	73.6	2	0	2.1	3	46	2.2
4	Königsberg 38	1912	1913.81	5	0	7.424	64	1912.1	3	0	0.99	16	510	0.95

$$\mu_{\alpha} - 0.0039 \pm 0.0020$$

$$\mu_{\delta} + 0.002 \pm 0.025$$

Nr. 39. BD + 58° 941

Nr.	Katalog	Aequ.	Epoche	Beob.	Korr.	α 1900.0	Gew.	Epoche	Beob.	Korr.	δ 1900.0	Gew.	Epoche	1900
1	Fed 927	1790	1790.2	1	+0.11	6 ^h 26 ^m 56.27 ^s	0.2	1790.2	1	-0.3	+58° 3' 48.8"	0.2	56.11	44.0
2	Gr 1176	1810	1811.2	3	-0.09	55.73	2	1811.2	3	+0.1	50.0	2	55.60	46.1
3	RC 1756	45	49.8	3	-0.03	73	5	47.1	4	+0.2	49.2	3	65	46.9
4	Hels 4583	75	72.7	2	-0.07	71	4	72.7	2	0	46.9	2	67	45.7
5	II 10 y 2009	90	93.3	6	+0.05	72	30	93.4	6	-0.1	46.2	13	71	45.9
6	Königsberg 39	1912	1913.81	5	0	652.64		1912.1	3	0	45.72	16	673	46.25

$$\mu_{\alpha} - 0.0022 \pm 0.0009$$

$$\mu_{\delta} - 0.044 \pm 0.006$$

Nr. 41. BD + 64° 600

1	Bo VI 600	1855	1861.1	1	+0.04	6 ^h 33 ^m 7.31 ^s	2	1861.1	1	+0.6	+64° 11' 22.0"	2	7.13	17.5
2	Hels 4645	75	78.6	3	-0.06	7.01	5	78.6	3	0	20.3	3	6.91	17.8
3	II 9 y 9490	1900	1901.8	6	0	7.09	30	1901.6	6	0	17.9	13	7.10	18.1
4	Königsberg 41	12	13.81	5	0	6.966	64	12.1	4	0	16.36	20	028	17.75

$$\mu_{\alpha} - 0.0053 \pm 0.0023$$

$$\mu_{\delta} - 0.116 \pm 0.011$$

Nr. 42. BD + 39° 1713

1	HC 12773	1800	1791.8	1	+0.20	6 ^h 35 ^m 41.10 ^s	0.2	1791.8	1	-0.8	+38° 59' 30.8"	0.2	40.93	19.3
2	Gr. 1209	10	1813.1	4	-0.14	40.93	2	1813.1	4	+0.5	29.6	2	79	21.4
3	BZ 975	25	32.1	1	+0.03	41.25	0.3	32.1	1	+0.9	29.2	0.3	41.14	22.0
4	RC 1794	45	46.7	5	-0.05	40.89	6	50.1	3	-0.7	24.1	2	40.80	18.8
5	Kam ₁ 1151	55	49.2	3		40.97	3	49.2	1		24.0	1	89	18.6
6	Par ₃ 8019	75	75.2	5	+0.02	40.88	10	75.2	5	0	23.2	7	84	20.6
7	Lu 3457	75	85.2	3	-0.01	40.85	7	85.2	3	0	22.4	6	88	20.8
8	Rbg ₃ 1560	85	92.2	4	0	40.78	12	93.7	5	0	21.9	16	77	21.2
9	II 10 y 2044	90	90.1	7	+0.06	40.88	34	90.4	6	-0.1	21.5	13	86	20.5
10	Cp 90 765	90	89.6	2	+0.06	40.90	5	90.6	6	0	21.3	12	88	20.3
11	Königsberg 42	1912	1913.81	5	0	40.814	64	1912.1	2	0	18.80	14	836	20.08

$$\mu_{\alpha} - 0.0062 \pm 0.0001$$

$$\mu_{\delta} - 0.069 \pm 0.011$$

Nr. 43. BD + 40° 1696

1	HC 12831	1800	1796.1	1	+0.20	6 ^h 37 ^m 17.52 ^s	0.2	1796.1	1	-0.3	+40° 43' 52.8"	0.2	17.26	34.7
2	Gr. 1214	10	1813.1	5	-0.15	37	3	1813.1	5	+0.5	48.4	3	15	33.3
3	KZA 1083	25	31.1	2	+0.03	85	0.3	31.1	2	+0.9	43.9	0.5	68	31.9
4	BZ 1028	25	32.1	1	+0.03	58	0.3	32.1	1	+0.9	44.9	0.3	41	33.1
5	Rä 1971	36	36:	3	+0.02	30	1	36:	3	-0.2	42.7	1	14	31.6
6	RC 1799	45	47.1	4	-0.05	44	5	48.5	5	-0.6	41.9	4	81	32.9
7	Par ₃ 8061	60	61.2	2	+0.02	29	2	63.1	1	+0.3	38.3	2	19	31.9
8	Qu 2769	65	69.5	3	0	29	7	68.5	3	+0.1	37.6	6	21	32.1
9	Par ₃ 8061	75	69.1	1	+0.02	26	2	69.1	1	0	38.2	2	18	32.8
10	Rbg ₃ 1531	75	75.7	4	-0.02	30	15	75.7	4	+0.2	35.8	14	24	31.6
11	Bo 5463	75	78.8	9	-0.06	28	10	78.8	9	+0.3	36.8	8	23	33.1
12	II 10 y 2050	90	89.4	3	+0.06	28	17	89.4	3	-0.2	34.4	9	25	32.6
13	Cl ₁ 666	90	92.4	4	0	29	5	92.4	4	+0.1	33.2	4	27	31.9
14	Du VIII 234	1900	96.7	4	0	12	12	96.7	4	0	33.3	6	11	32.7
15	Bo ₉₀ 2942	00	99.1	2	0	24	24	99.1	2	0	33.4	17	24	33.2
16	Königsberg 43	12	1913.81	5	0	198	64	1912.1	3	0	30.25	16	233	32.86

$$\mu_{\alpha} - 0.0041 \pm 0.0005$$

$$\mu_{\delta} - 0.160 \pm 0.008$$

Nr. 44. BD + 42°1600

Nr.	Katalog	Aequ.	Epoche	Beob.	Korr.	α 1900.0	Gew.	Epoche	Beob.	Korr.	δ 1900.0	Gew.	Epoche	1900
1	HC 12690	1800	1796.1	1	+0.22	6 ^h 39 ^m 4.89 ^s	0.2	1796.1	1	-0.2	+ 42° 22' 15.7"	0.2	4.75	9.3
2	BZ 1087	25	1832.1	1	+0.03	37	0.3	1832.1	1	+0.9	4.0	0.1	28	59.8
3	Bo 5485	75	84.2	3	-0.06	35	4	84.2	3	+0.4	9.3	3	33	8.3
4	Bo ANJ	90	91.0	2	-0.06	37	2	91.0	2	+0.4	7.9	2	36	7.3
5	Königsberg 44	1912	1913.81	5	0	351	64	1912.1	2	0	6.92	14	369	7.67

$$\mu_{\alpha} - 0.0029 \pm 0.0010$$

$$\mu_{\delta} - 0.052 \pm 0.010$$

Nr. 45. BD + 40°1717

1	HC 12992	1800	1796.1	1	+0.20	6 ^h 41 ^m 43.11 ^s	0.2	1796.1	1	-0.3	+ 40° 50' 15.2"	0.2	43.15	13.1
2	KZA 1101	25	1831.1	2	+0.08	42.68	0.4	1831.1	2	+0.8	13.3	0.5	42.71	11.9
3	BZ 1181.2	25	32.1	2	+0.03	42.82	0.5	32.1	2	+0.8	11.5	0.5	85	10.1
4	Par ₁ 8163	75	81.1	2	+0.02	90	4	81.1	2	0	12.2	3	91	11.8
5	Bo 5519	75	78.8	3	-0.08	70	4	78.8	3	+0.4	13.9	3	71	13.5
6	Königsberg 45	1912	1913.81	5	0	828	64	1912.1	4	0	11.81	20	773	12.06

$$\mu_{\alpha} - 0.0012 \pm 0.0006$$

$$\mu_{\delta} - 0.006 \pm 0.014$$

Nr. 46. BD + 38°1617

1	Gr 1223	1810	1811.1	3	-0.15	6 ^h 43 ^m 14.17 ^s	2	1811.1	3	+0.5	+ 38° 56' 27.1"	2	14.05	23.3
2	BZ 1220	25	32.1	1	+0.03	45	0.3	32.1	1	+0.8	28.6	0.3	36	25.7
3	RC 1819	45	47.5	3	-0.05	16	4	46.8	3	-0.7	26.4	2	09	24.1
4	Lu 8538	75	85.2	3	-0.06	06	7	85.2	3	-0.0	25.6	6	04	25.0
5	II 10 y 2075	90	94.7	3	+0.06	09	17	94.7	3	-0.2	24.5	9	08	24.3
6	Bo ₉₀ 2985	1900	99.1	2	0	05	24	99.1	2	0	25.1	17	05	25.1
7	Königsberg 46	12	1913.81	5	0	042	64	1912.1	3	0	23.25	16	060	23.77

$$\mu_{\alpha} - 0.0029 \pm 0.0007$$

$$\mu_{\delta} - 0.026 \pm 0.011$$

Nr. 48. BD + 38°1641

1	HC 13249	1800	1796.2	1	+0.20	6 ^h 48 ^m 43.18 ^s	0.2	1796.2	1	-0.4	+ 38° 2' 33.5"	0.2	42.88	28.0
2	Gr 1241	10	1812.1	1	-0.15	41	1	1812.1	4	+0.5	33.1	2	43.16	28.4
3	BZ 1875	25	30.2	1	+0.03	54	0.3	30.2	1	+0.8	34.7	0.3	34	31.0
4	Str PM 781	30	35.2	2	+0.01	56	3	35.2	2	-0.2	34.4	3	37	31.0
5	RC 1840	45	44.8	3	-0.05	32	4	51.1	8	-0.7	33.3	2	16	30.7
6	Par ₁ 8307	45	52.0	1	0	61	2	41.2	1	+0.3	33.6	1	47	30.5
7	Ya 2848	60	77.1	1	-0.02	33	2	46.2	3	+0.1	33.1	3	26	30.2
8	Qu 2845	65	62.9	4	+0.0	24	9	63.9	4	+0.1	32.2	8	13	30.8
9	Par ₉ 8907	75	72.1	2	+0.2	35	4	72.1	2	+0.0	31.5	2	27	30.1
10	Lu 3589	75	80.2	2	-0.4	32	5	80.2	2	0	31.1	5	26	30.1
11	II 10 y 2096	90	93.0	3	+0.6	25	17	93.4	2	-0.2	30.9	7	23	30.6
12	Königsberg 48	1912	1913.81	4	0	189		1912.1	3	0	29.51	16	229	30.15

$$\mu_{\alpha} - 0.0042 \pm 0.0005$$

$$\mu_{\delta} - 0.004 \pm 0.007$$

Nr. 49. BD + 38°.1654

Nr.	Katalog	Aequ.	Epoche	Boob.	Korr.	α 1900.0	Gew.	Epoche	Boob.	Korr.	δ 1900.0	Gew.	Epoche	1900
1	HC 13362	1800	1796.2	1	+0.20	6 ^h 51 ^m 34.69 ^s	0.2	1796.2	1	-0.4	+38° 7' 21.2"	0.2	34.40	16.0
2	Gr 1248	10	1810.2	2	-0.15	41	2	1810.2	2	+0.5	19.4	1	16	14.9
3	BZ 1462	25	30.2	1	+0.04	75	0.3	30.2	1	+0.7	17.8	0.3	55	14.3
4	RC 1852	45	45.6	2	-0.05	48	3	48.1	4	-0.7	17.8	3	28	15.2
5	Qu 2870	65	69.8	3	-0.00	31	7	69.1	3	+0.1	15.8	6	23	14.3
6	Par. 8405	75	74.9	5	+0.02	30	10	74.9	5	+0.0	17.2	7	23	15.9
7	Lu 3804	75	86.7	4	-0.05	27	8	86.7	4	0	16.6	7	23	15.9
8	II 10 y 2112	90	90.1	3	+0.06	30	17	90.1	3	-0.2	15.8	9	27	15.3
9	Königsberg 49	1912	1913.81	4	0	198	64	1912.1	5	0	14.56	25	24	15.16

$$\mu_{\alpha} - 0.0044 \pm 0.0004$$

$$\mu_{\delta} - 0.081 \pm 0.005$$

Nr. 50. BD + 55°.1185

1	Fed 1064	1790	1790.1	1	+ 0.12	7 ^h 11 ^m 43.64 ^s	0.2			"	0	"		43.62	"
2	Str PM 839	1830	1836.2	2	+ 0.01	29	3	1836.2	2	- 0.3	+ 55° 6'	14.2"	3	28	10.6
3	AZ 7737	1842	1843.2	1	+ 0.02	29	1	1843.2	1	+ 0.3		12.7	0.5	28	9.5
4	RC 1920	45	51.4	3	- 0.04	41	5	51.1	2	0		12.8	2	40	10.1
5	Hels 5010	75	71.2	2	- 0.07	46	4	71.2	2	0		12.9	3	45	11.3
6	Obt M 2803	75	84.9	7	- 0.11	29	9	84.9	7	0		12.8	5	29	12.0
7	RC ₁ 1524	75	74.2	1	- 0.02	51	0.1	74.2	1	+ 0.1		11.5	0.2	50	10.1
8	Königsberg 50	1912	1913.81	4	0		340 64	1912.1	5	0		10.22	25	343	10.90

$$\mu_{\alpha} - 0.0010 \pm 0.0005$$

$$\mu_{\delta} - 0.056 \pm 0.010$$

Nr. 52. BD + 55°.1199

1	Gr 1805	1810	1815.1	4	-0.11	7 ^h 18 ^m 0.69 ^s	2	1815.1	4	+0.0	+55° 42' 44.6"	5	0.56	44.0
2	RC 1946	45	46.4	3	-0.04	91	5	45.7	4	0	44.3	3	83	43.9
3	Hels 5070	75	70.9	2	-0.06	81	4	70.7	2	0	44.9	3	77	44.7
4	II 10 y 2214	90	93.9	5	+0.06	85	26	93.7	5	0	45.0	12	84	45.0
5	Königsberg 52	1912	1913.81	5	0	749	64	1912.1	5	0	43.90	25	770	43.98

$$\mu_{\alpha} - 0.0023 \pm 0.0015$$

$$\mu_{\delta} - 0.007 \pm 0.014$$

III. Ausgleichung der Rektascensionsdifferenzen.

Die vollständige Reduktion der Rektascensionsdifferenzen auf die mittlere Epoche 1912.0 läßt sich in der Form schreiben

$$\Delta\alpha_{1912} = \Delta\alpha_{app.} + \Delta M + \Delta \frac{du}{dt} + \Delta\mu_{\alpha}(1912.0-t) + \Delta(\Delta\alpha)$$

wobei die $\Delta\alpha$ im Sinne „ $\alpha_{eq.} - \alpha_{pr.}$ “ zu verstehen sind. Es bedeutet dann ΔM die Summe der differenziellen Instrumentalkonstanten, also

$$\Delta M = c \Delta C + i \Delta J + k \Delta K,$$

die weiteren Glieder der Gleichung sind die differenziellen Werte für Uhrgang, Eigenbewegung und Reduktion auf den mittleren Ort 1912.0, welche letzterer sich wie folgt zusammensetzt:

$$\Delta(\Delta\alpha) = (1912.0 - t_a + A) \Delta a + B \Delta b + C \Delta c + D \Delta d.$$

Die Größen A, B, C, D nach Bezeichnung des B. J. wurden stets für die Mitte der jeweiligen Beobachtungszeit berechnet. In Tabelle IV sind alle Reduktionselemente zusammengestellt, Δt bedeutet

Tabelle IV.

Sternpaar	ΔC	ΔJ	ΔK	Δt	$\Delta\mu_{\alpha}$	$lg \Delta a$	$lg \Delta b$	$lg \Delta c$	$lg \Delta d$
2—1	— 0.005	— 0.006	+ 0.004	0.025	+ 0.0095	7.6909 n	6.8022 n	6.8681 n	5.6453 n
3—2	— 0.011	— 0.013	+ 0.009	0.042	— 0.0074	8.0642 n	7.0528 n	7.1075 n	6.3642 n
5—4	0.000	+ 0.001	0.000	0.057	+ 0.0138	7.8594	6.9123 n	7.0911 n	6.7093
6—5	+ 0.006	+ 0.007	— 0.005	0.042	— 0.0488	8.2147	6.5887 n	6.8821 n	6.8695
8—7	— 0.021	— 0.020	+ 0.014	0.035	— 0.0003	8.3969 n	7.1640 n	7.1968 n	6.9662 n
9—8	— 0.011	— 0.011	+ 0.008	0.047	— 0.0054	7.9022 n	7.1627 n	7.2143 n	6.2558 n
11—10	+ 0.150	+ 0.134	— 0.095	0.083	+ 0.0095	9.3592	6.2101	6.6157 n	8.0242
12—11	+ 0.243	+ 0.214	— 0.151	0.046	— 0.0112	9.5414	7.4751	7.3930	8.2085
14—13	+ 0.057	+ 0.066	0.047	0.065	+ 0.0070	9.0410	6.3070	6.7984 n	7.6153
15—14	0.000	— 0.001	0.000	0.017	— 0.0061	6.5011	6.4921 n	6.6190 n	5.7861
16—14	+ 0.001	0.000	0.000	0.052	— 0.0074	7.7302	6.9689 n	7.1077 n	6.5941
17—15	— 0.024	— 0.028	+ 0.019	0.084	+ 0.0091	8.5679 n	7.3027 n	7.3868 n	7.0431 n
17—16	— 0.025	— 0.029	+ 0.020	0.049	+ 0.0104	8.6235 n	7.1420 n	7.1962 n	7.1419 n
18—17	— 0.040	— 0.044	+ 0.032	0.068	— 0.0091	8.8322 n	7.2454 n	7.2884 n	7.8530 n
20—19	— 0.168	— 0.160	+ 0.113	0.051	+ 0.0128	9.4060 n	7.5490 n	7.5315 n	8.0324 n
21—20	— 0.127	— 0.126	+ 0.089	0.072	— 0.0162	9.2974 n	7.5205 n	7.5374 n	7.9072 n
22—21	— 0.114	— 0.117	+ 0.083	0.033	— 0.0589	9.2783 n	7.2998 n	7.2870 n	7.8705 n
24—22	+ 0.038	+ 0.040	— 0.028	0.084	+ 0.0866	8.8358	7.1686 n	7.3121 n	7.4463
25—22	— 0.090	— 0.095	+ 0.067	0.145	+ 0.0615	9.1719 n	7.5834 n	7.6584 n	7.7407 n
28—21	— 0.038	— 0.039	+ 0.027	0.081	+ 0.0012	8.7555 n	7.3612 n	7.4280 n	7.3411 n
24—23	— 0.038	— 0.038	+ 0.028	0.036	+ 0.0265	8.7936 n	7.0686 n	7.1170 n	7.3861 n
27—26	+ 0.001	+ 0.001	0.000	0.052	+ 0.0100	7.8790	7.0991 n	7.1900 n	6.0723
29—28	+ 0.004	+ 0.005	— 0.003	0.044	+ 0.0104	7.8994	6.8437 n	7.0139 n	6.4491
31—29	— 0.005	— 0.007	+ 0.004	0.076	— 0.0109	8.0095 n	7.0922 n	7.2597 n	6.5345 n
30—28	+ 0.006	+ 0.007	— 0.005	0.073	— 0.0034	8.0512	7.0716 n	7.2406 n	6.5972
31—30	— 0.007	— 0.009	+ 0.006	0.047	+ 0.0029	8.1315 n	6.8780 n	7.0456 n	6.6600 n
33—32	— 0.001	— 0.001	+ 0.001	0.055	+ 0.0003	7.3273 n	7.0020 n	7.1426 n	6.0152 n
34—33	— 0.004	— 0.005	+ 0.003	0.069	— 0.0006	7.9896 n	7.0946 n	7.2394 n	6.5847 n
37—35	— 0.013	— 0.013	+ 0.009	0.087	— 0.0021	8.4020 n	7.3715 n	7.4460 n	7.0562 n
37—36	— 0.013	— 0.012	+ 0.008	0.070	+ 0.0005	8.3757 n	7.2746 n	7.3504 n	7.0279 n
38—37	+ 0.032	+ 0.030	— 0.021	0.034	— 0.0042	8.6770	7.0865 n	7.1297 n	7.2991
39—37	— 0.009	— 0.009	+ 0.007	0.080	+ 0.0005	8.2876 n	7.3363 n	7.4116 n	6.9546 n
40—38	+ 0.169	+ 0.159	— 0.112	0.074	— 0.0221	9.4027	7.5791 n	7.5949 n	8.0360
40—39	+ 0.210	+ 0.198	— 0.140	0.028	— 0.0268	9.5047	7.4541 n	7.4318 n	8.1385
41—40	+ 0.196	+ 0.180	— 0.127	0.077	+ 0.0238	9.4542	7.6659 n	7.6567 n	8.0985
43—42	+ 0.033	+ 0.041	— 0.030	0.027	— 0.0009	8.8229	6.9714 n	6.9788 n	7.3148
44—43	+ 0.034	+ 0.042	— 0.029	0.030	+ 0.0012	8.8189	7.0162 n	7.0329 n	7.3252
45—43	+ 0.003	+ 0.003	— 0.002	0.074	+ 0.0029	6.7400	7.0563 n	7.2328 n	6.1735 n
47—42	— 0.007	— 0.011	+ 0.007	0.178	+ 0.0052	8.4032 n	7.3627 n	7.5827 n	7.0895 n
47—46	— 0.006	— 0.009	+ 0.006	0.052	+ 0.0049	8.2343 n	6.7689 n	7.0239 n	6.8299 n
48—47	— 0.009	— 0.012	+ 0.009	0.089	— 0.0065	8.3337 n	6.5084 n	6.8599 n	6.8914 n
49—47	— 0.008	— 0.010	+ 0.007	0.087	— 0.0064	8.3332 n	6.9948 n	7.2482 n	6.9654 n
51—50	+ 0.016	+ 0.016	— 0.011	0.050	+ 0.0001	8.2285	7.2067 n	7.2539 n	6.7262
52—51	+ 0.011	+ 0.011	— 0.008	0.055	— 0.0014	7.8659	7.2074 n	7.2655 n	6.0967

hier den Stundenbruchteil, mit welchem der Uhrgang berechnet wurde; zu der Kolumne $\Delta\mu_\alpha$ ist zu erwähnen, daß in einzelnen Fällen nicht die früher abgeleiteten E. B. benutzt worden sind, sondern provisorische Werte, welche jedoch nur um geringe, hier keine Rolle spielende Beträge von den definitiven E. B. abweichen.

Die reduzierten Rektascensionsdifferenzen der einzelnen Sternpaare sind alsdann Bedingungsgleichungen von der Form

$$x + P_t y + P_\pi \Delta\pi' = n$$

unterworfen worden. Es ist hierin P_t ein linearer Faktor, dessen Zeiteinheit das Jahr ist, während P_π den Faktor der jährlichen Parallaxe bedeutet, also nach bekannten Bezeichnungen:

$$P_\pi = R m (\sin \odot - M)$$

$$\text{wo } m \sin M = \sin \alpha$$

$$m \cos M = \cos \alpha \cos \varepsilon$$

$$\text{und endlich } \Delta\pi' = \frac{\Delta\pi \sec \delta}{15} \quad \text{ist.}$$

Die Hilfsgrößen M und $\log. m$ enthält die nachstehende Aufstellung, die parallaktischen Faktoren sind für die Oerter der Hauptsterne in geeigneten Intervallen berechnet und dann weiter interpoliert worden.

Stern	M	$\log. m$	Stern	M	$\log. m$
2	67° 4'	9.9940	27	88° 12'	0.0000
5	70 27	9.9955	29	89 18	0.0000
8	71 41	9.9960	30	89 43	0.0000
11	74 47	9.9972	33	92 41	9.9999
14	77 10	9.9980	37	95 18	9.9997
17	78 33	9.9984	40	96 49	9.9995
20	81 58	9.9992	43	98 46	9.9991
22	83 25	9.9995	47	100 51	9.9985
23	84 5	9.9995	51	107 27	9.9964

Die Rektascensionsdifferenzen der Sternpaare wurden für die Ausgleichung jeweils um einen gewissen Betrag gekürzt, so zwar, daß nur kleinste positive Werte für n und entsprechend für x übrigblieben; für das Rechnen der Produktsummen mit einer Rechenmaschine ist dies Vorgehen bequemer als das Abziehen der n von einem Mittelwert, weil Zeichenwechsel vermieden werden.

Die folgenden Tabellen der Rektascensionsdifferenzen und Bedingungsgleichungen sind nach allem ohne weiteres verständlich, zu der Gewichtsverteilung sei noch das folgende gesagt. Abgesehen von den in Tabelle II genannten Tagen, an welchen allen Beobachtungen oder nur einem Teil das Gewicht $\frac{1}{2}$ zugesprochen wurde, haben noch in einer größeren Anzahl von Fällen diese Gewichtsverminderung entweder einzelne Sterne oder Gruppen erfahren. Maßgebend hierfür waren die Notizen im Beobachtungsjournal. Ich habe die Konstatierung von Wolken noch nicht als ausreichend zur Gewichtsverminderung angesehen, wenn aber Beobachtungen durch Zusätze wie schwach, sehr schwach, unsicher etc. charakterisiert waren, ist das Gewicht $\frac{1}{2}$ angesetzt, wenn sich nicht wie in vielen Fällen durch Vermehrung der abgelesenen Kontakte auf 40 ein Ausgleich darbot. Die letzte Kolumne der Tabelle V enthält hier eventuell die Begründung der Gewichtsverminderung oder Angabe über die Zahl der Kontakte, wenn diese von 20 abweicht. Ausschluß ganzer Abende oder erheblicher Teile davon erfolgte in vier Fällen wegen Versagen des Uhrwerks am Mikrometer (meist bei großer Kälte), wegen Versagen des Chronographen in einem Fall, endlich zweimal wegen der Witterungsumstände.

Es handelt sich hierbei immer nur um kurze Beobachtungsreihen, welche im folgenden nicht mitgeteilt sind, ebenso wie einige Einzelfälle von kurzen Störungen im Uhrwerk oder Chronographen, weil in diesen Fällen die Beobachtungen als nicht bestehend angesehen werden können. Die Witterungs-umstände haben noch in 29 Fällen zum Ausschluß einzelner Sterne Anlaß gegeben, während schließlich noch 6 Beobachtungen wegen anormaler Abweichung als verfehlt angesehen worden sind.

Von einigen Abkürzungen ist in den Tabellen V Gebrauch gemacht, es bedeutet danach: K. = Kontakte, d. W. = dichte Wolken, unr. = unruhig, schw. = schwach, uns. = unsicher. Die Rechnungen für diese Tabellen sind von mir doppelt ausgeführt worden.

Nach den Beobachtungen jedes Sternpaares sind als Resultate der Auflösung der Bedingungs-gleichungen die Werte der Unbekannten mit ihren m. F., ferner der Fehler der Gewichtseinheit im Parallel der Gruppe, wie im gr. Kr. gegeben.

Tabelle V.

Sternpaar 1.

2—1.

Nr.	Datum	$\Delta\alpha$ app.	$\Delta\alpha$ 1912.0	Gew.	Bedingungsgleichung			$v_p \sqrt{p}$	$v_n \sqrt{p}$	Bemerkungen
1910										
1	Okt. 31	^m 31.412	^m 31.421	1.0	$x_1 - 1.17$	$y_1 + 0.48$	$\Delta\pi_1 = + 70$	$+ 17$	$+ 18$	
2	Nov. 2	434	443	1.0	$- 1.16$	$+ 0.45$	$= + 92$	$+ 38$	$+ 39$	
3	8	371	380	1.0	$- 1.15$	$+ 0.36$	$= + 29$	$- 25$	$- 26$	
1911										
4	Jan. 6	395	390	1.0	$- 0.99$	$- 0.60$	$= + 39$	$- 19$	$- 20$	
5	18	412	405	1.0	$- 0.95$	$- 0.75$	$= + 54$	$- 4$	$- 4$	
6	20	442	435	1.0	$- 0.94$	$- 0.77$	$= + 81$	$+ 26$	$+ 27$	
7	27	448	439	1.0	$- 0.92$	$- 0.84$	$= + 88$	$+ 29$	$+ 30$	
8	30	452	442	1.0	$- 0.91$	$- 0.86$	$= + 91$	$+ 32$	$+ 33$	
9	Febr. 1	386	379	1.0	$- 0.91$	$- 0.88$	$= + 28$	$- 31$	$- 32$	
10	3	361	351	0.5	$- 0.90$	$- 0.89$	$= 0$	$- 41$	$- 42$	10 K.
11	6	397	387	0.5	$- 0.89$	$- 0.91$	$= + 36$	$- 16$	$- 16$	
12	8	444	434	1.0	$- 0.88$	$- 0.92$	$= + 83$	$+ 24$	$+ 25$	
13	13	442	430	1.0	$- 0.88$	$- 0.95$	$= + 79$	$+ 20$	$+ 21$	40 K.
14	14	436	423	1.0	$- 0.87$	$- 0.95$	$= + 72$	$+ 13$	$+ 13$	
15	16	416	404	1.0	$- 0.85$	$- 0.96$	$= + 53$	$- 6$	$- 6$	
16	24	393	381	1.0	$- 0.84$	$- 0.98$	$= + 30$	$- 29$	$- 30$	
17	28	427	414	1.0	$- 0.84$	$- 0.98$	$= + 63$	$+ 4$	$+ 4$	
18	Sept. 21	389	398	1.0	$- 0.28$	$+ 0.92$	$= + 47$	$- 5$	$- 5$	
19	22	427	435	1.0	$- 0.28$	$+ 0.92$	$= + 84$	$+ 32$	$+ 33$	
20	23	388	396	1.0	$- 0.27$	$+ 0.91$	$= + 45$	$- 7$	$- 7$	
21	24	416	424	1.0	$- 0.27$	$+ 0.90$	$= + 73$	$+ 21$	$+ 22$	
22	27	395	403	1.0	$- 0.26$	$+ 0.88$	$= + 52$	0	0	W.
23	Okt. 3	386	394	1.0	$- 0.25$	$+ 0.83$	$= + 43$	$- 9$	$- 9$	
24	4	339	347	0	$- 0.24$	$+ 0.82$	$= - 4$			d. d. W.
25	6	376	384	1.0	$- 0.24$	$+ 0.80$	$= + 33$	$- 19$	$- 20$	
26	11	410	417	1.0	$- 0.22$	$+ 0.75$	$= + 66$	$+ 13$	$+ 13$	
27	15	390	398	1.0	$- 0.21$	$+ 0.70$	$= + 47$	$- 6$	$- 6$	W., 40 K.
28	17	384	392	1.0	$- 0.21$	$+ 0.68$	$= + 41$	$- 12$	$- 12$	
29	18	401	409	1.0	$- 0.20$	$+ 0.66$	$= + 58$	$+ 5$	$+ 5$	
30	19	389	397	1.0	$- 0.20$	$+ 0.65$	$= + 46$	$- 7$	$- 7$	
1912										
31	Jan. 27	377	364	1.0	$+ 0.07$	$- 0.84$	$= + 13$	$- 46$	$- 47$	
32	28	458	443	1.0	$+ 0.07$	$- 0.85$	$= + 92$	$+ 33$	$+ 34$	1:40 K.
33	30	441	417	1.0	$+ 0.08$	$- 0.86$	$= + 66$	$+ 7$	$+ 7$	
34	Febr. 5	428	413	1.0	$+ 0.10$	$- 0.91$	$= + 62$	$+ 3$	$+ 3$	
35	6	439	423	1.0	$+ 0.10$	$- 0.91$	$= + 72$	$+ 13$	$+ 13$	
36	10	376	361	1.0	$+ 0.11$	$- 0.93$	$= + 10$	$- 49$	$- 50$	
37	13	401	386	1.0	$+ 0.12$	$- 0.95$	$= + 35$	$- 24$	$- 25$	
38	21	424	410	1.0	$+ 0.14$	$- 0.97$	$= + 59$	0	0	

Nr.	Datum	$\Delta \alpha$ app.	$\Delta \alpha$ 1912.0	Gew.	Bedingungsgleichung			$v_x \sqrt{p}$	$v_y \sqrt{p}$	Bemerkungen
	1912	^m ^s	^m ^s							
39	Sept. 11	1 31.407	1 31.410	1.0	$x_1 + 0.70$	$y_1 + 0.97$	$\Delta \pi_1 = + 59$	$+ 7$	$+ 7$	unsicher
40	12	384	389	1.0	$+ 0.70$	$+ 0.97$	$= + 88$	$- 14$	$- 14$	
41	13	359	963	0.5	$+ 0.70$	$+ 0.96$	$= + 12$	$- 28$	$- 29$	
42	17	370	373	1.0	$+ 0.71$	$+ 0.94$	$= + 22$	$- 30$	$- 31$	
43	30	402	407	1.0	$+ 0.75$	$+ 0.85$	$= + 56$	$+ 4$	$+ 4$	
44	Okt. 3	356	362	1.0	$+ 0.76$	$+ 0.82$	$= + 11$	$- 41$	$- 42$	
45	5	430	435	1.0	$+ 0.76$	$+ 0.81$	$= + 84$	$+ 32$	$+ 33$	
46	6	382	387	1.0	$+ 0.76$	$+ 0.80$	$= + 36$	$- 16$	$- 17$	
47	25	404	410	1.0	$+ 0.82$	$+ 0.56$	$= + 59$	$+ 6$	$+ 6$	
48	27	406	412	1.0	$+ 0.82$	$+ 0.53$	$= + 61$	$+ 7$	$+ 7$	
	1913									
49	Jan. 16	394	381	1.0	$+ 1.04$	$- 0.73$	$= + 30$	$- 28$	$- 29$	40 K. 40 K., W. 2:40 K.
50	28	428	412	1.0	$+ 1.08$	$- 0.85$	$= + 61$	$+ 2$	$+ 2$	
51	Febr. 3	385	370	1.0	$+ 1.09$	$- 0.90$	$= + 19$	$- 40$	$- 41$	
52	9	468	452	1.0	$+ 1.11$	$- 0.93$	$= + 101$	$+ 42$	$+ 42$	
53	10	435	418	1.0	$+ 1.11$	$- 0.94$	$= + 67$	$+ 8$	$+ 8$	W. 2:40 K.
54	11	445	428	1.0	$+ 1.12$	$- 0.94$	$= + 77$	$+ 18$	$+ 19$	
55	14	443	425	1.0	$+ 1.12$	$- 0.96$	$= + 74$	$+ 15$	$+ 15$	
56	18	423	404	1.0	$+ 1.13$	$- 0.97$	$= + 53$	$- 6$	$- 6$	
57	19	414	395	1.0	$+ 1.14$	$- 0.97$	$= + 44$	$- 15$	$- 15$	1: unruhig, 40 K.
58	21	448	430	1.0	$+ 1.14$	$- 0.97$	$= + 79$	$+ 20$	$+ 21$	
59	22	472	454	1.0	$+ 1.14$	$- 0.97$	$= + 103$	$+ 44$	$+ 45$	
60	24	436	416	1.0	$+ 1.15$	$- 0.98$	$= + 65$	$+ 6$	$+ 6$	
61	25	412	393	1.0	$+ 1.15$	$- 0.98$	$= + 42$	$- 17$	$- 18$	schwach, 40 K. 2 unruhig, 40 K.
62	26	425	405	1.0	$+ 1.16$	$- 0.98$	$= + 54$	$- 5$	$- 5$	
63	28	431	411	1.0	$+ 1.16$	$- 0.98$	$= + 60$	$+ 1$	$+ 1$	
64	Sept. 13	378	376	1.0	$+ 1.70$	$+ 0.96$	$= + 25$	$- 27$	$- 28$	
65	14	427	425	1.0	$+ 1.70$	$+ 0.96$	$= + 74$	$+ 22$	$+ 23$	W.
66	15	415	413	1.0	$+ 1.71$	$+ 0.96$	$= + 62$	$+ 10$	$+ 10$	
67	16	417	415	1.0	$+ 1.71$	$+ 0.95$	$= + 64$	$+ 12$	$+ 12$	
68	25	401	390	1.0	$+ 1.73$	$+ 0.89$	$= + 48$	$- 4$	$- 4$	
69	26	443	440	1.0	$+ 1.74$	$+ 0.89$	$= + 89$	$+ 37$	$+ 38$	3: schwach
70	27	411	408	1.0	$+ 1.74$	$+ 0.88$	$= + 57$	$+ 5$	$+ 5$	
71	28	425	423	1.0	$+ 1.74$	$+ 0.87$	$= + 72$	$+ 20$	$+ 21$	
72	29	411	408	1.0	$+ 1.75$	$+ 0.86$	$= + 57$	$+ 5$	$+ 5$	
73	Okt. 2	389	387	1.0	$+ 1.75$	$+ 0.83$	$= + 36$	$- 16$	$- 16$	W.
74	6	405	403	1.0	$+ 1.76$	$+ 0.80$	$= + 52$	$- 1$	$- 1$	
75	11	380	379	1.0	$+ 1.78$	$+ 0.74$	$= + 28$	$- 25$	$- 26$	

$$\begin{aligned}
 x_1 &= + 0.0555 \\
 y_1 &= + 0.0001 \quad \pm 0.0029 \\
 \Delta \pi_1 &= + 0.0039 \quad + 0.0031 \\
 \varepsilon_1 &= \pm 0.0223 \\
 \varepsilon_1 \cos \delta &= \pm 0.0153
 \end{aligned}$$

Sternpaar 2.

3-2.

	1910	^m ^s	^m ^s							
1	Okt. 31	2 32.826	2 32.809	1.0	$x_2 - 1.17$	$y_2 - 0.48$	$\Delta \pi_2 = + 50$	$+ 6$	$+ 6$	3: schwach
2	Nov. 2	805	788	0.5	$- 1.16$	$- 0.45$	$= + 29$	$- 10$	$- 10$	
3	8	800	785	1.0	$- 1.15$	$- 0.36$	$= + 26$	$- 18$	$- 19$	
	1911									
4	Jan. 6	823	790	1.0	$- 0.99$	$+ 0.60$	$= + 31$	$- 16$	$- 17$	
5	18	825	790	1.0	$- 0.95$	$+ 0.75$	$= + 31$	$- 17$	$- 18$	
6	20	872	836	1.0	$- 0.94$	$+ 0.77$	$= + 77$	$+ 29$	$+ 30$	
7	27	868	830	1.0	$- 0.93$	$+ 0.84$	$= + 71$	$+ 23$	$+ 24$	
8	30	885	845	1.0	$- 0.92$	$+ 0.86$	$= + 86$	$+ 38$	$+ 39$	
9	Febr. 1	825	789	1.0	$- 0.91$	$+ 0.88$	$= + 30$	$- 18$	$- 19$	
10	3	865	824	1.0	$- 0.91$	$+ 0.89$	$= + 65$	$+ 17$	$+ 18$	
11	6	815	776	0.5	$- 0.90$	$+ 0.91$	$= + 17$	$- 22$	$- 23$	

Nr.	Datum	$\Delta \alpha$ app.	$\Delta \alpha$ 1912.0	Gew.	Bedingungsgleichung			$v_s \sqrt{p}$	$v_n \sqrt{p}$	Bemerkungen
1911										
12	Febr. 8	^m 2 32.850	^m 2 32.808	1.0	$x_2 - 0.89$	$y_2 + 0.92$	$\Delta \pi_2 = + 49$	+ 1	+ 1	40 K.
13	13	807	766	1.0	- 0.88	+ 0.95	= + 7	- 41	- 42	
14	14	869	826	1.0	- 0.88	+ 0.95	= + 67	+ 19	+ 20	
15	16	878	835	1.0	- 0.87	+ 0.96	= + 76	+ 28	+ 29	
16	24	880	838	1.0	- 0.85	+ 0.98	= + 79	+ 81	+ 32	
17	26	830	787	1.0	- 0.84	+ 0.98	= + 28	- 20	- 21	
18	28	826	782	1.0	- 0.84	+ 0.98	= + 23	- 25	- 26	
19	Sept. 21	824	829	1.0	- 0.28	- 0.92	= + 70	+ 28	+ 20	40 K.
20	22	807	811	1.0	- 0.28	- 0.92	= + 52	+ 10	+ 10	
21	23	760	764	1.0	- 0.27	- 0.91	= + 5	- 37	- 38	
22	24	763	767	1.0	- 0.27	- 0.90	= + 8	- 34	- 35	d. d. W.
23	Okt. 3	822	826	1.0	- 0.25	- 0.83	= + 67	+ 25	+ 26	
24	4	782	787	0	- 0.24	- 0.82	= + 28			
25	6	805	812	1.0	- 0.24	- 0.80	= + 53	+ 11	+ 11	
26	11	807	813	1.0	- 0.22	- 0.75	= + 54	+ 12	+ 12	
27	17	794	800	1.0	- 0.21	- 0.68	= + 41	- 1	- 1	
28	18	788	795	1.0	- 0.20	- 0.66	= + 36	- 7	- 7	
29	19	764	772	1.0	- 0.20	- 0.65	= + 13	- 30	- 31	
1912										
30	Jan. 27	857	841	1.0	+ 0.07	+ 0.84	= + 82	+ 35	+ 35	
31	28	847	824	1.0	+ 0.07	+ 0.85	= + 65	+ 18	+ 19	
32	30	812	793	1.0	+ 0.08	+ 0.86	= + 34	- 13	- 13	
33	Febr. 5	849	828	1.0	+ 0.10	+ 0.91	= + 69	+ 22	+ 23	
34	6	803	780	1.0	+ 0.10	+ 0.91	= + 21	+ 26	+ 27	
35	10	888	816	1.0	+ 0.11	+ 0.93	= + 57	+ 10	+ 10	
36	13	815	794	1.0	+ 0.12	+ 0.95	= + 35	- 12	- 12	
37	21	828	811	1.0	+ 0.14	+ 0.97	= + 52	+ 5	+ 5	unsicher
38	Sept. 11	784	806	1.0	+ 0.70	- 0.97	= + 47	+ 6	+ 6	
39	12	806	829	1.0	+ 0.70	- 0.97	= + 70	+ 29	+ 30	
40	13	837	860	0.5	+ 0.70	- 0.96	= + 101	+ 42	+ 43	
41	17	763	785	1.0	+ 0.71	- 0.94	= + 26	- 15	- 16	
42	30	783	810	1.0	+ 0.75	- 0.85	= + 51	+ 10	+ 10	
43	Okt. 3	758	789	1.0	+ 0.76	- 0.82	= + 30	- 11	- 11	
44	5	798	820	0.5	+ 0.76	- 0.81	= + 61	+ 14	+ 14	d. W., 3:15 K.
45	6	738	767	1.0	+ 0.76	- 0.80	= + 8	- 33	- 34	
46	25	772	803	1.0	+ 0.82	- 0.56	= + 44	+ 2	+ 3	
47	27	729	759	1.0	+ 0.82	- 0.53	= 0	- 42	- 43	
1913										
48	Jan. 16	776	784	1.0	+ 1.04	+ 0.73	= + 25	- 21	- 22	40 K. 40 K., W. 2:40 K.
49	28	816	819	1.0	+ 1.08	+ 0.85	= + 60	+ 14	+ 14	
50	Febr. 3	775	780	1.0	+ 1.09	+ 0.90	= + 21	- 25	- 26	
51	9	764	770	1.0	+ 1.11	+ 0.93	= + 11	- 35	- 36	
52	10	800	807	1.0	+ 1.11	+ 0.94	= + 48	+ 2	+ 2	
53	11	838	844	1.0	+ 1.11	+ 0.94	= + 85	+ 39	+ 40	
54	14	811	813	1.0	+ 1.12	+ 0.96	= + 54	+ 7	+ 7	
55	18	840	841	1.0	+ 1.13	+ 0.97	= + 82	+ 85	+ 36	W. 2:40 K.
56	19	796	796	1.0	+ 1.14	+ 0.97	= + 37	- 10	- 10	
57	21	795	796	1.0	+ 1.14	+ 0.97	= + 37	- 10	- 10	
58	22	822	822	1.0	+ 1.14	+ 0.97	= + 63	+ 16	+ 17	
59	24	774	773	1.0	+ 1.15	+ 0.98	= + 14	- 33	- 34	
60	25	783	784	1.0	+ 1.15	+ 0.98	= + 25	- 22	- 23	
61	26	814	814	1.0	+ 1.16	+ 0.98	= + 55	+ 8	+ 8	
62	28	792	791	1.0	+ 1.16	+ 0.98	= + 32	- 15	- 16	schwach, 40 K. 2 unruhig, 40 K.
63	Sept. 13	765	806	1.0	+ 1.70	- 0.96	= + 47	+ 7	+ 7	
64	14	773	814	1.0	+ 1.70	- 0.96	= + 55	+ 15	+ 16	
65	15	737	777	1.0	+ 1.71	- 0.96	= + 18	- 22	- 23	
66	16	752	794	1.0	+ 1.71	- 0.95	= + 35	- 5	- 5	
67	25	741	784	1.0	+ 1.73	- 0.89	= + 25	- 15	- 16	
68	26	771	814	1.0	+ 1.74	- 0.89	= + 55	+ 15	+ 16	
69	27	743	787	1.0	+ 1.74	- 0.88	= + 28	- 12	- 12	
70	28	745	789	1.0	+ 1.74	- 0.87	= + 30	- 10	- 10	

Nr.	Datum	$\Delta \alpha$ app.	$\Delta \alpha$ 1912.0	Gew.	Bedingungsgleichung	$v_s \sqrt{p}$	$v_n \sqrt{p}$	Bemerkungen
71	1913 Sept. 29	^m 2 ^s 32.798	^m 2 ^s 32.841	1.0	$x_2 + 1.75 \quad y_2 - 0.86 \quad \Delta \pi_2 = + 82$ $+ 1.75 \quad - 0.83 \quad = + 29$ $+ 1.76 \quad - 0.80 \quad = - 26$ $+ 1.78 \quad - 0.74 \quad = + 77$	$+ 42$ $- 11$ $- 26$ $+ 37$	$+ 43$ $- 11$ $- 26$ $+ 38$	3: ganz unsicher W.
72	Okt. 2	743	788	1.0				
73	6	688	733	0				
74	11	789	836	1.0				

$$\begin{aligned}
 x_2 &= + 0.0445 \\
 y_2 &= - 0.0009 \pm 0.0030 \\
 \Delta \pi_2 &= + 0.0032 \pm 0.0034 \\
 \varepsilon_2 &= \pm 0.0234 \\
 \varepsilon_2 \cos \delta &= \pm 0.0161
 \end{aligned}$$

Sternpaar 3.

5-4.

1	1910 Okt. 8	^m 3 ^s 21.660	^m 3 ^s 24.744	1.0	$x_3 - 1.23$	$y_3 + 0.81$	$\Delta \pi_3 = + 48$	$- 10$	$- 11$	4: unsicher, 40 K.
2	16	636	716	1.0	$- 1.21$	$+ 0.73$	$= + 20$	$- 39$	$- 42$	
3	17	701	781	1.0	$- 1.21$	$+ 0.72$	$= + 85$	$+ 27$	$+ 30$	
4	28	677	753	1.0	$- 1.18$	$+ 0.57$	$= + 57$	0	0	
5	30	677	752	0.5	$- 1.17$	$+ 0.55$	$= + 56$	$- 1$	$- 1$	unruhig, unsicher unsicher, schwach 4: schwach
6	31	653	727	0.5	$- 1.17$	$+ 0.53$	$= + 31$	$- 18$	$- 20$	
7	Nov. 2	630	702	0.5	$- 1.16$	$+ 0.50$	$= + 6$	$- 36$	$- 40$	
8	8	673	743	1.0	$- 1.15$	$+ 0.41$	$= + 47$	$- 9$	$- 10$	
9	1911 Jan. 1	731	760	1.0	$- 1.00$	$- 0.48$	$= + 64$	$+ 14$	$+ 16$	W., 40 K.
10	6	713	741	1.0	$- 0.99$	$- 0.56$	$= + 45$	$- 5$	$- 6$	
11	18	696	719	1.0	$- 0.95$	$- 0.71$	$= + 23$	$- 26$	$- 29$	
12	30	713	731	1.0	$- 0.92$	$- 0.84$	$= + 35$	$- 13$	$- 15$	
13	Febr. 1	694	717	1.0	$- 0.91$	$- 0.86$	$= + 21$	$- 27$	$- 30$	
14	8	710	728	1.0	$- 0.91$	$- 0.87$	$= + 32$	$- 16$	$- 18$	
15	6	705	723	0.5	$- 0.90$	$- 0.89$	$= + 27$	$- 15$	$- 17$	
16	14	747	764	1.0	$- 0.88$	$- 0.94$	$= + 68$	$+ 20$	$+ 22$	
17	16	752	768	1.0	$- 0.87$	$- 0.95$	$= + 72$	$+ 24$	$+ 27$	
18	24	731	746	1.0	$- 0.85$	$- 0.98$	$= + 50$	$+ 2$	$+ 2$	
19	26	780	794	1.0	$- 0.84$	$- 0.98$	$= + 98$	$+ 50$	$+ 56$	
20	28	719	734	1.0	$- 0.84$	$- 0.98$	$= + 38$	$- 10$	$- 11$	
21	Sept. 21	728	760	1.0	$- 0.28$	$+ 0.95$	$= + 64$	0	0	
22	22	744	776	1.0	$- 0.28$	$+ 0.94$	$= + 80$	$+ 16$	$+ 18$	
23	23	740	771	1.0	$- 0.27$	$+ 0.94$	$= + 75$	$+ 11$	$+ 12$	
24	24	693	724	1.0	$- 0.27$	$+ 0.93$	$= + 28$	$- 36$	$- 40$	
25	26	766	797	0.5	$- 0.26$	$+ 0.92$	$= + 101$	$+ 26$	$+ 29$	unsicher W.
26	Okt. 3	752	779	1.0	$- 0.25$	$+ 0.86$	$= + 83$	$+ 19$	$+ 21$	
27	4	735	763	1.0	$- 0.24$	$+ 0.85$	$= + 67$	$+ 3$	$+ 3$	
28	6	703	731	1.0	$- 0.24$	$+ 0.84$	$= + 35$	$- 29$	$- 32$	
29	11	726	752	1.0	$- 0.22$	$+ 0.79$	$= + 56$	$- 7$	$- 8$	5: 40 K. schwach, 40 K.
30	15	776	799	1.0	$- 0.21$	$+ 0.74$	$= + 103$	$+ 40$	$+ 45$	
31	17	739	761	1.0	$- 0.21$	$+ 0.72$	$= + 65$	$+ 2$	$+ 2$	
32	18	772	794	1.0	$- 0.20$	$+ 0.71$	$= + 98$	$+ 35$	$+ 39$	
33	19	710	731	1.0	$- 0.20$	$+ 0.70$	$= + 35$	$- 28$	$- 31$	ganz schwach
34	1912 Jan. 27	759	729	1.0	$+ 0.07$	$- 0.81$	$= + 33$	$- 21$	$- 23$	
35	30	809	777	1.0	$+ 0.08$	$- 0.84$	$= + 81$	$+ 28$	$+ 31$	
36	Febr. 5	795	760	1.0	$+ 0.10$	$- 0.89$	$= + 64$	$+ 11$	$+ 12$	
37	6	730	696	1.0	$+ 0.10$	$- 0.89$	$= 0$	$- 53$	$- 59$	
38	9	820	784	1.0	$+ 0.11$	$- 0.91$	$= + 88$	$+ 35$	$+ 39$	
39	21	827	789	0.5	$+ 0.14$	$- 0.97$	$= + 93$	$+ 28$	$+ 31$	
40	Sept. 11	766	750	1.0	$+ 0.70$	$+ 0.98$	$= + 54$	$- 16$	$- 18$	
41	12	782	764	1.0	$+ 0.70$	$+ 0.98$	$= + 68$	$- 2$	$- 2$	
42	13	789	771	1.0	$+ 0.70$	$+ 0.98$	$= + 75$	$+ 5$	$+ 6$	
43	17	818	799	1.0	$+ 0.71$	$+ 0.96$	$= + 103$	$+ 33$	$+ 37$	

Nr.	Datum	$\Delta\alpha$ app.	$\Delta\alpha$ 1912.0	Gew.	Bedingungsgleichung			v, V_p	v, V_p	Bemerkungen
44	1912 Sept. 20	^m 24.765	^m 24.746	1.0	$x_3 + 0.72$	$y_3 + 0.95$	$\Delta\pi_3 = + 50$	- 20	- 22	ganz unsicher
45	30	833	811	1.0	+ 0.75	+ 0.88	= + 115	+ 46	+ 51	
46	Okt. 3	809	787	0.5	+ 0.76	+ 0.85	= + 91	+ 15	+ 17	
47	6	840	816	1.0	+ 0.76	+ 0.83	= + 120	+ 51	+ 57	
48	22	791	759	1.0	+ 0.81	+ 0.65	= + 63	- 5	- 6	
49	27	773	738	1.0	+ 0.82	+ 0.58	= + 42	- 25	- 28	W.
50	1913 Jan. 16	845	766	1.0	+ 1.04	- 0.70	= + 70	+ 11	+ 12	5:40 K.
51	28	875	790	1.0	+ 1.08	- 0.83	= + 94	+ 35	+ 39	
52	30	852	766	0.5	+ 1.08	- 0.84	= + 70	+ 8	+ 9	
53	Febr. 9	854	764	1.0	+ 1.11	- 0.92	= + 68	+ 10	+ 11	
54	14	846	757	1.0	+ 1.12	- 0.94	= + 61	+ 3	+ 3	
55	18	801	710	1.0	+ 1.13	- 0.96	= + 14	- 44	- 49	unsicher
56	21	846	755	1.0	+ 1.14	- 0.97	= + 59	+ 1	+ 1	
57	22	843	752	1.0	+ 1.14	- 0.97	= + 56	- 2	- 2	
58	24	816	724	1.0	+ 1.15	- 0.98	= + 28	- 30	- 33	
59	25	797	706	0.5	+ 1.15	- 0.98	= + 10	- 34	- 38	
60	26	873	781	1.0	+ 1.16	- 0.98	= + 85	+ 27	+ 30	g. verwaschen und unr., unbrauchbar
61	28	841	749	1.0	+ 1.16	- 0.98	= + 53	- 5	- 6	
62	März 2	910	818	0	+ 1.17	- 0.98	= + 122			
63	Sept. 13	784	712	1.0	+ 1.70	+ 0.98	= + 16	- 59	- 66	
64	14	848	775	1.0	+ 1.70	+ 0.98	= + 79	+ 4	+ 4	
65	15	846	773	1.0	+ 1.71	+ 0.97	= + 77	+ 2	+ 2	40 K.
66	16	838	764	1.0	+ 1.71	+ 0.97	= + 68	- 7	- 8	
67	26	867	790	1.0	+ 1.74	+ 0.91	= + 94	+ 19	+ 21	
68	27	830	753	1.0	+ 1.74	+ 0.91	= + 57	- 18	- 20	
69	28	865	788	1.0	+ 1.74	+ 0.90	= + 92	+ 17	+ 19	
70	29	860	782	1.0	+ 1.75	+ 0.89	= + 86	+ 11	+ 12	5:40 K. unruhig, 40 K.
71	Okt. 2	843	764	1.0	+ 1.75	+ 0.87	= + 68	- 7	- 8	
72	6	833	753	1.0	+ 1.76	+ 0.83	= + 57	- 17	- 19	
73	10	846	764	0.5	+ 1.78	+ 0.79	= + 68	- 4	- 4	
74	11	841	759	1.0	+ 1.78	+ 0.78	= + 63	- 11	- 12	

$$\begin{aligned}
 x_3 &= + 0.0590 \\
 y_3 &= + 0.0053 \pm 0.0031 \\
 \Delta\pi_3 &= + 0.0071 \pm 0.0037 \\
 \epsilon_3 &= \pm 0.0254 \\
 \epsilon_3 \cos \delta &= \pm 0.0189
 \end{aligned}$$

Sternpaar 4.

6-5.

1	1910 Okt. 8	^m 29.548	^m 29.529	1.0	$x_4 - 1.23$	$y_4 - 0.81$	$\Delta\pi_4 = + 84$	+ 14	+ 16	unruhig, unsicher sehr schwach
2	17	534	514	1.0	- 1.21	- 0.72	= + 69	0	0	
3	28	536	513	1.0	- 1.18	- 0.57	= + 68	- 1	- 1	
4	30	510	486	0.5	- 1.17	- 0.55	= + 41	- 20	- 22	
5	31	539	514	0.5	- 1.17	- 0.53	= + 69	0	0	
6	Nov. 2	568	568	1.0	- 1.16	- 0.50	= + 97	+ 29	+ 32	
7	8	511	483	1.0	- 1.15	- 0.41	= + 38	- 30	- 33	
8	1911 Jan. 1	592	542	1.0	- 1.00	+ 0.48	= + 97	+ 33	+ 37	sehr unruh., schwach
9	6	588	537	1.0	- 0.99	+ 0.56	= + 92	+ 28	+ 31	
10	18	567	515	1.0	- 0.95	+ 0.71	= + 70	+ 7	+ 8	
11	30	553	501	1.0	- 0.92	+ 0.84	= + 56	- 7	- 8	
12	Febr. 1	600	555	0.5	- 0.91	+ 0.86	= + 110	+ 34	+ 38	
13	6	543	494	0.5	- 0.90	+ 0.89	= + 49	- 9	- 10	
14	14	497	449	1.0	- 0.88	+ 0.94	= + 4	- 58	- 65	
15	16	482	435	0	- 0.87	+ 0.95	= + 10			6: ganz schwach
16	24	503	457	1.0	- 0.85	+ 0.98	= + 12	- 50	- 56	

Nr.	Datum	$\Delta \alpha$ app.	$\Delta \alpha$ 1912.0	Gew.	Bedingungsgleichung	$v_s V_p$	$v_n V_p$	Bemerkungen
17	1911 Febr. 26	^m 29.539	^m 29.493	1.0	$x_4 - 0.85 y_4 + 0.98 \Delta \pi_4 = + 48$	- 14	- 16	W., 40 K.
18	28	588	542	1.0	$- 0.84 y_4 + 0.98 \Delta \pi_4 = + 97$	+ 35	+ 39	
19	Sept. 21	517	523	1.0	$- 0.28 - 0.95 = + 78$	+ 12	+ 13	
20	22	480	485	1.0	$- 0.28 - 0.94 = + 40$	- 26	- 29	
21	26	499	505	0.5	$- 0.26 - 0.92 = + 60$	- 4	- 4	unsicher
22	Okt. 3	549	551	1.0	$- 0.25 - 0.86 = + 106$	+ 40	+ 45	
23	11	540	544	1.0	$- 0.22 - 0.79 = + 99$	+ 33	+ 37	5:40 K.
24	17	466	467	1.0	$- 0.21 - 0.72 = + 22$	- 43	- 48	
25	19	492	491	1.0	$- 0.20 - 0.70 = + 46$	- 19	- 21	
26	1912 Jan. 27	538	513	1.0	$+ 0.07 + 0.81 = + 68$	+ 9	+ 10	
27	30	496	478	1.0	$+ 0.08 + 0.84 = + 33$	- 26	- 29	
28	Febr. 6	558	540	1.0	$+ 0.10 + 0.89 = + 95$	+ 37	+ 41	
29	9	537	517	1.0	$+ 0.11 + 0.91 = + 72$	+ 14	+ 16	
30	21	560	540	0.5	$+ 0.14 + 0.97 = + 95$	+ 26	+ 29	ganz schwach
31	Sept. 12	432	471	1.0	$+ 0.70 - 0.98 = + 26$	- 37	- 41	
32	13	506	545	1.0	$+ 0.70 - 0.98 = + 100$	+ 37	+ 41	
33	17	422	460	1.0	$+ 0.71 - 0.96 = + 15$	- 48	- 53	
34	20	486	525	1.0	$+ 0.72 - 0.95 = + 80$	+ 17	+ 19	
35	Okt. 6	460	494	1.0	$+ 0.76 - 0.88 = + 49$	- 13	- 14	
36	22	471	509	1.0	$+ 0.81 - 0.65 = + 55$	- 6	- 7	
37	27	476	504	1.0	$+ 0.82 - 0.58 = + 59$	- 2	- 2	
38	1913 Jan. 16	537	544	1.0	$+ 1.04 + 0.70 = + 99$	+ 44	+ 49	
39	28	495	497	1.0	$+ 1.08 + 0.83 = + 52$	- 3	- 3	5:40 K.
40	30	518	521	0.5	$+ 1.08 + 0.84 = + 76$	+ 15	+ 17	
41	Febr. 9	522	519	1.0	$+ 1.11 + 0.92 = + 74$	+ 20	+ 22	
42	14	455	456	1.0	$+ 1.12 + 0.94 = + 11$	- 43	- 48	
43	18	511	511	1.0	$+ 1.13 + 0.96 = + 66$	+ 12	+ 13	
44	21	514	515	0.5	$+ 1.14 + 0.97 = + 70$	+ 10	+ 11	d. W.
45	22	489	490	1.0	$+ 1.14 + 0.97 = + 45$	- 9	- 10	
46	24	489	489	1.0	$+ 1.15 + 0.98 = + 44$	- 10	- 11	
47	25	483	484	1.0	$+ 1.15 + 0.98 = + 39$	- 15	- 17	
48	26	470	472	1.0	$+ 1.16 + 0.98 = + 27$	- 27	- 30	
49	28	492	495	1.0	$+ 1.16 + 0.98 = + 50$	- 4	- 4	
50	März 2	498	501	0	$+ 1.17 + 0.98 = + 56$			g. verwaschen und unruh., unbrauchb.
51	Sept. 13	467	535	1.0	$+ 1.70 - 0.98 = + 90$	+ 31	+ 35	
52	14	431	498	1.0	$+ 1.70 - 0.98 = + 53$	- 6	- 7	
53	15	459	525	1.0	$+ 1.71 - 0.97 = + 80$	+ 21	+ 23	
54	16	408	474	1.0	$+ 1.71 - 0.97 = + 29$	- 30	- 33	40 K.
55	25	424	488	1.0	$+ 1.73 - 0.92 = + 43$	- 16	- 18	
56	26	410	475	1.0	$+ 1.74 - 0.91 = + 30$	- 29	- 32	
57	27	476	541	1.0	$+ 1.74 - 0.91 = + 96$	+ 37	+ 41	5:40 K.
58	28	394	458	1.0	$+ 1.74 - 0.90 = + 13$	- 45	- 50	unruhig, 40 K.
59	29	425	489	1.0	$+ 1.75 - 0.89 = + 44$	- 14	- 18	
60	Okt. 2	436	499	1.0	$+ 1.76 - 0.87 = + 54$	- 4	- 4	
61	6	493	555	1.0	$+ 1.76 - 0.83 = + 110$	+ 52	+ 58	
62	10	509	569	0.5	$+ 1.78 - 0.79 = + 124$	+ 46	+ 51	

$$\begin{aligned}
 x_4 &= + 0.0620 \\
 y_4 &= - 0.0039 \pm 0.0038 \\
 \Delta \pi_4 &= - 0.0036 \pm 0.0047
 \end{aligned}$$

$$\begin{aligned}
 \varepsilon_4 &= \pm 0.0292 \\
 \varepsilon_4 \cos \delta &= \pm 0.0217
 \end{aligned}$$

Sternpaar 5.

8-7.

Nr.	Datum	$\Delta \alpha$ app.	$\Delta \alpha$ 1912.0	Gew.	Bedingungsgleichung			$v_s \sqrt{p}$	$v_n \sqrt{p}$	Bemerkungen
	1910									
1	Okt. 12	2 ^m 6.425	2 ^m 6.397	0.5	$x_s - 1.22$	$y_s + 0.79$	$\Delta \pi_s = + 1$	- 49	- 40	
2	16	450	423	0.5	- 1.21	+ 6.74	= + 27	- 31	- 25	
3	17	484	456	1.0	- 1.21	+ 0.73	= + 60	- 11	- 9	
4	28	551	527	0.5	- 1.18	+ 0.59	= + 131	+ 42	+ 34	
5	Nov. 2	526	506	1.0	- 1.16	+ 0.52	= + 110	+ 39	+ 32	8: unr., 40 K.
	1911									
6	Jan. 20	556	521	1.0	- 0.94	- 0.73	= + 125	+ 54	+ 44	
7	24	508	471	1.0	- 0.93	- 0.77	= + 75	+ 4	+ 3	
8	27	528	491	1.0	- 0.93	- 0.80	= + 95	+ 24	+ 20	
9	Febr. 8	485	440	1.0	- 0.89	- 0.90	= + 44	- 27	- 22	
10	13	545	501	1.0	- 0.88	- 0.93	= + 105	+ 34	+ 28	
11	14	447	401	1.0	- 0.88	- 0.94	= + 5	- 66	- 54	
12	26	559	508	1.0	- 0.84	- 0.98	= + 112	+ 41	+ 34	
13	28	509	456	1.0	- 0.84	- 0.98	= + 60	- 11	- 9	
14	Sept. 23	475	476	1.0	- 0.27	+ 0.94	= + 80	+ 6	+ 5	
15	24	493	494	1.0	- 0.27	+ 0.94	= + 98	+ 24	+ 20	
16	Okt. 4	399	405	1.0	- 0.24	+ 0.87	= + 9	- 65	- 53	
17	6	502	509	1.0	- 0.24	+ 0.85	= + 113	+ 39	+ 31	
18	18	436	447	1.0	- 0.20	+ 0.72	= + 51	- 23	- 19	unruhig, 40 K.
	1912									
19	Jan. 28	489	420	1.0	+ 0.07	- 0.81	= + 24	- 50	- 41	
20	Febr. 5	548	529	1.0	+ 0.10	- 0.88	= + 133	+ 59	+ 48	
21	10	425	405	1.0	+ 0.11	- 0.91	= + 9	- 65	- 58	40 K.
22	13	438	420	1.0	+ 0.12	- 0.93	= + 24	- 50	- 41	
23	Sept. 30	460	492	1.0	+ 0.75	+ 0.89	= + 96	+ 19	+ 16	
24	Okt. 3	410	449	1.0	+ 0.76	+ 0.87	= + 58	- 24	- 20	40 K.
25	5	450	486	1.0	+ 0.76	+ 0.85	= + 90	+ 13	+ 11	40 K.
26	25	412	458	1.0	+ 0.82	+ 0.63	= + 62	- 15	- 12	
27	27	461	505	1.0	+ 0.82	+ 0.60	= + 109	+ 41	+ 34	
	1913									
28	Jan. 30	491	504	0.5	+ 1.08	- 0.83	= + 108	+ 22	+ 18	
29	Febr. 10	467	489	1.0	+ 1.11	- 0.92	= + 93	+ 16	+ 13	
30	11	469	489	1.0	+ 1.11	- 0.92	= + 93	+ 16	+ 13	W.
31	14	477	491	1.0	+ 1.12	- 0.94	= + 95	+ 18	+ 15	
32	18	398	411	0.5	+ 1.13	- 0.96	= + 15	- 43	- 35	10 K.
33	22	434	444	0.5	+ 1.14	- 0.97	= + 48	- 20	- 16	10 K.
34	24	420	429	1.0	+ 1.15	- 0.98	= + 33	- 44	- 36	
35	25	477	487	1.0	+ 1.15	- 0.98	= + 91	+ 14	+ 11	
36	26	495	505	1.0	+ 1.16	- 0.98	= + 109	+ 32	+ 26	
37	28	508	515	0.5	+ 1.16	- 0.98	= + 119	+ 29	+ 24	schwach
38	März 2	493	498	0.5	+ 1.17	- 0.98	= + 102	+ 18	+ 15	schwach, unruhig
39	Sept. 14	422	471	1.0	+ 1.70	+ 0.98	= + 75	- 5	- 4	
40	16	440	489	1.0	+ 1.71	+ 0.97	= + 93	+ 13	+ 11	
41	25	383	437	1.0	+ 1.73	+ 0.93	= + 41	- 39	- 32	
42	26	472	526	1.0	+ 1.74	+ 0.92	= + 130	+ 50	+ 41	unsicher, 40 K.
43	27	403	459	1.0	+ 1.74	+ 0.92	= + 63	- 17	- 14	
44	28	439	497	1.0	+ 1.74	+ 0.91	= + 101	+ 21	+ 17	
45	29	428	485	1.0	+ 2.75	+ 0.90	= + 89	+ 9	+ 7	
46	Okt. 2	409	468	1.0	+ 1.75	+ 0.88	= + 72	- 8	- 7	
47	6	365	426	1.0	+ 1.76	+ 0.84	= + 30	- 50	- 41	
48	10	435	505	0.5	+ 1.78	+ 0.81	= + 104	+ 17	+ 14	

$$\begin{aligned}
 x_s &= + 0.0741 \\
 y_s &= + 0.0031 \pm 0.0056 \\
 \Delta \pi_s &= + 0.0003 \pm 0.0067
 \end{aligned}$$

$$\begin{aligned}
 \varepsilon_s &= \pm 0.0372 \\
 \varepsilon_s \cos \delta &= \pm 0.0204
 \end{aligned}$$

Sternpaar 6.

9-8.

Nr.	Datum	$\Delta \alpha$ app.	$\Delta \alpha$ 1912.0	Gew.	Bedingungsgleichung	$v_s \sqrt{p}$	$v_n \sqrt{p}$	Bemerkungen
1	1910 März 3	^m 48.954	^m 48.901	1.0	$x_0 - 1.83 \quad y_0 + 0.98 \quad \Delta \pi_0 = + 55$	+ 6	+ 5	
2	Okt. 12	952	948	1.0	- 1.22 - 0.79 = + 102	+ 55	+ 46	
3	17	983	978	0	- 1.21 - 0.73 = + 132			9 : schlecht
4	28	930	927	1.0	- 1.18 - 0.69 = + 81	+ 34	+ 28	
5	Nov. 2	890	888	1.0	- 1.16 - 0.52 = + 42	- 6	- 5	unruhig 40 K.
6	8	930	927	1.0	- 1.15 - 0.43 = + 81	+ 33	+ 27	
7	1911 Jan. 20	903	868	1.0	- 0.94 + 0.73 = + 22	- 31	- 26	
8	24	891	855	1.0	- 0.93 + 0.77 = + 9	- 44	- 36	
9	27	888	850	1.0	- 0.93 + 0.80 = + 4	- 49	- 41	
10	30	934	893	1.0	- 0.92 + 0.83 = + 47	- 6	- 5	
11	Febr. 8	957	915	1.0	- 0.89 + 0.90 = + 69	+ 16	+ 13	
12	13	888	846	1.0	- 0.88 + 0.93 = 0	- 54	- 45	
13	14	929	885	1.0	- 0.88 + 0.94 = + 39	- 15	- 12	
14	16	902	855	1.0	- 0.87 + 0.95 = + 9	- 45	- 37	
15	26	49.001	954	1.0	- 0.84 + 0.98 = + 108	+ 54	+ 45	
16	28	48.985	939	1.0	- 0.84 + 0.98 = + 93	+ 39	+ 32	
17	Sept. 21	930	942	1.0	- 0.28 - 0.95 = + 96	+ 45	+ 37	
18	22	888	899	1.0	- 0.28 - 0.95 = + 53	+ 2	+ 2	9 : schwach aber gut
19	23	912	923	1.0	- 0.27 - 0.94 = + 77	+ 26	+ 22	
20	24	837	848	1.0	- 0.27 - 0.94 = + 2	- 49	- 41	
21	26	845	858	1.0	- 0.26 - 0.93 = + 12	- 39	- 32	
22	Okt. 3	905	916	1.0	- 0.25 - 0.87 = + 70	+ 19	+ 16	
23	4	894	906	1.0	- 0.24 - 0.87 = + 60	+ 9	+ 7	
24	6	872	885	1.0	- 0.24 - 0.85 = + 39	- 12	- 10	
25	11	914	927	1.0	- 0.22 - 0.80 = + 81	+ 29	+ 24	
26	15	840	853	1.0	- 0.21 - 0.76 = + 7	- 45	- 37	
27	17	876	888	1.0	- 0.21 - 0.73 = + 42	- 10	- 8	
28	18	897	909	1.0	- 0.20 - 0.72 = + 63	+ 11	+ 9	unruhig, 40 K.
29	19	849	861	1.0	- 0.20 - 0.71 = + 15	- 37	- 31	
30	1912 Jan. 27	944	920	1.0	+ 0.07 + 0.80 = + 74	+ 16	+ 13	
31	28	975	945	1.0	+ 0.07 + 0.81 = + 99	+ 41	+ 84	
32	30	930	901	0.5	+ 0.08 + 0.83 = + 55	- 2	- 2	
33	Febr. 5	920	890	1.0	+ 0.10 + 0.88 = + 44	- 14	- 12	
34	6	971	940	1.0	+ 0.10 + 0.89 = + 94	+ 35	+ 29	
35	9	944	913	1.0	+ 0.11 + 0.91 = + 67	+ 8	+ 7	
36	10	892	861	1.0	+ 0.11 + 0.91 = + 15	- 44	- 36	40 K.
37	13	974	944	1.0	+ 0.12 + 0.93 = + 98	+ 39	+ 32	
38	März 3	894	865	0.5	+ 0.17 + 0.98 = + 19	- 28	- 23	9 : schwach
39	Sept. 20	897	921	1.0	+ 0.72 - 0.96 = + 75	+ 19	+ 16	
40	30	865	893	1.0	+ 0.75 - 0.89 = + 47	- 9	- 7	
41	Okt. 3	886	916	1.0	+ 0.76 - 0.87 = + 70	+ 13	+ 11	40 K.
42	5	849	876	1.0	+ 0.76 - 0.85 = + 30	- 27	- 22	40 K.
43	6	843	872	1.0	+ 0.76 - 0.84 = + 26	- 31	- 26	
44	22	858	886	1.0	+ 0.81 - 0.67 = + 40	- 17	- 14	
45	25	872	900	1.0	+ 0.82 - 0.63 = + 54	- 4	- 3	
46	27	902	929	1.0	+ 0.82 - 0.60 = + 83	+ 25	+ 21	W.
47	1913 Jan. 30	985	921	0.5	+ 1.08 + 0.83 = + 75	+ 8	+ 7	
48	Febr. 10	902	892	1.0	+ 1.11 + 0.92 = + 46	- 18	- 15	
49	11	920	909	1.0	+ 1.11 + 0.92 = + 63	- 1	- 1	W.
50	14	932	917	1.0	+ 1.12 + 0.94 = + 71	+ 7	+ 6	
51	18	946	931	1.0	+ 1.13 + 0.96 = + 85	+ 21	+ 17	
52	22	890	873	1.0	+ 1.14 + 0.97 = + 27	- 37	- 31	
53	24	944	925	1.0	+ 1.15 + 0.98 = + 79	+ 15	+ 12	
54	25	946	928	1.0	+ 1.15 + 0.98 = + 82	+ 18	+ 15	
55	26	960	942	1.0	+ 1.16 + 0.98 = + 96	+ 32	+ 26	
56	28	947	927	0.5	+ 1.16 + 0.98 = + 81	+ 12	+ 10	ganz schwach

Nr.	Datum	$\Delta \alpha$ app.	$\Delta \alpha$ 1912.0	Gew.	Bedingungsgleichung			$v_p \sqrt{p}$	$v_n \sqrt{p}$	Bemerkungen
57	1913 Sept. 14	^m 2 ^s 48.845	^m 2 ^s 48.879	1.0	$x_6 + 1.70$	$y_6 - 0.98$	$\Delta \pi_6 = + 33$	- 28	- 23	unsicher, 40 K.
58	16	886	899	1.0	+ 1.71	- 0.97	= + 53	- 8	- 7	
59	25	913	948	1.0	+ 1.73	- 0.93	= + 102	+ 41	+ 34	
60	26	884	920	1.0	+ 1.74	- 0.92	= + 74	+ 13	+ 11	
61	28	831	867	1.0	+ 1.74	- 0.91	= + 21	- 40	- 33	
62	29	895	931	1.0	+ 1.75	- 0.90	= + 85	+ 23	+ 19	9 : unruhig, 40 K.
63	Okt. 2	834	871	1.0	+ 1.75	- 0.88	= + 25	- 37	- 31	
64	6	900	938	1.0	+ 1.76	- 0.84	= + 92	+ 30	+ 25	
65	10	856	895	0.5	+ 1.78	- 0.81	= + 49	- 9	- 7	

$$\begin{aligned}
 x_6 &= + 0.0553 \\
 y_6 &= + 0.0052 \quad \pm 0.0041 \\
 \Delta \pi_6 &= + 0.0031 \quad \pm 0.0046 \\
 \varepsilon_6 &= \pm 0.0305 \\
 \varepsilon_6 \cos \delta &= \pm 0.0168
 \end{aligned}$$

Sternpaar 7.

11-10.

1	1910 März 7	^m 4 ^s 57.514	^m 4 ^s 57.894	1.0	$x_7 - 1.82$	$y_7 - 0.99$	$\Delta \pi_7 = + 83$	+ 20	+ 12	schwach
2	Okt. 8	402	811	0	- 1.23	+ 0.86	= 0	+ 70	+ 43	
3	16	554	944	1.0	- 1.21	+ 0.78	= + 133	- 45	- 28	
4	17	431	829	1.0	- 1.21	+ 0.77	= + 18	+ 34	+ 21	
5	28	574	909	1.0	- 1.18	+ 0.63	= + 98	+ 10	+ 6	
6	30	572	889	0.5	- 1.17	+ 0.61	= + 78	+ 54	+ 33	
7	Nov. 2	633	930	1.0	- 1.16	+ 0.57	= + 119	+ 22	+ 13	
8	8	645	898	1.0	- 1.15	+ 0.48	= + 87	- 38	- 23	unsicher, 40 K.
9	1911 Jan. 18	795	848	1.0	- 0.95	- 0.67	= + 37	- 6	- 4	
10	20	811	880	1.0	- 0.94	- 0.69	= + 69	- 17	- 10	
11	24	798	869	1.0	- 0.93	- 0.74	= + 58	- 6	- 4	
12	26	811	880	1.0	- 0.93	- 0.76	= + 69	+ 15	+ 9	
13	27	843	901	1.0	- 0.93	- 0.77	= + 90	+ 50	+ 31	
14	30	884	958	0.5	- 0.92	- 0.80	= + 147	+ 19	+ 12	
15	Febr. 1	810	906	1.0	- 0.91	- 0.82	= + 95	0	0	schwach
16	3	803	887	1.0	- 0.91	- 0.84	= + 76	- 36	- 22	
17	8	749	852	1.0	- 0.89	- 0.88	= + 41	+ 4	+ 2	
18	13	797	892	1.0	- 0.88	- 0.92	= + 81	+ 55	+ 34	
19	16	836	966	0.5	- 0.87	- 0.93	= + 155	- 55	- 34	
20	26	709	834	1.0	- 0.84	- 0.97	= + 23	- 66	- 40	
21	28	685	823	1.0	- 0.84	- 0.98	= + 12	+ 22	+ 13	
22	März 7	756	911	1.0	- 0.82	- 0.98	= + 100	- 36	- 22	verfehlte Beob.
23	Sept. 21	714	851	1.0	- 0.28	+ 0.97	= + 40	- 40	- 24	
24	22	702	847	1.0	- 0.28	+ 0.97	= + 36	0	0	
25	23	744	887	1.0	- 0.27	+ 0.96	= + 76	+ 9	+ 6	
26	24	754	896	1.0	- 0.27	+ 0.96	= + 85	- 8	- 5	
27	Okt. 3	940	58.030	0	- 0.25	+ 0.90	= + 219	- 27	- 17	
28	4	794	57.880	1.0	- 0.24	+ 0.89	= + 69	- 53	- 32	
29	6	784	861	1.0	- 0.24	+ 0.88	= + 50	+ 27	+ 17	40 K.
30	11	773	836	1.0	- 0.22	+ 0.83	= + 25	- 1	- 1	
31	15	907	928	0.5	- 0.21	+ 0.79	= + 117	- 57	- 35	
32	17	861	888	1.0	- 0.21	+ 0.77	= + 77	+ 36	+ 22	
33	18	818	882	1.0	- 0.20	+ 0.76	= + 21	+ 40	+ 24	
34	19	918	925	1.0	- 0.20	+ 0.75	= + 114	- 40	- 24	
35	1912 Jan. 27	58.130	942	1.0	+ 0.07	- 0.77	= + 131	- 11	- 7	verfehlte Beob.
36	30	57.944	781	0	+ 0.08	- 0.80	= + 30	+ 87	+ 23	
37	Febr. 5	58.028	862	1.0	+ 0.10	- 0.85	= + 51	- 60	- 37	
38	6	038	802	1.0	+ 0.10	- 0.86	= + 81	- 21	- 13	
39	9	105	940	1.0	+ 0.11	- 0.89	= + 129			
40	10	003	843	1.0	+ 0.11	- 0.89	= + 32			
41	13	067	882	1.0	+ 0.12	- 0.92	= + 71			

Nr.	Datum	$\Delta\alpha$ app.	$\Delta\alpha$ 1912.0	Gew.	Bedingungsgleichung	$v_x V_p$	$v_y V_p$	Bemerkungen
42	1912 März 3	^{m s} 4 58.163	^{m s} 4 57.959	1.0	$x_7 + 0.17 y_7 - 0.98 \Delta\pi_7 = +148$	+ 55	+ 34	
43	Sept. 20	57.912	824	1.0	+ 0.72 + 0.97 = + 13	- 78	- 48	
44	30	58.048	888	1.0	+ 0.75 + 0.92 = + 77	- 15	- 9	
45	Okt. 3	136	934	1.0	+ 0.76 + 0.89 = + 123	+ 31	+ 19	
46	5	131	946	1.0	+ 0.76 + 0.88 = + 135	+ 43	+ 26	unruhig, 40 K.
47	6	151	946	1.0	+ 0.76 + 0.87 = + 135	+ 43	+ 26	
48	22	177	879	1.0	+ 0.81 + 0.70 = + 68	- 26	- 16	
49	25	278	963	1.0	+ 0.82 + 0.67 = + 152	+ 58	+ 35	
50	27	301	991	0	+ 0.82 + 0.64 = + 180			d. d. Wolk., g. schw.
51	1913 Jan. 28	488	979	1.0	+ 1.08 - 0.79 = + 168	+ 62	+ 38	unruhig, 40 K.
52	30	400	975	0.5	+ 1.08 - 0.81 = + 164	+ 41	+ 25	
53	Febr. 9	321	813	1.0	+ 1.11 - 0.89 = + 2	- 105	- 64	schwach
54	10	333	837	1.0	+ 1.11 - 0.90 = + 26	- 81	- 50	
55	14	362	912	1.0	+ 1.12 - 0.93 = + 101	- 6	- 4	
56	18	400	954	1.0	+ 1.13 - 0.95 = + 143	+ 35	+ 21	
57	22	396	961	1.0	+ 1.14 - 0.96 = + 150	+ 42	+ 26	40 K.
58	24	367	940	1.0	+ 1.15 - 0.97 = + 129	+ 21	+ 13	
59	25	346	917	1.0	+ 1.15 - 0.97 = + 106	- 3	- 1	
60	26	356	935	1.0	+ 1.16 - 0.98 = + 124	+ 16	+ 10	
61	März 2	346	949	1.0	+ 1.17 - 0.98 = + 138	+ 30	+ 18	
62	Sept. 14	193	876	0.5	+ 1.70 + 0.99 = + 65	- 29	- 18	verwaschen, unruhig
63	16	175	853	1.0	+ 1.71 + 0.99 = + 43	- 64	- 39	
64	25	329	967	1.0	+ 1.73 + 0.95 = + 156	+ 49	+ 30	
65	26	358	988	0	+ 1.74 + 0.94 = + 177			unsicher
66	27	303	924	1.0	+ 1.74 + 0.94 = + 118	+ 6	+ 4	
67	28	352	963	1.0	+ 1.74 + 0.93 = + 152	+ 45	+ 28	
68	29	323	937	1.0	+ 1.75 + 0.93 = + 126	+ 19	+ 12	
69	Okt. 2	383	971	1.0	+ 1.75 + 0.91 = + 160	+ 53	+ 32	
70	6	370	935	1.0	+ 1.76 + 0.87 = + 124	+ 16	+ 10	11: unruhig, 40 K.
71	10	339	875	0.5	+ 1.78 + 0.84 = + 64	- 31	- 19	11: 40 K.
72	11	293	830	1.0	+ 1.78 + 0.83 = + 19	- 89	- 54	10: W.

$$\begin{aligned}
 x_7 &= + 0.0854 \\
 y_7 &= + 0.0152 \pm 0.0056 \\
 \Delta\pi_7 &= - 0.0053 \pm 0.0065 \\
 \varepsilon_7 &= \pm 0.0440 \\
 \varepsilon_7 \cos \delta &= \pm 0.0179
 \end{aligned}$$

Sternpaar 8.

12-11

1	1910 März 7	^{m s} 2 45.258	^{m s} 2 45.846	1.0	$x_8 - 1.82 y_8 + 0.99 \Delta\pi_8 = + 66$	- 7	- 4	
2	8	279	854	1.0	- 1.82 + 0.99 = + 74	+ 1	+ 1	
3	Okt. 8	299	849	1.0	- 1.23 - 0.86 = + 69	+ 2	+ 1	
4	17	315	855	1.0	- 1.21 - 0.77 = + 75	+ 7	+ 4	
5	28	332	780	0.5	- 1.18 - 0.63 = 0	- 48	- 27	12: 10 K.
6	30	417	836	1.0	- 1.17 - 0.61 = + 56	- 12	- 7	
7	Nov. 2	454	847	1.0	- 1.16 - 0.57 = + 67	- 1	- 1	
8	8	561	887	1.0	- 1.15 - 0.48 = + 107	- 38	- 22	
9	1911 Jan. 18	731	833	1.0	- 0.95 + 0.67 = + 53	- 20	- 11	
10	20	788	912	1.0	- 0.94 + 0.69 = + 132	+ 59	+ 34	unsicher, 40 K.
11	24	737	871	1.0	- 0.93 + 0.74 = + 91	+ 18	+ 10	
12	26	688	821	1.0	- 0.93 + 0.76 = + 41	- 32	- 18	
13	27	718	833	1.0	- 0.93 + 0.77 = + 53	- 20	- 11	
14	30	748	893	0.5	- 0.92 + 0.80 = + 113	+ 28	+ 16	sehr unruhig
15	Febr. 1	646	817	1.0	- 0.91 + 0.82 = + 37	- 36	- 20	
16	8	645	807	1.0	- 0.91 + 0.84 = + 27	- 46	- 26	
17	8	633	826	1.0	- 0.89 + 0.88 = + 46	- 27	- 15	

Nr.	Datum	$\Delta \alpha$ app.	$\Delta \alpha$ 1912.0	Gew.	Bedingungsgleichung			$v_s V_p$	$v_n V_p$	Bemerkungen
	1911	^m ^s	^m ^s							
18	Febr. 13	2 45.655	2 45.840	1.0	$x_8 - 0.83$	$y_8 + 0.92$	$\Delta \pi_8 = + 60$	- 14	- 8	schwach
19	16	629	869	0.5	- 0.87	+ 0.93	= + 89	+ 10	+ 6	
20	26	703	940	1.0	- 0.84	+ 0.97	= + 160	+ 86	+ 49	
21	28	690	947	1.0	- 0.84	+ 0.98	= + 167	+ 93	+ 53	
22	März 7	504	791	1.0	- 0.82	+ 0.98	= + 11	- 63	- 36	
23	Sept. 21	638	806	1.0	- 0.28	- 0.97	= + 26	- 42	- 24	40 K.
24	22	623	803	1.0	- 0.28	- 0.97	= + 23	- 45	- 26	
25	23	640	817	1.0	- 0.27	- 0.96	= + 37	- 31	- 18	
26	24	617	791	1.0	- 0.27	- 0.96	= + 11	- 57	- 32	
27	Okt. 3	797	896	1.0	- 0.25	- 0.90	= + 116	+ 47	+ 27	
28	4	715	806	1.0	- 0.24	- 0.89	= + 26	- 43	- 24	unruhig 40 K.
29	6	758	887	1.0	- 0.24	- 0.88	= + 57	- 12	- 7	
30	11	787	846	1.0	- 0.22	- 0.83	= + 66	- 3	- 2	
31	15	909	906	1.0	- 0.21	- 0.79	= + 126	+ 57	+ 32	
32	17	903	909	1.0	- 0.21	- 0.77	= + 129	+ 60	+ 34	
33	18	888	873	1.0	- 0.20	- 0.76	= + 95	+ 26	+ 15	40 K.
34	19	856	833	1.0	- 0.20	- 0.75	= + 53	- 16	- 9	
	1912									
35	Jan. 27	46.051	820	1.0	+ 0.07	+ 0.77	= + 40	- 34	- 19	unruhig. 40 K.
36	30	112	923	1.0	+ 0.08	+ 0.80	= + 143	+ 69	+ 39	
37	Febr. 5	056	871	1.0	+ 0.10	+ 0.85	= + 91	+ 16	+ 9	
38	6	45.962	804	1.0	+ 0.10	+ 0.86	= + 24	- 51	- 29	
39	9	46.020	836	1.0	+ 0.11	+ 0.89	= + 56	- 19	- 11	
40	10	117	938	1.0	+ 0.11	+ 0.89	= + 158	+ 83	+ 47	d. W., ganz schwach
41	13	050	835	1.0	+ 0.12	+ 0.92	= + 55	- 20	- 11	
42	März 3	054	819	1.0	+ 0.17	+ 0.98	= + 39	- 36	- 20	
43	Sept. 20	176	16.029	1.0	+ 0.72	- 0.97	= + 249	+ 179	+ 102	
44	30	091	45.834	1.0	+ 0.75	- 0.92	= + 54	- 16	- 9	
45	Okt. 3	129	804	1.0	+ 0.76	- 0.89	= + 24	- 46	- 26	sehr unruhig. 40 K.
46	5	139	844	1.0	+ 0.76	- 0.88	= + 64	+ 14	+ 8	
47	6	189	864	1.0	+ 0.76	- 0.87	= + 84	+ 14	+ 8	
48	22	313	858	1.0	+ 0.81	- 0.70	= + 73	+ 2	+ 1	
49	25	307	821	1.0	+ 0.82	- 0.67	= + 41	- 30	- 17	
50	27	254	774	0	+ 0.82	- 0.64	= - 6			
	1913									
51	Jan. 28	481	820	1.0	+ 1.08	+ 0.79	= + 40	- 36	- 20	11 : unruhig. 40 K. 40 K.
52	30	463	856	0.5	+ 1.08	+ 0.81	= + 76	0	0	
53	Febr. 9	583	855	1.0	+ 1.11	+ 0.89	= + 75	- 1	- 1	
54	10	555	843	1.0	+ 1.11	+ 0.90	= + 63	- 13	- 7	
55	14	550	913	1.0	+ 1.12	+ 0.93	= + 133	+ 57	+ 32	
56	18	432	807	1.0	+ 1.13	+ 0.95	= + 27	- 49	- 28	
57	22	485	878	1.0	+ 1.14	+ 0.96	= + 98	+ 22	+ 12	
58	24	482	886	1.0	+ 1.15	+ 0.97	= + 106	+ 30	+ 17	
59	25	386	787	0.5	+ 1.15	+ 0.97	= + 7	- 48	- 27	
60	26	412	826	1.0	+ 1.16	+ 0.98	= + 46	- 30	- 17	
61	März 2	410	867	1.0	+ 1.17	+ 0.98	= + 87	+ 11	+ 6	
62	Sept. 14	323	810	1.0	+ 1.70	- 0.99	= + 30	- 41	- 23	
63	16	387	870	1.0	+ 1.71	- 0.99	= + 90	+ 19	+ 11	
64	25	376	797	1.0	+ 1.73	- 0.95	= + 17	- 54	- 31	
65	26	405	815	1.0	+ 1.74	- 0.94	= + 35	- 36	- 20	
66	27	462	858	1.0	+ 1.74	- 0.94	= + 78	+ 7	+ 4	
67	28	428	801	1.0	+ 1.74	- 0.93	= + 21	- 50	- 28	
68	29	467	851	1.0	+ 1.75	- 0.93	= + 71	0	0	
69	Okt. 2	501	846	1.0	+ 1.75	- 0.91	= + 66	- 5	- 8	
70	6	583	894	1.0	+ 1.76	- 0.87	= + 114	+ 43	+ 24	
71	10	699	964	0.5	+ 1.78	- 0.84	= + 184	+ 79	+ 45	
72	11	623	891	1.0	+ 1.78	- 0.83	= + 111	+ 40	+ 23	

$$\begin{aligned}
 x_8 &= + 0.0718 \\
 y_8 &= + 0.0013 \pm 0.0056 \\
 \Delta \pi_8 &= + 0.0032 \pm 0.0067
 \end{aligned}$$

$$\begin{aligned}
 \epsilon_8 &= \pm 0.0462 \\
 \epsilon_8 \cos \delta &= \pm 0.0175
 \end{aligned}$$

Sternpaar 9.

14—13.

Nr.	Datum	$\Delta\alpha$ app.	$\Delta\alpha$ 1912.0	Gew.	Bedingungsgleichung	$v_p V_p$	$v_n V_p$	Bemerkungen
1	1910 März 3	^m 55.684	^m 55.865	1.0	$x_0 - 1.83 \quad y_0 - 0.98 \quad \Delta\pi_0 = + 58$	+ 13	+ 14	
2	Okt. 8	625	847	1.0	- 1.23 + 0.88 = + 40	- 25	- 26	
3	12	657	880	1.0	- 1.22 + 0.84 = + 73	+ 8	+ 8	
4	16	554	769	0	- 1.21 + 0.81 = - 38			nach Journ. ausschl.
5	17	638	855	1.0	- 1.21 + 0.79 = + 48	- 16	- 17	
6	28	653	843	1.0	- 1.18 + 0.67 = + 86	- 27	- 28	
7	Nov. 2	687	860	1.0	- 1.16 + 0.60 = + 53	- 10	- 10	
8	8	719	872	1.0	- 1.15 + 0.49 = + 65	+ 3	+ 3	
9	1911 Jan. 18	761	807	1.0	- 0.95 - 0.64 = 0	- 54	- 57	
10	20	764	817	0.5	- 0.94 - 0.66 = + 10	- 31	- 32	13 : unsicher
11	24	774	827	1.0	- 0.93 - 0.71 = + 20	- 33	- 35	13 : unsicher, 40 K.
12	26	804	855	1.0	- 0.93 - 0.74 = + 48	- 5	- 5	
13	27	863	908	1.0	- 0.93 - 0.75 = + 101	+ 48	+ 50	14 unruhig, 40 K.
14	30	826	878	1.0	- 0.92 - 0.78 = + 71	+ 18	+ 19	
15	Febr. 1	805	869	1.0	- 0.91 - 0.80 = + 62	+ 9	+ 9	
16	8	774	837	1.0	- 0.89 - 0.86 = + 30	- 22	- 23	
17	13	818	877	1.0	- 0.88 - 0.90 = + 70	+ 18	+ 19	
18	16	817	892	0.5	- 0.87 - 0.92 = + 85	+ 23	+ 24	13 schwach
19	24	790	852	1.0	- 0.85 - 0.96 = + 45	- 7	- 7	
20	26	752	820	1.0	- 0.84 - 0.97 = + 13	- 39	- 41	
21	28	799	873	1.0	- 0.84 - 0.93 = + 66	+ 14	+ 15	
22	März 7	745	825	1.0	- 0.82 - 0.99 = + 18	- 31	- 36	
23	Sept. 21	835	913	1.0	- 0.28 + 0.98 = + 106	+ 34	+ 36	
24	22	770	852	1.0	- 0.28 + 0.98 = + 45	- 27	- 28	
25	23	827	908	1.0	- 0.27 + 0.97 = + 101	+ 29	+ 30	
26	24	820	900	1.0	- 0.27 + 0.97 = + 93	+ 21	+ 22	
27	Okt. 3	838	896	1.0	- 0.25 + 0.92 = + 89	+ 17	+ 18	
28	4	813	871	1.0	- 0.24 + 0.91 = + 64	- 8	- 8	13 : unsicher, 40 K.
29	5	823	877	1.0	- 0.24 + 0.90 = + 70	- 2	- 2	
30	6	848	903	1.0	- 0.24 + 0.90 = + 96	+ 24	+ 25	
31	11	869	918	1.0	- 0.22 + 0.86 = + 111	+ 39	+ 41	
32	17	855	887	1.0	- 0.21 + 0.80 = + 80	+ 9	+ 9	13 : unsicher, 40 K.
33	18	897	923	1.0	- 0.20 + 0.79 = + 116	+ 45	+ 47	
34	19	851	874	1.0	- 0.20 + 0.78 = + 67	- 4	- 4	
35	1912 Jan. 27	992	916	1.0	+ 0.07 - 0.74 = + 109	+ 49	+ 51	
36	30	946	880	1.0	+ 0.08 - 0.78 = + 73	+ 13	+ 14	
37	Febr. 5	934	866	1.0	+ 0.10 - 0.84 = + 59	0	0	
38	6	870	810	1.0	+ 0.10 - 0.85 = + 3	- 56	- 59	
39	9	946	875	1.0	+ 0.11 - 0.87 = + 68	+ 9	+ 9	
40	10	936	867	1.0	+ 0.11 - 0.88 = + 60	+ 1	+ 1	
41	März 3	935	837	1.0	+ 0.17 - 0.98 = + 30	- 29	- 30	
42	Sept. 20	900	867	1.0	+ 0.72 + 0.98 = + 60	- 19	- 20	
43	30	963	899	1.0	+ 0.75 + 0.93 = + 92	+ 13	+ 14	
44	Okt. 5	959	886	1.0	+ 0.76 + 0.90 = + 79	0	0	
45	6	957	874	1.0	+ 0.76 + 0.89 = + 67	- 12	- 13	
46	22	56.038	913	1.0	+ 0.81 + 0.73 = + 106	+ 29	+ 30	
47	1913 Jan. 28	094	868	1.0	+ 1.08 - 0.76 = + 61	- 5	- 5	
48	Febr. 9	120	864	1.0	+ 1.11 - 0.88 = + 57	- 9	- 9	
49	10	133	885	1.0	+ 1.11 - 0.89 = + 78	+ 12	+ 13	14 : W.
50	14	140	912	1.0	+ 1.12 - 0.91 = + 105	+ 39	+ 41	
51	18	115	888	1.0	+ 1.13 - 0.94 = + 81	+ 16	+ 17	
52	22	137	913	1.0	+ 1.14 - 0.96 = + 106	+ 41	+ 43	
53	24	076	855	1.0	+ 1.15 - 0.97 = + 48	- 17	- 18	W.
54	25	108	886	1.0	+ 1.15 - 0.97 = + 79	+ 14	+ 15	
55	26	116	898	1.0	+ 1.16 - 0.97 = + 91	+ 26	+ 27	
56	März 5	052	840	1.0	+ 1.17 - 0.99 = + 33	- 32	- 34	

Nr.	Datum	$\Delta \alpha$ app.	$\Delta \alpha$ 1912.0	Gew.	Bedingungsgleichung			$v_p V_p$	$v_n V_p$	Bemerkungen
57	1913 Sept. 25	^m 3 ^s 56.038	^m 3 ^s 55.857	1.0	$x_9 + 1.73$	$y_9 + 0.96$	$\Delta \pi = + 50$	- 36	- 38	40 K.
58	26	027	842	1.0	+ 1.74	+ 0.96	= + 35	- 51	- 53	
59	27	097	908	1.0	+ 1.74	+ 0.95	= + 101	+ 15	+ 16	
60	28	052	857	1.0	+ 1.74	+ 0.95	= + 50	- 36	- 38	
61	29	068	875	1.0	+ 1.75	+ 0.94	= + 68	- 18	- 19	
62	Okt. 2	099	895	1.0	+ 1.75	+ 0.92	= + 88	+ 3	+ 3	
63	6	126	913	1.0	+ 1.76	+ 0.89	= + 106	+ 21	+ 22	
64	10	054	827	0.5	+ 1.78	+ 0.86	= + 20	- 45	- 47	
65	11	118	892	1.0	+ 1.78	+ 0.85	= + 85	0	0	
66	20	160	910	1.0	+ 1.80	+ 0.76	= + 103	+ 19	+ 20	

$$\begin{aligned}
 x_9 &= + 0.0657 \\
 y_9 &= + 0.0068 \quad \pm 0.0034 \\
 \Delta \pi_9 &= + 0.0085 \quad \pm 0.0039 \\
 \varepsilon_9 &= \pm 0.0270 \\
 \varepsilon_9 \cos \delta &= \pm 0.0188
 \end{aligned}$$

Sternpaar 10.

15—14.

1	1910 März 3	^m 0 ^s 59.797	^m 0 ^s 59.780	1.0	$x_{10} - 1.83$	$y_{10} + 0.98$	$\Delta \pi_{10} = + 109$	+ 65	+ 67	n. Journal auszuschl.
2	7	719	711	1.0	- 1.82	+ 0.99	= + 40	- 4	- 4	
3	Okt. 8	725	724	1.0	- 1.23	- 0.88	= + 53	+ 1	+ 1	
4	12	682	682	1.0	- 1.22	- 0.84	= + 11	- 41	- 42	
5	16	728	728	0	- 1.21	- 0.81	= + 57	- 9	- 9	
6	17	715	714	1.0	- 1.21	- 0.79	= + 43	+ 12	+ 12	
7	28	735	734	1.0	- 1.18	- 0.67	= + 63	+ 23	+ 24	
8	31	747	745	1.0	- 1.17	- 0.63	= + 74	- 20	- 21	
9	Nov. 2	704	702	1.0	- 1.16	- 0.60	= + 31	- 17	- 17	
10	8	707	705	1.0	- 1.15	- 0.49	= + 34			
11	1911 Jan. 18	763	750	1.0	- 0.95	+ 0.64	= + 79	+ 34	+ 35	14 : unruhig, 40 K.
12	20	709	696	1.0	- 0.94	+ 0.66	= + 25	- 20	- 21	
13	24	714	700	1.0	- 0.93	+ 0.71	= + 29	- 15	- 15	
14	26	766	752	1.0	- 0.93	+ 0.74	= + 81	+ 37	+ 38	
15	27	700	685	1.0	- 0.93	+ 0.75	= + 14	- 30	- 31	
16	30	739	724	1.0	- 0.92	+ 0.78	= + 53	+ 9	+ 9	
17	Febr. 1	738	725	1.0	- 0.91	+ 0.80	= + 54	+ 10	+ 10	
18	8	760	746	1.0	- 0.89	+ 0.86	= + 75	+ 31	+ 32	
19	13	698	684	1.0	- 0.88	+ 0.90	= + 13	- 31	- 32	
20	16	696	682	1.0	- 0.87	+ 0.92	= + 11	- 32	- 33	
21	26	727	712	1.0	- 0.84	+ 0.97	= + 41	- 2	- 2	15 : schwach, 40 K.
22	28	751	737	1.0	- 0.84	+ 0.98	= + 66	+ 23	+ 24	
23	März 7	728	714	1.0	- 0.82	+ 0.90	= + 43	0	0	
24	Sept. 21	687	690	1.0	- 0.28	- 0.98	= + 19	- 33	- 34	
25	22	722	725	0.5	- 0.28	- 0.98	= + 54	+ 1	+ 1	
26	23	684	687	1.0	- 0.27	- 0.97	= + 16	- 36	- 37	
27	24	704	707	1.0	- 0.27	- 0.97	= + 36	- 16	- 16	
28	Okt. 3	694	697	1.0	- 0.25	- 0.92	= + 26	- 26	- 27	
29	4	745	749	1.0	- 0.24	- 0.91	= + 78	+ 26	+ 27	
30	5	673	677	1.0	- 0.24	- 0.90	= + 6	- 45	- 46	
31	6	731	735	1.0	- 0.24	- 0.90	= + 64	+ 13	+ 13	15 : schwach
32	11	705	708	1.0	- 0.22	- 0.86	= + 37	- 14	- 14	
33	17	775	778	1.0	- 0.21	- 0.80	= + 107	+ 56	+ 57	
34	18	736	739	1.0	- 0.20	- 0.79	= + 68	+ 17	+ 17	
35	19	731	734	1.0	- 0.20	- 0.78	= + 63	+ 12	+ 12	

Nr.	Datum	$\Delta \alpha$ app.	$\Delta \alpha$ 1912.0	Gew.	Bedingungsgleichung	$v_s \sqrt{p}$	$v_n \sqrt{p}$	Bemerkungen	
1912									
36	Jan. 27	^m 0 59.723	^m 0 59.715	1.0	$x_{10} + 0.07 y_{10} + 0.74 \Delta n_{10} = + 44$	+ 1	+ 1	15 : unsicher	
37	30	738	730	1.0	+ 0.08 + 0.78 = + 59	+ 16	+ 16		
38	Febr. 5	741	733	1.0	+ 0.10 + 0.84 = + 62	+ 19	+ 19		
39	6	738	730	1.0	+ 0.10 + 0.85 = + 59	+ 16	+ 16		
40	9	698	685	0.5	+ 0.11 + 0.87 = + 14	- 20	- 21		
41	10	754	746	1.0	+ 0.11 + 0.88 = + 75	+ 32	+ 33		
42	März 3	712	702	1.0	+ 0.17 + 0.98 = + 31	- 11	- 11		
43	Sept. 20	733	743	1.0	+ 0.72 - 0.98 = + 72	+ 21	+ 22		
44	30	683	693	1.0	+ 0.75 - 0.93 = + 22	- 29	- 30		
45	Okt. 5	709	719	1.0	+ 0.76 - 0.90 = + 48	- 2	- 2		
46	6	732	742	1.0	+ 0.76 - 0.89 = + 71	+ 21	+ 22	15 : unsicher, 40 K	
47	22	703	712	1.0	+ 0.81 - 0.73 = + 41	- 9	- 9		
48	25	677	686	1.0	+ 0.82 - 0.70 = + 15	- 35	- 36		
1913									
49	Jan. 28	673	671	1.0	+ 1.08 + 0.76 = + 0	- 42	- 43		
50	Febr. 9	782	779	1.0	+ 1.11 + 0.88 = + 108	+ 66	+ 68		
51	10	696	693	1.0	+ 1.11 + 0.89 = + 22	- 20	- 21		
52	12	704	701	1.0	+ 1.12 + 0.90 = + 30	- 12	- 12		
53	14	714	711	1.0	+ 1.12 + 0.91 = + 40	- 1	- 1		
54	18	695	692	1.0	+ 1.13 + 0.94 = + 21	- 20	- 21		
55	22	685	681	1.0	+ 1.14 + 0.96 = + 10	- 31	- 32		
56	25	701	697	1.0	+ 1.15 + 0.97 = + 26	- 15	- 15		
57	26	685	681	1.0	+ 1.16 + 0.97 = + 10	- 31	- 32		
58	März 5	696	692	1.0	+ 1.17 + 0.99 = + 21	- 20	- 21		
59	Sept. 25	735	750	1.0	+ 1.73 - 0.96 = + 79	+ 29	+ 30	15 : unsicher	
60	26	743	758	1.0	+ 1.74 - 0.96 = + 87	+ 37	+ 38		
61	27	695	710	1.0	+ 1.74 - 0.95 = + 39	- 11	- 11		
62	28	749	764	0.5	+ 1.74 - 0.95 = + 93	+ 43	+ 44		
63	29	731	745	1.0	+ 1.75 - 0.94 = + 74	+ 24	+ 25		
64	Okt. 2	706	720	1.0	+ 1.75 - 0.92 = + 49	- 1	- 1		
65	6	728	742	1.0	+ 1.76 - 0.89 = + 71	+ 22	+ 23		
66	10	696	710	0.5	+ 1.78 - 0.86 = + 39	- 10	- 10		
67	20	703	716	1.0	+ 1.80 - 0.76 = + 45	- 4	- 4		

$$\begin{aligned}
 x_{10} &= + 0.0469 \\
 y_{10} &= - 0.0010 \pm 0.0033 \\
 \Delta \pi_{10} &= - 0.0048 \pm 0.0040
 \end{aligned}
 \qquad
 \begin{aligned}
 \varepsilon_{10} &= \pm 0.0270 \\
 \varepsilon_{10} \cos \delta &= \pm 0.0185
 \end{aligned}$$

Sternpaar 11.

16—14.

1910									
1	März	3	^m 3 6.678	^m 3 6.650	1.0	$x_{11} - 1.83 y_{11} + 0.98 \Delta \pi_{11} = + 46$	0	0	n. Journal auszuschl.
2		7	648	619	1.0	$- 1.82 + 0.99 = + 15$	- 81	- 82	
3		8	692	663	1.0	$- 1.82 + 0.99 = + 59$	+ 13	+ 13	
4	Okt.	16	750	767	0	$- 1.21 - 0.81 = + 163$			
5		17	635	651	1.0	$- 1.21 - 0.79 = + 47$	+ 7	+ 7	
6		28	656	669	1.0	$- 1.18 - 0.67 = + 65$	+ 25	+ 26	
7		30	622	635	1.0	$- 1.17 - 0.64 = + 31$	- 9	- 9	
8	Nov.	2	661	672	1.0	$- 1.16 - 0.60 = + 68$	+ 28	+ 29	
9		8	655	665	1.0	$- 1.15 - 0.49 = + 61$	+ 20	+ 21	
1911									
10	Jan.	18	679	653	1.0	$- 0.95 + 0.61 = + 49$	+ 4	+ 4	
11		20	719	693	1.0	$- 0.94 + 0.66 = + 89$	+ 44	+ 45	
12		24	632	604	1.0	$- 0.93 + 0.71 = 0$	- 45	- 46	

Nr.	Datum	$\Delta \alpha$ app.	$\Delta \alpha$ 1912.0	Gew.	Bedingungsgleichung	v, Vp	v, Vp	Bemerkungen	
1911									
13	Jan. 26	^m 8 ^s 6.673	^m 3 ^s 6.644	1.0	$x_{11} - 0.93 y_{11} + 0.74 \Delta \pi_{11} = + 40$	- 5	- 5	14: unruhig, 40 K.	
14	27	669	610	1.0	$- 0.93 + 0.75 = + 36$	- 9	- 9		
15	30	642	612	1.0	$- 0.92 + 0.78 = + 8$	- 37	- 38		
16	Febr. 1	633	607	1.0	$- 0.91 + 0.80 = + 3$	- 43	- 44	W., 16: 10 K.	
17	8	707	678	1.0	$- 0.89 + 0.86 = + 74$	+ 28	+ 29		
18	13	684	654	1.0	$- 0.88 + 0.90 = + 50$	+ 4	+ 4		
19	16	676	646	0.5	$- 0.87 + 0.92 = + 42$	- 3	- 3		
20	26	672	641	1.0	$- 0.84 + 0.97 = + 37$	- 9	- 9		
21	28	674	643	1.0	$- 0.84 + 0.98 = + 39$	- 7	- 7		
22	März 7	665	634	1.0	$- 0.82 + 0.99 = + 30$	- 16	- 16		
23	9	697	666	1.0	$- 0.81 + 0.99 = + 62$	+ 16	+ 16		
24	Sept. 21	619	636	1.0	$- 0.28 - 0.98 = + 32$	- 8	- 8		
25	22	653	670	1.0	$- 0.28 - 0.98 = + 66$	+ 26	+ 27		
26	23	646	662	1.0	$- 0.27 - 0.97 = + 58$	+ 18	+ 18		
27	24	600	616	1.0	$- 0.27 - 0.97 = + 12$	- 28	- 29		
28	Okt. 3	597	611	1.0	$- 0.25 - 0.92 = + 7$	- 33	- 34		
29	4	615	629	1.0	$- 0.24 - 0.91 = + 25$	- 15	- 15		
30	5	606	620	1.0	$- 0.24 - 0.90 = + 16$	- 24	- 25		
31	6	592	607	1.0	$- 0.24 - 0.90 = + 3$	- 37	- 38		
32	11	614	628	1.0	$- 0.22 - 0.86 = + 24$	- 16	- 16		
33	17	708	720	1.0	$- 0.21 - 0.80 = + 116$	+ 76	+ 78		
34	18	692	704	1.0	$- 0.20 - 0.79 = + 100$	+ 60	+ 62		
35	19	614	626	1.0	$- 0.20 - 0.78 = + 22$	- 18	- 18		
1912									
36	Jan. 27	684	659	1.0	$+ 0.07 + 0.74 = + 55$	+ 9	+ 9		
37	30	631	605	1.0	$+ 0.08 + 0.78 = + 1$	- 45	- 46		
38	Febr. 5	717	688	1.0	$+ 0.10 + 0.84 = + 84$	+ 38	+ 39		
39	6	724	696	1.0	$+ 0.10 + 0.85 = + 92$	+ 46	+ 47		
40	9	650	620	1.0	$+ 0.11 + 0.87 = + 16$	- 30	- 31		
41	10	716	687	1.0	$+ 0.11 + 0.88 = + 83$	+ 36	+ 37		
42	März 3	674	642	1.0	$+ 0.17 + 0.98 = + 38$	- 9	- 9		
43	Sept. 20	630	649	1.0	$+ 0.72 - 0.98 = + 45$	+ 5	+ 5		
44	30	595	614	1.0	$+ 0.75 - 0.93 = + 10$	- 30	- 31		
45	Okt. 22	628	611	1.0	$+ 0.81 - 0.73 = + 37$	- 4	- 4	16: dicke Wolken 16: unruhig, 40 K.	
1913									
46	Febr. 10	678	648	1.0	$+ 1.11 + 0.89 = + 44$	- 3	- 3		
47	12	658	627	1.0	$+ 1.12 + 0.90 = + 23$	- 24	- 25		
48	14	720	690	1.0	$+ 1.12 + 0.91 = + 86$	+ 39	+ 40		
49	18	698	667	1.0	$+ 1.13 + 0.94 = + 63$	+ 16	+ 16		
50	22	708	677	1.0	$+ 1.14 + 0.96 = + 73$	+ 25	+ 26		
51	24	643	612	0.5	$+ 1.15 + 0.96 = + 8$	- 28	- 29		
52	25	692	662	1.0	$+ 1.15 + 0.97 = + 58$	+ 10	+ 10		
53	26	653	623	1.0	$+ 1.16 + 0.97 = + 19$	- 29	- 30		
54	März 5	703	673	1.0	$+ 1.17 + 0.99 = + 69$	+ 21	+ 22		
55	Sept. 25	628	644	1.0	$+ 1.73 - 0.96 = + 40$	- 1	- 1		
56	26	637	653	1.0	$+ 1.74 - 0.96 = + 49$	+ 8	+ 8		
57	27	625	641	1.0	$+ 1.74 - 0.96 = + 37$	- 4	- 4		
58	28	643	659	1.0	$+ 1.74 - 0.95 = + 55$	+ 14	+ 14		
59	29	622	638	1.0	$+ 1.75 - 0.94 = + 34$	- 7	- 7		
60	Okt. 2	623	639	1.0	$+ 1.75 - 0.92 = + 35$	- 6	- 6		
61	6	642	656	1.0	$+ 1.76 - 0.89 = + 52$	+ 11	+ 11	verfehlt	
62	11	732	746	0	$+ 1.78 - 0.85 = + 142$				
63	20	596	607	1.0	$+ 1.80 - 0.76 = + 3$	- 39	- 40		

$$\begin{aligned}
 x_{11} &= + 0.0433 \\
 y_{11} &= + 0.0007 \pm 0.0035 \\
 \Delta \pi_{11} &= + 0.0036 \pm 0.0042
 \end{aligned}$$

$$\begin{aligned}
 \varepsilon_{11} &= \pm 0.0275 \\
 \varepsilon_{11} \cos \delta &= \pm 0.0187
 \end{aligned}$$

Sternpaar 12.

17-15

Nr.	Datum	$\Delta\alpha$ app.	$\Delta\alpha$ 1912.0	Gew.	Bedingungsgleichung	$v_x V_p$	$v_y V_p$	Bemerkungen
1910								
1	März 3	^m 5 ^s 1.950	^m 5 ^s 1.864	1.0	$x_{12} - 1.83 y_{12} - 0.98 \Delta\pi_{12} = + 23$	- 47	- 49	
2	7	995	902	1.0	$- 1.82 - 0.99 = + 61$	- 9	- 9	
3	Okt. 8	896	875	1.0	$- 1.23 + 0.89 = + 34$	- 35	- 36	
4	12	977	953	1.0	$- 1.22 + 0.86 = + 112$	+ 43	+ 45	17:40 K.
5	16	913	890	0	$- 1.21 + 0.82 = + 49$			n. Journ. auszuschl.
6	17	915	889	1.0	$- 1.21 + 0.81 = + 48$	- 21	- 22	
7	28	915	895	1.0	$- 1.18 + 0.68 = + 54$	- 15	- 16	
8	31	915	898	1.0	$- 1.17 + 0.64 = + 57$	- 12	- 12	
9	Nov. 2	929	914	1.0	$- 1.16 + 0.62 = + 73$	+ 4	+ 4	
10	8	994	982	1.0	$- 1.15 + 0.53 = + 141$	+ 73	+ 76	
1911								
11	Jan. 18	969	920	1.0	$- 0.95 - 0.62 = + 79$	+ 12	+ 12	
12	20	995	945	1.0	$- 0.94 - 0.64 = + 104$	+ 37	+ 38	
13	24	969	914	1.0	$- 0.93 - 0.70 = + 73$	+ 6	+ 6	
14	26	967	910	1.0	$- 0.93 - 0.72 = + 69$	+ 2	+ 2	W.
15	27	987	931	1.0	$- 0.93 - 0.73 = + 90$	+ 24	+ 25	
16	30	928	869	1.0	$- 0.92 - 0.77 = + 28$	- 38	- 39	
17	Febr. 1	935	881	1.0	$- 0.91 - 0.79 = + 40$	- 26	- 27	
18	8	2.006	942	1.0	$- 0.89 - 0.85 = + 101$	+ 35	+ 36	
19	13	1.963	899	1.0	$- 0.88 - 0.89 = + 58$	- 8	- 8	17:40 K.
20	16	967	896	1.0	$- 0.87 - 0.91 = + 55$	- 11	- 11	W., 40 K.
21	26	970	900	1.0	$- 0.84 - 0.97 = + 59$	- 7	- 7	
22	28	2.013	940	1.0	$- 0.84 - 0.97 = + 99$	+ 33	+ 84	
23	März 7	1.955	878	1.0	$- 0.82 - 0.99 = + 37$	- 29	- 30	15: schwach, 40 K.
24	Sept. 21	909	919	1.0	$- 0.28 + 0.99 = + 78$	+ 13	+ 13	
25	22	918	928	0.5	$- 0.28 + 0.98 = + 87$	+ 15	+ 16	15: schwach
26	23	913	921	1.0	$- 0.27 + 0.98 = + 80$	+ 15	+ 16	
27	24	893	902	1.0	$- 0.27 + 0.98 = + 61$	- 4	- 4	
28	Okt. 3	934	946	1.0	$- 0.25 + 0.93 = + 105$	+ 40	+ 41	
29	4	859	873	1.0	$- 0.24 + 0.92 = + 32$	- 33	- 34	
30	5	951	967	1.0	$- 0.24 + 0.91 = + 126$	+ 61	+ 63	
31	6	882	898	1.0	$- 0.24 + 0.91 = + 57$	- 8	- 8	
32	11	858	874	1.0	$- 0.22 + 0.87 = + 33$	- 32	- 33	
33	17	887	905	1.0	$- 0.21 + 0.81 = + 64$	- 1	- 1	
34	18	918	989	1.0	$- 0.20 + 0.80 = + 98$	+ 33	+ 34	
35	19	841	862	1.0	$- 0.20 + 0.79 = + 21$	- 44	- 45	
1912								
36	Jan. 27	916	894	1.0	$+ 0.07 - 0.73 = + 53$	- 9	- 9	
37	30	923	894	1.0	$+ 0.08 - 0.76 = + 53$	- 9	- 9	
38	Febr. 5	936	904	1.0	$+ 0.10 - 0.82 = + 63$	+ 1	+ 1	
39	6	941	906	1.0	$+ 0.10 - 0.83 = + 65$	+ 3	+ 3	
40	9	962	929	0.5	$+ 0.11 - 0.86 = + 88$	+ 18	+ 19	15: unsicher
41	10	927	893	1.0	$+ 0.11 - 0.87 = + 52$	- 10	- 10	
42	März 8	929	900	1.0	$+ 0.17 - 0.98 = + 59$	- 3	- 3	
43	Sept. 20	822	858	1.0	$+ 0.72 + 0.99 = + 17$	- 44	- 46	
44	30	852	898	1.0	$+ 0.75 + 0.94 = + 57$	- 4	- 4	
45	Okt. 5	823	873	1.0	$+ 0.76 + 0.91 = + 32$	- 29	- 30	
46	22	828	887	1.0	$+ 0.81 + 0.75 = + 46$	- 15	- 16	
47	25	879	940	1.0	$+ 0.82 + 0.72 = + 99$	+ 38	+ 39	
1913								
48	Jan. 28	896	907	1.0	$+ 1.08 - 0.75 = + 66$	+ 8	+ 9	
49	Febr. 9	827	842	1.0	$+ 1.09 - 0.87 = + 1$	- 57	- 59	17:40 K.
50	10	861	875	1.0	$+ 1.11 - 0.88 = + 34$	- 24	- 25	
51	12	914	925	1.0	$+ 1.12 - 0.89 = + 84$	+ 26	+ 27	
52	14	915	920	1.0	$+ 1.12 - 0.91 = + 79$	+ 21	+ 22	
53	18	894	896	1.0	$+ 1.13 - 0.93 = + 55$	- 3	- 3	
54	22	914	915	1.0	$+ 1.14 - 0.95 = + 74$	+ 16	+ 17	17: unruhig, 40 K.
55	25	897	897	1.0	$+ 1.15 - 0.96 = + 56$	- 2	- 2	

Nr.	Datum	$\Delta \alpha$ app.	$\Delta \alpha$ 1912.0	Gew.	Bedingungsgleichung	$v_p \bar{V} p$	$v_p \bar{V} p$	Bemerkungen
	1913	^m ^s	^m ^s					
56	Febr. 26	5 1.941	5 1.937	0.5	$x_{12} + 1.16 y_{12} - 0.97 \Delta \pi_{12} = + 96$	+ 27	+ 29	17: unsicher
57	März 5	948	943	1.0	$+ 1.18 - 0.99 = + 102$	+ 44	+ 46	
58	Sept. 25	859	925	1.0	$+ 1.73 + 0.97 = + 84$	+ 27	+ 28	15: unsicher, 40 K.
59	26	849	915	1.0	$+ 1.74 + 0.96 = + 74$	+ 17	+ 18	
60	27	843	910	1.0	$+ 1.74 + 0.96 = + 69$	+ 12	+ 12	
61	28	822	893	0.5	$+ 1.74 + 0.95 = + 52$	- 4	- 4	15: unsicher
62	29	772	841	1.0	$+ 1.75 + 0.95 = + 0$	- 57	- 59	
63	Okt. 2	791	863	1.0	$+ 1.75 + 0.93 = + 22$	- 35	- 36	17: unruhig, 40 K.
64	6	849	924	1.0	$+ 1.76 + 0.90 = + 83$	+ 26	+ 27	
65	20	793	877	1.0	$+ 1.80 + 0.78 = + 36$	- 21	- 22	

$$\begin{aligned}
 x_{12} &= + 0.0633 \\
 y_{12} &= - 0.0041 \pm 0.0037 \\
 \Delta \pi_{12} &= + 0.0008 \pm 0.0044 \\
 \epsilon_{12} &= \pm 0.0297 \\
 \epsilon_{12} \cos \delta &= \pm 0.0205
 \end{aligned}$$

Sternpaar 13.

17-16.

	1910	^m ^s	^m ^s						
1	März 3	2 55.049	2 54.973	1.0	$x_{18} - 1.83 y_{18} - 0.98 \Delta \pi_{18} = + 57$	- 11	- 11	n. Journal auszuschl.	
2	7	067	985	1.0	$- 1.82 - 0.99 = + 69$	+ 1	+ 1		
3	8	102	55.021	1.0	$- 1.82 - 0.99 = + 105$	+ 37	+ 38		
4	Okt. 16	110	070	0	$- 1.21 + 0.82 = + 154$				
5	17	54.995	54.950	1.0	$- 1.21 + 0.81 = + 34$	- 44	- 46		
6	28	994	957	1.0	$- 1.18 + 0.68 = + 41$	- 36	- 37		
7	31	55.040	55.007	1.0	$- 1.17 + 0.64 = + 91$	+ 15	+ 16		
8	Nov. 2	54.972	54.941	1.0	$- 1.16 + 0.62 = + 25$	- 51	- 53		
9	8	55.046	55.021	1.0	$- 1.15 + 0.53 = + 105$	+ 30	+ 31		
	1911								
10	Jan. 18	053	018	1.0	$- 0.95 - 0.62 = + 102$	+ 38	+ 39	W.	
11	20	54.985	54.948	1.0	$- 0.94 - 0.64 = + 32$	- 32	- 33		
12	24	55.046	55.006	1.0	$- 0.93 - 0.70 = + 90$	+ 27	+ 28		
13	26	060	019	1.0	$- 0.93 - 0.72 = + 103$	+ 40	+ 41		
14	27	017	54.977	1.0	$- 0.93 - 0.73 = + 61$	- 2	- 2		
15	30	025	982	1.0	$- 0.92 - 0.77 = + 66$	+ 3	+ 3		
16	Febr. 1	040	997	1.0	$- 0.91 - 0.79 = + 81$	+ 19	+ 20		
17	8	059	55.011	1.0	$- 0.89 - 0.85 = + 95$	+ 31	+ 34		
18	13	54.994	54.946	1.0	$- 0.88 - 0.89 = + 30$	- 31	- 32		
19	16	985	929	0.5	$- 0.87 - 0.91 = + 13$	- 34	- 35	17: 40 K. W., 16: 10 K.	
20	26	55.025	970	1.0	$- 0.84 - 0.97 = + 54$	- 6	- 6		
21	28	091	55.035	1.0	$- 0.84 - 0.97 = + 119$	+ 59	+ 61		
22	März 7	012	54.952	1.0	$- 0.82 - 0.99 = + 36$	- 24	- 25		
23	9	063	55.002	1.0	$- 0.81 - 0.99 = + 86$	+ 26	+ 27		
24	Sept. 21	54.977	54.974	1.0	$- 0.28 + 0.99 = + 58$	- 14	- 14		
25	22	991	986	1.0	$- 0.28 + 0.98 = + 70$	- 2	- 2		
26	23	951	947	1.0	$- 0.27 + 0.98 = + 81$	- 41	- 42		
27	24	997	992	1.0	$- 0.27 + 0.98 = + 76$	+ 4	+ 4		
28	Okt. 8	55.031	55.032	1.0	$- 0.25 + 0.93 = + 116$	+ 45	+ 47		
29	4	54.989	54.991	1.0	$- 0.24 + 0.92 = + 75$	+ 4	+ 4		
30	5	55.012	55.015	1.0	$- 0.24 + 0.91 = + 99$	+ 28	+ 29		
31	6	020	024	1.0	$- 0.24 + 0.91 = + 108$	+ 37	+ 38		
32	11	54.948	54.954	1.0	$- 0.22 + 0.87 = + 38$	- 32	- 33		
33	17	955	964	1.0	$- 0.21 + 0.81 = + 48$	- 22	- 23		
34	18	980	991	1.0	$- 0.20 + 0.80 = + 75$	+ 5	+ 5		
35	19	957	969	1.0	$- 0.20 + 0.79 = + 53$	- 17	- 18		

Nr.	Datum	$\Delta\alpha$ app.	$\Delta\alpha$ 1912.0	Gew.	Bedingungsgleichung	$v_x V_p$	$v_y V_p$	Bemerkungen
1912								
36	Jan. 27	^m 54.955	^m 54.951	1.0	$x_{13} + 0.07 y_{13} - 0.73 \Delta\pi_{13} = + 35$	- 20	- 21	
37	30	55.030	55.019	1.0	$+ 0.08 - 0.76 = + 103$	+ 18	+ 50	
38	Febr. 5	54.961	54.948	1.0	$+ 0.10 - 0.82 = + 32$	- 22	- 23	
39	6	955	940	1.0	$+ 0.10 - 0.83 = + 24$	30	- 31	
40	9	55.005	992	1.0	$+ 0.11 - 0.86 = + 76$	+ 22	+ 23	
41	10	54.965	952	1.0	$+ 0.11 - 0.87 = + 36$	- 18	- 19	
42	März 3	968	962	1.0	$+ 0.17 - 0.98 = + 46$	6	- 6	
43	Sept. 20	925	952	1.0	$+ 0.72 + 0.99 = + 36$	28	- 29	
44	30	940	978	1.0	$+ 0.75 + 0.94 = + 62$	- 1	- 1	
45	Okt. 22	904	959	1.0	$+ 0.81 + 0.75 = + 43$	- 18	- 19	
46	25	892	948	1.0	$+ 0.82 + 0.72 = + 32$	- 29	- 30	
1913								
47	Febr. 10	878	919	1.0	$+ 1.11 - 0.88 = + 3$	- 42	- 43	
48	12	960	997	1.0	$+ 1.12 - 0.89 = + 81$	+ 36	+ 37	
49	14	909	941	1.0	$+ 1.12 - 0.91 = + 25$	- 20	- 21	
50	18	891	922	1.0	$+ 1.13 - 0.93 = + 6$	- 39	- 40	
51	22	890	917	1.0	$+ 1.14 - 0.95 = + 1$	- 44	- 46	17: unruhig, 40 K.
52	24	966	991	0.5	$+ 1.15 - 0.96 = + 75$	+ 22	+ 23	16: dichte Wolken
53	25	906	932	1.0	$+ 1.15 - 0.96 = + 16$	- 28	- 29	
54	26	972	997	0.5	$+ 1.16 - 0.97 = + 81$	+ 26	+ 27	unsicher, 16:40 K.
55	28	929	951	1.0	$+ 1.16 - 0.98 = + 35$	- 9	- 9	
56	März 5	941	964	1.0	$+ 1.17 - 0.99 = + 48$	+ 4	+ 4	
57	Sept. 25	966	55.029	1.0	$+ 1.73 + 0.97 = + 113$	+ 57	+ 59	
58	26	956	020	1.0	$+ 1.74 + 0.96 = + 104$	+ 48	+ 50	
59	27	914	54.980	1.0	$+ 1.74 + 0.96 = + 64$	+ 8	+ 8	
60	28	929	997	1.0	$+ 1.74 + 0.95 = + 81$	+ 26	+ 27	
61	29	878	946	1.0	$+ 1.75 + 0.95 = + 30$	- 25	- 26	
62	Okt. 2	874	946	1.0	$+ 1.75 + 0.93 = + 30$	- 25	- 26	40 K., 17: unruhig
63	6	935	55.009	1.0	$+ 1.76 + 0.90 = + 93$	+ 38	+ 39	
64	11	791	54.870	0	$+ 1.78 + 0.86 = + 46$			17: d.W., zweifelhaft
65	20	900	985	1.0	$+ 1.80 + 0.78 = + 69$	+ 15	+ 16	

$$\begin{aligned}
 x_{13} &= + 0.0615 \\
 y_{13} &= - 0.0080 \pm 0.0039 \\
 \Delta\pi_{13} &= + 0.0082 \pm 0.0046 \\
 \epsilon_{13} &= - 0.0305 \\
 \epsilon_{13} \cos \delta &= + 0.0210
 \end{aligned}$$

Sternpaar 14.

18-17.

1910								
1	März 3	^m 27.826	^m 27.662	1.0	$x_{14} - 1.83 y_{14} - 0.98 \Delta\pi_{14} = + 58$	+ 7	+ 7	
2	7	802	630	1.0	$- 1.82 + 0.99 = + 26$	- 25	- 26	
3	8	792	622	1.0	$- 1.82 + 0.99 = + 18$	- 33	- 35	
4	Okt. 8	889	783	0	$- 1.23 - 0.89 = + 179$			unbrauchbar
5	12	764	654	1.0	$- 1.22 - 0.86 = + 50$	+ 11	+ 12	
6	16	727	621	1.0	$- 1.21 - 0.82 = + 17$	- 22	- 23	
7	17	771	661	1.0	$- 1.21 - 0.81 = + 57$	+ 18	+ 19	
8	28	772	676	1.0	$- 1.18 - 0.68 = + 72$	+ 32	+ 34	
9	31	734	644	1.0	$- 1.17 - 0.64 = + 40$	0	0	
10	Nov. 2	747	660	1.0	$- 1.16 - 0.62 = + 56$	+ 16	+ 17	
11	8	730	655	1.0	$- 1.15 - 0.53 = + 51$	+ 10	+ 11	
12	17	749	678	1.0	$- 1.12 - 0.40 = + 74$	+ 33	+ 35	
1911								
13	Jan. 18	714	641	1.0	$- 0.95 + 0.62 = + 37$	- 10	- 11	
14	20	750	675	1.0	$- 0.94 + 0.64 = + 71$	+ 24	+ 25	
15	24	767	689	1.0	$- 0.93 + 0.70 = + 85$	+ 38	+ 40	
16	26	723	643	1.0	$- 0.93 + 0.72 = + 39$	- 8	- 8	W., 40 K.
17	27	720	646	1.0	$- 0.93 + 0.73 = + 42$	- 5	- 5	
18	30	775	694	1.0	$- 0.92 + 0.77 = + 90$	+ 42	+ 44	
19	Febr. 1	717	636	1.0	$- 0.91 + 0.79 = + 32$	- 16	- 17	
20	8	724	635	1.0	$- 0.89 + 0.85 = + 31$	- 17	- 18	

Nr.	Datum	$\Delta\alpha$ app.	$\Delta\alpha$ 1912.0	Gew.	Bedingungsgleichung	$v_x V_p$	$v_y V_p$	Bemerkungen
21	1911 Febr. 13	^m 3 ^s 27.763	^m 3 ^s 27.675	1.0	$x_{14} - 0.88 y_{14} + 0.89 \Delta\pi_{14} = + 71$	+ 23	+ 24	18 : schwach
22	16	792	693	0.5	$- 0.87 + 0.91 = + 89$	+ 29	+ 31	
23	24	745	654	1.0	$- 0.85 + 0.96 = + 50$	+ 2	+ 2	
24	26	701	604	1.0	$- 0.84 + 0.97 = 0$	- 48	- 51	
25	28	735	634	1.0	$- 0.84 + 0.97 = + 30$	- 18	- 19	18 : schwach
26	März 7	797	693	1.0	$- 0.82 + 0.99 = + 89$	+ 40	+ 42	
27	9	712	606	1.0	$- 0.81 + 0.99 = + 2$	- 47	- 50	
28	11	706	631	0.5	$- 0.81 + 0.99 = + 27$	- 15	- 16	
29	Sept. 21	655	635	1.0	$- 0.28 - 0.99 = + 31$	- 5	- 5	40 K.
30	22	635	613	1.0	$- 0.28 - 0.98 = + 9$	- 27	- 29	
31	23	711	699	1.0	$- 0.27 - 0.98 = + 85$	+ 49	+ 52	
32	24	654	633	1.0	$- 0.27 - 0.98 = + 29$	- 7	- 7	
33	Okt. 3	620	609	1.0	$- 0.25 - 0.93 = + 5$	- 31	- 33	40 K.
34	4	653	644	1.0	$- 0.24 - 0.92 = + 40$	+ 4	+ 4	
35	5	619	612	1.0	$- 0.24 - 0.91 = + 8$	- 28	- 30	
36	6	622	617	1.0	$- 0.24 - 0.91 = + 13$	- 23	- 24	
37	11	704	701	1.0	$- 0.22 - 0.87 = + 97$	+ 61	+ 65	W.
38	17	608	610	1.0	$- 0.21 - 0.81 = + 6$	- 31	- 33	
39	18	610	616	1.0	$- 0.20 - 0.80 = + 12$	- 25	- 27	
40	19	636	644	1.0	$- 0.20 - 0.79 = + 40$	+ 3	+ 3	
41	1912 Jan. 27	654	661	1.0	$+ 0.07 + 0.73 = + 57$	+ 12	+ 13	W.
42	30	653	651	1.0	$+ 0.08 + 0.76 = + 47$	+ 2	+ 2	
43	Febr. 5	640	634	1.0	$+ 0.10 + 0.82 = + 30$	- 15	- 16	
44	6	624	613	1.0	$+ 0.10 + 0.83 = + 9$	- 36	- 38	
45	9	679	672	1.0	$+ 0.11 + 0.86 = + 68$	+ 22	+ 23	17 : 40 K.
46	10	645	640	1.0	$+ 0.11 + 0.87 = + 36$	- 10	- 11	
47	März 3	652	661	1.0	$+ 0.17 + 0.98 = + 57$	+ 11	+ 12	
48	7	642	638	1.0	$+ 0.18 + 0.99 = + 34$	- 12	- 13	
49	8	661	652	1.0	$+ 0.18 + 0.99 = + 48$	+ 2	+ 2	17 : unsicher
50	Sept. 20	564	619	1.0	$+ 0.72 - 0.99 = + 15$	- 19	- 20	
51	30	577	651	1.0	$+ 0.75 - 0.94 = + 47$	+ 13	+ 14	
52	Okt. 5	565	645	1.0	$+ 0.76 - 0.91 = + 41$	+ 7	+ 7	
53	6	550	634	1.0	$+ 0.76 - 0.90 = + 30$	- 4	- 4	17 : 40 K.
54	22	535	638	1.0	$+ 0.81 - 0.75 = + 34$	- 1	- 1	
55	25	529	637	1.0	$+ 0.82 - 0.72 = + 33$	- 2	- 2	
56	1913 Jan. 28	617	715	1.0	$+ 1.08 + 0.75 = + 111$	+ 68	+ 72	
57	Febr. 9	542	653	1.0	$+ 1.11 + 0.87 = + 49$	+ 6	+ 6	17 : 40 K.
58	10	573	652	1.0	$+ 1.11 + 0.88 = + 78$	+ 35	+ 37	
59	12	532	636	1.0	$+ 1.12 + 0.89 = + 32$	- 11	- 12	
60	14	524	620	1.0	$+ 1.12 + 0.91 = + 16$	- 27	- 29	
61	18	583	674	1.0	$+ 1.13 + 0.93 = + 70$	+ 26	+ 28	17 : unruhig, 40 K. W.
62	22	538	626	1.0	$+ 1.14 + 0.95 = + 22$	- 22	- 23	
63	24	538	622	1.0	$+ 1.15 + 0.96 = + 18$	- 26	- 28	
64	25	588	674	1.0	$+ 1.15 + 0.96 = + 70$	+ 26	+ 28	
65	26	528	612	0.5	$+ 1.16 + 0.97 = + 8$	- 25	- 26	17 : unsicher
66	28	587	666	1.0	$+ 1.16 + 0.98 = + 62$	+ 18	+ 19	
67	März 5	555	638	1.0	$+ 1.17 + 0.99 = + 34$	- 10	- 11	
68	Sept. 25	469	612	1.0	$+ 1.73 - 0.97 = + 8$	- 23	- 24	
69	26	459	604	1.0	$+ 1.74 - 0.96 = 0$	- 31	- 33	18 : unsicher, 40 K.
70	27	481	628	1.0	$+ 1.74 - 0.96 = + 24$	- 7	- 7	
71	28	479	631	1.0	$+ 1.74 - 0.95 = + 27$	- 4	- 4	
72	29	495	645	1.0	$+ 1.75 - 0.95 = + 41$	+ 10	+ 11	
73	Okt. 2	496	652	1.0	$+ 1.75 - 0.93 = + 48$	+ 17	+ 18	17 : unruhig, 40 K.
74	6	461	622	1.0	$+ 1.76 - 0.90 = + 18$	- 14	- 15	
75	11	437	606	0	$+ 1.78 - 0.86 = + 2$			
76	20	481	662	1.0	$+ 1.80 - 0.78 = + 58$	+ 26	+ 28	

$$x_{14} = + 0.0410$$

$$y_{14} = - 0.0024 \pm 0.0029$$

$$\Delta\pi_{14} = + 0.0057 \pm 0.0035$$

$$\varepsilon_{14} = \pm 0.0254$$

$$\varepsilon_{14} \cos \delta = \pm 0.0179$$

Sternpaar 15.

20—19.

Nr.	Datum	$\Delta\alpha$ app.	$\Delta\alpha$ 1912.0	Gew.	Bedingungsgleichung	$v_x \sqrt{p}$	$v_y \sqrt{p}$	Bemerkungen
1910								
1	März 3	^m 3 ^s 4.200	^m 3 ^s 3.766	1.0	$x_{15} - 1.88 y_{15} - 0.97 \Delta\pi_{15} = + 29$	- 60	- 17	
2	7	284	819	1.0	$- 1.82 - 0.99 = + 82$	- 7	- 5	
3	8	231	774	1.0	$- 1.82 - 0.99 = + 37$	- 52	- 41	
4	10	349	752	1.0	$- 1.81 - 0.99 = + 15$	- 74	- 58	
5	11	498	900	0.5	$- 1.81 - 0.99 = + 163$	+ 52	+ 41	19: schwach
6	Okt. 17	232	852	1.0	$- 1.21 + 0.84 = + 115$	+ 36	+ 28	19: unruhig, 40 K.
7	28	137	820	1.0	$- 1.18 + 0.73 = + 83$	+ 3	+ 2	
8	Nov. 2	123	814	1.0	$- 1.16 + 0.66 = + 107$	+ 27	+ 21	
9	8	023	791	1.0	$- 1.15 + 0.58 = + 54$	- 26	- 20	
10	17	036	830	1.0	$- 1.12 + 0.45 = + 93$	+ 13	+ 10	
1911								
11	Jan. 24	3.973	832	1.0	$- 0.93 - 0.66 = + 95$	+ 13	+ 10	W.
12	27	960	831	1.0	$- 0.93 - 0.69 = + 94$	+ 12	+ 9	
13	30	992	840	1.0	$- 0.92 - 0.73 = + 103$	+ 20	+ 16	
14	Febr. 1	4.006	841	1.0	$- 0.91 - 0.75 = + 104$	+ 21	+ 16	
15	8	045	861	1.0	$- 0.89 - 0.83 = + 124$	+ 41	+ 32	
16	13	3.998	819	1.0	$- 0.88 - 0.87 = + 82$	- 1	- 1	
17	14	4.036	843	1.0	$- 0.88 - 0.88 = + 106$	+ 23	+ 18	
18	24	038	841	1.0	$- 0.85 - 0.94 = + 104$	+ 21	+ 16	
19	26	3.957	741	0.5	$- 0.84 - 0.95 = + 4$	- 55	- 43	19: unsicher
20	28	4.074	845	1.0	$- 0.84 - 0.96 = + 108$	+ 25	+ 19	
21	März 7	028	777	1.0	$- 0.82 - 0.98 = + 40$	- 43	- 34	
22	8	131	878	1.0	$- 0.82 - 0.99 = + 141$	+ 58	+ 45	40 K.
23	9	090	833	1.0	$- 0.81 - 0.99 = + 96$	+ 13	+ 10	
24	11	128	874	1.0	$- 0.81 - 0.99 = + 137$	+ 54	+ 42	
25	Sept. 21	3.854	750	1.0	$- 0.28 + 1.00 = + 13$	- 60	- 47	
26	22	935	822	1.0	$- 0.28 + 0.99 = + 85$	+ 12	+ 9	
27	23	916	803	1.0	$- 0.27 + 0.99 = + 66$	- 7	- 5	
28	24	901	790	1.0	$- 0.27 + 0.99 = + 53$	- 20	- 16	40 K.
29	Okt. 3	896	835	1.0	$- 0.25 + 0.95 = + 98$	+ 15	+ 12	W.
30	5	898	851	1.0	$- 0.24 + 0.94 = + 114$	+ 41	+ 32	
31	6	787	743	1.0	$- 0.24 + 0.93 = + 6$	- 67	- 52	20: unruhig, 40 K.
32	11	775	743	1.0	$- 0.22 + 0.90 = + 6$	- 67	- 52	
33	17	804	807	1.0	$- 0.21 + 0.85 = + 70$	- 3	- 2	
34	18	803	819	1.0	$- 0.20 + 0.84 = + 82$	+ 9	+ 7	
35	19	768	791	1.0	$- 0.20 + 0.83 = + 54$	- 19	- 15	
36	26	733	803	1.0	$- 0.18 + 0.75 = + 66$	- 8	- 6	
1912								
37	Febr. 5	738	824	1.0	$+ 0.10 - 0.79 = + 87$	+ 10	+ 8	
38	9	795	881	1.0	$+ 0.11 - 0.83 = + 144$	+ 67	+ 52	
39	März 8	690	816	1.0	$+ 0.17 - 0.98 = + 79$	+ 2	+ 2	
40	8	759	819	1.0	$+ 0.18 - 0.99 = + 82$	+ 5	+ 4	
41	10	812	850	1.0	$+ 0.19 - 0.99 = + 113$	+ 36	+ 28	
42	Sept. 20	725	848	1.0	$+ 0.72 + 1.00 = + 111$	+ 44	+ 34	40 K.
43	30	675	876	1.0	$+ 0.75 + 0.96 = + 139$	+ 72	+ 56	
44	Okt. 3	525	776	1.0	$+ 0.76 + 0.95 = + 39$	- 28	- 22	
45	5	638	864	1.0	$+ 0.76 + 0.93 = + 127$	+ 60	+ 47	
46	6	533	781	1.0	$+ 0.76 + 0.93 = + 44$	- 23	- 18	
47	22	478	815	1.0	$+ 0.81 + 0.79 = + 78$	+ 11	+ 9	
48	25	385	743	1.0	$+ 0.82 + 0.76 = + 6$	- 61	- 48	20: unruhig, 40 K.
1913								
49	Jan. 28	394	825	1.0	$+ 1.08 - 0.71 = + 88$	+ 17	+ 13	
50	Febr. 10	269	737	1.0	$+ 1.11 - 0.85 = 0$	- 71	- 55	
51	12	312	759	1.0	$+ 1.12 - 0.87 = + 22$	- 49	- 38	
52	14	354	769	1.0	$+ 1.12 - 0.88 = + 32$	- 39	- 30	
53	18	356	761	1.0	$+ 1.13 - 0.91 = + 24$	- 47	- 37	
54	21	356	757	1.0	$+ 1.14 - 0.93 = + 20$	- 51	- 40	
55	22	403	794	1.0	$+ 1.14 - 0.94 = + 57$	- 14	- 11	20: W.
56	25	403	789	1.0	$+ 1.15 - 0.95 = + 52$	- 19	- 15	

Nr.	Datum	$\Delta \alpha$ app.	$\Delta \alpha$ 1912.0	Gew.	Bedingungsgleichung	$v_x \sqrt{p}$	$v_y \sqrt{p}$	Bemerkungen
57	1913 Febr. 26	^m 3.462	^m 3.837	1.0	$x_{15} + 1.16 y_{15} - 0.96 \Delta \alpha_{15} = +100$	+ 29	+ 23	19: W.
58	28	505	866	1.0	+ 1.16 - 0.97 = + 129	+ 58	+ 45	
59	März 5	418	775	1.0	+ 1.17 - 0.98 = + 38	- 33	- 26	
60	7	491	850	1.0	+ 1.18 - 0.99 = + 113	+ 42	+ 33	
61	Sept. 25	361	788	1.0	+ 1.73 + 0.98 = + 51	- 10	- 8	19: unsicher, 40 K.
62	26	350	786	1.0	+ 1.74 + 0.98 = + 49	- 12	- 9	
63	27	332	778	1.0	+ 1.74 + 0.98 = + 41	- 20	- 16	
64	28	354	813	1.0	+ 1.74 + 0.97 = + 76	+ 15	+ 12	
65	29	352	806	1.0	+ 1.75 + 0.97 = + 69	+ 8	+ 6	
66	Okt. 2	363	845	1.0	+ 1.75 + 0.95 = + 108	+ 47	+ 37	
67	6	309	813	1.0	+ 1.76 + 0.93 = + 76	+ 15	+ 12	
68	15	225	758	1.0	+ 1.79 + 0.86 = + 21	- 40	- 31	
69	20	206	795	1.0	+ 1.80 + 0.81 = + 58	- 3	- 2	
70	21	211	811	1.0	+ 1.81 + 0.80 = + 74	+ 13	+ 10	
71	22	224	822	1.0	+ 1.81 + 0.79 = + 85	+ 24	+ 19	19: unsicher, 40 K.

$$\begin{aligned}
 x_{15} &= + 0.0748 \\
 y_{15} &= - 0.0060 \pm 0.0044 \\
 \Delta x_{15} &= - 0.0031 \pm 0.0053
 \end{aligned}$$

$$\begin{aligned}
 \epsilon_{15} &= \pm 0.0383 \\
 \epsilon_{15} \cos \delta &= \pm 0.0199
 \end{aligned}$$

Sternpaar 16.

21-20.

1	1910 März 7	^m 20.788	^m 20.386	1.0	$x_{16} - 1.83 y_{16} + 0.97 \Delta \alpha_{16} = + 156$	+ 60	+ 51	W. n. Journ. auszuschl.
2	7	720	293	1.0	+ 1.82 + 0.99 = + 63	- 83	- 28	
3	8	795	374	1.0	- 1.82 + 0.99 = + 144	+ 48	+ 41	
4	10	791	261	1.0	- 1.81 + 0.99 = + 31	- 65	- 55	
5	11	847	316	1.0	- 1.81 + 0.99 = + 86	- 10	- 8	
6	Okt. 16	685	372	1.0	- 1.21 - 0.85 = + 142	+ 50	+ 42	
7	17	654	332	1.0	- 1.21 - 0.84 = + 102	+ 10	+ 8	
8	28	571	298	1.0	- 1.18 - 0.73 = + 68	- 24	- 20	
9	Nov. 2	568	324	1.0	- 1.16 - 0.66 = + 94	+ 2	+ 2	
10	8	585	377	1.0	- 1.15 - 0.58 = + 147	+ 55	+ 46	
11	17	538	348	1.0	- 1.12 - 0.45 = + 118	+ 26	+ 22	
12	1911 Jan. 24	446	293	1.0	- 0.98 + 0.66 = + 63	- 29	- 24	40 K.
13	27	551	406	0	- 0.93 + 0.69 = + 176	+ 42	+ 35	
14	30	526	364	1.0	- 0.92 + 0.73 = + 134	- 15	- 18	
15	Febr. 1	477	307	1.0	- 0.91 + 0.74 = + 77	- 39	- 50	
16	8	449	263	1.0	- 0.89 + 0.83 = + 33	+ 22	+ 19	
17	13	525	344	1.0	- 0.88 + 0.87 = + 114	- 34	- 29	
18	14	482	288	1.0	- 0.88 + 0.88 = + 58	- 18	- 15	
19	24	501	304	1.0	- 0.85 + 0.94 = + 74	+ 26	+ 22	
20	26	560	348	1.0	- 0.84 + 0.95 = + 118	- 56	- 47	
21	28	488	266	1.0	- 0.84 + 0.96 = + 36	+ 29	+ 24	
22	März 7	588	351	1.0	- 0.82 + 0.98 = + 121	- 51	- 43	
23	8	509	271	1.0	- 0.82 + 0.99 = + 41	+ 18	+ 15	
24	9	580	340	1.0	- 0.81 + 0.99 = + 110	+ 25	+ 21	
25	Sept. 21	422	343	1.0	- 0.28 - 1.00 = + 113	+ 30	+ 25	W. 20: unruhig, 40 K.
26	22	435	348	1.0	- 0.28 - 0.99 = + 118	- 48	- 41	
27	23	355	270	1.0	- 0.27 - 0.99 = + 40	+ 15	+ 13	
28	24	417	333	1.0	- 0.27 - 0.99 = + 108	- 40	- 34	
29	Okt. 3	323	278	1.0	- 0.25 - 0.95 = + 48	- 59	- 50	
30	5	294	259	1.0	- 0.24 - 0.94 = + 29	+ 16	+ 14	
31	6	366	334	1.0	- 0.24 - 0.93 = + 104	+ 19	+ 16	
32	11	361	337	1.0	- 0.22 - 0.90 = + 107	+ 9	+ 8	
33	17	324	327	1.0	- 0.21 - 0.85 = + 97	+ 27	+ 23	
34	18	331	345	1.0	- 0.20 - 0.84 = + 115			

Nr.	Datum	$\Delta \alpha$ app.	$\Delta \alpha$ 1912.0	Gew.	Bedingungsgleichung			$v_s V_p$	$v_n V_p$	Bemerkungen
35	1911 Okt. 19	^m 20.295	^m 20.312	0.5	$x_{16} - 0.20$	$y_{16} - 0.83$	$\Delta n_{16} = + 82$	- 4	- 3	unsicher 21 : unruhig, 40 K.
36	26	233	287	1.0	- 0.18	- 0.75	$= + 57$	- 31	- 26	
37	1912 Febr. 5	265	316	1.0	+ 0.10	+ 0.79	$= + 86$	- 2	- 2	20 : unruhig, 40 K.
38	6	278	314	1.0	+ 0.10	+ 0.80	$= + 84$	- 4	- 3	
39	9	215	264	1.0	+ 0.11	+ 0.83	$= + 34$	- 54	- 46	
40	März 3	248	354	1.0	+ 0.17	+ 0.98	$= + 124$	+ 86	+ 30	
41	8	321	353	1.0	+ 0.18	+ 0.99	$= + 123$	+ 35	+ 30	
42	10	285	298	1.0	+ 0.19	+ 0.99	$= + 68$	- 20	- 17	
43	Sept. 20	161	287	1.0	+ 0.72	- 1.00	$= + 57$	- 27	- 23	
44	30	110	294	1.0	+ 0.75	- 0.96	$= + 64$	- 20	- 17	
45	Okt. 3	088	312	1.0	+ 0.76	- 0.95	$= + 82$	- 2	- 2	
46	5	104	310	1.0	+ 0.76	- 0.93	$= + 80$	- 4	- 3	
47	6	143	366	1.0	+ 0.76	- 0.93	$= + 136$	+ 52	+ 44	W. unruhig
48	22	018	307	1.0	+ 0.81	- 0.79	$= + 77$	- 7	- 6	
49	25	032	336	1.0	+ 0.82	- 0.76	$= + 106$	+ 22	+ 19	
50	1913 Jan. 28	000	341	1.0	+ 1.08	+ 0.71	$= + 111$	+ 27	+ 23	
51	Febr. 10	19.996	359	1.0	+ 1.11	+ 0.85	$= + 129$	+ 45	+ 38	
52	12	977	334	1.0	+ 1.12	+ 0.87	$= + 104$	+ 20	+ 17	
53	14	996	325	1.0	+ 1.12	+ 0.88	$= + 95$	+ 11	+ 9	
54	18	20.005	326	1.0	+ 1.13	+ 0.91	$= + 96$	+ 12	+ 10	
55	21	003	322	1.0	+ 1.14	+ 0.93	$= + 92$	+ 8	+ 7	
56	22	005	318	1.0	+ 1.14	+ 0.94	$= + 88$	+ 4	+ 3	
57	25	049	359	1.0	+ 1.15	+ 0.95	$= + 129$	+ 45	+ 38	unruhig
58	26	19.981	282	1.0	+ 1.16	+ 0.96	$= + 52$	- 32	- 27	
59	28	985	274	1.0	+ 1.16	+ 0.97	$= + 44$	- 40	- 34	
60	März 5	20.050	338	1.0	+ 1.17	+ 0.98	$= + 108$	+ 24	+ 20	
61	7	007	295	1.0	+ 1.18	+ 0.99	$= + 65$	- 18	- 15	
62	Sept. 25	19.848	230	0.5	+ 1.73	- 0.98	$= 0$	- 56	- 47	
63	26	869	258	1.0	+ 1.74	- 0.98	$= + 28$	- 52	- 44	
64	27	941	338	1.0	+ 1.74	- 0.98	$= + 108$	+ 28	+ 24	
65	28	885	292	1.0	+ 1.74	- 0.97	$= + 62$	- 18	- 15	
66	29	944	347	1.0	+ 1.75	- 0.97	$= + 117$	+ 37	+ 31	
67	Okt. 2	837	262	1.0	+ 1.75	- 0.95	$= + 32$	- 48	- 41	22 : 40 K.
68	6	850	293	1.0	+ 1.76	- 0.93	$= + 63$	- 17	- 14	
69	15	870	334	1.0	+ 1.79	- 0.86	$= + 104$	+ 24	+ 20	
70	20	812	320	1.0	+ 1.80	- 0.81	$= + 90$	+ 10	+ 8	
71	21	799	315	1.0	+ 1.81	- 0.80	$= + 85$	+ 5	+ 4	
72	22	793	308	1.0	+ 1.81	- 0.79	$= + 78$	- 2	- 2	

$$x_{16} = + 0.0877$$

$$y_{16} = - 0.0042 \pm 0.0038$$

$$\Delta \pi_{16} = + 0.0007 \pm 0.0047$$

$$\epsilon_{16} = \pm 0.0338$$

$$\epsilon_{16} \cos \delta = \pm 0.0190$$

Sternpaar 17.

22-21.

1	1910 März 3	^m 58.766	^m 58.328	1.0	$x_{17} - 1.83$	$y_{17} - 0.97$	$\Delta n_{17} = + 33$	- 21	- 19	22 : 40 K.
2	7	812	354	1.0	- 1.82	- 0.98	$= + 59$	+ 5	+ 5	
3	8	804	351	1.0	- 1.82	- 0.99	$= + 56$	+ 2	+ 2	
4	10	912	357	1.0	- 1.81	- 0.99	$= + 62$	+ 8	+ 7	
5	11	913	357	1.0	- 1.81	- 0.99	$= + 62$	+ 8	+ 7	
6	Okt. 16	710	344	1.0	- 1.21	+ 0.87	$= + 49$	- 20	- 18	
7	17	702	327	1.0	- 1.21	+ 0.86	$= + 32$	- 37	- 33	
8	28	741	414	1.0	- 1.18	+ 0.74	$= + 119$	+ 51	+ 46	
9	Nov. 2	659	361	1.0	- 1.16	+ 0.68	$= + 66$	- 2	- 2	

Nr.	Datum	$\Delta \alpha$ app.	$\Delta \alpha$ 1912.0	Gew.	Bedingungsgleichung			$v_p \sqrt{p}$	$v_n \sqrt{p}$	Bemerkungen
1910										
10	Nov. 8	^m 58.615	^m 58.351	1.0	$x_{17} - 1.15$	$y_{17} + 0.60$	$\Delta \pi_{17} = + 56$	- 11	- 10	
11	17	617	375	1.0	- 1.12	+ 0.47	= + 80	+ 14	+ 13	
1911										
12	Jan. 27	414	254	0	- 0.93	- 0.68	= - 51			21 : schlecht
13	30	518	344	1.0	- 0.92	- 0.71	= + 49	- 6	- 5	40 K.
14	Febr. 1	556	872	1.0	- 0.91	- 0.72	= + 77	+ 22	+ 20	
15	8	566	872	1.0	- 0.89	- 0.81	= + 77	+ 33	+ 30	
16	13	578	391	1.0	- 0.88	- 0.86	= + 96	+ 42	+ 38	
17	14	528	330	1.0	- 0.88	- 0.87	= + 35	- 19	- 17	
18	21	550	346	1.0	- 0.86	- 0.92	= + 51	- 2	- 2	
19	24	583	386	1.0	- 0.85	- 0.94	= + 91	+ 38	+ 34	
20	26	516	308	1.0	- 0.84	- 0.95	= + 13	- 40	- 36	
21	28	603	384	1.0	- 0.84	- 0.96	= + 89	+ 36	+ 33	
22	März 6	529	298	1.0	- 0.82	- 0.98	= + 3	- 50	- 45	
23	7	613	382	1.0	- 0.82	- 0.98	= + 87	+ 34	+ 31	
24	8	582	349	1.0	- 0.82	- 0.99	= + 54	+ 1	+ 1	40 K.
25	9	558	318	1.0	- 0.81	- 0.99	= + 23	- 30	- 27	
26	Sept. 21	446	345	1.0	- 0.28	+ 1.00	= + 50	- 19	- 17	
27	22	442	833	1.0	- 0.28	+ 1.00	= + 98	- 31	- 28	22 : schwach, 40 K.
28	23	485	377	1.0	- 0.27	+ 0.99	= + 82	+ 13	+ 12	
29	24	508	402	1.0	- 0.27	+ 0.99	= + 107	+ 38	+ 34	
30	Okt. 3	421	351	1.0	- 0.25	+ 0.96	= + 56	- 13	- 12	W.
31	5	416	357	1.0	- 0.24	+ 0.95	= + 62	- 7	- 6	
32	6	371	313	1.0	- 0.24	+ 0.94	= + 18	- 51	- 46	
33	11	413	364	1.0	- 0.22	+ 0.91	= + 69	+ 1	+ 1	
34	17	363	341	1.0	- 0.21	+ 0.86	= + 46	- 22	- 20	
35	18	421	409	1.0	- 0.20	+ 0.85	= + 114	+ 46	+ 42	
36	19	403	395	0.5	- 0.20	+ 0.84	= + 100	+ 22	+ 20	21 : unsicher
37	26	329	357	1.0	- 0.18	+ 0.77	= + 62	- 5	- 5	21 : unruhig, 40 K.
1912										
38	Febr. 5	253	327	1.0	+ 0.10	- 0.78	= + 32	- 21	- 19	
39	6	312	377	1.0	+ 0.10	- 0.79	= + 82	+ 29	+ 26	
40	9	255	330	1.0	+ 0.11	- 0.82	= + 35	- 18	- 16	
41	10	255	327	0.5	+ 0.11	- 0.83	= + 32	- 15	- 14	22 : schwach
42	März 3	255	369	1.0	+ 0.17	- 0.97	= + 74	+ 22	+ 20	
43	8	246	315	1.0	+ 0.18	- 0.99	= + 20	- 31	- 28	
44	10	329	382	1.0	+ 0.19	- 0.99	= + 87	+ 36	+ 33	
45	Sept. 20	196	329	1.0	+ 0.72	+ 1.00	= + 34	- 34	- 31	
46	30	146	338	1.0	+ 0.75	+ 0.97	= + 43	- 25	- 23	
47	Okt. 3	172	400	1.0	+ 0.76	+ 0.95	= + 105	+ 37	+ 33	22 : 40 K.
48	5	129	340	1.0	+ 0.76	+ 0.94	= + 45	- 22	- 20	
49	6	137	363	1.0	+ 0.76	+ 0.94	= + 68	+ 1	+ 1	
50	22	063	857	1.0	+ 0.81	+ 0.80	= + 62	- 4	- 4	
51	25	101	409	1.0	+ 0.82	+ 0.77	= + 114	+ 48	+ 43	unruhig, 40 K.
1913										
52	Jan. 28	57.945	338	1.0	+ 1.08	- 0.70	= + 43	- 10	- 9	
53	Febr. 10	899	324	1.0	+ 1.11	- 0.84	= + 29	- 23	- 21	
54	12	956	869	1.0	+ 1.12	- 0.85	= + 74	+ 23	+ 21	
55	14	939	327	1.0	+ 1.12	- 0.87	= + 32	- 19	- 17	
56	18	967	350	1.0	+ 1.13	- 0.90	= + 55	+ 4	+ 4	
57	21	985	367	1.0	+ 1.14	- 0.92	= + 72	+ 21	+ 19	
58	22	967	341	1.0	+ 1.14	- 0.93	= + 46	- 5	- 5	W.
59	25	963	336	1.0	+ 1.15	- 0.95	= + 41	- 9	- 8	
60	26	956	321	1.0	+ 1.16	- 0.95	= + 26	- 24	- 22	
61	28	997	352	1.0	+ 1.16	- 0.96	= + 57	+ 7	+ 6	
62	März 5	952	307	1.0	+ 1.17	- 0.98	= + 12	- 38	- 34	
63	7	982	343	1.0	+ 1.18	- 0.98	= + 48	- 2	- 2	
64	Sept. 25	913	389	1.0	+ 1.73	+ 0.99	= + 44	- 23	- 21	
65	26	925	357	1.0	+ 1.74	+ 0.99	= + 62	- 5	- 5	
66	27	866	295	1.0	+ 1.74	+ 0.98	= 0	- 66	- 60	
67	28	935	383	1.0	+ 1.74	+ 0.98	= + 88	+ 22	+ 20	

Nr.	Datum	$\Delta\alpha$ app.	$\Delta\alpha$ 1912.0	Gew.	Bedingungsgleichung	$v_s V_p$	$v_n V_p$	Bemerkungen
68	1913 Sept. 29	^m 58.871	^m 58.317	1.0	$x_{17} + 1.75 y_{17} + 0.97 \Delta\pi_{17} = + 22$	- 44	- 40	
69	Okt. 2	922	386	1.0	$+ 1.75 + 0.96 = + 91$	+ 25	+ 23	
70	6	908	390	1.0	$+ 1.76 + 0.94 = + 95$	+ 29	+ 26	
71	15	888	393	1.0	$+ 1.79 + 0.87 = + 98$	+ 32	+ 29	
72	20	861	407	1.0	$+ 1.80 + 0.83 = + 112$	+ 47	+ 43	
73	21	834	389	1.0	$+ 1.81 + 0.82 = + 94$	+ 29	+ 26	
74	22	817	370	1.0	$+ 1.81 + 0.81 = + 75$	+ 10	+ 9	

$$\begin{aligned}
 x_{17} &= + 0.0602 \\
 y_{17} &= - 0.0013 \pm 0.0031 \\
 \Delta\pi_{17} &= + 0.0087 \pm 0.0038 \\
 \varepsilon_{17} &= \pm 0.0280 \\
 \varepsilon_{17} \cos \delta &= \pm 0.0169
 \end{aligned}$$

Sternpaar 18.

24—22.

Nr.	Datum	^m ^s	^m ^s	Gew.	Bedingungsgleichung	$v_s V_p$	$v_n V_p$	Bemerkungen
1	1910 März 3	^m 5 ^s 1.240	^m 5 ^s 1.466	1.0	$x_{18} - 1.83 y_{18} + 0.97 \Delta\pi_{18} = + 69$	+ 1	+ 1	
2	7	242	471	1.0	$- 1.82 + 0.98 = + 74$	+ 6	+ 6	
3	8	267	496	1.0	$- 1.82 + 0.99 = + 99$	+ 31	+ 29	
4	10	189	451	1.0	$- 1.81 + 0.99 = + 54$	- 14	- 13	
5	11	204	467	1.0	$- 1.81 + 0.99 = + 70$	+ 2	+ 2	
6	Okt. 16	158	409	1.0	$- 1.21 - 0.87 = + 12$	- 47	- 43	22:40 K.
7	17	214	468	1.0	$- 1.21 - 0.86 = + 71$	+ 12	+ 11	
8	28	234	464	1.0	$- 1.18 - 0.74 = + 67$	+ 7	+ 6	
9	Nov. 2	248	464	1.0	$- 1.16 - 0.68 = + 67$	+ 6	+ 6	
10	8	256	467	1.0	$- 1.15 - 0.60 = + 60$	- 1	- 1	
11	17	212	397	1.0	$- 1.12 - 0.47 = 0$	- 62	- 57	
12	1911 Jan. 27	359	428	1.0	$- 0.93 + 0.68 = + 31$	- 39	- 36	
13	30	334	407	1.0	$- 0.92 + 0.71 = + 10$	- 60	- 56	
14	Febr. 1	360	444	1.0	$- 0.91 + 0.72 = + 47$	- 23	- 21	
15	8	337	413	1.0	$- 0.89 + 0.81 = + 16$	- 55	- 51	
16	13	337	407	1.0	$- 0.88 + 0.86 = + 10$	- 61	- 56	24:40 K.
17	14	440	513	1.0	$- 0.88 + 0.87 = + 116$	+ 45	+ 42	
18	21	443	514	1.0	$- 0.86 + 0.92 = + 117$	+ 45	+ 42	
19	24	392	460	1.0	$- 0.85 + 0.94 = + 63$	- 9	- 8	
20	26	428	492	1.0	$- 0.84 + 0.95 = + 95$	+ 23	+ 21	
21	28	407	480	1.0	$- 0.84 + 0.96 = + 83$	+ 11	+ 10	
22	März 6	458	534	1.0	$- 0.82 + 0.98 = + 137$	+ 65	+ 60	
23	7	424	499	1.0	$- 0.82 + 0.98 = + 102$	+ 30	+ 28	
24	8	421	497	1.0	$- 0.82 + 0.98 = + 100$	+ 28	+ 26	
25	9	441	516	1.0	$- 0.81 + 0.99 = + 119$	+ 47	+ 43	
26	11	408	482	1.0	$- 0.81 + 0.99 = + 85$	+ 13	+ 12	
27	Sept. 21	409	496	0.5	$- 0.28 - 1.00 = + 99$	+ 25	+ 23	sehr schwach
28	22	410	500	1.0	$- 0.28 - 1.00 = + 103$	+ 40	+ 37	
29	23	385	474	1.0	$- 0.27 - 0.99 = + 77$	+ 14	+ 13	
30	24	293	381	0	$- 0.27 - 0.99 = - 16$			
31	Okt. 3	382	455	1.0	$- 0.25 - 0.96 = + 58$	- 5	- 5	verfehlt W., 40 K.
32	5	374	443	1.0	$- 0.24 - 0.95 = + 46$	- 17	- 16	
33	6	429	497	1.0	$- 0.24 - 0.94 = + 100$	+ 37	+ 34	
34	11	429	491	1.0	$- 0.22 - 0.91 = + 94$	+ 30	+ 28	
35	17	380	429	1.0	$- 0.21 - 0.86 = + 32$	- 32	- 30	
36	18	379	423	1.0	$- 0.20 - 0.85 = + 26$	- 38	- 35	
37	19	424	466	1.0	$- 0.20 - 0.84 = + 69$	+ 5	+ 5	
38	26	458	484	1.0	$- 0.18 - 0.77 = + 87$	+ 22	+ 20	
39	1912 Febr. 5	597	507	1.0	$+ 0.10 + 0.78 = + 110$	+ 34	+ 31	
40	6	516	432	1.0	$+ 0.10 + 0.79 = + 35$	- 41	- 38	
41	9	528	435	1.0	$+ 0.11 + 0.82 = + 38$	- 38	- 35	
42	10	542	460	0.5	$+ 0.11 + 0.83 = + 53$	- 16	- 15	22: schwach

Nr.	Datum	$\Delta \alpha$ app.	$\Delta \alpha$ 1912.0	Gew.	Bedingungsgleichung	$v_x Vp$	$v_y Vp$	Bemerkungen
43	1912 Febr. 13	5 ^m 1.576	5 ^m 1.475	1.0	$x_{18} + 0.12 y_{18} + 0.86 \Delta \pi_{18} = + 78$	+ 2	+ 2	
44	März 3	545	427	1.0	$+ 0.17 + 0.97 = + 30$	- 47	- 43	
45	8	564	459	1.0	$+ 0.18 + 0.99 = + 62$	- 15	- 14	
46	10	560	459	1.0	$+ 0.19 + 0.99 = + 62$	- 15	- 14	24 : 40 K.
47	Sept. 30	568	482	1.0	$+ 0.75 - 0.97 = + 85$	+ 17	+ 16	
48	Okt. 3	560	460	1.0	$+ 0.76 - 0.95 = + 63$	- 5	- 5	
49	5	514	420	1.0	$+ 0.76 - 0.94 = + 23$	- 45	- 42	unruhig, 40 K.
50	6	611	511	1.0	$+ 0.76 - 0.94 = + 114$	+ 46	+ 43	
51	22	631	498	1.0	$+ 0.81 - 0.80 = + 101$	+ 32	+ 30	
52	25	621	483	1.0	$+ 0.82 - 0.77 = + 86$	+ 17	+ 16	unruhig, 40 K.
53	1913 Jan. 28	686	417	1.0	$+ 1.08 + 0.70 = + 20$	- 60	- 56	
54	Febr. 10	791	505	1.0	$+ 1.11 + 0.84 = + 108$	+ 27	+ 25	
55	12	764	479	1.0	$+ 1.12 + 0.85 = + 82$	+ 1	+ 1	
56	14	756	480	1.0	$+ 1.12 + 0.87 = + 83$	+ 2	+ 2	
57	18	743	465	1.0	$+ 1.13 + 0.90 = + 68$	- 13	- 12	
58	21	795	515	1.0	$+ 1.14 + 0.92 = + 118$	+ 37	+ 34	24 : W.
59	25	760	482	1.0	$+ 1.15 + 0.95 = + 85$	+ 4	+ 4	
60	26	747	472	1.0	$+ 1.16 + 0.95 = + 75$	- 7	- 6	
61	28	743	471	1.0	$+ 1.16 + 0.96 = + 74$	- 8	- 7	
62	März 5	797	525	1.0	$+ 1.17 + 0.98 = + 128$	+ 46	+ 43	
63	7	759	481	1.0	$+ 1.18 + 0.98 = + 84$	+ 2	+ 2	
64	Sept. 25	746	504	1.0	$+ 1.73 - 0.99 = + 107$	+ 35	+ 32	
65	26	727	481	1.0	$+ 1.74 - 0.99 = + 84$	+ 12	+ 11	
66	27	740	492	1.0	$+ 1.74 - 0.98 = + 95$	+ 23	+ 21	
67	28	673	422	1.0	$+ 1.74 - 0.98 = + 25$	- 47	- 43	
68	29	712	462	1.0	$+ 1.75 - 0.97 = + 65$	- 8	- 7	
69	Okt. 2	761	502	1.0	$+ 1.75 - 0.96 = + 105$	+ 32	+ 30	
70	6	731	465	1.0	$+ 1.76 - 0.94 = + 68$	- 5	- 5	
71	15	740	464	1.0	$+ 1.79 - 0.87 = + 67$	- 6	- 6	
72	20	717	422	1.0	$+ 1.80 - 0.83 = + 25$	- 49	- 45	
73	21	739	440	1.0	$+ 1.81 - 0.82 = + 43$	- 31	- 29	
74	22	781	481	1.0	$+ 1.81 - 0.81 = + 84$	+ 10	+ 9	

$$x_{18} = + 0.0703$$

$$y_{18} = + 0.0047 \pm 0.0036$$

$$\Delta \pi_{18} = + 0.0061 \pm 0.0045$$

$$\varepsilon_{18} = \pm 0.0320$$

$$\varepsilon_{18} \cos \delta = \pm 0.0197$$

Sternpaar 19.

25—22.

1	1910 März 3	8 ^m 42.268	8 ^m 42.062	1.0	$x_{19} - 1.83 y_{19} + 0.97 \Delta \pi_{19} = + 61$	- 21	- 20	
2	7	350	124	1.0	$- 1.82 + 0.98 = + 123$	+ 41	+ 40	
3	8	298	077	1.0	$- 1.82 + 0.98 = + 76$	- 6	- 6	
4	10	347	041	1.0	$- 1.81 + 0.99 = + 40$	- 42	- 40	
5	11	306	001	1.0	$- 1.81 + 0.99 = 0$	- 82	- 79	25 : unruhig, 40 K.
6	Okt. 17	143	017	1.0	$- 1.21 - 0.86 = + 16$	- 58	- 56	
7	28	176	080	1.0	$- 1.18 - 0.74 = + 79$	+ 4	+ 4	
8	Nov. 2	139	060	1.0	$- 1.16 - 0.68 = + 59$	- 16	- 15	
9	8	178	123	1.0	$- 1.15 - 0.60 = + 122$	+ 47	+ 45	
10	17	117	069	1.0	$- 1.12 - 0.47 = + 68$	- 7	- 7	
11	1911 Jan. 27	151	066	1.0	$- 0.92 + 0.68 = + 65$	- 12	- 12	
12	30	138	039	1.0	$- 0.92 + 0.71 = + 38$	- 39	- 38	
13	Febr. 1	131	033	1.0	$- 0.91 + 0.72 = + 32$	- 45	- 43	
14	8	207	090	1.0	$- 0.89 + 0.81 = + 89$	+ 12	+ 12	
15	13	205	087	1.0	$- 0.88 + 0.86 = + 86$	+ 9	+ 9	
16	14	257	132	1.0	$- 0.88 + 0.87 = + 131$	+ 51	+ 52	
17	21	233	099	1.0	$- 0.86 + 0.92 = + 98$	+ 21	+ 20	

Nr.	Datum	$\Delta \alpha$ app.	$\Delta \alpha$ 1912.0	Gew.	Bedingungsgleichung	$v_s V_p$	$v_n V_p$	Bemerkungen
1911								
18	Febr. 24	^m 8 42.176	^m 8 42.046	1.0	$x_{19} - 0.85 y_{19} + 0.94 \Delta \pi_{19} = + 45$	- 32	- 31	W., 40 K.
19	26	251	108	1.0	$- 0.84 + 0.95 = + 107$	+ 30	+ 29	
20	28	269	119	1.0	$- 0.84 + 0.96 = + 118$	+ 41	+ 40	
21	März 6	234	071	1.0	$- 0.82 + 0.98 = + 70$	- 7	- 7	25 : unruhig, 40 K.
22	7	262	098	1.0	$- 0.82 + 0.98 = + 97$	+ 20	+ 19	
23	8	299	133	1.0	$- 0.82 + 0.98 = + 192$	+ 55	+ 53	
24	9	276	110	1.0	$- 0.81 + 0.99 = + 109$	+ 32	+ 31	25 : zweifelhaft, 40 K.
25	11	286	120	1.0	$- 0.81 + 0.99 = + 119$	+ 42	+ 40	unsicher, 40 K.
26	Sept. 23	141	123	1.0	$- 0.27 - 0.99 = + 122$	+ 52	+ 50	
27	24	092	075	1.0	$- 0.27 - 0.99 = + 74$	+ 4	+ 4	
28	Okt. 3	081	087	1.0	$- 0.25 - 0.96 = + 86$	+ 16	+ 15	W.
29	5	081	075	1.0	$- 0.24 - 0.95 = + 74$	+ 4	+ 4	
30	6	083	104	1.0	$- 0.24 - 0.94 = + 103$	+ 33	+ 32	
31	11	094	116	1.0	$- 0.22 - 0.91 = + 115$	+ 45	+ 43	
32	17	072	108	1.0	$- 0.21 - 0.86 = + 107$	+ 37	+ 36	
33	18	41.937	028	1.0	$- 0.20 - 0.85 = + 27$	- 43	- 41	
34	19	994	040	1.0	$- 0.20 - 0.84 = + 39$	- 31	- 30	25 : unsicher, 40 K.
35	26	994	063	1.0	$- 0.18 - 0.77 = + 62$	- 8	- 8	
1912								
36	Febr. 5	42.072	056	1.0	$+ 0.10 + 0.78 = + 55$	- 17	- 16	
37	6	065	039	1.0	$+ 0.10 + 0.79 = + 38$	- 34	- 33	
38	9	061	042	1.0	$+ 0.11 + 0.82 = + 41$	- 31	- 30	
39	10	062	042	0.5	$+ 0.11 + 0.83 = + 41$	- 22	- 21	
40	13	094	086	1.0	$+ 0.12 + 0.86 = + 85$	+ 13	+ 13	
41	März 3	056	056	1.0	$+ 0.17 + 0.97 = + 55$	- 17	- 16	
42	8	117	078	1.0	$+ 0.18 + 0.99 = + 77$	+ 5	+ 5	
43	10	102	047	1.0	$+ 0.19 + 0.99 = + 46$	- 26	- 25	
44	Sept. 30	41.977	086	1.0	$+ 0.75 - 0.97 = + 85$	+ 20	+ 19	
45	Okt. 3	886	022	1.0	$+ 0.76 - 0.95 = + 21$	- 44	- 42	40 K.
46	5	947	070	1.0	$+ 0.76 - 0.94 = + 69$	+ 4	+ 4	
47	6	921	054	1.0	$+ 0.76 - 0.94 = + 53$	- 12	- 12	
48	22	876	049	1.0	$+ 0.81 - 0.80 = + 48$	- 17	- 16	
49	25	886	067	1.0	$+ 0.82 - 0.77 = + 66$	+ 1	+ 1	unruhig, 40 K.
1913								
50	Jan. 28	906	037	1.0	$+ 1.08 + 0.70 = + 36$	- 31	- 30	
51	Febr. 10	942	089	1.0	$+ 1.11 + 0.84 = + 88$	+ 21	+ 20	
52	12	958	087	1.0	$+ 1.12 + 0.85 = + 86$	+ 19	+ 18	
53	14	927	041	1.0	$+ 1.12 + 0.87 = + 40$	- 27	- 26	
54	18	42.027	134	1.0	$+ 1.13 + 0.90 = + 133$	+ 66	+ 64	
55	25	41.968	062	1.0	$+ 1.15 + 0.95 = + 61$	- 6	- 6	
56	26	958	047	1.0	$+ 1.16 + 0.95 = + 46$	- 21	- 20	
57	28	42.006	086	1.0	$+ 1.16 + 0.96 = + 85$	+ 18	+ 17	
58	März 5	028	108	1.0	$+ 1.17 + 0.98 = + 107$	+ 40	+ 39	
59	7	41.962	040	1.0	$+ 1.18 + 0.98 = + 39$	- 28	- 27	
60	Sept. 25	963	140	0.5	$+ 1.73 - 0.99 = + 139$	+ 55	+ 53	25 : unruhig
61	26	880	062	1.0	$+ 1.74 - 0.99 = + 61$	+ 1	+ 1	
62	27	926	114	1.0	$+ 1.74 - 0.98 = + 113$	+ 53	+ 51	
63	28	893	088	1.0	$+ 1.74 - 0.98 = + 87$	+ 27	+ 26	
64	29	874	065	1.0	$+ 1.75 - 0.97 = + 64$	+ 4	+ 4	
65	Okt. 2	816	022	1.0	$+ 1.75 - 0.96 = + 21$	- 39	- 38	
66	6	837	034	1.0	$+ 1.76 - 0.94 = + 53$	- 7	- 7	25 : schwach, 40 K.
67	13	794	034	1.0	$+ 1.78 - 0.89 = + 33$	- 27	- 26	
68	20	747	005	1.0	$+ 1.80 - 0.83 = + 4$	- 56	- 54	
69	21	768	031	1.0	$+ 1.81 - 0.82 = + 30$	- 30	- 29	
70	22	802	063	1.0	$+ 1.81 - 0.81 = + 62$	+ 2	+ 2	

$$\begin{aligned}
 x_{19} &= + 0.0707 \\
 y_{19} &= - 0.0048 \pm 0.0039 \\
 \Delta \pi_{19} &= + 0.0025 \pm 0.0049
 \end{aligned}$$

$$\begin{aligned}
 \varepsilon_{19} &= \pm 0.0335 \\
 \varepsilon_{19} \cos \delta &= \pm 0.0215
 \end{aligned}$$

Sternpaar 20.

23-21.

Nr.	Datum	$\Delta \alpha$ app.	$\Delta \alpha$ 1912.0	Gew.	Bedingungsgleichung			v, \sqrt{p}	v, \sqrt{p}	Bemerkungen
1910										
1	März 3	^m 50.213	^m 50.076	1.0	$x_{20} - 1.83$	$y_{20} - 0.97$	$\Delta \pi_{20} = + 20$	- 34	- 29	
2	7	322	177	1.0	- 1.82	- 0.98	= + 121	+ 67	+ 59	
3	8	258	175	1.0	- 1.82	- 0.98	= + 59	+ 5	+ 4	
4	10	281	103	1.0	- 1.81	- 0.99	= + 47	- 7	- 6	
5	11	309	132	1.0	- 1.81	- 0.99	= + 76	+ 22	+ 19	
6	Okt. 16	162	101	1.0	- 1.21	+ 0.87	= + 45	- 25	- 22	
7	17	131	066	1.0	- 1.21	+ 0.86	= + 10	- 60	- 53	
8	28	201	148	1.0	- 1.18	+ 0.75	= + 92	+ 23	+ 20	
9	Nov. 2	190	143	1.0	- 1.16	+ 0.69	= + 87	+ 18	+ 16	
10	8	171	134	1.0	- 1.15	+ 0.61	= + 78	+ 10	+ 9	
11	17	153	117	1.0	- 1.12	+ 0.48	= + 61	- 6	- 5	
1911										
12	Jan. 27	073	004	0	- 0.93	- 0.67	= - 52			n. Journ. auszuwchl.
13	30	172	097	1.0	- 0.92	- 0.70	= + 41	- 17	- 15	
14	Febr. 1	129	057	1.0	- 0.91	- 0.73	= + 1	- 57	- 50	
15	8	198	115	1.0	- 0.89	- 0.81	= + 59	+ 2	+ 2	
16	13	147	064	1.0	- 0.88	- 0.85	= + 8	- 49	- 43	
17	14	175	088	1.0	- 0.88	- 0.86	= + 32	- 24	- 21	
18	21	228	138	1.0	- 0.86	- 0.92	= + 82	+ 26	+ 23	
19	24	226	136	1.0	- 0.85	- 0.93	= + 80	+ 24	+ 21	
20	26	191	096	1.0	- 0.84	- 0.95	= + 40	- 16	- 14	
21	28	251	155	1.0	- 0.84	- 0.96	= + 99	+ 43	+ 38	
22	März 6	211	109	1.0	- 0.82	- 0.98	= + 53	- 3	- 3	
23	7	238	135	1.0	- 0.82	- 0.98	= + 79	+ 23	+ 20	
24	8	214	111	1.0	- 0.82	- 0.98	= + 55	- 1	- 1	
25	9	206	102	1.0	- 0.81	- 0.99	= + 46	- 10	- 9	
26	Sept. 21	109	109	0.5	- 0.28	+ 1.00	= + 53	- 13	- 11	sehr schwach, 40 K.
27	22	126	122	1.0	- 0.28	+ 1.00	= + 66	- 6	- 5	23: schwach, 40 K.
28	23	163	160	1.0	- 0.27	+ 1.00	= + 104	+ 32	+ 28	
29	24	136	134	1.0	- 0.27	+ 0.99	= + 78	+ 6	+ 5	23: unruhig, 40 K.
30	Okt. 3	157	163	0.5	- 0.25	+ 0.96	= + 107	+ 35	+ 31	W., 23: 10 K.
31	5	189	148	1.0	- 0.24	+ 0.95	= + 92	+ 20	+ 18	
32	6	096	107	1.0	- 0.24	+ 0.94	= + 51	- 21	- 19	
33	11	159	172	1.0	- 0.22	+ 0.91	= + 116	+ 44	+ 39	
34	17	104	123	1.0	- 0.21	+ 0.87	= + 67	- 4	- 4	
35	18	158	179	1.0	- 0.20	+ 0.86	= + 123	+ 52	+ 46	
36	19	070	093	1.0	- 0.20	+ 0.85	= + 37	- 34	- 30	
37	26	087	119	1.0	- 0.18	+ 0.78	= + 63	- 8	- 7	21: unruhig, 40 K.
1912										
38	Febr. 5	109	088	1.0	+ 0.10	- 0.77	= + 32	- 26	- 23	
39	6	155	129	1.0	+ 0.10	- 0.78	= + 73	+ 15	+ 13	
40	10	133	110	1.0	+ 0.11	- 0.82	= + 54	- 4	- 4	
41	März 3	133	116	1.0	+ 0.17	- 0.97	= + 60	+ 3	+ 3	
42	8	119	086	1.0	+ 0.18	- 0.98	= + 30	- 27	- 24	23: unruhig, 40 K.
43	10	154	114	1.0	+ 0.19	- 0.99	= + 58	+ 1	+ 1	
44	Sept. 20	029	082	1.0	+ 0.72	+ 1.00	= + 26	- 47	- 42	
45	30	046	115	1.0	+ 0.75	+ 0.97	= + 59	- 14	- 12	
46	Okt. 3	074	156	1.0	+ 0.76	+ 0.96	= + 100	+ 27	+ 24	23: unsicher, 40 K.
47	5	007	082	1.0	+ 0.76	+ 0.95	= + 26	- 47	- 42	23: unsicher, 40 K.
48	6	063	142	1.0	+ 0.76	+ 0.94	= + 86	+ 13	+ 11	
49	22	038	131	1.0	+ 0.81	+ 0.81	= + 75	+ 3	+ 3	
50	25	069	166	1.0	+ 0.82	+ 0.78	= + 110	+ 38	+ 34	
1913										
51	Jan. 28	015	074	1.0	+ 1.08	- 0.69	= + 18	- 42	- 37	
52	Febr. 10	019	083	1.0	+ 1.11	- 0.83	= + 27	- 32	- 28	
53	12	063	121	1.0	+ 1.12	- 0.85	= + 65	+ 6	+ 5	
54	14	064	114	1.0	+ 1.12	- 0.87	= + 58	- 1	- 1	
55	18	083	129	1.0	+ 1.13	- 0.90	= + 73	+ 15	+ 13	
56	21	130	174	1.0	+ 1.14	- 0.92	= + 118	+ 60	+ 53	

Nr.	Datum	$\Delta \alpha$ app.	$\Delta \alpha$ 1912.0	Gew.	Bedingungsgleichung	$v_s \sqrt{p}$	$v_n \sqrt{p}$	Bemerkungen
57	1913 Febr. 25	^m 4 ^s 50.089	^m 4 ^s 50.130	1.0	$x_{20} + 1.15 y_{20} - 0.94 \Delta \pi_{20} = + 74$	+ 16	+ 14	
58	26	061	100	1.0	$+ 1.16 y_{20} - 0.95 = + 44$	- 14	- 13	
59	28	062	096	1.0	$+ 1.16 - 0.96 = + 40$	- 18	- 16	
60	März 5	095	131	1.0	$+ 1.17 - 0.98 = + 75$	+ 17	+ 15	
61	7	087	121	1.0	$+ 1.18 - 0.98 = + 65$	+ 7	+ 6	
62	Sept. 25	015	131	1.0	$+ 1.73 + 0.99 = + 75$	+ 1	+ 1	
63	26	000	117	1.0	$+ 1.74 + 0.99 = + 61$	- 13	- 11	
64	27	023	142	1.0	$+ 1.74 + 0.98 = + 86$	+ 12	+ 11	
65	28	022	145	1.0	$+ 1.74 + 0.98 = + 89$	+ 15	+ 13	
66	29	49.975	097	1.0	$+ 1.75 + 0.98 = + 41$	- 38	- 29	
67	Okt. 2	50.019	146	1.0	$+ 1.75 + 0.96 = + 90$	+ 16	+ 14	
68	6	49.993	125	1.0	$+ 1.76 + 0.94 = + 69$	- 5	- 4	
69	15	50.031	169	1.0	$+ 1.79 + 0.88 = + 113$	+ 39	+ 34	
70	20	49.990	139	1.0	$+ 1.80 + 0.83 = + 83$	+ 10	+ 9	
71	21	928	077	1.0	$+ 1.81 + 0.82 = + 21$	- 52	- 46	
72	22	996	145	1.0	$+ 1.81 + 0.81 = + 80$	+ 16	+ 14	

$$\begin{aligned}
 x_{20} &= + 0.0644 \\
 y_{20} &= + 0.0011 \pm 0.0032 \\
 \Delta \pi_{20} &= + 0.0081 \pm 0.0039 \\
 \varepsilon_{20} &= \pm 0.0282 \\
 \varepsilon_{20} \cos \delta &= \pm 0.0166
 \end{aligned}$$

Sternpaar 21.

24-23.

Nr.	Datum	^m ^s	^m ^s	Gew.	Bedingungsgleichung	$v_s \sqrt{p}$	$v_n \sqrt{p}$	Bemerkungen
1	1910 März 3	^m 2 ^s 9.793	^m 2 ^s 9.718	1.0	$x_{21} - 1.83 y_{21} + 0.97 \Delta \pi_{21} = + 75$	+ 15	+ 14	
2	7	732	649	1.0	$- 1.82 + 0.98 = + 6$	- 54	- 49	
3	8	813	732	1.0	$- 1.82 + 0.98 = + 89$	+ 29	+ 26	
4	10	854	739	1.0	$- 1.81 + 0.99 = + 96$	+ 36	+ 33	
5	11	805	690	1.0	$- 1.81 + 0.99 = + 47$	- 13	- 12	
6	Okt. 16	704	648	1.0	$- 1.21 - 0.87 = + 5$	- 43	- 39	
7	17	785	725	1.0	$- 1.21 - 0.86 = + 82$	+ 34	+ 31	
8	28	774	728	1.0	$- 1.18 - 0.75 = + 85$	+ 36	+ 33	
9	Nov. 2	717	680	1.0	$- 1.16 - 0.69 = + 37$	- 13	- 12	
10	8	700	673	1.0	$- 1.15 - 0.61 = + 30$	- 20	- 18	
11	17	676	653	1.0	$- 1.12 - 0.48 = + 10$	- 41	- 37	
12	1911 Jan. 27	701	678	1.0	$- 0.93 + 0.67 = + 35$	- 26	- 24	
13	30	690	652	1.0	$- 0.92 + 0.70 = + 9$	- 52	- 47	
14	Febr. 1	797	767	1.0	$- 0.91 + 0.73 = + 124$	+ 63	+ 57	
15	8	705	670	1.0	$- 0.89 + 0.81 = + 27$	- 35	- 32	
16	13	768	733	1.0	$- 0.88 + 0.85 = + 90$	+ 28	+ 25	24:40 K.
17	14	794	755	1.0	$- 0.88 + 0.86 = + 112$	+ 50	+ 45	
18	21	765	724	1.0	$- 0.86 + 0.92 = + 81$	+ 18	+ 16	
19	24	749	709	1.0	$- 0.85 + 0.93 = + 66$	+ 3	+ 3	
20	26	748	703	1.0	$- 0.84 + 0.95 = + 60$	- 3	- 3	
21	28	759	710	1.0	$- 0.84 + 0.96 = + 67$	+ 4	+ 4	
22	März 6	761	707	1.0	$- 0.82 + 0.98 = + 64$	+ 1	+ 1	
23	7	800	746	1.0	$- 0.82 + 0.98 = + 103$	+ 40	+ 36	
24	8	748	694	1.0	$- 0.82 + 0.98 = + 51$	- 12	- 11	
25	9	788	732	1.0	$- 0.81 + 0.99 = + 89$	+ 26	+ 24	
26	11	780	725	1.0	$- 0.81 + 0.99 = + 82$	+ 19	+ 17	
27	Sept. 21	746	734	0.5	$- 0.28 - 1.00 = + 91$	+ 29	+ 26	sehr schwach, 40 K.
28	22	726	711	1.0	$- 0.28 - 1.00 = + 68$	+ 18	+ 16	23: schwach, 40 K.
29	23	707	692	1.0	$- 0.27 - 1.00 = + 49$	- 1	- 1	
30	24	664	650	1.0	$- 0.27 - 0.99 = + 7$	- 44	- 40	23: unruhig, 40 K.
31	Okt. 3	646	643	0.5	$- 0.25 - 0.96 = 0$	- 36	- 33	W., 23: 10 K. •
32	5	651	650	1.0	$- 0.24 - 0.95 = + 7$	- 44	- 40	
33	6	705	706	1.0	$- 0.24 - 0.94 = + 63$	+ 12	+ 11	

Nr.	Datum	$\Delta \alpha$ app.	$\Delta \alpha$ 1912.0	Gew.	Bedingungsgleichung			$v_p \sqrt{p}$	$v_n \sqrt{p}$	Bemerkungen	
1911											
34	Okt. 11	^m 2 ^s 9.682	^m 2 ^s 9.685	1.0	$x_{21} - 0.22$	$y_{21} - 0.91$	$\Delta \pi_{21} = + 42$	- 9	- 8		
35	17	638	648	1.0	- 0.21	- 0.87	= + 5	- 47	- 42		
36	18	643	655	1.0	- 0.20	- 0.86	= + 12	- 40	- 86		
37	19	727	741	1.0	- 0.20	- 0.85	= + 98	+ 46	+ 42		
38	26	701	726	1.0	- 0.18	- 0.78	= + 83	+ 31	+ 28		
1912											
39	Febr. 5	741	747	1.0	+ 0.10	+ 0.77	= + 104	+ 39	+ 35	23: unruhig, 40 K.	
40	6	672	674	1.0	+ 0.10	+ 0.78	= + 31	- 34	- 31		
41	10	664	668	1.0	+ 0.11	+ 0.82	= + 25	- 40	- 36		
42	13	718	729	1.0	+ 0.12	+ 0.85	= + 86	+ 20	+ 18		
43	März 3	667	680	1.0	+ 0.17	+ 0.97	= + 37	- 30	- 27		
44	8	692	689	1.0	+ 0.18	+ 0.98	= + 46	- 21	- 19		
45	10	735	727	1.0	+ 0.19	+ 0.99	= + 84	+ 17	+ 15		
46	Sept. 30	668	705	1.0	+ 0.75	- 0.97	= + 62	+ 8	+ 7		
47	Okt. 3	657	707	1.0	+ 0.76	- 0.96	= + 64	+ 10	+ 9		
48	5	636	680	1.0	+ 0.76	- 0.95	= + 87	- 17	- 15		
49	6	685	733	1.0	+ 0.76	- 0.94	= + 90	+ 35	+ 32	24: W.	
50	22	656	724	1.0	+ 0.81	- 0.81	= + 81	+ 25	+ 23		
51	25	654	724	1.0	+ 0.82	- 0.78	= + 81	+ 25	+ 23		
1913											
52	Jan. 28	615	682	1.0	+ 1.08	+ 0.69	= + 39	- 29	- 26		
53	Febr. 10	670	745	1.0	+ 1.11	+ 0.83	= + 102	+ 33	+ 80		
54	12	657	726	1.0	+ 1.12	+ 0.85	= + 83	+ 14	+ 13		
55	14	631	692	1.0	+ 1.12	+ 0.87	= + 49	- 20	- 18		
56	18	628	686	1.0	+ 1.13	+ 0.90	= + 43	- 27	- 24		
57	21	650	709	1.0	+ 1.14	+ 0.92	= + 66	- 4	- 4		
58	25	633	687	1.0	+ 1.15	+ 0.94	= + 44	- 26	- 24		
59	26	642	692	1.0	+ 1.16	+ 0.95	= + 49	- 21	- 19		
60	28	678	725	1.0	+ 1.16	+ 0.96	= + 82	+ 12	+ 11	24: schwach, 40 K.	
61	März 5	655	702	1.0	+ 1.17	+ 0.98	= + 59	- 11	- 10		
62	7	655	703	1.0	+ 1.18	+ 0.98	= + 60	- 10	- 9		
63	Sept. 25	643	710	1.0	+ 1.73	- 0.99	= + 67	+ 9	+ 8		
64	26	652	721	1.0	+ 1.74	- 0.99	= + 78	+ 20	+ 18		
65	27	572	643	1.0	+ 1.74	- 0.98	= 0	- 58	- 52		
66	28	585	661	1.0	+ 1.74	- 0.98	= + 18	- 40	- 36		
67	29	608	682	1.0	+ 1.75	- 0.98	= + 39	- 19	- 17		
68	Okt. 2	664	744	1.0	+ 1.75	- 0.96	= + 101	+ 43	+ 39		
69	6	646	731	1.0	+ 1.76	- 0.94	= + 88	+ 30	+ 27		
70	11	671	764	1.0	+ 1.78	- 0.91	= + 121	+ 63	+ 57		
71	13	578	673	1.0	+ 1.78	- 0.90	= + 30	- 28	- 25		
72	15	597	688	1.0	+ 1.79	- 0.88	= + 45	- 14	- 13		
73	20	588	692	1.0	+ 1.80	- 0.83	= + 49	- 10	- 9		
74	21	645	750	1.0	+ 1.81	- 0.82	= + 107	+ 48	+ 43		
75	22	602	707	1.0	+ 1.81	- 0.81	= + 64	+ 5	+ 5		

$$\begin{aligned}
 x_{21} &= + 0.0589 \\
 y_{21} &= + 0.0035 \pm 0.0035 \\
 \Delta \pi_{21} &= + 0.0075 \pm 0.0044 \\
 \epsilon_{21} &= \pm 0.0314 \\
 \epsilon_{21} \cos \delta &= \pm 0.0189
 \end{aligned}$$

Sternpaar 22.

27-26.

1910										
1	März 3	^m 3 ^s 8.118	^m 3 ^s 8.110	1.0	$x_{22} - 1.83$	$y_{22} - 0.95$	$\Delta \pi_{22} = + 75$	+ 45	+ 39	40 K.
2	7	063	052	1.0	- 1.82	- 0.97	= + 17	- 13	- 11	
3	8	111	106	1.0	- 1.82	- 0.97	= + 65	+ 95	+ 91	
4	11	061	052	1.0	- 1.81	- 0.98	= + 17	- 13	- 11	
5	Okt. 16	058	096	1.0	- 1.21	+ 0.91	= + 61	+ 19	+ 17	

Nr.	Datum	$\Delta \alpha_{app.}$	$\Delta \alpha_{1912.0}$	(Gew.)	Bedingungsgleichung	$v_p \sqrt{p}$	$v_n \sqrt{p}$	Bemerkungen
6	1910 Okt. 17	^m 3 ^s 8.008	^m 3 ^s 8.044	1.0	$x_{22} - 1.21 y_{22} + 0.90 \Delta n_{22} = + 9$	- 33	- 29	unruhig, 40 K. ganz schwach
7	Nov. 2	005	038	0.5	$- 1.16 y_{22} + 0.74 \Delta n_{22} = + 3$	- 27	- 24	
8	1911 Jan. 26	053	037	1.0	- 0.93 - 0.60 = + 2	- 37	- 32	27 : 10 K.
9	27	052	035	0.5	- 0.93 - 0.61 = 0	- 27	- 24	
10	Febr. 1	053	039	1.0	- 0.91 - 0.68 = + 4	- 35	- 31	
11	8	092	073	1.0	- 0.89 - 0.76 = + 38	- 1	- 1	
12	13	075	055	1.0	- 0.88 - 0.82 = + 20	- 19	- 17	
13	14	093	072	1.0	- 0.88 - 0.83 = + 37	- 2	- 2	
14	21	086	064	1.0	- 0.86 - 0.89 = + 29	- 10	- 9	
15	26	091	066	1.0	- 0.84 - 0.92 = + 31	- 8	- 7	
16	28	094	070	1.0	- 0.84 - 0.94 = + 35	- 4	- 4	
17	März 6	104	079	1.0	- 0.82 - 0.97 = + 44	+ 5	+ 4	
18	9	006	7.981	0	- 0.81 - 0.98 = - 54			unsicher u. zweifelh.
19	11	070	8.044	1.0	- 0.81 - 0.98 = + 9	- 30	- 26	
20	13	075	049	1.0	- 0.80 - 0.99 = + 14	- 25	- 22	
21	Okt. 3	141	162	1.0	- 0.25 + 0.98 = + 127	+ 76	+ 67	W. unsicher
22	5	033	054	0.5	- 0.24 + 0.97 = + 19	- 22	- 19	
23	11	077	098	1.0	- 0.22 + 0.94 = + 63	+ 12	+ 11	26 : 40 K.
24	15	093	112	1.0	- 0.21 + 0.91 = + 77	+ 26	+ 23	
25	17	109	128	0.5	- 0.21 + 0.90 = + 93	+ 29	+ 25	sehr unruhig sehr unsicher
26	18	100	118	0.5	- 0.20 + 0.89 = + 83	+ 22	+ 19	
27	19	053	071	1.0	- 0.20 + 0.88 = + 36	- 15	- 13	W., 40 K.
28	26	111	128	1.0	- 0.18 + 0.82 = + 93	+ 42	+ 37	
29	Nov. 8	055	066	1.0	- 0.15 + 0.67 = + 31	- 20	- 18	
30	17	067	075	1.0	- 0.12 + 0.55 = + 40	- 11	- 10	
31	1912 Febr. 9	118	083	1.0	+ 0.11 - 0.77 = + 48	- 1	- 1	26 : schwach, gut
32	10	152	117	1.0	+ 0.11 - 0.78 = + 82	+ 33	+ 29	
33	März 7	138	097	1.0	+ 0.18 - 0.97 = + 62	+ 13	+ 11	
34	8	101	059	1.0	+ 0.18 - 0.98 = + 24	- 25	- 22	
35	10	125	083	1.0	+ 0.19 - 0.98 = + 48	- 1	- 1	26 : schwach, gut
36	Sept. 30	107	116	1.0	+ 0.75 + 0.99 = + 81	+ 21	+ 18	
37	Okt. 3	085	094	1.0	+ 0.76 + 0.98 = + 59	- 1	- 1	
38	5	071	079	1.0	+ 0.76 + 0.97 = + 44	- 16	- 14	
39	6	081	089	1.0	+ 0.76 + 0.96 = + 54	- 6	- 5	
40	22	121	124	1.0	+ 0.81 + 0.85 = + 89	+ 28	+ 25	
41	25	102	106	1.0	+ 0.82 + 0.82 = + 71	+ 10	+ 9	dichte W., unbrchb. W. schwach, 26 : 40 K. unsicher
42	1913 Febr. 10	100	050	1.0	+ 1.11 - 0.79 = + 15	- 43	- 38	
43	11	009	7.999	0	+ 1.11 - 0.80 = - 36			
44	12	168	8.117	1.0	+ 1.12 - 0.81 = + 82	+ 24	+ 21	
45	18	138	087	1.0	+ 1.13 - 0.87 = + 52	- 6	- 5	
46	22	192	139	1.0	+ 1.14 - 0.90 = + 104	+ 46	+ 40	
47	25	216	161	0.5	+ 1.15 - 0.92 = + 126	+ 48	+ 42	
48	26	131	076	1.0	+ 1.16 - 0.93 = + 41	- 17	- 15	
49	28	143	088	0.5	+ 1.16 - 0.94 = + 53	- 4	- 4	
50	März 5	136	081	1.0	+ 1.17 - 0.96 = + 46	- 12	- 11	
51	6	183	128	1.0	+ 1.18 - 0.97 = + 93	+ 35	+ 31	unruhig, 40 K.
52	7	150	092	1.0	+ 1.18 - 0.97 = + 57	- 1	- 1	
53	9	196	138	1.0	+ 1.19 - 0.98 = + 103	+ 45	+ 39	
54	Sept. 26	150	143	1.0	+ 1.74 + 1.00 = + 108	+ 38	+ 33	
55	27	074	067	1.0	+ 1.74 + 1.00 = + 32	- 38	- 33	schwach u. verwasch.
56	28	067	060	1.0	+ 1.74 + 0.99 = + 25	- 45	- 39	
57	29	082	074	1.0	+ 1.75 + 0.99 = + 39	- 31	- 27	
58	Okt. 1	097	088	1.0	+ 1.75 + 0.99 = + 53	- 17	- 15	
59	2	149	140	1.0	+ 1.75 + 0.98 = + 105	+ 35	+ 31	unruhig, 40 K.
60	6	081	071	0	+ 1.76 + 0.97 = + 35			
61	11	068	058	1.0	+ 1.78 + 0.94 = + 23	- 47	- 41	
62	13	149	139	1.0	+ 1.78 + 0.98 = + 104	+ 34	+ 30	
63	15	083	073	1.0	+ 1.79 + 0.91 = + 38	- 32	- 28	

Nr.	Datum	$\Delta \alpha$ app.	$\Delta \alpha$ 1912.0	Gew.	Bedingungsgleichung	$v_p \sqrt{p}$	$v_n \sqrt{p}$	Bemerkungen	
	1913								
64	Okt. 20	3 ^m 8.103	3 ^m 8.091	1.0	$x_{23} + 1.80$	$y_{23} + 0.87$	$\Delta \pi_{23} = + 56$	- 14	- 12
65	22	143	130	1.0	$+ 1.81$	$+ 0.85$	$= + 95$	+ 25	+ 22
66	30	126	111	1.0	$+ 1.83$	$+ 0.77$	$= + 76$	+ 6	+ 5
67	Nov. 5	085	068	1.0	$+ 1.85$	$+ 0.70$	$= + 33$	- 37	- 32

$$\begin{aligned}
 x_{23} &= + 0.0501 \\
 y_{23} &= + 0.0095 \pm 0.0037 \\
 \Delta \pi_{23} &= + 0.0033 \pm 0.0047 \\
 \varepsilon_{23} &= \pm 0.0296 \\
 \varepsilon_{23} \cos \delta &= \pm 0.0173
 \end{aligned}$$

Sternpaar 23.

29—28.

1	1910 März 3	^m 2 ^s 37.495	^m 2 ^s 37.508	1.0	$x_{28} - 1.83$	$y_{28} - 0.95$	$\Delta \pi_{28} = + 29$	- 32	- 35	
2	8	489	500	1.0	$- 1.82$	$- 0.97$	$= + 21$	- 40	- 44	
3	Okt. 16	468	511	0.5	$- 1.21$	$+ 0.91$	$= + 32$	- 31	- 34	unsicher
4	17	516	559	1.0	$- 1.21$	$+ 0.90$	$= + 80$	+ 4	+ 4	
5	28	536	576	1.0	$- 1.18$	$+ 0.81$	$= + 97$	+ 22	+ 24	
6	1911 Febr. 1	586	585	1.0	$- 0.91$	$- 0.67$	$= + 106$	+ 47	+ 52	28 : unsicher, 40 K.
7	8	546	542	1.0	$- 0.89$	$- 0.75$	$= + 63$	+ 5	+ 6	
8	13	589	584	1.0	$- 0.88$	$- 0.81$	$= + 105$	+ 48	+ 53	
9	14	566	561	1.0	$- 0.88$	$- 0.82$	$= + 82$	+ 25	+ 28	
10	26	542	534	1.0	$- 0.84$	$- 0.92$	$= + 55$	- 1	- 1	
11	März 6	580	572	1.0	$- 0.82$	$- 0.96$	$= + 93$	+ 38	+ 42	
12	7	519	511	1.0	$- 0.82$	$- 0.97$	$= + 32$	+ 23	+ 25	W.
13	8	581	573	1.0	$- 0.82$	$- 0.97$	$= + 94$	+ 39	+ 43	
14	9	580	572	0.5	$- 0.81$	$- 0.97$	$= + 93$	+ 27	+ 30	unsicher
15	11	562	553	1.0	$- 0.81$	$- 0.98$	$= + 74$	+ 19	+ 21	
16	13	520	511	1.0	$- 0.80$	$- 0.99$	$= + 32$	- 23	- 25	
17	Okt. 5	556	574	1.0	$- 0.24$	$+ 0.98$	$= + 95$	+ 23	+ 25	
18	11	539	558	1.0	$- 0.22$	$+ 0.95$	$= + 79$	+ 8	+ 9	
19	17	476	492	1.0	$- 0.21$	$+ 0.91$	$= + 13$	- 58	- 64	
20	18	463	479	0.5	$- 0.20$	$+ 0.90$	$= + 0$	- 50	- 55	28 : unsicher
21	19	501	516	1.0	$- 0.20$	$+ 0.89$	$= + 37$	- 34	- 37	29 : unruhig, 40 K.
22	26	508	521	1.0	$- 0.18$	$+ 0.83$	$= + 42$	- 28	- 31	unruhig, 40 K.
23	Nov. 8	559	568	1.0	$- 0.15$	$+ 0.68$	$= + 89$	+ 21	+ 23	
24	1912 Febr. 10	615	591	1.0	$+ 0.11$	$- 0.77$	$= + 112$	+ 60	+ 66	
25	13	541	514	0.5	$+ 0.12$	$- 0.80$	$= + 35$	- 12	- 13	
26	März 3	528	496	0.5	$+ 0.17$	$- 0.95$	$= + 17$	- 23	- 25	schwach
27	7	513	482	1.0	$+ 0.18$	$- 0.97$	$= + 3$	- 47	- 52	
28	10	572	542	1.0	$+ 0.19$	$- 0.98$	$= + 63$	+ 13	+ 14	
29	Sept. 30	561	562	1.0	$+ 0.75$	$+ 0.99$	$= + 83$	+ 17	+ 19	
30	Okt. 3	516	516	1.0	$+ 0.76$	$+ 0.98$	$= + 37$	- 29	- 32	
31	5	555	556	1.0	$+ 0.76$	$+ 0.97$	$= + 77$	+ 11	+ 12	
32	6	538	538	1.0	$+ 0.76$	$+ 0.97$	$= + 59$	- 7	- 8	
33	22	564	559	1.0	$+ 0.81$	$+ 0.86$	$= + 80$	+ 15	+ 16	
34	1913 Febr. 10	589	539	1.0	$+ 1.11$	$- 0.78$	$= + 60$	+ 14	+ 15	
35	12	592	541	1.0	$+ 1.12$	$- 0.80$	$= + 62$	+ 16	+ 18	
36	18	535	486	1.0	$+ 1.13$	$- 0.86$	$= + 9$	- 37	- 41	
37	22	593	544	1.0	$+ 1.14$	$- 0.89$	$= + 65$	+ 20	+ 22	28 : schwach, 40 K.
38	25	539	488	1.0	$+ 1.15$	$- 0.91$	$= + 9$	- 36	- 40	28 : unruhig, 40 K.
39	26	559	508	1.0	$+ 1.16$	$- 0.92$	$= + 29$	- 16	- 18	
40	28	571	521	1.0	$+ 1.16$	$- 0.93$	$= + 42$	- 3	- 3	
41	März 5	553	503	1.0	$+ 1.17$	$- 0.96$	$= + 24$	- 20	- 22	28 : unsicher, 40 K.

Nr.	Datum	$\Delta\alpha$ app.	$\Delta\alpha$ 1912.0	Gew.	Bedingungsgleichung	$v_s \sqrt{p}$	$v_n \sqrt{p}$	Bemerkungen
	1913	^m ^s	^m ^s					
42	März 6	2 37.554	2 37.504	1.0	$x_{23} + 1.18 y_{23} - 0.96 \Delta\pi_{23} = + 25$	- 19	- 21	28: schwach, 40 K.
43	7	575	523	1.0	$+ 1.18 - 0.97 = + 44$	0	0	
44	9	550	500	1.0	$+ 1.19 - 0.97 = + 21$	- 23	- 25	
45	Sept. 28	576	555	1.0	$+ 1.74 + 1.00 = + 76$	+ 15	+ 16	28: unruhig, 40 K.
46	29	596	575	1.0	$+ 1.75 + 0.99 = + 96$	+ 35	+ 38	
47	Okt. 1	563	541	1.0	$+ 1.75 + 0.99 = + 62$	+ 1	+ 1	
48	2	588	516	1.0	$+ 1.75 + 0.98 = + 37$	- 24	- 26	
49	11	548	524	1.0	$+ 1.78 + 0.94 = + 45$	- 15	- 16	
50	13	548	524	1.0	$+ 1.78 + 0.93 = + 45$	- 15	- 16	
51	15	571	547	1.0	$+ 1.79 + 0.92 = + 68$	+ 8	+ 9	
52	20	596	569	1.0	$+ 1.80 + 0.88 = + 90$	+ 31	+ 34	
53	21	591	563	1.0	$+ 1.81 + 0.87 = + 84$	+ 25	+ 27	
54	22	561	533	1.0	$+ 1.81 + 0.86 = + 51$	- 5	- 5	
55	30	588	557	1.0	$+ 1.83 + 0.78 = + 78$	+ 20	+ 22	

$$\begin{aligned}
 x_{23} &= + 0.0605 \\
 y_{23} &= - 0.0056 \pm 0.0038 \\
 \Delta\pi_{23} &= + 0.0101 \pm 0.0046 \\
 \varepsilon_{23} &= \pm 0.0286 \\
 \varepsilon_{23} \cos \delta &= \pm 0.0210
 \end{aligned}$$

Sternpaar 24.

31—29.

	1910	^m ^s	^m ^s							
1	März 3	4 34.533	4 34.462	1.0	$x_{24} - 1.83 y_{24} + 0.95 \Delta\pi_{24} = + 29$	- 27	- 30	unsicher 40 K.		
2	8	563	489	1.0	$- 1.82 + 0.97 = + 56$	0	0			
3	10	542	461	0.5	$- 1.81 + 0.98 = + 28$	- 20	- 22			
4	11	594	515	1.0	$- 1.81 + 0.98 = + 82$	+ 26	+ 29			
5	Okt. 17	466	462	1.0	$- 1.21 - 0.90 = + 29$	- 11	- 12	W. 31: unsicher, 40 K. unsicher		
6	28	454	450	1.0	$- 1.18 - 0.81 = + 17$	- 24	- 26			
7	1911 Febr. 1	479	436	1.0	$- 0.91 + 0.67 = + 3$	- 52	- 57			
8	8	502	454	1.0	$- 0.89 + 0.75 = + 21$	- 34	- 37			
9	13	500	457	1.0	$- 0.88 + 0.81 = + 24$	- 32	- 35			
10	14	533	481	1.0	$- 0.88 + 0.82 = + 48$	- 8	- 9			
11	21	555	503	1.0	$- 0.86 + 0.88 = + 70$	+ 13	+ 14			
12	26	582	526	1.0	$- 0.84 + 0.92 = + 93$	+ 36	+ 40			
13	28	592	536	1.0	$- 0.84 + 0.93 = + 103$	+ 46	+ 51			
14	März 6	532	475	1.0	$- 0.82 + 0.96 = + 42$	- 15	- 16			
15	7	589	532	1.0	$- 0.82 + 0.97 = + 99$	+ 42	+ 46			
16	8	541	483	1.0	$- 0.82 + 0.97 = + 50$	- 7	- 8			
17	9	586	530	0.5	$- 0.81 + 0.97 = + 97$	+ 28	+ 31	31; unruhig, 40 K. 29: unsicher, 40 K. unruhig 40 K.		
18	11	567	509	1.0	$- 0.81 + 0.98 = + 76$	+ 18	+ 20			
19	13	545	487	1.0	$- 0.80 + 0.99 = + 54$	- 4	- 4			
20	18	526	466	1.0	$- 0.79 + 0.99 = + 33$	- 25	- 27			
21	Okt. 5	468	485	1.0	$- 0.24 - 0.98 = + 52$	+ 12	+ 13			
22	11	426	444	1.0	$- 0.22 - 0.95 = + 11$	- 29	- 32			
23	17	455	473	1.0	$- 0.21 - 0.91 = + 40$	- 1	- 1			
24	18	516	534	1.0	$- 0.20 - 0.90 = + 101$	+ 60	+ 66			
25	19	492	510	1.0	$- 0.20 - 0.89 = + 77$	+ 36	+ 40			
26	26	500	518	1.0	$- 0.18 - 0.83 = + 85$	+ 43	+ 47			
27	Nov. 8	469	481	1.0	$- 0.15 - 0.68 = + 48$	+ 5	+ 5			
28	1912 Febr. 10	484	455	1.0	$+ 0.11 + 0.77 = + 22$	- 35	- 38	40 K. schwach		
29	13	527	496	0.5	$+ 0.12 + 0.80 = + 63$	+ 4	+ 4			
30	März 3	501	470	0.5	$+ 0.17 + 0.95 = + 37$	- 15	- 16			
31	7	553	518	1.0	$+ 0.18 + 0.97 = + 85$	+ 26	+ 29			
32	10	479	442	1.0	$+ 0.19 + 0.98 = + 9$	- 50	- 55			

Nr.	Datum	$\Delta \alpha$ app.	$\Delta \alpha$ 1912.0	Gew.	Bedingungsgleichung	$v_s \sqrt{p}$	$v_n \sqrt{p}$	Bemerkungen
	1912	^m ^s	^m ^s					
33	Sept. 30	4 34.418	4 34.458	1.0	$x_{24} + 0.75 y_{24} - 0.99 \Delta \pi_{24} = + 25$	- 16	- 18	
34	Okt. 3	463	504	1.0	$+ 0.76 - 0.98 = + 71$	+ 30	+ 33	
35	5	396	436	1.0	$+ 0.76 - 0.97 = + 3$	- 39	- 42	
36	6	469	509	1.0	$+ 0.76 - 0.97 = + 76$	+ 35	+ 38	
37	22	417	457	1.0	$+ 0.81 - 0.86 = + 24$	- 18	- 20	
	1913							
38	Febr. 10	480	473	1.0	$+ 1.11 + 0.78 = + 40$	- 18	- 20	
39	12	462	453	1.0	$+ 1.12 + 0.80 = + 20$	- 38	- 42	
40	18	550	539	1.0	$+ 1.13 + 0.86 = + 106$	+ 47	+ 52	31 : unruhig, 40 K.
41	22	521	509	1.0	$+ 1.14 + 0.89 = + 76$	+ 17	+ 19	
42	25	506	498	1.0	$+ 1.15 + 0.91 = + 60$	+ 1	+ 1	
43	26	510	497	1.0	$+ 1.16 + 0.92 = + 64$	+ 5	+ 5	
44	28	523	510	1.0	$+ 1.16 + 0.93 = + 77$	+ 18	+ 20	
45	März 5	539	526	1.0	$+ 1.17 + 0.96 = + 93$	+ 33	+ 36	
46	6	518	506	1.0	$+ 1.18 + 0.96 = + 73$	+ 13	+ 14	
47	7	419	404	0	$+ 1.18 + 0.97 = - 29$			ganz zweifelhaft
48	9	496	481	1.0	$+ 1.19 + 0.97 = + 48$	- 12	- 13	
49	Sept. 28	406	461	1.0	$+ 1.74 - 1.00 = + 28$	- 14	- 15	
50	29	384	439	1.0	$+ 1.75 - 0.99 = + 6$	- 36	- 40	
51	Okt. 1	419	475	1.0	$+ 1.75 - 0.99 = + 42$	0	0	
52	2	453	508	1.0	$+ 1.75 - 0.98 = + 75$	+ 33	+ 36	g. schw. u. verwasch.
53	6	384	439	0	$+ 1.76 - 0.97 = + 6$			
54	11	375	433	1.0	$+ 1.78 - 0.94 = 0$	- 43	- 47	
55	13	485	493	1.0	$+ 1.78 - 0.93 = + 60$	+ 17	+ 19	
56	15	414	472	1.0	$+ 1.79 - 0.92 = + 39$	- 4	- 4	
57	20	388	445	1.0	$+ 1.80 - 0.88 = + 12$	- 31	- 34	
58	21	444	500	1.0	$+ 1.81 - 0.87 = + 67$	+ 23	+ 25	
59	22	413	470	1.0	$+ 1.81 - 0.86 = + 37$	- 7	- 8	
60	30	419	476	1.0	$+ 1.83 - 0.78 = + 43$	- 1	- 1	

$$\begin{aligned}
 x_{24} &= + 0.0495 \\
 y_{24} &= + 0.0012 \pm 0.0038 \\
 \Delta \pi_{24} &= + 0.0093 \pm 0.0047 \\
 \epsilon_{24} &= \pm 0.0287 \\
 \epsilon_{24} \cos \delta &= \pm 0.0210
 \end{aligned}$$

Sternpaar 25.

30—28.

1910									
1	März	3	^m 4 24.955	^m 4 24.935	ρ 0	$x_{25} - 1.83 y_{25} - 0.95 \Delta \pi_{25} = + 63$	+ 11	+ 12	
2		7	918	896	1.0	$- 1.82 - 0.96 = + 24$	- 28	- 31	
3	Okt.	16	893	938	1.0	$- 1.21 + 0.92 = + 66$	+ 6	+ 7	
4		17	866	909	1.0	$- 1.21 + 0.91 = + 37$	- 23	- 25	
5		28	916	955	1.0	$- 1.18 + 0.81 = + 83$	+ 23	+ 25	
1911									
6	Febr.	1	977	957	1.0	$- 0.91 - 0.66 = + 85$	+ 34	+ 37	28 : unsicher, 40 K.
7		8	929	903	1.0	$- 0.89 - 0.75 = + 31$	- 20	- 22	
8		13	952	922	1.0	$- 0.88 - 0.80 = + 50$	0	0	
9		14	975	945	1.0	$- 0.88 - 0.81 = + 73$	+ 23	+ 25	W. unsicher
10		26	989	957	1.0	$- 0.84 - 0.91 = + 85$	+ 35	+ 39	
11	März	6	955	923	1.0	$- 0.82 - 0.96 = + 51$	+ 2	+ 2	
12		7	948	915	1.0	$- 0.82 - 0.96 = + 43$	- 6	- 7	
13		8	975	943	1.0	$- 0.82 - 0.97 = + 71$	+ 22	+ 24	
14		9	25.015	983	0.5	$- 0.81 - 0.97 = + 111$	+ 43	+ 47	
15		11	24.989	966	1.0	$- 0.81 - 0.98 = + 84$	+ 35	+ 39	
16		13	950	916	1.0	$- 0.80 - 0.99 = + 44$	- 5	- 5	
17	Okt.	3	804	828	0	$- 0.25 + 0.98 = - 44$			
18		5	921	945	1.0	$- 0.24 + 0.98 = + 73$	+ 15	+ 17	
19		11	883	908	1.0	$- 0.22 + 0.95 = + 36$	- 22	- 24	

Nr.	Datum	$\Delta\alpha$ app.	$\Delta\alpha$ 1912.0	Gew.	Bedingungsgleichung			$v_x \bar{V}_p$	$v_y \bar{V}_p$	Bemerkungen	
20	1911 Okt. 17	^m 24.890	^m 24.911	1.0	$x_{25} - 0.21$	$y_{25} + 0.91$	$\Delta\pi_{25} = +$	39	- 19	- 21	28 : unsicher
21	18	855	875	0.5	- 0.20	+ 0.90	= +	8	- 39	- 43	
22	19	904	923	1.0	- 0.20	+ 0.90	= +	51	- 7	- 8	
23	26	862	878	1.0	- 0.18	+ 0.84	= +	6	- 51	- 56	
24	Nov. 8	908	919	1.0	- 0.15	+ 0.69	= +	47	- 9	- 10	
25	1912 Febr. 10	960	920	1.0	+ 0.11	- 0.77	= +	48	0	0	schwach
26	13	928	884	0.5	+ 0.12	- 0.80	= +	12	- 25	- 28	
27	März 3	928	879	0.5	+ 0.17	- 0.95	= +	7	- 28	- 31	
28	7	981	933	1.0	+ 0.18	- 0.97	= +	61	+ 15	+ 17	
29	10	994	946	1.0	+ 0.19	- 0.98	= +	74	+ 28	+ 31	
30	Sept. 30	908	926	1.0	+ 0.75	+ 0.99	= +	54	- 1	- 1	
31	Okt. 3	907	924	1.0	+ 0.76	+ 0.98	= +	52	- 3	- 3	
32	5	881	899	1.0	+ 0.76	+ 0.97	= +	27	- 28	- 31	
33	6	894	911	1.0	+ 0.76	+ 0.97	= +	39	- 16	- 18	
34	22	939	946	1.0	+ 0.81	+ 0.86	= +	74	+ 20	+ 22	
35	1913 Febr. 10	946	890	1.0	+ 1.11	- 0.77	= +	18	- 27	- 30	28 : schwach, 40 K. 28 : unruhig, 40 K.
36	12	959	902	1.0	+ 1.12	- 0.80	= +	30	- 15	- 17	
37	18	962	905	1.0	+ 1.13	- 0.85	= +	33	- 11	- 12	
38	22	991	934	1.0	+ 1.14	- 0.89	= +	62	+ 18	+ 20	
39	25	960	902	1.0	+ 1.15	- 0.91	= +	30	14	- 15	
40	26	930	872	1.0	+ 1.16	- 0.92	=	0	- 44	- 48	28 : unsicher, 40 K. 28 : schwach, 40 K.
41	28	986	928	1.0	+ 1.16	- 0.93	= +	56	+ 12	+ 13	
42	März 5	966	909	1.0	+ 1.17	- 0.96	= +	37	- 7	- 8	
43	6	948	891	1.0	+ 1.18	- 0.96	= +	19	- 25	- 28	
44	7	965	904	1.0	+ 1.18	- 0.97	= +	32	- 12	- 13	
45	9	958	899	1.0	+ 1.19	- 0.97	= +	27	- 17	- 19	g. schw. u. verwäsch.
46	Sept. 28	922	927	1.0	+ 1.74	+ 1.00	= +	55	+ 2	+ 2	
47	29	928	933	1.0	+ 1.75	+ 0.99	= +	61	+ 8	+ 9	
48	Okt. 1	971	975	1.0	+ 1.75	+ 0.99	= +	103	+ 50	+ 55	
49	2	888	890	1.0	+ 1.75	+ 0.98	= +	18	- 35	- 39	
50	6	792	793	0	+ 1.76	+ 0.97	=	79			28 : unruhig, 40 K.
51	11	906	907	1.0	+ 1.78	+ 0.95	= +	35	- 17	- 19	
52	13	959	960	1.0	+ 1.78	+ 0.93	= +	88	+ 36	+ 40	
53	15	951	951	1.0	+ 1.79	+ 0.92	= +	79	+ 27	+ 30	
54	20	951	947	1.0	+ 1.80	+ 0.88	= +	75	+ 23	+ 25	
55	21	953	948	1.0	+ 1.81	+ 0.88	= +	76	+ 24	+ 26	
56	22	953	948	1.0	+ 1.81	+ 0.87	= +	76	+ 24	+ 26	
57	30	932	923	1.0	+ 1.83	+ 0.79	= +	51	0	0	

$$\begin{aligned}
 x_{25} &= + 0.0521 \\
 y_{25} &= - 0.0028 \pm 0.0033 \\
 \Delta\pi_{25} &= + 0.0054 \pm 0.0040 \\
 \varepsilon_{25} &= \pm 0.0248 \\
 \varepsilon_{25} \cos \delta &= \pm 0.0182
 \end{aligned}$$

Sternpaar 26.

31—30.

1	1910 März 3	^m 2 48.092	^m 2 48.056	1.0	$x_{30} - 1.83$	$y_{30} + 0.95$	$\Delta\pi_{30} = +$	15	- 55	- 61	unsicher, 40 K.
2	7	176	137	1.0	- 1.82	+ 0.96	= +	96	+ 26	+ 29	
3	8	183	145	1.0	- 1.82	+ 0.97	= +	104	+ 34	+ 37	
4	10	160	113	1.0	- 1.81	+ 0.98	= +	72	+ 2	+ 2	
5	11	166	121	1.0	- 1.81	+ 0.98	= +	80	+ 10	+ 1	
6	Okt. 16	139	138	1.0	- 1.21	- 0.92	= +	97	+ 34	+ 37	
7	17	116	113	1.0	- 1.21	- 0.91	= +	72	+ 9	+ 10	
8	28	074	073	1.0	- 1.18	- 0.81	= +	32	- 31	- 34	

Nr.	Datum	$\Delta \alpha_{app.}$	$\Delta \alpha_{1912.0}$	Gew.	Bedingungsgleichung	$v_e V_p$	$v_n V_p$	Bemerkungen
	1911	^m ^s	^m ^s					
9	Febr. 1	2 48.089	2 48.088	1.0	$x_{26} - 0.91 y_{26} + 0.66 \Delta \pi_{26} = + 27$	- 37	- 41	
10	8	118	093	1.0	$- 0.89 + 0.75 = + 52$	- 12	- 13	
11	13	147	121	1.0	$- 0.88 + 0.80 = + 80$	+ 16	+ 18	
12	14	124	098	1.0	$- 0.88 + 0.81 = + 57$	- 8	- 9	
13	21	110	081	1.0	$- 0.86 + 0.88 = + 40$	- 25	- 28	
14	26	135	105	1.0	$- 0.84 + 0.91 = + 64$	- 1	- 1	
15	28	133	103	1.0	$- 0.84 + 0.93 = + 62$	- 3	- 3	
16	März 6	157	126	1.0	$- 0.82 + 0.96 = + 85$	+ 20	+ 22	
17	7	160	128	1.0	$- 0.82 + 0.96 = + 87$	+ 22	+ 24	
18	8	147	115	1.0	$- 0.82 + 0.97 = + 74$	+ 9	+ 10	
19	9	151	119	0.5	$- 0.81 + 0.97 = + 78$	+ 9	+ 10	
20	11	140	108	1.0	$- 0.81 + 0.98 = + 67$	+ 2	+ 2	
21	13	115	082	1.0	$- 0.80 + 0.98 = + 41$	- 24	- 26	
22	18	084	051	1.0	$- 0.79 + 0.98 = + 10$	- 55	- 61	
23	Okt. 5	103	114	1.0	$- 0.24 - 0.98 = + 73$	+ 15	+ 17	
24	11	182	094	1.0	$- 0.22 - 0.95 = + 58$	- 5	- 6	
25	17	041	053	0.5	$- 0.21 - 0.91 = + 12$	- 32	- 35	
26	18	125	137	1.0	$- 0.20 - 0.90 = + 96$	+ 38	+ 42	
27	19	091	103	1.0	$- 0.20 - 0.90 = + 62$	+ 4	+ 4	
28	26	095	109	1.0	$- 0.18 - 0.84 = + 68$	+ 10	+ 11	
29	Nov. 8	120	129	1.0	$- 0.15 - 0.69 = + 88$	+ 30	+ 33	
30	1912							
30	Febr. 10	139	125	1.0	$+ 0.11 + 0.77 = + 84$	+ 24	+ 26	
31	13	140	125	0.5	$+ 0.12 + 0.80 = + 84$	+ 17	+ 19	
32	März 3	101	086	0.5	$+ 0.17 + 0.95 = + 45$	- 11	- 12	
33	7	085	067	1.0	$+ 0.18 + 0.97 = + 26$	- 34	- 37	
34	10	097	075	1.0	$+ 0.19 + 0.98 = + 34$	- 26	- 29	
35	Sept. 30	071	094	1.0	$+ 0.75 - 0.99 = + 53$	0	0	
36	Okt. 3	072	097	1.0	$+ 0.76 - 0.98 = + 56$	+ 3	+ 3	
37	5	070	093	1.0	$+ 0.76 - 0.97 = + 52$	- 1	- 1	
38	6	113	138	1.0	$+ 0.76 - 0.97 = + 97$	+ 44	+ 48	
39	22	042	068	1.0	$+ 0.81 - 0.86 = + 27$	- 26	- 29	
40	1913							
40	Febr. 10	123	125	1.0	$+ 1.11 + 0.77 = + 84$	+ 29	+ 32	
41	12	085	084	1.0	$+ 1.12 + 0.80 = + 43$	- 12	- 13	
42	18	122	119	1.0	$+ 1.13 + 0.85 = + 78$	+ 23	+ 25	
43	22	106	102	1.0	$+ 1.14 + 0.89 = + 61$	+ 6	+ 7	
44	25	085	080	1.0	$+ 1.15 + 0.91 = + 39$	- 16	- 18	
45	26	139	134	1.0	$+ 1.16 + 0.92 = + 93$	+ 38	+ 41	
46	28	107	101	1.0	$+ 1.16 + 0.93 = + 60$	+ 5	+ 6	
47	März 5	124	119	1.0	$+ 1.17 + 0.96 = + 78$	+ 23	+ 25	
48	6	112	107	1.0	$+ 1.18 + 0.96 = + 66$	+ 11	+ 12	
49	7	028	020	0	$+ 1.18 + 0.97 = + 21$			
50	9	088	079	1.0	$+ 1.19 + 0.97 = + 38$	- 17	- 19	
51	Sept. 28	060	090	1.0	$+ 1.74 - 1.00 = + 49$	+ 1	+ 1	
52	29	052	082	1.0	$+ 1.75 - 0.99 = + 41$	- 7	- 8	
53	Okt. 1	011	041	1.0	$+ 1.75 - 0.99 = + 0$	- 48	- 58	
54	2	104	134	1.0	$+ 1.75 - 0.98 = + 93$	+ 45	+ 50	
55	6	074	106	0.5	$+ 1.76 - 0.97 = + 65$	+ 12	+ 13	
56	11	018	051	1.0	$+ 1.78 - 0.95 = + 10$	- 38	- 41	
57	13	024	059	1.0	$+ 1.78 - 0.93 = + 18$	- 30	- 33	
58	15	054	088	1.0	$+ 1.79 - 0.92 = + 47$	- 1	- 1	
59	20	033	068	1.0	$+ 1.80 - 0.88 = + 27$	- 21	- 23	
60	21	082	116	1.0	$+ 1.81 - 0.88 = + 75$	+ 27	+ 30	
61	22	022	057	1.0	$+ 1.81 - 0.87 = + 16$	- 32	- 35	
62	30	076	112	1.0	$+ 1.83 - 0.79 = + 71$	+ 23	+ 25	

$$\begin{aligned}
 x_{26} &= + 0.0587 \\
 y_{26} &= - 0.0050 \pm 0.0032 \\
 \Delta \pi_{26} &= + 0.0018 \pm 0.0042
 \end{aligned}$$

$$\begin{aligned}
 \epsilon_{26} &= \pm 0.0262 \\
 \epsilon_{26} \cos \delta &= \pm 0.0192
 \end{aligned}$$

W.
31: unsicher, 40 K.
unsicher

31: unruhig, 40 K.

schwach

31: unruhig, 40 K.

ganz zweifelhaft

Sternpaar 27.

33-32.

Nr.	Datum	$\Delta\alpha$ app.	$\Delta\alpha$ 1912.0	Gew.	Bedingungsgleichung	v, V_p	v, V_p	Bemerkungen
	1910							
1	März 7	^m 18.346	^m 18.316	1.0	$x_{27} - 1.82 \quad y_{27} - 0.95 \quad \Delta n_{27} = + 44$	- 7	- 7	
2	8	337	306	1.0	- 1.82 - 0.96 = + 34	- 17	- 18	
3	10	318	285	1.0	- 1.81 - 0.97 = + 13	- 38	- 39	
4	11	318	287	1.0	- 1.81 - 0.97 = + 15	- 36	- 37	
5	Okt. 16	298	317	1.0	- 1.21 + 0.93 = + 45	- 12	- 12	
6	17	280	298	1.0	- 1.21 + 0.93 = + 26	- 31	- 32	
7	28	338	356	1.0	- 1.18 + 0.84 = + 84	+ 28	+ 29	
	1911							
8	Febr. 1	356	335	1.0	- 0.91 - 0.61 = + 63	+ 16	+ 17	
9	13	343	315	1.0	- 0.88 - 0.77 = + 43	- 3	- 3	
10	14	374	346	1.0	- 0.88 - 0.78 = + 74	+ 28	+ 29	
11	26	323	293	1.0	- 0.84 - 0.89 = + 21	- 24	- 25	
12	28	353	322	1.0	- 0.84 - 0.91 = + 50	+ 5	+ 5	
13	März 6	350	318	1.0	- 0.82 - 0.95 = + 46	+ 1	+ 1	
14	7	382	350	1.0	- 0.82 - 0.95 = + 78	+ 33	+ 34	W.
15	8	319	287	1.0	- 0.82 - 0.96 = + 15	- 30	- 31	
16	9	383	351	1.0	- 0.81 - 0.96 = + 79	+ 34	+ 34	
17	11	396	362	1.0	- 0.81 - 0.97 = + 90	+ 45	+ 47	
18	13	406	372	1.0	- 0.80 - 0.98 = + 100	+ 55	+ 57	
19	19	353	319	1.0	- 0.79 - 0.99 = + 47	+ 2	+ 2	
20	Okt. 3	328	344	0.5	- 0.25 + 0.99 = + 72	+ 15	+ 16	32: W., schwach
21	11	294	310	1.0	- 0.22 + 0.96 = + 38	- 13	- 13	
22	17	282	298	1.0	- 0.21 + 0.93 = + 26	- 25	- 26	
23	18	341	357	0.5	- 0.20 + 0.92 = + 85	+ 24	+ 25	sehr unsicher
24	19	310	325	1.0	- 0.20 + 0.92 = + 53	+ 2	+ 2	
25	26	318	332	1.0	- 0.18 + 0.86 = + 60	+ 10	+ 10	
26	Nov. 8	317	327	0.5	- 0.15 + 0.73 = + 55	+ 4	+ 4	sehr unsicher
	1912							
27	Febr. 10	323	297	1.0	+ 0.11 - 0.73 = + 25	- 15	- 16	
28	13	333	305	0.5	+ 0.12 - 0.77 = + 33	- 5	- 5	
29	März 3	314	283	1.0	+ 0.17 - 0.93 = + 11	- 28	- 29	
30	7	339	308	1.0	+ 0.18 - 0.95 = + 36	- 3	- 3	
31	8	393	360	1.0	+ 0.18 - 0.96 = + 88	+ 49	+ 51	
32	10	329	295	1.0	+ 0.19 - 0.97 = + 23	- 16	- 17	
33	Sept. 20	328	348	1.0	+ 0.75 + 1.00 = + 76	+ 31	+ 32	32: unruhig, 40 K.
34	Okt. 6	283	303	1.0	+ 0.76 + 0.98 = + 31	- 14	- 14	33: schwach
35	16	351	370	0.5	+ 0.79 + 0.93 = + 96	+ 37	+ 38	
36	22	279	296	1.0	+ 0.81 + 0.89 = + 24	- 20	- 21	
37	25	304	321	1.0	+ 0.82 + 0.86 = + 49	+ 5	+ 5	
	1913							
38	Febr. 10	329	304	1.0	+ 1.11 - 0.74 = + 82	- 2	- 2	
39	12	321	294	1.0	+ 1.12 - 0.76 = + 22	- 12	- 12	
40	18	338	309	1.0	+ 1.13 - 0.83 = + 37	+ 3	+ 3	
41	22	302	272	1.0	+ 1.14 - 0.86 = + 0	- 34	- 35	
42	25	325	295	1.0	+ 1.15 - 0.89 = + 23	- 11	- 11	
43	28	320	289	1.0	+ 1.16 - 0.91 = + 17	- 16	- 17	
44	März 5	381	301	1.0	+ 1.17 - 0.94 = + 29	- 4	- 4	
45	6	380	340	1.0	+ 1.18 - 0.95 = + 77	+ 44	+ 46	
46	7	372	339	1.0	+ 1.18 - 0.95 = + 67	+ 34	+ 35	
47	9	311	279	1.0	+ 1.19 - 0.96 = + 7	- 26	- 27	
48	15	315	280	1.0	+ 1.20 - 0.98 = + 8	- 25	- 26	
49	Okt. 1	417	433	0	+ 1.75 + 1.00 = + 161			verfehlt
50	2	325	341	1.0	+ 1.75 + 0.99 = + 69	+ 30	+ 31	
51	6	281	297	0.5	+ 1.76 + 0.98 = + 25	- 10	- 10	
52	11	284	301	1.0	+ 1.78 + 0.96 = + 29	- 10	- 10	
53	13	318	335	1.0	+ 1.78 + 0.95 = + 63	+ 24	+ 25	
54	15	272	288	1.0	+ 1.79 + 0.94 = + 16	- 23	- 24	
55	20	272	288	1.0	+ 1.80 + 0.91 = + 16	- 23	- 24	

Nr.	Datum	$\Delta \alpha$ app.	$\Delta \alpha$ 1912.0	Gew.	Bedingungsgleichung			$v_x V_p$	$v_y V_p$	Bemerkungen
	1913									
56	Okt. 21	^m 3' 18.308	^m 3' 18.322	1.0	$x_{27} + 1.81$	$y_{27} + 0.90$	$\Delta \pi_{27} = + 50$	$+ 12$	$+ 12$	
57	22	298	312	1.0	$+ 1.81$	$+ 0.89$	$= + 40$	$+ 2$	$+ 2$	
58	27	273	287	1.0	$+ 1.82$	$+ 0.85$	$= + 15$	$- 23$	$- 24$	
69	30	289	303	1.0	$+ 1.83$	$+ 0.82$	$= + 31$	$- 7$	$- 7$	
60	Nov. 3	309	322	1.0	$+ 1.84$	$+ 0.78$	$= + 50$	$+ 12$	$+ 12$	

$$\begin{aligned}
 x_{27} &= + 0.0448 \\
 y_{27} &= - 0.0060 \pm 0.0031 \\
 \Delta \pi_{27} &= + 0.0050 \pm 0.0040 \\
 \epsilon_{27} &= \pm 0.0249 \\
 \epsilon_{27} \cos \delta &= \pm 0.0172
 \end{aligned}$$

Sternpaar 28.

34-33.

1	1910 März 7	^m 4' 9.599	^m 4' 9.547	1.0	$x_{28} - 1.82$	$y_{28} + 0.95$	$\Delta \pi_{28} = + 110$	$+ 23$	$+ 24$	34: unruhig, 40 K.
2	8	602	551	1.0	$- 1.82$	$+ 0.96$	$= + 114$	$+ 27$	$+ 28$	
3	10	620	563	1.0	$- 1.81$	$+ 0.97$	$= + 126$	$+ 39$	$+ 40$	
4	11	579	523	1.0	$- 1.81$	$+ 0.97$	$= + 86$	$- 1$	$- 1$	
5	20	540	481	1.0	$- 1.79$	$+ 0.90$	$= + 44$	$- 43$	$- 45$	
6	Okt. 17	527	538	1.0	$- 1.21$	$- 0.93$	$= + 101$	$+ 18$	$+ 19$	W.
7	28	519	530	1.0	$- 1.18$	$- 0.84$	$= + 93$	$+ 10$	$+ 10$	
8	1911 Febr. 1	540	510	1.0	$- 0.91$	$+ 0.61$	$= + 73$	$- 11$	$- 11$	
9	13	590	550	1.0	$- 0.88$	$+ 0.77$	$= + 113$	$+ 29$	$+ 30$	
10	14	477	437	1.0	$- 0.88$	$+ 0.78$	$= 0$	$- 84$	$- 87$	
11	26	566	522	1.0	$- 0.84$	$+ 0.89$	$= + 85$	$+ 1$	$+ 1$	
12	28	599	555	1.0	$- 0.84$	$+ 0.91$	$= + 118$	$+ 34$	$+ 35$	
13	März 6	597	552	1.0	$- 0.82$	$+ 0.95$	$= + 115$	$+ 31$	$+ 32$	
14	7	564	519	1.0	$- 0.82$	$+ 0.95$	$= + 82$	$- 2$	$- 2$	
15	8	540	495	1.0	$- 0.82$	$+ 0.96$	$= + 58$	$- 26$	$- 27$	
16	9	493	447	1.0	$- 0.81$	$+ 0.96$	$= + 10$	$- 74$	$- 77$	
17	11	559	513	1.0	$- 0.81$	$+ 0.97$	$= + 76$	$- 8$	$- 8$	
18	13	540	493	1.0	$- 0.80$	$+ 0.98$	$= + 56$	$- 28$	$- 29$	
19	19	559	511	1.0	$- 0.79$	$+ 0.99$	$= + 74$	$- 10$	$- 10$	
20	Okt. 3	513	530	1.0	$- 0.25$	$- 0.99$	$= + 93$	$+ 12$	$+ 12$	sehr unsicher
21	5	494	512	1.0	$- 0.24$	$- 0.99$	$= + 75$	$- 6$	$- 6$	
22	11	544	563	1.0	$- 0.22$	$- 0.96$	$= + 126$	$+ 45$	$+ 47$	
23	17	472	490	1.0	$- 0.21$	$- 0.93$	$= + 53$	$- 28$	$- 29$	
24	18	465	483	0.5	$- 0.20$	$- 0.92$	$= + 46$	$- 25$	$- 26$	
25	19	531	549	1.0	$- 0.20$	$- 0.92$	$= + 112$	$+ 31$	$+ 32$	
26	26	510	528	1.0	$- 0.18$	$- 0.86$	$= + 91$	$+ 10$	$+ 10$	
27	Nov. 8	469	483	0.5	$- 0.15$	$- 0.73$	$= + 46$	$- 25$	$- 26$	
28	1912 Febr. 10	587	558	1.0	$+ 0.11$	$+ 0.73$	$= + 121$	$+ 40$	$+ 41$	sehr uns., 34: 40 K.
29	13	547	516	0.5	$+ 0.12$	$+ 0.77$	$= + 79$	$- 1$	$- 1$	
30	März 3	530	497	1.0	$+ 0.17$	$+ 0.93$	$= + 60$	$- 21$	$- 22$	
31	7	561	525	1.0	$+ 0.18$	$+ 0.95$	$= + 88$	$+ 7$	$+ 7$	
32	8	579	542	1.0	$+ 0.18$	$+ 0.96$	$= + 105$	$+ 24$	$+ 25$	
33	10	526	486	1.0	$+ 0.19$	$+ 0.97$	$= + 49$	$- 32$	$- 33$	
34	Sept. 30	467	496	1.0	$+ 0.75$	$- 1.00$	$= + 59$	$- 19$	$- 20$	
35	Okt. 6	478	507	1.0	$+ 0.76$	$- 0.98$	$= + 70$	$- 8$	$- 8$	
36	22	492	520	1.0	$+ 0.81$	$- 0.89$	$= + 83$	$+ 5$	$+ 5$	
37	25	484	514	1.0	$+ 0.82$	$- 0.86$	$= + 77$	$- 1$	$- 1$	
38	1913 Febr. 10	529	512	1.0	$+ 1.11$	$+ 0.74$	$= + 75$	$- 3$	$- 3$	
39	12	537	518	1.0	$+ 1.12$	$+ 0.76$	$= + 81$	$+ 3$	$+ 3$	

Nr.	Datum	$\Delta\alpha$ app.	$\Delta\alpha$ 1912.0	Gew.	Bedingungsgleichung	$v_x \sqrt{p}$	$v_y \sqrt{p}$	Bemerkungen
40	1913 Febr. 18	^m 4 ^s 9.586	^m 4 ^s 9.563	1.0	$x_{28} + 1.13 \quad y_{28} + 0.83 \quad \Delta\pi_{28} = + 126$	+ 48	+ 50	d. W., 34: g. schw.
41	22	527	503	1.0	$+ 1.14 \quad + 0.86 \quad = + 66$	- 12	- 12	
42	25	587	563	1.0	$+ 1.15 \quad + 0.89 \quad = + 126$	+ 48	+ 50	
43	26	538	514	1.0	$+ 1.16 \quad + 0.90 \quad = + 77$	- 1	- 1	
44	28	615	589	0	$+ 1.16 \quad + 0.91 \quad = + 152$			
45	März 5	533	508	1.0	$+ 1.17 \quad + 0.94 \quad = + 71$	- 7	- 7	
46	6	545	520	1.0	$+ 1.18 \quad + 0.95 \quad = + 83$	+ 5	+ 5	
47	7	542	513	1.0	$+ 1.18 \quad + 0.95 \quad = + 76$	- 2	- 2	
48	9	563	534	1.0	$+ 1.19 \quad + 0.96 \quad = + 97$	+ 19	+ 20	
49	15	539	507	1.0	$+ 1.20 \quad + 0.98 \quad = + 70$	- 8	- 8	
50	Sept. 29	516	551	1.0	$+ 1.75 \quad - 1.00 \quad = + 114$	+ 39	+ 40	34: unruhig, 40 K. W.
51	Okt. 1	479	514	1.0	$+ 1.75 \quad - 1.00 \quad = + 77$	+ 2	+ 2	
52	2	439	474	1.0	$+ 1.75 \quad - 0.99 \quad = + 37$	- 38	- 39	
53	6	489	523	0.5	$+ 1.76 \quad - 0.98 \quad = + 86$	+ 8	+ 8	
54	11	450	487	1.0	$+ 1.78 \quad - 0.96 \quad = + 50$	- 25	- 26	
55	13	491	529	1.0	$+ 1.78 \quad - 0.95 \quad = + 92$	+ 17	+ 18	
56	15	451	487	1.0	$+ 1.79 \quad - 0.94 \quad = + 50$	- 25	- 26	
57	20	520	556	1.0	$+ 1.80 \quad - 0.91 \quad = + 119$	+ 44	+ 46	
58	21	460	496	1.0	$+ 1.81 \quad - 0.90 \quad = + 59$	- 16	- 17	
59	22	456	491	1.0	$+ 1.81 \quad - 0.89 \quad = + 54$	- 21	- 22	
60	27	483	520	1.0	$+ 1.82 \quad - 0.85 \quad = + 83$	+ 8	+ 8	
61	30	481	516	1.0	$+ 1.83 \quad - 0.82 \quad = + 79$	+ 4	+ 4	
62	Nov. 3	441	476	1.0	$+ 1.84 \quad - 0.78 \quad = + 39$	- 36	- 37	

$$\begin{aligned}
 x_{28} &= + 0.0808 \\
 y_{28} &= - 0.0028 \quad \pm 0.0035 \\
 \Delta\pi_{28} &= + 0.0007 \quad \pm 0.0045 \\
 \epsilon_{28} &= \pm 0.0285 \\
 \epsilon_{28} \cos \delta &= \pm 0.0196
 \end{aligned}$$

Sternpaar 29.

37—35.

1	1910 März 7	^m 5 ^s 11.626	^m 5 ^s 11.522	1.0	$x_{20} - 1.82 \quad y_{20} - 0.94 \quad \Delta\pi_{20} = + 20$	- 46	- 36	
2	20	683	559	1.0	$- 1.79 \quad - 0.99 \quad = + 57$	- 9	- 7	
3	Okt. 16	589	587	1.0	$- 1.21 \quad + 0.95 \quad = + 85$	+ 15	+ 12	
4	17	630	626	1.0	$- 1.21 \quad + 0.94 \quad = + 124$	+ 54	+ 42	
5	28	625	625	1.0	$- 1.18 \quad + 0.86 \quad = + 123$	+ 53	+ 42	
6	1911 Febr. 8	694	627	1.0	$- 0.89 \quad - 0.68 \quad = + 125$	+ 57	+ 45	
7	13	603	532	1.0	$- 0.88 \quad - 0.74 \quad = + 30$	- 38	- 30	
8	14	672	600	1.0	$- 0.88 \quad - 0.75 \quad = + 98$	+ 30	+ 24	
9	27	668	587	1.0	$- 0.84 \quad - 0.88 \quad = + 85$	+ 17	+ 13	
10	28	647	566	1.0	$- 0.84 \quad - 0.89 \quad = + 64$	- 4	- 3	
11	März 7	602	517	0.5	$- 0.82 \quad - 0.94 \quad = + 15$	- 37	- 29	schwach
12	8	588	503	0	$- 0.82 \quad - 0.94 \quad = + 1$			
13	9	630	544	1.0	$- 0.81 \quad - 0.95 \quad = + 42$	- 26	- 20	
14	11	608	521	1.0	$- 0.81 \quad - 0.96 \quad = + 19$	- 49	- 39	
15	12	634	547	1.0	$- 0.81 \quad - 0.96 \quad = + 45$	- 23	- 18	
16	13	604	517	1.0	$- 0.80 \quad - 0.97 \quad = + 15$	- 53	- 42	
17	18	642	551	1.0	$- 0.79 \quad - 0.98 \quad = + 49$	- 19	- 15	
18	21	647	557	1.0	$- 0.78 \quad - 0.99 \quad = + 55$	- 13	- 10	
19	Okt. 11	516	542	1.0	$- 0.22 \quad + 0.97 \quad = + 40$	- 31	- 24	
20	17	566	593	1.0	$- 0.21 \quad + 0.94 \quad = + 91$	+ 20	+ 16	
21	18	560	587	1.0	$- 0.20 \quad + 0.94 \quad = + 85$	+ 14	+ 11	
22	19	533	561	1.0	$- 0.20 \quad + 0.93 \quad = + 59$	- 12	- 9	
23	26	514	544	1.0	$- 0.18 \quad + 0.88 \quad = + 42$	- 29	- 23	

Nr.	Datum	$\Delta \alpha$ app.	$\Delta \alpha$ 1912.0	Gew.	Bedingungsgleichung	$v_r \sqrt{p}$	$v_{\theta} \sqrt{p}$	Bemerkungen
24	1911 Nov. 8	^m 5 ^s 11.588	^m 5 ^s 11.612	1.0	$x_{20} - 0.15 y_{20} + 0.76 \Delta \pi_{20} = + 110$	+ 39	+ 31	
25	17	529	556	1.0	$- 0.12 + 0.64 \Delta \pi_{20} = + 54$	- 17	- 13	
26	1912 März 3	553	503	1.0	+ 0.17 - 0.92 = + 1	- 68	- 54	
27	7	669	633	1.0	+ 0.18 - 0.94 = + 131	+ 62	+ 49	40 K.
28	8	677	619	1.0	+ 0.18 - 0.95 = + 117	+ 48	+ 38	40 K.
29	10	614	553	1.0	+ 0.19 - 0.96 = + 51	- 18	- 14	
30	Sept. 30	552	605	1.0	+ 0.75 + 1.00 = + 103	+ 30	+ 24	
31	Okt. 5	571	626	1.0	+ 0.76 + 0.99 = + 124	+ 51	+ 40	
32	6	482	539	1.0	+ 0.76 + 0.99 = + 37	- 36	- 28	
33	22	497	557	1.0	+ 0.81 + 0.91 = + 55	- 18	- 14	
34	25	563	624	1.0	+ 0.82 + 0.88 = + 122	+ 49	+ 39	
35	27	530	589	1.0	+ 0.82 + 0.87 = + 87	+ 14	+ 11	
36	1913 Febr. 12	631	610	1.0	+ 1.12 - 0.74 = + 108	+ 38	+ 30	
37	18	630	612	1.0	+ 1.13 - 0.80 = + 110	+ 40	+ 31	
38	25	570	549	0.5	+ 1.15 - 0.87 = + 47	- 16	- 13	uneicher
39	26	647	624	1.0	+ 1.16 - 0.88 = + 122	+ 52	+ 41	
40	März 5	629	604	1.0	+ 1.17 - 0.93 = + 102	+ 33	+ 25	
41	6	598	573	1.0	+ 1.18 - 0.93 = + 71	+ 1	+ 1	
42	7	614	586	1.0	+ 1.18 - 0.94 = + 84	+ 14	+ 11	W.
43	9	632	602	1.0	+ 1.19 - 0.95 = + 100	+ 30	+ 24	W.
44	15	595	560	1.0	+ 1.20 - 0.98 = + 58	- 12	- 9	
45	Okt. 1	483	559	1.0	+ 1.75 + 1.00 = + 56	- 18	- 14	37: unruhig, 40 K.
46	2	435	512	1.0	+ 1.75 + 1.00 = + 10	- 64	- 50	
47	6	432	509	0.5	+ 1.76 + 0.99 = + 7	- 47	- 37	
48	11	485	566	1.0	+ 1.78 + 0.97 = + 64	- 10	- 8	
49	13	419	502	1.0	+ 1.78 + 0.96 = 0	- 74	- 58	
50	15	408	489	0	+ 1.79 + 0.95 = - 13			g. uns., unbrauchb.
51	16	427	509	1.0	+ 1.79 + 0.95 = + 7	- 67	- 53	
52	20	501	585	1.0	+ 1.80 + 0.92 = + 83	+ 9	+ 7	
53	21	505	588	1.0	+ 1.81 + 0.92 = + 86	+ 12	+ 9	
54	22	530	613	1.0	+ 1.81 + 0.91 = + 111	+ 37	+ 29	
55	27	506	589	1.0	+ 1.82 + 0.87 = + 87	+ 13	+ 10	
56	30	474	560	1.0	+ 1.83 + 0.84 = + 58	- 16	- 13	
57	Nov. 3	472	556	1.0	+ 1.84 + 0.80 = + 54	- 20	- 16	
58	5	514	597	1.0	+ 1.85 + 0.78 = + 95	+ 21	+ 17	

$$\begin{aligned}
 x_{20} &= + 0.0701 \\
 y_{20} &= + 0.0012 \pm 0.0050 \\
 \Delta \pi_{20} &= + 0.0016 \pm 0.0061 \\
 \epsilon_{20} &= \pm 0.0377 \\
 \epsilon_{20} \cos \delta &= \pm 0.0198
 \end{aligned}$$

Sternpaar 30.

37-36.

1	1910 März 7	^m 4 ^s 12.916	^m 4 ^s 12.831	1.0	$x_{30} - 1.82 y_{30} - 0.94 \Delta \pi_{30} = + 57$	+ 20	+ 16	
2	8	954	868	1.0	- 1.82 - 0.94 = + 94	+ 57	+ 45	
3	10	901	805	1.0	- 1.81 - 0.95 = + 31	- 6	- 5	
4	11	872	777	1.0	- 1.81 - 0.96 = + 3	- 34	- 27	schwach, 40 K.
5	20	937	833	0.5	- 1.79 - 0.99 = + 59	+ 15	+ 12	schwach
6	Okt. 16	842	838	1.0	- 1.21 + 0.95 = + 64	+ 18	+ 14	
7	17	860	855	1.0	- 1.21 + 0.94 = + 81	+ 35	+ 28	
8	28	840	838	1.0	- 1.18 + 0.86 = + 64	+ 18	+ 14	
9	1911 Febr. 8	880	827	1.0	- 0.89 - 0.68 = + 53	+ 10	+ 8	
10	13	855	798	1.0	- 0.88 - 0.74 = + 24	- 19	- 15	

Nr.	Datum	$\Delta \alpha$ app.	$\Delta \alpha$ 1912.0	Gew.	Bedingungsgleichung	v, \sqrt{p}	v, \sqrt{p}	Bemerkungen
11	1911 Febr. 14	^{m s} 4 12.858	^{m s} 4 12.799	1.0	$x_{30} - 0.88 \dot{y}_{30} - 0.75 \Delta \pi_{30} = + 25$	- 18	- 14	
12	27	873	808	1.0	$- 0.84 - 0.88 = + 34$	- 9	- 7	
13	28	880	795	1.0	$- 0.84 - 0.89 = + 21$	- 22	- 17	
14	März 7	863	793	1.0	$- 0.82 - 0.94 = + 19$	- 24	- 19	W.
15	8	874	804	1.0	$- 0.82 - 0.94 = + 30$	- 18	- 10	
16	9	918	849	1.0	$- 0.81 - 0.95 = + 75$	+ 32	+ 25	36: unsicher, 40 K.
17	11	863	792	1.0	$- 0.81 - 0.96 = + 18$	- 26	- 20	
18	12	852	781	1.0	$- 0.81 - 0.96 = + 7$	- 36	- 28	W.
19	13	879	808	1.0	$- 0.80 - 0.97 = + 34$	- 9	- 7	
20	18	849	774	1.0	$- 0.79 - 0.98 = + 0$	- 43	- 34	
21	21	915	841	0.5	$- 0.78 - 0.99 = + 67$	+ 17	+ 13	36 sehr schwach
22	Okt. 3	845	862	0.5	$- 0.25 + 1.00 = + 88$	+ 26	+ 20	unsicher
23	5	786	806	1.0	$- 0.24 + 0.99 = + 32$	- 19	- 15	
24	11	787	788	1.0	$- 0.22 + 0.98 = + 14$	- 37	- 29	
25	17	796	817	1.0	$- 0.21 + 0.94 = + 43$	- 8	- 6	
26	18	835	857	1.0	$- 0.20 + 0.94 = + 83$	+ 32	+ 25	36: unsicher, 40 K.
27	19	807	829	1.0	$- 0.20 + 0.93 = + 55$	+ 4	+ 3	
28	26	773	798	1.0	$- 0.18 + 0.88 = + 24$	- 27	- 21	
29	Nov. 8	863	863	1.0	$- 0.15 + 0.76 = + 109$	+ 58	+ 46	
30	17	760	783	1.0	$- 0.12 + 0.64 = + 9$	- 42	- 33	
31	1912 März 3	834	796	0.5	$+ 0.17 - 0.92 = + 22$	- 19	- 15	36: unsicher, 10 K.
32	7	890	847	1.0	$+ 0.18 - 0.94 = + 73$	+ 26	+ 20	W., 40 K.
33	8	846	801	1.0	$+ 0.18 - 0.95 = + 27$	- 20	- 16	unsicher, 40 K.
34	10	880	832	1.0	$+ 0.19 - 0.96 = + 58$	+ 11	+ 9	
35	Sept. 30	794	887	1.0	$+ 0.75 + 1.00 = + 63$	+ 7	+ 6	
36	Okt. 5	796	841	1.0	$+ 0.76 - 0.99 = + 67$	+ 11	+ 9	
37	6	747	794	1.0	$+ 0.76 - 0.99 = + 20$	- 36	- 28	
38	22	745	795	1.0	$+ 0.81 + 0.91 = + 21$	- 35	- 28	
39	25	801	856	1.0	$+ 0.82 + 0.88 = + 82$	+ 26	+ 20	
40	27	817	868	1.0	$+ 0.82 + 0.87 = + 94$	+ 38	+ 30	
41	1913 Febr. 12	847	842	1.0	$+ 1.12 - 0.74 = + 68$	+ 15	+ 12	
42	18	809	798	1.0	$+ 1.13 - 0.80 = + 24$	- 29	- 23	
43	25	837	824	1.0	$+ 1.15 - 0.87 = + 50$	- 3	- 2	
44	28	881	865	1.0	$+ 1.16 - 0.89 = + 91$	+ 38	+ 30	
45	März 5	875	859	1.0	$+ 1.17 - 0.93 = + 85$	+ 33	+ 26	
46	6	815	799	1.0	$+ 1.18 - 0.93 = + 25$	- 27	- 21	
47	7	902	882	1.0	$+ 1.18 - 0.94 = + 108$	+ 56	+ 44	W.
48	9	845	824	1.0	$+ 1.19 - 0.95 = + 50$	- 2	- 2	W.
49	15	876	852	1.0	$+ 1.20 - 0.98 = + 78$	+ 26	+ 20	
50	Okt. 1	820	883	1.0	$+ 1.75 + 1.00 = + 109$	+ 48	+ 38	37: unruhig; 40 K.
51	2	725	789	1.0	$+ 1.75 + 1.00 = + 15$	- 46	- 36	
52	6	740	805	0.5	$+ 1.76 + 0.99 = + 31$	- 21	- 17	
53	11	732	801	1.0	$+ 1.78 + 0.97 = + 27$	- 34	- 27	
54	13	744	815	1.0	$+ 1.78 + 0.96 = + 41$	- 20	- 16	
55	16	712	781	1.0	$+ 1.79 + 0.95 = + 7$	- 54	- 42	
56	20	760	832	1.0	$+ 1.80 + 0.92 = + 58$	- 3	- 2	
57	21	815	887	1.0	$+ 1.81 + 0.92 = + 113$	+ 52	+ 41	
58	22	808	878	1.0	$+ 1.81 + 0.91 = + 104$	+ 43	+ 34	
59	27	795	868	1.0	$+ 1.82 + 0.87 = + 94$	+ 33	+ 26	36: schwach, 40 K.
60	30	723	796	1.0	$+ 1.83 + 0.84 = + 22$	- 39	- 31	
61	Nov. 3	747	821	1.0	$+ 1.84 + 0.80 = + 47$	- 14	- 11	
62	5	751	823	1.0	$+ 1.85 + 0.78 = + 49$	- 12	- 9	

$$\begin{aligned}
 x_{30} &= + 0.0493 \\
 y_{30} &= + 0.0050 \pm 0.0038 \\
 \pi_{30} &= + 0.0029 \pm 0.0049
 \end{aligned}$$

$$\begin{aligned}
 \varepsilon_{30} &= \pm 0.0311 \\
 \varepsilon_{30} \cos \delta &= \pm 0.0163
 \end{aligned}$$

Sternpaar 31.

38—37.

Nr.	Datum	$\Delta\alpha$ app.	$\Delta\alpha$ 1912.0	Gew.	Bedingungsgleichung	$v_p \sqrt{p}$	$v_n \sqrt{p}$	Bemerkungen
1910								
1	März 7	^m 2 ^s 1.918	^m 2 ^s 1.957	1.0	$x_{31} - 1.82 \quad y_{31} + 0.94 \quad \Delta n_{31} = +$	80	+ 25	+ 20
2	8	849	887	1.0	$- 1.82 \quad + 0.94$	10	- 45	- 35
3	10	899	962	1.0	$- 1.81 \quad + 0.95$	85	+ 30	+ 23
4	11	828	892	0.5	$- 1.81 \quad + 0.96$	15	- 28	- 22
5	20	885	959	1.0	$- 1.79 \quad + 0.99$	82	+ 27	+ 21
schwach								
6	Okt. 16	812	905	1.0	$- 1.21 \quad - 0.95$	28	- 27	- 21
7	17	817	911	1.0	$- 1.21 \quad - 0.94$	34	- 21	- 16
8	28	856	936	1.0	$- 1.18 \quad - 0.86$	59	+ 3	+ 2
38 : unsicher, 40 K.								
1911								
9	Febr. 8	959	951	1.0	$- 0.89 \quad + 0.68$	82	+ 18	+ 14
10	13	978	966	1.0	$- 0.88 \quad + 0.74$	89	+ 25	+ 20
11	14	937	928	1.0	$- 0.88 \quad + 0.75$	51	- 13	- 10
12	27	890	883	1.0	$- 0.84 \quad + 0.88$	6	- 59	- 46
13	28	937	930	1.0	$- 0.84 \quad + 0.89$	53	- 12	- 9
14	März 7	951	948	0.5	$- 0.82 \quad + 0.94$	71	+ 4	+ 3
15	8	954	951	1.0	$- 0.82 \quad + 0.94$	74	+ 9	+ 7
16	9	915	912	1.0	$- 0.81 \quad + 0.95$	35	- 30	- 23
17	11	964	960	1.0	$- 0.81 \quad + 0.96$	83	+ 18	+ 14
18	13	950	946	1.0	$- 0.80 \quad + 0.97$	69	+ 4	+ 3
19	18	984	983	1.0	$- 0.79 \quad + 0.98$	106	+ 41	+ 32
schwach								
20	Okt. 3	847	877	0.5	$- 0.25 \quad - 1.00$	0	- 46	- 36
21	5	936	965	1.0	$- 0.24 \quad - 0.99$	88	+ 23	+ 18
22	11	888	914	1.0	$- 0.22 \quad - 0.97$	37	- 28	- 22
23	17	964	980	1.0	$- 0.21 \quad - 0.94$	103	+ 38	+ 30
24	18	929	943	1.0	$- 0.20 \quad - 0.94$	66	+ 1	+ 1
25	19	982	994	1.0	$- 0.20 \quad - 0.93$	117	+ 52	+ 41
26	26	947	949	1.0	$- 0.18 \quad - 0.88$	72	+ 6	+ 5
27	Nov. 8	991	988	1.0	$- 0.15 \quad - 0.76$	111	+ 45	+ 35
28	17	943	925	0.5	$- 0.12 \quad - 0.64$	48	- 13	- 10
38 : schwach								
1912								
29	März 3	2.039	965	1.0	$+ 0.17 \quad + 0.92$	88	+ 13	+ 10
30	7	1.984	919	1.0	$+ 0.18 \quad + 0.94$	42	- 33	- 26
31	8	2.008	944	1.0	$+ 0.18 \quad + 0.95$	67	- 8	- 6
32	10	023	963	1.0	$+ 0.19 \quad + 0.96$	86	+ 11	+ 9
33	20	1.993	939	1.0	$+ 0.22 \quad + 0.99$	62	- 14	- 11
37 : 40 K.								
34	Okt. 5	929	909	1.0	$+ 0.76 \quad - 0.99$	32	- 43	- 34
35	6	978	952	1.0	$+ 0.76 \quad - 0.99$	75	0	0
36	22	2.022	977	1.0	$+ 0.81 \quad - 0.91$	100	+ 24	+ 19
37	25	004	955	1.0	$+ 0.82 \quad - 0.88$	78	+ 2	+ 2
38	27	1.957	908	1.0	$+ 0.82 \quad - 0.87$	31	- 45	- 35
W.								
1913								
39	Febr. 12	2.106	979	1.0	$+ 1.12 \quad + 0.74$	102	+ 18	+ 14
40	18	090	969	1.0	$+ 1.13 \quad + 0.80$	92	+ 8	+ 6
41	25	116	996	1.0	$+ 1.15 \quad + 0.87$	119	+ 34	+ 27
42	26	049	931	1.0	$+ 1.16 \quad + 0.88$	54	- 31	- 24
43	März 5	117	2.001	1.0	$+ 1.17 \quad + 0.93$	124	+ 29	+ 23
44	6	103	1.985	1.0	$+ 1.18 \quad + 0.93$	108	+ 23	+ 18
45	7	046	928	1.0	$+ 1.18 \quad + 0.94$	51	- 34	- 27
46	9	085	971	1.0	$+ 1.19 \quad + 0.95$	94	+ 9	+ 7
47	15	080	918	1.0	$+ 1.20 \quad + 0.98$	41	- 45	- 35
W.								
48	Okt. 1	004	936	1.0	$+ 1.75 \quad - 1.00$	59	- 26	- 20
49	2	079	2.009	1.0	$+ 1.75 \quad - 1.00$	132	+ 47	+ 37
50	6	066	1.992	0.5	$+ 1.76 \quad - 0.99$	115	+ 21	+ 16
51	13	078	996	1.0	$+ 1.78 \quad - 0.96$	119	+ 34	+ 27
52	15	068	987	0	$+ 1.79 \quad - 0.95$	110		
53	16	051	968	1.0	$+ 1.79 \quad - 0.95$	91	+ 6	+ 5
54	20	000	909	1.0	$+ 1.80 \quad - 0.92$	32	- 54	- 42
55	21	044	950	1.0	$+ 1.81 \quad - 0.92$	73	- 13	- 10
38 : schwach, 40 K. 37 : 40 K. ganz uns., unbrauchb.								

Nr.	Datum	$\Delta \alpha$ app.	$\Delta \alpha$ 1912.0	Gew.	Bedingungsgleichung			$v_s \sqrt{p}$	$v_n \sqrt{p}$	Bemerkungen
	1913									
56	Okt. 22	2 ^m 2.014.	2 ^m 1.920	1.0	$x_{31} + 1.81$	$y_{31} - 0.91$	$\Delta n_{31} = + 43$	- 43	- 34	33: schwach, 40 K.
57	27	097	999	1.0	+ 1.82	- 0.87	= + 122	+ 36	+ 28	
58	30	090	985	1.0	+ 1.83	- 0.84	= + 108	+ 22	+ 17	
59	Nov. 3	073	964	1.0	+ 1.84	- 0.80	= + 87	+ 1	+ 1	
60	5	061	951	1.0	+ 1.85	- 0.78	= + 74	- 13	- 10	

$$\begin{aligned}
 x_{31} &= + 0.0704 \\
 y_{31} &= + 0.0101 \pm 0.0037 \\
 \Delta n_{31} &= + 0.0032 \pm 0.0048 \\
 \varepsilon_{31} &= \pm 0.0301 \\
 \varepsilon_{31} \cos \delta &= \pm 0.0157
 \end{aligned}$$

Sternpaar 32.

39—37.

1	1910 März 3	^m 40.406	^m 40.403	1.0	$x_{33} - 1.83$	$y_{33} + 0.91$	$\Delta n_{33} = + 26$	- 42	- 33	schwach
2	7	514	427	1.0	$- 1.82$	$+ 0.94$	$= + 50$	- 17	- 13	
3	8	554	468	1.0	$- 1.82$	$+ 0.94$	$= + 91$	+ 24	+ 19	
4	10	545	450	1.0	$- 1.81$	$+ 0.95$	$= + 73$	+ 6	+ 5	
5	11	542	448	0.5	$- 1.81$	$+ 0.96$	$= + 71$	+ 3	+ 2	
6	20	460	467	1.0	$- 1.79$	$+ 0.99$	$= + 90$	+ 23	+ 18	
7	Okt. 16	426	434	1.0	$- 1.21$	$- 0.95$	$= + 57$	- 21	- 17	schwach
8	17	401	407	1.0	$- 1.21$	$- 0.94$	$= + 30$	- 48	- 38	
9	28	452	461	1.0	$- 1.18$	$- 0.86$	$= + 84$	+ 6	+ 5	
10	1911 Febr. 8	498	440	1.0	$- 0.80$	$+ 0.88$	$= + 63$	- 4	- 3	
11	13	545	484	1.0	$- 0.88$	$+ 0.74$	$= + 107$	+ 40	+ 32	
12	14	517	454	1.0	$- 0.88$	$+ 0.75$	$= + 77$	+ 10	+ 8	
13	27	447	377	1.0	$- 0.84$	$+ 0.88$	$= + 0$	- 66	- 52	schwach
14	28	406	426	1.0	$- 0.84$	$+ 0.89$	$= + 49$	- 17	- 13	
15	März 7	608	534	0.5	$- 0.82$	$+ 0.94$	$= + 157$	+ 64	+ 51	
16	8	536	462	1.0	$- 0.82$	$+ 0.94$	$= + 85$	+ 20	+ 16	
17	9	480	406	1.0	$- 0.81$	$+ 0.95$	$= + 29$	- 36	- 29	
18	11	408	423	1.0	$- 0.81$	$+ 0.96$	$= + 46$	- 19	- 15	
19	13	539	462	1.0	$- 0.80$	$+ 0.97$	$= + 85$	+ 20	+ 16	40 K.
20	Okt. 5	468	492	1.0	$- 0.24$	$- 0.99$	$= + 115$	+ 39	+ 31	
21	11	412	437	1.0	$- 0.22$	$- 0.97$	$= + 60$	- 16	- 13	
22	17	421	447	1.0	$- 0.21$	$- 0.94$	$= + 70$	- 6	- 5	
23	18	411	436	1.0	$- 0.20$	$- 0.94$	$= + 59$	- 17	- 13	
24	19	466	491	1.0	$- 0.20$	$- 0.93$	$= + 114$	+ 38	+ 30	
25	26	451	478	1.0	$- 0.18$	$- 0.88$	$= + 101$	+ 25	+ 20	40 K.
26	Nov. 8	416	436	1.0	$- 0.15$	$- 0.76$	$= + 59$	- 16	- 13	
27	17	429	453	1.0	$- 0.12$	$- 0.64$	$= + 76$	+ 2	+ 2	
28	1912 März 3	572	523	1.0	$+ 0.17$	$+ 0.92$	$= + 146$	+ 82	+ 65	
29	7	456	402	1.0	$+ 0.18$	$+ 0.94$	$= + 25$	- 38	- 30	
30	8	473	419	1.0	$+ 0.18$	$+ 0.95$	$= + 42$	- 21	- 17	
31	10	506	449	1.0	$+ 0.19$	$+ 0.96$	$= + 72$	+ 9	+ 7	40 K.
32	Okt. 5	402	449	1.0	$+ 0.76$	$- 0.99$	$= + 72$	- 2	- 2	
33	6	472	519	1.0	$+ 0.76$	$- 0.99$	$= + 142$	+ 68	+ 54	
34	22	404	451	1.0	$+ 0.81$	$- 0.91$	$= + 74$	0	0	
35	25	425	475	1.0	$+ 0.82$	$- 0.88$	$= + 98$	+ 24	+ 19	
36	27	397	445	1.0	$+ 0.82$	$- 0.87$	$= + 68$	- 6	- 5	
37	1913 Febr. 12	451	430	1.0	$+ 1.12$	$+ 0.74$	$= + 53$	- 10	- 8	40 K.
38	18	487	460	1.0	$+ 1.13$	$+ 0.80$	$= + 83$	+ 21	+ 17	
39	25	492	462	1.0	$+ 1.15$	$+ 0.87$	$= + 85$	+ 23	+ 18	

Nr.	Datum	$\Delta\alpha$ app.	$\Delta\alpha$ 1912.0	Gew.	Bedingungsgleichung	$v_x V p$	$v_y V p$	Bemerkungen
40	1913 Febr. 26	^m 49.149	^m 49.417	1.0	$x_{32} + 1.16 \quad y_{32} + 0.88 \quad \Delta n_{32} = + 40$	- 22	- 17	W.
41	März 5	447	414	1.0	$+ 1.17 \quad + 0.93 \quad = + 37$	- 25	- 20	
42	6	484	451	1.0	$+ 1.18 \quad + 0.93 \quad = + 74$	+ 13	+ 10	
43	9	469	481	1.0	$+ 1.19 \quad + 0.95 \quad = + 54$	- 7	- 6	
44	15	475	433	1.0	$+ 1.20 \quad + 0.98 \quad = + 56$	- 5	- 4	
45	Okt. 1	381	439	1.0	$+ 1.75 \quad - 1.00 \quad = + 62$	- 10	- 8	ganz unbrauchb.
46	2	389	447	1.0	$+ 1.75 \quad - 1.00 \quad = + 70$	- 2	- 2	
47	6	404	463	0.5	$+ 1.76 \quad - 0.99 \quad = + 60$	- 8	- 6	
48	11	343	406	1.0	$+ 1.78 \quad - 0.97 \quad = + 29$	- 43	- 34	
49	13	420	484	1.0	$+ 1.78 \quad - 0.96 \quad = + 107$	+ 35	+ 28	
50	15	485	548	0	$+ 1.79 \quad - 0.95 \quad = + 171$			unsicher
51	16	418	481	1.0	$+ 1.79 \quad - 0.95 \quad = + 104$	+ 32	+ 25	
52	20	364	428	1.0	$+ 1.81 \quad - 0.92 \quad = + 51$	- 21	- 17	
53	21	322	384	1.0	$+ 1.81 \quad - 0.92 \quad = + 7$	- 65	- 51	
54	22	364	427	0.5	$+ 1.81 \quad - 0.91 \quad = + 50$	- 15	- 12	
55	27	431	495	1.0	$+ 1.82 \quad - 0.87 \quad = + 118$	+ 46	+ 36	ganz unbrauchb.
56	30	398	402	1.0	$+ 1.83 \quad - 0.84 \quad = + 25$	- 46	- 36	
57	Nov. 3	375	439	1.0	$+ 1.84 \quad - 0.80 \quad = + 62$	- 9	- 7	
58	5	398	461	1.0	$+ 1.85 \quad - 0.78 \quad = + 84$	+ 13	+ 10	

$$\begin{aligned}
 x_{32} &= + 0.0697 \\
 y_{32} &= - 0.0020 \quad + 0.0040 \\
 \Delta n_{32} &= - 0.0063 \quad + 0.0053 \\
 \varepsilon_{32} &= \pm 0.0320 \\
 \varepsilon_{32} \cos \delta &= \pm 0.0169
 \end{aligned}$$

Sternpaar 33.

40—38.

1	1910 März 3	^m 28.207	^m 28.460	0.5	$x_{38} - 1.83 \quad y_{38} - 0.90 \quad \Delta n_{38} = + 69$	+ 10	+ 7	40 : unsicher
2	7	137	115	1.0	$- 1.82 \quad - 0.93 \quad = + 24$	- 31	- 23	40 : 10 K. schwach
3	8	175	148	0.5	$- 1.82 \quad - 0.93 \quad = + 57$	+ 1	+ 1	
4	11	1083	196	0.5	$- 1.81 \quad - 0.95 \quad = + 105$	+ 35	+ 26	
5	20	27.975	414	1.0	$- 1.79 \quad - 0.98 \quad = + 53$	- 2	- 1	
6	Okt. 16	960	403	1.0	$- 1.21 \quad + 0.96 \quad = + 12$	- 46	- 34	39 : unsicher, 40 K. unsicher
7	17	28.004	154	1.0	$- 1.21 \quad + 0.95 \quad = + 63$	+ 5	+ 4	
8	Nov. 8	126	107	0.5	$- 1.15 \quad + 0.77 \quad = + 16$	- 29	- 22	
9	1911 Febr. 8	418	441	0	$- 0.89 \quad - 0.66 \quad = + 50$			40 : unbrauchbar
10	13	401	409	1.0	$- 0.88 \quad - 0.72 \quad = + 18$	- 31	- 23	unsicher
11	14	407	428	1.0	$- 0.88 \quad - 0.73 \quad = + 37$	- 12	- 9	
12	27	391	431	0.5	$- 0.84 \quad - 0.87 \quad = + 40$	- 6	- 4	
13	28	439	480	1.0	$- 0.84 \quad - 0.88 \quad = + 89$	+ 41	+ 31	
14	März 6	400	458	1.0	$- 0.82 \quad - 0.92 \quad = + 67$	+ 19	+ 14	schwach
15	7	409	468	0.5	$- 0.82 \quad - 0.93 \quad = + 77$	+ 20	+ 15	
16	8	391	451	1.0	$- 0.82 \quad - 0.93 \quad = + 60$	+ 12	+ 9	
17	9	382	446	1.0	$- 0.81 \quad - 0.94 \quad = + 55$	+ 7	+ 5	
18	11	386	444	1.0	$- 0.81 \quad - 0.95 \quad = + 53$	+ 5	+ 4	unruhig, 40 K.
19	13	397	456	1.0	$- 0.80 \quad - 0.96 \quad = + 65$	+ 17	+ 13	
20	18	338	415	1.0	$- 0.79 \quad - 0.98 \quad = + 24$	- 24	- 18	
21	19	368	456	1.0	$- 0.79 \quad - 0.98 \quad = + 65$	+ 17	+ 13	
22	Okt. 3	331	459	0.5	$- 0.25 \quad + 1.00 \quad = + 68$	+ 12	+ 9	schwach
23	5	304	421	1.0	$- 0.24 \quad + 0.99 \quad = + 30$	- 21	- 16	unruhig, 40 K.
24	11	428	439	1.0	$- 0.22 \quad + 0.98 \quad = + 48$	- 3	- 2	
25	17	405	464	1.0	$- 0.21 \quad + 0.95 \quad = + 73$	+ 22	+ 16	
26	18	415	460	1.0	$- 0.20 \quad + 0.95 \quad = + 69$	+ 18	+ 13	
27	19	383	421	1.0	$- 0.20 \quad + 0.94 \quad = + 30$	- 21	- 16	
28	26	418	401	1.0	$- 0.18 \quad + 0.89 \quad = + 10$	- 40	- 30	

Nr.	Datum	$\Delta \alpha$ app.	$\Delta \alpha$ 1912.0	Gew.	Bedingungsgleichung	$v_n V_p$	$v_n V_p$	Bemerkungen
29	1911 Nov. 8	^m 28.451	^m 28.417	1.0	$x_{33} - 0.15 y_{33} + 0.77 \Delta n_{33} = + 26$	- 24	- 18	
30	17	604	495	1.0	$- 0.12 + 0.66 \Delta n_{33} = + 104$	+ 55	+ 41	
31	1912 März 3	740	429	1.0	+ 0.17 - 0.91 = + 38	- 3	- 2	
32	7	684	413	1.0	+ 0.18 - 0.93 = + 22	- 19	- 14	
33	8	659	403	1.0	+ 0.18 - 0.94 = + 12	- 29	- 22	
34	10	644	409	1.0	+ 0.19 - 0.95 = + 18	- 23	- 17	
35	20	663	468	1.0	+ 0.22 - 0.99 = + 77	+ 36	+ 27	
36	Okt. 5	615	466	1.0	+ 0.76 + 0.99 = + 75	+ 31	+ 23	
37	6	597	426	1.0	+ 0.76 + 0.99 = + 35	- 9	- 7	
38	22	746	470	1.0	+ 0.81 + 0.92 = + 79	+ 35	+ 26	
39	25	747	451	1.0	+ 0.82 + 0.90 = + 60	+ 16	+ 12	
40	27	764	472	1.0	+ 0.82 + 0.88 = + 81	+ 37	+ 28	
41	1913 Febr. 12	29.025	415	1.0	+ 1.12 - 0.72 = + 24	- 12	- 9	
42	18	035	458	1.0	+ 1.13 - 0.78 = + 67	+ 32	+ 24	
43	21	024	446	1.0	+ 1.14 - 0.82 = + 54	+ 19	+ 14	
44	25	28.970	402	1.0	+ 1.15 - 0.85 = + 11	- 24	- 18	
45	26	998	442	1.0	+ 1.16 - 0.86 = + 51	+ 26	+ 19	
46	März 5	958	414	1.0	+ 1.17 - 0.92 = + 23	- 12	- 9	
47	6	962	413	1.0	+ 1.18 - 0.92 = + 22	- 13	- 10	
48	9	917	391	1.0	+ 1.19 - 0.94 = 0	- 34	- 25	
49	Okt. 1	831	444	0.5	+ 1.75 + 1.00 = + 53	+ 11	+ 8	40 : unsicher
50	2	856	455	1.0	+ 1.75 + 1.00 = + 64	+ 26	+ 19	
51	6	867	442	0.5	+ 1.76 + 0.99 = + 51	+ 9	+ 7	
52	13	870	403	1.0	+ 1.78 + 0.97 = + 12	- 25	- 19	
53	15	918	462	1.0	+ 1.79 + 0.96 = + 71	+ 34	+ 25	
54	16	879	405	1.0	+ 1.79 + 0.96 = + 14	- 23	- 17	
55	20	952	434	1.0	+ 1.80 + 0.93 = + 43	+ 6	+ 4	
56	21	969	438	1.0	+ 1.81 + 0.93 = + 47	+ 10	+ 7	
57	22	958	429	1.0	+ 1.81 + 0.92 = + 38	+ 1	+ 1	
58	27	949	394	1.0	+ 1.82 + 0.88 = + 3	- 34	- 25	38 : schwach, 40 K.
59	30	906	404	1.0	+ 1.83 + 0.86 = + 13	- 24	- 18	
60	Nov. 3	29.009	401	1.0	+ 1.84 + 0.82 = + 10	- 26	- 19	
61	5	040	429	1.0	+ 1.85 + 0.80 = + 38	+ 2	+ 1	

$$\begin{aligned}
 x_{33} &= + 0.0459 \\
 y_{33} &= - 0.0068 \pm 0.0033 \\
 \Delta n_{33} &= + 0.0037 \pm 0.0041 \\
 e_{33} &= \pm 0.0254 \\
 e_{33} \cos \delta &= \pm 0.0126
 \end{aligned}$$

Sternpaar 34.

40—39.

1	1910 März 3	^m 40.574	^m 40.943	0.5	$x_{34} - 1.83 y_{34} - 0.90 \Delta n_{34} = + 72$	+ 8	+ 6	40 : unsicher
2	7	541	943	1.0	- 1.82 - 0.93 = + 72	+ 11	+ 8	
3	8	472	871	0.5	- 1.82 - 0.93 = 0	- 43	- 32	40 : 10 K.
4	11	364	936	0.5	- 1.81 - 0.95 = + 65	+ 3	+ 2	schwach
5	20	290	935	1.0	- 1.79 - 0.98 = + 64	+ 3	+ 2	
6	Okt. 16	346	874	1.0	- 1.21 + 0.96 = + 3	- 62	- 47	
7	17	420	960	1.0	- 1.21 + 0.95 = + 89	+ 24	+ 18	
8	Nov. 8	619	950	0.5	- 1.15 + 0.77 = + 79	+ 10	+ 8	unsicher
9	1911 Febr. 8	808	892	0	- 0.89 - 0.66 = + 21			40 : unbrauchbar
10	13	893	890	1.0	- 0.88 - 0.72 = + 19	- 45	- 34	
11	14	827	902	1.0	- 0.88 - 0.73 = + 31	- 33	- 25	

Nr.	Datum	$\Delta \alpha$ app.	$\Delta \alpha$ 1912.0	Gew.	Bedingungsgleichung	$v_s V_p$	$v_n V_p$	Bemerkungen
1911								
12	Febr. 27	^m 40.834	^m 40.938	0.5	$x_{34} - 0.84 y_{34} - 0.87 \Delta \pi_{34} = + 67$	+ 2	+ 2	unsicher
13	28	880	986	1.0	$- 0.84 - 0.88 = + 115$	+ 51	+ 38	
14	März 6	769	898	1.0	$- 0.82 - 0.92 = + 27$	- 37	- 28	
15	7	752	881	0.5	$- 0.82 - 0.93 = + 10$	- 38	- 29	schwach
16	8	809	940	1.0	$- 0.82 - 0.93 = + 69$	+ 5	+ 4	
17	9	817	952	1.0	$- 0.81 - 0.94 = + 81$	+ 17	+ 13	
18	11	851	982	1.0	$- 0.81 - 0.95 = + 111$	+ 47	+ 35	
19	13	851	983	1.0	$- 0.80 - 0.96 = + 112$	+ 48	+ 36	
20	19	785	952	1.0	$- 0.79 - 0.98 = + 81$	+ 17	+ 13	
21	Okt. 5	773	896	1.0	$- 0.24 + 0.99 = + 25$	- 42	- 32	
22	11	905	41.006	1.0	$- 0.22 + 0.98 = + 135$	+ 68	+ 51	
23	17	947	40.997	1.0	$- 0.21 + 0.95 = + 126$	+ 59	+ 44	unruhig. 40 K
24	18	932	966	1.0	$- 0.20 + 0.95 = + 95$	+ 28	+ 21	
25	19	899	925	1.0	$- 0.20 + 0.94 = + 54$	- 13	- 10	
26	26	914	873	1.0	$- 0.18 + 0.89 = + 2$	- 65	- 49	
27	Nov. 8	41.026	967	1.0	$- 0.15 + 0.77 = + 96$	+ 29	+ 22	
28	17	118	972	1.0	$- 0.12 + 0.66 = + 101$	+ 34	+ 26	
1912								
29	Febr. 29	198	876	1.0	$+ 0.16 - 0.88 = + 5$	- 61	- 46	
30	März 3	207	871	1.0	$+ 0.17 - 0.91 = 0$	- 66	- 50	
31	7	212	930	1.0	$+ 0.18 - 0.93 = + 59$	- 7	- 5	w.
32	8	203	939	1.0	$+ 0.18 - 0.94 = + 68$	+ 2	+ 2	
33	10	162	924	1.0	$+ 0.19 - 0.95 = + 53$	- 13	- 10	
34	Okt. 5	142	926	1.0	$+ 0.76 + 0.99 = + 55$	- 15	- 11	
35	6	152	909	1.0	$+ 0.76 + 0.99 = + 38$	- 32	- 24	
36	22	364	995	1.0	$+ 0.81 + 0.92 = + 124$	+ 54	+ 41	
37	25	326	933	1.0	$+ 0.82 + 0.90 = + 62$	- 8	- 6	
38	27	324	937	1.0	$+ 0.82 + 0.88 = + 66$	- 4	- 3	
1913								
39	Febr. 12	680	963	1.0	$+ 1.11 - 0.69 = + 92$	+ 23	+ 17	
40	18	637	963	1.0	$+ 1.13 - 0.78 = + 92$	+ 23	+ 17	40: unruhig. 40 K.
41	21	612	938	1.0	$+ 1.14 - 0.82 = + 67$	- 2	- 2	
42	25	593	982	1.0	$+ 1.15 - 0.85 = + 61$	- 8	- 6	
43	26	598	952	1.0	$+ 1.16 - 0.86 = + 81$	+ 12	+ 9	
44	März 5	628	999	1.0	$+ 1.17 - 0.92 = + 128$	+ 59	+ 44	
45	6	580	946	1.0	$+ 1.18 - 0.92 = + 75$	+ 6	+ 5	
46	9	533	928	1.0	$+ 1.19 - 0.94 = + 57$	- 12	- 9	
47	Okt. 1	454	943	0.5	$+ 1.75 + 1.00 = + 72$	0	0	40: unsicher
48	2	514	987	1.0	$+ 1.75 + 1.00 = + 116$	+ 44	+ 33	
49	6	531	974	0.5	$+ 1.76 + 0.99 = + 103$	+ 22	+ 17	
50	11	575	976	1.0	$+ 1.78 + 0.98 = + 105$	+ 33	+ 25	
51	13	527	915	1.0	$+ 1.78 + 0.97 = + 44$	- 28	- 21	
52	15	501	903	1.0	$+ 1.79 + 0.96 = + 82$	- 40	- 30	
53	16	512	892	1.0	$+ 1.79 + 0.96 = + 21$	- 51	- 38	
54	20	588	915	1.0	$+ 1.80 + 0.93 = + 44$	- 28	- 21	
55	21	690	41.003	1.0	$+ 1.81 + 0.93 = + 132$	+ 60	+ 45	
56	22	608	40.922	0.5	$+ 1.81 + 0.92 = + 51$	- 15	- 11	unsicher
57	27	614	897	1.0	$+ 1.82 + 0.88 = + 26$	- 46	- 35	
58	30	749	988	1.0	$+ 1.83 + 0.86 = + 117$	+ 45	+ 34	
59	Nov. 3	707	924	1.0	$+ 1.84 + 0.82 = + 53$	- 19	- 14	
60	5	703	919	1.0	$+ 1.85 + 0.80 = + 48$	- 24	- 18	

$$\begin{aligned}
 x_{34} &= + 0.0668 \\
 y_{34} &= + 0.0025 \pm 0.0049 \\
 \Delta \pi_{34} &= + 0.0009 \pm 0.0062
 \end{aligned}$$

$$\begin{aligned}
 \varepsilon_{34} &= \pm 0.0877 \\
 \varepsilon_{34} \cos \delta &= \pm 0.0189
 \end{aligned}$$

Sternpaar 35.

41-40.

Nr.	Datum	$\Delta\alpha$ app.	$\Delta\alpha$ 1912.0	Gew.	Bedingungsgleichung	v, \sqrt{p}	v, \sqrt{p}	Bemerkungen
	1910							
1	März 3	^m 37.243	^m 37.609	0.5	$x_{85} - 1.83 \quad y_{85} + 0.90 \quad \Delta n_{85} = + 31$	- 26	- 18	40 : unsicher
2	7	324	717	1.0	$- 1.82 \quad + 0.93 \quad = + 139$	+ 70	+ 48	
3	11	062	608	1.0	$- 1.81 \quad + 0.95 \quad = + 30$	- 39	- 27	
4	20	36.973	584	1.0	$- 1.79 \quad + 0.98 \quad = + 6$	- 64	- 44	
5	23	37.042	654	1.0	$- 1.77 \quad + 0.99 \quad = + 76$	+ 6	+ 4	
6	Okt. 16	070	628	1.0	$- 1.21 \quad - 0.96 \quad = + 45$	+ 1	+ 1	41 : 40 K.
7	17	023	585	1.0	$- 1.21 \quad - 0.95 \quad = + 7$	- 38	- 26	
8	Nov. 8	306	669	0.5	$- 1.15 \quad - 0.77 \quad = + 91$	+ 30	+ 21	unsicher
	1911							
9	Febr. 8	600	659	0	$- 0.89 \quad + 0.66 \quad = + 81$	- 8	- 5	40 : unbrauchbar
10	13	604	645	1.0	$- 0.88 \quad + 0.72 \quad = + 67$	+ 15	+ 10	unsicher
11	27	600	677	0.5	$- 0.84 \quad + 0.87 \quad = + 99$	- 49	- 34	
12	28	529	607	1.0	$- 0.84 \quad + 0.88 \quad = + 29$	+ 1	+ 1	
13	März 6	560	657	1.0	$- 0.82 \quad + 0.92 \quad = + 79$	- 29	- 20	schwach
14	7	519	615	0.5	$- 0.82 \quad + 0.93 \quad = + 37$	+ 50	+ 34	
15	8	606	707	1.0	$- 0.82 \quad + 0.93 \quad = + 129$	- 4	- 3	
16	9	551	653	1.0	$- 0.81 \quad + 0.94 \quad = + 75$	+ 27	+ 18	
17	11	588	684	1.0	$- 0.81 \quad + 0.95 \quad = + 106$	- 1	- 1	
18	13	560	656	1.0	$- 0.80 \quad + 0.96 \quad = + 78$	- 18	- 12	unsicher
19	18	515	633	0.5	$- 0.79 \quad + 0.98 \quad = + 55$	+ 31	+ 21	
20	19	560	689	1.0	$- 0.79 \quad + 0.98 \quad = + 111$	+ 73	+ 50	
21	Okt. 5	564	704	1.0	$- 0.24 \quad - 0.99 \quad = + 126$	- 22	- 15	
22	11	490	610	1.0	$- 0.22 \quad - 0.98 \quad = + 32$	- 21	- 14	unruhig, 40 K.
23	17	539	611	1.0	$- 0.21 \quad - 0.95 \quad = + 33$	- 19	- 13	
24	18	553	613	1.0	$- 0.20 \quad - 0.95 \quad = + 35$	+ 62	+ 42	
25	19	641	695	1.0	$- 0.20 \quad - 0.94 \quad = + 117$	+ 53	+ 36	
26	26	703	687	1.0	$- 0.18 \quad - 0.89 \quad = + 109$	+ 7	+ 5	
27	Nov. 8	681	643	1.0	$- 0.15 \quad - 0.77 \quad = + 65$	+ 4	+ 3	41 : ganz schwach
28	17	767	644	0.5	$- 0.12 \quad - 0.66 \quad = + 66$	- 42	- 29	
29	25	755	598	1.0	$- 0.10 \quad - 0.56 \quad = + 20$	- 12	- 8	
	1912							
30	Febr. 29	38.009	653	1.0	$+ 0.16 \quad + 0.88 \quad = + 75$	- 28	- 19	
31	März 3	006	638	1.0	$+ 0.17 \quad + 0.91 \quad = + 60$	- 34	- 23	
32	8	37.986	632	1.0	$+ 0.18 \quad + 0.94 \quad = + 54$	- 12	- 8	
33	10	937	655	1.0	$+ 0.19 \quad + 0.95 \quad = + 77$	+ 37	+ 25	
34	20	942	705	1.0	$+ 0.22 \quad + 0.99 \quad = + 127$	- 27	- 18	
35	Okt. 5	822	614	1.0	$+ 0.76 \quad - 0.99 \quad = + 36$	+ 19	+ 13	
36	6	893	660	1.0	$+ 0.76 \quad - 0.99 \quad = + 82$	- 25	- 17	
37	22	973	618	1.0	$+ 0.81 \quad - 0.92 \quad = + 40$	+ 29	+ 20	
38	25	38.050	672	1.0	$+ 0.82 \quad - 0.90 \quad = + 94$	+ 1	+ 1	41 : schwach
39	27	017	644	0.5	$+ 0.82 \quad - 0.88 \quad = + 66$	+ 41	+ 28	
	1913							
40	Febr. 12	463	713	1.0	$+ 1.12 \quad + 0.72 \quad = + 135$	+ 11	+ 8	
41	18	396	684	1.0	$+ 1.13 \quad + 0.78 \quad = + 106$	- 34	- 23	
42	21	355	640	1.0	$+ 1.14 \quad + 0.82 \quad = + 62$	+ 31	+ 21	
43	22	411	705	1.0	$+ 1.14 \quad + 0.83 \quad = + 127$	+ 13	+ 9	
44	25	390	687	1.0	$+ 1.15 \quad + 0.85 \quad = + 109$	- 46	- 31	41 : schwach
45	26	300	609	0.5	$+ 1.16 \quad + 0.86 \quad = + 31$	- 41	- 28	
46	März 5	311	635	1.0	$+ 1.17 \quad + 0.92 \quad = + 57$	+ 76	+ 52	
47	6	435	752	1.0	$+ 1.18 \quad + 0.92 \quad = + 174$	+ 13	+ 9	41 : schwach
48	9	351	694	0.5	$+ 1.19 \quad + 0.94 \quad = + 116$	- 34	- 23	
49	Okt. 1	122	602	0.5	$+ 1.75 \quad - 1.00 \quad = + 24$	- 34	- 23	
50	2	149	616	1.0	$+ 1.75 \quad - 1.00 \quad = + 38$	- 48	- 33	
51	6	144	582	0.5	$+ 1.76 \quad - 0.99 \quad = + 4$	+ 39	+ 27	
52	11	289	690	1.0	$+ 1.78 \quad - 0.98 \quad = + 112$	- 37	- 25	
53	13	226	614	1.0	$+ 1.78 \quad - 0.97 \quad = + 36$	+ 1	+ 1	
54	15	253	652	1.0	$+ 1.79 \quad - 0.96 \quad = + 74$			

Nr.	Datum	$\Delta \alpha$ app.	$\Delta \alpha$ 1912.0	Gew.	Bedingungsgleichung	$v_x \sqrt{p}$	$v_y \sqrt{p}$	Bemerkungen
	1913	^m ^s	^m ^s					
55	Okt. 16	4 38.322	4 37.701	1.0	$x_{35} + 1.79 \quad y_{35} - 0.96 \quad \Delta \pi_{35} = + 123$	+ 50	+ 34	
56	20	329	659	1.0	$+ 1.80 \quad - 0.93 \quad = + 81$	+ 7	+ 5	
57	21	342	656	1.0	$+ 1.81 \quad - 0.93 \quad = + 78$	+ 4	+ 3	
58	22	296	611	1.0	$+ 1.81 \quad - 0.92 \quad = + 33$	- 41	- 28	
59	27	316	603	1.0	$+ 1.82 \quad - 0.88 \quad = + 25$	- 50	- 34	
60	30	398	642	1.0	$+ 1.83 \quad - 0.86 \quad = + 64$	- 12	- 8	
61	Nov. 3	467	690	1.0	$+ 1.84 \quad - 0.82 \quad = + 112$	+ 36	+ 25	
62	5	478	697	0.5	$+ 1.85 \quad - 0.80 \quad = + 116$	+ 27	+ 18	41: schwach

$$\begin{aligned}
 x_{35} &= + 0.0716 \\
 y_{35} &= + 0.0097 \quad \pm 0.0049 \\
 \Delta \pi_{35} &= + 0.0161 \quad \pm 0.0062 \\
 \varepsilon_{35} &= \pm 0.0376 \\
 \varepsilon_{35} \cos \delta &= \pm 0.0171
 \end{aligned}$$

Sternpaar 36.

43—42.

Nr.	Datum	^m ^s	^m ^s	Gew.	Bedingungsgleichung	$v_x \sqrt{p}$	$v_y \sqrt{p}$	Bemerkungen
	1910	^m ^s	^m ^s					
1	März 3	1 37.140	1 37.225	1.0	$x_{36} - 1.83 \quad y_{36} - 0.89 \quad \Delta \pi_{36} = + 70$	+ 10	+ 12	
2	10	057	181	1.0	$- 1.81 \quad - 0.93 \quad = + 26$	- 34	- 39	
3	11	053	180	1.0	$- 1.81 \quad - 0.94 \quad = + 25$	- 36	- 41	
4	12	070	200	1.0	$- 1.81 \quad - 0.95 \quad = + 45$	- 16	- 18	
5	20	063	201	1.0	$- 1.79 \quad - 0.98 \quad = + 46$	- 15	- 17	
6	23	054	192	1.0	$- 1.78 \quad - 0.99 \quad = + 37$	- 24	- 28	
7	24	094	235	1.0	$- 1.77 \quad - 0.99 \quad = + 80$	+ 19	+ 22	
8	Okt. 16	063	195	1.0	$- 1.21 \quad + 0.96 \quad = + 40$	- 18	- 21	
9	17	113	248	1.0	$- 1.21 \quad + 0.96 \quad = + 93$	+ 35	+ 40	
10	28	079	197	1.0	$- 1.18 \quad + 0.89 \quad = + 42$	- 16	- 18	42: 40 K.
	1911							
11	Febr. 8	193	219	1.0	$- 0.80 \quad - 0.63 \quad = + 64$	+ 5	+ 6	
12	13	208	228	1.0	$- 0.88 \quad - 0.70 \quad = + 73$	+ 14	+ 16	
13	14	229	252	1.0	$- 0.88 \quad - 0.71 \quad = + 97$	+ 38	+ 44	
14	26	158	180	1.0	$- 0.84 \quad - 0.84 \quad = + 25$	- 34	- 39	
15	28	184	210	1.0	$- 0.84 \quad - 0.86 \quad = + 55$	- 4	- 5	40 K.
16	März 6	168	197	1.0	$- 0.82 \quad - 0.91 \quad = + 42$	- 17	- 20	W.
17	7	180	208	0.5	$- 0.82 \quad - 0.91 \quad = + 53$	- 4	- 5	schwach
18	8	163	192	1.0	$- 0.82 \quad - 0.92 \quad = + 37$	- 22	- 25	
19	9	227	256	1.0	$- 0.81 \quad - 0.93 \quad = + 101$	+ 42	+ 48	
20	11	219	207	1.0	$- 0.81 \quad - 0.94 \quad = + 52$	- 7	- 8	
21	13	230	257	0.5	$- 0.80 \quad - 0.95 \quad = + 102$	+ 30	+ 35	schwach
22	21	149	183	1.0	$- 0.78 \quad - 0.95 \quad = + 28$	- 31	- 36	
23	Okt. 5	209	246	1.0	$- 0.24 \quad + 1.00 \quad = + 91$	+ 34	+ 39	
24	11	204	238	1.0	$- 0.22 \quad + 0.98 \quad = + 83$	+ 26	+ 30	
25	17	155	179	1.0	$- 0.21 \quad + 0.96 \quad = + 24$	- 33	- 38	
26	18	185	206	1.0	$- 0.20 \quad + 0.96 \quad = + 51$	- 6	- 7	unsicher, 40 K.
27	19	237	256	1.0	$- 0.20 \quad + 0.95 \quad = + 101$	+ 44	+ 51	
28	26	209	216	1.0	$- 0.18 \quad + 0.91 \quad = + 61$	+ 4	+ 5	
29	Nov. 7	173	177	1.0	$- 0.15 \quad + 0.80 \quad = + 22$	- 35	- 40	
30	8	235	238	1.0	$- 0.15 \quad + 0.79 \quad = + 83$	+ 26	+ 30	
31	25	255	236	0.5	$- 0.10 \quad + 0.58 \quad = + 81$	+ 17	+ 20	43: unsicher
	1912							
32	Febr. 29	295	224	1.0	$+ 0.16 \quad - 0.86 \quad = + 69$	+ 11	+ 13	
33	März 3	314	240	1.0	$+ 0.17 \quad - 0.89 \quad = + 85$	+ 27	+ 31	40 K.
34	7	261	194	1.0	$+ 0.18 \quad - 0.92 \quad = + 39$	- 19	- 22	
35	8	293	230	1.0	$+ 0.18 \quad - 0.93 \quad = + 75$	+ 17	+ 20	
36	10	260	203	1.0	$+ 0.19 \quad - 0.94 \quad = + 48$	- 10	- 12	42: 40 K.
37	20	274	225	1.0	$+ 0.22 \quad - 0.98 \quad = + 70$	+ 12	+ 14	42: 40 K.
38	24	230	183	1.0	$+ 0.23 \quad - 0.99 \quad = + 28$	- 30	- 35	43: 40 K.

Nr.	Datum	$\Delta \alpha$ app.	$\Delta \alpha$ 1912.0	Gew.	Bedingungsgleichung	$v_x V_p$	$v_y V_p$	Bemerkungen
39	1912 Okt. 5	^m 37.298	^m 37.199	1.0	$x_{36} + 0.76 y_{36} + 0.99 \Delta \pi_{36} = + 44$	- 11	- 13	43: unruhig, 40. K 42: 40 K.
40	6	276	232	1.0	$+ 0.76 + 0.99 = + 77$	+ 22	+ 25	
41	22	293	226	1.0	$+ 0.81 + 0.93 = + 71$	+ 16	+ 18	
42	1913 Febr. 12	346	193	1.0	$+ 1.12 - 0.69 = + 38$	- 18	- 21	
43	18	354	209	1.0	$+ 1.13 - 0.76 = + 54$	- 2	- 2	
44	21	349	202	1.0	$+ 1.14 - 0.80 = + 47$	- 9	- 10	
45	22	353	208	1.0	$+ 1.14 - 0.81 = + 53$	- 3	- 3	
46	25	388	243	1.0	$+ 1.15 - 0.84 = + 88$	+ 32	+ 37	
47	26	388	245	1.0	$+ 1.16 - 0.85 = + 90$	+ 34	+ 39	
48	März 6	331	188	1.0	$+ 1.18 - 0.91 = + 33$	- 23	- 26	
49	15	385	250	1.0	$+ 1.20 - 0.96 = + 95$	+ 39	+ 45	
50	Okt. 6	400	283	0	$+ 1.76 + 0.99 = + 127$			
51	11	340	216	1.0	$+ 1.78 + 0.98 = + 61$	+ 7	+ 8	
52	13	307	181	1.0	$+ 1.78 + 0.98 = + 26$	- 28	- 32	g. schw. u. unsicher
53	15	334	211	1.0	$+ 1.79 + 0.97 = + 56$	+ 2	+ 2	
54	16	327	200	1.0	$+ 1.79 + 0.96 = + 45$	- 9	- 10	
55	20	343	205	1.0	$+ 1.80 + 0.94 = + 50$	- 4	- 5	
56	21	323	188	1.0	$+ 1.81 + 0.94 = + 28$	- 26	- 30	
57	22	295	155	1.0	$+ 1.81 + 0.93 = + 0$	- 54	- 62	
58	27	360	214	1.0	$+ 1.82 + 0.90 = + 59$	+ 5	+ 6	
59	30	380	227	1.0	$+ 1.83 + 0.87 = + 72$	+ 18	+ 21	
60	Nov. 2	359	200	1.0	$+ 1.84 + 0.85 = + 45$	- 9	- 10	
61	3	354	196	1.0	$+ 1.84 + 0.84 = + 41$	- 13	- 15	

$$\begin{aligned}
 x_{36} &= + 0.0571 \\
 y_{36} &= - 0.0015 \pm 0.0030 \\
 \Delta \pi_{36} &= - 0.0008 \pm 0.0040 \\
 \varepsilon_{36} &= \pm 0.0248 \\
 \varepsilon_{36} \cos \delta &= \pm 0.0190
 \end{aligned}$$

Sternpaar 37.

44-43.

1	1910 März 3	^m 47.860	^m 47.944	1.0	$x_{37} - 1.83 y_{37} + 0.89 \Delta \pi_{37} = + 29$	- 21	- 24	verfehlte Beobacht. W. schwach unsicher
2	7	925	48.014	1.0	$- 1.82 + 0.91 = + 99$	+ 49	+ 55	
3	10	850	47.973	1.0	$- 1.81 + 0.93 = + 58$	+ 8	+ 9	
4	11	791	916	1.0	$- 1.81 + 0.94 = + 1$	- 49	- 55	
5	12	840	969	0.5	$- 1.81 + 0.95 = + 54$	+ 3	+ 3	
6	20	825	962	1.0	$- 1.79 + 0.98 = + 47$	- 4	- 4	
7	23	807	943	1.0	$- 1.78 + 0.99 = + 28$	- 23	- 26	
8	24	834	973	1.0	$- 1.77 + 0.99 = + 58$	+ 7	+ 8	
9	Okt. 16	840	978	1.0	$- 1.21 - 0.96 = + 58$	+ 8	+ 9	
10	17	797	934	1.0	$- 1.21 - 0.96 = + 19$	- 31	- 35	
11	28	829	949	1.0	$- 1.18 - 0.89 = + 34$	- 16	- 18	
12	1911 Febr. 8	976	48.000	1.0	$- 0.89 + 0.68 = + 85$	+ 34	+ 38	
13	18	929	47.948	1.0	$- 0.88 + 0.70 = + 33$	- 18	- 20	
14	14	970	993	1.0	$- 0.88 + 0.71 = + 78$	+ 27	+ 30	
15	26	958	980	1.0	$- 0.84 + 0.84 = + 65$	+ 13	+ 15	
16	28	040	48.064	0	$- 0.84 + 0.86 = + 149$			
17	März 6	937	47.964	1.0	$- 0.82 + 0.91 = + 49$	- 3	- 3	
18	7	959	996	0.5	$- 0.82 + 0.91 = + 71$	+ 13	+ 15	
19	8	905	932	1.0	$- 0.82 + 0.92 = + 17$	- 35	- 39	
20	9	972	999	1.0	$- 0.81 + 0.93 = + 84$	+ 32	+ 36	
21	11	934	960	1.0	$- 0.81 + 0.94 = + 45$	- 7	- 8	
22	13	890	915	0.5	$- 0.80 + 0.95 = + 0$	- 36	- 40	
23	18	963	992	0.5	$- 0.79 + 0.97 = + 77$	+ 18	+ 20	

Nr.	Datum	$\Delta \alpha$ app.	$\Delta \alpha$ 1912.0	Gew.	Bedingungsgleichung			$v_x \sqrt{p}$	$v_y \sqrt{p}$	Bemerkungen		
1911												
24	März 10	^m 47.933	^m 47.964	1.0	$x_{37} - 0.79$	$y_{37} + 0.97$	$\Delta n_{37} = +$	49	- 3	- 3	unsicher, 40 K.	
25	21	961	994	1.0	- 0.78	+ 0.98	= +	79	+ 27	+ 90		
26	Okt. 5	934	971	1.0	- 0.24	- 1.00	= +	56	+ 5	+ 6		
27	11	910	944	1.0	- 0.22	- 0.98	= +	29	- 22	- 25		
28	17	949	973	1.0	- 0.21	- 0.96	= +	58	+ 7	+ 8		
29	18	971	991	1.0	- 0.20	- 0.96	= +	76	+ 25	+ 28		
30	19	951	969	1.0	- 0.20	- 0.95	= +	54	+ 3	+ 3		
31	26	977	983	1.0	- 0.18	- 0.91	= +	68	+ 17	+ 19		
32	Nov. 7	965	968	1.0	- 0.15	- 0.80	= +	53	+ 2	+ 2		
33	8	961	964	1.0	- 0.15	- 0.79	= +	49	- 2	- 2		
34	25	977	957	0.5	- 0.10	- 0.58	= +	42	- 6	- 7	43 : unsicher	
1912												
35	Febr. 20	48.046	971	1.0	+ 0.16	+ 0.86	= +	56	+ 3	+ 3	40 K.	
36	März 3	007	920	1.0	+ 0.17	+ 0.89	= +	14	- 69	- 44		
37	7	063	995	1.0	+ 0.18	+ 0.92	= +	80	+ 27	+ 80		
38	8	022	956	1.0	+ 0.18	+ 0.93	= +	41	- 12	- 13		
39	10	055	995	1.0	+ 0.19	+ 0.94	= +	80	+ 27	+ 30		
40	20	037	985	1.0	+ 0.22	+ 0.98	= +	70	+ 17	+ 19		
41	24	007	957	1.0	+ 0.24	+ 0.99	= +	42	- 11	- 12		
42	Okt. 5	039	48.000	1.0	+ 0.76	- 0.99	= +	85	+ 33	+ 37		43 : unruhig, 40 K.
43	6	47.975	47.931	1.0	+ 0.76	- 0.99	= +	16	- 36	- 40		
44	22	48.047	979	1.0	+ 0.81	- 0.93	= +	64	+ 12	+ 13		
1913												
45	Febr. 12	102	944	1.0	+ 1.12	+ 0.69	= +	29	- 25	- 28	g. schwach u. unsich.	
46	18	116	965	1.0	+ 1.13	+ 0.76	= +	50	- 4	- 4		
47	21	146	994	1.0	+ 1.14	+ 0.80	= +	79	+ 25	+ 28		
48	22	139	989	1.0	+ 1.14	+ 0.81	= +	74	+ 20	+ 22		
49	25	124	974	1.0	+ 1.15	+ 0.84	= +	59	+ 5	+ 6		
50	26	076	928	1.0	+ 1.16	+ 0.85	= +	13	- 41	- 46		
51	März 6	133	986	1.0	+ 1.18	+ 0.91	= +	71	+ 17	+ 19		
52	15	072	934	1.0	+ 1.20	+ 0.96	= +	19	- 35	- 39		
53	Okt. 6	104	985	0	+ 1.76	- 0.99	= +	70				
54	11	062	936	1.0	+ 1.78	- 0.98	= +	21	- 32	- 36		
55	13	087	959	1.0	+ 1.78	- 0.98	= +	44	- 9	- 10		
56	15	073	949	1.0	+ 1.79	- 0.97	= +	34	- 19	- 21		
57	16	135	48.006	1.0	+ 1.79	- 0.96	= +	91	+ 38	+ 43		
58	20	132	47.992	1.0	+ 1.80	- 0.94	= +	77	+ 24	+ 27		
59	21	104	962	1.0	+ 1.81	- 0.94	= +	47	- 6	- 7		
60	22	151	48.009	1.0	+ 1.81	- 0.93	= +	94	+ 41	+ 46		
61	27	063	47.935	1.0	+ 1.82	- 0.90	= +	20	- 34	- 38		
62	30	124	968	1.0	+ 1.83	- 0.87	= +	53	- 1	- 1		
63	Nov. 2	103	941	1.0	+ 1.84	- 0.85	= +	26	- 28	- 31		W.
64	3	151	991	1.0	+ 1.84	- 0.84	= +	76	+ 22	+ 25		

$$\begin{aligned}
 x_{37} &= + 0.0520 \\
 y_{37} &= + 0.0012 \pm 0.0027 \\
 \Delta n_{37} &= + 0.0007 \pm 0.0039
 \end{aligned}$$

$$\begin{aligned}
 \epsilon_{37} &= \pm 0.0246 \\
 \epsilon_{37} \cos \delta &= \pm 0.0184
 \end{aligned}$$

Sternpaar 38.

45-43.

Nr.	Datum	$\Delta\alpha$ app.	$\Delta\alpha$ 1912.0	Gew.	Bedingungsgleichung			$v_p \sqrt{p}$	$v_n \sqrt{p}$	Bemerkungen
1	1910 März 3	^m 25.607	^m 25.581	1.0	$x_{38} - 1.83$	$y_{38} + 0.89$	$\Delta\pi_{38} = + 42$	- 12	- 14	45: sehr schwach
2	7	622	594	1.0	- 1.82	+ 0.91	= + 55	+ 1	+ 1	
3	10	625	598	1.0	- 1.81	+ 0.93	= + 59	+ 5	+ 6	
4	11	645	620	0.5	- 1.81	+ 0.94	= + 81	+ 19	+ 22	
5	12	628	603	1.0	- 1.81	+ 0.95	= + 64	+ 10	+ 11	
6	20	639	611	1.0	- 1.79	+ 0.98	= + 72	+ 18	+ 20	
7	23	652	624	1.0	- 1.78	+ 0.99	= + 85	+ 31	+ 35	
8	24	638	610	1.0	- 1.77	+ 0.99	= + 71	+ 17	+ 19	
9	Okt. 16	590	626	1.0	- 1.21	- 0.96	= + 87	+ 26	+ 30	45: 40 K.
10	17	554	589	1.0	- 1.21	- 0.96	= + 50	- 11	- 12	
11	28	525	558	1.0	- 1.18	- 0.89	= + 19	- 42	- 48	
12	1911 Febr. 8	657	633	1.0	- 0.89	+ 0.63	= + 94	+ 37	+ 42	schwach
13	13	568	540	1.0	- 0.88	+ 0.70	= + 1	- 56	- 64	
14	14	596	568	1.0	- 0.88	+ 0.71	= + 29	- 27	- 31	
15	26	609	636	1.0	- 0.84	+ 0.84	= + 97	+ 41	+ 47	
16	28	641	608	1.0	- 0.84	+ 0.86	= + 69	+ 13	+ 15	
17	März 6	627	593	1.0	- 0.82	+ 0.91	= + 54	- 2	- 2	
18	7	574	540	0.5	- 0.82	+ 0.91	= + 1	- 39	- 44	
19	8	607	572	1.0	- 0.82	+ 0.92	= + 33	- 23	- 26	
20	9	679	646	1.0	- 0.81	+ 0.93	= + 107	+ 51	+ 58	
21	11	656	620	1.0	- 0.81	+ 0.94	= + 81	+ 25	+ 28	
22	13	597	561	0.5	- 0.80	+ 0.95	= + 22	- 24	- 27	
23	18	660	622	0.5	- 0.79	+ 0.97	= + 83	+ 19	+ 22	
24	19	594	557	1.0	- 0.79	+ 0.97	= + 18	- 38	- 43	
25	21	665	628	1.0	- 0.78	+ 0.98	= + 89	+ 33	+ 37	
26	Okt. 5	624	649	1.0	- 0.24	- 1.00	= + 110	+ 48	+ 55	unsicher, 40 K.
27	11	540	566	1.0	- 0.22	- 0.98	= + 27	- 35	- 40	
28	17	614	638	1.0	- 0.21	- 0.96	= + 99	+ 37	+ 42	
29	18	571	595	1.0	- 0.20	- 0.96	= + 56	- 6	- 7	
30	19	584	608	1.0	- 0.20	- 0.95	= + 69	+ 7	+ 8	
31	26	526	547	1.0	- 0.18	- 0.91	= + 8	- 54	- 61	
32	Nov. 7	576	594	1.0	- 0.15	- 0.80	= + 55	- 7	- 8	
33	8	523	539	1.0	- 0.15	- 0.79	= + 0	- 62	- 70	
34	25	590	599	0.5	- 0.10	- 0.58	= + 60	- 1	- 1	43: unsicher
35	1912 Febr. 29	642	602	1.0	+ 0.16	+ 0.86	= + 63	+ 5	+ 6	W.
36	März 3	614	574	1.0	+ 0.17	+ 0.89	= + 35	- 23	- 26	
37	7	670	628	1.0	+ 0.18	+ 0.92	= + 89	+ 31	+ 35	
38	8	623	581	1.0	+ 0.18	+ 0.93	= + 42	- 16	- 18	
39	10	630	587	1.0	+ 0.19	+ 0.94	= + 48	- 10	- 11	
40	20	600	556	1.0	+ 0.22	+ 0.98	= + 17	- 41	- 47	
41	24	629	585	1.0	+ 0.23	+ 0.99	= + 46	- 11	- 12	
42	Okt. 5	555	578	1.0	+ 0.76	- 0.99	= + 39	- 25	- 28	43: unruhig. 40 K.
43	6	584	606	1.0	+ 0.76	- 0.99	= + 67	+ 3	+ 3	
44	22	587	604	1.0	+ 0.81	- 0.93	= + 65	+ 1	+ 1	
45	1913 Febr. 12	639	597	1.0	+ 1.12	+ 0.69	= + 58	- 2	- 2	g. schwach u. uns.
46	18	643	599	1.0	+ 1.13	+ 0.76	= + 60	0	0	
47	21	671	626	1.0	+ 1.14	+ 0.80	= + 87	+ 28	+ 32	
48	22	675	631	1.0	+ 1.14	+ 0.81	= + 92	+ 33	+ 37	
49	25	631	586	1.0	+ 1.15	+ 0.84	= + 47	- 12	- 14	
50	26	595	550	1.0	+ 1.16	+ 0.85	= + 11	- 48	- 55	
51	März 6	663	618	1.0	+ 1.18	+ 0.91	= + 79	+ 20	+ 23	
52	15	591	510	1.0	+ 1.20	+ 0.96	= + 1	- 58	- 66	
53	Okt. 6	532	543	0	+ 1.76	- 0.99	= + 4			
54	11	585	597	1.0	+ 1.78	- 0.98	= + 58	- 8	- 9	
55	13	616	629	1.0	+ 1.78	- 0.98	= + 90	+ 24	+ 27	

Nr.	Datum	$\Delta \alpha$ app.	$\Delta \alpha$ 1912.0	Gew.	Bedingungsgleichung	$v_x \sqrt{p}$	$v_y \sqrt{p}$	Bemerkungen		
	1913									
56	Okt. 15	^m 4 25.605	^m 4 25.617	1.0	$x_{38} + 1.79$	$y_{38} - 0.97$	$\Delta \pi_{38} = + 78$	$+ 12$	$+ 14$	W.
57	16	602	614	1.0	$+ 1.79$	$- 0.97$	$= + 75$	$+ 9$	$+ 10$	
58	20	625	635	1.0	$+ 1.80$	$- 0.94$	$= + 96$	$+ 30$	$+ 34$	
59	21	598	607	1.0	$+ 1.81$	$- 0.94$	$= + 68$	$+ 2$	$+ 2$	
60	22	625	634	1.0	$+ 1.81$	$- 0.93$	$= + 95$	$+ 29$	$+ 38$	
61	27	568	597	1.0	$+ 1.82$	$- 0.90$	$= + 38$	$- 27$	$- 31$	
62	30	632	638	1.0	$+ 1.83$	$- 0.87$	$= + 99$	$+ 34$	$+ 39$	
63	Nov. 2	598	604	1.0	$+ 1.84$	$- 0.85$	$= + 65$	0	0	
64	3	604	610	1.0	$+ 1.84$	$- 0.84$	$= + 71$	$+ 6$	$+ 7$	

$$\begin{aligned}
 x_{38} &= + 0.0599 \\
 y_{38} &= + 0.0016 \pm 0.0035 \\
 \Delta \pi_{38} &= - 0.0029 \pm 0.0047 \\
 \epsilon_{38} &= \pm 0.0292 \\
 \epsilon_{38} \cos \delta &= \pm 0.0221
 \end{aligned}$$

Sternpaar 39.

47—42.

1	1910 März 3	^m 10 41.062	^m 10 40.963	1.0	$x_{39} - 1.83$	$y_{39} - 0.87$	$\Delta \pi_{39} = + 112$	$+ 66$	$+ 77$	ganz unsicher
2	10	40.976	860	1.0	$- 1.81$	$- 0.92$	$= + 9$	$- 38$	$- 44$	
3	11	939	826	0	$- 1.81$	$- 0.93$	$= - 25$			
4	12	41.006	889	1.0	$- 1.81$	$- 0.93$	$= + 38$	$- 9$	$- 11$	
5	20	000	873	1.0	$- 1.79$	$- 0.97$	$= + 22$	$- 25$	$- 29$	
6	23	046	920	1.0	$- 1.78$	$- 0.98$	$= + 69$	$+ 21$	$+ 25$	
7	24	064	937	1.0	$- 1.77$	$- 0.98$	$= + 86$	$+ 38$	$+ 44$	
8	Okt. 16	40.908	896	1.0	$- 1.21$	$+ 0.97$	$= + 45$	$+ 8$	$+ 9$	schwach
9	28	873	864	1.0	$- 1.18$	$+ 0.90$	$= + 13$	$- 25$	$- 29$	
10	1911 Febr. 13	994	918	1.0	$- 0.88$	$- 0.67$	$= + 67$	$+ 14$	$+ 16$	
11	14	990	912	1.0	$- 0.88$	$- 0.68$	$= + 61$	$+ 8$	$+ 9$	
12	26	41.019	929	1.0	$- 0.84$	$- 0.82$	$= + 78$	$+ 23$	$+ 27$	
13	28	40.943	853	1.0	$- 0.84$	$- 0.84$	$= + 2$	$- 53$	$- 61$	
14	März 7	976	881	0.5	$- 0.82$	$- 0.90$	$= + 30$	$- 18$	$- 21$	
15	8	955	858	1.0	$- 0.82$	$- 0.91$	$= + 7$	$- 48$	$- 56$	
16	9	41.050	954	1.0	$- 0.81$	$- 0.91$	$= + 103$	$+ 47$	$+ 55$	
17	11	051	952	1.0	$- 0.81$	$- 0.93$	$= + 101$	$+ 45$	$+ 53$	
18	13	40.971	871	1.0	$- 0.80$	$- 0.94$	$= + 20$	$- 36$	$- 42$	47: unsicher, 40 K.
19	21	953	851	1.0	$- 0.78$	$- 0.97$	$= 0$	$- 56$	$- 65$	
20	Okt. 5	863	909	1.0	$- 0.24$	$+ 0.99$	$= + 58$	$+ 12$	$+ 14$	
21	17	840	887	1.0	$- 0.21$	$+ 0.97$	$= + 36$	$- 10$	$- 12$	
22	18	822	869	1.0	$- 0.20$	$+ 0.96$	$= + 18$	$- 28$	$- 33$	
23	19	861	908	1.0	$- 0.20$	$+ 0.96$	$= + 57$	$+ 11$	$+ 13$	
24	26	806	854	1.0	$- 0.18$	$+ 0.92$	$= + 3$	$- 44$	$- 51$	
25	Nov. 7	869	910	1.0	$- 0.15$	$+ 0.82$	$= + 59$	$+ 11$	$+ 13$	
26	8	885	922	1.0	$- 0.15$	$+ 0.81$	$= + 71$	$+ 23$	$+ 27$	
27	25	863	896	1.0	$- 0.10$	$+ 0.81$	$= + 45$	$- 5$	$- 6$	
28	1912 Febr. 29	41.017	947	1.0	$+ 0.16$	$- 0.85$	$= + 96$	$+ 33$	$+ 30$	47: schwach W. zweifelhaft
29	März 3	026	958	0.5	$+ 0.17$	$- 0.87$	$= + 107$	$+ 30$	$+ 35$	
30	7	010	936	0.5	$+ 0.18$	$- 0.90$	$= + 85$	$+ 15$	$+ 18$	
31	8	001	923	1.0	$+ 0.18$	$- 0.91$	$= + 72$	$+ 8$	$+ 9$	
32	10	048	967	0	$+ 0.19$	$- 0.92$	$= + 116$			
33	20	008	921	1.0	$+ 0.22$	$- 0.97$	$= + 70$	$+ 5$	$+ 6$	
34	24	40.977	890	1.0	$+ 0.23$	$- 0.99$	$= + 39$	$- 26$	$- 30$	
35	Okt. 5	843	917	1.0	$+ 0.76$	$+ 0.99$	$= + 66$	$+ 12$	$+ 14$	
36	6	817	891	1.0	$+ 0.76$	$+ 0.99$	$= + 40$	$- 14$	$- 16$	

Nr.	Datum	$\Delta \alpha$ app.	$\Delta \alpha$ 1912.0	Gew.	Bedingungsgleichung	$v_x V_p$	$v_y V_p$	Bemerkungen
37	1912 Okt. 22	^m 10 ^s 40.869	^m 10 ^s 40.942	1.0	$x_{20} + 0.81 y_{20} + 0.94 \Delta \pi_{20} = + 91$	+ 36	+ 42	
38	1913 Febr. 18	965	921	1.0	+ 1.13 - 0.74 = + 70	- 1	- 1	
39	21	943	898	1.0	+ 1.14 - 0.77 = + 47	- 24	- 28	
40	22	960	915	1.0	+ 1.14 - 0.78 = + 64	- 7	- 8	
41	25	987	939	1.0	+ 1.15 - 0.81 = + 88	+ 16	+ 19	
42	26	952	903	1.0	+ 1.16 - 0.82 = + 52	- 20	- 23	
43	März 6	971	921	1.0	+ 1.18 - 0.89 = + 70	- 3	- 4	
44	15	999	932	1.0	+ 1.20 - 0.95 = + 81	+ 8	+ 9	47: unsicher, 40 K.
45	Okt. 11	895	920	1.0	+ 1.78 + 0.99 = + 69	+ 6	+ 7	
46	13	810	898	1.0	+ 1.78 + 0.98 = + 47	- 16	- 19	
47	15	855	940	1.0	+ 1.79 + 0.97 = + 89	+ 26	+ 30	
48	16	820	906	1.0	+ 1.79 + 0.97 = + 55	- 8	- 9	
49	20	860	946	1.0	+ 1.80 + 0.95 = + 95	+ 31	+ 36	
50	21	821	905	1.0	+ 1.81 + 0.95 = + 54	- 10	- 12	47: unsicher, 40 K.
51	22	775	860	1.0	+ 1.81 + 0.94 = + 9	- 55	- 64	unruhig, 40 K.
52	27	866	951	1.0	+ 1.82 + 0.91 = + 100	+ 36	+ 42	
53	30	866	950	1.0	+ 1.83 + 0.89 = + 99	+ 35	+ 41	
54	Nov. 2	796	880	1.0	+ 1.84 + 0.86 = + 29	- 36	- 42	W.
55	3	837	921	1.0	+ 1.84 + 0.85 = + 70	+ 5	+ 6	

$$\begin{aligned}
 x_{39} &= + 0.0555 \\
 y_{39} &= + 0.0087 \pm 0.0039 \\
 \Delta \pi_{39} &= - 0.0078 \pm 0.0052 \\
 \epsilon_{39} &= \pm 0.0296 \\
 \epsilon_{39} \cos \delta &= \pm 0.0230
 \end{aligned}$$

Sternpaar 40.

47-46.

Nr.	Datum	^m 3 ^s 7.859	^m 3 ^s 7.824	Gew.	Bedingungsgleichung	$v_x V_p$	$v_y V_p$	Bemerkungen
1	1910 März 3	845	806	1.0	$x_{40} - 1.83 y_{40} - 0.87 \Delta \pi_{40} = + 81$	+ 26	+ 30	
2	7	816	777	1.0	- 1.82 - 0.90 = + 63	+ 8	+ 9	
3	8	838	791	1.0	- 1.82 - 0.91 = + 84	- 21	- 25	
4	10	811	764	0.5	- 1.81 - 0.92 = + 48	- 7	- 8	
5	11	843	795	1.0	- 1.81 - 0.93 = + 21	- 24	- 28	schwach
6	12	830	778	1.0	- 1.81 - 0.93 = + 52	- 3	- 4	
7	20	822	776	1.0	- 1.79 - 0.97 = + 35	- 20	- 23	
8	23			1.0	- 1.78 - 0.98 = + 27	- 28	- 33	
9	Okt. 16	807	804	1.0	- 1.21 + 0.97 = + 61	+ 8	+ 9	
10	28	825	824	1.0	- 1.18 + 0.90 = + 81	+ 28	+ 33	
11	1911 Febr. 13	917	792	1.0	- 0.88 - 0.67 = + 49	- 4	- 5	
12	14	797	771	1.0	- 0.88 - 0.68 = + 28	- 25	- 29	
13	26	833	804	1.0	- 0.84 - 0.82 = + 61	+ 8	+ 9	
14	27	830	800	1.0	- 0.84 - 0.83 = + 57	+ 4	+ 5	
15	28	813	783	1.0	- 0.84 - 0.84 = + 40	- 13	- 15	
16	März 7	864	833	0.5	- 0.82 - 0.90 = + 90	+ 26	+ 30	schwach
17	8	818	787	1.0	- 0.82 - 0.91 = + 44	- 9	- 11	
18	9	807	775	1.0	- 0.81 - 0.91 = + 32	- 21	- 25	
19	11	828	796	1.0	- 0.81 - 0.93 = + 53	0	0	
20	18	861	828	1.0	- 0.80 - 0.94 = + 85	+ 32	+ 37	
21	19	870	835	1.0	- 0.79 - 0.97 = + 92	+ 39	+ 46	
22	21	841	807	1.0	- 0.78 - 0.97 = + 64	+ 11	+ 13	
23	Okt. 17	792	804	1.0	- 0.21 + 0.97 = + 61	+ 9	+ 11	47: 40 K.
24	18	795	807	1.0	- 0.20 + 0.96 = + 64	+ 12	+ 14	unsicher, 40 K.
25	19	747	760	1.0	- 0.20 + 0.96 = + 17	- 35	- 41	
26	26	730	745	1.0	- 0.18 + 0.92 = + 2	- 50	- 58	

Nr.	Datum	$\Delta \alpha$ app.	$\Delta \alpha$ 1912.0	(Gew.)	Bedingungsgleichung	$v_x V_p$	$v_y V_p$	Bemerkungen
1911								
27	Nov. 7	^m 3 ^s 7.791	^m 3 ^s 7.804	1.0	$x_{40} - 0.15 y_{40} + 0.82 \Delta \pi_{40} = + 61$	+ 9	+ 11	47: unsicher, 40 K
28	8	809	822	1.0	$- 0.15 + 0.81 = + 79$	+ 27	+ 32	
29	17	799	815	1.0	$- 0.12 + 0.71 = + 72$	+ 20	+ 23	46: unsicher, 40 K.
30	25	754	767	1.0	$- 0.10 + 0.61 = + 24$	- 28	- 33	
1912								
31	Febr. 20	840	828	1.0	$+ 0.16 - 0.85 = + 85$	+ 33	+ 39	
32	März 3	733	721	0	$+ 0.17 - 0.87 = - 22$			46: g. uns., schlecht.
33	7	803	789	1.0	$+ 0.18 - 0.90 = + 46$	- 6	- 7	W.
34	8	893	817	1.0	$+ 0.18 - 0.91 = + 74$	+ 22	+ 26	
35	10	843	826	1.0	$+ 0.19 - 0.92 = + 83$	+ 31	+ 36	40 K.
36	20	843	823	1.0	$+ 0.22 - 0.97 = + 80$	+ 28	+ 33	
37	24	772	751	1.0	$+ 0.23 - 0.99 = + 8$	- 44	- 51	
38	Okt. 5	765	791	1.0	$+ 0.76 + 0.99 = + 48$	- 3	- 4	
39	6	778	805	1.0	$+ 0.76 + 0.99 = + 62$	+ 11	+ 13	46: schwach, 40 K.
40	22	758	788	1.0	$+ 0.81 + 0.94 = + 45$	- 6	- 7	
1913								
41	Febr. 18	791	795	1.0	$+ 1.13 - 0.74 = + 52$	+ 2	+ 2	
42	21	796	799	1.0	$+ 1.14 - 0.77 = + 56$	+ 6	+ 7	
43	22	778	780	1.0	$+ 1.14 - 0.78 = + 37$	- 13	- 15	
44	25	742	743	1.0	$+ 1.15 - 0.81 = 0$	- 50	- 58	
45	26	784	785	1.0	$+ 1.16 - 0.82 = + 42$	- 8	- 9	
46	März 6	803	804	1.0	$+ 1.18 - 0.89 = + 61$	+ 11	+ 13	
47	10	809	805	0.5	$+ 1.19 - 0.92 = + 62$	+ 8	+ 9	unsicher
48	15	795	789	1.0	$+ 1.20 - 0.95 = + 46$	- 4	- 5	47: unruhig, 40 K.
49	Okt. 11	734	771	1.0	$+ 1.78 + 0.99 = + 28$	- 21	- 25	
50	13	770	809	1.0	$+ 1.78 + 0.98 = + 66$	+ 17	+ 20	
51	15	748	787	1.0	$+ 1.79 + 0.97 = + 44$	- 5	- 6	
52	16	748	787	1.0	$+ 1.79 + 0.97 = + 44$	- 5	- 6	
53	20	743	784	1.0	$+ 1.80 + 0.95 = + 41$	- 8	- 9	
54	21	769	809	1.0	$+ 1.81 + 0.95 = + 66$	+ 17	+ 20	47: unsicher, 40 K.
55	22	717	758	1.0	$+ 1.81 + 0.94 = + 15$	- 34	- 40	unruhig, 40 K.
56	27	779	820	1.0	$+ 1.82 + 0.91 = + 77$	+ 28	+ 33	
57	30	763	805	1.0	$+ 1.83 + 0.89 = + 62$	+ 13	+ 15	
58	Nov. 2	727	771	1.0	$+ 1.84 + 0.86 = + 28$	- 21	- 25	
59	3	773	816	1.0	$+ 1.84 + 0.85 = + 73$	+ 24	+ 28	

$$\begin{aligned}
 x_{40} &= + 0.0519 \\
 y_{40} &= - 0.0014 \pm 0.0029 \\
 \Delta \pi_{40} &= - 0.0001 \pm 0.0039 \\
 \varepsilon_{40} &= \pm 0.0225 \\
 \varepsilon_{40} \cos \delta &= \pm 0.0175
 \end{aligned}$$

Sternpaar 41.

48—47.

1910								
1	März 3	^m 2 ^s 20.897	^m 2 ^s 20.838	1.0	$x_{41} - 1.83 y_{41} + 0.87 \Delta \pi_{41} = + 7$	- 43	- 51	
2	7	904	842	1.0	$- 1.82 + 0.90 = + 11$	- 39	- 46	
3	8	910	848	1.0	$- 1.82 + 0.91 = + 17$	- 33	- 39	
4	10	992	920	1.0	$- 1.81 + 0.92 = + 89$	+ 39	+ 46	
5	11	964	893	1.0	$- 1.81 + 0.93 = + 62$	+ 12	+ 14	
6	12	21.006	931	1.0	$- 1.81 + 0.93 = + 100$	+ 50	+ 59	
7	20	20.996	917	1.0	$- 1.79 + 0.97 = + 86$	+ 86	+ 42	
8	23	945	866	1.0	$- 1.78 + 0.98 = + 35$	- 15	- 18	
9	24	21.003	928	1.0	$- 1.77 + 0.98 = + 92$	+ 42	+ 49	
10	25	20.933	854	1.0	$- 1.77 + 0.99 = + 23$	- 27	- 32	
11	Okt. 16	920	889	1.0	$- 1.21 - 0.97 = + 58$	+ 2	+ 2	
12	28	927	898	1.0	$- 1.18 - 0.90 = + 67$	+ 11	+ 13	

Nr.	Datum	$\Delta\alpha$ app.	$\Delta\alpha$ 1912.0	Gew.	Bedingungsgleichung	$v_s \sqrt{p}$	$v_n \sqrt{p}$	Bemerkungen
1911								
13	Febr. 13	^{m s} 2 20.926	^{m s} 2 20.894	1.0	$x_{41} - 0.88 \quad y_{41} + 0.67 \quad \Delta\pi_{41} = +$	+ 63	+ 13	schwach
14	14	926	893	1.0	- 0.88 + 0.68	= + 62	+ 12	
15	26	877	843	1.0	- 0.84 + 0.82	= + 12	- 37	
16	27	894	860	1.0	- 0.84 + 0.83	= + 29	- 20	
17	28	913	879	1.0	- 0.84 + 0.84	= + 48	- 1	
18	März 7	913	876	0.5	- 0.82 + 0.90	= + 45	- 3	
19	8	925	888	1.0	- 0.82 + 0.91	= + 57	+ 8	
20	9	913	876	1.0	- 0.81 + 0.91	= + 45	- 4	
21	11	930	893	1.0	- 0.81 + 0.93	= + 62	+ 13	
22	13	965	928	1.0	- 0.80 + 0.94	= + 97	+ 48	
23	19	882	842	1.0	- 0.79 + 0.97	= + 11	- 38	
24	21	910	870	1.0	- 0.78 + 0.97	= + 39	- 10	
25	27	870	831	1.0	- 0.76 + 0.99	= 0	- 49	
26	Okt. 5	884	884	1.0	- 0.24 - 0.99	= + 53	- 2	
27	17	841	845	1.0	- 0.21 - 0.97	= + 14	- 41	
28	18	890	894	1.0	- 0.20 - 0.96	= + 63	+ 8	
29	19	922	928	1.0	- 0.20 - 0.96	= + 97	+ 42	
30	26	903	911	1.0	- 0.18 - 0.92	= + 80	+ 26	
31	Nov. 7	860	867	1.0	- 0.15 - 0.82	= + 36	- 18	
32	8	885	891	1.0	- 0.15 - 0.81	= + 60	+ 6	
33	17	856	868	1.0	- 0.12 - 0.71	= + 37	- 17	
34	25	910	920	1.0	- 0.10 - 0.61	= + 89	+ 36	
1912								
35	Febr. 29	868	868	1.0	+ 0.16 + 0.85	= + 37	- 11	ganz schwach schwach verfehlt
36	März 3	863	865	0.5	+ 0.17 + 0.87	= + 34	- 10	
37	7	899	898	0.5	+ 0.18 + 0.90	= + 67	+ 13	
38	8	848	845	1.0	+ 0.18 + 0.91	= + 14	- 84	
39	10	805	800	0	+ 0.19 + 0.92	= - 31		
40	20	891	881	1.0	+ 0.22 + 0.97	= + 50	+ 8	
41	22	897	888	1.0	+ 0.22 + 0.97	= + 57	+ 10	
42	24	910	901	1.0	+ 0.23 + 0.99	= + 70	+ 23	
43	Okt. 6	852	887	1.0	+ 0.76 - 0.99	= + 56	+ 3	
44	22	801	841	1.0	+ 0.81 - 0.94	= + 10	- 43	
1913								
45	Febr. 18	878	910	1.0	+ 1.13 + 0.74	= + 79	+ 32	47 : unsicher, 40 K. unruhig, 40 K
46	22	885	917	1.0	+ 1.14 + 0.78	= + 86	+ 39	
47	25	870	902	1.0	+ 1.15 + 0.81	= + 71	+ 24	
48	26	840	871	1.0	+ 1.16 + 0.82	= + 40	- 7	
49	März 6	841	872	1.0	+ 1.18 + 0.89	= + 41	- 5	
50	10	858	884	1.0	+ 1.19 + 0.92	= + 53	+ 7	
51	15	813	839	1.0	+ 1.20 + 0.95	= + 8	- 88	
52	Okt. 11	815	880	1.0	+ 1.78 - 0.99	= + 49	- 3	
53	13	806	878	1.0	+ 1.78 - 0.98	= + 42	- 10	
54	15	789	853	1.0	+ 1.79 - 0.97	= + 22	- 30	
55	16	803	868	1.0	+ 1.79 - 0.97	= + 37	- 15	
56	20	833	902	1.0	+ 1.80 - 0.95	= + 71	+ 19	
57	21	778	846	1.0	+ 1.81 - 0.95	= + 15	- 37	
58	22	851	920	1.0	+ 1.81 - 0.94	= + 89	+ 37	
59	27	805	875	1.0	+ 1.82 - 0.91	= + 44	- 8	
60	30	817	859	1.0	+ 1.83 - 0.89	= + 58	+ 6	
61	Nov. 2	841	914	1.0	+ 1.84 - 0.86	= + 83	+ 31	
62	3	807	880	1.0	+ 1.84 - 0.85	= + 49	- 3	

$$\begin{aligned}
 x_{41} &= + 0.0510 \\
 y_{41} &= - 0.0013 \pm 0.0033 \\
 \Delta\pi_{41} &= - 0.0035 \pm 0.0046
 \end{aligned}$$

$$\begin{aligned}
 \varepsilon_{41} &= \pm 0.0272 \\
 \varepsilon_{41} \cos \delta &= \pm 0.0213
 \end{aligned}$$

Sternpaar 42.

49-47.

Nr.	Datum	$\Delta\alpha$ app.	$\Delta\alpha$ 1912.0	Gew.	Bedingungsgleichung	$v_x \sqrt{p}$	$v_y \sqrt{p}$	Bemerkungen
	1910	^m ^s	^m ^s					
1	März 3	5 11.971	5 11.894	1.0	$x_{42} - 1.83 y_{42} + 0.87 \Delta n_{42} = + 76$	+ 5	+ 6	
2	7	956	874	1.0	$- 1.82 + 0.90 = + 56$	- 15	- 18	
3	8	969	887	1.0	$- 1.82 + 0.90 = + 60$	- 2	- 2	
4	10	999	908	1.0	$- 1.81 + 0.92 = + 90$	+ 19	+ 22	
5	12	12.016	924	1.0	$- 1.81 + 0.93 = + 106$	+ 35	+ 41	
6	20	099	942	1.0	$- 1.79 + 0.97 = + 124$	+ 53	+ 62	
7	23	11.942	846	1.0	$- 1.77 + 0.98 = + 28$	- 43	- 51	
8	24	12.005	908	1.0	$- 1.77 + 0.98 = + 90$	+ 19	+ 22	
9	25	11.976	879	1.0	$- 1.77 + 0.99 = + 61$	- 10	- 12	
10	Okt. 16	898	888	1.0	$- 1.21 - 0.97 = + 70$	- 1	- 1	
11	28	872	864	1.0	$- 1.18 - 0.90 = + 46$	- 25	- 29	
	1911							
12	Febr. 13	930	881	1.0	$- 0.88 + 0.67 = + 63$	- 6	- 7	
13	14	999	949	1.0	$- 0.88 + 0.68 = + 131$	+ 62	+ 73	
14	26	876	821	1.0	$- 0.81 + 0.82 = + 3$	- 65	- 76	
15	27	936	882	1.0	$- 0.94 + 0.83 = + 64$	- 4	- 5	
16	28	933	878	1.0	$- 0.84 + 0.84 = + 60$	- 8	- 9	
17	März 7	12.030	972	0	$- 0.82 + 0.90 = + 154$			schwach, zweifelhaft
18	9	11.939	881	1.0	$- 0.81 + 0.91 = + 63$	- 5	- 6	
19	11	936	876	1.0	$- 0.81 + 0.93 = + 58$	- 10	- 12	
20	13	916	855	0.5	$- 0.80 + 0.94 = + 37$	- 22	- 26	
21	19	941	877	1.0	$- 0.79 + 0.97 = + 59$	- 9	- 11	
22	21	963	901	1.0	$- 0.78 + 0.97 = + 83$	+ 15	+ 18	
23	Okt. 17	838	857	1.0	$- 0.21 - 0.97 = + 39$	- 30	- 35	47: 40 K.
24	18	888	907	1.0	$- 0.20 - 0.96 = + 89$	+ 20	+ 24	unsicher, 40 K.
25	19	898	917	1.0	$- 0.20 - 0.96 = + 99$	+ 30	+ 35	
26	26	885	907	1.0	$- 0.18 - 0.92 = + 89$	+ 20	+ 24	
27	Nov. 7	841	860	1.0	$- 0.15 - 0.82 = + 42$	- 26	- 31	47: unsicher, 40 K.
28	8	841	857	1.0	$- 0.15 - 0.81 = + 39$	- 29	- 34	
29	17	881	903	1.0	$- 0.12 - 0.71 = + 85$	+ 17	+ 20	
30	25	910	928	1.0	$- 0.10 - 0.61 = + 110$	+ 42	+ 49	
	1912							
31	Febr. 29	909	886	1.0	$+ 0.16 + 0.85 = + 68$	+ 3	+ 4	
32	März 3	898	875	0.5	$+ 0.17 + 0.87 = + 57$	- 6	- 7	schwach
33	7	923	896	0.5	$+ 0.18 + 0.90 = + 78$	+ 9	+ 11	49: schwach
34	8	859	831	1.0	$+ 0.18 + 0.91 = + 13$	- 52	- 61	
35	10	849	818	1.0	$+ 0.19 + 0.92 = 0$	- 65	- 76	
36	20	929	894	1.0	$+ 0.22 + 0.97 = + 76$	+ 11	+ 13	
37	24	939	903	1.0	$+ 0.23 + 0.98 = + 85$	+ 20	+ 24	
38	Okt. 5	858	903	1.0	$+ 0.76 - 0.99 = + 85$	+ 19	+ 22	
39	6	814	865	1.0	$+ 0.76 - 0.99 = + 47$	- 19	- 22	
40	22	801	855	1.0	$+ 0.81 - 0.94 = + 37$	- 29	- 34	
	1913							
41	Febr. 18	884	892	1.0	$+ 1.13 + 0.74 = + 74$	+ 11	+ 13	
42	22	922	930	1.0	$+ 1.14 + 0.78 = + 112$	+ 49	+ 58	
43	25	895	901	1.0	$+ 1.15 + 0.81 = + 83$	+ 20	+ 24	
44	26	863	868	1.0	$+ 1.16 + 0.82 = + 50$	- 13	- 15	
45	März 6	882	888	1.0	$+ 1.18 + 0.89 = + 70$	+ 7	+ 8	
46	10	857	857	1.0	$+ 1.19 + 0.92 = + 39$	- 24	- 28	
47	15	897	893	1.0	$+ 1.20 + 0.95 = + 75$	+ 13	+ 15	47: unruhig, 40 K.
48	Okt. 11	804	879	1.0	$+ 1.78 - 0.99 = + 61$	- 2	- 2	
49	13	779	857	1.0	$+ 1.78 - 0.98 = + 39$	- 24	- 28	
50	15	781	857	1.0	$+ 1.79 - 0.97 = + 39$	- 24	- 28	
51	16	800	877	1.0	$+ 1.79 - 0.97 = + 59$	- 4	- 5	
52	20	833	913	1.0	$+ 1.80 - 0.95 = + 95$	+ 32	+ 38	
53	21	786	864	1.0	$+ 1.81 - 0.95 = + 46$	- 17	- 20	47: unsicher, 40 K.
54	22	849	928	1.0	$+ 1.81 - 0.94 = + 110$	+ 47	+ 55	unruhig, 40 K.

Nr.	Datum	$\Delta \alpha$ app.	$\Delta \alpha$ 1912.0	Gew.	Bedingungsgleichung	$v_x \sqrt{p}$	$v_y \sqrt{p}$	Bemerkungen
55	1913 Okt. 27	^m 5 ^s 11.788	^m 5 ^s 11.868	1.0	$x_{42} + 1.82 y_{42} - 0.91 \Delta \pi_{42} = + 50$	- 13	- 15	
56	30	820	901	1.0	$+ 1.83 - 0.89 = + 88$	+ 20	+ 24	
57	Nov. 2	812	894	1.0	$+ 1.84 - 0.86 = + 76$	+ 13	+ 15	
58	3	780	861	1.0	$+ 1.84 - 0.85 = + 43$	- 20	- 24	

$$\begin{aligned}
 x_{42} &= + 0.0669 \\
 y_{42} &= - 0.0028 \pm 0.0036 \\
 \Delta \pi_{42} &= - 0.0012 \pm 0.0049 \\
 \varepsilon_{42} &= \pm 0.0282 \\
 \varepsilon_{42} \cos \delta &= \pm 0.0222
 \end{aligned}$$

Sternpaar 43.

51-50.

1	1910 März 3	^m 2 ^s 59.410	^m 2 ^s 59.398	1.0	$x_{48} - 1.83 y_{48} - 0.80 \Delta \pi_{48} = + 72$	+ 5	+ 4	50 sehr schwach
2	11	360	361	0.5	$- 1.81 - 0.88 = + 35$	- 22	- 19	
3	20	406	410	1.0	$- 1.79 - 0.94 = + 84$	+ 19	+ 16	
4	23	392	396	1.0	$- 1.78 - 0.95 = + 70$	+ 5	+ 4	
5	24	376	380	1.0	$- 1.77 - 0.96 = + 54$	- 11	- 9	
6	25	405	410	1.0	$- 1.77 - 0.96 = + 84$	+ 19	+ 16	
7	26	397	402	1.0	$- 1.77 - 0.97 = + 76$	+ 11	+ 9	
8	27	403	408	1.0	$- 1.77 - 0.97 = + 82$	+ 17	+ 15	
9	Okt. 16	310	369	1.0	$- 1.21 + 0.98 = + 43$	- 38	- 33	nur geahnt unsicher, 40 K.
10	17	824	383	1.0	$- 1.21 + 0.98 = + 57$	- 24	- 21	
11	1911 Febr. 13	420	392	1.0	$- 0.88 - 0.61 = + 66$	+ 1	+ 1	
12	26	400	368	1.0	$- 0.84 - 0.75 = + 42$	- 22	- 19	
13	27	356	326	1.0	$- 0.84 - 0.76 = 0$	- 64	- 55	
14	28	397	367	1.0	$- 0.84 - 0.77 = + 41$	- 23	- 20	
15	März 7	341	310	0	$- 0.82 - 0.85 = - 16$	+ 3	+ 3	
16	9	423	392	1.0	$- 0.81 - 0.86 = + 66$	+ 50	+ 43	
17	11	471	439	1.0	$- 0.81 - 0.87 = + 113$	+ 39	+ 33	50: schwach, 40 K. W.
18	13	383	350	1.0	$- 0.80 - 0.59 = + 24$	- 9	- 8	
19	18	412	379	1.0	$- 0.79 - 0.92 = + 53$	+ 15	+ 13	
20	19	435	403	1.0	$- 0.79 - 0.93 = + 77$	+ 31	+ 27	
21	21	449	419	1.0	$- 0.78 - 0.94 = + 93$	+ 45	+ 39	
22	27	464	433	1.0	$- 0.76 - 0.97 = + 107$	+ 6	+ 5	
23	28	427	394	1.0	$- 0.76 - 0.97 = + 68$	+ 25	+ 21	
24	Okt. 11	402	429	1.0	$- 0.22 + 0.99 = + 103$	- 56	- 48	50: schwach, 40 K. unruhig, 40 K.
25	17	326	348	1.0	$- 0.21 + 0.98 = + 22$	+ 6	+ 5	
26	18	391	410	1.0	$- 0.20 + 0.98 = + 84$	- 19	- 16	
27	19	366	385	1.0	$- 0.20 + 0.98 = + 59$	+ 1	+ 1	
28	26	891	405	1.0	$- 0.18 + 0.95 = + 79$	+ 30	+ 26	
29	Nov. 7	421	433	1.0	$- 0.15 + 0.87 = + 107$	+ 38	+ 33	
30	8	432	441	1.0	$- 0.15 + 0.86 = + 115$	+ 16	+ 14	
31	17	416	418	1.0	$- 0.12 + 0.78 = + 92$	+ 46	+ 39	
32	25	451	447	1.0	$- 0.10 + 0.61 = + 121$	- 20	- 17	50: schwach, 40 K. unruhig, 40 K.
33	1912 Febr. 29	428	367	1.0	$+ 0.16 - 0.78 = + 41$	- 26	- 22	
34	März 3	424	361	1.0	$+ 0.17 - 0.81 = + 35$	- 11	- 9	
35	5	434	375	1.0	$+ 0.18 - 0.83 = + 49$	- 24	- 21	
36	6	423	362	1.0	$+ 0.18 - 0.84 = + 36$	- 44	- 38	
37	8	402	342	1.0	$+ 0.18 - 0.86 = + 16$	+ 10	+ 9	
38	10	454	396	1.0	$+ 0.19 - 0.87 = + 70$	+ 6	+ 5	
39	20	448	391	1.0	$+ 0.22 - 0.94 = + 65$	- 5	- 4	
40	24	436	380	1.0	$+ 0.23 - 0.96 = + 54$	+ 21	+ 18	
41	28	461	406	1.0	$+ 0.24 - 0.97 = + 80$			

Nr.	Datum	$\Delta\alpha$ app.	$\Delta\alpha$ 1912.0	Gew.	Bedingungsgleichung	$v_s V_p$	$v_n V_p$	Bemerkungen
42	1912 März 29	^{m s} 2 59.405	^{m s} 2 59.350	1.0	$x_{43} + 0.24 y_{43} - 0.98 \Delta\pi_{43} = + 24$	- 35	- 30	
43	Okt. 22	436	431	1.0	+ 0.81 + 0.96 = + 105	+ 30	+ 26	
44	25	426	419	1.0	+ 0.82 + 0.95 = + 93	+ 18	+ 15	
45	1913 Febr. 18	457	378	1.0	+ 1.13 - 0.66 = + 52	- 7	- 6	
46	21	432	351	1.0	+ 1.14 - 0.69 = + 25	- 34	- 29	
47	22	485	404	1.0	+ 1.14 - 0.71 = + 78	+ 19	+ 16	
48	25	493	412	0.5	+ 1.15 - 0.74 = + 86	+ 20	+ 17	schwach
49	26	503	422	1.0	+ 1.16 - 0.75 = + 96	+ 38	+ 33	
50	März 6	453	371	1.0	+ 1.18 - 0.83 = + 45	- 12	- 10	
51	7	473	389	1.0	+ 1.18 - 0.84 = + 63	+ 6	+ 5	
52	8	480	397	1.0	+ 1.18 - 0.85 = + 71	+ 14	+ 12	
53	10	464	384	1.0	+ 1.19 - 0.87 = + 58	+ 1	+ 1	
54	15	485	402	1.0	+ 1.20 - 0.91 = + 76	+ 20	+ 17	
55	Okt. 11	403	384	1.0	+ 1.78 + 0.99 = + 58	- 14	- 12	W., 40 K.
56	13	440	421	1.0	+ 1.78 + 0.99 = + 95	+ 23	+ 20	
57	15	445	426	1.0	+ 1.79 + 0.98 = + 100	+ 28	+ 24	51: verwaschen, 40 K.
58	16	461	441	1.0	+ 1.79 + 0.98 = + 115	+ 43	+ 37	W.
59	20	403	377	1.0	+ 1.80 + 0.97 = + 51	- 21	- 18	
60	21	887	361	1.0	+ 1.81 + 0.97 = + 85	- 37	- 32	
61	22	411	384	1.0	+ 1.81 + 0.97 = + 58	- 14	- 12	
62	27	371	342	1.0	+ 1.82 + 0.94 = + 16	- 56	- 48	
63	30	437	404	1.0	+ 1.83 + 0.93 = + 78	+ 6	+ 5	
64	Nov. 2	457	421	1.0	+ 1.84 + 0.91 = + 95	+ 23	+ 20	51: verwaschen
65	3	453	417	1.0	+ 1.84 + 0.90 = + 91	+ 20	+ 17	
66	5	392	356	1.0	+ 1.85 + 0.89 = + 30	- 41	- 35	

$$\begin{aligned}
 x_{43} &= + 0.0686 \\
 y_{43} &= - 0.0030 \pm 0.0033 \\
 \Delta\pi_{43} &= + 0.0093 \pm 0.0044 \\
 \epsilon_{43} &= \pm 0.0275 \\
 \epsilon_{43} \cos \delta &= \pm 0.0157
 \end{aligned}$$

Sternpaar 44.

52—51.

1	1910 März 3	^{m s} 3 18.384	^{m s} 3 18.353	1.0	$x_{44} - 1.83 y_{44} + 0.80 \Delta\pi_{44} = + 67$	+ 13	+ 11	
2	7	404	373	1.0	- 1.82 + 0.84 = + 87	+ 33	+ 28	
3	8	371	339	1.0	- 1.82 + 0.85 = + 53	- 1	- 1	
4	10	400	376	1.0	- 1.81 + 0.87 = + 90	+ 36	+ 31	
5	11	429	407	1.0	- 1.81 + 0.88 = + 121	+ 67	+ 57	
6	20	340	318	1.0	- 1.79 + 0.94 = + 32	- 22	- 19	52: unsicher, 40 K.
7	23	373	351	1.0	- 1.78 + 0.95 = + 65	+ 10	+ 8	
8	24	307	286	1.0	- 1.77 + 0.96 = 0	- 55	- 47	
9	25	344	322	1.0	- 1.77 + 0.96 = + 36	- 19	- 16	
10	26	313	292	1.0	- 1.77 + 0.97 = + 6	- 49	- 42	
11	27	396	375	1.0	- 1.77 + 0.97 = + 89	+ 34	+ 29	
12	Okt. 16	311	354	1.0	- 1.21 - 0.98 = + 68	+ 15	+ 13	
13	17	325	369	1.0	- 1.21 - 0.98 = + 83	+ 30	+ 25	
14	28	299	338	1.0	- 1.18 - 0.94 = + 52	- 1	- 1	
15	1911 Febr. 13	363	327	1.0	- 0.88 + 0.61 = + 41	- 16	- 14	
16	26	365	325	1.0	- 0.84 + 0.75 = + 39	- 8	- 7	
17	27	362	323	1.0	- 0.84 + 0.76 = + 37	- 20	- 17	
18	28	339	300	1.0	- 0.84 + 0.77 = + 14	- 43	- 36	
19	März 7	445	405	0.5	- 0.82 + 0.84 = + 119	+ 43	+ 36	schwach, unsicher
20	9	335	294	1.0	- 0.81 + 0.86 = + 8	- 49	- 42	

Nr.	Datum	$\Delta\alpha$ app.	$\Delta\alpha$ 1912.0	Gew.	Bedingungsgleichung	$v_s \sqrt{p}$	$v_n \sqrt{p}$	Bemerkungen
1911								
21	März 11	^m 3 ^s 18.375	^m 3 ^s 18.333	0.5	$x_{44} - 0.81 y_{44} + 0.87 \Delta\pi_{44} = + 47$	- 7	- 6	unsicher
22	13	892	349	0.5	$- 0.80 + 0.89 = + 63$	+ 4	+ 3	52 : schwach
23	18	323	286	1.0	$- 0.79 + 0.92 = 0$	- 57	- 48	
24	19	382	340	1.0	$- 0.79 + 0.93 = + 54$	- 3	- 3	
25	21	396	355	1.0	$- 0.78 + 0.94 = + 71$	+ 13	+ 11	
26	27	457	413	1.0	$- 0.76 + 0.97 = + 127$	+ 69	+ 59	unsicher, 40 K.
27	28	360	315	1.0	$- 0.76 + 0.97 = + 29$	- 29	- 25	
28	Okt. 11	308	333	1.0	$- 0.22 - 0.99 = + 47$	- 9	- 8	
29	17	287	309	1.0	$- 0.21 - 0.98 = + 23$	- 33	- 28	
30	18	371	392	1.0	$- 0.20 - 0.98 = + 106$	+ 50	+ 42	
31	19	336	357	1.0	$- 0.20 - 0.98 = + 71$	+ 15	+ 13	
32	26	317	333	1.0	$- 0.18 - 0.95 = + 47$	- 9	- 8	
33	Nov. 7	341	354	1.0	$- 0.15 - 0.87 = + 68$	+ 12	+ 10	
34	8	274	287	1.0	$- 0.15 - 0.86 = + 1$	- 55	- 47	
35	17	543	350	1.0	$- 0.12 - 0.78 = + 64$	+ 7	+ 6	52 : schwach, 40 K.
1912								
36	Febr. 29	374	319	1.0	$+ 0.16 + 0.78 = + 33$	- 27	- 23	
37	März 3	406	349	1.0	$+ 0.17 + 0.81 = + 63$	+ 3	+ 3	
38	5	440	385	1.0	$+ 0.18 + 0.83 = + 99$	+ 39	+ 33	
39	6	398	341	1.0	$+ 0.18 + 0.84 = + 55$	- 5	- 4	
40	8	423	368	1.0	$+ 0.18 + 0.86 = + 82$	+ 22	+ 19	
41	10	401	347	1.0	$+ 0.19 + 0.87 = + 61$	+ 1	+ 1	
42	20	433	379	1.0	$+ 0.22 + 0.94 = + 93$	+ 32	+ 27	
43	24	407	354	1.0	$+ 0.23 + 0.96 = + 68$	+ 7	+ 6	
44	28	398	345	1.0	$+ 0.24 + 0.97 = + 59$	- 2	- 2	
45	29	361	308	1.0	$+ 0.24 + 0.98 = + 22$	- 39	- 33	
46	Okt. 22	328	337	1.0	$+ 0.81 - 0.96 = + 51$	- 8	- 7	
47	25	343	351	1.0	$+ 0.82 - 0.95 = + 65$	+ 6	+ 5	
1913								
48	Febr. 18	421	362	1.0	$+ 1.13 + 0.66 = + 76$	+ 13	+ 11	
49	21	425	364	1.0	$+ 1.14 + 0.69 = + 78$	+ 15	+ 13	
50	22	385	324	1.0	$+ 1.14 + 0.71 = + 38$	- 25	- 21	52 : unruhig, 40. K
51	25	373	312	0.5	$+ 1.15 + 0.74 = + 26$	- 26	- 22	schwach
52	26	386	325	1.0	$+ 1.16 + 0.75 = + 39$	- 24	- 20	
53	März 6	470	407	0.5	$+ 1.18 + 0.83 = + 121$	+ 41	+ 35	52 : schwach
54	7	462	397	1.0	$+ 1.18 + 0.84 = + 111$	+ 48	+ 41	
55	8	420	355	1.0	$+ 1.18 + 0.85 = + 69$	+ 6	+ 5	
56	10	399	337	1.0	$+ 1.19 + 0.87 = + 51$	- 12	- 10	
57	15	434	369	1.0	$+ 1.20 + 0.91 = + 83$	+ 20	+ 17	
58	Okt. 11	356	360	1.0	$+ 1.78 - 0.99 = + 74$	+ 12	+ 10	51 : W., unr., 40 K.
59	13	363	367	1.0	$+ 1.78 - 0.99 = + 81$	+ 19	+ 16	
60	15	361	367	1.0	$+ 1.79 - 0.98 = + 81$	+ 19	+ 16	51 : verwasch., 40 K.
61	16	362	367	1.0	$+ 1.79 - 0.98 = + 81$	+ 19	+ 16	W.
62	20	342	343	1.0	$+ 1.80 - 0.97 = + 57$	- 5	- 4	
63	21	308	308	1.0	$+ 1.81 - 0.97 = + 22$	- 40	- 34	verwaschen, 40 K.
64	22	351	350	1.0	$+ 1.81 - 0.97 = + 64$	+ 2	+ 2	
65	27	373	371	1.0	$+ 1.82 - 0.94 = + 85$	+ 23	+ 20	
66	30	291	287	1.0	$+ 1.83 - 0.93 = + 1$	- 61	- 52	
67	Nov. 2	348	342	1.0	$+ 1.84 - 0.91 = + 56$	- 6	- 5	
68	3	359	353	1.0	$+ 1.84 - 0.90 = + 67$	+ 5	+ 4	
69	5	353	347	1.0	$+ 1.85 - 0.89 = + 61$	- 1	- 1	52 : schwach, 40 K.

$$\begin{aligned}
 x_{44} &= + 0.0584 \\
 y_{44} &= + 0.0030 \pm 0.0034 \\
 \Delta\pi_{44} &= + 0.0016 \pm 0.0048
 \end{aligned}$$

$$\begin{aligned}
 \varepsilon_{44} &= \pm 0.0304 \\
 \varepsilon_{44} \cos \delta &= \pm 0.0172
 \end{aligned}$$

IV. Die Resultate.

§ 1. Die mittleren Fehler.

Die m. F. einer Beobachtung, welche im folgenden nochmals zusammengefaßt gegeben sind, fallen sehr verschieden aus, sie liegen

Sternpaar	$\epsilon \cos \delta$	Sternpaar	$\epsilon \cos \delta$	Sternpaar	$\epsilon \cos \delta$
1	± 0.0153	16	± 0.0190	31	± 0.0157
2	± 0.0161	17	± 0.0169	32	± 0.0169
3	± 0.0189	18	± 0.0197	33	± 0.0126
4	± 0.0217	19	± 0.0215	34	± 0.0189
5	± 0.0204	20	± 0.0166	35	± 0.0171
6	± 0.0168	21	± 0.0189	36	± 0.0190
7	± 0.0179	22	± 0.0173	37	± 0.0184
8	± 0.0175	23	± 0.0210	38	± 0.0221
9	± 0.0188	24	± 0.0210	39	± 0.0230
10	± 0.0185	25	± 0.0182	40	± 0.0175
11	± 0.0187	26	± 0.0192	41	± 0.0213
12	± 0.0205	27	± 0.0172	42	± 0.0222
13	± 0.0210	28	± 0.0196	43	± 0.0157
14	± 0.0179	29	± 0.0198	44	± 0.0172
15	± 0.0199	30	± 0.0163		

zwischen ± 0.0126 und ± 0.0230 für die einzelnen Sternpaare. Ordnet man diese Größen zunächst nach der Deklination der Sterne, so ergibt sich ein Gang in dem Sinne, daß die Werte $\epsilon \cos \delta$ mit wachsender Deklination merklich geringer ausfallen, wie die folgende Aufstellung zeigt.

Deklin.	mittl. Dekl.	$\epsilon \cos \delta$	Anzahl	red. auf 50°
$38^\circ - 45^\circ$	41.2	± 0.0201	14	± 0.0188
$46 - 55$ (Zenit)	51.1	± 0.0184	21	± 0.0185
> 55	61.1	± 0.0170	9	± 0.0186
Mittelwerte:	50.0	$\pm 0.0186_3$	44	$\pm 0.0186_3$

Hier sind in der mittleren Kategorie auch die Sternpaare aufgenommen, welche zwar nördlich vom Zenit gelegen, aber bei Fußlage Süd beobachtet wurden. Diese Erscheinung des Ganges in den m. F. tritt bekanntlich auch bei anderen ähnlichen Vergleichen auf, sie dürfte hier zum Teil darauf zurückzuführen sein, daß mit wachsender Deklination die Beobachtungen der einzelnen Kontakte unabhängiger von einander werden. Um die Werte $\epsilon \cos \delta$ für weitere Betrachtungen vergleichbar zu machen, habe ich die absoluten Beträge im folgenden durch die Beziehung

$$\epsilon_{50^\circ} - \epsilon_i = + 0.00015 (i^\circ - 50^\circ)$$

auf die mittlere Deklination von 50.0 reduziert. In obiger Aufstellung sind die so erhaltenen Werte in Klammern beigelegt. Die Annäherung erscheint ausreichend, weil es sich fernerhin stets nur um geringere Differenzen gegen die mittlere Deklination handelt.

Will man aus dem Gesamtmittelwert der Fehler einer Differenz $\pm 0.0186^s \sec \delta$ den Fehler einer beobachteten Rektascension ableiten, so findet sich $\pm 0.0132 \sec \delta$, gegenüber $\pm 0.0142 \sec \delta$, welcher Fehler sich ergab für die Ortsbestimmungen an denselben Sternen. Vergleichende Schlüsse über die Genauigkeit der Beobachtungen läßt diese Gegenüberstellung nicht zu, weil die Ortsbestimmungen als weit weniger differenziell angelegt wie die Parallaxenbeobachtungen andere Einflüsse der Instrumentalfehler etc. wahrscheinlich machen, während letztere Beobachtungen, wie in Früherem dargetan ist, unter gewissen Zwangsbedingungen leiden.

Ordnet man jetzt die m. F. nach den Zwischenzeiten: „Hauptstern minus Vergleichstern“, so bietet sich folgendes Bild:

Zwischenzeit	mittl. Zw.-Zt.	mittl. Dekl.	$\epsilon \cos \delta$	Anzahl	red. auf 50° Dekl.
$< 2.5^m$	1.9^m	48.6°	$\pm 0.0184^s$	12	$\pm 0.0182^s$
$2.6 - 4.0$	3.1	49.7	0.0183	15	$\pm 0.0183^s$
> 4.0	5.3	51.4	0.0190	17	$\pm 0.0193^s$

Es zeigt sich also eine Zunahme des m. F. mit der Größe der Zwischenzeit, was jedenfalls dartut, daß es nicht empfehlenswert gewesen wäre, die Gruppen noch wesentlich auszudehnen. Allerdings haben noch andere Umstände besonders zur Erhöhung des letzten Wertes beigetragen. Wie zu erwarten war, ergibt sich eine erhebliche Vergrößerung des m. F. für die Sternpaare, bei welchen wegen der Kürze der Zwischenzeit vor ihrer Beobachtung die Kreis- und Uhrwerkeinstellungen etc. mit größerer Eile vorgenommen werden mußten. Hier ist zunächst das Sternpaar „8—7“ zu nennen, bei welchem die Zeit von 40^s zwischen den Sternen 6 und 7 nicht ausreichte, so daß selbst regelmäßig Kontakte geopfert werden mußten. Es überträgt sich die Unsicherheit sogar auf das vorhergehende Sternpaar „6—5“; das Gefühl, daß Eile nötig ist, hat sicher die Beobachtungen des Sterns 6 beeinflusst. Für einige andere Paare („37—35, 43—42, 47—42“) kommt neben einer größeren Änderung in der Einstellung des Uhrwerks noch der Wechsel der Fußlage hinzu; ohne eine gewisse Hast war mit der Zwischenzeit von 123^s resp. 137^s nicht auszukommen. Schließt man diese Paare von obiger Betrachtung aus, so sinkt der auf 50° Deklination reduzierte Wert für Sternpaare mit Zwischenzeiten $> 4.0^m$ von 0.0193 im absoluten Betrag auf 0.0187 und die Erhöhung gegenüber den andern Werten ist nur unwesentlich.

Eine Ordnung der Werte $\epsilon \cos \delta$ in der folgenden Aufstellung nach den Deklinationsdifferenzen zwischen den Sternen eines Paares

Dekl.-Differenz	mittl. Dekl.-Diff.	mittl. Dekl.	$\epsilon \cos \delta$	Anzahl	red. auf 50° Dekl.
$0^\circ - 15^\circ$	9°	49.1°	0.0184^s	16	0.0183^s
$16 - 30$	23	44.9	0.0195	8	0.0187
$31 - 60$	49	49.4	0.0190	6	0.0189
$61 - 120$	91	48.9	0.0186	5	0.0184
> 120	165	57.1	0.0180	9	0.0191

läßt nur eine geringe Änderung mit der Steigerung dieser Größen erkennen, was für die Richtigkeit der angewandten Instrumentalkonstanten im allgemeinen spricht.

Der Helligkeitsunterschied zwischen den einzelnen Sternen eines Paares ist von noch geringerem Einfluß auf den m. F., dagegen zeigt sich ein nicht unerheblicher Unterschied beim Vergleich der absoluten Helligkeiten der Paare. Man findet für die sechs hellsten Sternpaare (Kombinationen der Sterne 7 und 21) den m. F. ± 0.0189 , gegenüber ± 0.0177 als Fehler gewonnen aus den elf schwächsten Sternpaaren mit einer mittleren Helligkeit von 8.0^{Mg} und darunter, beide Werte für die Deklination

von 50° berechnet. Es ergibt sich daraus, daß in der Helligkeit der Sterne einige Zehntel Größenklassen hätte weiter gegangen werden können, ohne daß dadurch die Genauigkeit gelitten hätte.

Die Einwirkung der Witterungsverhältnisse auf die Güte der Beobachtungen läßt sich aus den übrigbleibenden Fehlern der Bedingungsgleichungen ableiten. Bildet man die Mittel der Werte $v_n\sqrt{p}$ in Kolumne 8 der Tabellen V für die einzelnen Beobachtungsperioden unter gleichzeitiger Mittelung der die Witterungsverhältnisse charakterisierenden Zahlen, so ergibt sich die folgende Übersicht:

Beobachtungs- Periode	F r ü h j a h r			Beobachtungs- Periode	H e r b s t		
	$v_n\sqrt{p}$	Anzahl	Luft		$v_n\sqrt{p}$	Anzahl	Luft
I	0.235	187	3.27	II	0.213	183	3.09
III	0.237	554	3.30	IV	0.230	424	2.77
V	0.219	281	2.97	VI	0.190	235	2.81
VII	0.205	441	3.28	VIII	0.218	489	2.88
	0.223 ₆	1453	3.23		0.215 ₄	1331	2.86

Zunächst findet sich, daß bei den Herbstbeobachtungen der Gesamteindruck durchweg der bessere ist, was auch in den übrigbleibenden Fehlern zum Ausdruck kommt. Es finden die Herbstbeobachtungen, welche zwar oft durch Nebel und Bewölkung Störung erlitten haben, in den Morgenstunden statt, also zu Zeiten, wo die Luftverhältnisse jedenfalls stabiler als in den Abendstunden sind; hinzu kommt, daß auch äußere Störungen und Unruhe abends eher zu befürchten sind. Gleicht man die obigen Werte nach den Luftverhältnissen aus unter Zuziehung einer Konstanten und einer Unbekannten mit linearen Faktoren, welche man eventuell als Wirkung der Übung auslegen kann, so findet sich für letztere die Größe der jährlichen Änderung zu -0.0069 ± 0.0052 , während einer Verschlechterung des Luftzustandes um die Einheit eine Zunahme in der absoluten Größe des übrigbleibenden Fehlers um $+0.0111 \pm 0.0283$ entspricht. Man sieht, den ersten Wert betreffend, daß das Beobachten mit dem Uhrwerkmikrometer durchaus auch Sache der Übung ist; die Größe der übrigbleibenden Fehler verringert sich in den circa vier Jahren um ungefähr 0.03. Entsprechend den nur wenig von einander verschiedenen Ziffern für die Luftverhältnisse der einzelnen Perioden geht der Wert für die Änderung derselben mit sehr geringem Gewicht aus der Ausgleichung hervor. Es sind daher, um diese Änderung noch sicherer nachzuweisen, im folgenden die Größen $v_n\sqrt{p}$ einer Anzahl von Tagen, zwei, nur in einem Falle drei jeder Periode, welche größere Unterschiede im Luftzustand aufweisen, zusammengestellt. Die Auswahl erfolgte willkürlich, jedoch mit dem Vorbehalt, daß Tage mit mäßigem Gang des Uhrwerks oder Störungen im Chronographen ausschieden, um die Wirkung der Witterungsverhältnisse reiner zum Ausdruck zu bringen.

Datum	Luft	$v_n\sqrt{p}$	Sternpaare	Datum	Luft	$v_n\sqrt{p}$	Sternpaare
1910 März 12, 23	2.5	± 0.210	18	März 11	4.0	± 0.261	26
10 Okt. 17	2.5	239	37	Okt. 16	3.7	234	30
11 Febr. 26	2.0	260	36	Febr. 14	4.5	278	33
11 Okt. 11	1.5	241	39	Okt. 17	3.5	247	43
12 März 10	2.0	201	28	Febr. 10	3.5	273	24
12 Okt. 6	2.0	210	38	Okt. 22	3.0	173	41
13 Febr. 12	2.5	180	29	Febr. 26	3.5	240	22
13 Okt. 20	1.5	219	36	Sept. 26	4.0	243	36
Mittel ohne Gew.:	2.06	0.220	261		3.72	0.240	255

Die Änderung der Fehler mit dem Luftzustand prägt sich hier in gleicher Weise aus, sie beträgt $+0.0125$ für die Einheit der Bezifferung, gegenüber dem oben gefundenen Wert $+0.0111$. Eine Gewichtsverteilung dem Luftzustande entsprechend würde also die Darstellung der Beobachtungen zu verbessern imstande sein.

Die Betrachtung der übrigbleibenden Fehler in bezug auf die Häufigkeit des Zeichenwechsels kann im allgemeinen befriedigen. Längere Folgen von gleichen Vorzeichen treten in einigen Fällen auf und zwar ohne Ansehung der Perioden bis zu elf gleichen Vorzeichen in zwei Fällen (Sternpaare 19 und 22), innerhalb der Perioden bis zu neun in einem Falle (Sternpaar 22). Bedenklich für die Sicherheit der Resultate werden derartige Zeichenfolgen erst, wenn sie bei den Beobachtungen eines Paares mehrfach auftreten, so daß die Kriterien des Zufalls für ihre Deutung unwahrscheinlich werden. Solche Häufungen von Vorzeichenfolgen treten jedoch nicht auf; im Gegenteil steht einer längeren Folge meist ein lebhafterer Zeichenwechsel bei den übrigen Beobachtungen gegenüber. Im ganzen fanden unter 1000 Zeichenwechseln statt:

500 nach je 1 Beobachtung				
267	"	"	2	"
124	"	"	3	"
54	"	"	4	"
30	"	"	5	"
13	"	"	6	"
8	"	"	7	"
4	"	"	mehr als 7 Beobachtungen.	

Erwähnt sei, daß die Sternpaare mit Doppelsternen in keinem Falle Bemerkenswertes in bezug auf die Verteilung der übrigbleibenden Fehler zeigen; auf einige andere Fehlerverhältnisse wird noch bei der weiteren Erörterung der Resultate zurückzukommen sein.

Schließlich habe ich noch die übrigbleibenden Fehler aller als erste eines Beobachtungstages registrierten Sternpaare zusammengestellt; in der Regel gingen den Parallaxensternen die Beobachtung einiger Zeitsterne oder anderer Objekte voraus, um die gewünschte Fühlung mit dem Instrument zu gewinnen. In 56 Fällen mußte direkt mit Programmsternen begonnen werden; es zeigen diese „ersten“ Beobachtungen durchaus nichts Bemerkenswertes weder dem Vorzeichen noch der absoluten Größe der übrigbleibenden Fehler nach.

§ 2. Das Zeitglied.

In die Bedingungsgleichungen wurden neben der Unbekannten mit Faktoren der jährlichen Parallaxe und einer Konstanten, welche nicht weiter interessiert, weil die Beobachtungen nicht der Rektascensionsbestimmung dienen sollten, eine dritte Unbekannte mit linearen Faktoren gesetzt zur Eliminierung von Unsicherheiten in den angewandten E. B. In diesem Zweck liegt die Notwendigkeit der Einführung der mit y bezeichneten Unbekannten begründet, die darüber hinaus als wichtiges Kriterium für das Vorhandensein systematisch mit der Zeit fortschreitender Änderungen in den Rektascensionsdifferenzen überhaupt dient. Es ist von mir schon an anderer Stelle¹⁾ gesagt worden, daß jede Parallaxe Bedenken erregen muß, bei welcher das lineare Glied der Ausgleichung eine Größe annimmt, welche mit anderweitiger Kenntnis der E. B. der betreffenden Sterne unvereinbar ist. Solche größeren Änderungen in der Auffassung der Sternbilder lassen auch auf das Vorhandensein von Schwankungen nach anderen, zunächst unbekannten Gesetzmäßigkeiten schließen; ich nenne nur

¹⁾ Veröffentlichungen der Großh. Sternwarte zu Heidelberg, IV. Band.

Änderungen mit der Temperatur, mit der Jahreszeit überhaupt; Änderungen, welche an sich nicht unwahrscheinlich sind, welche aber wegen Kollision mit den parallaktischen Faktoren weniger leicht zur Elimination kommen.

In der folgenden Tabelle VI sind die Werte $y \cos \delta$ mit ihren m. F. und den Helligkeitsdifferenzen der Sternpaare zusammengestellt.

Tabelle VI.

Sternpaar	Sterne	$y \cos \delta$	$\epsilon_y \cos \delta$	ΔMg	Sternpaar	Sterne	$y \cos \delta$	$\epsilon_y \cos \delta$	ΔMg
1	2—1	+0.0001	± 0.0022	-0.8	23	29—28	-0.0041	± 0.0028	+0.2
2	3—2	-0.0006	21	+0.9	24	31—29	+0.0009	28	-1.0
3	5—4	+0.0039	23	+0.1	25	30—28	-0.0021	24	+0.2
4	6—5	-0.0029	29	+0.3	26	31—30	-0.0037	24	-1.0
5	8—7	+0.0017	31	-0.5	27	33—32	-0.0042	22	-1.1
6	9—8	+0.0029	23	+0.5	28	34—33	-0.0020	24	+1.0
7	11—10	+0.0062	23	-0.6	29	37—35	+0.0006	26	+0.5
8	12—11	+0.0005	21	+0.5	30	37—36	+0.0026	20	-0.2
9	14—13	+0.0047	23	+0.2	31	38—37	+0.0053	20	0.0
10	15—14	-0.0007	23	+0.2	32	39—37	-0.0011	21	-0.1
11	16—14	+0.0005	24	-0.2	33	40—38	-0.0034	17	+0.2
12	17—15	-0.0028	26	-3.3	34	40—39	+0.0013	25	+0.3
13	17—16	-0.0055	27	-2.9	35	41—40	+0.0044	22	-0.4
14	18—17	-0.0017	21	+1.7	36	43—42	-0.0011	23	-0.5
15	20—19	-0.0031	23	-0.5	37	44—43	+0.0009	20	0.0
16	21—20	-0.0024	21	-0.9	38	45—43	+0.0012	27	+0.9
17	22—21	-0.0008	19	+2.3	39	47—42	+0.0068	30	-0.8
18	24—22	+0.0029	22	-0.7	40	47—46	-0.0011	22	-1.3
19	25—22	-0.0031	25	-0.2	41	48—47	-0.0010	26	+0.3
20	23—21	+0.0006	19	+0.7	42	49—47	-0.0022	28	+1.3
21	24—23	+0.0021	21	+0.9	43	51—50	-0.0017	19	+0.2
22	27—26	+0.0055	21	+0.3	44	52—51	+0.0017	19	-0.2

Das Mittel aller y -Werte ergibt sich zu $+0.0001$, es läßt lediglich den Schluß zu, daß eine einseitige Änderung in der Erfassung der Rektascensionsdifferenzen nicht stattgefunden hat, das Mittel der absoluten Beträge ist 0.0024.

Wie man sieht, sind die weitaus meisten Werte der Tabelle VI durch ihre m. F. erklärt und auch die übrigen sind nicht von abnormer Größe. Bei der Ausdehnung der Beobachtungen über fast vier Jahre ergeben sich die y -Werte mit einer Sicherheit, welche sich der Größe der m. F. mancher direkten Eigenbewegungsbestimmung vergleichen läßt. Stellen wir im Folgenden die Sternpaare mit

Sternpaar	$y \cos \delta$	$\epsilon_y \cos \delta$	$\epsilon_{\mu_\alpha} \cos \delta$
18	+0.0029	± 0.0022	± 0.0020
21	+0.0021	21	19
22	+0.0055	21	18
31	+0.0053	20	11
35	+0.0044	22	13

minder sicherer Bestimmung der E. B.; Fehlerminimum ± 0.0010 für die Werte $\epsilon_{\mu_\alpha} \cos \delta$, zusammen, so ergibt sich für die fünf in Frage kommenden Sternpaare als direktes und absolutes Mittel ihrer

y -Werte $+0.0040$, ein Wert, welcher bedeutend größer als der obengenannte absolute Gesamt-Mittelwert ist und in Ansehung der Fehlerverhältnisse größeren Anspruch auf Realität in der Deutung als Verbesserung der relativen E. B. hat. Danach läßt sich also annehmen, daß die größeren y -Werte bei den Sternpaaren 22, 27, 31, 33 und 35 teilweise auf die Unsicherheit der E. B.-Bestimmungen der Sterne 26, 31, 38 und 41 zurückzuführen sind. Es bleiben als größere Werte nur noch die Zeitglieder der Sternpaare 7, 9, 13 und 39 übrig. Für das Sternpaar 7 (Sterne 10 und 11) kann ich eine Erklärung für den großen y -Wert nicht finden, im Falle des Sternpaares 13 (Stern 16 und 17) kann der Umstand, daß 16 Doppelstern ist, nicht als Erklärung dienen; nach Burnham ist keine relative Bewegung zu bemerken, es müßte sich diese zudem auch in den Differenzen 16—14 zeigen, für welche aber $y \cos \delta$ nur klein ausfällt. Für das Sternpaar 9 (Stern 13 und 14) kann man einen Grund für den größeren y -Wert vielleicht in dem Umstande finden, daß die Zeit von 3.6 zwischen den Sternen 12 und 13 wegen des Wechsels der Fußlage, welcher zwischen beiden Sternen stattfinden mußte, anfangs als zu kurz und erst nach längerer Übung als entsprechend angesehen werden konnte; so daß also nur die ersten Beobachtungen unter der notwendig gewordenen Eile gelitten hätten. Die Darstellung der Beobachtungen dieses Paares ist im übrigen befriedigend. Bei dem Sternpaar 39 (Sterne 42 und 47) liegt endlich neben der allgemeinen größeren Unsicherheit noch ein anderer Einwand vor, auf welchen bei Besprechung der Parallaxen zurückzukommen sein wird.

In dem Bestreben, systematische Beziehungen in den Größen der y -Werte aufzudecken, ordne ich sie in der nachstehenden kleinen Tabelle zunächst nach den Helligkeitsdifferenzen.

ΔMg	$y \cos \delta$		Anzahl
	direkt	absolut	
+1.2	-0.0004	0.0014	8
+0.3	+0.0002	0.0025	14
-0.3	+0.0002	0.0023	8
-1.3	-0.0002	0.0031	12

Es ergibt sich, daß keinerlei Beziehungen zwischen den Größen bestehen, was den Schluß zuläßt, daß eine Änderung der Helligkeitsgleichung, wenn solche in nennenswerter Größe überhaupt existiert, nicht stattgefunden hat. Es wurde bereits früher erwähnt, daß direkte Beobachtungen zur Bestimmung der Helligkeitsgleichung nicht in der Anzahl angestellt worden sind, um die Realität dieser jedenfalls sehr geringen Größe zu verbürgen. Für die absolut hellsten und schwächsten Paare nach den Angaben auf Seite 91 stellen sich die y -Werte wie folgt:

hellste	schwächste Paare
$y \cos \delta$ direkt -0.0021	+0.0003
absolut 0.0023	0.0033

Eine Ordnung nach der Größe der Zwischenzeiten „Hauptstern minus Vergleichstern“ zeigt die nächste Tabelle, welche ebensowenig Gesetzmäßigkeit in ihren Beziehungen aufweist, wie die andere Ordnung

mittlere Zwischenzeit	$y \cos \delta$	
	direkt	absolut
1.9	+0.0003	0.0015
3.1	-0.0003	0.0030
5.3	+0.0004	0.0027

nach den Deklinationsdifferenzen der Sternpaare; es sei hier nur der Wert -0.0002 resp. absolut 0.0026 als Mittel der neun Werte, für welche $\Delta \delta 2^\circ$ überschreitet, angeführt. Endlich findet sich

kein Unterschied, wenn man die y -Werte in solche mit „Vergleichstern voran“ und „Vergleichstern folgt“ trennt, es lauten die Mittel bzw. $+0.0002$ und $+0.0001$.

Aus allen diesen Betrachtungen wird man den Schluß ziehen dürfen, daß weder in der Größe noch in der Verteilung der Vorzeichen der Unbekannten mit linearen Koeffizienten Anhaltspunkte für das Vorhandensein von systematischen Verfälschungen der Resultate gefunden werden können, größere Werte sind meist einer plausiblen Erklärung zugänglich, oder tragen als vereinzelt zufälligen Charakter.

§ 3. Die Parallaxen.

In der folgenden Tabelle VII sind die Einzelparallaxen in Bogenmaß mit den m. F. wie sie die Ausgleichungen ergeben, zusammengestellt.

Tabelle VII.

Sternpaar	Sterne	$\Delta\pi$	$\varepsilon_{\Delta\pi}$	Sternpaar	Sterne	$\Delta\pi$	$\varepsilon_{\Delta\pi}$
1	2—1	-0.041	± 0.032	23	29—28	$+0.111$	± 0.051
2	3—2	$+0.033$	± 0.035	24	31—29	$+0.103$	± 0.052
3	5—4	$+0.079$	± 0.041	25	30—28	$+0.059$	± 0.043
4	6—5	-0.040	± 0.052	26	31—30	$+0.019$	± 0.046
5	8—7	$+0.002$	± 0.055	27	33—32	$+0.052$	± 0.041
6	9—8	$+0.026$	± 0.038	28	34—33	$+0.007$	± 0.047
7	11—10	-0.033	± 0.040	29	37—35	$+0.013$	± 0.048
8	12—11	$+0.018$	± 0.038	30	37—36	$+0.023$	± 0.038
9	14—13	$+0.089$	± 0.041	31	38—37	$+0.025$	± 0.037
10	15—14	-0.050	± 0.041	32	39—37	-0.050	± 0.042
11	16—14	$+0.037$	± 0.043	33	40—38	$+0.029$	± 0.031
12	17—15	$+0.009$	± 0.045	34	40—39	$+0.007$	± 0.047
13	17—16	$+0.085$	± 0.048	35	41—40	$+0.110$	± 0.043
14	18—17	$+0.060$	± 0.037	36	43—42	-0.009	± 0.046
15	20—19	-0.024	± 0.042	37	44—43	$+0.008$	± 0.044
16	21—10	$+0.006$	± 0.040	38	45—43	-0.033	± 0.053
17	22—21	$+0.079$	± 0.035	39	47—42	-0.091	± 0.061
18	24—22	$+0.056$	± 0.041	40	47—46	-0.001	± 0.046
19	25—22	$+0.024$	± 0.048	41	48—47	-0.041	± 0.054
20	23—21	$+0.072$	± 0.035	42	49—47	-0.014	± 0.058
21	24—23	$+0.068$	± 0.039	43	51—50	$+0.080$	± 0.038
22	27—26	$+0.029$	± 0.041	44	52—51	$+0.014$	± 0.041

Wenn man jetzt diese Werte auf ihre Beziehungen zu den andern Größen der Ausgleichungen, ferner zu den Lageverhältnissen innerhalb der Gruppen untersucht, ähnlich wie es mit den Größen $y \cos \delta$ geschehen, so ist vor auszuschicken, daß bei den Parallaxen die Sachlage eine andere ist, als bei dem linearen Glied der Ausgleichungen. Größere Werte von y durften weder in der Gesamtheit noch im einzelnen auftreten, Mittelwerte mußten sich mehr oder weniger der Null nähern, einzelne größere Werte plausibler Erklärung zugänglich sein. Gleiche Bedingungen bestehen für die Parallaxen nicht, zur Ableitung oder Bestätigung von sonstigen Gesetzmäßigkeiten erscheint aber die Zahl der Objekte viel zu gering, da schon einzelne größere Parallaxenwerte, für deren Reellität eventuell alle Wahrscheinlichkeit spricht, systematische Beziehungen zwischen den verglichenen Größen vortäuschen oder verschleiern können.

Eine Ordnung der relativen Parallaxen nach den Rektascensionsdifferenzen zwischen Haupt- und Vergleichsternen zeigt zunächst die folgende kleine Aufstellung, zu welcher nur die Gruppen mit mehr als zwei Vergleichsternen herangezogen werden konnten; $\Delta\pi$ bedeutet in diesem Falle Mittelwert minus Einzelparallaxe.

$\Delta\alpha$	$\Delta\pi$	Anzahl
^m 1.8	+ 0.007	7
3.9	- 0.014	10
6.6	+ 0.015	6

Eine Gesetzmäßigkeit ergibt sich nicht aus den Beziehungen, zumal auch die Werte weit innerhalb ihrer m. F. liegen. Das Gleiche findet sich aus den Deklinationsdifferenzen desselben Materials, hier läßt die zufällige Verteilung der $\Delta\delta$ nur eine Teilung in zwei Gruppen zu, es ist für

$$\begin{array}{rcl} \Delta\delta = + 2.3 & \Delta\pi = - 0.008 & 10 \\ + 0.5 & - 0.009 & 13 \end{array}$$

Für den Unterschied „Parallaxe aus den vorangehenden minus Parallaxe aus den folgenden Vergleichsternen“ findet sich

$$\Delta\pi_v - \Delta\pi_f = - 0.008 \pm 0.015$$

es ist also keinerlei einseitige Bevorzugung ausgesprochen.

Einen Vergleich der Größen $y \cos \delta$ mit den $\Delta\pi$ gibt die nachstehende Aufstellung:

$y \cos \delta$	$\Delta\pi$	m. F.	Anzahl
- 0.0035	+ 0.032	± 0.015	10
- 0.0014	+ 0.009	± 0.013	12
+ 0.0010	+ 0.022	± 0.012	12
+ 0.0045	+ 0.031	± 0.019	10

welche einen Zusammenhang der absoluten Größen andeutet. Indessen gilt hier das oben über die Unzulänglichkeit des Materials zur Ziehung solcher Schlüsse Gesagte; die Ausschaltung einiger durch andere Bestimmungen als reell verbürgte, größere Parallaxen bringt den Gang zum Verschwinden, so daß jedenfalls kein Schluß auf die $\Delta\pi$ erlaubt ist.

Zur Untersuchung eines eventuellen Zusammenhanges der Parallaxen mit der Helligkeit der Vergleichsterne sind im folgenden die Werte „Lösung aus helleren minus Lösung aus schwächeren“ also

$$(\pi - \pi_h) - (\pi - \pi_s) = \pi_s - \pi_h$$

unter Auslassung der unbestimmt werdenden Nullwerte nach Größendifferenzen geordnet zusammengestellt.

ΔMg	mittl. ΔMg	$\pi_s - \pi_h$	Anzahl
^{Mg} 0.1 — 0.4	^{Mg} 0.25	+ 0.030	15
0.5 — 0.9	0.62	- 0.009	10
> 0.9	1.44	+ 0.009	8

Ein Gang nach der Helligkeitsdifferenz findet sich nicht, Ausgleichung aller Werte ergibt als Änderung der Parallaxe für eine Größenklasse $+ 0.001 \pm 0.023$, während nach Kapteyn¹⁾ empirisch etwa $- 0.007$ gefordert wird, ein Wert, der noch weit innerhalb des m. F. der Ausgleichung

¹⁾ Publications, Groningen Nr. 24.

liegt. Für die Beziehungen zwischen Parallaxe und Eigenbewegung ist das Material ebenfalls nicht ausreichend zur Feststellung eines sicheren Zusammenhanges; ordnet man nach den Differenzen der E. B. im gr. Kr., so hat man die folgende Aufstellung,

E B	$\Delta\pi$	Anzahl
0 — 0.05	+ 0.006	24
0.05 — 0.10	+ 0.033	10
> 0.10	+ 0.002	3

welche keinerlei Gang ergibt. Aus der Ausgleichung aller bestehenden 37 Differenzen findet sich als Änderung von $\Delta\pi$: 0.000 ± 0.019 für eine Zunahme der E. B. der Vergleichsterne um 0.10, während nach Kapteyn¹⁾ empirisch circa -0.012 beansprucht wird.

Zusammenfassend kann gesagt werden, daß sichere Beziehungen zwischen den herangezogenen Größen und den relativen Parallaxen sich nicht ergeben haben; wo solche Beziehungen erfahrungsgemäß bestehen, wird dem durch die Fehlergrenzen hier nicht widersprochen.

Zu den Einzelwerten übergehend findet man unter den 44 Parallaxen zwölf negative Ergebnisse, von denen acht innerhalb ihrer m. F. liegen, also weiter keiner Beachtung bedürfen, bei drei Werten wird die Größe durch den m. F. annähernd erreicht, es sind die Sternpaare 1: $\pi = -0.041 \pm 0.032$, 10: $\pi = -0.050 \pm 0.041$ und 32: $\pi = -0.050 \pm 0.042$. An sich liegen diese negativen Werte durchaus im Bereich reeller Möglichkeit, immerhin lehrt die Betrachtung der Beobachtungen noch, daß die Darstellung zunächst bei 1 und 32 befriedigend ist, bei 10 herrscht in der VII. Periode ein starkes Überwiegen des negativen Vorzeichens bei den übrigbleibenden Fehlern vor, während die andern Perioden lebhaften Zeichenwechsel aufweisen, so daß die eine längere Folge als zufällig angesprochen werden kann; $y \cos \delta$ ergibt sich bei allen als verschwindend. Der einzige größere negative Wert betrifft das Sternpaar 39 (47—42); es war Gelegenheit, diese Sterne schon bei der Besprechung der übrigen Resultate zu erwähnen. In der Tat fällt dies Paar in jeder Weise aus der Reihe, die Fehler $\epsilon \cos \delta$, $\epsilon_y \cos \delta$ und ϵ_π sind hier zunächst die größten, auch der Wert $y \cos \delta$ war der größte von allen, während die anderen Kombinationen von 42 sowohl wie von 47 Bemerkenswertes nicht aufweisen, außer daß ihre Fehler im ganzen etwas über dem Mittelwert liegen. Es liegt hier nun der Umstand vor, daß ursprünglich eine Kombination der Sterne 42 und 47 zu einem Paare nicht beabsichtigt war; erst später wurde ich darauf aufmerksam, daß die Mitnahme des Sterns 42 die allgemeine Symmetrie in der Gruppe 60 Aurigae noch verbessern würde, wenn auch die Rektascensionsdifferenz beider Sterne über 10 m beträgt. Der springende Punkt aber ist, daß die Geschlossenheit der Gruppe in sich, wie sie im Abschnitt „Beobachtungsverfahren“ erörtert wurde, hier nicht gewahrt worden ist, weil der Stern 42 erst später, nachdem also schon ein großer Teil der Beobachtungen angestellt war, für die Gruppe 60 Aurigae hinzukam. Besonders verdächtig werden hier natürlich die Tage erscheinen, an welchen Stern 46 nicht beobachtet worden ist, wenn auch ihre Ausschaltung nicht zu einem wesentlich anderen Resultat führt. Eine Betrachtung der Beobachtungen des Paares 42—47 läßt nicht die Anwesenheit größerer Beträge von y und $\Delta\pi$ vermuten; so will ich nicht unerwähnt lassen, daß eine Ausgleichung mit Weglassung des linearen Gliedes für π den plausiblen Wert -0.025 ± 0.056 ergibt, während die Ausgleichung nach y ebenfalls einen geringeren Wert, nämlich $\pm 0.0046 \pm 0.0027$ finden läßt, welcher Betrag allerdings auch nicht durch seinen m. F. erklärt ist. Da die

¹⁾ Publications, Groningen Nr. 8.

andern Vergleichsterne ebenfalls negative Parallaxen für 60 Aurigae ergeben, liegt der Wert aus Stern 42 noch innerhalb der durch die m. F. gesteckten Grenzen; ich habe indeß das Vorstehende als ausreichend angesehen um den Ausschluß des Paares bei der Bildung der Endwerte für begründet zu halten.

Den negativen Parallaxenwerten stehen einzelne größere positive gegenüber, nur drei Werte erheben sich mäßig über 0.1, ihre Realität findet zum Teil Bestätigung durch andere Bestimmungen.

Die Bildung der definitiven Parallaxenwerte ist ohne Rücksicht auf die innerhalb der Gruppen meist nicht sehr verschiedenen m. F. der Ausgleichungen durch einfache Mittelung der Werte $\Delta\pi$ erfolgt. Die Fehler dieser Mittel sind dann auf zweierlei Weise berechnet worden, einmal aus den mit $\varepsilon_{\Delta\pi}$ in Tabelle VII bezeichneten m. F. der Ausgleichungen, andererseits aus den Abweichungen der relativen Einzelparallaxen von ihren Gruppenmitteln.

Man hat für den Fall, daß nur jeweils ein Vergleichstern beim Durchgang mit dem Hauptstern beobachtet wurde, daß also die gemessenen Rektascensionsdifferenzen gegen die einzelnen Vergleichsterne völlig unabhängig von einander sind, für den Fehler des Mittelwerts den Ausdruck

$$a) \quad E_1 = \frac{\sqrt{[\varepsilon_{\Delta\pi_1 \dots n}^2]}}{n}$$

wo mit $[\varepsilon_{\Delta\pi_1 \dots n}^2]$ die Summe der Fehlerquadrate der Parallaxen einer Gruppe bezeichnet ist. Für den andern hier in der Regel stattfindenden Fall, daß die Rektascensionsdifferenzen gegen die Vergleichsterne nicht unabhängig von einander sind, vielmehr jeweils einem gemeinsamen Durchgang des Hauptsterns zugrunde liegen, wird

$$E_2 = \sqrt{\frac{[\varepsilon_{\Delta\pi_1 \dots n}^2]}{2n}} \left(1 + \frac{1}{n}\right)$$

Beide Ausdrücke müssen identisch werden für $n = 1$, man hat in diesem Fall

$$E_1 = E_2 = \varepsilon_{\Delta\pi}$$

Sind nun nicht stets alle n Vergleichsterne beobachtet, so läßt sich diesem Umstande durch Einführung eines Proportionalfaktors in hinreichender Näherung Rechnung tragen. Man hat, wenn man E_2 in der folgenden Form schreibt,

$$E_2 = \frac{\sqrt{[\varepsilon_{\Delta\pi_1 \dots n}^2]}}{n} \sqrt{\frac{n+1}{2}}$$

und $p = \frac{a}{m}$ setzt, wo mit a die Anzahl der Fälle gemeinsamer, mit $m-a$ die der getrennten Beobachtungen bezeichnet wird, schließlich den Ausdruck

$$b) \quad E = \left(1 + p \left(\sqrt{\frac{n+1}{2}} - 1\right)\right) \frac{\sqrt{[\varepsilon_{\Delta\pi_1 \dots n}^2]}}{n}$$

mit welchem die Fehler erster Art gerechnet sind. Die Größen p nähern sich in den meisten Fällen stark ihrem Maximalwert 1, der kleinste Wert ergibt sich mit $\frac{89}{112}$ für die Gruppe 4 Camelopardalis mit den Vergleichsternen 7 und 9. Für $p = 0$ geht Formel b in a über. Für die Berechnung der Fehler aus den Abweichungen v der $\Delta\pi$ von ihren Gruppenmitteln hat man, wenn $\sqrt{\frac{v^2}{n-1}}$ mit ε_v bezeichnet wird;

$$\begin{aligned} \text{bei } m \text{ getrennten Beobachtungen } \varepsilon'_\pi &= \frac{\varepsilon_v}{\sqrt{n}} \\ \text{„ } 0 \text{ „ „ „ } \varepsilon'_\pi &= \varepsilon_v \sqrt{1 + \frac{1}{n}} \end{aligned}$$

oder nach Einführung von p

$$c) \quad \varepsilon'_\pi = \frac{\varepsilon_v}{\sqrt{n}} \left(1 + p \left(\sqrt{\frac{n+1}{2}} - 1\right)\right)$$

Berechnet man zur Gegenüberstellung beider Fehlerarten das geometrische Mittel der ϵ_{An} aus Tabelle VII, sowie den entsprechenden Wert von ϵ_v , unter Weglassung des Paares 27—26 für welchen sich ϵ_v nicht berechnen läßt, so findet sich in befriedigender Übereinstimmung

$$\begin{aligned}\epsilon_{An} &= \pm 0.043 \\ \epsilon_v &= \pm 0.041\end{aligned}$$

was besagen will, daß die aus den Ausgleichungen gewonnenen Fehler der inneren Genauigkeit entsprechen, andrerseits aber auch die Abweichungen von den Mittelwerten in der Hauptsache als Fehler zu deuten sind. Im übrigen tragen die aus den ϵ_v gerechneten Fehler ϵ'_n wegen der geringen Anzahl der Vergleichsterne durchaus zufälligen Charakter, erst bei größerer Anzahl der letzteren gewinnen sie an Gewicht zur Beurteilung der Genauigkeit der Gruppenmittel.

Tabelle VIII.

Nr.	Bezeichnung	Gr.	E. B.	Sp.	An	n absolut	ϵ_{An}	ϵ'_n
2	+ 46°.884	^{Mg} 6.9	0.34	H	- 0.004	+ 0.002	± 0.029	± 0.063
5	Gr. 864	7.4	0.68	A	+ 0.019	+ 0.026	± 0.040	± 0.098
8	4 Camelopardalis	5.5	0.15	A	+ 0.014	+ 0.020	± 0.039	± 0.019
11	+ 66°.370	6.4	0.36	F	- 0.007	0.000	± 0.034	± 0.044
14	+ 46°.970	5.9	0.16	F?	+ 0.025	+ 0.032	± 0.033	± 0.077
17	α Aurigae	0.4	0.44	G	+ 0.051	+ 0.059	± 0.034	± 0.043
20	18 Camelopardalis	6.6	0.24	F	- 0.009	0.000	± 0.035	± 0.026
22	Gr. 990	8.0	0.58		+ 0.053	+ 0.061	± 0.033	± 0.031
23	Pl. 5 ^b 146	6.4	0.54	J	+ 0.070	+ 0.079	± 0.032	± 0.003
27	δ Aurigae	3.8	0.15	K	+ 0.029	+ 0.035	± 0.041	± 0.058
29	38 Aurigae	6.2	0.18	E	+ 0.107	+ 0.114	± 0.014	± 0.006
30	39 Aurigae	6.2	0.16	A	+ 0.039	+ 0.046	± 0.038	± 0.034
33	43 Aurigae	6.6	0.14		+ 0.029	+ 0.036	± 0.038	± 0.038
37	6 Lyncis	6.0	0.34	H	+ 0.003	+ 0.010	± 0.032	± 0.038
40	8 Lyncis	6.2	0.34	F	+ 0.049	+ 0.056	± 0.033	± 0.061
43	+ 40°.1696	6.9	0.17		- 0.011	- 0.004	± 0.039	± 0.023
47	60 Aurigae	6.6	0.18	A	- 0.019	- 0.011	± 0.042	± 0.023
51	19 Lyncis sequ.	6.2	0.03	B8	+ 0.047	+ 0.054	± 0.034	± 0.058

Die vorstehende Aufstellung der Endresultate in Tabelle VIII ist durch ihre Überschriften im allgemeinen verständlich, unter π finden sich die Gruppennittel der abgeleiteten Parallaxendifferenzen, in der Kolumne „ π absolut“ sind diese Werte nach Kapteyn l. c. pag. 15 um die genäherte Größe der Vergleichsternparallaxen korrigiert; die nächsten Kolumnen geben die Fehler nach den Formeln b und c, ich möchte hier den Fehlern nach b wegen ihrer Gleichmäßigkeit den Vorzug geben. Für δ Aurigae mit nur einem Vergleichstern ist für ϵ'_{π} das oben gegebene Mittel der ϵ_v multipliziert mit $\sqrt{2}$ angesetzt worden.

Es bedarf noch der Vergleichung der hier gefundenen Parallaxenwerte mit früheren Bestimmungen. Von den 18 untersuchten Sternen liegen für sechs andere Werte vor; es werden in der nachstehenden Zusammenstellung unter Verzicht auf die Anführung älterer Werte von lediglich historischem Wert nur die in Publ. Groningen Nr. 24 enthaltenen Parallaxen, sowie alle seitdem erschienenen neueren Bestimmungen angeführt. Die mitgeteilten Fehler sind nach Angabe der Verfasser gegeben, sie liegen also keiner einheitlichen Formel zugrunde und dürften zum Teil viel zu gering angesetzt sein.

Nr.	Bezeichnung	π abs.	Fehler	Bestimmungsart	Autorität ¹⁾
5	Gr. 864	+0.027	± 0.039 w. F.	Heliometer	Chase-Elkin Y II
		+0.031	± 0.025 „ „	Meridiankreis	Flint II
		+0.026	± 0.040 m. F.	„	Königsberg
17	α Aurigae	+0.017	± 0.035 w. F.	„	Flint I
		+0.086	± 0.021 „ „	Heliometer	Elkin Y I
		+0.14	± 0.079 m. F.	Meridiankreis	Jewdokimow
		+0.059	± 0.034 „ „	„	Königsberg
22	Gr. 990	+0.028	± 0.037 w. F.	Heliometer	Chase Y II
		+0.061	± 0.033 m. F.	Meridiankreis	Königsberg
23	Pi 5 ^b 146	+0.136	± 0.042 w. F.	Heliometer	Chase Y II
		+0.095	± 0.02 „ „	Photographie	Kostinsky
		+0.081	± 0.031 m. F.	Meridiankreis	Abetti
		+0.18	± 0.063 „ „	„	Jewdokimow
		+0.079	± 0.032 „ „	„	Königsberg
27	δ Aurigae	+0.107	± 0.033 „ „	„	Abetti
		+0.035	± 0.041 „ „	„	Königsberg
37	6 Lyncis	-0.015	± 0.027 „ „	„	Abetti
		+0.010	± 0.032 „ „	„	Königsberg

Die Übereinstimmung der Königsberger Werte mit den Mitteln aus anderen Bestimmungen kann im allgemeinen sehr befriedigen, nur in einem Falle, bei δ Aurigae, für welchen hier nur ein Vergleichstern vorliegt, ist eine größere Abweichung gegen den einzigen sonst vorliegenden Wert

¹⁾ Außer den Publ. Groningen Nr. 24 entnommenen kommen in Betracht:

Flint, A. J. Nr. 631,

Abetti, Memorie del R. Osservatorio Astr. al Collegio Romano, Vol V Parte II.

Jewdokimow, Annales de l'Observatoire Astr. de Kharkow, Tome III.

von Abetti festzustellen. Indessen stimmen auch hier beide Werte überein innerhalb der durch ihre m. F. gesteckten Grenzen, welche sich noch dadurch erweitern, daß die Abetti'schen Fehler einer Erhöhung bedürfen. Die gute Übereinstimmung zwischen Flint II und Königsberg bei Stern 5 ist noch besonders hervorzuheben, weil beiden Bestimmungen die nämlichen Vergleichsternen zugrunde liegen. Endlich ist noch ein Vergleichstern von Pi 5^a 146 Abetti und Königsberg gemeinsam, die Ausgleichungen ergeben für das Sternpaar 23—21 resp.

+ 0.042	± 0.055	Abetti
+ 0.072	± 0.035	Königsberg

in befriedigender Übereinstimmung.



Berichtigungen.

Seite 3 Lfd. Nr. 51 lies 19 Lyncis sequ. statt 19 Lyncis pr.

Astronomische Beobachtungen

auf der

Universitäts-Sternwarte

zu

Königsberg

herausgegeben

von

E. Przybyllok

Direktor der Sternwarte

Abteilung 44.

Königsberg 1926.

Königsberg 44, 1

65818
Add:
9
91

Katalog von 546 Sternen

zwischen 50° und 55° nördlicher Deklination
für das Aequinoctium

1925

nach Beobachtungen am Repsold'schen Meridiankreise
der Universitätssternwarte zu Königsberg

von

E. JOST.

E I N L E I T U N G.

Als mir im Jahre 1910 der Meridiankreis von REPSOLD übergeben wurde, bestand die Absicht, die seit 1887 gepflegte einseitige Bevorzugung der Rektaszensionsbeobachtung zu Gunsten der Bestimmung in beiden Koordinaten aufzugeben. Mit dem damals gewählten Beobachtungsprogramm einer längeren Reihe von schwachen Sternen der Zone $+50^{\circ}$ bis $+55^{\circ}$ Deklination wurde nach einigen Umänderungen und Verbesserungen am Instrument, von denen noch unten zu reden sein wird, im Jahre 1911 begonnen. Eine gleichzeitig laufende Reihe von Parallaxenbestimmungen, die inzwischen veröffentlicht wurde (Abt. 43 IV der Beobachtungen auf der Sternwarte zu Königsberg) und andere Umstände, die wesentlich im Beobachtungsprogramm selbst lagen, verzögerten seine Ausführung, sodass ich mich entschloss, zunächst an einer kürzeren Beobachtungsreihe die Brauchbarkeit des Instruments für Deklinationsbestimmungen darzutun. Dieses neue und mit den vorliegenden Beobachtungen abgeschlossene Programm, ebenfalls in den Deklinationsgrenzen $+50^{\circ}$ bis $+55^{\circ}$, umfasst alle (391) intermediären Sterne der Himmelskarte dieser Zone, daneben die in ihr enthaltenen 156 Sterne des P.G.C., die eventuell als Zusatz-Anhaltsterne für die grössere Reihe dienen sollten. Die Absicht, diese Reihe von insgesamt 547 Sternen mit durchschnittlich je 4 Beobachtungen rasch zu vollenden, ist leider durch die politischen Umstände vereitelt worden. Im Januar 1913 begonnen, war bis Mitte 1914 der grössere Teil der Beobachtungen erledigt, es ist dann unter äusseren Schwierigkeiten gelungen, den Rest im wesentlichen in den Jahren 1918-19 fertig zu stellen. Nachträge und Zusätze haben sich noch bis 1923 hingezogen, sodass sich die Beobachtungen über ein Jahrzehnt ausdehnen. Den Unannehmlichkeiten der Zerissenheit der Beobachtungsreihe und der vermehrten Rechenarbeit steht der Vorteil gegenüber, dass durch die grösseren Epochendifferenzen manche Abweichung gegen andere Kataloge mit Sicherheit als E.B., andererseits einige unsichere E.B. als nicht existierend erkannt werden konnten.

D A S I N S T R U M E N T.

Eine allgemeine Beschreibung des REPSOLD'schen Meridiankreises von 108mm Objektivöffnung und 160cm Brennweite, an dem noch BESSEL in seinen letzten Jahren beobachtet hat, findet sich in Abt. 27 I der "Königsberger Beobachtungen". Von umfassenden Aenderungen der Aufstellung des Instruments, Umbau des Saales, Erneuerung der Zapfen durch die Firma I. REPSOLD u. Söhne, ferner von der Einführung des selbstregistrierenden Mikrometers dieser Firma, dem noch ein Triebwerk hinzugefügt wurde, ist in der Abt. 41 der "Beobachtungen" ausführlich berichtet worden. Im Jahre 1910 hat nun eine weitere Reihe von Umänderungen stattgefunden,

zu dem Zweck hauptsächlich, wie schon angedeutet wurde, die Deklinationsbestimmungen zu verbessern. Das Instrument ging im April genannten Jahres an die Werkstatt zurück und wurde Anfang Oktober wieder aufgestellt.

Den bisher vorhandenen vier Mikroskopen, die an den Eckpunkten eines quadratischen Rahmens befestigt waren, wurden für den gegenüberliegenden, bisher leeren Rahmen, 4 neue, den optischen Dimensionen der alten ähnliche hinzugefügt, sodass sich nunmehr beim Umlegen des Instruments das gleichzeitige Umlegen der Rahmen erübrigte. Das früher notwendige Vertauschen der Rahmen brachte neben der ganzen Umständlichkeit der Handhabung vor allem noch die Unannehmlichkeit mit sich, dass die Rahmen erst tagelang zu ihrer Beruhigung bedurften. Seither, also seit nunmehr 15 Jahren, ist auch eine korrektionele Verschiebung beider Rahmen nicht mehr von Nöten gewesen, alle 8 Mikroskope haben sich in ihren Stellungen ausgezeichnet gehalten. Zur Behebung des Uebergewichts, das durch die Anbringung der vier neuen Mikroskope auf der einen Klemmseite entstand, sind auf der andern vier Gegengewichte aus Messing angebracht, die leider den Nachteil mit sich brachten, dass Hilfsmikroskope zur Untersuchung der Kreisteilung sich nur sehr ungünstig anbringen lassen.

Der von $10'$ zu $10'$ geteilte, von 10° zu 10° bezifferte Einstellkreis erhielt eine Bezifferung von Grad zu Grad. Durch die Beschaffung von 2 Einstellfernrohren mit Gesichtsfeldern von circa $1^\circ 10'$ wurde die Ausführung der Einstellungen gegenüber dem früheren Verfahren mit Nonius und Lupe über ein 10° Feld hinweg wesentlich vereinfacht.

Eine gründliche Umformung erfuhr auch die Klemmvorrichtung, es wurde ein neues grösseres Klemmstück eingeführt, welches das früher so lästig empfundene, seitliche Ausweichen des Instruments nicht mehr zulässt. Statt der vorher im Gebrauch befindlichen grossen Klemmscheibe wurde ein kleiner Knopf angebracht, der ein zu starkes Ansetzen der Klemme gewissermassen automatisch verhindert. Die Schraube für die Feinbewegung wurde durch eine andere mit kleinerer Ganghöhe ersetzt und ihre Verbindung mit dem Pfeiler in einer Weise geändert, die bei richtiger Handhabung Spannungen ausschliesst. Von Wichtigkeit, besonders für die Deklinationsbestimmungen, ist auch die Anbringung einer Feder in der Fassung des Objektivs, die den Zweck hat, die Linsen in Richtung des Meridians anzudrücken und festzuhalten. Die Mikrometerschraube endlich ist überholt worden, die 1898 erneuerten Zapfen erwiesen sich als tadellos.

Die Pfeiler des Instruments wurden neu mit Holz verkleidet, Berührungen mit dem Fussboden des Saales aufgehoben und ein treppenartiger Umbau um jeden Pfeiler angebracht. Die unteren Mikroskope werden vom Fussboden stehend abgelesen, für die oberen ist wegen des grossen Durchmessers des Kreises (97cm) und einem entsprechenden Vertikalabstand der Mikroskope von 72cm das Ersteigen von zwei je 33cm hohen Stufen notwendig, der Umbau um den Pfeiler erlaubt dann für das vierte Mikroskop auf der gleichen Höhe zu bleiben. War von vorneherein zu erwarten, dass diese Veränderungen nicht imstande sind, alle Mängel eines alten Instruments zu beheben und es einem neueren von grösseren Dimensionen gleichwertig zu machen, ebenso wie durch alle diese im wesentlichen für die Verbesserung der Deklinationsbestimmungen getroffenen Einrichtungen erreicht worden ist, dass die nach Einführung des Uhrwerkmikrometers überlegene Sicherheit der Rektaszensionen eingeholt wurde, so wird sich doch im folgenden zeigen, dass bei günstiger Auswahl des Beobachtungsprogramms d.h. bei möglichst differentieller Anlage der Beobach-

tungen durchaus brauchbare Resultate auch für die Deklinationen zu erreichen sind.

AUSFÜHRUNG DER BEOBSCHTUNGEN.

Sämtliche Beobachtungen am Okular sowohl wie am Kreis sind von mir ausgeführt worden. Die Durchgangsbeobachtungen am unpersönlichen Mikrometer mit Uhrwerk, die Deklinationen durch Ablesung des 2' Kreises an 4 Mikroskopen mit je 2 Strichen. Von den 14 nutzbaren Umdrehungen der Rektaszensionsschraube wurden die Sterne über 4, unter Auslassung der 2 mittleren, symmetrischen Revolutionen verfolgt, danach geschah die Einstellung in Deklination an einer der drei durch Vertikalfäden markierten Stellen mit den resp. Aequatorabständen $A = 23^{\circ}0$ $B = 32^{\circ}0$ $C = 39^{\circ}0$ gegen die Mitte des Feldes. Eingestellt wurde auf den Horizontalfaden und zwar in der Regel d.h. in circa 98 v.H. an der mit A. bezeichneten Stelle, B. und C. kamen nur in Frage, wenn eine Einstellung vorher nicht gelang.

Da die Zone selbst nicht genügend Anhaltsterne enthält, wurden die Grenzen für diese auf resp. $+41^{\circ}$ und $+63^{\circ}$ Deklination erweitert, jedoch die in der Zone selbst gelegenen Anhaltsterne möglichst bevorzugt. Fundamental- und Anschlusssterne sind stets in gleicher Weise beobachtet worden, nur bei den Polsternen wurde auf die Mitwirkung des Uhrwerks des Mikrometers verzichtet und die Schraube mit der Hand gedreht. Bei sehr polnahen Sternen wurden die mittleren Schraubenrevolutionen bevorzugt, aber auch hier Symmetrie der Kontakte zur Mitte angestrebt. Sämtliche Beobachtungen sind mit der gleichen Vergrößerung etwa 190fach ausgeführt worden (Fusslage mit Ausnahme der Polsterne stets Süd.). Zwei Gitter gleicher abschwächender Wirkung vor dem Objektiv, die einzeln und gleichzeitig benutzt werden konnten, sind zur Anwendung bei helleren Sternen gekommen. Von den Programmsternen musste einer wegen zu grosser Lichtschwäche ausfallen. Es ist zwar versucht worden von diesem Stern, nämlich B.D. $+54^{\circ}1467$ 975, Beobachtungen zu erhalten, die Orte weisen jedoch zu grosse Unterschiede auf, sodass die Mitteilung besser unterblieb. Im Zusammenhange hiermit möchte ich der Meinung Ausdruck geben, dass ich, im Gegensatz zu COHN (a.a.O.) der Ansicht bin, dass bei den schwächsten beobachtbaren Sternen das Uhrwerkmikrometer keinen Vorteil gegenüber anderen Beobachtungsmethoden mehr bietet. Es finden sich in der vorliegenden Beobachtungsreihe hin und wieder δ -Beobachtungen, denen die andere Koordinate mit der Bemerkung "für A.R. zu schwach" fehlt, d.h. die kurze Beobachtung in Deklination konnte wohl gelingen, es schien dagegen unmöglich, den Stern revolutionenlang auf dem Faden zu halten. In einigen Fällen wurde auch erst bei Abstellung des Uhrwerks, in dem Moment also, wo die Einstellung in Deklination erfolgen soll, bemerkt, dass der Stern garnicht mehr auf dem Faden war, sondern vielleicht ein ganzes Stück davon. Dies trifft namentlich dann leicht ein, wenn der vorher beobachtete Stern eine wesentlich andere Geschwindigkeit des Mikrometer-Antriebes erforderte und die Lichtschwäche die richtige Einstellung erschwerte. Das Triebwerk ist zwar mit einer Skala zur genäherten Einstellung der Geschwindigkeiten versehen, indessen ist bei den hier in Frage kommenden stets zenitnahen Stellungen des Fernrohrs die Ablesung dieser Skala so unbequem und zeitraubend, dass ich vorgezogen habe, sämtliche Einstellungen nach dem Gefühl zu machen und während des Verlaufs einer überzähligen Revolution mit der Korrektionsschraube zu regulieren.

Als Arbeitsuhr diente die im Refraktorturm aufgestellte Uhr. TIEDE 375, als Hauptuhren bis März 1919 RIEFLER 49, dann RIEFLER 101. TIEDE 375 hatte im allgemeinen einen recht befriedigenden Gang und Störungen, die ein Unterbrechen der Beobachtungen nötig machten, sind durch sie in den ganzen Jahren kaum vorgekommen. RIEFLER 49, die wie erwähnt, in den ersten Jahren als Hauptuhr diente und mit der Arbeitsuhr ca. halbstündig verglichen wurde, litt stark unter ihrer mangelhaften Aufstellung. Es wurde durch sie kaum eine Verbesserung der Abendgänge erzielt, sodass ich auf ihre Mitverwendung meistens versichtet habe. Die Aufstellung und Benutzung der unter luftdichtem Verschluss im Keller aufgestellten Uhr RIEFLER 101 bedeutete eine wesentliche Verbesserung der Zeitführung, was besonders bei kurzen Beobachtungsreihen zum Ausdruck kam. Der im Beobachtungsraum aufgestellte Schreibchronograph von PETER FAVARGER u. CO. hat stets gut funktioniert, wenn die Tinte für die herrschende Temperatur durch Zusatz von Alkohol oder Glycerin eingestellt war, für tiefere Temperatur, wo diese Mittel allein nicht ausreichten, erwies sich eine kleine Spirituslampe, die das Tintenreservoir erwärmte, als nützlich.

Die meteorologischen Elemente lieferten ein trockenes und ein feuchtes Thermometer, die in ca. 1 m Entfernung von der Nordwand des Passagenraumes angebracht waren und in etwa halbstündigen Zwischenräumen abgelesen wurden, ferner ein FUESS'sches Stationsbarometer. Gelegentlich der Nivellements zu Beginn und am Schluss der Beobachtungen wurde noch ein Thermometer über dem Westpfiler des Meridiankreises abgelesen, in der Hauptsache für die Bearbeitung der Niveauablesungen.

Die Kollimation „ c “ ist in etwa monatlichen Zwischenräumen durch doppeltes Umlegen auf die Mire, gelegentlich auch auf einen Polstern, bestimmt worden. Die Konstanz der erhaltenen Werte rechtfertigte es, sie für grössere Zeiträume, etwa 1 - 2 Jahre, zu Mittelwerten zusammenzufassen. Mit den Kollimationsbestimmungen ist in der Regel die Bestimmung der Kontaktbreiten des REPSOLD'schen unpersönlichen Mikrometers verbunden worden, die ausserdem noch vor und nach jeder Reinigung der Kontakte stattfand. Nach der Reinigung wurde die Kontakttrommel leicht eingefettet, es wurde damit nach meiner Erfahrung das lästige Ueberspringen von Funken vermieden. Die Bestimmung der Kontaktstellen geschah durch Abhören der Anschläge eines Relais oder Chronographen, eine ausführliche Untersuchung der Kontaktstellen ist früher von COHN ¹⁾ angestellt worden, hier interessiert nur das Mittel der ganzen Revolution, ein Wert der sich von Bestimmung zu Bestimmung sehr konstant hielt, indes im Laufe der Jahre eine fortschreitende Vergrösserung erfahren hat. Man geht wohl nicht fehl, diesen Umstand der Abnutzung der Kontaktstellen zuzuschreiben, bemerkenswert ist allerdings, dass ein grösserer Sprung in den Werten nach der 3½ jährigen Unterbrechung der Beobachtungen auftrat. Der Schraubenwert der A.R. Schraube:

$$1 \text{ Rev.} = 576314$$

ist einer früheren Arbeit ²⁾ von mir entnommen, der dort gefundene Temperaturkoeffizient ist unbedeutend und nicht berücksichtigt worden.

Die Neigung der Horizontalachse „ i “ ist jeden Abend, in der Regel zweimal, vor Beginn und nach Schluss der Beobachtungen, durch dreimaliges Anhängen der Libelle bestimmt worden. Als Parswert der Libelle wurde nach früheren Untersuchungen 1'00 angenommen, eine neuere Bestimmung ergab 0'99. Eine Ueber-

1) Abt. 42, pag. 17.

2) Abt. 43 IV.

sicht über die einzelnen Werte der Neigung in den Beobachtungsjahren lässt eine jährliche Schwankung von etwa 0°8 erkennen und zwar ist i im Sommer absolut positiver. Die Zeiten maximaler Werte von i fallen in die Monate März und September, im April und Oktober setzt die Umkehr in der Regel scharf ein. Die Schwankungen von Tag zu Tag zeigen nichts Ungewöhnliches, einige grössere Sprünge finden ihre Erklärung im Verhalten der Temperatur, sie stehen mit der jährlichen Schwankung im Einklang. Auch die Abendschwankungen halten sich in der Regel in mässigen Grenzen, sodass in den weitaus meisten Fällen mit dem Mittel der beiden Abend-Neigungswerte reduziert werden konnte. Andererseits sind zu gewissen Zeiten die Abendschwankungen dem Vorzeichen und der Grösse nach so gleichartig, dass sie unbedingt als reell angesprochen werden mussten und durch interpolierte Werte der Neigung ihre Berücksichtigung fanden. Auch diese Werte fügen sich der jährlichen Schwankung ein, indem bei ihnen in den Monaten April bis September das positive, vom Oktober bis März dagegen das negative Vorzeichen vorherrscht.

Das Azimut „k“ ist an jedem Abend durch Anschluss an einen oder mehrere Polsterne bestimmt worden, es kamen hierfür alle Ephemeriden-Sterne des N.F.K. nördlich von 77° in Frage. Auch k hat eine ausgeprägte Jahresschwankung von etwa 0°8 - 1°3, die sich eng an die Temperaturverhältnisse der Zeit anschliesst. Bedeutende Abendschwankungen sind nicht bemerkt worden, sodass in der Regel mit einem Wert von k auszukommen war. Indessen springen einzelne Abende ganz aus dem Rahmen der jährlichen Schwankung heraus, es sind solche Fälle auch schon früher beobachtet worden, COHN glaubte an eine Aenderung der Kollimation aus unbekannten Gründen, während mir eine vorübergehende Aenderung von k wahrscheinlicher vorkommt. Es ist in diesen (an sich wenigen) Fällen auf die Mitwirkung der Polsterne verzichtet und ein Wert von k durch Ausgleichung der Zeitsterne bestimmt worden. Zur Erklärung der Erscheinung kann vielleicht daran gedacht werden, dass das Instrument gelegentlich spiralförmige Bewegungen gegen den festen Anschlag ausführt. Die Feder, welche von der Ostseite her diesen Anschlag im Westen bewirken soll, ist zwar im Jahre 1910 bei der allgemeinen Ueberholung des Instruments verstärkt worden, genügt aber vielleicht immer noch nicht den Ansprüchen.

Die Fadenneigung wurde des öfteren bestimmt, nur im Anfang dieser Beobachtungsreihe hat sie Beträge erreicht, die in Rechnung gestellt werden mussten, später ist sie stets so klein gehalten worden, dass von ihrer Berücksichtigung abgesehen werden konnte.

Der Gang der Mikroskopschrauben wurde an jedem Abend aus allen Ablesungen abgeleitet, für die Lage „West“ mit dem, wie oben erwähnt, festen Anschlag genügte eine einmalige Regulierung um den Run für längere Zeiten nahezu konstant in kleiner Grösse zu halten. Beträge unter 0°03 bei längeren Reihen und unter 0°05 bei kürzeren wurden vernachlässigt. An der Ostseite, also der Seite des federnden Anschlages wurde bei wesentlicher Aenderung der Temperaturlage etwa eine Stunde vor Beginn der Beobachtungen eine Aenderung des festen Anschlages vorgenommen um den Run genähert auf 0 zu bringen. Die Aenderung des Run während eines Abends mit starkem Temperaturgefälle war übrigens für die Lage Ost deutlich bemerkbar und ist bei Pausen in längeren Beobachtungsreihen durch getrennte Werte berücksichtigt worden.

Allgemein ist noch der häufigen und vielseitigen Arten der Störungen zu gedenken, die im Laufe der Beobachtungsreihe auftreten. Ich meine hier weniger die klimatischen Verhältnisse selber, die fast jeden zweiten Beobachtungs-

abend zum vorseitigen Abbruch der Beobachtungen zwangen, als vielmehr ihre Einwirkungen auf die gesamte Schwachstromanlage des Apparates, die unter der fast stets herrschenden grossen Feuchtigkeit stark gelitten und, da ein durchgreifender Ersatz nicht stattfinden konnte, zu fortwährenden Unterbrechungen unliebsamen Anlass gegeben hat.

REDUKTION DER BEOBSACHTUNGEN.

Als Bezugssystem für die Berechnung der Oerter hat der N.F.K. von AUWERS gedient. Da in der eigentlichen Zone nur 22 Fundamentalsterne liegen, wurden, wie schon erwähnt, die Deklinationsgrenzen für diese Sterne auf $+41^\circ$ bis $+63^\circ$ erweitert und damit 125 Anhaltsterne erhalten. Es ist nach Möglichkeit darauf gesehen worden, dass das Mittel der Deklinationen der Anhaltsterne in die eigentliche Zone $+50^\circ$ bis $+55^\circ$ fiel. Die scheinbaren Oerter sind dem Berliner Jahrbuch und dem Almanaque Náutico de San Fernando entnommen. Bei der Reduktion der Rektaszensionsbestimmungen ist die TOBIAS MAYER'sche Formel verwandt worden, einmal weil wegen anderer Arbeiten auf der Sternwarte eine möglichst häufige Bestimmung der Zeit benötigt wurde, die das Bestimmen der Neigung mittelst Libelle sowieso erforderte, alsdann erschien auch eine genaue Kontrolle der Bewegungen des Instruments erwünscht. Günstig wirkt hierbei, dass dem variabelsten Element, dem Azimut in der beobachteten Zenitzone kleine Faktoren zufallen. Bei der Berechnung ist mit der Kollimation c , die tägliche Aberration $A = -0.012$ und die Kontaktbreite B zusammengezogen worden, sodass die vollständige Reduktionsformel für den scheinbaren Ort lautet:

$$\alpha = T + \Delta u + iI + kK + (c + A + B/2) C.$$

Die Reduktion der Anschlusssterne auf den Jahresanfang ist mit den Konstanten f, g, h etc. des Berliner Jahrbuchs in doppelter Rechnung ausgeführt worden, die Uebertragung auf das Normaläquinoktium 1925 geschah ebenfalls in doppelter Rechnung mittelst der RISTENPART'schen Tafeln, die für die in Betracht kommenden Jahre einer Prüfung durch Differenzenbildung erfuhren.

Aus den Anhaltsternen wurden mit den Oertern des Jahrbuchs die Uhrstände gerechnet, es genügte in fast allen Fällen ein einfaches Zeitglied zur Ausgleichung, von der Verwendung eines quadratischen Gliedes habe ich abgesehen und vorgezogen, bei längeren, durch Pausen unterbrochenen Abendreihen die Reduktion stückweise vorzunehmen, da nach Erfahrung (siehe auch COHN l.c.) Sprünge in der Aufstellung des Instruments gerade in die Pausen zu fallen pflegen. Die Ordnung der übrigbleibenden Fehler der einzelnen Abendbeobachtungen für jeden Stern ergab Werte, die sich neben dem zufälligen Fehler aus der Helligkeitsgleichung des N.F.K. und der individuellen Korrektur der Sterne zusammensetzten. Aus der Trennung der letzten beiden Einflüsse ergaben sich Werte für die H.Gl. des N.F.K., die einer Ausgleichung unterzogen wurden. Es genügte zur Darstellung eine gerade Linie mit einer leichten Knickung bei der Helligkeit $4^m 0$, auf die alles bezogen worden ist. Man gewinnt so die Zahlen der folgenden Tabelle, denen ich die entsprechenden Werte von KUESTNER ¹⁾, COHN ²⁾ und GROSSMANN ³⁾ beifüge.

1) KÜSTNER A.N. 3778.

2) COHN l.c. pag. 42.

3) GROSSMANN, Neue Annalen, München Bd. V Heft I.

Tabelle I

Helligkeitsgleichung des H.F.K. des Berliner Jahrbuchs.

Zone	JOSEPH +40°bis+63°	KUESTNER -16°bis+58°	COHN -20°bis+35°	GROSSMANN +10°bis+45°
1.5	+12.5	+13.0	+16.3	+15.1
2.0	10.0	10.3	13.0	
2.5	7.5	7.7	9.7	+ 7.1
3.0	5.0	5.2	6.4	
3.5	2.5	2.6	3.1	- 1.9
4.0	0.0	0.0	- 0.2	
4.5	- 2.0	- 2.4	3.4	1.8
5.0	4.0	4.3	5.9	
5.5	6.0	6.3	8.6	7.5
6.0	8.0	8.3	11.3	
6.5	10.0	10.3	14.0	

Die von mir bestimmten Werte sind im ganzen kleiner als die der anderen Reihen, was sich vermutlich darauf zurückführen lässt, dass der Deklinationszwischenraum hier am kleinsten ist, er enthält zudem sehr wenig helle Sterne und diese liegen z.T. noch, wie in der Cassiopeia, dicht beieinander, sodass Helligkeitsdifferenzen wenig zum Ausdruck kommen.

Eine zweite Ausgleichung der Anhaltsterne mit Berücksichtigung einiger individueller Korrekturen, deren Mitteilung ich mir, da die Beobachtungen in derselben Zone noch fortgesetzt werden, für eine spätere Gelegenheit vorbehalten, ergab die definitiven Uhrstände. Wie unumgänglich die angebrachten Korrekturen waren, geht aus ihrer Grösse hervor, in einem Falle, bei 53 Camelopardalis, beträgt die Korrektur $-0^{\circ}121$ gegenüber einem m.F. der einzelnen Beobachtung desselben Sterns von $\pm 0^{\circ}013$.

Die Helligkeitsgleichung des Beobachters ist nach früherer Erfahrung bei Anwendung des Uhrwerkmikrometers = 0 zu setzen, zur Nachprüfung dieses Resultats wurden alle Beobachtungen der Anschlusssterne herangezogen, die teils mit, teils ohne Benutzung einer Blende beobachtet waren. Es ergibt sich aus 177 Beobachtungen mit Blende, denen 197 Beobachtungen derselben 88 Sterne ohne Blende gegenüberstehen, der Unterschied:

$$\text{Schwach - Hell} = -0^{\circ}0022 \pm 0^{\circ}0014$$

für eine Grössenklasse, ein Wert der keine Berücksichtigung gefunden hat, zumal in ihm die E.B. der Sterne zwischen den Beobachtungen nicht ganz eliminiert ist.

Die Vergleichung der beiden Kreislagen, die früher (siehe COHN l.c. pag.28) dazu geführt hatte, nicht unbeträchtliche Korrekturen zur Reduktion auf das Lagenmittel anzusetzen, ergab den Wert

$$0 - W / 2 = +0^{\circ}00003$$

aus 512 in beiden Lagen beobachteten Sternen, verschwindet also vollständig. Die von COHN gefundene ausgesprochene Korrektur ist demnach wohl auf die Art der Reduktion zurückzuführen. Für die Reduktion der Anschlusssterne wurde in den meisten Fällen, nämlich bei konstanten Werten der Instrumentalfehler, die Summe der Instrumentalkonstanten für jeden Deklinationsgrad von $+49^{\circ}$ bis $+55^{\circ}$ errechn-

net und aus den so gewonnenen Täfeln für die einzelnen Sterne interpoliert. Bei konstantem Uhrstande konnte auch Δu mit hinzugenommen werden, sodass sich dann die Reduktion denkbar einfach vollzog.

Bei der Reduktion der Deklinationen wurde an die vom Gang der Mikroskopachrauben, Parallelkorrektur und Fadenneigung befreiten Ablesungen die Refraktion nach den Tafeln von DE BALL angebracht, die eine geringe Korrektur : $1/8$ statt $3/8$ im Faktor des Dampfdrucks erfuhren. Barometerhöhe wie Dampfdruck spielen übrigens bei den kleinen in Frage kommenden Zenitdistanzen nur eine untergeordnete Rolle.

Die nun auf Grund der Carter des Berliner Jahrbuchs gebildeten Aequatorpunkte wurden für jeden Abend, eventuell unter Berücksichtigung eines linearen Ganges, gemittelt und die Abweichungen „ v_o “ und „ v_w “ für jede Lage getrennt nach Deklinationen geordnet. Es entsteht dann die folgende Tabelle :

Tabelle II.

Dekl.		Ost v_o	n	Dekl.		West v_w	n
+40°	2'	(-0.05	1)	+40°	51'	-0.24	2
41	42	+0.36	38	41	41	-0.24	44
42	38	+0.23	10	42	10	-0.30	8
43	34	+0.03	29	43	35	-0.21	47
44	57	+0.02	30	44	57	-0.25	27
45	45	+0.17	14	45	37	-0.07	10
46	23	-0.04	25	46	22	-0.19	25
47	35	-0.13	29	47	35	+0.25	22
48	33	-0.21	42	48	23	+0.35	46
49	39	-0.21	46	49	37	+0.35	39
51	14	-0.41	46	51	5	+0.52	54
52	18	-0.54	31	52	13	+0.48	48
53	14	-0.35	40	53	14	+0.28	31
54	27	-0.19	28	54	20	+0.26	24
55	24	-0.13	28	55	26	-0.15	34
56	35	+0.12	63	56	36	-0.26	69
57	25	+0.32	37	57	24	-0.28	52
58	43	+0.45	40	58	43	-0.37	41
59	28	+0.25	49	59	27	-0.19	57
60	26	+0.27	25	60	31	-0.31	30
61	41	+0.33	6	61	49	(+0.07	5)

Betrachtet man die Werte dieser Tabelle näher und überlegt, dass vom Zenit (55°) ab die gleichen Teilstriche für die Ost- und Westlage in umgekehrter Reihenfolge laufen, so erkennt man, dass die Werte 48° bis 61° der einen Lage mit den 61° bis 48° der andern so nahe übereinstimmen, dass es naheliegt, diese Abweichungen als systematische Teilfehler für diese Strecke des Kreises anzusprechen. Ihre Mittelung und graphische Ausgleichung hat schliesslich zu der folgenden Tabelle der Teilfehler geführt, die auch auf die Teile ausgedehnt wurde, für die nicht eine Belegung mit doppelten Werten vorhanden war.

Tabelle III.

Kreis Ost.				Kreis West.			
Einstellg.	T.-F.	Einstellg.	T.-F.	Einstellg.	T.-F.	Einstellg.	T.-F.
14°	+0.32	3°	-0.45	166°	-0.24	177°	+0.44
13	+0.32	2	-0.34	167	-0.24	178	+0.28
12	+0.16	1	-0.22	168	-0.24	179	+0.10
11	+0.04	0	-0.10	169	-0.24	180	-0.10
10	+0.06	359	+0.10	170	-0.20	181	-0.22
9	+0.06	358	+0.28	171	-0.14	182	-0.34
8	-0.08	357	+0.44	172	+0.06	183	-0.45
7	-0.18	356	+0.42	173	+0.30	184	-0.33
6	-0.19	355	+0.30	174	+0.31	185	-0.20
5	-0.20	354	+0.31	175	+0.30	186	-0.19
4	-0.33	353	+0.30	176	+0.42	187	-0.18

Nach Anbringung dieser Werte sind die Abende neu ausgeglichen und Korrekturen aus den Abweichungen v_0 und v_w für jeden Anhaltstern gebildet worden. Diese Korrekturen, die nur für eine verschwindende Anzahl von Sternen Berücksichtigung erfahren haben, erreichen nur in einem Fall ¹⁾ von den verwandten 125 Anhaltsternen die halbe Bogensekunde. Die Mitteilung dieser individuellen Korrekturen des N.F.K. unterbleibt hier aus dem gleichen Grunde wie bei den Rektaszensionen.

Die weitere Reduktion der Anschlusssterne auf den mittleren Ort und Uebertragung auf das Normaläquinoktium 1925 geschahen in gleicher Weise wie bei den Rektaszensionen. Der Unterschied O-W/2 ergab sich aus 527 Sternen zu +0.015, ein Betrag der nicht berücksichtigt wurde, ebenso wie die sich als belanglos herausstellende Helligkeitsgleichung in Deklination.

BEZIEHUNGEN ZUM N. F. K., VERGLEICHUNG MIT BOSS' P. O. C. UND BONN 1900.

Nach dem im vorigen erläuterten Reduktionsverfahren und in Hinblick auf die geringe Breite der Zone, war ein enger Anschluss an den N.F.K. von AUWERS ohne weiteres zu erwarten. Immerhin hat es bei manchen Beobachtungsreihen von gleicher Ausdehnung nicht selten Ueberraschungen in Bezug auf die Beziehungen zum Anhaltssystem gegeben. Es sind deshalb in der folgenden Tabelle die übrigbleibenden Abweichungen der Anhaltsterne nach α und δ geordnet zusammengestellt. Für die Rektaszensionen bot sich die Ordnung nach Stunden als das Gegebene, da sich die benutzten 125 Sterne einigermaßen gleichmässig auf die Stunden verteilen. In Deklination liegen die Anhaltsterne zwischen +41° und +63°,

1) Es betrifft dies α Andromedae mit einer Korrektur von +0.64; PRAGER, Veröffentlichungen Berlin-Babelsberg, Bd. V 3 findet für eine 5 Jahr spätere Epoche +0.77.

hier war die Einteilung nach vollen Graden nicht zweckmässig; sie wäre zu ungleich ausgefallen, namentlich auch deshalb, weil ich die Sterne in und nahe der eigentlichen Beobachtungsszone nach Möglichkeit bevorzugt habe. Es sind daher die Sterne nach der Deklination geordnet in Gruppen annähernd gleicher Beobachtungsanzahl zusammengefasst worden.

Tabelle IV.

EINHEIT DIE 4. BEZU. 3. DEZIMALE.

	$\Delta\alpha$			$\Delta\delta_\alpha$				$\Delta\alpha\delta$			$\Delta\delta\delta$			
0 ^h	+	31	88	-	49	91	41.5	+	5	69	41.5	-	39	69
1	+	33	57	+	6	59	42.4	+	32	68	42.4	+	1	71
2	-	27	68	-	1	77	44.0	-	24	79	44.0	-	11	89
3	-	13	53	-	12	64	45.5	-	1	74	45.4	-	19	72
4	-	8	59	-	13	57	47.1	-	14	80	47.1	-	15	71
5	+	7	59	+	48	62	48.2	+	1	78	48.2	-	14	74
6	-	30	58	+	56	60	49.1	-	57	77	49.1	+	23	85
7	+	9	41	-	51	41	49.9	+	5	70	49.9	+	15	73
8	-	3	79	+	9	80	51.2	+	1	84	51.2	+	75	77
9	-	14	44	-	44	51	52.1	-	9	88	52.1	+	45	78
10	+	21	84	-	10	85	53.0	-	10	75	52.9	+	15	77
11	+	3	70	+	15	66	54.1	+	15	74	54.2	+	20	67
12	-	12	60	-	1	54	55.3	+	43	65	55.3	-	10	54
13	+	19	46	-	34	50	56.2	+	20	74	56.1	-	21	74
14	+	3	60	+	20	52	56.8	-	40	94	56.8	-	27	85
15	+	24	49	-	22	35	57.4	-	14	88	57.4	+	34	90
16	-	28	62	+	45	39	58.6	+	6	73	58.7	-	8	69
17	-	2	61	+	10	45	59.2	-	6	87	59.2	-	76	77
18		0	40	-	147	36	59.9	+	43	72	59.9	+	24	74
19	+	2	119	+	57	109	61.2	-	4	47	61.1	-	47	48
20	-	3	41	-	74	43								
21	-	47	82	-	11	80								
22	+	47	83	+	27	80								
23	-	76	53	+	41	58								

Das Mittel aller Beobachtungen ergibt sich zu -0.0002 (1516) resp. -0.0005 (1474). Ein Blick auf die Tabelle IV lehrt, dass der Anschluss an den N.F.K. im ganzen wie im einzelnen gelungen ist. In den Stunden 18^h-0^h sind die etwas grösseren Zahlen der $\Delta\alpha_\alpha$ und $\Delta\delta_\alpha$ vielleicht teilweise den ungünstigen Witterungsverhältnissen zuzuschreiben, die Beobachtungen dieser Stunden fallen in die Herbst- und Wintermonate. Bei den $\Delta\delta_\alpha$ verschwinden übrigens schon alle grösseren Werte, wenn man nur je 2 Stunden zu einem Werte zusammenfasst und über eine solche Zeit haben sich die Beobachtungen in den meisten Nächten mindestens ausgedehnt. Die Ordnung nach Deklinationen ergibt für $\Delta\alpha_\delta$ das gleiche Bild regen Zeichenwechsels und kleiner absoluter Werte, in $\Delta\delta_\delta$ macht sich eine Häufung

des positiven Vorzeichens für die Zone der Anschlusssterne bemerkbar; ich habe indessen von einer Korrektur aus diesem Anlass abgesehen, da die Werte gering sind, eine mittlere Korrektur würde etwa -0.04 betragen. Der Grund für diese systematische Abweichung ist wohl unschwer in Teilfehlerresten zu erblicken.

Bei der Vergleichung mit BOSS, Preliminary General Catalogue, die in Tabelle V gegeben ist, geschah die Uebertragung der Oerter auf 1925 für beide Kataloge mit den E.B. des P.G.C. und der NEWCOMB'schen Präzession.

Tabelle V .

V E R G L E I C H U N G M I T B O S S P . G . C .

Nr.				Nr.				Nr.			
J B		J-B		J B		J-B		J B		J-B	
		$\Delta\alpha$	$\Delta\delta$			$\Delta\alpha$	$\Delta\delta$			$\Delta\alpha$	$\Delta\delta$
5	46	+0.030	-0.35	106	1082	-0.056	+0.02	223	2655	+0.009	-0.65
8	67	- 0.23	-0.22	107	1083	- 155	-0.29	225	2684	- 047	-0.20
9	71	- 0.97	-0.25	110	1102	- 006	+0.19	235	2740	- 103	+0.62
13	96	- 0.82	+0.56	113	1150	- 083	+0.24	241	2828	- 110	+0.02
14	97	+ 0.38	-0.09	114	1155	- 091	+0.24	245	2895	- 042	+0.06
16	115	+ 0.32	-0.68	115	1161	- 029	+0.14	246	2896	- 028	+0.04
17	118	- 0.05	-0.47	117	1176	- 019	+0.13	252	2963	- 011	+0.10
20	154	- 0.39	+1.08	120	1202	- 033	+0.04	254	2977	- 044	+0.03
22	166	+ 0.13	-0.36	131	1348	- 049	+0.68	255	2980	+ 022	+0.25
23	172	- 0.22	+0.28	133	1385	+ 015	-0.72	272	3186	- 077	-0.10
26	183	+ 0.57	+0.51	134	1397	- 086	-0.01	276	3230	+ 077	-0.11
27	186	- 0.15	-0.49	136	1411	- 013	-0.04	279	3261	- 089	+0.21
29	192	- 0.80	+0.11	141	1499	- 053	-0.01	280	3267	- 010	+0.05
33	244	0.00	-0.72	146	1593	- 028	-0.03	288	3373	- 043	+0.17
35	264	- 0.18	-0.61	157	1797	- 015	-0.10	296	3450	- 031	+0.09
47	409	- 0.34	-0.51	160	1846	- 059	+0.16	301	3523	+ 052	-0.07
49	412	+ 1.21	+0.42	162	1902	+ 064	+0.27	303	3530	+ 018	-0.07
50	415	- 0.55	+0.39	163	1903	- 059	-0.09	304	3536	+ 024	-0.27
52	459	- 0.51	-0.52	173	2022	+ 052	+0.16	307	3561	- 063	+0.18
56	481	- 0.66	-0.47	176	2057	- 161	-0.16	309	3597	- 073	+0.51
62	552	0.00	+0.43	188	2210	- 010	+0.37	313	3619	+ 032	+0.17
64	573	- 0.13	-0.44	191	2260	- 027	+0.14	314	3631	- 081	+0.57
65	585	- 0.13	-0.12	194	2289	- 083	+0.31	317	3652	- 013	+0.44
67	609	- 0.90	+0.43	204	2430	+ 001	-0.33	318	3654	+ 031	+0.17
73	678	- 0.22	+0.01	206	2443	- 053	-0.56	319	3674	- 059	-0.69
77	729	- 0.05	+0.34	208	2469	+ 020	-0.09	324	3715	- 007	+0.22
82	791	- 0.54	-0.51	209	2470	- 002	-0.39	326	3728	+ 058	0.00
90	900	+ 0.35	-0.16	210	2476	- 062	-0.44	327	3733	- 064	-0.38
93	938	- 0.27	-0.26	211	2502	+ 027	+0.53	329	3741	+ 018	-0.25
96	974	- 0.72	+0.21	213	2522	+ 003	-0.13	330	3743	+ 008	+0.32
98	986	- 0.39	-0.15	217	2565	- 047	+0.21	336	3822	- 017	-0.13
99	992	- 0.18	-0.71	222	2637	- 049	+0.32	341	3856	+ 031	+0.65

J	B	$\Delta\alpha$	$\Delta\delta$	J	B	$\Delta\alpha$	$\Delta\delta$	J	B	$\Delta\alpha$	$\Delta\delta$
345	3909	-0 ^h 018	-0 ^m 76	423	4855	+0 ^h 076	-0 ^m 78	475	5392	+0 ^h 006	-0 ^m 37
346	3911	- 029	+0.13	424	4869	- 018	+0.14	477	5405	+ 008	-0.80
351	3972	+ 063	+0.61	426	4878	+ 005	+0.16	480	5447	+ 029	+0.39
352	3977	- 050	+0.47	431	4939	- 020	-0.40	485	5485	+ 117	-0.54
356	4004	+ 008	+0.17	432	4957	+ 022	-0.06	488	5518	- 050	-0.65
362	4085	+ 056	-0.37	434	4966	+ 011	+0.12	489	5528	- 038	-0.08
372	4229	+ 004	+0.11	436	4980	+ 054	+0.70	490	5531	- 001	+0.33
373	4232	- 019	+0.05	438	4994	- 040	+0.40	492	5548	- 048	-0.15
379	4354	+ 002	-0.30	439	5005	- 003	+0.88	495	5580	- 030	+0.15
390	4494	- 015	-0.45	440	5011	+ 050	-0.23	500	5633	+ 009	-0.35
392	4511	+ 054	+0.28	442	5026	- 043	-0.13	502	5638	- 092	+0.27
400	4609	- 043	+0.26	444	5037	+ 011	-0.63	503	5664	+ 045	+0.10
405	4647	- 017	-0.85	448	5038	- 041	-1.11	507	5713	+ 001	+0.23
409	4711	+ 026	-0.42	450	5075	+ 078	+0.18	512	5788	- 104	+0.84
411	4728	- 025	-0.51	452	5117	- 019	+0.58	517	5837	+ 031	-0.07
412	4733	- 106	-0.58	454	5130	- 065	-0.24	528	5989	- 082	-0.06
414	4765	- 012	+0.06	456	5163	- 002	-0.12	536	6075	- 060	-0.08
416	4787	- 117	-1.08	458	5183	- 044	+0.11	541	6117	- 006	-0.05
419	4799	+ 035	+0.17	471	5352	- 094	-0.59	542	6141	- 042	-0.54
420	4842	- 104	+0.03	473	5381	+ 020	-0.08	545	6155	- 009	-0.03

Fasst man die Grössen $\Delta\alpha$ und $\Delta\delta$ für je 3 Stunden zusammen und gleicht nach $\sin \alpha$ und $\cos \alpha$ aus, wie es B.BOSS ¹⁾ für die Vergleichung des P.G.C. mit dem N.F.K.getan, so ergibt sich für B - J

$$\Delta\alpha_a = +0^h021 + (+0^h018 \sin \alpha + 0^h004 \cos \alpha) \sec \delta$$

$$\Delta\delta_a = -0^m03 \sin \alpha + 0^m06 \cos \alpha$$

mit der folgenden Darstellung, die in Ansehung der geringen Anzahl der Sterne befriedigend ist.

Tabelle VI.

Zeit	Sterne	$\Delta\alpha_a$	$\Delta\delta_a$
0 ^h - 2 ^h	25	-0 ^h 005	+0 ^h 03
3 - 5	20	+ 002	+ 03
6 - 8	10	- 003	- 05
9 - 11	18	+ 002	+ 10
12 - 14	20	+ 004	- 01
15 - 17	12	- 009	- 06
18 - 20	31	+ 007	+ 11
21 - 23	18	000	- 15

Die Vergleichung mit BONN 1900 (Kü) ergab 74 gemeinsame Sterne, von

1) Astronomical Journal Nr.615.

welchen bei 39 die später zu erörternden E.B. zur Reduktion auf die Epoche verwandt werden konnten. Der durchschnittliche Epochenunterschied beträgt ca. 16 Jahre. Die Tabelle VII der Einzelwerte zeigt, besser als es errechnete Fehler

Tabelle VII.

VERGLEICHUNG MIT BONN 1900 (Kü).

Nr.				Nr.				Nr.			
J	Kü	$\Delta\alpha$	$\Delta\delta$	J	Kü	$\Delta\alpha$	$\Delta\delta$	J	Kü	$\Delta\alpha$	$\Delta\delta$
5	82	-0.014	-0.34	168	3252	+0.008	-0.16	380	7618	-0.005	-0.33
11	167	-	0.20	170	3349	+	0.27	385	7707	-	0.26
23	312	-	0.17	173	3392	-	0.37	387	7733	-	0.59
25	319	+	0.03	175	3416	-	0.08	391	7878	-	0.21
31	400	-	0.09	189	3717	-	0.31	392	7906	+	1.03
37	532	+	0.45	199	3881	-	0.22	404	8122	+	0.74
41	634	+	0.18	223	4378	+	0.64	407	8211	+	0.19
50	769	-	0.01	229	4489	+	0.24	417	8375	+	1.24
53	838	+	0.42	232	4522	+	0.17	419	8384	+	0.49
62	1025	+	0.06	242	4749	+	0.09	429	8563	+	0.23
77	1363	-	0.04	253	4974	-	0.08	432	8600	+	0.30
81	1449	+	0.21	264	5245	-	0.54	438	8658	-	0.11
87	1599	-	0.33	281	5579	+	0.01	444	8740	-	0.20
90	1665	-	0.19	285	5627	+	0.09	447	8765	+	0.07
93	1737	-	0.06	296	5880	-	0.11	453	8842	-	0.21
97	1819	-	0.18	305	6074	+	0.25	460	8984	-	0.03
98	1828	+	0.27	314	6254	+	0.33	476	9297	+	0.22
109	2012	-	0.52	324	6410	+	0.08	495	9627	+	0.11
110	2024	+	0.16	327	6450	-	0.25	504	9776	+	0.16
112	2085	-	0.48	332	6506	+	0.08	507	9827	+	0.28
127	2342	+	0.09	336	6615	+	0.29	517	10038	+	0.12
130	2406	-	0.10	342	6703	+	0.60	522	10183	-	0.12
138	2522	+	0.40	345	6789	+	0.80	536	10472	+	0.01
151	2874	-	0.28	364	7177	+	0.17	538	10522	+	0.59
154	2995	-	0.49	371	7358	-	0.62				

können, dass der Hauptzweck der vorliegenden Arbeit gelungen ist; es galt den Nachweis zu erbringen, dass bei genügender Vorsicht auch mit dem kleinen und veralteten Instrument sich brauchbare Deklinationen bestimmen lassen. Bei den wenigen grösseren Werten handelt es sich stets um Sterne, für welche die E.B. noch unsicher bestimmt oder meist gänzlich unbekannt ist.

DIE MITTLEREN FEHLER.

Zur Berechnung der m.F. einer Beobachtung ist das ganze Material herangezogen worden, ausgenommen, hier wie bei den früheren Untersuchungen, einige Sterne mit grosser E.B. und gleichzeitig grösseren Epochendifferenzen zwischen den einzelnen Beobachtungen. Eine Ordnung der m.F. nach der Helligkeit der Sterne führt zu der nachstehenden Tabelle, in welcher die Fehler in Rektaszension auf den Aequator reduziert sind.

Tabelle VIII.

Gr.	α	δ
> 7.0	$\pm 0^{\circ} 0158 \text{ sec } \delta$	$\pm 0^{\circ} 237$
7.1 - 8.0	0162 "	243
8.1 - 9.0	0164 "	246
9.1 - 9.3	0184 "	276
9.4 -	0213 "	320
		152
		99
		196
		56
		19
		154
		99
		204
		56
		20

Im Mittel findet sich aus allen

in $\alpha \pm 0^{\circ} 0166 \text{ sec } \delta$ resp. $\pm 0^{\circ} 249$ aus 522 Sternen
 in $\delta \pm 0^{\circ} 431$ aus 531 Sternen.

Man bemerkt, dass sich die m.F. in beiden Koordinaten mit der abnehmenden Helligkeit der Sterne ständig vergrössern, bis zur Grösse 9.0 unwesentlich, dann steil ansteigend. Eine Ordnung der Fehler nach den Rektaszensionen lässt ein Minimum für die Stunden $18^h - 0^h$, deren Beobachtung wesentlich in die Herbstmonate fällt, erkennen; die maximalen Fehler fallen in die Sommermonate und sind wohl der allgemeinen Aufhellung des Himmels zuzuschreiben, welche die Beobachtung schwächerer Sterne sehr beeinträchtigt.

Als m.F. eines Katalogortes mit durchschnittlich 4.16 Beobachtungen in Rektaszension und 4.27 in Deklination ergibt sich schliesslich

$$m.F._{\alpha} = \pm 0^{\circ} 0081 \text{ sec } \delta \text{ resp. } \pm 0^{\circ} 122$$

$$m.F._{\delta} = \pm 0^{\circ} 209$$

Ein anderes Kriterium für die Genauigkeit der gemittelten Ortsangaben besteht in der Ableitung des Fehlers aus Vergleichen mit andern erprobten Katalogen. Es soll hier nur auf die Deklinationen angewandt werden, nachdem die Fehler in Rektaszension in früheren Arbeiten an dem Instrument hinreichend erörtert worden sind. Als Vergleichskatalog bietet sich BONN 1900 und die im vorigen Kapitel Tabelle VII angeführten Werte „J-Kü“. Man findet dann unter Verwendung der Werte auf pag. 116 des genannten Katalogs, nämlich w.F. der Einzelposition im Deklinationsbereich $+36^{\circ}$ bis $+51^{\circ}$ w.F. = $\pm 0^{\circ} 26$ und Annahme von durchschnittlich 2.4 Beobachtungen in BONN, als m.F. einer Deklination des vorliegenden Katalogs $\pm 0^{\circ} 224$. Wie man sieht, kommt man ungefähr auf den gleichen Fehler für den Katalogort wie bei der Rechnung aus der inneren Uebereinstimmung, trotz eines Epochenunterschiedes von ca. 16 Jahren, für welche die E.B. nur teilweise berücksichtigt werden konnte.

BEMERKUNGEN ZU DEN EINZELBEOBACHTUNGEN UND ZUM KATALOG.

Die nachstehenden Einzelbeobachtungen sind in der üblichen Form mitgeteilt; von zwei gegebenen Werten der Epoche gilt der untere für die Deklination. Da Gewichte nicht erteilt worden sind, habe ich darauf verzichtet, gelegentliche Bemerkungen über Luftunruhe, Verwaschenheit der Bilder und andere, die Sicherheit der Beobachtungen beeinflussende Umstände mitzuteilen.

Der dann folgende Katalog beginnt mit der laufenden Nummer, ein Stern hinter derselben deutet auf eine Bemerkung oder einen Zusatz am Schluss der Seite.

Es folgt die Bezeichnung in der zweiten Spalte, hier ist entweder die B.D.-Nummer angegeben oder, sofern der Stern dem P.G.C. angehört, dessen Nummer mit dem Kennbuchstaben B (BOSS).

Spalte III gibt unter der Ueberschrift „Gr.“ die Helligkeit entweder nach eigenen Schätzungen, die aus Raumersparnis bei den Einzelbeobachtungen nicht mitgeteilt worden sind, oder und zwar bei allen helleren Sternen, die Grösse nach der P.D. Damit sind die Helligkeitsangaben zwar nicht einheitlich, in diesem Katalog bedeuten sie jedoch nur ein Nebenmoment zur Identifizierung der Sterne.

Spalte IV und VII enthalten die Rektaszension bzw. Deklination für das Aequinoxtium 1925 und die Epoche der Beobachtung. Wegen der Angabe der Beobachtungsanzahl, die ebenfalls aus Raumersparnis wegfiel, muss auf die Einzelwerte verwiesen werden, im Durchschnitt handelt es sich, wie früher erwähnt, um 4 Beobachtungen jedes Sterns.

Die Spalten V für die Rektaszension und VIII für die Deklination geben die mittleren Beobachtungsepochen, endlich enthalten VI und IX die Präzession und Säkularvariation nach STRUVE. Die Präzessionswerte sind mit Hilfe der BECKER'schen Tafeln zweimal unabhängig gerechnet worden, die Var saec. einmal streng, ein anderes Mal nach den Tafeln von PSILANDER.

Für einen grossen Teil der Sterne liegen Eigenbewegungen vor, die am Schluss des Katalogs in einer Tabelle unter Angabe der Autorität zusammengestellt sind. Für die 156 BOSS-Sterne sind die Werte dem P.G.C. entnommen, weitere 90 E.B. entstammen dem Eigenbewegungslexikon von SCHORR oder dessen Nachträgen, endlich sind 22 in der Tabelle mit „J.“ gekennzeichnete von mir gerechnete neue E.B. Diese letzteren beruhen auf mindestens 4 Oertern, in der Regel sind vertreten die A.G.-Kataloge Cbr.M., Bo. oder Hels., ferner eventuell Bo.VI, A.Oe. und Kh., in je einem Fall Lal. und Fed., sonst habe ich auf Mitnahme dieser ältesten Kataloge keinen Wert gelegt.

Eine Anzahl von E.B. der Tabelle findet übrigens keine Bestätigung durch die vorliegenden Beobachtungen, ich habe diese jedenfalls noch unsicheren Werte eingeklammert. Es handelt sich hier meistens um E.B. aus Cbr.M., die in der Hauptsache wohl auf LALANDE beruhen.

Wie schon eingangs erwähnt, wurden sämtliche Beobachtungen am Okular und Kreis von mir ausgeführt, auch das Ablesen der Chronographenstreifen fiel mir allein zu, bei der weiteren Bearbeitung der Beobachtungen hatte ich mich nacheinander der Mithilfe der Herren E. DRESSLER und Dr. P. MEIER zu erfreuen, ihnen gilt für ihre Mühewaltung mein aufrichtiger Dank.

1. Oh 1^m +50°45'
 18 Okt 17 0 " 46.68
 " 28 0 5.287 47.06
 Nov 23 0 314 47.78
 19 Okt 21 W 333 47.43
 19 Okt 22 W 281 46.58
 20 Nov 1 0 350 46.08
 Dez 8 0 284 47.11
 19.85 5.308 46.96
 19.70

2. Oh 4^m +52°50'
 18 Nov 24 0 40.236 12.15
 Dez 7 0 289 11.33
 19 Okt 30 W 253 12.08
 Nov 8 W 282 12.88
 20 Dez 8 0 11.99
 19.38 40.265 12.09
 19.69

3. Oh 6^m +54°28'
 19 Okt 22 W 46.114 26.84
 " 28 W 099 27.09
 20 Jan 6 W 048 27.52
 Dez 12 0 120 27.36
 20.15 46.095 27.20

4. Oh 8^m +51°57'
 18 Nov 24 0 51.116 43.43
 Dez 5 0 168 43.86
 19 Okt 30 W 122 44.31
 Nov 8 W 104 43.15
 20 Dez 14 0 163 44.29
 19.69 51.135 43.81

5. Oh 13^m +51° 0'
 12 Dez 29 0 44.029 58.90
 18 Okt 27 0 59.13
 Nov 23 0 43.965 59.00
 19 Jan 3 W 43.971 59.26
 Okt 15 W 43.984 59.46
 20 Dez 12 0 44.013 59.34
 18.33 43.992 59.18
 18.40

6. Oh 15^m +50°20'
 13 Jan 4 0 49.293 1.76
 18 Okt 28 0 287 1.67
 19 Okt 18 W 240 1.46
 " 21 W 248 1.30
 17.85 49.267 1.55

7. Oh 18^m +54°13'
 12 Dez 29 0 44.763 46.41
 18 Nov 23 0 706 47.37
 19 Jan 3 W 665 46.80
 Okt 22 W 698 46.45
 20 Dez 8 0 656 46.59
 18.33 44.698 46.72

8. Oh 20^m +51°36'
 13 Jan 4 0 12.673 15.00
 18 Nov 24 0 657 15.56
 19 Okt 23 W 660 15.10
 19 Okt 28 W 636 15.89
 20 Dez 12 0 660 15.60
 18.50 12.657 15.43

9. Oh 21^m +52°37'
 18 Okt 15 0 2.324 52.61
 Dez 5 0 362 52.88
 " 7 0 360 52.75
 19 Okt 18 W 331 51.92
 " 30 W 378 52.93
 19.25 2.351 52.62

10. Oh 23^m +52°32'
 18 Nov 23 0 47.519 26.86
 19 Okt 21 W 592 25.98
 " 28 W 547 25.83
 Dez 29 W 584 26.30
 20 " 8 0 543 26.64
 19.89 47.557 26.32

11. Oh 23^m +50°29'
 18 Okt 28 0 48.532 55.86
 Nov 24 0 537 55.64
 19 Okt 22 W 505 56.41
 Nov 9 W 505 56.36
 19.34 48.520 56.07

12. Oh 26^m +52°52'
 18 Dez 7 0 55.592 47.89
 19 " 3 W 607 48.31
 19.42 55.600 48.10

13. Oh 27^m +52°25'
 13 Jan 3 0 34.257 32.44
 19 " 3 W 213 32.62
 Okt 30 W 172 33.02
 20 Dez 12 0 225 32.45
 18.20 34.217 32.63

14. Oh 27^m +54° 6'
 12 Dez 29 0 37.460 29.39
 14 Jan 6 0 29.39
 19 Okt 22 W 527 29.47
 Nov 8 W 443 30.66
 20 Dez 14 0 518 30.82
 18.40 37.487 29.95
 17.52

15. Oh 30^m +54°31'
 19 Dez 29 W 11.661 44.24
 20 Jan 6 W 651 44.90
 22 Okt 20 0 702 44.70
 " 28 0 643 44.33
 21.40 11.664 44.54

16. Oh 31^m +53°47'
 18 Dez 7 0 17.972 24.76
 19 Dez 28 W 18.021 24.51
 20 Jan 10 W 17.977 24.86
 Dez 14 0 18.034 25.05
 19.97 18.001 24.80

17. Oh 31^m +53°45'
 19 Dez 3 W 57.191 19.82
 " 11 W 215 19.76
 20 " 8 0 185 19.58
 22 Okt 19 0 194 19.68
 20.90 57.196 19.71

18. Oh 37^m +51°33'
 18 Okt 28 0 53.259 30.42
 19 Okt 21 W 246 29.78
 Nov 8 W 247 30.58
 20 Jan 18 209 31.02
 19.63 53.240 30.45

19. Oh 40^m +53°44'
 19 Dez 3 W 8.004 30.62
 " 11 W 8.020 30.57
 20 " 14 0 7.921 31.33
 22 Okt 20 0 7.944 32.06
 20.90 7.972 31.14

20. Oh 41^m +54°48'
 18 Nov 22 0 0.078 40.84
 Dez 7 0 053 40.34
 19 " 29 W 119 40.86
 20 Jan 6 W 126 40.40
 19.45 0.094 40.61

21. 0h43m +50°41'
18 Nov 20 O 10:021 13:07
19 " 8 W 052 13.10
" 9 W 016 13.67
19.53 10.030 13.29

22. 0h43m +51° 2'
18 Nov 21 O 43:726 9:02
19 Jan 3 W 694 8.41
Dez 3 W 757 8.42
19.27 43.726 8.62

23. 0h44m +50°33'
18 Okt 28 O 34:376 34:06
20 Jan 10 W 379 33.80
" 18 W 343 33.82
22 Nov 6 O 419 33.67
20.43 34.379 33.84

24. 0h44m +53°36'
18 Dez 5 O 54:952 6:61
19 " 11 W 857 7.62
20 Jan 6 W 898 7.25
22 Okt 28 O 862 7.18
20.42 54.892 7.16

25. 0h46m +50°13'
13 Jan 3 O 9:476 19:79
" 16 O 497 19.45
19 Okt 22 W 441 19.32
20 Jan 10 W 442 19.62
16.47 9.464 19.54

26. 0h46m +51° 5'
22 Okt 19 O 39:310 58:89
" 20 O 316 58.53
Dez 23 W 265 59.00
22.86 39.297 58.81

27. 0h47m +51° 9'
13 Jan 4 O 16:431 49:26
14 Jan 6 O 427 48.96
19 Okt 23 W 477 48.45
" 30 W 479 48.68
16.67 16.453 48.83

28. 0h48m +52°19'
18 Nov 20 O 22:691 34:57
19 " 9 W 687 34.56
Dez 3 W 704 34.46
20 " 8 O 693 33.87
19.90 22.694 34.36

29. 0h49m +52°16'
18 Okt 28 O 27:195 56.91
Nov 21 O 246 57.92
19 Dez 11 W 196 58.27
" 29 W 201 58.03
20 Dez 14 O 248 57.34
19.72 27.217 57.69

30. 0h55m +54°22'
18 Nov 20 O 17:558 25:08
19 Okt 30 W 501 24.17
Dez 29 W 590 25.16
22 Okt 20 O 508 25.32
20.38 17.539 24.93

31. 0h56m +50°28'
19 Okt 28 W 34:762 30:43
Dez 3 W 740 30.86
20 Jan 6 W 789 30.62
Dez 8 O 783 30.84
20.18 34.768 30.69

32. 0h59m +52° 6'
19 Nov 9 W 37:282 3:68
Dez 3 W 297 3.78
20 Jan 6 W 278 3.42
Dez 8 O 245 3.16
20.18 37.275 3.51

33. 1h 3m +54°33'
13 Jan 4 O 11:335 29:23
14 Jan 6 O 11.717 28.09
19 Okt 28 W 13.996 18.05
Nov 8 W 14.032 17.88
16.67 12.770 23.31

34. 1h4m +53°44'
13 Jan 3 O 35:920 52:91
" 16 O 971 52.97
19 Dez 3 W 992 52.28
" 28 W 959 52.69
16.49 35.962 52.71

35. 1h 6m +54°45'
18 Okt 28 O 31:231 5:12
Nov 20 O 246 3.57
19 Jan 3 W 260 4.64
Nov 9 W 291 4.50
20 Dez 8 W 264 4.89
19.50 31.258 4.54

36. 1h15m +54°33'
13 Jan 4 O 1:121 44:23
14 Jan 6 O 198 44.62
19 " 3 W 152 45.02
Nov 8 W 183 44.80
16.47 1.163 44.57

37. 1h14m +50°24'
13 Jan 16 O 46:627 35:63
18 Nov 20 O 602 36.14
19 " 9 W 559 35.62
Dez 3 W 562 36.26
17.92 46.588 35.91

38. 1h17m +52°35'
13 Jan 4 O 16:396 24:26
18 Nov 21 O 338 22.40
19 Dez 28 W 22.99
" 29 W 360 23.77
20 Dez 8 O 351 23.20
18.21 16.361 23.32
18.56

39. 1h20m +54° 0'
18 Nov 25 O 26:325 0:68
19 Dez 3 W 397 0.96
20 Jan 6 W 328 0.11
Dez 14 O 359 1.31
19.94 26.352 0.76

40. 1h23m +51°25'
18 Nov 22 O 0:402 11:52
19 Dez 28 W 435 11.53
20 Jan 10 W 427 11.99
22 Okt 20 O 394 11.84
20.42 0.414 11.72

41. 1h27m +50°26'
13 Jan 16 O 54:248 18:43
18 Nov 21 O 319 18.08
19 Nov 8 W 307 17.79
Dez 3 W 249 18.90
17.92 54.281 18.30

42. 1h28m +54°33'
18 Nov 22 O 40:930 34:33
" 25 O 975 34.10
19 Jan 3 W 930 35.30
Nov 9 W 977 35.62
20 Dez 12 O 41.010 36.23
" 14 O 40.979 35.78
19.76 40.967 35.23

43. 1^h30^m +54°21'
 19 Dez 28 W 48^h794 8^h47
 " 29 W 787 7.95
 20 Jan 27 O 8.50
 22 Okt 28 O 765
 Nov 6. O 748 8.08
 21.41 48.774 8.25
 20.72

44. 1^h34^m +51°54'
 18 Nov 25 O 30^h079 26^h50
 19 Jan 8 W 060 27.92
 20 Jan 15 W 161 27.62
 " 18 W 044 27.29
 Dez 12 O 148 27.58
 19.79 30.098 27.38

45. 1^h39^m +52°48'
 13 Jan 16 O 33^h621 43^h03
 19 Dez 28 W 529 43.75
 20 Jan 15 W 663 44.36
 " 18 W 669 43.90
 " 27 O 44.70
 18.28 33.620 43.95
 18.64

46. 1^h41^m +54°23'
 14 Jan 6 O 18^h081 1^h44
 18 Nov 20 O 021 0.05
 20 Jan 6 W 063 1.57
 " 10 W 066 1.12
 18.23 18.058 1.04

47. 1^h46^m +51°33'
 13 Jan 4 O 8^h208 51^h97
 14 Jan 18 O 226 52.69
 19 " 3 W 228 51.48
 19 " 8 W 259 51.28
 20 Dez 14 O 253 51.05
 17.21 8.235 51.69

48. 1^h46^m +51°25'
 13 Jan 16 O 47^h120 44^h29
 18 Nov 20 O 161 44.64
 19 " 8 W 162 44.62
 Dez 3 W 128 44.44
 21 Jan 17 O 153 44.81
 18.55 47.145 44.58

49. 1^h47^m +54°46'
 18 Nov 21 O 2^h964 36^h28
 19 Dez 28 W 933 36.25
 " 29 W 953 37.23
 20 Dez 12 O 967 36.42
 19.95 2.954 36.54

50. 1^h47^m +50°25'
 22 Okt 20 O 22^h470 21^h89
 " 28 O 409 22.89
 Nov 6 O 461 22.99
 Dez 23 W 444 21.76
 23. Jan 10 W 443 21.91
 22.90 22.445 22.29

51. 1^h54^m +55°21'
 13 Jan 4 O 32^h092 2^h69
 " 16 O 072 2.83
 19 " 3 W 044 2.64
 Dez 28 W 116 1.90
 18.26 32.081 2.52

52. 1^h57^m +54°7'
 18 Nov 21 O 17^h583 32^h47
 Nov 22 O 567 32.41
 20 Jan 1 W 641 32.77
 " 10 W 611 33.55
 21 " 15 O 653 32.41
 19.77 17.611 32.72

53. 1^h57^m +50°56'
 20 Jan 5 W 32^h519 23^h91
 " 6 W 553 22.95
 Dez 14 O 550 23.11
 22 Okt 28 O 499 23.76
 20.95 32.530 23.43

54. 2^h2^m +51°46'
 14 Jan 18 O 32^h414 20^h41
 18 Nov 21 O 434 19.20
 20 Jan 5 W 489 19.35
 " 6 W 435 19.69
 21 " 17 O 442 19.12
 18.80 32.443 19.55

55. 2^h5^m +53°58'
 13 Jan 16 O 1^h238 36^h29
 18 Nov 22 O 225 36.10
 19 Jan 8 W 269 36.28
 20 Jan 18 W 273 36.99
 17.75 1.251 36.42

56. 2^h5^m +53°29'
 19 Dez 3 W 5^h008 21^h95
 20 Jan 1 W 023 22.32
 " 28 O 22.60
 Febr 5 O 4.979 21.24
 Dez 14 O 5.048 22.20
 20.24 5.014 22.08
 20.21

57. 2^h5^m +54°56'
 13 Jan 4 O 9^h088 15^h09
 20 " 10 W 083 15.33
 Dez 12 O 163 15.88
 22 Okt 28 O 062 15.63
 19.20 9.099 15.48

58. 2^h10^m +49°58'
 18 Dez 7 O 16^h059 38^h16
 19 Jan 29 W 006 38.17
 20 Jan 18 W 073 38.57
 Dez 14 O 016 37.43
 19.75 16.038 38.08

59. 2^h10^m +52°9'
 13 Jan 4 O 27^h137 43^h46
 " 16 O 098 43.60
 19 " 3 W 128 44.07
 " 8 W 137 43.63
 18.02 27.125 43.69

60. 2^h12^m +53°1'
 22 Okt 28 O 5^h083 56^h80
 Dez 23 W 063 58.40
 22.90 5.073 57.60

61. 2^h22^m +54°40'
 13 Jan 4 O 7^h514 22^h10
 " 30 O 21.97
 19 " 8 W 535 22.49
 " 29 W 493 22.76
 17.04 7.514 22.33
 16.05

62. 2^h22^m +50°14'
 14 Jan 18 O 49^h175 8^h53
 Feb 2 O 185 8.26
 19 Jan 28 W 208 8.56
 20 " 5 W 234 8.18
 Dez 12 O 191 8.04
 17.63 49.199 8.31

63. 2^h24^m +53°31'
 18 Dez 5 0 489 483 5.21
 " 7 0 537 5.30
 20 Jan 5 W 566 6.28
 " 6 W 489 5.60
 Dez 14 0 559 5.18
 19.77 48.527 5.51

64. 2^h28^m +51°58'
 13 Jan 4 0 976 48 42.93
 " 29 0 747 42.56
 19 " 3 W 676 43.27
 " 8 W 733 42.82
 16.03 9.701 42.90

65. 2^h31^m +51°38'
 14 Jan 18 0 389 307 4.45
 18 Dez 5 0 327 5.04
 19 Jan 3 W 327 4.62
 " 29 W 280 4.89
 20 Dez 12 0 271 4.60
 21 Jan 17 0 287 4.62
 18.84 38.300 4.70

66. 2^h33^m +50°26'
 13 Jan 4 0 409 767 15.05
 " 16 0 742 14.84
 19 " 8 W 741 15.34
 " 28 W 780 15.95
 16.03 40.757 15.30

67. 2^h37^m +54°37'
 18 Dez 5 0 409 025 13.74
 19 Feb 2 W 39.989 12.41
 Dez 3 W 989 12.84
 20 Jan 27 0 13.68
 Feb 5 0 40.005 13.45
 21 Jan 17 0 39.991 13.75
 19.82 40.000 13.31
 19.86

68. 2^h39^m +54°38'
 18 Dez 7 0 369 845 51.85
 20 Jan 6 W 767 51.61
 " 11 W 836 52.13
 " 28 0 51.61
 Feb 5 0 833 50.78
 19.77 36.820 51.60
 19.83

69. 2^h44^m +53°36'
 13 Jan 30 0 209 520 55.85
 14 " 18 0 475 57.00
 20 " 5 W 512 56.03
 " 18 W 501 57.13
 21 " 17 0 524 56.89
 17.65 20.506 56.58

70. 2^h46^m +52°58'
 14 Feb 5 0 459 118 17.63
 18 Dez 7 0 114 18.22
 20 Jan 18 W 197 17.89
 23 " 23 W 138 17.49
 19.03 45.142 17.81

71. 2^h51^m +50°29'
 14 Feb 5 0 349 396 39.01
 18 Dez 7 0 417 38.41
 20 Jan 5 W 429 37.73
 " 6 W 346 38.73
 18.26 34.397 38.47

72. 2^h54^m +54°20'
 13 Jan 4 0 349 679 40.83
 " 16 0 643 40.68
 19 Feb 2 W 710 38.91
 Dez 29 W 654 39.59
 16.28 34.672 40.00

73. 2^h55^m +52°3'
 14 Feb 5 0 309 764 16.38
 18 Dez 5 0 767 16.74
 19 " 3 W 785 16.50
 20 Jan 1 W 831 16.87
 21 " 17 0 792 17.07
 18.80 30.788 16.71

74. 3^h 0^m +52°24'
 13 Jan 4 0 239 810 56.44
 " 16 0 785 55.77
 19 " 29 W 827 56.61
 Feb 2 W 791 55.65
 16.05 23.803 56.12

75. 3^h 5^m +52°51'
 13 Jan 4 0 329 338 33.21
 " 29 0 392 32.31
 19 " 28 W 375 33.59
 Feb 2 W 341 33.01
 16.06 32.362 33.03

76. 3^h 7^m +50°10'
 13 Jan 30 0 499 059 18.71
 14 Jan 18 0 066 18.83
 19 " 29 W 18.37
 Dez 3 W 052
 20 Jan 5 W 097 17.82
 16.76 49.068 18.43
 16.55

77. 3^h10^m +50°39'
 14 Feb 5 0 499 866 38.62
 " 6 0 836 38.28
 19 Dez 28 W 828 40.02
 20 Jan 1 W 840 38.71
 17.05 49.842 38.91

78. 3^h12^m +53°37'
 13 Jan 4 0 229 983 8.79
 " 29 0 967 8.59
 19 Dez 3 W 967 8.72
 " 29 W 935 8.82
 16.50 22.963 8.73

79. 3^h14^m +51°20'
 13 Jan 30 0 579 226 50.15
 14 " 18 0 230 50.24
 19 " 28 W 259 50.39
 Feb 11 W 285 49.71
 21 Jan 17 0 231 50.11
 17.27 57.246 50.12

80. 3^h19^m +54°25'
 13 Jan 4 0 399 090 39.80
 14 Feb 6 0 040 39.80
 19 Feb 2 W 074 39.59
 Dez 3 W 062 39.68
 16.53 39.066 39.72

81. 3^h21^m +50°15'
 14 Feb 7 0 359 199 0.41
 " 8 0 263 59.83
 20 Jan 6 W 155 1.21
 " 15 W 204 0.99
 17.06 35.205 0.61

82. 3^h24^m +55°11'
 14 Feb 6 O 163 348 37.78
 " 8 O 366 36.93
 19 Jan 29 W 299 37.50
 Feb 11 W 327 37.32
 16.59 16.335 37.38

83. 3^h26^m +54°55'
 13 Jan 4 O 538 858 52.17
 14 " 18 O 800 52.93
 19 Feb 2 W 825 52.39
 21 Jan 17 O 776 52.40
 16.80 53.815 52.47

84. 3^h29^m +50°28'
 13 Jan 29 O 19.248 37.11
 14 Feb 2 O 283 37.35
 20 Jan 5 W 274 36.39
 " 6 W 256 36.19
 16.80 19.265 36.76

85. 3^h30^m +52°40'
 13 Jan 4 O 498 679 57.40
 " 16 O 624 57.19
 14 Feb 11 O 606 57.60
 19 Jan 29 W 653 58.23
 Feb 2 W 595 57.37
 " 11 W 620 57.47
 16.24 49.630 57.54

86. 3^h40^m +54°49'
 14 Jan 18 O 1905 45.68
 Feb 3 O 953 46.57
 19 Dec 28 W 875 45.00
 " 29 W 954 45.71
 21 Jan 17 O 935 45.61
 17.83 1.924 45.71

87. 3^h42^m +50°7'
 13 Jan 16 O 78504 54.00
 14 Feb 5 O 468 54.84
 20 Jan 5 W 469 54.78
 " 6 W 498 54.87
 16.79 7.485 54.62

88. 3^h47^m +52°20'
 13 Jan 4 O 558 721 32.45
 " 16 O 699 32.19
 19 Dec 29 W 816 31.88
 20 Jan 5 W 826 31.08
 16.51 55.766 31.90

89. 3^h50^m +54°40'
 14 Feb 5 O 518 947 23.00
 " 6 O 934 22.94
 20 Jan 10 W 912 22.75
 " 18 W 934 24.18
 17.07 51.932 23.22

90. 3^h51^m +50°28'
 14 Feb 2 O 18269 48.08
 " 7 O 218 47.43
 19 Dec 28 W 263 46.67
 20 Jan 1 W 254 46.56
 17.04 18251 47.18

91. 3^h54^m +51°26'
 13 Jan 4 O 18497 22.57
 19 Dec 29 W 445 22.70
 20 Jan 5 W 464 23.75
 Feb 5 O 415 23.86
 18.28 1.455 23.22

92. 3^h56^m +53°32'
 14 Jan 18 O 278450 36.74
 Feb 3 O 457 37.64
 20 Jan 6 W 446 36.29
 " 15 W 494 37.20
 21 " 17 O 465 36.59
 17.85 27.462 36.89

93. 4^h 0^m +50°8'
 14 Feb 2 O 598 273 57.42
 " 3 O 353 57.29
 19 Jan 29 W 354 56.92
 Feb 11 W 285 57.56
 16.59 59.316 57.30

94. 4^h 4^m +54°29'
 14 Feb 7 O 278 371 8.01
 14 Feb 8 O 424 7.30
 20 Jan 6 W 310 7.97
 " 15 W 366 8.23
 17.06 27.368 7.88

95. 4^h 4^m +52°57'
 14 Feb 5 O 538 745 21.94
 " 9 O 714 21.34
 19 Jan 29 W 763 21.70
 Feb 11 W 766 21.39
 16.60 53.747 21.59

96. 4^h10^m +53°25'
 14 Feb 5 O 518 516 30.45
 " 9 O 479 30.57
 19 Jan 28 W 487 30.40
 " 29 W 483 29.71
 Feb 11 W 506 30.36
 17.09 51.494 30.30

97. 4^h11^m +50°40'
 14 Feb 6 O 318 815 48.53
 " 7 O 842 48.23
 19 " 19 W 816 47.97
 Dec 11 W 847 48.64
 16.82 31.830 48.34

98. 4^h12^m 50°6'
 14 Feb 8 O 358 715 45.92
 " 10 O 733 46.15
 20 Jan 1 W 729 45.77
 " 6 W 656 45.89
 17.06 35.708 45.93

99. 4^h14^m +50°44'
 14 Feb 2 O 308 133 25.03
 " 9 O 137 24.60
 20 Jan 10 W 109 24.84
 " 15 W 154 23.96
 17.06 30.133 24.61

100. 4^h16^m +49°48'
 14 Feb 5 O 298 634 26.23
 " 11 O 583 25.74
 19 Jan 29 W 634 25.77
 Feb 19 W 639 26.12
 16.61 29.622 25.96

101. 4^h16^m +51°37'
 14 Feb 10 O 408 741 58.82
 " 12 O 824 58.62
 " 13 O 771 58.23
 18 " 16 W 766 56.84
 19 " 11 W 801 59.81
 15.92 40.781 58.46

102. 4^h22^m +54°50'
 14 Feb 2 0 53^s268 3^m90
 " 6 0 264 3.72
 19 Jan 28 W 277 3.45
 " 29 W 306 3.23
 Feb 11 W 282 3.29
 17.09 53.279 3.52

103. 4^h24^m +53°42'
 14 Feb 5 0 51^s727 29^m16
 " 7 0 767 28.42
 19 " 2 W 725 28.17
 " 19 W 711 28.38
 16.61 3.732 28.53

104. 4^h27^m +50°53'
 14 Feb 2 0 30^s867 22^m97
 " 6 0 839 22.30
 19 Jan 29 W 864 22.52
 Feb 11 W 891 22.98
 16.60 30.865 22.69

105. 4^h29^m +49°58'
 14 Feb 5 0 44^s405 4^m89
 " 7 0 421 4.92
 19 " 2 W 464 5.40
 " 19 W 393 5.33
 16.61 4.421 5.14

106. 4^h33^m +52°55'
 14 Feb 5 0 59^s839 54^m72
 " 6 0 846 55.33
 18 " 16 W 811 53.96
 19 Jan 29 W 882 54.38
 16.35 59.844 54.60

107. 4^h34^m +53°19'
 14 Feb 2 0 08^s900 38^m39
 " 7 0 895 37.56
 19 Feb 11 W 975 37.75
 Dez 11 W 963 38.39
 16.81 0.933 38.02

108. 4^h34^m +52°40'
 14 Feb 8 0 38^s423 18^m22
 " 9 0 431 18.46
 19 " 19 W 402 17.55
 20 Jan 5 W 380 18.86
 16.84 3.409 18.27

109. 4^h35^m +50°4'
 14 Feb 11 0 39^s03
 " 12 0 51^s114 39.13
 19 " 2 W 103 38.88
 20 Jan 6 W 993 38.67
 Feb 5 0 063 38.40
 18.33 51.068 38.82
 17.49

110. 4^h37^m +49°49'
 14 Jan 13 0 39^s216 55^m65
 Feb 9 0 198 55.63
 20 Jan 15 W 222 55.61
 " 18 W 191 55.32
 17.06 39.207 55.55

111. 4^h38^m +54°23'
 14 Feb 7 0 17^s001 48^m31
 " 8 0 032 48.56
 19 Dez 11 W 962 48.85
 20 Jan 5 W 034 48.19
 17.04 17.007 48.48

112. 4^h44^m +50°16'
 14 Jan 13 0 53^s857 47^m09
 Feb 7 0 789 46.98
 20 Jan 15 W 822 47.01
 " 18 W 766 46.20
 17.06 53.808 46.82

113. 4^h48^m +55°8'
 14 Feb 6 0 54^s877 14^m35
 " 7 0 818 14.13
 18 " 16 W 890 12.65
 19 Jan 28 W 900 14.08
 16.35 54.871 13.80

114. 4^h50^m +52°44'
 14 Feb 8 0 10^s133 58^m23
 " 9 0 080 57.16
 19 Jan 29 W 091 56.81
 Feb 2 W 111 57.61
 16.60 10.109 57.45

115. 4^h51^m +53°38'
 14 Jan 13 0 16^s112 1^m35
 Feb 10 0 137 2.30
 18 " 18 W 153 2.13
 19 " 11 W 119 1.60
 16.35 16.130 1.84

116. 4^h52^m +51°59'
 14 Feb 11 0 13^s367 53^m76
 " 12 0 365 52.86
 19 " 19 W 348 53.79
 20 Jan 5 W 331 54.19
 16.84 1.353 53.65

117. 4^h53^m +53°2'
 14 Jan 13 0 47^s541 30^m72
 19 Dez 11 W 502 30.78
 20 Jan 15 W 554 31.38
 " 27 0 31.15
 Feb 5 0 511 31.08
 18.55 47.527 31.02
 18.85

118. 4^h56^m +53°39'
 14 Feb 11 0 44^s907 1^m77
 " 13 0 824 1.23
 20 März 3 W 872 0.63
 23 Jan 23 W 834 1.92
 Feb 8 W 867 1.24
 18.91 44.861 1.36

119. 4^h59^m +53°16'
 14 Feb 11 0 25^s388 32^m83
 20 Feb 17 0 464 33.28
 23 Jan 23 W 33.29
 Feb 8 W 421 33.68
 19.11 25.424 33.27
 20.10

120. 5h 0m +51°30'
 14 Feb 8 0 47.983 17.47
 " 12 0 032 1.16
 19 Jan 28 W 960 59.89
 Dez 11 W 958 59.75
 16.81 47.983 0.57

121. 5h 1m +51°36'
 14 Feb 13 0 87.794 19.44
 20 Jan 6 W 779 20.06
 März 3 W 791 19.41
 18.10 8.788 19.64

122. 5h 2m +50°31'
 14 Feb 10 0 11.403 45.93
 19 " 2 W 275 45.72
 20 Jan 15 W 368 45.95
 Feb 18 0 403 46.12
 18.34 11.362 45.93

123. 5h 10m +54° 5'
 14 Feb 11 0 52.435 26.13
 " 13 0 469 25.59
 19 " 11 W 473 25.82
 15.78 52.459 25.84

124. 5h 10m +52°10'
 14 Feb 12 0 54.554 8.26
 20 " 5 0 515 10.11
 23 Jan 23 W 574 7.70
 Feb 8 W 558 8.97
 20.09 54.550 8.76

125. 5h 15m +54°10'
 14 Feb 5 0 10.201 34.82
 " 12 0 252 33.96
 18 " 18 W 252 34.63
 19 " 2 W 209 33.47
 16.36 10.228 34.17

126. 5h 16m +51° 9'
 14 Feb 2 0 43.638 5.81
 " 11 0 696 6.27
 18 " 16 W 685 5.88
 März 5 W 639 5.61
 16.12 43.664 5.89

127. 5h 19m +50°18'
 14 Feb 5 0 16.402 17.85
 " 13 0 347 17.33
 19 Jan 29 W 358 16.56
 Feb 19 W 385 17.25
 16.61 16.374 17.25

128. 5h 24m +53°36'
 14 Jan 13 0 34.535 25.67
 Feb 2 0 24.50
 18 " 16 W 558 25.36
 " 18 W 511 25.34
 16.77 34.535 25.22
 16.10

129. 5h 26m +52° 4'
 14 Feb 5 0 56.641 25.89
 18 März 5 W 638 25.69
 19 Jan 28 W 691 25.62
 20 Feb 5 0 698 25.66
 17.86 56.667 25.72

130. 5h 27m +50° 3'
 19 Jan 29 W 54.635 51.27
 Feb 19 W 643 52.10
 20 Feb 17 0 619 52.09
 " 18 0 681 52.06
 19.62 54.644 51.88

131. 5h 30m +54°22'
 14 Feb 2 0 25.692 51.84
 19 " 2 W 729 50.99
 20 Jan 27 W 51.09
 Feb 19 0 703 50.88
 März 11 W 729 50.99
 18.37 25.713 51.16
 18.71

132. 5h 33m +51°17'
 14 Feb 5 0 35.492 35.50
 " 7 0 34.04
 " 13 0 559 33.29
 18 " 18 W 508 34.98
 März 5 W 472 34.10
 16.13 35.508 34.38
 15.72

133. 5h 35m 53°27'
 14 Jan 13 0 15.134 14.94
 Feb 2 0 113 14.02
 19 " 19 W 161 12.08
 März 12 W 177 11.59
 16.61 15.146 13.16

134. 5h 37m +54°49'
 14 Feb 13 0 46.364 49.43
 20 Jan 27 0 48.40
 Feb 18 0 400
 März 9 W 400 49.29
 " 10 W 375 49.73
 18.66 46.385 49.21
 18.64

135. 5h 39m +52°36'
 20 Feb 16 0 16.125 55.91
 " 17 0 141 55.90
 März 10 W 198 56.46
 " 11 W 186 55.99
 20.16 16.162 56.06

136. 5h 40m +49°47'
 20 Feb 18 0 5.322 42.79
 " 19 0 319 42.88
 März 9 W 334 42.58
 20.15 5.325 42.75

137. 5h 42m +54° 0'
 19 Feb 11 W 54.840 25.90
 20 Feb 17 0 799 25.48
 " 18 0 782 25.49
 März 3 W 808 25.41
 19.87 54.807 25.57

138. 5h 43m +50° 4'
 18 März 9 W 15.913 42.07
 20 Feb 5 0 879 42.37
 " 16 0 859 42.98
 März 11 W 860 42.22
 19.65 15.877 42.41

139. 5^h46^m +53°18'
 14 Feb 2 0 55^s221 41^m91
 " 5 0 238 43.23
 18 " 18 W 175 43.03
 März 5 W 184 42.94
 16.12 55.204 42.78

140. 5^h54^m +51°26'
 23 Feb 8 W 8^s460 1^m84
 " 23 W 439 1.28
 März 4 W 498 1.04
 23.14 8.466 1.39

141. 5^h58^m +51°34'
 14 Feb 5 0 32^s259 37^m84
 " 6 0 220 37.31
 18 " 18 W 205 38.31
 März 5 W 215 37.77
 16.12 32.225 37.81

142. 6^h 2^m +54°29'
 14 Feb 9 0 2^s790 34^m96
 " 10 0 821 36.00
 19 März 12 W 797 34.80
 20 " 9 W 800 35.11
 16.90 2.802 35.22

143. 6^h 2^m +50°58'
 14 Feb 6 0 53^s362 4^m72
 " 11 0 370 4.75
 20 März 3 W 459 4.34
 " 10 W 422 4.81
 " 11 W 399 3.69
 17.75 53.402 4.46

144. 6^h 4^m +51°16'
 14 Feb 5 0 55^s011 10^m05
 " 9 0 050 9.25
 18 " 18 W 058 9.54
 März 9 W 007 9.75
 16.13 55.032 9.65

145. 6^h 7^m +52° 0'
 14 Feb 2 0 37^s724 42^m06
 " 6 0 741 42.85
 18 März 15 W 758 43.61
 " 16 W 760 42.45
 16.15 37.747 42.74

146. 6^h15^m +53°29'
 14 Feb 2 0 40^s604 17^m11
 " 5 0 574 18.21
 " 6 0 568 18.62
 18 März 16 W 577 17.39
 19 Feb 11 W 589 17.85
 15.92 40.578 17.84

147. 6^h17^m +53°15'
 14 Feb 7 0 51^s200 58^m64
 " 9 0 206 58.63
 18 März 15 W 190 59.50
 " 19 W 252 58.82
 16.15 51.212 58.90

148. 6^h22^m +50°12'
 14 Feb 6 0 16^s532 34^m28
 " 7 0 33.30
 18 März 15 W 558 32.25
 " 16 W 472 32.34
 16.83 16.521 33.04
 16.15

149. 6^h27^m +52°31'
 14 Feb 7 0 57^s685 9^m88
 " 10 0 725 10.26
 18 März 5 W 709 10.23
 " 16 W 763 9.18
 16.14 57.720 9.89

150. 6^h29^m +54°38'
 14 Feb 12 0 38^s690 55^m17
 18 März 9 W 689 55.84
 " 19 W 719 56.19
 20 Feb 5 0 688 56.46
 17.65 38.696 55.92

151. 6^h30^m +49°56'
 14 Feb 2 0 2^s018 32^m21
 18 März 15 W 1.982 33.02
 19 Feb 19 W 2.017 32.87
 20 Feb 8 0 2.062 32.31
 17.88 2.020 32.60

152. 6^h35^m +53°28'
 14 Feb 12 0 0^s578 2^m28
 18 März 5 W 551 2.70
 " 16 W 563 1.96
 20 Feb 5 0 539 2.98
 17.65 0.558 2.48

153. 6^h35^m +50° 8'
 14 Feb 2 0 31^s552 50^m27
 18 März 9 W 517 50.54
 " 15 W 561 50.43
 20 Feb 8 0 531 50.59
 17.64 31.540 50.46

154. 6^h46^m +50° 1'
 14 Feb 5 0 42^s711 31^m30
 " 7 0 662 30.46
 18 März 15 W 640 30.49
 " 16 W 682 31.17
 16.15 42.674 30.85

155. 6^h47^m +52°34'
 14 Feb 11 0 16^s502 60^m08
 " 12 0 490 58.93
 März 14 W 484 58.50
 21 Feb 23 0 517 59.97
 15.89 16.498 59.37

156. 6^h48^m +54°21'
 18 März 5 W 47^s276 43^m72
 19 " 12 W 282 43.89
 20 Feb 5 0 309 43.16
 " 8 0 344 44.06
 19.39 47.303 43.71

157. 6^h55^m +54°57'
 14 Feb 5 0 5^s101 43^m91
 " 10 0 068 44.32
 März 23 W 067 43.27
 18 " 15 W 117 43.94
 15.16 5.088 43.86

158. 6^h56^m +51°40'
 14 Feb 6 0 24^s553 35^m11
 " 9 0 532 35.24
 18 März 9 W 485 35.89
 19 Feb 19 W 519 34.82
 16.38 24.522 35.26

159. 7^h 1^m +53°35'
 14 Feb 6 0 477 716 48.56
 " 10 0 720 48.31
 19 " 19 W 712 49.00
 März 12 W 762 47.83
 16.63 47.727 48.42

160. 7^h 7^m +51°33'
 14 Feb 9 0 327 810 17.09
 " 10 0 780 16.65
 März 14 W 848 17.15
 " 23 W 801 16.80
 14.18 32.810 16.92

161. 7^h 11^m +51°47'
 14 Feb 7 0 547 506 9.58
 " 10 0 499 9.00
 März 23 W 559 8.78
 18 " 9 W 535 9.46
 15.15 54.525 9.16

162. 7^h 16^m +50°17'
 19 März 20 W 307 125 24.28
 " 22 W 155 24.60
 20 Feb 8 0 121 24.74
 " 18 0 093 24.61
 19.66 30.124 24.56

163. 7^h 16^m +50°17'
 19 März 21 W 317 667 28.76
 " 26 W 591 28.99
 20 Feb 19 0 586 29.53
 23 März 17 W 606
 20.45 31.612 29.09
 19.53

164. 7^h 17^m +54°14'
 19 März 12 W 407 866 11.19
 20 Feb 17 0 837 10.95
 März 19 W 891 11.43
 " 23 0 840 10.73
 19.93 40.858 11.08

165. 7^h 18^m +52°32'
 20 März 10 W 587 664 45.67
 " 18 0 623 46.21
 " 21 0 626 46.76
 " 26 0 673 46.21
 20.21 58.646 46.21

166. 7^h 19^m +49°48'
 20 Feb 18 0 367 616 13.56
 " 19 0 624 14.00
 März 11 W 630 13.53
 " 24 0 595 13.81
 20.17 36.616 13.72

167. 7^h 21^m +53°21'
 14 Feb 10 0 673 52 37.21
 19 März 12 W 335 38.37
 20 Feb 8 0 331 38.00
 17.80 6.339 37.86

168. 7^h 23^m +50°54'
 14 Feb 9 0 187 041 11.79
 März 23 W 065 12.14
 18 " 15 W 027 12.17
 20 Feb 16 0 101 11.57
 " 17 0 014 11.48
 17.36 18.050 11.83

169. 7^h 26^m +53°51'
 19 März 21 W 517 17
 " 22 W 477 38 51.96
 " 26 W 650 51.06
 20 Feb 8 0 738 52.28
 " 17 0 697 51.49
 19.67 4.706 51.59
 19.58

170. 7^h 32^m +49°47'
 14 Feb 11 0 427 862 51.71
 März 23 W 896 52.48
 19 " 20 W 840 51.69
 " 26 W 836 52.65
 20 Feb 8 0 871 52.28
 17.37 42.861 52.16

171. 7^h 33^m +54°4'
 18 März 19 W 167 128 21.32
 19 " 12 W 198 21.14
 20 Feb 16 0 151 21.18
 " 17 0 146 20.80
 19.41 16.156 21.11

172. 7^h 36^m +52°29'
 19 März 22 W 367 253 13.69
 20 Feb 18 0 127 12.84
 " 19 0 122 13.34
 März 9 W 126 12.79
 19.92 36.157 13.16

173. 7^h 38^m +50°36'
 18 März 19 W 237 772 45.67
 19 " 26 W 743 45.61
 20 Feb 8 0 747 45.94
 " 17 0 723 46.04
 19.42 23.746 45.82

174. 7^h 41^m +50°59'
 19 März 21 W 507 945 24.39
 " 22 W 910 23.85
 20 Feb 18 0 946 23.77
 " 19 0 23.68
 19.52 50.934 23.92
 19.67

175. 7^h 42^m +49°56'
 14 März 23 W 437 681 33.53
 19 " 12 W 658 34.19
 20 Feb 8 0 703 33.35
 " 16 0 697 33.64
 18.41 43.685 33.68

176. 7^h 45^m +54°19'
 18 März 19 W 117 665 3.63
 19 " 19 W 681 4.28
 " 26 W 691 3.09
 20 Feb 17 0 683 4.24
 März 22 0 622 4.25
 19.40 11.668 3.90

177. 7^h46^m +52° 7'
 19 März 20 W 52^h186 17^h22
 " 21 W 233 17.55
 20 " 21 O 158 17.23
 " 24 O 210 17.06
 19.72 52.197 17.26

178. 7^h46^m +50° 21'
 19 März 12 W 54^h293 45^h29
 " 22 W 282 44.18
 20 Feb 18 O 286 45.21
 " 19 O 261 45.01
 19.67 54.280 44.92

179. 7^h50^m +53° 56'
 19 März 19 W 24^h599 56^h54
 " 26 W 549 56.07
 20 Feb 8 O 580 56.69
 " 16 O 580 56.69
 März 18 O 56.79
 19.67 24.577 56.56
 19.78

180. 7^h52^m +53° 5'
 18 März 19 W 23^h361 33^h25
 19 " 12 W 391 33.56
 20 " 21 O 388 34.29
 " 22 O 365 34.72
 19.46 23.376 33.96

181. 7^h58^m +53° 53'
 14 März 13 W 47^h243 25^h22
 " 23 W 303 24.99
 20 Feb 8 O 311 24.55
 " 16 O 249 24.83
 17.16 47.276 24.90

182. 8^h 1^m +50° 6'
 19 März 19 W 29^h159 31^h63
 " 21 W 232 31.51
 Apr 4 O 200 31.99
 20 Feb 5 O 178 30.85
 19.45 29.192 31.50

183. 8^h 5^m +53° 28'
 19 März 19 W 24^h763 6^h17
 " 21 W 871 6.05
 Apr 4 O 916 6.53
 20 März 18 O 822 5.90
 19.47 24.843 6.16

184. 8^h 9^m +52° 19'
 14 März 23 W 8^h196 20^h95
 18 " 15 W 213 20.14
 20 Feb 8 O 182 20.79
 " 16 O 147 21.47
 18.16 8.184 20.84

185. 8^h10^m +54° 18'
 14 März 13 W 49^h353 11^h70
 19 " 20 W 324 12.10
 Apr 4 O 361 11.38
 20 Feb 5 O 375 12.22
 18.19 49.353 11.85

186. 8^h11^m +53° 9'
 19 März 19 W 41^h211 30^h77
 " 21 W 263 29.51
 20 " 18 O 205 29.44
 " 22 O 243 29.75
 19.71 41.230 29.87

187. 8^h14^m +50° 30'
 19 März 22 W 12^h624 43^h49
 " 26 W 628 43.90
 20 Feb 8 O 579 44.27
 " 16 O 577 43.81
 19.67 12.602 43.87

188. 8^h18^m +53° 27'
 19 März 19 W 8^h328 47^h57
 " 20 W 328 45.53
 Apr 1 W 267 44.93
 " 4 O 276 45.85
 20 Feb 5 O 269 46.89
 19.41 8.294 46.16

189. 8^h21^m +49° 48'
 19 März 19 W 32^h783 42^h76
 " 21 W 840 41.99
 Apr 10 O 845 42.00
 20 Feb 8 O 805 42.41
 19.45 32.818 42.29

190. 8^h26^m +53° 48'
 18 Apr 9 W 2^h229 54^h70
 19 März 12 W 274 55.08
 Apr 4 W 273 56.17
 20 März 18 O 56.53
 " 21 O 228 55.48
 19.23 2.251 55.59
 19.43

191. 8^h26^m +53° 22'
 14 März 23 W 56^h321 13^h75
 Apr 1 W 363 12.55
 20 Feb 8 O 323 12.69
 " 16 O 380 12.66
 März 26 O 375 13.95
 17.79 56.352 13.12

192. 8^h28^m +50° 28'
 19 März 19 W 26^h00
 " 20 W 4^h443 25.38
 " 21 W 494 25.55
 20 " 22 O 493 26.06
 " 24 O 26.00
 19.55 4.477 25.80
 19.62

193. 8^h29^m +52° 27'
 18 März 15 W 41^h039 29^h17
 Apr 12 W 023 30.37
 19 " 10 O 001 30.01
 20 Feb 5 O 006 30.84
 18.96 41.017 30.10

194. 8^h32^m +53° 39'
 14 März 23 W 46^h843 49^h83
 Apr 1 W 816 50.15
 19 " 4 O 882 50.68
 20 Feb 16 O 851 50.14
 16.96 46.848 50.20

195. 8^h35^m +51°41'
 14 März 13 W 152.191 42.61
 18 Apr 9 W 205 42.97
 20 März 18 O 231 43.35
 " 21 O 178 43.11
 " 24 O 198 42.42
 18.63 15.201 42.89

196. 8^h40^m +51°6'
 18 März 15 W 212.039 1.93
 Apr 9 W 20.978 2.17
 19 " 11 O 992 2.33
 20 Feb 5 O 998 2.49
 18.96 21.002 2.23

197. 8^h40^m +54°11'
 14 März 20 W 232.319 21.92
 " 23 W 346 21.18
 19 Apr 4 O 357 21.19
 " 10 O 306 21.31
 16.74 23.332 21.40

198. 8^h42^m +52°24'
 14 März 13 W 322.581 7.14
 19 " 20 W 608 6.27
 20 Feb 8 O 585 7.41
 " 16 O 617 7.33
 18.41 32.598 7.04

199. 8^h43^m +49°42'
 18 Apr 12 W 282.262 55.57
 19 März 21 W 316 56.28
 Apr 4 O 321 56.25
 " 14 O 290 56.22
 19.01 28.297 56.08

200. 8^h49^m +53°14'
 14 März 14 W 282.309 28.95
 " 19 W 306 28.07
 20 Feb 5 O 257 29.09
 " 16 O 308 28.94
 17.16 28.295 28.76

201. 8^h50^m +50°7'
 14 März 20 W 232.679 29.95
 18 " 15 W 738 28.81
 20 " 21 O 686 30.65
 " 22 O 727 30.15
 18.21 23.708 29.89

202. 8^h51^m +54°58'
 18 Apr 9 W 332.610 8.25
 " 12 W 600
 19 März 31 W 641 8.22
 20 Feb 8 O 597 9.07
 März 24 O 613 9.08
 19.22 33.613 8.66
 19.46

203. 8^h55^m +53°49'
 18 Apr 9 W 542.420 11.69
 19 März 31 W 449 11.25
 20 Feb 8 O 441 10.69
 " 17 O 420 12.02
 19.43 54.432 11.41

204. 9^h0^m +51°7'
 15 Apr 11 W 228.49 25.65
 19 März 26 W 750 26.07
 20 Feb 16 O 724 25.97
 " 18 O 703 25.46
 18.62 2.756 25.79

205. 9^h1^m +51°55'
 18 Apr 9 W 542.977 51.77
 19 März 20 W 55.067 50.69
 Apr 15 O 54.988 51.93
 20 Feb 17 O 55.002 51.35
 19.22 55.008 51.43

206. 9^h3^m +51°54'
 15 Apr 15 W 352.532 30.57
 18 März 15 W 509 30.02
 19 Apr 11 O 544 29.95
 " 14 O 518 30.13
 18.01 35.526 30.17

207. 9^h7^m +50°4'
 14 März 14 W 432.928 14.31
 " 19 W 937 15.56
 19 Apr 4 O 937 13.90
 " 10 O 906 13.74
 16.73 43.927 14.38

208. 9^h9^m +53°0'
 14 März 13 W 182.479 37.29
 Apr 9 W 442 37.90
 19 März 20 W 17.586 34.73
 " 21 W 572 34.05
 Apr 11 O 563 33.66
 " 15 O 538 34.92
 17.58 17.863 35.42

209. 9^h9^m +53°0'
 14 März 20 W 202.359 43.88
 15 Apr 11 W 43.33
 18 März 15 W 19.720 40.88
 Apr 9 W 665 41.11
 19 " 14 O 566 41.58
 20 Feb 18 O 388 40.37
 18.02 19.740 41.86
 17.56

210. 9^h10^m +54°19'
 15 Apr 15 W 482.120 56.64
 18 " 12 W 190 57.54
 19 " 10 O 123 57.30
 " 20 O 138 56.73
 18.03 48.143 57.06

211. 9^h15^m +51°34'
 13 Apr 5 O 322.092 49.40
 14 März 13 W 075 49.23
 " 14 W 065 48.15
 19 Apr 4 O 032 48.89
 15.23 32.066 48.92

212. 9^h19^m +51°14'
 13 Apr 5 O 342.745 9.98
 14 März 19 W 710 9.45
 " 20 W 655 9.43
 19 Apr 11 O 644 8.41
 15.24 34.688 9.32

213. 9^h20^m +54°20'
 14 Apr 9 W 19^h864 23^h28
 " 18 W 875 22.53
 15 " 11 W 854 22.41
 19 " 4 O 817 22.99
 " 10 O 828 23.08
 16.47 19.846 22.85

214. 9^h23^m +54° 7'
 14 März23 W 25^h440 45^h06
 15 Apr 15 W 401 44.79
 19 " 14 O 435 45.39
 " 15 O 425 45.60
 17.02 25.425 45.21

215. 9^h23^m +50°21'
 14 Apr 19 W 54^h019 31^h36
 18 " 12 W 047 31.21
 19 " 11 O 105 31.05
 " 20 O 037 30.05
 17.79 54.052 30.92

216. 9^h28^m +52°46'
 15 Apr 11 W 39^h620 36^h62
 19 März21 W 554 37.33
 Apr 14 O 564 38.88
 " 15 O 530 37.73
 18.26 39.567 37.64

217. 9^h29^m +52°23'
 14 Apr 19 W 41^h847 10^h33
 19 " 1 W 888 9.90
 " 11 O 819 9.99
 " 22 O 859 8.98
 18.03 41.853 9.80

218. 9^h30^m +55° 2'
 18 Apr 12 W 36^h843 6^h54
 19 März31 W 802 6.50
 20 Feb 18 O 748 6.81
 März21 O 740 6.26
 " 22 O 731 5.95
 19.62 36.773 6.41

219. 9^h31^m +50°57'
 14 März23 W 48^h92
 19 " 20 W 37^h183 49.66
 " 26 W 166 48.11
 20 Feb 17 O 164 49.62
 19.52 37.171 49.08
 18.80

220. 9^h39^m +53° 8'
 13 Apr 5 O 34^h445 13^h40
 " 8 O 435 12.53
 14 März13 W 459 13.91
 " 14 W 379 13.09
 19 Apr 23 O 376 14.10
 14.85 34.419 13.41

221. 9^h42^m +51°18'
 14 März23 W 37^h181 9^h29
 " 30 W 137 9.32
 19 Apr 10 O 142 8.89
 " 11 O 202 9.45
 16.75 37.165 9.24

222. 9^h47^m +54°24'
 14 März19 W 55^h62
 " 30 W 0^h905 56.35
 15 Apr 11 W 870 55.72
 19 " 10 O 861 56.01
 " 11 O 919 56.18
 17.01 0.889 55.98
 16.45

223. 9^h50^m +50°10'
 14 Apr 17 W 49^h847 27^h52
 " 18 W 821 28.10
 18 " 25 O 827 28.26
 19 " 10 O 796 29.41
 16.54 49.823 28.32

224. 9^h51^m +54°24'
 13 Apr 5 O 25^h328 35^h28
 " 8 O 286 34.42
 14 März20 W 267 34.74
 " 23 W 333 35.22
 13.74 25.304 34.91

225. 9^h59^m +54°15'
 14 März14 W 38^h037 18^h81
 Apr 17 W 37.981 18.51
 18 " 25 O 38.022 18.63
 19 " 4 O 37.950 18.99
 16.51 37.998 18.73

226. 10^h 0^m +50°36'
 13 Apr 5 O 1^h010 21^h54
 14 März20 W 046 20.84
 " 23 W 007 21.86
 19 Apr 10 O 0.979 21.81
 15.24 1.010 21.51

227. 10^h 0^m +51°45'
 13 Apr 8 O 43^h509 19^h38
 14 März30 W 470 20.63
 Apr 18 W 523 19.66
 19 " 14 O 472 19.85
 15.27 43.493 19.73

228. 10^h 2^m +53°33'
 14 Apr 16 W 49^h064 46^h37
 " 17 W 46.62
 " 19 W 061 46.63
 19 " 11 O 091 47.27
 " 15 O 035 46.68
 16.79 49.063 46.71
 16.29

229. 10^h 5^m +49°52'
 14 März19 W 31^h665 36^h70
 " 20 W 655 35.59
 18 Apr 25 O 580 35.59
 19 " 4 O 608 35.96
 16.50 31.627 35.96

230. 10^h 7^m +53°51'
 13 Apr 5 O 7^h734 11^h55
 14 " 17 W 658
 " 18 W 652 11.04
 19 " 14 O 636 11.64
 23 " 20 W 673 10.90
 16.88 7.671 11.28
 17.53

231. 10^h 7^m +54°35'
 14 März 23 W 244.425 07.97
 Apr 19 W 420 1.36
 19 " 10 O 441 1.64
 " 11 O 419 0.79
 16.76 24.426 1.19

232. 10^h 9^m +50° 8'
 14 Apr 16 W 389.197 27.06
 " 20 W 240 27.11
 19 " 15 O 185 28.49
 " 20 O 176 27.27
 16.79 38.200 27.48

233. 10^h 13^m +52°11'
 14 Apr 21 W 209.153 07.13
 " 22 W 187 1.11
 19 " 14 O 221 1.90
 " 20 O 211 0.53
 16.79 20.193 0.92

234. 10^h 14^m +55° 6'
 14 Apr 16 W 239.721 67.25
 " 20 W 690 7.02
 19 " 15 O 641 6.95
 " 22 O 707 6.25
 " 23 O 657 5.13
 17.30 23.683 6.32

235. 10^h 15^m +54°35'
 14 Apr 22 W 389.33
 " 23 W 409.770 37.67
 20 März 24 O 687 38.31
 23 " 17 W 764 38.80
 " 18 W 760 37.62
 20.24 40.745 38.15
 19.17

236. 10^h 16^m +50°54'
 14 Apr 18 W 239.563 16.56
 " 21 W 553 16.62
 19 " 23 O 657 16.16
 20 Feb 17 O 678 17.54
 17.01 23.613 16.72

237. 10^h 23^m +53°10'
 14 März 19 W 149.884 38.68
 " 20 W 981 37.39
 20 Feb 17 O 994 38.73
 März 24 O 920 38.71
 17.19 14.945 38.38

238. 10^h 25^m +54° 5'
 13 Apr 5 O 379.058 12.39
 14 " 17 W 110 11.12
 " 19 W 045 12.43
 19 " 4 O 094 13.24
 15.28 37.077 12.29

239. 10^h 26^m +51°47'
 14 Apr 22 W 29.102 10.32
 " 23 W 166 10.28
 18 " 25 O 091 10.18
 19 " 10 O 064 10.56
 " 22 O 068 10.38
 17.10 2.098 10.35

240. 10^h 33^m +53°36'
 11 März 26 O 209.868 27.46
 14 " 19 W 808 2.39
 " 20 W 804 2.36
 Apr 17 W 834 2.71
 15 " 26 W 825 2.59
 18 " 25 O 829 2.28
 19 " 4 O 875
 " 14 O 3.06
 22 März 13 O 796 2.79
 16.13 20.830 2.58

241. 10^h 34^m +54° 3'
 14 März 23 W 279.176 37.85
 " 30 W 253 37.41
 Apr 29 O 225 37.14
 19 " 15 O 178 38.07
 15.52 27.208 37.62

242. 10^h 39^m +50°11'
 13 Apr 5 O 259.967 38.91
 " 19 O 38.01
 " 21 O 948 37.71
 14 März 30 W 969 37.97
 Apr 19 W 966 38.38
 15 " 26 W 921 39.05
 19 " 11 O 988 38.80
 14.95 25.960 38.41
 14.71

243. 10^h 42^m +52°10'
 14 Apr 20 W 139.813 43.21
 " 21 W 42.72
 " 28 O 770 42.14
 " 29 O 796 43.70
 " 30 O 830
 14.32 139.802 42.94
 14.31

244. 10^h 44^m +51° 0'
 13 Apr 5 O 219.242 19.36
 " 18 O 314 18.76
 14 März 20 W 311 18.75
 Apr 19 W 232 19.06
 15 " 18 W 290 19.39
 " 20 W 285 19.43
 14.28 21.279 18.96

245. 10^h 48^m +52°57'
 13 Apr 27 O 19.036 50.80
 " 30 O 020 50.85
 14 " 7 W 050 51.14
 " 20 W 036 51.23
 13.80 1.036 51.00

246. 10^h 48^m +52°54'
 13 Apr 19 O 29.737 11.25
 " 21 O 676 11.07
 14 März 30 W 745 10.98
 Apr 19 W 696 11.73
 13.78 2.714 11.26

247. 10^h52^m +54° 5'
13 Apr 5 O 15^h032 47^m73
" 18 O 078 47.91
14 März 20 W 076 47.53
Apr 20 W 072 47.37
13.77 15.084 47.63

248. 10^h56^m +49°57'
14 Apr 23 W 37^h854 45^m70
" 24 W 45.11
" 27 W 801 45.28
19 " 22 O 871 44.52
" 23 O 830 44.36
16.81 37.839 44.99
16.31

249. 11^h 1^m +52°43'
13 Apr 19 O 31^h342 53^m72
" 21 O 294 53.56
14 " 16 W 340 54.54
" 22 W 298 53.95
13.80 31.318 53.94

250. 11^h 3^m +50°56'
14 Apr 17 W 23^h530 17^m88
" 20 W 488 19.06
" 29 O 497 19.34
19 " 20 O 510 19.04
15.55 23.506 18.83

251. 11^h 4^m +54° 5'
13 Apr 30 O 46^h552 1^m50
Mai 1 O 451 1.39
14 März 30 W 484 0.85
Apr 24 W 1.03
" 27 W 540 1.73
13.80 46.507 1.30
13.90

252. 11^h 7^m +54°33'
13 Apr 21 O 10^h612 21^m60
Mai 2 O 605 20.57
14 Apr 21 W 679 20.24
" 22 W 628 20.82
13.81 10.631 20.81

253. 11^h 9^m +50°15'
13 Apr 29 O 32^h777 51^m58
Mai 1 O 713 51.15
14 Apr 16 W 703 51.19
" 17 W 736 50.84
13.81 32.732 51.19

254. 11^h11^m +53°10'
13 Apr 30 O 45^h432 51^m02
14 März 30 W 430 49.80
Apr 19 W 479 50.90
" 28 O 453 50.82
" 29 O 406 51.20
14.10 45.440 50.75

255. 11^h12^m +49°53'
13 Mai 1 O 28^h870 9^m45
" 2 O 826 8.30
14 Apr 18 W 852 9.09
" 20 W 867 9.29
13.81 28.854 9.03

256. 11^h14^m +55° 3'
13 Apr 27 O 47^h097 38^m16
" 29 O 036 37.31
14 " 7 W 083 38.65
" 16 W 029 38.06
13.80 47.061 38.04

257. 11^h21^m +49°47'
13 Apr 18 O 8^h314 18^m35
" 27 O 326 18.10
14 " 16 W 284 18.55
" 19 W 279 18.25
13.80 8.301 18.31

258. 11^h21^m +52°32'
13 Apr 5 O 44^h530 40^m50
" 8 O 586 41.80
14 " 20 W 571 40.07
" 21 W 506 40.82
13.78 44.548 40.80

259. 11^h24^m +51°54'
13 Apr 27 O 51^m80
" 29 O 40^h104 51.88
14 " 18 W 086 52.09
" 19 W 53.04
" 29 O 021 51.59
13.98 40.070 52.08
13.91

260. 11^h28^m +52°56'
13 Apr 5 O 49^h284 16^m94
" 8 O 353 18.00
14 " 7 W 328 16.51
" 16 W 314 16.86
13.77 49.320 17.08

261. 11^h31^m +54°18'
13 Apr 18 O 31^h789 16^m41
" 19 O 745 17.29
Mai 4 W 797 17.70
14 Apr 17 W 792 17.03
13.56 31.781 17.11

262. 11^h33^m +50°13'
13 Apr 27 O 48^h874 30^m65
" 29 O 847 30.86
14 " 16 W 895 30.33
" 18 W 908 30.82
13.80 48.881 30.66

263. 11^h39^m +52°20'
13 Apr 27 O 18^h043 33^m03
" 29 O 036 32.13
14 " 16 W 006 32.49
" 18 W 027 31.68
13.80 1.028 32.33

264. 11^h48^m +50°20'
13 Apr 27 O 19^h095 52^m61
" 29 O 109 52.71
14 " 20 W 131 52.55
" 21 W 098 53.05
13.81 19.108 52.73

265. 11^h50^m +54°39'
 13 Apr 30 O 448 468 14797
 Mai 1 O 522 15.55
 14 Apr 22 W 15.28
 " 23 W 503 14.60
 13.65 44.498 15.10
 13.81

266. 11^h52^m +51° 1'
 13 Apr 27 O 518 060 43739
 " 29 O 067 42.44
 14 " 20 W 027 43.56
 " 21 W 088 43.04
 13.81 51.060 43.11

267. 11^h54^m +54°54'
 13 Apr 25 O 488 839 13701
 " 30 O 880 13.91
 14 " 1 W 821 13.31
 " 7 W 859 13.99
 " 16 W 809 12.39
 13.89 48.842 13.32

268. 11^h56^m +50° 0'
 13 Apr 5 O 358 942 4708
 " 19 O 924 4.76
 Mai 4 W 902 5.25
 " 9 W 875 4.63
 14 Apr 22 W 959 4.98
 13.51 35.920 4.74

269. 12^h 1^m +53°54'
 13 Apr 19 O 578 657 5710
 " 25 O 656 5.62
 Mai 14 W 691 4.22
 14 Apr 1 W 685 4.88
 " 7 W 696 4.04
 13.70 57.677 4.77

270. 12^h 5^m +50°50'
 13 Apr 27 O 587 20 13716
 Mai 4 W 703 13.27
 14 Apr 16 W 682 13.32
 " 20 W 724
 " 22 W 689 13.72
 " 23 W 13.37
 13.91 5.704 13.37

271. 12^h 7^m +52°12'
 13 Apr 19 O 587 24 49713
 " 25 O 746 48.93
 Mai 9 W 736 49.73
 " 14 W 759 49.36
 13.33 5.741 49.29

272. 12^h11^m +53°51'
 13 Mai 2 O 087 10 6753
 14 Apr 16 W 688 6.53
 " 22 W 728 6.70
 " 29 O 708 6.77
 14.06 0.708 6.63

273. 12^h12^m +50°12'
 13 Apr 30 O 486 74 54734
 Mai 1 O 740 55.32
 14 Apr 17 W 54.64
 " 20 W 707 54.66
 13.55 4.707 54.74
 13.81

274. 12^h15^m +51°34'
 23 Mai 3 W 168 576 48788
 " 5 W 592 49.98
 23.33 16.584 49.43

275. 12^h19^m +53°36'
 13 Apr 19 O 378 275 15755
 " 25 O 246 15.85
 Mai 4 W 308 15.85
 " 12 W 289 15.63
 14 Apr 7 W 323 16.44
 13.51 37.288 15.86

276. 12^h20^m +51°58'
 13 Apr 27 O 238 245 38755
 " 29 O 215 39.09
 Mai 9 W 39.27
 " 14 W 196 38.77
 13.34 23.219 38.92

277. 12^h22^m +53° 5'
 13 Apr 30 O 318 202 30749
 Mai 1 O 251 30.25
 14 Apr 17 W 196 30.12
 " 20 W 185 30.10
 13.81 31.208 30.24

278. 12^h24^m +54°30'
 13 Apr 19 O 508 672 11769
 " 25 O 621 10.80
 14 " 16 W 603 10.66
 " 21 W 669 10.90
 13.80 50.641 11.01

279. 12^h26^m +51°56'
 13 Apr 27 O 308 692 57762
 " 29 O 722 57.25
 Mai 14 W 672 57.14
 14 Apr 22 W 652 57.91
 " 23 W 682 57.21
 13.72 30.684 57.43

280. 12^h27^m +53°29'
 13 Mai 1 O 168 429 10782
 " 2 O 401 10.88
 " 12 W 386 10.92
 14 Apr 27 W 438 10.99
 13.58 16.414 10.90

281. 12^h33^m +50°29'
 13 Apr 19 O 428 876 28753
 Mai 1 O 902 30.03
 14 Apr 23 W 909 29.43
 13.65 42.896 29.33

282. 12^h34^m +54° 9'
 13 Apr 30 O 582 88 47701
 Mai 2 O 247 48.60
 " 4 W 283 48.13
 14 Apr 23 W 234
 13.58 5.263 47.91
 13.33

283. 12^h37^m +51°53'
 13 Mai 1 O 388 178 36737
 " 9 W 147 37.79
 " 12 W 182 36.27
 14 " 13 O 163 36.92
 13.60 3.168 36.84

284. 12^h39^m +53°38'
 13 Apr 19 O 241662 30.94
 " 29 O 640 31.24
 14 " 16 W 618 29.96
 " 17 W 620 28.70
 13.80 24.635 30.21

285. 12^h39^m +49°38'
 13 Apr 30 O 321166 45.30
 Mai 14 W 142 45.92
 " 17 W 45.83
 14 Apr 28 O 159 46.47
 13.67 32.156 45.88
 13.60

286. 12^h44^m +50°20'
 13 Apr 19 O 471056 1.73
 " 29 O 002 2.10
 Mai 12 W 002 1.74
 14 Apr 16 W 46.997 2.02
 13.57 47.014 1.90

287. 12^h45^m +54°39'
 13 Apr 30 O 331714 24.23
 Mai 1 O 791 24.82
 " 4 W 791 23.96
 " 9 W 738 25.15
 13.34 33.758 24.54

288. 12^h53^m +54°30'
 13 Mai 1 O 18162
 " 14 W 01757 17.86
 " 17 W 716 18.53
 14 Apr 29 O 728 17.91
 Mai 16 O 734 18.15
 13.86 0.734 18.21
 13.75

289. 12^h55^m +53°11'
 14 Apr 27 W 41764 18.35
 " 28 O 762 18.81
 " 29 O 921 18.02
 23 Mai 3 W 758 17.52
 16.57 4.801 18.18

290. 12^h57^m +51°48'
 13 Mai 2 O 221206 39.11
 14 Apr 27 W 196 40.42
 21 " 26 W 171 38.88
 16.32 22.191 39.47

291. 12^h59^m +51°26'
 13 Apr 25 O 361343 31.27
 " 27 O 365 31.78
 Mai 21 W 395 31.65
 " 25 W 355 31.18
 13.35 36.364 31.22

292. 13^h 4^m +53°57'
 13 Apr 19 O 551758 36.02
 " 25 O 772 35.68
 " 27 O 780 35.97
 Mai 4 W 759 36.05
 " 9 W 783 36.16
 " 17 W 782 35.76
 13.33 55.772 35.94

293. 13^h 7^m +52°50'
 13 Apr 29 O 121528 2.68
 " 30 O 476 2.21
 Mai 12 W 481 2.23
 " 14 W 460 3.40
 13.34 12.486 2.63

294. 13^h14^m +50° 9'
 13 Apr 29 O 231922 16.37
 " 30 O 897 17.62
 Mai 4 W 903 17.24
 " 14 W 952 17.31
 13.34 23.918 17.13

295. 13^h14^m +51°48'
 13 Apr 19 O 241532 2.45
 " 25 O 601 1.23
 " 27 O 624 2.76
 Mai 12 W 541 1.64
 13.32 24.574 2.02

296. 13^h15^m +50° 4'
 13 Mai 1 O 31345 33.21
 " 2 O 360 33.17
 " 21 W 373 34.14
 " 25 W 299 33.33
 13.36 3.344 33.46

297. 13^h17^m +54°15'
 13 Apr 30 O 451421 7.79
 Mai 17 W 369 8.13
 14 Apr 29 O 458 7.96
 15 Mai 25 W 397 7.70
 14.10 45.411 7.90

298. 13^h24^m +53° 8'
 13 Apr 29 O 581960 3.55
 " 30 O 930 3.46
 Mai 1 O 964 2.93
 " 4 W 977 3.72
 " 9 W 983 2.97
 " 14 W 984 2.44
 13.34 58.966 3.18

299. 13^h27^m +51° 0'
 14 Apr 29 O 541718 53.93
 Mai 16 O 789 53.22
 15 " 21 W 792 53.00
 14.69 54.766 53.38

300. 13^h28^m 53°19'
 14 Apr 27 W 261634 16.16
 Mai 13 O 581 14.54
 " 17 O 543 16.91
 19 " 7 O 526 16.73
 15.60 26.571 16.08

301. 13^h34^m +51° 5'
 13 Apr 29 O 421900 44.43
 " 30 O 846 45.00
 Mai 4 W 839 45.97
 " 9 W 849 44.81
 13.33 42.858 45.06

302. 13^h35^m +51°20'
 13 Apr 25 O 4^h150 27^m28
 " 27 O 189 27.00
 Mai 17 W 132 26.28
 " 21 W 133 26.06
 13.35 4.151 28.65

303. 13^h36^m +53°17'
 13 Mai 12 W 36^h620 59^m09
 " 14 W 687 58.74
 14 Apr 29 O 630 59.28
 Mai 13 O 643 58.79
 13.85 36.645 58.97

304. 13^h37^m +55° 3'
 13 Mai 1 O 53^h815 38^m89
 " 25 W 766 38.27
 " 27 W 781 38.82
 14 " 16 O 765 38.24
 13.62 53.782 38.55

305. 13^h39^m +50°24'
 13 Apr 25 O 59^h503 16^m08
 " 27 O 494 16.95
 Mai 28 W 482 15.58
 " 30 W 502 15.85
 13.36 59.495 16.11

306. 13^h41^m +54°13'
 13 Apr 29 O 15^h947 16^m44
 " 30 O 940 16.25
 Mai 25 W 908 16.76
 " 27 W 912 15.81
 13.36 15.927 16.31

307. 13^h43^m +54°48'
 13 Apr 27 O 4^h857 25^m43
 Mai 9 W 808 25.41
 " 12 W 836 25.57
 " 14 W 840 25.44
 14 " 13 O 853 24.90
 13.55 47.839 25.35

308. 13^h50^m +51°32'
 13 Apr 25 O 49^h530 20^m84
 " 27 O 595 22.00
 Mai 17 W 504 21.25
 " 21 W 498 21.05
 15 " 25 W 552 22.08
 13.76 49.536 21.44

309. 13^h51^m +54° 5'
 13 Mai 1 O 5^h595 49^m48
 " 4 W 579 49.10
 " 9 W 551 49.34
 " 12 W 552 49.31
 Juni 9 O 604 49.74
 13.36 5.576 49.39

310. 13^h52^m +52°58'
 13 Mai 14 W 12^h640 12^m45
 " 27 W 650 12.04
 " 28 W 656 11.95
 14 " 17 O 694 13.76
 13.63 12.660 12.55

311. 13^h57^m +52°25'
 13 Apr 25 O 25^h684 32^m18
 " 30 O 683 32.32
 Mai 12 W 623 33.12
 " 17 W 593 31.89
 13.34 25.646 32.38

312. 13^h58^m +50°30'
 13 Mai 1 O 26^h718 2^m95
 " 9 W 704 2.19
 " 14 W 739 3.13
 14 " 13 O 762 3.21
 13.60 26.731 2.87

313. 14^h 0^m +51°19'
 13 Mai 4 W 12^h345 55^m76
 " 21 W 386 54.63
 Juni 9 O 395 54.39
 14 Mai 16 O 332 55.07
 13.63 12.364 54.96

314. 14^h 5^m +49°48'
 13 Apr 27 O 29^h287 42^m62
 " 29 O 269 42.31
 Mai 9 W 317 42.19
 " 14 W 340 42.53
 13.34 29.303 42.41

315. 14^h 6^m +54°14'
 13 Apr 30 O 55^h811 42^m60
 Mai 1 O 860 42.56
 " 12 W 851 42.85
 " 17 W 824 42.75
 13.35 55.836 42.69

316. 14^h 8^m +50°36'
 13 Mai 27 W 1^h95
 14 " 16 O 1.23
 " 17 O 16^h028 59.85
 15 " 25 W 000 0.29
 14.88 16.014 0.83
 14.38

317. 14^h10^m +52° 8'
 13 Mai 31 W 46^h547 17^m45
 Juni 2 W 515 17.00
 " 5 O 572 17.76
 19 Mai 7 O 578 17.05
 14.89 46.553 17.32

318. 14^h10^m +52° 8'
 13 Mai 17 W 47^h722 24^m31
 " 28 W 808 23.99
 14 " 18 O 789 25.52
 19 " 8 O 837 24.69
 15.12 47.789 24.63

319. 14^h14^m +51°39'
 13 Mai 21 W 41^h177 11^m41
 Juni 4 W 182 11.62
 14 Mai 16 O 147 11.83
 " 17 O 138 12.39
 13.89 41.161 11.81

320. 14^h15^m +50°10'
 13 Mai 31 W 42^h755 20^h66
 Juni 2 W 846 19.23
 14 Mai 18 O 824 19.53
 19 " 9 O 839 19.76
 15.14 42.818 19.80

321. 14^h15^m +52°22'
 13 Mai 28 W 53^h680 41^h35
 " 30 W 637 41.73
 Juni 5 O 658 41.60
 19 Mai 8 O 619 41.58
 14.90 53.648 41.56

322. 14^h18^m +55° 1'
 13 Mai 17 W 3^h715 6^h31
 " 21 W 6.09
 Juni 4 W 669 5.33
 14 Mai 16 O 725 5.95
 " 17 O 768 7.58
 13.88 3.719 6.25
 13.78

323. 14^h24^m +52°57'
 13 Mai 27 W 0^h445 43^h39
 Juni 2 W 430 43.45
 14 Mai 16 O 441 43.24
 " 17 O 384 43.73
 13.89 0.425 43.45

324. 14^h26^m +50°10'
 13 Mai 28 W 1^h637 48^h03
 " 30 W 614 48.22
 Juni 15 O 669 48.73
 14 Mai 18 O 632
 19 " 7 O 460 48.28
 14.80 1.602 48.06
 14.90

325. 14^h26^m +54° 0'
 13 Mai 31 W 33^h044 49^h97
 Juni 2 W 002 49.69
 14 Mai 18 O 045 49.96
 19 " 8 O 32.948 51.23
 15.14 33.010 50.21

326. 14^h31^m +53°13'
 13 Apr 29 O 2^h368 53^h73
 Mai 27 W 366 52.86
 " 28 W 354 53.10
 " 30 W 376 52.71
 Juni 15 O 351 52.82
 13.40 2.363 53.04

327. 14^h32^m +49°41'
 13 Juni 2 W 2^h279 40^h41
 " 4 W 261 39.17
 " 9 O 331 40.18
 14 Mai 13 O 311 41.04
 13.66 2.296 40.20

328. 14^h33^m +51°35'
 13 Mai 31 W 53^h994 3^h83
 Juni 4 W 969 2.66
 " 14 O 54.038 4.09
 14 Mai 16 O 53.999 3.50
 13.66 54.000 3.52

329. 14^h35^m +51°54'
 13 Mai 21 W 31^h104 5^h56
 " 27 W 068 6.62
 14 " 17 O 055 5.56
 " 18 O 081 6.16
 13.88 31.077 5.98

330. 14^h35^m +54°20'
 13 Apr 29 O 52^h437 49^h33
 Mai 17 W 429 49.22
 " 28 W 413 49.43
 Juni 15 O 476 49.13
 13.38 52.439 49.28

331. 14^h38^m +52°58'
 13 Mai 12 W 54^h780 0^h99
 " 30 W 801 0.35
 Juni 5 O 739 59.39
 " 14 O 0.32
 13.40 54.773 0.26
 13.41

332. 14^h39^m +50°25'
 13 Mai 21 W 44^h150 58^h52
 " 27 W 145 59.58
 Juni 9 O 084 59.10
 14 Mai 16 O 088 59.73
 13.65 44.117 59.23

333. 14^h44^m +51° 7'
 13 Apr 29 O 38^h777 1^h14
 Mai 17 W 837 1.06
 " 21 W 818 1.09
 Juni 9 O 818 0.31
 13.38 38.812 0.90

334. 14^h45^m +49°52'
 13 Mai 27 W 15^h077 22^h27
 " 28 W 130 22.36
 Juni 5 O 111 22.77
 " 14 O 116 21.85
 13.42 15.108 22.31

335. 14^h47^m +55° 0'
 13 Mai 30 W 37^h965 29^h88
 Juni 4 W 876 28.74
 14 Mai 16 O 966
 " 18 O 944 28.97
 19 " 7 O 968 29.99
 14.99 37.944 29.40
 15.14

336. 14^h53^m +49°56'
 13 Mai 27 W 53^h514 6^h98
 Juni 4 W 521 6.45
 " 5 O 515 7.09
 14 Mai 18 O 517 6.23
 13.66 53.517 6.69

337. 14^h54^m +53°41'
 13 Apr 29 O 38^h367 22^h40
 Mai 30 W 358 22.12
 Juni 2 W 386 22.27
 14 Mai 17 O 385 21.99
 13.63 38.374 22.20

338. 14^h55^m +50°24'
 13 Mai 17 W 12^h49
 " 31 W 51^h927 12.52
 Juni 14 O 913 12.84
 14 Mai 16 O 891 12.47
 " 21 W 865 12.47
 13.90 51.899 12.56
 13.80

339. 14^h57^m +52°10'
 13 Mai 28 W 5^h883 22^h57
 14 " 18 O 799 21.57
 " 22 W 865 21.37
 19 " 7 O 851 22.04
 15.38 5.850 21.89

340. 15^h 3^m +53°59'
 13 Apr 29 O 44^h224 12^h62
 Mai 21 W 231 11.87
 " 27 W 197 12.61
 Juni 9 O 149 11.93
 13.39 44.200 12.26

341. 15^h 4^m +54°50'
 13 Mai 28 W 8^h092 40^h32
 " 30 W 084 39.86
 Juni 5 O 073 40.24
 " 14 O 043 39.95
 13.42 8.073 40.09

342. 15^h 5^m +50°20'
 13 Mai 31 W 56^h728 28^h00
 Juni 2 W 693 28.00
 " 15 O 748 29.38
 " 21 O 759 28.12
 13.44 56.732 28.38

343. 15^h13^m +51°12'
 13 Apr 29 O 33^h123 55^h08
 Mai 21 W 144 54.31
 " 25 W 199 55.09
 Juni 5 O 185 54.82
 13.38 33.163 54.82

344. 15^h15^m +51°53'
 13 Mai 28 W 53^h502 22^h40
 " 30 W 486 21.55
 Juni 9 O 469 22.02
 " 14 O 507 22.01
 13.42 53.491 22.00

345. 15^h17^m +50°29'
 13 Mai 31 W 5^h810 5^h41
 Juni 2 W 866 4.86
 " 15 O 867 5.69
 " 21 O 926 5.12
 13.44 5.867 5.27

346. 15^h17^m +52°12'
 13 Mai 25 W 52^h762 41^h08
 " 27 W 729 40.66
 Juni 4 W 40.29
 14 Mai 16 O 764 40.37
 " 18 O 728 40.27
 13.89 52.746 40.53
 13.79

347. 15^h26^m +49°55'
 13 Juni 9 O 4^h397 2^h17
 14 " 18 W 375 2.71
 19 Mai 18 O 304 2.18
 Juni 9 W 404 1.98
 16.67 4.370 2.26

348. 15^h28^m +54°13'
 13 Juni 4 W 29^h128 27^h23
 14 " 16 W 186 27.15
 19 Mai 7 O 169 28.15
 " 9 O 139 28.24
 16.64 29.156 27.69

349. 15^h29^m +53°34'
 13 Juni 2 W 35^h382 38^h48
 19 Mai 20 O 398 38.29
 " 21 O 449 37.18
 Juni 12 W 429 37.88
 17.90 35.414 37.96

350. 15^h30^m +52°36'
 13 Mai 30 W 49^h528 32^h58
 19 " 8 O 277 34.47
 " 9 O 327 34.91
 Juni 9 W 286 34.48
 17.89 49.354 34.11

351. 15^h32^m +49°56'
 13 Juni 5 O 59^h765 48^h42
 " 9 O 700 47.37
 14 " 18 W 694 48.28
 19 " 12 W 720 47.53
 15.19 59.720 47.90

352. 15^h34^m +54°52'
 13 Juni 21 O 1^h306 39^h16
 14 Mai 17 O 285 39.91
 Juni 15 W 228 39.64
 " 16 W 335 38.86
 14.19 1.288 39.39

353. 15^h36^m +51°48'
 13 Mai 25 W 45^h676 44^h14
 " 28 W 664 43.72
 Juni 14 O 710 43.29
 19 Mai 7 O 662 43.40
 14.90 45.678 43.64

354. 15^h37^m +55° 6'
 13 Juni 2 W 46^h010 46^h66
 " 4 W 106 46.13
 " 21 O 124 46.14
 14 Mai 18 O 037 46.91
 13.67 46.069 46.46

355. 15^h39^m +50°26'
 13 Juni 9 O 2^h434 35^h15
 14 " 7 W 457 35.33
 " 15 W 477 34.25
 19 Mai 8 O 441 35.31
 15.42 2.452 35.01

356. 15^h40^m +52°35'
 13 Mai 25 W 48^h389 49^h32
 " 28 W 360 48.04
 Juni 14 O 402 48.58
 19 Mai 7 O 360 48.48
 14.90 48.378 48.60

357. 15^h49^m +50° 0'
 13 Mai 25 W 22^h209 39^m10
 " 28 W 250 38.61
 Juni 9 0 189 38.82
 " 14 0 186 37.17
 13.42 22.208 38.42

358. 15^h50^m +53°32'
 13 Juni 4 W 55^h479 16^m59
 " 21 0 523 14.54
 14 " 18 W 464 17.06
 19 Mai 7 0 480 14.79
 15.17 55.486 15.74

359. 15^h53^m +54°14'
 13 Mai 30 W 31^h066
 14 Juni 7 W 061 55^m11
 " 15 W 065 54.31
 19 Mai 8 0 110 55.25
 " 9 0 081 54.78
 16.20 31.077 54.86
 16.89

360. 15^h58^m +54°43'
 23 Juni 5 W 32^h906 52^m72
 " 7 W 895 52.49
 " 22 W 875 53.46
 " 25 W 900 52.26
 23.45 32.894 52.73

361. 15^h59^m +50°30'
 13 Juni 21 0 11^h950 18^m28
 14 " 18 W 872 18.00
 19 Mai 11 0 964 17.01
 Juni 7 W 925 18.33
 16.68 11.928 17.90

362. 16^h 0^m +53° 7'
 14 Juni 15 W 10^h629 24^m86
 " 16 W 623 24.92
 19 Mai 8 0 622 24.55
 " 9 0 563 24.75
 16.90 10.609 24.77

363. 16^h 0^m +52°26'
 19 Mai 7 0 57^h378 10^m72
 " 11 0 374 10.93
 Juni 7 W 414 9.87
 " 9 W 359 10.84
 19.39 57.381 10.59

364. 16^h 9^m +50° 5'
 13 Mai 28 W 21^h627 29^m62
 14 Juni 7 W 603 29.55
 19 Mai 7 0 604 29.62
 " 8 0 582 30.46
 16.63 21.604 29.81

365. 16^h13^m +53°25'
 13 Juni 2 W 57^h279 21^m75
 " 14 0 302 21.75
 Juli 12 0 378 21.04
 14 Juni 15 W 357 22.59
 13.71 57.329 21.78

366. 16^h14^m +54°36'
 13 Mai 28 W 5^h354 13^m93
 14 Juni 9 W 349 15.22
 19 Mai 9 0 345 14.55
 " 11 0 331 14.27
 16.64 5.345 14.49

367. 16^h17^m +53°42'
 14 Juni 16 W 3^h920 45^m37
 " 18 W 874 44.93
 19 Mai 7 0 887 45.14
 " 8 0 900 45.75
 16.90 3.895 45.30

368. 16^h18^m +52° 0'
 13 Juni 2 W 38^h820 40^m38
 " 14 0 856 41.09
 " 21 0 906 40.78
 14 " 9 W 888 40.66
 13.89 38.867 40.73

369. 16^h21^m +50°31'
 13 Juli 12 0 6^h433 1^m81
 " 13 0 378 1.88
 14 Juni 15 W 430 2.92
 " 16 W 458 1.87
 13.99 6.425 2.12

370. 16^h26^m +51°45'
 13 Juni 4 W 7^h415 23^m17
 " 9 0 391 23.30
 " 14 0 380 22.82
 14 " 7 W 426 22.67
 13.68 7.403 22.99

371. 16^h33^m +50° 8'
 13 Juni 4 W 32^h541 17^m66
 " 14 0 16.34
 14 " 16 W 532 16.55
 19 Mai 7 0 509 16.89
 15.74 32.527 16.86
 15.17

372. 16^h34^m +53° 2'
 13 Juni 21 0 24^h894 60^m15
 Juli 13 0 879 59.90
 14 Juni 7 W 852 59.68
 " 9 W 963 59.83
 13.97 24.897 59.89

373. 16^h34^m +53° 4'
 13 Juli 4 0 27^h367 27^m77
 " 15 0 283 28.33
 " 16 0 281 27.76
 14 Juni 18 W 320 27.65
 13.76 27.313 27.88

374. 16^h40^m +54°36'
 13 Juni 4 W 49^h663 27^m73
 " 14 0 643 26.05
 " 21 0 729 26.51
 14 " 9 W 682 27.85
 " 18 W 727 27.55
 13.81 49.689 27.14

375. 16^h47^m +54° 9'
 13 Juli 13 0 24^h365 27^m28
 " 15 0 331 28.48
 19 Juni 9 W 390 27.21
 " 11 W 329 27.01
 16.49 24.353 27.50

376. 16^h47^m +53° 2'
 13 Juli 4 O 392.475 42.30
 " 16 O 550 41.84
 14 Juni 7 W 42.03
 " 15 W 558 41.64
 19 " 12 W 522 42.14
 " 18 W 553 42.50
 16.07 39.532 42.08
 15.80

377. 16^h54^m +51°13'
 13 Juni14 O 92.584 33.70
 Juli 4 O 560 33.85
 14 Juni 7 W 637 35.91
 " 9 W 603 35.20
 13.96 9.596 34.66

378. 16^h59^m +53°30'
 13 Juni21 O 342.251 43.42
 Juli 4 O 248 43.62
 14 Juni15 W 225 44.49
 " 16 W 255 44.08
 13.97 34.245 43.90

379. 17^h 3^m +54°34'
 13 Juli 4 O 462.909 57.02
 " 12 O 6.00
 14 Juni 7 W 911 6.30
 " 9 W 871 5.15
 14.13 46.897 5.62
 13.98

380. 17^h 7^m +49°48'
 13 Juli15 O 472.814 6.85
 " 18 O 822 7.28
 14 Juni15 W 799 6.42
 " 18 W 811 7.45
 14.00 47.811 7.00

381. 17^h 8^m +55° 0'
 13 Juli13 O 42.282 18.42
 14 Juni 9 W 263 19.47
 " 16 W 282 19.93
 19 Mai 7 O 20.47
 14.14 4.276 19.57
 15.44

382. 17^h 9^m +51°50'
 13 Juli18 O 312.409 37.08
 " 27 O 386 37.04
 14 " 19 W 365 37.25
 " 22 W 403 37.40
 14.05 31.391 37.19

383. 17^h14^m +50°49'
 13 Juli13 O 222.709 28.19
 " 15 O 777 28.87
 14 Juni 7 W 776 28.07
 " 9 W 757 28.06
 13.98 22.755 28.30

384. 17^h16^m +53°42'
 13 Juli 4 O 402.152 41.31
 " 16 O 134 41.54
 14 Juni15 W 126 41.34
 " 18 W 167 42.52
 13.99 40.145 41.68

385. 17^h19^m +49°50'
 13 Juli13 O 282.094 7.75
 " 15 O 062 7.27
 14 Juni 7 W 062 6.98
 " 16 W 079 6.85
 13.99 28.074 7.21

386. 17^h22^m +54°25'
 13 Juli16 O 232.899 53.98
 " 18 O 950 53.77
 14 Juni18 W 925
 Juli17 W 859 53.57
 14.02 23.908 53.77
 13.87

387. 17^h22^m +50°29'
 13 Juli13 O 352.552 33.57
 " 15 O 541 33.63
 14 Juni 9 W 572 32.94
 " 15 W 525 33.04
 13.99 35.547 33.29

388. 17^h30^m +52° 8'
 13 Juli13 O 492.872 44.16
 " 16 O 872 44.13
 14 " 18 W 930 45.13
 " 19 W 924 45.06
 14.04 49.900 44.62

389. 17^h40^m +51°38'
 13 Juli13 O 512.037 20.24
 " 15 O 028 21.83
 14 Juni 7 W 032 22.52
 Juli19 W 013 21.62
 14.01 51.028 21.55

390. 17^h42^m +53°49'
 13 Juli18 O 252.208 57.25
 " 22 O 153 57.67
 " 27 O 185 57.60
 14 Juni16 W 119 57.85
 " 18 W 201 57.16
 13.92 25.173 57.51

391. 17^h43^m +50° 4'
 13 Juli16 O 42.305 25.23
 " 30 O 344 25.07
 14 " 17 W 297 24.44
 " 22 W 338 24.36
 14.05 4.321 24.77

392. 17^h47^m +50°47'
 13 Juli13 O 162.910 50.26
 " 15 O 895 51.51
 14 Juni 7 W 908 50.96
 " 9 W 856 51.16
 13.98 16.892 50.97

393. 17^h48^m +54°44'
 13 Juli16 O 482.273 46.78
 " 17 O 251 47.39
 14 Juni15 W 354 47.43
 " 18 W 339 47.32
 14.00 48.304 47.23

394. 17^h51^m +52°23'
 13 Jul115 O 469 919 55.69
 " 22 O 921 55.96
 14 " 18 W 975 55.31
 " 22 W 965 55.35
 14.05 46.945 55.58

395. 17^h56^m +52°13'
 13 Jul122 O 249 046 25.39
 " 27 O 077 26.05
 14 " 18 W 111 26.47
 " 22 W 094 25.10
 14.05 24.082 25.75

396. 17^h58^m +53°16'
 13 Jul130 O 229 769 22.63
 14 Jun115 W 21.95
 Jul119 W 745 22.00
 18 Aug 14 O 775 21.92
 15.58 22.763 22.12
 15.30

397. 18^h 0^m +54°13'
 13 Jul122 O 299 660 36.13
 " 27 O 652 36.61
 14 " 17 W 696 36.08
 " 22 W 660
 19 Jun118 W 637 35.18
 15.14 29.661 36.00
 15.28

398. 18^h 2^m +50°52'
 13 Jul117 O 469 238 19.87
 " 30 O 228 20.40
 14 " 18 W 223
 " 19 W 200 20.16
 14.05 46.222 20.14
 13.89

399. 18^h 7^m +55°21'
 13 Jul113 O 349 168 5.34
 " 22 O 176 4.92
 Aug 24 W 151 5.00
 14 Jun1 7 W 162 5.59
 13.79 34.164 5.21

400. 18^h 8^m +54°15'
 13 Jul116 O 599 216 46.31
 " 17 O 191 46.59
 14 Jun1 9 W 264 46.75
 " 15 W 227 46.20
 13.99 59.224 46.46

401. 18^h10^m +52° 2'
 13 Jul118 O 329 294 28.20
 " 22 O 318 28.11
 14 " 17 W 283 28.89
 " 18 W 283 28.29
 14.04 32.294 28.37

402. 18^h15^m +51°11'
 13 Jul113 O 392 223 59.66
 " 15 O 263 60.38
 Aug 24 W 277 60.83
 14 Jun1 9 W 272 60.34
 13.79 3.259 60.30

403. 18^h15^m +54°43'
 13 Jul116 O 329 455 44.48
 " 17 O 437 43.59
 14 " 18 W 449 44.30
 13.87 32.447 44.12

404. 18^h17^m +49°56'
 13 Jul122 O 119 215 3.13
 " 27 O 256 3.08
 Aug 27 W 240 2.93
 14 Jul117 W 199 2.94
 13.83 11.227 3.02

405. 18^h18^m +51°18'
 13 Jul130 O 109 683 50.91
 14 " 19 W 723 51.00
 " 22 W 646 50.47
 18 Aug 11 O 49.29
 14.23 10.684 50.42
 15.32

406. 18^h19^m +53°59'
 13 Jul113 O 479 367 5.67
 " 15 O 425 5.29
 14 " 18 W 417 5.49
 " 22 W 404 5.03
 14.04 47.403 5.37

407. 18^h28^m +50° 7'
 13 Jul113 O 419 251 33.41
 " 15 O 273 33.66
 Aug 24 W 331 33.05
 14 Jun115 W 33.32
 13.57 41.285 33.36
 13.79

408. 18^h30^m +52° 3'
 13 Jul116 O 289 329 30.41
 " 17 O 298 30.79
 Aug 23 W 363 30.71
 14 Jul117 W 343 30.03
 13.81 28.333 30.49

409. 18^h32^m +52°17'
 13 Jul122 O 149 701 35.50
 " 27 O 663 35.71
 Aug 27 W 616 35.50
 14 Jul118 W 706 35.95
 13.83 14.672 35.66

410. 18^h33^m +54° 8'
 13 Jul113 O 269 286 45.55
 " 15 O 264 45.39
 Aug 24 W 300 44.40
 " 31 W 327 45.29
 13.59 26.294 45.14

411. 18^h37^m +52°16'
 13 Jul116 O 89 534 30.82
 " 17 O 468 30.62
 Aug 27 W 531 30.71
 14 Jul117 W 556 30.71
 13.82 8.522 30.72

412. 18^h39^m +52° 7'
 13 Jul122 O 99 357 29.05
 " 27 O 310 28.36
 14 Jun115 W 333 28.53
 Jul118 W 374 28.63
 14.03 9.344 28.64

413. 18^h38^m +53°15'
 13 Jul113 O 17^s373 16.42
 " 15 O 392 16.31
 Aug 24 W 489 16.30
 " 31 W 415 16.17
 13.59 17.417 16.30

414. 18^h45^m +52°54'
 13 Jul113 O 2^s528 17.39
 " 15 O 530 17.82
 Aug 23 W 530 17.02
 " 27 W 508 17.19
 13.59 2.524 17.36

415. 18^h47^m +52°34'
 13 Jul116 O 28^s363 42.61
 " 17 O 298 42.97
 Aug 31 W 326 42.91
 14 Jul118 W 337 43.66
 13.82 28.331 43.04

416. 18^h49^m +52°52'
 13 Jul130 O 54^s222 35.99
 14 " 19 W 137 35.74
 " 28 W 158 37.11
 18 Aug 13 O 132 37.25
 15.33 54.162 36.52

417. 18^h50^m +50°52'
 13 Jul122 O 2^s332 32.13
 " 27 O 333 31.60
 Aug 27 W 268 31.19
 19 " 28 W 268 31.85
 15.11 2.300 31.69

418. 18^h50^m +54°48'
 13 Sept 7 W 19^s815 47.17
 18 Aug 11 O 794 47.97
 " 14 O 819 47.11
 19 " 29 W 720 47.23
 17.64 19.787 47.37

419. 18^h51^m +50°36'
 13 Jul130 O 22^s109 51.40
 14 " 18 W 110 51.46
 18 Aug 19 O 140 51.28
 19 Sept 1 W 131 51.73
 16.60 22.122 51.47

420. 18^h58^m +50°25'
 13 Jul116 O 20^s438 35.23
 " 17 O 494 34.48
 Aug 27 W 34.97
 Sept 6 W 500 34.97
 14 Jul118 W 444 35.28
 13.82 20.469 34.99
 13.79

421. 18^h59^m +51°13'
 13 Jul113 O 12^s223 21.33
 " 15 O 251 21.97
 Aug 31 W 208 21.37
 14 Jul128 W 21.12
 13.58 12.227 21.45
 13.82

422. 19^h 0^m +52°41'
 13 Jul130 O 3^s883 55.33
 Sept 7 W 916 56.47
 18 Aug 14 O 864 54.96
 19 " 26 W 863 55.61
 16.38 3.882 55.59

423. 19^h 0^m +52° 9'
 14 Jul119 W 21^s268 5.20
 " 22 W 240 4.44
 18 Aug 11 O 194 4.75
 " 13 O 210 4.92
 16.58 21.228 4.83

424. 19^h 3^m +53°16'
 13 Jul113 O 14^s059 50.79
 " 15 O 078 51.49
 Aug 24 W 076 51.31
 " 31 W 056 50.95
 13.59 14.067 51.14

425. 19^h 4^m +53°40'
 13 Jul116 O 32^s234 50.34
 " 17 O 248 49.59
 Aug 27 W 285 50.89
 Sept 6 W 328 50.01
 13.60 32.274 50.21

426. 19^h 6^m +50°14'
 13 Jul122 O 38^s360 31.66
 " 30 O 329 31.51
 Sept 7 W 426 31.01
 14 Jul117 W 359 31.67
 13.83 38.368 31.46

427. 19^h 8^m +50°18'
 13 Jul113 O 7^s683 15.66
 " 15 O 727 15.51
 Aug 23 W 697 16.30
 " 31 W 16.24
 Sept 6 W 693 15.29
 13.60 7.700 15.80
 13.61

428. 19^h12^m +51°15'
 13 Jul117 O 14^s082 44.97
 " 22 O 169 45.73
 Aug 24 W 153 45.48
 " 27 W 092 45.37
 13.60 14.124 45.39

429. 19^h16^m +50° 5'
 13 Jul130 O 32^s943 20.21
 Aug 23 W 937 20.62
 " 24 W 985 20.56
 18 " 11 O 949 20.23
 14.87 32.953 20.40

430. 19^h16^m +52° 6'
 13 Sept 8 W 51^s846 29.08
 18 Aug 20 O 841 29.59
 Sept 2 O 928 30.47
 19 Aug 26 W 896 29.88
 17.66 51.878 29.76

431. 19^h17^m +54°14'
 14 Jul18 W 57^h151 8^m55
 " 28 W 053 9.27
 18 Aug 25 O 088
 " 30 O 123 8.90
 16.60 57.104 8.91
 15.92

432. 19^h21^m +50° 7'
 13 Jul115 O 25^h852 25^m66
 Aug 2 O 757 25.58
 " 23 W 789 25.83
 Sept 6 W 773 25.07
 18 Aug 11 O 807 25.81
 " 19 O 807 25.22
 15.28 25.797 25.53

433. 19^h21^m +54°35'
 13 Jul122 O 51^h360 3^m02
 " 30 O 356 2.87
 Aug 24 W 336 2.51
 " 31 W 314 2.41
 13.61 51.341 2.70

434. 19^h22^m +50° 5'
 13 Aug 27 W 34^h811 33^m56
 Sept 7 W 836 33.76
 18 Aug 13 O 906 33.98
 " 14 O 801 33.12
 16.14 34.838 33.60

435. 19^h23^m +53°17'
 13 Sept 3 W 32^h762 20^m43
 " 8 W 748 20.45
 18 Aug 20 O 658 20.35
 15.33 32.723 20.41

436. 19^h25^m +52°10'
 13 Sept12 W 35^h854 2^m53
 14 " 19 W 795 1.15
 18 Aug 25 O 811 1.82
 Sept 2 O 841 2.21
 16.39 35.825 1.93

437. 19^h25^m +50°34'
 13 Sept 6 W 52^h186 57^m49
 14 Jul122 W 101 56.57
 18 Sept 5 O 133 57.27
 " 8 O 142 57.81
 16.40 52.140 57.28

438. 19^h29^m +50° 8'
 13 Sept12 W 20^h236 42^m39
 18 Aug 30 O 166 43.06
 Sept11 O 230 42.95
 19 Aug 28 W 195 42.32
 17.68 20.207 42.68

439. 19^h32^m +51° 4'
 13 Aug 24 W 23^h286 31^m99
 14 Jul117 W 248 32.08
 18 Aug 25 O 254 31.56
 Sept 8 O 288 32.27
 16.88 23.269 31.98

440. 19^h33^m +50° 4'
 13 Sept 8 W 55^h403 9^m67
 18 Aug 30 O 354 10.18
 Sept11 O 445 10.32
 19 Aug 26 W 386 11.14
 17.67 55.397 10.33

441. 19^h35^m +51°47'
 13 Sept12 W 9^h191 46^m33
 18 " 16 O 46.18
 " 17 O 211 45.80
 19 Aug 28 W 183 45.40
 17.36 9.195 45.93
 17.69

442. 19^h37^m +54°47'
 13 Aug 24 W 0^h030 49^m05
 18 Sept 8 O 50.35
 " 22 O 59.998 50.27
 Okt 9 O 0.031 49.74
 19 Sept 1 W 023 49.69
 17.70 0.020 49.82
 17.90

443. 19^h37^m +53°37'
 13 Sept 8 W 9^h060 57^m70
 18 " 23 O 048 57.88
 Okt 3 O 019 57.71
 19 Aug 29 W 055 58.32
 17.71 9.045 57.90

444. 19^h39^m +50°21'
 13 Aug 2 O 49^h457 2^m71
 Sept12 W 461 3.10
 14 Jul117 W 519 2.78
 18 Sept 2 O 457 2.54
 15.12 49.474 2.78

445. 19^h39^m +50°20'
 13 Aug 27 W 52^h342 35^m70
 Sept 7 W 379
 18 Aug 30 O 265 34.25
 Sept17 O 283 35.24
 16.17 52.317 35.06
 17.01

446. 19^h41^m +52°25'
 13 Aug 23 W 55^h829 13^m79
 Sept 3 W 875 42.97
 18 " 16 O 907 43.90
 " 22 O 887 44.24
 16.18 55.874 43.73

447. 19^h45^m +50°11'
 13 Aug 2 O 3^h579 39^m58
 " 27 W 592 40.01
 Sept 7 W 652 39.95
 18 Aug 30 O 604 39.59
 14.89 3.607 39.78

448. 19^h47^m +53°34'
 13 Aug 31 W 14^h648 38^m69
 Sept 3 W 729 38.31
 18 Aug 14 O 669 38.01
 Sept 2 O 715 39.07
 16.15 14.690 38.52

449. 19h47m +54°50'
 13 Sept 8 W 491413 55.86
 14 Jul122 W 359 56.87
 18 Sept11 O 338 56.47
 " 16 O 369 55.55
 16.41 49.370 56.19

450. 19h48m +52°47'
 18 Sept 8 O 441915 50.18
 Sept17 O 918 49.76
 19 Aug 26 W 901 49.89
 " 28 W 891 49.68
 19.18 44.906 49.88

451. 19h52m +51°38'
 14 Jul122 W 271334 50.05
 18 Aug 14 O 309
 Sept 5 O 329 49.90
 " 17 O 50.09
 19 Aug 29 W 355 50.58
 17.88 27.332 50.16
 17.90

452. 19h54m +50°42'
 18 Sept16 O 421065 0.83
 Okt 9 O 093 0.21
 19 Aug 26 W 078 0.83
 " 28 W 104 0.52
 19.20 42.085 0.60

453. 19h55m +50°8'
 18 Sept23 O 511992 16.30
 Okt 3 O 984 16.08
 19 Sept 1 W 930
 " 6 W 934 16.97
 19.21 51.960 16.45
 19.05

454. 19h57m +51°50'
 13 Aug 27 W 161123 57.85
 18 Sept 5 O 063 58.21
 " 22 O 142 57.99
 19 Aug 29 W 139 58.00
 17.67 16.117 58.01

455. 19h58m +54°59'
 13 Aug 23 W 331732 2.71
 Sept 3 W 747 2.60
 18 Aug 30 O 737 3.88
 Sept 8 O 761 3.67
 16.16 33.744 3.22

456. 20h 4m +52°56'
 13 Aug 23 W 151076 32.76
 " 24 W 073 32.69
 18 " 30 O 277 33.93
 Sept 2 O 217 34.65
 16.16 15.161 33.51

457. 20h 8m +52°29'
 13 Aug 27 W 461475 25.41
 " 31 W 497 24.78
 18 Sept 2 O 551 26.34
 " 5 O 514 25.75
 16.16 46.509 25.57

458. 20h10m +51°14'
 13 Sept 3 W 261527 13.69
 " 12 W 597 13.36
 18 " 17 O 541 13.50
 " 22 O 581 14.15
 16.20 26.561 13.68

459. 20h13m +53°51'
 18 Sept 5 O 561556 30.44
 " 23 O 560 31.12
 19 Aug 29 W 513 30.25
 Sept 1 W 548 29.98
 19.18 56.544 30.45

460. 20h14m +50°9'
 13 Aug 27 W 381919 2.53
 " 31 W 926 2.48
 18 Sept11 O 996 3.00
 " 17 O 977 3.39
 " 22 O 965 3.19
 16.69 38.957 2.92

461. 20h16m +53°1'
 13 Sept 6 W 371249 33.20
 " 7 W 278 34.29
 18 Aug 30 O 216 34.49
 Sept 2 O 191 34.36
 16.17 37.234 34.08

462. 20h19m +54°59'
 13 Aug 23 W 451279 9.57
 " 24 W 261 9.00
 18 Sept 5 O 260 10.09
 " 8 O 223 10.49
 16.16 45.256 9.79

463. 20h24m +53°32'
 13 Aug 23 W 191637 33.08
 " 27 W 33.35
 " 30 W 33.76
 " 31 W 649 33.17
 Nov 11 O 671 33.63
 18 Aug 30 O 748 33.02
 14.95 19.676 33.34
 14.52

464. 20h31m +50°25'
 13 Aug 24 W 131055 32.25
 " 27 W 017 32.44
 18 " 30 O 056 31.84
 Sept 5 O 067 32.43
 16.16 13.049 32.24

465. 20h31m +52°32'
 13 Aug 2 W 191366 46.03
 " 30 W 389 46.90
 Nov 11 O 384 46.45
 18 Sept 8 O 389 46.53
 14.96 19.382 46.48

466. 20h33m +51°13'
 13 Aug 31 W 481846 22.75
 Sept 7 W 878 22.56
 18 " 2 O 851 22.21
 " 11 O 813 21.01
 16.17 48.847 22.13

467. 20h38m +54°24'
13 Aug 24 W 399061 4.67
18 Sept11 O 036 5.18
" 17 O 021 5.47
19 " 6 W 077 5.49
17.68 39.049 5.20

468. 20h39m +53°56'
18 Sept23 O 20493 27.20
Okt 2 O 550 26.76
19 Aug 28 W 486 26.18
Sept 7 W 563 26.89
19.20 20.523 26.76

469. 20h40m +52° 1'
18 Okt 3 O 491730 13.77
" 9 O 896 14.19
19 Sept11 W 706 14.71
" 12 W 736 14.25
19.23 49.717 14.23

470. 20h44m +52°43'
13 Nov 11 O 104822 19.47
18 Sept17 O 773 20.25
19 Aug 28 W 767 18.03
Sept 6 W 806 18.76
17.98 10.792 19.13

471. 20h46m +51°37'
18 Sept23 O 261805 52.81
Okt 2 O 870 52.25
19 Sept 1 W 869 53.09
" 7 W 847 53.22
19.21 26.848 52.84

472. 20h49m +51°36'
18 Sept16 O 371923 57.46
" 17 O 896 57.94
19 Aug 26 W 933 58.81
Sept 6 W 889 58.78
19.19 37.910 58.25

473. 20h51m +54°13'
18 Sept23 O 91707 43.69
Okt 2 O 739 43.67
19 Aug 28 W 753 44.06
" 29 W 779 44.62
19.20 9.744 44.01

474. 20h53m +54°38'
13 Sept12 W 251364 31.41
18 " 11 O 330 31.13
Okt 3 O 443 30.49
19 Sept 1 W 371 30.54
17.70 23.377 30.89

475. 20h54m +50°26'
13 Aug 30 W 21565 23.12
" 31 W 554 23.51
18 Okt 15 O 22.93
" 28 O 636 23.54
Nov 5 O 639 23.29
16.24 2.598 23.28
16.75

476. 20h55m +50°34'
13 Aug 23 W 411823 50.10
Nov 11 O 849 49.43
18 Sept17 O 848 49.75
19 Aug 26 W 885 49.65
16.46 41.851 49.73

477. 20h56m +50°10'
13 Sept 7 W 51862
" 8 W 849 11.78
18 " 16 O 816 12.10
" 23 O 814 11.69
Okt 2 O 866 12.03
16.71 5.841 11.90
17.47

478. 20h58m +51° 5'
13 Aug 24 W 391946 22.75
Sept12 W 967 23.56
18 Okt 3 O 978 23.27
" 15 O 22.91
" 28 O 899 22.86
16.23 39.948 23.07
16.74

479. 21h 4m +51°42'
13 Sept 7 W 271068 8.23
" 8 W 26.982 7.30
18 " 23 O 975 6.82
Okt 3 O 27.041 7.16
16.21 27.016 7.38

480. 21h 7m +53°15'
13 Sept12 W 561426 23.39
18 Okt 15 O 22.99
" 28 O 485 23.54
Nov 5 O 407 23.09
19 Sept 6 W 477 22.27
17.76 56.449 23.06
17.97

481. 21h10m +53°35'
13 Aug 23 W 101349 21.21
" 31 W 414 20.87
Nov 11 O 371 20.45
18 Sept11 O 347 21.18
14.96 10.370 20.93

482. 21h13m +52°45'
13 Sept 7 W 171217 6.44
18 " 16 O 218 6.74
" 17 O 7.47
19 " 6 W 166 7.00
17.36 17.200 6.91
17.69

483. 21h16m +54°16'
13 Aug 23 W 141543 50.55
" 31 W 602 50.25
18 Nov 5 O 565 50.15
" 6 O 627 51.29
16.25 14.584 50.56

484. 21h17m +52°44'
13 Aug 24 W 161032 23.54
Sept12 W 029 23.47
Nov 11 O 15.991 24.13
18 Okt 15 O 23.87
Nov 21 O 16.019 23.95
20 " 1 O 15.977 23.22
16.19 16.010 23.70
16.62

485. 21h17m +52°39'
13 Sept 7 W 331790 33.18
" 8 W 753 31.84
18 " 23 O 745 32.61
Okt 3 O 804 32.79
16.21 33.773 32.60

486. 21^h19^m +50°29'
 18 Sept 16 O 333 067 20.90
 " 17 O 072 22.80
 19 Aug 26 W 028 22.61
 Sept 1 W 018 21.93
 19.18 33.046 22.06

487. 21^h21^m +52° 7'
 13 Aug 31 W 342 410 33.68
 Sept 7 W 435 34.42
 18 " 23 O 365 33.45
 Okt 15 O 33.30
 Nov 5 O 368 33.37
 16.23 34.394 33.64
 16.74

488. 21^h24^m +52°34'
 13 Aug 23 W 161 532 19.01
 " 24 W 561 19.84
 18 Okt 3 O 489 19.88
 " 28 O 541 19.02
 16.21 16.531 19.44

489. 21^h27^m +52°36'
 13 Aug 31 W 232 269 13.73
 Nov 11 O 270 14.13
 18 Okt 15 O 13.79
 Nov 5 O 258 13.93
 19 Aug 26 W 226 14.90
 16.50 23.256 14.10
 16.96

490. 21^h27^m +52°37'
 13 Aug 23 W 503 349 37.60
 18 Okt 28 O 285 37.70
 Nov 22 O 400 38.61
 19 Sept 6 W 355 38.26
 17.76 50.372 38.04

491. 21^h29^m +53°40'
 13 Sept 7 W 362 505 58.94
 " 8 W 482 59.68
 18 Okt 3 O 453 60.06
 Nov 14 O 435 60.11
 " 21 O 425 59.71
 20 " 1 O 426 59.39
 17.45 36.454 59.65

492. 21^h31^m +51°21'
 13 Aug 31 W 522 251 49.06
 18 Sept 17 O 290 48.35
 Nov 23 O 259 49.34
 19 Sept 6 W 228 48.55
 17.73 52.257 48.82

493. 21^h33^m +50° 9'
 18 Sept 16 O 302 511 53.47
 Nov 22 O 524 54.08
 19 Sept 7 W 536 53.90
 " 11 W 515 53.43
 20 Nov 1 O 482 53.26
 19.56 30.614 53.68

494. 21^h33^m +52°28'
 13 Sept 8 W 322 082 48.10
 " 12 W 061 48.50
 18 Nov 5 O 057 47.97
 " 6 O 080 47.63
 16.27 32.070 48.08

495. 21^h39^m +50°50'
 13 Sept 12 W 252 804 49.17
 18 " 16 O 764 48.41
 Nov 5 O 778 48.19
 19 Sept 11 W 756 48.40
 17.73 25.776 48.54

496. 21^h41^m +53°56'
 18 Nov 6 O 292 541 19.66
 " 23 O 529 20.35
 19 Sept 12 W 574 20.26
 " 13 W 559 19.92
 20 Nov 1 O 537 19.50
 19.60 29.548 19.94

497. 21^h43^m +51°46'
 18 Nov 24 O 542 915 37.10
 " 25 O 903 36.46
 19 Aug 26 W 875 36.58
 Sept 11 W 857 36.12
 19.28 54.888 36.56

498. 21^h48^m +55° 3'
 18 Nov 6 O 112 349 34.03
 " 22 O 331 35.29
 19 Sept 12 W 342 35.31
 " 13 W 312 34.87
 20 Nov 1 O 348 34.03
 19.60 11.337 34.71

499. 21^h49^m +54°19'
 12 Dec 2 O 512 141 45.06
 13 Aug 31 W 128 44.56
 Sept 3 W 098 45.62
 18 " 23 O 162 45.32
 14.74 51.132 45.14

500. 21^h50^m +53°38'
 18 Sept 16 O 412 934 34.97
 Nov 14 O 967 36.03
 " 21 O 964 34.37
 19 Aug 26 W 979 35.98
 Sept 6 W 990 35.23
 19.16 41.967 35.32

501. 21^h50^m +51° 8'
 13 Sept 8 W 422 902 55.43
 " 12 W 932 55.83
 18 Okt 28 O 928 55.08
 Nov 5 O 915 55.23
 16.26 42.919 55.39

502. 21^h52^m +53°34'
 18 Sept 17 O 192 391 40.29
 Okt 2 O 346 40.36
 19 Sept 11 W 411 39.28
 " 12 W 451 41.09
 19.21 19.400 40.26

503. 21^h59^m +52°31'
 13 Aug 31 W 524 86 12.63
 Sept 3 W 496 11.94
 18 " 16 O 490 12.54
 " 17 O 518 12.39
 16.19 5.498 12.38

504. 22^h 0^m +50°31'
 13 Sept 12 W 48487 47.69
 18 Okt 17 O 531 47.94
 " 28 O 534 47.82
 Nov 5 O 451 47.48
 19 Sept 12 W 470 47.86
 17.97 4.495 47.76

505. 22^h 2^m +52°26'
 13 Sept 3 W 478557 0.87
 18 Nov 6 O 543 0.23
 19 Sept 13 W 548 1.15
 22 Okt 26 O 513 0.87
 18.76 47.540 0.78

506. 22^h 5^m +54°18'
 13 Sept 7 W 228698 45.61
 18 Nov 21 O 713 44.62
 " 22 O 697 44.84
 19 Sept 14 W 699 43.75
 17.79 22.702 44.70

507. 22^h 8^m +50°27'
 18 Nov 24 O 148798 8.22
 " 25 O 767 8.12
 19 Sept 12 W 757 8.18
 " 14 W 769 8.07
 20 Dez 8 O 824 7.62
 19.63 14.783 8.04

508. 22^h 10^m +52°46'
 13 Sept 7 W 338666
 " 8 W 686 53.99
 " 12 W 688 53.90
 18 Nov 21 O 614 53.60
 " 22 O 605 53.76
 15.77 33.652 53.81
 16.29

509. 22^h 13^m +50°42'
 18 Sept 16 O 228424 41.23
 Okt 3 O 510 40.74
 19 Sept 6 W 456 40.48
 " 11 W 452 40.76
 19.21 22.460 40.80

510. 22^h 19^m +53°45'
 18 Nov 29 O 48455
 18 Okt 3 O 456 38.24
 " 17 O 482 38.42
 Nov 5 O 441 38.84
 19 Sept 6 W 416 38.51
 " 11 W 453 39.02
 18.28 4.451 38.61
 19.15

511. 22^h 22^m +50°52'
 18 Nov 23 O 38070 27.09
 " 24 O 105 26.80
 19 Sept 29 W 055 27.37
 Okt 3 W 118 27.52
 20 Dez 8 O 126 26.84
 19.64 3.095 27.12

512. 22^h 22^m +53°26'
 18 Okt 3 O 508980 5.11
 Nov 25 O 948 4.78
 19 Okt 4 W 985 4.85
 " 11 W 952 5.00
 19.30 50.966 4.93

513. 22^h 25^m +50°55'
 13 Nov 29 O 248025 21.49
 18 Okt 17 O 21.14
 " 28 O 085 20.85
 Dez 7 O 072 21.50
 19 Okt 3 W 081 21.74
 " 4 W 074 21.43
 18.23 24.067 21.36
 18.33

514. 22^h 29^m +51°32'
 22 Sept 11 O 178919 27.10
 Okt 26 O 912 26.41
 23 Sept 19 W 839 26.45
 Nov 22 W 848 26.78
 23.28 17.880 26.68

515. 22^h 30^m +54°42'
 22 Nov 17 O 88830 41.95
 23 Sept 25 W 855 40.33
 " 29 W 790 40.01
 23.45 8.825 40.76

516. 22^h 34^m +50°53'
 22 Okt 26 O 88950 46.61
 Nov 17 O 967 46.42
 23 Sept 19 W 944 46.33
 " 25 W 968 46.24
 " 29 W 945 46.96
 23.38 8.955 46.51

517. 22^h 34^m +51°9'
 13 Sept 8 W 178392 28.70
 Nov 29 O 375 28.40
 Dez 7 O 377 27.73
 18 Okt 15 O 27.61
 " 28 O 386 27.35
 Nov 5 O 352 27.66
 19 Sept 6 W 343 26.76
 16.48 17.371 27.74
 16.81

518. 22^h 39^m +52°24'
 13 Sept 8 W 37.09
 Dez 7 O 138394 37.76
 18 Okt 2 O 395 37.05
 " 3 O 436 37.15
 19 " 11 W 426 37.42
 17.78 13.413 37.29
 16.96

519. 22^h 41^m +53°52'
 18 Nov 5 O 298285 20.23
 19 Sept 29 W 306 20.55
 Okt 3 W 312 21.29
 20 Nov 1 O 297 20.12
 19.79 29.300 20.55

520. 22^h 50^m +53°33'
 18 Nov 20 O 118958 25.11
 " 21 O 951 24.12
 19 Sept 11 W 972 25.04
 " 29 W 894 25.57
 20 Nov 1 O 990 25.00
 19.61 11.953 24.97

521. 22h52m +53°51'
 13 Nov 29 0 425 571 87.14
 18 " 22 0 604 7.69
 " 23 0 606
 19 Okt 1 W 629 7.88
 " 4 W 640 8.49
 20 Dez 12 0 656 7.91
 18.89 42.618 8.02
 18.65

522. 22h55m +50°17'
 18 Nov 24 0 173 846 477.16
 " 25 0 894 46.78
 19 Okt 11 W 832 47.15
 " 18 W 840 46.74
 19.34 17.853 48.95

523. 22h55m +52°15'
 18 Dez 5 0 553 107 57.43
 " 7 0 114 5.58
 19 Okt 4 W 138 5.45
 " 15 W 146 5.54
 20 Dez 8 0 107 5.26
 " 12 0 097 5.96
 19.88 55.118 5.54

524. 23h 0m +52°53'
 18 Nov 23 0 103 162 537.64
 " 24 0 199 53.24
 19 Sept 29 W 159 53.74
 Okt 1 W 174 53.42
 20 Nov 1 0 177 52.88
 Dez 8 0 214 52.65
 19.84 10.181 53.26

525. 23h 4m +54°26'
 18 Okt 3 0 73 479 427.51
 " 17 0 429 42.18
 Nov 20 0 428 42.09
 19 Sept 11 W 401 42.78
 " 29 W 42.54
 Okt 11 W 430 41.83
 20 Dez 8 0 42.00
 19.17 7.433 42.28
 19.51

526. 23h10m +51° 7'
 18 Nov 20 0 53 321 287.31
 " 21 0 358 27.83
 19 Okt 4 W 28.30
 " 11 W 333 27.75
 20 Nov 1 0 330 27.87
 Dez 12 0 342 28.22
 19.87 5.337 28.05
 19.85

527. 23h11m +53°56'
 18 Nov 22 0 513 414 597.99
 " 24 0 415 60.75
 19 Okt 18 W 485 59.95
 " 21 W 504 59.53
 20 Dez 14 0 482 60.58
 19.87 51.460 60.16

528. 23h13m +52°48'
 18 Nov 5 0 163 649 327.96
 " 23 0 654 32.87
 19 Okt 18 W 706 31.97
 " 21 W 734 32.31
 20 Dez 12 0 723 32.25
 19.65 16.693 32.47

529. 23h16m +52°51'
 18 Okt 15 0 67.45
 " 17 0 563 554 6.34
 " 28 0 571 5.86
 Nov 20 0 552 6.48
 19 Okt 1 W 581 5.87
 " 4 W 546 6.23
 20 Dez 8 0 588 5.95
 19.49 56.565 6.17
 19.39

530. 23h18m +51°43'
 18 Nov 21 0 263 401 127.80
 " 22 0 338 14.10
 19 Okt 11 W 241 13.70
 " 18 W 280 13.73
 19.34 26.315 13.58

531. 23h23m +54°33'
 18 Okt 28 0 223 521 397.77
 Nov 5 0 476 40.16
 19 Okt 3 W 485 39.60
 " 11 W 554 40.18
 19.30 22.509 39.93

532. 23h28m +50° 4'
 13 Dez 7 0 583 405 357.71
 18 Okt 15 0 35.25
 " 17 0 362 35.41
 Nov 21 0 397 34.37
 19 Okt 1 W 349 34.38
 " 3 W 353 34.53
 20 Dez 8 0 414 35.07
 18.67 58.380 34.96
 18.69

533. 23h29m +53°16'
 13 Jan 4 0 13 593 197.53
 18 Okt 28 0 633 19.65
 19 Sept 11 W 575 19.40
 Okt 4 W 607 19.82
 17.82 1.602 19.60

534. 23h30m +55° 4'
 13 Jan 5 0 363 121
 18 Nov 22 0 091 277.15
 " 23 0 102 27.72
 19 Okt 11 W 157 27.33
 " 18 W 101 27.82
 20 Dez 14 0 129 27.81
 18.55 36.117 27.57
 19.66

535. 23h33m +51°52'
 18 Nov 25 0 193 121 117.72
 Dez 5 0 091 11.33
 19 Okt 28 W 074 11.71
 " 30 W 026 11.52
 20 Dez 12 0 093 11.37
 19.69 19.081 11.53

<u>536.</u>	23 ^h 35 ^m	+50° 3'
18 Nov 22	0 29.858	21.36
" 23	0 810	22.20
19 Sept 11	W 836	22.42
Oct 18	W 804	22.24
20 Dec 8	0 852	21.79
" 14	0 851	21.63
<u>19.87</u>	<u>29.835</u>	<u>21.94</u>

<u>537.</u>		23 ^h 39 ^m	+52°55'
13 Jan	4 0	24.332	21.32
18 Oct	28 0	357	21.92
19 "	21 W	262	21.53
"	22 W	324	21.25
<u>17.86</u>		<u>24.319</u>	<u>21.50</u>

<u>538.</u>		23 ^h 42 ^m	+50°14'
13 Dez	7 0	21.544	46.00
18 Nov	20 0	620	46.67
"	21 0	630	46.47
19 Okt	15 W	570	47.08
"	18 W	554	46.14
20 Nov	1 0	623	46.07
Dez	8 0	606	46.11
19.01		21.592	46.36

539.		23^h42^m	+54°44'
18 Okt	17 O	541	245 9.84
Nov	5 O	196	9.96
"	25 O	263	10.26
Dez	5 O	222	10.59
19 Okt	11 W	244	9.40
"	28 W	221	9.77
20 Dez	12 O	179	9.84
19.43		54.224	9.92

<u>540.</u>		23 ^h 45 ^m	+50°35'
13 Jan	4 0	32.003	26.72
18 Oct	28 0	040	26.28
19 "	21 W	030	26.61
"	22 W	004	26.53
17.86		32.019	26.54

<u>541.</u>		23 ^h 46 ^m	+51°12'
18 Nov	20 O	369	978 17.66
"	22 O		961 17.39
19 Oct	15 W		987 17.41
"	18 W		937 17.71
"	23 W		965 17.53
20 Dec	12 O		977 18.19
"	14 O		957 17.66
<u>19.87</u>		<u>36.966</u>	<u>17.65</u>

<u>542.</u>		23 ^h 51 ^m	+52°19'
13 Jan	4 0	45.080	3.34
18 Nov	22 0	166	2.81
19 Okt	21 W	194	3.54
"	28 W	145	3.40
17.88		45.146	3.27

<u>543.</u>		23 ^h 52 ^m	+53°32'
13 Dec	7 0	46.255	34.30
18 Nov	23 0	260	33.84
Dec	5 0	284	33.69
19 Oct	23 W	260	34.07
Nov	5 W	271	33.17
18.28		46.266	33.81

<u>544.</u>		23 ^h 53 ^m	+51°44'
18 Nov	20 0	103 193	44.72
Dec	7 0	195	43.95
19 Okt	22 W	225	44.30
"	30 W	245	44.77
20 Dec	14 0	201	44.29
19.68		10.212	44.41

<u>545.</u>		23 ^h 55 ^m	+55°20'
18 Oct	28 O	11829	14.51
	Dec 7 O	789	14.73
19 Jan	3 W	791	15.05
	Oct 11 W	767	14.61
<u>19.13</u>		<u>11.794</u>	<u>14.72</u>

<u>546.</u>		23 ^h 58 ^m	+54°34'
12 Dec	29 0	21.835	56.06
13 Jan	4 0	825	56.44
19 Oct	15 W	806	56.54
	Oct 18 W	800	56.51
16.39		21.818	56.39

.....

K. g. g, 44,2

65819
- 541
91

Katalog von 146 Sternen

für das Aequinoctium

1875.0

bearbeitet von

Moritz Riechert.

E I N L E I T U N G

von

E. PRZYBYLLOK .

Mein verstorbener Amtsvorgänger H. BATTERMANN hatte, wie es scheint, die Absicht, ältere am REPSOLD'schen Meridiankreise angestellte Beobachtungsreihen neu reduzieren zu lassen. Er beauftragte daher den Oberlandmesser, Herrn Moritz RIECHERT, gleichsam zur Probe zu reduzieren die Beobachtungen, welche BUSCH am REPSOLD'schen Meridiankreise der Königsberger Sternwarte in den Jahren 1850-52 angestellt hatte (Abt. 32 der Königsberger Beobachtungen). Beim Vergleich der BESSEL'schen Zonen mit seinen Bonner Beobachtungen fand ARGELANDER so eigentümliche Unterschiede, dass er in den Königsberger Zonen konstante Fehler vermutete und darum eine Neubearbeitung derselben anregte. Dieser Anregung folgend, begann BUSCH, BESSEL's Nachfolger, gegen Ende 1850 am REPSOLD'schen Meridiankreise eine Beobachtungsreihe ausgewählter Sterne, welche die Frage der konstanten Zonenfehler klären sollte. Diese Beobachtungen sind mit einigen Unterbrechungen bis Mitte 1852 ausgeführt, dann aber wegen anderer dringender Arbeiten vorzeitig abgebrochen worden. Das Sternprogramm enthält einen Äquatorealen Gürtel von 146 Bradley-Sternen 5. bis 7. Grösse zwischen den Deklinationsgrenzen -15° und $+15^{\circ}$, in Rektassension sind Unterbrechungen von $7^h - 9^h$ und von $21^h - 24^h$. Von diesen 146 Sternen sind 63 nur einmal, 31 zweimal und 52 dreimal beobachtet worden. Die Beobachtungen sind in Band 32 der Königsberger Beobachtungen veröffentlicht. Da sich dort indessen zahlreiche Druck- und Rechenfehler vorfanden, so ist RIECHERT bei der Reduktion der Beobachtungen vom Manuskript ausgegangen. Der REPSOLD'sche Meridiankreis der Königsberger Sternwarte ist aus zahlreichen Veröffentlichungen bekannt, so dass eine Beschreibung des Instrumentes sich erübrigt. Die vorliegenden Beobachtungen sind ausnahmslos in der Kreislage West angestellt worden. Es wurden in der Regel nach der Auge- und Ohrmethode 5 Fadenantritte beobachtet. Die Deklinationseinstellung erfolgte in der Nähe des Meridianfadens auf den horizontalen Faden, und die 4 Mikroskope wurden an je einem Teilstrich abgelesen. Der Reduktion wurde der neue Fundamentalkatalog des Berliner astronomischen Jahrbuches zugrunde gelegt. Die Uebertragung vom Aequinoktium 1875 auf das des Beobachtungsjahres geschah mit der STRUVE'schen Präzession. Bei hohen Deklinationen oder beträchtlicher Eigenbewegung ist der Einfluss der letzteren auf die Variatio Saecularis berücksichtigt. Zur Reduktion auf den scheinbaren Ort wurde die BESSEL'sche Form der Rechnung gewählt, da die bekannten Grössen A, B, C, D aus STRUVE's Tab. Quant. Bess. entnommen und die Grössen a, b, c, d aus AUWERS - BRADLEY Bd. III interpoliert werden konnten. Bei den Doppelsternen α can. maj. und α can. min. wurden zur Reduktion des Schwerpunktes auf den Hauptstern für ersteren das Elementensystem V. A. N. 3085, für letzteren das Elementensystem aus A. N. 3929 herangezogen. Die Parallaxen von α can. maj., α can. min. und α aquilae wurden gemäss B. J. 1917 bezw. mit $0''.38$, $0''.33$ und $0''.23$ nach den bekannten Formeln in Rechnung ge-

stellt. Für die öfter beobachteten Zeitsterne wurde in dieser Weise eine acht-tägige, für die nur hin und wieder beobachteten jedoch und für die Polsterne eine tägliche Ephemeride gerechnet.

Der Kollimationsfehler ist mit Hilfe des Quecksilberhorizontes und der Neigung ermittelt worden. Die Deklination des Westendes der Achse n ist in bekannter Weise aus den Beobachtungen der Polsterne α und δ urs.min. bestimmt worden, für einzelne Tage musste n interpoliert werden. Uhrstand und Uhrgang sind aus den Fundamentalsternen abgeleitet worden, wobei indessen diejenigen Sterne fortgelassen wurden, deren Deklination $\pm 15^\circ$ wesentlich überschritt. Im Durchschnitt kommen auf einen Abend etwa 4 Zeitsterne, es mussten daher die Uhrgänge aus den Uhrständen benachbarter Tage berechnet werden. Der Aequatorpunkt wurde sowohl aus Fundamentalsternen als auch zur Kontrolle aus Nadirbeobachtungen bestimmt. In letzterem Falle wurde die Polhöhe $54^\circ 42' 50''.5$ zugrunde gelegt. Auch hier wurden Fundamentalsterne, deren Deklination die Grenzen $\pm 15^\circ$ wesentlich überschritten, wie bei der Ableitung des Uhrstandes fortgelassen. Teilungs- und Bieigungsfehler sind der Abteilung 37, I der Königsberger Beobachtungen entnommen worden. Als durchschnittlicher stündlicher Gang des Aequatorpunktes ergab sich aus 34 Tagen $\pm 0''.53$. Die Reduktion der angeschlossenen Sterne ist in gleicher Weise wie bei den Fundamentalsternen erfolgt. Die mittleren Oerter der angeschlossenen Sterne sind dann mit den A.G.Katalogen entnommenen Präzessionen und Saecular-Variationen zunächst auf das mittlere Aequinoxtium des Jahres 1850 transformiert. Aus den mehrfach beobachteten Sternen wurde der mittlere Fehler einer Beobachtung abgeleitet, er ergab sich in Rektassensionen zu $\pm 0''.079$ und in Deklination zu $\pm 0''.90$.

Die erreichte individuelle Genauigkeit ist also nicht übermäßig hoch, was im wesentlichen wohl der geringen Zahl der Fundamentalsterne zuzuschreiben ist. Um zu prüfen, ob unter diesen Umständen der Anschluss an den N.F.K. genügend eng ist, wurden die BUSCH'schen Sternörter unter Anwendung der Eigenbewegungen aus AUWERS-BRADLEY und der STRUVE'schen Präzession mit den Katalogen BOSS (1900) und PULKOWA (1855) verglichen. Letzterer Katalog liegt der Beobachtungsepoche der BUSCH'schen Sterne am nächsten. Diese Vergleichung ergab :

Ia		BOSS minus BUSCH :							
δ	n	$\Delta\delta$	$\Delta\alpha$	α	n	$\Delta\delta_\alpha$	$\Delta\alpha_\alpha$		
-15° bis -5°	40	$-0''.14$	$-0''.024$	0^h bis 6^h	48	$+0''.13$	$-0''.017$		
-5° bis $+5^\circ$	50	-0.14	-0.012	10^h bis 16^h	51	$+0.03$	$+0.005$		
$+5^\circ$ bis $+15^\circ$	51	-0.14	$+0.005$	16^h bis 21^h	52	-0.16	$+0.010$		

IIa		PULKOWA minus BUSCH :							
δ	n	$\Delta\delta$	$\Delta\alpha$	α	n	$\Delta\delta_\alpha$	$\Delta\alpha_\alpha$		
-15° bis -5°	40	$-0''.61$	$-0''.036$	0^h bis 6^h	48	$+0''.07$	$-0''.010$		
-5° bis $+5^\circ$	50	-0.53	-0.009	10^h bis 16^h	51	$+0.08$	$+0.003$		
$+5^\circ$ bis $+15^\circ$	51	-0.45	$+0.004$	16^h bis 21^h	52	-0.18	$+0.019$		

Zur Herstellung der Verbindung mit dem N.F.K. wurde aus A.J.Bd.26, 126 und aus den AUWERS'schen Reduktionstafeln entnommen.

Ib	BOSS minus N.F.K.:				
δ	$\Delta\delta$	$\Delta\alpha$	α	$\Delta\delta_\alpha$	$\Delta\alpha_\alpha$
-15° bis - 5°	-0.13	+0.001	0 ^h bis 6 ^h	+0.09	+0.003
- 5° bis + 5°	-0.10	0.000	10 ^h bis 16 ^h	-0.05	+0.001
+ 5° bis +15°	-0.15	0.000	16 ^h bis 21 ^h	-0.07	0.000

IIb	N.F.K. minus PULKOWA :				
δ	$\Delta\delta$	$\Delta\alpha$	α	$\Delta\delta_\alpha$	$\Delta\alpha_\alpha$
-15° bis +15°	+0.49	+0.005	0 ^h bis 6 ^h	0.00	0.000
- 5° bis + 5°	+0.43	+0.017	10 ^h bis 16 ^h	-0.02	+0.008
+ 5° bis +15°	+0.38	+0.029	16 ^h bis 21 ^h	+0.05	+0.014

Durch Verbindung von Ia mit Ib und IIa mit IIb ergibt sich :

N.F.K. minus BUSCH :					
δ	$\Delta\delta$	$\Delta\alpha$	α	$\Delta\delta_\alpha$	$\Delta\alpha_\alpha$
-15° bis - 5° I	-0.01	-0.025	0 ^h bis 6 ^h I	+0.04	-0.020
II	-0.12	-0.031	II	+0.07	-0.010
- 5° bis + 5° I	-0.04	-0.012	10 ^h bis 16 ^h I	+0.08	+0.004
II	-0.10	+0.008	II	+0.06	+0.011
+ 5° bis +15° I	+0.01	+0.005	16 ^h bis 21 ^h I	-0.09	+0.010
II	-0.07	+0.033	II	-0.13	+0.033

Aus diesen Zahlen ist zu ersehen, dass der Anschluss an den N.F.K. im Rahmen der erzielten Beobachtungsgenauigkeit erreicht ist. An die Katalogörter ist diese Reduktion auf den N.F.K. jedoch nicht angebracht worden.

Mit der STRUVE'schen Präzession sind die angeschlossenen Sterne auf das Aequinoctium 1875.0 übertragen worden. Zu dem nun folgenden Kataloge ist folgendes zu bemerken: Spalte 1 enthält die laufende Nummer des Sterns, Spalte 2 die entsprechende Nummer des Sterns im Katalog AUWERS-BRADLEY, Spalte 3 die Sterngrösse nach den A.G.Katalogen, Spalte 4 gibt die Zahl der Beobachtungen und Spalte 5 die Beobachtungsepoche. Die Rektaszensionen und Deklinationen (Spalte 6 und 9) gelten für das Aequinoctium 1875.0 und die Beobachtungsepoche nach Spalte 5. Präzession und Saecularvariation sind den A.G.Katalogen entnommen worden.

Nr.	B.	m	n	Ep. 1800+	α 1875				Praec. und Var. saec.	δ 1875				Praec. und Var. saec.
1	71	5.6	1	51.0	0 ^h 37 ^m	53 ^s 20	+3 ^s 0283	- 16		-11°17'	24 ^s 1	+19 ^s 781	-083	
2	103	6.0	1	51.0	0 49	45.53	+3.0113	- 12		-11 56	38.1	+19.584	-104	
3	106	6.0	1	51.0	0 52	28.22	+3.0075	- 11		-12 03	17.0	+19.531	-109	
4	127	7.1	3	51.0	0 59	59.07	+3.1476	+117		+12 17	06.5	+19.371	-127	
5	152	6.2	1	51.0	1 05	22.19	+3.0531	+ 41		- 2 54	56.0	+19.244	-136	
6	172	7.3	3	51.0	1 ^h 11 ^m	25 ^s 61	+3 ^s 0122	+ 18		- 8°19'	10 ^s 7	+19 ^s 088	-145	
7	183	6.7	1	51.0	1 17	44.91	+3.0045	+ 20		- 8 39	30.6	+18.911	-156	
8	192	6.0	3	51.0	1 20	41.50	+2.9599	- 10		-13 42	25.0	+18.825	-158	
9	197	7.2	1	51.0	1 22	31.79	+3.1271	+ 95		+ 6 38	53.4	+18.768	-169	
10	208	8.1	1	51.0	1 28	13.25	+3.1782	+126		+11 55	04.4	+18.587	-182	
11	214	6.7	1	51.0	1 ^h 30 ^m	28 ^s 53	+3 ^s 1769	+125		+11°30'	03 ^s 6	+18 ^s 512	-186	
12	247	3.0	1	51.0	1 45	17.39	+2.9574	+ 24		-10 57	12.9	+17.975	-200	
13	271	6.9	3	51.0	1 53	38.91	+3.1000	+ 85		+ 2 30	00.0	+17.638	-223	
14	280	6.8	1	51.0	1 56	47.00	+3.0668	+ 72		- 0 28	31.3	+17.506	-226	
15	302	6.1	3	51.0	2 04	45.54	+3.1693	+114		+ 7 59	03.8	+17.156	-247	
16	333	6.0	3	51.0	2 ^h 15 ^m	32 ^s 48	+3 ^s 0700	+ 78		- 0°10'	35 ^s 2	+16 ^s 648	-257	
17	354	5.8	1	51.0	2 25	47.88	+3.0502	+ 75		- 1 35	17.7	+16.131	-271	
18	362	6.5	3	51.0	2 29	19.02	+3.1438	+103		+ 5 02	48.3	+15.947	-285	
19	381	7.3	2	51.0	2 35	45.26	+3.2235	+128		+10 12	27.5	+15.598	-302	
20	400	6.0	3	51.0	2 44	35.52	+3.3008	+150		+14 33	56.7	+15.101	-323	
21	410	7.1	3	51.0	2 ^h 49 ^m	32 ^s 67	+3 ^s 1969	+116		+ 7°52'	40 ^s 5	+14 ^s 812	-321	
22	419	6.1	2	51.0	2 53	00.98	+3.2076	+118		+ 8 24	29.4	+14.606	-327	
23	450	6.0	2	51.0	3 06	23.49	+3.0440	+ 78		- 1 39	52.2	+13.779	-328	
24	461	6.2	3	51.0	3 11	58.31	+3.0482	+ 79		- 1 23	12.3	+13.420	-336	
25	485	4.7	3	51.0	3 23	34.75	+3.2721	+123		+10 54	22.7	+12.649	-376	
26	489	7.1	1	51.0	3 ^h 25 ^m	50 ^s 24	+3 ^s 2369	+114		+ 8°56'	57 ^s 6	+12 ^s 495	-375	
27	496	7.0	3	51.0	3 30	22.65	+3.0755	+ 82		+ 0 10	46.2	+12.182	-361	
28	502	5.8	2	51.1	3 32	50.96	+2.9592	+ 64		- 6 01	36.9	+12.010	-362	
29	518	6.5	3	51.0	3 38	33.01	+3.0591	+ 78		- 0 41	29.2	+11.606	-369	
30	519	6.6	1	51.1	3 39	02.13	+3.1804	+ 98		+ 5 39	26.7	+11.572	-384	
31	535	6.0	3	51.0	3 ^h 45 ^m	20 ^s 46	+3 ^s 1923	+ 98		+ 6°09'	28 ^s 0	+11 ^s 117	-392	
32	544	7.6	1	51.1	3 50	38.55	+2.7914	+ 46		-13 57	46.1	+10.728	-349	
33	555	6.6	2	51.1	3 57	07.17	+3.1746	+ 90		+ 5 05	21.0	+10.245	-402	
34	566	6.0	3	51.0	4 04	40.92	+3.1787	+ 87		+ 5 11	46.4	+ 9.670	-410	
35	567	6.1	1	51.1	4 04	16.86	+2.9234	+ 57		- 7 15	07.7	+ 9.701	-378	
36	585	6.1	3	51.0	4 ^h 12 ^m	55 ^s 31	+3 ^s 3639	+109		+13°43'	55 ^s 0	+ 9 ^s 033	-442	
37	617	6.0	1	51.0	4 23	00.72	+3.4072	+107		+15 21	46.8	+ 8.235	-457	
38	663	3.7	1	51.1	4 43	02.78	+3.2214	+ 71		+ 6 44	27.8	+ 6.607	-466	
39	672	5.8	1	51.0	4 45	27.65	+3.3890	+ 86		+14 02	24.4	+ 6.408	-471	
40	682	4.5	1	51.1	4 49	20.88	+3.3737	+ 81		+13 18	54.7	+ 6.085	-471	

Nr.	B.	m	n	Ep. 1800+	α 1875				Praec. und Var. saec.	δ 1875				Praec. und Var. saec.
41	695	5.0	2	51.0	4 ^h 52 ^m	04 ^s 30	+3 ^s 1062	+ 58		+ 1°31'	12 ^s 72	+ 5 ^s 857	-436	
42	701	4.9	1	51.1	4 55	22.67	+2.9064	+ 45		- 7 21	32.1	+ 5.579	-410	
43	702	5.6	3	51.0	4 57	25.53	+3.4227	+ 78		+15 13	40.2	+ 5.408	-483	
44	709	7.1	1	51.1	5 00	47.47	+3.2843	+ 64		+ 9 19	10.9	+ 5.124	-465	
45	779	5.3	2	51.0	5 23	23.16	+3.0448	+ 39		- 1 11	32.3	+ 3.190	-440	
46	805	6.0	1	51.0	5 ^h 30 ^m	02 ^s 23	+3 ^s 2874	+ 42		+ 9°13'	23 ^s 78	+ 2 ^s 614	-476	
47	819	2.0	1	51.0	5 34	26.99	+3.0256	+ 32		- 2 00	39.2	+ 2.231	-439	
48	822	9.0	1	51.0	5 36	00.86	+3.1054	+ 33		+ 1 24	43.9	+ 2.051	-451	
49	834	6.1	2	51.0	5 40	37.49	+3.4007	+ 36		+13 51	07.6	+ 1.693	-495	
50	883	5.0	1	51.0	5 55	57.80	+2.8220	+ 21		-10 36	03.9	+ 0.355	-412	
51	892	5.0	1	51.0	6 ^h 00 ^m	29 ^s 84	+2 ^s 7157	+ 19		-14°55'	30 ^s 78	- 0 ^s 045	-396	
52	1400	6.8	1	51.3	9 57	40.00	+3.1175	- 56		+ 3 48	32.6	-17.264	-224	
53	1426	6.4	1	51.3	10 09	57.89	+3.2302	-110		+14 21	02.9	-17.787	-210	
54	1441	6.9	1	51.3	10 16	27.92	+3.1457	- 68		+ 7 10	37.2	-18.042	-193	
55	1447	6.5	1	51.3	10 19	29.68	+3.0082	- 1		- 6 25	52.1	-18.157	-176	
56	1453	6.4	1	51.3	10 ^h 21 ^m	02 ^s 70	+3 ^s 1749	- 84		+10°23'	59 ^s 76	-18 ^s 214	-186	
57	1468	6.1	3	51.3	10 28	16.88	+3.1417	- 66		+ 7 35	46.4	-18.469	-171	
58	1482	7.0	3	51.3	10 35	03.00	+3.0631	- 20		- 1 05	03.3	-18.692	-154	
59	1493	7.6	3	51.3	10 39	35.14	+3.1289	- 59		+ 7 01	53.8	-18.832	-149	
60	1495	8.2	2	51.3	10 40	49.12	+3.1279	- 59		+ 7 00	19.4	-18.869	-146	
61	1517	6.4	3	51.3	10 ^h 49 ^m	16 ^s 40	+3 ^s 0822	- 26		+ 1°24'	10 ^s 74	-19 ^s 107	-128	
62	1519	6.5	2	51.3	10 49	32.11	+3.1209	- 54		+ 6 51	05.9	-19.114	-130	
63	1526	5.5	2	51.3	10 54	06.26	+3.1007	- 38		+ 4 17	17.4	-19.231	-120	
64	1530	5.0	3	51.3	10 55	27.12	+3.0605	- 7		- 1 48	43.0	-19.264	-116	
65	1533	6.7	1	51.3	10 57	12.70	+3.0765	- 18		+ 0 40	17.4	-19.306	-113	
66	1539	6.3	2	51.3	11 ^h 00 ^m	32 ^s 26	+3 ^s 0880	- 27		+ 2°38'	03 ^s 79	-19 ^s 383	-107	
67	1552	5.9	3	51.3	11 10	51.35	+3.0856	- 22		+ 2 41	53.6	-19.595	- 87	
68	1556	6.3	2	51.3	11 12	30.14	+3.0835	- 19		+ 2 20	07.6	-19.626	- 84	
69	1566	6.9	2	51.3	11 19	13.75	+3.0887	- 24		+ 3 59	24.2	-19.738	- 71	
70	1582	6.1	3	51.3	11 27	58.29	+3.0845	- 19		+ 3 45	18.7	-19.859	- 54	
71	1591	5.6	1	51.3	11 ^h 32 ^m	19 ^s 18	+3 ^s 0365	+ 69		-12°30'	52 ^s 71	-19 ^s 909	- 43	
72	1599	5.0	3	51.3	11 38	50.31	+3.0917	- 40		+ 8 57	10.9	-19.969	- 33	
73	1611	5.7	3	51.3	11 48	38.39	+3.0829	- 36		+ 9 08	20.0	-20.030	- 14	
74	1616	7.1	2	51.3	11 51	49.49	+3.0757	- 7		+ 4 10	42.5	-20.042	- 7	
75	1617	6.1	3	51.3	11 53	32.87	+3.0751	- 7		+ 4 21	05.5	-20.046	- 4	
76	1618	5.5	1	51.3	11 ^h 54 ^m	28 ^s 19	+3 ^s 0764	- 23		+ 7°18'	40 ^s 7	-20 ^s 048	- 2	
77	1627	6.9	3	51.3	12 03	41.46	+3.0698	- 13		+ 6 30	07.9	-20.052	+ 16	
78	1635	6.8	2	51.3	12 07	04.07	+3.0643	- 35		+10 57	28.8	-20.045	+ 22	
79	1643	6.7	3	51.3	12 12	15.84	+3.0724	+ 26		- 0 05	31.2	-20.026	+ 33	
80	1657	7.4	1	51.3	12 16	10.89	+3.0623	- 3		+ 6 00	05.0	-20.004	+ 40	

Nr.	B.	m	n	Ep. 1800+	α 1875				Praec. und Var. saec.	δ 1875				Praec. und Var. saec.
81	1681	5.0	3	51.3	12 ^h 25 ^m	38 ^s 55	+3 ^s 1137	+119		-15°30'	09 ^s 8	-19 ^s 929	+ 61	
82	1690	5.9	3	51.3	12 30	21.28	+3.0881	+ 64		- 5 08	32.0	-19.879	+ 71	
83	1701	5.2	3	51.3	12 35	33.30	+3.0324	- 16		+10 55	31.9	-19.813	+ 79	
84	1707	6.5	2	51.3	12 40	55.97	+3.0190	- 22		+12 38	32.4	-19.735	+ 87	
85	1714	6.9	1	51.3	12 45	15.27	+3.0551	+ 25		+ 3 44	11.6	-19.665	+ 96	
86	1729	6.2	1	51.3	12 ^h 52 ^m	13 ^s 30	+3 ^s 0891	+ 66		- 3°08'	13 ^s 7	-19 ^s 517	+115	
87	1738	6.7	2	51.3	12 57	28.10	+3.0895	+ 67		- 2 59	23.1	-19.428	+123	
88	1746	6.9	1	51.3	13 03	12.89	+3.1342	+105		- 9 39	43.3	-19.297	+135	
89	1757	7.3	1	51.3	13 08	12.23	+3.1393	+108		- 9 42	23.4	-19.173	+145	
90	1766	7.0	1	51.3	13 13	46.41	+3.1517	+114		-10 38	47.6	-19.025	+155	
91	1784	5.5	1	51.4	13 ^h 25 ^m	28 ^s 17	+3 ^s 1201	+ 92		- 5°36'	35 ^s 1	-18 ^s 676	+176	
92	1809	6.9	1	51.4	13 41	45.90	+3.1347	+101		- 6 12	45.4	-18.110	+207	
93	1819	6.3	1	51.4	13 48	17.24	+3.0817	+ 76		- 0 53	13.1	-17.857	+212	
94	1835	6.6	3	51.4	14 02	21.14	+3.1890	+123		- 9 44	30.3	-17.264	+247	
95	1851	5.0	2	51.4	14 13	06.28	+3.0938	+ 86		- 1 41	12.1	-17.766	+255	
96	1863	6.5	2	51.4	14 ^h 20 ^m	50 ^s 84	+3 ^s 1473	+105		- 5°33'	18 ^s 5	-16 ^s 385	+274	
97	1877	6.1	3	51.4	14 35	30.56	+2.9439	+ 50		+ 8 41	51.3	-15.612	+276	
98	1901	6.0	1	51.4	14 47	35.87	+3.2521	+133		-11 23	12.0	-14.927	+325	
99	1909	6.7	1	51.4	14 52	08.21	+3.2437	+128		-10 38	22.1	-14.658	+331	
100	1933	6.0	1	51.4	15 09	27.27	+3.0579	+ 81		+ 0 50	14.7	-13.584	+334	
101	1939	7.6	2	51.4	15 ^h 14 ^m	02 ^s 09	+3 ^s 3424	+145		-15°05'	45 ^s 0	-13 ^s 287	+372	
102	1952	5.7	3	51.4	15 22	19.67	+3.0312	+ 76		+ 2 16	40.7	-12.734	+347	
103	1995	5.5	1	51.4	15 40	22.92	+2.9231	+ 60		+ 7 44	48.2	-11.476	+355	
104		8.0	1	51.4	15 54	02.12	+3.3580	+122		-14 04	05.6	-10.476	+423	
105	2045	6.8	3	51.4	16 01	39.55	+2.8625	+ 53		+10 13	40.3	- 9.901	+367	
106	2062	6.0	3	51.4	16 ^h 07 ^m	04 ^s 33	+2 ^s 9621	+ 61		+ 5°20'	31 ^s 3	- 9 ^s 487	+385	
107	2085	6.3	2	51.4	16 18	05.60	+2.9189	+ 55		+ 7 14	18.2	- 8.626	+388	
108	2120	6.2	3	51.8	16 35	22.82	+3.0413	+ 60		+ 1 25	16.6	- 7.238	+417	
109	2131	4.9	1	51.4	16 39	49.90	+2.8775	+ 48		+ 8 48	42.9	- 6.873	+397	
110	2138	5.0	1	52.5	16 42	55.12	+3.3075	+ 80		-10 33	33.5	- 6.617	+459	
111	2163	4.6	3	52.2	16 ^h 57 ^m	24 ^s 24	+2 ^s 7447	+ 38		+14°16'	27 ^s 2	- 5 ^s 409	+388	
112	2190	5.4	1	52.5	17 13	47.77	+3.3678	+ 59		-12 43	07.5	- 4.016	+483	
113	2216	6.8	1	52.5	17 28	36.62	+2.7604	+ 30		+13 14	54.9	- 2.738	+400	
114	2225	5.0	2	52.6	17 34	23.58	+3.3742	+ 40		-12 48	23.5	- 2.235	+490	
115	2265	5.5	1	52.6	17 56	16.50	+3.2648	+ 20		- 8 10	39.1	- 0.326	+476	
116	2312	6.5	3	52.6	18 ^h 20 ^m	48 ^s 74	+3 ^s 0694	+ 7		+ 0°07'	25 ^s 0	+ 1 ^s 819	+445	
117	2325	6.5	3	52.5	18 25	29.72	+3.0975	+ 4		- 1 05	22.9	+ 2.226	+448	
118	2342	5.2	2	52.5	18 35	25.81	+3.2851	- 11		- 9 10	12.5	+ 3.088	+471	
119	2346	5.6	1	52.5	18 38	31.56	+3.0277	- 1		+ 1 56	05.6	+ 3.355	+434	
120	2361	7.3	3	52.5	18 44	32.30	+3.1501	- 10		- 3 24	08.3	+ 3.873	+449	

Nr.	B.	m	n	Ep. 1800+	α 1875	Praec.und Var.saec.	δ 1875	Praec.und Var.saec.
121	2362	6.5	3	52.6	18 ^h 44 ^m	48 ^s 32 +3 ^s 1514 - 11	- 3°27'	42 ^s 7 + 3 ^s 896 +448
122	2375	4.5	3	52.6	18 50	22.03 +3.2092 - 17	- 6 00	22.3 + 4.372 +454
123	2385	6.3	2	52.6	18 53	02.63 +2.7540 + 05	+13 44	26.2 + 4.600 +389
124	2391	4.7	2	52.6	18 55	00.40 +3.2064 - 20	- 5 54	45.1 + 4.767 +451
125	2394	5.7	1	52.6	18 56	19.35 +3.1598 - 18	- 3 52	41.2 + 4.879 +444
126	2399	5.7	1	52.6	18 ^h 58 ^m	21 ^s 66 +3 ^s 1672 - 20	- 4°12'	56 ^s 6 + 5 ^s 052 +444
127	2407	5.0	3	52.6	19 01	05.48 +2.8243 - 00	+10 52	51.3 + 5.283 +395
128	2410	6.5	2	52.6	19 02	52.66 +2.9397 - 07	+ 5 52	43.0 + 5.433 +410
129	2419	5.8	3	52.6	19 07	24.58 +3.0257 - 14	+ 2 04	59.0 + 5.814 +420
130	2424	6.1	2	52.6	19 10	19.87 +2.9693 - 11	+ 4 36	58.2 + 6.058 +410
131	2435	5.0	3	52.6	19 ^h 13 ^m	52 ^s 33 +3 ^s 1971 - 32	- 5°38'	50 ^s 7 + 6 ^s 353 +438
132	2455	5.7	3	52.6	19 20	07.46 +3.0703 - 23	+ 0 05	28.0 + 6.869 +418
133	2477	5.6	3	52.6	19 28	13.81 +3.3093 - 52	-10 49	52.6 + 7.533 +443
134	2493	5.5	3	52.6	19 34	16.98 +3.0917 - 31	- 0 54	31.6 + 8.019 +410
135	2518	6.4	1	52.6	19 42	48.56 +2.8270 - 9	+11 30	22.2 + 8.697 +368
136	2535	6.0	1	52.6	19 ^h 48 ^m	20 ^s 64 +3 ^s 0733 - 34	- 0°03'	06 ^s 9 + 9 ^s 131 +395
137	2551	6.0	3	52.6	19 54	58.33 +3.3641 - 79	-13 58	52.8 + 9.645 +425
138	2560	7.6	1	52.6	19 58	01.27 +3.3184 - 74	-11 57	04.6 + 9.890 +416
139	2571	7.1	3	52.6	20 01	34.28 +3.0931 - 41	- 1 02	06.9 +10.147 +385
140	2575	7.6	2	52.6	20 05	02.28 +3.3311 - 81	-12 45	43.9 +10.407 +410
141	2584	6.2	2	52.6	20 ^h 06 ^m	46 ^s 61 +3 ^s 0997 - 43	- 1°22'	55 ^s 2 +10 ^s 536 +380
142	2629	6.4	2	52.6	20 21	52.10 +3.1440 - 55	- 3 46	07.6 +11.636 +367
143	2684	4.2	1	52.6	20 41	08.59 +3.1701 - 65	- 5 29	01.4 +12.967 +345
144	2691	5.5	1	52.6	20 43	40.59 +2.9410 - 22	+ 7 24	03.4 +13.135 +318
145	2706	6.0	1	52.6	20 50	08.68 +3.2490 - 87	-10 10	32.5 +13.558 +342
146	2730	6.1	1	52.6	20 ^h 57 ^m	27 ^s 92 +3 ^s 1781 - 71	- 6°18'	57 ^s 4 +14 ^s 023 +323

vt.

Königsberg, 44, 3

65817

A02 I
— 9
91

Untersuchung der systematischen und individuellen Genauigkeit der photographischen Himmelskarte.

(Pariser Zonen)

von

P. MEIER.

I. Einleitung.

Im Katalog der photographischen Himmelskarte müssen zwei Systeme unterschieden werden, das der Anhaltsterne und das der Plattensterne. Um zu zeigen, in welchem Masse die photographische Platte fähig ist, das ursprüngliche System wiederzugeben, müssen beide Systeme auf ihre systematische und individuelle Genauigkeit hin untersucht werden.

Die systematischen Fehler werden sich zusammensetzen aus der Helligkeitsgleichung und periodischen Fehlern von der Form $\Delta\alpha_\alpha$ und $\Delta\delta_\alpha$, $\Delta\alpha_\delta$ und $\Delta\delta_\delta$. Die individuellen Fehler hingegen hängen ab von der individuellen Genauigkeit der Oerter der Anhaltsterne einerseits, und der Genauigkeit der Wiedergabe und der Messung auf der Platte andererseits.

Das Ziel dieser Untersuchungen soll ein möglichst enger Anschluss des Kataloges der photographischen Himmelskarte an ein Fundamentalsystem sein, um jederzeit von einem System zu anderen übergehen zu können. Ein direkter Vergleich der photographischen Himmelskarte mit einem Fundamentalsystem ist wegen der geringen Zahl gemeinsamer Sterne nicht durchführbar, deshalb musste ein Zwischensystem eingeschaltet werden, und als solches schien der Küstner'sche Katalog ¹⁾ geeignet, dessen Anschluss an den N.F.K. des Berliner Jahrbuches genau untersucht ist, und dessen Beobachtungsepochen (1894 bis 1900) mit denen der Pariser Zonen der photographischen Himmelskarte (1891 bis 1906) nahe zusammenfallen. Die maximale Epochendifferenz kann zwölf Jahre betragen. Ein weiterer Vorteil dieses Kataloges liegt ferner darin, dass er von Anfang an so angelegt worden ist, dass die Helligkeitsgleichung durch Abblenden der Sterne eliminiert wurde; die übrigen Reste der Helligkeitsgleichung für die schwächeren Sterne sind rechnerisch berücksichtigt. Der mittlere Fehler einer Katalogposition, der aus dem angegebenen wahrscheinlichen Fehler berechnet wurde, ist :

$$m.F.\alpha = \pm 0.0202$$

$$m.F.\delta = \pm 0.0270$$

Zur Ermittlung der Fehler der photographischen Himmelskarte standen drei Pariser Zonen ²⁾ zur Verfügung. Zwecks näherer Information über Instrument, Aufnahme und Ausmessung der Platten sei auf das Vorwort des ersten Bandes der Pariser Zonen der photographischen Himmelskarte verwiesen. Erwähnt sei nur, was für die vorliegende Arbeit von Bedeutung erscheint, dass das Uhrwerk des benutzten Himmelskartenrefraktors stark ausgeprägte periodische Fehler zeigte, was eventuell für die Form der Sternbildchen, und damit auch für die Grösse des individuellen Fehlers nicht ohne Einfluss geblieben sein könnte, und dass jeder Stern beim Ausmessen achtmal in jeder Koordinate pointiert wurde.

II. Die systematischen und individuellen Fehler der Anhaltsterne.

Um die gemessenen rechtwinkligen Koordinaten der Sterne zu orientieren und in Bogenmass zu verwandeln, um also die Idealkoordinaten herzustellen, dienen die Plattenkonstanten, die aus den Anhaltsternen herzuleiten sind. Die Posi-

1) Veröffentlichungen der Königlichen Sternwarte zu Bonn, Nr.10.

2) Die vierte Zone +21° wurde mir erst zugänglich, als die vorliegende Arbeit druckfertig vorlag.

tionen der Anhaltsterne für die Pariser Zonen, die in Paris, Abbadia und Uccle beobachtet werden sollen, lagen bei vollendeter Ausmessung der Platten noch nicht vor, sodass die Bearbeiter der photographischen Himmelskarte „vorläufige“ Plattenkonstanten berechneten mit Oertern der Anhaltsterne, die sämtlichen existierenden Katalogen von 1836 bis 1890 entnommen wurden. Zur Bestimmung der Eigenbewegungen wurden noch fünf ältere Kataloge aus den Jahren 1755 bis 1825 und zwei neuere von 1900 hinzugezogen. Auf welches System diese Oerter bezogen sind, liess sich nicht feststellen. Bei einigen Sternen weichen die Positionen wie sie in der photographischen Himmelskarte angegeben sind, von denen des Küstner'schen Kataloges um erhebliche Beträge ab, und zwar bis zu 4.4 in Rektassension und 3.3 in Deklination.

Zunächst soll nun die Untersuchung des Systems der Anhaltsterne der drei Pariser Zonen durch Vergleich mit Küstners Katalog durchgeführt werden, und zwar für jede Zone getrennt. Die Resultate stützen sich bei Zone +24° Deklination (Zone I) auf 329, bei Zone +23° (Zone II) auf 276 und bei Zone +22° (Zone III) auf 231 gemeinsame Sterne.

1. Die Helligkeitsgleichung. Zur Errechnung der Fehler des Systems der Anhaltsterne wurden die Differenzen Küstner minus Anhaltsterne gebildet. Diese Kü - A wurden getrennt nach den photographischen Helligkeiten der Anhaltsterne und folgendermassen zusammengefasst :

	Zone I			Zone II			Zone III		
m	m ₀	Δα	Δδ	m ₀	Δα	Δδ	m ₀	Δα	Δδ
5.9 - 5.9	5.27	+ 0.045	- 0.34	5.27	+ 0.050	- 0.24	5.25	- 0.013	+ 0.12
6.0 - 6.9	6.45	+ .020	- 0.29	6.45	+ .016	- 0.43	6.45	- .021	+ 0.09
7.0 - 7.9	7.45	- .020	- 0.12	7.45	- .005	- 0.26	7.45	- .013	+ 0.21
8.0 - 8.9	8.45	- .036	- 0.45	8.45	- .016	- 0.24	8.45	- .036	+ 0.19
9.0 - 9.9	9.45	- .035	- 0.53	9.45	- .032	- 0.13	9.45	- .040	+ 0.25
10.0 -	10.41	- .033	- 0.64	10.55	- .022	+ 0.45	10.47	- .043	+ 0.33

Es bedeutet m die photographische Helligkeit, m₀ die mittlere photographische Helligkeit, Δα und Δδ die Mittel der Differenzen in Rektassension und Deklination.

Nach quadratischem Ansatz für die Helligkeitsgleichung :

$$a + b (M_0 - m_0) + c (M_0 - m_0)^2 = \Delta\alpha$$

$$a' + b' (M_0 - m_0) + c' (M_0 - m_0)^2 = \Delta\delta$$

worin M₀ die mittlere photographische Helligkeit aller Anhaltsterne einer Zone und zwar für

Zone I	M ₀ = 8.05
Zone II	M ₀ = 8.27
Zone III	M ₀ = 8.28

ist, erhält man folgende sechs Fehlergleichungen für jede Koordinate und für jede Zone :

Zone I	$a + 2.78b + 7.73c = + 0.045$	$a' + 2.78b' + 7.73c' = - 0.34$
	$a + 1.60 + 2.56 = + .020$	$a' + 1.60 + 2.56 = - 0.29$
	$a + 0.60 + 0.36 = - .020$	$a' + 0.60 + 0.36 = - 0.12$
	$a - 0.40 + 0.16 = - .036$	$a' - 0.40 + 0.16 = - 0.45$
	$a - 1.40 + 1.96 = - .035$	$a' - 1.40 + 1.96 = - 0.53$
	$a - 2.36 + 5.57 = - .033$	$a' - 2.36 + 5.57 = - 0.64$
Zone II	$a + 3.00b + 9.00c = + 0.050$	$a' + 3.00b' + 9.00c' = - 0.24$
	$a + 1.82 + 3.31 = + .016$	$a' + 1.82 + 3.31 = - 0.43$
	$a + 0.82 + 0.67 = - .005$	$a' + 0.82 + 0.67 = - 0.26$
	$a - 0.18 + 0.03 = - .016$	$a' - 0.18 + 0.03 = - 0.24$
	$a - 1.18 + 1.39 = - .032$	$a' - 1.18 + 1.39 = - 0.13$
	$a - 2.28 + 5.20 = - .022$	$a' - 2.28 + 5.20 = + 0.45$
Zone III	$a + 0.03b + 9.18c = - 0.013$	$a' + 3.03b' + 9.18c' = + 0.12$
	$a + 1.83 + 3.35 = - .021$	$a' + 1.83 + 3.35 = + 0.09$
	$a + 0.83 + 0.69 = - .013$	$a' + 0.83 + 0.69 = + 0.21$
	$a - 0.17 + 0.03 = - .036$	$a' - 0.17 + 0.03 = + 0.19$
	$a - 1.17 + 1.37 = - .040$	$a' - 1.17 + 1.37 = + 0.25$
	$a - 2.19 + 4.80 = - .043$	$a' - 2.19 + 4.80 = + 0.33$

Aus diesen Fehlergleichungen werden die Normalgleichungen gebildet :

Zone I

$$\begin{array}{ll}
 6.00a + 0.82b + 18.34c = - 0.059 & 6.00a' + 0.82b' + 18.34c' = - 2.37 \\
 0.82a + 18.34b + 9.85c = + 0.286 & 0.82a' + 18.34b' + 9.85c' = + 0.95 \\
 18.34a + 9.85b + 101.33c = + 0.134 & 18.34a' + 9.85b' + 101.33c' = - 8.09
 \end{array}$$

Zone II

$$\begin{array}{ll}
 6.00a + 2.00b + 19.60c = - 0.009 & 6.00a' + 2.00b' + 19.60c' = - 0.85 \\
 2.00a + 19.60b + 20.07c = + 0.266 & 2.00a' + 19.60b' + 20.07c' = - 2.55 \\
 19.60a + 20.07b + 121.38c = + 0.540 & 19.60a' + 20.07b' + 121.38c' = - 1.61
 \end{array}$$

Zone III

$$\begin{array}{ll}
 6.00a + 2.16b + 19.42c = - 0.166 & 6.00a' + 2.16b' + 19.42c' = + 1.19 \\
 2.16a + 19.42b + 22.40c = + 0.058 & 2.16a' + 19.42b' + 22.40c' = - 0.34 \\
 19.42a + 22.40b + 120.89c = - 0.461 & 19.42a' + 22.40b' + 120.89c' = + 3.48
 \end{array}$$

Die Auflösung ergibt folgende Helligkeitsgleichungen für die einzelnen Zonen :

$$\begin{array}{ll}
 \text{Zone I} & \begin{array}{l} - 0.026 + 0.014 (8.05 - m_0) + 0.005 (8.05 - m_0)^2 = \Delta\alpha \\ - 0.44 + 0.08 (8.05 - m_0) - 0.02 (8.05 - m_0)^2 = \Delta\delta \end{array} \\
 \text{Zone II} & \begin{array}{l} - 0.018 + 0.012 (8.27 - m_0) + 0.004 (8.27 - m_0)^2 = \Delta\alpha \\ - 0.28 - 0.16 (8.27 - m_0) + 0.06 (8.27 - m_0)^2 = \Delta\delta \end{array} \\
 \text{Zone III} & \begin{array}{l} - 0.029 + 0.007 (8.28 - m_0) + 0.000 (8.28 - m_0)^2 = \Delta\alpha \\ + 0.20 - 0.05 (8.28 - m_0) + 0.01 (8.28 - m_0)^2 = \Delta\delta \end{array}
 \end{array}$$

Die Darstellung B - R :

	B	R	B - R	B	R	B - R
Zone I	+ 0.045	+ 0.049	- 0.004	- 0.34	- 0.29	- 0.05
	+ .020	+ .011	+ 9	- 0.29	- 0.27	- 2
	- .020	- .016	- 4	- 0.12	- 0.28	+ 16
	- .036	- .031	- 5	- 0.45	- 0.37	- 8
	- .035	- .037	+ 2	- 0.53	- 0.49	- 4
	- .033	- .034	+ 1	- 0.64	- 0.65	+ 1
Zone II	+ 0.050	+ 0.051	- 0.001	- 0.24	- 0.24	0.00
	+ .016	+ .016	0	- 0.43	- 0.38	- 5
	- .005	- .006	+ 1	- 0.26	- 0.37	+ 11
	- .016	- .020	+ 4	- 0.24	- 0.25	+ 1
	- .032	- .026	- 6	- 0.13	- 0.01	- 12
	- .022	- .025	+ 3	+ 0.45	+ 0.39	+ 6
Zone III	- 0.013	- 0.012	- 0.001	+ 0.12	+ 0.11	+ 0.01
	- .021	- .018	- 3	+ 0.09	+ 0.13	- 4
	- .013	- .024	+ 11	+ 0.21	+ 0.16	+ 5
	- .036	- .030	- 6	+ 0.19	+ 0.20	- 1
	- .040	- .037	- 3	+ 0.25	+ 0.26	- 1
	- .043	- .045	+ 2	+ 0.33	+ 0.32	+ 1

lässt erkennen, dass dieser Ansatz die Helligkeitsgleichungen der einzelnen Zonen gut darstellt.

Die Helligkeitsgleichungen zeigen, dass in Rektaszension für die mittlere Helligkeit der Anhaltsterne eine konstante Differenz zwischen dem System Küstner und dem System der Anhaltsterne vorhanden ist. Diese beträgt für Zone I - 0.026, für Zone II - 0.018 und für Zone III - 0.029. Die Konstanten des linearen Gliedes der Helligkeitsgleichung sind in den drei Zonen von Grössenordnungen, die eine deutliche Abhängigkeit der Beobachtungen nach der Helligkeit zeigen. Die quadratischen Glieder sind kaum reell.

In Deklination zeigt sich ebenfalls eine konstante Differenz der beiden Systeme, und zwar für Zone I - 0.44, für Zone II - 0.28 und für Zone III + 0.20. Zone III weicht also von den anderen Zonen stark ab, sodass es scheint, als ob die Sterne in Zone III ein ganz anderes System zur Grundlage haben, als Zone I und Zone II, was sich später bestätigen wird. Das lineare Glied der Helligkeitsgleichung ist bei Zone I und Zone III nur schwach angedeutet, während es bei Zone II einen etwas grösseren Wert hat. Die quadratischen Glieder sind ebenfalls kaum reell.

Die Figuren 1 bis 3 auf Tafel I zeigen diese Helligkeitsgleichungen in graphischer Darstellung. Die ausgezogenen Kurven geben die beobachteten und die gestrichelten Kurven die berechneten Werte wieder.

2. Die periodischen Fehler. Nach rechnerischer Berücksichtigung der Helligkeitsgleichung wurden dann die so korrigierten Kü - A nach der Rektaszension der Sterne geordnet und von zwei zu zwei Stunden gemittelt. Zur Ausgleichung nach der Methode der kleinsten Quadrate wurde folgender Ansatz gemacht :

$$\begin{aligned} x + y \sin \alpha + z \cos \alpha &= \Delta \alpha \\ x' + y' \sin \alpha + z' \cos \alpha &= \Delta \delta \end{aligned}$$

Nach der gewählten Anordnung der Mittelung erhält man zwölf Fehlergleichungen für jede Koordinate

	Zone I	Zone II	Zone III
$x + 0.259y + 0.966z$	$= + 0.001$	$= + 0.010$	$= + 0.011$
$x + 0.707 + 0.707$	$= + .009$	$= - .009$	$= - .012$
$x + 0.966 + 0.259$	$= + .032$	$= + .026$	$= - .004$
$x + 0.966 - 0.259$	$= - .003$	$= - .007$	$= .000$
$x + 0.707 - 0.707$	$= - .028$	$= + .003$	$= - .002$
$x + 0.259 - 0.966$	$= - .014$	$= - .044$	$= + .006$
$x - 0.259 - 0.966$	$= - .020$	$= - .043$	$= - .007$
$x - 0.707 - 0.707$	$= - .016$	$= - .020$	$= - .012$
$x - 0.966 - 0.259$	$= + .007$	$= - .017$	$= - .016$
$x - 0.966 + 0.259$	$= + .019$	$= + .016$	$= + .008$
$x - 0.707 + 0.707$	$= + .006$	$= + .030$	$= + .015$
$x - 0.259 + 0.966$	$= + .010$	$= + .018$	$= + .004$
$x' + 0.259y' + 0.966z'$	$= - 0.21$	$= - 0.20$	$= - 0.05$
$x' + 0.707 + 0.707$	$= + 0.24$	$= + 0.15$	$= + 0.14$
$x' + 0.966 + 0.259$	$= - 0.29$	$= - 0.03$	$= - 0.08$
$x' + 0.966 - 0.259$	$= - 0.03$	$= + 0.11$	$= + 0.17$
$x' + 0.707 - 0.707$	$= + 0.56$	$= + 0.24$	$= + 0.06$
$x' + 0.259 - 0.966$	$= - 0.34$	$= - 0.17$	$= 0.00$
$x' - 0.259 - 0.966$	$= - 0.54$	$= - 0.47$	$= + 0.09$
$x' - 0.707 - 0.707$	$= - 0.24$	$= - 0.33$	$= - 0.10$
$x' - 0.966 - 0.259$	$= + 0.30$	$= + 0.17$	$= + 0.15$
$x' - 0.966 + 0.259$	$= - 0.09$	$= + 0.03$	$= - 0.15$
$x' - 0.707 + 0.707$	$= + 0.31$	$= + 0.37$	$= - 0.07$
$x' - 0.259 + 0.966$	$= - 0.26$	$= - 0.07$	$= - 0.19$

Die Normalgleichungen aus diesen Fehlergleichungen lauten :

	Zone I	Zone II	Zone III
$12x$	$= + 0.003$	$= - 0.037$	$= - 0.009$
$6y$	$= - 0.0042$	$= + 0.0057$	$= - 0.0030$
$6z$	$= + 0.0974$	$= - 0.1550$	$= + 0.0327$
$12x'$	$= - 0.59$	$= - 0.20$	$= - 0.03$
$6y'$	$= + 0.069$	$= + 0.176$	$= + 0.263$
$6z'$	$= + 0.390$	$= + 0.716$	$= - 0.383$

Die Auflösung ergibt :

Zone I	$0.000 - 0.001 \sin a + 0.016 \cos a = \Delta a$
	$- 0.05 + 0.01 \sin a + 0.06 \cos a = \Delta \delta$
Zone II	$- 0.003 - 0.001 \sin a + 0.026 \cos a = \Delta a$
	$- 0.02 + 0.03 \sin a + 0.12 \cos a = \Delta \delta$
Zone III	$- 0.001 + 0.000 \sin a + 0.005 \cos a = \Delta a$
	$0.00 + 0.04 \sin a - 0.06 \cos a = \Delta \delta$

Zur besseren Uebersicht über den Verlauf der Perioden werden die Gleichungen nach Amplitude und Phasenwinkel umgerechnet gegeben :

$$\begin{aligned}
 \text{Zone I} \quad & 0^{\circ}000 - 0^{\circ}016 \cos (\alpha - 176^{\circ} 25') = \Delta\alpha \\
 & - 0^{\circ}05 - 0^{\circ}06 \cos (\alpha - 189^{\circ} 28') = \Delta\delta \\
 \text{Zone II} \quad & - 0^{\circ}003 - 0^{\circ}026 \cos (\alpha - 182^{\circ} 12') = \Delta\alpha \\
 & - 0^{\circ}02 - 0^{\circ}12 \cos (\alpha - 194^{\circ} 2') = \Delta\delta \\
 \text{Zone III} \quad & - 0^{\circ}001 - 0^{\circ}005 \cos (\alpha - 180^{\circ} 0') = \Delta\alpha \\
 & 0^{\circ}00 - 0^{\circ}07 \cos (\alpha - 326^{\circ} 19') = \Delta\delta
 \end{aligned}$$

Das konstante Glied ist und darf auch nur eine Rechengrösse sein, da es durch die Berücksichtigung der Helligkeitsgleichung eliminiert wurde. In Rektaszension sind die drei Zonen übereinstimmend, dagegen zeigt sich in Deklination, dass Zone III von den beiden ersten Zonen vollkommen abweicht. Diese Abweichung ist eine Bestätigung der früheren Vermutung, dass die Anhaltsterne der Zone III auf ein anderes System bezogen sind, als die der Zone I und Zone II. Die folgende Darstellung B - R :

	B	R	B - R	B	R	B - R
Zone I	+ 0 ^s .001	+ 0 ^s .016	- 0 ^s .015	- 0 ^s .21	- 0 ^s .02	- 0 ^s .19
	+ .009	+ .012	- 3	+ 0.24	0.00	+ 24
	+ .032	+ .005	+ 27	- 0.29	- 0.02	- 27
	- .003	- .003	0	- 0.03	- 0.06	+ 3
	- .028	- .011	- 17	+ 0.56	- 0.08	+ 64
	- .014	- .015	+ 1	- 0.34	- 0.11	- 23
	- .020	- .016	- 4	- 0.54	- 0.12	- 42
	- .016	- .012	- 4	- 0.24	- 0.10	- 14
	+ .007	- .005	+ 12	+ 0.30	- 0.08	+ 38
	+ .019	+ .004	+ 15	- 0.09	- 0.04	- 5
	+ .006	+ .012	- 6	+ 0.31	- 0.01	+ 32
	+ .010	+ .016	- 6	- 0.26	+ 0.01	- 27
Zone II	+ 0 ^s .010	+ 0 ^s .023	- 0 ^s .013	- 0 ^s .20	+ 0 ^s .11	- 0 ^s .31
	- .009	+ .016	- 25	+ 0.15	+ 0.09	+ 6
	+ .026	+ .005	+ 21	- 0.03	+ 0.04	- 7
	- .007	- .009	+ 2	+ 0.11	- 0.02	+ 13
	+ .003	- .021	+ 24	+ 0.24	- 0.08	+ 32
	- .044	- .028	- 16	- 0.17	- 0.12	- 5
	- .043	- .029	- 14	- 0.47	- 0.14	- 33
	- .020	- .022	+ 2	- 0.33	- 0.12	- 21
	- .017	- .011	- 6	+ 0.17	- 0.08	+ 25
	+ .016	+ .003	+ 13	+ 0.03	- 0.01	+ 4
	+ .030	+ .014	+ 16	+ 0.37	+ 0.05	+ 32
	+ .018	+ .022	- 4	- 0.07	+ 0.09	- 16

	B	R	B - R	B	R	B - R
Zone III	+ 0 ^h 011	+ 0 ^h 004	+ 0 ^h 007	- 0 ^h 05	- 0 ^h 05	0 ^h 00
	- .012	+ .003	- 15	+ 0.14	- 0.01	+ 15
	- .004	.000	- 4	- 0.08	+ 0.02	- 10
	.000	- .003	+ 3	+ 0.17	+ 0.06	+ 11
	- .002	- .005	+ 3	+ 0.06	+ 0.07	- 1
	+ .006	- .006	+ 12	0.00	+ 0.07	- 7
	- .007	- .006	- 1	+ 0.09	+ 0.05	+ 4
	- .012	- .004	- 8	- 0.10	+ 0.01	- 11
	- .016	- .002	- 14	+ 0.15	- 0.02	+ 17
	+ .008	+ .001	+ 7	- 0.15	- 0.06	- 9
	+ .015	+ .003	+ 12	- 0.07	- 0.08	+ 1
	+ .004	+ .004	0	- 0.19	- 0.08	- 11

zeigt nun, dass der Ansatz für die Ausgleichung nicht hinreichend ist. Die Figuren 7, 9, 11 auf Tafel II und 13, 15, 17 auf Tafel III lassen erkennen, dass eine Verbesserung der Ausgleichung durch Einführung des doppelten Winkels nicht erzielt werden kann. Eine schwache Periodizität lässt sich besonders in Rektaszension erkennen, jedoch ist sie so gering, dass eine Berücksichtigung nicht in Frage kommen kann.

Die von der Deklination abhängigen periodischen Fehler - $\Delta\alpha_\delta$ und $\Delta\delta_\delta$ - werden wegen der schmalen Deklinationszone von nur 4° 10' als konstanter Betrag in die Rechnung eingehen und von dem konstanten Gliede nicht getrennt werden können.

3. Die individuelle Genauigkeit. Für den mittleren Fehler einer Differenz $Kü - A$ wurde erhalten :

Zone I	m.F. α = \pm 0 ^h 076	m.F. δ = \pm 0 ^h 92
Zone II	m.F. α = \pm 0 ^h 078	m.F. δ = \pm 0 ^h 89
Zone III	m.F. α = \pm 0 ^h 035	m.F. δ = \pm 0 ^h 34

Der mittlere Fehler für den Ort eines Anhaltsternes wird hieraus :

Zone I	m.F. α = \pm 0 ^h 073	m.F. δ = \pm 0 ^h 88
Zone II	m.F. α = \pm 0 ^h 075	m.F. δ = \pm 0 ^h 85
Zone III	m.F. α = \pm 0 ^h 029	m.F. δ = \pm 0 ^h 31

Wiederum zeigt sich für Zone III ein anderes Verhalten, als für Zone I und Zone II : Die Genauigkeit der Sterne in Zone III ist eine viel höhere als die der Sterne der anderen Zonen, was kaum anders gedeutet werden kann, als dass bei Bestimmung der Oerter der Anhaltsterne für Zone III mit grösserer Sorgfalt verfahren ist. Ein Vergleich dieser Fehler mit dem Küstner'schen mittleren Fehler zeigt, dass die mittleren Fehler der Anhaltsterne recht hoch ausfallen.

III. Die systematischen und individuellen Fehler der Plattensterne.

1. Die Berechnung der Aequatorealkoordinaten. In den bearbeiteten Pariser Zonen der photographischen Himmelakarte sind für die Plattensterne rechtwinkelige Koordinaten bezogen auf den Plattenmittelpunkt angegeben. Diese rechtwinkelligen Koordinaten sind für die mit Küstner gemeinsamen Sterne mit Hilfe der vorläufigen Konstanten der Platten in Rektaszension und Deklination umgerechnet, und zwar die Plattensterne der Zone I mit den Formeln und Tafeln aus Tome I des „Catalogue photographique du Ciel“ der Pariser Sternwarte, die Sterne der Zone II und Zone III mit den Loewy'schen Formeln und Tafeln aus Circulaire Nr.10 der „Conférence Astrophotographique Internationale de Juillet 1900“. Tafel IV wurde zur bequemeren Interpolation für die beiden Zonen erweitert und zwar von 10 zu 10 Zeitminuten und von 10 zu 10 Bogenminuten. Sämtliche 1828 mit Küstner gemeinsamen Sterne wurden bei der Umrechnung in Rektaszension und Deklination durch eine zweite unabhängige Rechnung kontrolliert, die bis zu einer Genauigkeit von 0.002 in α und 0.02 in δ mit der ersten übereinstimmen musste.

Nach der Berechnung der Aequatorealkoordinaten wurden die Differenzen Küstner minus Plattensterne gebildet. Diese Kü - Pl können wegen der Epochendifferenz der Kataloge durch Eigenbewegungen der Sterne verfälscht sein. Man darf jedoch die Annahme machen, dass die Eigenbewegungen im Mittel herausfallen werden. Die von der Eigenbewegung schwer zu trennende Apexbewegung des Sonnensystems ist wegen der geringen Epochendifferenz unmerklich. Vor ausnahmsweise grosser Eigenbewegung oder vor groben Fehlern irgend einer Art, z.B. falscher Ablesung der Mikrometerschraube oder merklicher lokaler Schichtverziehung auf der Platte u.a.m., habe ich mich dadurch zu schützen gesucht, dass ich den mittleren Fehler der Differenzen bildete, bevor die systematischen Abweichungen untersucht und berücksichtigt worden sind, und diejenigen Sterne ausschloss, deren Differenzen das Dreifache dieses mittleren Fehlers überschritten, sofern sie nicht gleichzeitig Anhaltsterne sind, und als solche auch eine grosse Differenz Kü - A besitzen.

Zur Berechnung der Fehler des Systems standen mir 642 Plattensterne aus Zone I, 600 aus Zone II und 586 aus Zone III zur Verfügung.

2. Die Helligkeitsgleichung. Die Differenzen Kü - Pl wurden genau so nach der photographischen Helligkeit geordnet, wie die der Anhaltsterne, und auch auf die mittlere photographische Helligkeit der Anhaltsterne bezogen. Nach dem unter II. 1. angegebenen quadratischen Ansatz für die Helligkeitsgleichung erhält man folgende Fehlergleichungen :

Zone I	$a + 2.91b + 8.47c = - 0.017$	$a' + 2.91b' + 8.47c' = - 0.28$
	$a + 1.60 + 2.56 = - .040$	$a' + 1.60 + 2.56 = - 0.47$
	$a + 0.60 + 0.36 = - .017$	$a' + 0.60 + 0.36 = - 0.40$
	$a - 0.40 + 0.16 = - .025$	$a' - 0.40 + 0.16 = - 0.45$
	$a - 1.40 + 1.96 = - .015$	$a' - 1.40 + 1.96 = - 0.35$
	$a - 2.25 + 5.06 = - .016$	$a' - 2.25 + 5.06 = - 0.40$
Zone II	$a + 3.06b + 9.36c = - 0.024$	$a' + 3.06b' + 9.36c' = - 0.38$
	$a + 1.82 + 3.31 = - .014$	$a' + 1.82 + 3.31 = - 0.35$
	$a + 0.82 + 0.67 = - .017$	$a' + 0.82 + 0.67 = - 0.17$
	$a - 0.18 + 0.03 = - .021$	$a' - 0.18 + 0.03 = - 0.23$
	$a - 1.18 + 1.39 = - .027$	$a' - 1.18 + 1.39 = - 0.35$
	$a - 2.08 + 4.33 = - .010$	$a' - 2.08 + 4.33 = - 0.21$

Zone III	$a + 3.19b + 10.18c = - 0.019$	$a' + 3.19b' + 10.18c' = - 0.02$
	$a + 1.83 + 3.65 = - .031$	$a' + 1.83 + 3.65 = + 0.07$
	$a + 0.83 + 0.69 = - .025$	$a' + 0.83 + 0.69 = + 0.19$
	$a - 0.17 + 0.03 = - .032$	$a' - 0.17 + 0.03 = + 0.13$
	$a - 1.17 + 1.37 = - .030$	$a' - 1.17 + 1.37 = + 0.14$
	$a - 1.96 + 3.84 = - .023$	$a' - 1.96 + 3.84 = + 0.04$

Die Normalgleichungen dieser Fehlergleichungen sind :

Zone I

$6.00a + 1.06b + 18.57c = - 0.130$	$6.00a' + 1.06b' + 18.57c' = - 2.35$
$1.06a + 18.57b + 14.77c = - 0.057$	$1.06a' + 18.57b' + 14.77c' = - 0.24$
$18.57a + 14.77b + 107.89c = - 0.367$	$18.57a' + 14.77b' + 107.89c' = - 6.50$

Zone II

$6.00a + 2.26b + 19.09c = - 0.113$	$6.00a' + 2.26b' + 19.09c' = - 1.69$
$2.26a + 19.09b + 24.56c = - 0.056$	$2.26a' + 19.09b' + 24.56c' = - 1.05$
$19.09a + 24.56b + 119.70c = - 0.364$	$19.09a' + 24.56b' + 119.70c' = - 6.23$

Zone III

$6.00a + 2.55b + 19.46c = - 0.160$	$6.00a' + 2.55b' + 19.46c' = + 0.55$
$2.55a + 19.46b + 30.04c = - 0.052$	$2.55a' + 19.46b' + 30.04c' = - 0.04$
$19.46a + 30.04b + 131.95c = - 0.454$	$19.46a' + 30.04b' + 131.95c' = + 0.53$

Ihre Auflösungen geben folgende Helligkeitsgleichungen :

Zone I	$- 0.025 - 0.003 \left(8.05 - m_0 \right) + 0.001 \left(8.05 - m_0 \right)^2 = \Delta\alpha$
	$- 0.44 + 0.00 \left(8.05 - m_0 \right) + 0.02 \left(8.05 - m_0 \right)^2 = \Delta\delta$
Zone II	$- 0.019 - 0.001 \left(8.27 - m_0 \right) + 0.000 \left(8.27 - m_0 \right)^2 = \Delta\alpha$
	$- 0.24 - 0.01 \left(8.27 - m_0 \right) - 0.01 \left(8.27 - m_0 \right)^2 = \Delta\delta$
Zone III	$- 0.032 + 0.000 \left(8.28 - m_0 \right) + 0.001 \left(8.28 - m_0 \right)^2 = \Delta\alpha$
	$+ 0.16 + 0.01 \left(8.28 - m_0 \right) - 0.02 \left(8.28 - m_0 \right)^2 = \Delta\delta$

Von den konstanten Gliedern der Helligkeitsgleichungen, der konstanten Differenz der Kataloge für die mittlere photographische Helligkeit der Anhaltsterne, muss verlangt werden, dass sie identisch sind mit denen der Anhaltsterne. Diese waren für

Zone I	$a = - 0.026$	$a' = - 0.44$
Zone II	$a = - 0.018$	$a' = - 0.28$
Zone III	$a = - 0.029$	$a' = + 0.20$

Die Uebereinstimmung ist in der Tat gut; das System der Anhaltsterne wird also von den Plattensternen wiedergegeben, die Helligkeitsgleichung selbst bleibt jedoch nicht erhalten; sowohl die Koeffizienten der linearen Glieder, als auch der quadratischen sind hier kaum reell. Diese Erscheinung dürfte folgende Erklärung haben: Auf jeder Platte befinden sich Anhaltsterne verschiedener Helligkeiten, durch die Ausgleichung der Plattenkonstanten, die aus den einzelnen Anhaltsternen berechnet worden sind, werden sämtliche Plattensterne einer Platte

um einen konstanten Betrag verschoben, und zwar um den Betrag der Helligkeitsgleichung, der der mittleren Helligkeit der Anhaltsterne der betreffenden Platte entspricht.

Der umgekehrte Fall, dass die Anhaltsterne frei von Helligkeitsgleichung sind, und dass Küstner genau dieselbe Helligkeitsgleichung wie die Pariser Zonen der Himmelkarte hat, ist als unwahrscheinlich anzusehen.

Die Werte $B - R$:

	B	R	B - R	B	R	B - R
Zone I	- 0.017	- 0.022	+ 0.005	- 0.028	- 0.031	+ 0.003
	- .040	- .026	- 14	- 0.47	- 0.40	- 7
	- .017	- .028	+ 9	- 0.40	- 0.43	+ 3
	- .025	- .024	- 1	- 0.45	- 0.44	- 1
	- .015	- .019	+ 4	- 0.35	- 0.41	+ 6
	- .016	- .013	- 3	- 0.40	- 0.36	- 4
Zone II	- 0.024	- 0.020	- 0.004	- 0.38	- 0.38	0.000
	- .014	- .020	+ 6	- 0.35	- 0.30	- 5
	- .017	- .020	+ 3	- 0.17	- 0.26	+ 9
	- .021	- .019	- 2	- 0.23	- 0.24	+ 1
	- .027	- .018	- 9	- 0.35	- 0.24	- 11
	- .010	- .016	+ 6	- 0.21	- 0.26	+ 5
Zone III	- 0.019	- 0.020	+ 0.001	- 0.02	- 0.03	+ 0.01
	- .031	- .027	- 4	+ 0.07	+ 0.10	- 3
	- .025	- .030	+ 5	+ 0.19	+ 0.15	+ 4
	- .032	- .030	- 2	+ 0.13	+ 0.16	- 3
	- .030	- .028	- 2	+ 0.14	+ 0.12	+ 2
	- .023	- .025	+ 2	+ 0.04	+ 0.05	- 1

zeigen eine gute Darstellung der Helligkeitsgleichungen der Plattensterne durch die berechneten Unbekannten.

Die beobachteten (ausgezogene Kurven) und die berechneten (gestrichelte Kurven) Werte der Helligkeitsgleichungen der Plattensterne sind graphisch auf Tafel I Figuren 4 bis 6 wiedergegeben.

3. Die periodischen Fehler. Das konstante Glied der Helligkeitsgleichung ist rechnerisch berücksichtigt. Zur Berechnung der periodischen Fehler wurden die Differenzen $Kü - Pl$ von zwei zu zwei Stunden nach fortschreitender Rektaszension zusammengefasst. Nach demselben Ansatz, wie bei den Anhaltsternen (II. 2.), ergeben sich für jede Koordinate folgende zwölf Fehlergleichungen :

	Zone I	Zone II	Zone III
$x + 0.259y + 0.966z$	$= - 0.002$	$= - 0.005$	$= + 0.003$
$x + 0.707 + 0.707$	$= + .027$	$= + .003$	$= - .018$
$x + 0.966 + 0.259$	$= + .036$	$= + .004$	$= - .002$
$x + 0.966 - 0.259$	$= + .012$	$= - .004$	$= + .012$
$x + 0.707 - 0.707$	$= - .007$	$= - .003$	$= + .010$
$x + 0.259 - 0.966$	$= - .001$	$= - .030$	$= - .004$
$x - 0.259 - 0.966$	$= - .020$	$= - .039$	$= - .001$
$x - 0.707 - 0.707$	$= - .022$	$= - .018$	$= - .003$
$x - 0.966 - 0.259$	$= + .009$	$= - .004$	$= - .006$
$x - 0.966 + 0.259$	$= + .002$	$= + .010$	$= + .009$
$x - 0.707 + 0.707$	$= + .017$	$= + .016$	$= + .012$
$x - 0.259 + 0.966$	$= + .015$	$= + .013$	$= + .007$
$x' + 0.259y' + 0.966z'$	$= - 0.10$	$= - 0.13$	$= - 0.16$
$x' + 0.707 + 0.707$	$= + 0.20$	$= + 0.13$	$= + 0.16$
$x' + 0.966 + 0.259$	$= - 0.09$	$= - 0.09$	$= - 0.04$
$x' + 0.966 - 0.259$	$= + 0.11$	$= + 0.03$	$= + 0.07$
$x' + 0.707 - 0.707$	$= + 0.09$	$= 0.00$	$= + 0.04$
$x' + 0.259 - 0.966$	$= - 0.21$	$= - 0.10$	$= + 0.10$
$x' - 0.259 - 0.966$	$= - 0.55$	$= - 0.48$	$= - 0.03$
$x' - 0.707 - 0.707$	$= + 0.15$	$= - 0.17$	$= - 0.16$
$x' - 0.966 - 0.259$	$= + 0.30$	$= - 0.16$	$= + 0.02$
$x' - 0.966 + 0.259$	$= + 0.22$	$= + 0.07$	$= - 0.03$
$x' - 0.707 + 0.707$	$= + 0.21$	$= + 0.14$	$= - 0.10$
$x' - 0.259 + 0.966$	$= + 0.13$	$= + 0.02$	$= - 0.17$

Folgende Normalgleichungen resultieren aus diesen Fehlergleichungen :

	Zone I	Zone II	Zone III
$12x$	$= + 0.066$	$= - 0.057$	$= + 0.019$
$6y$	$= + 0.0539$	$= - 0.0067$	$= - 0.0071$
$6z$	$= + 0.0889$	$= + 0.1084$	$= + 0.0056$
$12x'$	$= + 0.46$	$= - 0.74$	$= - 0.30$
$6y'$	$= - 0.504$	$= + 0.202$	$= + 0.400$
$6z'$	$= + 0.811$	$= + 0.794$	$= - 0.301$

Ihre Auflösungen ergeben :

Zone I	$+ 0.006 + 0.009 \sin \alpha + 0.015 \cos \alpha = \Delta \alpha$ $+ 0.04 - 0.08 \sin \alpha + 0.14 \cos \alpha = \Delta \delta$
Zone II	$- 0.005 - 0.001 \sin \alpha + 0.018 \cos \alpha = \Delta \alpha$ $- 0.06 + 0.03 \sin \alpha + 0.13 \cos \alpha = \Delta \delta$
Zone III	$+ 0.002 - 0.001 \sin \alpha + 0.001 \cos \alpha = \Delta \alpha$ $- 0.02 + 0.07 \sin \alpha - 0.05 \cos \alpha = \Delta \delta$

oder mit Amplitude und Phasenwinkel ausgedrückt :

$$\begin{aligned} \text{Zone I} \quad & + 0.005 - 0.017 \cos (\alpha - 210^\circ 58') = \Delta\alpha \\ & + 0.004 - 0.016 \cos (\alpha - 150^\circ 15') = \Delta\delta \end{aligned}$$

$$\begin{aligned} \text{Zone II} \quad & - 0.005 - 0.018 \cos (\alpha - 176^\circ 49') = \Delta\alpha \\ & - 0.006 - 0.013 \cos (\alpha - 193^\circ 0') = \Delta\delta \end{aligned}$$

$$\begin{aligned} \text{Zone III} \quad & + 0.002 - 0.001 \cos (\alpha - 135^\circ 0') = \Delta\alpha \\ & - 0.002 - 0.009 \cos (\alpha - 305^\circ 32') = \Delta\delta \end{aligned}$$

Um nun das System der Plattensterne mit dem der Anhaltsterne zu vergleichen, werden in folgender Tabelle die analogen Grössen für die Anhaltsterne und für die Plattensterne zusammengestellt. Es ist a das konstante Glied, A die Amplitude und p der Phasenwinkel für die Rektaszension, und a' , A' und p' in gleicher Bedeutung für die Deklination.

		a	A	p	a'	A'	p'
Zone I	Anhaltsterne :	0.000	- 0.016	176° 25'	- 0.005	- 0.006	189° 28'
	Plattensterne:	+ 0.005	- 0.017	210° 58'	+ 0.004	- 0.016	150° 15'
Zone II	Anhaltsterne :	- 0.003	- 0.026	182° 12'	- 0.002	- 0.012	194° 2'
	Plattensterne:	- 0.005	- 0.018	176° 49'	- 0.006	- 0.013	193° 0'
Zone III	Anhaltsterne :	- 0.001	- 0.005	180° 0'	0.000	- 0.007	326° 19'
	Plattensterne:	+ 0.002	- 0.001	135° 0'	- 0.002	- 0.009	305° 32'

Das konstante Glied ist wegen Berücksichtigung des konstanten Gliedes der Helligkeitsgleichung nur eine Rechengrösse. Die Gleichungssysteme zeigen, dass in dem System der Plattensterne das System der Anhaltsterne gut wiedergegeben wird. Die Figuren auf Tafel II und Tafel III, die die periodischen Fehler beider Systeme veranschaulichen, lassen besonders die gute Uebereinstimmung erkennen; fast jede Erhöhung und Vertiefung der Kurven des einen Systems ist auch in denen des anderen Systems enthalten. Auch das der abweichenden Zone III eigene System geht mit guter Uebereinstimmung auf die Plattensterne über.

Folgende Werte $B - R$:

	B	R	$B - R$	B	R	$B - R$
Zone I	- 0.002	+ 0.022	- 0.024	- 0.10	+ 0.15	- 0.25
	+ .027	+ .023	+ 4	+ 0.20	+ 0.08	+ 12
	+ .036	+ .018	+ 18	- 0.09	0.00	- 9
	+ .012	+ .010	+ 2	+ 0.11	- 0.07	+ 18
	- .007	+ .001	- 8	+ 0.09	- 0.12	+ 21
	- .001	.007	+ 6	- 0.21	- 0.12	- 9
	- .020	- .011	- 9	- 0.55	- 0.08	- 47
	- .022	- .012	- 10	+ 0.15	0.00	+ 15
	+ .009	- .007	+ 16	+ 0.30	+ 0.08	+ 22
	+ .002	+ .001	+ 1	+ 0.22	+ 0.15	+ 7
	+ .017	+ .012	+ 5	+ 0.21	+ 0.19	+ 2
	+ .015	+ .018	- 3	+ 0.13	+ 0.20	- 7

	B	R	B - R	B	R	B - R
Zone II	- 0%005	+ 0%013	- 0%018	- 0%13	+ 0%07	- 0%20
	+ .003	+ .007	- 4	+ 0.13	+ 0.06	+ 7
	+ .004	.001	+ 5	- 0.09	+ 0.01	- 10
	- .004	- .011	+ 7	+ 0.03	- 0.06	+ 9
	- .003	- .018	+ 15	0.00	- 0.13	+ 13
	- .030	- .022	- 8	- 0.10	- 0.18	+ 8
	- .039	- .022	- 17	- 0.48	- 0.20	- 28
	- .018	- .017	- 1	- 0.17	- 0.18	+ 1
	- .004	- .008	+ 4	- 0.16	- 0.13	- 3
	+ .010	+ .001	+ 9	+ 0.07	- 0.06	+ 13
	+ .016	+ .009	+ 7	+ 0.14	+ 0.01	+ 13
	+ .013	+ .013	0	+ 0.02	+ 0.06	- 4
Zone III	+ 0%003	+ 0%002	+ 0%001	- 0%16	- 0%06	- 0%10
	- .018	+ .001	- 19	+ 0.16	- 0.01	+ 17
	- .002	.000	- 2	- 0.04	+ 0.03	- 7
	+ .012	.000	+ 12	+ 0.07	+ 0.05	+ 2
	+ .010	.000	+ 10	+ 0.04	+ 0.06	- 2
	- .004	.000	- 4	+ 0.10	+ 0.04	+ 6
	- .001	+ .001	- 2	- 0.03	+ 0.01	- 4
	- .003	+ .002	- 5	- 0.16	- 0.04	- 12
	- .006	+ .003	- 9	+ 0.02	- 0.08	+ 10
	+ .009	+ .003	+ 6	- 0.03	- 0.10	+ 7
	+ .012	+ .003	+ 9	- 0.10	- 0.11	+ 1
	+ .007	+ .003	+ 4	- 0.17	- 0.09	- 8

sind genau wie bei den Anhaltsternen nicht zufriedenstellend. Die Einführung des doppelten Winkels würde aber auch hier keine wesentliche Verbesserung herbeiführen.

4. Die individuelle Genauigkeit. Der mittlere Fehler für den Ort eines Plattensternes ergibt sich für :

Zone I	m.F. α = \pm 0%042	m.F. δ = \pm 0%56
Zone II	m.F. α = \pm 0%039	m.F. δ = \pm 0%47
Zone III	m.F. α = \pm 0%029	m.F. δ = \pm 0.35

Diese mittleren Fehler lassen eine deutliche Abhängigkeit von der individuellen Genauigkeit der Anhaltsterne erkennen. Je genauer die Oerter der Anhaltsterne sind, umso genauer sind auch die Oerter der Plattensterne; Zone III mit den genaueren Oertern der Anhaltsterne gibt auch einen kleineren mittleren Fehler für den Ort eines Plattensternes.

Es muss hier erwähnt werden, dass die photographischen Platten ein Feld von 9" 30" in Rektaszension und 2° 10' in Deklination überdecken. Die Plattenmittelpunkte zweier aufeinanderfolgender Platten sind 8" von einander entfernt, sodass die Platten sich um 1" 30" überdecken. Die Sterne, die weiter als 3" 15" vom Mittelpunkt der Platte entfernt liegen, sind somit auch auf der vorhergehenden oder auf der folgenden Platte aufgenommen. Auf diese Weise sind in Zone I 98, in Zone II 95 und in Zone III 90 Sterne doppelt auf-

genommen und gemessen worden. Diese Sterne geben die Möglichkeit, den mittleren Fehler auch aus der Abweichung dieser beiden Beobachtungen zu bestimmen, und zwar wurden folgende Werte erhalten :

Zone I	m.F. α = \pm 0 ^o 024	m.F. δ = \pm 0 ^o 42
Zone II	m.F. α = \pm 0 ^o 036	m.F. δ = \pm 0 ^o 34
Zone III	m.F. α = \pm 0 ^o 022	m.F. δ = \pm 0 ^o 31

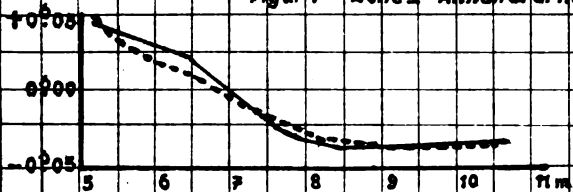
Es ist nicht weiter verwunderlich, dass diese Fehler etwas kleiner ausfallen, denn es sind nicht nur Plattensterne, sondern auch Anhaltsterne doppelt gemessen worden, wenn sie nur den oben genannten Abstand vom Plattenmittelpunkt überschreiten. So sind die Konstanten benachbarter Platten mit zum Teil denselben Anhaltsternen berechnet worden, und deshalb werden sie auch mit zum Teil denselben Fehlern behaftet sein. Die Oerter der gemeinsamen Sterne benachbarter Platten werden deshalb nach derselben Seite abweichen. Es wird der mittlere Fehler solcher Himmelskartenzonen, deren Anhaltsterne mit grösserer Sicherheit wie hier bestimmt sind, bei beiden Rechnungsarten von annähernd derselben Grössenordnung sein müssen.

IV. Zusammenfassung der Resultate.

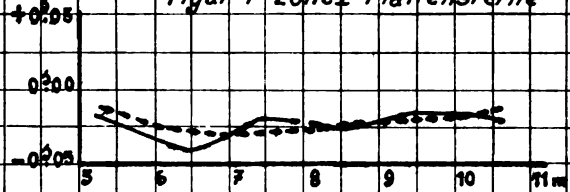
1. Die Pariser Zonen der photographischen Himmelskarte sind frei von Helligkeitsgleichung, das System der Anhaltsterne nicht.
 2. Das System der Anhaltsterne wird durch die Plattensterne vollständig wiedergegeben.
 3. Die individuelle Genauigkeit der Oerter der photographischen Himmelskarte hängt stark ab von der Genauigkeit der Anhaltsterne; die Ableitung der definitiven Plattenkonstanten ist darum erwünscht.
-

Tafel I Helligkeitsgleichungen

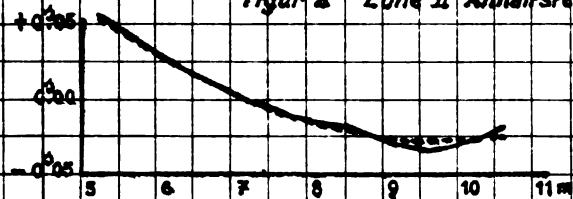
Figur 1 Zone I Anhaltsterne



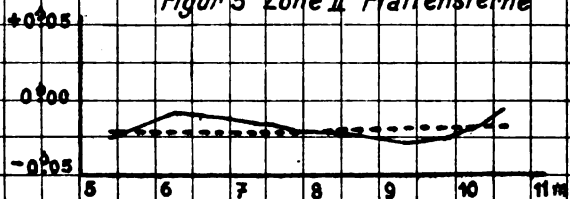
Figur 4 Zone I Plattensterne



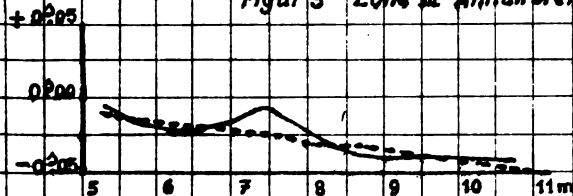
Figur 2 Zone II Anhaltsterne



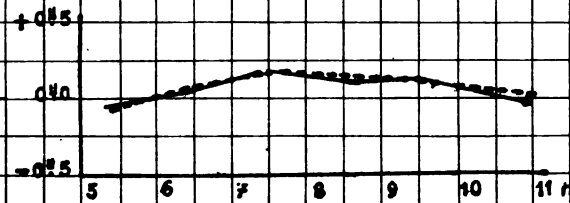
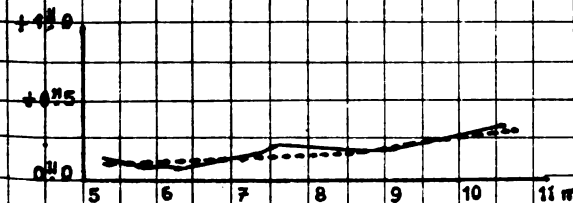
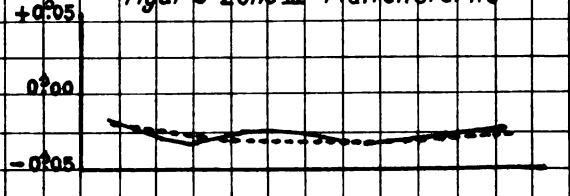
Figur 5 Zone II Plattensterne



Figur 3 Zone III Anhaltsterne

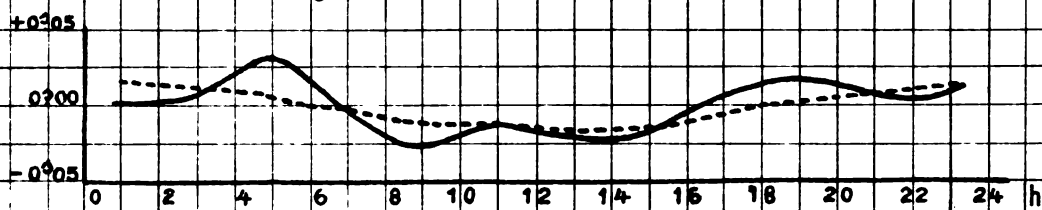


Figur 6 Zone III Plattensterne

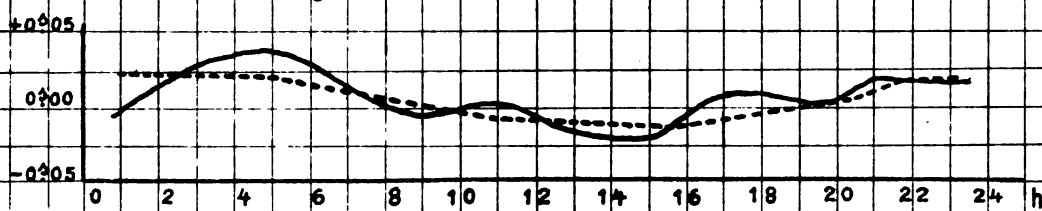


Tafel II $\Delta \alpha \alpha$

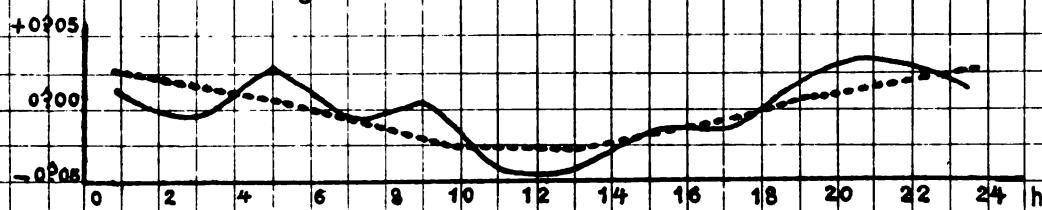
Figur 7 Zone I Anhaltsterne



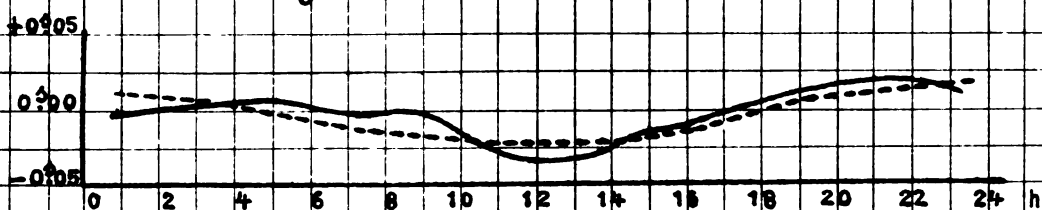
Figur 8 Zone I Plattensterne



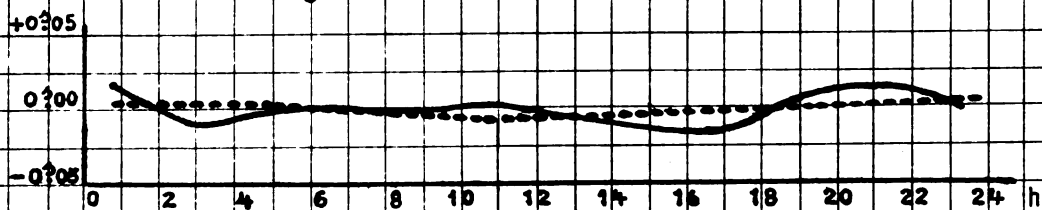
Figur 9 Zone II Anhaltsterne



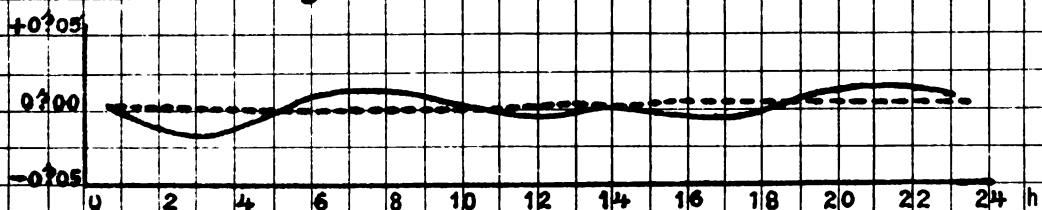
Figur 10 Zone II Plattensterne



Figur 11 Zone III Anhaltsterne

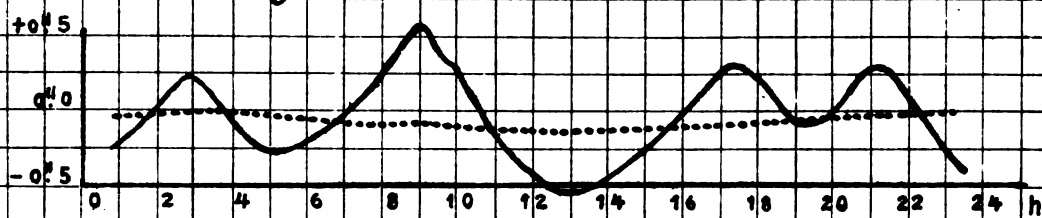


Figur 12 Zone III Plattensterne

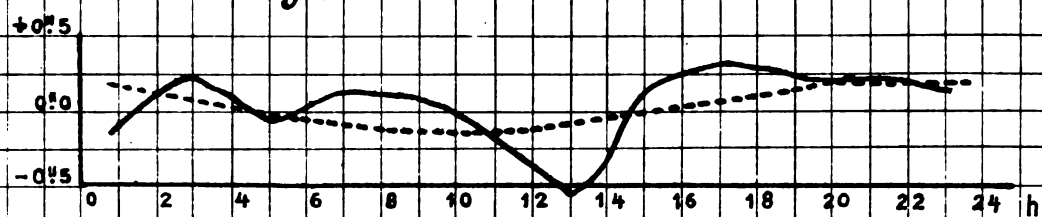


Tafel III $\Delta \alpha$

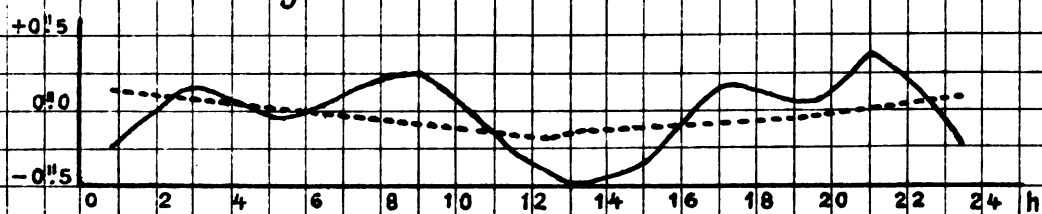
Figur 13 Zone I Anhaltsterne



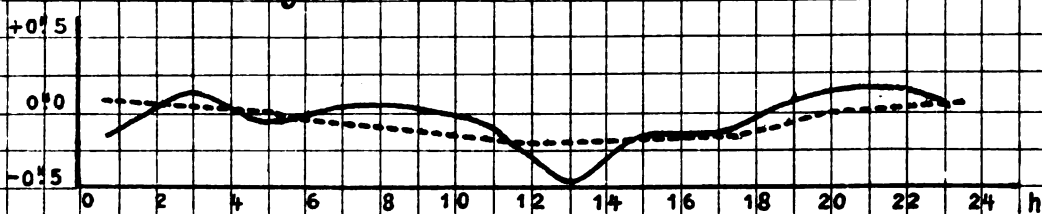
Figur 14 Zone I Plattensterne



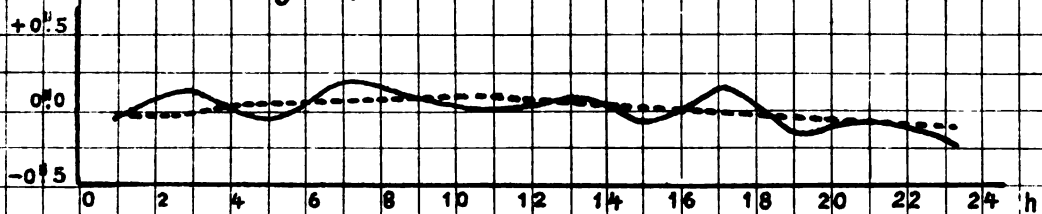
Figur 15 Zone II Anhaltsterne



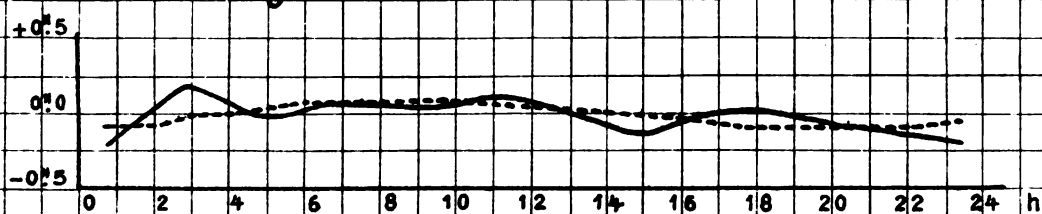
Figur 16 Zone II Plattensterne



Figur 17 Zone III Anhaltsterne



Figur 18 Zone III Plattensterne



v.f.

"

65816

40, I

91

K. ... , 44, 4

Mikrometrische Messungen

von

Doppelsternen.

von
E. PRZYBYLLOK.

Im April 1921 übernahm ich die Beobachtungen am 13-zölligen Refraktor der Königsberger Sternwarte und habe zunächst neben Beobachtungen gelegentlicher Natur mikrometrische Messungen von Doppelsternen in das Programm aufgenommen, und zwar im wesentlichen bewegte Objekte, insbesondere alle mit dem Instrument erreichbaren Paare mit Bahnbewegung. Als südliche Grenze habe ich den Aequator festgesetzt. Die Entwicklung der Hafen- und Industrieanlagen am Pregel im Süden der Sternwarte in den beiden letzten Jahrzehnten haben eine sehr wesentliche Verschlechterung der Beobachtungsbedingungen mit sich gebracht. Die über dem Pregeltale liegenden Dunstmassen werden von den zahlreichen Bogenlampen einerseits stark erhellt, andererseits nimmt Ruhe und Schärfe der Sternbilder nach Süden so stark ab, dass es zwecklos erscheint, in südlichen Deklinationen noch zu beobachten.

Bezüglich der Beschreibung des Instrumentes verweise ich auf Abt. 41 und 43 der „Astronomischen Beobachtungen auf der Universitäts-Sternwarte zu Königsberg“.

In der zweiten Hälfte des Jahres 1922 richtete ich das Instrument für photographische Aufnahmen her, die ich aus Mangel an geeigneten Messvorrichtungen zunächst nur auf Doppelsterne anwenden konnte. Die Ergebnisse dieser photographischen Messungen sollen später veröffentlicht werden. Vom Jahre 1925 ab habe ich die visuelle Beobachtungsmethode zugunsten der photographischen aufgegeben. Die visuellen mikrometrischen Messungen sind daher in folgendem zusammengestellt.

Die Aufstellung des Instrumentes ist mehrfach bestimmt worden; unter Beibehaltung der Chauvenet'schen Bezeichnungen ergaben sich für die Instrumentalkonstanten die folgenden Werte :

	ξ	η	i_1	c	e	$\Delta\delta$	Δt	Beob.
1921 April 6.	+0.5	-6.6	+0.4	-0.9	+0.8	+3'	-0.3	L.
" 20.	+0.9	-7.0	+0.4	-0.4	+0.2	+3	+0.4	L.
" 27.	+0.6	-0.2	-0.2	-0.8	+0.3	+3	-0.4	L.
1922 Jan. 27.	+0.6	+0.1	-	-	-	-	-	L.
Okt. 10.	+1.1	+2.3	-	-	-	-	-	L.
1923 Sept. 8.	+0.6	+2.1	+0.9	+0.2	+0.5	+3	-0.9	L.
1925 Mai 31. - Juni 6.	+0.1	+2.3	+0.1	-0.7	+0.8	+3	0.5	M.

Zwischen 1921 April 20. und 27. wurde η korrigiert. Beobachter waren L. = Dr. P. Labitzke, M. = Dr. P. Meier.

Die Ausstellung zeigt demnach hinreichende Konstanz, und die geringe Grösse der Aufstellungsfehler erlaubt es, ihren Einfluss auf die Positionswinkel bei Messungen von Doppelsternen zu vernachlässigen.

Der Schraubenwert des Mikrometers wurde von Herrn Dr. Labitzke neu bestimmt, er erhielt durch Beobachtung der Deklinationsdifferenzen von

Battermanns Skalenpaaren an sechs Abenden :

1 Rev. = $20^{\circ}0831 \pm 0^{\circ}0024$ m.F.

Ferner ergaben Messungen der Deklinationsdifferenz des Bogens der Leidener A.G. Zone (nach Beobachtungen am Vertikalkreise und am Meridiankreise der Berliner Sternwarte von Courvoisier, Prager und Bottlinger) an vier Abenden :

1 Rev. = $20^{\circ}0816 \pm 0^{\circ}0006$ m.F.

und als Gesamtmittel :

1 Rev. = $20^{\circ}0824 \pm 0^{\circ}0013$ m.F.

Bei der Berechnung der gemessenen Distanzen hatte ich angewandt :
1 Rev. = $20^{\circ}078$, der Unterschied ist ohne Belang.

Der Parallel wurde in der Regel allabendlich bestimmt und zeigte gute Konstanz. Mit wenigen Ausnahmen wurde ein Okular mit etwa 500facher Vergrößerung benutzt.

Die Messung der Positionswinkel geschah anfangs ohne, später, wenn irgend möglich, mit Reversionsprisma. Erstere Art der Messung wurde in bekannter Weise so ausgeführt, dass der Kopf geneigt wurde, um Sterne und Fäden in scheinbar vertikaler (:) oder horizontaler (..) Lage zu erblicken. Meist wurden Doppelfäden hierzu benutzt, in deren Mitte das Sternpaar gestellt wurde. Bei weiteren Paaren ist Bisection mit einem Faden vorgenommen worden (bs), gewöhnlich sind in jeder Drehrichtung des Mikrometers vier Einstellungen, insgesamt also acht ausgeführt worden. Das Reversionsprisma wurde so benutzt, dass in vier Stellungen des Begleiters je zwei Einstellungen in beiden Drehrichtungen vorgenommen wurden, und zwar in den Lagen: Begleiter vertikal über, horizontal rechts, vertikal unter, horizontal links vom Hauptstern. Bei schwierigen Paaren, sowie bei schwachen Sternen, musste ich von der Benutzung des Reversionsprismas absehen, da die Qualität der Bilder durch das Prisma merklich verschlechtert und ihre Helligkeit erheblich herabgesetzt wird.

Es wurden gewöhnlich zwei Doppeldistanzen gemessen, zwischen welchen die Koinzidenz der festen und beweglichen Fäden um eine halbe Revolution verlagert wurde. Gelegentlich sind statt zwei auch vier Doppeldistanzen gemessen worden. Distanzen unter $1''$ sind meist nach Fadendicken geschätzt worden.

Zur Bestimmung der individuellen Genauigkeit habe ich den mittleren Fehler einer Beobachtung für alle die Fälle berechnet, wo vier oder mehr Beobachtungen vorlagen. Sie sind in folgender Tabelle zusammengestellt :

Distanz	m i t t l e r e r F e h l e r		der Distanz
	des Pos. Winkels		
	ohne	mit	
	Rev. Prisma		
< $1''$	± 3.14	± 1.77	± 0.09
$1'' - 2''$	± 1.45	± 1.45	± 0.15
$2'' - 4''$	± 0.94	± 0.75	± 0.12
$4'' - 8''$	± 0.95	± 0.69	± 0.12
$8'' >$	± 0.29	± 0.27	± 0.11

Aus dieser Zusammenstellung geht hervor, dass die Anwendung des Reversionsprismas die innere Genauigkeit der Messung der Positions-Winkel nicht unerheblich gesteigert hat. Weiterhin erweist sich die innere Genauigkeit gegenüber einer früher von mir ausgeführten Reihe (Veröffentlichungen der Gr.Sternwarte zu Heidelberg, Astronomisches Institut Bd.V) hier etwas höher, namentlich im Positionswinkel.

Für solche Paare, für welche Bahnbestimmungen mit Ephemeriden vorlagen, habe ich meine Messungen mit letzteren verglichen. Die Ergebnisse sind im Sinne Beobachtung minus Rechnung für den Positionswinkel unter δp , für die Distanz unter δs in der folgenden Tabelle zusammengestellt. Unter „Greenwich“ ist verstanden der „Catalogue of Double Stars etc. London 1920“.

Bu G.C.	Name	Epoche	δp	δs	Quelle
482	$\Sigma 73$	22.07	+ 3.5	- 0.15	Greenwich
1144	$\Sigma 228$	21.73	+ 8.1	- 0.03	Greenwich
2093	0177	21.70	+ 3.8	-	Greenwich
4122	$\Sigma 1110$	21.33	- 0.3	+ 0.11	Rabe A.N.216,49
		22.22	+ 0.6	+ 0.26	
		23.23	+ 0.6	+ 0.17	
		24.30	+ 0.8	+ 0.34	
4477	$\Sigma 1196$	21.32	- 6.4	+ 0.08	Doberck A.N.173,241
		22.24	- 7.4	- 0.02	
		23.26	- 8.1	+ 0.13	
		24.30	- 7.0	- 0.02	
5005	$\Sigma 3121$	24.29	+50.4	-	Doberck A.N.174,257
5103	$\Sigma 1356$	21.32	+ 2.0	+ 0.12	Doberck A.N.173,241
		22.25	+ 1.6	- 0.04	
		23.25	+ 1.5	+ 0.05	
		24.30	+ 0.7	- 0.04	
5223	01208	21.38	+ 1.9	+ 0.04	Dick, Diss.Berlin Elem.I
		22.36	+ 0.7	+ 0.14	
		24.37	+ 1.0	+ 0.04	
5805	01234	21.39	+ 0.7	- 0.07	Riechert A.N.219,227
		22.40	- 3.9	+ 0.04	
		24.43	- 5.8	- 0.03	
6158	$\Sigma 1639$	21.37	+ 5.4	+ 0.01	Greenwich
		22.32	+ 0.7	- 0.02	
		24.12	+ 4.6	- 0.02	
6566	$\Sigma 1768$	21.37	+ 1.9	+ 0.18	Greenwich
		22.43	+ 0.6	+ 0.38	
		23.45	+ 2.8	+ 0.34	
		24.42	+ 1.9	+ 0.29	
6641	$\Sigma 1785$	21.37	+ 6.8	- 0.18	Greenwich
		22.39	+ 4.3	- 0.28	
		23.44	+ 5.7	- 0.25	
		24.39	+ 9.2	- 0.30	
6999	$\Sigma 1879$	21.36	0.0	+ 0.10	Greenwich
		22.45	+ 2.3	+ 0.01	
		23.76	+ 6.2	- 0.01	
7001	01285	21.49	+ 4.5	- 0.13	Greenwich
		22.47	- 6.5	- 0.08	
		24.03	- 3.1	+ 0.07	
7034	$\Sigma 1888$	21.32	+ 0.5	+ 0.49	Doberck A.N.214,89
		22.43	- 0.4	+ 0.32	
		23.46	- 1.4	+ 0.27	
		24.39	+ 1.0	+ 0.34	

Bu G.C.	Name	Epoche	dp	ds	Quelle
7259	I 1938	21.35	+ 1.2	- 0.09	Greenwich
		22.53	+ 1.2	- 0.02	
		23.51	+ 0.5	+ 0.07	
		24.51	- 0.1	+ 0.06	
7487	I 1998	21.48	+ 1.7	- 0.42	Doberck A.N.174,257
7561	I 2026	21.49	+ 6.3	- 0.34	Matsdorff A.N.201,433
7649	I 2055	21.52	- 0.2	- 0.08	Greenwich
		22.43	- 5.0	+ 0.25	
		23.54	- 5.6	+ 0.34	
		24.44	- 8.6	+ 0.40	
7748	Δ15	21.50	- 1.1	- 0.18	Greenwich
		22.74	- 6.9	+ 0.04	
		23.99	- 7.7	- 0.04	
7783	I 2107	21.47	- 7.9	+ 0.05	Greenwich
		23.16	-15.4	+ 0.24	
		24.60	-14.9	+ 0.27	
8938	I 2173	21.47	+ 0.9	- 0.26	Doberck A.N.174,257
		22.48	+ 1.1	- 0.12	
		23.86	+ 0.8	+ 0.19	
8380	I 2281	21.84	+ 3.6	- 0.08	Greenwich
8933	8648	21.59	- 2.5	- 0.08	van den Bos B.A.N.1,57
9319	I 2525	21.48	+ 6.4	- 0.06	Doberck A.N.189,41
		23.25	+ 6.7	+ 0.08	
		24.61	+ 7.4	+ 0.11	
9605	I 2579	21.60	+ 2.3	+ 0.27	Greenwich
		23.99	+ 4.0	+ 0.53	
9650	O1387	21.54	+ 7.7	- 0.10	Greenwich
		23.91	+ 8.5	+ 0.28	
9979	O1400	21.51	+ 4.3	- 0.17	Meier A.N.219,231
10559	I 2729	21.61	+ 4.0	- 0.23	Doberck A.N.190,199
		21.61	+ 5.8	- 0.12	Greenwich
12290	880	21.65	- 0.9	- 0.21	"
12755	I 3062	21.50	+ 2.9	- 0.04	Doberck A.N.173,241
		22.99	+ 2.4	- 0.22	

Der Katalog der Messungen umfasst zwei Teile, der erste enthält solche Paare, die in „Burnham, General Catalogue of Double Stars“ aufgeführt sind. Die Nummer dieses Katalogs ist angeführt. Der zweite Teil enthält Paare, welche im angeführten Kataloge nicht vorkommen. Einzelne im Katalog von Jonckheere (Memoirs of the Royal Astronomical Society, Vol.61, London 1917) aufgeführten Paare sind mit J. und ihrer Nummer bezeichnet. Die angegebenen Sternpositionen beziehen sich auf 1925.0. Die erste Spalte gibt die Epoche der Beobachtungen in Bruchteilen des annus fictus, die zweite Spalte den Stundenwinkel t der Beobachtung, die dritte Spalte den beobachteten Positionswinkel des Paares, bezogen auf den Aequator der Beobachtungsepoche, die vierte Spalte die Art der Beobachtung des Positionswinkels, Beobachtungen mit Reversionsprisma sind durch P bezeichnet, die fünfte Spalte die gemessene Distanz s , ein g ist beige geschrieben, wenn die Distanz nur auf Schätzung beruht, die sechste

Spalte gibt die Bildqualität in fünfteiliger Skala: 1 = sehr gut, 5 = ganz schlecht, bei Bildqualität 5 wurde von der Messung von Doppelsternen überhaupt abgesehen, die letzte Spalte enthält Bemerkungen.

Katalog der Messungen

I. Teil.

Epoche	t	p		s	B	Bem.	Epoche	t	p		s	B	Bem.
Bu 21	Σ 2						Bu 92	Σ 13					
	0 ^h 5 ^m 0 + 79° 18'			6 ^m 3	6 ^m 6			0 ^h 11 ^m 9 + 76° 32'			6 ^m 6	7 ^m 1	
23.221	7 ^m 2	107 ^m 7 ..		-	1	1	21.632	20 ^m 0	78 ^m 1 :		0 ^m 84	1	
1 länglich							21.796	1.0	73.0 .		0.64g	2	
							22.366	13.6	78.5 P		0.73	2	
							22.372	12.6	78.5 P		0.90g	2	
							23.221	7.1	75.6 P		0.92g	1	
							22.277		76.7		0.81	(5)	
Bu 53	Ho 1						Bu 104	O Σ 4					
	0 ^h 7 ^m 6 + 29° 11'			8 ^m 5	8 ^m 5			0 ^h 12 ^m 8 + 36° 4'			7 ^m 4	8 ^m 1	
21.627	22 ^m 4	169 ^m 6 :		-	3	1	21.632	20 ^m 1	186 ^m 1 :		-	1	1
21.632	20.4	175.4 :		1 ^m 59	1		1 länglich						
21.630	172.5			1.59	(2, 1)								
1 schlechtes Bild													
Bu 70	O Σ 2						Bu 116	Σ 22					
	0 ^h 9 ^m 5 + 26° 34'		AB	6 ^m 9	8 ^m 3			0 ^h 13 ^m 5 + 8° 27'			7 ^m 0	8 ^m 0	
21.632	20 ^m 9	16 ^m 1 :		0 ^m 39g	2		22.799	23 ^m 7	237 ^m 6 P		4 ^m 59	3	
21.796	1.8	29.7 :		0.59g	2		23.882	0.5	236.4 P		4.48	4	
21.714	22.9			0.49	(2)		23.340	237.0			4.54	(2)	
			AB:C	9 ^m 6			Bu 194	Ho 210					
21.632	21 ^m 1	225 ^m 20 ..	bs	18 ^m 04	2			0 ^h 21 ^m 6 + 36° 4'			8 ^m 0	9 ^m 7	
21.796	2.0	223.83		18.11	2		21.632	20 ^m 1	186 ^m 8 :		-	1	1
21.714	224.52			18.08	(2)		1 länglich						
Bu 87	Σ 12						Bu 360	Σ 46					
	0 ^h 11 ^m 1 + 8° 24'			6 ^m 2	7 ^m 8			0 ^h 36 ^m 0 + 21° 2'			5 ^m 0	8 ^m 2	
22.799	23 ^m 7	148 ^m 1 P		11 ^m 35	3		22.799	23 ^m 6	194 ^m 6 P		6 ^m 65	3	
23.745	23.8	149.3 P		11.58	4		23.824	1.1	195.4 P		6.64	3	
23.882	0.3	149.5 P		11.61	3		23.882	0.4	192.9 :		6.79	4	
23.475	149.0			11.51	(3)		23.502	194.3			6.69	(3)	

Epoehe	t	p		s	B	Bem.	Epoehe	t	p		s	B	Bem.
Bu 426 I 60 q Cass.							Bu 568 I 87						
0 ^h 44 ^m 4 + 57°27'							1 ^h 175 + 15° 0'						
21.627	22.1	261.0	:	bs	7.57	3	23.882	0.2	198.9	:	6.52	4	
21.637	18.3	259.5	..	bs	7.64	3							
21.799	19.3	261.5	P		7.86	3							
21.821	20.1	262.1	P		-	2							
21.821	20.7	260.6	:	bs	7.56	2							
21.857	20.0	261.3	:		7.56	3							
21.857	20.3	261.0	P		-	3							
22.873	3.8	261.8	P		7.92	2							
23.114	3.4	261.8	P		7.47	3							
24.057	4.0	265.3	P		7.89	3							
21.774	261.0		7.84(7.5)				23.824	0.9	320.6	P	4.30	4	
23.348	263.0		7.76 (3)				23.882	0.5	318.2	P	4.31	4	
Bu 426 I 60 q Cass. A 2.9"							Bu 591 I 91						
Δα Δδ							1 ^h 373 - 2° 8'						
21.637	18.8	-20.422	-95.66		3		23.853	319.4		4.30 (2)			
Bu 479 O I 20 66 Pisc.							Bu 600 O I 515 y Androm.						
0 ^h 50 ^m 6 + 18°48'							1 ^h 571 + 46°50'						
21.799	21.4	297.4	:	0.739g	2		21.632	20.3	193.8	-	2	1	
21.821	23.8	298.9	..	-	3	1	21.821	21.7	196.0	..	-	2	1
21.810	298.2		0.39(2,1)				21.726	194.9		-		(2)	
1 Bild schlecht							1 länglich						
Bu 482 I 73 36 Androm.							Bu 707 I 113 42 Ceti.						
0 ^h 50 ^m 9 + 23°15'							1 ^h 1670 - 0°54'						
21.796	1.7	53.1	:	0.754g	2		21.695	22.6	358.4	:	1.51	3	1
21.799	21.2	58.4	..	0.54g	2		21.791	22.9	359.3	:	-	4	1
21.821	0.0	54.3	..	0.72	2		21.821	23.7	1.5		1.89	3	1
22.873	1.8	59.4	P	0.89	3		21.769	359.7		1.70(3,2)			
22.072	56.3		0.67 (4)				1 schlechtes Bild						

Epoche	t	p	s	B	Bem.	Epoche	t	p	s	B	Bem.
Bu 830	Σ 138					Bu 1015	Σ 186				
	$1^h 32^m 11^s + 7^{\circ} 16'$		AB 7 ^m 3	7 ^m 3			$1^h 52^m 0^s + 1^{\circ} 29'$		7 ^m 2	7 ^m 2	
21.695	22 ^m 6	42 ^s 9 ..	1 ^m 64	2		21.695	22 ^m 7	34 ^s 7 :	1 ^m 22	3	
21.799	20.8	42.6 ..	1.67	2		21.799	21.7	45.8 ..	0.78 _E	3	
21.821	23.7	40.9 :	1.47	2		21.821	21.6	41.8	1.14	2	
21.772	42.1		1.59	(3)		21.772	40.8		1.05	(3)	
Bu 830	Σ 138	AB:C				Bu 1027	Σ 185				
	Δa	$\Delta \delta$					$1^h 55^m 2^s + 75^{\circ} 8'$		7 ^m 0	8 ^m 5	
21.695	22.8	-4 ^m 859	+24 ^m 89	2		23.221	5 ^m 5	105 ^s 8 :	-	1	1
	p	s				1 länglich, rotgelb					
21.799	20 ^m 9	21 ^m 55..bs	75 ^m 08	s		Bu 1036	Σ 513 48 Cass.				
Bu 926	Σ 158						$1^h 55^m 7^s + 70^{\circ} 33'$		5 ^m 0	7 ^m 5	
	$1^h 42^m 4^s + 32^{\circ} 48'$		8 ^m 3	8 ^m 8		21.632	18 ^m 0	115 ^s 0	-	2	1
22.873	1 ^m 2	255 ^s 9 P	2 ^m 31	3		23.221	5.6	212.5 P	0 ^m 97g	1	
Bu 941	Σ 162					1 länglich, zweifelhaft					
	$1^h 44^m 5^s + 47^{\circ} 32'$		7 ^m 0	7 ^m 5		Bu 1061	Σ 202				
23.114	3 ^m 3	213 ^s 0 P	1 ^m 92	2			$1^h 58^m 2^s + 2^{\circ} 24'$		2 ^m 8	3 ^m 9	
Bu 981	Σ 178					22.873	1 ^m 2	309 ^s 8 P	2 ^m 76	3	
	$1^h 48^m 0^s + 10^{\circ} 27'$		7 ^m 8	7 ^m 8		23.114	1.1	311.8 P	2.66	3	
22.824	0 ^m 4	200 ^s 0 P	3.35	4		23.882	0.6	311.6 P	2.90	4	
23.882	0.0	199.8 P	3.53	4		23.290	311.1		2.77	(3)	
23.353	199.9		3.44	(2)							

Epoche	t	p		s	B	Bem.
Bu 1070 0 238 γ Androm.						
1 ^h 59 ^m 2 + 41°58' BC 5 ^m 0 6 ^m 2						
21.632	19 ^h 6	110°0	:	0 ^m 64g	2	
21.774	20.0	111.9	:	0.59g	2	
21.821	20.9	112.2	:	0.54g	2	
23.114	3.2	108.8	P	0.54g	3	
23.212	4.2	110.7	P	0.59g	2	
23.221	5.1	104.4	P	0.59g	1	
<hr/>						
21.742		111.4		0.52	(3)	
23.182		108.0		0.57	(3)	
<hr/>						
Bu 1070 0 238 - Σ 265						
A:BC 3 ^m 0 5 ^m 0						
21.632	19 ^h 7	63°3	..bs	10 ^m 08	2	
21.774	20.2	61.4	..bs	9.94	2	
21.821	21.0	58.8	..bs	10.03	2	
23.114	3.4	63.3	P	10.03	2	
23.212	4.3	64.3	Pbs	10.13	2	
<hr/>						
21.742		61.2		10.02	(3)	
23.163		63.8		10.08	(2)	
<hr/>						
Bu 1137 Σ 227						
2 ^h 8 ^m 0 + 29°57' 5 ^m 0 6 ^m 4						
23.882	0 ^h 7	75°3	P	4 ^m 47	4	
24.060	1.1	74.9	P	3.91	3	
<hr/>						
23.971		75.1		4.19	(2)	
<hr/>						
Bu 1144 Σ 228						
2 ^h 9 ^m 2 + 47 8' 6 ^m 7 ^m 6						
21.632	19 ^h 7	128°6		0 ^m 87	2	
21.821	21.0	128.6	.	0.59	2	
<hr/>						
21.726		128.6		0.73	(2)	

Epoche	t	p		s	B	Bem.
Bu 1235 Σ 257						
2 ^h 20 ^m 0 + 61°12' 7 ^m 2 7 ^m 7						
23.212	4 ^h 2	288°9	..	-	2	1
23.221	5.2	293.0	..	-	1	1
<hr/>						
23.216		291.0		-	(2)	
1 länglich						
<hr/>						
Bu 1262 Σ 262						
2 ^h 22 ^m 8 + 67° 4' AB 4 ^m 2 7 ^m 1						
23.114	4 ^h 4	250°6	P	2 ^m 62	3	
23.212	4.3	250.6	P	2.53	3	
<hr/>						
23.163		250.6		2.58	(2)	
<hr/>						
Bu 1262 Σ 262						
AC 8 ^m 1						
23.114	4 ^h 7	110°7	P	6 ^m 98	3	
23.212	4.5	111.2	P	7.35	3	
<hr/>						
23.163		111.0		7.16	(2)	
<hr/>						
Bu 1401 Σ 299						
2 ^h 39 ^m 4 + 2°56' 3 ^m 0 6 ^m 8						
22.873	0 ^h 8	297°3		3 ^m 56	3	
23.114	0.7	295.4	P	3.18	3	
<hr/>						
22 994		296.4		3.37	(2)	
<hr/>						
Bu 1427 Σ 305						
2 ^h 43 ^m 2 + 19° 3' 7 ^m 3 8 ^m 2						
21.695	22 ^h 0	314°9	:	3.75	2	

Epoche	t	p	s	B	Bem.	Epoche	t	p	s	B	Bem.
Bu 1512 Σ 333 ϵ Ariet.						Bu 2336 Σ 589					
		2 ^h 54 ^m 9 + 21° 3'	5 ^m 7	6 ^m 0				4 ^h 40 ^m 8 + 5° 9'	8 ^m 0	8 ^m 0	
21.695	22 ^h 0	202 ^s 7 :	1 ^m 49	3		22.873	23 ^h 2	293 ^s 4 P	4 ^m 68	3	
21.796	23.8	201.6 :	1.03	3							
21.799	20.9	203.2 ..	1.49	2							
21.763		202.5		1.34	(3)						
Bu 1952 Σ 460						Bu 2535 Σ 98 14 Orion.					
		3 ^h 57 ^m 4 + 80° 30'	5 ^m 2	6 ^m 1				5 ^h 37 ^m 8 + 8° 24'	6 ^m 0	6 ^m 8	
21.632	15 ^h 7	61 ^s 0 ..	0 ^m 89	1		22.202	0 ^h 7	138 ^s 0 P	0 ^m 74	2	
21.796	21.4	65.2 :	0.88g	2		22.208	0.7	136.7 P	0.88	2	
22.243	6.5	63.0 :	0.88	2		22.216	1.4	136.4 P	0.70	2	
22.366	9.6	59.2 P	0.98	3		22.252	2.7	137.0 P	0.85	2	
22.372	8.2	59.2 P	0.91	2		23.212	1.9	137.0 P	0.88	3	
23.221	3.8	67.2 P	0.85	1		23.221	1.6	135.4 P	0.94	1	
21.714		63.1		0.88	(2)	22.220		137.0		0.79	(4)
22.327		62.5		0.92	(3)	23.216		136.2		0.91	(2)
23.221		67.2		0.85	(1)						
Bu 2093 Σ 77						Bu 2657 Σ 677					
		4 ^h 11 ^m 2 + 31° 31' AB 7 ^m 5 7 ^m 5						5 ^h 17 ^m 6 + 63° 19'	7 ^m 7	8 ^m 0	
21.695	21 ^h 1	246 ^s 6	-	2	1	23.221	2 ^h 6	231 ^s 1 P	1 ^m 04	1	
1. länglich						Bu 2835 Σ 742					
Bu 2093								5 ^h 31 ^m 9 + 21° 57'	7 ^m 2	7 ^m 8	
		AB: C 8 ^m 0				22.873	22 ^h 6	262 ^s 9 P	3 ^m 79	3	
21.695	21 ^h 2	42 ^s 08..bm 56 ^m 36		2		23.215	1.3	263.3 P	3.68	3	
Bu 2284 Σ 572						23.224	2.2	264.0 P	3.66	2	
		4 ^h 33 ^m 8 + 26° 47'	6 ^m 5	6 ^m 5		24.057	0.3	264.0 P	3.81	3	
22.873	23 ^h 1	198 ^s 1 P	4 ^m 12	2		23.342		263.6		3.74	(4)
24.057	0.9	200.3 P	4.05	3							
23.465		199.2		4.08	(2)	Bu 2845 Σ 749					
								5 ^h 32 ^m 5 + 26° 53'	7 ^m 1	7 ^m 2	
						23.221	1 ^h 3	345 ^s 9 P	0 ^m 92	1	

Epoche	t	p		s	B	Bem.	Epoche	t	p		s	B	Bem.
Bu 2976	Σ 795						Bu 3977	Σ 1070					
	5 ^h 44 ^m 0 + 6°26'			6 ^m 2	6 ^m 2			7 ^h 16 ^m 5 + 34°10'			8 ^m 2	9 ^m 2	
23.224	2 ^h 2 208°2 P			1 ^m 26	2		23.226	2 ^h 7 319°9 P			1 ^m 66	2	
							Bu 4065	Σ 1093					
								7 ^h 24 ^m 6 + 50° 9'			8 ^m 2	8 ^m 2	
Bu 3460	Σ 932						22.265	3 ^h 4 150°9 ..			0 ^m 59g	2	
	6 ^h 30 ^m 1 + 14°49'			8 ^m 2	8 ^m 3								
23.215	0 ^h 7 326°5 P			1 ^m 76	3								
							Bu 4122	Σ 1110 α Gem.					
								7 ^h 29 ^m 8 + 32° 3'			2 ^m 7	3 ^m 7	
Bu 3876	Σ 1037						21.329	1 ^h 8 214°6 : bs			4 ^m 87	2	
	7 ^h 8 ^m 2 + 27°22'			7 ^m 1	7 ^m 1		21.332	2.6 215.5 : bs			5.02	1	
23.267	1 ^h 3 204°4 :			-	2	1	22.202	21.8 214.4 P			5.05	1	
1 länglich							22.208	22.8 215.0 P			5.01	2	
							22.216	22.7 215.7 P			5.10	2	
							22.221	21.8 216.5 P			4.91	2	
							22.252	18.9 215.6 P			5.01	2	
							23.114	0.4 215.1 P			4.60	4	
							23.270	1.3 213.3 P			5.08	2	
							23.273	0.2 214.8 P			4.93	1	
							23.276	0.3 215.9 P			4.87	2	
							24.282	1.0 214.1 P			4.92	2	
Bu 3949	0 Σ 170						24.285	0.5 213.9 P			4.77	1	
	7 ^h 13 ^m 6 + 9°26'			7 ^m 5	7 ^m 5		24.293	0.7 214.0 P			4.94	2	
23.267	1 ^h 1 102°8 P			1 ^m 75	2		24.298	0.1 214.5 P			5.11	2	
							24.318	1.8 214.5 P			5.05	3	
							24.331	1.7 215.0 P			4.89	3	
							21.330				4.94	(2)	
							22.220				5.02	(5)	
							23.233				4.87	(4)	
							24.301				4.95	(6)	
Bu 3970	Σ 1066												
	7 ^h 15 ^m 6 + 22° 7'			3 ^m 2	8 ^m 2		Bu 4193	Σ 1126					
23.106	0 ^h 9 210°5 P			7 ^m 13	3			7 ^h 36 ^m 1 + 5°24'			7 ^m 2	7 ^m 5	
23.114	0.1 212.0 P			7.15	3		23.267	1 ^h 0 150°9 P			1 ^m 24	2	
23.226	2.6 212.0 P			6.97	2								
23.149		211.5		7.08	(3)								

Epoche	t	p		s	B	Bem.	Epoche	t	p		s	B	Bem.
Bu 4226 02 179							Bu 4452 2 1187						
	7h39m9s	+ 24°35'		4m0	8m5			8h 4m7s	+ 32°26'		7m1	8m0	
23.114	23h9	236.3	P	6m91	4		23.226	2h2	37.0	P	2m65	2	
							23.270	1.1	38.5	P	2.61	2	
							24.323	3.2	38.7	P	2.72	2	
							23.606		38.1		2.66	(3)	
Bu 4312 02 182							Bu 4477 2 1196 5 Cancri						
	7h48m8s	+ 3°36'		7m0	7m5			8h 7m9s	+ 17°53'	AB 5m0	5m7		
23.267	0h9	27.2	P	0m95	3		21.315	2h0	271.2	..	0m91	3	
							21.318	1.4	273.0	..	0.72	1	
							21.323	2.4	273.1	..	0.98	3	
							22.202	22.4	263.8	P	0.82	2	
							22.216	23.1	264.8	P	0.70	2	
							22.243	23.0	265.6	P	0.59	2	
							22.252	0.0	264.4	P	0.77	2	
							22.279	0.2	265.3	P	0.82	2	
							23.221	1.0	256.6	P	0.76	1	
							23.267	23.9	256.5	P	0.81g	2	
							23.270	0.2	256.2	P	0.97g	2	
							23.281	2.5	256.3	P	-	2	
							24.282	0.6	248.3	P	0.76	2	
							24.285	0.2	248.3	P	0.65	1	
							24.293	0.2	247.9	P	0.61	2	
							24.298	0.4	248.8	P	0.63	2	
							24.318	1.5	248.4	P	0.70	2	
							24.331	1.8	250.1	P	0.83	3	
							21.319		272.4		0.87	(3)	
							22.238		264.8		0.74	(5)	
							23.260		256.4		0.85	(4,3)	
							24.301		248.6		0.70	(6)	
Bu 4414 8 581							Bu 4477 2 1196						
	8h 0m2s	+ 12°30'		8m0	8m0					AB:C 5m5			
22.202	22h2	6.7		-	2	1	21.315	2h2	108.0	..bs	5m68	3	
22.216	23.1	1.4		0m49g	2	2	21.318	1.5	108.0	..bs	5.67	1	
22.252	23.9	1.6 :		-	2	3	21.323	2.6	108.0	..bs	5.98	3	
22.279	0.8	2.4 :		-	2	3							
23.221	1.0	16.1 :		-	1	3							
22.434		5.6		0.49	(5,1)								
1 länglich, zweifelhaft													
2 nur zuweilen getrennt													
3 länglich													
Bu 4421 2 1177													
	8h 1m0s	+ 27°45'		6m5	7m4								
24.293	1h2	351.1	P	3m55	2								
24.298	1.4	351.4	P	3.69	3								
24.318	1.8	351.5	P	3.53	2								
24.323	2.9	351.3	P	3.58	2								
24.308		351.3		3.59	(4)								

Epoche	t	p		s	B	Bem.	Epoche	t	p		s	B	Bem.
22.197	22 ^h 7	106 ^m 6	..bs	5 ^s 77	3		Bu 4601	Σ 1223					
22.202	22.5	109.7	P	5.65	3			8 ^h 22 ^m 3 + 27°11'			6 ^m 0	6 ^m 5	
22.216	23.3	108.5	P	5.79	2		24.293	0 ^h 6	216 ^m 0	P	4 ^s 92	2	
22.243	23.2	107.0	P	5.79	2		24.298	0.6	216.3	P	4.99	2	
22.252	0.1	107.9	P	5.72	2		24.318	1.7	216.3	P	4.96	2	
22.279	0.4	108.0	P	5.74	2		24.323	2.6	217.1	P	4.78	2	
23.221	1.1	106.4	P	5.84	1		24.308		216.4		4.91	(4)	
23.267	0.0	106.9	P	5.68	2								
23.270	0.3	106.8	P	5.72	2		Bu 4602	Σ 1224					
23.281	2.3	109.4	P	5.73	2			8 ^h 22 ^m 2 + 24°47'			6 ^m 0	7 ^m 1	
24.282	0.6	107.0	Pbs	5.90	2		23.270	1 ^h 0	45 ^m 1	P	5 ^s 80	2	
24.285	0.2	106.9	P	5.60	1		23.278	2.1	45.1	P	5.68	2	
24.293	0.4	107.3	Pbs	5.77	2		23.281	2.6	45.4	P	6.09	2	
24.298	0.4	107.0	P	5.63	2		24.318	1.7	44.4	P	5.90	2	
24.318	1.5	107.6	Pbs	5.73	2		23.537		45.0		5.87	(4)	
24.331	1.8	106.3	Pbs	5.57	3								
21.319		108.0		5.78	(3)								
22.232		108.0		5.74	(6)								
23.260		107.4		5.74	(4)								
24.301		107.0		5.70	(6)								
Bu 4477 Σ 1196 ξ Cancrī													
C u. BD + 18° 1870													
		Δα		Δδ			Bu 4771	Σ 1273 ε Hydr.					
22.202	22 ^h 9	+18 ^m 776		-86 ^m 76	3			8 ^h 42 ^m 8 + 6°42'			3 ^m 8	7 ^m 8	
22.216	23.5	18.809		86.88	2		21.329	2 ^h 4	240 ^m 6 : bs		3 ^s 57	2	
22.252	0.3	18.797		87.17	2		21.332	1.6	246.8 : bs		3.38	1	
22.223		+18.794		-86.94	(3)		22.279	0.4	248.0 P		3.35	2	
							24.285	23.9	247.5 Pbs		3.13	1	
							21.330		243.7		3.48	(2)	
							23.282		247.8		3.24	(2)	
							Bu 4771	Σ 1273					
											AB 4 ^m 0	5 ^m 5	
							23.221	0.7	177.6 :		-	2	1
							24.285	23.9	190.7 :		-	1	1
							23.753		184.2		-	(2)	

Epoche	t	p		s	B	Bem.	Epoche	t	p		s	B	Bem.
Bu 4815 Σ 1280							Bu 5006 Σ 3121						
8 ^h 48 ^m 5 + 71° 5'				7 ⁵⁵	7 ⁵⁶		9 ^h 13 ^m 4 + 28°54'				7 ⁵⁵	7 ⁵⁸	
21.378	5 ^h 1	49 ^s 5	: ba	4 ⁵²	3		24.285	23 ^h 7	336 ^s 9	:	-	1	1
21.796	16.8	49.6	..	4.44	2		24.293	0.4	372.3	:	-	2	2
22.243	1.9	48.6	..	4.15	2								
22.366	4.4	51.0	Pbs	4.11	2		24.289	354.6		-	(2)		
22.372	3.6	52.3	Pbs	4.19	2		1 länglich 2 länglich, ganz unsicher						
22.402	5.8	50.2	P	4.62	3								
21.587	49.6			4.48	(2)		Bu 5011 Σ 1333						
22.346	50.5			4.27	(4)		9 ^h 13 ^m 8 + 35°41'				6 ⁵⁶	6 ⁵⁹	
							24.298	0 ^h 8	46 ^s 8	P	1 ⁵⁸	3	
							24.318	1.5	45.9	P	1.89	2	
							24.323	3.4	46.0	P	1.93	2	
							24.331	1.4	46.6	P	2.07	3	
							24.320	46.3			1.94	(4)	
Bu 4839 Σ 1291							Bu 5014 Σ 1334						
8 ^h 49 ^m 7 + 30°52'				5 ⁵⁹	6 ⁵⁴		9 ^h 14 ^m 2 + 37° 8'				4 ⁵⁰	6 ⁵⁷	
23.221	0 ^h 7	323 ^s 9	P	1 ⁵³	2		23.278	1 ^h 7	233 ^s 5	P	2 ⁵⁷	3	
23.270	1.9	322.9	P	1.54	2		23.281	2.0	232.7	P	3.22	2	
23.278	1.8	322.8	P	1.28	2		24.293	0.6	233.3	P	2.99	2	
24.293	0.7	322.0	P	1.43	2		24.318	1.1	230.8	P	2.99	2	
24.298	23.9	322.0	P	1.32	2		24.323	2.5	233.2	P	3.20	2	
24.323	2.4	323.1	P	1.69	2		24.331	1.1	231.2	P	2.97	3	
23.256	323.2			1.45	(3)		23.280	233.1			3.10	(2)	
24.305	322.4			1.48	(3)		24.316	232.1			3.04	(4)	
Bu 4890 Σ 1300							Bu 5030 Σ 1338						
8 ^h 57 ^m 2 + 15°35'				8 ⁵⁷	8 ⁵⁸		9 ^h 16 ^m 3 + 38°31'				7 ⁵⁰	7 ⁵²	
23.270	2 ^h 0	194 ^s 3	P	5 ⁵³	2		23.278	1 ^h 8	185 ^s 5	P	1 ⁵³	2	
							24.293	0.7	188.5	P	1.55	3	
							24.318	1.3	185.8	P	1.47	2	
							24.331	1.2	186.5	P	1.27	3	
Bu 5003 Σ 1332							24.055 186.6 1.40 (4)						
9 ^h 13 ^m 0 + 23°58'				7 ⁵²	7 ⁵⁵								
24.298	0 ^h 4	23 ^s 1	P	5 ⁵⁸	3								
24.323	2.7	23.2	P	5.81	2								
24.334	1.4	23.4	P	5.90	3								
24.318	23.2			5.90	(3)								

Epoche	t	p		s	B	Bem.	Epoche	t	p		s	B	Bem.
Bu 5056	OZ 201						24.282	23 ^h 6	131.6	P	0.99	2	
	9 ^h 19 ^m 5 + 28°13'			7.5	9.0		24.285	23.4	132.4	P	0.94	1	
24.323	2 ^h 7	218.9 :		1.46	2		24.293	23.3	133.4	P	0.92	2	
							24.298	23.8	132.6	P	1.01	3	
							24.318	0.3	132.7	P	1.03	2	
Bu 5071	Z 1348						21.322		131.6		1.14	(2)	
	9 ^h 20 ^m 6 + 6°41'			7.5	7.6		22.251		131.8		0.98	(3)	
23.221	0 ^h 3	321.2	P	2.15	2		23.254		132.5		1.07	(3)	
23.226	23.8	322.2	P	1.69	3		24.295		132.5		0.98	(5)	
2.285	23.8	321.6	P	1.89	1								
24.331	1.5	320.6	P	1.98	3		Bu 5171	Z 1374					
								9 ^h 36 ^m 7 + 39°17'			7.0	8.3	
23.224		321.7		1.92	(2)		24.318	1 ^h 3	290.5	P	3.20	2	
24.308		321.1		1.94	(2)		24.323	2.6	291.2	P	3.36	2	
							24.320		290.8		3.28	(2)	
Bu 5094	Z 1355												
	9 ^h 23 ^m 4 + 6°34'			7.2	7.2		Bu 5223	OZ 208 = urs. maj.					
24.285	23 ^h 9	337.2	P	2.42	1			9 ^h 47 ^m 0 + 54°25'			5.0	5.6	
24.293	0.0	337.5	P	2.77	2		21.321	3 ^h 0	326.0	..	0.59g	2	
24.298	0.4	338.2	P	2.57	3		21.370	3.7	325.2	..	0.59g	2	
24.331	1.6	338.0	P	2.75	3		21.397	3.6	327.0	..	0.49g	2	
24.302		337.7		2.63	(4)		21.400	4.2	327.0	..	0.54g	1	
							21.408	4.0	324.7	..	0.34g	2	
Bu 5103	Z 1356 ω Leonis						22.221	20.4	326.0	P	-	2	1
	9 ^h 24 ^m 4 + 9°24'			6.2	7.0		22.336	3.4	327.2	..	0.50g	2	2
21.321	1 ^h 4	127.4	..	1.07	2		22.366	3.6	326.2	..	0.70g	3	
21.323	1.6	135.7	..	1.22	3		22.372	2.9	326.4	P	0.65g	2	
22.243	1.6	132.9	P	1.02	2		22.402	3.4	326.2	P	-	3	
22.246	1.1	129.6	..	0.91	2		22.405	5.6	324.9	P	0.75g	3	
22.265	0.5	132.9	P	1.02	1		22.418	3.6	326.8	P	0.50g	2	
23.226	0.0	131.9	F	1.08	3		24.315	3.8	327.8	P	0.5 g	2	
23.267	23.7	134.0	P	1.04	2		24.416	3.4	330.3	P	0.55g	1	
23.270	23.2	131.6	P	1.10	2		21.377		326.0		0.51	(5)	
							22.360		326.1		0.62	(7,5)	
							24.366		329.0		0.52	(2)	
							1 nur zeitweise getrennt						
							2 gut getrennt						

Epoche	t	p		s	B	Bem.	Epoche	t	p		s	B	Bem.
Bu 5233	Z	1389					Bu 5433	Z	1434				
	9 ^h 48 ^m 2	+ 27°20'		8 ^m 0	9 ^m 0			10 ^h 23 ^m 1	+ 18°27'		8 ^m 5	8 ^m 5	
24.323	2 ^h 7	305 ^m 9	P	2 ^m 41	2		24.274	1 ^h 6	276 ^m 9	P	6 ^m 32	2	
							24.334	0.9	275.8	P	6.29	4	
							24.304		276.4		6.30	(2)	
Bu 5281	OZ	210					Bu 5508	Z	1457				
	9 ^h 57 ^m 9	+ 46°43'		7 ^m 5	8 ^m 3			10 ^h 34 ^m 8	+ 5° 6'		7 ^m 4	8 ^m 4	
24.323	3 ^h 2	259 ^m 2	P	1 ^m 04	2		24.285	23 ^h 2	232 ^m 2	P	1 ^m 48	1	
Bu 5365	OZ	215					Bu 5515	OZ	224				
	10 ^h 12 ^m 2	+ 18° 7'		7 ^m 0	7 ^m 2			10 ^h 35 ^m 8	+ 9°14'		7 ^m 2	9 ^m 2	
23.221	0 ^h 1	199 ^m 0	P	1 ^m 04	1		23.221	23 ^h 8	270 ^m 1	..	-	2	1
24.285	23.2	200.4	P	1.16	1		24.285	22.9	273.1	..	-	1	2
23.753		199.7		1.10	(2)		23.753		271.6		-	(2)	
Bu 5385	Z	1423					1 länglich 2 nur zeitweise getrennt						
	10 ^h 15 ^m 1	+ 20°57'		8 ^m 6	9 ^m 3		Bu 5572	Z	1476				
23.221	0 ^h 2	45 ^m 2	..	1 ^m 66	2			10 ^h 45 ^m 5	- 3°38'		7 ^m 2	8 ^m 0	
Bu 5388	Z	1424					24.315	0 ^h 9	5 ^m 1	P	2 ^m 70	4	
	10 ^h 15 ^m 8	+ 20°14'		2 ^m 0	3 ^m 5		24.334	0.2	4.6	P	2.45	3	
23.215	23 ^h 9	120 ^m 7	P	4 ^m 18	3		24.324		4.8		2.58	(2)	
23.267	0.2	118.6	P	4.03	2		Bu 5592	OZ	230				
23.278	1.1	119.3	P	4.51	2			10 ^h 50 ^m 5	+ 21°11'		7 ^m 7	11 ^m 2	
23.281	1.9	119.1	Pbs	4.23	3		23.278	0 ^h 7	23 ^m 6	P	8 ^m 83	2	
24.331	23.1	119.0	P	3.94	3								
24.334	23.4	119.8	P	4.04	3								
23.260		119.4		4.24	(4)								
24.332		119.4		3.99	(2)								

1

Epoche	t	p		s	B	Bem.	Epoche	t	p		s	B	Bem.
23.518		95.3		2.57	(7)		Bu 5805	O I 234					
24.310		94.1		2.71	(7)		11 ^h 26 ^m 8 + 41°41'		7 ^m 0	7 ^m 4			
24.430		94.7		2.60	(7)		21.370	-	170.0	..	-	2	1
1 unruhig							21.397	2 ^h 1	175.3	..	0.39g	1	
							21.400	2.7	170.3	..	0.29g	1	2
							21.408	2.5	168.1	..	-	2	3
							22.336	3.5	169.0	..	0.40g	2	
							22.405	4.5	170.3	P	0.60g	2	
Bu 5739	I 1527						22.418	2.2	159.9	..	0.40g	2	
11 ^h 15 ^m 1 + 14°41'				6 ^m 9	8 ^m 1		22.421	2.2	171.2	P	0.50g	2	
24.315	1 ^h 0	19.0	P	3.21	3	1	24.416	1.9	175.2	P	0.40g	1	4
24.334	0.3	19.0	P	3.27	4		24.438	3.4	162.1	P	-	2	1
24.324		19.0		3.24	(2)		21.394		170.9		0.34(4,2)		
1 Begleiter rötlich							22.395		167.6		0.48 (4)		
							24.427		168.6		0.40(2,1)		
							1 länglich	2 gut getrennt					
							3 unsicher, Cirren	4 deutlich getrennt					
Bu 5744	I 1529												
11 ^h 15 ^m 6		1°14'		7 ^m 0	8 ^m 0		Bu 5811	O I 235					
24.315	0 ^h 8	252.5	Pbs	9 ^m 50	3		11 ^h 28 ^m 0 + 61°29'		6 ^m 0	7 ^m 3			
							21.370	2 ^h 4	139.1	:	0.59g	2	1
Bu 5765	I 1536 Leonis						21.397	1.2	132.6	:	0.59g	1	
11 ^h 20 ^m 0 + 10°56'				3 ^m 9	7 ^m 1		21.400	2.9	131.1	:	0.39g	1	
21.354	0 ^h 8	31.0	: bs	1.56	2		22.405	4.5	136.9	P	0.90g	2	
21.389	1.2	32.7	:	-	3		22.418	2.2	140.3	:	-	2	1
22.243	23.8	32.8	:	1.89	2		21.389		134.3		0.52 (3)		
22.336	1.8	31.9	P	1.67	3		22.412		138.6		0.90(2,1)		
24.274	0.9	29.1	P	1.41	3		1 nur zeitweise getrennt						
22.319		31.5		1.66	(5,4)								
							Bu 5858	I 1561					
Bu 5793	I 1543						11 ^h 34 ^m 9 + 45°30'		AB 5 ^m 9	8:			
11 ^h 25 ^m 1 + 39°44'				5 ^m 2	8 ^m 2		24.331	3 ^h 2	257.2	Pbs	10 ^m 01	3	
24.331	3 ^h 1	359.5	..	5 ^m 45	3		24.433	3.2	258.6	Pbs	9.96	3	
							24.382		257.9		9.98 (2)		

Epoche	t	p	s	B	Bem.	Epoche	t	p	s	B	Bem.
Bu 5859 OZ 237						Bu 6053 Z 1606					
	11 ^h 35 ^m 0	+ 41°33'	7 ^m 4	9 ^m 0			12 ^h 7 ^m 0	+ 40°19'	6 ^m 3	7 ^m 0	
24.331	2 ^h 6	256 ^s 2 :	1 ^m 86	3		22.449	2 ^h 9	320 ^s 9 P	1 ^m 09	2	
						22.482	4.3	324.9 ..	0.90g	3	
						23.432	3.0	324.1 P	0.81	2	
						24.331	2.8	323.3 P	1.01	2	
						24.389	2.4	321.0 P	0.83	3	
						24.438	3.0	322.3 P	0.92	2	
						24.520	4.4	325.7 P	0.82	3	
Bu 5951 S 794						22.788		323.3	0.93	(3)	
	11 ^h 49 ^m 7	+ 74°10'	6 ^m 5	7 ^m 8		24.420		323.1	0.90	(4)	
21.370	2 ^h 2	189 ^s 1 :	-	1	1						
21.397	2.0	205.8 ..	-	2	1						
21.400	2.8	193.0 ..	-	1	1						
21.389		196.0	-	(3)							
1 länglich						Bu 6068 Z 1609					
Bu 5970 OZ 241							12 ^h 8 ^m 0	+ 51°15'	7 ^m 7	9 ^m 5	
	11 ^h 52 ^m 4	+ 35°51'	6 ^m 5	8 ^m 4		22.440	5 ^h 6	205 ^s 8 P	11 ^m 11	3	
24.331	2 ^h 5	135 ^s 0 ..	1 ^m 46	3		22.473	4.9	205.6 P	11.32	3	
						22.456		205.7	11.22	(2)	
Bu 6028 Z 3123						Bu 6102 Z 1622					
	12 ^h 2 ^m 3	+ 69° 7'	7 ^m 0	7 ^m 0			12 ^h 12 ^m 4	+ 41° 5'	5 ^m 7	8 ^m 0	
21.397	2 ^h 1	152 ^s 3 :	-	2	1	22.440	5 ^h 8	260 ^s 0 P	11 ^m 37	3	
21.400	2.4	158.3 :	-	1	1	22.449	3.0	259.6 P	11.59	2	
21.582	5.5	153.1 ..	-	2	2	22.444		259.8	11.48	(2)	
22.418	1.8	141.0 :	-	2	3						
21.694		151.2	-	(4)							
1 länglich, Quadrant unsicher						Bu 6155 OZ 249					
2 länglich zweifelhaft 3 länglich							12 ^h 20 ^m 5	+ 54°34' AB			
Bu 6040 Z 1603						22.454	5 ^h 5	299 ^s 4 ..	-	2	1
	12 ^h 4 ^m 4	+ 55°53'	6 ^m 9	7 ^m 3		23.432	3.0	290.8 ..	0.43g	1	2
22.440	5 ^h 4	81 ^s 8 P	22 ^m 39	3		22.943		295.1	0.43(2,1)		
22.473	4.7	81.9 P	22.65	3		1 länglich 2 nur zeitweise getrennt					
22.456		81.8	22.52	(2)							

Epoche	t	p		Bem.	Epoche	t	p		Bem.
Bu 6158 Σ 1639					Bu 6243 Σ 1670 μ virg.				
	12 ^h 20 ^m 7	+ 26° 1'	6 ^m 7	7 ^m 9		12 ^h 37 ^m 9	- 1° 2'	3 ^m 0	3 ^m 0
21.354	0 ^m 2	344 ^s 6	0 ^m 69	1	21.315	0 ^m 9	319 ^s 1	..bs	6 ^m 35 3 1
21.367	1.0	349.3	0.85	3	21.318	23.6	323.9	: bs	6.66 3
21.400	2.8	339.3	0.54	2	21.321	22.4	322.4	: bs	6.32 2
22.243	23.0	336.6	0.59g	2	21.323	22.6	322.3	: bs	6.41 3
22.265	22.2	340.7	0.74g	2	21.329	0.0	322.2	: bs	6.29 2
22.336	2.7	338.9	0.60g	2	22.243	23.6	322.4	P	5.88 2
22.421	1.6	340.2	0.78	2	22.287	23.7	323.0	P	6.13 3
23.426	2.0	340.5	0.65g	2	22.336	1.4	322.8	P	6.16 3
24.315	0.7	343.4	0.71	2	22.339	23.7	322.3	P	6.25 2
24.323	1.2	342.6	0.74	2	22.350	0.2	323.0	P	6.09 3
24.416	1.1	340.8	0.72	1	22.397	1.0	323.5	P	6.24 3
21.374		344.4	0.69	(3)	23.418	1.4	322.3	P	6.20 4
22.316		339.1	0.68	(4)	23.426	1.6	322.6	P	6.44 2
24.120		341.8	0.70	(4)	23.432	1.3	322.7	P	6.01 2
					24.274	23.9	322.8	P	6.16 3
					24.315	0.2	321.6	P	6.23 2
					24.389	2.1	320.8	P	5.94 3
Bu 6174 Σ 1643					21.321 322.0 6.41 (5)				
	12 ^h 23 ^m 8	+ 27° 27'	8 ^m 4	8 ^m 7	22.325 322.8 6.12 (6)				
24.323	1 ^h 3	30 ^m 0 P	2 ^m 54	2	23.425 322.5 6.22 (3)				
					24.326 321.7 6.11 (3)				
Bu 6187 Σ 1647					1 Wolken				
	12 ^h 26 ^m 8	+ 10° 8'	7 ^m 5	7 ^m 8	Bu 6243 1670 μ virg.pr.u.BD - 0°2600				
23.270	23 ^h 2	230 ^s 8 P	1 ^m 78	2	$\Delta\alpha$ $\Delta\delta$				
24.315	0.2	227.4 P	1.25	3	22.287 23 ^h 9 +0 ^m 744 - 256 ^m 60 3				
24.334	23.3	229.0 P	1.22	3	μ virg.sq.u.BD - 0°2600				
23.973		229.1	1.42	(3)	$\Delta\alpha$ $\Delta\delta$				
					22.287 23 ^h 9 +0 ^m 525 - 251 ^m 36 3				
Bu 6200 Σ 1652					Bu 6296 Σ 1687 35 com.Ber.				
	12 ^h 28 ^m 8	+ 21° 31'	9 ^m 0	9 ^m 0	12 ^h 49 ^m 6 + 21° 39' 5 ^m 0 7 ^m 8				
22.350	23 ^h 9	178 ^s 8 :	6 ^m 32	3	21.318 21 ^h 0 92 ^s 6 .. 0 ^m 94 2				
22.353	0.9	179.6 :	6.22	3	21.400 2.1 99.4 0.59g 2				
22.356	0.4	180.0 :	6.28	4					
22.353		179.5	6.27	(3)					

Epoche	t	p		s	B	Bem.	Epoche	t	p		s	B	Bem.
22.243	23 ^h 6	91 ^m 8	..	0 ^m 94	2	1	Bu 6415	OZ 261					
22.336	1.6	102.8		1.14	2		13 ^h 8 ^m 5 + 32°29'				6 ^m 9	7 ^m 4	
22.454	2.8	101.3	..	0.96	1	2	24.389	2 ^h 2 344 ^m 1	P		1 ^m 93	3	
24.323	1.1	105.2	P	1.28	2		24.416	1.7 343.5	P		2.01	2	
21.359		96.0		0.76	(2)		24.438	2.6 344.6	P		1.89	2	
22.344		98.6		1.01	(3)		24.441	2.7 344.2	P		1.93	2	
24.323		105.2		1.28	(1)		24.421	344.1			1.94	(4)	
1 Dist. unsicher													
2 mit Hexagonblende													
Bu 6296	Z 1687	35	com.				Bu 6455	Z 1734					
			AC	9 ^m 0			13 ^h 16 ^m 9 + 3°20'				7 ^m 2	7 ^m 9	
22.243	23 ^h 8	125 ^m 2	..bs	28 ^m 74	2		24.416	0 ^h 8 187 ^m 7	P		1 ^m 25	2	
22.336	1.7	126.4	..bs	23.53	2								
22.290		125.8		28.64	(2)		Bu 6482	Z 1744	f urs.maj.				
Bu 6318	Z 1695						13 ^h 20 ^m 9 + 55°19'				2 ^m 1	4 ^m 2	
	12 ^h 53 ^m 7 + 54°30'			6 ^m 3	8 ^m 2		22.440	2 ^h 5 150 ^m 7	P		14 ^m 72	3	
22.454	5 ^h 2 284 ^m 5	P		3 ^m 71	2		22.482	3.6 150.1	P		14.65	3	
22.473	4.3 283.6	P		3.61	3		23.514	5.1 149.6	P		14.50	3	
22.482	3.8 282.4	P		3.75	3		24.515	3.7 150.5	P		14.36	3	
22.470		283.5		3.89	(3)		23.238	150.2			14.56	(4)	
Bu 6329	Z 1699						Bu 6494	OZ 266					
	12 ^h 55 ^m 1 + 27°53'			7 ^m 8	7 ^m 8		13 ^h 24 ^m 8 + 16° 6'				7 ^m 3	7 ^m 8	
24.389	1 ^h 9	5 ^m 7	P	1 ^m 45	3		23.426	1 ^h 2 345 ^m 6	P		1 ^m 72	3	1
24.433	2.0	4.6	P	-	4		24.315	23.9 345.5	P		1.93	2	
24.411		5.2		1.45	(2,1)		24.367	1.6 345.6	P		1.95	2	
							24.389	0.6 346.8	P		1.71	3	
							24.124	345.9			1.83	(4)	
							1 schwierig						

Epoche	t	p		s	B	Bem.	Epoche	t	p		s	B	Bem.
Bu 6524 O 2 269													
13 ^h 29 ^m 5 + 35°17'				675	720		22.405	2 ^h 7	125.5	P	1.81	2	
23.432	1 ^h 9	243.8	:	-	1	1	22.421	1.8	119.8	P	1.70	2	
1 länglich, unsicher							22.454	2.4	120.9	P	1.90	2	
							23.426	1.2	122.2	P	1.65	3	
							23.432	1.9	120.6	P	1.71	1	
							23.492	2.9	125.3	P	1.80	3	
							24.389	1.6	120.8	P	1.49	3	
							24.416	1.2	122.5	P	1.66	2	
							24.438	1.7	121.2	P	1.71	2	
							24.441	2.2	121.2	P	1.81	3	
Bu 6527 Z 1758													
13 ^h 29 ^m 8 + 49°31'				870	872		21.371		122.7		1.54	(4)	
22.440	2 ^h 6	301.2	P	3.99	4		22.427		122.1		1.80	(3)	
22.454	4.8	302.4	P	3.63	2		23.450		122.7		1.72	(3)	
22.470	4.3	303.8	P	3.82	3		24.421		121.4		1.67	(4)	
22.482	3.8	304.2	P	4.04	4								
22.462				302.9	3.87	(4)							
Bu 6530 Z 1757							Bu 6578 B 612						
13 ^h 30 ^m 4 + 0° 4'				778	879		13 ^h 36 ^m 0 + 11° 7'				670	670	
21.323	22 ^h 0	86.3	..	-	3	1	22.336	1 ^h 2	63.2	..	-	2	1
21.329	23.3	87.5	..bs	2.97	2		22.421	2.0	59.0	P	-	2	1
21.354	23.2	87.5	..bs	2.86	2								
21.367	0.1	86.7	..bs	3.01	3		22.378		61.1		-	(2)	
22.336	1.2	88.8	P	2.67	2		1 länglich						
22.397	0.3	90.5	..	2.80	3								
22.399	0.6	90.8	..bs	2.96	2								
24.315	0.0	88.1	P	2.74	2								
24.416	1.0	88.9	P	2.79	2								
21.343		87.0		2.95	(4,3)		Bu 6641 Z 1785						
22.377		90.0		2.81	(3)		13 ^h 45 ^m 9 + 27°22'				772	775	
24.366		88.5		2.76	(2)		21.323	22 ^h 7	11.7	:	1.33	3	
1 durch Wolken							21.329	22.2	18.3	..	1.53	2	
							21.351	22.5	16.4	..	1.24	1	
							21.400	1.5	17.1	..	0.80	2	
							21.438	2.4	16.8	:	1.01	2	
Bu 6566 Z 1768 25 can. ven.							22.287	23.2	19.2	P	0.81	3	
13 ^h 34 ^m 2 + 36°40'				577	776		22.336	1.5	21.4	P	-	2	1
21.318	20 ^h 6	121.8	:	1.85	2		22.350	23.3	16.8	:	1.10	3	
21.329	22.1	120.3	:	1.64	2		22.405	2.7	22.7	P	1.20	2	
21.400	1.2	123.1	..	1.30	1		22.418	0.5	20.3	:	1.02	3	
21.438	2.2	125.7	..	1.36	2		22.427	0.8	19.1	P	1.02	3	

Epoche	t	p		s	B	Bem.	Epoche	t	p		s	B	Bem.
23.418	2 ^h 4	26°0	P	1708	2		Bu 6780 Σ 1819						
23.426	1.2	28.3	P	1.13	3		14 ^h 11 ^m 6 + 3°28'				779	870	
23.432	1.9	26.5	P	1.12	1		21.854 22 ^h 8 340°0 :				1726	2	
23.492	3.2	28.2	P	1.10	2		21.367 23.6 343.7 :bs				1.23	3	
24.315	23.9	33.9	P	1.08	2		21.373 23.1 341.6 :				1.00	3	
24.389	0.6	32.1	P	0.88	3		22.397 23.8 341.6 :				-	3	
24.416	0.0	34.3	P	1.14	1		22.399 0.1 338.5 :				-	4	1
24.438	1.8	35.5	P	1.15	3		22.494 2.2 340.4 P				0.91	2	
21.368		17.9		1.18	(5)		23.426 1.0 337.0 P				1.13	3	
22.370		19.9		1.15	(6,5)		23.432 1.6 338.5 P				1.13	2	
23.442		27.2		1.11	(4)		24.323 0.0 338.4 P				1.37	3	
24.390		34.0		1.06	(4)		24.367 0.6 336.8 P				1.11	2	
1 Wolken							24.389 1.3 337.9 P				1.10	3	
							24.416 0.9 337.9 P				1.32	2	
							24.438 1.7 337.7 P				1.17	3	
							21.365		341.8		1.16	(3)	
							22.430		340.2		0.91	(3,1)	
							23.429		337.8		1.13	(2)	
							24.387		337.7		1.21	(5)	
							1 schlechtes Bild						
Bu 6729 Σ 1804													
14 ^h 478 + 21°33'				870	970								
22.440 2 ^h 3 17°3 P				5706	4								
Bu 6776 Σ 1820							Bu 6795 Σ 1825						
14 ^h 10 ^m 6 + 55°40'				872	875		14 ^h 13 ^m 1 + 20°28'				678	875	
23.506 1 ^h 5 85°9 :				2751	3		22.440 2 ^h 5 168°8 P				4743	4	
							22.449 1.6 169.1 P				4.58	3	
							23.418 1.1 169.4 P				4.30	2	
							24.389 1.4 169.8 P				4.39	3	
							24.430 0.6 169.2 P				4.35	4	
							24.433 1.0 170.2 P				4.26	4	
							22.769		169.1		4.44	(3)	
							24.417		169.7		4.33	(3)	
Bu 6778 Σ 1821							Bu 6832 Σ 1834						
14 ^h 10 ^m 8 + 52° 8'				571	772		14 ^h 17 ^m 6 + 48°50'				771	772	
23.514 4 ^h 4 235°8 Pbs				13720	3		22.454 4 ^h 1 283°4 ..				0755g	2	
24.515 3.1 237.1 Pbs				13.45	3								
24.014		236.4		13.32	(2)								

Epoche	t	p		s	B	Bem.	Epoche	t	p		s	B	Bem.
Bu 6948 Σ 1863							Bu 6958 Σ 1867						
14 ^h 35 ^m 5 + 51°54'				7 ^m 1	7 ^m 4		14 ^h 37 ^m 6 + 31°36'				7 ^m 7	8 ^m 2	
22.454	4 ^h 0	82°4	P	0 ^m 55g	2		23.432	1 ^h 4	13°6	P	0 ^m 93	2	
							23.492	2.5	9.3	P	0.89	2	
							24.389	1.3	6.2	P	0.90g	2	
							24.441	1.4	12.9	P	1.09	3	
Bu 6954 Σ 1864							23.462		11.4		0.91	(2)	
14 ^h 37 ^m 2 + 16°44'				4 ^m 9	6 ^m 0		24.415		9.6		1.00	(2)	
24.389	2 ^h 0	105°6	P	5 ^m 77	2		Bu 6975 Σ 1871						
24.430	0.7	105.9	P	5.77	4		- 14 ^h 38 ^m 9 + 51°42'				7 ^m 0	7 ^m 0	
24.433	0.9	106.0	P	5.91	3		22.473	3 ^h 3	295°8	P	1 ^m 75	2	
24.515	2.1	105.8	P	5.91	3		23.506	1.3	298.2	P	1.96	3	
24.442		105.8		5.84	(4)		23.514	3.1	297.7	P	1.81	3	
							24.515	2.4	298.0	P	2.07	3	
Bu 6955 Σ 1865 \S Boot.							23.502		297.4		1.90	(4)	
14 ^h 37 ^m 6 + 14° 3'				3 ^m 5	3 ^m 9		Bu 6993 Σ 1877						
21.354	22 ^h 5	139°7	:	1 ^m 02	2		14 ^h 41 ^m 7 + 27°23'				3 ^m 0	6 ^m 3	
21.356	22.7	140.0	:	1.06	2		23.412	22 ^h 9	332°2	P	3 ^m 52	3	
21.518	3.2	139.3	..	0.69	2		23.418	0.9	332.7	P	3.49	2	
22.287	22.6	140.3		-	3		23.432	23.6	334.2	P	3.41	2	
22.397	1.4	137.0	P	-	2		23.492	2.6	333.6	P	3.33	2	
22.405	2.1	133.8	P	1.07	3		24.389	1.4	333.9	P	3.05	2	
22.418	23.8	138.8	P	1.11	3		24.433	0.7	334.4	P	3.18	3	
22.421	23.7	136.5	P	1.16	2		24.438	1.4	333.9	P	3.21	2	
22.454	1.5	136.6	P	0.97	2		24.515	2.0	335.8	P	3.24	3	
23.412	23.0	136.9	P	-	3		23.438		333.2		3.44	(4)	
23.432	23.6	136.9	P	0.88	2		24.444		334.5		3.17	(4)	
23.516	2.1	137.5	P	1.09	3		Bu 6999 Σ 1879						
24.367	23.8	138.6	P	0.90	2		14 ^h 42 ^m 6 + 9°58'				7 ^m 8	8 ^m 8	
24.389	1.2	135.9	P	1.00	3		21.354	22 ^h 5	110°1	..	0 ^m 95	1	
24.416	0.6	137.4	P	1.00	2		21.356	22.8	113.0	..	1.02	2	1
21.409		139.7		0.92	(3)		22.418	23.8	109.0	..	1.04	3	
22.397		137.2		1.08	(6,4)								
23.453		137.1		0.98	(3,2)								
24.391		137.3		0.97	(3)								

Epoche	t	p		s	B	Bem.	Epoche	t	p		s	B	Bem.
22.421	23 ^h 9	112 ^m 6	P	0.99	2		Bu 7031 Z 1890						
22.454	1.6	112.5	P	0.88	1		14 ^h 47 ^m 2 + 49° 2'				5 ^m 8	6 ^m 5	
22.494	1.9	115.0	..	0.75g	2		22.473	3 ^h 6	45 ^m 9	P	3 ^m 46	2	
23.432	1.4	114.1	P	0.92	2								
23.492	1.3	114.0	P	0.97g	2								
24.367	23.9	114.6	P	0.90g	2								
21.355		111.6		0.98	(2)		Bu 7034 Z 1888 § Bootis						
22.447		112.3		0.92	(4)		14 ^h 48 ^m 0 + 19° 25'				4 ^m 7	6 ^m 6	
23.764		114.2		0.93	(3)		21.315	23 ^h 4	59 ^m 5	..bs	3 ^m 12	2	1
1 durch Wolken							21.321	20.4	59.4	..bs	3.00	1	
							21.323	21.6	60.1	..bs	3.24	3	
Bu 7001 OZ 285							21.329	21.5	62.8	..	2.87	3	
14 ^h 42 ^m 7 + 42° 41'				7 ^m 1	7 ^m 6		22.399	23.9	56.3	..bs	3.00	2	
21.447	2 ^h 0	91 ^m 7 :		0.39g	2		22.405	2.1	53.1	P	3.15	3	
21.477	3.0	94.4 :		0.29g	2	1	22.418	23.9	53.8	P	3.24	3	
21.512	4.1	93.7 :		0.34g	2	1	22.421	0.0	54.4	P	3.07	3	
21.515	2.6	93.2 :		0.34g	2		22.427	0.0	52.9	P	2.94	3	
22.451	2.5	78.3 P		0.30g	2	2	22.449	1.4	53.6	P	2.89	3	
22.494	2.0	83.2 ..		0.50g	2		22.468	1.4	49.9	P	2.90	4	
23.544	3.5	84.6 P		0.50g	1		23.412	23.1	48.4	P	3.23	3	
24.515	3.0	80.2 P		0.60g	2		23.418	1.0	48.1	P	3.21	2	
21.488		93.2		0.34	(4)		23.432	1.8	48.6	P	3.03	2	
22.472		80.8		0.40	(2)		23.481	1.3	47.1	P	3.06	3	
24.030		82.4		0.55	(2)		23.492	1.4	47.6	P	3.15	3	
1 nur zeitweise getrennt							23.506	2.7	47.0	P	3.07	3	
2 hat schwachen Begl.C.							24.323	23.7	47.9	P	3.07	3	
							24.367	0.4	46.1	P	3.17	2	
Bu 7013 Z 1883							24.389	1.5	45.9	P	3.39	2	
14 ^h 45 ^m 2 + 6° 16'				7 ^m 0	7 ^m 0		24.416	0.8	46.3	P	3.32	2	
23.432	1 ^h 7	203 ^m 5 :		-	2	1	24.430	0.2	45.9	P	3.52	4	
1 unsicher, länglich							24.433	0.8	45.4	P	3.46	3	
							21.322		60.4		3.06	(4)	
							22.427		53.7		3.03	(7)	
							23.457		47.8		3.12	(6)	
							24.393		46.2		3.32	(6)	
							1 Wolken						

1 gut getrennt 2 nur zuweilen getrennt

Epoche	t	p		s	B	Bem.	Epoche	t	p		s	B	Bem.
Bu 7251 I 1937 η cor.bor.							Bu 7273 I 1944						
15 ^h 20 ^m 1 + 30°33'				572	577		15 ^h 24 ^m 0 + 6°21'				775	871	
21.315	19 ^h 4	99 ^m 4 ..	-	3	1		24.367	0 ^h 2	326 ^m 4 P	-	3	1	
21.359	21.3	103.9 ..	0.64	2			24.416	0.6	327.4 P	0.98	2		
21.370	21.4	110.9 :	0.49g	2			24.433	1.2	327.2 P	0.98	2		
21.389	21.4	102.8 :	0.60	2	2		24.441	1.1	324.2 P	0.96	2		
22.405	1.9	117.5 P	0.60g	2			24.414		326.3	0.97(4,3)			
22.451	1.3	117.2 P	0.75g	2			1 unsicher, verschleiert						
22.454	1.3	118.4 P	0.55g	1									
22.494	2.0	118.4 ..	-	2	3								
22.552	2.4	116.5 P	0.70g	3									
23.432	1.7	125.5 P	0.76g	2									
23.492	2.2	125.7 P	0.81g	2									
23.516	1.2	132.7 P	0.59g	2									
23.544	2.3	126.5 P	0.70g	2									
24.441	1.0	142.9 P	0.75g	2									
24.507	0.9	138.5 P	-	3	3								
24.512	2.1	144.7 P	0.90g	2									
21.358			104.2	0.58(4,3)									
22.471			117.6	0.65(5,4)									
23.496			127.6	0.72(4)									
24.487			142.0	0.82(3,2)									
1 nur zeitweise getrennt													
2 Dist. unsicher 3 länglich													
Bu 7259 I 1938 μ 2 Bootis													
15 ^h 21 ^m 7 + 37°36'				677	773								
21.321	20 ^h 6	45 ^m 9 ..	1.36	2									
21.359	21.0	49.0 ..bs	1.23	2									
21.370	21.3	47.9 ..bs	1.03	2									
22.418	23.6	47.4 P	1.25	3									
22.552	2.7	45.9 P	1.40	2									
22.617	5.4	46.7 P	1.26	3									
23.492	2.5	45.6 P	1.40	2									
23.506	2.4	45.3 P	1.41	3									
23.544	2.5	43.8 P	1.43	2									
24.512	2.5	43.4 P	1.41	2									
21.350			47.6	1.21(3)									
22.529			46.7	1.30(3)									
23.514			44.9	1.41(3)									
24.512			43.4	1.41(1)									

Epoche	t	p	s	B	Bem.	Epoche	t	p	s	B	Bem.
22.451	2.5	207.1	P	0.74	2	Bu 7367 B 619					
22.552	2.6	209.9	P	0.70g	2	15 ^h 39 ^m 7 + 13°54'					
22.617	5.0	209.3	P	0.70	3	6.5 7.0					
23.492	2.4	215.9	P	0.97g	2	21.370	21.4	9.6 :	-	2	1
23.516	2.0	210.8	P	0.92g	3	21.438	1.1	2.3 :	-	2	1
23.544	2.4	210.8	P	0.59g	1	21.447	1.7	8.1 :	0.34	2	1
24.512	2.5	216.0	P	0.72	2	21.485	2.8	13.4 :	0.49	2	
24.515	2.7	215.2	P	0.74	2	22.418	23.3	1.3 :	-	2	2
						22.421	23.3	359.1 P	0.40g	2	
21.464		208.7		0.59	(4)	22.454	1.1	0.9 P	-	1	2
22.540		208.8		0.71	(3)	22.454	1.2	1.3 :	-	1	2
23.517		212.5		0.83	(3)	22.494	1.9	7.8	-	2	3
24.514		215.6		0.73	(2)	24.441	0.9	2.6 P	-	2	2
1 nur zuweilen getrennt											
						21.435		8.4	0.42	(4,2)	
						22.448		2.1	0.40	(5,1)	
						24.441		2.6	-	(1,0)	
						1 nur zeitweise getrennt 2 länglich					
						3 länglich, zweifelhaft					
Bu 7352 Z 1965											
15 ^h 36 ^m 6 + 36°53'											
22.500	2.9	303.4	P	6.33	4	Bu 7381 BD + 36°2640 Pritschett					
22.519	2.5	303.7	P	6.35	3	15 ^h 41 ^m 9 + 35°50'					
24.433	0.6	304.4	Pbs	6.37	3	9.4 9.5					
24.515	2.8	303.1	P	6.29	2	21.512	3.8	226.2 :	5.04	3	
22.514		303.6		6.34	(2)						
24.474		303.8		6.33	(2)						
Bu 7368 Z 1967 y Coron.						Bu 7414 B 621					
15 ^h 39 ^m 6 + 26°32'						15 ^h 47 ^m 4 + 44°44'					
21.354	22.4	104.8 :	-	2	1	7.5 8.0					
21.356	21.5	117.4 :	-	2	2	24.515	2.5	53.4 :	-	2	1
21.373	21.1	125.5 :	-	2	3	1 länglich					
21.447	1.7	117.1 ..	0.54	2	4						
22.454	1.5	110.8 ..	-	1	5	Bu 7416 Z 1989					
21.597		115.1		0.54	(5,1)	15 ^h 43 ^m 7 + 80°12'					
1 zweifelhaft 2 kaum getrennt						7.1 8.1					
3 schwierig, kaum getrennt						21.370	22.4	225.5 :	-	1	1
4 schwierig 5 keilförmig						1 länglich					

Epoche	t	p	s	B	Bem.	Epoche	t	p	s	B	Bem.
Bu 7433 Σ 1985											
	15 ^h 52 ^m 0	1°57'	7 ^m 0	8 ^m 1		21.796	8 ^h 7	113°0	P	-	3
24.430	23 ^h 8	341°5	P	5 ^m 84	4	21.821	4.1	114.1	:	1 ^m 33	2
24.431	0.1	340.9	P	5.99	3	21.821	4.2	113.6	P	-	2
24.438	0.4	340.9	P	5.93	2	21.712		113.6		1.19(8,4)	
24.434		341.1		5.92	(3)	ohne Prisma 114.0					
						mit " 113.3					
Bu 7440 Σ 1988						Bu 7551 Σ 2021					
	15 ^h 53 ^m 2	+ 12°42'	7 ^m 5	8 ^m 2			16 ^h 9 ^m 8	+ 13°43'	6 ^m 7	6 ^m 9	
22.500	1 ^h 8	260°5	P	2 ^m 73	4	22.500	1 ^h 2	340°0	P	4 ^m 22	3
24.433	0.4	259.5	P	2.50	3	22.508	1.7	339.1	P	4.08	3
24.438	0.6	260.6	P	2.58	2	22.769	3.0	338.4	P	4.29	3
23.790		260.2		2.60	(3)	23.412	23.2	339.2	P	4.42	3 1
						23.506	1.9	339.8	P	4.25	2
						23.514	0.7	340.6	P	4.35	3
						24.430	23.9	340.2	P	4.47	4
						22.592		339.2		4.20	(3)
						23.716		340.0		4.37	(4)
Bu 7487 Σ 1998 ξ Scorpii						1 Wolken					
	16 ^h 0 ^m 2	- 11°11'	AB 4 ^m 9	5 ^m 2		Bu 7561 Σ 2026					
21.485	1 ^h 0	5°1	0 ^m 73g	2	1		16 ^h 12 ^m 2	+ 7°34'	8 ^m 6	9 ^m 1	
1 unsicher						21.447	1 ^h 6	66°5	:	-	2 1
						21.485	1.2	68.4	..	0.39g	1
Bu 7487 Σ 1998 ξ Scorpii						21.537	2.6	61.0	:	0.54g	1
			AB:C 7 ^m 2			21.490		65.3		0.46	(3)
21.485	1 ^h 2	58°0	..bs	7 ^m 30	2	1 Wolken stören					
						Bu 7563 Σ 2032 σ cor.bor.					
Bu 7524 Σ 2034							16 ^h 11 ^m 9	+ 34° 3'	AB 5 ^m 0	6 ^m 1	
	15 ^h 57 ^m 8	+ 83°51'	7 ^m 5	8 ^m 0		21.323	20 ^h 8	220°7	..bs	5 ^m 66	3
21.610	3 ^h 5	114°1	:	1 ^m 23	3	21.359	20.7	219.6	..bs	5.30	2
21.610	3.7	112.8	P	-	3	21.367	20.4	220.1	..bs	5.21	3
21.621	3.0	114.3	:	1.16	3						
21.621	3.3	113.7	P	-	3						
21.796	8.5	113.4	..	1.05	2						

Epoche	t	p		s	B	Bem.	Epoche	t	p		s	B	Bem.
21.373	20.8	219.2	..bs	5.16	2		Bu 7637	Z	2049				
21.389	20.8	219.3	..bs	5.45	2				16 ^h 24 ^m 8 + 26° 8'		6.75	7.75	
21.458	2.5	219.6	: bs	5.42	3		24.512	2.9	207.4	P	0.98	2	
22.468	2.5	220.5	P	5.26	3		24.515	2.2	205.5	P	1.42	3	
22.494	2.1	220.0	P	5.27	2		24.615	2.4	202.6	P	-	3	
22.552	2.2	219.8	P	5.55	2		24.654	5.0	208.2	P	1.23	2	
22.617	3.3	221.0	P	5.27	3		24.574		205.9		1.21(4,3)		
22.769	3.3	219.5	P	5.44	3								
23.412	23.1	220.1	P	5.39	3		Bu 7649	Z	2055	λ Ophiuchi			
23.506	2.1	220.8	P	5.41	3				16 ^h 27 ^m 1 + 2° 9'		4.70	6.71	
23.516	1.6	219.7	P	5.38	3		21.485	1.1	88.8	..	0.749g	2	
24.512	2.9	220.7	P	5.46	2		21.512	1.2	92.8	..	0.73g	2	
24.616	2.5	221.0	P	5.49	2		21.518	1.6	91.2	..	0.54g	2	1
21.378		219.8		5.37	(6)		21.537	1.1	86.7	..	0.59g	1	
22.580		220.2		5.36	(5)		21.540	1.9	86.6	..	0.77	1	
23.478		220.2		5.39	(3)		22.399	23.9	88.1	P	0.85	2	
24.564		220.8		5.48	(2)		22.454	1.0	89.0	P	0.90	2	
Bu 7563	Z	2032	δ cor. bor.				23.492	1.9	95.0	P	0.90	2	
			AC 10 ^m 5				23.544	0.9	91.1	P	0.82	2	
21.359	20.9	85.9	bs	67.08	2		23.593	0.9	90.6	P	0.95	2	
21.367	20.6	85.3	..bs	67.25	3		24.438	0.2	94.3	P	-	3	
21.373	21.0	84.9	..bs	67.14	3		24.441	0.3	94.3	P	0.88	2	
21.366		85.4		67.16	(3)		21.518		89.2		0.62	(5)	
Bu 7616	Ku	53					22.426		88.6		0.88	(2)	
		16 ^h 20 ^m 2 + 38°26'		9.7	10.1		23.543		92.2		0.89	(3)	
21.512	2.3	50.2	:	5.68	3		24.440		94.3		0.88(2,1)		
Bu 7634	O	312	η Drac.				1 durch Wolken						
		16 ^h 23 ^m 0 + 61°41'		2.1	8.1		Bu 7673	O	313				
23.734	4.2	141.2	P	5.33	2				16 ^h 30 ^m 0 + 40°16'		7.2	7.8	
							22.761	3.5	144.0	P	0.85	3	
							22.785	3.6	144.1	P	0.73	1	
							22.802	3.2	149.0	P	1.04	2	
							23.610	2.8	146.7	P	0.95	2	
							22.990		146.0		0.89	(4)	

Epoche	t	p		s	B	Bem.	Epoche	t	p		s	B	Bem.
Bu 7717 Σ 2084 $\{$ Herc.													
16 ^h 38 ^m 5 + 31 [°] 44'				3 ^m 0	6 ^m 5								
21.447	1 ^h 9	80 [°] 9	..	1 ^m 82	2		23.544	2 ^h 1	211 [°] 5	P	0 ^m 54g	1	
21.466	2.9	78.0	:	1.73	2		23.734	4.1	214.2	:	-	2	3
21.474	1.4	77.7		1.42	3	1	24.684	3.0	211.2	:	0.50	2	
21.562	1.4	77.5	:	1.64	2								
21.518	1.9	81.7		1.77	3	2	21.499		230.8		0.34	(4,3)	
22.766	2.9	75.6	P	1.75	2		22.738		219.8		0.58	(4,3)	
22.802	2.9	77.9	P	1.90	2		23.987		212.3		0.52	(3,2)	
23.544	1.9	69.9	P	1.86	1		1 nicht sicher getrennt						
23.610	3.5	68.4	P	1.84	2		2 gut getrennt 3 länglich						
24.441	0.6	67.5	P	1.74	2								
24.512	1.7	68.2	P	1.82	2	3							
24.684	3.4	65.8	P	-	3								
21.493		79.2		1.68	(5)		Bu 7765 Kü 55						
22.784		76.8		1.82	(2)		16 ^h 45 ^m 1 + 14 [°] 58'				9 ^m 5	10 ^m 1	
23.577		69.2		1.85	(2)		21.512	1 ^h 6	46 [°] 2	:	2 ^m 78	3	1
24.546		67.2		1.78	(3,2)		1 schwierig						
1 Dist. unsicher 2 durch Wolken													
3 mit Hexagonblende													
Bu 7739 Σ 2094													
16 ^h 41 ^m 0 + 23 [°] 38'				7 ^m 3	7 ^m 6		Bu 7783 Σ 2107						
24.515	2 ^h 3	76 [°] 5	P	1 ^m 56	3		16 ^h 48 ^m 9 + 28 [°] 48'				6 ^m 5	8 ^m 0	
							21.400	22 ^h 8	44 [°] 0	..	0 ^m 54g	2	
							21.438	2.0	38.4	:	0.85	2	1
							21.458	2.0	38.3	:	-	3	
							21.474	1.2	31.3	:	-	3	2
							21.562	1.4	31.4	:	0.59g	2	
							22.766	3.0	37.1	:	0.90	2	
							23.544	1.9	30.9	:	0.81g	2	
							24.515	2.0	38.7	:	0.90g	2	
							24.684	3.0	38.4	P	0.90g	2	
Bu 7748 Δ 15							21.466		36.7		0.66	(5,3)	
16 ^h 41 ^m 6 + 43 [°] 37'				8 ^m 0	8 ^m 2		23.155		34.0		0.86	(2)	
21.466	3 ^h 0	225 [°] 9	:	0 ^m 39g	2		24.600		38.6		0.90	(2)	
21.496	2.2	230.3	:	0.29g	1		1 Dist. unsicher						
21.512	3.1	232.2	:	0.34g	2		2 nicht deutlich getrennt						
21.523	2.0	234.8	:	-	2	1							
22.617	4.5	218.4	:	0.60g	2								
22.766	3.1	220.7	:	0.55g	1								
22.785	3.6	219.6	P	-	1								
22.785	3.8	220.7	:	0.60g	1	2							

Epoche	t	p		s	B	Bem.	Epoche	t	p		s	B	Bem.
Bu 7834 Σ 2118 20 Drac.													
	16 ^h 56 ^m 0 + 65° 9'			6 ^m 4	6 ^m 9		24.616	1 ^h 8	179:8	Pbs	7 ^m 25	3	
							24.624	2.3	181.6	Pbs	7.60	4	
21.348	18 ^h 9	84:8	:	0 ^m 55	1		23.664		181.3		7.50	(3)	
21.562	0.4	81.2	..	0.34	2		24.620		180.7		7.42	(2)	
21.588	5.9	78.8	:	0.59g	2								
21.632	2.4	80.1	:	0.39g	1								
22.372	20.2	87.8		0.55g	2								
21.700		82.5		0.48	(5)								
							Bu 7914 Σ 2140 α Herc.						
Bu 7837 Σ 2114								17 ^h 11 ^m 2 + 14°28'			3 ^m 0	6 ^m 1	
	16 ^h 58 ^m 4 + 8°33'			6 ^m 2	7 ^m 4		24.627	2 ^h 4	110:5	P	4 ^m 83	4	
24.441	0 ^h 4	170:5	P	1 ^m 22	2								
							Bu 7935 H.C.Wilson 15						
Bu 7878 Σ 2130 μ Drac.								17 ^h 13 ^m 6 + 26°40'		AB	8 ^m 3	9 ^m 3	
	17 ^h 3 ^m 8 + 54°34'			5 ^m 0	5 ^m 1		22.766	2 ^h 8	49:0	:	-	1	1
21.367	19 ^h 9	125:0	: bs	2 ^m 40	3		1 länglich, gelbrot						
21.466	2.8	123.5	..bs	2.60	2								
21.474	1.9	123.6	: bs	2.49	2		Bu 7935 H.C.Wilson 15						
21.542	2.1	124.0	..bs	2.36	1			AB:C = 2145		8 ^m 0	9 ^m 5		
22.372	20.2	122.5	P	2.31	2		22.766	2 ^h 9	179:8	..	14 ^m 16	1	
22.617	3.3	122.6	P	2.44	3								
22.761	3.2	122.2	P	2.50	2								
22.769	2.9	122.4	P	2.44	3								
23.734	3.9	121.7	P	2.67	2								
23.745	4.4	121.8	P	2.60	4								
21.462		124.0		2.46	(4)								
22.630		122.4		2.42	(4)								
23.740		121.8		2.64	(2)								
							Bu 8003 2161 ϕ Herc.						
Bu 7898 Σ 2135								17 ^h 21 ^m 1 + 37°13'		4 ^m 0	5 ^m 1		
	17 ^h 8 ^m 9 + 21°18'			7 ^m 1	8 ^m 4		24.627	2 ^h 4	314:5	P	4 ^m 13	3	
23.506	1 ^h 3	180:4	: bs	7 ^m 59	3		24.635	3.0	313.4	P	4.14	2	
23.742	1.8	181.0	P	7.49	4		24.684	2.2	313.9	P	4.09	2	
23.745	2.3	182.4	Pbs	7.43	4		24.687	2.4	315.0	P	4.17	3	
							24.658		314.2		4.13	(4)	

Epoche	t	p	s	B	Bem.	Epoche	t	p	s	B	Bem.
Bu 8004	I	2163				Bu 8100	B	631 155	Oph.		
17 ^h 21 ^m 0 + 42°13'			9 ^m 2	9 ^m 2		17 ^h 36 ^m 1 - 0°37'			7 ^m 0	7 ^m 0	
22.766	3 ^h 2	86°4 :	1 ^m 74	2		21.466	1 ^h 2	232°1 :	-	2	1
22.785	3.3	86.1 :	1.50	2		21.562	1.2	236.2 :	-	2	2
22.776		86.2	1.62	(2)		21.529	0.2	243.8 :	-	2	2
						22.582	1.2	236.1 :	-	1	2
						21.785		237.0	-	(4)	
						1 Quadrant ?	2	länglich			
Bu 8017	I	2165				Bu 8118	I	2199			
17 ^h 23 ^m 3 + 29°31'			7 ^m 0	8 ^m 5		17 ^h 37 ^m 2 + 55°47'			7 ^m 2	7 ^m 8	
23.745	2 ^h 2	56°0 Fbs	8 ^m 58	4	1	22.761	2 ^h 8	80°9 P	1 ^m 89	3	
24.616	1.8	56.0 P	8.46	3		22.769	2.7	79.7 P	1.69	3	1
24.627	2.0	55.9 P	8.28	4		23.734	3.5	80.3 P	1.76	2	
24.635	2.8	55.9 P	8.33	2		23.088		80.3	1.78	(3)	
24.406		56.0	8.41	(4)		1 durch Wolken					
1 Wolken						Bu 8127	I	2203			
Bu 8038	I	2173				17 ^h 38 ^m 9 + 41°41'			7 ^m 5	7 ^m 8	
17 ^h 26 ^m 6 - 1° 0'			5 ^m 8	6 ^m 1		22.766	3 ^h 1	315°7 P	0 ^m 74	1	
21.447	0 ^h 3	333°7 :	0 ^m 64	2		22.785	3.2	314.3 P	0.68	1	
21.466	1.2	328.3 ..	0.66	2		22.776		315.0	0.71	(2)	
21.474	0.7	325.1 ..	0.59g	2		Bu 8145	I	2218			
21.477	0.2	330.1 :	0.69	2		17 ^h 39 ^m 8 + 63°43'			6 ^m 5	7 ^m 7	
22.399	22.8	327.4 P	-	2		23.734	3 ^h 8	341.5 P	2 ^m 15	3	
22.454	0.0	326.6 P	0.71	2		23.745	4.1	339.7 P	2.37	4	
22.494	0.1	329.8 P	0.60g	2		23.740		340.6	2.26	(2)	
22.552	1.2	326.4 P	0.75	2							
23.544	1.3	322.4 P	0.89	2							
23.593	0.1	325.5 P	0.89	2							
24.441	23.3	323.9 P	0.90g	2							
21.466		329.3	0.64	(4)							
22.475		327.6	0.69	(4,3)							
23.859		323.9	0.89	(3)							

Bu 8372	A.C. 15	
18 ^h 4 ^m 2	+ 30°33'	6 ^h 0 10 ^m 5
21.447	0 ^h 9 9 ^m 1 :	- 2 1
21.466	1.0 7.0 :	1 ^m 22 2 2
21.523	1.2 7.6 :	1.13 2
21.529	23.9 6.0 :	2 3
21.491	7.4	1.18(4,2)
1 schwierig	2 Dist. unsicher	
3 Begl. schwach		

Epoche	t	p		s	B	Bem.	Epoche	t	p		s	B	Bem.
Bu 8380 Σ 2281 73 Oph.							Bu 8421 Σ 2292						
	18 ^h	5 ^m 8 +	3°58'	5 ^m 7	7 ^m 2			18 ^h	9 ^m 1 +	27°37'	8 ^m 0	8 ^m 1	
21.472	0 ^h 9	65°2 :		0 ^m 44g	2		24.616	2 ^h 3	267°0	P	0 ^m 96	3	
21.485	0.1	72.5 ..		0.54g	2		24.627	1.8	265.4	P	0.90g	3	
21.496	0.2	76.4 ..		0.39g	2		24.635	1.7	264.8	P	0.95	2	
21.512	0.0	81.1 ..		0.39g	2	1	24.687	1.3	266.1	P	0.95	3	
21.523	1.3	80.8 ..		0.44g	2								
23.544	0.9	62.4	P	-	2	2	24.641		265.8		0.94	(4)	
21.840 73.1 0.44(6,5)													
1 schwierig 2 länglich													
Bu 8384 Σ 2283							Bu 8514 Σ 641						
	18 ^h	5 ^m 9 +	6° 8'	7 ^m 2	7 ^m 7			18 ^h	18 ^m 6 +	21°28'	7 ^m 1	9 ^m 0	
23.516	0 ^h 2	83°4 ..		0 ^m 81g	2		21.458	0 ^h 9	356°1 :		-	3	
23.610	1.1	77.2	P	0.91	2		21.466	0.3	353.3 :		0 ^m 49g	2	
23.734	1.1	80.4	P	0.86	2		21.479	0.9	351.8 ..		0.73g	2	
24.624	0.7	78.5	P	0.78	2		21.496	0.4	349.6 :		0.59g	1	
23.871 79.9 0.84							21.475		352.7		0.60(4,3)		
Bu 8398 Σ 2289							Bu 8622 Σ 354						
	18 ^h	6 ^m 8 +	16°27'	6 ^m 0	7 ^m 1			18 ^h	28 ^m 4 +	6°44'	7 ^m 2	8 ^m 0	
22.766	2 ^h 9	227°8	P	1 ^m 30	2		22.761	1 ^h 2	169°7 :		-	3	1
22.802	1.7	227.0	P	1.20	2		1 Wolken						
23.610	1.3	226.8	P	1.15	2								
24.512	0.4	230.5	P	1.32	2								
24.616	0.2	227.6	P	0.86	2								
22.784 227.4 1.25 (2)													
24.246 228.3 1.11 (3)													
							Bu 8663 Σ 358						
								18 ^h	32 ^m 5 +	16°55'	7 ^m 5	7 ^m 6	
							22.680	0 ^h 4	185°0	P	1 ^m 62	2	
							22.761	0.7	187.5	P	1.98	2	1
							22.799	1.5	185.5	P	2.18	4	
							22.802	1.4	187.1	P	2.03	2	

Epoche	t	p		s	B	Bem.	Epoche	t	p		s	B	Bem.
23.492	0h1	185°3	P	2.11	2		Bu 8930	Z 2422					
23.514	22.9	186.7	P	1.99	3		18h54m1	+ 25°59'		7.6	7.7		
23.610	1.0	185.4	P	2.11	2		22.761	0h4	90°2 ..		0.68	2	
23.646	0.9	186.4	P	-	4								
24.512	0.2	185.8	P	2.39	2		Bu 8933	B 648					
24.515	0.8	186.1	P	2.17	2		18h54m2	+ 32°48'		6.0	9.5		
24.616	23.6	184.7	P	1.88	2		21.523	0h7	219°8 :		1.15	2	
24.624	0.4	184.6	P	2.14	2		21.529	23.4	220.0 :		-	3	
24.627	0.0	186.5	P	1.86	3		21.627	2.4	216.6 :		1.21	3	
							21.690	2.1	220.4 :		0.74g	2	
22.760		186.3		1.95	(4)		21.592		219.2		1.03	(4,3)	
23.566		186.0		2.07	(4,3)								
24.579		185.5		2.09	(5)								
1 sehr unruhig													
Bu 8776 Z 2375													
		18h41m8	+ 5°25'		6.2	6.5							
24.512	0h9	116°9	P	2.65	2		Bu 8966	Z 2438					
24.616	0.2	117.1	P	2.66	2		18h56m2	+ 58° 8'		7.0	7.6		
24.624	0.4	116.1	P	2.42	4		21.588	3h6	197°7 :		0.54g	2	
24.627	0.0	116.1	P	2.70	3								
24.595		116.6		2.61	(4)								
Bu 8798 Z 2398													
		18h42m1	+ 59°29'		8.2	8.7							
21.588	3h6	154°5	..bs	16.95	2		Bu 9000	Z 2441					
21.607	2.0	154.1	..bs	16.98	3		18h59m8	+ 31°17'		7.7	9.3		
21.627	3.4	154.3	..bs	17.09	3		23.734	2h7	276°7 P		5.51	3	
21.607		154.3		17.01	(3)		23.745	3.0	275.2 P		5.56	4	
							24.753	1.0	278.1 P		5.65	3	
							24.077		276.7		5.57	(3)	
Bu 8909 B 137													
		18h51m4	+ 37°17'		8.2	8.7	Bu 9024	B 359					
24.616	1h4	139°3	..	1.14	3		19h 2m0	+ 23°19' AB		8.8	10.0		
24.635	1.8	145.1	P	1.24	2		22.552	0h8	81°6 P		4.49	2	
24.554	0.8	142.4	P	1.38	2		22.617	0.0	82.5 ..		4.45	3	
24.635		142.3		1.25	(3)		22.623	0.9	81.0 P		4.18	2	
							22.802	1.1	79.4 P		4.81	2	
							22.648		81.1		4.48	(4)	

Epoche	t	p		s	B	Bem.	Epoche	t	p		s	B	Bem.
Bu 9024 Σ 359							Bu 9155 Σ 2488						
AB:C							19 ^h 12 ^m 2 + 19°55' 8 ^m 5 9 ^m 7						
22.623	1 ^h 1	109°8	..bs	39 ^m 78	2		22.552	1 ^h 1	338°1	:	1 ^m 61	2	
22.802	1.4	109.2	..bs	39.97	2		22.802	1.6	333.4	..	1.44	2	
22.712		109.5		39.88	(2)		22.677		335.8		1.52	(2)	
Bu 9053 Σ 2461 17 Lyrae							Bu 9318 Σ 2524						
19 ^h 4 ^m 6 + 32°23' 5 ^m 7 9 ^m 8							19 ^h 23 ^m 5 + 25°20' 8 ^m 3 8 ^m 5						
22.623	1.3	312.6	P	3 ^m 76	3		23.646	0 ^h 3	95°2	P	6 ^m 26	4	
22.802	1.6	311.0	..	4.46	2		23.745	2.9	95.9	P	6.39	4	
22.712		311.8		4.11	(2)		24.616	0.1	96.6	P	6.00	3	
Bu 9114 Σ 2481							24.753	0.9	96.4	P	6.23	3	
19 ^h 8 ^m 6 + 38°39' A:BC 8 ^m 0 8 ^m 0							23.696		95.6		6.32	(2)	
21.493	22 ^h 9	37°4	..bs	4 ^m 25	3		24.684		96.5		6.12	(2)	
21.569	23.2	36.3	..bs	4.29	4	1	Bu 9319 Σ 2525						
21.692	22.2	37.3	..bs	4.09	2		19 ^h 23 ^m 5 + 27°10' 7 ^m 4 7 ^m 6						
21.722	2.3	34.6	:	4.42	1		21.458	0 ^h 0	306°8	..	0 ^m 78	3	
21.619		36.4		4.26	(4)		21.474	0.2	304.5		0.59g	2	
1 BC nicht getrennt							21.477	22.8	308.0	:	0.59g	3	
Bu 9114 Se 2							21.515	22.9	306.1	:	0.99	3	
BC 8 ^m 7 8 ^m 7							22.617	2.1	304.2	P	0.87	2	
21.722	2 ^h 2	95°5	..	0 ^m 39g	1	1	23.882	1.2	307.5	P	0.92	2	
1 gut getrennt							24.515	0.2	303.9	P	0.93	2	
Bu 9374 Σ 43 App I Σ Cygni							24.654	23.4	304.2	P	0.86	1	
19 ^h 27 ^m 7 + 27°48' 3 ^m 0 5 ^m 3							24.654	1.1	308.9	P	1.04	3	
							21.481		306.4		0.74	(4)	
							23.250		306.8		0.90	(2)	
							24.608		305.7		0.94	(3)	
							Bu 9374 Σ 43 App I Σ Cygni						
							19 ^h 27 ^m 7 + 27°48' 3 ^m 0 5 ^m 3						
							24.616	0 ^h 2	54°7	Pbs	34 ^m 49	3	
							24.753	1.1	54.3	Pbs	34.66	3	
							24.684		54.5		34.58	(2)	

Epoche	t	p		s	B	Bem.	Epoche	t	p		s	B	Bem.
Bu 9602 Σ 2576							Bu 9634 Σ 2583 π Aquilae						
19 ^h 42 ^m 7 + 33°26'				7 ^m 8	7 ^m 8		19 ^h 45 ^m 2 + 11°38'				6 ^m 0	6 ^m 8	
22.691	1 ^m 8	275.5	P	1.67	3		24.512	0 ^m 0	115.6	P	1.48	3	
22.785	3.4	269.8	P	2.02	2		24.627	23.2	112.5	P	-	4	
22.799	0.6	274.3	P	1.55	4		24.687	0.3	116.4	P	1.36	3	
22.802	1.3	274.5	P	1.84	2		24.753	0.7	114.0	P	1.36	3	
23.882	1.3	274.1	P	1.70	2		24.645 114.6 1.40(4,3)						
23.909	2.0	273.2	P	1.75	2								
24.615	0.1	274.8	P	1.60	3								
24.654	1.0	273.1	P	1.67	3								
24.753	2.0	273.5	P	1.52	3								
22.769		273.5		1.77	(4)								
23.896		273.6		1.72	(2)								
24.674		273.8		1.60	(3)								
Bu 9605 Σ 2579 ϵ Cygni							Bu 9650 0 Σ 387						
19 ^h 42 ^m 6 + 44°56'				3 ^m 0	7 ^m 9		19 ^h 45 ^m 9 + 35° 7'				7 ^m 2	8 ^m 2	
21.496	22 ^m 0	287.1	:	2.00	2		21.477	22 ^m 6	310.5	:	-	3	1
21.610	22.5	282.9	:	2.13	1	1	21.479	21.1	311.5	:	0.39	2	
21.692	22.3	264.4	..	1.90	2	2	21.493	22.1	314.6	:	0.39	3	
22.617	4.0	282.8	P	-	3		21.540	22.9	310.5	:	0.39	1	
22.691	2.0	276.0	P	1.96	2		21.695	20.7	308.2	..	0.39g	2	
22.785	3.4	275.0	P	2.38	2		23.909	2.4	306.2	..	0.74g	2	
23.882	3.0	274.8	:	2.48	3	1	21.537 311.1 0.39(5,4)						
							23.909 306.2 0.74 (1)						
21.599		278.1		2.01	(3)		1 kaum getrennt						
22.994		277.2		2.27	(4,3)								
1 mit Hexagonblende 2 Tageslicht													
Bu 9617 Σ 2580 χ Cygni							Bu 9713 Σ 2603 ϵ Drac.						
19 ^h 43 ^m 6 + 33°34'				5 ^m 1	8 ^m 1		19 ^h 48 ^m 4 + 70° 5'				4 ^m 0	7 ^m 6	
23.745	2 ^m 7	70.9	P	25.93	4		21.610	23 ^m 2	6.9	: bs	3.05	2	
24.616	0.3	70.5	P	25.92	3		21.610	23.3	8.9	P	-	2	
24.753	2.2	70.4	Pbs (25.14)	3			22.372	17.6	7.3	P	-	2	
							22.372	17.8	8.6	..bs	3.44	2	
24.371		70.6		25.92	(3,2)		21.610 7.9 3.05(2,1)						
							22.372 8.0 3.44(2,1)						

Epoche	t	p		s	B	Bem.	Epoche	t	p		s	B	Bem.
Bu 9833 OZ 395							Bu 10281 OZ 4						
	19h58m8	+ 24°43'		578	672			20h27m6	+ 11° 0'	BC 775	776		
23.882	1h3	110:9	P	0790	2		23.882	1h4	214:8	:	-	2	1
23.909	2.0	106.9	P	0.84	2		1 länzlich						
24.654	1.0	108.4	P	0.82	3		Bu 10281 Z 2690						
24.148		108.7		0.85	(3)					A:BC 770	772		
Bu 9926 Z 2628							24.641	23h4	255:0	Pbs	16710	2	
	20h 472	+ 9°11'		671	872		Bu 10363 B 151 B Delph.						
24.624	0h7	343:9	P	4728	3			20h34m0	+ 14°20'	AB 471	574		
24.641	0.2	346.6	P	4.02	3		21.466	22h7	348:2	:	0759g	2	1
24.632		346.2		4.15	(2)		21.474	23.1	351.7	:	0.49g	2	
Bu 9979 OZ 400							21.485	22.5	346.9	:	0.59g	2	
	20h 778	+ 43°43'		772	872		21.523	23.3	349.2	:	0.71	2	
21.479	20h5	344:5	:	-	2	1	21.627	0.1	352.1	:	0.59g	2	
21.515	21.5	160.3	:	0744g	3	2	22.785	0.5	356.2	P	0.81	2	
21.540	22.7	341.6	:	0.29g	2		23.734	1.9	358.3	P	-	3	2
21.511		342.1		0.36	(3,2)		23.882	0.8	364.0	P	-	2	2
1 nicht deutlich getrennt							24.515	23.1	358.9	P	-	2	2
2 Quadrant zweifelhaft							24.641	23.4	357.2	P	-	2	1
Bu 10140 Z 2668							24.654	23.3	357.6	P	-	2	
	20h17m5	+ 39°10'		770	972		24.684	23.7	359.6	P	-	3	
22.818	1h9	283:1	P	3720	3		24.687	23.8	357.5	P	-	3	2
23.734	2.6	286.2	P	3.38	2		21.515		349.6		0.59	(5)	
23.276		284.6		3.29	(2)		23.467		359.5		0.81(3,1)		
Bu 10281 Z 2690							24.636		358.2		-	(5)	
							1 nur zeitweise getrennt 2 kaum getrennt						
Bu 10363 B 151 B Delph.							Bu 10363 B 151 B Delph.						
										AB:C 1277			
							21.627	0h3	328:3	:	bs	38795	2

Epoche	t	p	s	B	Bem.	Epoche	t	p	s	B	Bem.
Bu 10461 Z 2720						Bu 10519 B 364					
20h40m0 + 16°41'			875	877		20h43m8 - 25° 8'			877	879	
24.641	23h9	178.6 P	4708	3		23.909	1.9	224.4 :	0.91	3	1
24.753	1.8	181.0 P	4.21	3		1 Distanz unsicher					
24.697	179.8		4.14 (2)								
Bu 10483 Z 2723						Bu 10559 Z 2729					
20h41m3 + 12° 3'			674	872		20h47m5 - 5°54'			579	772	
22.691	1h3	106.4 P	1702	2		21.523	23h2	166.7 :	-	3	1
23.882	1.2	108.4 P	1.42	2		21.540	23.0	163.7 :	0.39g	2	
24.515	23.3	105.4 P	1.40	2		21.690	1.5	170.0 :	-	3	
24.641	23.5	108.6 P	1.00	2		21.722	23.8	165.2 :	0.59g	2	
23.286	107.4		1.22 (2)			21.619	166.4		0.49(4,2)		
24.578	107.0		1.20 (2)			1 nicht sicher getrennt, Quadrant zweifelhaft					
Bu 10504 Z 2725						Bu 10608 O Z 418					
20h42m7 + 15°38'			773	870		20h51m8 + 32°25'			773	774	
24.627	23h7	4.8 P	5763	3		22.691	1h3	288.4 P	1722	2	
24.641	0.1	4.7 P	5.48	3		23.734	2.2	289.6 P	0.97	2	
24.753	1.9	5.8 P	5.47	3		23.909	1.6	287.7 P	1.06	2	
24.674	5.1		5.53 (3)			23.445	288.6		1.08 (3)		
Bu 10509 Z 2727						Bu 10643 Z 2737					
20h43m2 + 15°51'			470	570		20h55m3 + 4° 0'			AB 577	672	
22.799	0h0	270.2 P	10751	4		23.882	0h7	237.5 :	-	2	
23.734	1.9	269.8 P	10.58	2		Bu 10643 2737					
23.742	22.8	270.6 P	10.64	4		AB: C 771					
24.624	23.8	269.8 P	10.73	3		23.882	0h8	73.5 Pbs	10782	2	
24.627	23.4	269.8 P	10.74	3							
24.684	23.9	269.8 P	10.71	3							
23.425	270.2		10.58 (3)								
24.645	269.8		10.73 (3)								

Epoche	t	p	s	B	Bem.	Epoche	t	p	s	B	Bem.
Bu 10685 Σ 2744											
20 ^h 59 ^m 3 + 1 [°] 14'		6 ^m 3		7 ^m 0							
22.691	1 ^h 4	155 [°] 5	P	1 ^m 43	2						
22.818	1.4	154.5	P	1.28	3						
23.734	1.3	153.7	P	1.44	3						
23.882	1.3	155.8	P	1.36	3						
24.627	23.3	154.0	P	-	4						
24.687	23.7	154.3	P	1.52	3						
22.754	155.0		1.36		(2)						
23.808	154.8		1.40		(2)						
24.657	154.2		1.52		(2,1)						
Bu 10690 Σ 2746											
20 ^h 58 ^m 9 + 38 [°] 58'		8 ^m 0		8 ^m 6							
23.734	2 ^h 3	303 [°] 8	P	0 ^m 96	3						
Bu 10709 Σ 749 (Se 3)											
21 ^h 1 ^m 0 + 3 [°] 14' A:BC		7 ^m 7		8 ^m 9							
23.882	2 ^h 1	161 [°] 8	P	3 ^m 76	3						
Bu 10732 Σ 2758 61 Cygni											
21 ^h 3 ^m 5 + 38 [°] 22'		5 ^m 3		5 ^m 9							
21.575	22 ^h 9	131 [°] 84	: bs	24.33	3						
21.580	22.8	132.03	: bs	24.14	3						
21.580	22.6	132.35	P	24.16	3						
21.607	22.4	132.56	: bs	24.20	3						
21.618	22.3	132.33	: bs	24.19	3						
21.618	22.7	132.14	P	-	3						
21.692	21.9	132.03	: bs	24.18	3						
21.692 22 ^h 4 132 [°] 86 P - 3											
21.774 21.7 132.21 : bs 24.04 3 2											
21.774 22.4 132.34 P - 3											
21.799 22.5 132.57 : bs 24.21 3											
21.799 23.0 132.51 P - 3											
22.508 - 132.70 P 24.08 3 3											
23.745 2.3 133.63 P 24.17 4											
24.753 22.7 133.67 Pbs 24.54 3											
21.676 132.31 24.18(12,8)											
23.669 133.33 24.26 (3)											
1 durch Wolken, schlechtes Bild											
2 durch Wolken 3 Cirren											
Bu 10782 Knott 4 μ Equulei											
21 ^h 6 ^m 7 + 9 [°] 50'		4 ^m 2		11 ^m 0							
22.691	1 ^h 5	275 [°] 1	P	2 ^m 39	2						
22.785	1.5	276.8	..	2.74	2						
22.738	276.0		2.56		(2)						
Bu 10829 O Σ 535											
21 ^h 10 ^m 8 + 9 [°] 42'		4 ^m 5		5 ^m 0							
22.785	0 ^h 0	3 [°] 4	:	-	1 1						
1 länglich											
Bu 10846 A.G.C.13 Cygni											
21 ^h 11 ^m 8 + 37 [°] 43'		4 ^m 9		7 ^m 4							
21.496	20 ^h 6	182 [°] 7	:	-	2 1						
21.610	21.1	183.7	:	1.44	2 2						
21.722	22.1	180.3	..	0.74g	1						
21.609	182.2		1.09		(2)						
1 länglich, Begl. rot ?											
2 mit Hexagonblende											

Epoche	t	p	s	B	Bem.	Epoche	t	p	s	B	Bem.
Bu 11001 Σ 2799						Bu 11222 Σ 989 κ Peg.					
21 ^h 25 ^m 2 + 10°46'			6 ^m 6	6 ^m 6		21 ^h 41 ^m 2 + 25°18'		AB 4 ^m 8	5 ^m 3		
24.624 0 ^h 5 288 ^s 8 P			1 ^m 58	4		21.496 20 ^h 3 337 ^s 7 :		-	2	1	
24.687 23.7 287.9 P			1.56	3		1 länglich					
24.656 288.4 1.56 (2)						Bu 11222 Σ 2824					
						AB:C 3 ^m 9 10 ^m 8					
Bu 11051 Σ 2804						21.496 20 ^h 4 297 ^s 5 : bs 13 ^m 14 2					
21 ^h 29 ^m 5 + 20°23'			7 ^m 3	8 ^m 0							
22.909 1 ^h 4 338 ^s 6 P			3 ^m 08	3		Bu 11246 Σ 2825					
						21 ^h 43 ^m 1 + 0°30'		8 ^m 0	8 ^m 2		
Bu 11214 Σ 2822 μ Cygni						22.617 0 ^h 8 120 ^s 6 ..		0 ^m 84	2		
21 ^h 40 ^m 8 + 28°30'		AB 4 ^m 0	5 ^m 0			22.691 1.3 119.1 P		0.94	2		
21.569 23 ^h 0 138 ^s 6 :			1 ^m 22	3		22.799 23.8 114.6 P		0.78	3		
21.575 22.4 139.4 :			1.50	3		22.702 118.1 0.85 (3)					
21.580 22.6 138.3 :			1.51	3							
21.580 23.1 140.5 P			-	3		Bu 11346 Σ 75					
21.627 21.0 138.5 :			1.23	3		21 ^h 51 ^m 9 + 10°32'		8 ^m 1	8 ^m 5		
21.637 22.2 139.9 :			1.50	3		22.617 0 ^h 5 54 ^s 4 ..		0 ^m 85	2		
22.691 1.2 140.0 P			1.36	2		22.691 1.4 51.9 P		0.65g	2		
22.785 1.2 139.3 P			1.44	2		22.654 53.2 0.75 (2)					
21.595 139.2 1.39(6,5)											
22.738 139.6 1.40 (2)						Bu 11355 Battermann					
Bu 11214 AB:C 11 ^m 5						21 ^h 52 ^m 3 + 15°15'		9 ^m 2	9 ^m 3		
$\Delta\alpha$ $\Delta\delta$						22.617 0 ^h 1 160 ^s 2		1 ^m 55	2		
21.569 22 ^h 3 +12 ^m 271		+124 ^m 18	3			22.691 1.6 161.8 P		1.85	2		
21.575 22.7 +12.314		123.79	3			22.654 161.0 1.70 (2)					
21.627 21.2 +12.302		123.87	3								
21.637 21.9 +12.310		124.37	3								
21.602 +12.299 +124.05 (5)											

Epoche	t	p		s	B	Ben.	Epoche	t	p		s	B	Ben.
Bu 11590 Z 2878							23.734	23 ^h 7	303:0	P	2 ^m 99	3	
22 ^h 10 ^m 8 + 7 ^m 36'				6 ^m 5	8 ^m 0		23.824	0.8	303.2	P	3.11	3	
22.617	0 ^h 6	126:0	P	1 ^m 55	2		23.909	0.8	304.6	P	3.17	4	
22.691	1.6	124.0	P	1.40	2		24.753	0.9	303.7	P	3.60	4	
22.654	125.0			1.48	(2)		21.592	304.2			3.12	(4)	
							22.708	304.4			3.03	(2)	
							24.055	303.6			3.22	(4)	
Bu 11599 Z 2881							Bu 11968 Z 2944						
22 ^h 11 ^m 2 + 29 ^m 12'				7 ^m 7	8 ^m 2		22 ^h 44 ^m 0 - 4 ^m 37'				AB 7 ^m 0	7 ^m 5	
22.617	0 ^h 8	96:8	P	1 ^m 71	2		22.617	0 ^h 5	263:5	P	3 ^m 26	2	
22.691	1.7	96.8	P	1.75	2		22.799	22.5	263.9	P	3.18	2	
22.799	1.1	97.6	P	1.75	3		22.708	263.7			3.22	(2)	
22.702	97.1			1.74	(3)		Bu 12094 O Z 483						
Bu 11741 Z 2910							22 ^h 55 ^m 4 + 11 ^m 20'				6 ^m 2	7 ^m 7	
22 ^h 24 ^m 6 + 23 ^m 9'				8 ^m 3	8 ^m 8		23.824	0 ^h 5	240:3	P	0 ^m 98	3	
22.799	1 ^h 1	339:0	P	5 ^m 32	3		Bu 12204 Z 2987						
23.745	1.3	340.0	P	5.59	4		23 ^h 6 ^m 9 + 48 ^m 37'				7 ^m 3	10 ^m 2	
23.272	339.5			5.46	(2)		22.824	3 ^h 3	157:9	..	4 ^m 08	4	
Bu 11743 Z 2909 f Aquar.							Bu 12228 Z 2990						
22 ^h 25 ^m 0 - 0 ^m 24'				4 ^m 0	4 ^m 1		23 ^h 9 ^m 6 + 21 ^m 41'				8 ^m 5	8 ^m 5	
21.569	22 ^h 5	304:7	: bs	3 ^m 07	3		23.824	0 ^h 5	61:6	P	2 ^m 16	3	
21.580	23.5	305.7	..	3.16	3								
21.588	23.4	303.5	..bs	3.02	3								
21.632	23.8	303.1	..	3.24	2								
22.617	23.3	304.1	P	3.14	3								
22.799	22.7	304.8	P	2.92	2								

Epoche	t	p		s	B	Bem.	Epoche	t	p		s	B	Bem.
Bu 12290 S 80							Bu 12563 F 3041						
	23 ^h 15 ^m 0	+ 5° 0'		8 ^m 2	9 ^m 1			23 ^h 44 ^m 0	+ 16° 40'	AB:C		8 ^m 1	
21.588	22 ^h 8	253 ^s 6 ..		0 ^m 49g	2		23.824	0 ^h 7	352 ^s 2 :		64 ^m 63	3	
21.632	23.2	247.7 ..		0.59g	3		Bu 12563 F 3041						
21.722	21.8	254.7 ..		0.54g	2					BC 7 ^m 3	8 ^m 1		
21.647		252.0		0.54	(3)		23.824	0 ^h 5	177 ^s 1 :		3 ^m 77	3	
Bu 12404 S 1266							Bu 12675 F 3050						
	23 ^h 26 ^m 7	+ 30° 25'		AB 7 ^m 4	7 ^m 4			23 ^h 55 ^m 7	+ 33° 19'		6 ^m 0	6 ^m 0	
21.493	20 ^h 4	160 ^s 3 :		-	2	1	23.824	1 ^h 2	229 ^s 4 P		2 ^m 20	2	
21.540	19.9	148.4 :		-	2	2	Bu 12736 S 997						
21.637	20.6	160.7 :		-	3	2		0 ^h 1 ^m 1	+ 45° 16'		7 ^m 9	8 ^m 9	
21.772	21.1	178.8 :		-	2	3	23.114	3 ^h 6	338 ^s 8 P		3 ^m 97	3	
21.610		162.0		-	(4)		Bu 12740 OF 547						
1 länglich, unsicher								0 ^h 1 ^m 7	+ 45° 24'		8 ^m 3	8 ^m 3	
2 länglich, Quadrant ? 3 länglich							21.569	19 ^h 6	143 ^s 1 : bs		4 ^m 85	2	
Bu 12404 S 1266							21.575	20.5	143.4 : bs		5.27	4	
	AB:C =	3018	7 ^m 2	9 ^m 5			21.580	21.0	141.2 : bs		5.13	2	
21.540	20 ^h 0	204 ^s 09..bs		18 ^m 77	2		21.607	21.2	143.6 : bs		4.99	3	
21.637	20.7	203.56..bs		19.14	3		23.114	3.9	144.4 P		4.87	3	
21.774	21.3	203.25..bs		18.94	2		21.583		142.8		5.06	(4)	
21.650		203.63		18.95	(3)		23.114		144.4		4.87	(1)	
Bu 12531 F 3033							Bu 12531 F 3033						
	23 ^h 40 ^m 1	+ 6° 50'		8 ^m 5	8 ^m 5			23 ^h 40 ^m 1	+ 6° 50'		8 ^m 5	8 ^m 5	
23.824	0 ^h 4	5 ^s 4 :		3 ^m 40	3		23.824	0 ^h 4	5 ^s 4 :		3 ^m 40	3	
23.882	0.6	6.3 :		3.81	3		23.882	0.6	6.3 :		3.81	3	
23.853		5.8		3.60	(2)		23.853		5.8		3.60	(2)	

Epoche	t	p		s	B	Bem.	Epoche	t	p		s	B	Bem.
Bu 12740 0 I 547							Bu 12750 I 3060						
A u.D							O ^h 2 ^h 2 + 17°40'						
		$\Delta\alpha$		$\Delta\delta$							8 ^h 5	8 ^h 7	
21.569	20 ^h 0	+6 ^h 327		-45 ^h 75	2		23.824	0 ^h 6	121:7 ..		3 ^h 76	2	
21.580	21.4	6.331		43.38	3								
21.607	22.0	6.346		43.24	3								
21.585		+6.335		-44.12	(3)								
Bu 12740 0 I 547							Bu 12755 I 3062						
A u.C							O ^h 2 ^h 3 + 58° 2'						
		$\Delta\alpha$		$\Delta\delta$							6 ^h 9	8 ^h 0	
21.580	21 ^h 4	+0 ^h 166		+84 ^h 83	3		21.474	19 ^h 2	24:0 ..		1 ^h 50	2	
21.607	22.0	0.067		84.56	3		21.479	17.0	22.6 ..bs		1.23	2	
21.594		+0.116		+84.70	(2)		21.493	20.0	23.2 ..		1.43	2	
Bu 12740 0 I 547							21.540	19.6	24.0 ..bs		1.43	2	
B u.C							22.873	4.3	25.4 P		1.12	3	
		$\Delta\alpha$		$\Delta\delta$			23.114	4.6	27.0 P		1.23	2	
21.569	20 ^h 0	+0 ^h 440		+80 ^h 72	2		21.496		23.4		1.40	(4)	
							22.994		26.2		1.18	(1)	

Katalog der Messungen

II. Teil.

Epoche	t	p	s	B	Bem.	Epoche	t	p	s	B	Bem.
J 146	Prz. 3					BD + 73°362 = A.G.Berl.C.1017					
	0 ^h 58 ^m 70 + 9°41'						6 ^h 58.7 + 73°48'		9 ^m 5 10 ^s 5		
21.632	21 ^h 7	76:3 ..	2738	3		22.366	7 ^h 9	5:8 ..	4756	2	
21.695	22.7	74.9 ..	2.81	3	1						
21.664	75.6	2.60				BD + 70°436 = A.G.Berl.C.1023					
1 schwach, Himmel belegt							7 ^h 17 ^m 9 + 70°42'				
BD + 74°171 = A.G.Berl.C.524						22.372	7 ^h 3	225:1	0790g	2	
	3 ^h 37 ^m 2 + 75° 8'	973	974								
1922.366	10 ^h 8	242:3:bs	20701	2		BD + 69°481 = A.G.Berl.C.1226					
							8 ^h 34 ^m 3 + 69°40'	977	1075		
Bd + 72°193 = A.G.Berl.C.550						22.366	5 ^h 5	228:4	ca.370	3	1
	3 ^h 45 ^m 6 + 72°56'	977	1175			22.372	6.1	232.2 :	3.46	2	
22.372	11 ^h 2	67:2 :	12739	2		22.369	230.3	3.46			
						1 schwach					
Anonyma						BD + 71°474 = A.G.Berl.C.1239					
	6 ^h 43 ^m 2 + 79°46'	AB 1070	1170				8 ^h 39 ^m 4 + 70°52'	970	1170		
21.364	175.0 ..bs	4734				22.356	5 ^h 9	244:3 : bs	33719	4	
21.607	13.3	174.3 :	4.67	3		22.427	7.4	244.4 : bs	33.11	3	
21.486	174.6	4.50				22.392	244.4	33.15			
Anonyma						BD + 70°640 = A.G.Berl.C.1501					
		AB:C					10 ^h 53 ^m 6 + 70°13'	776	1170		
21.364	134:0 ..bs	44793				22.356	2 ^h 9	87:2 : bs	14716	4	1
						22.427	5.3	86.9 :	13.71	3	
Anonyma						22.392	87.0	13.94			
		A:C				1 Cirren, Begl.schwach					
21.607	13 ^h 6	135:54: bs	46750	3							

Epoche	t	p		s	B	Bem.	Epoche	t	p		s	B	Bem.
J 2097	J 1011						J 2523	E 636					
11 ^h 9 ^m 0 + 5° 18'				9 ^m 5 10 ^m 5			17 ^h 34 ^m 2 + 41° 46'						
22.252	23 ^m 5	69 ^m 5 ..		3 ^m 48	3	1	21.588	2 ^m 1	133 ^m 1 ..		-	2	1
1 schwierig							1 Begl.schwach						
BD + 70° 812 = A.G.Berl.C.2015							J 2527	E 1257					
14 ^h 52 ^m 6 + 69° 46'				9.2	11 ^m 0		17 ^h 36 ^m 1 + 45° 2'	AB					
22.427	1 ^h 9	285 ^m 7 : bs		40 ^m 27	3		21.621	4 ^m 1	306 ^m 4 ..		2 ^m 27	3	
J 2477	J 740						J 2527	1257					
17 ^h 2 ^m 1 + 35° 6'									AC				
21.588	2 ^m 2	229 ^m 0 :		2 ^m 93			21.621	4 ^m 3	121 ^m 49 ..bs		54 ^m 01	3	
BD + 71° 827 = A.G.Berl.C.2382							J 2550	J 754					
17 ^h 7 ^m 0 + 71° 8'				9 ^m 1	9 ^m 1		17 ^h 45 ^m 9 + 24° 52'						
22.372	22 ^m 4	63 ^m 0		1 ^m 27	3		21.588	2 ^m 2	50 ^m 4 :		2 ^m 27	2	1
							21.621	1.9	45.4 :		2.32	2	2
							21.627	1.7	39.4 :		1.75	3	3
							21.612		45.1		2.11		
							1 Dist.unsicher, Begl.schwach						
							2 schwierig 3 Dist.unsicher						
BD + 71° 831 = A.G.Berl.C.2398							J 2550	J 754					
17 ^h 13 ^m 5 + 71° 13'				8 ^m 9	9 ^m 5				AC				
22.372	22 ^m 6	138 ^m 4 ..bs		22 ^m 99	3		21.588	2 ^m 3	301 ^m 95..bs		40 ^m 72	2	
							21.627	1.9	301.87..bs		40.47	3	
							21.608		301.91		40.60		
J 2503	A 2089						J 2599	E 641					
17 ^h 22 ^m 8 + 47° 5'							18 ^h 3 ^m 4 + 54° 34'						
21.588	2 ^m 1	348 ^m 4 ..		0 ^m 44g	2		21.621	3 ^m 3	64 ^m 6 :		ca.1 ^m 5	3	

Epoche	t	p		s	B	Bem.	Epoche	t	p		s	B	Bem.
J 2605	E 345						BD + 10°3580						
	18 ^h 8 ^m 1 + 31°23'									A:C			
21.621	3 ^h 0	14 ^m 2 ..	-	3	1		21.610	2 ^h 2	100 ^m 99 ..	bs	45 ^m 96	3	
1	schwierig												
J 2623	E 347						J 2649	J 96					
	18 ^h 18 ^m 1 + 32°15'							18 ^h 29 ^m 4 + 6°33'					
21.621	2 ^h 5	64 ^m 0 :		1 ^m 62	3		21.588	2 ^h 0	150 ^m 0 ..		2 ^m 96	2	1
21.627	1.8	65.2 :		1.80	3		1	schwierig					
21.624		64.6		1.71									
J 2632	BD + 26°3245						J 2663	J 523					
	18 ^h 22 ^m 1 + 26°51'							18 ^h 34 ^m 2 + 9°42'					
21.621	1 ^h 6	13 ^m 3 :		4 ^m 03	3		21.610	2 ^h 4	25 ^m 8 :		4 ^m 84	3	1
							1	schwierig					
J 2637	J 95						J 2711	E 1425					
	18 ^h 24 ^m 5 + 7° 6' AB							18 ^h 44 ^m 4 + 42°58'					
21.621	1 ^h 8	126 ^m 2 ..		2 ^m 11	3		21.610	2 ^h 7	232 ^m 4 :		4 ^m 90	3	
BD + 10°3580							J 2768	BD + 46°2592					
	18 ^h 32 ^m 9 + 10°13' A:B							18 ^h 56 ^m 0 + 47° 5'					
21.588	2 ^h 3	310 ^m 1 ..	bs	9 ^m 85	2		21.610	2 ^h 7	225 ^m 8 :		2 ^m 05	3	
21.607	21.5	308.8 ..		10.37	3								
21.610	2.0	310.3 ..		10.33	3								
21.602		309.7		10.18									

Königsberg 44, 5

65820
Ao. 1.
9
91

Sternbedeckungen durch den Mond

am 13 zölligen Refraktor beobachtet

von

H. Battermann (†)

bearbeitet und herausgegeben

von

E. Przybyllok

V o r w o r t .

Den Fachgenossen übergebe ich hiermit die 44. Abteilung der „Astronomischen Beobachtungen auf der Universitäts-Sternwarte zu Königsberg“ in etwas veränderter Form. Die geringen, der Sternwarte zur Verfügung stehenden Geldmittel hätten bei den heutigen Preisen eine Veröffentlichung der Arbeiten der Sternwarte in Buchdruck nicht gestattet. Wohl schien dies aber möglich auf dem Wege des Steindruckes, der sich in Zukunft, wovon ich fest überzeugt bin, für wissenschaftliche Veröffentlichungen mit geringer Auflagenzahl immer mehr einbürgern wird. Aber auch auf diesem Wege ist die Veröffentlichung nur möglich geworden durch Unterstützung von ausserhalb.

Es ist mir eine angenehme Pflicht, hier meinen Dank auszusprechen der Notgemeinschaft der Deutschen Wissenschaft für die Darlehnung einer geeigneten Schreibmaschine (Continental Grösse II), mit der das Manuskript zum vorliegenden Bande auf Umdruckpapier geschrieben wurde. Weiterhin gebührt mein Dank Dem Senate der Albertus-Universität, der mir eine Druckkostenbeihilfe bewilligt hat.

Königsberg, April 1926.

E. Przybyllok.

I n h a l t .

E. J o s t,	Katalog von 546 Sternen (1925.0) S.I - XVII,	1 - 46.
2) M. R i e c h e r t, (†)	" " 146 " (1875.0)	S. 1 - 9.
3) P. M e i e r,	Untersuchung der systematischen und individuellen Genauigkeit der photographischen Himmelskarte (Pariser Zonen).	S. 1 - 16.
4) E. P r z y b y l l o k,	Mikrometrische Messungen von Doppelsternen	S. 1 - 55.
5) H. B a t t e r m a n n, (†) u. E. P r z y b y l l o k,	Sternbedeckungen	S. 1 - 35.

Nach Beendigung der Bearbeitung seiner letzten Berliner Beobachtungsreihe von Sternbedeckungen durch den Mond (Beobachtungsergebnisse der Kgl. Sternwarte zu Berlin Nr. 13 1910) unternahm H. Battermann am 13-zölligen Refraktor der Königsberger Sternwarte eine neue Reihe von Beobachtungen von Sternbedeckungen sowohl wie gleichzeitig von Verfinsterungen der Jupiterstrabanten, zweifellos um einen Beitrag zu liefern zur Lösung des Problems der Veränderlichkeit oder Unveränderlichkeit der Umdrehungsdauer der Erde. Die erste Reduktion wurde für den ersten Teil dieser Beobachtungen noch unter seiner Leitung und Aufsicht von den damaligen Assistenten der Sternwarte Dr. Rahnenführer (+) und Dr. Werner ausgeführt. Der Hauptteil der Beobachtungen fällt in die Jahre 1911 - 14; in der Folge wurde Battermann durch zunehmendes körperliches Leiden immer mehr am Beobachten gehindert. Bei seiner Emeritierung nahm er sowohl die von seinen Mitarbeitern ausgeführten Rechnungen, wie auch seine Originalbeobachtungen mit, offenbar um ihre Bearbeitung weiter zu führen, wozu er indessen nicht mehr kommen sollte. Nach seinem am 15. Juni 1921 erfolgten Tode habe ich mich vergeblich bemüht, der Sternwarte ihren Besitz wieder zu verschaffen. Es wurden dann später Manuskripte Battermanns in einem Antiquariatskataloge angeboten, und es wurde so möglich, einen Teil des Besitzes der Sternwarte wieder zu erlangen. Battermanns Originalbeobachtungen scheinen indessen leider verloren gegangen zu sein. Wieder erlangt wurden die Beobachtungen der Verfinsterungen der Jupiterstrabanten, welche ich in A.N. Bd. 224, 251 veröffentlicht habe; ferner ein Verzeichnis von 477 Sternbedeckungen durch den Mond, von denen 365 von den oben genannten Herren berechnet worden waren. Im Hinblick auf die im Gange befindlichen Untersuchungen über die oben erwähnte Frage habe ich mich bemüht, die Beobachtungen und die aus ihnen folgenden Gleichungen für die Äquatorialen Koordinaten des Mondes so schnell wie möglich der Öffentlichkeit zu übergeben; gehemmt wurde ich hierbei durch das fast vollständige Fehlen aller schriftlicher Aufzeichnungen über den Gang der Rechnung.

Die Oerter der bedeckten Sterne hat Battermann nicht wie bei seinen früheren Reihen neu bestimmen lassen; hierbei wird wohl die Erwägung bestimmend gewesen sein, dass ein grosser Teil der Sterne für die europäischen Sternwarten allzu sehr südlich liegen, jedenfalls wäre eine Neubestimmung mit dem Königsberger Meridiankreise unmöglich gewesen. Die Sternörter sind daher Katalogen entnommen worden, deren Auswahl so getroffen wurde, dass die Epochendifferenz möglichst gering war; Eigenbewegung ist, wo eine solche bekannt war, berücksichtigt und die Oerter auf den N.F.K. gestellt. Die Differenz zwischen der in Hansens Mondtafeln benutzten und der heute gebräuchlichen Nutation ist berücksichtigt worden, ist aber nicht an die Koordinaten des Mondes, sondern mit entgegengesetztem Zeichen an die scheinbaren Sternörter angebracht worden; über diese Verbesserung vgl. Berl. Beob. Nr. 13 S. 4. Die Bedeckungen sind von Battermann stets voraus berechnet worden, über die Art dieser Rechnung geben Battermanns frühere Veröffentlichungen Auskunft, die nötigen Unterlagen hat, nach den vorhandenen Papieren zu urteilen, Dr. Rahnenführer geliefert.

Sämtliche Beobachtungen sind am 13-zölligen Refraktor mit Auge

und Ohr angeführt worden, die benutzten Okulare haben die folgen Vergrößerungen: I = 120, II = 280, III = 280, IV = 360.

In der folgenden Tabelle I sind die Beobachtungen zusammengestellt. Spalte I enthält die laufende Nummer, sie ist eingeklammert, wenn die betreffende Beobachtung dem Beobachter am Fernrohr selbst irgendwie zweifelhaft erschien. Die 2. Spalte enthält das Datum der Bedeckung, die 3. Spalte die Phase. Die 4. Spalte gibt die Sternzeit der Bedeckung für den Königsberger Refraktor, die 5. Spalte die entsprechende mittlere Zeit Greenwich. Die 6. Spalte gibt das verwendete Okular an, die 7. Spalte die Größe des bedeckten Sterns. Die 8. Spalte enthält das geschätzte Maximum der Unsicherheit in der Schätzung des Bruchteiles der Sekunde; hierin sind aber die Zweifel über die Sicherheit der Beobachtung nicht enthalten. Die 9. und 10. Spalte enthalten die scheinbare Rektassension und Deklination des bedeckten Sterns. Tabelle Ia enthält die Quelle für den Sternort. Im allgemeinen beruhen die Oerter nur auf einer Katalogposition; bei den aus der Photographischen Himmelskarte entnommenen Oertern beruht die Position stets auf 2 oder mehr Platten, es ist der Kürze halber aber nur die Nummer des Sterns auf einer Platte angegeben. Für die Präzessionen eines Teiles der bedeckten Sterne hat Herr Dr. Labitzke eine Kontrolle gerechnet.

Hinter der Tabelle Ia folgen dann die Bemerkungen des Beobachters zu den einzelnen Bedeckungen.

Tabelle I.

	1910	Ph. Sternzeit	M. Z. Gr.	0	Gr. ±	α'	δ'
(1)	Juni 20	E 16 ^h 58 ^m 47 ^s .9	9 ^h 43 ^m 56 ^s .89	II	6.2	16 ^h 20 ^m 13 ^s .10	-23°14'31.6
(2)	" 20	E 16 58 52.9	9 44 1.88	II	4.7	16 20 13.12	-23 14 35.1
3	Nov. 17	Eh 1 57 0.5	8 50 54.88	IV	4.6 0.3	4 20 58.72	+22 36 49.7
4	" 17	A 2 59 39.5	9 53 23.62	II	4.6 0.5	4 20 58.72	+22 36 49.7
(5)	Dez. 16	Eh 0 8 1.3	5 8 12.09	II	5.4 0.5	5 52 28.67	+25 56 42.7
(6)	Dez. 16	A 1 ^h 1 ^m 22 ^s .9	6 ^h 1 ^m 24 ^s .95	I	5.4 1 ^s	5 ^h 52 ^m 28 ^s .67	+25°56'42.7
1911							
7	Apr. 8	E 8 ^h 21 ^m 16 ^s .57	5 ^h 55 ^m 48 ^s .78	I	9.4 0.3	9 ^h 37 ^m 16 ^s .80	+19°16'12.7
8	" 8	E 8 27 57.37	6 2 28.48	I	9.1 0.3	9 37 26.70	+19 10 48.5
9	" 8	E 8 35 49.58	6 10 19.41	I	9.5 0.3	9 37 40.94	+19 13 28.6
10	" 9	E 7 13 40.39	4 44 27.77	II	6.3 0.5	10 27 27.98	+14 35 37.3
11	Apr. 9	E 8 ^h 54 ^m 26 ^s .82	6 ^h 24 ^m 57 ^s .69	I	8.7 0.3	10 ^h 30 ^m 13 ^s .53	+14° 4'25.0
(12)	" 13	A 13 58 41.26	11 12 58.65	II	8.5 0.5	13 40 41.00	-10 5 14.3
(13)	" 16	A 13 41 39.39	10 43 51.85	I	8.6 0.5	16 2 11.72	-23 42 49.4
14	" 16	A 14 1 59.60	11 4 8.73	I	6.5 0.3	16 3 25.84	-23 27 3.5
(15)	" 17	A 15 23 16.73	12 21 16.64	I	8.5 1	16 55 55.09	-26 30 48.3
(16)	Apr. 17	A 16 ^h 31 ^m 27 ^s .24	13 ^h 29 ^m 15 ^s .98	I	8.4 1 ^s	16 ^h 57 ^m 43 ^s .20	-26°49'31.9
(17)	" 17	A 17 14 33.45	14 12 15.13	I	8.4 1	16 58 44.89	-26 48 10.1
18	" 18	A 16 37 25.38	13 31 17.23	I	5.7 0.4	17 51 5.62	-28 3 13.0
19	Mai 2	E 11 57 45.36	7 57 20.30	II	9.3 0.3	6 22 58.06	+26 59 6.5
20	" 2	E 12 2 18.46	8 1 52.65	II	9.4 0.3	6 23 7.29	+27 4 24.4
21	Mai 2	E 12 ^h 6 ^m 50 ^s .36	8 ^h 6 ^m 23 ^s .81	II	7.0 0.3	6 ^h 23 ^m 21 ^s .57	+27° 1'41.8
22	" 2	E 12 12 20.07	8 11 52.62	II	8.7 0.3	6 23 33.39	+27 4 55.1
23	" 2	E 12 14 34.37	8 14 6.55	II	9.5 0.3	6 23 13.68	+26 45 54.2
24	" 2	E 12 16 41.37	8 16 13.20	II	10.9 0.3	6 23 6.14	+26 43 55.3
25	" 2	E 12 18 25.37	8 17 56.92	II	9.3 0.5	6 23 40.49	+26 49 24.4
26	Mai 2	E 12 ^h 26 ^m 40 ^s .87	8 ^h 26 ^m 11 ^s .07	II	9.3 0.5	6 ^h 23 ^m 40 ^s .85	+26°44'15.0
27	" 2	E 12 34 4.87	8 33 33.85	II	8.9 0.3	6 24 35.53	+27 0 41.0
28	" 2	E 13 31 55.38	9 31 14.89	I	9.2 0.2	6 27 17.42	+26 49 24.3
29	" 2	E 13 50 50.78	9 50 7.19	I	8.6 0.3	6 27 52.61	+26 41 0.5
30	" 2	E 13 55 34.58	9 54 50.21	I	8.9 0.4	6 28 30.07	+26 51 12.3
31	Mai 2	E 13 ^h 56 ^m 53 ^s .48	9 ^h 56 ^m 8 ^s .90	I	9.2 0.3	6 ^h 28 ^m 22 ^s .86	+26°43'54.2
32	" 2	E 14 7 18.58	10 6 32.29	I	8.0 0.3	6 28 23.64	+27 6 52.9
33	" 3	E 11 5 34.76	7 1 22.33	I	10.1 0.4	7 25 25.58	+26 11 25.3
34	" 3	E 11 21 15.27	7 17 0.27	I	9.1 0.4	7 25 39.69	+26 36 18.3
35	" 3	E 11 43 2.98	7 38 44.41	I	8.8 0.2	7 27 12.70	+26 21 58.2
36	Mai 3	E 11 ^h 56 ^m 9 ^s .29	7 ^h 51 ^m 48 ^s .57	I	7.8 0.3	7 ^h 27 ^m 45 ^s .10	+26°18'24.5
37	" 3	E 11 57 36.59	7 53 15.64	I	9.0 0.5	7 27 14.78	+26 2 48.1
38	" 3	E 12 2 0.39	7 57 38.71	I	9.1 0.5	7 27 19.92	+26 30 34.5
39	" 3	E 12 7 4.09	8 2 41.59	II	9.0 0.4	7 28 9.76	+26 11 44.1
(40)	" 3	E 12 17 19.90	8 12 55.71	II	9.1 1	7 28 30.17	+26 20 39.5

	1911	Ph.	Sternzeit	M. Z.	Gr.	O	Gr.	±	a'	δ'
41	Mai	4 E	11 ^h 51 ^m 63.29	7 ^h 42 ^m 50 ^s 50	II	9.5	0.4	8 ^h 28 ^m 58 ^s 78	+24° 0' 37.1	
(42)	"	4 E	12 8 45.29	8 0 26.61	I	9.1	1	8 29 18.11	+23 32 37.2	
(43)	"	4 E	14 2 4.83	9 53 27.58	I	9.5	0.5	8 33 39.89	+23 12 19.6	
44	"	4 E	14 17 26.34	10 8 46.57	I	9.0	0.2	8 34 2.18	+23 7 18.6	
(45)	"	4 E	14 28 53.34	10 20 11.70	I	9.5	0.5	8 35 7.55	+23 24 1.4	
46	Mai	5 E	14 ^h 24 ^m 24.61	10 ^h 11 ^m 25 ^s 85	I	8.7	0.3	9 ^h 31 ^m 28 ^s 66	+19° 19' 40.77	
47	"	5 E	15 16 7.83	11 3 22.53	I	8.8	0.3	9 33 9.89	+19 2 32.5	
(48)	"	7 E	11 16 27.34	6 56 29.49	I	9.5	1	11 7 26.87	+ 9 34 36.9	
49	"	8 E	10 48 2.02	6 24 12.91	II	7.1	0.4	11 53 41.39	+ 3 58 32.9	
(50)	"	8 E	11 22 29.64	6 58 34.89	I	9.5	1	11 54 11.04	+ 3 45 53.3	
(51)	Mai	8 E	12 ^h 58 ^m 23.68	8 ^h 33 ^m 52 ^s 27	II	9.5	1 ^a	11 ^h 56 ^m 37 ^s 76	+ 3° 28' 9.74	
52	"	8 E	15 25 32.45	11 0 57.88	I	9.0	0.5	12 0 3.81	+ 3 6 49.4	
53	"	8 E	15 53 12.47	11 28 33.37	II	8.0	0.3	12 0 38.77	+ 2 40 40.4	
54	"	9 E	12 0 17.82	7 32 20.97	II	8.9	0.3	12 40 7.33	- 2 13 23.8	
55	"	9 E	12 14 37.83	7 46 38.63	II	6.8	0.4	12 39 38.44	- 2 21 27.1	
56	Mai	9 E	13 ^h 8 ^m 58 ^s 95	8 ^h 40 ^m 50 ^s 85	II	9.0	0.3	12 ^h 41 ^m 21 ^s 45	- 2° 32' 50.76	
(57)	"	9 E	15 49 44.43	11 21 9.99	II	8.7	1	12 44 36.71	- 3 13 0.0	
58	"	9 E	16 22 20.95	11 53 41.17	II	8.5	0.5	12 46 10.60	- 3 13 31.2	
59	"	10 E	15 55 37.43	11 23 6.11	II	8.0	0.5	13 30 2.54	- 8 39 13.9	
(60)	"	10 E	16 10 54.63	11 38 20.81	II	8.9	1	13 30 15.00	- 8 35 8.1	
61	Mai	11 E	11 ^h 31 ^m 33 ^s 40	6 ^h 55 ^m 49 ^s 43	I	8.7	0.4	14 ^h 9 ^m 0 ^s 42	-12° 55' 41.79	
62	"	11 E	15 31 25.49	10 55 2.22	II	8.0	0.5	14 14 26.02	-14 0 3.5	
(63)	"	11 E	15 38 7.69	11 1 43.32	II	8.0	1	14 14 15.93	-14 7 15.1	
64	"	16 A	17 16 19.00	12 19 59.00	I	8.0	0.5	18 26 16.72	-28 34 25.3	
(65)	"	16 A	18 32 25.73	13 35 53.26	I	8.0	1			
66	Mai	30 E	13 ^h 44 ^m 13 ^s 70	7 ^h 53 ^m 25 ^s 69	I	7.7	0.4	7 ^h 4 ^m 8 ^s 81	+26° 40' 10.77	
67	"	30 E	14 20 45.72	8 29 51.72	I	7.0	0.2	7 5 59.53	+26 33 17.9	
68	"	31 E	14 0 59.33	8 6 12.66	I	9.1	0.2	8 9 3.90	+24 19 31.8	
69	"	31 E	14 2 45.53	8 7 58.57	I	8.8	0.3	8 9 47.85	+24 36 40.7	
70	"	31 E	14 6 50.33	8 12 2.70	I	9.5	0.4	8 9 52.29	+24 40 29.9	
71	Mai	31 E	14 ^h 19 ^m 50 ^s 33	8 ^h 25 ^m 0 ^s 57	I	9.5	0.5	8 ^h 9 ^m 55 ^s 20	+24° 16' 20.74	
72	"	31 E	14 29 19.63	8 34 28.31	I	8.5	0.3	8 9 48.49	+24 12 43.4	
73	"	31 E	14 33 18.33	8 38 26.36	I	8.9	0.2	8 11 0.23	+24 20 25.9	
(74)	"	31 E	14 37 23.33	8 42 30.70	I	9.4	0.7	8 10 44.55	+24 13 28.5	
75	"	31 E	15 38 44.34	9 43 41.65	I	7.5	0.2	8 13 51.16	+24 27 18.6	
76	Mai	31 E	15 ^h 54 ^m 14 ^s 64	9 ^h 59 ^m 9 ^s 41	I	8.7	0.3	8 ^h 14 ^m 43 ^s 62	+24° 5' 30.72	
77	"	31 E	16 3 39.44	10 8 32.67	I	6.0	0.2	8 15 14.66	+24 16.18.7	
78	Juni	1 E	14 17 50.46	8 19 5.11	I	9.4	0.5	9 10 30.17	+20 48 47.0	
79	"	1 E	14 50 24.28	8 51 33.60	II	8.6	0.3	9 11 36.44	+20 59 46.4	
80	"	1 E	14 51 42.18	8 52 51.29	II	9.1	0.3	9 11 54.66	+20 52 26.2	
(81)	Juni	1 E	15 ^h 11 ^m 22 ^s 99	9 ^h 12 ^m 28 ^s 87	I	9.5	1 ^a	9 ^h 11 ^m 58 ^s 82	+20° 29' 13.75	
82	"	2 E	13 47 28.91	7 44 52.62	II	8.3	0.3	10 4 54.12	+16 22 19.4	
83	"	2 E	14 20 43.63	8 18 1.90	II	7.7	0.2	10 5 54.60	+16 8 40.2	
84	"	2 E	14 40 46.63	8 38 1.61	II	8.8	0.2	10 6 20.44	+15 57 37.5	
85	"	2 E	15 38 51.96	9 35 57.42	II	8.7	0.3	10 8 29.86	+1 47 15.5	

	1911	Ph.	Sternzeit	M. Z.	Gr.	O	Gr.	±	α'	δ'
(86)	Juni	2 E	15 ^h 49 ^m 8 ^s 66	9 ^h 46 ^m 12 ^s 44	II	9 ^h 5 1 ^m	10 ^h 8 ^m 56 ^s 28	+15°51'48".3		
87	"	2 E	15 51 6.66	9 48 10.12	II	9.3 0.5	10 8 30.05	+15 36 40.1		
88	"	2 E	16 0 42.37	9 57 44.26	I	9.0 0.7	10 9 16.72	+15 41 52.4		
89	"	2 E	16 17 3.67	10 14 2.88	I	9.4 0.3	10 9 31.91	+15 31 5.6		
90	"	3 E	14 53 16.40	8 46 33.43	I	8.8 0.3	10 57 39.34	+10 37 18.6		
(91)	Juni	3 E	15 ^h 6 ^m 0 ^s 80	8 ^h 59 ^m 15 ^s 74	I	9 ^h 4 0 ^m 5	10 ^h 57 ^m 32 ^s 26	+10°22'29".8		
92	"	3 E	15 6 14.30	8 59 29.21	I	9.0 0.3	10 57 33.05	+10 22 30.2		
93	"	3 E	15 31 17.31	9 24 28.11	I	9.3 1	10 57 35.49	+10 13 36.2		
94	"	3 E	15 31 19.81	9 24 30.60	I	9.3 0.7	10 57 34.61	+10 13 37.2		
95	"	3 E	15 49 2.32	9 42 10.21	I	8.3 0.2	10 59 18.95	+10 25 45.0		
(96)	Juni	4 E	14 ^h 39 ^m 46 ^s 54	8 ^h 29 ^m 9 ^s 87	I	9 ^h 4 0 ^m 5	11 ^h 44 ^m 26 ^s 37	+ 4°45'31".6		
97	"	4 E	15 25 28.96	9 14 44.80	I	9.5 0.3	11 45 32.30	+ 4 32 42.4		
98	"	4 E	15 40 12.26	9 29 25.69	I	9.5 0.3	11 46 13.16	+ 4 43 24.2		
(99)	"	4 E	15 56 29.07	9 45 39.83	II	8.5 1	11 45 24.20	+ 4 20 55.1		
100	"	4 E	16 32 40.88	10 21 45.71	I	9.4 0.3	11 47 22.49	+ 4 15 23.2		
101	Juni	5 E	14 ^h 33 ^m 24 ^s 83	8 ^h 18 ^m 53 ^s 29	II	7 ^h 2 0 ^m 3	12 ^h 29 ^m 50 ^s 57	- 0°55' 9".6		
102	"	5 E	15 19 25.95	9 4 46.87	II	9.0 0.3	12 29 38.86	- 1 21 32.6		
103	"	5 E	15 24 21.95	9 9 42.06	II	9.5 0.4	12 30 51.88	- 1 16 27.7		
104	"	8 E	13 54 18.03	7 28 5.16	II	8.8 0.5	14 43 35.24	-16 58 16.6		
105	"	8 E	13 54 23.03	7 28 10.15	II	8.0 0.3	14 43 35.24	-16 58 16.6		
106	Juni	10 E	16 ^h 39 ^m 35 ^s 89	10 ^h 5 ^m 4 ^s 11	II	8 ^h 3 0 ^m 3	16 ^h 24 ^m 36 ^s 87	-24°57'29".9		
107	"	10 E	16 51 9.09	10 16 35.42	II	5.0 0.2	16 24 50.07	-24 55 23.5		
108	"	17 A	19 13 38.26	12 11 9.86	I	8.8 0.3	22 29 42.37	-15 34 33.2		
109	"	17 A	19 14 56.06	12 12 27.45	I	9.0 0.3	22 29 50.63	-15 35 34.3		
110	Juli	3 E	16 19 48.09	8 14 53.56	I	9.6 0.5	13 0 25.47	- 5 35 26.9		
111	Juli	3 E	16 ^h 51 ^m 35 ^s 09	8 ^h 46 ^m 35 ^s 36	I	9 ^h 4 0 ^m 5	12 ^h 2 ^m 12 ^s 89	- 5°28'44".0		
112	"	3 E	17 19 40.79	9 14 36.45	I	9.3 0.5	13 2 52.06	- 5 27 29.7		
113	"	3 E	17 43 39.59	9 38 31.32	I	8.8 0.5	13 3 24.89	- 5 48 20.3		
(114)	"	5 E	16 24 58.90	8 12 11.70	I	9.2 1	14 31 47.80	-16 3 12.1		
115	"	5 E	17 1 4.11	8 48 11.00	I	8.2 0.4	14 32 39.81	-16 9 13.4		
116	Juli	5 E	17 ^h 35 ^m 55 ^s 92	9 ^h 22 ^m 57 ^s 10	II	8 ^h 7 0 ^m 3	14 ^h 33 ^m 30 ^s 76	-16° 9'39".0		
(117)	"	5 E	17 57 12.42	9 44 10.12	II	9.3 1	14 33 32.80	-16 29 45.0		
118	"	13 A	20 56 41.63	12 11 42.62	I	8.5 0.4	21 28 13.54	-21 4 5.2		
119	"	13 A	22 7 3.65	13 21 53.11	I	7.5 0.4	21 29 57.30	-20 38 43.6		
120	"	14 A	21 29 45.65	12 40 45.32	I	9.0 0.3	22 17 45.26	-16 17 45.4		
121	Juli	14 A	22 ^h 0 ^m 30 ^s 47	13 ^h 11 ^m 25 ^s 10	I	8 ^h 5 0 ^m 4	22 ^h 18 ^m 52 ^s 35	-16° 1'53".3		
(122)	"	15 A	21 8 15.41	12 15 22.69	I	8.7 0.5	23 4 30.39	-11 10 24.0		
123	"	15 A	21 43 0.71	12 50 2.29	I	8.0 0.3	23 5 20.27	-10 59 48.7		
124	"	17 A	20 19 6.92	11 18 30.42	I	9.1 0.2	0 36 49.98	+ 0 13 25.0		
125	"	17 A	21 2 4.83	12 1 21.29	I	8.2 0.2	0 37 29.64	+ 0 32 14.2		
126	Juli	17 A	21 ^h 6 ^m 17 ^s 93	12 ^h 5 ^m 33 ^s 70	I	8 ^h 1 0 ^m 5	0 ^h 37 ^m 34 ^s 31	+ 0°34'46".0		
(127)	"	19 A	20 44 46.78	11 36 14.26	I	9.2 0.5	2 15 46.36	+12 23 26.8		
128	"	20 A	20 41 59.28	11 29 31.30	0	8.5 0.2	3 9 3.10	+17 58 46.2		
129	"	20 A	20 46 29.69	11 34 0.97	I	9.0 0.3	3 9 13.72	+18 0 45.3		
130	"	20 A	21 24 1.20	12 11 26.33	I	9.0 0.2	3 10 42.42	+18 9 31.9		

	1911	Ph. Sternzeit	M. Z. Gr.	O	Gr.	±	α'	δ'
131	Jul 20	A 22 ^h 18 ^m 17 ^s 31	13 ^h 5 ^m 33 ^s 55	I	875	0.3	3 ^h 13 ^m 38 ^s 37	+18° 9' 48
132	" 21	A 20 32 8.11	11 15 45.83	I	6.0	0.3	4 7 34.86	+22 11 14.1
133	" 21	A 20 53 38.42	11 37 12.62	I	9.2	0.5	4 8 6.52	+22 30 41.6
134	" 21	A 20 57 45.72	11 41 19.24	I	7.0	0.3	4 9 13.17	+22 13 46.2
135	" 21	A 21 6 19.62	11 49 51.74	I	8.3	0.4	4 8 41.79	+22 29 2.0
136	Jul 21	A 21 ^h 11 ^m 50 ^s 92	11 ^h 55 ^m 31 ^s 11	I	970	0.3	4 ^h 9 ^m 9 ^s 26	+22°42'23.72
137	" 21	A 21 14 20.92	11 57 51.72	I	9.4	0.5	4 9 5.77	+22 38 20.6
(138)	" 21	A 21 32 10.93	12 15 38.81	I	9.5	0.2	4 10 4.86	+22 27 12.6
139	" 21	A 21 51 38.14	12 35 2.84	I	8.9	0.3	4 10 43.18	+22 44 49.2
(140)	" 21	A 21 58 47.44	12 42 10.96	I	10.8	0.7	4 11 55.63	+22 26 44.7
(141)	Jul 21	A 21 ^h 59 ^m 0 ^s 94	12 ^h 42 ^m 24 ^s 43	I	974	0.7	4 ^h 11 ^m 48 ^s 56	+22°27'21.78
142	" 21	A 22 16 4.75	12 59 25.44	I	9.3	0.3	4 11 52.56	+22 54 11.5
143	" 21	A 22 30 41.95	13 14 0.24	I	7.5	0.2	4 12 56.76	+22 35 29.0
(144)	" 31	E 18 8 8.95	8 12 51.15	I	8.0	0.5	13 31 14.01	- 9 19 56.4
145	Aug. 11	A 21 1 4.54	10 22 3.19	I	7.0	0.3	22 49 28.24	-12 39 33.7
146	Aug. 12	A 21 ^h 12 ^m 43 ^s 18	10 ^h 29 ^m 24 ^s 27	I	875	0.3	23 ^h 36 ^m 37 ^s 71	- 6°57'59.70
147	" 12	A 22 56 38.18	12 13 22.20	I	8.5	0.3	23 39 18.06	- 6 45 38.3
148	" 12	A 23 32 8.09	12 48 46.29	I	9.0	0.3	23 40 7.70	- 6 37 12.8
149	" 12	A 23 41 12.09	12 57 48.81	I	9.2	0.3	23 40 6.01	- 6 22 39.4
150	" 12	A 0 23 17.49	13 39 47.31	I	9.0	0.5	23 41 21.35	- 6 25 24.7
151	Aug. 13	A 20 ^h 18 ^m 11 ^s 74	9 ^h 31 ^m 25 ^s 80	I	872	0.2	0 ^h 22 ^m 21 ^s 87	- 1°25' 0.75
152	" 13	A 22 26 1.95	11 38 55.07	I	7.9	0.3	0 25 19.59	- 0 48 32.4
153	" 13	A 22 33 19.15	11 46 11.07	I	8.5	0.3	0 25 59.89	- 0 51 35.0
154	" 13	A 23 8 15.75	12 21 1.95	I	9.0	0.3	0 26 22.69	- 0 38 28.7
155	" 13	A 23 22 48.75	12 35 32.56	I	9.0	0.4	0 27 20.45	- 0 39 27.5
(156)	Aug. 14	A 20 ^h 7 ^m 12 ^s 35	9 ^h 16 ^m 32 ^s 29	I	778	0.4	1 ^h 9 ^m 16 ^s 50	+ 4°40'30.76
(157)	" 14	A 22 35 18.30	11 44 13.98	I	8.0	0.3	1 12 59.72	+ 5 25 13.8
158	" 17	A 22 51 2.95	11 48 8.33	I	9.2	0.3	3 51 26.65	+21 42 11.4
159	" 17	A 22 51 13.25	11 48 18.60	I	9.4	0.4	3 51 26.68	+21 47 15.1
160	" 17	A 22 53 19.45	11 50 24.46	I	9.4	0.2	3 51 41.36	+21 53 59.5
161	Aug. 17	A 23 ^h 2 ^m 52 ^s 45	11 ^h 59 ^m 55 ^s 89	I	878	0.3	3 ^h 51 ^m 52 ^s 22	+21°47'23.75
162	" 20	A 23 20 44.88	12 5 57.66	I	8.8	0.4	7 3 23.84	+26 54 39.5
163	" 20	A 23 34 22.08	12 19 32.63	I	9.2	0.2	7 3 37.83	+26 51 58.2
164	" 20	A 23 54 58.38	12 20 8.83	I	9.8	0.5	7 3 18.86	+26 46 23.2
165	" 20	A 23 41 3.08	12 26 12.54	I	9.5	0.4	7 3 29.66	+26 41 4.6
166	Aug. 20	A 23 ^h 48 ^m 18 ^s 88	12 ^h 33 ^m 27 ^s 15	I	970	0.3	7 ^h 4 ^m 43 ^s 31	+26°48'46.70
(167)	" 20	A 0 4 43.58	12 49 49.16	I	9.5	0.5	7 4 43.19	+26 45 19.0
168	" 20	A 0 8 48.28	12 53 53.19	I	9.5	0.4	7 4 50.02	+26 39 38.3
169	" 20	A 0 15 5.88	13 0 9.76	I	9.4	0.4	7 5 26.73	+26 28 32.6
170	" 20	A 0 24 8.98	13 9 11.37	I	9.3	0.3	7 5 36.59	+26 35 12.8
(171)	Aug. 20	A 0 ^h 26 ^m 22 ^s 08	13 ^h 11 ^m 24 ^s 11	I	975	0.5	7 ^h 5 ^m 54 ^s 32	+26°29'58.75
172	" 20	A 0 31 30.08	13 16 31.27	I	7.0	0.2	7 6 0.68	+26 33 15.4
173	" 20	A 0 37 14.08	13 22 14.33	I	8.9	0.3	7 6 17.11	+26 46 24.8
174	" 20	A 0 45 35.48	13 30 34.36	I	9.3	0.4	7 7 22.47	+26 55 20.2
175	" 20	A 0 51 56.08	13 36 53.92	I	9.5	0.5	7 7 3.78	+26 48 55.2

	1911	Ph.	Sternzeit	M. Z. Gr.	O	Gr.	±	a'	δ'
176	Aug.	20	A	0 ^h 54 ^m 59 ^s 08	13 ^h 39 ^m 56 ^s 42	I	7 ^h 8 ^m 0 ^s 2	7 ^h 7 ^m 1 ^s 48	+26°42'56.0
177	"	20	A	1 27 7.38	14 11 59.46	I	9.0 0.2	7 8 28.92	+26 37 22.9
(178)	"	20	A	1 35 24.58	14 20 15.30	I	9.3 0.7	7 8 58.14	+26 32 53.4
179	"	20	A	1 42 32.08	14 27 21.63	I	8.8 0.2	7 9 16.60	+26 48 13.5
180	Okt.	14	A	23 35 30.24	8 44 25.66	I	9.1 0.3	7 25 42.15	+26 36 11.3
181	Okt.	14	A	23 ^h 40 ^m 5 ^s 14	8 ^h 48 ^m 59 ^s 81	I	9 ^h 0 ^m 0 ^s 3	7 ^h 26 ^m 12 ^s 69	+26°38'59.4
182	"	14	A	0 12 33.03	9 21 22.38	I	8.3 0.2	7 27 51.19	+26 39 3.0
183	"	14	A	0 25 2.53	9 33 49.83	I	7.8 0.5	7 27 47.53	+26 18 17.6
184	"	14	A	1 23 39.01	10 32 16.71	I	9.5 0.3	7 30 25.14	+26 28 18.0
(185)	Nov.	2	E	1 19 12.77	9 13 8.93	I	7.9 0.5	23 31 45.21	- 7 36 16.2
186	Nov.	8	A	0 ^h 16 ^m 9 ^s 92	7 ^h 46 ^m 40 ^s 95	I	8 ^h 7 ^m 0 ^s 3	4 ^h 54 ^m 10 ^s 72	+25°40'34.9
187	"	8	A	1 33 47.42	9 4 5.74	I	8.7 0.4	4 57 24.93	+25 29 17.0
188	"	8	A	1 45 41.82	9 15 58.19	I	8.5 0.3	4 58 0.52	+25 38 50.2
189	"	26	E	20 54 46.49	3 15 1.12	I	8.9 0.4	20 40 34.73	-24 48 31.0
190	"	26	E	22 46 32.20	5 6 31.52	I	9.1 0.5		
(191)	Nov.	26	E	22 ^h 56 ^m 37 ^s 20	5 ^h 16 ^m 34 ^s 87	I	8 ^h 9 ^m 1 ^s	20 ^h 44 ^m 43 ^s 08	-24°23'13.0
192	"	27	E	21 19 38.25	3 35 55.89	I	7.5 0.2	21 29 57.03	-20 38 48.3
(193)	"	27	E	21 24 28.65	3 40 45.50	I	9.2 0.5		
194	"	27	E	21 29 2.35	3 45 18.45	I	9.1 0.3	21 31 10.31	-20 49 22.4
(195)	"	27	E	21 31 24.35	3 47 40.06	I	9.2 1	21 30 17.23	-20 36 52.6
196	Dec.	30	E	1 ^h 26 ^m 3 ^s 82	5 ^h 31 ^m 55 ^s 96	I	8 ^h 8 ^m 0 ^s 4	1 ^h 59 ^m 7 ^s 49	+11°48' 1.3
197	"	30	E	5 14 23.63	9 19 38.37	II	7.9 0.2	2 5 1.82	+12 45 38.0
198	"	31	E	0 25 37.66	4 27 43.79	II	7.8 0.3	2 49 59.29	+17 22 45.5
199	"	31	E	1 26 24.66	5 28 20.83	II	9.0 0.4	2 52 14.76	+17 34 30.2
200	"	31	E	1 37 14.06	5 39 8.46	II	8.0 0.4	2 52 58.45	+17 27 45.2
201	Dec.	31	E	2 ^h 29 ^m 47 ^s 16	6 ^h 31 ^m 32 ^s 95	II	9 ^h 1 ^m 0 ^s 4	2 ^h 54 ^m 0 ^s 62	+17°49'42.6
202	"	31	E	3 10 5.66	7 11 44.85	II	7.7 0.2	2 55 34.69	+17 39 29.0
203	"	31	E	4 14 13.86	8 15 42.54	II	9.1 0.4	2 57 22.38	+18 5 57.1
204	"	31	E	7 22 20.89	11 23 18.75	II	7.2 0.4	3 3 21.88	+18 27 35.4
1912									
(205)	Jan.	2	E	6 ^h 49 ^m 40 ^s 24	10 ^h 42 ^m 51 ^s 62	II	6 ^h 8 ^m 0 ^s 5	5 ^h 6 ^m 55 ^s 46	+26°21'15.1
(206)	Jan.	9	Eh	9 ^h 6 ^m 7 ^s 49	12 ^h 31 ^m 25 ^s 13	II	3 ^h 7 ^m 1 ^s	12 ^h 15 ^m 24 ^s 15	- 0°10'41.1
(207)	"	9	A	9 41 7.49	13 6 19.40	I	9.1 1	12 14 42.97	- 0 6 32.1
208	"	9	A	10 7 58.70	13 33 6.21	I	3.7 0.3	12 15 24.15	- 0 10 41.1
209	"	27	E	5 37 29.14	7 52 34.55	II	9.0 0.4	2 36 44.93	+16 21 42.8
210	"	27	E	6 10 3.44	8 25 3.51	II	8.0 0.2	2 37 26.97	+16 35 7.0
211	Jan.	27	E	7 ^h 45 ^m 48 ^s 43	10 ^h 0 ^m 32 ^s 82	II	7 ^h 6 ^m 0 ^s 2	2 ^h 40 ^m 49 ^s 07	+16°39' 5.0
212	"	27	E	8 32 54.43	10 47 31.10	I	9.0 0.4	2 42 25.67	+16 55 3.2
213	"	27	E	8 33 37.63	10 48 14.18	I	8.8 0.4	2 42 30.89	+16 50 35.7
214	"	27	E	8 42 39.63	10 57 14.70	I	9.0 0.4	2 42 47.99	+16 56 5.8
215	"	27	E	9 9 19.12	11 23 49.82	I	8.0 0.4	2 43 24.98	+17 8 39.3

	1912	Ph.	Sternzeit	M. Z.	Gr.	O	Gr.	t	α'	δ'
216	Jan. 27	E	9 ^h 14 ^m 8 ^s 42	11 ^h 28 ^m 38 ^s 33	I	8 ^h 8 ^m 0 ^s 4	2 ^h 43 ^m 38 ^s 05	+16°44'59.74		
217	" 27	E	9 26 20.41	11 40 48.33	I	6.2 0.2	2 44 22.60	+17 8 1.0		
218	" 28	E	2 41 31.68	4 53 10.00	II	8.6 0.5	3 26 10.86	+20 28 28.9		
219	" 28	E	5 47 12.91	7 58 20.81	II	8.8 0.4	3 31 22.51	+21 29 26.4		
220	" 28	E	6 12 29.41	8 23 33.17	I	9.1 0.4	3 32 48.29	+21 25 23.0		
221	Jan. 28	E	6 ^h 54 ^m 41 ^s 52	9 ^h 5 ^m 38 ^s 37	I	7 ^h 8 ^m 0 ^s 3	3 ^h 34 ^m 4 ^s 84	+21°33'36.70		
222	" 29	E	2 43 12.64	4 50 54.77	II	7.8 0.3	4 25 56.65	+24 50 41.3		
223	" 29	E	6 34 38.18	8 41 42.40	II	6.8 0.3	4 34 1.54	+25 2 49.4		
(224)	Febr. 3	A	7 49 17.36	9 36 29.80	I	6.8 0.5	10 0 55.87	+16 11 6.1		
225	" 5	A	7 23 19.10	9 2 43.97	I	8.4 0.4	11 47 56.74	+ 3 35 8.2		
226	Febr. 29	E	7 ^h 39 ^m 1 ^s 91	7 ^h 44 ^m 2 ^s 38	II	9 ^h 0 ^m 0 ^s 5	8 ^h 31 ^m 5 ^s 64	+23°46' 1 ^s 76		
227	Apr. 21	E	9 42 2.54	6 22 15.63	I	7.0 0.2	5 44 6.17	+27 31 35.8		
228	" 21	E	10 9 41.44	6 49 50.00	I	7.2 0.2	5 45 7.96	+27 28 58.4		
229	" 21	E	11 10 21.64	7 50 20.27	I	5.2 0.2	5 47 47.50	+27 35 42.0		
(230)	" 21	Ah	12 5 25.64	8 45 15.24	II	5.2 1	5 47 47.50	+27 35 42.0		
231	Okt. 21	E	20 ^h 59 ^m 9 ^s 17	5 ^h 37 ^m 59 ^s 75	II	8 ^h 5 ^m 0 ^s 3	22 ^h 14 ^m 11 ^s 34	-12°17'22.71		
232	" 21	E	22 3 30.00	6 42 10.04	II	7.9 0.3	22 44 51.39	-11 48 40.1		
233	" 21	E	23 57 7.26	8 35 28.69	I	8.5 0.2	22 47 36.07	-11 25 12.4		
(234)	" 27	A	22 28 17.44	6 43 17.97	I	8.6 0.5	3 26 24.50	+21 31 43.9		
235	Nov. 16	E	19 37 36.96	2 34 27.24	II	5.2 0.3	21 37 47.56	-19 15 58.7		
(236)	Nov. 16	E	20 ^h 49 ^m 19 ^s 09	3 ^h 45 ^m 57 ^s 62	II	8 ^h 9 ^m 1 ^s	21 ^h 39 ^m 2 ^s 20	-18°59'23.75		
237	" 16	Ah	20 55 51.90	3 52 29.36	II	5.2 0.4	21 37 47.56	-19 15 58.7		
238	Dec. 16	E	23 7 28.36	4 5 46.89	I	9.0 0.5	23 35 18.89	- 4 49 22.8		
239	" 16	E	23 39 49.08	4 38 2.31	I	8.7 0.3	23 36 49.10	- 4 54 24.5		
240	" 19	E	1 52 39.78	6 38 43.50	I	8.6 1	1 52 8.53	+13 11 0.4		
241	Dec. 21	E	2 ^h 33 ^m 31 ^s 81	7 ^h 11 ^m 37 ^s 02	I	7 ^h 0 ^m 0 ^s 2	3 ^h 40 ^m 41 ^s 33	+22°52'43.79		
242	" 21	E	3 47 53.81	8 25 46.83	II	8.6 0.3	3 42 33.77	+23 16 41.6		
243	" 21	E	3 54 21.92	8 32 13.88	II	8.5 0.2	3 42 28.01	+23 20 40.9		
244	" 21	E	3 58 35.23	8 36 26.50	II	6.3 0.4	3 43 12.46	+23 9 27.2		
245	" 21	E	4 8 38.94	8 46 28.56	II	8.4 1	3 42 18.06	+23 24 46.9		
246	Dec. 21	E	4 ^h 21 ^m 17 ^s 16	8 ^h 59 ^m 4 ^s 71	II	8 ^h 5 ^m 0 ^s 3	3 ^h 43 ^m 35 ^s 82	+22°59'48.76		
247	" 21	E	4 27 41.27	9 5 27.78	II	8.8 0.4	3 44 4.11	+23 8 37.9		
248	" 21	E	4 55 13.00	9 32 54.99	II	7.2 0.3	3 44 34.50	+23 27 2.4		
249	" 21	E	5 22 38.22	10 0 15.72	II	6.8 0.3	3 44 48.65	+23 35 15.9		
1913										
250	Jan. 16	E	1 ^h 41 ^m 35 ^s 83	4 ^h 37 ^m 35 ^s 80	I	8 ^h 5 ^m 0 ^s 4	2 ^h 18 ^m 42 ^s 95	+16°20' 9 ^s 7		
251	Jan. 16	E	2 ^h 8 ^m 27 ^s 54	5 ^h 4 ^m 23 ^s 11	I	9 ^h 3 ^m 0 ^s 4	2 ^h 19 ^m 48 ^s 20	+16°23'47.73		
252	" 16	E	2 28 17.85	5 24 10.17	I	9.1 0.5	2 20 14.53	+16 28 26.8		
253	" 16	E	2 34 44.56	5 30 35.82	I	9.3 0.5	2 20 20.09	+16 30 15.5		
254	" 16	E	4 52 41.42	7 48 10.08	I	8.4 0.3	2 23 33.50	+16 58 44.1		
255	Febr. 10	E	4 36 43.27	5 53 56.78	I	8.2 0.3	0 36 20.54	+ 4 0 2.4		

	1913	Ph.	Sternzeit	M. Z.	Gr.	O	Gr.	±	α'	δ'
256	Febr.	10	E	5 ^h 5 ^m 49 ^s .57	6 ^h 22 ^m 58 ^s .31	I	9 ^h 2 ^m 0 ^s .4	0 ^h 36 ^m 28 ^s .72	+ 4° 17' 23".0	
(257)	"	10	E	5 18 38.57	6 35 45.21	I	9.5 0.5	0 37 25.97	+ 4 8 16.8	
258	"	10	E	5 36 20.07	6 53 23.81	I	8.8 0.3	0 37 50.33	+ 4 16 15.1	
259	"	10	E	5 40 25.07	6 57 28.14	I	9.1 0.4	0 37 50.61	+ 4 20 3.4	
260	"	21	A	6 40 18.14	7 13 56.39	II	4.8 0.3	11 0 33.57	+ 7 48 15.6	
261	März	15	E	6 ^h 38 ^m 33 ^s .48	5 ^h 45 ^m 42 ^s .04	I	9 ^h 0 ^m 0 ^s .3	5 ^h 27 ^m 53 ^s .92	+27° 50' 50".5	
262	"	15	E	6 43 49.17	5 50 56.87	I	8.5 0.2	5 27 27.12	+28 16 41.4	
263	"	15	E	7 9 56.26	6 16 59.68	I	8.1 0.2	5 29 10.92	+27 59 42.5	
264	"	15	E	7 20 22.16	6 27 23.87	I	8.1 0.2	5 29 10.56	+27 50 25.9	
265	"	15	E	8 2 48.15	7 9 42.91	I	9.2 0.5	5 29 54.14	+27 45 59.7	
266	März	15	E	8 ^h 18 ^m 16 ^s .64	7 ^h 25 ^m 8 ^s .87	I	8 ^h 5 ^m 0 ^s .3	5 ^h 31 ^m 11 ^s .90	+27° 51' 36".1	
267	"	15	E	8 23 50.84	7 30 42.15	I	9.1 0.4	5 31 30.64	+28 8 54.2	
268	"	15	E	9 7 11.22	8 13 55.43	I	9.3 0.3	5 33 11.27	+28 1 1.0	
269	"	15	E	9 9 35.02	8 16 18.84	I	9.3 0.3	5 33 15.24	+27 58 0.8	
270	"	15	E	9 20 50.42	8 27 32.39	I	9.0 0.3	5 33 39.30	+27 57 16.1	
271	März	15	E	10 ^h 1 ^m 14 ^s .10	9 ^h 7 ^m 49 ^s .46	I	8 ^h 7 ^m 0 ^s .4	5 ^h 34 ^m 16 ^s .79	+27° 44' 8".4	
272	"	15	E	10 19 52.49	9 26 24.79	I	8.4 0.3	5 35 12.63	+27 44 33.3	
273	"	20	E	9 40 23.27	8 27 22.50	?	8.6 0.5	10 38 0.30	+10 28 44.0	
274	"	21	E	7 50 36.16	6 33 57.50	II	8.0 0.5	11 28 53.51	+ 3 50 25.9	
275	"	21	E	8 46 6.17	7 29 18.39	II	8.1 0.3	11 29 56.68	+ 3 32 25.5	
276	März	21	E	9 ^h 8 ^m 18 ^s .47	7 ^h 51 ^m 27 ^s .05	II	7 ^h 6 ^m 0 ^s .5	11 ^h 31 ^m 48 ^s .60	+ 3° 46' 50".5	
277	Mai	9	E	11 34 52.33	7 4 57.36	I	8.5 0.5	6 2 11.13	+27 52 22.0	
278	"	3	E	11 48 41.32	7 18 44.09	I	9.0 0.4	6 2 14.13	+28 7 39.3	
279	"	14	E	14 17 16.03	9 27 14.91	I	8.5 0.3	10 55 2.47	+ 7 41 22.2	
280	"	15	E	13 42 30.52	8 48 39.18	I	8.7 0.3	11 45 3.43	+ 1 5 24.6	
281	Mai	15	E	13 ^h 44 ^m 20 ^s .82	8 ^h 50 ^m 29 ^s .17	I	9 ^h 2 ^m 0 ^s .3	11 ^h 45 ^m 20 ^s .99	+ 1° 7' 10".3	
282	"	16	E	13 9 33.29	8 11 51.44	I	7.0 0.3	12 35 3.25	- 5 37 34.9	
283	"	21	A	18 11 10.20	12 52 59.38	I	7.6 0.4	17 22 59.08	-28 59 20.6	
284	Juni	8	E	14 59 28.32	8 31 2.48	I	8.2 0.2	8 51 59.23	+20 23 8.4	
(285)	"	8	E	15 15 19.31	8 46 50.87	I	9.0 0.5	8 52 49.82	+20 48 47.9	
286	Juni	9	E	15 ^h 33 ^m 57 ^s .79	9 ^h 1 ^m 30 ^s .40	I	8 ^h 8 ^m 0 ^s .4	9 ^h 48 ^m 48 ^s .08	+15° 7' 37".8	
287	"	9	E	15 35 37.39	9 3 9.72	I	7.7 0.2	9 49 5.59	+15 8 52.0	
288	"	9	E	16 37 34.46	10 4 56.64	I	7.6 0.3	9 51 54.80	+15 8 26.5	
289	"	13	E	16 15 53.25	9 27 35.33	I	7.1 0.4	13 12 49.49	-11 1 46.9	
(290)	"	20	A	18 20 23.06	11 4 13.35	I	8.0 1	19 52 0.56	-26 27 2.1	
291	Juni	20	A	19 ^h 16 ^m 59 ^s .93	12 ^h 0 ^m 40 ^s .95	I	5 ^h 0 ^m 0 ^s .2	19 ^h 53 ^m 42 ^s .47	-26° 25' 53".5	
292	Juli	12	E	16 40 17.53	7 57 54.14	I	6.3 0.3	14 42 18.95	-20 57 55.9	
293	"	13	E	16 27 22.30	7 41 5.13	I	7.3 0.4	15 38 1.62	-25 8 35.6	
294	"	13	E	17 45 0.42	8 58 30.53	I	7.4 0.5	15 40 36.22	-25 13 41.3	
295	"	22	A	20 47 59.23	11 25 36.15	I	7.8 0.3	23 30 48.48	- 4 19 53.0	
296	Juli	26	A	21 ^h 17 ^m 18 ^s .52	11 ^h 39 ^m 6 ^s .99	I	6 ^h 7 ^m 0 ^s .2	2 ^h 26 ^m 6 ^s .41	+17° 19' 23".1	
297	"	27	A	20 21 6.48	10 39 8.24	I	9.5 0.4	3 13 57.69	+21 32 49.9	
(298)	"	27	A	20 30 41.98	10 48 42.18	I	9.1 0.5	3 14 54.69	+21 24 32.3	
(299)	Okt.	7	E	19 0 8.43	4 35 18.03	I	9.0 0.7	19 35 12.43	-27 29 55.0	
300	"	11	E	21 31 28.61	6 50 29.77	II	8.6 0.3	22 50 25.84	- 9 49 58.5	

	1913	Ph.	Sternzeit	M. Z.	Gr.	0	Gr.	±	a'	δ'
301	Okt.	11	E	0 ^h 31 ^m 42 ^s .90	9 ^h 50 ^m 14 ^s .54	II	8 ^h 59 ^m 0 ^s .2	22 ^h 54 ^m 7 ^s .39	- 8°54'53.1	
302	"	11	E	1 5 42.08	10 24 8.15	I	8.9 0.4	22 54 50.73	- 9 1 21.5	
303	"	11	E	1 7 55.78	10 26 21.49	I	8.7 0.2	22 54 31.12	- 8 40 27.2	
304	"	12	E	19 1 20.19	4 16 50.05	II	7.2 0.5	23 29 3.40	- 4 52 32.5	
305	"	13	E	2 16 55.44	11 27 18.02	II	8.8 0.3	0 20 9.27	+ 2 53 58.4	
306	Okt.	14	E	22 ^h 55 ^m 14 ^s .00	7 ^h 42 ^m 17 ^s .00	II	4 ^h 2 ^m 0 ^s .4	0 ^h 58 ^m 29 ^s .29	+ 7°25'45.0	
(307)	"	18	A	23 32 35.63	8 23 45.60	I	9.0 0.7	4 10 57.32	+25 18 22.8	
(308)	"	18	A	1 7 12.58	9 58 7.05	I	9.0 0.7	4 13 49.76	+25 44 47.7	
309	"	18	A	1 44 40.86	10 35 29.18	I	7.7 0.3	4 15 16.39	+25 37 26.0	
310	"	20	A	1 8 56.62	9 51 58.98	I	8.7 0.3	6 8 57.67	+28 3 19.1	
311	Okt.	20	A	1 ^h 25 ^m 25 ^s .11	10 ^h 8 ^m 24 ^s .77	I	8 ^h 58 ^m 0 ^s .3	6 ^h 9 ^m 35 ^s .12	+27°55'9.0	
312	"	20	A	1 38 0.11	10 20 57.71	I	8.0 0.2	6 10 37.33	+28 13 54.4	
313	"	20	A	1 43 56.61	10 26 53.24	I	9.0 0.3	6 10 48.17	+28 13 48.8	
314	"	20	A	1 47 48.11	10 30 44.11	I	8.0 0.3	6 10 29.77	+27 53 31.9	
315	"	20	A	2 18 1.10	11 0 52.15	I	9.0 0.3	6 11 40.26	+27 53 0.6	
316	Okt.	20	A	2 ^h 40 ^m 29 ^s .00	11 ^h 23 ^m 16 ^s .37	I	9 ^h 1 ^m 0 ^s .3	6 ^h 12 ^m 16 ^s .83	+28°6'15.8	
317	"	20	A	2 49 57.10	11 32 42.91	I	7.0 0.3	6 12 34.53	+28 2 27.7	
318	"	20	A	3 12 59.50	11 55 41.54	I	8.0 0.3	6 13 21.92	+28 5 28.4	
319	"	21	A	23 36 38.05	8 15 59.63	I	7.9 0.3	7 4 20.24	+26 39 53.9	
320	"	21	A	0 4 24.74	8 43 41.77	I	5.9 0.2	7 6 2.92	+27 0 3.2	
321	Okt.	21	A	0 ^h 8 ^m 51 ^s .64	8 ^h 48 ^m 7 ^s .94	I	7 ^h 0 ^m 0 ^s .2	7 ^h 6 ^m 10 ^s .93	+26°33'0.7	
322	"	21	A	0 27 41.63	9 6 54.85	I	8.9 0.4	7 6 27.38	+26 46 10.0	
323	"	21	A	0 44 43.12	9 23 53.55	I	7.8 0.3	7 7 11.74	+26 42 41.1	
324	"	21	A	1 16 31.60	9 55 36.81	I	9.0 0.3	7 8 39.17	+26 37 7.6	
325	"	21	A	1 39 38.39	10 18 39.82	I	8.8 0.3	7 9 26.87	+26 47 58.0	
326	Okt.	21	A	2 ^h 34 ^m 43 ^s .96	11 ^h 13 ^m 36 ^s .36	I	7 ^h 4 ^m 0 ^s .2	7 ^h 11 ^m 57 ^s .26	+26°31'8.7	
327	"	21	A	2 35 51.66	11 14 43.88	I	6.3 0.2	7 11 43.53	+26 50 51.0	
328	"	21	A	2 48 20.86	11 27 11.03	I	7.9 0.3	7 12 36.19	+26 29 23.1	
329	"	21	A	3 14 19.44	11 53 5.36	I	8.9 0.3	7 13 0.23	+26 45 16.0	
330	"	21	A	4 25 31.11	13 4 5.36	I	8.3 0.3	7 15 35.55	+26 47 13.7	
331	Okt.	21	A	4 ^h 41 ^m 9 ^s .90	13 ^h 19 ^m 41 ^s .59	I	8 ^h 0 ^m 0 ^s .3	7 ^h 15 ^m 56 ^s .82	+26°39'28.9	
332	"	22	A	0 53 3.60	9 28 16.75	I	8.6 0.5	8 6 23.60	+23 44 25.7	
333	"	22	A	1 22 40.28	9 57 48.58	I	9.0 0.4	8 7 15.11	+23 49 0.6	
334	"	22	A	2 23 33.83	10 58 32.15	I	8.7 0.3	8 10 1.79	+24 0 42.0	
335	"	22	A	3 5 58.31	11 40 49.68	I	9.6 0.3	8 11 27.53	+23 53 18.6	
336	Okt.	22	A	4 ^h 33 ^m 41 ^s .95	13 ^h 8 ^m 18 ^s .95	I	9 ^h 0 ^m 0 ^s .3	8 ^h 14 ^m 25 ^s .79	+23°34'8.7	
337	Nov.	5	E	21 49 48.29	5 30 28.72	I	9.2 0.3	21 3 16.54	-21 20 37.9	
338	"	5	E	22 50 30.88	6 31 1.37	I	6.1 0.2	21 4 37.88	-20 54 18.3	
339	"	5	E	22 54 26.98	6 34 56.82	I	9.0 0.4	21 4 31.03	-20 50 25.4	
(340)	"	10	E	21 49 45.90	5 10 46.79	II	8.9 0.5	0 41 53.32	+ 5 17 34.1	
341	Nov.	10	E	22 ^h 6 ^m 13 ^s .10	5 ^h 26 ^m 59 ^s .32	II	8 ^h 5 ^m 0 ^s .3	0 ^h 41 ^m 39 ^s .87	+ 5°37'14.3	
(342)	"	16	A	2 50 44.78	9 47 20.89	I	6.5 0.7	5 54 40.00	+28 7 23.1	
(343)	"	16	A	3 56 16.72	10 52 42.10	I	9.0 1	5 56 45.46	+28 8 33.6	
344	"	16	A	4 2 4.52	10 58 28.95	I	9.0 0.3	5 57 10.12	+28 12 32.1	
(345)	Dec.	7	E	5 7 3.73	10 40 43.35	I	8.8 0.5	0 34 8.91	+ 4 58 36.7	

	1913	Ph. Sternzeit	M. Z. Gr.	O	Gr.	t	α'	δ'
(346)	Dez. 11 E	4 ^h 45 ^m 14 ^s 21	10 ^h 3 ^m 13 ^s 76	II	3 ^h 0	0 ^s 15	5 ^h 42 ^m 23 ^s 35	+23°50'35 ^s 75
347	" 11 Ah	5 29 38.98	10 47 31.25	II	3.0	0.4	3 42 23.35	+23 50 35.5
348	" 11 E	5 42 57.87	11 0 47.96	II	6.5	0.2	3 44 15.22	+24 7 21.0
349	" 31 E	0 1 52.91	4 2 0.61	I	8.2	0.4	21 59 48.37	-14 51 58.4
350	" 31 E	1 45 49.68	5 45 40.36	I	4.2	0.3	22 1 47.14	-14 17 22.8
1914								
351	Jan. 6 E	1 ^h 20 ^m 3 ^s 35	4 ^h 56 ^m 22 ^s 77	I	9 ^h 0	0 ^s 13	2 ^h 23 ^m 14 ^s 85	+17°41'40 ^s 72
352	Febr. 2 E	6 13 52.67	8 3 14.34	I	9.1	0.3	2 10 2.07	+17 4 32.5
353	" 2 E	6 36 52.57	8 26 10.47	I	8.7	0.3	2 9 59.47	+17 13 33.7
354	" 3 E	3 46 50.79	5 32 40.63	II	6.0	0.4	2 54 18.01	+20 59 59.7
355	" 3 E	3 46 52.79	5 32 42.62	II	5.7	0.3	2 54 18.01	+20 59 59.7
(356)	Febr. 9 E	7 ^h 13 ^m 30 ^s 40	8 ^h 35 ^m 10 ^s 93	II	8 ^h 4	0 ^s 15	9 ^h 49 ^m 7 ^s 52	+20°33'21 ^s 70
357	" 9 E	7 33 47.20	8 55 24.41	II	6.9	0.4	8 49 2.58	+20 17 34.0
358	" 10 Eh	16 30 1.54	17 46 14.98	II	1.3	0.3	10 3 49.75	+12 23 9.8
359	März 30 E	8 34 2.41	6 42 50.23	I	8.9	0.2	3 15 30.35	+22 44 47.8
360	" 30 E	8 57 28.51	7 6 12.49	I	9.2	0.3	3 15 42.96	+22 51 43.4
361	März 30 E	9 ^h 2 ^m 57 ^s 11	7 ^h 11 ^m 40 ^s 20	I	8 ^h 6	0 ^s 13	3 ^h 15 ^m 44 ^s 17	+22°52'33 ^s 74
362	" 30 E	9 33 48.21	7 42 26.24	I	8.6	0.2	3 17 30.53	+22 30 16.1
363	Apr. 7 E	12 7 40.53	9 44 26.08	I	9.0	0.3	10 46 13.57	+ 7 26 10.3
364	" 7 E	12 10 17.12	9 47 2.24	I	9.1	0.4	10 46 17.77	+ 7 25 18.8
365	" 7 E	12 20 39.32	9 57 22.75	II	8.6	0.3	10 46 24.88	+ 7 18 53.5
366	Apr. 7 E	12 ^h 36 ^m 8 ^s 81	10 ^h 12 ^m 49 ^s 70	II	8 ^h 6	0 ^s 13	10 ^h 46 ^m 45 ^s 16	+ 7°13' 0 ^s 15
367	" 7 E	15 3 57.54	12 42 13.88	II	6.1	0.4	10 51 35.78	+ 6 38 29.8
368	" 27 E	10 29 35.87	6 47 59.32	I	9.0	0.3	3 54 27.89	+24 36 56.7
369	" 28 E	11 21 45.50	7 36 4.49	I	7.5	0.2	4 50 14.38	+27 4 3.8
(370)	" 28 E	13 24 32.46	9 38 31.33	I	7.2	1	4 54 32.56	+27 11 58.7
371	Apr. 29 E	10 ^h 47 ^m 59 ^s 13	6 ^h 58 ^m 27 ^s 75	I	7 ^h 0	0 ^s 12	5 ^h 44 ^m 14 ^s 48	+27°31'39 ^s 70
372	" 29 E	11 2 35.13	7 13 1.36	I	7.8	0.2	5 45 24.16	+27 39 51.4
373	" 29 E	11 19 25.02	7 29 48.49	I	7.2	0.3	5 45 16.33	+27 29 2.5
374	" 29 E	11 20 16.02	7 30 39.35	I	5.6	0.2	5 45 33.35	+27 56 44.4
375	" 29 E	11 26 15.32	7 36 37.67	I	8.3	0.3	5 46 15.79	+27 49 18.4
376	Apr. 29 Ah	11 ^h 43 ^m 13 ^s 51	7 ^h 53 ^m 33 ^s 08	I	5 ^h 6	0 ^s 17	5 ^h 45 ^m 33 ^s 35	+27°56'44 ^s 74
377	" 29 E	12 3 40.21	8 13 56.43	I	9.1	0.3	5 47 46.44	+27 36 26.8
378	" 29 E	12 7 46.05	8 18 1.60	I	4.7	0.3	5 47 55.80	+27 35 43.8
379	" 29 E	12 20 20.30	8 30 33.79	I	9.0	0.3	5 48 16.91	+27 30 47.8
380	" 29 Ah	13 1 33.99	9 11 40.72	I	4.7	1	5 47 55.80	+27 35 43.8
381	Apr. 29 E	13 ^h 4 ^m 40 ^s 28	9 ^h 14 ^m 46 ^s 50	I	7 ^h 5	0 ^s 13	5 ^h 50 ^m 16 ^s 20	+27°42'12 ^s 77
(382)	" 29 E	13 35 46.97	9 45 48.10	I	8.9	0.5	5 51 41.16	+27 35 32.5
(383)	" 29 E	13 58 30.01	10 8 27.42	I	7.7	1	5 51 42.50	+27 18 29.1
384	" 30 E	10 51 37.31	6 58 9.42	I	8.2	0.2	6 41 55.04	+27 13 18.0
385	" 30 E	11 4 31.91	7 11 1.90	I	9.2	0.2	6 42 28.79	+27 1 3.0

	1914	Ph.	Sternzeit	K. Z. Gr.	O	Gr.	±	α'	δ'
386	Apr.	30 E	11 ^h 7 ^m 20.60	7 ^h 13 ^m 50.13	I	9.2	0.2	6 ^h 42 ^m 19.85	+26° 50' 41.2
387	"	30 E	11 28 31.80	7 34 57.86	I	9.5	0.4	6 43 8.16	+26 52 16.7
388	"	30 E	11 29 17.40	7 35 43.34	I	8.8	0.3	6 42 48.69	+26 48 0.0
389	"	30 E	11 29 20.80	7 35 46.73	I	8.7	0.4	6 42 50.40	+26 48 12.4
390	Mai	1 E	11 25 28.61	7 27 59.27	I	3.4	0.2	7 39 16.64	+24 36 24.8
391	Mai	1 E	11 ^h 42 ^m 26.10	7 ^h 44 ^m 53.98	I	8.8	0.3	7 ^h 40 ^m 20.53	+24° 56' 46.9
392	"	1 E	11 46 56.19	7 49 23.33	I	8.6	0.3	7 39 45.84	+24 31 45.6
393	"	1 Ah	12 8 59.58	8 11 23.11	II	3.4	0.2	7 39 16.64	+24 36 24.8
394	"	2 E	11 0 54.96	6 59 33.73	I	8.9	0.3	8 34 4.88	+21 5 31.3
395	"	2 E	11 1 17.16	6 59 55.87	I	8.3	0.2	8 34 10.90	+21 6 5.5
396	Mai	2 E	11 ^h 17 ^m 50.15	7 ^h 16 ^m 26.14	I	8.7	0.2	8 ^h 35 ^m 10.76	+21° 22' 5.6
397	"	2 E	11 26 53.25	7 25 27.76	I	9.2	0.2	8 35 25.67	+21 7 8.1
398	"	2 E	11 43 45.64	7 42 17.39	I	9.5	0.3	8 35 48.54	+21 20 26.5
399	"	2 E	12 9 5.03	8 7 32.63	I	9.3	0.2	8 36 43.91	+20 58 48.0
400	"	2 E	12 21 32.13	8 19 57.69	I	6.3	0.3	8 36 19.11	+20 47 1.6
401	Mai	2 E	12 ^h 56 ^m 4.31	8 ^h 54 ^m 24.21	I	8.0	0.3	8 ^h 38 ^m 21.19	+20° 54' 38.5
402	"	2 E	14 0 9.09	9 58 18.49	I	8.6	0.2	8 40 33.10	+20 42 33.5
403	"	2 E	14 25 45.18	10 23 50.39	I	7.6	0.2	8 40 55.03	+20 20 17.5
404	"	2 E	14 33 40.08	10 31 43.99	I	8.2	0.2	8 41 26.05	+20 43 42.0
405	"	2 E	14 40 13.27	10 38 16.11	I	9.0	0.2	8 41 55.15	+20 37 33.6
406	Mai	2 E	15 ^h 2 ^m 21.06	11 ^h 0 ^m 20.27	I	8.1	0.2	8 ^h 42 ^m 32.41	+20° 14' 16.8
407	"	2 E	15 18 20.86	11 16 17.45	I	9.0	0.5	8 42 42.78	+20 6 43.0
408	"	2 E	15 46 29.35	11 44 21.33	I	9.0	0.4	8 43 19.00	+19 59 34.6
409	"	3 E	13 28 43.69	9 23 2.33	I	8.8	0.2	9 32 57.20	+15 50 41.8
410	"	3 E	13 32 19.79	9 26 37.84	I	8.4	0.2	9 32 36.40	+15 8 17.1
411	Mai	3 E	13 ^h 46 ^m 38.38	9 ^h 40 ^m 54.08	I	9.1	0.4	9 ^h 33 ^m 12.45	+15° 36' 17.5
412	"	3 E	14 14 57.78	10 9 8.84	I	9.1	0.2	9 34 26.94	+15 39 46.9
413	"	3 E	15 33 7.05	11 27 5.31	I	9.2	0.3	9 36 52.17	+15 29 47.7
414	"	3 E	15 48 20.75	11 42 16.52	I	8.7	0.2	9 37 37.97	+15 9 21.8
415	"	3 E	15 50 35.75	11 44 31.15	I	9.5	0.3		
416	Mai	4 E	12 ^h 19 ^m 35.72	8 ^h 10 ^m 9.78	I	5.8	0.2	10 ^h 23 ^m 8.40	+10° 11' 57.1
417	"	4 E	12 20 23.42	8 10 57.35	I	8.8	0.2	10 23 11.87	+10 18 57.5
418	"	4 E	13 5 33.30	8 55 59.83	I	8.5	0.3	10 24 25.58	+10 0 14.6
419	"	4 E	13 32 27.69	9 22 49.81	I	9.4	0.3	10 24 42.50	+ 9 42 40.5
420	"	7 E	14 53 46.58	10 32 7.65	II	7.6	0.5	13 3 59.39	-11 18 23.4
(421)	Mai	16 Eh	19 ^h 13 ^m 10.91	14 ^h 15 ^m 26.28	I	4.2	0.5	22 ^h 1 ^m 49.20	-14° 17' 10.1
(422)	"	16 A	20 25 38.39	15 27 41.89	I	4.2	1	22 1 49.20	-14 17 10.1
423	Juni	3 E	14 14 59.57	8 7 17.38	I	7.3	0.3	12 40 34.26	- 8 3 57.6
424	"	3 E	14 32 3.56	8 24 18.57	I	8.7	0.2	12 41 3.66	- 8 13 3.9
425	"	3 E	15 45 49.51	9 37 52.44	I	7.7	0.2	12 42 40.73	- 8 44 57.0
426	Juni	3 E	16 ^h 3 ^m 0.50	9 ^h 55 ^m 0.61	I	8.6	0.3	12 ^h 43 ^m 35.62	- 8° 40' 46.6
427	"	3 E	16 3 16.40	9 55 16.47	I	8.6	0.2	12 43 34.31	- 8 42 9.9
(428)	"	3 E	16 34 14.47	10 26 9.47	I	7.3	0.5	12 44 34.69	- 8 45 18.5
429	"	4 E	14 35 3.08	8 23 21.69	I	7.8	0.3	13 34 45.53	-14 46 36.8
(430)	"	12 Eh	19 34 47.09	12 50 49.30	II	2.8	1	21 42 20.36	-16 30 56.6

	1914	Ph. Sternzeit	M. Z. Gr.	0	Gr. ±	α'	δ'
431	Juni 12 A	20 ^h 3 ^m 47 ^s .98	13 ^h 19 ^m 45 ^s .44	I	2.78 0.2	21 ^h 42 ^m 20 ^s .36	-16° 30' 56.8
(432)	" 20 A	19 54 3.06	12 38 34.81	I	4.2 0.5	3 41 13.83	+23 40 59.9
(433)	" 20 A	20 28 30.74	13 12 56.85	I	3.0 1	3 42 22.87	+23 50 32.4
434	" 20 A	20 52 21.03	13 36 43.23	I	3.8 0.3	3 44 3.42	+23 47 36.9
435	" 27 E	16 13 4.34	8 30 40.91	I	8.2 0.2	9 57 20.42	+12 39 35.3
436	Jul 1 E	16 ^h 31 ^m 58 ^s .55	8 ^h 33 ^m 48 ^s .36	I	9.70 0.4	13 ^h 18 ^m 56 ^s .78	-13° 13' 6.4
437	" 1 E	16 38 20.14	8 40 8.91	I	8.2 0.2	13 19 8.71	-13 12 17.7
438	" 1 E	16 58 37.53	9 0 22.98	I	8.5 0.3	13 19 33.84	-13 26 37.9
(439)	" 1 E	17 26 44.21	9 28 25.06	I	8.6 1	13 19 49.08	-13 39 24.9
440	" 2 E	16 41 21.45	8 39 13.82	I	9.0 0.3	14 13 21.79	-19 13 56.5
441	Jul 2 E	16 ^h 44 ^m 46 ^s .85	8 ^h 42 ^m 38 ^s .46	I	8.77 0.3	14 ^h 18 ^m 42 ^s .04	-19° 10' 13.9
(442)	" 5 E	17 30 46.37	9 36 39.63	I	8.5 1	17 19 44.03	-28 51 21.8
(443)	" 5 E	19 18 8.32	11 3 47.27	I	7.6 1	17 23 4.08	-28 59 25.8
444	" 9 A	19 53 58.44	11 23 47.87	I	9.0 0.5	21 18 40.15	-18 39 7.4
(445)	" 11 A	18 29 8.67	9 51 20.17	I	8.4 1	22 50 43.34	- 8 0 7.4
(446)	Jul 11 A	19 ^h 4 ^m 7 ^s .65	10 ^h 26 ^m 13 ^s .42	I	9.72 1 ^s	22 ^h 51 ^m 33 ^s .99	- 7° 50' 52.8
447	" 14 A	19 9 7.78	10 19 24.99	I	8.5 0.5	1 0 11.15	+ 9 7 44.9
448	" 14 A	20 15 6.93	11 25 13.34	I	8.9 0.4	1 1 59.26	+ 9 27 31.3
449	" 14 A	21 3 50.50	12 13 48.92	I	7.0 0.3	1 3 54.13	+ 9 27 12.9
(450)	" 15 A	19 24 45.13	10 31 3.87	I	8.8 0.5	1 45 23.66	+14 6 47.6
451	Jul 15 A	20 ^h 18 ^m 9 ^s .99	11 ^h 24 ^m 19 ^s .98	I	8.76 0.3	1 ^h 46 ^m 40 ^s .13	+14° 20' 0.4
452	" 16 A	21 13 51.31	12 15 36.32	I	7.1 0.3	2 33 48.98	+19 21 34.1
453	" 17 A	20 45 13.71	11 43 27.44	I	9.1 0.2	3 21 56.53	+23 2 8.4
454	" 17 A	20 45 40.51	11 43 54.17	I	9.3 0.3	3 21 49.86	+22 57 47.7
455	" 18 A	20 41 30.01	11 35 48.44	I	9.0 0.3	4 13 50.73	+25 44 49.7
456	Jul 18 A	21 ^h 5 ^m 45 ^s .29	11 ^h 59 ^m 59 ^s .74	I	9.70 0.3	4 ^h 14 ^m 47 ^s .14	+25° 37' 32.8
457	" 18 A	21 17 6.88	12 11 19.47	I	7.7 0.3	4 15 17.50	+25 37 26.7
(458)	" 19(A)	21 14 58.52	12 5 15.56	I	9.0 1	5 10 36.81	+27 2 12.1
459	" 19 A	21 21 56.01	12 12 11.91	I	8.6 0.5	5 11 4.69	+27 0 55.6
(460)	" 19(A)	21 28 41.51	12 18 56.30	I	9.1 1	5 11 1.03	+27 20 48.1
461	Jul 19 A	21 ^h 50 ^m 20 ^s .29	12 ^h 40 ^m 31 ^s .53	I	9.70 0.3	5 ^h 11 ^m 50 ^s .63	+27° 17' 30.5
462	Aug. 10 A	19 57 23.90	9 21 23.61	I	4.4 0.3	0 44 16.17	+ 7 7 22.5
463	Okt. 31 E	21 5 33.28	5 6 57.30	I	4.4 0.3	0 44 17.19	+ 7 7 29.9
(464)	" 31 Ah	21 38 46.86	5 40 5.45	II	4.4 -	0 44 17.19	+ 7 7 29.9
465	Dec. 4 A	2 18 41.66	8 5 33.41	I	7.0 0.4	6 23 38.54	+27 1 34.2
1915							
(466)	Jan. 30 E	5 ^h 28 ^m 57 ^s .31	7 ^h 31 ^m 10 ^s .88	II	6.77 1 ^s	8 ^h 34 ^m 52 ^s .33	+20° 4' 40.4
467	" 30 E	5 36 19.01	7 38 31.38	II	6.8 0.5	8 35 15.72	+20 18 28.0
468	" 30 E	5 37 49.01	7 40 1.13	II	6.5 0.5	8 35 20.85	+20 16 16.7
(469)	" 30 E	5 56 38.31	7 58 47.35	II	6.5 1	8 35 31.99	+19 58 13.5
470	" 30 E	6 38 5.31	8 40 7.56	II	7.0 0.7	8 36 59.78	+20 10 37.7

	1915	Ph. Sternzeit	M. Z. Gr.	O	Gr. ±	a'	δ'
471	Febr. 17 E	4 ^h 1 ^m 33 ^s 30	4 ^h 53 ^m 14 ^s 81	I	971 0.3	0 ^h 27 ^m 52 ^s 57	+ 6° 27' 19.2
472	" 17 E	4 7 45.50	4 59 25.99	I	5.7 0.3	0 28 0.55	+ 6 29 12.6
473	" 17 E	4 8 42.80	5 0 25.14	I	9.2 0.3	0 28 2.44	+ 6 29 15.6
474	" 17 E	6 18 33.20	7 9 52.26	I	8.5 0.4	0 31 39.99	+ 6 41 19.7
475	" 25 E	7 6 28.97	7 26 12.92	I	5.5 0.2	7 18 20.08	+25 12 57.0
476	Okt. 28 Kh	22 ^h 56 ^m 34 ^s 86	7 ^h 12 ^m 24 ^s 97	?	371 0.15	6 ^h 38 ^m 46 ^s 76	+25° 17' 0.2
477	" 28 A	23 44 13.23	7 57 55.87	I	3.1 0.3	6 38 46.76	+25 13 0.2

Tabelle Ia.

Q u e l l e			Q u e l l e			Q u e l l e		
(1)	Boss	4178 ber.	31	Oxf ph	+27° 15263	61	A G Cbr M	5019
(2)	"	4178 austr.	32	Bm2	282	62	"	5041
3	"	1033	33	Oxf ph	+27° 18854	(63)	"	5037
4	"	1033	34	A G Cbr E	4008	64	Gou	25282
(5)	"	1475	35	"	4023	(65)	Ce D	-28° 14712
(6)	Boss	1475	36	A G Cbr E	4033	66	A G Cbr E	3775
7	A G Berl A	3900	37	"	4025	67	"	3792
8	"	3903	38	"	4028	68	Oxf ph	+25° 31625
9	Raa "	3903	39	"	4036	69	A G Berl B	3304
10	Boss	2800	(40)	Oxf ph	+26° 21645	70	A G Cbr B	4432
11	Kh	4686	41	Oxf ph	+25° 33115	71	Oxf ph	+25° 37264
(12)	A G Ott	4907	(42)	Kh	3782	72	A G Berl B	3305
(13)	Gou	21848	(43)	Par ph Cl	155 Nr.164	73	"	3316
14	Cp (00)	2202	44	Kh	3824	(74)	Oxf ph	+25° 32266
(15)	A We	12992	(45)	Par ph Cl	155 Nr.183	75	Kh	3665
(16)	G Z	16 ^h 3958	46	Cp (00)	1318	76	A G Berl B	3339
(17)	Gou	23095	47	A G Berl A	3878	77	Boss	2206
18	Boss	4523	(48)	Tou ph Cl	84 Nr.22	78	R Aa A G Berl B	3708
19	A G Cbr E	3256	49	Boss	3128	79	A G Berl B	3708
20	Oxf ph	+28° 15692	(50)	R Aa A G Alb	4378	80	R Aa A G Berl B	3708
21	Cp (00)	923	(51)	R Aa A G Alb	4391	(81)	R Aa A G Berl B	3702
22	A G Cbr E	3265	52	A G Alb	4413	82	Bm1	567
23	Oxf ph	+27° 14844	53	"	4419	83	"	570
24	Oxf ph	+27° 14829	54	A G Strb	4667	84	A G Berl A	4062
25	Oxf ph	+27° 14845	55	Cp (00)	1725	85	"	4080
26	Oxf ph	+27° 14831	56	A G Strb	4675	(86)	Bord ph Cl	405 Nrl24
27	A G Cbr E	3280	(57)	Gs (00)	1739	87	A G Berl A	4081
28	"	3305	58	A G Strb	4689	88	"	4083
29	"	3319	59	A G Ott	4838	89	Bm1	574
30	"	3329	(60)	"	4842	90	A G Lpz I	4178

Q u e l l e

(91) Leipzig R.A.
 92 A G Lps I 4177
 93 R Aa A G Lps I 4162
 94 R Aa " 4162
 95 KH 4903
 (96) R Aa KH 5210
 97 A G Alb 4360
 98 R Aa KH 5210
 (99) A G Alb 4359
 100 R Aa A G Alb 4367
 101 Cp (OO) 1705
 102 A G Nic 3429
 103 Alg ph Cl 241 Nr129
 104 A G Wa 5460 pr.
 105 " sequ.
 106 Tu Pi 16^h87
 107 Boss 4198
 108 Cp (OO) 3134
 109 A G Wa 8410
 110 R Aa A G Str 4763
 111 R Aa A G Str 4770
 112 R Aa A G Str 4770
 113 A G Str 4764
 (114) A G Wa 5409
 115 " 5412
 116 A G Wa 5415
 (117) R Aa A G Wa 5401
 118 Tu Pi 21^h166
 119 Boss 5538
 120 A G Wa 8354
 121 A G Wa 8359
 (122) A G Cbr M 8111
 123 " 8117
 124 A G Nic 109
 125 " 115
 126 A G Nic 116
 (127) KH 973
 128 Bm1 151
 129 A G Berl A 863
 130 " 872
 131 A G Berl A 881
 132 Cp (OO) 611
 133 Par ph Cl 392,84
 134 A G Berl B 1364
 135 KH 1809

Q u e l l e

136 A G Berl B 1362
 137 Par ph Cl 392,104
 (138) Par ph Cl 392,130
 139 A G Berl B 1373
 (140) Par ph Cl 370,78
 (141) Par ph Cl 392,168
 142 Par ph Cl 392,170
 143 Cp (OO) 619
 (144) A G Ott 4848
 145 Boss 5902
 146 A G Ott 8370
 147 " 8383
 148 " 8389
 149 " 8388
 150 " 8393
 151 A G Nic 67
 152 Cp (OO) 56
 153 A G Nic 73
 154 " 75
 155 " 76
 (156) KH 495
 (157) " 526
 158 A G Berl B 1257
 159 Par ph Cl 833,256
 160 Par ph Cl 833,266
 161 A G Berl B 1263
 162 A G Cbr E 3761
 163 " 3765
 164 " 3760
 165 Oxf ph +26°20305
 166 A G Cbr E 3773
 (167) Oxf ph +26°20326
 168 Oxf ph +26°20311
 169 A G Cbr E 3784
 170 " 3786
 (171) A G Cbr E 3790
 172 " 3792
 173 " 3796
 174 " 3817
 175 " 3811
 176 A G Cbr E 3808
 177 " 3830
 (178) Oxf ph +26°20296
 179 Bm2 340
 180 A G Cbr E 4008

Q u e l l e

181 A G Cbr E 4012
 182 " 4034
 183 " 4033
 184 " 4058
 (185) A G Ott 8350
 186 A G Cbr E 2247
 187 " 2269
 188 " 2270
 189 Gon 28450
 190
 (191) G Z 20^h1366
 192 Boss 5538
 (193)
 194 KH II 11774
 (195) Mill 21^h2352
 196 A G Lps I 614
 197 Cp (OO) 313
 198 Boss 658
 199 A G Berl A 790
 200 " 792
 201 A G Berl A 801
 202 Cp (OO) 440
 203 A G Berl A 814
 204 Boss 712
 (205) Cp (OO) 745
 (206) Boss 3210
 (207) A G Nic 3395
 208 Boss 3210
 209 A G Berl A 727
 210 Cp (OO) 394
 211 Cp (OO) 402
 212 A G Berl A 747
 213 " 750
 214 " 753
 215 Bm1 127
 216 A G Berl A 760
 217 Boss 641
 218 A G Berl B 1037
 219 " 1069
 220 " 1077
 221 A G Berl B 1085
 222 " 1449
 223 Cp (OO) 679
 (224) " 1377
 225 A G Alb 4365

Q u e l l e

(226) A G Berl B 3442
 227 Bm2 223
 228 " 224
 229 Boss 1457
 (230) " 1457
 231 A G Cbr M 8026
 232 " 8027
 233 " 8040
 (234) Cp (OO) 511
 235 Boss 5570
 (236) MII II 11927
 237 Boss 5570
 238 A G Str 8112
 239 " 8118
 240 A G Lps I 585
 241 A G Berl B 1143
 242 " 1180
 243 " 1178
 244 Boss 872
 245 A G Berl B 1174
 246 A G Berl B 1191
 247 " 1199
 248 Cp (OO) 554
 249 Cp (OO) 556
 250 A G Berl A 661
 251 A G Berl A 665
 252 " 668
 253 " 669
 254 " 681
 255 Bm3 9
 256 A G Alb 148
 (257) Tou ph Cl 5,157
 258 A G Alb 161
 259 " 162
 260 N F K 418
 261 A G Cbr E 2504
 262 " 2502
 263 Bm2 204
 264 " 203
 265 " 206
 266 Bm2 208
 267 A G Cbr E 2550
 268 " 2561
 269 " 2563
 270 " 2569

Q u e l l e

271 A G Cbr E 2573
 272 Bm2 214
 273 A G Lps I 4092
 274 A G Alb 4301
 275 Boss 3044
 276 A G Alb 4312
 277 A G Cbr E 2960
 278 " 2962
 279 Cp (OO) 1492
 280 A G Alb 4355
 281 A G Alb 4357
 282 Cp (OO) 1717
 283 Cp (OO) 2383
 284 A G Berl B 3602
 (285) " 3609
 286 A G Berl A 3967
 287 " 3970
 288 Cp (OO) 1357
 289 A G Cbr M 4747
 (290) Gou 27297
 291 Boss 5104
 292 " 3773
 293 Gou 21302
 294 Cp (OO) 2150
 295 A G Str 8093
 296 Boss 568
 297 Par ph Cl 1380,159
 (298) A G Berl B 979
 (299) G Z 19^h1402
 300 A G Cbr M 8053
 301 A G Ott 8173
 302 Bm3 548
 303 Cp (OO) 3192
 304 Cp (OO) 3295
 305 A G Alb 72
 306 Boss 226
 (307) A G Cbr E 2033
 (308) " 2041
 309 Cp (OO) 628
 310 A G Cbr E 3057
 311 A G Cbr E 3062
 312 " 3077
 313 " 3079
 314 " 3073
 315 " 3094

Q u e l l e

316 A G Cbr E 3099
 317 Bm2 260
 318 A G Cbr E 3113
 319 " 3775
 320 Boss 1843
 321 A G Cbr E 3792
 322 " 3796
 323 " 3808
 324 " 3830
 325 Bm2 340
 326 A G Cbr E 3866
 327 Cp (OO) 1033
 328 A G Cbr E 3873
 329 Bm2 346
 330 " 348
 331 Bm2 351
 332 A G Berl B 3283
 333 " 3286
 334 " 3306
 335 KH 3648
 336 KH 3670
 337 MII II 11240
 338 Boss 5438
 339 Mill₁ 1123
 (340) A G Alb 189
 341 KH 301
 (342) Bm2 252
 (343) " 256
 344 " 258
 (345) A G Alb 140
 (346) Boss 869
 347 " 869
 348 Bm2 140
 349 A G Wa 8269
 350 Boss 5680
 351 A G Berl A 679
 352 " 626
 353 " 625
 354 Boss 674 pr.
 355 " 674 sequ.
 (356) Bm2 404
 357 Cp (OO) 1228
 358 Boss 2698
 359 Bm2 97
 360 Par ph Cl 368,93

Q u e l l e

361 Bm2 99
 362 A G Berl B 999
 363 A G Lps II 5604
 364 " 5605
 365 " 5606
 366 Cp (00) 1476
 367 Boss 2915
 368 A G Berl B 1281
 369 A G Cbr E 2223
 (370) " 2251
 371 A G Cbr E 2717
 372 " 2725
 373 " 2724
 374 Boss 1444
 375 A G Cbr E 2735
 376 Boss 1444
 377 A G Cbr E 2754
 378 Boss 1457
 379 A G Cbr E 2764
 380 Boss 1457
 381 A G Cbr E 2789
 (382) " 2804
 (383) " 2805
 384 " 3489
 385 " 3498
 386 A G Cbr E 3491
 387 " 3506
 388 " 3503
 389 " 3504
 390 N F K 294
 391 A G Berl B 3108
 392 " 3100
 393 N F K 294
 394 A G Berl B 3463
 395 " 3467
 396 A G Berl B 3483
 397 Par.ph.Cl.588,121
 398 " 447,321
 399 A G Berl B 3506
 400 " 3502

Q u e l l e

401 A G Berl B 3517
 402 " 3527
 403 " 3529
 404 " 3533
 405 " 3538
 406 A G Berl B 3540
 407 " 3543
 408 " 3546
 409 A G Berl A 3875
 410 " 3873
 411 A G Berl A 3876
 412 " 3885
 413 " 3896
 414 " 3904
 415 B D +15°2099
 416 Boss 2777
 417 A G Lps I 4029
 418 " 4037
 419 Kh 4641
 420 A G Cbr M 4707
 (421) N F K 828
 (422) " 828
 423 A G Ott 4632
 424 " 4634
 425 " 4637
 426 A G Ott 4640
 427 " 4639
 (428) " 4644
 429 A G Wa 5141
 (430) N F K 819
 431 N F K 819
 (432) Boss 865
 433 N F K 139
 434 " 142
 435 A G Lps I 3923
 436 A G Cbr M 4779
 437 " 4780
 438 " 4782
 (439) " 4789
 440 Algier 5982

Q u e l l e

441 Algier 5985
 (442) G Z 17°1167
 (443) Gou 23651
 444 Algier 9162
 (445) A G Ott 8158
 (446) A G Ott 8163
 447 A G Lps II 389
 448 " 398
 449 " 406
 (450) A G Lps I 548
 451 A G Lps 555
 452 A G Berl A 715
 453 A G Berl B 1020
 454 " 1018
 455 A G Cbr E 2041
 456 A G Cbr E 2044
 457 " 2049
 (458) " 2372
 459 " 2382
 (460) " 2379
 461 A G Cbr E 2391
 462 N F K 28
 463 " 28
 (464) " 28
 465 A G Cbr E 3263
 (466) Boss 2305
 467 " 2308
 468 " 2309
 (469) " 2310
 470 Wash (00) 1643
 471 A G Lps II 157
 472 Boss 102
 473 A G Lps II 159
 474 " 185
 475 Boss 1921
 476 N F K 254
 477 " 254

R Aa = Refraktoranschluss.

B e m e r k u n g e n .

1. Zeiten +1^m korrigiert, Uhrschlag nicht sicher gehört. Vielleicht -1^m oder +1^m zu korrigieren. 2. Wie bei 1. 3. Plötzlich, sicher. 4. Plötzlich, nicht ganz richtige Stelle. 5. Zweifelhafte, nicht plötzlich verschwunden. 6. Unscharf, anscheinend sicher Austritt. 7. Gut. 8. Gut. 9. Gut, dunkler Rand schwach sichtbar. 10. Sicher Eintritt, tageshell etwas unscharf. 11. Sicher Eintritt, in 0^h2 auslöschend, leichte Wolken. 12. Anscheinend sicher Austritt, Stern schwach. 13. Etwas zweifelhafte, Stern nahe an Faden. 14. Gut, genau richtige Stelle. 15. Anscheinend sicher Austritt, sehr unscharf, Rauch. 16. Unscharf, wohl sicher Austritt. 17. Anscheinend Austritt, nicht richtige Stelle. 18. Sicher Austritt, nur Schätzung etwas ungenau. 19. Sicher, oberhalb des hellen Sterns. 20. Unten, 9^h5. 21. Uhrschlag, (Relais) unregelmässig. 22. Vielleicht -1^m Sternzeit zu korrigieren. 23. Oben, schwach. 24. Mehr oben. 25. 8^m, unten. 26. Gut. 27. Oben. 28. Mehr unten. 29. Oberhalb des vorigen, 29, 30 und 31 vielleicht -1^m zu korrigieren, doch unwahrscheinlich. 30. Ganz unten. 31. Unscharf, schwach, oben, Erdlicht sichtbar. 32. Sicher Eintritt, etwas unscharf, unten. 33. Gut, Mitte des Mondes. 34. Gut. 35. Sicher Eintritt, etwas unscharf, Dunst. 36. Sicher Eintritt, unscharf, Dunst. 37. Sicher. 38. Anscheinend sicher Eintritt, sehr unscharf, starker Dunst. 39. Sicher Eintritt, etwas unscharf, Rand sichtbar. 40. Wohl Eintritt, zweifelhafte wegen Wolken. 41. Ziemlich sicher Eintritt, unscharf, Dunst. 42. Gut. 43. Anscheinend sicher Eintritt, leichte Wolken, +20^m? 0^h3 vorher teilweise, 0^h7 nachher ganz verschwunden. 44. Gut. 45. Sicher, Dunst. 46. Anscheinend Eintritt, sehr unscharf, Auge ermüdet. 47. Sicher Eintritt, etwas unscharf, taghell. 48. Anscheinend sicher Eintritt, sehr unscharf. 49. Sicher Eintritt, sehr unscharf, weisslich. 50. Sicher Eintritt, etwas unscharf, Sekunde nicht kontrolliert. 51. Gut, Stern hell. 52. Sicher Eintritt. 53. Sicher Eintritt, Schätzung etwas unscharf. 54. Gut. 55. Sicher Eintritt, sehr unscharf, Auge ermüdet. 56. Sicher Eintritt, etwas unscharf, langes Warten. 57. Sicher Eintritt, serflossen, heller Glanz. 58. Sehr unscharf, schwach, Glanz. 59. Sicher Eintritt, nahe hellem Rande, unrein. 60. Sicher Eintritt, unscharf, Stern schwach. 61. Sicher Eintritt, sehr unscharf, Stern sehr schwach. 62. Sicher Austritt, Mond bis 1^m vorher in Wolken. 63. Anscheinend sicher Austritt, unscharf, früher erwartet. 64. Sicher, unscharf wegen Lärm. 65. Gut, Erdlicht sehr hell. 66. Gut, oben. 67. Gut, nur wenig unscharf. 68. Sicher Eintritt, unscharf wegen Schwäche und Erdlicht. 69. Sicher Eintritt, unscharf wegen Schwäche und Erdlicht. 70. Sicher, ziemlich scharf, oben fast streifend. 71. Gut. 72. Wohl sicher Eintritt, sehr unscharf wegen grosser Schwäche und Erdlicht. 73. Gut, Stern sehr hell. 74. Sicher. 75. Gut, unten, Stern sehr hell. 76. Sicher Eintritt, sehr unscharf wegen Schwäche und Erdlicht. 77. Sicher, Stern ziemlich hell, sehr unruhig. 78. Sicher, Stern wegen Unruhe schwach. 79. Anscheinend sicher Eintritt, oben, äusserst unscharf wegen Schwäche. 80. Sicher etwas unscharf, helle Dämmerung. 81. Sicher Eintritt, starker Hof, aber Stern hell. 82. Gut, Stern hell, Rand sichtbar. 83. Gut, nur Schätzung etwas unsicher. 84. Etwas zweifelhafte, Stern zu schwach, etwas Dunst. 85. Anscheinend sicher Eintritt, in 0^h5 auslöschend, ganz oben. 86. Gut. 87. Sicher, ganz oben, Stern relativ

hell. 90. Sicher Eintritt, der Rand sichtbar. 91. Sehr unsicher, sehr schwach. 92. Gut, sicher, ganz oben. 93. Sicher Eintritt, sehr unscharf, Gewicht $1/2$. 94. Sicher Eintritt, sehr unscharf, Gewicht $1/2$. 95. Gut, Stern hell. 96. Etwas zweifelhaft wegen fliegender Wolken, der Rand sichtbar. 97. Gut, vielleicht -1^a zu korrigieren? 98. Sicher Eintritt, anscheinend in 0 $\frac{1}{2}$ auflöschend. 99. Sehr unruhig, sehr unscharf, ganz oben. 100. Gut, oben. 101. Gut, Schätzung ein wenig unscharf. 102. Sicher, oben ganz nahe Lichtgrenze. 103. Sicher Eintritt, etwas unscharf wegen Schwäche. 104. Unscharf, unruhig. 105. Ziemlich gut, sequ. maj. 106. Sicher Eintritt. 107. Gut. 108. Sicher Austritt, Stern hell, der Rand sichtbar. 109. Sicher Austritt, Stern ziemlich hell. 110. Sicher Austritt, Stern ziemlich hell. 111. Sicher Eintritt, unscharf wegen Schwäche. 112. Sicher Eintritt, sehr unscharf, Stern schwach. 113. Sicher Eintritt, unscharf, Stern schwach, tief. 114. Anscheinend sicher Eintritt, sehr unscharf, weissliche Luft. 115. Sicher Eintritt, ein wenig unscharf, Auge unwillig. 116. Sicher Eintritt, ganz leichte Wolken, aber gesichert. 117. Anscheinend sicher Eintritt. Ausserst unscharf, Stern schwach, zerflossen. 118. Sicher Austritt, nicht ganz richtige Stelle, Stern hell, Aufleuchten bemerkt. 119. Sicher Austritt, nicht ganz richtige Stelle, Stern hell. 120. Sicher Austritt, plötzlich, Stern ziemlich hell. 121. Sicher Austritt, Stern hell, ganz unten. 122. Wohl sicher Austritt, ganz leichte Cirren. 123. Sicher Austritt, nicht ganz richtige Stelle, Stern hell aufblitzend. 124. Gut, der Rand sehr gut sichtbar. 125. Gut, Stern sehr hell. 126. Sicher Austritt, Stern hell, unscharf, weil noch nicht erwartet. 127. Wohl sicher, im Rand bemerkt, Dunst. 128. Gut, plötzlich, richtige Stelle. 129. Gut, plötzlich, richtige Stelle. 130. Gut, plötzlich. 131. Gut, plötzlich. 132. Gut. 133. Sicher Austritt, Stern ziemlich schwach. 134. Gut. 135. Ziemlich gut. 136. Gut. 137. Sicher Austritt, Stern schwach, ziemlich unscharf. 138. Sekunde zweifelhaft behalten, möglichenfalls -1^a zu korrigieren, unwahrscheinlich. 139. Gut. 140. Schwach, nicht der vorausberechnete. 141. Sicher Austritt, sehr unscharf. 142. Gut, richtige Stelle 970, Störung durch vorhergehenden. 143. Gut. 144. Sehr unscharf, bei sehr tiefem Stande Stern flackernd. 145. Gut, sehr hell. 146. Sicher Austritt, Stern verwaschen. 147. Gut, Stern ziemlich hell. 148. Sicher Stern befriedigend hell. 149. Sicher Austritt, Stern genügend hell. 150. Gut. 151. Gut. 152. Gut, Stern sehr hell. 153. Sicher Austritt. 154. Gut. 155. Sicher Austritt, Stern schwach, leichter Dunst. 156. Anscheinend sicher Austritt, dichter Dunst, Stern hell, anscheinend plötzlich aufleuchtend. 157. Sicher Austritt, leichte Wolken und Dunst, Stern hell aufleuchtend. 158. Gut. 159. Sicher, etwas unscharf wegen der so schnellen Folge, Minute zweifelhaft. 160. Gut, Fehler der Minute immer derselbe. 161. Sicher Austritt, gut, -1^a korrigiert, Korrektur zweifellos. 162. Sicher, ganz unten. 163. Gut. 164. Sicher, unscharf wegen Eile, und ungenauer Einstellung. 165. Stern schwach, aber sicher Austritt. 166. Gut. 167. Anscheinend sicher Austritt, unscharf, Stern schwach. 168. Sicher Austritt, gut. 169. Sicher Austritt, Stern ziemlich schwach. 170. Sicher. 171. Anscheinend sicher, Stern schwach. 172. Sehr gut, Stern sehr hell. 173. Gut. 174. Sicher. 175. Sicher Austritt, unscharf, Stern sehr schwach. 176. Sehr gut. 177. Gut. 178. Sicher Austritt, sehr unscharf wegen grosser Eile. 179. Sehr gut. 180. Sicher Austritt. 181. Gut unten. 182. Sehr gut, ganz unten. 183. Sicher Austritt, unscharf wegen Eile der Einstellung. 184. Gut. 185. Anschein-

nend sicher Eintritt, Stern schwach in sehr hellem Dunst. 186. Gut.
187. Sicher, Stern etwas schwach. 188. Gut, Stern hell. 189. Sicher
Eintritt, sehr schief, 3^a nach Voransberechnung. 190. Sicher Eintritt,
unscharf wegen Schwäche. 191. Anscheinend sicher Eintritt, sehr unscharf
wegen Schwäche. 192. Gut, Stern hell, der Rand sichtbar. 193. Wohl sicher
Eintritt, sehr unscharf, Stern schwach. 194. Sicher. 195. Wohl sicher Ein-
tritt, sehr unscharf wegen Schwäche des Sterns, sehr schiefer Eintritt.
196. Sicher Eintritt, etwas unscharf wegen langem Abwarten. 197. Gut.
198. Sicher, plötzlich, nur Schätzung etwas unscharf. 199. Sicher Eintritt,
unscharf wegen Schwäche. 200. Sicher Eintritt, Stern hell, Schätzung etwas
unscharf. 201. Sicher Eintritt, Schätzung unscharf wegen Schwäche. 202. Gut.
203. Sicher Eintritt, etwas unscharf wegen Schwäche. 204. Gut, nur Schätzung
unscharf. 205. Anscheinend Eintritt, starker Dunst und Glanz. 206. Etwas
zweifelhaft, in sehr stark wallenden Rande verloren. 207. Zweifelhaft, Stern
zu schwach. 208. Gut, Stern sehr hell. 209. Sicher Eintritt, Schätzung et-
was ungenau. 210. Gut. 211. Gut. 212. Sicher Eintritt, etwas unscharf,
Stern unruhig, etwas schwach. 213. Sicher Eintritt. 214. Sicher Eintritt,
etwas unscharf. 215. Sicher Eintritt, Schätzung etwas unscharf. 216. Sicher
Eintritt, etwas unscharf, Stern schwach. 217. Gut, Stern sehr hell. 218. Si-
cher Eintritt, Schätzung unscharf. 219. Sicher Eintritt, Schätzung etwas un-
scharf. 220. Sicher Eintritt, etwas unscharf, Stern schwach. 221. Sicher
Eintritt. 222. Sicher Eintritt. 223. Sicher, plötzlich, leichte Wolken,
Stern hell. 224. Anscheinend Austritt, unscharf etwas zweifelhaft. 225. Si-
cher Austritt, sehr nahe richtige Stelle. 226. Anscheinend sicher Eintritt,
Stern ziemlich schwach. 227. Gut, Stern hell. 228. Gut, Stern sehr hell.
229. Sehr gut, Stern sehr hell. 230. Wohl 1^a - 2^a zu spät, nicht plötzlich
auftauchend. 231. Sicher, Stern schwach, feuchte Luft. 232. Gut, Stern hell.
233. Gut. 234. Anscheinend sicher Austritt, nicht ganz richtige Stelle, Stern
ziemlich hell. 235. Gut, bei Tage, 1^a vorher noch sichtbar. 236. Noch nicht
erwartet, Sekunde kontrolliert. 237. Anscheinend sicher, plötzlich, Stern
hell am hellen Mondrande erscheinend. 238. Sicher Eintritt, etwas unscharf
und streifend. 239. Sicher Eintritt, Auge ermüdet, Hof. 240. Sicher Eintritt,
unten fast streifend, ermüdet. 241. Ermüdendes langes Abwarten, Stern hell.
242. Gut. 243. Gut, unten. 244. Gut, Schätzung etwas unscharf. 245. Anschei-
nend sicher Eintritt, unmittelbar am Mondberg, ganz unten. 246. Sicher, etwas
unscharfe Schätzung. 247. Sicher Eintritt, etwas unscharf, schwach. 248. Si-
cher, Schätzung etwas unscharf. 249. Plötzlich, nur Schätzung nicht scharf.
250. Gut, Schätzung nicht scharf, der Rand als Spur. 251. Sicher, Rand als
Spur. 252. Sicher Eintritt, unscharf, Okular angelaufen. 253. Sicher Ein-
tritt, Schätzung unscharf wegen Schwäche. 254. Sicher Eintritt, ziemlich
scharf. 255. Sicher Eintritt, Erdlicht sehr hell, Stern hell. 256. Sicher
Eintritt, etwas unscharf, Stern schwach. 257. Etwas zweifelhaft, zu schwach.
258. Sicher. 259. Sicher Eintritt, etwas unscharf wegen Schwäche. 260. Si-
cher Austritt, mit Positionswinkel richtige Stelle eingestellt. 261. Sicher,
oben, der Rand gut sichtbar. 262. Sicher, plötzlich, Stern hell, ganz unten,
sehr schief. 263. Gut, Stern hell, unten. 264. Gut, Stern hell, oben.
265. Sicher Eintritt, langes Abwarten. 266. Oben, sicher, (vielleicht -1^a
korrigieren, unwahrscheinlich), ganz oben sehr nahe der Lichtgrenze. 267. Un-
ten, sicher. 268. Sicher. 269. Sicher. 270. Gut. 271. Sicher, ganz oben
nahe Lichtgrenze. 272. Gut, oben. 273. Anscheinend sicher Eintritt, unscharf,

sehr unruhig, vorher Wolken. 274. Anscheinend sicher Eintritt, sehr unruhig, ganz nahe Lichtgrenze, Mond fast voll. 275. Anscheinend sicher Eintritt, nur sehr unscharf, fast streifend. 276. Sicher Eintritt, nur unscharf, ganz nahe dem hellen Teil. 277. Sicher Eintritt, unscharf wegen Unruhe. 278. Sicher Eintritt, etwas unscharf, schwach in Dämmerung. 279. Sicher Eintritt, schwacher Rest 043 länger sichtbar, Stern heller als 875. 280. Gut, der Rand schwach sichtbar. 281. Sicher. 282. Gut, korrigiert mit plausibler Korrektur. 283. Anscheinend sicher Austritt, nahe richtige Stelle. 284. Gut, Stern hell. 285. Etwas zweifelhaft, Stern sehr unruhig, schwach. 286. Sicher Eintritt, unscharf, Stern sehr unruhig, schwach. 287. Gut, Stern hell. 288. Sicher Eintritt, Stern hell, ganz oben nahe dem hellen Rand. 289. Etwas zweifelhaft, Stern sehr schwach, verwaschen. 290. Sehr gut, sehr hell, nahe richtige Stelle. 291. Sicher Eintritt, Stern ziemlich hell, verwaschen. 292. Plötzlich, Stern sehr hell, ganz oben, nahe streifend. 293. Sicher Eintritt, plötzlich, Stern in Dämmerung gut sichtbar. 294. Sicher Eintritt, unscharf wegen verwaschenen Bildes und Unruhe (Pillauer Zug). 295. Sicher Austritt, Stern hell. 296. Sehr gut, Stern sehr hell, der Rand gut sichtbar. 297. Sicher Austritt, nur etwas unscharf. 298. Anscheinend sicher Austritt, 1^o später anscheinend heller, Zeit ist +10^s korrigiert, nicht ganz sicher. 299. Anscheinend sicher Eintritt, Auge ermüdet, unbequeme Lage. 300. Gut. 301. Gut. 302. Sicher, ganz oben. 303. Gut, unten, Stern viel heller als voriger. 304. Sicher, nur etwas unscharf, Stern hell, unruhig. 305. Gut, Stern hell. 306. Sicher Eintritt, ganz nahe an hellem Berg des fast vollen Mondes, starker Glanz, Dunst. 307. Anscheinend sicher Austritt, Stern recht schwach, zerflossenes Bild, weissliche Beleuchtung. 308. Anscheinend sicher, sehr unscharf, Stern zerflossen, sehr schwach. 309. Sicher, Stern über 1^o schwächer erscheinend, Objektiv stark beschlagen. 310. Sicher. 311. Sicher. 312. Gut, unten. 313. Sicher, Stern etwas schwach, vorigem folgend. 314. Stern sehr hell aufblitzend, anscheinend sicher, obgleich ziemlich weit aus der Mitte des Quersfadens, keine Zeit zu 2. Einstellung. 315. Sicher. 316. Sicher. 317. Gut, Stern sehr hell. 318. Sicher. 319. Gut, Stern sehr hell. 320. Gut, ganz unten, Stern sehr hell, der Rand schwach sichtbar. 321. Gut, ganz oben, Stern hell. 322. Sicher, etwas unscharf, Stern zerflossen, ziemlich schwach. 323. Gut, Stern hell. 324. Sicher, Stern etwas schwach. 325. Gut, Stern hell. 326. Gut, Stern hell. 327. Gut, Stern sehr hell. 328. Gut, oben, Stern hell, Korrektur -10^s ist angebracht, wohl zweifelhaft. 329. Gut. 330. Gut, Stern hell. 331. Gut, Stern hell. 332. Sicher Austritt, nicht ganz scharf, möglicherweise Zeit +1^o, +0^m20^s zwecklich +1^m20^s zu korrigieren, unwahrscheinlich. 333. Sicher, Stern etwas schwach. 334. Sicher, Stern ziemlich hell. 335. Sicher, Stern genügend hell. 336. Sicher, nicht genau richtige Stelle, aber Stern hell aufblitzend. 337. Sicher, Stern gut sichtbar, 970 ?, nach oben der Rand gut sichtbar. 338. Gut, Stern sehr hell. 339. Wohl zweifellos sicher Eintritt, leichte Nebel zogen über den Mond, doch im Moment des Eintrittes der Rand gut sichtbar. 340. Anscheinend sicher Eintritt, unscharf, im Moment des Eintrittes leichte Nebel. 341. Sicher, bei Eintritt leichte Wolken, aber Stern sehr hell, plötzlich verschwindend. 342. Anscheinend Austritt, etwas zweifelhaft, nicht ganz richtige Stelle. 343. Anscheinend Austritt, vielleicht etwas zu spät, kaum über 1^o. 344. Sicher Austritt, genau richtige Stelle. 345. Anscheinend sicher Eintritt, unscharf wegen Schwäche des Sterns, zerflossene Bilder. 346. Anscheinend sicher Eintritt, unter dichten Wolken, vielleicht zweifelhaft. 347. Si-

cher, plötzlich austretend, ziemlich klare Lücke. 348. Gut, ziemlich klar, nur leichte Wolken. 349. Sicher Eintritt. 350. Gut. 351. Sicher Eintritt. 352. Gut, unten. 353. Gut, ganz unten. 354. Sicher, etwas unscharf, übereilt, Voransberechnung nicht zur Hand, ebenso bei folgendem. 355. Sicher, nicht ganz scharf. 356. Anscheinend sicher Eintritt, etwas zweifelhaft, Stern schwach bei leichtem Dunst, Mond fast voll. 357. Sicher, Stern hell, Auge unwillig wegen Erkältung. 358. Sicher, plötzlich trotz Umrähe des hellen Randes und tiefen Standes. 359. Gut. 360. Gut. 361. Gut, Stern sehr hell, ganz unten. 362. Gut. 363. Sicher, Stern etwas schwach. 364. Sicher, etwas unscharf, Stern ziemlich schwach. 365. Sicher, Stern unruhig (Bahn), ziemlich schwach, Dunst. 366. Gut, Stern hell. 367. Sicher Eintritt, etwas unscharf, Stern sehr schwach in ganz dichtem Dunst. 368. Sicher, ganz oben, der Rand sichtbar. 369. Gut, Stern hell, obgleich Dunst. 370. Sehr unscharf, Mond sehr wallend, nahe Untergang. 371. Gut, Stern sehr hell. 372. Gut, Stern sehr hell. 373. Gut, ganz oben. 374. Gut, ganz unten, Stern sehr hell. 375. Sicher, etwas unscharfe Schätzung. 376. Anscheinend sicher Austritt, nicht ganz richtige Stelle, kaum über 1° falsch. 377. Gut. 378. Beobachtung gut, Schlagrelais blieb stehen, beobachtet nach Uhrschlag. 379. Sicher, etwas eilig. 380. Etwas zweifelhaft, kaum über 1° zu spät, heller Rand sehr wallend. 381. Sicher. 382. Anscheinend sicher, Stern schwach, Erdlicht sehr hell. 383. Sicher Eintritt, ganz oben nahe Mondberg, Schlagrelais versagte, Uhrschlag schlecht gehört, in Anbetracht des sehr schiefen Eintrittes wohl brauchbar. 384. Gut, Stern hell. 385. Gut. 386. Gut. 387. Sicher Eintritt, etwas unscharf, Stern schwach, Erdlicht hell. 388. Sicher, etwas unscharf, wegen Achtens auf den folgenden Stern Korrektur von $+10^{\circ}$ möglich, doch unwahrscheinlich. 389. Sicher Eintritt, etwas unscharf wegen Eile. 390. Gut, plötzlich, unter sehr leichten Wolken. 391. Sicher, ganz klar, Erdlicht sehr hell. 392. Gut, ganz oben. 393. Gut, an richtiger Stelle aufgeachtet, Stern heller als der helle Mondrand. 394. Gut, der Rand sichtbar. 395. Gut. 396. Gut. 397. Gut, oberhalb des vorhergehenden. 398. Sicher, Stern $9^{\circ}5'$ am unteren Teil des Mondes, D $+21^{\circ}19'$. 399. Gut. 400. Vollständig verschwunden, 0 $\frac{1}{5}$ vorher plötzliche Verminderung der Helligkeit auf die Hälfte. 401. Gut. 402. Gut. 403. Gut, weit oben. 404. Gut, weit oben. 405. Gut, austr. sequ. vom vorigen. 406. Gut, weit oben. 407. Sicher Eintritt, Schätzung etwas unscharf, allmählich auslöschend, ganz oben nahe Lichtgrenze. 409. Gut, leichter Hof, der Rand sichtbar. 410. Plötzlich verschwindend, leichte Wolken, Dunst. 411. Sicher Eintritt, Schätzung etwas unscharf. 412. Gut, im Moment des Eintrittes klar, der Rand sichtbar. 413. Sicher Eintritt, klar, Erdlicht gut sichtbar. 414. Gut. 415. Sicher, möglicherweise -10° zu korrigieren, doch zweifellos erst nach Beobachtung verzählt. 416. Gut. 418. Sicher, Schätzung etwas unscharf, Auge unwillig. 419. Anscheinend allmählich auslöschend am oberen Rande, der Rand gut sichtbar. 420. Sicher Eintritt, Schätzung unscharf, Eintritt noch nicht erwartet. 421. Nicht ganz plötzlich verschwunden, doch kaum über $1/2^{\circ}$ falsch. 422. Etwas zweifelhaft, nicht ganz richtige Stelle, in Tageshelligkeit sehr schwach. 423. Sicher Eintritt, etwas unscharf, Auge ermüdet. 424. Gut, der Rand schwach sichtbar. 425. Sicher. 426. Sicher. 427. Gut, der Rand schwach sichtbar. 428. Anscheinend Eintritt, etwas zweifelhaft, Mond in stratus-Bank, Stern sehr schwach. 429. Gut, Stern in leichtem Dunst, doch hell, zur Zeit des Verschwindens Mond klar. 430. Anscheinend sicher Eintritt, nicht plötzliches Verschwinden beobachtet, heller Rand aus-

serst wallend. 431. Gut, plötzlich, sehr hell, richtige Stelle aufgeachtet. 432. Anscheinend sicher Austritt, plötzlich unter wechselnden Wolken sehr hell, nicht genau richtige Stelle. 433. Zweifelhaft, Stern schwach in ziemlich dichten Wolken. 434. Sicher, plötzlich und hell auftauchend, nicht ganz richtige Stelle. 435. Gut. 436. Anscheinend allmählich auslöschend, Stern schwach. 437. Gut, Stern hell. 438. Gut. 439. Sicher Eintritt, Ausserst unscharf, Mond sehr tief, schiefer Eintritt. 440. Sicher Eintritt, Stern ziemlich schwach, der Rand als Spur. 441. Sicher Eintritt, etwas unscharf, Stern ziemlich hell. 442. Anscheinend sicher Eintritt, sehr unscharf, sehr unruhig, zeitweise verschwindend. 443. Anscheinend sicher Eintritt, Stern schwer sichtbar, zeitweise verschwindend, sehr tiefer Stand. 444. Anscheinend sicher Austritt, nicht genau richtige Stelle, Stern hell, gute Bilder. 445. Zuerst bemerkt, zweifelhaft, Stern schwach. 446. Anscheinend Austritt, gleichfalls etwas zweifelhaft, Stern zu schwach. 447. Sicher Austritt, Stern bei tiefem Stande sehr schwach, an richtiger Stelle. 448. Sicher Austritt, Stern etwas schwach, etwas trübe Luft. 449. Gut, Stern plötzlich erscheinend, Mond in dichtem Dunst, richtige Stelle. 450. Anscheinend Austritt, wegen Schwäche des Sterns nicht ganz sicher, sehr schief. 451. Sicher Austritt, Stern ziemlich hell, der Rand gut sichtbar. 452. Sicher Austritt, ziemlich scharf, sehr hell auftauchend, obgleich durch 10° falsche Einstellung im Positionswinkel nicht ganz richtige Stelle. 453. Sicher Austritt, Stern hell auftauchend, richtige Stelle. 454. Sicher Austritt, Stern genügend hell. 455. Gut, richtige Stelle, Stern genügend hell, der Rand sichtbar. 456. Gut, richtige Stelle. 457. Gut, Stern hell, Schätzung etwas unsicher wegen Mücken. 458. Etwas zweifelhaft, Stern zu schwach, Erdlicht sehr hell. 459. Sicher Austritt, nicht sehr scharf, Okular beschlagen, Störung durch Mücken. 460. Etwas zweifelhaft, Stern zu schwach. 461. Sicher Austritt. 462. Sicher Austritt, Auge ermüdet von langem Abwarten, Zeit nicht voraus berechnet, nur Ort des Sterns berechnet. 463. Sicher Eintritt, Okular vorher nicht ganz scharf berichtigt, da Stern vorher in Wolken. 464. 1° - 2° zu spät (höchstens), ganz am Rande bemerkt, doch nicht plötzlich, fliegende Wolken. 465. Anscheinend sicher Austritt, Stern hell aufleuchtend, nicht genau an richtiger Stelle aufgeachtet. 466. Anscheinend Eintritt, unscharf, Stern schwach an fast vollem Mondrand. 467. Ziemlich sicher. 468. Ziemlich sicher. 469. Anscheinend Eintritt, unscharf. 471. Anscheinend sicher Eintritt, Stern etwas schwach. 472. Gut, nur Schätzung etwas unsicher, Stern sehr hell. 473. Sicher, nur Schätzung ein wenig unscharf. 474. Sicher Eintritt, Mond sehr tief. 475. Sicher, ohne Vorausberechnung lange aufgeachtet, Stern zeitweise in Wolken, doch beim Verschwinden hell. 476. In den starken Wallungen des hellen Mondrandes unscharf, doch sicher Eintritt. 477. Sicher, plötzlich, nicht genau richtige Stelle ins Auge gefasst, aber Stern sehr hell aufleuchtend.

Berechnung der Gleichungen für die Äquatoreal-Koordinaten des Mondes.

Die Berechnung der Sternbedeckungen ist erfolgt nach der in dem Berl. Beob. Nr. 13 S. 9 angegebenen Methode. Bis Nr. 367 lagen die Gleichungen fertig gerechnet vor, von da an habe ich sie nach derselben Methode gerechnet.

Als Koordinaten des Refraktors ist angenommen worden:

Breite: +54°42'50.75, Länge: 1°21'58.91 östl. Greenwich, Seehöhe: 34 m.

Mit der Abplattung 1/297 ergibt sich:

$$\varphi' = 54^\circ 51' 53.73 \log \varphi = 9.9990296; \log \varphi \sin \varphi' = 9.909886; \log \varphi \cos \varphi' = 9.762648.$$

Die Mondparallaxe ist nach Hansen zu $p_0 = 3422.28$, der Mondradius $r_0 = 932.60$ angenommen. Die Äquatorealen Koordinaten des Mondes, sowie die Parallaxen sind aus dem Nautical Almanac entnommen worden; an diese Koordinaten hat Battermann Verbesserungen angebracht, die zweifellos den Unterschied zwischen Brown's und Hansen's Störungen enthalten, daneben aber auch noch weitere Verbesserungen, die ich mit absoluter Sicherheit nicht habe feststellen können. Daher würde ich es für richtig halten, diese Korrekturen bei einer weiteren Verarbeitung wieder in Abzug zu bringen oder sie durch andere neu zu errechnende zu ersetzen. Diese Korrekturen sind in der Tabelle II unter $d\alpha$ und $d\delta$ gegeben. Von Nr. 368 an sind dieörter des Nautical Almanac ohne irgend welche Korrekturen zu Grunde gelegt.

In der Tabelle II sind die Koeffizienten der Gleichungen für die Äquatorealen Mondkoordinaten u.s.w. gegeben. Die erste Spalte enthält die laufende Nummer, eingeklammert wie früher, die folgenden Spalten die Koeffizienten der Gleichungen:

$$dr_0 + f'\alpha \Delta(\alpha - \alpha') + f'\delta \Delta(\delta - \delta') + f'\mu \cdot \mu + f'\nu \cdot \nu + f'\psi \cdot \psi = p(m-k) = \Delta$$

$$\text{Hierin ist: } f'\alpha = \frac{p_0}{p} \cos \delta \sin M'; f'\delta = \frac{p_0}{p} \cos M'; f'\mu = -\cos \delta' \cos M';$$

$$f'\nu = -\sin(\Theta - \alpha') \sin M' + \sin \delta' \cos(\Theta - \alpha') \cos M';$$

$$f'\psi = -\cos(\Theta - \alpha') \sin M' - \sin \delta' \sin(\Theta - \alpha') \cos M';$$

$$\text{wo } \mu = d(\varphi p_0 \sin \varphi') = \varphi(\sin \varphi' dp'_0 + p_0 \sin 1' \cos \varphi' \frac{d\varphi'}{60})$$

$$\nu = d(\varphi p_0 \cos \varphi') = \varphi(\cos \varphi' dp'_0 - p_0 \sin 1' \sin \varphi' \frac{d\varphi'}{60})$$

$$\psi = p_0 \sin 1' \varphi \cos \varphi' \frac{d\Theta'}{60}$$

Hier bedeuten $d\varphi'$ die Lotabweichung in Breite, $d\Theta'$ die Lotabweichung in der nach Osten gezählten Länge, beide hier im Sinne: geodätisch minus astronomisch. Ferner ist $d(\varphi p_0) = \varphi dp'_0$ die Korrektur der angenommenen Konstante der lokalen Horizontalparallaxe des Mondes, so dass man

$$dp'_0 = dp_0 + p_0 \frac{d\varphi}{\varphi}$$

als lokale Korrektur der Mondparallaxe bezeichnen kann.

Die Koeffizienten der Gleichungen sind durch eine doppelte unabhängige Rechnung gesichert.

Tabelle II.

Nr.	Δr_0	$\Delta(\alpha-\alpha')$	$\Delta(\delta-\delta')$	μ	ν	ψ	Δ	$d \alpha$	$d \delta$
(1)	+ 1	+ 0.888	- 0.416	+ 0.365	+ 0.001	- 0.931	- 0.787	+ 0.56	- 2.0
(2)	+ 1	+ 0.887	- 0.419	+ 0.368	+ 0.002	- 0.930	- 0.95	+ 0.56	- 2.0
3	+ 1	+ 0.680	+ 0.563	- 0.560	+ 0.656	- 0.506	- 0.66	+ 0.56	+ 2.1
4	- 1	+ 0.850	+ 0.093	- 0.092	+ 0.382	- 0.920	+ 1.46	+ 0.56	+ 2.1
(5)	+ 1	+ 0.834	- 0.019	+ 0.018	+ 0.997	- 0.077	+ 0.69	+ 0.59	+ 0.7
(6)	- 1	+ 0.764	+ 0.375	- 0.361	+ 0.927	- 0.104	- 0.730	+ 0.59	+ 0.7
7	+ 1	+ 0.929	+ 0.068	- 0.065	+ 0.346	- 0.936	+ 1.44	+ 0.53	- 2.6
8	+ 1	+ 0.913	- 0.195	+ 0.186	+ 0.231	- 0.955	+ 1.37	+ 0.53	- 2.6
9	+ 1	+ 0.930	+ 0.058	- 0.055	+ 0.285	- 0.957	+ 1.82	+ 0.53	- 2.6
10	+ 1	+ 0.882	+ 0.402	- 0.390	+ 0.752	- 0.531	- 0.93	+ 0.51	- 3.2
11	+ 1	+ 0.924	- 0.291	+ 0.283	+ 0.323	- 0.903	+ 0.784	+ 0.51	- 3.2
(12)	- 1	+ 1.010	- 0.146	+ 0.139	- 0.053	- 0.989	- 8.24	+ 0.49	- 3.5
(13)	- 1	+ 0.914	+ 0.351	- 0.305	+ 0.433	- 0.848	+ 3.57	+ 0.56	- 2.3
14	- 1	+ 0.279	- 1.007	+ 0.878	+ 0.474	- 0.056	- 0.19	+ 0.56	- 2.3
(15)	- 1	+ 0.878	- 0.401	+ 0.341	+ 0.520	- 0.783	+ 5.00	+ 0.58	- 1.5
(16)	- 1	+ 0.868	+ 0.424	- 0.359	- 0.076	- 0.930	+ 2.729	+ 0.58	- 1.5
(17)	- 1	+ 0.947	+ 0.053	- 0.044	- 0.091	- 0.995	+ 2.36	+ 0.58	- 1.5
18	- 1	+ 0.574	- 0.831	+ 0.696	+ 0.546	- 0.465	+ 1.23	+ 0.60	- 0.6
19	+ 1	+ 0.839	- 0.056	+ 0.053	- 0.995	- 0.083	+ 3.89	+ 0.60	+ 0.1
20	+ 1	+ 0.807	+ 0.265	- 0.248	- 0.945	- 0.213	+ 2.35	+ 0.60	+ 0.1
21	+ 1	+ 0.834	+ 0.124	- 0.117	- 0.984	- 0.131	+ 0.725	+ 0.60	+ 0.1
22	+ 1	+ 0.788	+ 0.329	- 0.308	- 0.929	- 0.204	+ 11.57	+ 0.60	+ 0.1
23	+ 1	+ 0.506	- 0.758	+ 0.712	- 0.616	+ 0.336	+ 0.19	+ 0.60	+ 0.1
24	+ 1	+ 0.348	- 0.865	+ 0.813	- 0.425	+ 0.398	+ 3.67	+ 0.60	+ 0.1
25	+ 1	+ 0.690	- 0.543	+ 0.510	- 0.826	+ 0.239	+ 2.84	+ 0.60	+ 0.1
26	+ 1	+ 0.437	- 0.811	+ 0.763	- 0.515	+ 0.391	+ 1.765	+ 0.60	+ 0.1
27	+ 1	+ 0.828	+ 0.162	- 0.152	- 0.988	- 0.036	+ 2.45	+ 0.60	+ 0.1
28	+ 1	+ 0.803	- 0.282	+ 0.265	- 0.880	+ 0.394	+ 2.07	+ 0.60	+ 0.1
29	+ 1	+ 0.568	+ 0.701	- 0.659	- 0.749	- 0.070	+ 2.85	+ 0.60	+ 0.1
30	+ 1	+ 0.837	- 0.094	+ 0.088	- 0.908	+ 0.411	+ 2.98	+ 0.60	+ 0.1
31	+ 1	+ 0.709	- 0.512	+ 0.481	- 0.689	+ 0.542	+ 3.77	+ 0.60	+ 0.1
32	+ 1	+ 0.365	+ 0.865	- 0.802	- 0.566	- 0.191	+ 0.14	+ 0.60	+ 0.1
33	+ 1	+ 0.594	- 0.690	+ 0.646	- 0.751	- 0.138	+ 3.85	+ 0.59	- 0.9
34	+ 1	+ 0.340	+ 0.880	- 0.820	- 0.129	- 0.557	+ 1.20	+ 0.59	- 0.9
35	+ 1	+ 0.836	+ 0.201	- 0.188	- 0.837	- 0.513	+ 2.02	+ 0.59	- 0.9
36	+ 1	+ 0.852	+ 0.092	- 0.086	- 0.900	- 0.427	+ 2.769	+ 0.59	- 0.9
37	+ 1	+ 0.457	- 0.812	+ 0.760	- 0.634	+ 0.140	+ 1.00	+ 0.59	- 0.9
38	+ 1	+ 0.395	+ 0.852	- 0.794	- 0.285	- 0.537	+ 0.01	+ 0.59	- 0.9
39	+ 1	+ 0.834	- 0.215	+ 0.201	- 0.948	- 0.245	+ 2.72	+ 0.59	- 0.9
(40)	+ 1	+ 0.783	+ 0.388	- 0.363	- 0.816	- 0.450	+ 1.11	+ 0.59	- 0.9

Nr.	Δr_0	$\Delta(\alpha-\alpha')$	$\Delta(\delta-\delta')$	μ	ν	ψ	Δ	$d\alpha$	$d\delta$
41	+ 1	+ 0.660	+ 0.647	- 0.608	- 0.404	- 0.683	+ 1.88	+ 0.56	- 1.9
(42)	+ 1	+ 0.444	- 0.840	+ 0.793	- 0.609	- 0.006	+ 0.62	+ 0.56	- 1.9
(43)	+ 1	+ 0.555	- 0.759	+ 0.717	- 0.662	+ 0.219	+ 2.27	+ 0.56	- 1.9
44	+ 1	+ 0.378	- 0.880	+ 0.832	- 0.450	+ 0.324	- 0.85	+ 0.56	- 1.9
(45)	+ 1	+ 0.854	+ 0.267	- 0.252	- 0.958	- 0.135	+ 0.16	+ 0.56	- 1.9
46	+ 1	+ 0.886	- 0.284	+ 0.272	- 0.944	- 0.186	+ 0.74	+ 0.54	- 2.7
47	+ 1	+ 0.742	- 0.589	+ 0.565	- 0.814	+ 0.135	+ 1.53	+ 0.54	- 2.7
(48)	+ 1	+ 0.538	- 0.845	+ 0.828	- 0.161	- 0.537	+ 2.20	+ 0.49	- 3.5
49	+ 1	+ 0.852	- 0.550	+ 0.540	+ 0.202	- 0.817	+ 1.62	+ 0.48	- 3.6
(50)	+ 1	+ 0.591	- 0.834	+ 0.818	+ 0.026	- 0.575	+ 2.46	+ 0.48	- 3.6
(51)	+ 1	+ 0.906	- 0.459	+ 0.450	- 0.263	- 0.854	+ 2.37	+ 0.48	- 3.6
52	+ 1	+ 0.851	+ 0.557	- 0.546	- 0.635	- 0.546	+ 1.36	+ 0.48	- 3.6
53	+ 1	+ 0.719	- 0.721	+ 0.706	- 0.618	- 0.345	+ 2.22	+ 0.48	- 3.6
54	+ 1	+ 0.737	- 0.715	+ 0.696	+ 0.151	- 0.702	+ 2.51	+ 0.47	- 3.7
55	+ 1	- 0.055	- 1.026	+ 0.998	+ 0.035	+ 0.058	- 1.33	+ 0.47	- 3.7
56	+ 1	+ 0.492	- 0.902	+ 0.877	- 0.019	- 0.480	+ 2.35	+ 0.47	- 3.7
(57)	+ 1	+ 0.107	- 1.023	+ 0.993	- 0.037	- 0.112	+ 1.70	+ 0.47	- 3.7
58	+ 1	+ 0.875	- 0.540	+ 0.524	- 0.652	- 0.524	+ 2.41	+ 0.47	- 3.7
59	+ 1	+ 1.026	+ 0.038	- 0.036	- 0.597	- 0.801	+ 1.10	+ 0.48	- 3.6
(60)	+ 1	+ 0.871	+ 0.549	- 0.524	- 0.608	- 0.597	+ 1.28	+ 0.48	- 3.6
61	+ 1	+ 0.936	+ 0.412	- 0.385	+ 0.514	- 0.766	+ 0.81	+ 0.50	- 3.3
62	+ 1	+ 0.928	- 0.425	+ 0.395	- 0.208	- 0.895	+ 2.99	+ 0.50	- 3.3
(63)	+ 1	+ 0.612	- 0.833	+ 0.774	- 0.034	- 0.632	+ 2.21	+ 0.50	- 3.3
64	- 1	+ 0.933	+ 0.047	- 0.039	+ 0.280	- 0.959	- 0.62	+ 0.60	0.0
(65)									
66	+ 1	+ 0.784	+ 0.327	- 0.311	- 0.950	+ 0.009	+ 1.24	+ 0.59	- 0.6
67	+ 1	+ 0.823	+ 0.165	- 0.157	- 0.958	+ 0.241	+ 1.34	+ 0.59	- 0.6
68	+ 1	+ 0.381	- 0.854	+ 0.817	- 0.456	+ 0.354	- 1.22	+ 0.57	- 1.6
69	+ 1	+ 0.849	+ 0.158	- 0.151	- 0.983	- 0.100	- 0.39	+ 0.57	- 1.6
70	+ 1	+ 0.771	+ 0.424	- 0.405	- 0.893	- 0.198	+ 3.84	+ 0.57	- 1.6
71	+ 1	+ 0.405	- 0.841	+ 0.804	- 0.454	+ 0.383	- 0.61	+ 0.57	- 1.6
72	+ 1	+ 0.030	- 0.952	+ 0.911	0.000	+ 0.411	- 1.77	+ 0.57	- 1.6
73	+ 1	+ 0.754	- 0.462	+ 0.442	- 0.851	+ 0.284	+ 0.36	+ 0.57	- 1.6
(74)	+ 1	+ 0.436	- 0.822	+ 0.787	- 0.461	+ 0.410	+ 0.38	+ 0.57	- 1.6
75	+ 1	+ 0.647	+ 0.631	- 0.603	- 0.798	+ 0.016	+ 0.19	+ 0.57	- 1.6
76	+ 1	+ 0.747	- 0.478	+ 0.458	- 0.699	+ 0.550	+ 0.84	+ 0.57	- 1.6
77	+ 1	+ 0.797	+ 0.367	- 0.351	- 0.894	+ 0.279	- 1.12	+ 0.57	- 1.6
78	+ 1	+ 0.786	- 0.466	+ 0.451	- 0.892	- 0.033	+ 0.33	+ 0.55	- 2.4
79	+ 1	+ 0.678	+ 0.634	- 0.613	- 0.729	- 0.304	- 0.37	+ 0.55	- 2.4
80	+ 1	+ 0.877	+ 0.213	- 0.206	- 0.965	- 0.164	- 2.11	+ 0.55	- 2.4
(81)	+ 1	+ 0.323	- 0.902	+ 0.874	- 0.360	+ 0.326	+ 0.69	+ 0.55	- 2.4
82	+ 1	+ 0.936	+ 0.059	- 0.058	- 0.814	- 0.577	+ 0.78	+ 0.51	- 3.0
83	+ 1	+ 0.902	- 0.269	+ 0.263	- 0.896	- 0.358	+ 0.27	+ 0.51	- 3.0
84	+ 1	+ 0.714	- 0.637	+ 0.624	- 0.773	- 0.111	+ 1.79	+ 0.51	- 3.0
85	+ 1	+ 0.872	- 0.370	+ 0.362	- 0.932	- 0.018	+ 1.51	+ 0.51	- 3.0

Fr.	Δr_0	$\Delta(\alpha-\alpha')$	$\Delta(\delta-\delta')$	μ	ν	ψ	Δ	$d\alpha$	$d\delta$
(86)	+ 1	+ 0.938	+ 0.072	- 0.071	- 0.992	- 0.106	+ 0.993	+ 0.51	- 3.0
87	+ 1	+ 0.503	- 0.830	+ 0.814	- 0.550	+ 0.186	+ 2.86	+ 0.51	- 3.0
88	+ 1	+ 0.876	- 0.358	+ 0.352	- 0.934	+ 0.064	+ 1.72	+ 0.51	- 3.0
89	+ 1	+ 0.587	- 0.768	+ 0.754	- 0.616	+ 0.230	+ 0.12	+ 0.51	- 3.0
90	+ 1	+ 0.970	- 0.112	+ 0.110	- 0.862	- 0.495	+ 2.68	+ 0.49	- 3.4
(91)	+ 1	+ 0.523	- 0.841	+ 0.831	- 0.544	- 0.116	+ 2.95	+ 0.49	- 3.4
92	+ 1	+ 0.529	- 0.837	+ 0.827	- 0.550	- 0.119	+ 2.83	+ 0.49	- 3.4
93	+ 1	- 0.117	- 0.989	+ 0.977	+ 0.047	+ 0.208	+ 1.52	+ 0.49	- 3.4
94	+ 1	- 0.133	- 0.987	+ 0.975	+ 0.061	+ 0.213	+ 1.62	+ 0.49	- 3.4
95	+ 1	+ 0.975	+ 0.073	- 0.072	- 0.947	- 0.314	+ 0.04	+ 0.49	- 3.4
(96)	+ 1	+ 0.777	- 0.640	+ 0.632	- 0.573	- 0.521	+ 2.64	+ 0.48	- 3.6
97	+ 1	+ 0.703	- 0.723	+ 0.713	- 0.604	- 0.354	+ 0.95	+ 0.48	- 3.6
98	+ 1	+ 0.982	+ 0.220	- 0.217	- 0.823	- 0.525	+ 1.48	+ 0.48	- 3.6
(99)	+ 1	- 0.234	- 0.983	+ 0.970	+ 0.173	+ 0.172	- 1.44	+ 0.48	- 3.6
100	+ 1	+ 0.686	- 0.740	+ 0.730	- 0.663	- 0.167	+ 2.05	+ 0.48	- 3.6
101	+ 1	+ 1.022	+ 0.029	- 0.028	- 0.514	- 0.858	+ 0.44	+ 0.47	- 3.7
102	+ 1	- 0.253	- 0.991	+ 0.969	+ 0.184	+ 0.167	- 0.02	+ 0.47	- 3.7
103	+ 1	+ 0.848	- 0.572	+ 0.559	- 0.560	- 0.611	+ 0.26	+ 0.47	- 3.7
104	+ 1	+ 0.989	- 0.199	+ 0.182	+ 0.264	- 0.947	+ 3.42	+ 0.52	- 3.1
105	+ 1	+ 0.989	- 0.199	+ 0.181	+ 0.263	- 0.947	+ 1.54	+ 0.52	- 3.1
106	+ 1	+ 0.950	+ 0.176	- 0.151	- 0.135	- 0.979	+ 0.63	+ 0.57	- 1.9
107	+ 1	+ 0.884	+ 0.421	- 0.361	- 0.272	- 0.892	+ 2.38	+ 0.57	- 1.9
108	- 1	+ 0.686	+ 0.736	- 0.694	+ 0.397	- 0.601	+ 0.22	+ 0.50	+ 3.2
109	- 1	+ 0.590	+ 0.821	- 0.773	+ 0.306	- 0.556	+ 0.54	+ 0.50	+ 3.2
110	+ 1	+ 0.036	- 1.022	+ 0.994	+ 0.035	- 0.098	0.00	+ 0.48	- 3.7
111	+ 1	+ 1.015	- 0.086	+ 0.084	- 0.835	- 0.544	+ 2.26	+ 0.48	- 3.7
112	+ 1	+ 0.737	+ 0.424	- 0.412	- 0.802	- 0.432	+ 0.19	+ 0.48	- 3.7
113	+ 1	+ 0.817	- 0.612	+ 0.595	- 0.733	- 0.330	+ 2.15	+ 0.48	- 3.7
(114)	+ 1	+ 0.992	- 0.179	+ 0.165	- 0.425	- 0.890	+ 3.09	+ 0.51	- 3.1
115	+ 1	+ 0.996	- 0.150	+ 0.138	- 0.565	- 0.813	+ 2.24	+ 0.51	- 3.1
116	+ 1	+ 0.979	+ 0.243	- 0.223	- 0.740	- 0.634	+ 3.84	+ 0.51	- 3.1
(117)	+ 1	+ 0.487	- 0.914	+ 0.839	- 0.219	- 0.498	+ 0.93	+ 0.51	- 3.1
118	- 1	+ 0.872	+ 0.460	- 0.414	- 0.035	- 0.910	- 0.19	+ 0.53	+ 2.6
119	- 1	+ 0.876	- 0.455	+ 0.410	+ 0.097	- 0.912	+ 0.46	+ 0.53	+ 2.6
120	- 1	+ 0.979	- 0.152	+ 0.142	+ 0.246	- 0.959	+ 0.43	+ 0.51	+ 3.1
121	- 1	+ 0.610	- 0.809	+ 0.767	+ 0.266	- 0.597	- 0.25	+ 0.51	+ 3.1
(122)	- 1	+ 1.000	+ 0.059	- 0.057	+ 0.475	- 0.878	- 2.46	+ 0.49	+ 3.5
123	- 1	+ 0.992	- 0.137	+ 0.132	+ 0.372	- 0.919	- 1.60	+ 0.49	+ 3.5
124	- 1	+ 0.406	+ 0.910	- 0.913	+ 0.369	- 0.173	- 0.66	+ 0.47	+ 3.7
125	- 1	+ 0.906	+ 0.413	- 0.415	+ 0.737	- 0.533	- 3.88	+ 0.47	+ 3.7
126	- 1	+ 0.942	+ 0.323	- 0.324	+ 0.756	- 0.569	- 1.49	+ 0.47	+ 3.7
(127)	- 1	+ 0.383	+ 0.888	- 0.893	+ 0.427	+ 0.143	- 1.23	+ 0.50	+ 3.3
128	- 1	+ 0.902	+ 0.110	- 0.109	+ 0.982	+ 0.152	- 0.42	+ 0.54	+ 2.8
129	- 1	+ 0.906	+ 0.061	- 0.060	+ 0.991	+ 0.118	+ 0.57	+ 0.54	+ 2.8
130	- 1	+ 0.902	+ 0.105	- 0.104	+ 0.994	- 0.024	- 1.13	+ 0.54	+ 2.8

Nr.	Δr_0	$\Delta(\alpha-\alpha')$	$\Delta(\delta-\delta')$	μ	ν	ψ	Δ	d α	d δ
131	- 1	+ 0.193	+ 0.936	- 0.928	+ 0.289	+ 0.233	+ 0.729	+ 0.54	+ 2.8
132	- 1	+ 0.522	+ 0.760	- 0.741	+ 0.425	+ 0.519	- 0.99	+ 0.57	+ 2.1
133	- 1	+ 0.867	- 0.101	+ 0.098	+ 0.955	+ 0.279	- 0.28	+ 0.57	+ 2.1
134	- 1	+ 0.187	+ 0.927	- 0.904	+ 0.091	+ 0.418	- 0.87	+ 0.57	+ 2.1
135	- 1	+ 0.860	+ 0.152	- 0.148	+ 0.934	+ 0.324	+ 0.60	+ 0.57	+ 2.1
136	- 1	+ 0.710	- 0.550	+ 0.534	+ 0.845	- 0.016	- 1.708	+ 0.57	+ 2.1
137	- 1	+ 0.830	- 0.287	+ 0.280	+ 0.984	+ 0.112	- 1.54	+ 0.57	+ 2.1
(138)	- 1	+ 0.692	+ 0.575	- 0.560	+ 0.746	+ 0.359	- 0.81	+ 0.57	+ 2.1
139	- 1	+ 0.851	- 0.199	+ 0.193	+ 0.981	0.000	+ 0.66	+ 0.57	+ 2.1
(140)	- 1	+ 0.185	+ 0.927	- 0.903	+ 0.191	+ 0.385	- 4.62	+ 0.57	+ 2.1
(141)	- 1	+ 0.285	+ 0.896	- 0.873	+ 0.307	+ 0.378	- 1.728	+ 0.57	+ 2.1
142	- 1	+ 0.772	- 0.437	+ 0.424	+ 0.884	- 0.196	- 0.32	+ 0.57	+ 2.1
143	- 1	+ 0.440	+ 0.818	- 0.796	+ 0.530	+ 0.291	- 1.24	+ 0.57	+ 2.1
(144)	+ 1	+ 0.941	+ 0.369	- 0.356	- 0.893	- 0.276	+ 1.92	+ 0.49	- 3.5
145	- 1	+ 0.896	- 0.443	+ 0.425	+ 0.495	- 0.758	+ 0.87	+ 0.49	+ 3.4
146	- 1	+ 0.984	- 0.196	+ 0.193	+ 0.596	- 0.779	- 0.707	+ 0.48	+ 3.6
147	- 1	+ 0.781	+ 0.633	- 0.623	+ 0.072	- 0.779	- 1.07	+ 0.48	+ 3.6
148	- 1	+ 0.764	+ 0.653	- 0.644	- 0.048	- 0.764	- 1.88	+ 0.48	+ 3.6
149	- 1	+ 0.993	- 0.143	+ 0.141	+ 0.611	- 0.990	+ 1.15	+ 0.48	+ 3.6
150	- 1	+ 0.706	+ 0.716	- 0.706	- 0.266	- 0.677	- 1.96	+ 0.48	+ 3.6
151	- 1	+ 0.445	+ 0.896	- 0.896	+ 0.378	- 0.235	- 0.710	+ 0.47	+ 3.7
152	- 1	+ 0.765	+ 0.643	- 0.643	+ 0.373	- 0.669	- 1.37	+ 0.47	+ 3.7
153	- 1	+ 0.292	+ 0.956	- 0.956	+ 0.125	- 0.264	- 0.53	+ 0.47	+ 3.7
154	- 1	+ 0.721	+ 0.691	- 0.692	+ 0.234	- 0.683	- 0.93	+ 0.47	+ 3.7
155	- 1	+ 0.126	+ 0.991	- 0.992	+ 0.024	- 0.124	- 1.27	+ 0.47	+ 3.7
(156)	- 1	+ 0.377	+ 0.916	- 0.921	+ 0.389	- 0.023	- 1.766	+ 0.48	+ 3.6
(157)	- 1	+ 0.798	+ 0.579	- 0.582	+ 0.558	- 0.591	- 2.34	+ 0.48	+ 3.6
158	- 1	+ 0.879	+ 0.161	- 0.155	+ 0.969	- 0.194	+ 0.54	+ 0.55	+ 2.3
159	- 1	+ 0.882	- 0.138	+ 0.133	+ 0.943	- 0.307	- 0.80	+ 0.55	+ 2.3
160	- 1	+ 0.756	- 0.511	+ 0.491	+ 0.765	- 0.416	- 0.31	+ 0.55	+ 2.3
161	- 1	+ 0.891	+ 0.007	- 0.007	+ 0.953	- 0.302	- 0.795	+ 0.55	+ 2.3
162	- 1	+ 0.206	- 0.921	+ 0.865	+ 0.411	- 0.290	+ 0.14	+ 0.59	- 0.7
163	- 1	+ 0.512	- 0.754	+ 0.708	+ 0.698	- 0.101	- 0.65	+ 0.59	- 0.7
164	- 1	+ 0.751	- 0.430	+ 0.405	+ 0.903	+ 0.146	+ 0.20	+ 0.59	- 0.7
165	- 1	+ 0.836	- 0.119	+ 0.112	+ 0.949	+ 0.297	+ 2.69	+ 0.59	- 0.7
166	- 1	+ 0.682	- 0.557	+ 0.524	+ 0.852	+ 0.012	+ 0.729	+ 0.59	- 0.7
(167)	- 1	+ 0.785	- 0.344	+ 0.324	+ 0.942	+ 0.085	+ 0.60	+ 0.59	- 0.7
168	- 1	+ 0.842	- 0.013	+ 0.012	+ 0.972	+ 0.236	+ 1.27	+ 0.59	- 0.7
169	- 1	+ 0.628	+ 0.632	- 0.596	+ 0.663	+ 0.452	+ 0.18	+ 0.59	- 0.7
170	- 1	+ 0.812	+ 0.255	- 0.240	+ 0.926	+ 0.292	+ 0.38	+ 0.59	- 0.7
(171)	- 1	+ 0.681	+ 0.559	- 0.527	+ 0.751	+ 0.398	+ 0.760	+ 0.59	- 0.7
172	- 1	+ 0.774	+ 0.374	- 0.352	+ 0.882	+ 0.312	+ 0.59	+ 0.59	- 0.7
173	- 1	+ 0.772	+ 0.380	+ 0.358	+ 0.932	- 0.063	+ 1.42	+ 0.59	- 0.7
174	- 1	+ 0.295	- 0.889	+ 0.835	+ 0.389	- 0.389	+ 2.19	+ 0.59	- 0.7
175	- 1	+ 0.709	- 0.513	+ 0.482	+ 0.856	- 0.188	+ 3.23	+ 0.59	- 0.7

Nr.	Δr_0	$\Delta(\alpha-\alpha')$	$\Delta(\delta-\delta')$	μ	ν	ψ	Δ	$d \alpha$	$d \delta$
176	- 1	+ 0.830	- 0.165	+ 0.155	+ 0.987	- 0.026	+ 1.73	+ 0.59	- 0.7
177	- 1	+ 0.828	+ 0.178	- 0.168	+ 0.986	+ 0.004	+ 1.77	+ 0.59	- 0.7
(178)	- 1	+ 0.746	+ 0.442	- 0.416	+ 0.903	+ 0.105	+ 1.64	+ 0.59	- 0.7
179	- 1	+ 0.749	- 0.436	+ 0.410	+ 0.849	- 0.333	+ 0.80	+ 0.59	- 0.7
180	- 1	+ 0.611	- 0.676	+ 0.627	+ 0.777	+ 0.051	- 1.28	+ 0.59	- 1.0
181	- 1	+ 0.407	- 0.848	+ 0.786	+ 0.602	- 0.141	- 0.31	+ 0.59	- 1.0
182	- 1	+ 0.347	- 0.881	+ 0.817	+ 0.516	- 0.257	+ 2.90	+ 0.59	- 1.0
183	- 1	+ 0.800	+ 0.346	- 0.322	+ 0.855	+ 0.406	- 1.29	+ 0.59	- 1.0
184	- 1	+ 0.816	- 0.299	+ 0.278	+ 0.954	- 0.110	- 0.50	+ 0.59	- 1.0
(185)	+ 1	+ 0.993	- 0.028	+ 0.028	- 0.448	- 0.893	- 0.03	+ 0.48	+ 3.7
186	- 1	+ 0.810	- 0.272	+ 0.260	+ 0.853	- 0.452	+ 1.02	+ 0.59	+ 1.4
187	- 1	+ 0.700	+ 0.529	- 0.505	+ 0.796	- 0.334	+ 0.33	+ 0.59	+ 1.4
188	- 1	+ 0.604	+ 0.659	- 0.630	+ 0.734	- 0.253	+ 0.93	+ 0.59	+ 1.4
189	+ 1	+ 0.568	- 0.848	+ 0.733	+ 0.302	- 0.610	- 1.01	+ 0.56	+ 2.1
190									
(191)	+ 1	+ 0.907	- 0.356	+ 0.308	- 0.397	- 0.864	+ 4.15	+ 0.56	+ 2.1
192	+ 1	+ 0.049	+ 1.043	- 0.935	- 0.350	- 0.066	+ 0.34	+ 0.54	+ 2.8
(193)									
194	+ 1	+ 0.964	+ 0.193	- 0.173	- 0.057	- 0.983	+ 3.82	+ 0.54	+ 2.8
(195)	+ 1	+ 0.103	+ 1.038	- 0.931	- 0.351	- 0.104	- 0.28	+ 0.54	+ 2.8
196	+ 1	+ 0.895	+ 0.339	- 0.340	- 0.205	- 0.818	+ 3.64	+ 0.50	+ 3.4
197	+ 1	+ 0.763	+ 0.579	- 0.579	- 0.503	- 0.642	+ 2.47	+ 0.50	+ 3.4
198	+ 1	+ 0.190	+ 0.941	- 0.934	+ 0.358	+ 0.005	+ 1.02	+ 0.53	+ 2.9
199	+ 1	+ 0.560	+ 0.759	- 0.753	+ 0.446	- 0.483	+ 2.96	+ 0.53	+ 2.9
200	+ 1	+ 0.891	+ 0.212	- 0.211	+ 0.379	- 0.901	+ 4.09	+ 0.53	+ 2.9
201	+ 1	+ 0.521	+ 0.789	- 0.782	+ 0.310	- 0.541	+ 1.99	+ 0.53	+ 2.9
202	+ 1	+ 0.855	- 0.332	+ 0.329	- 0.164	- 0.930	+ 1.84	+ 0.53	+ 2.9
203	+ 1	+ 0.814	+ 0.428	- 0.424	- 0.163	- 0.890	+ 3.74	+ 0.53	+ 2.9
204	+ 1	+ 0.844	- 0.342	+ 0.339	- 0.893	- 0.296	+ 2.08	+ 0.53	+ 2.9
(205)	+ 1	+ 0.787	+ 0.307	- 0.295	- 0.278	- 0.914	+ 2.74	+ 0.59	+ 1.2
(206)	+ 1	+ 0.497	- 0.853	+ 0.864	+ 0.372	- 0.339	+ 1.73	+ 0.47	- 3.8
(207)	- 1	+ 0.987	+ 0.021	- 0.021	+ 0.621	- 0.784	- 0.47	+ 0.47	- 3.8
208	- 1	+ 0.975	- 0.160	+ 0.162	+ 0.521	- 0.838	- 1.84	+ 0.47	- 3.8
209	+ 1	+ 0.915	+ 0.222	- 0.217	- 0.646	- 0.732	+ 6.11	+ 0.52	+ 3.1
210	+ 1	+ 0.688	+ 0.667	- 0.652	- 0.470	- 0.595	+ 3.73	+ 0.52	+ 3.1
211	+ 1	+ 0.923	- 0.156	+ 0.153	- 0.970	- 0.190	+ 4.53	+ 0.52	+ 3.1
212	+ 1	+ 0.883	+ 0.318	- 0.311	- 0.941	- 0.134	+ 4.03	+ 0.52	+ 3.1
213	+ 1	+ 0.934	+ 0.036	- 0.035	- 0.998	- 0.049	+ 5.05	+ 0.52	+ 3.1
214	+ 1	+ 0.896	+ 0.278	- 0.271	- 0.959	- 0.083	+ 5.79	+ 0.52	+ 3.1
215	+ 1	+ 0.580	+ 0.767	- 0.748	- 0.644	- 0.159	+ 3.62	+ 0.52	+ 3.1
216	+ 1	+ 0.611	- 0.740	+ 0.724	- 0.620	+ 0.303	+ 0.79	+ 0.52	+ 3.1
217	+ 1	+ 0.841	+ 0.423	- 0.413	- 0.910	+ 0.039	+ 4.02	+ 0.52	+ 3.1
218	+ 1	+ 0.546	- 0.772	+ 0.747	- 0.156	- 0.647	+ 1.04	+ 0.55	+ 2.5
219	+ 1	+ 0.311	+ 0.908	- 0.873	+ 0.092	- 0.479	+ 2.59	+ 0.55	+ 2.5
220	+ 1	+ 0.800	+ 0.438	- 0.422	- 0.445	- 0.790	+ 5.08	+ 0.55	+ 2.5

№.	Δr_0	$\Delta(\alpha-\alpha')$	$\Delta(\delta-\delta')$	μ	ν	ψ	Δ	$d\alpha$	$d\delta$
221	+ 1	+ 0.727	+ 0.566	- 0.544	- 0.485	- 0.685	+ 4.23	+ 0.55	+ 2.5
222	+ 1	+ 0.483	+ 0.793	- 0.753	+ 0.556	- 0.352	+ 5.39	+ 0.58	+ 1.7
223	+ 1	+ 0.838	- 0.216	+ 0.205	- 0.572	- 0.794	+ 1.52	+ 0.58	+ 1.7
(224)	- 1	+ 0.809	- 0.410	+ 0.419	+ 0.387	- 0.821	+ 1.46	+ 0.51	- 3.1
225	- 1	+ 0.435	- 0.860	+ 0.890	+ 0.391	- 0.234	+ 0.53	+ 0.48	- 3.7
(226)	+ 1	+ 0.840	+ 0.205	- 0.198	+ 0.305	- 0.931	+ 4.62	+ 0.56	- 2.1
227	+ 1	+ 0.796	- 0.350	+ 0.304	- 0.890	- 0.340	- 0.22	+ 0.60	+ 0.4
228	+ 1	+ 0.750	- 0.449	+ 0.414	- 0.896	- 0.161	+ 1.95	+ 0.60	+ 0.4
229	+ 1	+ 0.846	+ 0.051	- 0.047	- 0.981	- 0.187	+ 4.22	+ 0.60	+ 0.4
(230)	- 1	+ 0.835	- 0.164	+ 0.151	- 0.976	+ 0.155	+ 1.87	+ 0.60	+ 0.4
231	+ 1	+ 1.024	- 0.035	+ 0.032	+ 0.449	- 0.893	+ 3.03	+ 0.49	+ 3.6
232	+ 1	+ 0.290	+ 1.008	- 0.939	- 0.142	- 0.313	+ 1.47	+ 0.49	+ 3.6
233	+ 1	+ 0.611	+ 0.839	- 0.788	- 0.330	- 0.581	+ 2.10	+ 0.49	+ 3.6
(234)	- 1	+ 0.786	+ 0.507	- 0.477	+ 0.878	- 0.048	- 0.29	+ 0.55	+ 2.5
235	+ 1	+ 0.766	+ 0.673	- 0.604	+ 0.202	- 0.771	+ 2.88	+ 0.53	+ 3.0
(236)	+ 1	+ 0.361	+ 0.981	- 0.882	- 0.218	- 0.418	+ 5.27	+ 0.53	+ 3.0
237	- 1	+ 0.964	+ 0.275	- 0.247	+ 0.091	- 0.964	+ 4.57	+ 0.53	+ 3.0
238	+ 1	+ 0.186	+ 1.033	- 0.985	- 0.064	- 0.159	+ 0.60	+ 0.48	+ 3.8
239	+ 1	+ 1.031	+ 0.149	- 0.143	- 0.025	- 0.990	+ 3.09	+ 0.48	+ 3.8
240	+ 1	- 0.256	+ 0.972	- 0.940	+ 0.221	+ 0.261	+ 0.27	+ 0.50	+ 3.4
241	+ 1	+ 0.897	+ 0.010	- 0.009	+ 0.293	- 0.956	+ 5.23	+ 0.56	+ 2.2
242	+ 1	+ 0.636	+ 0.687	- 0.646	+ 0.261	- 0.717	+ 3.01	+ 0.56	+ 2.2
243	+ 1	+ 0.415	+ 0.865	- 0.813	+ 0.326	- 0.482	+ 2.75	+ 0.56	+ 2.2
244	+ 1	+ 0.885	+ 0.144	- 0.136	- 0.008	- 0.991	+ 4.76	+ 0.56	+ 2.2
245	+ 1	- 0.038	+ 0.975	- 0.917	+ 0.399	- 0.003	+ 1.46	+ 0.56	+ 2.2
246	+ 1	+ 0.666	- 0.651	+ 0.061	- 0.379	- 0.692	+ 1.81	+ 0.56	+ 2.2
247	+ 1	+ 0.879	- 0.177	+ 0.167	- 0.256	- 0.952	+ 3.42	+ 0.56	+ 2.2
248	+ 1	+ 0.632	+ 0.690	- 0.649	+ 0.054	- 0.759	+ 3.78	+ 0.56	+ 2.2
249	+ 1	+ 0.176	+ 0.956	- 0.898	+ 0.275	- 0.342	+ 0.50	+ 0.56	+ 2.2
250	+ 1	+ 0.127	+ 1.003	- 0.951	+ 0.296	- 0.084	+ 1.42	+ 0.52	+ 3.2
251	+ 1	+ 0.514	+ 0.857	- 0.813	+ 0.265	- 0.519	+ 3.66	+ 0.52	+ 3.2
252	+ 1	+ 0.472	+ 0.883	- 0.837	+ 0.230	- 0.496	+ 5.89	+ 0.52	+ 3.2
253	+ 1	+ 0.416	+ 0.913	- 0.866	+ 0.229	- 0.445	+ 4.16	+ 0.52	+ 3.2
254	+ 1	+ 0.193	+ 0.989	- 0.937	+ 0.106	- 0.333	+ 1.24	+ 0.52	+ 3.2
255	+ 1	+ 1.019	+ 0.222	- 0.211	- 0.840	- 0.500	+ 4.75	+ 0.47	+ 3.8
256	+ 1	+ 0.589	+ 0.970	- 0.925	- 0.317	- 0.208	+ 3.45	+ 0.47	+ 3.8
(257)	+ 1	+ 1.035	+ 0.127	- 0.121	- 0.932	- 0.343	+ 4.65	+ 0.47	+ 3.8
258	+ 1	+ 0.962	+ 0.403	- 0.384	- 0.882	- 0.272	+ 7.74	+ 0.47	+ 3.8
259	+ 1	+ 0.851	+ 0.604	- 0.576	- 0.780	- 0.244	+ 3.02	+ 0.47	+ 3.8
260	- 1	+ 0.805	- 0.449	+ 0.478	+ 0.766	- 0.429	+ 3.79	+ 0.48	- 3.7
261	+ 1	+ 0.663	- 0.638	+ 0.571	- 0.519	- 0.636	+ 4.94	+ 0.90	+ 0.7
262	+ 1	+ 0.220	+ 0.956	- 0.852	+ 0.350	- 0.389	+ 2.26	+ 0.90	+ 0.7
263	+ 1	+ 0.862	- 0.120	+ 0.107	- 0.474	- 0.874	+ 3.68	+ 0.90	+ 0.7
264	+ 1	+ 0.614	- 0.699	+ 0.626	- 0.622	+ 0.471	+ 1.59	+ 0.90	+ 0.7
265	+ 1	+ 0.139	- 0.974	+ 0.873	- 0.460	+ 0.159	- 1.69	+ 0.90	+ 0.7

Nr.	Δr_0	$\Delta(\alpha-\alpha')$	$\Delta(\delta-\delta')$	μ	ν	ψ	Δ	$d\alpha$	$d\delta$
266	+ 1	+ 0.672	- 0.623	+ 0.558	- 0.737	- 0.382	+ 2.58	+ 0.90	+ 0.7
267	+ 1	+ 0.771	+ 0.451	- 0.403	- 0.450	- 0.797	- 8.45	+ 0.90	+ 0.7
268	+ 1	+ 0.867	+ 0.003	- 0.003	- 0.803	- 0.596	+ 4.86	+ 0.90	+ 0.7
269	+ 1	+ 0.852	- 0.180	+ 0.161	- 0.846	- 0.508	+ 4.66	+ 0.90	+ 0.7
270	+ 1	+ 0.847	- 0.210	+ 0.188	- 0.872	- 0.451	+ 4.75	+ 0.90	+ 0.7
271	+ 1	+ 0.217	- 0.955	+ 0.857	- 0.408	+ 0.315	- 0.36	+ 0.90	+ 0.7
272	+ 1	+ 0.367	- 0.893	+ 0.802	- 0.538	+ 0.262	+ 0.05	+ 0.90	+ 0.7
273	+ 1	+ 0.742	- 0.546	+ 0.575	+ 0.099	- 0.812	+ 2.69	+ 0.73	- 5.3
274	+ 1	+ 0.415	- 0.835	+ 0.893	+ 0.329	- 0.308	- 0.27	+ 0.71	- 5.7
275	+ 1	- 0.108	- 0.927	+ 0.991	- 0.123	+ 0.048	+ 0.76	+ 0.71	- 5.7
276	+ 1	+ 0.899	+ 0.239	- 0.256	+ 0.580	- 0.773	+ 2.70	+ 0.71	- 5.7
277	+ 1	+ 0.851	- 0.180	+ 0.161	- 0.987	- 0.032	+ 0.81	+ 0.91	0.0
278	+ 1	+ 0.468	+ 0.829	- 0.742	- 0.517	- 0.428	+ 1.39	+ 0.91	0.0
279	+ 1	+ 0.433	- 0.853	+ 0.881	- 0.429	- 0.198	+ 0.73	+ 0.72	- 5.5
280	+ 1	+ 0.397	- 0.872	+ 0.910	- 0.218	- 0.353	+ 2.99	+ 0.71	- 5.7
281	+ 1	+ 0.611	- 0.738	+ 0.770	- 0.330	- 0.547	+ 3.64	+ 0.71	- 5.7
282	+ 1	+ 0.455	- 0.842	+ 0.875	+ 0.014	- 0.484	- 2.59	+ 0.71	- 5.6
283	- 1	+ 0.664	- 0.655	+ 0.574	+ 0.153	- 0.804	- 1.81	+ 0.90	- 0.9
284	+ 1	+ 0.607	- 0.707	+ 0.688	- 0.670	+ 0.280	+ 0.03	+ 0.81	- 3.9
(285)	+ 1	+ 0.758	+ 0.513	- 0.499	- 0.860	- 0.106	+ 2.78	+ 0.81	- 3.9
286	+ 1	+ 0.343	- 0.892	+ 0.896	- 0.386	+ 0.218	- 1.53	+ 0.76	- 4.8
287	+ 1	+ 0.526	- 0.789	+ 0.793	- 0.582	+ 0.181	+ 3.59	+ 0.76	- 4.8
288	+ 1	+ 0.903	+ 0.203	- 0.203	- 0.969	+ 0.139	+ 0.03	+ 0.76	- 4.8
289	+ 1	- 0.270	- 0.931	+ 0.942	+ 0.330	+ 0.065	+ 0.29	+ 0.73	- 5.4
(290)	- 1	+ 0.910	+ 0.208	- 0.181	+ 0.298	- 0.937	- 3.53	+ 0.86	+ 2.7
291	- 1	+ 0.801	+ 0.524	- 0.456	- 0.086	- 0.886	- 0.84	+ 0.86	+ 2.7
292	+ 1	- 0.039	- 0.984	+ 0.933	+ 0.332	- 0.140	+ 1.21	+ 0.80	- 4.3
293	+ 1	+ 0.570	- 0.774	+ 0.705	+ 0.189	- 0.684	- 0.07	+ 0.84	- 3.2
294	+ 1	+ 0.800	- 0.468	+ 0.426	- 0.284	- 0.859	+ 1.10	+ 0.84	- 3.2
295	- 1	+ 1.049	+ 0.076	- 0.072	+ 0.646	- 0.760	- 0.74	+ 0.71	+ 5.7
296	- 1	+ 0.765	+ 0.639	- 0.593	+ 0.805	+ 0.007	+ 1.10	+ 0.78	+ 4.6
297	- 1	+ 0.915	+ 0.229	- 0.210	+ 0.929	+ 0.303	+ 2.80	+ 0.82	+ 3.7
(298)	- 1	+ 0.413	+ 0.912	- 0.836	+ 0.369	+ 0.406	- 0.95	+ 0.82	+ 3.7
(299)	+ 1	+ 0.801	- 0.502	+ 0.434	+ 0.356	- 0.827	+ 2.07	+ 0.87	+ 2.3
300	+ 1	+ 0.934	- 0.470	+ 0.439	+ 0.374	- 0.817	+ 0.21	+ 0.72	+ 5.5
301	+ 1	+ 0.914	+ 0.511	- 0.479	- 0.430	- 0.766	- 2.10	+ 0.72	+ 5.5
302	+ 1	+ 0.903	- 0.531	+ 0.497	- 0.401	- 0.770	+ 0.86	+ 0.72	+ 5.5
303	+ 1	+ 0.511	+ 0.921	- 0.862	- 0.379	- 0.336	+ 1.36	+ 0.72	+ 5.5
304	+ 1	+ 0.763	- 0.728	+ 0.687	+ 0.689	- 0.230	+ 1.98	+ 0.71	+ 5.7
305	+ 1	+ 0.651	+ 0.828	- 0.784	- 0.267	- 0.559	+ 1.39	+ 0.71	+ 5.8
306	+ 1	+ 1.018	- 0.222	+ 0.209	+ 0.550	- 0.809	+ 1.66	+ 0.72	+ 5.6
(307)	- 1	+ 0.744	+ 0.604	- 0.533	+ 0.845	- 0.046	+ 0.31	+ 0.87	+ 2.4
(308)	- 1	+ 0.909	- 0.150	+ 0.132	+ 0.676	- 0.725	+ 1.31	+ 0.87	+ 2.4
309	- 1	+ 0.662	+ 0.710	- 0.625	+ 0.678	- 0.388	+ 0.40	+ 0.87	+ 2.4
310	- 1	+ 0.845	- 0.289	+ 0.254	+ 0.890	- 0.378	+ 0.31	+ 0.91	- 0.4

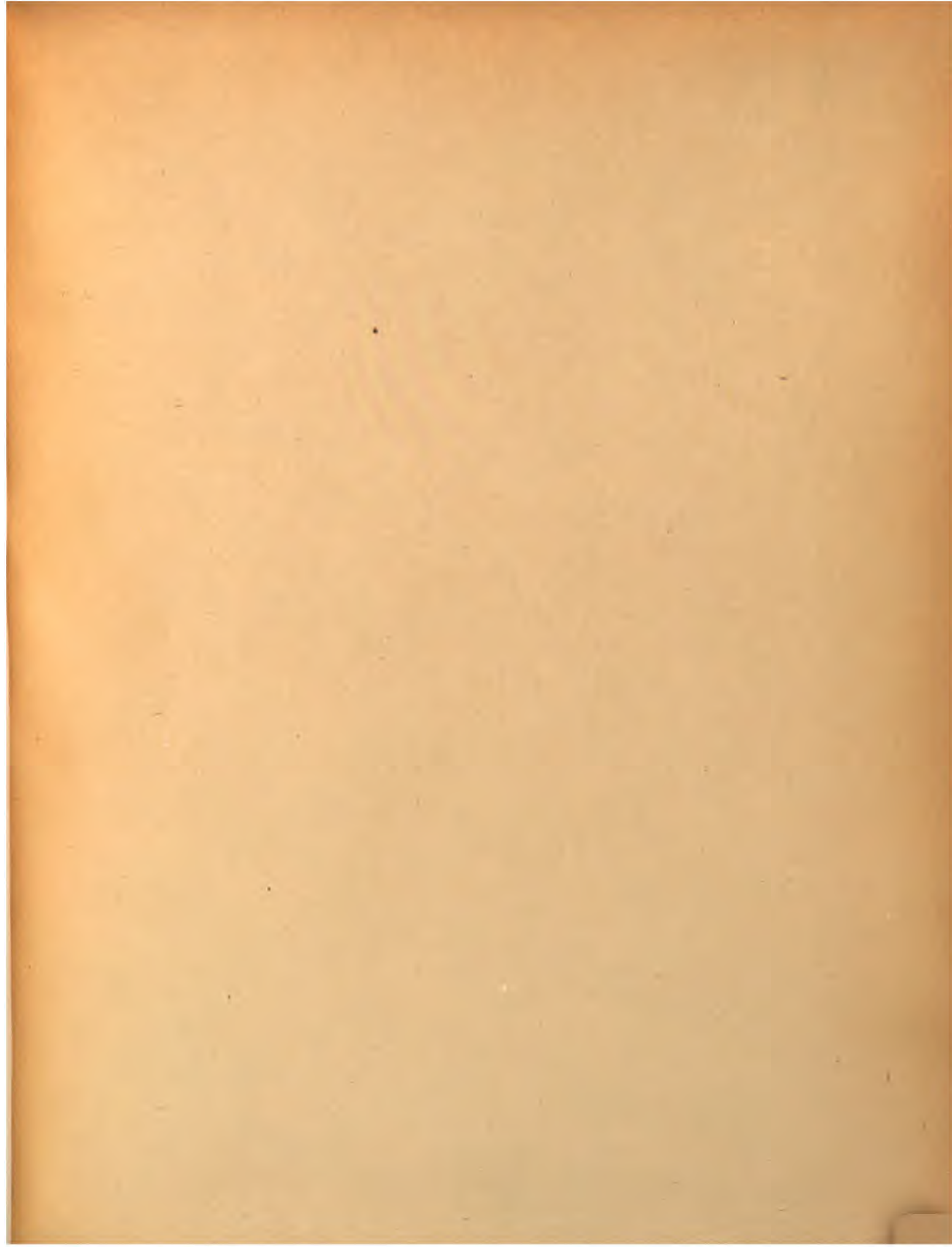
Nr.	Δr_0	$\Delta(\alpha-\alpha')$	$\Delta(\delta-\delta')$	μ	ν	ν'	Δ	$d \alpha$	$d \delta$
311	- 1	+ 0.845	+ 0.287	- 0.253	+ 0.950	- 0.184	- 0.003	+ 0.91	- 0.4
312	- 1	+ 0.421	- 0.883	+ 0.774	+ 0.288	- 0.563	- 0.39	+ 0.91	- 0.4
313	- 1	+ 0.456	- 0.860	+ 0.754	+ 0.314	- 0.576	+ 2.98	+ 0.91	- 0.4
314	- 1	+ 0.786	+ 0.455	- 0.401	+ 0.899	- 0.174	+ 0.28	+ 0.91	- 0.4
315	- 1	+ 0.728	+ 0.567	- 0.499	+ 0.842	- 0.207	+ 4.11	+ 0.91	- 0.4
316	- 1	+ 0.858	- 0.231	+ 0.203	+ 0.711	- 0.673	+ 1.44	+ 0.91	- 0.4
317	- 1	+ 0.881	+ 0.032	- 0.028	+ 0.785	- 0.622	+ 0.87	+ 0.91	- 0.4
318	- 1	+ 0.876	- 0.118	+ 0.103	+ 0.664	- 0.740	+ 0.30	+ 0.91	- 0.4
319	- 1	+ 0.790	+ 0.440	- 0.396	+ 0.757	+ 0.519	+ 1.90	+ 0.88	- 1.9
320	- 1	+ 0.427	- 0.869	+ 0.779	+ 0.573	- 0.254	- 0.53	+ 0.88	- 1.9
321	- 1	+ 0.476	+ 0.836	- 0.753	+ 0.430	+ 0.498	+ 1.00	+ 0.88	- 1.9
322	- 1	+ 0.881	- 0.017	+ 0.015	+ 0.937	+ 0.161	+ 2.19	+ 0.88	- 1.9
323	- 1	+ 0.866	+ 0.183	- 0.165	+ 0.970	+ 0.179	- 0.08	+ 0.88	- 1.9
324	- 1	+ 0.764	+ 0.494	- 0.445	+ 0.874	+ 0.193	+ 3.73	+ 0.88	- 1.9
325	- 1	+ 0.860	- 0.218	+ 0.195	+ 0.954	- 0.226	+ 0.50	+ 0.88	- 1.9
326	- 1	+ 0.572	+ 0.755	- 0.681	+ 0.727	+ 0.089	+ 1.55	+ 0.88	- 1.9
327	- 1	+ 0.770	- 0.483	+ 0.434	+ 0.737	- 0.519	- 1.33	+ 0.88	- 1.9
328	- 1	+ 0.470	+ 0.840	- 0.757	+ 0.640	+ 0.129	+ 3.82	+ 0.88	- 1.9
329	- 1	+ 0.863	- 0.205	+ 0.185	+ 0.797	- 0.574	- 0.99	+ 0.88	- 1.9
330	- 1	+ 0.757	- 0.509	+ 0.458	+ 0.409	- 0.789	- 1.76	+ 0.88	- 1.9
331	- 1	+ 0.880	- 0.075	+ 0.068	+ 0.597	- 0.800	+ 1.05	+ 0.88	- 1.9
332	- 1	+ 0.528	+ 0.790	- 0.738	+ 0.460	+ 0.494	+ 2.77	+ 0.85	- 3.1
333	- 1	+ 0.835	+ 0.342	- 0.319	+ 0.892	+ 0.319	+ 1.85	+ 0.85	- 3.1
334	- 1	+ 0.805	- 0.720	+ 0.671	+ 0.659	- 0.338	- 1.06	+ 0.85	- 3.1
335	- 1	+ 0.761	- 0.512	+ 0.477	+ 0.779	- 0.406	- 0.86	+ 0.85	- 3.1
336	- 1	+ 0.887	+ 0.112	- 0.105	+ 0.842	- 0.530	+ 0.15	+ 0.85	- 3.1
337	+ 1	+ 0.904	- 0.378	+ 0.340	- 0.057	- 0.939	+ 0.22	+ 0.80	+ 4.2
338	+ 1	+ 0.780	+ 0.619	- 0.558	- 0.548	- 0.623	+ 1.01	+ 0.80	+ 4.2
339	+ 1	+ 0.583	+ 0.830	- 0.748	- 0.529	- 0.400	+ 4.94	+ 0.80	+ 4.2
(340)	+ 1	+ 1.035	- 0.145	+ 0.137	+ 0.666	- 0.733	+ 1.06	+ 0.71	+ 5.6
341	+ 1	+ 0.416	+ 0.964	- 0.913	+ 0.320	- 0.254	+ 0.66	+ 0.71	+ 5.6
(342)	- 1	+ 0.719	- 0.585	+ 0.513	+ 0.394	- 0.762	- 2.52	+ 0.90	0.0
(343)	- 1	+ 0.769	- 0.495	+ 0.434	+ 0.236	- 0.869	- 0.56	+ 0.90	0.0
344	- 1	+ 0.598	- 0.740	+ 0.648	+ 0.021	- 0.761	- 1.94	+ 0.90	0.0
(345)	+ 1	+ 1.043	+ 0.073	- 0.069	- 0.924	- 0.376	+ 0.64	+ 0.71	+ 5.6
(346)	+ 1	+ 0.731	- 0.629	+ 0.564	- 0.453	- 0.690	+ 0.58	+ 0.85	+ 3.0
347	- 1	+ 0.293	+ 0.967	- 0.868	+ 0.200	- 0.455	+ 0.40	+ 0.85	+ 3.0
348	+ 1	+ 0.926	+ 0.043	- 0.038	- 0.480	- 0.876	+ 1.06	+ 0.85	+ 3.0
349	+ 1	+ 0.964	+ 0.294	- 0.274	- 0.550	- 0.789	+ 2.76	+ 0.75	+ 5.1
350	+ 1	+ 0.371	+ 0.964	- 0.901	- 0.434	- 0.016	+ 0.64	+ 0.75	+ 5.1
351	+ 1	+ 0.871	- 0.486	+ 0.446	+ 0.104	- 0.889	+ 3.23	+ 0.78	+ 4.7
352	+ 1	+ 0.770	+ 0.666	- 0.608	- 0.584	- 0.538	+ 3.15	+ 0.77	+ 4.7
353	+ 1	+ 0.112	+ 1.040	- 0.949	+ 0.014	- 0.314	+ 3.82	+ 0.77	+ 4.7
354	+ 1	+ 0.924	+ 0.307	- 0.276	- 0.114	- 0.954	+ 4.21	+ 0.81	+ 4.0
355	+ 1	+ 0.924	+ 0.307	- 0.276	- 0.114	- 0.954	+ 3.44	+ 0.81	+ 4.0

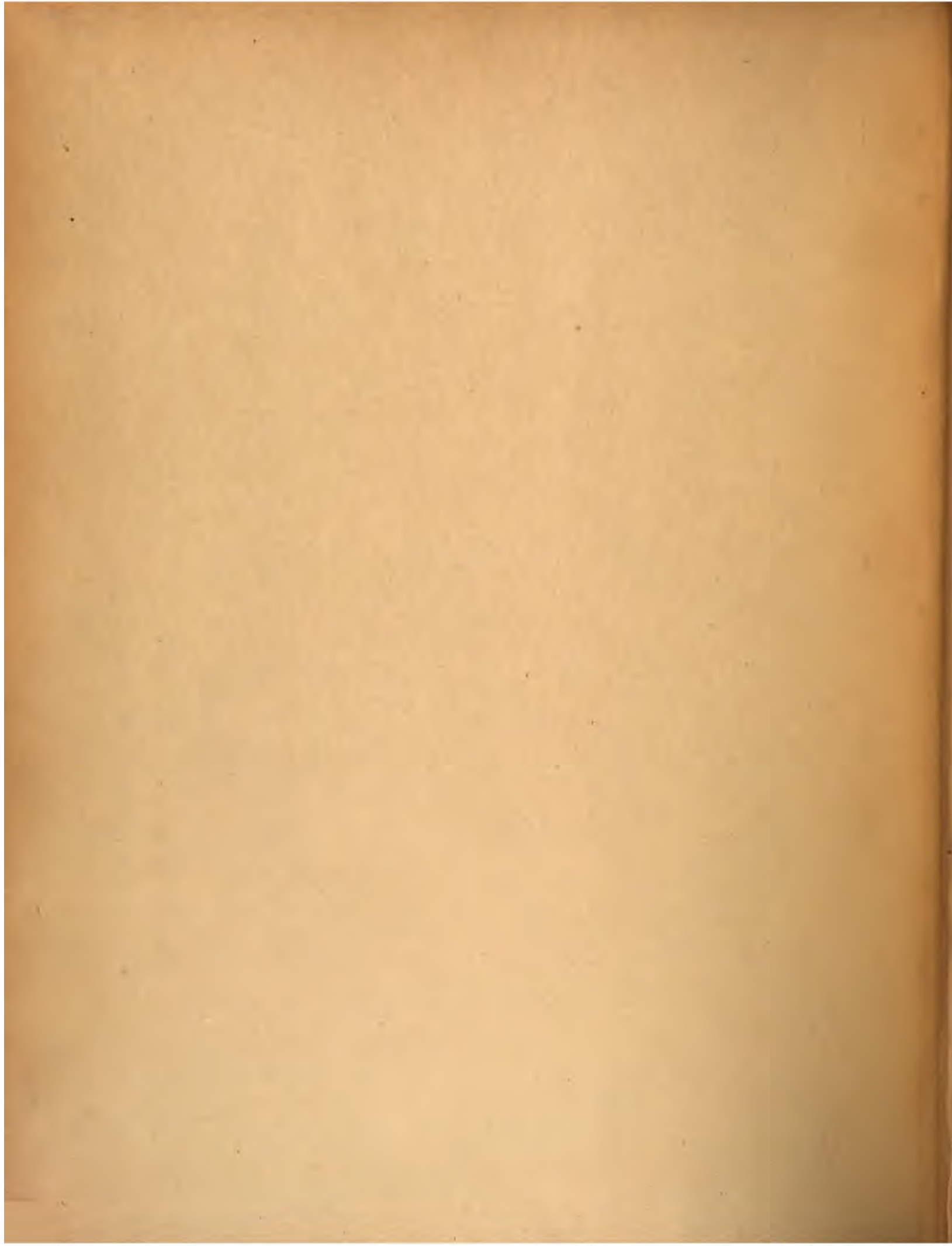
Nr.	Δr_0	$\Delta(\alpha-\alpha')$	$\Delta(\delta-\delta')$	μ	ν	ψ	Δ	$d \alpha$	$d \delta$
(356)	+ 1	+ 0.875	- 0.186	+ 0.182	+ 0.335	- 0.924	+ 3.50	+ 0.81	- 4.0
357	+ 1	+ 0.343	- 0.882	+ 0.866	- 0.179	- 0.468	- 0.12	+ 0.81	- 4.0
358	+ 1	+ 0.781	- 0.498	+ 0.515	- 0.831	+ 0.209	- 0.36	+ 0.75	- 5.1
359	+ 1	+ 0.724	+ 0.692	- 0.609	- 0.693	- 0.386	+ 0.37	+ 0.83	+ 3.5
360	+ 1	+ 0.213	+ 1.022	- 0.899	- 0.191	- 0.395	+ 0.80	+ 0.83	+ 3.5
361	+ 1	+ 0.069	+ 1.045	- 0.919	- 0.050	- 0.391	- 0.56	+ 0.83	+ 3.5
362	+ 1	+ 0.692	- 0.728	+ 0.642	- 0.699	+ 0.316	+ 2.21	+ 0.83	+ 3.5
363	+ 1	+ 0.827	- 0.439	+ 0.461	- 0.364	- 0.809	+ 4.24	+ 0.72	- 5.5
364	+ 1	+ 0.824	- 0.443	+ 0.466	- 0.373	- 0.802	+ 5.66	+ 0.72	- 5.5
365	+ 1	+ 0.689	- 0.637	+ 0.669	- 0.374	- 0.642	+ 1.54	+ 0.72	- 5.5
366	+ 1	+ 0.613	- 0.711	+ 0.748	- 0.386	- 0.540	+ 1.55	+ 0.72	- 5.5
367	+ 1	+ 0.926	- 0.123	+ 0.130	- 0.894	- 0.427	+ 3.21	+ 0.72	- 5.5
368	+ 1	+ 0.656	- 0.748	+ 0.680	- 0.734	+ 0.189	+ 7.66		
369	+ 1	+ 0.812	+ 0.483	- 0.430	- 0.905	- 0.089	+14.65		
(370)	+ 1	+ 0.125	+ 1.026	- 0.912	- 0.384	- 0.276	+ 5.09		
371	+ 1	+ 0.381	- 0.932	+ 0.826	- 0.511	+ 0.304	+ 3.36		
372	+ 1	+ 0.859	- 0.319	+ 0.283	- 0.961	- 0.035	+12.01		
373	+ 1	+ 0.268	- 0.981	+ 0.870	- 0.344	+ 0.405	+ 0.04		
374	+ 1	+ 0.462	+ 0.882	- 0.779	- 0.464	- 0.456	+ 6.39		
375	+ 1	+ 0.830	+ 0.406	- 0.360	- 0.899	- 0.264	+13.59		
376	- 1	+ 0.234	- 0.992	+ 0.876	- 0.264	+ 0.450	+ 4.05		
377	+ 1	+ 0.867	- 0.289	+ 0.256	- 0.948	+ 0.197	+11.14		
378	+ 1	+ 0.859	- 0.319	+ 0.282	- 0.935	+ 0.226	+13.03		
379	+ 1	+ 0.738	- 0.593	+ 0.526	- 0.771	+ 0.378	+12.51		
380	- 1	+ 0.900	+ 0.090	- 0.080	- 0.958	+ 0.276	+16.12		
381	+ 1	+ 0.847	+ 0.357	- 0.316	- 0.940	+ 0.146	+14.08		
(382)	+ 1	+ 0.902	+ 0.043	- 0.038	- 0.906	+ 0.421	+15.23		
(383)	+ 1	+ 0.140	- 1.014	+ 0.901	+ 0.106	+ 0.467	+ 0.22		
384	+ 1	+ 0.794	+ 0.479	- 0.426	- 0.682	- 0.599	+15.66		
385	+ 1	+ 0.880	- 0.215	+ 0.191	- 0.929	- 0.318	+15.01		
386	+ 1	+ 0.463	- 0.872	+ 0.778	- 0.627	+ 0.148	+ 7.65		
387	+ 1	+ 0.728	- 0.598	+ 0.534	- 0.851	- 0.006	+12.94		
388	+ 1	+ 0.459	- 0.874	+ 0.780	- 0.606	+ 0.207	+ 8.45		
389	+ 1	+ 0.480	- 0.860	+ 0.768	- 0.626	+ 0.194	+ 8.60		
390	+ 1	+ 0.366	- 0.919	+ 0.836	- 0.546	+ 0.096	+ 8.60		
391	+ 1	+ 0.752	+ 0.526	- 0.510	- 0.605	- 0.613	+12.16		
392	+ 1	+ 0.183	- 0.984	+ 0.895	- 0.370	+ 0.263	+ 3.20		
393	- 1	+ 0.814	+ 0.444	- 0.404	- 0.757	- 0.514	+13.75		
394	+ 1	+ 0.391	- 0.898	+ 0.838	- 0.515	- 0.145	+ 8.02		
395	+ 1	+ 0.462	- 0.857	+ 0.800	- 0.550	- 0.216	+ 8.46		
396	+ 1	+ 0.862	+ 0.347	- 0.323	- 0.514	- 0.794	+14.37		
397	+ 1	+ 0.823	- 0.444	+ 0.415	- 0.726	- 0.545	+37.33		
398	+ 1	+ 0.741	+ 0.591	- 0.550	- 0.439	- 0.706	+10.00		
399	+ 1	+ 0.841	- 0.403	+ 0.376	- 0.818	- 0.432	+15.66		
400	+ 1	+ 0.196	- 0.968	+ 0.905	- 0.370	+ 0.170	+ 3.97		

Nr.	Δr_0	$\Delta(\alpha-\alpha')$	$\Delta(\delta-\delta')$	μ	ν	ψ	Δ
401	+ 1	+ 0.922	- 0.010	+ 0.010	- 0.904	- 0.428	+ 14.90
402	+ 1	+ 0.911	+ 0.154	- 0.144	- 0.963	- 0.227	+ 14.93
403	+ 1	+ 0.313	- 0.931	+ 0.873	- 0.361	+ 0.304	+ 6.99
404	+ 1	+ 0.641	+ 0.712	- 0.666	- 0.686	- 0.278	+ 8.34
405	+ 1	+ 0.833	+ 0.424	- 0.397	- 0.903	- 0.155	+ 11.26
406	+ 1	+ 0.656	- 0.696	+ 0.653	- 0.687	+ 0.304	+ 12.72
407	+ 1	+ 0.295	- 0.938	+ 0.880	- 0.265	+ 0.371	+ 7.74
408	+ 1	- 0.124	- 0.980	+ 0.925	+ 0.222	+ 0.289	+ 1.09
409	+ 1	+ 0.931	- 0.100	+ 0.096	- 0.867	- 0.489	+ 14.32
410							+1634.3
411	+ 1	+ 0.627	- 0.680	+ 0.655	- 0.725	- 0.154	+ 15.09
412	+ 1	+ 0.937	- 0.022	+ 0.021	- 0.942	- 0.334	+ 17.01
413	+ 1	+ 0.708	+ 0.639	- 0.616	- 0.752	- 0.188	+ 8.64
414	+ 1	+ 0.877	- 0.346	+ 0.334	- 0.930	+ 0.136	+ 15.11
415							
416	+ 1	+ 0.903	- 0.288	+ 0.283	- 0.510	- 0.808	+ 16.23
417	+ 1	+ 0.938	+ 0.133	- 0.131	- 0.463	- 0.876	+ 12.68
418	+ 1	+ 0.921	- 0.225	+ 0.222	- 0.660	- 0.711	+ 15.68
419	+ 1	+ 0.513	- 0.810	+ 0.798	- 0.492	- 0.266	+ 11.93
420	+ 1	+ 0.236	- 0.904	+ 0.887	+ 0.050	- 0.314	+ 7.30
(421)	+ 1	+ 0.690	+ 0.748	- 0.726	+ 0.329	- 0.630	+ 10.00
(422)	- 1	+ 0.978	+ 0.232	- 0.225	+ 0.346	- 0.912	+ 7.17
423	+ 1	+ 0.924	+ 0.199	- 0.197	- 0.418	- 0.885	+ 10.77
424	+ 1	+ 0.942	- 0.058	+ 0.058	- 0.458	- 0.887	+ 15.98
425	+ 1	+ 0.563	- 0.764	+ 0.755	- 0.343	- 0.504	+ 11.80
426	+ 1	+ 0.905	- 0.267	+ 0.264	- 0.706	- 0.651	+ 14.32
427	+ 1	+ 0.880	- 0.342	+ 0.338	- 0.679	- 0.642	+ 14.51
(428)	+ 1	+ 0.940	- 0.064	+ 0.063	- 0.835	- 0.546	+ 12.90
429	+ 1	+ 0.887	- 0.250	+ 0.242	+ 0.186	- 0.949	+ 13.61
(430)	+ 1	+ 0.776	- 0.611	+ 0.585	+ 0.567	- 0.586	- 18.55
431	- 1	- 0.111	+ 1.000	- 0.962	- 0.304	- 0.014	+ 29.60
(432)	- 1	+ 0.618	+ 0.786	- 0.720	+ 0.447	+ 0.566	+ 11.31
(433)	- 1	+ 0.911	+ 0.533	- 0.487	+ 0.749	+ 0.468	+ 7.59
434	- 1	+ 0.158	+ 1.025	- 0.937	+ 0.074	+ 0.425	+ 5.21
435	+ 1	+ 0.909	+ 0.297	- 0.290	- 0.955	- 0.001	+ 12.28
436	+ 1	+ 0.931	- 0.114	+ 0.111	- 0.723	- 0.681	+ 11.28
437	+ 1	+ 0.937	+ 0.619	- 0.018	- 0.767	- 0.642	+ 11.90
438	+ 1	+ 0.771	- 0.544	+ 0.530	- 0.596	- 0.582	+ 13.18
(439)	+ 1	+ 0.254	- 0.923	+ 0.897	- 0.131	- 0.328	+ 7.58
440	+ 1	+ 0.661	- 0.658	+ 0.621	- 0.257	- 0.716	- 1.94
441	+ 1	+ 0.830	- 0.392	+ 0.371	- 0.452	- 0.804	+ 15.90
(442)	+ 1	+ 0.585	+ 0.701	- 0.614	- 0.440	- 0.634	+ 10.16
(443)	+ 1	+ 0.823	+ 0.248	- 0.217	- 0.574	- 0.787	+ 13.99
444	- 1	+ 0.581	+ 0.802	- 0.760	- 0.019	- 0.656	+ 12.19
(445)	- 1	+ 0.773	+ 0.674	- 0.668	+ 0.650	- 0.398	- 9.29

Nr.	Δr_0	$\Delta(a-a')$	$\Delta(\delta-\delta')$	μ	ν	ψ	Δ
(446)	- 1	+ 0.848	+ 0.575	- 0.570	+ 0.653	- 0.517	- 7.42
447	- 1	+ 0.957	+ 0.400	- 0.394	+ 0.926	+ 0.024	+ 14.75
448	- 1	+ 1.026	+ 0.128	- 0.127	+ 0.948	- 0.292	+ 18.62
449	- 1	+ 0.354	+ 0.987	- 0.974	+ 0.373	- 0.057	+ 10.18
(450)	- 1	- 0.069	+ 1.049	- 1.017	- 0.088	+ 0.236	+ 2.66
451	- 1	+ 0.303	+ 1.003	- 0.972	+ 0.329	+ 0.193	+ 5.03
452	- 1	+ 0.927	- 0.357	+ 0.337	+ 0.906	- 0.273	+ 9.41
453	- 1	+ 0.814	- 0.546	+ 0.502	+ 0.874	- 0.066	+ 10.21
454	- 1	+ 0.931	- 0.234	+ 0.216	+ 0.976	+ 0.066	+ 13.28
455	- 1	+ 0.837	- 0.445	+ 0.400	+ 0.904	+ 0.182	+ 10.61
456	- 1	+ 0.883	+ 0.310	- 0.279	+ 0.873	+ 0.407	+ 15.29
457	- 1	+ 0.841	+ 0.433	- 0.390	+ 0.834	+ 0.403	+ 14.31
(458)	- 1	+ 0.645	+ 0.717	- 0.639	+ 0.471	+ 0.624	+ 15.43
459	- 1	+ 0.515	+ 0.841	- 0.749	+ 0.336	+ 0.593	+ 9.37
(460)	- 1	+ 0.804	- 0.468	+ 0.415	+ 0.893	+ 0.195	+ 12.26
461	- 1	+ 0.898	- 0.109	+ 0.097	+ 0.949	+ 0.300	+ 17.52
462	- 1	+ 0.483	+ 0.927	- 0.921	+ 0.476	- 0.042	+ 10.65
463	+ 1	+ 0.930	- 0.477	+ 0.473	+ 0.695	- 0.561	+ 7.65
(464)	- 1	- 0.107	+ 1.048	- 1.040	+ 0.011	+ 0.160	+ 3.77
465	- 1	+ 0.786	- 0.539	+ 0.480	+ 0.635	- 0.618	+ 5.29
(466)	+ 1	+ 0.744	- 0.611	+ 0.572	+ 0.431	- 0.698	+ 12.17
467	+ 1	+ 0.886	+ 0.329	- 0.309	+ 0.746	- 0.591	+ 12.40
468	+ 1	+ 0.918	+ 0.205	- 0.192	+ 0.736	- 0.650	+ 14.26
(469)	+ 1	+ 0.615	- 0.758	+ 0.712	+ 0.221	- 0.669	+ 12.43
470	+ 1	+ 0.847	+ 0.431	- 0.405	+ 0.576	- 0.710	+ 13.54
471	+ 1	+ 0.859	+ 0.564	- 0.560	- 0.636	- 0.549	+ 13.58
472	+ 1	+ 0.836	+ 0.598	- 0.595	- 0.630	- 0.522	+ 13.30
473	+ 1	+ 0.844	+ 0.588	- 0.584	- 0.639	- 0.523	+ 12.98
474	+ 1	+ 0.881	- 0.530	+ 0.526	- 0.861	+ 0.010	+ 6.39
475	+ 1	+ 0.907	+ 0.133	- 0.120	+ 0.107	- 0.987	+ 10.97
476	+ 1	+ 0.768	- 0.612	+ 0.554	+ 0.842	+ 0.120	+ 11.12
477	- 1	+ 0.787	+ 0.583	- 0.527	+ 0.754	+ 0.424	+ 11.18

B







3 2044 078 737 327



3 2044 078 737 327